



P  
1er 1841 d. 31.

# ASTRONOMISCHE NACHRICHTEN,

h e r a u s g e g e b e n

v o n

H. C. S c h u m a c h e r,

wirklichem Etatsrathe, ordentlichem Professor der Astronomie in Copenhagen, Commandeur vom Dannebrog und Dannebrogsmann, Ritter des Königl. Schwed. Nordsternordens, des Königl. Preussischen Rothen Adlerordens dritter Classe, des Kaiserl. Russischen Stanislausordens derselben Classe und der Ehrenlegion, Mitglieder der Königl. Gesellschaften der Wissenschaften in Copenhagen, London, Edinburgh, Stockholm und Göttingen, der Königl. astron. Gesellschaft in London, der americanischen Gesellschaft der Wissenschaften in Philadelphia, der physiographischen Gesellschaft in Lund, und der naturforschenden Gesellschaft in Danzig, Ehrenmitglieder der Königl. Gesellschaft der Wissenschaften in Dublin, der meteorolog. Gesellschaft in London, der Society of useful arts in Edinburgh, der mathematischen Gesellschaft in Hamburg und der naturforschenden Gesellschaft in Rostock, Correspondenten des Französischen Instituts, der Kaiserl. Academie der Wissenschaften in St. Petersburg, der Königl. Gesellschaften der Wissenschaften in Berlin, Brüssel, Neapel, Padua, Palermo und Turin.



F u n f z e h n t e r   B a n d.

mit 1 Kupfertafel, 2 Steindrucken, 2 Beilagen, einem Inhaltsverzeichniß und einem Register.

A l t o n a   1 8 3 8.

gedruckt in der Hammerich- und Lesser'schen Buchdruckerei





## Nr. 337.

Ueber den astronomischen Gebrauch der Mondkarte. Von Herrn Dr. *Mödlar* 1.

## Nr. 338.

Schreiben des Herrn Professors v. Ritters *Encke*, Directors der Sternwarte in Berlin, an den Herausgeber 17. — *Andr. Lang* Observed Occultations of Stars at St. Croix West Indies 21. Rate of Going of Capt. *Harders* Chronometer (Urban *Jürgens*) 23. — Antrag aus einem Schreiben des Herrn *T. Handerson* an den Herausgeber 25. — Ueber die Redaction der Mondstamman. Von Herrn Professor Dr. *Grunert* zu Großwald 27. — Zweite Fortsetzung der Untersuchungen über die Größe des Erdschutens. Von Herrn Dr. *Mödlar* 29. Schreiben des Herrn *Kreil*, Adjuncten der Mailänder Sternwarte, an den Herausgeber 29. — Vermischte Nachrichten 31.

## Nr. 339—342.

Ueber die Verfinsternung auf der Erde überhaupt. Von Herrn Professor *Hansen*, Director der Sternwarte Seeburg 33. — Antrag aus einem Schreiben Sr. Excellenz des Herrn wirklichen Staatsraths und Ritters von *Struve* an den Herausgeber 103.

## Nr. 343.

Ueber den Doppelstern  $\rho$  Ophiuchi. Von Herrn Geheimrath und Ritter *Bessel* 105.

## Nr. 344.

Eine Bemerkung über die Aufstellungsart beweglicher Instrumente. Von Herrn Geh. Rath und Ritter *Bessel* 121. — Ueber ein auf der Dorpater Sternwarte befindliches, mit einem Vertikalkreise versehenes tragbares Durchgangsinstrument aus der mechanischen Werkstätte von *Repsold* in Hamburg. Von Sr. Excellenz dem Herrn Staatsrath v. *Struve* 125.

## Beilage zu Nr. 344.

Bezug zur Theorie der astronomischen Strahlenbrechung. Von Herrn Fr. W. *Barfufs* 137. — Ueber die Bahn des Doppelsterns 3062 *Struve*. Von Herrn Dr. *Mödlar* 151.

## Nr. 345.

Ueber ein auf der Dorpater Sternwarte befindliches, mit einem Vertikalkreise versehenes tragbares Durchgangsinstrument aus der mechanischen Werkstätte von *Repsold* in Hamburg. Von Sr. Excellenz dem Herrn Staatsrath v. *Struve* (Beschluss.) 153. Schreiben des Herrn *Bianchi*, Directors der Sternwarte in Modena, an den Herausgeber 163. — Sternbedeckung in Göttingen 167.

## Nr. 346.

Schreiben des Herrn *Kreil*, Adjuncten der Sternwarte in Mailand, an den Herausgeber 169. — Ueber einige Aensferungen von *Bessel* in den Astr. Nachr. N. 344. 173. — Beobachtungen in Kopenhagen 177. — Schreiben des Herrn *Fischer* in Apentade an den Herausgeber 183.

## Nr. 347.

Ueber den Einfluss der Strahlenbrechung auf Sonnenfinsternisse und Sternbedeckungen etc. Von Hrn. Prof. *Hansen* 185. — Planetenbeobachtungen am Meridiankreise der Sternwarte zu Kronsminster sammt ihrer Vergleichung mit dem Berliner Astr. Jahrbuche 193. — Beobachtungen in Kopenhagen (Beschluss.) 197. — Auszug aus einem Schreiben des Herrn Dr. *Mödlar* an den Herausgeber 199. — Chronometer 199.

## Nr. 348.

Note sur la théorie des perturbations planétaires. Par M. *Hansen* 201. — Schreiben des Herrn Professors *Weisse*, Directors der Sternwarte in Cracau, an den Herausgeber 215.

## Nr. 349.

Schreiben des Herrn *Airy*, Astronomer Royal, an den Herausgeber 217. — Physische Beobachtungen des Mars in der Opposition von 1837. Von den Herren W. *Beer* und Dr. *Mödlar* 219. — Meridiankreis von A. und G. *Repsold*, aufgestellt in der Hamburger Sternwarte im Frühjahr 1836 225. Mondsterne und Sternbedeckungen auf der Craeuser Sternwarte im Jahre 1837 beobachtet, 227 und 229. — Schreiben des Herrn Professors *Benzenberg* an Herrn Dr. und Ritter *Olbers* 229. — Erklärung 231.

## Nr. 350.

Bestimmung der Rotationselemente der Himmelskörper aus Beobachtungen von Punkten oder Flecken auf ihren Oberflächen. Von Herrn *Henderkamp*, Oberlehrer der Mathematik und Naturwissenschaften am Gymnasium in Hamm in Westphalen 233. — Ueber die Flecken der Sonne. Von Herrn Hofrath *Schubbe* 243.

## Nr. 351. 352.

Schreiben des Herrn *James Yates*, Secretary to the Council of the British Association, an den Herausgeber 249. — Auszug aus einem Schreiben des Herrn Professors *Gerling* an den Herausgeber 249. — Die Längen-Unterschiede zwischen Göttingen (Altona), Marburg und Mannheim durch Signale bestimmt. Von Herrn Professor *Gerling* 249. — Auszug aus einem Schreiben des Herrn Hofraths *Nicolai* an den Professor *Gerling* 279. — Anzeige, betreffend die Beobachtungen auf der Königsberger Sternwarte 279.

## Nr. 353.

Schreiben des Herrn Professors und Ritters *Encke*, Directors der Berliner Sternwarte an den Herausgeber 281. — Vorschlag, die bei schromatischen Fernröhren erforderliche Länge durch ein Spiegeltelescop mit einem besonderen Glasspiegel bis auf mehr als die Hälfte abzukürzen. Von Herrn *Fr. W. Barfuß* 285.

## Nr. 354.

Beobachtungen von Mondsternen auf der Hamburger Sternwarte. Von Herrn *Ch. Rümker* 297. — Elemente des Doppelsterns  $\gamma$  Coronae 303. — Ephemeride des Ponschen Cometen für 1838. (*S. Astron. Nachr.* Nr. 353.) 303. — Auszug eines Schreibens von Sir *John Herschel* an den Herrn Geheimenrath *Beer* und den Herrn *Dr. Mädler* 311.

## Nr. 355.

Ueber eine neue Eigenschaft der *Laplace'schen*  $Y^{(n)}$  und ihre Anwendung zur analytischen Darstellung derjenigen Phänomene, welche Functionen der geographischen Länge und Breite sind. Von Herrn Professor *J. E. Neumann* in Königsberg 313. Beobachtung der Sternschuppen vom 20sten bis 26ten April 1838. Von Herrn *Dr. Benzenberg* 323.

## Nr. 356. 357.

Bemerkungen über barometrisches Höhenmessen. Von Herrn Geheimen-Rath und Ritter *Bessel* 329. — Schreiben des Herrn

*Darmouchel*, Directors der Sternwarte auf dem Collegio mano, an den Herausgeber 359.

## Beilage zu Nr. 357.

Schreiben Sr. Excellenz des Herrn wirklichen StaatsRaths v. *F. Mitglied* und beständigen Secretairs der Kaiserl. Academie der Wissenschaften in St. Petersburg, an den Herausgeber: Ukas an den dirigirenden Senat 361. — Schreiben des Herrn *v. Boguslawski*, Directors der Breslauer Sternwarte, an den Herausgeber 367.

## Nr. 358. 359.

Untersuchungen über die Wahrscheinlichkeit der Beobachtung Von Herrn Geheimen-Rath u. Ritter *Bessel* 369. — Verzeichnisse von astronomischen Uhren, welche *Th. Blacker* beigesetzte Preise zu verkaufen beabsichtigt 403.

## Nr. 360.

Ueber die Bestimmung des Punktes am Mondrande, wo bei einer Sternbedeckung der Stern ein- und austritt. Von Herrn Professor und Ritter *Hansen*, Director der Seeberger Sternwarte 405. — Constanten zur Berechnung der selenographischen Lage des Punktes, wo die vom Monde bedeckten Sterne ein- und austreten, für die Monate October, November und December des Jahres 1838. Von demselben 415. Anzeige 419.

### Ueber den astronomischen Gebrauch der Mondkarte.

Von Herrn Dr. Mädler.

Die beobachtende Astronomie hat von dem, was seit *Galiläi* und *Hewel* in der speciellen Mondkunde geleistet worden, noch keinen allgemeinen Nutzen ziehen können. Ueberall, wo der Mondort, absolut oder in Beziehung auf ein anderes Object, in Betrachtung gezogen ward, geschah dies unter der Voraussetzung, daß uns der Mond als eine kreisförmige Scheibe von gegebenem Halbmesser erscheine, und wenn man selbst die das Resultat direct afficirenden Ungleichheiten des Randes weder bei der Beobachtung noch bei der Berechnung weiter berücksichtigte, nahm man noch weniger Notiz von dem, was sich im Innern der Scheibe darstellte.

Der bisherige mangelhafte Zustand unserer selenographischen Kenntnisse rechtfertigt dies Verfahren vollkommen; kein praktischer Astronom kann und wird Data zum Grunde seiner Berechnungen legen wollen, deren Unsicherheiten bei weitem die Fehler, welche er der Wahrnehmung selbst aufbürden zu müssen glaubt, übersteigen. Der Grad von Genauigkeit, der durch Vervollkommen der Instrumente und Beobachtungsmethoden gegenwärtig erreicht werden kann, läßt den, welchen die Mondkarten in Bezug auf ihre einzelnen Punkte gewähren konnten, weit hinter sich zurück.

Nicht als ob ich glaube, daß die von Herrn *Wilhelm Beer* und mir bearbeitete Mappa selenographica schon allein in Stand wäre, dieses ungünstige Verhältniß aufzuheben, da selbst die 106 Punkte erster Ordnung, deren selenographische Oerter wir in unserer binnen Kurzem erscheinenden Mondbeschreibung mittheilen werden, wohl noch nicht hinreichend genau sind, um sofort als Fundamentalörter angewandt werden zu können, sondern in der Ueberzeugung, daß wir nach dem Ansehen aller sachkundigen Beurtheiler, dem Ziele näher gerückt sind, und daß ein consequentes Fortschreiten auf dem von uns betretenen Wege noch weit näher führen müsse, halte ich es für keine unfruchtbare oder unzeitige Speculation, diejenige Klasse von Aufgaben, bei denen der Mond beobachtet wird, näher zu betrachten und zu untersuchen, ob und auf welche Weise einem Fortschritt in der speciellen Selenographie auch eine allgemeinere Bedeutung für die Praxis des Beobachtens gegeben werden könne.

Ich beginne mit den seit mehreren Jahrzehenden ziemlich vernachlässigten Mondfinsternissen. Einige mehr gelegentliche Wahrnehmungen über die Farbe des verfinsterten Mondes abgerechnet, findet man aus dieser Zeit nichts, das unsere Kenntnisse dieses Phänomens zu vervollständigen geeignet wäre. Zu einer Zeit, wo man im Allgemeinen zufrieden seyn mußte, wenn die Länge eines Ortes bis auf 5° in Zeit bekannt war, wandten *Lambert* und andere Astronomen die Beobachtung des Ein- und Austrittes der einzelnen Mondflecke in den Erdschatten zur Ermittlung der Längendifferenzen an. Man wußte bereits, daß die Beobachtungen den Halbmesser des Schattens größer als die Berechnung ergaben, allein seit *Mayer* war dieser Umstand nicht weiter untersucht worden, und die Beobachtung der einzelnen Mondflecke ward nach und nach, als zu ungenau für Längenbestimmungen, wieder aufgegeben.

Allein die Bestimmung der wahren Größe des Erdschattens, so wie des Verhaltens des Mondes und seiner einzelnen Oberflächentheile während der Finsternisse ist zu wichtig für die physikalische Kenntniß beider Weltkörper, als daß sie nicht ans Nene der Gegenstand astronomischer Untersuchungen zu werden verdiente; und je seltner dem Einzelnen die Gelegenheit an Theil wird, eine hiezu geeignete Finsterniß gut zu beobachten, desto mehr muß man wünschen, daß die vereinigten Kräfte Mehrerer dieser Aufgabe gewidmet würden; die übrigens nur eine genäherte Zeitbestimmung voraussetzt, und deshalb auch von Solchen angestellt werden kann, denen keine eigentliche Sternwarte zu Gebot steht.

In den hier folgenden Formeln für die Vorausberechnung des Ein- und Austritts der Mondflecke ist Rücksicht auf diejenigen Correctionen genommen, welche ihren Grund in der Abplattung der Erde, der für jeden Mondfleck verschiedenen Parallaxe und der Libration haben.

Die Bezeichnungen, welche ich anwenden werde, sind die folgenden:

$T$	=	Zeit des Vollmondes.
$\alpha, \alpha'$	=	Rectascension des Mondes und der Sonne.
$\delta, \delta'$	=	Declination
$\lambda, \lambda'$	=	Länge

- $\beta$  = Breite des Mondes und der Sonne.  
 $\pi, \pi'$  = Parallaxe \_\_\_\_\_  
 $\rho, \rho'$  = Halbmesser \_\_\_\_\_  
 $\lambda_0$  = mittlere Mondlänge.  
 $l$  = Libration des Mondes in Länge, positiv wenn sie die Flecke von West nach Ost verschiebt.  
 $b$  = Libration der Breite, positiv, wenn sie die Flecke von Nord nach Süd verschiebt.  
 $M$  = Winkel der relativen (auf das Schattencentrum bezogenen) Mondbewegung mit der Ecliptik.  
 $\phi$  = Winkel der relativen Mondbewegung mit dem Parallel des Erdaquators.  
 $C$  = Winkel des durch die Mondmitte gezogenen Mondmeridians mit dem Breitenkreise.  
 $m$  = Stündliche relative Bewegung des Mondes.  
 $\lambda^\circ$  = selenographische Länge des Mondflecks, westlich positiv.  
 $\beta^\circ$  = selenographische Breite des Mondflecks, nördlich positiv.  
 $P$  = Abstand des Flecks von der scheinbaren Mondmitte, im Bogen der Mondkugel gemessen.  
 $L$  } Geocentr. Abstand des Mondflecks vom Schatten-  
 $B$  } centro in Länge und Breite, beides auf die relative Mondabahn bezogen, zur Zeit der Mitte der Finsternisse.  
 $e$  = Excentricität des Erdsphäroids.  
 $A$  = Äquatorealaxe } des elliptischen Schattendurch-  
 $P$  = Polaraxe } schnitts.  
 $S$  = halbe Sehne der Schattenellipse, die der Mondfleck durchläuft.  
 $D$  = halbe Dauer der Verfinsterung des Mondflecks.  
 $\Delta\alpha, \Delta\alpha', \dots$  mögen die stündlichen Veränderungen der Elemente  $\alpha, \alpha', \dots$  bezeichnen.

Unter der Voraussetzung, daß die Grenze des uns sichtbaren Schattens in der Gegend des Centrums der Mondkugel durch eine vom letzten Sonnenrande ausgehende und die Oberfläche der Erde berührende Lichttangente bestimmt werde, hat man für die Axen desselben

$$(1) \dots \dots \dots \begin{cases} A = \pi + \pi' - \rho' \\ P = \sqrt{(1 - e^2 \cos^2 \delta')} (\pi + \pi') - \rho' \end{cases}$$

Die stündliche Bewegung des Mondes und ihren Winkel mit der großen Axe der Schattenellipse durch

$$(2) \dots \dots \dots \begin{cases} m \sin \phi = \Delta \delta + \Delta \delta' \\ m \cos \phi = \Delta \alpha \cos \delta - \Delta \alpha' \cos \delta' \end{cases}$$

Denkt man sich mit der halben großen Axe des Schattens einen Kreis um dieselbe beschrieben, dessen Projection die Ellipse ist, so entspricht dem Winkel  $\phi$  ein anderer im Kreise, der durch  $\psi$  bezeichnet werden mag, und man hat

$$\begin{aligned}
 t\psi &= \frac{A}{P} \cdot t\phi \\
 S &= \frac{\cos \psi}{\cos \phi} \sqrt{\left(A^2 - \left(\frac{B \sin \psi}{\sin \phi}\right)^2\right) \left(1 + \frac{\pi \sin \rho \cos P}{A}\right)} \dots (1) \\
 D &= \frac{S}{m}
 \end{aligned}$$

Diese Formeln würden streng seyn, wenn während der Finsternis die Bewegung des Mondes geradlinig, und die Horizontal-Parallaxe keiner Veränderung unterworfen wäre, aber der Einfluß dieser vernachlässigten Glieder kann nie 0<sup>3</sup> in Bogen übersteigen, ist also bei Mondfinsternissen völlig unmerklich. Wie die Größen  $B$  und  $P$  erhalten werden, wird sich aus dem Folgenden ergeben.

Da die parallactische Verschiebung der Mondflecke hier nicht in Betracht kommt, so hat man nur die für das Erdcentrum statt findenden optischen Librations-Coordinationen  $l$  und  $b$ , so wie den Winkel  $C$  zu ermitteln. Man erhält hinreichend genau, wegen der gleichförmigen Rotation des Mondes und des Zusammenfallens der entgegengesetzten Knoten des Äquators und der Bahn

$$\begin{aligned}
 l &= \lambda - \lambda_0 \\
 b &= -1,289 \beta \\
 \sin C &= 0,288 \frac{\Delta \beta}{\Delta \lambda}
 \end{aligned} \dots \dots \dots (4)$$

oder auch constant = 1° 28', was bei Mondfinsternissen nie erheblich falsch seyn kann.

Der Coefficient 0,288 ist der Quotient der Neigung des Mondäquators (1° 28' 47") durch die Neigung der Mondbahn (5° 8' 49").

Für den Winkel  $M$  erhält man

$$\begin{aligned}
 m \sin M &= \Delta \beta \\
 m \cos M &= \Delta \lambda - \Delta \lambda'
 \end{aligned} \dots \dots \dots (5)$$

Endlich ergibt sich

$$\begin{aligned}
 \beta \cos M &= \text{kleinster Abstand der Centra des Mondes} \\
 &\quad \text{und des Schattendurchschnitts zur Zeit} \\
 &\quad \text{der Mitte der Finsternisse.} \\
 \beta \sin M &= \text{Bogen der Mondbewegung vom Vollmonde} \\
 &\quad \text{bis zur Mitte der Finsternisse.}
 \end{aligned} \dots \dots \dots (6)$$

Nach diesen Vorbereitungen erhält man die Coordinaten der einzelnen Mondflecke am leichtesten auf graphischem Wege durch Hilfe der Mondkarte. Man mache sich nemlich eines veränderlichen Maßstabes, der für jede mögliche Größe von  $\rho$  dem Halbmesser der Karte entspricht, und trage vermittelst desselben die Linie  $\beta \cos M$  vom Mittelpunkt der Karte aus unter einem Winkel =  $M + C$  mit dem ersten Meridian der selben nach derjenigen Seite, wohin das Schattencentrum zur Zeit der Mitte der Finsternis trifft, ziehe durch den Endpunkt derselben eine zweite Linie auf die erstere normal und ver-

lägere beide über die ganze Mondkarte hin. Hierauf versetze man jeden Mondfleck, für den man die Finsternis vorausberechnen will, um die Größen  $l$  und  $h$  ° d. h. von seinem wahren nach seinem scheinbaren Orte, und messe sodann die Abscissen und Ordinaten  $L$  und  $B$  der so versetzten Punkte in Bezug auf das entworfenen Axensystem. Für  $P$  bedarf man eines orthographischen Gradmaßstab, wie ihn die Mappa Selenographica enthält.

Zeht man es dagegen vor, dieses graphische Verfahren durch Rechnung ganz zu umgehen, so würde man sich der folgenden Formeln bedienen können:

$$(7) \dots \left\{ \begin{array}{l} \tan g N = \frac{\tan g \beta''}{\cos (\lambda'' - l)} \\ N'' = N - b \\ \cotan g u = \frac{\tan g (\lambda'' - l) \cos N}{\sin N} \\ \tan g F = \frac{\tan g N'}{\sin u} \\ W = u \pm (M + C) \\ B = \rho \sin F \sin W \pm \beta \cos M \\ L = \rho \sin F \cos W. \end{array} \right.$$

$u$  ist in diesen Formeln der Winkel, den der Bogen  $F$  mit dem Aequator der Karte macht. Welches der beiden zweideutigen Zeichen anzuwenden ist, ergibt sich leicht aus einer oberflächlich entworfenen Figur.

Endlich hat man für die Mitte der Verfinstörung jedes einzelnen Mondflecks die Zeit

$$(8) \dots T + \frac{\beta}{m} \sin M + \frac{L}{m}.$$

Will man ganz genau verfahren, so kann man noch Rücksicht auf zwei Verbesserungen nehmen, deren eine, von der Veränderung der Libration während der Dauer der Finsternis herrührend, die halbe Dauer; die zweite, durch die elliptische Form des Schattendurchschnitts erzeugte, die Zeit der Mitte vermindert, da in der Ellipse nicht, wie im Kreise, die Sehnen durch ihre Mittelpunkte-Normalen halbiert werden, sobald sie nicht einer der beiden Axen parallel laufen. Beide Correctionen können übrigens fast immer vernachlässigt werden; die erste, da sie nur in seltenen Fällen (bei extremen Mondparallaxen) in die Zeit erreichen kann; die zweite, weil sie auf die Dauer selbst keinen Einfluß hat, und weil sich verschiedene Ursachen verschieben, das für die Mitte berechnete Moment beträchtlich verschieben zu machen, während die Dauer wenig oder gar nicht von ihnen betroffen wird. Man wird sich daher nicht leicht veranlaßt finden, aus nur einseitig gelungenen Beobachtungen dieser Art einen Schluß auf die Vergrößerungs-Constante zu

\*)  $\sin a'' = \sin (\lambda'' - l)$ .

machen, und es genügt also, wenn man die Mitte so genau bestimmt, daß die Aufeinanderfolge der Ein- und Austritte im Allgemeinen verläßlich ist und die Aufmerksamkeit des Beobachters richtig geleitet wird.

Diese Verbesserungen sind übrigens für die halbe Dauer

$$\left. \begin{array}{l} - D \cdot \Delta l \cdot \sin \rho \cos F \\ \frac{B}{m} \cdot \cotan g \varphi \left( 1 - \frac{\cos^2 \psi}{\cos^2 \varphi} \right) \end{array} \right\} \dots \dots \dots (9)$$

Als Beispiel diene die totale Finsternis vom 12<sup>ten</sup> Octbr. 1837, die zu den günstigsten in Bezug auf die in Rede stehenden Untersuchungen gerechnet werden muß, da der Mond in ganz Europa während ihrer vollen Dauer in bequemer Höhe verweilt und die Mittelegend des Schattens auf diejenigen Mondlandschaften trifft, welche am reichlichsten mit deutlich sichtbar bleibenden Vollmondsflecken versehen sind.

Die Elemente der Finsternis's sind nach dem Berliner Jahrbuch:

$$T = 1^h 24' 4'' \text{ Mittl. Pariser Zeit.}$$

$$\lambda + \Delta \lambda = 20^\circ 24' 41'' + 35' 53'' 2$$

$$\lambda' + \Delta \lambda' = 200 24 41,0 + 2 28,8$$

$$\beta + \Delta \beta = -0 11 11,7 + 3 19,1$$

$$\alpha + \Delta \alpha = 18 55 6,8 + 32 17,3$$

$$\alpha' + \Delta \alpha' = 188 50 19,6 + 2 19,1$$

$$\delta + \Delta \delta = 7 48 32,3 + 16 35,4$$

$$\delta' + \Delta \delta' = -7 58 41,0 - 56,0$$

$$\pi = 59 31,7$$

$$\pi' = 8,6$$

$$\rho = 16 13,3$$

$$\rho' = 16 4,1$$

$$\lambda_0 = 16 10 13,0 \text{ nach Burckhardts Mondtafel,}$$

woraus weiter nach (4)

$$l + \Delta l = + 4^\circ 14' 5'' + 2' 95$$

$$b + \Delta b = + 14,6 - 4,22.$$

Die Flecke sind also nach Ost gerückt, und diese Verschiebung vermehrt sich während der Finsternis; sie sind ferner nach Süd gerückt, welche Verschiebung sich während der Finsternis vermindert.

Unter Voraussetzung einer Abplattung von  $\frac{1}{302,78}$ , für welche  $\log e^2 = 7,81928$ ; erhält man aus (1)

$$A = 2616'' 2$$

$$P = 2604,6.$$

Ferner durch Anwendung der Formeln (2) und (3) die Constanten

$$\varphi = 27^\circ 48' 2; \log m = 3,30409;$$

$$\psi = 27 54,6; \log \frac{\sin \psi}{\sin \varphi} = 0,00153; \log \frac{\cos \psi}{\cos \varphi} = 9,99958;$$

$$\pi \sin \rho = 16^\circ 8.$$

Nimmt man für  $B$  die Werthe 0 bis  $27'$  (höhere kommen bei dieser Finsternis nicht vor), so erhält man für die halben Sehen und die halbe Dauer die nachstehende Tabelle:

$B$	$S$	$D$
0	$2613'7 + 16'8 \cos F$	$1'17'51'4 + 29'8 \cos F$
3'	$2607,5 + 16,7$	$1'17'40,3 + 29,7$
6	$2589,1 + 16,6$	$1'17'7,5 + 29,5$
9	$2559,4 + 16,4$	$1'16'14,4 + 29,2$
12	$2519,4 + 16,1$	$1'15'2,9 + 28,7$
15	$2470,6 + 15,8$	$1'13'35,7 + 28,3$
18	$2414,7 + 15,4$	$1'11'55,7 + 27,7$
21	$2355,2 + 15,0$	$1'10'5,8 + 27,1$
24	$2287,8 + 14,6$	$1'8'8,9 + 26,4$
27	$2219,8 + 14,2$	$1'6'7,3 + 25,7$

Für den Weg des Schattencentrums auf der Mondkugel hat man durch die Formeln (4), (5), (6)

$$M = 5^{\circ}40'4''$$

$$\log m = 3,30411 \text{ übereinstimmend mit oben.}$$

$$C = 1^{\circ}28'7''$$

$$\beta \cos M = 11'8''4$$

$$\beta \sin M = 1'6''4$$

$$\frac{\tan \beta'}{\cos(\lambda' - l)} = \frac{9,21649}{9,96015}$$

$$\tan N = 9,25634$$

$$N = 10^{\circ}13'7''$$

$$N' = N - b = 9'59,1$$

$$\tan(\lambda' - l) = 9,95207$$

$$\cos N = 9,99306$$

$$\text{Cpl. sin } N = 0,76098$$

$$\cotang u = 0,40609$$

$$u = 21^{\circ}26'0''$$

$$\tan N' = 9,24565$$

$$\sin u = 9,56279$$

$$\tan F = 9,68286$$

$$F = 25^{\circ}43'5''$$

$$W = 14^{\circ}16'1''$$

$$\log p \text{ (in Sec.)} = 2,98825$$

$$\sin F = 9,63754$$

$$\sin W = 9,39177 \dots 2,01756$$

$$\dots = 2,62579$$

$$\cos W = 9,98639 \dots 2,61218$$

$$p \sin F \sin W = + 1'44'2$$

$$\beta \cos M = -11'8'4$$

$$B = -9'24'2$$

$$L = -6'49'4$$

$$\text{Halbe Dauer für } B = 9'24'2 \dots 1'16'6''6$$

$$\text{für } F = 25^{\circ}43'5 \dots + 26,2$$

$$\text{Verbesserung} = -0,8$$

$$\text{Halbe Dauer} \dots \dots \dots 1'16'32'0$$

$$T + \frac{\beta}{m} \sin M = 11'26'27''$$

$$\frac{L}{m} = -12'11,0$$

$$\text{Verbesserung} = + 3,8$$

$$\text{Mitte der Finsternis für Copernicus} = 11'13'55'5$$

Bei der Auswahl der in der folgenden Tabelle aufgeführten 81 Mondflecke ist die bessere Sichtbarkeit im Vollmonde die schärfere selenographische Bestimmung und der geringere Abstand vom Schattencentro berücksichtigt worden. Letzteres ist

besonders wichtig, da für ein beträchtliches  $B$  die Fehler der selenographischen Lage einen starken Einfluss auf die Dauer der Verfinsternis haben.

Mondfleck.	$L$	$B$	$F$	Verbesserung der halb-Dauer	Mitte.	Mitte der Verfinsternis.	Halbe Dauer.
Olbers	$-16'3''$	$-10'49''$	$81'52''$	$-0'1$	$+4'4$	$10^h57'25''$	$1^h15'37'9$
Selenus	$-14'50$	$7'6$	$71'24$	$0,3$	$+2,8$	$59'34$	$1'16'59,4$
Crüger	$-14'1$	$-17'33$	$71'46$	$0,4$	$+7,2$	$11'1'7$	$1'12'19,7$
Sirafis	$-13'44$	$-16'33$	$64'45$	$0,4$	$+6,7$	$1'37$	$1'12'47,2$
Byrgius A	$-12'46$	$-19'26$	$69'50$	$0,3$	$+7,8$	$3'21$	$1'11'12,7$
Aristarch	$-12'20$	$6'11$	$55'2$	$0,5$	$+2,5$	$4'2$	$1'17'21,9$
Lapus	$-12'18$	$-17'27$	$58'15$	$0,4$	$+7,1$	$4'10$	$1'12'29,1$
Billy	$-12'14$	$-16'31$	$55'24$	$0,5$	$+6,7$	$4'18$	$1'13'2,4$
Flamsteed	$-11'51$	$-13'53$	$48'37$	$0,5$	$+5,6$	$4'58$	$1'14'26,9$

Mondflecke.	L	B	P	Verbesserung der halb.Dauer	Mitte.	Mitte der Verfälschung.	Halbe Dauer.
Oenopides A	— 11 34	+ 0 38	76 5	— 0 2	— 0 2	11 <sup>h</sup> 5' 22"	1 <sup>h</sup> 17' 58"
Kepler	— 10 55	— 10 17	42 30	0,6	+ 4,2	6 37	1 16 6,6
Mairan	— 10 31	— 1 34	60 35	0,4	+ 0,6	6 49	1 18 2,7
Eecke	— 10 13	— 11 28	41 0	0,6	+ 4,6	7 51	1 15 38,0
Mairan A	— 10 7	— 2 10	55 40	0,4	+ 0,9	7 58	1 18 2,0
Sharp	— 9 28	— 0 44	59 35	0,4	+ 0,3	9 8	1 18 5,4
Milchins	— 9 19	— 9 26	35 5	0,7	+ 3,8	9 27	1 16 28,3
Harpalus	— 8 50	+ 0 43	65 46	0,4	— 0,3	10 16	1 18 2,6
Heracides	— 8 48	— 1 30	53 36	0,5	+ 0,6	10 20	1 18 5,8
Euler	— 8 52	— 5 53	39 28	0,7	+ 2,4	10 4	1 17 31,9
Bouguer	— 7 56	+ 0 48	62 0	0,4	— 0,3	11 51	1 18 4,2
Euclides	— 6 34	— 14 16	34 12	0,7	+ 5,8	10 51	1 14 20,3
Pytheas	— 7 1	— 6 24	31 28	0,7	+ 2,6	13 33	1 17 25,9
Cap Laplace	— 7 5	— 0 22	52 30	0,5	+ 0,1	13 23	1 18 8,9
Heicon	— 6 58	— 1 30	47 5	0,6	+ 0,6	13 36	1 18 8,3
Condamine	— 6 54	+ 1 2	58 50	0,4	— 0,4	13 42	1 18 5,1
Ramsden	— 6 55	— 20 47	47 1	0,6	+ 8,4	13 50	1 10 27,5
Copernicus	— 6 49	— 9 24	25 44	0,8	+ 3,8	13 56	1 16 32,0
Campanus	— 6 35	— 19 33	41 11	0,6	+ 7,9	14 32	1 11 19,4
Bulliard	— 6 0	— 17 39	33 6	0,7	+ 7,1	15 26	1 12 30,3
Pico B	— 5 16	— 0 4	48 48	0,5	0,0	16 38	1 18 10,4
Timocharis	— 5 8	— 4 28	31 15	0,7	+ 1,8	16 54	1 17 45,5
Parry A	— 5 5	— 14 27	22 0	0,8	+ 5,8	17 3	1 14 2,4
Plato D	— 5 1	+ 0 32	51 25	0,5	— 0,2	17 5	1 18 9,4
Hesiodus B	— 4 19	— 19 5	33 54	0,7	+ 7,7	18 27	1 11 38,9
Plato	— 4 4	+ 1 1	52 0	0,5	0,0	18 46	1 18 8,0
Pico	— 4 2	— 0 1	46 48	0,6	— 0,4	18 50	1 18 11,2
Anaxagoras	— 3 9	+ 4 12	74 5	0,3	— 1,7	20 23	1 17 39,6
Bailly A	— 3 17	— 26 46	81 10	0,2	+ 10,7	20 21	1 6 25,5
Pico A	— 3 0	— 0 40	42 10	0,6	+ 0,3	20 41	1 18 12,4
Thebit B	— 2 48	— 17 37	25 55	0,7	+ 7,2	21 9	1 12 33,5
Timäus	— 2 26	+ 3 2	62 25	0,4	— 1,3	21 40	1 17 53,4
Bode	— 2 6	— 9 35	9 18	0,8	+ 3,8	22 21	1 16 29,8
Tycho	— 1 57	— 22 32	45 28	0,6	+ 9,1	22 42	1 9 24,9
Thebit A	— 1 53	— 17 19	23 50	0,8	+ 7,0	22 47	1 12 34,2
Aristillus	— 1 52	— 2 20	38 39	0,7	+ 1,0	22 43	1 18 8,6
Autolycus	— 1 38	— 3 5	30 35	0,7	+ 1,3	23 9	1 18 5,0
Archytas	— 1 39	+ 2 33	58 9	0,4	— 1,1	23 5	1 17 58,6
Alphons A	— 1 36	— 15 4	15 10	0,8	+ 6,1	23 17	1 14 0,2
Herschel	— 1 35	— 13 0	8 40	0,8	+ 5,2	23 18	1 15 2,6
Cassini A	— 1 16	— 0 45	40 8	0,6	+ 0,3	23 47	1 18 13,6
Cassini G	— 1 12	+ 0 11	44 34	0,5	— 0,1	23 54	1 18 12,1
Theaetetus	— 0 52	— 1 38	35 4	0,7	+ 0,7	24 30	1 18 11,8
Manilius	+ 0 46	— 7 2	14 54	0,8	+ 2,8	27 28	1 17 19,0
Hipparch E	+ 0 55	— 11 52	4 10	0,8	+ 4,8	27 46	1 15 34,3
Linne	+ 0 55	— 3 28	28 25	0,7	+ 1,4	27 42	1 18 2,0
Eudoxus	+ 0 58	+ 0 15	45 18	0,6	— 0,1	27 46	1 18 11,7
Silberschlag	+ 2 7	— 9 10	10 25	0,8	+ 3,7	29 53	1 16 38,8
Menelaus	+ 2 36	— 6 26	19 50	0,8	+ 2,5	30 44	1 17 28,4
Bessel	+ 2 46	— 4 51	25 20	0,7	+ 1,9	31 1	1 17 48,5
Theon sen.	+ 3 10	— 11 3	11 10	0,8	+ 4,5	31 47	1 15 54,9
Bürg	+ 3 12	+ 0 44	49 16	0,5	— 0,3	31 46	1 18 9,8
Dionysius	+ 3 30	— 9 59	13 10	0,8	+ 4,0	32 22	1 16 20,8
Posidonius D	+ 4 35	— 0 8	47 30	0,6	+ 0,1	34 14	1 18 11,0
Posidonius A	+ 4 48	— 2 6	39 6	0,6	+ 0,9	34 10	1 18 8,4
Hercules	+ 4 52	+ 1 14	55 2	0,5	— 0,5	34 16	1 18 6,2
Hercules A	+ 5 0	+ 2 6	61 8	0,4	— 0,9	34 58	1 18 0,0
Hypatia A	+ 5 12	— 11 56	18 55	0,8	+ 4,8	35 25	1 15 31,2
Endymion G	+ 5 14	+ 3 5	69 9	0,3	— 1,3	35 23	1 17 49,9

Mondflecke.	L	R	F	Verbesserung der halb.Dauer	Mitte.	Mitte der Veränderung.	Halbe Dauer.
Cepheus A	+ 6' 48"	+ 0' 21"	55° 25	— 0,5	— 0,1	11° 38' 12"	1° 18' 7,8
Miskelyne	+ 6 49	— 9 40	25 26	0,8	+ 3,9	38 18	1 16 25,4
Teophilus A	+ 7 13	— 13 28	27 50	0,7	+ 5,4	39 2	1 14 45,7
Piccolomini	+ 7 23	— 18 16	39 18	0,6	+ 7,3	39 22	1 11 68,0
Censorinus	+ 7 37	— 10 25	28 7	0,7	+ 4,2	89 54	1 16 7,8
Hook	+ 8 34	+ 0 16	62 12	0,4	— 0,1	41 21	1 18 4,5
Struve B	+ 8 54	+ 1 6	69 0	0,3	— 0,4	41 57	1 18 0,3
Proclus	+ 9 53	— 5 28	44 40	0,6	+ 2,3	43 45	1 17 35,3
Goclenius	+ 10 34	— 12 46	41 16	0,6	+ 5,1	45 1	1 15 3,3
Messier	+ 11 2	— 10 26	42 67	0,6	+ 4,2	45 50	1 15 50,8
Picard	+ 11 25	— 5 44	51 7	0,5	+ 2,4	46 29	1 17 29,0
Apollohus	+ 13 11	— 8 15	56 20	0,5	+ 3,4	49 40	1 16 45,3
Condorcet	+ 13 55	— 6 3	65 45	0,4	+ 2,5	50 58	1 17 18,6

Da besonders in dem Falle einer partialen Finsternis die Unsicherheit von *B* sehr nachtheilig auf die Berechnung der Dauer einwirkt, so wird man wohl thun, nur gut bestimmte Mondflecke zu wählen, und während der Finsternis, oder so nahe als möglich vor oder nach derselben, die Zenithdistanz des Mondes direct am Meridiankreise zu beobachten, um die Breitenfehler der Ephemeride verbessern zu können; und ist die Finsternis so klein, daß man nur wenige oder keine solche Flecke aufinden kann, so verzichte man ganz auf Beobachtung der Dauer und messe dagegen die Breite des verfinsterten Theiles mikrometrisch. Ein Beispiel der letztern Art giebt die Beobachtung der Finsternis am 10<sup>ten</sup> Jun 1835, wie wir sie in Nr. 286 der A. N. mitgetheilt haben.

Bei den Beobachtungen der Rectascension und Zenithdistanz des Mondes am Meridiankreise ergibt die unmittelbare Wahrnehmung des Antritts des Mondrandes an die Fäden des Instruments. Seltne Fälle ausgenommen kann in jeder einzelnen Beobachtung nur ein Rand für AR. und einer für Decl. angewandt werden: die Zeitangabe ist also, zufällige Fehler abgerechnet, mit folgenden behaftet:

dem Fehler des berechneten scheinbaren Mondhalbmessers, den Ungleichheiten des Randes an der Berührungsstelle, der Irradiation des Fernrohrs;

wozu noch wallende Ränder und andere Umstände hinzukommen. Diese Fehlerquellen würden ganz, oder so gut als ganz verschwinden, wenn man statt des Randes einen sich scharf und deutlich hervorhebenden Punkt auf der Mondfläche selbst, am besten auf der Mitte, beobachtete und die Theorie Mittel an die Hand gäbe, diesen beobachteten Ort auf die scheinbare Mondmitte mit hinreichender Genauigkeit zu reduciren. Wenn man bisher, in Folge der erwähnten Ursachen, Beobachtungsfehler von 5 Bogensekunden beim Monde noch als unvermeidliche zu hezeichnen geöthigt war, könnten bei einer guten Wahl des zu beobachtenden Punktes und ei-

niger Uebung Mondscalinationen eine eben so große Genauigkeit als Fixsternpassagen erreichen. Hauptsächlich müßte der gewählte Punkt der wahren Mondmitte möglichst nahe liegen, um auch von der scheinbaren sich jedenfalls nur wenig zu entfernen.

Unbedenklich würde ich den am genauesten bestimmten Mondfleck Manilius dazu vorschlagen, obgleich er sich bis 0,45 des Halbmessers von der scheinbaren Mitte entfernen kann; allein der Umstand, daß das Centralgebirge, auf welches doch nothwendig pointirt werden müßte, eine unregelmäßige Form hat und in Folge der verschiedenen Seitenbeleuchtung diese Form nicht unerheblich verändert (ein Hindernis, das sich mehr oder minder bei allen Ringgebirgen des Mondes von einiger Ausdehnung zeigen wird) dürfte die gewünschte Genauigkeit illusorisch machen. Kleine, regelmäßig geformte, im Vollmonde durch Helligkeit hinreichend ausgezeichnete Crater sind von diesem letztern Mangel frei, nur erfordern sie, ihrer ansehnlichen Menge und großen Aehnlichkeit wegen, strenge Aufmerksamkeit. Indes steht einer derselben, der auf unserer Karte mit Tricnecker B bezeichnet ist, nur  $\frac{3}{4}^\circ$  im Bogen der Mondkugel von der wahren Mitte nach NW., es ist dieser unter allen wahrnehmbaren Punkten am nächsten und zeichnet sich in jeder Beleuchtung auf dem granen Grunde des Sinus Medii hinreichend aus, an den Bedingungen einer scharfen Beobachtung zu entsprechen. In nicht zu langer Zeit hoffen wir den Astronomen eine Beobachtungsreihe dieses Punktes zum Behd einer neuen Bestimmung der physischen Libration und der Lage der Mondaxe mittheilen zu können, wobei zugleich die celestographische Länge und Breite desselben bekannt werden wird.

Indes ist der erwähnte Punkt nicht länger, als von der ersten bis zur letzten Quadratur sichtbar; obgleich nun der Mond hauptsächlich nur in dieser Periode im Meridian beobachtet wird, so kann es doch wünschenswerth seyn, auch noch durch andere Punkte, wenn auch nicht ganz mit gleichem Vortheile, den Ort des Mondes bestimmen zu können, wozu sich am besten Messier in der westlichen und Flamsteed in der



teiligen Halbkugel eignen. Ersterer ist durch die sich auf ihn als ihren Kern sich beziehenden kometenähnlichen Lichtstrahlen, letzterer durch seinen eigenthümlichen schönen Bergkranz, im Vollmonde ein Kranz von Lichtinseln, ausgezeichnet; für *Messier* ergeben 11 unserer Fixpunkt-Messungen  $\lambda'' = +47^{\circ} 9' 12''$  und  $\beta'' = -1^{\circ} 58' 55''$ ; für *Flamsteed* 10 derselben  $\lambda'' = -44^{\circ} 12' 8''$  und  $\beta'' = -4^{\circ} 30' 48''$ . Nur in den 7 Tagen, in deren Mitte der Neumond fällt, würde keiner dieser 3 Punkte beobachtet werden können; ein wenig in Betracht kommender Nachtheil.

Würden sodann durch eine Ephemeride die Mittelpunkts-Coordinationen dieser Punkte geocentrisch etwa von Mitternacht zu Mitternacht gegeben, so blieben für jeden Beobachtungsort keine andere als die schon jetzt in Anwendung gebrachten Reductionen zu berücksichtigen übrig, nur dafs man statt der Barometraparallaxe des Mondcentrums die des bezüglichen Flecks substituiren mufs, welche durch die schon im Vorigen angewandte Formel  $\pi(1 + \sin p \cos P)$  für alle Fälle hinreichend sicher ist.

Die bei *Niccollet* und *Bouvard's* Untersuchungen über die Länge und Breite des Manlius übriggebliebenen Fehler lassen sich jeder der beiden Coordinaten eine Unsicherheit von etwa  $14''$  im Bogen der Mondkugel übrig. Der geocentrische, von dieser Unsicherheit herrührende Fehler würde  $0^{\circ} 4$  nicht übersteigen können. In einem ähnlichen Verhältnisse wirken die Fehler in der Bestimmung der Neigung des Mondäquators und der physikalischen Libration. Der Fehler in der Knotenlänge des Mondäquators hingegen würde im Maximo seiner Wirkung mit  $0.258 \sin \alpha$  multipliziert erscheinen, und die geocentrische Breite  $\alpha = 0^{\circ} 43$  fehlerhaft machen, wenn die vorausgesetzte Lage des Quotienten um  $1^{\circ}$  irrig wäre.

Bei Sonnenfinsternissen und Sternbedeckungen kann man es nur mit dem Rande des Mondes zu thun, die Punkte desselben sind im ersten Falle unsichtbar, im zweiten die directe Beziehung auf das Phänomen. Wie sehr aber die Randberge des Mondes das Resultat dieser Beobachtungen beeinflussen, liegt am Tage. Nach *Schröters* Angaben erheben sich einige Randberge um reichlich eine deutsche Meile über den mittlern Mondrand und unsere Beobachtungen bestätigen dies. So fand sich in einem Versuche die senkrechte Höhe eines Punktes im Randgebirge Dörfel.

am 12<sup>ten</sup> Juli 1832 . . . 1.09 geogr. Meilen  
am 13<sup>ten</sup> „ . . . 0.95 „

unter der Voraussetzung, dafs der Berg im wahren Stande erschienen sei und nicht blofs hinter oder vor demselben hergetraget habe; in beiden letzteren Fällen müßte seine wahre Höhe beträchtlicher seyn. Der Mondrand hat demzufolge Unebenheiten, die bis zu  $4''$  im Bogen steigen, und

Unsicherheiten des Resultats von  $8'' \cos \alpha \times$  Zeit veranlassen können, wenn der Weg des Sterns den Mondrand unter dem Winkel  $\alpha$  getroffen hat. Auf die Bestimmung der Längendifferenzen mitteleuropäischer Orte hat dies vielleicht nur deshalb weniger nachtheilig eingewirkt, weil man für sie Bedeckungen in hinreichender Zahl auswählen konnte, um sowohl sehr excentrische als auch überhaupt solche, die ein auffallend abweichendes Resultat gaben, auszuschließen; wiewol auch so der Erfolg erst wenig gesichert erscheint. Dagegen zeigt sich bei den Versuchen, transoceanische Orte mit europäischen durch Sternbedeckungen zu verbinden, eine so große Disharmonie der Resultate, dafs es unmöglich fällt, sie den gewöhnlichen Beobachtungsfehlern, oder auch den Mängeln der Mondtheorie beizumessen, und die man den Ungleichheiten des Randes zuschreiben sich gedrungen fühlt, um so mehr als man hier gewöhnlich nicht die Wahl hat, ausschliesslich nahe centrale Bedeckungen anzuwenden, sondern zufrieden seyn mufs, wenn nur überhaupt eine Occultation an zweien so endigen Orten wahrgenommen werden konnte.

Soll aber der Einfluß der Randberge berücksichtigt werden, so mufs man Profile des Mondrandes für jede merklich verschiedene Libration besitzen und sodann in jedem einzelnen Falle den Einfluß der Schwankungen berechnen. Die physische ist jedenfalls so gering, dafs sie hier gar nicht in Betracht kommt, selbst die parallactische Verschiebung der Flecke wird fast immer übergangen werden können. Die Componente  $h$  der Libration in Länge und Breite, so wie der Winkel  $H$  derselben mit der Ebene des Mondäquators ist hinreichend genau gegeben durch

$$h \sin H = 1.289 \beta \\ h \cos H = \lambda - \lambda_0.$$

$H$  wird vom westlichsten Punkte des Mondäquators durch  $N, O, S$  herum gezählt und bezeichnet denjenigen Punkt des mittlern Randes, der durch die Libration mehr als jeder andere der Mitte genähert wird, so wie  $180 + H$  den entgegengesetzten und unserm Anblick am weitesten entrückten Punkt. Für einen gegebenen Ort des Randes, der um den Bogen  $G$  von ersterem entfernt ist, beträgt die Verschiebung  $h \cos G$ , und die beiden, für welche  $G$  die Werthe  $90^{\circ}$  und  $270^{\circ}$  annimmt, werden gar nicht verschoben, sondern bleiben in mittlerer Libration.

Man kennt also die Gröfse der auf die Mondmitte bezogenen Verschiebung für jeden gegebenen Randpunkt genau genug, um aus den verschiedenen Profilen das für den vorliegenden Fall in Betracht kommende auszuwählen. Eine andere Frage aber ist, ob man auch die Stelle desselben, wo der Eintritt erfolgt ist, mit hinreichender Sicherheit werde bestimmen können. Berg und Thal liegen an einigen Stellen des Mondrandes einander so nahe, dafs ein Fehler von  $2''$  im Bogen,

es sei im Orte des Sterna, in der Moondbreite, oder in 'jden Profilen selbst, uns gänzlich irre leiten würde, wodurch es zweifelhaft erscheinen kann, ob es jemals gelingen werde diese Schwierigkeiten mit Erfolg zu überwinden.

Indeß wird in vielen Fällen der Beobachter selbst angeben können, ob der Stern an einem Berge aus- oder eingetreten sei, und jedenfalls wird man durch Hälfte der Profile zu der Entscheidung gelangen, ob der betreffende Punkt in einer stark gebirgigen oder ebenen Gegend desselben zu suchen sei. Kann man also die anzubringende Correction des Moments weder mit Sicherheit ermitteln, noch sich vergewissern, daß sie nur von unbedeutendem Einflusse auf das Resultat sein werde, so schliesse man eine solche Beobachtung aus. Wenigstens wird man auf diese Weise ein besseres Kriterium der Auswahl erhalten, als beim bisherigen, wo allein die Abweichung vom Mittel darüber entschied.

Ob und in welcher Zeit es uns gelingen werde, die erwähnten Randprofile zu geben, ist nicht leicht zu bestimmen: die Hälfte einer Knotenperiode scheint mindestens erforderlich zu sein, wenn man Alles darstellen will, und Witterungsstörungen können manchen selten wiederkehrenden Moment vereiteln. Doch schon die bis jetzt gewonnenen selenographischen Data können sowohl den Beobachtern als Berechnern von Nutzen seyn. Wenn  $A \cos G$  nicht viel über  $\mp 1^\circ$  steigt, kann man unbedenklich das Profil der Mappa selenographica gebrauchen, überhaupt aber diejenigen Randgegenden, welche stark mit Gebirgen besetzt sind, als entscheidend für Ausschließung einer Beobachtung gelten lassen.

Diese Gegenden sind folgende:

1. Das Gebirg Leibnitz am Ostrande von  $65^\circ$  bis  $77^\circ$  SB.
2. Das Gebirg Dörfel am Westrande von  $77^\circ$  SB. an über den Pol hinaus bis zum  $87^\circ$  SB. an der Ostseite.  
Beide Gebirge zeichnen sich fast in allen Librationen als die grössten Randungleichheiten aus.
3. Das Gebirg d'Alembert am Ostrande von  $5^\circ$  bis  $9^\circ$  SB. Weniger ausgedehnt als 1 u. 2, aber fast von gleicher Höhe. Beim Aufhören totaler Mondfinsternisse erhalten seine Gipfel gewöhnlich den ersten Sonnenstrahl.
4. Das Gebirg Rook am Ostrande,  $15^\circ$  bis  $35^\circ$  SB. In mittlerer Libration ist es nicht sehr beträchtlich, es kann aber, wenn  $l$  in den südöstlichen Quadranten fällt, bedeutende Ungleichheiten veranlassen.
5. Die Grenzgebirge des Mare Humboldtianum, am Westrande, von  $51^\circ$  bis  $67^\circ$  NB. Sie sind besonders zwischen  $55^\circ$  und  $59^\circ$  NB. sehr auffällig, doch hängt hier viel von der Libration ab. Fällt  $l$  östlich oder südlich, so hat man meistens die Marefläche selbst im Rande, und dann zeigt dieser keine merkbare Ungleichheit: in andern Fällen können diese auf  $24''$  bis  $3''$  steigen.

Schließt man einstweilen alle in diese Gegenden fallenden Bedeckungen aus, so wird doch die größere Hälfte als brauchbar übrig bleiben.

Mehrmals ist es schon versucht worden, den verfehlten oder nicht scharf genug erhaltenen unmittelbaren Moment durch 3 kronometrischen von Rande aus zu ergänzen oder zu verbessern. Vielleicht wäre es in manchen Fällen gerathener, hier einen nicht zu entfernt liegenden und gut bestimmbar Punkt  $s$  der Moondscheibe selbst zu wählen. Ist seine selenographische Lage gut bekannt, so wird man durch wiederholte Messung den Moment, wo der Stern am Moondrande stand, schärfer erhalten als auf die gewöhnliche Weise. Namentlich möchte ich vorschlagen, bei Beobachtung der sogenannten Mondsterne den Rand des Mondes ganz auszuschließen und eben so wie über die wählenden Sterne, sich über einige Mondcrater vorher zu verständigen, deren Länge und Breite, da es sich hier fast nur um die Differenzen der Zeit handelt, auch nur näherungsweise bekannt zu seyn braucht.

Was noch in Bezug auf Sternbedeckungen gesagt werden findet auch größtentheils seine Anwendung auf Sonnenfinsternisse bei denen man gewöhnlich das Randprofil des Mondes in noch größerer Deutlichkeit als sonst wahrnimmt. Es leuchtet ein, daß die Randberge den wesentlichsten Einfluß nicht allein auf die Momente, sondern auch auf das physische Verhalten der Erscheinung haben müssen, zumal wenn man, wie *Bezel* bei der Finsternis vom 16<sup>ten</sup> Mai 1836 (A. N. N. 320) sich an der Grenze der Ringbildung befindet. Hier wird es fast immer möglich sein, nicht allein durch Berechnung die Stelle des Moondrandes, wo  $d$  zu beobachtenden Berührungen geschehen, nabe zu ermitteln, sondern es kann auch der Beobachter kurz nach dem Eintritt, oder vor dem Austritt leicht durch Autopsie entscheiden, ob eine merkbare Protuberanz des Moondrandes auf den Moment Einfluß gehabt habe, und diesen Einfluß näherungsweise schätzen. In besondere wird bei ringförmigen Finsternissen, die das von *Bezel* a. a. O. beobachtete Phänomen zeigen, die für mittlere Libration gezeichnete Mondkarte immer direct in Anwendung kommen können. Denn vermöge der Nähe des Mondes beim Knoten wird dann auch die Libration der Breite nur gering sein, und überdiß durch die parallaxische Libration, deren Breiten-Coordinate alsdann stets das entgegengesetzte Zeichen haben muß, so gut als kompensirt werden: die Schwankung in Länge ist aber ohne Einfluß auf die Pole der Moondkugel, und nur Gegenden, die diesen nahe liegen, können hierbei in Betracht kommen. Hat man daher 1. den Südpol das Profil der Berge, welche bei *Cassius*, *Cabe*, *Malapert*, *Schomberger* und *Boguslawsky* am Rande herum liegen, so wie für den Nordpol die minder beträchtlichen, die *Entemion*, *Gloja* und *Aaxagoras* sich finden, in der Zeichnung zur Hand, so wird man besser als bi-her auf die Erscheinung vorbereitet sein; und je kürzer die Zeit ist, in der das seltene Phänomen beobachtet werden kann, desto wünschenswerther muß sein die Form des dießel sichtbar werdenden Theiles des Moondrandes im Voraus zu kennen.

Ich schliesse diese Bemerkungen mit dem Wunsche, daß die gemachten Vorschläge von praktischen Astronomen erwogen, und wenn sie sich bewährt zeigen, angewandt werden möchten. Ich erwarte, wo wir aus der Feder eines *Hansen* eine neue vollkommene Mondtheorie zu erwarten haben, ist es Sache der Beobachter, auch von ihrer Seite Alles aufzubieten, um die herigen Fehlerquellen möglichst zu verstopfen, denn nur in Theorie und Praxis gleichmäßig fortschreiten, darf man in uns Tagen noch auf wahre Vervollkommenung und größere Sicherheit der Resultate hoffen.

Im Mai 1837.

Dr. J. H. Müller.

Schreiben des Herrn Professors u. Ritters *Encke*, Directors der Berliner Sternwarte, an den Herausgeber.  
Berlin 1837. Jun. 5.

In der sehr heitern Nacht vom 25<sup>ten</sup> April probirte ich ein neues achromatisches Ocular, welches der hiesige geschickte Mechanicus *Dure* mir zum Refractor gemacht hatte, auf den Saturn. Die dadurch erhaltene Vergrößerung ist der Mündner 600maligen, der stärksten für das Fadennikrometer, gleich. In Hinsicht auf die Schärfe der Bilder scheint es den Münchener Ocularen nicht nachzustehen, und wenn ich nicht ganz bestimmt dem einen oder dem andern den Vorzug eintäume, so geschieht es hauptsächlich aus der Rücksicht, daß bei solchen sehr starken Vergrößerungen momentane Aenderungen in dem Zustande der Luft leicht zu Täuschungen veranlassen können. Man schreibt der Vertauschung des Oculars etwas zu, was der günstige Moment bewirkt. Bei der Anwendung dieser Gattung von Ocularen war das Bild volkommen scharf, lebhaft und deutlich. Das *Duresche* hat indessen den nicht unbedeutlichen Vorzug, daß das Feld bei ihm beträchtlich größer ist als bei dem Münchener. Es faßt etwas mehr als 6 Minuten, während das Feld des Münchener Oculars nur 2',3 hält. In dem ganzen Felde behielt das Bild seine Vollkommenheit bei, selbst wenn der Saturn halb ausgetreten war, war keine Verwirrung zu bemerken. Der Gebrauch eines solchen Oculars ist jedenfalls angenehmer für das Auge und erlaubt weit größere Messungen mit dem Fadennikrometer zu messen.

Vorzüglich fiel mir hierbei auf was ich früher nie gesehen hatte. Der Ring des Saturns war zuerst durch die bekannte *Benennungsspalte* in einen äußeren und inneren getheilt. Außerdem sah ich vollkommen deutlich den äußeren schmaleren Ring durch einen Streifen in zwei gleiche Theile getheilt. Der Streifen zeigte sich so wie in schwächer vergrößernden Fernrohren die Haupttheilung gesehen wird. Er konnte noch von dem äußersten Enden der Ansen ab nach der Saturnskugel hin etwas verfolgt werden. An beiden Ansen war er gleich deutlich zu sehen. Auch die inneren Ansen des inneren Ringes, die bekanntlich immer verwachsen erscheinen, zeigten etwas was ich ebenfalls früher nicht so erkannt habe. Ein an dem inneren Rande breiterer und allmählig spitzer zugehender Schatten verlief sich an beiden Ansen auf der Fläche des Ringes, so daß es das Ansehen einer Abrundung bekam. Hierbei zeigte sich eine Anzahl von feinen Linien, welche mit der inneren Ründung etwa

parallel, den Schatten so weit er sich auf der Ringfläche erstreckte, durchschnitten. Dieses letztere fand vorzüglich an der westlichen Seite des Ringes im Fernrohr linker Hand statt. Ich erinnerte mich früher schon von ähnlichen Erscheinungen gelesen zu haben und bemerkte deshalb bloß mit kurzen Worten im Tagebuche, daß die doppelte Theilung des Ringes zum erstenmale von mir erkannt worden sey.

In den *Bode'schen* Jahrbüchern, die *Herachels* Beobachtungen mit großer Vollständigkeit erwähnen, fand sich indessen nichts direct darauf hindeutendes als die älteren Beobachtungen von *Short* von mehreren concentrischen Ringen, bei welchen die Haupttheilung nicht unterschritten wird. Dagegen wird der äußere Ring häufig als dunkler in Vergleich mit dem inneren beschrieben.

Am 2<sup>ten</sup>, 16<sup>ten</sup> und 19<sup>ten</sup> Mai konnte Saturn nur mit schwächeren Vergrößerungen betrachtet werden. Das Warten der Luft war so stark, daß selbst die Haupttheilung am letzten Tage nicht mit Sicherheit gemessen werden konnte.

Am 20<sup>ten</sup> Mai trat die Erscheinung der Theilung des äußeren Ringes wieder mit Klarheit hervor und war sogleich erkennbar. Vielleicht war in der Durchsichtigkeit der Luft gegen den 25<sup>ten</sup> April doch noch ein Unterschied der sich daran zeigte, daß die feinen Linien an den inneren Ansen des inneren Ringes nicht sichtbar waren. Herr Dr. *Mädler*, der an einem andern Instrumente auf der Sternwarte beschäftigt war und den ich, um gegen Täuschung mich zu sichern, den Saturn mit der nöthigen Muße betrachten ließ, erkannte die Erscheinung sogleich übereinstimmend in den einzelnen Angaben mit mir. Dagegen glaubte mein Gehülfe, Herr *Galle*, nicht mit völliger Bestimmtheit sie auffassen zu können, wenigstens würde er, ohne darauf aufmerksam gemacht zu werden, sie nicht erkannt haben.

Am 28<sup>ten</sup> Mai, wo wiederum eine ziemlich heitere Nacht stattfand, wenigstens nicht mit dem 25<sup>ten</sup> April und 20<sup>ten</sup> Mai zu vergleichen, versuchte ich eine Messung der Lage der Theilungsspalte auf dem Ring. Die inneren Ränder der Fäden wurden auf den äußeren Durchmesser des äußeren Ringes, seinen Innern, den äußeren und inneren des inneren Ringes, den Aequatorial- und Polardurchmesser des Saturns eingestellt,

nachher dieselben Messungen bei verwechselter Lage der Fäden gemacht. Bei der neuen Theilungsspalte war eine Berührung der Ränder der Fäden nicht wohl zu erhalten. Ich legte den ganzen Faden darauf, wenigleich eben deshalb die Lage weniger sicher angegeben werden konnte. Diese Messungen gaben in Revolutionen der Mikrometerschraube:

Äußerer Durchmesser des äußeren Ringes	2,813	2,804
Durchmesser der neuen Theilung...	2,624	2,580
Innerer Durchmesser des äußeren Ringes...	2,530	2,475
Äußerer Durchmesser des inneren Ringes...	2,406	2,420
Innerer Durchmesser des inneren Ringes....	1,846	1,870
Aequatorial-Durchmesser des Saturna....	1,212	1,221
Polar.....	1,106	1,106

Reducirt man sie mit dem Werthe  $1'' = 15''328$  auf die mittlere Entfernung des Saturna, deren Logarithmus = 0,97965 so erhält man die Werthe

40''445  
37,471  
36,038  
34,749  
26,756  
17,519  
15,927

Diese Werthe scheinen anzudeuten, daß die Trennungsspalte mehr dem innern Rande des äußeren Ringes sich nähert als dem äußeren, wenigleich die Vergleichung der Messungen lehrt, daß der innere Durchmesser des äußeren Ringes bei der ersten Bestimmung wahrscheinlich fehlerhaft gemessen ist, und die Messungen der Trennungsspalte ebenfalls unsicher sind. Die gefundenen Zahlen sind merklich größer als die *Bessel'schen* Bestimmungen; wie überhaupt es mir scheint, als fielen meine Messungen sämtlich größer als die *Bessel'schen* und selbst als die *Struve'schen* aus. Ob dieses wirklich der Fall ist und worin die Ursache liegt, wird erst bei der Vergleichung einer größeren Anzahl gleichartiger Messungen sich zeigen, die ich mit Absicht noch nicht angestellt habe, um desto unbefangener zu beobachten.

Am 30<sup>ten</sup> Mai, wo Herr *Alexander von Humboldt* die Güte hatte, die Sternwarte zu besuchen und Herr Professor *Argelander* ebenfalls auf seiner Durchreise nach Bonn den Saturn betrachtete, war die Erscheinung der nicht günstigen Luft wegen nur für die zu errathen, welche sie früher gesehen hatten.

Natur zeigte einen ziemlich breiten, an der obern Seite im Fernrohr gesehen dunkeln Streifen. Ein Fleck war nicht aufzufinden. Auf dem innern Ringe war die Fläche, mit der oben erwähnten Annahme vollkommen rein.

Diese Wahrnehmungen habe ich deshalb so aufgeführt, als sey vorher noch nichts verwandtes gesehen worden, damit

bei einem Gegenstande, den an den verschiedenen Abenden nur ich und an den zwei letzten Herr Dr. *Mädler* erkennen konnte, wenigstens die Unbefangenheit mit der er betrachtet ward, nicht in Zweifel gezogen würde, denn in der That kam erst nach dem hiesigen Beobachtungen am 2<sup>ten</sup> Juni Herr Professor *Argelander* meiner dunkeln Erinnerung zu Hilfe, indem er mir den Aufsatz von *Kater* *Memoirs of the astronomical Society* Vol. IV. p. 383 zeigte, der am 25<sup>ten</sup> Decbr. 1825 dasselbe gesehen.

*Kater's* Worte drücken oben die Ueberraschung aus, im Beweis, daß das Phänomen entweder nicht permanent, oder nur bei sehr günstiger Luft zu sehen ist. Er ließ drei Zeichnungen machen, so wie er und zwei Freunde an gesehen. Von diesen ist die Figur 3 fast völlig übereinstimmend mit der Zeichnung, welche Herr Dr. *Mädler* den Tag nachdem er es erkannt, aus dem Gedächtnisse entwarf, früher als er diese Zeichnung gesehen. Auch die Nebenerscheinung an den Schatt in den innern Ansen des innern Ringes hat *Kater* wenigstens ganz ähnlich gesehen, denn er schließt mit den Worten, das Ansehen der innern Kante des innern Ringes sey so, daß man nicht zweifeln könne sie sey abgerundet. Der Unterschied, daß die andern beiden Zeichnungen nicht einen Strich sondern die eine in der Mitte einen starken und neben ihm zwei andern, die andere fünf oder sechs gleiche zeigen, scheint mir nach den Worten des Beobachters wenigstens noch nicht ganz entscheidend, denn er sagt: „I fancied that I saw the outer ring separated by numerous dark divisions extremely close, not stronger than the rest dividing the ring about equally“, in welchen Worten zu liegen scheint, daß die Erscheinung nicht vollkommen deutlich und überzeugend war. Wenigstens verstehe ich so I fancied. Von den früheren Erwähnungen bei *Cassini*, der vielleicht nur die eine Theilung gesehen, und *Short*, dessen eigene Beschreibung nicht gefunden wird, scheint *Kater* wie es auch ganz angemessen ist, nicht vollkommen überzeugt, daß sie dasselbe bezeichnen. Die Notiz, daß Herr Professor *Quetelet* im Decbr. 1823 zu Paris dasselbe gesehen, scheint ebenfalls nur auf mündliche Mittheilung aus der Erinnerung zu beruhen. Es wäre zu wünschen, daß sie wo möglich veröffentlicht würde.

*Kater* sah dieselbe Erscheinung, aber nicht so deutlich, auch am 16<sup>ten</sup> und 17<sup>ten</sup> Jan. 1826, so daß die einzige Verschiedenheit nur in der Mehrzahl der Striche liegt, wobei *Kater* selbst den einen Strich stärker sah, einer seiner Freunde alle gleich, und ein anderer sehr kurzsichtiger nur den stärkeren.

Es kommt nun aber der Umstand hier in Betracht, daß wir jetzt die entgegengesetzte Fläche des Saturnrings sehen als im Jahre 1825, so daß wenn nur eine Linie nahe in der Mitte des äußeren Ringes gesehen wäre, fast unmittelbar an

eine Theilung geschlossen werden könnte. Dafs beidemal eine nur den andern ausgezeichnete da gewesen ist, macht die Vermuthung einer wirklichen Theilung wenigstens wahrscheinlich. Es ist selbst möglich, dafs wenn die Umstände jetzt nicht so viel ungünstiger wären als 1825, da Saturn damals eine starke nördliche Declination jetzt eine nicht unbedeutliche südliche hat, so dafs er hier in Berlin nur 25° hoch kommt, auch die vorhandenen andern Linien sich gezeigt haben würden.

Kater benachrichtigte damals sogleich *Herschel* davon, der aber im Anfange von 1826 nichts bemerken konnte, so wie ebenfalls *Struve* nicht im Laufe des Jahres. Meine Notiz hat den gleichen Zweck darauf aufmerksam zu machen, da sich jetzt vielleicht noch mehr Gelegenheiten findet die Permanenz oder Variabilität zu erweisen.

Kater sah die Erscheinung 1825 Decbr. 17 nur mit einem *Newtonschen* Spiegeltelescope von *Watson* bei 280mal. Vergrößerung. Am 16<sup>ten</sup> und 17<sup>ten</sup> Jan. mit einem ähnlichen von *Dollond* bei 160maliger Vergrößerung.

Hier ward sie erkannt bei einer Vergrößerung, welche in dem *Münchener Verzeichnisse* zu 600mal angegeben wird und sie ward nachher gesehen bis zu einer 320maligen herab. Indessen kann ich nicht umhin zu bemerken, dafs diese Zahlen gewis zu groß sind. Bei der Prüfung des *Dureschen* Oculars ging ich auch die sämtlichen *Münchener* Vergrößerungen zum *Fadenmessometer* durch und fand mit einem *Ramdenschen* *Drummet* übereinstimmend aus mehreren Messungen, dafs die *Münchener*

600malige eigentlich	nur 400mal
480 —————	— 384 —
320 —————	— 240 —
214 —————	— 192 —
140 —————	— 128 —
90 —————	— 87 —

vergrößert. Die letzten Zahlen können um einige Einheiten ungenau seyn, nicht aber um so viel, dafs im Ganzen nicht ein sehr beträchtlicher Unterschied bliebe. Aus der Gleichheit

der Dimensionen des Refractors und der Oculare hier und in Dorpat möchte ich schließen, dafs dieselbe Verringerung der Vergrößerungszahlen auch dort stattfinden müsse, wenn gleich *Struve* es nicht erwähnt. Kann indessen die Angabe der Vergrößerungen nothwendig werden, wie es bei einigen Doppelsternen der Fall seyn mag, so wäre es vielleicht gut einen so beträchtlichen Unterschied nicht fest zu halten, wenn er vorhanden ist.

Bei dieser Gelegenheit führe ich noch an, dafs  $\gamma$  *Virginis* jetzt wieder doppelt erscheint. Nach einem Briefe von *Herschel* vom 17<sup>ten</sup> Jan. 1837 erschien er ihm in einigen früheren schönen Nächten nicht länglicht, und nach dem Bericht von *Struve* war er im Januar in Dorpat länglicht gesehen. Am 15<sup>ten</sup> März dieses Jahres fand ich ihn hier ebenfalls nur länglicht. Der Positionskreis gab 280° 20' oder 100° 20' an. Auch am 2<sup>ten</sup> Mai erschien er nur länglicht, wenn gleich die starke Wällung in der Luft kein so ruhiges Bild gab, dafs man mit einiger Sicherheit hätte einstellen können. Am 29<sup>ten</sup> Mai sah ich ihn mit der 480mal. Vergrößerung von *Dure* zum erstenmale wieder doppelt, ohne doch unterscheiden zu können, welcher der Sterne der hellere sey. Der Positionswinkel fand sich nach drei Einstellungen 258° 30' oder 78° 30'. Nahe eben so stellte ihn Herr *Galle* ein. Am folgenden Tage stellte Herr *Professor Argelander* auf 77° 54' und Herr Dr. *Mädler* auf 78° 19' ein. Die Messung der Distanz ist bei ihrer Kleinheit unsicher, vielleicht würde eine Schätzung genauer gewesen seyn, da bei der sehr starken Annäherung der beiden Fäden das getrennte Bild beider Sterne nicht mehr mit Zuverlässigkeit sich unterscheiden liefs. Die Distanz ist wahrscheinlich zu groß. Drei Messungen am dem ersten Abende gaben mir 0°55, 0°67 und 0°81. Am folgenden Abende fand Herr Dr. *Mädler* aus einer Messung 0°58. Jedenfalls möchte der Zeitpunkt der sichtbaren Trennung der beiden Sterne nur wenige Tage vorher eingetreten seyn.

*Encke.*

### Observed Occultations of Stars at St. Croix West Indies.

1832 March 6 at 6<sup>h</sup> 45<sup>m</sup> 44<sup>s</sup> Occultation by the Moon of a small star of about the 7<sup>th</sup> magnitude, which I consider to be Nr. 284 of the Catalogue of the Astronomical Society of London.

1833 Nov. 17 Occultation by the Moon of  $\gamma$  Capricorni.

Immersion at 8<sup>h</sup> 2<sup>m</sup> 19<sup>s</sup> 3 mean time. Immersion well observed.  
Emersion. 8 18 47,3 — — Emersion considered tolerably correct.

1834 Aug. 7 Occultation by the Moon of  $\gamma$  Virginis at 8<sup>h</sup> 8<sup>m</sup> 6,25 mean time. A good observation.

Sept. 6 Occultation by the Moon of  $\eta$  Virginis at 6 48 13,70 — — An excellent observation.

## Transit over the Meridian of Stars, observed with the Moon.

				Sidereal Time.	
				4 <sup>h</sup> 20'	40' 20"
Moon 1 <sup>st</sup> Limb	1832	March 8		4 26	16,92
α Tauri					
Moon 2 <sup>d</sup> Limb		— 24		18 20	36,90
α Aquilæ				19 42	34,68
Regulus		Nov. 15		9 59	26,71
Moon 2 <sup>d</sup> Limb				10 1	29,50
Moon 2 <sup>d</sup> Limb	1833	Aug. 9		3 34	44,70
α Tauri				4 26	21,29
Moon 2 <sup>d</sup> Limb		— 10		4 29	46,10
β Orionis				5 6	31,08

				Sidereal Time.	
				1 <sup>h</sup> 34'	21' 25"
Moon 2 <sup>d</sup> Limb	1834	Jun. 30		1 57	49,85
α Arietis					
Moon 2 <sup>d</sup> Limb		July 1		2 19	59,75
α Ceti				2 53	36,33
α Tauri				4 26	23,57
α Leonis		Oct. 27		9 59	32,59
Moons 2 <sup>d</sup> Limb				10 2	49,20
α Leonis		— 28		9 59	32,62
Moons 2 <sup>d</sup> Limb				10 59	58,80
Moons 2 <sup>d</sup> Limb		Nov. 23		9 42	87,24
α Leonis				9 59	33,44

Andr. Lang.

## Rate of Going of Capt. Harders Chronometer (Urban Jürgensen).

Slow for Greenwich mean Time at 7 o'Clock of each day.				Daily Rate	
				m	s
1837	April	11	0 9,1	8 <sup>h</sup> 8'	an 1 day
—	—	12	0 17,9	8,7	1 —
—	—	13	0 26,6	8,7	1 —
—	—	14	0 33,1	6,5	1 —
—	—	16	0 51,0	17,9	2 —
—	—	18	1 8,0	17,1	2 —
—	—	19	1 17,3	9,2	1 —
—	—	21	1 33,6	16,3	2 —
—	—	22	1 42,9	9,3	1 —
—	—	23	1 51,9	9,0	1 —
—	—	24	2 0,3	8,4	1 —
—	—	27	2 26,3	26,0	3 —
—	—	28	2 35,2	8,9	1 —
—	—	30	2 51,7	16,5	2 —
—	—	30	2 51,7	8,4	1 —
—	—	1	3 0,1	8,4	1 —
—	—	3	3 16,9	16,8	2 —
—	—	5	3 33,3	16,4	2 —
—	—	7	3 49,6	16,3	2 —
—	—	8	3 57,6	8,0	1 —
—	—	10	4 13,6	16,0	2 —
—	—	12	4 30,3	16,7	2 —
—	—	13	4 39,3	9,0	1 —
—	—	18	5 24,3	45,0	5 —
—	—	19	5 33,5	9,2	1 —
—	—	20	5 41,5	9,2	1 —
—	—	23	6 7,9	8,0	1 —
—	—	25	6 24,0	26,4	3 —
—	—	26	6 31,8	16,1	2 —
—	—	29	6 57,2	7,8	1 —
—	—	31	7 14,6	25,4	3 —
—	—	4	7 48,2	17,4	2 —
—	—	7	8 13,1	33,6	4 —
—	—	7	8 13,1	24,9	3 —

Slow for Greenwich mean Time at 7 o'Clock of each day.				Daily Rate	
				m	s
June	12	8 55,5	42,4	5 —	8,5
—	14	9 13,5	18,0	2 —	9,0
—	15	9 22,2	8,7	1 —	8,7
—	17	9 40,1	17,9	2 —	8,9
—	18	9 48,7	8,6	1 —	8,6

St. Croix. Sunday morning June 18. 1837 at 7 o'Clock at my observatory Latid. 17° 44' 32" North Longitude assume 4<sup>h</sup> 18<sup>m</sup> 44<sup>s</sup> West from Greenwich in Time. The above chronometer was 9' 48" 7 slow for Greenwich mean time, and retarding or going too slow daily, 8<sup>h</sup> 5 as the mean rate, since April 11, and it will be most satisfactory to M. Jürgensen to observe by the above observations, the regularity with which this Chronometer has gone.

Andr. Lang.

Le Chronomètre que Mr. Andr. Lang a observé, est en cuté par mon frère Jules en 1833, son nom est gravé intérieurement sur la cavette, mais le cadran étant encore du temps de mon père, porte le nom: Urban Jürgensen. Le nombre des vibrations du balancier est de 18,000 par heure.

Le Capitaine de vaisseau, Mr. C. Hardes s'est servi de ce Chronomètre pour la détermination des longitudes durant son voyage de Copenhague à St. Croix et de retour, et c'est pendant le séjour du Capitaine à St. Croix, que Mr. Lang a fait les observations ci-dessus.

L. U. Jürgensen.

## Auszug aus einem Schreiben des Herrn T. Henderson an den Herausgeber.

Edinburgh 1837. Novbr. 3.

From the observations of the Moon's Declination, which I made with the Mural Circle at the Cape of Good Hope in 1832 and 1833, compared with the corresponding observations made at Greenwich and Cambridge, I have deduced a value of the constant quantity of the Moon's equatorial horizontal parallax.

The following are the apparent Declinations of the Moon's limb, for the instants of the Centre passing the meridians of the respective places, deduced from the observations. These form the ground-work of the investigation.

Date.	Place.	Limb.	Declination.
1832 Mai 18	Cape	N.	— 20° 19' 53" 2
	Greenwich	—	— 21 22 30,6
19	Cape	—	— 19 22 15,5
	Greenwich	—	— 20 22 40,4
June 10	Cape	—	— 13 6 44,1
	Greenwich	—	— 14 26 47,8
July 8	Cape	—	— 15 18 16,6
	Greenwich	—	— 16 35 25,0
20	Cape	—	+ 8 3 13,6
	Greenwich	—	+ 6 59 5,0
Aug. 10	Cape	S.	— 18 11 33,9
	Greenwich	—	— 19 10 0,5
11	Cape	—	— 15 27 36,1
	Greenwich	—	— 16 25 21,9
Sept. 3	Cape	N.	— 20 9 5,1
	Greenwich	—	— 21 16 32,1
Oct. 12	Cape	—	+ 17 2 55,8
	Greenwich	—	+ 15 54 50,7
Nov. 2	Cape	S.	— 12 56 20,5
	Greenwich	—	— 13 54 3,9
6	Cape	—	+ 5 43 33,3
	Greenwich	—	+ 4 40 30,9
16	Cape	—	+ 7 16 17,3
	Greenwich	—	+ 5 41 4,2
Dec. 15	Cape	—	— 1 21 41,0
	Greenwich	—	— 2 54 28,7
1833 Jan. 6	Cape	—	+ 21 42 37,2
	Cambridge	—	+ 20 15 14,4
	Greenwich	—	+ 20 15 58,8
28	Cape	—	+ 8 32 9,6
	Cambridge	—	+ 7 28 37,9
30	Cape	—	+ 16 58 43,1
	Cambridge	—	+ 15 50 40,5
	Greenwich	—	+ 15 50 40,5
Febr. 2	Cape	N.	+ 22 50 25,9
	Greenwich	—	+ 21 27 34,0
3	Cape	—	+ 21 26 36,8
	Greenwich	—	+ 19 57 24,3
28	Cape	S.	+ 21 27 7,2
	Cambridge	—	+ 20 13 0,2
March 4	Cape	N.	+ 16 35 6,3
	Cambridge	—	+ 14 58 12,3
	Greenwich	—	+ 14 58 46,2

Date.	Place.	Limb.	Declination.
1833 March 5	Cape	N.	+ 11° 46' 35" 6
	Cambridge	—	+ 10 6 25,3
	Greenwich	—	+ 10 7 1,7
6	Cape	—	+ 6 16 6,9
	Greenwich	—	+ 4 35 53,1
28	Cape	—	+ 23 2 25,2
	Cambridge	—	+ 21 46 9,7
31	Cape	—	+ 18 31 20,2
	Cambridge	—	+ 16 58 10,2
April 1	Cape	—	+ 14 16 42,6
	Cambridge	—	+ 12 39 13,5
3	Cape	—	+ 3 27 42,6
	Cambridge	—	+ 1 47 55,1
	Greenwich	—	+ 1 48 18,8
5	Cape	S.	— 8 18 47,2
	Cambridge	—	— 9 51 28,2
	Greenwich	—	— 9 51 12,2
26	Cape	N.	+ 22 24 9,3
	Cambridge	—	+ 20 59 8,9
28	Cape	—	+ 16 7 6,3
	Cambridge	—	+ 14 32 25,3
	Greenwich	—	+ 14 32 57,6
29	Cape	—	+ 11 22 1,8
	Cambridge	—	+ 9 44 23,1
	Greenwich	—	+ 9 44 49,6
30	Cape	—	+ 5 58 39,1
	Cambridge	—	+ 4 19 56,3
	Greenwich	—	+ 4 20 22,6
Mai 3	Cape	—	+ 10 28 37,3
	Cambridge	—	+ 11 58 26,4
4	Cape	—	+ 14 56 41,9
	Cambridge	—	+ 16 20 37,8
11	Cape	—	+ 15 21 54,8
	Cambridge	—	+ 16 18 55,1

To the observed Declination of the North limb at Greenwich on March 6, a correction of 0<sup>o</sup>2 has been applied for defect of illuminated disc.

The Declinations at the Cape and Greenwich on March 5 and April 3 and those at the Cape and Cambridge on March 4, April 1, 3, 28, 29, 30, May 3 and 4 have been obtained from comparisons with the same stars at both Observatories, and their differences are therefore not affected by errors in the assumed Declinations of the Stars. The other Declinations have been obtained from comparisons with such of the principal Stars as were observed. As the relative Declinations of these Stars are known with great accuracy, and as the observations at the three Observatories have been reduced on the same system, by the application of the same refractions and corrections, and the same Catalogue of Declinations of the fundamental Stars, it is believed that the differences of the Moon's

Declination on the other days are exhibited as accurately as if the same stars had been employed.

Denoting the Earth's compression by  $\frac{1}{310} + \delta c$  and the Long. of the Observatory at the Cape by  $1^h 13' 55'' + t$  seconds East of Greenwich and comparing the observed with the computed parallaxes, I find the constant to be

$$57' 1'' 16 + 5062'' \delta c = 0.05 t$$

from comparison with *Burchardts* Tables and

$$57' 2'' 46 + 5062'' \delta c = 0.05 t$$

from comparisons with *Damoiseau's* Tables.

The mean  $57' 1'' 8$  is greater by  $1'' 3$  than the constant in *Burchardts* Tables, and by  $0'' 9$  than the constant in *Damoiseau's*.

The details of the investigation are contained in a Memoir transmitted to the Royal Astronomical Society.

T. Henderson.

# Ueber die Reduction der Mondsdistanzen. Von Herrn Professor Dr. Grunert zu Greifswald.

Wenn  $H, h$  und  $H', h'$  die wahren und scheinbaren Höhen,  $\delta$  und  $\delta'$  die wahre und scheinbare Distanz bezeichnen, so hat man bekanntlich die Gleichung

$$1. \frac{\cos \delta - \sin H \sin h}{\cos H \cos h} = \frac{\cos \delta' - \sin H' \sin h'}{\cos H' \cos h'}$$

und

$$\begin{aligned} 4. & 4 (\sin H \sin h \cos H' \cos h' - \sin H' \sin h' \cos H \cos h) \\ &= [\sin (h+h') + \sin (h-h')] [\sin (H+H') + \sin (H-H')] \\ & \quad - [\sin (h+h') - \sin (h-h')] [\sin (H+H') - \sin (H-H')] \\ &= 2 \sin (h-h') \sin (H+H') + 2 \sin (h+h') \sin (H-H') \\ &= \cos (H+H'-h+h') - \cos (H+H'+h-h') + \cos (H-H'-h-h') - \cos (H-H'+h+h') \end{aligned}$$

ist, so ist nach der Gleichung 2

$$\begin{aligned} 5. & 4 \cos \delta \cos H' \cos h' = \cos (\delta' + H + h) - \cos (H + H' + h - h') \\ & \quad + \cos (\delta' - H - h) - \cos (H - H' + h - h') \\ & \quad + \cos (\delta' + H - h) + \cos (H - H' - h - h') \\ & \quad + \cos (\delta' - H + h) + \cos (H + H' - h + h') \\ &= 2 \sin [H + h + \frac{1}{2} (H' - h' + \delta')] \sin \frac{1}{2} (H' - h' - \delta') \\ & \quad - 2 \sin [H + h - \frac{1}{2} (H' - h' + \delta')] \sin \frac{1}{2} (H' - h' - \delta') \\ & \quad + 2 \cos [H - h - \frac{1}{2} (H' + h' - \delta')] \cos \frac{1}{2} (H' + h' + \delta') \\ & \quad + 2 \cos [H - h + \frac{1}{2} (H' + h' - \delta')] \cos \frac{1}{2} (H' + h' + \delta') \\ &= 4 \cos (H+h) \sin \frac{1}{2} (H' - h' + \delta') \sin \frac{1}{2} (H' - h' - \delta') + 4 \cos (H-h) \cos \frac{1}{2} (H' + h' - \delta') \cos \frac{1}{2} (H' + h' + \delta') \end{aligned}$$

und folglich

$$6. \cos \delta = \frac{\cos (H+h) \sin \frac{1}{2} (H' - h' + \delta') \sin \frac{1}{2} (H' - h' - \delta') + \cos (H-h) \cos \frac{1}{2} (H' + h' - \delta') \cos \frac{1}{2} (H' + h' + \delta')}{\cos H' \cos h'}$$

oder, wenn wir

$$7. \begin{cases} A = \frac{\cos (H+h) \sin \frac{1}{2} (H' - h' + \delta') \sin \frac{1}{2} (H' - h' - \delta')}{\cos H' \cos h'} \\ B = \frac{\cos (H-h) \cos \frac{1}{2} (H' + h' - \delta') \cos \frac{1}{2} (H' + h' + \delta')}{\cos H' \cos h'} \end{cases}$$

setzen.

$$8. \cos \delta = A + B.$$

Hat man *Matthiessens* treffliche Tafeln, die immer allgemeiner bekannt und gebraucht zu werden verdienen, zur Hand,

oder

$$2. \cos \delta \cos H' \cos h' = \cos \delta' \cos H \cos h \\ = \sin H \sin h \cos H' \cos h' - \sin H' \sin h' \cos H \cos h$$

Weil nun, wie man leicht findet,

so gestattet diese Formel, obgleich sie aus zwei Theilen besteht, doch eine sehr leichte Rechnung. Uebrigens kann man dieselbe durch Einführung von Höfswinkeln auf verschiedene Arten zur gewöhnlichen logarithmischen Rechnung bequem richten. Setzt man z. B.

$$9. \tan x = A, \tan y = B;$$

so wird

$$10. \cos \delta = \frac{\sin (x+y)}{\cos x \cos y}.$$



Borda's bekannte Methode erfordert bloß die Berechnung eines Hüllwinkels, und ist also in so fern bequemer wie die vorhergehende. Weil aber bei dieser Methode der Hüllswinkel durch seinen Sinus bestimmt wird, so wird dieselbe nicht in allen Fällen die nöthige Schärfe gewähren.

Man könnte auch

$$11. \begin{cases} \sin \varphi = \cos(H+h) \sin \frac{1}{2}(H'-h'+\delta) \sin \frac{1}{2}(H'-h'-\delta) \\ \sin \psi = \cos(H-h) \cos \frac{1}{2}(H'+h'-\delta) \cos \frac{1}{2}(H'+h'+\delta) \end{cases}$$

setzen, und erhalte dann

$$12. \cos \delta = \frac{2 \sin \frac{1}{2}(\varphi + \psi) \cos \frac{1}{2}(\varphi - \psi)}{\cos H' \cos h'}$$

Setzte man

$$13. \begin{cases} \cos \xi = \cos(H+h) \sin \frac{1}{2}(H'-h'+\delta) \sin \frac{1}{2}(H'-h'-\delta) \\ \cos \eta = \cos(H-h) \cos \frac{1}{2}(H'+h'-\delta) \cos \frac{1}{2}(H'+h'+\delta) \end{cases}$$

so würde

$$14. \cos \delta = \frac{2 \cos \frac{1}{2}(\xi + \eta) \cos \frac{1}{2}(\xi - \eta)}{\cos H' \cos h'}$$

Von den beiden letzten Methoden müßte man jederzeit die in Anwendung bringen, welche in dem betreffenden Falle das Resultat mit der erforderlichen Schärfe und Genauigkeit liefert. Daß sich übrigens leicht noch manche andere Methoden finden lassen würden, ist klar.

Dr. Grunert.

## Zweite Fortsetzung der Untersuchungen über die Grösse des Erdschattens.

(Vgl. 256 u. 286 der Astr. Nachr.)

Die Finsternis vom 13<sup>ten</sup> October 1837 versprach eine günstige Gelegenheit, um die 1833 begonnene Beobachtung über den Erdschatten mit einer neuen Reihe zu vermehren; indess war der Himmel weniger günstig; schon zu Anfang zeigten sich leichte Wolken und eine halbe Stunde vor dem Ende der Finsternis wurden sie so dicht, daß die Beobachtung aufgegeben werden mußte. Die Schärfe der Begrenzung des Schattens war veränderlich; im Allgemeinen bei den Eintrittten grösser, als bei den Austritten. Ich setze nur diejenigen Beobachtungen her, welche beide Momente ergeben haben.

	Mittlere Berliner Zeit.		Vergrößerung.
	Eintritt.	Austritt.	Zeit.
Reiner	10 <sup>h</sup> 26' 55"	13 <sup>h</sup> 2' 32"	106.8
Aristarch	10 29 9	13 6 53	89.2
Crisp	10 32 25	12 58 41	44.3
Kepler	10 33 5	12 8 16	86.2
Heraclides	10 34 40	13 14 6	45.0
Euler	10 35 36	13 13 0	69.5
Laplace	10 37 42	13 17 30	105.1
Pytheas	10 39 55	13 16 55	63.5
Copernicus	10 40 4	13 16 2	85.1
Timocharias	10 41 15	13 20 40	116.4
Plato	10 43 38	13 23 32	109.0

	Mittlere Berliner Zeit.		Vergrößerung.
	Eintritt.	Austritt.	Zeit.
Pico	10 <sup>h</sup> 43' 16"	13 <sup>h</sup> 23' 40"	120.8
Campanus	10 46 7	13 14 10	64.2
Manilius	10 52 56	13 30 34	87.9
Menelaus	10 55 45	13 34 22	109.0
Dionysius	10 59 0	13 34 27	80.6
Halbschatten bei Grimald schon merklich		10 <sup>h</sup> 5'	
bei Kepler		10 11	
Anfang der Finsternis		10 23 15	
Total		11 24 33	
Ende der totalen		12 55 58	

Die letzte Columnne ist durch Vergleichung der aus den Beobachtungen resultirenden halben Dauernzeiten mit den in Nr. 337 der A. N. berechneten entstanden, und der Correctionsfactor  $\sqrt{1 - \frac{B^2}{A^2}}$  um die angegebenen Werthe auf die Richtung des Halbmessers zu reduciren bereits angebracht. Es ergiebt sich im Mittel

$$\text{Vergrößerung der halben Dauer} = 86.5 \text{ in Zeit} \\ = \frac{1}{51.0} \text{ des Schattenhalbmessers;}$$

welche Angabe sich auf den Aequatorealhalbmesser bezieht und für die Parallaxe 59' 31" gültig ist.

Dr. J. H. Mädler.

Schreiben des Herrn Kreil, Adjuncten bei der Mailänder Sternwarte, an den Herausgeber.

Mailand 1837. Sept. 2.

Ich nehme mir die Freiheit Ihnen beiliegend die Resultate der Beobachtungen mitzutheilen, welche wir in der Nacht vom 10<sup>ten</sup> auf den 11<sup>ten</sup> August über die Sternschnuppen ausstellten. Schon in der vorhergehenden Nacht zeigten sich viele derselben, sie wurden aber nicht regelmäßig aufgezeichnet; auch die folgende versprach eine reiche Ausbeute; allein nach einer halb-

stündigen Beobachtung trübte sich der Himmel, was auch in den nächsten Abenden der Fall war. Es waren stets zwei Beobachter gleichzeitig auf dem Posten; in der ersten Stunde drei. Die erste Tafel giebt die Anzahl der Phänomene in jeder Stunde und ihre Lichtstärke. Die zweite die Sternbilder, in denen sie zuerst gesehen wurden, die dritte ihre Richtung.

## Erste Tafel.

Wahre Sonnenzeit zu Mailand.		Anz. der Sternschn.	Lichtstärke		
Von	bis		schwach.	mittel.	stark.
9 <sup>h</sup> 18'	10 <sup>h</sup> 20'	33	6	15	12
10 21	11 28	22	3	17	2
11 30	12 31	28	6	21	1
12 34	13 30	23	9	2	12
13 35	14 35	31	13	0	18
14 36	15 47	31	19	5	7
Summe		168	56	60	52

## Zweite Tafel.

Anzahl.	Sternbilder.	Anzahl.	Sternbilder.
1	Delfin.	4	Plejaden.
1	Eidechse.	5	Wassermann.
1	Großer Hund.	6	Adler.
1	Widder.	7	Andromeda.
2	Steinbock.	8	Perseus.
2	Schülze.	10	Leyer.
2	Große Bär.	10	Drache.
2	Cepheus.	10	Nördliche Krone.
2	Wallfisch.	10	Fuhrmann.
3	Bootes.	13	Pegasus.
3	Südlicher Fisch.	14	Schwan.
3	Stier.	17	Kleiner Bär.
3	Fische.	20	Cassiopeja.
3	Orion.		

Bei fünf Sternschnuppen ist das Sternbild nicht angegeben.

## Dritte Tafel.

Anzahl.	Richtung.	Anzahl.	Richtung.
1	Von NO nach O.	2	Von N nach NW
1	SO — N	2	N — O
1	NW — O	3	SO — O
1	NW — N	3	NO — Ze.
1	Zenith — N	3	NO — N
1	S — W	3	Zenith — W
1	SO — S.	3	Zenith — SW
1	O — N	3	O — SO
1	SW — NW	4	NO — O
1	SW — W	4	NO — N
1	NW — SO	5	O — S
1	NW — S	5	W — O
1	W — S	5	S — SO
1	NW — W	9	NO — SW
1	O — SW	9	O — NO
2	N — SW	10	S — N
2	W — SW	14	N — W
2	NO — SO	17	O — W
2	W — NW	20	N — S
2	NO — S		

Bei 17 Sternschnuppen ist die Richtung nicht angegeben.

Kreil.

## Vermischte Nachrichten.

Von Herrn Rector *Dörfer* in Heide erschien im Jahre 1835

*Leçons de Goniométrie, y compris la Trigonométrie rectiligne et sphérique.*

In denen er mit Klarheit und Schärfe sowohl die vorzüglichsten goniometrischen Formeln, als auch die Reihen für die goniometrischen Functionen und die Lehrsätze beider Trigonometrien entwickelt. Da das Buch hauptsächlich zum Gebrauche in Schulen bestimmt ist, so hat er mit dem mathematischen Unterricht noch Sprachübungen verbinden wollen und deswegen es nicht in einer, sondern in mehreren Sprachen geschrieben. Es fängt griechisch an, und nachher wechseln Französisch, Englisch und La-

tein. Ich erinnere mich (ich glaube in *Kästners* Schriften) gelesen zu haben, daß in derselben Hinsicht bei dem Unterrichte in der Elementargeometrie in Schulen als Grundlage der griechischen Text von Euclids zur Geometrie gehörigen Büchern empfohlen ward. Vielleicht hat es, außer der Sprachübung, noch den Vortheil, daß die Mühe, welche die Schüler sich geben müssen, das Gesagte zu verstehen, auch dazu diene ihnen den Sinn des Gesagten besser einzuprägen.

Es ist dem bescheidenen und kenntnißreichen Verfaßter zu wünschen, daß sein Buch auch bei den Lesern, für die es bestimmt hat, eine freundliche Aufnahme finde.

## I n h a l t.

(zu Nr. 337.) Ueber den astronomischen Gebrauch der Mondkarte. Von Herrn Dr. *Mädler*. p. 1.

(zu Nr. 338.) Schreiben des Herrn Professors u. Ritters *Bucks*, Directors der Sternwarte in Berlin, an den Herausgeber. p. 17.

*Andr. Lang* Observed Occultations of Stars at St. Croix West Indies. p. 21

Rate of Going of Capt. *Harders* Chronometer (*Urban Jürgensen*). p. 23.

Auszug aus einem Schreiben des Herrn *T. Henderson* an den Herausgeber. p. 25.

Ueber die Reduction der Mondistanzen. Von Herrn Professor Dr. *Grunert* zu Greifswald. p. 27.

Zweite Fortsetzung der Untersuchungen über die Größe des Erdschattens. Von Herrn Dr. *Mädler*. p. 29.

Schreiben des Herrn *Kreil*, Adjuncten der Mailänder Sternwarte, an den Herausgeber. p. 29.

Vermischte Nachrichten. p. 31.

### Ueber die Verfinsterungen auf der Erde überhaupt.

Von Herrn Professor Hansen,  
Director der Sternwarte in Seeberg.

Die Abhandlung des Herrn Geheimenraths *Bessel* in Nr. 821 der Astron. Nachr. veranlaßte mich einige Rechnungen wieder anzustellen, welche ich gleich nach der Erscheinung der Nr. 151 der Astr. Nachr., worin *Bessels* frühere Abhandlung über diesen Gegenstand enthalten ist, vorgenommen hatte, theils um auf den Grund dieser schönen Analyse zu kommen, und theils um zu untersuchen, wie sich die Verfinsterungen auf der Erde überhaupt gestalten. Da ich glaube, daß einige der Resultate, die ich aus meinen Rechnungen gezogen habe, einige Beachtung verdienen, so habe ich diese hier zusammengefaßt. Um Citate zu vermeiden habe ich die Formeln, welche in Grundlage aller Untersuchungen über die Verfinsterungen auf, von Anfang an abgeleitet, und mich dabei bemüht diese Ableitung so allgemein wie möglich zu machen. Ich habe auch in Formeln für die Vorausberechnung der Hauptmomente einer Verfinsterung und die Formeln für die Längenbestimmung hier aufgenommen, je nach Umständen ein wenig von den *Besselschen* ab, diese sind mit den *Besselschen*, bis auf eine Bemerkung über das Zeichen von  $\cos \psi$ , (bei *Bessel* ist  $\psi$ ) übereinstimmend.

Ich werde mich im Folgenden immer der Benennung „*Sonne*“ und „*Mond*“ bedienen, obgleich die Formeln mit einem Rechte bei Sternbedeckungen, Vorübergängen der Planeten vor der Sonnenscheibe, und Vorübergängen der Jupiteratelliten vor der Jupiterscheibe angewandt werden können.

#### 1.

Betrachten wir das Dreieck zwischen dem Mittelpunkt der Sonne, dem Mittelpunkte des Mondes und irgend einem beliebigen Punkte *E* der Oberfläche der Erde. Sey die Entfernung des Punktes *E* von dem Mittelpunkte des Mondes  $r$ , die Entfernung des Punktes *E* vom Mittelpunkte der Sonne  $r'$ , die Entfernung des Mittelpunktes der Sonne von dem Mittelpunkte des Mondes  $R$  und der Winkel am Punkte *E* zwischen dem Mittelpunkte der Sonne und dem Mittelpunkte des Mondes  $P$ , so ist

$$R^2 = r^2 + r'^2 - 2r r' \cos P$$

Seyen die rechtwinkligen Coordinaten des Mittelpunktes des Mondes, deren Anfang im Punkte *E* liegen soll,  $x, y, z$ , die Coordinaten des Mittelpunktes der Sonne, auf denselben Anfangspunkt bezogen, und jenen beziehungsweise parallel  $x', y', z'$ , dann ist, wobei die Richtung dieser Coordinaten übrigens ganz willkürlich gelassen wird.

$$R^2 = (x - x')^2 + (y - y')^2 + (z - z')^2$$

$$r^2 = x^2 + y^2 + z^2$$

$$r'^2 = x'^2 + y'^2 + z'^2$$

substituiert man diese Werthe in die vorhergehende Gleichung, dann wird

$$r r' \cos P = x x' + y y' + z z' \dots \dots \dots (1)$$

Betrachtet man nun den Mond und die Sonne als Kugeln, deren Halbmesser von dem Punkte *E* aus unter den Winkeln  $\Delta$  und  $\Delta'$  gesehen werden, so ist für die vier Hauptmomente einer Verfinsterung

$$P = \Delta \pm \Delta'$$

nämlich für den Anfang und das Ende der ganzen Verfinsterung  $P = \Delta + \Delta'$  und für den Anfang und das Ende der totalen oder der ringförmigen Verfinsterung  $P = \Delta - \Delta'$ . Nennt man die wahren Halbmesser des Mondes und der Sonne  $l$  und  $l'$ , dann ist

$$l = r \sin \Delta$$

$$l' = r' \sin \Delta'$$

und hieraus

$$r \cos \Delta = \sqrt{r^2 - l^2}$$

$$r' \cos \Delta' = \sqrt{r'^2 - l'^2}$$

Hiermit haben wir

$$r r' \cos P = \sqrt{(r^2 - l^2)(r'^2 - l'^2)} \pm l l'$$

Wenn man diesen Werth von  $r r' \cos P$  in die Gleichung (1) setzt, so ergibt sich, nachdem diese ins Quadrat erhoben worden ist, um die Wurzelgrößen fortzuschaffen, und nachdem für  $r^2$  und  $r'^2$  ihre obigen Werthe substituiert worden sind,

$$(x^2 + y^2 + z^2 - l^2)(x'^2 + y'^2 + z'^2 - l'^2) = R^4 \pm 2 l l' (x x' + y y' + z z') \pm 4 l^2 l'^2$$

oder

$$(x^2 + y^2 + z^2)(x'^2 + y'^2 + z'^2) - (xx' + yy' + zz')^2 \\ = P^2(x'^2 + y'^2 + z'^2) + R^2(x^2 + y^2 + z^2) \pm 2IL(xx' + yy' + zz') \\ \text{welche auf bekannte Art in folgender verwandelt werden kann,} \\ (2) \dots\dots (x, y, z)^2 + (x', y', z')^2 + (y, z, x')^2 + (y', z, x)^2 \\ = (Lx' \pm Lx)^2 + (Ly' \pm Ly)^2 + (Lz' \pm Lz)^2$$

Diese Gleichung ist in Verbindung mit den allgemeinsten Formeln für die Coordinaten die Grundlage aller Untersuchungen, welche über die Verfinsterungen geführt werden können. Sie stimmt mit der *Besselschen* Gleichung (2) *Astr. Nachr.* Nr. 151 überein, sie ist aber in so fern unter einem allgemeineren Gesichtspunkt aufgefasset, weil hier die Lage der Coordinaten, welche *Bessel* am angeführten Orte mit  $a, b, c, a', b', c'$ , bezeichnet, ganz willkürlich zu lassen ist, während sie dort durch die dortigen Gleichungen (1) bereits vor der Ableitung der Gleichung (2) specialisirt worden sind.

## 2.

Die allgemeinste Form der Coordinaten ist bekanntlich folgende:

$$(3) \dots\dots \begin{cases} x' = ax + by + cz \\ y' = a'x + b'y + c's \\ z' = a''x + b''y + c''z \end{cases}$$

wo für  $x', y', z', x, y, z$  beliebige Coordinaten, am zweckmäßigsten diejenigen, deren Ausdrücke durch gegebene Größen am einfachsten sind, angenommen werden können, und wo

$$(4) \dots\dots \begin{cases} x = r \sin \delta (\sin \delta \cos d - \cos \delta \sin d \cos(x-a)) + r \cos \delta \cos d \sin(x-a) \\ y = r \sin \delta (\sin \Phi \cos d - \cos \Phi \sin d \cos(x-a)) + r \cos \delta \cos \Phi \sin(x-a) \\ z = r \cos \delta (\sin \delta \cos d - \cos \delta \sin d \cos(x-a)) - r \sin \delta \cos \delta \sin(x-a) \\ x' = r' \sin \delta' (\sin \delta' \cos d' - \cos \delta' \sin d' \cos(x'-a')) + r' \cos \delta' \cos d' \sin(x'-a') \\ y' = r' \sin \delta' (\sin \Phi' \cos d' - \cos \Phi' \sin d' \cos(x'-a')) + r' \cos \delta' \cos \Phi' \sin(x'-a') \\ z' = r' \cos \delta' (\sin \delta' \cos d' - \cos \delta' \sin d' \cos(x'-a')) - r' \sin \delta' \cos \delta' \sin(x'-a') \end{cases}$$

Diese Formeln sind in Verbindung mit (2) die allgemeinsten, welche die vorliegende Aufgabe gestattet.

## 3.

Wir können jetzt über die drei willkürlichen Größen  $a, d$  und  $\delta$  so verfügen, daß die Auflösung am einfachsten wird. Da die Gleichung (2) die höheren Potenzen der Coordinaten enthält, so wird man auf jeden Fall die willkürlichen

$$\begin{aligned} a &= -\sin d \sin \delta \cos a - \cos p \sin a \\ b &= -\sin d \sin \delta \sin a + \cos p \cos a \\ c &= \cos d \sin \delta \\ a' &= -\sin d \cos \delta \cos a + \sin p \sin a \\ b' &= -\sin d \cos \delta \sin a - \sin p \cos a \\ c' &= \cos d \cos \delta \\ a'' &= \cos d \cos a \\ b'' &= \cos d \sin a \\ c'' &= \sin d \end{aligned}$$

Die Bedeutung der drei willkürlichen Winkel  $a, d$  und  $\delta$  ist bekannt, man bedarf dieser aber gar nicht, wenn es sich bloß darum handelt die Zeiten der Ein- und Austritte bei den Verfinsterungen zu bestimmen. Nennt man nun

- $a, d, p$  grade Aufsteigung, Abweichung und Entfernung d. Mondmittelpunkts in Beziehung auf den Mittelpunkt der Erde;  
 $a', d', p'$  dieselben Größen für die Sonne;  
 $\mu, \Phi, \rho$  dieselben Größen für den geocentrischen Zenith d. Punktes ( $E$ ) der Oberfläche der Erde;

oder mit andern Worten,  $\mu$  die Sternzeit,  $\Phi$  die verbesserte Polhöhe und  $\rho$  den Radius der Erde für den Punkt ( $E$ ), welche mit  $a, d, p, a', d', p'$  gleichzeitig stattfinden, so sind die einfachen Ausdrücke der Coordinaten  $x, y, z, x', y', z'$ , folgende:

$$\begin{aligned} x &= r \cos \delta \cos a' - p \cos \Phi \cos \mu \\ y &= r \cos \delta \sin a' - p \cos \Phi \sin \mu \\ z &= r \sin \delta - p \sin \Phi \\ x' &= r' \cos \delta' \cos a' - p \cos \Phi \cos \mu \\ y' &= r' \cos \delta' \sin a' - p \cos \Phi \sin \mu \\ z' &= r' \sin \delta' - p \sin \Phi \end{aligned}$$

Substituiert man diese Ausdrücke, so wie die obigen Werte von  $a, b, c, a', etc.$  in die Formeln (3), so ergibt sich

Annahmen so einrichten müssen, daß diese Gleichung dann vereinfacht wird. Setzen wir etwa, mit Vorbehalt einer drill zu machenden Annahme  $\mu = 0$  und  $a' = 0$ , so geht Gleichung (2) in folgende über:

$(x, y, z)^2 = (Lx' \pm Lx)^2 + (Ly' \pm Ly)^2$   
 und sie wird also in der That dadurch vereinfacht. Betrachten wir nun die Gleichungen, welche durch die Bedingungen  $\mu = 0$  und  $a' = 0$  aus den Gleichungen (4) hervorgehen, so zeigt sich

dafs dadurch die Gröfsen  $a$  und  $d$  Functionen von  $\mu$  werden, dafs heifst Functionen derjenigen Gröfse werden, welche sich während der Dauer einer Verfinstörung am stärksten ändert. Nehmen wir aber statt dessen an, dafs

$$x_i = x'_i, \quad y_i = y'_i,$$

so zeigen die Gleichungen (4), dafs  $a$  und  $d$  Functionen der Gröfsen  $x, a', \delta, \delta'$  ohne  $\mu$  werden, also Functionen derjenigen Gröfsen, die während der Dauer der Verfinstörung sich weit weniger wie  $\mu$  ändern. Diese Annahme ist also weit vorthellhafter wie jene, und wir wollen daher bei dieser verharren. Es ist dieselbe, welche *Bessel* in Nr. 321 ausdrücklich gemacht hat, und welche den Endformeln in Nr. 151 und 152 implicite zu Grunde liegt.

Die Gleichung (2) geht durch diese Annahmen in folgende über;

$(x_i^2 + y_i^2) (x_i^2 - x_i)^2 = (x_i^2 + y_i^2) (l \pm l')^2 + (l \pm l' x_i)^2$   
und aus dieser Gleichung erhält man, wenn man die Werthe der Coordinaten aus (4), nachdem man darin  $\delta = 0$  gemacht hat, substituirt, die *Besselsche* Gleichung (16) A. N. Nr. 152.

Die vorstehende Gleichung läfst sich leicht auf folgende Gestalt bringen:

$$x_i^2 + y_i^2 = \frac{(l \pm l' x_i)^2}{(x_i^2 - x_i)^2 + (l \pm l')^2}$$

und diese läfst sich leicht, wenn man einen Hülfswinkel  $f$  durch folgende Formel

$$\sin f = \frac{l \pm l'}{x_i - a_i}$$

$$\left. \begin{aligned} 0 &= r \sin \theta (\sin \delta \cos d - \cos \delta \sin d \cos(x-a)) + r \cos \theta \cos \delta \sin(x-a) \\ &\quad - p \sin \theta (\sin \phi \cos d - \cos \phi \sin d \cos(\mu-a)) - p \cos \theta \cos \phi \sin(\mu-a); \\ 0 &= r' \sin \theta (\sin \delta' \cos d - \cos \delta' \sin d \cos(x'-a)) + r' \cos \theta \cos \delta' \sin(x'-a) \\ &\quad - p' \sin \theta (\sin \phi \cos d - \cos \phi \sin d \cos(\mu-a)) - p' \cos \theta \cos \phi \sin(\mu-a); \\ 0 &= r \cos \theta (\sin \delta \cos d - \cos \delta \sin d \cos(x-a)) - r \sin \theta \cos \delta \sin(x-a) \\ &\quad - r' \cos \theta (\sin \delta' \cos d - \cos \delta' \sin d \cos(x'-a)) + r' \sin \theta \cos \delta' \sin(x'-a); \end{aligned} \right\} \dots \dots \dots (7)$$

Subtrahirt man die zweite dieser Gleichungen von der ersten, so erhält man

$$0 = r \sin \theta (\sin \delta \cos d - \cos \delta \sin d \cos(x-a)) + r \cos \theta \cos \delta \sin(x-a) \\ - r' \sin \theta (\sin \delta' \cos d - \cos \delta' \sin d \cos(x'-a)) - r' \cos \theta \cos \delta' \sin(x'-a)$$

Man multiplicire diese Gleichung mit  $\sin \theta$ , die dritte Gleichung (7) mit  $\cos \theta$  und addire; man multiplicire ferner die

$$\left. \begin{aligned} 0 &= r (\sin \delta \cos d - \cos \delta \sin d \cos(x-a)) - r' (\sin \delta' \cos d - \cos \delta' \sin d \cos(x'-a)) \\ 0 &= r \cos \theta (\sin \delta \cos d - \cos \delta \sin d \cos(x-a)) - r' \cos \theta (\sin \delta' \cos d - \cos \delta' \sin d \cos(x'-a)) \end{aligned} \right\}$$

mit  $\sin \theta$  aus denselben eliminiert, zur Bestimmung von  $x$  und  $d$  dienen. Um diese Gröfsen daraus zu erhalten, schreibe

$$\sin(x-a) + (\sin(x'-a)) \text{ für } x-a, \text{ und löse den Sinus und} \\ \sin d (r' \cos \delta' - r \cos \delta) = \sin d (r' \cos \delta' - r \cos \delta \cos(x-a')) \cos(a'-a) + \sin d \cdot r \cos \delta \sin(x-a') \sin(a'-a)$$

$$0 = (r' \cos \delta' - r \cos \delta \cos(x-a')) \sin(a'-a) - r \cos \delta \sin(x-a') \cos(a'-a)$$

Subtrahirt man die erste dieser Gleichungen mit  $\cos(a'-a)$ , so erhält man die zweite mit  $\sin(a'-a)$  und addirt; multiplicirt man

woraus sich ergibt

$$\cos f = \frac{Y((x_i - a_i)^2 - (l \pm l')^2)}{x_i - a_i} \\ \lg f = \frac{l \pm l'}{\sqrt{(x_i - a_i)^2 - (l \pm l')^2}}$$

einführt, in folgende umzuwandeln

$$x_i^2 + y_i^2 = (l \sec f + z, \lg f) \dots \dots \dots (5)$$

Wenn man in diese Formel die Werthe der Coordinaten (4), nachdem man  $\delta = 0$  gemacht hat, substituirt, so erhält man die in Nr. 321 der Astr. Nachr. enthaltene *Besselsche* Auflösung, welche auch dort unmittelbar aus der vorstehenden Gleichung abgeleitet wird.

## 4.

Wir haben über zwei der willkürlichen Gröfsen  $a, d$  noch  $\theta$  verfügt, indem wir  $x_i = x$ , und  $y_i = y$ , machten, über die dritte Gröfse werde ich dadurch verfügen, dafs ich  $x_i = 0$  mache. Unsere drei Bedingungsgleichungen sind also

$$x_i = 0, \quad x_i = 0, \quad y_i = y,$$

und hiermit verwandelt sich die Gleichung (5) in folgende einfachere

$$\pm y_i = l \sec f + z, \lg f \dots \dots \dots (6)$$

Wenn man die vorstehenden Bedingungsgleichungen in die Gleichungen (4) einführt, so ergeben sich zur Bestimmung der Winkel  $a, d$  und  $\theta$  folgende drei Gleichungen

vorstehende Gleichung mit  $\cos \theta$ , die dritte Gleichung (7) mit  $-\sin \theta$  und addire; dann entstehen folgende Gleichungen:

Cosinus des betreffenden Winkels nach  $x-a'$  und  $a'-a$  auf. Ist dies geschehen, so lassen sich die vorstehenden Gleichungen leicht folgendermaßen stellen:

$$\begin{aligned} &\cos(a'-a) + \sin d \cdot r \cos \delta \sin(x-a') \sin(a'-a) \\ &\sin(a'-a) - r \cos \delta \sin(x-a') \cos(a'-a) \end{aligned}$$

ferner die erste mit  $\sin(a'-a)$ , die zweite mit  $-\sin d \cos(a'-a)$  und addirt, so erhält man

$$\begin{aligned}(r' \sin \delta' - r \sin \delta) \cos d \cos (a' - a) &= \sin d (r' \cos \delta' - r \cos \delta \cos (a - a')) \\(r' \sin \delta' - r \sin \delta) \cos d \sin (a' - a) &= \sin d \cdot r \cos \delta \sin (a - a')\end{aligned}$$

Setzt man nun  $r' \sin \delta' - r \sin \delta = R \sin d$ , so hat man, um  $a$ ,  $d$  und  $R$  zu bestimmen,

$$(8) \dots \begin{cases} R \cos d \sin (a' - a) = r \cos \delta \sin (a - a') \\ R \cos d \cos (a' - a) = r' \cos \delta' - r \cos \delta \cos (a - a') \\ R \sin d = r' \sin \delta' - r \sin \delta \end{cases}$$

Diese Gleichungen sind mit den *Bezelschen* identisch, und es

$$\operatorname{tg} \delta = - \frac{r \cos \delta \sin (a - a') - p \cos \varphi \sin (\mu - a)}{r (\sin \delta \cos d - \cos \delta \sin d \cos (a - a')) - p (\sin \varphi \cos d - \cos \varphi \sin d \cos (\mu - a))}$$

Dieser Gleichung zufolge setze ich

$$(9) \dots \begin{cases} u \sin \delta = -r \cos \delta \sin (a - a') + p \cos \varphi \sin (\mu - a) \\ u \cos \delta = r (\sin \delta \cos d - \cos \delta \sin d \cos (a - a')) - p (\sin \varphi \cos d - \cos \varphi \sin d \cos (\mu - a)) \end{cases}$$

Substituiert man diese Gleichungen in die zweite Gleichung (4), so wird

$$y, = u$$

und die Gleichung (6) geht nach der Substitution der betreffenden Werthe von  $y$ , und  $u$ , in folgende über:

$$(10) \dots u = l \operatorname{arc} f + r (\sin \delta \sin d + \cos \delta \cos d \cos (a - a')) \operatorname{tg} f - p [\sin \varphi \sin d + \cos \varphi \cos d \cos (\mu - a)] \operatorname{tg} f$$

In dieser Gleichung habe ich das doppelte Zeichen der linken Seite weggelassen, weil es völlig willkürlich ist, und die Wahl zwischen Plus und Minus keine andere Wirkung hat, als den Anfangspunkt von  $\delta$  um den halben Umkreis zu verändern. Uebrigens ist aus dem Im Art. 3 gegebenen Werthe von  $f$

$$\begin{aligned}z' - z &= \sin d (r' \sin \delta' - r \sin \delta) + \cos d (r' \cos \delta' \cos (a' - a) - r \cos \delta \cos (a - a')) \\ &= \sin d (r' \sin \delta' - r \sin \delta) \\ &\quad + \cos d [(r' \cos \delta' - r \cos \delta \cos (a - a')) \cos (a' - a) + r \cos \delta \sin (a - a') \sin (a' - a)]\end{aligned}$$

und hieraus ergibt sich leicht vermittelt der Gleichungen (8)

$$z' - z = R$$

und somit

$$(11) \dots \sin f = \frac{l + f}{R}$$

## 6.

Um die Gleichungen (9) und (10) für die Rechnung geschikt zu machen, müssen wir die Veränderungen betrachten, denen die darin enthaltenen Größen als Functionen der Zeit unterworfen sind. Unter den Gliedern, welche von der eigenen Bewegung der Sonne und des Mondes abhängen, verändern sich die Glieder

$$r \cos \delta \sin (a - a')$$

$$\text{und} \quad r (\sin \delta \cos d - \cos \delta \sin d \cos (a - a'))$$

während der Dauer der Verfinsternung am stärksten. Ich nehme daher an, daß man für irgend eine bestimmte, in der Nähe der Conjunction liegende wahre Zeit  $T$  des Orts, für welchen die Mondtafel oder die Ephemeriden, die man be-

bedeuten  $a$  und  $d$  die selenocentrische grade Aufsteigung und Abweichung der Sonne, und  $R$  deren Entfernung vom Monde.

## 5.

Die Gleichung für den Winkel  $\delta$  erhalten wir unmittelbar aus der ersten Gleichung (7) wie folgt:

$$\operatorname{tg} \delta = - \frac{r \cos \delta \sin (a - a') - p \cos \varphi \sin (\mu - a)}{r (\sin \delta \cos d - \cos \delta \sin d \cos (a - a')) - p (\sin \varphi \cos d - \cos \varphi \sin d \cos (\mu - a))}$$

leicht zu erkennen, daß die vorstehende Formel für alle äußeren Berührungen der Ränder  $u$  positiv ergibt, und daß bei einer totalen Verfinsternung für die inneren Berührungen dasselbe statt findet, hingegen bei einer ringförmigen Verfinsternung für die inneren Berührungen  $u$  negativ wird.

Die Gleichung (10) löst in Verbindung mit den Gleichungen (9) die Aufgabe, nachdem die Hilfsgrößen  $a$ ,  $d$ ,  $R$  und  $f$  berechnet worden sind. Die Gleichungen (8) bestimmen  $a$ ,  $d$  und  $R$ , und für  $f$  hat man aus dem Art. 3

$$\sin f = \frac{l + f}{a' - a}$$

Die Gleichungen (4) geben aber

$$\begin{aligned}z' - z &= \sin d (r' \sin \delta' - r \sin \delta) + \cos d (r' \cos \delta' \cos (a' - a) - r \cos \delta \cos (a - a')) \\ &= \sin d (r' \sin \delta' - r \sin \delta) \\ &\quad + \cos d [(r' \cos \delta' - r \cos \delta \cos (a - a')) \cos (a' - a) + r \cos \delta \sin (a - a') \sin (a' - a)]\end{aligned}$$

nutzt, gelten, jene Größen berechnet habe. Bezeichnet man mit  $r_0$ ,  $a_0$ ,  $\delta_0$ ,  $a_0$  und  $d_0$  die Werthe von  $r$ ,  $a$ ,  $\delta$ ,  $a$  und  $d$ , die für diese wahre Zeit  $T$  statt finden, so nehme ich an man habe gefunden

$$\begin{aligned}r_0 \cos \delta_0 \sin (a_0 - a_0) &= P_0 \\ r_0 (\sin \delta_0 \cos d_0 - \cos \delta_0 \sin d_0 \cos (a_0 - a_0)) &= Q_0\end{aligned}$$

Berechnet man nun für die Zeiten  $T + 1^h$ ,  $T + 2^h$ , etc. und für  $T - 1^h$ ,  $T - 2^h$ , etc. die Werthe derselben Größen und bezeichnet diese allgemein mit  $P_n$  und  $Q_n$ ; setzt man hierauf

$$\begin{aligned}P_1 - P_0 &= P_1, & Q_1 - Q_0 &= Q_1 \\ \frac{1}{2}(P_2 - P_0) &= P_2, & \frac{1}{2}(Q_2 - Q_0) &= Q_2 \\ &\text{etc.} & &\text{etc.}\end{aligned}$$

$$\begin{aligned}P_0 - P_{-1} &= P_{-1}, & Q_0 - Q_{-1} &= Q_{-1} \\ \frac{1}{2}(P_0 - P_{-2}) &= P_{-2}, & \frac{1}{2}(Q_0 - Q_{-2}) &= Q_{-2}\end{aligned}$$

das heißt allgemein

$$\frac{P_n - P_0}{n} = p_n, \quad \frac{Q_n - Q_0}{n} = q_n \dots \dots (12)$$

ist man für die wahre Zeit  $T + n$  Stunden jene Größen, wie man die der Zeit  $T + n$  Stunden zukommenden Werthe von  $r, \delta, \text{etc.}$  mit  $r_n, \delta_n, \text{etc.}$  bezeichnet, wie folgt,

$$r_n \cos \delta_n \sin(\alpha_n - a_n) = P_0 + n p_n$$
$$r_n (\sin \delta_n \cos \alpha_n - \cos \delta_n \sin \alpha_n \cos(\alpha_n - a_n)) = Q_0 + n q_n$$
und man kann die Formen  $P_0 + n p_n$  und  $Q_0 + n q_n$  auch für gleiche Werthe von  $n$  anwenden, um die Werthe der linken Seite der vorstehenden Gleichungen zu berechnen, wenn man die betreffenden Werthe von  $p_n$  und  $q_n$  aus den Reihen  $p_{-1}, p_{-2}, p_0, p_1, \text{etc.}$  und  $q_{-1}, q_{-2}, q_0, q_1, \text{etc.}$  durch Interpolation sucht. Diese Interpolationen sind sehr leicht zu herstelligen, weil die Größen  $p_n$  und  $q_n$  nur geringer und fast gleichförmiger Veränderung unterworfen sind. Die Ausdrücke (12) geben für  $p_0$  und  $q_0$  den Werth  $\frac{1}{2}$ , allein in diesem Falle hat man nach bekannten Grundsätzen

$$p_n = \frac{\Delta^2 p_{-1} + \Delta^2 p_{-2}}{2} + \frac{\Delta^2 p_{-1} + \Delta^2 p_{-2}}{2} + \frac{\Delta^2 p_{-1} + \Delta^2 p_{-2}}{2} + \text{etc.}$$

es folge der gewöhnlichen Bezeichnung

$$\Delta^2 p_n = p_{n+1} - p_n, \quad \Delta^2 p_n = \Delta^2 p_{n+1} - \Delta^2 p_n$$

ist, und eben so

$$q_n = \frac{\Delta^2 q_{-1} + \Delta^2 q_{-2}}{2} + \frac{\Delta^2 q_{-1} + \Delta^2 q_{-2}}{2} + \frac{\Delta^2 q_{-1} + \Delta^2 q_{-2}}{2} + \text{etc.}$$

Es werde demzufolge allgemein die wahre Zeit des oben bezeichneten Ortes in Stunden ausgedrückt  $t$ , und setze

$$\left. \begin{aligned} r \cos \delta \sin(\alpha - a) &= P_0 + p(t - T) \\ r(\sin \delta \cos \alpha - \cos \delta \sin \alpha \cos(\alpha - a)) &= Q_0 + q(t - T) \end{aligned} \right\}$$

so dass die Größen  $p$  und  $q$  durch Interpolation für die Zeit  $t$  aus den bezeichneten Reihen für  $p_n$  und  $q_n$  zu entnehmen sind.

$$\left. \begin{aligned} u \sin \delta &= -p(t + T' - T) + p \cos \Phi \sin(\mu - a) \\ u \cos \delta &= U + q(t + T' - T) - p \sin \Phi \cos \delta + p \cos \Phi \sin \delta \cos(\mu - a) \end{aligned} \right\} \dots \dots \dots (15)$$

Es sey die wahre Zeit des Beobachtungsortes  $t'$ , dann ist, in Graden ausgedrückt,

$$\mu - a' = 15 t'.$$

Es sey ferner  $\lambda$  der Mittagsunterschied des Beobachtungsortes mit dem Orte, für den die Monphemeriden oder Mondtafeln für man benutzt, gelten, (positiv wenn der Beobachtungsort östlicher liegt,) dann ist

$$t = t' - \lambda$$

$$\left. \begin{aligned} u &= u' - p \sin \Phi \sin \delta \operatorname{tg} f - p \cos \Phi \cos \delta \cos(15 t' + a') \operatorname{tg} f \\ u \sin \delta &= -p(t' - \lambda + T' - T) + p \cos \Phi \sin(15 t' + a') \\ u \cos \delta &= U + q(t' - \lambda + T' - T) - p \sin \Phi \cos \delta + p \cos \Phi \sin \delta \cos(15 t' + a') \end{aligned} \right\} \dots \dots \dots (17)$$

Die Grundlage aller die Verfinsterungen betreffenden Rechnungen sind.

7.

Wann es sich um die Vorausberechnung der Ein- und

Man kann die Zeit  $T$  immer so wählen, dass  $P_0 = 0$  ist, man muss nämlich zu diesem Zwecke für  $T$  diejenige Zeit wählen, in welcher  $\alpha = a$  ist, oder mit andern Worten die Conjunctionszeit. Da aber die genaue Berechnung der Conjunctionszeit fast mehr Mühe macht, wie die Berechnung von  $P_0$ , und da es, abgesehen hiervon, vorthellhafter ist, für  $T$  eine in der Nähe der Conjunctionszeit liegende Zeit anzunehmen, welche so beschaffen ist, dass die nöthigen Interpolationen aus den Monphemeriden, die man benutzt, am einfachsten werden, so nehme ich an, dass  $P_0$  nicht Null ist. Ich werde aber zeigen, dass man demungeachtet den vorstehenden Gleichungen die Form geben kann, die sie haben würden, wenn für  $T$  die Conjunctionszeit gewählt worden wäre. Ich führe die Hilfsgrößen  $T'$  und  $U$  durch folgende Formeln ein,

$$\left. \begin{aligned} T' &= \frac{P_0}{p} \\ U &= Q_0 - q T' = Q_0 - \frac{q}{p} P_0 \end{aligned} \right\} \dots \dots \dots (14)$$

hiemit gehen die Formeln (13) in folgende über

$$\left. \begin{aligned} r \cos \delta \sin(\alpha - a) &= p(t + T' - T) \\ r(\sin \delta \cos \alpha - \cos \delta \sin \alpha \cos(\alpha - a)) &= q(t + T' - T) + U \end{aligned} \right\} (15)$$

welches die bezeichnete Form ist. Die Größen  $T - T'$  ist in der That der Conjunctionszeit nahe gleich. Die Größen  $T'$  und  $U$ , welche aus den Gleichungen (14) zu berechnen sind, sind in Folge der Größen  $p$  und  $q$ , von welchen sie abhängen, veränderlich und Functionen der Zeit  $t$ ; ihre Veränderung ist aber, gleich der jener Größen, nur geringe.

Substituiert man nun die Gleichungen (15) in die Gleichungen (9), so hat man folgende zwei Gleichungen

$$\left. \begin{aligned} u \sin \delta &= -p(t + T' - T) + p \cos \Phi \sin(\mu - a) \\ u \cos \delta &= U + q(t + T' - T) - p \sin \Phi \cos \delta + p \cos \Phi \sin \delta \cos(\mu - a) \end{aligned} \right\} \dots \dots \dots (15)$$

setzt man daher überdies

$$a' - a = a'$$

und führt die Größe  $t'$  in die Gleichungen (16) sowohl wie in die Gleichung (10) ein, so hat man, wenn man ausserdem

$$Z = r(\sin \delta \sin \delta + \cos \delta \cos \delta \cos(\alpha - a))$$

und  $u = t \operatorname{sec} f + Z \operatorname{tg} f$  macht,

Austritte handelt, so ist in den vorstehenden Gleichungen  $t'$  die unbekannte, zu bestimmende Größe. Um diese zu bestimmen werde ich zuerst  $t'$  von einer unbestimmten Zeit, die ich  $r$  nennen will, abhängig machen. Es ist identisch

$$\sin(15\epsilon' + a') = \sin(15\tau + a') + \kappa \cos(15\frac{\epsilon' + \tau}{2} + a')(\epsilon' - \tau)$$

$$\cos(15\epsilon' + a') = \cos(15\tau + a') - \kappa \sin(15\frac{\epsilon' + \tau}{2} + a')(\epsilon' - \tau)$$

wenn man

$$\kappa = 2 \frac{\sin 15\frac{\epsilon' - \tau}{2}}{\epsilon' - \tau}$$

$$u \sin \theta = -p(\tau - \lambda + T' - T) + \rho \cos \phi \sin(15\tau + a') - [p - \kappa \rho \cos \phi \cos(15\frac{\epsilon' + \tau}{2} + a')(\epsilon' - \tau)]$$

$$u \cos \theta = U + q(\tau - \lambda + T' - T) - \rho \sin \phi \cos d + \rho \cos \phi \sin d \cos(15\tau + a') + [q - \kappa \rho \cos \phi \sin d \sin(15\frac{\epsilon' + \tau}{2} + a')](\epsilon' - \tau)$$

Setzt man nun

$$(18) \dots \dots \dots \left\{ \begin{array}{l} -p(\tau - \lambda + T' - T) + \rho \cos \phi \sin(15\tau + a') = m \sin M \\ U + q(\tau - \lambda + T' - T) - \rho \sin \phi \cos d + \rho \cos \phi \sin d \cos(15\tau + a') = m \cos M \\ p - \kappa \rho \cos \phi \cos(15\frac{\epsilon' + \tau}{2} + a') = n \sin N \\ q - \kappa \rho \cos \phi \sin d \sin(15\frac{\epsilon' + \tau}{2} + a') = n \cos N \end{array} \right.$$

so entsteht

$$u \sin \theta = m \sin M - n \sin N (\epsilon' - \tau)$$

$$u \cos \theta = m \cos M + n \cos N (\epsilon' - \tau)$$

und hieraus durch Multiplicationen mit  $\sin N$  und  $\cos N$ , und nachdem man  $\theta + N = \psi$  gemacht hat,

$$(19) \dots \dots \dots \left\{ \begin{array}{l} \sin \psi = \frac{m}{u} \sin(M + N) \\ \epsilon' = \tau - \frac{m}{n} \cos(M + N) + \frac{u}{n} \cos \psi \\ \text{oder statt des letzteren} \\ \epsilon' = \tau + \frac{m \sin(M + N - \psi)}{n \sin \psi} \end{array} \right.$$

Dies ist mit weniger Abweichung die *Bessel'sche* Auflösung. Die Abweichung von dieser besteht in der Ableitung, in der Art die Größen  $p$  und  $q$  für verschiedene Zeiten zu berechnen, und in der Einführung der Größen  $T'$ ,  $U$  und  $\tau$ . Von der zuletzt genannten GröÙe werde ich unten einen eigenthümlichen Gebrauch machen. Die dritte Gleichung (19) gewährt eine kürzere Rechnung wie die zweite; sie darf aber nicht angewandt werden, wenn  $\sin \phi$  klein ist.

### 8.

Die GröÙe  $u$  ist, wie aus dem Ausdruck dafür ersichtlich ist, nur geringer Veränderung unterworfen; diese Veränderung vertritt die Stelle der Höhenvergrößerung der Halbmesser der Sonne und des Mondes. Man kann daher bei der Vorausberechnung einer Verfinsternung entweder die Glieder in  $u$ , welche von dem Beobachtungsorte abhängen, ganz weglassen, oder man kann sie durch Substitution eines genäherten Werthes von  $\epsilon'$ , etwa der Zeit des Beobachtungsortes, welche der

macht. Substituiert man diese Werthe von  $\sin(15\epsilon' + a')$  und  $\cos(15\epsilon' + a')$  in die beiden letzten Gleichungen (17), so lassen sich diese folgendermaßen stellen:

Conjunctionszeit entspricht, mit einer für diesen Zweck hinreichenden Genauigkeit berücksichtigen. Ich sehe daher  $u$  als gegeben an. Dies vorausgesetzt dienen die Gleichungen (19) zur Berechnung der Ein- und Austrittszeiten. Die erste diese gibt  $\sin \psi$ , und da hierzu zwei Werthe von  $\psi$  gehören, deren Cosinus entgegengesetzte Zeichen haben, so giebt die zweite oder dritte Gleichung (19) zwei Werthe von  $\epsilon'$ , deren kleinere die Ein- und deren größerer die Austrittszeit ist. Es giebt daher, wenn man  $N'$  so bestimmt, daß  $n$  positiv ist, welches immer geschehen kann, der Werth von  $\psi$ , welchem ein negativer Cosinus zukommt, immer dem Anfang, und der, welchem ein positiver Cosinus zukommt, immer dem Ende der Verfinsternung an. Eben dasselbe findet bei einer totalen Verfinsternung für die inneren Berührungen statt, bei einer ringförmigen Verfinsternung hingegen findet für die inneren Berührungen das Entgegengesetzte statt.

Die Zeit  $\tau$  ist ganz willkürlich und kann nach Belieben angenommen werden; da aber die unbekannte Zeit  $\epsilon'$  in der GröÙe  $\kappa$  sowohl wie in dem Bogen  $15\frac{\epsilon' + \tau}{2} + a'$  enthalten ist, so wird die Rechnung indirect und die Aufgabe kann nur durch mehrere auf einander folgende Näherungen gelöst werden. Die Gleichungen (10) haben aber die Eigenschaft, daß wenn  $u$  in der ersten Annäherung nicht eine ganz beträchtlich von der Wahrheit abweichende Zeit substituiert worden ist, sie nungemein schnell zur Wahrheit convergiren.

Die Conjunctionszeit kann immer als ein genähertes Werth von  $\epsilon'$  angesehen und in der ersten Annäherung substituiert werden. Die Conjunctionszeit fällt aber oft außerhalb der Zeit der Verfinsternung, und man kann daher im Allgemeinen nicht



hoben, durch eine erste Annäherung, in welcher diese Zeit angenommen worden ist, die verlangten Zeiten so nahe richtig zu bekommen, daß eine Verbesserung überflüssig wäre. Man muß daher, wenn die beschriebene erste Annäherung vollendet ist, mit Zugrundelegung der dadurch erhaltenen Zeiten eine zweite Annäherung für den Anfang und das Ende der Verfinsternung besonders berechnen. Gewöhnlich erhält man somit die beiden verlangten Zeiten so genau wie nöthig. Setzt man in der ersten Annäherung, wie beschriebene,

$$\tau = \lambda + T' - T''$$

so hat man die folgenden Formeln für  $m$ ,  $M$ ,  $n$  und  $N$  zu berechnen

$$p \cos \phi \sin(15\tau + a) = m \sin M$$

$$U - p \sin \phi \cos d + p \cos \phi \sin d \cos(15\tau + a) = m \cos M$$

$$p - n' p \cos \phi \cos(15\tau + a) = n \sin N$$

$$q - n' p \cos \phi \sin d \sin(15\tau + a) = n \cos N$$

wo  $n'$  der Werth von  $x$  ist, welcher aus der Annahme  $\tau = t'$  folgt, nemlich

$$x' = \frac{15(3600'')}{206265}, \log x' = 9,41796$$

und somit durch die Gleichungen (19) die Ein- und Austrittszeiten.

Wenn man diese erste Annäherung berechnet hat, so kann man die ferneren Rechnungen auf zweierlei Arten durchführen. Man kann einestheils den Werth von  $\tau$  beibehalten, den man der ersten Annäherung zu Grunde gelegt hat, man kann aber auch anderntheils in jeder Annäherung für  $\tau$  den Werth oder die Werthe von  $t'$  annehmen, welchen oder welche die vorhergehende Annäherung gegeben hat. Im ersten Falle bleiben, wenn man die kleinen Aenderungen, welche  $U$  und  $d$  während der Dauer der Verfinsternung erleiden, nicht berücksichtigt,  $m$  und  $M$  unverändert,  $n$  und  $N$  müssen aber alsdann in jeder Annäherung durch die Gleichungen (18) berechnet werden, in welche für  $x$  und  $15 \frac{t' + \tau}{2}$  diejenigen Werthe substituirt werden müssen, welche diese Größen mit Zuziehung der in der vorhergehenden Annäherung gefundenen Werthe von  $t'$  haben. Im andern Falle ändern sich in jeder Annäherung nicht nur  $n$  und  $N$  sondern auch  $m$  und  $M$ ; jene beiden Größen müssen aber allemal durch diese Formeln

$$p - n' p \cos \phi \cos(15\tau + a) = n \sin N$$

$$q - n' p \cos \phi \sin d \sin(15\tau + a) = n \cos N$$

berechnet werden.

Will man auf die Veränderlichkeit von  $p$ ,  $q$ , etc. während der Dauer der Verfinsternung Rücksicht nehmen, so ändern sich auch dadurch bei beiden Rechnungsarten in jeder Annäherung  $m$  und  $M$ , und es scheint mir daher vortheilhafter in diesem Falle die letzteren Rechnungsart zu bedienen. Sieht man  $p$ ,  $q$ , etc. als beständig an, und hat man eine Tafel zur

Hand, welche die verschiedenen Werthe von  $x$  mit dem Argumente  $t' - \tau$  giebt, so ist die erstere Art die vortheilhaftere. Eine solche Tafel hat Bessel bereits in Nr. 145 der Astr. Nachr. für Sternbedeckungen gegeben; für Sonnenfinsternisse sind die Werthe dieser Größen ein wenig anders, und ich füge deshalb ein Täfelchen bei, welches sich auf diese Erscheinungen bezieht. Ich habe nur vier Decimale angesetzt, weil diese für Vorausberechnungen hinreichend sind.

$t' - \tau$	$\log x$	$t' - \tau$	$\log x$
0,0	9,4180	+2,0	9,4130
+0,1	9,4180	2,1	9,4125
0,2	9,4179	2,2	9,4120
0,3	9,4179	2,3	9,4114
0,4	9,4178	2,4	9,4108
0,5	9,4177	2,5	9,4102
0,6	9,4175	2,6	9,4096
0,7	9,4174	2,7	9,4089
0,8	9,4172	2,8	9,4082
0,9	9,4170	2,9	9,4075
1,0	9,4167	3,0	9,4068
1,1	9,4165	3,1	9,4060
1,2	9,4162	3,2	9,4052
1,3	9,4159	3,3	9,4044
1,4	9,4155	3,4	9,4035
1,5	9,4152	3,5	9,4027
1,6	9,4148	3,6	9,4018
1,7	9,4144	3,7	9,4009
1,8	9,4140	3,8	9,3999
1,9	9,4135	3,9	9,3989
2,0	9,4130	4,0	9,3979

Uebrigens wird, wenn man nach einer von den beiden hier auseinandergesetzten Methoden rechnet, die Tafel, welche Encke in seinem Jahrbuche Behufs der Vorausberechnung der Sonnenfinsternisse giebt, überflüssig. Will man die kleinen Veränderungen von  $p$ ,  $q$  und  $d$  unberücksichtigt lassen, so genügt das einmalige Aufheben dieser Größen, und will man die Astronomen in den Stand setzen, mit wenig Mühe diese Veränderungen berücksichtigen zu können, so reicht ein Täfelchen von 3 bis 4 oder höchstens 5 Zeilen dazu hin. Ich habe in dieser Darstellung aus den oben angeführten Gründen  $x$  als constant angenommen; will man aber dessen Veränderung berücksichtigen, so läßt sich dieses durch jedesmalige Berechnung seines Werthes aus der ersten Gleichung (17) bei jeder Annäherung leicht bewerkstelligen.

## 9.

Zur vollständigen Vorausberechnung einer Sonnenfinsternis gehört noch die Angabe des Punktes des Sonnenrades, wo die Berührung stattfindet. Zu dem Zwecke müssen wir die geometrische Bedeutung einiger unserer Hilfsgrößen kennen lernen. Man weiß aus der analytischen Geometrie, daß in den Gleichungen (3)  $c$  der Cosinus des Winkels ist, den die Achse

der  $s'$  mit der Achse der  $x'$ ,  $c'$  der Cosinus des Winkels, den die Achse der  $s'$  mit der Achse der  $y'$ , und  $c''$  der Cosinus des Winkels, den die Achse der  $s'$  mit der Achse der  $s$ , macht. Nun ist aber aus Art. 2

$$\begin{aligned} c &= \cos d \sin \delta \\ c' &= \cos d \cos \varphi \\ c'' &= \sin d \end{aligned}$$

folglich ist  $\delta$  der Winkel, den die Projection der Achse der  $s'$  auf der Ebene der  $x'$  und  $y'$ , mit der Achse der  $y'$ , macht. Es wurde aber in dem Vorhergehenden die Lage der Achse der  $s'$ , mithin die der Ebene der  $x'$  und  $y'$ , durch den Punkt bestimmt, dessen grade Aufsteigung  $a$  und dessen Abweichung  $d$  ist, mithin steht die Gesichtslinie vom Auge des Beobachters nach dem Punkte  $(a, d)$  der Himmelskugel senkrecht auf die Ebene der  $x'$  und  $y'$ . Deshalb und weil die Achse der  $s'$  der Erdoberfläche parallel angenommen worden ist, ist die Projection der Achse der  $s'$  auf der Himmelskugel der durch den Punkt  $(a, d)$  gehende Declinationskreis. Es wurde aber  $x' = 0$  angenommen, hieraus folgt, daß die Projection der Achse der  $y'$ , der durch den Mittelpunkt der Sonne und durch den Punkt  $(a, d)$  gehende größte Kreis ist; da ferner auch  $x' = 0$  gesetzt ward, so geht derselbe Kreis auch durch den Mittelpunkt des Mondes. Aus diesem Grunde liegt aber der verlangte Berührungspunkt auf diesem Kreise, und  $\delta$  ist also der Winkel, den der durch den Berührungspunkt und durch den Punkt  $(a, d)$  gehende größte Kreis mit dem durch letzteren Punkt gehenden Declinationskreise macht. Da der Punkt  $(a, d)$  dem Mittelpunkt der Sonne sehr nahe liegt, so kann man annehmen, daß  $\delta$  der Winkel sey, den der durch den Berührungspunkt und durch den Mittelpunkt der Sonne gelegte größte Kreis mit dem durch den Mittelpunkt der Sonne gehenden Declinationskreise macht. Um zu erforschen, in welcher Richtung und von welchem Anfangspunkte an  $\delta$  gezählt ist, wenden wir uns an die Gleichungen (9). Die erste dieser Gleichungen zeigt, daß wenn  $u$  positiv ist,  $\sin \delta$  vor der Conjunction positiv und nach derselben, obgleich das Zeichen nicht grade im Momente der geocentrischen Conjunction wechselt, negativ ist; die zweite Gleichung zeigt, daß wenn  $u$  positiv ist  $\cos \delta$  positiv ist, wenn  $\delta > d$  und negativ wenn  $\delta < d$ , obgleich das Zeichen dieser Größe nicht grade wechselt wenn  $\delta = d$ . Wenn  $u$  negativ ist haben  $\sin \delta$  und  $\cos \delta$  das entgegengesetzte Zeichen in den genannten Fällen. Aus diesem allen folgt, daß bei allen äußern Berührungen und bei einer totalen Verfinsternung auch bei den inneren Berührungen  $\delta$  vom Nordpunkt des Sonnenrandes an in der Richtung von Norden nach Westen durch den ganzen Umkreis gezählt ist, und daß bei einer ringförmigen Verfinsternung für die inneren Berührungen  $\delta$  zwar in derselben Richtung gezählt ist, daß aber alsdann der Südpunkt des Sonnenrandes sein Anfangspunkt ist. Wir haben aus dem Art. 6

$$\delta = \psi - N$$

und  $\psi$  ist durch die Gleichungen (19) völlig bestimmt. Den die erste dieser giebt  $\sin \psi$  vollständig, das heißt mit den ihm zugehörigen Zeichen, und die Absicht des Rechners,  $\delta$  die zu berechnende Zeit einem Eintritte oder einem Austritte angehören sollte, bestimmt nach der im Art. 8 gegebenen Regel das Zeichen von  $\cos \psi$ , wodurch also  $\psi$  völlig bestimmt ist. Man kann somit  $\delta$  immer durch die vorstehende Gleichung berechnen.

## 10.

Wenn es sich darum handelt aus einer beobachteten Sonnenfinsternis oder Sternbedeckung die Längenunterschiede der Beobachtungsorte zu finden, so ist  $t'$  gegeben und  $\lambda$  od vielmehr  $\lambda + T$ , das ist die wahre Zeit des Beobachtungsortes, für welche  $a - a = a_0 - a_0$  war, ist die unbekannte Größe. In diesem Falle ist die im Art. 7 eingeführte willkürliche Zeit  $\tau$  überflüssig. Man setze

$$\left. \begin{aligned} p \cos \varphi \sin (15 t' + a') &= m' \sin M' \\ U - p \sin \varphi \cos d + p \cos \varphi \sin d \cos (15 t' + a') &= m' \cos M' \\ p &= n' \sin N' \\ q &= n' \cos N' \end{aligned} \right\} (20)$$

dann geben die Gleichungen (17) mit wenig Mühe

$$\left. \begin{aligned} u &= u' - p \sin \varphi \sin d \operatorname{tg} f - p \cos \varphi \cos d \cos (15 t' + a') \operatorname{tg} f \\ \sin \psi &= \frac{m'}{u} \sin (M' + N') \\ T_1 &= t' + T' + \frac{m'}{n'} \cos (M' + N') - \frac{u}{n'} \cos \psi \\ \text{oder} \\ T_1 &= t' + T' - \frac{m' \sin (M' + N' - \psi)}{n' \sin \psi} \end{aligned} \right\} (21)$$

wo  $T_1$  für  $\lambda + T$  geschrieben ist, und wo im Allgemeinen für das Zeichen von  $\cos \psi$  die nemliche Regel gilt, die ob hinsichtlich  $\cos \psi$  gegeben wurde. Es kann jedoch hier eine Ausnahme statt finden; es kann beides für die Ein- und für die Austrittszeiten  $\cos \psi$  positiv seyn, und es kann für andere Oerter für diese beiden Zeiten  $\cos \psi$  negativ seyn, wie bei jeder Sonnenfinsternis so wie bei jeder Sternbedeckung in diesem der Fall. Ich werde weiter unten den Theil der Oberfläche, wo dieses statt findet, zu berechnen lehren. Die zweite Gleichung für  $T_1$  darf nicht angewandt werden, wenn  $\sin \psi$  sehr klein ist, oder mit andern Worten, wenn die Verfinsternung nahe central ist.

Giebt nun die Beobachtung an einem andern Orte  $T'_1$  für  $T_1$ , so ist der Längenunterschied zwischen diesen beiden Oertern  $T'_1 - T_1$ , und so ferner wenn an mehreren Orten beobachtet worden ist. Kennt man im voraus den Längenunterschied zwischen dem Beobachtungsorte und dem Orte, für welchen die Mondtafeln oder Ephemeriden gelten, so genügt

als erforderlich ist um die Hilfsgrößen der vorstehenden Gleichungen, welche von der eigenen Bewegung der Sonne und des Moondes abhängen, mit erforderlicher Schärfe berechnen zu können, so ist diese Aufgabe direct. Kennt man im Voraus diesen Längenunterschied weniger genau oder gar nicht, so kommt man durch Annäherungen zum Ziele, die man im Falle, wo der Längenunterschied gänzlich unbekannt ist, damit anfängt, dass man die Werthe der Hilfsgrößen, welche für die Zeit  $T - T'$  statt finden, substituirt.

## 11.

Zur vollständigen Längenberechnung gehört noch die Berechnung des Einflusses, welchen fehlerhafte Data auf die

$$\begin{aligned} du &= dl \sec f + l \frac{\sin f}{\cos^2 f} df + (Z - p \sin \varphi \sin d - p \cos \varphi \cos d \cos(15l' + a')) \frac{df}{\cos^2 f} \\ du \sin \theta + d\theta u \cos \theta &= -dp(l' + T' - T) + p dT, - p dT' \\ du \cos \theta - d\theta u \sin \theta &= dU + dq(l' + T' - T) - q dT, + q dT' \end{aligned}$$

Eliminirt man aus den beiden letzten dieser Gleichungen  $d\theta$ , schreibt man  $n' \sin N'$  für  $p$ ,  $n' \cos N'$  für  $q$  und  $\Psi - N'$  für  $\theta$ , so erhält man

$$dT, = \frac{\cos(\Psi - N')}{n' \cos \Psi} dU + (l' + T' - T) \frac{dq \cos(\Psi - N') - dp \sin(\Psi - N')}{n' \cos \Psi} + dT' - \frac{du}{n' \cos \Psi}$$

Die Gleichungen (14) geben

$$\begin{aligned} dU &= dQ_0 + \frac{q}{p} dP_0 + \frac{P_0}{p^2} dp - \frac{P_0}{p} dq \\ dT' &= \frac{dP_0}{p} - \frac{P_0}{p^2} dp \end{aligned}$$

und aus den im Art. 6 für  $P_0$  und  $Q_0$  gegebenen Ausdrücken erhalten wir, wenn wir in den Coefficienten die kleinen von  $s - a$  und  $\delta - d$  abhängigen Glieder vernachlässigen,

$$\begin{aligned} dP_0 &= P_0 d \log r + r \cos \delta da \\ dQ_0 &= Q_0 d \log r + r d\delta \end{aligned}$$

Wenn wir aber fortwährend in den Coefficienten die Glieder  $s - a$  und  $\delta - d$  übergehen, so können wir  $p$  und  $q$  als die Differentialquotienten der Größen  $P_0$  und  $Q_0$  in Beziehung auf die Zeit ansehen, und wir haben daher, da wir für diesen Zweck auch die ständige Bewegung von  $r$  übergehen können,

$$dT, = \left( \frac{Q_0 \sin N' - P_0 \cos N'}{\sin N} - \frac{\cos(\Psi - N')}{n' \cos \Psi} \right) d \log r - r \frac{\sin(\Psi - N')}{n' \cos \Psi} \cos \delta da + r \frac{\cos(\Psi - N')}{n' \cos \Psi} d\delta - \frac{du}{n' \cos \Psi}$$

Die Gleichung (11) giebt aber, wenn wir die kleine Größe  $l$  in Beziehung auf  $l'$  vernachlässigen,

$$df \cos f = \pm \frac{dl'}{R}$$

und mit giebt die erste Gleichung dieses Artikels, wenn wir auch die unbedeutenden Glieder weglassen, und

$$Z = Z - p \sin \varphi \sin d - p \cos \varphi \cos d \cos(15l' + a')$$

$$du = dl \pm \frac{Z}{R} dl'$$

Zelt  $T$ , verursachen. *Bessel* hat am angeführten Orte auch diesen Einfluss für Sternbedeckungen vollständig zu berücksichtigen gelehrt, und die Anwendung seiner Formeln auf die Sonnenfinsternisse und die andern in diese Kategorie gehörigen Erscheinungen erfordert keinen größeren Zusatz, als dass ihn jeder Rechner selbst wird entwickeln können. Da aber in den Gleichungen (20) die Hilfsgrößen nicht alle mit den *Bessel*-schen Hilfsgrößen identisch sind, so muß ich, um hier keine Lücke zu lassen, die Formeln zur Berechnung des genannten Einflusses ableiten. Ich nehme an, dass  $a$ ,  $\delta$ ,  $r$ ,  $l$  und  $l'$  fehlerhaft seyen, und bezeichne deren Fehler durch  $da$ ,  $d\delta$  u. s. w. Nun geben die Gleichungen (17) durch die Differentiation

$$\begin{aligned} p &= r \cos \delta \frac{d(a - a')}{d\delta} \\ q &= r \frac{d(\delta - \delta')}{d\delta} \end{aligned}$$

und hieraus, wenn wir annehmen, dass die Fehler  $da$  und  $d\delta$  sich während der Dauer der Verfinsternung nicht ändern,

$$dp = p d \log r; \quad dq = q d \log r$$

wo, so wie oben,  $d \log r$  den Fehler des hyperbolischen Logarithmus von  $r$  bedeutet. Substituiren wir diese Werthe von  $dP_0$ ,  $dQ_0$ ,  $dp$  und  $dq$  in die obigen Ausdrücke für  $dU$  und  $dT'$ , so ergibt sich

$$\begin{aligned} dU &= \frac{Q_0 \sin N' - P_0 \cos N'}{\sin N} d \log r - r \cot g N' \cos \delta da + r d\delta \\ dT' &= \frac{r \cos \delta}{n' \sin N'} da \end{aligned}$$

und hienit durch den für  $dT$ , gefundenen Ausdruck

$$dT, = \left( \frac{Q_0 \sin N' - P_0 \cos N'}{\sin N} - \frac{\cos(\Psi - N')}{n' \cos \Psi} \right) d \log r - r \frac{\sin(\Psi - N')}{n' \cos \Psi} \cos \delta da + r \frac{\cos(\Psi - N')}{n' \cos \Psi} d\delta - \frac{du}{n' \cos \Psi}$$

wo, wie immer, das obere Zeichen für äußere und das untere Zeichen für innere Berührungen gilt.

Die vorstehende Gleichung für  $dT$ , besteht aus Gliedern zweierlei Gattung, nemlich aus Gliedern, die vom Beobachtungsorte abhängen und aus Gliedern, die von demselben unabhängig sind. Um diese Glieder von einander zu trennen muß man  $\sin(\Psi - N')$  und  $\cos(\Psi - N')$  auflösen. Wenn dies geschehen ist, so setze man

$$\frac{Q_0 \sin N' - P_0 \cos N'}{n' \operatorname{tg} N'} d \log r + \frac{r \sin N' \cos \delta}{n'} d\alpha + \frac{r \cos N'}{n'} d\delta = \eta$$

$$\frac{Q_0 \sin N' - P_0 \cos N'}{n'} d \log r - \frac{r \cos N' \cos \delta}{n'} d\alpha + \frac{r \sin N'}{n'} d\delta = \zeta$$

dann wird mit Zuziehung des obigen Werthes von  $du$ ,

$$dT = \eta + \zeta \operatorname{tg} \psi + (\ell + T' - T) d \log r - \frac{d\ell}{n' \cos \psi} + \frac{Z_1}{R n' \cos \psi} d\ell$$

wo  $\eta$  alle Glieder enthält, die von dem Beobachtungsorte unabhängig sind. Die unbekannte GröÙe bei den Längenbestimmungen ist jetzt  $T_1 + dT$ , und die Fehler  $\eta$ ,  $\zeta$ ,  $d \log r$ ,  $d\ell$  und  $d'$  der Rechnungselemente müssen, wenn man sie nicht gleich Null setzen kann, entweder durch die Beobachtungen der Sonnenfinsternisse an verschiedenen Orten, oder durch anderweitige Beobachtungen bestimmt werden. Die GröÙe  $\eta$  kann nie auf die erstgenannte Art bestimmt werden, wenn die Längen aller Beobachtungsorte unbekannt sind, sie äußert aber auch keinen Einfluss auf die Bestimmung der Längenunterschiede. Wenn aber die Länge eines der Beobachtungsorte bekannt ist, so kann man sie bestimmen, wenn die GröÙen  $\zeta$ ,  $d \log r$  u. s. w. bestimmt worden sind, denn wir erhalten in diesem Falle durch die Rechnung

$$T_1 + dT = (T_1) + \eta$$

wo  $(T_1)$  der berechnete numerische Werth von  $T_1 + dT$  mit Weglassung der GröÙe  $\eta$  ist. Da nun  $T$  durch die Tafeln gegeben ist, und da  $T_1 + dT_1 = \lambda + T$  ist, so haben wir

$$\eta = \lambda + T - (T_1)$$

in welcher Formel für  $\lambda$  die vorher bekannte Länge substituiert werden muss. Hat man  $\zeta$  und  $d\ell$  so wie  $\eta$  auf diese Art bestimmt, so geben die obigen Formeln

$$d\alpha = \frac{n' \sin N'}{r \cos \delta} \eta - \frac{n' \cos N'}{r \cos \delta}$$

$$d\delta = \frac{n' \cos N'}{r} \eta + \frac{n' \sin N'}{r} \zeta - \frac{Q_0 \sin N' - P_0 \cos N'}{r \sin N'} d \log r$$

Am häufigsten trifft es sich, dass man  $d \log r$ ,  $d\ell$  und  $d\ell'$  nicht mit Sicherheit durch die Beobachtungen einer Sonnenfinsternisse bestimmen kann, und in diesem Falle bleibt nichts weiter übrig als sie in diesen Formeln gleich Null zu machen. Diese Formeln sind mit den *Besselschen* identisch, obgleich sie eine etwas veränderte äußere Gestalt haben.

## 12.

Es sind noch einige der HilfsgröÙen weiter zu entwickeln. Für die Einheit der Entfernungen, welche in den vorstehenden Formeln willkürlich ist, nehme ich den Halbmesser des Erdäquators an. Nennt man nun die Äquatoral-Horizontalparallaxe des Mondes  $\pi$  und die der Sonne  $\pi'$ , so ist

$$r = \frac{1}{\sin \pi}; \quad r' = \frac{1}{\sin \pi'}$$

und  $\rho$  mnfs in Theilen des Halbmessers des Erdäquators ausgedrückt werden. Hiemit haben wir nun

$$\frac{\cos \delta_n \sin (\alpha_n - a_n)}{\sin \pi_n} = P_n$$

und nach einer bekannten Umwandlung

$$\frac{\sin (\delta_n - d_n) \cos^2 \frac{1}{2} (\alpha_n - a_n) + \sin (\delta_n + d_n) \sin^2 \frac{1}{2} (\alpha_n - a_n)}{\sin \pi_n} = \zeta$$

und ebenso

$$\frac{\cos (\delta_n - d_n) \cos^2 \frac{1}{2} (\alpha_n - a_n) - \cos (\delta_n + d_n) \sin^2 \frac{1}{2} (\alpha_n - a_n)}{\sin \pi_n} = 2$$

In den Formeln des vorhergehenden Artikels muss ebenfalls  $\frac{1}{\sin \pi}$  für  $r$  gesetzt werden, und wir haben für diese Formel außerdem

$$d \log r = -d \log \sin \pi$$

Um  $\pi'$  zu berechnen braucht man die mittlere Horizontalparallaxe der Sonne und den Radiusvector derselben so wie ihn die Tafeln geben. Nennt man jene  $\Pi'$  und diesen  $R'$ , so ist

$$\sin \pi' = \frac{\sin \Pi'}{R'}$$

Die Gleichungen (8) geben näherungsweise, aber für die strenge Berechnung in jedem Falle hinreichend genau

$$\alpha' - a = a' = \frac{\sin \Pi'}{R' \sin \pi} (\alpha - a')$$

$$d = \delta' - \frac{\sin \Pi'}{R' \sin \pi} (\delta - \delta')$$

$$G = 1 - \frac{\sin \Pi'}{R' \sin \pi}$$

wenn man  $G = R \sin \pi'$  macht. Durch die Aufbindung und Einführung dieser GröÙen ist es vorzüglich, dass *Bessel's* genaue Berechnung der Sonnenfinsternisse auf einen bisher nicht gekannten Grad von Einfachheit gebracht hat. Die Gleichung (11) giebt jetzt

$$\sin f = \sin \pi' \frac{t + \ell}{G}$$

Aber wenn man den Winkel, unter welchem der Halbmesser der Sonne in der mittleren Entfernung von der Erde gesehen wird,  $\Delta'$  nennt, so ist

$$t' = \frac{\sin \Delta'}{\sin \Pi'}$$

und  $\ell$  bezeichnet ebenfalls das constante Verhältniss des Moon halbmessers zu seiner Parallaxe, somit wird

$$\sin f = \frac{\ell \sin \Pi' + \sin \Delta'}{R' G} \dots \dots \dots (12)$$

wo der Zähler eine constante GröÙe ist. Es ist aus den besten Quellen

$$\begin{aligned}\Delta' &= 15' 59'' 788 \\ \delta &= 0,2725 \\ \Pi' &= 8^\circ 57' 76\end{aligned}$$

und hiemit hat man nach *Bessels* Berechnung in Nr. 321 der Astr. Nachr. für die äußeren Berührungen

$$\log (\sin \Pi' + \sin \Delta') = 7,6688050$$

und für die innern Berührungen

$$\log (\sin \Pi' - \sin \Delta') = 7,6666896$$

Will man in die Formel für  $dT$ , auch  $R'$  und  $G$  statt  $R$  und  $d\Delta'$  statt  $d\delta'$  einführen, so hat man

$$\frac{Z}{R} d\delta' = \frac{Z}{R'G} d\Delta'$$

Wenn  $h$  die Höhe des Beobachtungsortes über dem Meere, in Theilen des Halbmessers der Erde ausgedrückt,  $\varphi$  dessen Polhöhe und  $e$  die Abplattung des Erdellipsoids bezeichnet, so wird

$$\begin{aligned}\rho \cos \varphi &= (1+h) \sqrt{\frac{\cos \varphi'}{(1-e)^2 \sin^2 \varphi'}}; \\ \rho \sin \varphi &= (1+h) \sqrt{\frac{(1-e)^2 \sin^2 \varphi'}{\cos^2 \varphi' + (1-e)^2 \sin^2 \varphi'}}\end{aligned}$$

Inhalts der Vorausberechnungen kann man einige der vorstehenden Formeln abkürzen und setzen

$$\begin{aligned}P_0 &= \frac{\alpha_0 - \alpha_g}{\pi} \cos \delta & p &= \frac{\cos \delta}{\pi} \cdot \frac{d(\alpha - \alpha')}{dt} \\ Q_0 &= \frac{\beta_0 - \beta_g}{\pi} & q &= \frac{1}{\pi} \cdot \frac{d(\delta - \delta')}{dt}\end{aligned}$$

$$\begin{aligned}u \sin (\theta + N') &= U \sin N' - \rho \sin \varphi \cos \delta \sin N' + \rho \cos \varphi \cos N' \sin (15t' + a) + \rho \cos \varphi \sin \delta \sin N' \cos (15t' + a) \\ u \cos (\theta + N') &= n' (t' - \lambda + T - T) + U \cos N' - \rho \sin \varphi \cos \delta \cos N' - \rho \cos \varphi \sin N' \sin (15t' + a) + \rho \cos \varphi \sin \delta \cos N' \cos (15t' + a)\end{aligned}$$

Setzt man ferner

$$\begin{aligned}\theta + N' &= \psi; & \sin \delta \sin N' &= g \sin G; & \sin N' &= k \sin K \\ & & \cos N' &= g \cos G; & \sin \delta \cos N' &= k \cos K \\ & & G + a' &= G; & K + a' &= K\end{aligned}$$

so gehen die vorstehenden Formeln in folgende über:

$$\begin{aligned}u \sin \psi &= U \sin N' - \rho \sin \varphi \cos \delta \sin N' + g \rho \cos \varphi \sin (15t' + G') \\ u \cos \psi &= n' (t' - \lambda + T - T) + U \cos N' - \rho \sin \varphi \cos \delta \cos N' + k \rho \cos \varphi \cos (15t' + K')\end{aligned} \quad (22)$$

Während einer centralen Verfinsternung sind aber nothwendig die Umstände der Erscheinung eben so, wie sie seyn würden, wenn von zwei Körpern, deren Halbmesser unendlich klein sind, der eine den andern bedeckte. Wir haben also in diesem Falle  $u = 0$ .

$$\begin{aligned}\cos (\varphi + A) &= -\frac{U \sin N'}{a \rho} \\ \lambda &= t' + T - T + \frac{U \cos N'}{n} - \rho \sin \varphi \frac{\cos \delta \cos N'}{n} + \rho \cos \varphi \frac{k}{n} \cos (15t' + K')\end{aligned} \quad (23)$$

Wir zusammen die Gleichung der verlangten Curve sind. Nehmt man irgend einen Werth des Stundenwinkels  $t'$ , und setzt damit die Halbsgrößen  $a$  und  $A$ , so giebt die erste

wo  $\frac{d(\alpha - \alpha')}{dt}$  und  $\frac{d(\delta - \delta')}{dt}$  die stündliche relative Bewegung für die Zeit  $T$  in grader Aufsteigung und in Abweichung bedeuten

$$\begin{aligned}Z \sqrt{g} f &= \frac{f}{\pi} \\ a' &= 0 \\ d &= \delta'.\end{aligned}$$

### 13.

Die vorübergehenden Gleichungen lösen sehr leicht die Aufgaben, welche sich auf die Erscheinung einer Sonnenfinsternis im Allgemeinen beziehen. Diese Aufgaben bestehen theils in Auffindung isodynamischer, theils in Auffindung isochronischer Linsen auf der Erdoberfläche, und theils in Auffindung von Linsen oder Punkten, welche gewissen Maximis oder Minimis entsprechen; auch kann man Linsen zu finden aufgeben, welche mehrere dieser Eigenschaften in sich vereinigen. Ich stelle zuerst die Aufgabe:

1. Die Linie der centralen Verfinsternung auf der Erdoberfläche zu finden.

Nehmen wir die Gleichungen (17) wieder vor. Wenn wir in diese

$$\begin{aligned}p &= n' \sin N' \\ q &= n' \cos N'\end{aligned}$$

setzen, so erhalten wir aus denselben durch Multiplicationen mit  $\sin N'$  und  $\cos N'$  die folgenden

$$\begin{aligned}u \sin (\theta + N') &= U \sin N' - \rho \sin \varphi \cos \delta \sin N' + \rho \cos \varphi \cos N' \sin (15t' + a) + \rho \cos \varphi \sin \delta \sin N' \cos (15t' + a) \\ u \cos (\theta + N') &= n' (t' - \lambda + T - T) + U \cos N' - \rho \sin \varphi \cos \delta \cos N' - \rho \cos \varphi \sin N' \sin (15t' + a) + \rho \cos \varphi \sin \delta \cos N' \cos (15t' + a)\end{aligned}$$

$$\begin{aligned}\theta + N' &= \psi; & \sin \delta \sin N' &= g \sin G; & \sin N' &= k \sin K \\ & & \cos N' &= g \cos G; & \sin \delta \cos N' &= k \cos K \\ & & G + a' &= G; & K + a' &= K\end{aligned}$$

Setzen wir nun

$$\begin{aligned}\cos \delta \sin N' &= a \sin A \\ g \sin (15t' + G') &= a \cos A\end{aligned}$$

und führen wir die Bedingung  $u = 0$  in die Gleichungen (22) ein, so erhalten wir

$$\begin{aligned}\cos (\varphi + A) &= -\frac{U \sin N'}{a \rho} \\ \lambda &= t' + T - T + \frac{U \cos N'}{n} - \rho \sin \varphi \frac{\cos \delta \cos N'}{n} + \rho \cos \varphi \frac{k}{n} \cos (15t' + K')\end{aligned} \quad (23)$$

Gleichung (23) die Breite  $\varphi$  auf welcher unter dem Stundenwinkel  $t'$  die Verfinsternung central gesehen wird, und alsdann giebt die zweite Gleichung (23) die zur Breite  $\varphi$  gehörende

Länge  $\lambda$ , womit der Ort der Oberfläche der Erde völlig bestimmt ist. Die erste Gleichung (23) giebt zu jedem substituirteten Werthe des Stundenwinkels zwei Werthe des Bogens  $\phi + A$  und somit auch zwei Werthe von  $\phi$ , aber die Grenzen  $-90^\circ$  und  $+90^\circ$  dieses Bogens verursachen, daß in der That jedem Stundenwinkel nur Eine Breite correspondirt. Substituirt man noch und nach alle Werthe des Stundenwinkels durch den ganzen Umlauf in die vorstehenden Formeln, so bekommt man eine Curve, die sich rings um die Erdoberfläche erstreckt und in sich selbst zurückgeht, denn die Gleichungen geben alle Punkte der Erdoberfläche, in welchen diese von der

$$(24) \dots \dots \dots \begin{cases} 0 = -p(\ell - \lambda + T' - T) + \rho \cos \phi \sin(15\ell' + a') \\ 0 = U + q(\ell' - \lambda + T' - T) - \rho \sin \phi \cos d + \rho \cos \phi \sin d \cos(15\ell' + a') \end{cases}$$

Sucht man hieraus das Maximum oder Minimum in Beziehung auf die absolute Zeit, das heisst in Beziehung auf die Zeit eines fest bestimmten Ortes, so muß man  $\ell'$ ,  $\phi$  und  $\lambda$  als veränderlich

$$\begin{aligned} 0 &= -\rho \sin \phi \sin(15\ell' + a') d\phi + 15\rho \cos \phi \cos(15\ell' + a') d\lambda \\ 0 &= -\rho \cos \phi \cos d d\phi - \rho \sin \phi \sin d \cos(15\ell' + a') d\phi - 15\rho \cos \phi \sin d \sin(15\ell' + a') d\lambda \end{aligned}$$

und wenn man hieraus die Differentiale eliminiert, so erhält man

$$(25) \dots \dots 0 = \cos \phi \cos d \cos(15\ell' + a') + \sin \phi \sin d$$

als Bedingungsgleichung zwischen dem Stundenwinkel und der Breite der Orter, welche die centrale Verfinsternung zuerst und zuletzt sehen. Diese Gleichung zeigt an, daß für diese beiden Orter der Punkt  $(a, d)$  im Horizonte liegt, woraus hervorgeht, daß die durch den Mittelpunkt der Sonne und des Mondes gehende grade Linie die Erdoberfläche tangirt, und es läßt sich leicht einsehen, daß dieses in der That die Bedingung der grössten und kleinsten absoluten Zeit der gesuchten Erscheinung seyn muß.

Wir müssen jetzt den Winkel  $15\ell' + a'$  durch Hilfe der Gleichung (25) aus den Gleichungen (24) eliminiren. Um dieses auf die einfachste Art zu bewerkstelligen, schreibe ich die Gleichungen (24) folgendermaßen:

$$(26) \dots \dots \dots \begin{cases} 0 = -p(\ell - \lambda + T' - T) + A \\ 0 = U + q(\ell - \lambda + T' - T) - B \end{cases}$$

wo also

$$\begin{aligned} A &= \rho \cos \phi \sin(15\ell' + a') \\ B &= \rho \sin \phi \cos d - \rho \cos \phi \sin d \cos(15\ell' + a') \end{aligned}$$

Sey ferner

$$C = \rho \sin \phi \sin d + \rho \cos \phi \cos d \cos(15\ell' + a')$$

Erhebt man diese drei Gleichungen ins Quadrat und addirt, so erhält man

$$A^2 + B^2 + C^2 = \rho^2$$

Also, da die Bedingungsgleichung (25)  $C = 0$  giebt,

$$A^2 + B^2 = \rho^2$$

Hieraus folgt, daß wir setzen können

$$\begin{aligned} A &= -\rho \cos H \\ B &= \rho \sin H \end{aligned}$$

graden durch den Mittelpunkt der Sonne und des Mondes gehenden Linie geschnitten wird. Aber für einen Theil dieser Punkte ist die Sonne unter dem Horizonte und die centrale Verfinsternung wird also nicht auf allen Punkten unserer Curve gesehen. Um den Theil unserer Curve, auf welchem die centrale Verfinsternung in der That geschehen wird, von dem übrigen Theile abzusondern, wollen wir die beiden Orter suchen, wozu diese Erscheinung zuerst und zuletzt sehen.

Die Gleichungen (17) geben für den Augenblick der centralen Verfinsternung, das ist wenn man  $u = 0$  macht, in folgende über:

ansehen, und nach der Differentiation  $dt = d\lambda$  machen. Die Veränderungen von  $\rho$  und von den Hüllsgrößen übergehe ich hier, weil sie unbedeutend sind. Die beschriebene Rechnung giebt

wo  $H$  ein neuer Hüllswinkel ist. Hiemit, und nachdem man für  $p$  und  $q$  ihre Werthe, durch  $a'$  und  $N'$  ausgedrückt, substituirt hat, geben die Gleichungen (26) in folgende über:

$$\begin{aligned} 0 &= -a' \sin N'(\ell' - \lambda + T' - T) - \rho \cos H \\ 0 &= U + a' \cos N'(\ell' - \lambda + T' - T) - \rho \sin H \end{aligned}$$

woraus

$$\begin{aligned} 0 &= U \sin N' - \rho \cos(H - N') \\ 0 &= U \cos N' + a'(\ell' - \lambda + T' - T) - \rho \sin(H - N') \end{aligned}$$

sich ergibt. Wir haben ferner aus dem doppelten Werthe von  $B$

$$\sin H = \sin \phi \cos d - \cos \phi \sin d \cos(15\ell' + a')$$

woraus vermittelst (25) sich  $15\ell' + a'$  leicht eliminiren läßt. Wir erhalten somit

$$\sin \phi = \cos d \sin H$$

Für die Bestimmung des Stundenwinkels haben wir durch die Gleichung (25)

$$\cot g \phi \cos(15\ell' + a') = -tg d$$

und der doppelte Werth von  $A$  giebt

$$\cos \phi \sin(15\ell' + a') = -\cos H$$

welche durch die vorhergehende Gleichung dividirt werden muß. Sammeln wir nun die Gleichungen für die Bestimmung der Frage stehenden zwei Punkte, so haben wir, wenn  $H - N' = W'$  machen,

$$\left. \begin{aligned} \cos W' &= \frac{U}{\rho} \sin N' \\ \cot g \phi \sin(15\ell' + a') &= -\frac{\cot g(W' + N')}{\cos d} \\ \cot g \phi \cos(15\ell' + a') &= -tg d \\ \lambda &= \ell + T - T' + \frac{U}{n} \cos N' - \frac{\rho}{n} \sin W' \end{aligned} \right\} (27)$$

Die erste dieser Gleichungen giebt, wenn sie nicht etwa unmöglich ist, in welchem Falle gar keine centrale Verfinsternung statt findet, zwei Werthe von  $W'$ , somit geben die zweite und dritte Gleichung zwei Werthe von  $\phi$  und  $\epsilon'$ , wobei die Regel zu merken ist, daß  $\phi$  positiv ist, wenn  $W' + N'$  im ersten Halbkreise liegt, daß aber  $\phi$  negativ ist, wenn  $W' + N'$  im zweiten Halbkreise liegt. Die vierte Gleichung giebt endlich zu jedem der beiden Werthe von  $\epsilon'$  einen correspondirenden Werth von  $\lambda$ . Wir haben somit zwei Punkte der Erdoberfläche, und es gehört derjenige, für welchen  $15\epsilon' + a'$  im zweiten Halbkreise liegt, der kleinsten Zeit oder dem Aufgange, derjenige aber, für welchen  $15\epsilon' + a'$  im ersten Halbkreise liegt, der größten Zeit oder dem Ende der centralen Verfinsternung an, denn es ist an sich klar, daß der Ort, welcher diese Erscheinung zuerst sieht, sie bei aufgehender, und der Ort, welcher sie zuletzt sieht, sie bei untergehender Sonne sieht.

Um nun die Curve zu berechnen, auf welcher in der That die centrale Verfinsternung sichtbar ist, fängt man damit an, als man vermittelt der Gleichungen (29) die beiden Endpunkte dieser Curve berechnet. Hierauf nimmt man eine beliebige Anzahl von Stundenwinkeln an, welche von dem eben gefundenen in zweiten Halbkreise liegenden Stundenwinkel ausgehend, sich bis zu dem eben gefundenen im ersten Halbkreise liegenden Stundenwinkel erstrecken. Rechnet man hiemit durch die Gleichungen (23) die Breiten und Längen, so hat man die Curve, auf welcher die centrale Verfinsternung in der That gesehen wird. Es ist übrigens leicht einzusehen, daß diese Curve, von dem Punkte der kleinsten Zeit ausgehend, sich auf der Erdoberfläche von Westen nach Osten erstreckt.

Die erste Gleichung (28) zeigt an, daß wenn

$$\frac{U}{p} \sin N' > 1 \text{ oder } < -1$$

keine centrale Verfinsternung statt findet. Die Gleichung aber

$$\frac{U}{p} \sin N' = 1 \text{ oder } = -1$$

giebt zu erkennen, daß bloß an Einem Punkte der Erde diese Erscheinung statt findet, sie giebt mit andern Worten zu erkennen, daß die, durch den Mittelpunkt der Sonne und des Mondes gehende grade Linie die Erdoberfläche tangirt, ohne sie zu schneiden. Aus der ersten Gleichung (23) folgt, daß man die größte Breite, auf welcher die Verfinsternung central gesehen wird, erhält, wenn man den Stundenwinkel so annimmt, daß  $15\epsilon' + G' = 90^\circ$  oder  $= 270^\circ$  wird.

3) Die Grenzcurven der Sichtbarkeit einer Sonnenfinsternis auf der Erdoberfläche zu finden.

Der Schattenkegel, welcher vom Monde, indem dieser zwischen der Erde und der Sonne durchgeht, auf der Erde aufsteht, scheidet, während er auf dieser hinstreift, eine

Zone ab, auf welcher allein die Verfinsternung gesehen wird, und es ist an sich klar, daß an den Oertern, welche an der südlichen und nördlichen Grenze dieser, durch den Schattenkegel erzeugten Zone liegen, bloß eine äußere Berührung der Ränder der Sonne und des Mondes gesehen wird. Wir müssen also, um die südliche und die nördliche Grenzcurve zu finden, die analytische Bedingung der bloßen Berührung der Ränder suchen. Wir haben aus der Gleichung (21) für äußere Berührungen

$$\sin f = \frac{\lambda \sin \Pi' + \sin \Delta'}{R'G}$$

und wenn wir in dieser Gleichung die wahren Werthe der darin vorkommenden Größen substituiren, so können wir den Gleichungen (17) oder den Gleichungen (22), wenn sie auf einen bestimmten Ort angewandt werden, nur genügen, wenn wir die Ein- oder die Austrittszeit, darin substituiren. Substituiren wir hingegen in die vorstehende Gleichung für den mittleren Sonnenhalbmesser  $\Delta'$  einen, von dem wahren Werthe dieser Größe abweichenden Werth, so können wir den Gleichungen (17) oder (22) durch Zeiten Genüge leisten, die keine Ein- oder Austrittzeiten sind. Betrachten wir nun die Sache umgekehrt, und substituiren wir in die genannten Gleichungen alle Zeitmomente, die zwischen der, einem gewissen Orte zukommenden, Ein- und Austrittszeit liegen, so können wir diesen Gleichungen immer dadurch Genüge leisten, daß wir für  $\Delta'$  einen von dem wahren Werthe abweichenden, passenden, und zwar kleineren Werthe substituiren. Die Zeit, für welche wir solchergestalt den kleinsten Werth von  $\Delta'$  substituiren müssen, um den Gleichungen (17) oder (22) Genüge zu leisten, gehört nothwendig der größten Phase an, die an dem vorbestimmten Orte gesehen wird. Das Minimum von  $\Delta'$  bedingt daher, wenn diese Größe als veränderlich angesehen wird, die Zeit der größten Phase, welche an einem vorbestimmten Orte gesehen wird, und der Werth, welchen  $\Delta'$  in seinem Minimum hat, bedingt die Größe der größten Phase. Dieses Minimum wollen wir zuerst suchen. Uebergehen wir hiebei die kleinen Veränderungen, welche während der Dauer der Verfinsternung die von der eigenen Bewegung der Sonne und des Mondes abhängigen Größen erleiden, so zeigt die vorstehende Gleichung, daß das Minimum von  $\Delta'$  das Minimum von  $f$  nach sich zieht. Differentiiren wir daher die Gleichungen (17) in Beziehung auf  $f$ ,  $u$ ,  $\theta$  und  $\epsilon'$  und setzen wir nach der Differentiation  $df = 0$ , so erhalten wir

$$\begin{aligned} du &= x' p \cos \phi \cos d \sin (15\epsilon' + a') \epsilon g f \\ \sin \theta du + u \cos \theta d\theta &= -p d\epsilon' + x' p \cos \phi \cos (15\epsilon' + a') \\ \cos \theta du - u \sin \theta d\theta &= q d\epsilon' - x' p \cos \phi \sin (15\epsilon' + a') \end{aligned}$$

wo wie früher  $x' = \frac{15(3600'')}{206265''}$  ist. Eliminiren wir aus diesen Gleichungen die Differentiale, so ergibt sich

$$(29) \dots \dots \dots \begin{cases} 0 = \{g - u' p \cos \varphi \sin d' \sin(15t' + \alpha')\} \cos \theta - \{p - u' p \cos \varphi \cos(15t' + \alpha')\} \sin \theta \\ - u' \operatorname{tg} f p \cos \varphi \cos d \sin(15t' + \alpha') \end{cases}$$

als Bedingungsgleichung für die Zeit der größten Phase. Wenn man also für einen gegebenen Ort der Erde dieser Gleichung und den Gleichungen (17) und (22) zugleich Genüge leistet, so erhält man die Zeit, in welcher an diesem Orte die größte Phase gesehen wird, und der Werth von  $f$ , den man, um diesen Gleichungen Genüge leisten zu können, hat anwenden müssen, steht mit der Größe der größten Phase in enger Beziehung. Hat man für  $f$  seinen wahren Werth substituiren müssen, so ist nothwendig die Größe der größten Phase Null, und es wird bloß eine äufere Berührung der Ränder geschehen.

$$0 = \left\{ \frac{n'}{n} - p \cos \varphi \sin(15t' + K') \right\} \cos \psi' + p \cos \varphi \cos(15t' + G') \sin \psi' - \operatorname{tg} f p \cos \varphi \cos d \sin(15t' + \alpha')$$

Zwischen dieser Gleichung und der ersten Gleichung (22) müssen wir, wenn wir eine directe Auflösung unserer Aufgabe erhalten wollen, den Winkel  $\psi'$  eliminiren, einfacher ist es aber bei der indirecten Auflösung, die in den bereits entwickelten Gleichungen enthalten ist, stehen zu bleiben. Ich substituirt daher den Werth von  $u$  aus der ersten Gleichung (17) in die erste Gleichung (22), wodurch ich erhalte:

$$(30) \dots \dots \dots \begin{cases} g \sin(15t' + G') + \sin \psi' \operatorname{tg} f \cos d \cos(15t' + \alpha') = a \cos A' \\ \cos d \sin N' - \sin \psi' \operatorname{tg} f \sin d = a' \sin A' \\ \cos(\varphi + A') = \frac{u' \sin \psi' - U \sin N'}{p a} \\ \frac{n'}{n} - p \cos \varphi \sin(15t' + K') = c \sin \psi' \\ - p \cos \varphi \cos(15t' + G') = c \cos \psi' \\ \sin(\psi' - \psi) = - \frac{\operatorname{tg} f p \cos \varphi \cos d \sin(15t' + \alpha')}{c} \\ u = u' - \operatorname{tg} f p \sin \varphi \sin d - \operatorname{tg} f p \cos \varphi \cos d \cos(15t' + \alpha') \\ \lambda = t' + T' - T + \frac{U \cos N'}{n'} - p \sin \varphi \frac{\cos d \cos N'}{n} + p \cos \varphi \frac{\cos(15t' + K')}{n} - \frac{u}{n} \cos \psi' \end{cases}$$

Da während der größten Phase, also auch für die Oerter, welche bloß eine Berührung der Ränder sehen,  $\sin \psi'$  sich nie beträchtlich von  $+1$  oder  $-1$  entfernen kann, so gewähren diese Formeln eine sehr schnelle Annäherung zum richtigen Resultate, wenn man in der ersten Annäherung  $\sin \psi = +1$  oder beziehungsweise  $= -1$  setzt. Hiemit geben die ersten drei Gleichungen (30) einen genäherten Werth von  $\varphi$ , substituirt man diesen in die zweiten drei Gleichungen (30), so erhält man einen genaueren Werth von  $\psi'$ , welcher, wenn er in die ersten drei Gleichungen substituirt wird, einen genaueren Werth von  $\varphi$  giebt, und so fort, worauf man durch die beiden letzten Gleichungen (30)  $\lambda$  rechnet. Es ist aus dem Inhalt des Art. 9 leicht zu erkennen, daß  $\psi'$  während der größten Phase im ersten Halbkreise liegt, wenn der Mittelpunkt des Mondes nördlich, und daß  $\psi'$  im zweiten Halbkreise liegt, wenn der Mittelpunkt des Mondes südlich vor dem

Substituiren wir also von Anfang an den wahren Werth von  $\varphi$  und sehen wir  $\varphi$  und  $\lambda$  als unbestimmt an, so geben die Gleichung (29) und die Gleichungen (17) oder statt deren (22) die Oerter, welche bloß eine äufere Berührung der Ränder sehen und folglich die südliche und die nördliche Grenzcurve der Verfinsternng.

Lösen wir 'vermittelst der Gleichung  $\theta = \psi' - N' \sin i$  und  $\cos \theta$  in der Gleichung (29) auf, so findet man leicht, daß sie sich vermittelst der im Art. 12 eingeführten Hülfsgröße in folgende verwandeln läßt:

$$p \cos \varphi \{g \sin(15t' + G') + \sin \psi' \operatorname{tg} f \cos d \cos(15t' + \alpha')\} - p \sin \varphi \{c \sin N' - \sin \psi' \operatorname{tg} f \sin d\} = u' \sin \psi' - U \sin N'$$

Führen wir nun zur bequemerer Rechnung die Hülfsgrößen  $c$ ,  $\psi'$ ,  $\alpha'$  und  $A'$  ein, so haben wir mit Zuziehung der zweiten Gleichung (22) die folgenden Formeln für die strenge Berechnung der südlichen und der nördlichen Grenzcurven:

Mittelpunkte der Sonne vorbeieht. Wir erhalten demnach die südliche Grenzcurve, wenn wir in den vorstehenden Gleichungen anfänglich  $\sin \psi' = 1$ , und die nördliche Grenzcurve, wenn wir anfänglich  $\sin \psi' = -1$ , substituiren, und im Verlaufe der Rechnung den Bogen  $\psi' - \psi'$ , welcher durch seinen Sinus bestimmt wird, in demjenigen Quadranten annehmen, welcher dem anfänglich substituirten Werth von  $\sin \psi'$  entspricht. Wir hätten die Transformationen in den vorstehenden Formeln etwas anders einrichten können. Wir hätten nemlich statt der Hülfsgrößen  $\alpha'$  und  $A'$  die Größen  $\alpha$  und  $A$ , die wir in der vorhergehenden Aufgabe gebraucht haben, anwenden können. Dadurch wäre in den Formeln keine weitere Veränderung erfolgt, als daß in der Gleichung für  $\cos(\varphi + A)$  die Größen  $\alpha$  statt  $\alpha'$  vorgekommen wäre, und da die Rechnung ohnehin indirect ist, so wäre hieraus kein Nachtheil erwachsen. Der Grund aber, weshalb ich die Größen  $\alpha'$  und  $A'$  gewählt habe,



ist der, daß  $\sin \psi$  fast nie oder vielleicht gar nie so beträchtlich von der positiven oder negativen Einheit abweicht, daß es, wenn man nicht etwa die Resultate auf Secunden genau haben will, nöthig wäre, den genaueren Werth dieser Größe in der zweiten Annäherung in die Formeln für  $a'$  und  $A'$  zu substituiren. Man kann, wenn man die Resultate nur bis auf eine Minute genau verlangt, und dies ist in der That immer mehr wie hinreichend,  $a'$  und  $A'$  unverändert so lassen, wie diese Größen sich durch die erste Annäherung, wo  $+1$  oder  $-1$  für  $\sin \psi$  substituirt werden ist, ergeben haben. Wollte man sich aber erlauben, die kleinen von  $tg f$  abhängigen Glieder zu übergehen, so würde der Fehler in der Breite bis auf mehr wie  $\frac{1}{2}$  Grad geben können, und würde man gar  $\psi$  unbedacht  $= 90^\circ$  oder  $= 270^\circ$  annehmen, wie oft und vielleicht immer geschehen ist, so kam die Abweichung der sich so ergebenden Curve von der wahren Grenzcurve mehrere Grade betragen. Es kann aber nützlich werden, die Curven für  $\psi = 90^\circ$  und  $\psi = 270^\circ$  zu berechnen. Denn, wie leicht einzusehen ist, der Theil der Erdoberfläche, welcher zwischen der Curve, wo  $\psi = 90^\circ$  und der südlichen Grenzcurve eingeschlossen ist, und der Theil der Erdoberfläche, welcher zwischen der Curve, wo  $\psi = 270^\circ$  und der nördlichen Grenzcurve eingeschlossen ist, die Fläche der Erde, auf welcher bei dem Anfang und bei dem Ende der Verfinstörung  $\cos \psi$  dasselbe Zeichen hat. Es kam in Beziehung auf die zu den Gleichungen (20) gemachte Bemerkung, wenn man die Längen nach Beobachtungsorten, wo die Verfinstörung klein war, zu berechnen hat, nützlich seyn, diesen Theil der Erdoberfläche im Voraus zu kennen.

Substituirt man nun nach und nach in die Gleichungen (30) für  $t$  alle Werthe durch den ganzen Umkreis, und setzt man dabei zunächst einestheils  $\sin \psi = 1$  und andertheils  $\sin \psi = -1$ , so bekommt man (veranlagsetzt, daß beide Curven real werden) die südliche und die nördliche Grenzcurve der Verfinstörung. Diese beiden Curven scheiden eine Zone in der Erdoberfläche von dem übrigen Theile derselben ab, auf welchen die Verfinstörung nicht geschehen wird. Aber auch auf den ganzen Fläche dieser Zone wird die Verfinstörung nicht geschehen, denn die Gleichungen (30) geben alle Punkte der Erdoberfläche, welche von der äußeren Begrenzung des Schattkegels durchschnitten werden, und für einen Theil dieser Punkte, nämlich auch für einen Theil unserer Curven, ist die Sonne schwindend unter dem Horizonte. Der Bereich der Verfinstörung einer Verfinstörung wird also auch durch eine westliche und durch eine östliche Grenzcurve begrenzt.

Um die Gleichungen dieser Curven zu finden, bemerke ich, daß auch dem Vorübergehenden an der südlichen Grenzcurve, wo die Berührung des nördlichen Sonnenrandes statt-

findet,  $\psi$  nahe  $90^\circ$  ist, und an der nördlichen Grenzcurve, wo nur eine Berührung des südlichen Sonnenrandes stattfindet,  $\psi$  nahe  $270^\circ$  ist, zwischen diesen Grenzcurven für den Anfang und beziehungsweise für das Ende der Verfinstörung  $\psi$  alle Werthe durch den ganzen Umkreis annehmen wird. Ferner bemerke ich, daß der Zeitraum, in welchem der Schattenkegel die Erdoberfläche trifft, begrenzt ist. Wir finden daher die Gleichungen für die östliche und die westliche Grenzcurve, wenn wir die Oerter suchen, für welche bei willkürlich gelassenen  $\psi$  die absolute Zeit des Anfangs oder des Endes der Verfinstörung ein Maximum oder ein Minimum ist. Da  $\delta + N' = \psi$  ist, und da  $N'$  als constant betrachtet wird, so bedingt ein willkürliches  $\psi$  ein willkürliches  $\delta$ . Wir müssen daher, um die verlangten Curven zu finden, die vollständigen Gleichungen (17), ohne auf die Veränderung von  $\delta$  Rücksicht zu nehmen, nach  $\lambda$ ,  $t'$  und  $\phi$  differentiliren und nach der Differentiation  $dt' = d\lambda$  machen. Da  $u$  von  $\phi$  und  $t'$  abhängt, so ist diese Größe bei der gegenwärtigen Aufgabe veränderlich, und um diesem Umstand auf die einfachste Art berücksichtigen zu können, nehme ich die Gleichung

$$A'^2 + B'^2 + C'^2 = \rho^2$$

die wir in der vorübergehenden Aufgabe fanden, vor. In dieser Gleichung ist

$$\left. \begin{aligned} A &= \rho \cos \phi \sin(15t' + a') \\ B &= \rho \sin \phi \cos d - \rho \cos \phi \sin d \cos(15t' + a') \\ C &= \rho \sin \phi \sin d + \rho \cos \phi \cos d \cos(15t' + a') \end{aligned} \right\} \dots (31)$$

Wir können nun der obigen Gleichung zufolge annehmen, daß

$$\left. \begin{aligned} A &= -\rho \cos V \cos H \\ B &= \rho \cos V \sin H \\ C &= \rho \sin V \end{aligned} \right\}$$

sey, wo  $V$  und  $H$  zwei Halbswinkel sind, deren astronomische Bedeutung leicht zu erkennen ist, die aber anzuführen für unseren Zweck ganz überflüssig ist. Hiemit und wenn man für  $p$  und  $q$  ihre Werthe  $n' \sin N'$  und  $n' \cos N'$  substituirt, verwandeln sich die Gleichungen (17) in folgende:

$$\left. \begin{aligned} u &= u' - p \sin V \lg f \\ u \sin \delta &= -n' \sin N' (t' - \lambda + T - T) - \rho \cos V \cos H \\ u \cos \delta &= U + n' \cos N' (t' - \lambda + T - T) - \rho \cos V \sin H \end{aligned} \right\} \dots (32)$$

wo  $t'$ ,  $\lambda$ ,  $V$ ,  $H$  und  $u$  unsere veränderlichen Größen sind. Nach der Differentiation haben wir also

$$\left. \begin{aligned} du &= -\rho \cos V \lg f dV \\ du \sin \delta &= \rho \sin V \cos H dV + \rho \cos V \sin H dH \\ du \cos \delta &= \rho \sin V \sin H dV - \rho \cos V \cos H dH \end{aligned} \right\}$$

Eliminiren wir erst  $du$ , so erhalten wir

$$\left. \begin{aligned} (\lg f \cos V \sin \delta + \sin V \cos H) dV &= -\cos V \sin H dH \\ (\lg f \cos V \cos \delta + \sin V \sin H) dV &= \cos V \cos H dH \end{aligned} \right\}$$

Multiplizieren wir die erste dieser Gleichungen mit  $\cos H$ , die zweite mit  $\sin H$  und addiren wir sie, so ergibt sich

$$(33) \dots \dots \dots \lg V = - \lg f \sin (H + \theta)$$

welche die gesuchte Bedingungsgleichung ist. Da  $\theta + N' = \psi$  ist, so gehen die Gleichungen (32) durch Multiplicationen mit  $\sin N'$  und  $\cos N'$ , und wenn wir überdies  $H - N' = W$  machen,

$$u \sin \psi = U \sin N' - \rho \cos V \cos W$$

$$u \cos \psi = U \cos N' + n'(t' - \lambda + T' - T) - \rho \cos V \sin W.$$

Multiplizieren wir nun die dritte und zweite der Gleichungen (31) nach einander mit  $\sin d$  und  $\cos d$ , so bekommen wir durch Addition und Subtraction statt deren die folgenden drei

$$(34) \dots \dots \dots \left. \begin{aligned} & \lg V = - \lg f \sin (W + \psi) \\ & u = u' - \rho \sin V \lg f \\ & \cos W = \frac{U \sin N'}{\rho \cos V} - \frac{u \sin \psi}{\rho \cos V} \\ & \lg l = \frac{\lg V}{\sin (W + N')} \\ & \cotg \phi \sin (15 t' + a') = \frac{\cos l \cotg (W + N')}{\cos (d - l)} \\ & \cotg \phi \cos (15 t' + a') = - \lg (d - l) \\ & \lambda = t' + T' - T + \frac{U \cos N'}{n'} - \rho \frac{\cos V \sin W}{n'} - \frac{u}{n'} \cos \psi \end{aligned} \right\}$$

Diese Auflösung ist indirect, indem die ersten drei Gleichungen nur durch mehrere auf einander folgende Störungen berechnet werden können. Nachdem man einen willkürlichen Werth von  $\psi$  angenommen hat, setzt man zuerst  $V = 0$ , und berechnet durch die dritte Gleichung einen genäherten Werth von  $W$ , hiemit geben die beiden ersten Gleichungen genauere Werthe von  $V$  und  $u$ , mit welchen die Rechnung wiederholt werden muß. Wenn man die Secunden in den Winkeln übergeht, so wird die Rechnung durch den Umstand direct, daß  $V$  und  $u - u'$  immer so klein sind, daß sie alsdann gar keinen Einfluss auf die Berechnung von  $W$  äußern. Hat man  $W$ ,  $V$  und  $u$  gefunden, so geben die vier letzten Gleichungen  $\phi$  und  $\lambda$ . Für das Zeichen von  $\phi$  folgt aus den vorhergehenden Gleichungen die Regel, daß, vorausgesetzt daß man  $l$  immer im ersten oder im vierten Quadranten annimmt,  $\phi$  positiv ist, wenn entweder  $W + N'$  im ersten Halbkreise liegt und zugleich  $d - l$  im ersten oder vierten Quadranten, oder wenn  $W + N'$  im zweiten Halbkreise liegt und zugleich  $d - l$  im zweiten oder dritten Quadranten, und daß  $\phi$  negativ ist, wenn entweder  $W + N'$  im zweiten Halbkreise und zugleich  $d - l$  im ersten oder vierten Quadranten liegt, oder wenn  $W + N'$  im ersten Halbkreise und zugleich  $d - l$  im zweiten oder dritten Quadranten liegt.

Man kann die dritte Gleichung auch so stellen

$$\sin \psi = \frac{U \sin N'}{u} - \rho \frac{\cos V \cos W}{u}$$

$$\rho \cos \phi \sin (15 t' + a') = A$$

$$\rho \cos \phi \cos (15 t' + a') = C \cos d - B \sin d$$

$$\rho \sin \phi = C \sin d + B \cos d$$

Setzen wir ferner  $\frac{C}{B} = \lg l$ , so erhalten wir hieraus

$$\cotg \phi \sin (15 t' + a') = \frac{A \cos l}{B \cos (d - l)}$$

$$\cotg \phi \cos (15 t' + a') = - \lg (d - l)$$

wo  $A$ ,  $B$  und  $C$  vermittelt ihrer obigen Werthe durch  $V$  und  $W$  ausgedrückt werden müssen. Wir haben nun alle Gleichungen die für die Berechnung der östlichen und der westlichen Grenzcurve nöthig sind. Stellen wir sie zusammen, so ergibt sich

Bei Anwendung dieser Gleichung substituirt man einen willkürlichen Werth von  $W$ , worauf man durch Annäherungen, die man damit anfangt, daß man  $V = 0$  macht,  $\psi$  und  $u$  erhält, worauf die vier letzten Gleichungen, wie vorher,  $\phi$  und  $\lambda$  geben. In einem Theile der Curven ist es am zweckmäßigsten, anfanglich  $\psi$ , in einem andern Theile derselben ist es am zweckmäßigsten anfanglich  $W$  anzunehmen. Für jeden anfanglich substituirt Werth von  $\psi$  oder  $W$  geben diese Gleichungen, da dem  $\cos W$  in dem einen und dem  $\sin \psi$  in dem andern Falle zwei Bögen angehören, zwei Werthe von  $\phi$  und  $\lambda$  und somit zwei Punkte der Erdoberfläche, wovon der eine der westlichen und der andere der östlichen Grenzcurve angehört; und zwar gehört der Punkt, für welchen  $15 t' + a'$  im ersten Halbkreise liegt, der östlichen; und der Punkt, für welchen  $15 t' + a'$  im zweiten Halbkreise liegt, der westlichen Grenzcurve an. Wenn  $u$ ,  $U$  und  $N'$  so beschaffen ist, daß jeder reelle Werth von  $\psi$  einen reellen Werth von  $\cos W$  giebt, so geben diese Gleichungen zwei von einander abgesonderte Curven, deren jede in sich selbst zurückkehrt. In diesem Falle ist sowohl die nördliche wie die südliche Grenzcurve reel, und jede dieser wird von jenen beiden berührt. Um diese vier Berührungspunkte zu finden, ist nichts weiter nöthig, als die Gleichung (29) mit den Gleichungen (34) zu verbinden. Führen wir zu dem Ende die Winkel  $V$  und  $W$  in die Gleichung (29) ein, so verwandelt sich diese in

$$0 = \left\{ \frac{n'}{c} + \rho \sin d \cos V \cos IV - \rho \cos d \sin N' \sin V \right\} \cos \psi' \\ - \left\{ \rho \sin d \cos V \sin IV - \rho \cos d \cos N' \sin V \right\} \sin \psi' \\ + \rho \lg f \cos d \cos V \cos (IV + N')$$

woraus, wenn man

$$\left\{ \begin{aligned} \frac{n'}{c} + \rho \sin d \cos V \cos IV - \rho \cos d \sin N' \sin V &= c \sin \psi' \\ \rho \sin d \cos V \sin IV - \rho \cos d \cos N' \sin V &= c \cos \psi' \end{aligned} \right. \quad (35)$$

setzt,

$$\sin (\psi' - \psi'') = \frac{\rho \lg f \cos d \cos V \cos (IV + N')}{c}$$

hergeht. Man substituirt nun, um die gemeinschaftlichen Punkte unserer Curven zu erhalten, zuerst  $\psi' = 90^\circ$  und  $u = u'$  in die dritte Gleichung (34), mit den so erhaltenen beiden Werthen von  $IV'$  rechnet man aus den beiden ersten Gleichungen (34)  $V$  und  $u$  und somit aus den Gleichungen (35) einen genaueren Werth von  $\psi'$ ; hienüt wiederholt man die Rechnung, wenn dieses nöthig seyn sollte. Wenn man die Sekunden vernachlässigt, wird diese Rechnung sehr einfach, man kann alsdann in den Gleichungen (35)  $V = 0$  setzen, und man bekommt alsdann gewöhnlich durch die erste Annäherung einen Werth für  $\psi'$ , an welchem nichts zu verbessern nöthig ist. Rechnet man nun mit diesem Werthe von  $\psi'$  durch die Gleichungen (34) die zwei ihm entsprechenden Orter, so hat man zwei Punkte der Erdoberfläche, wovon der eine der östlichen und der südlichen und der andere der westlichen und der südlichen Grenzcurve gemeinschaftlich ist. Führt man nun dieselbe Rechnung wieder durch, indem man anfanglich  $\psi' = 270^\circ$  in die dritte Gleichung (34) substituirt, so erhält man zwei andere Punkte der Erdoberfläche, wovon der eine der östlichen und der nördlichen, und der andere der westlichen und der nördlichen Grenzcurve gemeinschaftlich ist. Somit ist der ganze Theil der Erdoberfläche, auf welchem die Verfinsternung gesehen wird, zwischen den Grenzcurven eingeschlossen, und ausserhalb dieser wird die Verfinsternung nicht gesehen. Um nun nur denjenigen Theil der östlichen und der südlichen Curve zu erhalten, welcher die Grenzcurve ist, muß man in die Gleichungen (30)

$$dV = -\lg f \cos^2 V \cos (IV + \psi') (dIV + d\psi')$$

$$du = -\rho \lg f \cos V dV$$

$$u \cos \psi' d\psi' + \sin \psi' d\psi' = \rho \sin V \cos IV dV + \rho \cos V \sin IV dV$$

$$0 = \rho \sin V \sin IV dV - \rho \cos V \cos IV dV - \cos \psi' du + u \sin \psi' d\psi'.$$

Setzt man zwischen diesen Gleichungen  $du$  und  $dV$ , so erhält man

$$0 = \left\{ u \cos \psi' - \rho \lg^2 f \cos^2 V \cos^2 (IV + \psi') \sin IV \right\} d\psi' - \rho \cos V \left\{ 1 + \lg^2 f \cos^2 V \cos^2 (IV + \psi') \right\} \sin IV dIV$$

$$0 = \left\{ u \sin \psi' - \rho \lg^2 f \cos^2 V \cos^2 (IV + \psi') \cos IV \right\} d\psi' - \rho \cos V \left\{ 1 + \lg^2 f \cos^2 V \cos^2 (IV + \psi') \right\} \cos IV dIV$$

$$\frac{u \cos \psi' - \rho \lg^2 f \cos^2 V \cos^2 (IV + \psi') \sin IV}{u \sin \psi' - \rho \lg^2 f \cos^2 V \cos^2 (IV + \psi') \cos IV} = \lg IV$$

$$\frac{u \cos \psi' - \rho \lg^2 f \cos^2 V \cos^2 (IV + \psi') \sin IV}{u \sin \psi' - \rho \lg^2 f \cos^2 V \cos^2 (IV + \psi') \cos IV} = \lg IV$$

nur diejenigen Werthe des Stundenwinkels substituiren, welche zwischen den, den eben beschriebenen gemeinschaftlichen Punkten zukommenden Stundenwinkeln liegen, indem man von dem im zweiten Halbkreise liegenden Stundenwinkel durch  $360^\circ$  oder  $0^\circ$  zu dem im ersten Halbkreise liegenden Stundenwinkel übergeht.

Der ganze Umfang der so eben gefundenen östlichen und westlichen Grenzcurve bildet nicht die östliche und westliche Grenze der Verfinsternung, sondern von der westlichen Curve ist nur der Theil, welcher sich vom Berührungspunkte mit der südlichen Grenzcurve bis zum Berührungspunkte mit der nördlichen Grenzcurve erstreckt und in welchem  $\psi'$  den ersten und den vierten Quadranten durchläuft, also der Theil, auf welchem das Ende der Verfinsternung bei aufgehender Sonne gesehen wird, eigentliche Grenzcurve, und von der östlichen Curve ist nur der Theil, welcher sich von deren Berührungspunkte mit der südlichen Grenzcurve bis zum Berührungspunkte mit der nördlichen Grenzcurve erstreckt und in welchem  $\psi'$  den zweiten und den dritten Quadranten durchläuft, also der Theil, auf welchem der Anfang der Verfinsternung bei untergehender Sonne gesehen wird, eigentliche Grenzcurve. Die übrigen Theile dieser Curven fallen in den Bereich der Sichtbarkeit der Verfinsternung, sind aber auch merkwürdige Linien. Der Theil der westlichen Grenzcurve, welcher in den Bereich der Sichtbarkeit der Verfinsternung fällt, giebt die Orter, welche den Anfang derselben bei aufgehender Sonne sehen, und der homologe Theil der östlichen Grenzcurve giebt die Orter, welche das Ende der Verfinsternung bei untergehender Sonne sehen.

Auf diesen Theilen dieser Curven liegen zwei merkwürdige Punkte; nemlich auf der westlichen Curve der Ort, an welchem die Verfinsternung auf der Erde überhaupt anfängt, und auf der östlichen Curve der Punkt, wo die Verfinsternung auf der Erde überhaupt aufhört. Um diese Punkte zu finden müssen wir das Maximum und Minimum der Gleichungen (34) in Beziehung auf die absolute Zeit suchen. Differentiren wir die erste, zweite, dritte und siebente derselben, und machen wir nach der Differentiation  $dt' = d\lambda$ , so erhalten wir

Diese Gleichung giebt

$W' + \psi' = 90^\circ$  und  $W' + \psi' = 270^\circ$   
 dem hiemit haben wir  $\cos(W' + \psi') = 0$ , und alsdann aus  
 der vorstehenden Gleichung  $\cot g \psi' = \frac{tg W'}{\sin N'}$ , welcher die an-  
 geführten Werthe von  $W' + \psi'$  ebenfalls Genüge leisten. Sub-  
 stituiren wir nun diese Werthe von  $W' + \psi'$  in die Gleichun-  
 gen (34), so erhalten wir erstlich  $V = \frac{1}{2} f$  und sodann

$$(35^a) \left\{ \begin{aligned} u &= u' \pm p \sin f \operatorname{tg} f \\ \sin \psi' &= \frac{U \sin N'}{u \pm p \cos f} \\ \operatorname{tg} l &= \frac{\pm p f}{\cos(\psi' - N')} \\ \cot g \varphi \sin(15^\circ + a') &= -\frac{\cos l \operatorname{tg}(\psi' - N')}{\cos(d + l)} \\ \cot g \varphi \cos(15^\circ + a') &= -\operatorname{tg}(d + l) \\ \lambda &= t' + T' - T + \frac{U \cos N' - u \pm p \cos f}{N'} \cos \psi' \end{aligned} \right.$$

wobei zu bemerken ist, daß bei Anwendung der oberen Zei-  
 chen  $\varphi$  negativ ist, wenn entweder  $\psi' - N'$  im zweiten oder  
 dritten Quadranten und zugleich  $d + l$  im ersten oder vierten  
 Quadranten liegt, oder wenn  $\psi' - N'$  im ersten oder vierten  
 Quadranten und zugleich  $d + l$  im zweiten oder dritten  
 Quadranten liegt, daß  $\varphi$  hingegen positiv ist, wenn entweder  
 $\psi' - N'$  im ersten oder vierten Quadranten und zugleich  $d + l$   
 im ersten oder vierten Quadranten liegt, oder wenn  $\psi' - N'$   
 sowohl wie  $d + l$  im zweiten oder dritten Quadranten liegen.  
 Bei Anwendung der unteren Zeichen ist die Regel für das Zei-  
 chen von  $\varphi$  das Entgegengesetzte der eben gegebenen Regel;  
 diese Regeln setzen aber voraus, daß man immer  $l$  im ersten  
 oder im vierten Quadranten annehme.

Diese Gleichungen geben nun, wenn man die oberen Zei-  
 chen anwendet, die beiden verlangten Oerter, und die Rechnung  
 ist, wie man sieht, direct. Durch Anwendung der unteren  
 Zeichen erhält man, wenn die südliche und die nördliche  
 Grenzcurve beide reel sind, die beiden Oerter der Erde, an  
 deren einem das Ende der Verfinstörung bei aufgehender Sonne  
 unter allen zuletzt, und an deren anderem der Anfang der Ver-  
 finstörung bei untergehender Sonne unter allen zuerst gesehen  
 wird. Wenn entweder die südliche oder die nördliche Grenz-  
 curve imaginär ist, so werden diese beiden Punkte auch  
 imaginär.

Die absolute Zeit, wann diese sowohl wie die übrigen in  
 diesem Artikel abgehandelten Erscheinungen statt finden, erhält  
 man aus den gefundenen Werthen von  $t'$  und  $\lambda$  durch die  
 Gleichung

$$t = t' - \lambda.$$

Ich füge hinzu, daß die Gleichungen (34), mithin die  
 östliche und die westliche Grenzcurve die Oerter geben, an

welchen der Anfang oder beziehungsweise das Ende der Ver-  
 finstörung in dem Augenblick gesehen wird wo der Punkt  
 des Sonnenrandes, an welchem die Verfinstörung anfängt oder  
 aufhört, im Horizonte liegt; es ist leicht einzusehen, daß diese  
 Oerter in der That die Grenze der Sichtbarkeit der Verfin-  
 störung im Osten und Westen bilden müssen.

14.

Im Vorhergehenden habe ich angenommen, daß beides  
 die südliche und die nördliche Grenzcurve, reel seyen, und die-  
 ses ist möglich, denn der Halbmesser des Schattenkegels an der  
 Erde ist immer kleiner, wie der Halbmesser dieser. Aber in  
 den meisten Fällen wird entweder die südliche oder die nörd-  
 liche Grenzcurve imaginär; es reicht absond der Schattenkegels  
 über den einen Erdpol hinaus. In diesem Falle gelten die ent-  
 wickelten Formeln alle noch, aber die östliche und die west-  
 liche Grenzcurve gestalten sich ganz anders, sie vereinigen sich  
 in eine Curve, welche die Gestalt einer 8 annimmt, und als  
 einen doppelten Punkt hat. Wir wollen diesen Fall eben-  
 so betrachten. Das Kennzeichen dafür können wir aus der  
 dritten Gleichung (34) entnehmen, denn es muß alsdann zu  
 gewisse Werthe von  $\psi'$  entweder

$$\frac{U \sin N' - u \sin \psi'}{p \cos V} > 1$$

oder

$$\frac{U \sin N' - u \sin \psi'}{p \cos V} < -1$$

seyn, so daß  $\psi'$  nicht alle Werthe durch den ganzen Kreis  
 annehmen kann. Die beiden Grenzwerthe von  $\psi'$  werden als-  
 dann entweder durch die Gleichung

$$\sin \psi' = \frac{U \sin N' - p \cos V}{u} \quad \text{oder durch die Gleichung}$$

$$\sin \psi' = \frac{U \sin N' + p \cos V}{u} \quad (36)$$

gegeben.

Übergehen wir die unbedeutende Variation von  $l$ , so gilt  
 die vorletzte Gleichung (34) zu erkennen, daß das Maximum  
 der Breite, welche die östlich-westliche Grenzcurve, wie ich es  
 jetzt nennen werde, erreicht, eintritt wenn  $\cos(15^\circ + a) = \frac{1}{u}$ .  
 Hiemit giebt die fünfte Gleichung (34) entweder  $W' + N' = 90^\circ$   
 oder  $W' + N' = 270^\circ$ , voraus

$$\sin \psi' = \frac{U \pm p \cos V}{u} \sin N' \quad (37)$$

folgt. Das obere Zeichen kann nur statt finden, wenn  $U$  po-  
 sitiv, also wenn die nördliche Grenzcurve imaginär ist, und das  
 untere Zeichen kann nur statt finden, wenn  $U$  negativ ist,  
 also wenn die südliche Grenzcurve imaginär ist. Da aber  
 diesen Fällen  $U$  und  $\varphi$  gleichen Zeichen haben müssen,

haben wir im ersten Falle, wenn  $U$  und  $d$  gleiches Zeichen haben aus den Gleichungen (34)

$$\begin{aligned}\varphi &= 90^\circ - d + V \\ 15t + a' &= 180^\circ\end{aligned}$$

und wenn  $U$  und  $d$  entgegengesetzte Zeichen haben,

$$\begin{aligned}\varphi &= 90^\circ + d - V \\ 15t + a' &= 0.\end{aligned}$$

Im zweiten Falle ergibt sich, wenn  $U$  und  $d$  gleiche Zeichen haben,

$$\begin{aligned}\varphi &= -90^\circ - d - V \\ 15t + a' &= 180^\circ\end{aligned}$$

und wenn  $U$  und  $d$  entgegengesetzte Zeichen haben.

$$\begin{aligned}\varphi &= -90^\circ + d + V \\ 15t + a' &= 0.\end{aligned}$$

Es reicht also in beiden Fällen unsere Curve bis an den Parallelkreis, für welchen der Punkt des Sonnenrandes, wo die Verfinstörung anfängt oder aufhört, in der Mitternacht oder beziehungsweise im Mittage im Horizonte steht, und da der gegebenen Breite und dem Stundenwinkel jedenfalls zwei Längen, vermöge der Gleichungen (34) angehören, so hat unsere Curve auf dem höchsten Parallel, den sie erreicht immer zwei Punkte. Wir müssen jetzt aber, um das Weitere zu erklären, zwei Fälle abgesondert betrachten,

a) Wenn  $U$  und  $d$  gleiche Zeichen haben.

Ich werde nun die beiden Punkte unserer Curve, welche dem Maximo der Breite correspondiren,  $A$  und  $B$  nennen, und werde annehmen, daß  $A$  der Zeitfolge nach der frühere Punkt ist. Ein Bewohner des Punktes  $A$  sieht, nun den Anfang der Verfinstörung, indem die Sonne im Mitternachtspunkte und, wie überall auf unserer Curve, indem sie im Horizonte steht. Auf Punkt  $A$  also dieses Zweiges unserer Curve, welcher der Zeitfolge nach früher wie  $A$  ist, wird der Anfang der Verfinstörung bei aufgehender, und auf jedem Punkte, welcher später wie  $A$  ist, wird der Anfang der Verfinstörung bei untergehender Sonne gesehen. Im Punkte  $A$  fängt also, der Erklärung des vorigen Artikels zufolge, die östlich-westliche Grenzcurve an eigentliche Grenzcurve zu werden. Nach Verlauf eines gewissen Zeitraums (bei der Sonnenfinsternis dieses Jahr betrug er  $1^h, 2'$ ) sieht ein Bewohner des Punktes  $B$  das Ende der Verfinstörung, während die Sonne im Mitternachtspunkte steht. An jedem Punkte dieses (andern) Zweiges der Curve, welcher einer früheren Zeit angehört wie  $B$ , wird das Ende der Verfinstörung bei untergehender, und an jedem Punkte, welcher einer späteren Zeit angehört wie  $B$ , wird das Ende bei aufgehender Sonne gesehen. Im Punkte  $B$  fängt die östlich-westliche Grenzcurve also wieder an eigentliche Grenzcurve zu werden. Da nun aber  $B$  einer späteren Zeit

angehört wie  $A$ , und da im Mitternachtspunkte in  $A$  Anfang der Sonne in Untergang und in  $B$  Untergang in Anfang übergeht, so folgt, daß zwischen den Punkten  $A$  und  $B$  die Zweige unserer Curve, welche eigentliche Grenzcurven sind, einander schneiden. Es ist somit in diesem Falle der Theil der Erdoberfläche, welcher die Verfinstörung sieht, durch die östlich-westliche Grenzcurve, und durch die reelle südliche oder nördliche Grenzcurve völlig eingeschlossen. Denn es ist ohne Weiteres aus den vorhergehenden Formeln klar, daß die östlich-westliche Grenzcurve immer mit der reellen südlichen oder nördlichen Grenzcurve zwei Punkte gemeinschaftlich hat, und zwar zwei von den vier Punkten, deren Berechnung durch die Gleichung (35) in Verbindung mit den Gleichungen (34) geführt wird.

Der Punkt, wo die beiden Zweige der östlich-westlichen Grenzcurve einander schneiden, hat das Eigenthümliche, daß ein Bewohner desselben den Anfang der Verfinstörung bei untergehender, und das Ende derselben an dem darauf folgenden Morgen bei aufgehender Sonne sieht.

b) Wenn  $U$  und  $d$  ungleichnamig sind.

In diesem Falle gestaltet sich die Sache etwas anders. Ein Bewohner des Punktes  $A$  sieht den Anfang der Verfinstörung während die Sonne im Mittelpunkte und im Horizonte steht; vorher wurde an diesem Zweige der Curve der Anfang bei aufgehender Sonne gesehen, und nach diesem Punkte  $A$  wird auf diesem Zweige der Curve der Anfang bei untergehender Sonne gesehen, es fängt also, wie im vorigen Falle, im Punkte  $A$  der Zweig der östlich-westlichen Grenzcurve, dem dieser Punkt angehört, an, eigentliche Grenzcurve zu werden. Eben so findet man leicht, daß bis hieher im Punkte  $B$  der Wechsel der Erscheinungen sich gleichfalls eben so gestaltet, wie im vorigen Falle. Aber es findet zwischen den beiden Fällen der wesentliche Unterschied statt, daß in jenem Falle der Wechsel im Mitternachtspunkte, in diesem Falle aber derselbe im Mittagspunkte vor sich geht. Hieraus folgt, daß in diesem Falle die beiden Zweige der östlich-westlichen Grenzcurve einander in einem Punkte schneiden, welcher den eigentlichen Grenzcurven nicht angehört. Während also in jenem Falle die eigentlichen Grenzcurven in einander geschoben sind und mithin eine geschlossene Grenze bilden, sind sie in diesem Falle auseinander gezogen, und lassen im Norden, wenn  $U$  positiv ist, und im Süden, wenn  $U$  negativ ist, ein Stück der Erdoberfläche ohne Begrenzung offen. Die eigentliche Grenzcurve in diesem Stück der Erdoberfläche ist aber weiter nichts als der Theil des Parallelkreises, welcher die Punkte  $A$  und  $B$ , wo die eigentlichen Grenzcurven anfangen, mit einander verbindet, denn die Sonne scheint bis auf diesen Parallelkreis und kann über denselben nicht hinaus scheinen.

Der Durchschnittspunkt der beiden Zweige unserer Curve hat in diesem Falle das Eigenthümliche, daß ein Bewohner desselben den Anfang der Verfinsternung bei aufgehender, und das Ende derselben am denselben Tage bei untergehender Sonne sieht.

Die Länge und Breite des Durchschnittspunktes findet man aus den Gleichungen (34), wenn man sie auf Anfang und Ende einer Verfinsternung, für welche  $\phi$  und  $\lambda$  dieselben unbekannten Größen bleiben, anwendet. Die Auflösung kann aber nur durch Näherungen herzustellen werden, weil die Gleichungen in Beziehung auf den Stundenwinkel transcendent sind. Wenn man mehrere Punkte der östlich-westlichen Grenzcurve, die in der Nähe des Durchschnittspunktes liegen, durch Hilfe der Gleichungen (34) berechnet hat, so findet man die Länge und Breite des Durchschnittspunktes am leichtesten durch Interpolation.

- 3) Die Curve zu finden, die in irgend einem gegebenen Zeitmomente der Schattenkegel auf der Erde beschreibt.

Substituiren wir in die Gleichungen (32) für  $t' - \lambda$  seinen Werth  $t$ , und für  $n' \sin N'$  und  $n' \cos N'$  ihre Werthe  $p$  und  $q$ , so erhalten wir

$$\begin{aligned} u &= u' - \rho \sin V' \operatorname{tg} f \\ u \sin \theta &= -p(t+T'-T) - \rho \cos V' \cos H \\ u \cos \theta &= U + q(t+T'-T) - \rho \cos V' \sin H \end{aligned}$$

Setzen wir nun

$$\begin{aligned} p(t+T'-T) &= S \sin \Sigma \\ U + q(t+T'-T) &= S \cos \Sigma \end{aligned}$$

so haben wir

$$(38) \dots \dots \begin{cases} u \sin \theta = -S \sin \Sigma - \rho \cos V' \cos H \\ u \cos \theta = S \cos \Sigma - \rho \cos V' \sin H \end{cases}$$

Erheben wir diese Gleichungen ins Quadrat und addiren sie um  $\theta$  zu eliminiren, so ergibt sich nach einer leichten Umstellung

$$(39) \dots \dots \sin(H - \Sigma) = \frac{S^2 + \rho^2 \cos^2 V' - (u' - \rho \operatorname{tg} f \sin V')^2}{2 S \rho \cos V'}$$

welches die Gleichung unserer Curve ist, deren Coordinaten  $V'$  und  $H$  sind. Für jeden Zeitpunkt  $t$ , den man innerhalb der durch die Gleichungen (35) mit Anwendung der oberen Zeichen gefundenen zwei Zeiten auswählt, giebt diese Gleichung zu jedem Werthe von  $V'$ , den man in dieselbe substituirt, im Allgemeinen zwei Werthe von  $H$ , und somit die Coordinaten eines jeden Punktes unserer Curve. Aus  $V'$  und  $H$  findet man durch die vierte, fünfte und sechste der Gleichungen (34), welche für unsern jetzigen Fall folgendermaßen geschrieben werden müssen:

$$\left. \begin{aligned} \operatorname{tg} t &= \frac{\operatorname{tg} V'}{\sin H} \\ \cos \phi \sin(15\lambda + 15t + a') &= -\frac{\cos I \cos \phi H}{\cos(d-l)} \dots \dots (40) \\ \cos \phi \cos(15\lambda + 15t + a') &= -\operatorname{tg}(d-l) \end{aligned} \right\}$$

die Länge und Breite. Für die Erkennung des Zeichens von  $\theta$  dient die Regel, die bei den Gleichungen (34) gegeben wurde. Die Gleichung (39) giebt alle Punkte der Erdoberfläche, welche zu gleicher Zeit vom Schattenkegel durchschnitten werden, sie giebt also auch diejenigen, welche in diesem Zeitpunkte von der Sonne nicht beschienen werden, und wo also in der Wirklichkeit die Curve nicht statt findet. Um den wirklich statt findenden Theil der Curve von dem übrigen Theile abzusondern, ist es nöthig, daß die Grenzwerthe von  $V'$  bestimmt werden. Die Gleichung

$$\sin \phi \sin d + \cos \phi \cos d \cos(15t + a') = \sin V'$$

zeigt an, daß der Punkt  $(a', d)$ , also auch nahe der Mittelpunkt der Sonne sich über dem Horizonte befindet, wenn  $\sin V'$  positiv, und unter dem Horizonte, wenn  $\sin V'$  negativ ist. Hieraus folgt beiläufig, daß wir, um den wirklich statt findenden Theil unserer Curve zu erhalten,  $V'$  im ersten Halbkreise annehmen müssen. Es ist aber an sich klar, daß das genaue Minimum von  $V'$  so bestimmt werden muß, daß der diesem Minimum entsprechende Punkt unserer Curve den Gleichungen für die östliche oder westliche Grenzcurve ebenfalls genügt. Wir haben also aus der vorhergehenden Aufgabe für das Minimum von  $V'$  die Bedingungsgleichung

$$\operatorname{tg} V' = -\operatorname{tg} f \left\{ \sin H \cos \theta + \cos H \sin \theta \right\}$$

Eliminirt man aus dieser Gleichung  $\theta$  vermittlest der Gleichungen (38), so verwandelt sie sich in

$$\operatorname{tg} V' = \frac{\operatorname{tg} f}{n} \left\{ \rho \cos V' - S \sin(H - \Sigma) \right\} \dots \dots (41)$$

Die Berechnung des Minimums von  $V'$  ist also indirect. Man substituirt erstlich  $V' = 0$  in die Gleichung (39), und mit dem so erhaltenen Werthe von  $\sin(H - \Sigma)$  berechnet man durch die vorstehende Gleichung einen genäherten Werth von  $V'$ , mit welchem die Rechnung, wo nöthig, wiederholt werden muß. Wir haben somit das Minimum von  $V'$ , und von diesem Minimum aufgehend wächst  $V'$  im ersten Halbkreise bis zu einem gewissen Maximum, von wo dieser Bogen wieder bis zum Minimum abnimmt. Um das Maximum, dessen  $V'$  fähig ist, zu finden, sey  $V'$  irgend ein specieller Werth von  $V'$ , und  $H$  und  $H''$ , die zwei correspondirenden Werthe von  $H$ , so daß die Substitution  $V' = V'$  in die Gleichung (39)  $H = H$ , und  $= H''$  giebt. Dies vorausgesetzt, findet man leicht, daß die Substitution von  $V' = 180^\circ - V'$  in die Gleichung (39) nothwendig die Werthe  $H = 180^\circ + H$ , und  $= 180^\circ + H''$ , geben muß. Substituirt man aber einestheils  $V' = V'$ , und  $H = H$ , und

andertheils  $V = 180^\circ - V$ , und  $H = 180^\circ + H$ , in die Gleichungen (40), so ergibt sich leicht, daß diese beiden Substitutionen den nemlichen Werth für  $\phi$  und für  $\lambda$  geben, und eben so müssen die Substitutionen  $V = V$ ,  $H = H$ , und  $V = 180^\circ - V$ ,  $H = 180^\circ + H$ , ein und dasselbe Resultat geben. Hieraus folgen wir, daß der Werth  $V = V$ , mit den ihm correspondirenden Werthen von  $H$ , und der Werth  $V = 180^\circ - V$ , mit den ihm correspondirenden Werthen von  $H$  zwei nemlichen Punkten auf der Erdoberfläche angehört. Wir erhalten also alle Punkte des wirklich stattfindenden Theils unserer Curve, wenn wir  $V$  von dem durch die Gleichung (41) gegebenen Minimum bis zum Maximum  $V = 90^\circ$  wachsend zunehmen.

Aber diese Grenzwerte von  $V$  können in gewissen Fällen vermöge der Beschaffenheit der Gleichung (39) imaginär werden, denn es ist durch diese klar, daß denjenigen Werthen von  $V$ , für welche die rechte Seite derselben nicht in den Grenzen  $\pm 1$  eingeschlossen ist, keine reellen Punkte unserer Curve entsprechen können. Setzen wir einestheils  $\sin(H - \Sigma) = -1$ , so erhalten wir

$$(42) \dots \dots \dots \left\{ \begin{array}{l} \cos(V \mp f) = \frac{+u' - S}{p \cos f} \\ \text{setzen wir } \sin(H - \Sigma) = +1, \text{ so ergibt sich} \\ \cos(V \pm f) = \frac{\mp u' + S}{p \cos f} \end{array} \right.$$

und diese beiden Gleichungen geben die Grenzwerte von  $V$  wenn jene Grenzwerte imaginär werden. Die doppelten Zeichen der rechten Seite müssen allemal so gewählt werden, daß der Cosinus der linken Seite positiv wird, und dieser Umstand bewirkt, daß diese beiden Gleichungen, welche vier Grenzwerte geben zu können scheinen, in der That nur höchstens zwei reelle Grenzwerte, für den Theil unserer Curve, welcher wirklich statt findet, geben. Wenn beide diese Grenzwerte real sind, so ist der eine derselben das Maximum und der andere das Minimum von  $V$ , und unsere Curve ist alsdann eine sich selbst zurückkehrende krumme Linie; in diesem Falle fallen die beiden vorher bestimmten Grenzwerte von  $V$  weg. Wenn aber die verstehenden Gleichungen nur einen reellen Grenzwert von  $V$  geben, so ist dieser das Maximum, und das vorher bestimmte Maximum  $V = 90^\circ$  fällt weg, aber das durch die Gleichung (41) bestimmte Minimum von  $V$  findet statt.

Der Grenzwert  $V = 90^\circ$  findet nur statt, wenn der Werth der Gleichung (39) verschwindet, das ist, wenn für den gewissen Werth von  $t$

$$u' - p \cos f = \pm S$$

in diesem Falle wird  $\sin(H - \Sigma) = 0$ ; betrachten wir die Gleichungen (40), so zeigt sich, daß alsdann  $W$  aus dem verschwindet, und daß wir erhalten

$$\phi = d \\ \lambda = -\varepsilon - \frac{a'}{15}$$

Diese Gleichungen geben den Ort, welcher den Anfang oder das Ende der Verfinsternung sieht, während der Punkt  $(a, d)$  im Zenith steht. Die obigen Gleichungen zeigen, daß die Möglichkeit dieser Erscheinung hauptsächlich von der Größe von  $U$  abhängt.

Die Grenzcurve, welche wir in dieser Aufgabe bestimmt haben, ist isodynamisch und isochronisch zugleich, sie giebt die Orte, welche in einem und demselben Augenblick den Anfang oder beziehungsweise das Ende der Verfinsternung sehen. Die vorher bestimmten Grenzcurven sind bloß isodynamisch.

## 15.

Durch Hülfe der im Vorbergehenden entwickelten Gleichungen wird es uns leicht auf der Erdoberfläche, auf welcher die Verfinsternung gesehen wird, isodynamische und isochronische Curven verschiedener Gattung zu ziehen. Ich stelle zuerst die Aufgabe:

- 4) Die Curve zu ziehen, auf welchen eine gewisse vorbestimmte Phase als größte Phase gesehen wird.

Wir haben im Art. 11 den mittleren Halbmesser der Sonne  $\Delta'$  genannt; wenn wir aber annehmen, dieser Halbmesser sey  $x\Delta'$ , wo  $x$  eine Zahl bedeutet die kleiner wie Eins ist, so ist leicht einzusehen, daß an dem Orte, an welchem in der That während der größten Phase der  $\frac{1-x}{2}$ te Theil des Sonnendurchmessers vom Monde bedeckt wird, eine äußere Berührung der Ränder gesehen werden würde, und daß an dem Orte, an welchem in der That der  $\frac{1+x}{2}$ te Theil des Sonnendurchmessers während der größten Phase verdeckt wird, eine innere Berührung der Ränder gesehen werden würde. Setzen wir daher statt der Gleichung (21)

$$\sin f = \frac{\tan \Pi' + \sin x\Delta'}{R G} \dots \dots \dots (43)$$

und rechnen wir mit diesem Werthe von  $f$ , nachdem darin für  $x$  ein bestimmter zwischen den Grenzen  $\pm 1$  liegender Werth substituirt worden ist, die Größe  $u'$ , so erhalten wir durch die für die Auflösung der zweiten Aufgabe gegebenen Gleichungen, die der größten Phase vom  $\frac{1-x}{2}$ ten Theile des Sonnendurchmessers entsprechenden Curven. Wir erhalten also, wenn alles real ist, für jede Phase vier Curven, eine nördliche, eine südliche, eine östliche und eine westliche. Wenn aber eine der beiden ersten Curven imaginär wird, so erhalten wir statt der beiden letzten eine östlich-westliche Phasencurve. Wenn die nördliche oder die südliche Grenzcurve imaginär ist, so wird auch für einen Werth von  $x$ ,

welcher nur sehr wenig kleiner wie Eins ist, die nördliche oder beziehungsweise die südliche Phasencurve imaginär werden, aber wenn eine centrale Verfinstörung auf der Erde überhaupt statt findet, so werden von einem gewissen Werthe von  $x$  an alle vier Phasencurven reel werden. Setzt man nach und nach in die obige Formel

$$x = \begin{matrix} \frac{1}{2} \\ \frac{1}{3} \\ \frac{1}{4} \\ \frac{1}{5} \\ \frac{1}{6} \\ \frac{1}{7} \\ \frac{1}{8} \\ \frac{1}{9} \\ \frac{1}{10} \\ \frac{1}{11} \\ \frac{1}{12} \\ \frac{1}{13} \\ \frac{1}{14} \\ \frac{1}{15} \\ \frac{1}{16} \\ \frac{1}{17} \\ \frac{1}{18} \\ \frac{1}{19} \\ \frac{1}{20} \\ 0 \end{matrix} \left. \begin{array}{l} \text{so erhält man die} \\ \text{Phasencurven für} \\ \text{die grösste Phase} \\ \text{von} \end{array} \right\} \begin{matrix} \frac{1}{2} \\ \frac{1}{3} \\ \frac{1}{4} \\ \frac{1}{5} \\ \frac{1}{6} \\ \frac{1}{7} \\ \frac{1}{8} \\ \frac{1}{9} \\ \frac{1}{10} \\ \frac{1}{11} \\ \frac{1}{12} \\ \frac{1}{13} \\ \frac{1}{14} \\ \frac{1}{15} \\ \frac{1}{16} \\ \frac{1}{17} \\ \frac{1}{18} \\ \frac{1}{19} \\ \frac{1}{20} \end{matrix} \begin{matrix} \text{des Sonnendurchmessers} \\ \text{_____} \\ \text{_____} \\ \text{_____} \\ \text{_____} \\ \text{_____} \\ \text{_____} \\ \text{_____} \\ \text{_____} \\ \text{_____} \\ \text{_____} \\ \text{_____} \\ \text{_____} \\ \text{_____} \\ \text{_____} \\ \text{_____} \\ \text{_____} \\ \text{_____} \\ \text{_____} \\ \text{_____} \end{matrix}$$

Die Substitution von  $x = -1$  in die obige Formel giebt die Grenzcurven des Anfangs und des Endes der totalen oder der ringförmigen Verfinstörung, welche hier für die Phasencurve von  $\frac{1}{2}$  des Sonnendurchmessers gerechnet werden.

5) Die Curve auf der Erdoberfläche zu ziehen, auf welcher eine vorbestimmte grösste Phase in einem und demselben Zeitmomente gesehen wird.

Die Auflösung dieser Aufgabe ist in dem Vorigen ganz enthalten. Wenn wir nemlich den in der vorigen Aufgabe ent-

$$(44) \dots \left\{ \begin{aligned} \frac{n'}{n} + \rho \sin d \cos V \cos W - \rho \cos d \sin N' \sin V &= c \sin \psi' \\ \rho \sin d \cos V \sin W - \rho \cos d \cos N' \sin V &= c \cos \psi' \\ \sin(\psi' - \psi) &= \frac{\rho \lg f \cos d \cos V \cos(W + N')}{c} \\ u &= \frac{U \sin N' - \rho \cos V \cos W}{\sin \psi'} \\ \sin f &= \frac{u \cos f - l}{Z - \rho \sin V} \\ \lg V &= -\lg f \sin(W + \psi) \\ \lg l &= \frac{\lg V}{\sin(W + N')} \\ \cotg \phi \sin(15 l' + a') &= -\frac{\cos l \cotg(W + N')}{\cos(d - l)} \\ \cotg \phi \cos(15 l' + a') &= -\lg(d - l) \\ \lambda &= l' + T' - T + \frac{U \cos N'}{n'} - \rho \frac{\cos V \sin W}{n'} - \frac{u}{n'} \cos \psi \end{aligned} \right.$$

Die Rechnung ist, streng genommen, indirect, sie wird aber, wenn man die Secunden vernachlässigt, durch den Umstand direct, daß  $V$  und  $f$  immer sehr klein sind und in einigen Formeln keine Wirkung äussern. Man nimmt eine Reihe von Werthen von  $W$  an, am einfachsten dieselben, welche bei der Berechnung der östlichen und westlichen Grenzcurve gedient haben. Jeder dieser Werthe giebt, wenn er in die vorstehenden Formeln substituirt worden ist, Einen Werth von

wickelten Werth von  $f$  in die Gleichungen der dritten Aufgabe substituiren, so erhalten wir ohne Weiteres die Auflösung unserer Aufgabe.

6) Die Curve zu finden, auf welcher die grösste Phase, welche statt findet, im Horizonte gesehen wird, auf welcher also nur entweder eine Abnahme oder eine Zunahme der Verfinstörung gesehen wird.

Auf den Curven, die wir bis jetzt berechnet haben, war die grösste Phase allemal eine beständige gegebene Grösse, in der gegenwärtigen Aufgabe hingegen ist die Grösse der grössten Phase längs unserer Curve veränderlich; es ist daher jetzt  $f$  und mithin auch  $u$ , eine veränderliche und unbekannte Grösse. Die Bedingungsgleichung für die grösste Phase haben wir schon in der Auflösung der zweiten Aufgabe entwickelt, und eben daselbst auch durch die westliche und die östliche Grenzcurve die Gleichungen für den Anfang und das Ende der Verfinstörung, während der Punkt der Sonnenscheibe, wo die Erscheinung anfängt oder sich endigt im Horizonte liegt, gegeben. Wenn wir also in diesen Gleichungen  $\psi'$  und  $u$ , welche mit dem Anfang und beziehungsweise dem Ende der Verfinstörung angehören, dergestalt bestimmen, daß sie der grössten Phase entsprechen, so haben wir die Auflösung unserer Aufgabe. Wir können demnach die Formeln sogleich hinschreiben.

$\phi$  und  $\lambda$ , also Einen Punkt unserer Curve. Die ersten Gleichungen geben mit Uebergang von  $V$  die Grössen  $c$  und  $\psi'$ , die dritte Formel giebt vorläufig  $\psi' - \psi$ , entweder  $= 0$  oder  $= 180^\circ$ , und man wählt denjenigen dieser beiden Werthe, durch welchen bewirkt wird, daß vermittelt der vierten Gleichung  $u$  positiv wird. Man wählt daher  $\psi' - \psi = 0$ , daß  $\psi'$  im ersten Halbkreise zu liegen kommt, wenn  $U \sin N' > \rho \cos V \cos W$ , und man wählt  $\psi' - \psi$  so, daß  $\psi'$  im



ersten Halbkreise zu liegen kommt, wenn  $U \sin N < p \cos \varphi \cos \varphi'$ .  
 Man erhält hieraus leicht, daß  $\psi$  im ersten Halbkreise liegt, wenn der gesuchte Punkt unserer Curve südlich, und daß  $\psi$  im zweiten Halbkreise liegt, wenn dieser Punkt nördlich von der Curve der centralen Verfinsternung liegt. Hat man  $u$  gefunden, so berechnet man durch die folgenden Formeln  $f, F, l, l'$  und  $\phi$ : durch Hälfte des gefundenen Werthes von  $f$  kann man den Werth von  $\psi - \psi'$ , also auch  $\psi$  berichtigen und sodann durch die letzte Formel  $\lambda$  rechnen. Unsere Curve erstreckt sich im Inneren der östlichen und der westlichen Grenzcurve, und ihre Grenzpunkte sind dieselben vier Berührungspunkte der südlichen, westlichen, nördlichen und östlichen Grenzcurve, die wir in der Auflösung der zweiten Aufgabe bestimmt haben. Wenn also die nördliche und die südliche Grenzcurve beide reel sind so besteht unsere Curve aus zwei von einander abgesonderten Theilen. Wenn aber die Eine, oder die nördliche, Grenzcurve imaginär wird, so erstreckt sie sich von dem einen Berührungspunkte der östlich-westlichen Grenzcurve mit der südlichen Grenzcurve bis zum andern Berührungspunkte dieser beiden Curven. Sie erstreckt sich in diesem Falle größtentheils im Inneren der östlich-westlichen Grenzcurve, sie tritt aber in der Nähe des Punktes, wo sie die größte Breite hat, aus der östlich-westlichen Grenzcurve hinaus, und bald darauf wieder in dieselbe hinein; sie durchschneidet also in der Nähe dieses Punktes die östlich-westliche Curve immer zweimal. Die größte Breite und der dazu gehörende Stundenwinkel hat in den vier möglichen Fällen die zwischen Ausdrücke, die oben für die östlich-westliche Grenzcurve gegeben wurden, die diesem Punkte zugehörige Länge, wechselt aber von den Längen der beiden homologen Punkte der östlich-westlichen Grenzcurve ab.

Unsere Curve hat noch eine wesentliche Eigenthümlichkeit; sie ist nicht stetig. Das Gesetz der Stetigkeit ist in jedem Zweige derselben in dem Punkte, wo die Verfinsternung central geschah wird, unterbrochen. Für jeden dieser beiden Punkte geben die Gleichungen (44) zwei Werthe von  $\phi$  und  $\lambda$ , indem man für diese Punkte (wo  $u$  Null ist)  $\psi$  sowohl im ersten wie im zweiten Halbkreise annehmen kann. Man erhält somit für jeden dieser beiden Punkte zwei Orter der Erdoberfläche die sehr nahe an die Größe des Mondurchmessers von einander entfernt sind. An dem einen dieser beiden Orter knüpft sich in jedem Zweige unserer Curve der südliche, und an dem andern Orter der nördliche Theil derselben an, und in der Mitte zwischen diesen beiden Ortern liegt an dem einen Zweige unserer Curve der eine, und an dem andern Zweige der andere Grenzpunkt der Curve der centralen Verfinsternung, welche in der Auflösung der ersten Aufgabe bestimmt wurden. Die Ursache dieses Sprunges ist leicht zu erklären. Von dem einen, oder dem südlichen Endpunkte unserer Curve an bis zu dem

Punkte, welcher von dem Punkte der centralen Verfinsternung nur um ein unendlich kleines Theilchen entfernt liegt, liegen die Punkte der Sonnenscheibe, welche die größte Phase bestimmen, in einer stetigen Reihenfolge, von diesem Punkte aber bis zu dem Punkte, welcher um ein unendlich kleines Theilchen über den Punkt der centralen Verfinsternung hinaus liegt, überspringt der Punkt der Sonnenscheibe, welcher die größte Phase bestimmt, mit einemmale den Durchmesser des Mondes und von da an bis zur andern Grenze unserer Curve liegen wieder die Punkte der Sonnenscheibe, welche die größte Phase bestimmen, in einer stetigen Reihenfolge. Es muß daher nothwendig auch in dem Punkte der centralen Verfinsternung die Stetigkeit unserer Curve unterbrochen werden.

Aus dem Werthe von  $f$ , den die fünfte der Gleichungen (44) giebt, erhalten wir die Größe der größten Phase, die in jedem beliebigen Punkte unserer Curve stattfindet. Die Gleichung (43) giebt nemlich

$$\sin x \Delta' = FG \sin f - l \sin \Pi'$$

hieraus bekommen wir unmittelbar  $x \Delta'$ , woraus vermittelt des bekannten Werthes von  $\Delta'$  die Größe  $x$  folgt; hieraus bekommen wir zufolge der in der Auflösung der vierten Aufgabe gegebenen Erklärung die größte Phase  $= 6(1-x)$  Zwölfteltheil des Sonnendurchmessers. Statt dieser strengen Formeln kann man die Größe der größten Phase durch folgende Näherungsformel berechnen, die leicht aus denselben abgeleitet werden kann.

$$\text{Größe der größten Phase} = 6 - 6(u-l) \frac{\pi}{\Delta'}$$

7) Die Curve zu finden, auf welcher unter einem gegebenen Stundenwinkel die größte Phase, welche statt findet, gesehen wird.

Wie in der vorhergehenden Aufgabe, so ist auch hier  $f$ , und folglich auch  $u$ , längs unserer Curve veränderlich. Die Bedingungsgleichung für die größte Phase haben wir in der Auflösung der zweiten Aufgabe auch durch  $\phi$  und  $l'$  ausgedrückt. Substituiren wir nun in dieser außer dem gegebenen Werthe von  $l'$  einen beliebigen Werth von  $\phi$ , so erhalten wir den Werth von  $\psi$ , welcher unter der Breite  $\phi$  der größten Phase zugehört. Die Hilfsgrößen  $a'$  und  $A'$  der zweiten Aufgabe, oder statt deren die Hilfsgrößen  $a$  und  $A$ , sind vermittelt des gegebenen, beständigen Werthes von  $l'$  auch gegeben, und somit ist, durch die dritte Gleichung (30)  $u$  bestimmt. Hiemit endlich, und mit dem angenommenen Werthe von  $\phi$  und dem beständigen Werthe von  $l'$  giebt die letzte Gleichung (30) die Länge  $\lambda$ . Unsere Aufgabe wird also durch die Gleichungen der südlichen und der nördlichen Grenzcurve gelöst. Ich werde diese Gleichungen in der Ordnung wie sie jetzt angewandt werden müssen, hier hinschreiben und ziehe in der gegenwärtigen Aufgabe vor, die Hilfsgrößen  $a$  und  $A$  statt  $a'$  und  $A'$  anzuwenden. Unsere Gleichungen sind also folgende:

$$\begin{aligned}
 \left. \begin{aligned}
 \frac{n}{k} - \rho \cos \varphi \, k \sin (15 t' + K') &= c \sin \psi' \\
 - \rho \cos \varphi \, g \cos (15 t' + G') &= c \cos \psi' \\
 \sin (\psi' - \psi) &= -\frac{\rho \, t g \, f \cos \varphi \cos d \sin (15 t' + \alpha')}{c} \\
 g \sin (15 t' + G') &= a \cos A \\
 \cos d \sin N' &= a \sin A \\
 u &= \frac{\rho a \cos (\varphi + A) + U \sin N'}{\sin \psi'} \\
 \sin f &= \frac{u \cos f - l}{Z - \rho \sin \varphi \sin d - \rho \cos \varphi \cos d \cos (15 t' + \alpha')} \\
 \lambda &= l' + T' - T + \frac{U \cos N'}{n} - \rho \sin \varphi \frac{\cos d \cos N'}{n} + \rho \cos \varphi \frac{k}{n} \cos (15 t' + K') - \frac{n}{n} \cos \psi'
 \end{aligned} \right\} (45) \dots \dots
 \end{aligned}$$

Diese Auflösung ist der Strenge nach, wie die übrigen, indirect, weil man den Winkel  $f$ , von welchem  $\psi' - \psi$  abhängt, erst erhalten kann, nachdem man  $u$  gerechnet hat. Sie wird aber direct, wenn man die Secunden übergibt, weil man alsdann mit hinreichender Genauigkeit, in der Gleichung für  $u$  die Differenz  $\psi' - \psi$  vernachlässigen kann. Hier, wie in der vorhergehenden Aufgabe wird  $\psi' - \psi$  so genommen, daß für alle Punkte unserer Curve die südlicher liegen, wie die Curve der centralen Verfinsternung  $\psi'$  im ersten Halbkreise, und für alle Punkte die nördlicher liegen, wie die Curve der centralen Verfinsternung  $\psi'$  im zweiten Halbkreise zu liegen kommt. Wenn beides, die nördliche und die südliche Grenzcurve, reel sind, so schließt sich unsere Curve für diejenigen Werthe von  $t'$ , welche innerhalb der Grenzwerte von  $t'$  für die südliche und nördliche Grenzcurve liegen, mit ihren Endpunkten an diese beiden Curven an. Man muß also in diesem Falle, um die ganze Curve zu erhalten, für  $\varphi$  nach und nach Werthe substituiren, welche zwischen den Punkten der südlichen und der nördlichen Grenzcurve, die dem Stundenwinkel  $t'$  entsprechen, liegen. Für die Werthe hingegen von  $t'$ , welche außerhalb jener Grenzwerte liegen, schließt unsere Curve sich mit dem einen Ende an die Curve der vorhergehenden Aufgabe an. Ist die eine, etwa die nördliche Grenzcurve imaginär, und haben zugleich  $U$  und  $d$  entgegengesetzte Zeichen, so schließt sich unsere Curve immer mit dem einen Ende an die Curve der vorhergehenden Aufgabe an, mit dem andern Ende aber schließt sie sich, je nachdem  $t'$  innerhalb oder außerhalb der Grenzwerte von  $t'$  für die südliche Grenzcurve liegt, an diese oder jene Curve an. Haben in diesem Falle  $U$  und  $d$  gleiches Zeichen, so endigt unsere Curve an dem einen ihrer Endpunkte in dem Erdpole, welcher alsdann immer innerhalb des Bereichs der Sichtbarkeit der Verfinsternung liegt. Die Fortsetzung der Curve über den Pol hinaus bildet alsdann die homologe Curve für den Stundenwinkel  $t' - 12^h$ .

Die Endpunkte unserer Curve, welche die südliche oder die nördliche Grenzcurve schneiden, können unmittelbar aus

den Gleichungen (30) für diese Grenzcurven berechnet werden für die Berechnung der Endpunkte aber, welche die Curve der vorigen Aufgabe schneiden, bedürfen die dortigen Formeln einer kleinen Umwandlung, welche darin besteht, daß man die beiden vorletzten Gleichungen (45) durch einander dividiren muß. Wir erhalten demnach

$$\cot g (N' + N) = \frac{\sin (d - l) \, t g (15 t' + \alpha')}{\cos l} \dots (46)$$

Hieraus berechnet man erst, durch Hülfe des gegebenen Stundenwinkels  $t'$  und indem man  $l = 0$  macht, einen gewählten Werth von  $N'$ . Mit diesem führt man durch die Gleichungen (45) die Rechnung bis  $l$  fort, und somit bekommt man durch die vorstehende Formel einen genaueren Werth von  $N'$ , womit man durch die Gleichungen (45)  $\varphi$  und  $\lambda$  berechnen kann. Sollte der so erhaltene Werth von  $N'$  nicht für genau genug gehalten werden, so muß die Berechnung von  $l$ , und alsdann die Berechnung von  $N'$  mittelst der vorstehenden Formel wiederholt werden.

Die Berechnung der Größe der Phase, welche in jedem beliebigen Punkte statt findet, wird durch die Formeln, die für diesen Zweck in der Auflösung der vorhergehenden Aufgabe abgeleitet wurden, bewerkstelligt.

## 16.

Es lassen sich über die Erscheinung einer Sonnenfinsternis im Allgemeinen noch viele Aufgaben aufstellen, und den hier gelösten Aufgaben lassen sich noch mancherlei Bemerkungen hinzufügen. Ich habe nicht aber, um diese Abhandlung nicht allzuweit auszudehnen, nur auf das Wesentlichste beschränkt, und werde hiermit über diesen Gegenstand schließen. Ich werde indess eine Aufgabe, welche sich auf einen gegebenen Ort bezieht, hinzufügen, weil die Auflösung, die ich gefunden habe, etwas Merkwürdiges darbietet.

Zu den bisher gelösten Aufgaben bemerke ich noch, daß man, wenn man auf die Abplattung der Erde keine Rücksicht nehmen will, überall  $\rho = r$  setzen muß. Will man die Ab-

planung berücksichtigen, so kann dieses geschehen, aber die Auflösungen werden, in so fern die Breite der betreffenden Oerter gefunden werden muß, auch in dieser Beziehung indirect. Man muß in der ersten Annäherung  $p = 1$  substituiren; nachdem man damit einen genäherten Werth von  $\phi$  berechnet hat, berechne man einen Werth von  $p$ , mit welchem man die Rechnung wiederholt. Vermittelst des genaueren Werthes von  $\phi$ , den man nun erhält, kann man einen genaueren Werth von  $p$  berechnen und damit nochmals die Rechnung wiederholen, und so fort, bis man das genaue Resultat erhält.

$$\begin{aligned} u &= l \sec f + Z \operatorname{tg} f - p \sin \phi \sin d \operatorname{tg} f - p \cos \phi \cos d \operatorname{tg} f \cos (15 l' + a') \\ u \sin \theta &= m \sin M - n \sin N (\ell' - \tau) \\ u \cos \theta &= m \cos M + n \cos N (\ell' - \tau) \end{aligned}$$

Wir haben in der Auflösung der zweiten Aufgabe erklärt, daß wir, um die Zeit der größten Phase zu erhalten, das Minimum von  $f$  in Beziehung auf  $\ell'$  suchen müssen. Nun ergibt sich aus dem Art. 7, daß  $m$  und  $M$  von  $\ell'$  unabhängig

$$\begin{aligned} du &= x' p \operatorname{tg} f \cos \phi \cos d \sin (15 \ell' + a') d\ell' \\ \sin \theta du + u \cos \theta d\theta &= -n \sin N d\ell' \\ \cos \theta du - u \sin \theta d\theta &= n \cos N d\ell' \end{aligned}$$

Wenn wir hieraus die Differentiale eliminiren, so erhalten wir, da  $\ell' + N = \psi$  ist,

$$(17) \dots \cos \psi = \frac{x'}{n} p \operatorname{tg} f \cos \phi \cos d \sin (15 \ell' + a')$$

$$(18) \dots \left\{ \begin{aligned} \sin f &= \frac{u \cos f - l}{Z - p \sin \phi \sin d - p \cos \phi \cos d \cos (15 \ell' + a')} \\ u &= \frac{m \sin (M + N)}{\sin \psi} \\ \ell' &= \tau - \frac{m}{n} \cos (M + N) + \frac{u}{n} \cos \psi \end{aligned} \right.$$

vorhanden werden muß. In dieser Rechnung haben wir absichtlich einen Fehler gemacht, indem wir  $n$  und  $N$ , welche gewissen Functionen von  $\ell'$  sind, als unveränderlich angesehen haben. Es ist aber an sich klar, daß wir diesen Fehler dadurch unschädlich machen können, daß wir über die willkürliche Zeit  $\tau$  so verfügen, daß  $n \sin N$  und  $n \cos N$  entweder Maxima oder Minima werden, oder daß auf den Curven, deren

17.

Ich stelle schließlich die Aufgabe:

7) Für einen gegebenen Ort auf der Erde die Zeit der größten Phase und die Größe derselben zu finden.

Die Auflösung dieser Aufgabe könnten wir aus den Gleichungen (22) entnehmen, da aber die Gleichung, aus welcher die Zeit bestimmt werden muß, transcendent ist, so werde ich mich lieber an die Gleichungen des Art. 7. Aus diesem Artikel nehme ich die folgenden Gleichungen:

sind, daß aber  $n$  und  $N$  die Größe  $\ell'$  enthalten; ich werde aber demungeachtet in der Differentiation der vorstehenden Gleichungen  $n$  und  $N$  als constant ansehen. Somit erhalten wir für das Minimum von  $f$ , oder für die Zeit der größten Phase

als Bedingungsgleichung für die größte Phase, welche mit den Gleichungen (19) und der vorstehenden Gleichung für  $u$ , also mit folgenden Gleichungen:

Abscissen  $\ell'$  und deren Ordinaten beziehungsweise  $n \sin N$  und  $n \cos N$  sind, zur Zeit der größten Phase ein Wendepunkt statt findet, denn wenn einer dieser Fälle eintritt, so ist in der That die Variation von  $n \sin N$  und  $n \cos N$  gleich Null. Differentiiren wir für diesen Zweck die Gleichungen (18), nachdem für  $a$  sein Werth in dieselben substituiert worden ist, so erhalten wir folgende Bedingungsgleichungen:

$$\begin{aligned} 0 &= 15 \sin 15 \frac{\ell' - \tau}{2} \sin (15 \frac{\ell' + \tau}{2} + a') (\ell' - \tau) - 15 \cos 15 \frac{\ell' - \tau}{2} \cos (15 \frac{\ell' + \tau}{2} + a') (\ell' - \tau) \\ &\quad + 2 \sin 15 \frac{\ell' - \tau}{2} \cos (15 \frac{\ell' + \tau}{2} + a') \\ 0 &= 15 \sin 15 \frac{\ell' - \tau}{2} \cos (15 \frac{\ell' + \tau}{2} + a') (\ell' - \tau) + 15 \cos 15 \frac{\ell' - \tau}{2} \sin (15 \frac{\ell' + \tau}{2} + a') (\ell' - \tau) \\ &\quad - 2 \sin 15 \frac{\ell' - \tau}{2} \sin (15 \frac{\ell' + \tau}{2} + a') \end{aligned}$$

und aus Gleichungen wird durch die Annahme  $\tau = \ell'$  Genüge gehabt. Die Gleichung  $\ell' = \tau$  ist also in Verbindung mit dem Vorhergehenden die Auflösung unserer Aufgabe. Wir er-

halten somit aus der dritten Gleichung (18) und der Gleichung (17)

$$m \cos (M + N) = x' \frac{u}{n} p \operatorname{tg} f \cos \phi \cos d \sin (15 \tau + a')$$

als eigentliche Bedingungsgleichung für die größte Phase und die Gleichungen (47) und (48) dienen, um durch mehrere auf einander folgende Näherungen der vorstehenden Gleichung Genüge leisten zu können. Die Werthe von  $n \sin N$  und  $n \cos N$ , welche angewandt werden müssen, sind also die folgenden:

$$n \sin N = p - p' \cos \psi \cos(15\tau + a')$$

$$n \cos N = q - p' \cos \psi \sin d \sin(15\tau + a')$$

und in die erste Gleichung (48), so wie in die Gleichung (47) muß ebenfalls  $\tau$  statt  $t'$  gesetzt werden. In der ersten Annäherung substituirt man für  $\tau$  entweder die auf den Meridian des Ortes, für welchen man rechnet, reducirte Conjunctionszeit, oder, wenn man die Ein- und Austrittszeit schon berechnet hat, das arithmetische Mittel aus diesen Zeiten; hiebei setzt man  $f = 0$ , und also auch  $\cos \psi = 0$ , und rechnet dann durch die letzte Gleichung (48)  $t'$ . Dieser Werth von  $t'$  kommt dem wahren Werthe dieser GröÙe immer schon sehr nahe. Indem man nun für  $\tau$  den so eben gefundenen Werth von  $t'$  annimmt, berechnet man in der zweiten Annäherung alle vier Gleichungen (47) und (48), wobei man für  $\psi$  den Halb-

kreis  $\alpha$  wählt, daß  $n$  positiv wird. Der so sich ergebende Werth von  $t'$ , welcher in der dritten Annäherung für  $\tau$  angenommen werden muß, kommt dem wahren Werthe noch näher; diese Rechnung wird so lange wiederholt, bis man  $t' = \tau$  findet, welches nach wenigen Annäherungen immer der Fall ist.

Aus  $f$  oder aus  $u$  findet man durch die in der Auflösung der sechsten Aufgabe entwickelten Formeln die GröÙe der größten Phase, und wenn  $\psi$  im ersten Halbkreise angenommen werden mußte, so wird der nördliche, wenn aber  $\psi$  im zweiten Halbkreise angenommen werden mußte, so wird der südliche Theil der Sonnenscheibe vom Monde bedeckt.

## 18.

Um die hier entwickelten Formeln durch ein Beispiel zu erläutern, wähle ich die Sonnenfinsterniß von 1836 Mai 15. Die Sonnen- und Mondörter entnehme ich aus *Bessels Rechnungen* in Nr. 321 der Astr. Nachr. Statt der dort angeführten Pariser mittleren Zeiten führe ich aber in Gemäßheit der hier entwickelten Formeln die entsprechenden Berliner wahren Zeiten an. Somit haben wir

W. Z. Berlin.	$\alpha$	$\delta$	$\pi$	$\alpha'$	$\delta'$	$\log R'$
$3^h 3' 56''$	$52^\circ 13' 48'' 225$	$+19^\circ 22' 40'' 300$	$54^\circ 24' 118$	$52^\circ 20' 41'' 635$	$+18^\circ 57' 50'' 025$	$0,0050316$
4 3 56	43 57,239	32 37,643	23,440	23 9,853	58 25,161	50 853
5 3 56	53 14 9,192	42 29,722	22,768	25 38,085	59 0,226	50 889
6 3 56	44 24,113	52 16,496	22,106	28 6,335	59 35,335	50 426

und hieraus für die nemlichen Zeiten

$n'$	$d$	$\log G$
$-t'$	$+18^\circ 57' 46'' 162$	9,9988703
+ 3,3	58 19,828	88701
+ 7,6	58 53,469	88699
+12,0	59 27,081	88696

Ich habe nun  $T = 4^h 3' 56''$  angenommen, und somit durch die Formeln des Art. 6 berechnet:

$P_{-1} = -0,1197942;$	$Q_{-1} = +0,4578004$
$P_0 = +0,3611606;$	$Q_0 = +0,6309383$
$P_1 = +0,8421548;$	$Q_1 = +0,8038004$
$P_2 = +1,3231590;$	$Q_2 = +0,9763785$

und hieraus, so wie aus den übrigen betreffenden GröÙen;

W. Z. Berlin.	$p$	$q$	$T'$	$U$	$\log Z$
$3^h 3' 56''$	$+0,4095348$	$+0,1731379$	$+0,7509240$	$+0,5009249$	1,8006650
4 3 56	$+0,4089794$	$+0,1730914$	$+0,7508858$	$+0,5010340$	1,8007389
5 3 56	$+0,4809942$	$+0,1728621$	$+0,7508626$	$+0,5011426$	1,8007834
6 3 56	$+0,4809992$	$+0,1727201$	$+0,7508546$	$+0,5012506$	1,8007981

äußere Berühr. innere Berühr.

W. Z. Berlin.	$\log \lg f$	$\log \lg f$	$\log \sin d$	$\log \cos d$	$\log n'$	$N'$
$3^h 3' 56''$	7,6649084	7,6627930m	9,5118227	9,9757670	9,7085650	$70^\circ 12' 6'' 3$
4 3 56	7,6649049	7,6627896m	9,5120289	9,9757426	9,7085453	$70 13 1,4$
5 3 56	7,6649015	7,6627862m	9,5122348	9,9757182	9,7085171	$70 13 56,4$
6 3 56	7,6648981	7,6627827m	9,5124406	9,9756939	9,7084804	$70 14 51,0$

Für äußere Berührungen.

Für innere Berührungen.

W. Z. Berlin.	$n'$	$\log \sin d \lg f$	$\log \cos d \lg f$	$n'$	$\log \sin d \lg f$	$\log \cos d \lg f$
$3^h 3' 56''$	$+0,5646310$	7,17673	7,64069	$-0,0182059$	7,17462m	7,63857m
4 3 56	$+0,5646784$	7,17694	7,64066	$-0,0182529$	7,17482m	7,63853m
5 3 56	$+0,5647060$	7,17713	7,64063	$-0,0182804$	7,17502m	7,63851m
6 3 56	$+0,5647136$	7,17735	7,64060	$-0,0182880$	7,17522m	7,63848m

Wie also die vorbereitenden Größen für die Längenbestimmungen aus den Beobachtungen dieser Sonnenfinsternisse; ich führe sie hier an, weil ich die Beobachtungen in Altona des Herrn Etatsraths Schumacher und die Beobachtungen in Tondern des Herrn Petersen berechnet habe. Das Resultat der Beobachtungen in Altona ist:

$$\begin{aligned} T &= 3^h 50' 13'' 66 \text{ aus dem Anfang} \\ &= 3^h 50' 14'' 80 \text{ aus dem Ende.} \end{aligned}$$

Das Resultat aus den Beobachtungen in Tondern habe ich folgenden:

$$\begin{aligned} T &= 3^h 45' 57'' 92 \text{ aus dem Anfang der Verfinst.} \\ &= 3^h 45' 57'' 71 \text{ ————— des Ringes} \\ &= 3^h 45' 55'' 85 \text{ aus dem Ende} \\ &= 3^h 45' 53'' 11 \text{ ————— der Verfinst.} \end{aligned}$$

W. Z. Berlin.	$u'$	$\log \operatorname{tg} f$	$\log \sin d$	$\log \cos d$
$3^h 3' 56''$	+0,5646	7,665	9,5118	9,9758
$4^h 3' 56''$	+0,5647	7,665	9,5120	9,9757
$5^h 3' 56''$	+0,5647	7,665	9,5122	9,9757
$6^h 3' 56''$	+0,5647	7,665	9,5124	9,9757

Die angenetzte Anzahl von Decimalen ist für diesen Zweck hinreichend, weil 0<sup>0</sup>001 nur 0<sup>0</sup>06 oder  $\frac{1}{16}$  beträgt. Dessen Tadeln zeigt aber, daß die Veränderungen dieser Hülfgrößen so geringe sind, daß für den Zweck der Vorausberechnung die Angabe derselben für Ein Zeitmoment hinreichend ist. Um dies zu zeigen, habe ich diese Zahlen angeführt, die jetzt nach der Erscheinung dieser Sonnenfinsternisse übrigens kein Interesse haben können. Ich werde kein Beispiel für die Vorausberechnung des Anfanges und des Endes geben, da diese Rechnung bekannt ist; statt dessen werde ich aber die Zeit und die GröÙe der grüÙten Phase nach der Auflösung der achten Aufgabe für den Seeberg berechnen.

Wir haben für den Seeberg

$$\begin{aligned} \log p \sin \phi &= 9,8881 \\ \log p \cos \phi &= 9,8004 \\ \lambda &= -10^h 39' = -0^h 1775. \end{aligned}$$

Ich setze nun in der ersten Annäherung  $r = \lambda - T' + T$ ;  $f = 0$ ;  $\cos \psi = 0$ ; und somit erhalten wir  $r = 3^h 137$ ;  $M = 104^h 1'$ ;  $N = 70^h 3'$ ;  $M + N = 171^h 4'$ ;  $\log n = 9,6731$ ;  $\log n = 9,5932$  und  $t' = 4^h 325$ .

In der zweiten Annäherung ist nun  $r = 4^h 325$ , und hiemit erhalten wir  $M = 0^h 44'$ ;  $N = 73^h 9'$ ;  $M + N = 73^h 53'$ ;  $\log m = 8,7980$ ;  $\log n = 9,6326$ ;  $u = 0,0603$ ;  $\log \sin f = 7,526 n$ ;  $\log \cos \psi = 7,044 n$ ;  $\sin \psi = +1$  und  $t' = 4^h 264$ .

Hiermit kann man die Annäherungen schon als genügend betrachten, und ich habe, um dies zu zeigen, eine dritte Annäherung berechnet. In dieser ist also  $r = 4^h 284$ , und somit  $M = 16^h 46'$ ;  $N = 73^h 4'$ ;  $M + N = 89^h 44'$ ;  $\log m = 8,7805$ ;

In dieser Rechnung habe ich die Abplattung  $\frac{1}{307,26}$  angenommen; die Differentialquotienten habe ich nicht berechnet. Nimmt man mit Weglassung des letzten in Tondern beobachteten, von Herrn Petersen in Nr. 311 der Astr. Nachr. als unsicher bezeichneten Momente, aus jeder Gruppe das Mittel, so ergibt sich der Längenunterschied zwischen Altona und Tondern

$$= 4' 17'' 11$$

um welche GröÙe Tondern westlicher liegt.

## 19.

Als Data für die Vorausberechnung des Anfanges und des Endes dieser Sonnenfinsternisse haben wir aus dem Vorhergehenden die folgenden Zahlenwerthe

$p$	$q$	$T' - T$	$U$
+0,4810	+0,1731	-3 <sup>3</sup> 315	+0,5009
+0,4810	+0,1780	-3,315	+0,5010
+0,4810	+0,1729	-3,315	+0,5011
+0,4810	+0,1727	-3,315	+0,5013

$$\log n = 9,6312; \quad u = 0,0603; \quad \log \sin f = 7,526 n; \\ \log \cos \psi = 7,044 n; \quad \sin \psi = +1 \text{ und } t' = 4^h 283.$$

Die Zeit der grüÙten Phase, die wir in dieser dritten Annäherung erhalten haben, weicht, wie man sieht, nur um Eine Einheit in der letzten Stelle von dem Resultat der zweiten Annäherung ab, und  $u$  oder  $f$ , wovon die GröÙe der grüÙten Phase abhängt, sind durch die dritte Annäherung gar nicht verändert worden. Da nun im vorliegenden Falle  $6 \frac{\pi}{\Delta} = 20,9$  ist, so haben wir durch die in der Auflösung der sechsten Aufgabe gegebene Näherungsformel die GröÙe der grüÙten Phase = 10,44 Zwölfteltheile des Sonnendurchmessers, sie findet statt  $4^h 17' 0$  Seeberger W. Z., und der nördliche Theil der Sonnenscheibe wird bedeckt.

In dieser Rechnung haben die in dem Nenner der ersten Gleichung (48) enthaltenen von dem Beobachtungsorte abhängigen Glieder, so wie das letzte Glied der dritten Gleichung (48) gar keinen Einfluß geäußert. Das erstere wird immer der Fall seyn, wenn man mit Logarithmen von nur vier Decimalen rechnet, das andere Glied kann aber unter gewissen Umständen einen kleinen Einfluß äußern.

Die Ein- und Austrittszeiten dieser Sonnenfinsternisse sind für den Seeberg  $2^h 902$  und  $5^h 528$ , wovon das arithmetische Mittel  $4^h 215$ . Legt man dieses bei der Berechnung der Zeit der grüÙten Phase anfänglich zu Grunde, so hat man  $r = 4^h 215$  und hiemit  $M = 42^h 53'$ ,  $N = 72^h 54'$ ,  $M + N = 115^h 47'$ ;  $\log m = 8,8244$ ,  $\log n = 9,6286$ ,  $u = 0,0601$ , woraus  $t' = 4^h 283$  und die GröÙe der grüÙten Phase = 10,44, so gleich sich ergibt, so daß mit der ersten Annäherung schon die Rechnung als genügend betrachtet werden kann.

## 20.

Ich gehe jetzt zu dem Beispiel der Aufgaben, die sich auf die Erscheinung einer Sonnenfinsternis im Allgemeinen beziehen, über. Ich werde hierbei um mehrerer Einfachheit willen  $\rho = 1$  setzen, das heißt ich werde die Abplattung der Erde übergehen, auch werde ich die kleinen Veränderungen der Hilfsgrößen, welche von der eigenen Bewegung des Mondes und der Sonne abhängen, nicht berücksichtigen. Um diese Hilfsgrößen in diesem Falle, wo deren Veränderungen übergangen werden, möglichst genau auszuwählen, muß man diejenigen Werthe derselben auswählen, welche für die Mitte der ganzen Erscheinung auf der Erde gelten. Nun ist aber die Mitte der Zeit der ganzen Erscheinung sehr nahe die Zeit des Minimums der geocentrischen Entfernung der Mittelpunkte der Sonne und des Mondes, und diese erhält man durch folgende Formel

$$t, = T - \frac{P}{n} \sin N' - \frac{Q}{n} \cos N'$$

wo  $t,$  die gesuchte Zeit ist. Die Substitution der oben gegebenen numerischen Werthe der Größen der rechten Seite dieser Gleichung giebt

$$t, = 2^h 58'.$$

Für diese Zeit habe ich die Hilfsgrößen alle in den folgenden Rechnungen ausgewählt.

Wir haben somit erstens für die Berechnung der Curve der centralen Verfinstörung

$$\begin{aligned} \frac{U}{\rho} \sin N' &= +0.4713 \\ 15(T' - T + \frac{U}{n} \cos N') &= -44^{\circ} 75' \\ \log 15 \frac{P}{n} &= 1.4675 \end{aligned}$$

Hiermit gehen die Gleichungen (28)  $W' = \pm 61^{\circ} 53'$  und somit für die westliche oder Anfangsgrenze der Curve der centralen Verfinstörung  $15\lambda' = 267^{\circ} 16'$ ;  $\phi = +7^{\circ} 53'$ ;  $15\lambda = 246^{\circ} 24'$ ;  $15\lambda' = 279^{\circ} 28'$ , und für die östliche oder Endgrenze dieser Curve  $15\lambda' = 109^{\circ} 47'$ ;  $\phi = +44^{\circ} 34'$ ;  $15\lambda = 39^{\circ} 10'$ ;  $15\lambda' = 70^{\circ} 13'$ . Hier verstehe ich unter  $15\lambda'$  die östliche Länge von Ferro in Bogentheilen ausgedrückt, und werde im Folgenden nur diese Länge anführen, weil auf den Globen und Karten die Längen gewöhnlich von diesem Punkte an gerechnet sind. Die angeführten Stundenwinkel dienen uns nun als Grenzwerte, wo mittelst der Gleichungen (23) nur den wirklich statt findenden Theil der Curve der centralen Verfinstörung zu erhalten. Die beständigen Hilfsgrößen dieser Gleichungen sind für unser Beispiel:

$$\begin{aligned} \log g &= 9.6592; & G' &= 42^{\circ} 4'; & \log \cos d \sin N' &= 9.9493; \\ \log 15 \frac{k}{n} &= 1.4440; & K' &= 83^{\circ} 20'; & \log 15 \frac{\cos d \cos N'}{n} &= 0.9731; \end{aligned}$$

$$15(\lambda' - \lambda + T' - T + \frac{U}{n} \cos N') = -13^{\circ} 70'.$$

Hiermit habe ich die folgenden Punkte dieser Curve berechnet

Curve der centralen Verfinstörung.

$15\lambda'$	$\phi$	$15\lambda'$	$15\lambda'$	$\phi$	$15\lambda'$
$267^{\circ} 16'$	$+7^{\circ} 53'$	$279^{\circ} 28'$	$20^{\circ}$	$+53^{\circ} 13'$	$353^{\circ} 56'$
270	8 44	282 10	30	54 26	2 16
280	12 51	291 16	40	55 6	9 51
290	17 31	299 16	47 56	55 16	15 37
300	22 36	306 14	50	55 15	17 43
310	27 51	312 26	60	54 53	25 47
320	33 4	318 7	70	54 0	34 6
330	37 55	323 37	80	52 33	42 39
340	42 14	329 13	90	50 30	51 29
350	45 59	335 5	100	47 49	60 42
0	49 2	341 19	109 47	$+44^{\circ} 34'$	70 13
10	51 27	347 52			

Dem Stundenwinkel  $47^{\circ} 56'$  gehört das Maximum der Polhöhe an. Gehen wir jetzt zu den Grenzwerten über. Wir hatten oben  $\frac{U}{\rho} \sin N' = +0.4713$ , da nun  $u' = +0.5645$  ist, so ist  $\frac{U}{\rho} \sin N' + u' > 1$ , und es ist daher die nördliche Grenzcurve imaginär. Die Grenzwerte von  $\psi$  werden somit, durch Hülfe der ersten Gleichung (36), worin  $\cos V = 1$  und  $u = u$  gesetzt werden kann, folgende

$$\psi' = 249^{\circ} 28' \text{ und } = 290^{\circ} 32'$$

und da  $U = +0.5009$  ist, so erhalten wir durch die Gleichung (37), wo im jetzigen Falle das obere Zeichen angewandt werden muß, die Werthe von  $\psi$ , welche dem Maximo der Polhöhe auf der östlich-westlichen Grenzcurve entsprechen wie folgt:

$$\psi' = 236^{\circ} 15' \text{ und } = 303^{\circ} 45'$$

Durch Hülfe der Gleichungen (35) habe ich die Werthe von  $\psi$  für die beiden Punkte berechnet, in welchen die östlich-westliche Grenzcurve die südliche Grenzcurve berührt und gefunden

$$\psi' = 80^{\circ} 19' \text{ und } = 99^{\circ} 41'$$

Nach diesen Vorbereitungen habe ich die folgenden Punkte dieser Curve berechnet, denen ich einige Hilfsgrößen hinzugefügt, damit man sehe, welche Werthe diese annehmen. In dem einen Theile der Curve habe ich willkürliche Werthe von  $\psi$  und in dem andern Theile derselben willkürliche Werthe von  $\lambda$  flossmäßig angenommen.

## Oestlich-westliche Grenzcurve.

↓	V	W	15'	φ	15'
249° 28'	+14' 9"	0° 0'	228° 19'	+63° 1'	220° 26'
248° 22'	14,2	- 5 0	235 15	59 18	230 13
245° 30'	13,1	10 0	240 44	55 16	239 0
241 10	11,5	15 0	245 12	51 3	247 5
238 44	10,5	17 30	247 7	48 52	250 15
236 15	9,4	19 48	248 45	46 51	254 11
233 18	8,2	22 30	250 31	44 26	257 57
230 27	6,8	25 0	252 1	42 12	261 13
224 22	+ 4,0	30 0	254 43	37 19	267 32
211 30	- 2,3	40 0	259 15	28 24	278 32
197 42	8,5	50 0	263 3	19 0	287 37
180	14,0	61 53	267 3	+ 7 47	295 47
165	15,9	71 1	270 1	- 0 51	300 3
162 28			270 29	2 14	300 33
150	15,0	79 6	272 40	8 30	302 8
133	12,0	85 52	275 1	14 51	302 17
120	7,8	91 0	276 54	19 40	300 49
110	4,6	93 24	277 51	21 55	299 7
99 41	+ 1,3	94 53	278 28	23 16	296 47
90	+ 1,5	95 21	278 42	23 42	294 13
80 19	4,0	94 53	278 34	23 14	291 19
70	6,3	93 24	278 2	21 50	287 57
60	8,2	91 0	277 10	19 35	284 31
45	10,4	85 52	275 23	14 41	279 15
30	12,0	79 6	273 6	8 21	273 52
15	13,2	71 1	270 28	- 0 42	268 31
0	14,0	61 53	267 30	+ 7 56	263 7
342 18	14,7	50 0	263 25	19 9	256 25
328 30	15,1	40 0	259 53	28 30	250 35
315 38	15,3	30 0	254 57	37 44	244 5
309 33	15,5	25 0	252 12	42 16	240 24
306 42	15,5	22 30	250 40	44 30	238 19
303 45	15,5	19 48	248 53	46 54	235 55
301 16	15,5	17 30	247 15	48 55	233 46
298 50	15,5	15 0	245 18	51 5	231 13
294 30	15,4	10 0	240 48	55 18	225 20
291 38	15,2	+ 5 0	235 16	59 18	218 1
290 32	14,9	0 0	228 19	63 1	208 49
291 38	14,2	5 0	219 28	66 18	197 6
294 30	13,1	10 0	208 15	68 55	182 36
298 50	11,5	15 0	194 38	70 39	165 20
301 16	10,5	17 30	187 7	71 5	155 59
303 45	9,4	19 48	180 0	71 11	147 10
306 42	8,2	22 30	171 44	70 50	136 51
309 33	6,8	25 0	164 16	70 28	127 40
315 38	+ 4,0	30 0	150 57	68 37	110 44
328 30	- 2,3	40 0	131 30	62 33	84 49
342 18	8,5	50 0	119 23	54 44	67 26
0	14,0	61 53	110 5	44 28	53 56
15	15,9	71 1	104 56	36 13	47 29
17 32			104 13	34 54	46 45
30	15,0	79 6	101 12	28 46	44 20
45	12,0	85 52	98 25	22 29	43 44
60	7,8	91 0	96 26	17 42	43 7
70	4,6	93 24	95 32	15 28	46 52

↓	V	W	15'	φ	15'
80° 19'	-1' 3"	-94° 33'	94° 38'	+14° 5'	49° 15'
90	+ 1,5	93 21	94 46	13 40	51 52
99 41	4,0	94 53	94 53	14 7	54 44
110	6,3	93 24	95 22	15 32	58 3
120	8,2	91 0	96 11	17 48	61 26
135	10,4	85 52	98 2	22 37	66 46
150	12,0	79 6	100 42	28 56	72 32
165	13,2	71 1	104 23	36 25	78 57
180	14,0	61 53	109 30	44 41	86 29
197 42	14,7	50 0	118 49	54 58	98 25
211 30	15,1	40 0	131 4	62 44	112 38
224 22	15,3	30 0	150 42	68 47	134 10
230 27	15,5	25 0	164 9	70 37	148 33
233 18	15,5	22 30	171 38	71 7	156 35
236 15	15,5	19 48	180 0	71 18	165 34
238 44	15,5	16 30	187 8	71 10	173 13
241 10	15,5	15 0	194 41	70 43	181 23
245 30	15,4	10 0	208 19	68 58	196 23
248 22	15,2	+ 5 0	219 30	66 19	209 21
249 28	+14,9	0 0	228 19	+63 1	220 26

Die mit \* bezeichneten Punkte sind durch Hülfe der Formeln (35°) berechnet, und sind, der erste der Ort, wo die Verfinsterung auf der Erde überhaupt anfängt und der zweite der Punkt wo die Verfinsterung auf der Erde überhaupt aufhört. Der mit A bezeichnete Theil der Curve ist die eigentliche Grenzcurve, die sich von Westen nach Norden erstreckt, und der mit B bezeichnete Theil ist die eigentliche Grenzcurve, welche sich von Osten nach Norden erstreckt. Die übrigen Theile unserer Curve liegen in dem Bereich der Sichtbarkeit der Verfinsterung, sie begrenzen aber den Theil der Erdoberfläche, wo die Verfinsterung vollständig gesehen wird.

Man sieht aus diesem Täfelchen, daß der Punkt, wo die beiden Zweige unserer Curve einander schneiden, sehr nahe an den mit + bezeichneten Oertern liegen muß. Um diesen Punkt durch Interpolation zu finden, haben wir aus den einen mit + bezeichneten Orte die in der Nähe desselben liegenden Punkte unserer Curve durch folgende Gleichungen

$$15\lambda' = 155^{\circ}59' + 568'x$$

$$\phi = +71^{\circ} 5' - 16'x$$

wo die höheren Potenzen der willkürlichen, kleinen Zahl  $x$  übergangen sind. Der andere mit \* bezeichnete Ort giebt ebenso

$$15\lambda' = 156^{\circ}35' - 490'y$$

$$\phi = +71^{\circ} 7' - 20'5'y$$

Da nun im Durchschnittspunkte Länge und Breite auf jedem Zweige der Curve einander gleich seyn müssen, so geben diese Gleichungen

$$0 = 36' - 490'y - 568'x$$

$$0 = 2' - 20'5'y + 16'x$$

und hieraus findet man

$$x = -0,0124$$

$$y = +0,0879$$

Mit diesen Werthen geben die obigen Gleichungen übereinstimmend für den Durchschnittspunkt

$$15\lambda' = 155^{\circ}52'$$

$$\phi = +71^{\circ}5'$$

Für die Berechnung des Theils der südlichen Grenzcurve, welche wirklich stattfindet, dienen uns die obigen Stundenwinkel  $278^{\circ}28'$  und  $94^{\circ}58'$  als Grenzwerte. Ich habe vermittelst der Gleichungen (30) die folgenden Punkte dieser Curve berechnet.

Südliche Grenzcurve.

$15\lambda'$	$\psi$	$\phi$	$15\lambda'$
$278^{\circ}28'$	$99^{\circ}41'$	$-23^{\circ}16'$	$296^{\circ}47'$
260	100 1	22 42	298 25
290	102 29	18 27	308 31
300	105 1	13 34	317 36
310	107 25	8 12	325 34
320	109 22	- 2 40	332 24
330	110 34	+ 2 43	338 13
340	110 41	7 38	343 13
350	109 36	11 49	347 41
0	107 23	15 10	351 52
10	104 12	17 46	355 55
20	100 15	19 43	0 2
30	96 27	21 3	4 23
40	92 37	21 48	9 23
47 56	89 52	21 59	13 37
50	89 11	21 58	14 50
60	86 18	21 27	21 3
70	83 57	20 17	28 0
80	82 8	18 21	35 48
90	80 48	15 41	44 31
94 58	80 19	+ 14 5	49 15

Dem Stundenwinkel  $47^{\circ}56'$  gehört wieder das Maximum der Polhöhe an. Hiemit ist also die Grenze der Sichtbarkeit dieser Sonnenlinsenstrahlen auf der Erde völlig gegeben. Man sieht hieraus, daß während eine hohle Berührung der Ränder stattfindet,  $\psi$  mehr wie  $20^{\circ}$  von  $90^{\circ}$ , abweichen kann.

Um den Theil der Erdoberfläche zu bestimmen, auf welchem beim Ein- und Austritte  $\cos \psi$  dasselbe Zeichen hat, habe ich die Curve für  $\psi' = 90^{\circ}$  berechnet. Man erhält diese, indem man zu den in der ersten Annäherung für die südliche Grenzcurve gefundenen Werthen von  $\phi$  die Längen aus der letzten Gleichung (30), nachdem man darin  $\cos \psi' = 0$  gesetzt hat, rechnet. Zu den folgenden Punkten dieser Curve gehören dieselben Stundenwinkel, die bei der südlichen Grenzcurve vorkommen, mit Ausnahme der Grenzwerte. Diese sind hier die beiden Punkte der östlich-westlichen Grenzcurve, die zu  $\psi' = 90^{\circ}$  gehören.

Curve für  $\psi' = 90^{\circ}$ .

$\phi$	$15\lambda'$	$\phi$	$15\lambda'$	$\phi$	$15\lambda'$
$-23^{\circ}42'$	$294^{\circ}13'$	$+5^{\circ}17'$	$337^{\circ}52'$	$+21^{\circ}59'$	$13^{\circ}38'$
23 13	295 31	9 44	342 34	21 58	15 5
19 17	304 56	43 83	347 14	21 24	22 7
14 47	313 23	16 46	352 2	20 6	29 44
9 52	320 47	19 9	357 10	18 2	38 4
- 4 44	327 14	20 50	2 40	15 14	47 11
+ 0 23	332 50	21 46	8 37	+13 40	51 52

Die Erdoberfläche also, welche zwischen dieser Curve und der südlichen Grenzcurve, wezu an den Endpunkten noch zwei kleine Stücken der östlich-westlichen Grenzcurve zu rechnen sind, eingeschlossen ist, enthält die in Rede stehenden Oerter.

Um das Resultat meiner Formeln für den Fall zu zeigen, wenn alle vier Grenzcurven real werden, habe ich die Phasencurve für die größte Phase von 6 Zwölftel berechnet. Wir haben in diesem Falle zufolge der vierten Aufgabe  $x = 0$ , und somit für diese Rechnung hinlänglich genau  $f = 0$ . Es wird also  $u' = 1$ , und in den Gleichungen (34) wird  $V = 0$ , folglich auch  $u = u$ . Die Gleichungen (35) geben nun

$$\psi' = 98^{\circ}58'$$

für den gemeinschaftlichen Punkt der südlichen und der westlichen Curve,

$$\psi' = 81^{\circ}2'$$

für den gemeinschaftlichen Punkt der südlichen und der östlichen Curve,

$$\psi' = 275^{\circ}40'$$

für den gemeinschaftlichen Punkt der nördlichen und der westlichen Curve, und

$$\psi' = 264^{\circ}20'$$

für den gemeinschaftlichen Punkt der nördlichen und der östlichen Curve. Somit habe ich die folgenden Punkte dieser vier Curven berechnet.

Westliche Phasencurve für 6 Zwölftel

$\psi'$	$w$	$15\lambda'$	$\phi$	$15\lambda'$
$180^{\circ}$	$-61^{\circ}47'$	$267^{\circ}15'$	$+7^{\circ}55'$	$287^{\circ}25'$
195	57 11	265 42	12 19	284 23
210	52 34	264 6	16 40	280 38
225	48 23	262 35	20 36	276 30
240	44 59	261 17	23 46	272 20
250	43 20	260 38	25 19	269 49
260	42 17	260 13	26 18	267 40
264 20'	42 3	260 8	26 30	266 52
270	41 56	260 5	26 37	265 59
275 40	42 3	260 8	26 30	265 17
280	42 17	260 13	26 18	264 52
290	43 20	260 38	25 19	264 20
300	44 59	261 17	23 46	264 20
315	48 23	262 35	20 36	265 11
319 36		263 2	19 26	265 35
330	52 34	264 6	16 40	266 46
345	57 11	265 42	12 19	268 56
0	61 49	267 15	7 56	271 25
15	66 22	268 45	+ 3 38	274 12
30	70 25	270 4	- 0 12	277 5
45	73 48	271 10	3 23	280 0
60	76 23	272 0	5 50	282 48
70	77 34	272 24	6 57	284 37
80	78 17	272 39	7 38	286 18
81 2	78 20	272 40	7 41	286 27
90	78 32	272 44	7 52	287 47
98 58	78 20	272 40	7 41	288 57
100	78 17	272 39	7 38	289 8
110	77 34	272 24	6 57	290 6



$\psi$	W	15'	$\phi$	15'
120	76° 23'	272° 0'	5° 50'	290° 44'
125	73 48	271 10	8 23	291 19
130	70 25	270 4	0 12	290 57
135° 15'		269 22	+ 1 52	290 22
140	66 22	268 45	8 38	289 40
145	61 49	267 15	+ 7 56	287 25

## Östliche Phasencurve für 6 Zwölfel.

$\psi$	W	15'	$\phi$	15'
0°	+61° 49'	109° 50'	+44° 37'	62° 16'
5	66 22	107 6	40 33	54 47
10		106 4	38 50	37 40
21 45'		104 56	36 51	56 39
30	70 25	103 17	33 45	55 44
45	73 48	102 6	31 22	55 52
60	76 23	101 15	30 16	56 29
75	77 34	101 16	29 37	57 26
90	78 17	101 15	29 35	57 34
H 2	78 32	101 10	29 23	58 41
98 58	78 20	101 15	29 35	60 4
100	78 17	101 16	29 37	60 13
110	77 34	101 35	30 16	61 58
120	76 23	102 6	31 22	63 52
135	73 48	103 17	33 45	67 4
150	70 25	104 56	36 51	70 31
165	66 22	107 6	40 33	74 15
180	61 49	109 50	44 37	78 16
195	57 11	113 2	48 42	82 24
210	52 34	116 47	52 39	86 43
220 24		119 34	55 8	89 37
225	48 23	120 48	56 8	90 49
240	44 59	124 39	58 50	94 12
250	43 20	126 42	60 5	95 86
260	42 17	128 8	60 53	96 4
264 20	42 3	128 29	61 5	95 55
270	41 56	128 37	61 8	95 19
275 40	42 3	128 29	61 5	94 20
280	42 17	128 8	60 53	93 17
290	43 20	126 42	60 5	90 7
300	44 59	124 39	58 50	86 12
315	48 23	120 48	56 8	79 29
330	52 34	116 47	52 39	72 52
345	57 11	113 2	48 42	66 56
0	+61 49	109 50	+44 37	68 16

## Südliche Phasencurve für 6 Zwölfel.

15'	$\psi$	$\phi$	15'
272° 40'	98° 58'	7° 41'	288° 57'
280	100 42	4 53	296 14
290	103 5	0 29	305 14
300	105 20	+ 4 26	313 8
310	107 12	9 39	319 59
320	108 24	14 55	326 56
330	108 43	19 56	331 10
340	108 2	24 28	336 14
350	106 25	28 24	341 6
0	104 2	31 41	346 2
10	101 11	34 18	351 13

15'	$\psi$	$\phi$	15'
20°	98° 6'	+36° 17'	356° 42'
30	95 1	37 39	2 32
40	92 6	38 25	8 47
47 56'	90 0	38 37	14 0
50	89 28	38 36	15 26
63	87 9	38 9	22 34
70	85 9	37 7	30 20
80	83 29	35 25	38 14
90	82 9	33 3	46 56
101 15	81 2	+29 35	57 34

## Nördliche Phasencurve für 6 Zwölfel.

15'	$\psi$	$\phi$	15'
260° 8'	275° 40'	+26° 30'	326° 17'
270	277 21	30 13	274 25
280	278 47	35 3	282 24
290	279 44	40 29	289 25
300	280 1	46 16	295 46
310	279 40	51 59	301 51
320	278 47	57 24	308 4
330	277 27	62 6	314 43
340	276 8	65 52	321 58
350	274 53	68 54	329 43
0	273 48	71 9	337 55
10	272 50	72 47	346 26
20	271 59	73 56	355 13
30	271 14	74 43	4 10
40	270 32	75 7	13 13
47 56'	270 0	75 13	20 25
50	269 52	75 12	22 22
60	269 13	75 0	31 34
70	268 34	74 27	40 47
80	267 54	73 32	49 58
90	267 12	72 11	59 17
100	266 28	70 17	68 32
110	265 43	67 48	77 59
120	264 57	64 30	87 32
128 29	264 20	+61 5	95 55

Die auf der westlichen und östlichen Phasencurve mit A bezeichneten Theile sind die eigentlichen Grenzcuren. Sie schliessen also in Verbindung mit der südlichen und der nördlichen Phasencurve ein Stück der Erdoberfläche ein, außerhalb dessen nur eine größte Phase gesehen wird, welche kleiner wie 6 Zwölfel ist. Auf dem mit A bezeichneten Theile der westlichen Phasencurve wird bei aufgehender Sonne die Phase von 6 Zwölfel gesehen und die Verfinstörung ist im Abnehmen begriffen; auf dem mit A bezeichneten Theile der östlichen Phasencurve wird bei untergehender Sonne diese Phase gesehen, aber die Verfinstörung war vorher kleiner; sie ist im Zunehmen begriffen. Auf den unbezeichneten Theilen dieser beiden Curven findet die nemliche Erscheinung statt, aber für diese Punkte jener Curve ist die Verfinstörung im Zunehmen, und für diese Punkte dieser Curve ist sie im Abnehmen begriffen, so daß auf diesen Theilen dieser Curven in der That eine größere Phase wie 6 Zwölfel gesehen wird. Die mit \* bezeichneten Punkte dieser Curven sind durch die Gleichungen (85°) berechnet. Sie geben die

Oerter der Erde, wo die obigen Erscheinungen zuerst oder beziehungsweise zuletzt gesehen werden.

Dieselben Werthe, welche dem Bogen  $\mathcal{P}$  bei der Berechnung der östlich-westlichen Grenzcurve beigelegt wurden, werden

den mit Vortheil bei der Berechnung der Curve der sechs Aufgabe angewandt. Es wird dadurch bewirkt, daß ein Theil der Rechnung bei dieser unverändert angewandt werden kann, ich habe somit die folgenden Punkte dieser Curve erhalten.

Curve der größten Phase im Horizonte.									
W	$\varphi$	V	$\psi$	15'	$\phi$	15'	gr. Ph.		
-94° 53'	+15° 9'	-1° 3'	99° 41'	278° 25'	-23° 16'	296° 47'	0,0		
93 24	14,5	1,6	99 39	277 54	21 53	296 10	0,4		
91 0	12,2	1,8	99 34	277 0	19 38	295 3	1,4		
85 52	7,2	1,7	99 22	275 11	14 48	292 42	3,2		
79 6	+ 0,7	- 0,2	99 0	272 54	8 25	289 20	5,7		
78 20	0,0	0,0	98 58	272 40	7 41	288 57	6,0		
71 1	- 6,8	+ 3,1	98 27	270 19	- 0 45	285 1	8,6		
61 53	-14,8	± 8,6	97 17	267 25	+ 7 54	279 36	11,7		
			277 31	267 8	7 49	279 19			
50 0	- 5,4	- 3,9	276 37	263 7	19 2	271 20	8,1		
42 3	0,0	0,0	275 40	260 8	26 30	265 17	6,0		
40 0	+ 1,3	+ 1,0	275 24	259 18	28 25	263 39	5,5		
30 0	6,7	6,0	274 8	254 45	37 40	254 54	3,4		
25 0	8,8	8,2	273 27	252 3	42 12	249 59	2,6		
22 30	9,8	9,3	273 7	250 32	44 27	247 22	2,2		
19 48	10,8	10,3	272 45	248 46	46 51	244 21	1,9		
17 30	11,4	11,0	272 25	247 9	48 52	241 41	1,6		
15 0	12,1	11,8	272 4	245 13	51 3	238 36	1,4		
10 0	13,1	13,0	271 22	240 44	55 16	231 46	1,0		
5 0	13,7	13,7	270 41	235 18	59 17	223 54	0,7		
0 0	14,0	14,0	269 58	228 18	63 1	214 37	0,7		
+ 5 0	13,7	13,7	269 15	219 27	66 17	203 42	0,7		
10 0	13,1	13,0	268 34	208 15	68 56	189 49	1,0		
15 0	12,1	11,8	267 52	194 37	70 39	173 50	1,4		
17 30	11,4	11,0	267 32	187 6	71 5	165 10	1,6		
19 48	10,8	10,3	267 12	180 0	71 12	157 1	1,9		
22 30	9,8	9,3	266 50	171 41	71 0	147 28	2,2		
25 0	8,8	8,2	266 30	164 15	70 29	138 55	2,6		
30 0	6,7	6,0	265 50	150 54	68 38	123 21	3,4		
40 0	+ 1,3	+ 1,0	264 35	131 26	62 35	99 41	5,5		
42 3	0,0	0,0	264 20	128 29	61 5	95 55	6,0		
50 0	- 5,4	- 3,9	263 24	119 17	54 46	83 41	8,1		
61 53	-14,8	± 8,6	262 31	109 59	44 30	70 24	11,7		
			82 41	109 37	44 39	70 2			
71 1	- 6,8	+ 3,1	81 33	104 35	36 20	62 30	8,6		
78 20	0,0	0,0	81 2	101 15	29 35	60 4	6,0		
79 6	+ 0,7	- 0,2	81 0	100 55	28 52	57 5	5,7		
85 52	7,2	1,7	80 37	98 14	22 33	53 19	3,2		
91 0	12,2	1,8	80 26	96 21	17 43	50 54	1,4		
93 24	14,5	1,6	80 20	95 30	15 28	49 52	0,4		
+94 53	+15,9	- 1,3	80 19	94 58	+14 5	49 15	0,0		

Die letzte Column giebt die Größe der größten Phase in Zwißftheilen des Sonnendurchmessers. Als Beispiel der sieben Aufgabe habe ich berechnet:

Die Curve der größten Phase im wahren Mittage.				
$\phi$	$\psi$	15'	gr. Ph.	
+15° 10'	107° 35'	351° 52'	0,0	+50° 0'
20	106 35	350 5	1,8	60
30	104 27	347 10	5,4	70
31 41	104 2	346 2	6,0	71 9
40	101 54	343 34	8,8	80
49 2		341 19	11,7	90
$\phi$	$\psi$	15'	gr. Ph.	
+50° 0'	279° 10'	841° 6'	11,4	
60	276 31	339 17	8,6	
70	274 4	338 2	6,2	
71 9	273 48	337 55	6,0	
80	271 53	337 16	4,4	
90	270 0	336 54	3,0	

Die hier bei der Polhöhe  $90^\circ$  angeführte Länge ist so zu verstehen, daß sie auf dieser Curve bei einer Polhöhe die unendlich wenig kleiner ist wie  $90^\circ$ , statt findet.

Als Beispiel zur dritten Aufgabe habe ich erstlich die Curve berechnet, welche der Schattenkegel auf der Erdoberfläche in dem Zeitmomente, wo die Verfinstörung an dem oben berechneten Orte im Mittage central gesehen wird, beschreibt; es ist leicht einzusehen, daß dieses Zeitmoment die Conjunctionszeit seyn muß. Wir haben somit  $t + T' - T = 0$ , und daher  $\Sigma = 0$  und  $S = U$ . Nun giebt die erste Formel (12) für das Maximum

$$V = 86^\circ 37'$$

und das Minimum wird vermittelt dieser Formeln imaginär. Wir haben daher durch die Gleichung (41) für das Minimum

$$V = +15'0$$

Somit habe ich folgende Punkte dieser Curve durch die Formeln der Auflösung der dritten Aufgabe berechnet:

Grenzcurve des Schattenkegels für die Conjunctionszeit.

V	H	$\Phi$	$15\lambda'$
$0^\circ 15'0$	$68^\circ 30'$	$+61^\circ 48'$	$212^\circ 11'$
2 30	68 26	63 14	215 56
5 0	67 58	64 23	221 7
7 30	67 14	65 1	226 28
10 0	66 16	65 22	233 19
12 30	65 2	65 9	239 57
15 0	63 33	64 25	246 30
20	60 10	61 53	258 27
25	56 20	58 18	268 25
30	52 3	53 56	276 33
35	47 40	49 23	283 22
40	42 54	44 36	289 19
45	37 59	39 54	294 43
50	32 50	35 22	299 51
55	27 32	31 8	304 53
60	21 53	27 15	309 52
65	15 50	23 48	314 56
70	9 4	20 53	320 8
75	0 56	18 32	325 29
80	359 12	16 48	331 3
84	330 17	15 55	335 54
86 37	270 0	15 35	341 19
84	209 43	15 55	346 44
80	190 48	16 48	351 35
75	179 4	18 32	357 9
70	170 56	20 53	2 30
65	164 10	23 48	7 42
60	158 7	27 15	12 46
55	152 28	31 8	17 46
50	147 10	35 22	22 47
45	142 1	39 54	27 53
40	137 6	44 36	33 19
35	132 20	49 23	39 16
30	127 57	+53 56	46 5

V	H	$\Phi$	$15\lambda'$
$25^\circ$	$123^\circ 40'$	$+58^\circ 18'$	$54^\circ 3'$
20	119 50	61 53	64 11
15	116 27	64 25	76 8
$12\ 30'$	114 58	65 9	82 41
10 0	113 44	65 22	89 19
7 30	112 46	65 1	96 10
5 0	112 2	64 23	101 31
2 30	111 34	63 14	106 42
0 15,0	111 30	+61 48	110 27

Um ferner ein Beispiel einer solchen Curve zu geben, welche ganz auf der von der Sonne beschienenen Fläche der Erde enthalten ist, habe ich die denselben Zeitmomente angehörende Curve der Phase von 6 Zwölftel berechnet. Hier haben wir  $f = 0$ , ferner wie oben  $\Sigma = 0$  und  $S = U$ . Nun geben die Gleichungen (12) für das Maximum

$$V = 76^\circ 47'$$

und für das Minimum

$$V = 39^\circ 19'$$

und somit haben wir folgende Punkte dieser Curve:

Curve der Phase von 6 Zwölftel für die Conjunctionszeit.

V	H	$\Phi$	$15\lambda'$
$39^\circ 19'$	$90^\circ 0$	$+69^\circ 39'$	$341^\circ 19'$
39 30	87 32	69 21	335 55
40	84 22	68 25	329 31
41	80 44	66 35	323 30
43	76 13	63 18	318 30
45	72 47	60 18	316 21
50	66 22	53 42	315 31
56	61 39	48 2	317 17
60	58 24	43 10	320 15
65	57 4	39 3	324 8
70	56 57	35 38	328 47
74	66 16	33 27	333 40
76 47	90 0	32 11	341 19
74	113 44	33 27	348 58
70	121 3	35 38	353 51
65	122 56	39 3	358 30
60	121 36	43 10	2 23
55	118 21	48 2	5 21
50	113 34	53 42	7 7
45	107 13	60 18	6 17
43	103 47	63 18	4 8
41	99 16	66 35	359 8
40	95 38	68 25	353 7
39 30	92 28	69 21	346 43
39 19	90 0	+69 39	341 19

Um endlich zu zeigen, wie diese Curve unter anderen Verhältnissen beschaffen ist, habe ich die Grenzcurve des Schattenkegels für  $0^\circ 449$  W. Z. Berlin, und die Curve der Phase von 6 Zwölftel für  $4^\circ 067$  W. Z. Berlin berechnet. Ersteres Moment ist die Zeit der Aufgangsgrenze der südlichen Grenzcurve, also die Zeit, wo der südlichste Punkt des Schatten-

kegels die Erde zu berühren anfängt, letzteres Moment ist die Zeit, wo der vorangehende Punkt des der Phase von 6 Zwölftel zukommenden Kegels im Begriff ist, die Oberfläche der Erde zu verlassen. Für die erstere Curve geben die Gleichungen (42) das Maximum

$$F = 51^{\circ} 8'$$

und die Gleichung (41) giebt das Minimum

$$F = -1^{\circ} 3'$$

Für die andere Curve geben die Gleichungen (42) das Maximum und das Minimum

$$F = 62^{\circ} 56'$$

$$F = 0.$$

Grenzcurve des Schattenskegels für 0<sup>h</sup> 849 W. Z.  
Berlin.

V	H	Φ	15λ'
- 0° 1' 3	335° 19'	- 23° 16'	296° 47'
+ 5 0	335 21	21 23	301 49
10	335 27	19 18	306 40
15	335 38	17 1	311 21
20	335 57	14 32	315 53
25	336 29	11 48	320 13
30	337 22	8 48	324 19
35	338 48	5 23	328 14
40	341 14	- 1 24	331 47
45	345 27	+ 3 53	335 1
47 30	348 57	6 44	336 26
50	355 4	11 20	337 32
51 8	3 34	16 51	337 26
50	12 4	22 6	335 36
47 30	18 11	26 3	332 44
45	21 41	28 29	329 55
40	25 54	31 42	324 14
35	28 20	33 39	318 18
30	29 46	34 41	312 13
25	30 39	35 3	306 4
20	31 11	34 50	299 56
15	31 30	34 9	293 55
10	31 41	33 4	288 3
+ 5	31 47	31 39	282 23
- 0 1,3	31 49	+ 29 54	276 53

Curve der Phase von 6 Zwölftel für 4<sup>h</sup> 067 W. Z.  
Berlin.

V	H	Φ	15λ'
0°	119° 49'	+ 55° 8'	89° 37'
5	116 49	60 21	84 44
10	113 49	65 18	77 58
15	110 45	69 47	68 8
20	107 54	73 6	53 34
25	105 16	74 38	34 13
30	102 46	74 0	14 0
35	100 41	71 23	358 28
40	98 39	67 35	348 20
45	97 56	63 9	342 32
50	97 56	58 20	339 47
55	99 45	53 13	339 23
60	105 29	48 1	341 46
62 56'	119 49	41 31	347 38

V	H	Φ	15λ'
60°	134° 9'	+ 38° 22'	356° 25'
55	139 53	38 0	3 53
50	141 41	38 44	10 21
45	141 41	40 7	16 34
40	140 39	41 56	22 50
35	138 57	44 3	29 18
30	136 52	46 15	36 8
25	134 22	48 36	43 26
20	131 44	50 45	51 22
15	128 53	52 40	60 0
10	125 49	54 15	69 27
5	122 49	55 6	79 24
0	119 49	+ 55 8	89 37

Durch diese Beispiele meine ich die Anwendung der Formeln dieser Abhandlung hinlänglich erläutert zu haben. Es kann jeder aus den berechneten Punkten dieser Curven sie leicht auf einem Globus construiren, und dadurch zur genaueren Kenntniß ihrer Figur gelangen.

Hansen.

### Z u s a t z.

In der vorstehenden Abhandlung habe ich unter andern gezeigt, daß in der rein analytischen Behandlung der Theorie der Verfinsterungen die Wahl der Lage der Coordinaten von mittelst der Gleichungen  $x = x'$ ,  $y = y'$ , und  $x = 0$  der wesentliche Punkt ist, auf dem die einfachste und strengste Auflösung dieser Aufgabe beruht. Diese Gleichungen, oder mit andern Worten, die diesen Gleichungen entsprechende Lage der Coordinaten bedingt unmittelbar die grade Aufsteigung und Abweichung des entfernten Gestirns vom näheren aus gesehen, wodurch das Endresultat auf seine einfachste und für die Anwendung vorteilhafteste Gestalt gebracht wird. Man kann zwar hier, so wie in allen Fällen, auf viele verschiedene Arten das Endresultat ableiten, aber die Gleichungen  $x = x'$ ,  $y = y'$ , und  $x = 0$  kann man nur durch Umwege oder durch Einmischung von geometrischen Betrachtungen vermeiden. Ich werde in den folgenden Zeilen zeigen, daß das nemliche in der Parallaxenrechnung der nautischen Aufgabe der Distanz statt findet, und daß dieselben Gleichungen, welche in der Theorie der Verfinsterungen durch die Bedingungsgleichungen  $x = x'$ ,  $y = y'$ ,  $x = 0$  entstehen, von Bessel angewandt sind, um die Parallaxenrechnung in der Aufgabe der Längenbestimmungen durch Mondstrecken auszuführen. Nur sind in diesem Falle, weil die unbekannte Größe eine andere ist, diese Gleichungen anders aufgelöst.

Die genannten drei Bedingungsgleichungen führen in der vorstehenden Abhandlung auf folgende drei Grundgleichungen:

$$\begin{aligned}
 u &= l \sec f + z, \operatorname{tg} f \\
 u \sin \theta &= -r \cos d \sin (\alpha - a) + p \cos \Phi \sin (\mu - a) \\
 u \cos \theta &= r (\sin d \cos d - \cos d \sin d \cos (\alpha - a)) - p (\sin \Phi \cos d - \cos \Phi \sin d \cos (\mu - a)) \\
 z, &= r (\sin d \sin d + \cos d \cos d \cos (\alpha - a)) - p (\sin \Phi \sin d + \cos \Phi \cos d \cos (\mu - a))
 \end{aligned}$$

ist. Diese Gleichungen drücken überhaupt die, von der Oberfläche der Erde aus (ohne Rücksicht auf die Refraction) gezeichnete Entfernung der Mittelpunkte zweier Himmelskörper durch Größen, die sich auf den Mittelpunkt der Erde beziehen, aus. Diese scheinbare Entfernung wurde im Art. 1  $P$  genannt und als aus der Summe oder Differenz zweier Längen  $\Delta$  und  $\Delta'$  zusammengesetzt betrachtet, die in der Theorie der Veränderungen die scheinbaren Halbmesser bedeuten. In dieser Theorie waren, wenn man die Aufgabe der Bestimmung des größten Phases ausnimmt,  $P$  sowohl wie  $\Delta$  und  $\Delta'$  immer gegebne Größen und es waren theils die Zeit, theils die Länge und theils überhaupt die geographische Lage des Beobachtungsortes die unbekannte Gröſſe. Im Problem der Distanzen hingegen, so wie es von *Bezel* durchgeführt worden ist, ist die scheinbare Distanz die unbekannte Gröſſe, und die Zeit, so wie die geographische Lage des Beobachtungsortes sind gegebne Größen. Der Bogen  $P$  ist also jetzt unsere unbekannte Gröſſe, und da, wenn wir uns bloß an die unteren Zeichen der betreffenden Gleichungen halten, die Bögen  $\Delta$  und  $\Delta'$  durch nichts weiteres als durch die Gleichung

$$\begin{aligned}
 u &= l \sec f + z, \operatorname{tg} f \\
 u \sin \theta &= -r \cos d \sin (\alpha - a) + a' \cos \Phi' \sin (\mu - a) \\
 u \cos \theta &= r (\sin d \cos d - \cos d \sin d \cos (\alpha - a)) + a' i \cos d - a' (\sin \Phi' \cos d - \cos \Phi' \sin d \cos (\mu - a)) \\
 z, &= r (\sin d \sin d + \cos d \cos d \cos (\alpha - a)) + a' i \sin d - a' (\sin \Phi' \sin d + \cos \Phi' \cos d \cos (\mu - a))
 \end{aligned}$$

Setzt man nun

$$\begin{aligned}
 r' \sin D \sin Q &= r \cos d \sin (\alpha - a) \\
 r' \sin D \cos Q &= r (\sin d \cos d - \cos d \sin d \cos (\alpha - a)) + a' i \cos d \\
 r' \cos D &= r (\sin d \sin d + \cos d \cos d \cos (\alpha - a)) + a' i \sin d \\
 \sin Z \sin q &= \cos \Phi' \sin^2 (\mu - a) \\
 \sin Z \cos q &= \sin \Phi' \cos d - \cos \Phi' \sin d \cos (\mu - a) \\
 \cos Z &= \sin \Phi' \sin d + \cos \Phi' \cos d \cos (\mu - a)
 \end{aligned}$$

Dann gehen die Gleichungen (A) in folgende über:

$$\begin{aligned}
 u &= l \sec f + z, \operatorname{tg} f \\
 \frac{u}{r'} \sin \theta &= -\sin D \sin Q + \frac{a'}{r'} \sin Z \sin q \\
 \frac{u}{r'} \cos \theta &= \sin D \cos Q - \frac{a'}{r'} \sin Z \cos q \\
 \frac{z}{r'} &= \cos D - \frac{a'}{r'} \cos Z
 \end{aligned}$$

Wenn zweite und dritte man durch Multiplicationen mit  $\sin Q$  und  $\cos Q$  leicht in folgende verwandelt:

$$\begin{aligned}
 \frac{u}{r'} \sin (\theta + Q) &= \frac{a'}{r'} \sin Z \sin (q - Q) \\
 \frac{u}{r'} \cos (\theta + Q) &= \sin D - \frac{a'}{r'} \sin Z \cos (q - Q)
 \end{aligned}$$

Diese Gleichungen habe ich in der vorstehenden Abhandlung schon bei mehreren Aufgaben angewandt, nur wurde dort die rechte Seite derselben etwas anders ausgedrückt. Um nun im gegenwärtigen Falle die einfachste Auflösung zu erhalten, verführe ich über die Bögen  $\Delta$  und  $\Delta'$  so, daß

$$f = 0$$

$P = \Delta - \Delta'$   
bestimmt werden, so ist Eine derselben willkürlich und kann so bestimmt werden, daß die Auflösung am einfachsten werde.

In den vorstehenden Formeln beziehen sich alle Größen auf den Mittelpunkt der Erde, und es ist also namentlich  $\Phi$  die geocentrische Breite des Beobachtungsortes. Da aber weiter unten die Zenithdistanz des Punktes ( $a, d$ ) erscheinen wird, und man für die Berechnung des Einflusses der Refraction auf die Distanz der Zenithdistanzen vom wahren und nicht vom geocentrischen Zenith bedarf, so ist es vortheilhaft, sogleich statt  $\Phi$  die Polhöhe  $\Phi'$  einzuführen. Nennt man den Halbmesser des Erdäquators  $a$ , die Abplattung  $e$ , und vernachlässigt man die Höhe des Beobachtungsortes über dem Meere, so ist

$$p \cos \Phi = a' \cos \Phi', \quad p \sin \Phi = a' \sin \Phi - a' i$$

wo zur Abkürzung

$$a' = \frac{a}{\sqrt{(\cos^2 \Phi' + (1-e)^2 \sin^2 \Phi')}}, \quad i = (2e - e^2) \sin \Phi'$$

gesetzt ist. Die übrigen Formeln gehen hiemit in folgende über

wird. Hiemit haben wir  $u = l$ , oder, da im Art. 1  $l$  für  $r, \sin \Delta$  gesetzt wurde,

$$u = r, \sin \Delta$$

Hiemit und vermittelst der Gleichung  $r^2 = u^2 + a^2$ , die aus den Gleichungen  $y = u$  und  $x = 0$  folgt, ergibt sich

$$r = r, \cos \Delta.$$

Wir haben also, wenn wir  $\frac{a'}{r} = \sin \pi$ , und  $\frac{r}{r} = a$ , machen, für die Bestimmung der Größen  $a$ ,  $\Delta$  und  $\theta$  die drei folgenden Gleichungen:

$$\begin{aligned} a, \sin \Delta \sin(\theta + Q) &= \sin \pi, \sin Z \sin(q - Q) \\ a, \sin \Delta \cos(\theta + Q) &= \sin D - \sin \pi, \sin Z \cos(q - Q) \\ a, \cos \Delta &= \cos D - \sin \pi, \cos Z \end{aligned}$$

wenn im Voraus die Größen  $r$ ,  $D$ ,  $Q$ ,  $Z$  und  $q$  aus den Gleichungen (B) berechnet worden sind.

Die Gleichung  $f = 0$  giebt

$$l = l$$

und hiemit

$$\sin \Delta' = \frac{r}{r'} \sin \Delta$$

voraus, wenn man  $r'$  durch die Gleichungen

$$r'^2 = u^2 + a'^2, \quad a' = a + R, \quad u = r, \sin \Delta, \quad a = r, \cos \Delta$$

einführt, sich ergibt

$$\sin \Delta' = \frac{r}{\sqrt{r^2 + R^2 + 2rR \cos \Delta}} \sin \Delta$$

hat man hieraus  $\Delta'$  berechnet, so ist die scheinbare Distanz des Mittelpunktes des Mondes von dem des zweiten Gestirns

$$P = \Delta - \Delta'$$

Diese ist in den wesentlichen Theilen die *Besselsche* Auflösung der betreffenden Aufgabe, und man sieht hieraus, daß, obgleich *Bessel* sich in seiner Ableitung, die zum Theil auf geometrischen Betrachtungen beruht, nicht der Gleichungen  $x = x'$ ,  $y = y'$ ,  $z = 0$  bedient hat, diese der Auflösung dennoch zu Grunde liegen, und dieselbe auf die einfachste Art aus den allgemeinen Gleichungen der Aufgabe herbei führen. Sie sind also auch in dieser Aufgabe der wesentliche Punkt der Auflösung, denn hätte man sie vermeiden wollen, so hätte man nur durch neue Transformationen, also durch Umweg zum Ziele gelangen können.

Hansen.

#### Auszug aus einem Schreiben des Herrn Staatsraths v. Struve an den Herausgeber.

Dorpat, den 1. Nov. 1837,  
30. Oct.

Mit den Operationen zwischen dem schwarzen und caspischen Meere ist es in diesem Sommer ganz vortrefflich gegangen. Die letzten Nachrichten waren vom Angst aus Mosdook. Damals war  $\frac{1}{2}$  der Arbeit fertig und im October hofften sie das caspische Meer zu erreichen. Eine ausführlichere Nachricht habe ich so eben für das Bulletin scientifique der Akademie nach St. Petersburg gesandt, die Ihnen gewiß auch bald zukommen wird. Vielleicht finden Sie sie dazu geeignet für die Astr. Nachr.

Fedoroff ist auch glücklich nach mehr als 5jährigem Aufenthalte in Sibirien zurückgekehrt. Ich sprach ihn schon in Petersburg und erwarte ihn in diesen Tagen in Dorpat. Das Resultat seiner Reise ist, die astronomische Bestimmung von mehr als 50 Punkten, von denen 22 Hauptpunkte sind, deren Länge auf einer Reihe von Mondscuminationen beruhen, abgesehen von einigen gelegentlich beobachteten Sternbedeckungen. Die übrigen Punkte sind für die Länge

chronometrisch mit den Hauptpunkten verbunden. Alle Höhen sind mit dem astronomischen Theodoliten bestimmt. Mehrere trigonometrische Operationen verbanden ausgezeichnete Bergspitzen und gaben deren Höhen, sowohl im Uralgebirge als im Altai. An 12 Punkten wurde mit *Gambeyerschen* magnetischen Apparaten die Declination und Inclination der Magnetnadel beobachtet und außerdem Intensitätsversuche gemacht. Ich werde Ihnen wohl nächstens etwas ausführlicheres mittheilen über diese Reise.

Der Bau in Pulkowa rückt rasch vorwärts und wird mit einer Sorgfalt und Einsicht geführt, die nichts zu wünschen übrig läßt. Am Schluß des Jahres 1839 wird alles bis auf einige Einzelheiten, die sich auf die Aufstellung der Instrumente beziehen, fertig seyn, und mit dem 1. Jan. 1839 wird ohnefährbar der jährliche Etat der Sternwarte in Wirksamkeit treten.

W. Struve.

Ueber die Verfinsternung auf der Erde überhaupt. Von Herrn Professor Hansen, Director der Sternwarte Seeberg. p. 33.  
Auszug aus einem Schreiben Sr. Excellenz des Herrn wirklichen Staatsraths und Ritters von Struve an den Herausgeber. p. 103.

### Ueber den Doppelstern $\rho$ Ophiuchi.

Von Herrn Geheimen-Rath und Ritter Bessel.

Der Stern  $\rho$  Ophiuchi gehört bekanntlich zu den Doppelsternen, welche eine fortschreitende Bewegung und zugleich eine Umlaufbewegung, beide von ungewöhnlicher Schnelligkeit, zeigen. Die letztere änderte, zwischen den beiden äussersten, etwa 25 Jahre voneinander entfernten Beobachtungen *Herschels*, den Positionswinkel um  $131^\circ$ , und hat ihn jetzt, nach fernern 33 Jahren, wieder um  $191^\circ$  geändert. Es sind zwar noch andere Doppelsterne von gleich schneller, oder noch schnellerer Umlaufbewegung bekannt geworden, allein  $\rho$  Ophiuchi zeigt uns bei einer so grossen scheinbaren Entfernung der beiden, ihn zusammensetzenden Sterne, dass man hoffen kann, diese nicht allein bis auf einen kleinen Winkel, sondern auch bis auf einen kleinen Theil ihrer Grösse, durch die Beobachtungen zu bezeichnen. Die Auszeichnung, welche dieser Stern hierin vor andern besitzt, begründet die Erwartung, dass Beobachtungen desselben, vergleichungsweise früh, zur Kenntniss der Bahnen seiner beiden Sterne um ihren gemeinschaftlichen Schwerpunkt führen werden. Wenn indessen diese Kenntniss nicht die roheste Annäherung bleiben soll, so werden die Beobachtungen den höchsten Grad von Genauigkeit besitzen müssen, welche die Mittel der gegenwärtigen Zeit ihnen geben können; denn auch in dem gegenwärtigen Falle, dem günstigsten unter den bis jetzt bekannten, sollen die sieben Elemente der Bahn aus ihrer Bewegung erkannt werden, welche in dem engen Raume weniger Secunden vor sich geht. Die bis jetzt vorhandenen Beobachtungen sind grösstentheils weit entfernt, eine solche Genauigkeit zu besitzen; auch sind sie erst seit 20 Jahren so häufig geworden, dass man hoffen kann, durch ihre Zahl zu ersetzen, was ihnen an Genauigkeit abgeht. Soll die Zeit des Gelingens der Versuche, die Bahnen der beiden Sterne von  $\rho$  Ophiuchi zu bestimmen, so schnell als möglich herbeigeführt werden, so müssen die Astronomen, die mit genügenden Beobachtungsapparaten ausgerüstet sind, nicht nur häufige Beobachtungen dieses Doppelsterns machen, sondern sich auch heischen, ihnen eine Sicherheit im Ganzen zu geben, welche die Annahme wirklich so genau macht, als ihre zufälligen, in den Unterschieden zwischen mehreren, nahe gleichzeitigen, sichtbaren Fehler nie erscheinen lassen. Ich beabsichtige gegenwärtig, einen Beitrag zu den Beobachtungen des Doppelsterns

$\rho$  Ophiuchi zu liefern, und zugleich die Beobachtungsart der Doppelsterne mit dem, von mir angewandten grossen Heliometer, näher zu erörtern, als bisher geschehen ist.

#### 1.

Die Beobachtungen von 38 Doppelsternen, welche ich in den Abhandlungen der Berliner Akademie der Wissenschaften für 1833 bekannt gemacht habe, und von welchen sich auch in Nr. 240 dieser Zeitschrift eine Nachricht befindet, beruhen, bis auf einige Ausnahmen, auf Messungen der vierfachen Entfernung der Sterne. Obgleich ich diese Beobachtungsart schon früher beschrieben habe, so erlaube ich mir doch, hier, des Folgenden wegen, darauf zurückzukommen.

Während eine der Objectivhälften des Heliometers (I) willkürlich gestellt ist, wird ihr die andere (II) so weit genähert, und das Heliometer so um die Axe des Fernrohrs gedreht, dass die beiden in demselben erscheinenden Bilder eines Doppelsterns, vier in gleichen Entfernungen und in gerader Linie liegende einzelne Sterne darstellen; nach der Ablesung der Angaben der Schraube (II) und des Positionskreises, wird die Objectivhälfte (II) fortbewegt, bis die beiden Bilder, nachdem sie sich einander gedeckt haben, wieder so erscheinen wie vorher; dieses kann durch alleinige Bewegung der Objectivhälfte (II) erlangt werden, wenn ihr optischer Mittelpunkt sich in einer geraden Linie bewegt, in welcher auch der optische Mittelpunkt der Objectivhälfte (I) liegt; ist dieses aber nicht der Fall, oder sind, mit anderen Worten, die beiden Objectivhälften nicht vollkommen centrirt, so liegen die vier Sterne, die nach der Bewegung der Objectivhälfte (II) wieder gesehen werden, nicht mehr in gerader Linie, sondern müssen, durch eine Drehung des Heliometers um die Axe des Fernrohrs, in dieselbe gebracht werden. Die durch die Schraube (II) gemessene Bewegung der Objectivhälfte (II), durch den Cosinus des halben Unterschiedes beider Ablesungen des Positionskreises dividirt, ist die vierfache Entfernung der beiden Sterne; die halbe Summe der beiden Ablesungen des Positionskreises, vom Indexfehler desselben befreit, ist der Positionswinkel. Nach der Beendigung einer vollständigen Beobachtung dieser Art pflege ich sie einigemal zu wiederholen, indem ich bei jeder Wiederho-

lung von der Stellung ausgehe, welche die Objectivhülse (II) am Ende der vorigen Beobachtung erlangt hat, also die Schraube von (I) benutze, um durch ihre Drehung die zu beobachtende Erscheinung hervorzubringen. Dieses ist die gewöhnliche Beobachtungsart der Doppelsterne; ich werde jetzt alle Beobachtungen von p Ophiuchi mittheilen, welche ich auf diese Art gemacht habe:

			Entfern.	Positionsw.	Zahl.
1830 Mai	16	1830,37	5,49	136° 2'	2
	18	0,38	5,41	134 28	2
	24	0,39	5,40	135 38	4
Juni	6	0,43	5,50	136 33	2
	7	0,43	5,45	136 19	3
	8	0,44	5,44	135 57	3
	11	0,44	5,48	136 26	4
	16	0,46	5,50	135 21	5
Sept.	2	0,67	5,52	136 2	5
	20	0,72	5,51	135 23	4
1831 Mai	19	1,38	5,62	133 0	4
	22	1,39	5,76	133 14	4
	23	1,39	5,65	134 10	4
	24	1,40	5,69	134 35	4
Juli	21	1,55	5,70	134 4	5
Oct.	9	1,77	5,70	134 27	5
	10	1,77	5,76	133 56	4
1832 Juli	10	2,52	5,68	134 3	5
	13	2,53	5,73	133 11	5
Oct.	13	2,78	5,83	132 53	5
	18	2,80	5,83	132 36	5
	19	2,80	5,90	132 12	5
1834 Juni	23	4,48	6,11	129 50	5
	25	4,48	6,05	130 23	5
Juli	3	4,50	6,13	130 35	5
	8	4,52	6,14	131 14	5
Sept.	19	4,72	6,18	131 18	5
Oct.	5	4,76	6,13	131 42	5
	12	4,78	6,15	130 17	5
1836 Juni	23	6,48	6,28	128 6	5
Juli	4	6,51	6,36	129 56	5
	7	6,52	6,38	130 23	5
	13	6,53	6,36	130 11	5
	21	6,55	6,34	129 9	5
1837 Juni	14	7,45	6,49	128 48	5
	17	7,46	6,50	128 44	5
	28	7,49	6,28	128 39	5
Juli	6	7,51	6,51	129 9	5
	20	7,55	6,39	128 44	5
Aug.	3	7,59	6,46	129 15	5
	6	7,60	6,44	129 1	5
	18	7,63	6,50	127 55	5
	20	7,63	6,56	128 3	5
	28	7,66	6,49	127 23	5
Sept.	8	7,69	6,49	128 15	5
	9	7,69	6,46	128 7	5
	11	7,70	6,34	127 55	5
	20	7,72	6,47	127 50	5
Oct.	2	7,75	6,48	128 4	5
	3	7,76	6,44	127 40	5

Diese Beobachtungen sind, bis zum Jahre 1832 incl. schon an dem angeführten Orte bekannt gemacht, werden aber hier wiederholt, damit man den Ueberblick über alle erhalte. Vereinigt man die in jedem der früheren Jahre gemachten, in ein arithmetisches Mittel, die im letzten Jahre gemachten aber in zwei arithmetische Mittel, so erhält man:

1830,50	5,474	135° 49'	34
1831,53	5,679	133 57	30.
1832,69	5,794	132 59	25
1834,61	6,127	130 47	35
1836,52	6,344	129 33	25
1837,52	6,439	128 54	35
1837,69	6,470	127 55	45

## 2.

Struve hat, in seinem großen Werke über die Messungen der Doppelsterne, seine Beobachtungen von p Ophiuchi gleichfalls in arithmetische Mittel zusammengezogen. Davon werde ich die hier auführen, welche, der Zeit nach, mit den meinsten nahe zusammentreffen und daher mit diesen verglichen werden können:

1830,84	5,310	135° 45'	2 Tage.
1831,68	5,410	134 42	5
1832,75	5,553	133 58	3
1834,47	5,852	131 9	4
1835,60	6,108	130 46	5

Diese Beobachtungen stimmen in der Zunahme der Entfernung und in der Abnahme des Positionswinkels, welche sie andeuten, nahe mit den vorher angeführten überein, allein sie ergeben die Entfernung immer kleiner und den Positionswinkel immer größer; die Unterschiede sind im Mittel, etwa  $-0^{\circ}23$  und  $+41'$ . Dafs ein Unterschied der gemessenen Entfernungen sich nicht etwa bei diesem Sterne allein, sondern bei den Doppelsternen im Allgemeinen findet, geht aus der Vergleichung hervor, welche zwischen den Königsberger und Dorpat Messungen von 37 Doppelsternen, in Nr. 240 der Astr. Nachr., und auch in der Einleitung des Struveschen Werkes (P. CXL) gemacht worden ist: die Dorpat Entfernungen sind im Allgemeinen kleiner als die Königsberger, und Struve bemerkt darüber, dafs sich ein gewisses Gesetz in den Unterschieden zu zeigen scheint, nach welchem sie für ganz kleine Entfernungen, so wie auch wieder für Entfernungen von  $20''$  und darüber, fast verschwinden, und bei der Entfernung von  $6''$  ihr, etwa  $0^{\circ}27$  betragendes Maximum erreichen. So klein diese Unterschiede an sich sind, so läfst ihr Vorkommen bei so vielen Sternen und die nahe Uebereinstimmung der einzelnen Beobachtungen untereinander, doch nicht bezweifeln, dafs sie aus einer bestimmten Ursache hervorgehen, deren Folge ist, dafs entweder in Königsberg immer zu große, oder in Dorpat immer zu kleine gemessen wird. Dafs der bestim-



der Unterschied zwischen den, an beiden Orten beobachteten Positionswinkeln von  $\rho$  Ophiuchi, sich bei allen Doppelsternen, *al stets* in demselben Sinne zeigen sollte, ist weder zu erwarten, noch wird es durch die Vergleichung der 37 Doppelsterne angedeutet. Ich werde aber unten auf die Positionswinkel zurückkommen und darüber etwas mittheilen, was, wenn auch vielleicht nicht beständige, doch größere zufällige Fehler der äusseren Beobachtungen hat erzeugen können, als der Kraft des in Königsberg angewandten Apparates angemessen erscheinen.

Wenn man an dem Stattfinden eines beständigen Unterschiedes der von *Struve* und von mir gemessenen Entfernungen der Doppelsterne nicht zweifeln kann, so kann man auch nicht zweifeln, dass wenigstens einer der beiderseitigen Apparate, den dadurch erlangten Resultaten nicht alle die Genauigkeit giebt, welche die Kleinheit der zufälligen Beobachtungsfehler erwarten lässt. So klein der Unterschied ist, so kann man ihn dennoch nicht für unmerklich halten; denn die Auffindung seiner Ursache wird entweder eine Vervollkommenung der Beobachtungsmethode der kleinen Entfernungen ergeben, oder, wenn der Fehler sich von dem einen Apparate unzertrennlich zeigen sollte, zur vorangehenden Benutzung des anderen auffordern. In Beziehung auf die Doppelsterne ist der Unterschied gleichfalls nicht unmerklich, da er, trotz seiner Kleinheit, ein nicht unbedeutendes Verhältniss zu den kleinen Grössen besitzt, bei welchen er sich zeigt, und welche der eigentliche Gegenstand der Beobachtungen sind.

Dieses ist auch die Ansicht gewesen, welche *Struve* verfolgt hat, indem er der Ursache des Unterschiedes weiter nachgegrübelt hat. Er hat weisse Punkte auf schwarzem Grunde, in bekannten Entfernungen von einander und von dem Fernrohr angebracht, und sich durch die Messung der Winkel zwischen ihnen überzeugt, dass das Fadennikrometer seines *Fernrohrs* diese Winkel richtig angiebt. Die unmittelbare Prüfung der Richtigkeit der Angaben des Fadennikrometers, welche man hierdurch erhält, ist ohne Zweifel wünschenswerth, indem sie eine der Möglichkeiten beseitigt, durch deren Verfolgung man die Erklärung des Fehlers zu versuchen geeignet seyn könnte. Allein die Beobachtung des Winkels zwischen zwei festen Punkten wird durch das Fadennikrometer doch ein so einfaches Verfahren erheben, dass ich glaube, die Möglichkeit eines beständigen Fehlers derselben zu den unwahrscheinlicheren zählen zu müssen, wenn ich auch nicht nicht lügen will, dass ich, trotz dieser Ansicht, nicht unterlassen haben würde, dieselbe Prüfung vorzunehmen, wenn ich von demselben Apparate einen ausgedehnten Gebrauch gemacht hätte und später ein Zweifel hervorgetreten wäre. Das von *Struve* angewandte Verfahren bei der Messung der Entfernung zweier festen Punkte ist nämlich folgendes: man dreht

das Mikrometer zuerst so um die Axe des Fernrohrs, dass die gerade Linie zwischen beiden Punkten senkrecht auf seinen beiden Fäden steht, dann bringt man einen, mitten zwischen beiden zu messenden Punkten befindlichen dritten Punkt unter den festen Faden, den beweglichen aber zuerst auf den einen, dann auf den andern Punkt und liest die Angaben der Schraube ab. Der Unterschied zwischen beiden Ablesungen ist die doppelte Entfernung jedes der äusseren Punkte von dem mittleren. Vorausgesetzt, dass man die Schraube heidemale in einer Richtung gedreht hat, glaube ich nicht, dass die Messung durch etwas anderes, als durch Unvollkommenheit des Sehens im Fernrohr und durch Unregelmäßigkeiten der Schraube unrichtig gemacht werden kann; diese Ursachen können zufällige, übrigens bei dem schönen Dürpater Apparate nur kleine, nicht aber beständige Fehler erzeugen. Dieses ist auch das Ergebniss von *Struve's* unmittelbaren Versuchen, welche also auch den leisensten Zweifel an der Richtigkeit des Mikrometers selbst verschonen.

Dagegen macht *Struve* eine Bemerkung, welche einem Zweifel an der Richtigkeit der Messungen mit dem Königsberger Heliometer erzeugt. Er erinnert, dass, indem die im 1<sup>ten</sup> § beschriebene Beobachtungsart auf der, durch Augenmaass erlangten Vergleichung des zweiten Zwischenraumes zwischen den vier, sich im Fernrohr zeigenden Sternen, mit den beiden äusseren Zwischenräumen beruht, und die letzteren nicht, wie der zweite, beiderseits durch zwei Sterne eingeschlossen sind, bezweifelt werden kann, ob das Augenmaass ein, durch diese Verschiedenheit nicht beeinträchtigtes Urtheil ablege. Ich erkenne diese Bemerkung vollkommen an, und würde, wenn ich selbst sie gemacht hätte, auch vor dem Anfange der Beobachtungen der Doppelsterne nicht unterlassen haben, unmittelbare Prüfungen anzustellen, aus welchen sich hätte ergeben müssen, ob wirklich ein Einfluss der angegebenen Ursache vorhanden ist, oder nicht. Solche Prüfungen habe ich jetzt vorgenommen und werde ihr Ergebnis in den beiden folgenden Paragraphen mittheilen. Vorher aber werde ich den Grund angeben, welcher mich veranlasst hat, meine Messungen auf die Vergleichung des mittleren Zwischenraumes mit den beiden äusseren zu gründen. Ich hätte nämlich jenen auch mit einem der äusseren vergleichen und den anderen absichtlich ganz übersehen können; denn es ist gar nicht schwierig, dem vierten Sterne, vielleicht mit der Ausnahme sehr naher Doppelsterne, die Aufmerksamkeit ganz zu entziehen und sich eben so wenig dadurch stören zu lassen, als wenn er gar nicht vorhanden wäre. Dafs ich nicht diese Beobachtungsart, sondern die andere, welche von der *Struveschen* Bemerkung getroffen wird, vorgezogen habe, geschah, weil bekanntlich die Entfernung zweier Punkte desto kleiner beurtheilt wird, je näher sie bei dem Scheitelpunkte stehen, welches falsche

Urtheil sowohl bei dem Sehen im Fernrohre, als bei dem mit bloßen Augen stattfinden kann und dann in der Beurtheilung der Gleichheit zweier Entfernungen, mit Ausnahme des Falles, daß sie in horizontaler Richtung liegen, einen Fehler erzeugen muß. Um diesen Fehler zu vermeiden, verglich ich den mittleren Zwischenraum mit den beiden äußeren. Allein seitdem mir der Zweifel gegen diese Beobachtungsart bekannt geworden ist, habe ich die Beobachtungen von  $\rho$  Ophiuchi, vom 16<sup>ten</sup> August 1837 an, so gemacht, daß ich immer nur den Zwischenraum zwischen beiden Bildern des kleinen Sterns, durch das zwischen ihnen liegende Bild des größeren, in zwei gleiche Hälften getheilt und das zweite Bild des letzteren gar nicht berücksichtigt habe. Bemerkbaren Einfluß auf die Messung der Entfernung hat diese Aenderung aber nicht hervor gebracht, wie die Vergleichung der beiden letzten arithmetischen Mittel im vorigen § zeigt. Ich glaube überzeugt zu seyn, daß mich das überschene Bild des größeren Sterns, bei diesen Beobachtungen, bei welchem ich es nicht beachten wollte, wirklich nicht im mindesten gestört hat und sich daher geneigt, in der Uebereinstimmung der nach beiden Methoden erhaltenen Resultate einen Grund der Annahme zu finden, daß es auch die Richtigkeit der Beurtheilung der Entfernungen nicht stört, wenn man es nicht übersehen will.

## 3.

Die Natur des Heliometers bringt es mit sich, daß man größere Entfernungen mit derselben Sicherheit messen kann, mit welcher kleine gemessen werden. Hieraus kann man Vortheil ziehen, wenn es darauf ankommt, unmittelbar zu prüfen, ob die Messung einer kleinen Entfernung richtig, oder mit einem, aus einer unbekannten Ursache hervorgehenden, immer wiederkehrenden Fehler behaftet ist: man kann nämlich die kleine Entfernung aus dem Unterschiede zweier größeren ableiten und dadurch den etwaigen beständigen Fehler der Messung der ersteren ganz umgehen. Sowohl dieser Prüfung wegen, als auch um eine neue, von den angeführten Beobachtungen und der dabei angewandten Methode ganz unabhängige Bestimmung der Entfernung der beiden Sterne von  $\rho$  Ophiuchi zu erlangen, habe ich eine zweite Beobachtungsart angewandt, welche ich jetzt mittheilen werde.

Ich suchte einen Stern in der Nähe des Doppelsterns und näherungsweise in der Richtung seiner beiden Sterne, in der Absicht, die Entfernungen beider Sterne des Doppelsterns von ihm zu messen und von ihrem Unterschiede auf die Entfernung derselben zu schließen. Ein solcher Stern ( $\alpha$ ) der 7.8<sup>ten</sup> Größe findet sich in der Entfernung  $45' 12''$  und im Positions winkel  $116^\circ 49'$ , also, wenn man für den Positionswinkel des Doppelsterns das letzte der im 1<sup>sten</sup> § erhaltenen Resultat annimmt,  $11^\circ 6'$  aus der Richtung desselben auswichen. Die eine Objectivhälfte des Heliometers wurde etwa um  $\frac{1}{2}$  Hälfte der Entfernung rechts, die andere eben so weit links gestellt, wodurch ein Bild von  $\alpha$  in die Nähe eines Bildes des Doppelsterns gebracht wurde; dann wurde, durch Drehung des Heliometers und durch Drehung der Schraube der zweiten Objectivhälfte, das Bild von  $\alpha$  in die Richtungslinie des Doppelsterns gebracht wurde; dann wurde, durch Drehung der Schraube der Gefährte auf der anderen Seite, so daß die drei Bilder einen dreifachen Stern in gerader Linie und beiderseits gleichen Entfernungen, darstellten; nach Ablesung der Angabe der Schraube der Objectivhälfte II wurde sie weiter vorwärts gedreht und auch das ganze Heliometer um die Axe des Fernrohrs bewegt, daß sich wieder ein dreifacher Stern, wie vorher, nur aber in der Ordnung  $\gamma$  Comes,  $\alpha$  zeigte. Der Unterschied der vorigen Ablesung von der jetzigen war die Projection der dreifachen Entfernung des Doppelsterns auf die ihn mit  $\alpha$  verbindende Linie. Um die Beobachtung zu wiederholen, wurde die Schraube der Objectivhälfte I und das Heliometer selbst gedreht, so daß die erste Erscheinung wieder hervorgebracht wurde; dann die Objectivhälfte II u. s. w., um die zweite hervorzu bringen. Auf diese Art wurden an jedem Tage 5 Beobachtungen der dreifachen Projection der Entfernung gemacht, nach deren Beendigung die Objectivhälften auf die entgegengesetzten Seiten der Axe des Fernrohrs gebracht und nun wieder zu stufenweiser Wiederholung der Beobachtung angewandt wurden. Ich habe im Jahre 1837 10 Reihen solcher Sätze von 10 Beobachtungen gemacht, um werde die daraus hervorgegangenen 100 einzelnen Bestimmungen der dreifachen Projection der Entfernung jetzt anführen:

Aug. 5	Aug. 6	Aug. 7	Aug. 16	Aug. 18	Aug. 20	Aug. 28	Aug. 30	Sept. 4	Sept. 8
$\alpha$	$\alpha$	$\alpha$	$\alpha$	$\alpha$	$\alpha$	$\alpha$	$\alpha$	$\alpha$	$\alpha$
0,371	0,360	0,362	0,368	0,360	0,360	0,368	0,369	0,360	0,359
0,363	0,358	0,358	0,346	0,360	0,364	0,366	0,362	0,358	0,357
0,366	0,366	0,360	0,360	0,352	0,355	0,360	0,370	0,357	0,371
0,353	0,365	0,370	0,359	0,351	0,352	0,362	0,362	0,365	0,360
0,371	0,358	0,360	0,364	0,356	0,368	0,358	0,370	0,359	0,361
0,371	0,362	0,357	0,372	0,363	0,380	0,366	0,365	0,359	0,362
0,354	0,360	0,362	0,360	0,347	0,361	0,353	0,361	0,368	0,368
0,350	0,358	0,350	0,350	0,345	0,364	0,364	0,360	0,360	0,369
0,378	0,353	0,370	0,356	0,355	0,360	0,355	0,365	0,350	0,366
0,370	0,366	0,370	0,347	0,356	0,365	0,349	0,347	0,360	0,365

Das arithmetische Mittel hieraus ist  $= 0^{\circ},36062$  und sein mittlerer Fehler  $= \pm 0^{\circ},000716$ . Die Projection der Entfernung des Doppelsterns auf die ihn mit dem Sterne  $\alpha$  verbindende Linie ist also:

$$= 0^{\circ},12021; \text{ m. F. } = \pm 0^{\circ},000239$$

und die Entfernung selbst, in Secunden ausgedrückt:

$$1837,53 \dots 6^{\circ}482; \text{ m. F. } = \pm 0^{\circ},0129.$$

Ich bemerke bei diesem Resultate, daß die 4 ersten Beobachtungen bei sehr unruhiger Luft gemacht worden sind, so wie sie bei großer, damals stattfindender Wärme gewöhnlich ist: später wurde es kühler und die Luft ruhiger; allein ich zweifle nicht, daß Beobachtungen dieser Art noch beträchtlich besser übereinstimmen werden, wenn sie bei ganz ruhiger Luft (die hier freilich selten ist) gemacht werden können.

4.

Ich habe noch eine dritte Beobachtungsart angewandt, um die Entfernung des Doppelsterns noch sicherer zu werden.

Jul 28	Jul 29	Sept. 11	Sept. 14	Sept. 20	Sept. 21	Sept. 24	Sept. 25	Oct. 2	Oct. 3
$\alpha$	$\alpha$	$\alpha$	$\alpha$	$\alpha$	$\alpha$	$\alpha$	$\alpha$	$\alpha$	$\alpha$
0,121	0,120	0,115	0,117	0,122	0,122	0,123	0,121	0,111	0,121
0,123	0,120	0,121	0,125	0,115	0,111	0,124	0,112	0,118	0,115
0,116	0,120	0,119	0,118	0,121	0,116	0,114	0,119	0,124	0,123
0,121	0,122	0,112	0,112	0,114	0,126	0,118	0,120	0,120	0,122
0,116	0,121	0,121	0,126	0,123	0,124	0,124	0,121	0,125	0,119
0,126	0,122	0,117	0,120	0,121	0,120	0,120	0,117	0,119	0,119
0,116	0,125	0,117	0,110	0,120	0,115	0,109	0,120	0,116	0,118
0,125	0,121	0,124	0,127	0,125	0,117	0,116	0,123	0,122	0,117
0,111	0,125	0,119	0,116	0,119	0,133	0,117	0,116	0,118	0,119
0,115	0,115	0,124	0,120	0,117	0,113	0,121	0,128	0,117	0,124

Dieser Beobachtungsart zufolge ist die Projection der Entfernung des Doppelsterns auf die ihn mit dem Sterne  $\alpha$  verbindende Linie:

$$0^{\circ},11945; \text{ m. F. } = \pm 0^{\circ},000434$$

und die Entfernung selbst, in Secunden ausgedrückt:

$$1837,70 \dots 6^{\circ}442; \text{ m. F. } = \pm 0^{\circ},0234.$$

1 <sup>te</sup> Beobachtungsart	{	6 <sup>459</sup>	m. F. =	$\pm 0^{\circ},0250$	140 einfache Entfernungen.
2 <sup>te</sup> —————	{	6 <sup>470</sup>		$\pm 0,0220$	180 —————
3 <sup>te</sup> —————	{	6 <sup>489</sup>		$\pm 0,0129$	300 —————
	{	6 <sup>441</sup>		$\pm 0,0234$	100 —————

Die beiden letzten dieser Resultate, welche mir entschließend zu seyn scheinen, vereinigen sich mit dem zweiten, um die Annahme eines beständigen Fehlers des ersten so unwahrscheinlich erscheinen zu lassen, als etwas durch Beobachtungen gemacht werden kann. Ich glaube wirklich, daß die Richtigkeit der Beobachtungsart, welche diesem zum Grunde liegt, keine strengere Prüfung als die gegenwärtige, erfahren konnte, und zweifle also nicht länger, daß der, wenn auch mit Recht bestrittene, Einfluß der beiden äußeren Zwischenräume auf die Beurtheilung des mittleren Zwischenraumes, nicht wirklich vorhanden ist.

Diese beruht, wie die vorige, auf der Vergleichung desselben mit dem Sterne  $\alpha$ , ist aber dadurch von jener verschieden, daß das Bild dieses Sterns nicht in Entfernungen von dem Hauptstern und dem Gefährten, welche der Entfernung des Doppelsterns gleich sind, gebracht, sondern im Zusammenfallen mit beiden beobachtet wurde. Diese Beobachtungsart giebt also die einfache Projection der Entfernung des Doppelsterns auf die ihn mit  $\alpha$  verbindende Linie. Es versteht sich, daß die Bilder der Sterne nicht unmittelbar zur Deckung gebracht wurden, sondern daß ich das Stattfinden derselben durch kleine Drehungen des Heliometers um die Axe des Fernrohrs beurtheilte, welche den Bildern kleine Bewegungen gaben, deren Annäherung und Entfernung in einer Linie man weit genauer beobachten kann als ihre Deckung selbst. Auch diese Beobachtungsart habe ich an 10 Tagen, an jedem 10mal, angewandt und dadurch Folgendes erhalten:

5.

Reducirt man alle im Jahr 1837 gemessenen Entfernungen auf 1837,69, indem man die jährliche Aenderung  $= + 0^{\circ},12$  annimmt, und trennt man die bis zum 6<sup>ten</sup> August, nach der gewöhnlichen Beobachtungsart gemachten, von den späteren, bei welchen die im 2<sup>ten</sup> § angezeigte Aenderung derselben stattfand, so erhält man folgende Zusammenstellung:

$\pm 0^{\circ},0250$	140 einfache Entfernungen.
$\pm 0,0220$	180 —————
$\pm 0,0129$	300 —————
$\pm 0,0234$	100 —————

Für den Doppelstern  $\rho$  Ophiuchi wird hierdurch eine Bestimmung der Entfernung gewonnen, deren Genauigkeit, bei den gegenwärtig vorhandenen Beobachtungsmitteln, schwer wird übertroffen werden können, nämlich:

$$1837,69 \dots 6^{\circ}474; \text{ m. F. } = \pm 0^{\circ},00936;$$

der Ursache des Unterschiedes zwischen den Doppler und Königsberger Messungen der Entfernungen der Doppelsterne aber, kommt man durch diese Untersuchung nur in sofern näher, als daraus hervorgeht, wo sie nicht zu suchen ist.

Ich glaube jetzt, zu der Aufklärung dieses Gegenstandes beigetragen zu haben, was ich von meiner Seite zu beitragen

konnte. *Struve* hat gleichfalls einen Beitrag dazu geliefert, indem er gezeigt hat, daß sein Fadennikrometer an sich selbst richtig mißt. Was noch zu wünschen ist, scheint mir die Untersuchung zu seyn, ob die mit dem richtig messenden Fadennikrometer erlangte Messung der Entfernung zweier festen Punkte, und die Messung der Entfernung zweier Sterne, aus einander so gleichen Verfahrensarten hervorgehen, daß das, was in dem erstern Falle stattfindet, auch in dem andern als gültig angenommen werden muß. Ein Unterschied zwischen den, in beiden Fällen anzuwendenden Verfahrensarten, ist aber, wenn das Fernrohr, durch sein Uhrwerk, den Sternen nicht vollkommen, sondern nur näherungsweise folgend gemacht werden kann, offenbar vorhanden; dann wird es nämlich nothwendig, die Bisection beider Sterne durch die Fäden zugleich zu beurtheilen, statt daß die Bisection jedes der festen Punkte, ohne Rücksicht auf den andern, beurtheilt wird. Während man, in dem letzten Falle, das Auge immer nur auf einen Punkt, nämlich auf einen der zu messenden und den ihn bisezierenden Faden, zu richten braucht, muß es, in dem ersten, in zwei Richtungen zugleich sehen und ein Urtheil über das Gesehene vermitteln. Daß es wirklich nothwendig ist, die Bisectionen der beiden Sterne, eines Doppelsterns zugleich im Auge zu haben, geht aus verschiedenen Stellen der Einleitung des großen *Struveschen* Werkes hervor; ganz unzweideutig aus der Angabe (P. LIX), daß sie desto sicherer beobachtet werden kann, je kleiner die Entfernung der Sterne ist; so daß 24 bis 32" voneinander entfernte Sterne, auch nicht mehr mit den stärker vergrößernden Ocularen gemessen werden können, indem die Richtung des Auges nach weit voneinander entfernten Punkten des Scheffeldes, der Genauigkeit der Messung zu sehr schaden würde. Die größere oder geringere Entfernung zweier Punkte hat dagegen, wenn sie nur den Raum des deutlichen Sehens im Felde des Fernrohrs nicht überschreitet, keinen Einfluß auf die Genauigkeit ihrer Messung; was sowohl zu erwarten ist, als auch durch *Struve's* unmittelbare Versuche bestätigt wird. Was also, meiner Meinung nach, vorzüglichem Anspruch auf Untersuchung hat, ist die Frage, ob der zwischen den Messungsarten der Entfernungen der festen Punkte und der Doppelsterne wirklich vorhandene Unterschied, nur größere zufällige Fehler, oder auch beständig wirkende, erzeugt. Die Möglichkeit, daß das Auge entweder eines Beobachters, oder aller Beobachter, zwei gleichzeitig, und ebendeshalb außer der Richtung seiner Axe wahrzunehmende Bisectionen an verschiedenen Punkten des Scheffeldes, als vorhanden annimmt, wenn die Fäden wirklich nicht central, sondern entweder innerhalb oder außerhalb der Mittelpunkt sind, ist wenigstens denkbar, vorausgesetzt daß nur von einem so kleinen Unterschiede die Rede ist, wie der, um welchen es sich hier handelt. Ob aber dieser Unterschied

wirklich vorhanden ist, kann nur durch Versuche mit den Apparate selbst, dessen unmittelbare Angaben von der Voraussetzung seines Nichtvorhandenseyns befreit werden sollen, entschieden werden. Wenn *Struve* die hier angedeutete Möglichkeit der Ausgleichung eines vorhandenen Widerpruches, der Verfolgung werth hält, so werden wir von seiner Seite noch einen Beitrag zu den Verhandlungen über diesen Gegenstand erwarten dürfen. Ich lasse in dieser Beziehung nicht unerwähnt, daß das Verschwinden des Unterschiedes in größeren Entfernungen, von 20" und darüber, gegen die Wahrscheinlichkeit der hier angedeuteten möglichen Erklärung zu seyn scheint. Um auch diese Uebereinstimmung in dem einen Falle mit dem Unterschiede in dem andern zu vereinigen, müßte man annehmen, daß entweder die erstere nur scheinbar, bei einer verhältnißmäßig kleinen Anzahl von Sternen stattfindet und durch die in beiden Beobachtungsarten bei größeren Entfernungen größer werdenden zufälligen Fehler, hervorgebracht ist; oder daß das Fadennikrometer größere Entfernungen durch ein anderes Verfahren ergibt, als kleinere. Wenn die Entfernung die Grenze überschreitet, bis zu welcher man beide Sterne noch zugleich sehen kann, muß die hierauf gegründete Beobachtungsart verlassen und dagegen eine andere gewählt werden, welche darin besteht, daß man zuerst den einen Stern an einen der Fäden bringt, dann den andern an den andern Faden und nun darauf beobachtet, daß die Bewegung des Fernrohrs auch den erstern auf dem Faden erhalten habe; findet sich dieses, bei der Wiederholung des Blickes auch diesem, nicht bestätigt, so ist die Beobachtung nicht gelungen und man versucht eine neue; findet es sich bestätigt, so wird die erlangte Messung wenigstens nicht durch einen Fehler gestellt, welchen man für beständig in gleichem Sinne wiederkehrend ansehen könnte.

## 6.

Bei Gelegenheit der allgemeinen Beschreibung des Heliometers (Astr. Nachr. Nr. 189 S. 410) habe ich schon bemerkt, daß die beiden Bilder eines Sterns, welche man durch eine kleine Entfernung der beiden Objectivhälften nebeneinander erhält, nicht mehr vollkommen rund, sondern durch zerstreutes Licht, welches sich in der auf den Durchschnitt derselben senkrechten Richtung zeigt, etwas entstellt erscheinen; dieses ist vorzüglich bei ruhiger Luft und mit starken Vergrößerungen bemerkbar und entsteht aus der unvollkommenen Compensation der optischen Aberration in der Hälfte eines Objectivs, und der Inflexion des Lichtes an den Rändern des Durchschnittes. In wiefern diese Unvollkommenheit der Bilder Einfluß auf die Beobachtungen der Doppelsterne erhält, werde ich jetzt näher untersuchen.

Aus dieser Ursache stellt ein, aus zwei Sternen von verschiedener Helligkeit zusammengesetzter Doppelstern, wenn die

Durchschnitt der beiden Objectivhälften sich in der Ebene der Iuden Sterne befindet, und ihre optischen Mittelpunkte noch *mal* so weit von einander entfernt sind als die Sterne, sich *na* so dar, wie Fig. 1, der Deutlichkeit wegen stark vergrößert, zeigt; nämlich es ist mehr zerstreutes Licht nach *er* Seite der Objectivhälften, als nach der entgegengesetzten *ne*hnden; und mehr bei dem helleren Sterne, als bei dem *weniger* hellen. Wenn dieses zerstreute Licht auch nur *he* abiger Luft deutlich unterschieden werden kann, so ist doch *sch* an seinem Vorhandenseyn nicht zu zweifeln, wenn es, *bei* *einander* Bewegung der Luft, sich mit der Unbestimmtheit der Begrenzung der Bilder vermischt. Sein Einfluß muß *darin* bestehen, daß die Mittelpunkte der links gezeichneten Bilder beider Sterne über der Linie *mn*, auf welcher sie *wirklich* liegen, angenommen werden, während das Entgegengesetzte bei den rechts gezeichneten Bildern stattfindet; die *Answ*weichungen aus dieser Linie sind bei dem helleren Sterne *größer* als bei dem weniger hellen. Man glaubt also die vier *Bilder* nicht in der Linie *mn*, sondern außer derselben zu *sehen*, etwa wie Fig. 2 darstellt.

Durch die Bewegungen des Heliometers, sowohl der Objectivhälften, als auch des ganzen um seine Axe, kann man das *Bild* der beiden Sterne, welches die eine Objectivhälfte macht, *beziehungsw*eise auf das durch die andere gemachte, *verschieben*, ohne daß jedoch dadurch der Winkel, in welchem die *Richtungen*  $\beta\alpha$  und  $\delta\gamma$  sich durchschneiden, erheblich geändert *würde*. Man kann also nicht hervorbringen, daß alle vier Sterne *in* *gerader* Linie erscheinen, außer in dem Falle der gleichen *Belligkeit* derselben, in welchem Falle  $\alpha\alpha = \beta\beta = \gamma\gamma = \delta\delta$  *seyn* würde. Sehr oft ist diese Ausweichung der vier Sterne *aus* einer geraden Linie nicht zu bemerken; oft, und zwar *gerade* unter den Umständen, welche einer Beobachtung am *günstigsten* sind, ist sie mir aber aufgefallen und würde eine *Vorteilhaft* erzeugt haben, wenn nicht vorher eine bestimmte *Erscheinung*, als die zu beobachtende, ausgewählt werden wäre.

Um die Beobachtungsart der Doppelsterne durch ein *He* *liometer* vollständig zu verstehen, muß man die Ortsveränderungen der vier Sterne aufsuchen, welche durch Verschiebung *der* *einen* Objectivhälften und durch Drehung des ganzen *He* *liometers* um seine Axe hervorgebracht werden. Die durch die *neue* erlangte Entfernung der optischen Mittelpunkte der *beiden* Objectivhälften werde ich durch *e*, den Winkel, um welchen *die* Drehung ihre Durchschnittslinie von der durch beide *Sterne* des Doppelsterns gehenden Ebene entfernt hat, durch *u* *bezeichnen*, die Entfernung der beiden Sterne durch *d*, die *Entfernungen*  $\alpha\alpha = -\gamma\gamma$  durch *k*,  $\beta\beta = -\delta\delta$  durch  $k+i$ . Die *letzte* Figur ist, um ihre Deutlichkeit zu vermehren, unter der *Annahme* sehr großer Werthe von *k* und *i* gezeichnet

Drehet man die Durchschnittslinie der Objectivhälften, *während* man den optischen Mittelpunkten derselben die Entfernung  $\alpha\alpha = e$  gegeben hat, um den optischen Mittelpunkt der *einen* *a*, so würde hieraus keine Ortsveränderung des Bildes  $\alpha\beta$  *entstehen*, wenn das Heliometer die Sterne nicht entstelle, also *ihre* Mittelpunkte in *a* und *b* gesehen würden; unter derselben *Voraussetzung* würde *c* nach *c* gelangen ( $\alpha c = \alpha c$ ), und *d* *nach* *d*, wo *e'd* gleich und parallel *e'd* ist. Da aber die Objectivhälften die Mittelpunkte der vier Sterne, *senkrecht* auf die Durchschnittslinie, um  $\alpha\alpha = k$ ,  $\beta\beta = k+i$ ,  $\gamma\gamma = -k$ ,  $\delta\delta = -k-i$  *verrücken*, ohne parallel mit ihr eine *Aenderung* hervorzubringen, so erhält man die Oerter, wo die Bilder *wirklich* gesehen werden, indem man die Linien  $\alpha\alpha$ ,  $\beta\beta$ ,  $\gamma\gamma$ ,  $\delta\delta$ , *senkrecht* auf die neue Durchschnittslinie, an die Punkte *a*, *b*, *c*, *d* *ansetzt*. Hierdurch findet man die Punkte  $\alpha'$ ,  $\beta'$ ,  $\gamma'$ ,  $\delta'$ , *wo* die vier Sterne *erscheinen*. Die Coordinaten dieser Punkte, bezogen auf die neue Durchschnittslinie, welche mit der vorigen den Winkel  $\alpha\alpha n = u$  macht, sind:

$$\begin{aligned} x &= 0 & y &= k \\ x' &= d \cos u & y' &= -d \sin u + k + i \\ x'' &= e & y'' &= -k \\ x''' &= d \cos u + e & y''' &= -d \sin u - k - i \end{aligned}$$

Nachdem hierdurch die Punkte bestimmt sind, an welchen *man* die vier Sterne *sicht*, kann man jede gewählte Beobachtungsart leicht verfolgen. Die, welche ich angewandt habe, *besteht* darin, daß ich die vier Bilder *so* gelegt habe, daß 1) das 2<sup>te</sup> und 4<sup>te</sup>, von der durch das 1<sup>te</sup> und 3<sup>te</sup> gelegten geraden Linie, nach entgegengesetzten Seiten, gleichweit entfernt *ers* *chienen* und 2) der Zwischenraum zwischen dem 2<sup>ten</sup> und 3<sup>ten</sup> *so* groß wurde, wie das Mittel der Zwischenräume zwischen dem 1<sup>ten</sup> und 2<sup>ten</sup> und zwischen dem 3<sup>ten</sup> und 4<sup>ten</sup>. Ich habe *schon* bemerkt, daß sich gewöhnlich keine Ausweichung der vier Bilder aus der geraden Linie zeigt; glaubte ich *aber* zu *sehen*, so war es die zuerst ausgesprochene Regel, welcher *gemäß* ich den Positionswinkel zu beobachten suchte; es *versteht* sich, daß in den Fällen, in welchen eine Ausweichung aus der geraden Linie *sichtbar* wurde, die zweite, sich auf die *Beobachtung* der Entfernung beziehende Regel, nicht auf die Bilder selbst, sondern auf ihre Projectionen auf die angegebene Linie, angewandt wird.

Legt man eine gerade Linie durch  $\alpha'$  und  $\gamma'$ , d. h. durch die beiden Bilder des kleineren Sterns, so sind die auf sie *projicirten* Entfernungen: ( $r = \sqrt{e^2 + 4k^2}$ )

$$\begin{aligned} \alpha'\beta' &= \frac{d}{r} (e \cos u + 2k \sin u) - \frac{2k}{r} i \\ \beta'\gamma' &= \frac{ee}{r} - \frac{d}{r} (e \cos u + 2k \sin u) + \frac{2k(2k+i)}{r} \\ \gamma'\delta' &= \frac{d}{r} (e \cos u + 2k \sin u) + \frac{2k}{r} i \end{aligned}$$

und die Entfernungen des 2<sup>ten</sup> und 4<sup>ten</sup> Bildes von ihr

$$\frac{d}{r} (-e \sin u + 2k \cos u) + \frac{s}{r}$$

und .....  $\frac{d}{r} (-e \sin u + 2k \cos u) - \frac{s}{r}$

Die befolgte Beobachtungsart fordert also: 1) daß die beiden letzten Ausdrücke von gleicher Größe, aber entgegengesetzten Zeichen seyen, und 2) daß  $\frac{1}{2}(\alpha' \beta' + \gamma' \delta') = \beta' \gamma'$  sey. Durch diese Bedingungen erhält man die Gleichungen:

$$0 = e \sin u - 2k \cos u$$

$$0 = ss - 2d (e \cos u + 2k \sin u) + 2k(2k + i)$$

welche

$$\tan u = \frac{2k}{e}$$

$$2d = \frac{s}{\cos u} + \frac{2ki}{e \cos u} = \frac{s}{\cos u} + i \sin u$$

ergeben. Die Beobachtung, welche ich hier verfolgt habe, ist die erste Hälfte einer vollständigen; die andere Hälfte derselben wird auf genau gleiche Art erlangt; nachdem der optische Mittelpunkt der einen Objectivhälfte vor dem der anderen vorüber bewegt worden ist. Für diese zweite Hälfte verwandeln sich  $k$  und  $i$  in  $-k$  und  $-i$ , also auch  $u$  in  $-u$ ; der Ausdruck von  $d$  bleibt ungeändert. Indem man das Mittel der beiden abgelesenen Positionswinkel annimmt, erhält man also die Richtung des Doppelsterns richtig; allein die Division der abgelesenen Entfernung, durch den Cosinus des halben Unterschiedes der beiden Ablesungen des Positionswinkels, giebt immer eine zu kleine Entfernung, falls nicht entweder  $k$  oder  $i$  verschwinden, welches der Fall ist, wenn einer der Sterne sehr klein ist, oder beide von gleicher Helligkeit sind. Die noch hinzuzufügende Verbesserung kann man nicht berechnen, da man  $i$  nicht kennt; auf die Erfindung seiner Größe für Sternepaare von allen Helligkeitsverschiedenheiten auszugehen, halte ich zwar nicht für unmöglich, aber für unausführbar. Jedenfalls ist die Größe, um welche die befolgte Beobachtungsart die Entfernungen zu klein giebt, unter der Grenze, bis zu welcher man die Genauigkeit der Messung zu treiben hoffen kann.

Ich hätte noch eine andere Beobachtungsart wählen, nämlich den Positionswinkel so beobachten können, daß der 2<sup>te</sup> Stern auf die gerade Linie zwischen dem 1<sup>ten</sup> und 3<sup>ten</sup>, und die Entfernung so, daß er in die Mitte dieser Linie gelegt

worden wäre. Diese Beobachtungsart beruht auf den beiden Gleichungen:

$$x' - x = x'' - x'$$

$$y' - y = y'' - y'$$

oder, wenn man die obigen Ausdrücke dieser Größen setzt auf

$$d \cos u = s - d \cos u \\ -d \sin u + i = d \sin u - 2k - i$$

Diese Gleichungen ergeben:

$$\tan u = \frac{2(k+i)}{e}$$

$$2d = \frac{s}{\cos u}$$

woraus hervorgeht, daß der Unterschied des in beiden Hälften einer vollständigen Beobachtung gesehenen Positionswinkels zu groß ist, als bei der vorigen Beobachtungsart, jedoch so, daß das Mittel aus beiden keinen Einfluß behält, und daß die Entfernung, durch die Division mit dem Cosinus des halben Unterschiedes, vollständig gefunden wird.

Den Grund, welcher mich veranlaßt hat, der ersten Beobachtungsart, insofern es sich um die Messung der Entfernung handelt, den Vorzug zu geben, habe ich im 2<sup>ten</sup> § u gegeben; auch in Beziehung auf den Positionswinkel glich ich sie, der größeren Länge der Linie wegen, deren Richtung das Auge aufsaßt, vorziehen zu müssen. In dieser Beziehung fürchte ich aber, mich geirrt und den beobachteten Positionswinkel dadurch geschadet zu haben. Wenigstens ist mir die zweite Beobachtungsart der Positionswinkel, welche ich, dem 2<sup>ten</sup> § zufolge, bei meinen letzten Beobachtungen von  $\rho$  Ophiuchi befolgt habe, so viel leichter geworden, als die erste, daß ich sie auch für sicherer zu halten geneigt bin. Auch scheint dieses durch die Uebereinstimmung  $d$  dadurch erhaltenen, im 1<sup>ten</sup> § angeführten Resultate, bestätigt zu werden. Daß das Mittel aus diesen letzten Beobachtungen dem aus den früheren des Jahres, 1837 gezogenen, etwa 4 größerem, vorzuziehen ist, bezweifle ich nicht; wenn aus der Beobachtungsart kein Vorzug eingeräumt werden soll, besitzen die späteren Beobachtungen ihn doch sicher in dem weit günstigeren Beschaffenheit der Luft, welche, wie ich schon oben angeführt habe, nach der Mitte des Augustus trat. Für Sternepaare von gleicher Helligkeit sind beide Beobachtungsarten nicht voneinander unterschieden.

Bessel.

Ueber den Doppelstern  $\rho$  Ophiuchi. Von Herrn Geheimrath und Ritter Bessel. p. 105.

Altona 1837. December 28. (Hiebei eine Kupfertafel.)

Fig 1



Fig 2



Fig 3



Zu N<sup>o</sup> 548 der ersten Seite

### Eine Bemerkung über die Aufstellungsart beweglicher Instrumente.

Von Herrn Geheimen-Rath und Ritter Bessel.

Unter den Instrumenten der hiesigen Sternwarte befindet sich ein, von Herrn *Repsold*, dem Sohne, verfertigtes Passagen-Instrument von 20 Zoll Breuweite, welches ich für ein vorzügliches Instrument halte. Dieses Urtheil beruhet nicht nur auf dem schönsten Ebenmaasse, der meisterhaften Ausführung und der sorgfältigen Verbindung aller einzelnen Theile des Instruments, sondern auch auf Resultaten, welche ich dadurch in Fällen erhalten habe, in welchen die Erlangung einer beträchtlichen Sicherheit die Aufgabe war. Den ersten dieser Gründe würde ich nur durch genaue Zeichnung und Beschreibung des Instruments anschaulich machen können; über den anderen aber kann ich das Urtheil feststellen, indem ich die Zenithdistanzen von 8 Sternen anführe, welche ich an den beiden äussersten Punkten der hier ausgeführten Gradmessung, mit diesem Instrumente, durch seine, auf den Meridian senkrechte Aufstellung erhalten habe. Ich führe sie, auf 1833 reducirt, hier an:

	Trans.	Memel.	Pothöhen- unterschied.	Abw. vom Mittel.
$\beta$ Draconis	1° 47' 30" 861,3" 18' 0" 484	1° 30' 29" 623	— 0,643	
$\gamma$ „	2 42 30,270 4 12 58,909	28,639	— 0,341	
XVIII 170	2 10 41,985 3 41 11,128	29,143	+ 0,163	
$\alpha$ Cygni . . .	1 9 24,727 2 39 53,601	28,874	— 0,106	
$\gamma$ „	2 14 13,625 3 44 41,932	28,307	— 0,673	
$\epsilon$ „	2 50 35,174 4 21 4,354	29,180	+ 0,200	
$\delta$ „	4 22 56,546 5 55 25,428	28,882	— 0,098	
$\psi$ „	2 13 18,144 3 43 47,337	29,193	+ 0,213	
	Mittel . . . . .	1 30 28,980		

Die Beobachtungen, worauf diese Bestimmungen beruhen, sind  $\beta$  Trans in den heiteren Nächten, welche zwischen dem 24<sup>ten</sup> Juli und 11<sup>ten</sup> Aug. 1832 fielen, in Memel zwischen dem 15<sup>ten</sup> und 10<sup>ten</sup> Juli 1834, gemacht worden; das Buch über die Gradmessung, welches jetzt unter der Presse ist, wird die Beobachtungen selbst enthalten.

Indessen mußte man, bei der Anwendung des Instruments, die Bequemlichkeit Verzicht leisten, seinen Collimationsfehler, durch Umlegung unmittelbar zu bestimmen, oder zu schätzen. Denn die Umlegung liefs sich, auch mit der größten Vorsicht, nicht bewerkstelligen, ohne dafs man Gefahr lief, das Azimuth der Axe dadurch zu verändern. Versuche jeder Art, bei welchen das Instrument auf ein festes Zeichen nicht, dann umgelegt und wieder umgelegt wurde, zeigten deutlich, dafs es nicht genau, sondern nur mehr oder we-

niger näherungsweise, zu dem Zeichen zurückkam. Aber bei beliebigen Drehungen des Fernrohrs um seine Axe änderten ihre Lage nicht, wie das Zeichen und die Wasservage eben so oft zeigten, als man den Versuch wiederholte. Durch diese Bemerkungen war die Anwendungsart des Instruments bestimmt: man mußte die Beobachtungen so anordnen, dafs die Voraussetzung, die Axe habe vor und nach einer Umlegung eine gleiche Lage, nicht in ihr Resultat überging. Die Befreiung von dieser Voraussetzung wurde, bei den angeführten Anwendungen, durch errichtete, bei Nacht erleuchtete Zeichen erlangt, auf welche man den mittleren Faden, nach jeder Umlegung neu einstellte, unbekümmert darum, ob die Ursache einer wahrgenommenen Abweichung von dem Zeichen ein Collimationsfehler, oder eine Veränderung des Azimuths der Axe, während der Umlegung, sey. Die Abschiedslinie des Fernrohrs schloß also, im Horizonte, stets denselben Punkt und die Nivellirung der Axe brachte hervor, dafs sie sich, bei der Drehung um dieselbe, in einem Kreise der Himmelskugel bewegte, welcher sich, falls ein Collimationsfehler vorhanden war, in beiden Lagen der Axe gleich weit, aber nach entgegengesetzten Seiten, von dem Verticalkreise des Zeichens entfernte. Dafs das Mittel aus zwei Beobachtungen eines Sterns, in entgegengesetzten Lagen der Axe gemacht, eben so frei von dem Einflusse eines Collimationsfehlers wurde, als wenn sie mit dem von demselben befreiten Instrumente gemacht worden wären, auch dafs durch ihre Vergleichung der Collimationsfehler bestimmt wurde, leuchtet ein. Der Einfluß der Veränderlichkeit des Azimuths, während der Umlegung, war also vollkommen, und ohne Nachtheil für die Resultate, vermieden. So lange man den Grund der Veränderlichkeit nicht auffinden und wegschaffen konnte, mußte man ihren Einfluß vermeiden; wenn man dieses nicht vernachlässigte, gab sie gar keinen Grund, die durch das Instrument erlangten Resultate für weniger zuverlässig zu halten, als sie ohne die Veränderlichkeit gewesen seyn würden.

Da diese Vermeidung keine Schwierigkeit hat, auch ihre Nothwendigkeit nicht erst durch nachtheilige Erfahrungen erkannt werden durfte, sondern schon bekannt war, so hielt ich das Instrument für geeignet, auch den Zeitbestimmungen zum Grunde gelegt zu werden, welche meine im Jahre 1835 in Berlin zu machenden Pendelversuche erforderten. Herr Prof. *Encke*, der sich nicht nur zu diesen Zeitbestimmungen bereit erklärte,



sondern sie auch mit einem Fleiße anführte, von welchem meine Abhandlung über die Pendellänge von Berlin und das Astron. Jahrbuch für 1839 den Beweis liefern, nahm, da die eben fertig werdende neue Sternwarte noch keine feste Instrumente besaß, das Anerbieten meines Instruments an und benutzte es auch während eines Monats, worauf er es, da er mit seinen Leistungen wenig zufrieden war, gegen ein kleineres, aber das Azimuth, während der Umlegung nicht merklich veränderndes Instrument von Ertel vertauschte. Uebrigens war die Veränderlichkeit des Azimuths der Axe des Repsold'schen Instruments während der Umlegung, bei seiner Aufstellung, auf der Berliner Sternwarte eben so wohl vorhanden, als sie in Tranz und Menel vorhanden gewesen war.

Als ich das Instrument bisher zurück erhielt, sollte es zu einer Reihe von Beobachtungen derselben Sterne benutzt werden, welche ich in Tranz und Menel beobachtet hatte. Um den Grund der Unbequemlichkeit aufzufinden, welche sein Gebrauch, durch die oft erwähnte Veränderlichkeit besaß, zerlegte ich es in seine einzelnen Theile und untersuchte jeden derselben möglichst aufmerksam, fand aber keinen, der mir einen Zweifel gegen die Festigkeit des Instruments selbst hätte beibringen können. Ich setzte es daher mit der Ueberzeugung wieder zusammen, daß der gesuchte Grund außer dem Instrumente liegen müsse. Indem ich nun anfaßte dem Instrumente suchte, fand ich das Mittel gegen das Uebel. Die Mittheilung derselben ist eine der Veranlassungen dieses Aufsatzes. Ich halte sie für nicht überflüssig, da wenigstens ich lange vergebens gesucht habe.

Dieses Mittel besteht darin, daß ich die drei Fußplatten, auf welchen das Instrument steht, Inae auf den Pfeiler legte, während ich sie vorher darauf festgeklebt hatte. Sobald dieses geschehen war, war die Veränderlichkeit während der Umlegung verschwunden, und man konnte jetzt auch diejenigen Anwendungen des Instruments machen, welche auf der Voraussetzung der Unveränderlichkeit während der Umlegung, beruhen. Die Beobachtungen, welche diese neue Untersuchung des Instruments veranlaßten und die Aufkündung des Fehlers herbeiführten, konnten nicht besser gerathen, als die früheren gerathen waren; denn bei allen war der Fehler gleich vollständig vermieden. Sie wurden von Herrn Major Baeyer gemacht und es ergaben sich daraus die Zenithdistanzen, auf 1833 und auf den Meridiankreis der Sternwarte reducirt, folgendermaßen:

	Z. D.	Polhöhenunterschied.	
		Tranz.	Menel.
$\beta$ Draconis . . .	2° 17' 9" 922	- 0° 29' 39" 061	+ 1° 0' 50" 562
$\gamma$ . . . . .	3 12 9,191	38,921	49,718
XVIII. 170 . . .	2 40 21,519	89,534	49,609
$\alpha$ Cygni . . . . .	1 39 3,614	88,887	49,987
1 . . . . .	2 43 52,119	38,494	49,813
7 . . . . .	3 20 14,279	39,105	50,075
$\theta$ . . . . .	4 52 35,598	39,082	49,630
$\psi$ . . . . .	2 42 57,365	39,221	49,972
Mittel . . . . .		- 0 29 39,034	+ 1 0 49,946

Um die Art, wie das Festkleben der Fußplatten des Instruments eine Veränderlichkeit erzeugen konnte, zu erklären, muß ich etwas von seiner Einrichtung sagen. Es steht auf 3 Festschrauben von Messing, deren, in einer Neigung von 45° gegen ihre Axe abgedrehte kegelförmige Spitzen, in ähnlich gefasste Löcher der Unterlegeplatten passen. Diese sind gleichfalls von Messing und ruhen nicht, wie bei den Münchner Instrumenten und vielen anderen auf drei Spitzen, sondern auf ihrer ebenen Grundfläche selbst. Die Absicht der Anbringung der 3 Spitzen scheint die Eindrückung derselben in das Holz, worauf man die Theodoliten oft aufstellt, zu seyn; ihre Weglassung wird dadurch gerechtfertigt, daß ein Passageninstrument auf einer Grundfläche von Stein stehen soll. Indem ich die weitere Flucht der Unterlegeplatten mit Kitt bestrich und sie so auf den Stein andrückte, beabsichtigte ich, sie gegen horizontale Verschiebungen zu schützen. Man bewerkelt leicht, daß diese Befestigung so geschehen muß, daß die Axen der Festschrauben mit den Axen der kegelförmigen Löcher zusammenfallen; denn wenn dieses nicht der Fall ist, so stehen die Schrauben nicht sowohl in den Löchern, als sie die, in 45° Grade gegen den Horizont geneigte Fläche derselben nur an einem Punkte berühren. Ich glaubte für diese Centrirung hinreichend zu sorgen, indem ich das Instrument aufstellte, während der Kitt noch weich war und nun seine Verhärtung abwartete. Allein dieses Mittel ist entweder nicht hinreichend gewesen, oder die Veränderungen der Wärme haben seinen Erfolg später vernichtet, oder die Drehung der Festschrauben nach der Verhärtung des Kittes, hat eine Excentricität erzeugt, die Ursache mag eine von diesen, oder eine andere seyn, die Wirkung des Festklebens der Fußplatten war aber dieselbe, die erwartet werden konnte, wenn die Füße des Instruments nicht in den kegelförmigen Löchern standen, sondern an ihre Seitenflächen nur angelehnt waren. Das Abheben und Wiederanlegen des Fernrohrs, so wie auch die kleinen Erschütterungen, womit dieses wohl immer verbunden ist, konnten hinreichen, die unsicher stehenden Füße in Bewegung zu bringen. Vielleicht ist diese Bewegung weniger zu fürchten, wenn die Füße weniger stumpfe Kegel sind und wenn alle Spitzen von Stahl haben, welcher sich ohne Zweifel in das Messing der Unterlegeplatten eindrückt. Liegen dagegen die Unterlegeplatten bloß auf der Ebene des Steins, so ist nicht zu bezweifeln, daß auf ihren Ort, den Aenderungen der Entfernung der Füße gemäß, jedesmal verändern und nie eine Excentricität erhalten werden, das Gewicht des darauf stehenden Instruments ist aber hinreichend, sie vor denjenigen zufälligen Verschiebungen zu schützen, welche die Behandlung des Instruments während der Beobachtungen zu fürchten Veranlassung geben könnte.

Herr Professor Encke erklärt sich, in dem Astronom. Jahrbuche 1839 S. 268—269 über diesen Gegenstand, auf eine

ist, welche auf den höchst ausgezeichneten Künstler, der das Instrument verfertigt hat, einen Schatten wirft. Mein gegenwärtiger Aufsatz wird ihn davon befreien, indem er zeigt, daß nicht „mangelhafte Festigkeit des Instruments an sich“ sondern eine äußere Ursache, die Veränderlichkeit der Aufstellung erzeugte.

Mir selbst wird bei dieser Gelegenheit eine weit härtere als die Beschuldigung aufgebürdet: Ich soll eine Erklärung der in dem Apparate bemerkten Veränderlichkeit gegeben haben, welche nichts Geringeres als „einen innern Widerspruch“ umfaßt. Ob die Erklärung, welche man in diesem Aufsatze kennen gelernt hat, und welche ich Herrn Professor Encke schon früher mitgetheilt hatte, wahrscheinlich oder unwahrscheinlich ist, darüber steht Jedem, dem sie vorgelegt wird, das eigene Urtheil zu; aber als unvernünftig

darf man sie nicht bezeichnen, ohne ihren innern Widerspruch nachzuweisen. Herr Professor Encke hat dieses, auch sogar die Mittheilung der von ihm so bezeichneten Erklärung unterlassen, so daß der Leser seiner Äußerung darüber nicht im Stande ist zu beurtheilen, ob diese die Erklärung selbst trifft oder die Art, wie er sie verstanden hat. Da sie gegenwärtig vorliegt, so mag Jeder, nach seiner eigenen Ansicht, errathen, wodurch der Angriff, den ich jetzt zurückweise, hervorgerufen sein kann; ob durch den Glauben: die Aufhebung der Befestigung eines Theiles könne nicht zur Befestigung des Ganzen reichen, oder durch irgend etwas von ähnlicher Art. In der Hoffnung, Herr Professor Encke werde ähnliche Angriffe, in der Folge, als unangemessen erkennen, vermeide ich jede weitere Beleuchtung des gegenwärtigen.

Bessel.

Ueber ein auf der Dopatzer Sternwarte befindliches, mit einem Vertikalkreise versehenes tragbares Durchgangsinstrument aus der mechanischen Werkstätte von Repsold in Hamburg.

Von Sr. Excellenz dem Herrn Staatsrath und Ritter v. Struve.

Im Jahre 1835 erhielt ich aus der mechanischen Werkstätte der Herren Gebrüder Repsold in Hamburg ein tragbares Durchgangsinstrument eigenthümlicher Bauart, welches für die astronomischen Beobachtungen der russischen Gradmessung bestimmt ist. Die Idee dieses Instruments war von mir den Künstlern mitgetheilt und wurde darauf von Herrn Adolf Repsold durchgearbeitet. Nach dem von ihm entworfenen und bei der gegenseitigen Uebereinkunft besprochenen Plane wurde das Instrument zur Ausführung gebracht.

Der Zweck des Instruments war ein gedoppelter. Es sollte erstlich Durchgangsinstrument sein und namenlich zur Beobachtung der Zenithdistanzen nahe beim Scheitel durchgehender Sterne durch Aufstellung im ersten Vertical dienen. Zu diesem Zweck muß das Instrument so gebaut seyn, daß es Wasserwaage in jeder Richtung des Fernrohrs auf der Achse stehen bleibt, um in jedem Augenblick die wirkliche Neigung der Achse erkennen zu lassen. Das Fernrohr wurde über und das eine Ende der horizontalen Achse versetzt und auch ein aus andere Ende angebrachtes Gegengewicht aufgelegt. Bei dieser Einrichtung ließ sich die Micrometerbewegung um die horizontale Achse in die Mitte derselben versetzen, und jede Torsion der Achse, so wie jede Durchbiegung ist vermieden, wenn die Achse frei auf den Lagern ruht und nicht durch einen aufliegenden Albidadekreis mit den Lagern in Verbindung steht. Das Instrument sollte zwei-

tens zur Beobachtung aller Zenithdistanzen von 0 bis 90° eingerichtet seyn, um vorzugsweise in der Nähe der Meridianebene angewandt zu werden, und mußte daher mit einem der Gesichtslinien parallelen eingetheilten Vertikalkreise und der Vorrichtung zur Ablesung der Theilung versehen seyn. Bei beiden Zwecken war Bewegung und Ablesung im Azimute zur Einrichtung erforderlich.

In dem auf 3 Schrauben ruhenden eingetheilten Horizontalkreise dreht sich eine ringsum aufliegende Scheibe durch eine Schraube ohne Ende, welche aber auch ausgelöst werden kann, um eine raschere Drehung zu gestatten. Diese Scheibe führt die beiden Nonien der Azimutaltheilung, die 5° angeben, und trägt die beiden Stützen, auf welchen die Lager des Obertheils angebracht sind. Dieser Obertheil besteht aus der Horizontalachse mit dem Fernrohr an dem einen und den Gegengewichte an dem andern Ende, beide außerhalb der Stützen, und aus zwei Vertikalkreisen von gleicher Masse, welche innerhalb der Stützen symmetrisch auf der Achse sitzen. Der Druck dieses Obertheils auf den Lagern wird durch Frictionrollen vermindert, welche von der untern Scheibe aus durch eingeschlossene Spiralfedern angedrückt werden. Von den beiden Lagern hat dasjenige, auf welchem immer das Fernrohr ruht, die Achse ruht, die erforderliche feine vertikale Verstellung und trägt außerdem zwei Indices, durch welche auf dem äußern Aufsucherkreise die Zenithdistanzen eingestellt werden.

Mit dem andern Lager ist der mikroskopische Ableserapparat für den Kreis, der die Haupttheilung trägt, verbunden. Dieser Apparat besteht aus einem aus Röhren verbundenen quadratischen Rahmen, in dessen Winkelpunkten die Mikroskope angebracht sind. Er hat zwei Verstellungen; eine, um die Mikroskope nahezu concentrisch zu machen, welche einmal angewandt nicht wieder gebraucht wird, und eine zweite, wodurch ihm eine kleine drehende Bewegung gegeben werden kann, um die gleiche Stellung der Mikroskope gegen die Scheitellinie vermittlest der Wasserröhrchen zu gewinnen. Der Wasserröhrchen sind zwei an die horizontalen Röhren des Rahmens angebracht, die obere kann auf stählernen Ringen umgestellt werden, die untere ist fest. An beiden sind die nöthigen Verbesserungs-schrauben. Es ist zu bemerken, daß die horizontale Hauptachse des Oertheils durch den Mikroskopenapparat ganz frei durchgeht, indem letzterer auf einem mit der Achse concentrischen festen Cylinder sitzt, der aus Lager angeschraubt ist. Um den Limbus in einer constanten Entfernung von den Mikroskopen zu erhalten, wird die Achse durch eine Feder immer gegen das eine Lager angezogen. Der Kreis, auf den die Mikroskope gerichtet sind, hat zwei Theilungen, die eine äußere feinere von 4 zu 4 Minuten, welche unter den Mikroskopen gesehen wird, und eine innere stärkere, an welcher durch einen Index, welcher von einer der senkrechten Röhren des Mikroskopenapparats ausgeht, die Ablesung von 4 zu 4 Minuten geschieht. Erstere nenne ich die Haupttheilung, diese die Hülfs-theilung. Der Azimutalkreis und die beiden Vertikalkreise haben nahezu 14 Pariser Zoll Durchmesser. Das Fernrohr hat 2 Zoll Oeffnung und 24 Zoll Focallänge. Die Vergrößerung des gebrochenen Okulars ist eine 40fache, etwas zu schwach aus einem solchen Fernrohre, das eine 60 oder 80fache vertragen kann. Im Focus befinden sich 9 Vertikalfäden, die 8 Intervalle, jedes von 9 Zeiteinheiten, bilden. Außer den beiden nahen Horizontalfäden von 12 Bogensecunden Entfernung im Lichte, zwischen welchen bei Messung der Zenithdistanzen eingestellt wird, ist noch ein dritter in 75 Bogensecunden Abstand vorhanden. In der Mitte zwischen diesem und dem nächsten der beiden andern werden die Durchgänge der Gestirne durch die Vertikalfäden im ersten Vertikale beobachtet.

Wenn die Versetzung des Fernrohrs ans Ende der Achse für den Gebrauch im ersten Vertikal den wesentlichen Vortheil gewährt, daß die Neigungen der Achse sicherer erkannt werden, so kann sie aber auch eine Biegung erzeugen, wodurch der Winkel zwischen der Gesichtslinie und der Umdrehungsachse sich bei verschiedener Neigung gegen den Horizont um ein kleines ändert. Auf die Messung der Zenithdistanzen durch den Vertikalkreis hat diese Biegung keinen Einfluß. Aber auch bei der Anwendung als Durchgangsinstrument wird diese Biegung durch den Gebrauch in entgegengesetzten Lagen gänzlich

eliminiert. Die Veränderung der Lage des Instruments geschieht übrigens nicht durch Umlegung der Achse in den Lagern, sondern durch Drehung um 180° im Azimute.

Es ist mir bisher noch nicht die Mühe geworden, die Leistungen des Instruments bei der Aufstellung im ersten Vertikale aus der Erfahrung zu beurtheilen. Dagegen habe ich kürzlich Untersuchungen an demselben und Beobachtungen angestellt, um zu erfahren, was es als Vertikalwinkelmesserkreis st. Ich glaube, daß eine Nachricht hierüber den Astronomen eine angenehme sein wird, da so viel ich weiß von *Repsold'schen* Instrumenten in dieser Hinsicht nur wenig bekannt geworden ist. Daß die *Repsold'schen* Instrumente, was die Genauigkeit der Ausführung in andern Rücksichten betrifft, ein hohen Grad der Vollendung besitzen, ist anerkannt; aber wenn Kreistheilungen sind bisher von diesen Künstlern ausgeführt worden oder in Anwendung gebracht.

Der mittlere Radius der Haupttheilung des Vertikalkreises ist 6 Zoll 8 Linien = 80 Linien Pariser Maaß. Der Limb ist unmittelbar von 4' zu 4' getheilt, so daß auf der Peripherie 5400 Theilstriche sind, jeder von dem nächsten um 0,093 oder nahezu  $\frac{1}{11}$  Linie abstehend. Die Striche sind alle von gleich Länge, da wegen der Hülfs-theilung keine Unterscheidung nöthig ist, und so fein, daß das unbewaffnete Auge sie bis zu erkennen vermag. Die zur Ablesung dienenden Mikroskope vergrößern sehr stark, nemlich linearisch fast 120mal. Die 3 Mikrometer derselben führen 2 parallele Spinnfäden, die im Lichte 13 Bogensecunden von einander absteheu. Die Striche der Theilung werden in die Mitte der Parallelfäden gefaßt, die Beobachtung, die bei der starken Vergrößerung der höchsten Schärfe fähig ist, wenn man die hellen Räume auf beiden Seiten des Strichs vergleicht. Ein Umgang der Mikrometer-scheibe entspricht fast genau einer Bogenminute, und die 60 Theile der Scheibe sind daher sehr nahezu Secunden, deren Zehntel abgelesen werden. Kreisförmige Illuminatoren aus weißem Papier von 2½ Zoll Durchmesser, auf die Objectivfassung geklebt, befördern bei Tag und bei Nacht die Erleuchtung hinreichend und bei einiger Übung geschieht die Ablesung eben so sicher als sicher.

Die Sicherheit der Ablesung d. h. der Einstellung des Mikrometers auf den einzelnen Strich hängt von der Schärfe des Strichs, von der Aufmerksamkeit des Beobachters und von der Beleuchtung ab. Die Schärfe der Striche ist selbst unter ausgezeichneten Vergrößerungen dieser Mikroskope, eine so außerordentliche, daß sie nichts zu wünschen übrig läßt. Da wiederholte Einstellung auf denselben Strich läßt sich von der Sicherheit der Ablesung ermitteln. Eine sehr sorgfältige Untersuchung, wo an 131 verschiedenen Strichen bei Tage je 6 mal nach einander 2 Einstellungen gemacht wurden, ergab keine Abweichungen dieser Einstellungen unter einander:

22mal den Unterschied	0°0
20 — — — — —	0,1
24 — — — — —	0,2
22 — — — — —	0,3
13 — — — — —	0,4
13 — — — — —	0,5
8 — — — — —	0,6
3 — — — — —	0,7
1 — — — — —	0,8
0 — — — — —	0,9
2 — — — — —	1,0

Hieraus ergibt sich der wahrscheinliche Fehler einer einmaligen Einstellung 0°177. Bei Nacht ist der Ablesefehler etwas größer. Aus 48 Einstellungen fand ich denselben 0°287. Die von 0°177 und 0°287 entsprechenden linearen Größen von 177 $\mu$ m und 287 $\mu$ m Linie. Es folgt für das Mittel aus 4 Mikroskopen der wahrscheinliche Fehler der Ablesung = 0°088 und 0°143, insofern er von der Schärfe des Sehens abhängig ist. Die eigentliche Genauigkeit der Ablesung hängt aber überdies noch von der Zuverlässigkeit ab, mit welcher die Schraube des Intervalls von 4 Minuten zu theilen im Staude ist, wovon weiter unten.

Die Betrachtung der Theilungstriche an verschiedenen Stellen des Limbus lässt bei der Kraft der Mikroskope leicht erkennen, dass die Breite der Striche nicht ganz gleich ist. Die feinsten Striche sind zwischen 270° und 0° des Limbus; ähnlich werden sie etwas stärker, aber sehr unbedeutend, nur erst von 180° bis 270° ist die größere Breite leicht erkennbar. Die feinsten Striche fand ich kaum 4 Sekunden breit, oder kaum 0,00155 =  $\frac{1}{640}$  Linie, bei 180° war die Breite noch kleiner als 5 $\mu$ , stieg aber nun gegen 270° bis auf 6 $\mu$ 6 oder  $\frac{1}{15}$  Linie. Die Schärfe der Striche blieb aber immer dieselbe. Die Zunahme der Breite der Theilstriche kann nur durch abmählichen, zuletzt rascheren Abstumpfung des für die Theilung gebrauchten Messers zugeschrieben werden, und es ist klar, dass die Theilung mit 270° 0' angefangen und mit 269° 56' geendet wurde. Jeder Zweifel hierüber fällt weg, wenn man die ersten und die letzten Striche mit einander vergleicht, indem die Breiten derselben sich ungefähr wie 3:5 verhalten \*).

\*) Eine interessante Vergleichung gewährt hier der Meridiankreis von Reichenbach, den unsere Sternwarte besitzt. Auf allen in der Münchener Anstalt von Reichenbach und nachher von Bessel getheilten Instrumenten ist der Strich 340° 0' der erste, der gezogen wird, nach einer Anordnung des Herrn von Reichenbach, die sich auf die Gewohnheit bezog, als man bei Repetitionskreisen häufig mit der Einstellung im ersten Vernier bei Null beginnt. Dieses Verfahren ist bis auf die neueste Zeit unüberwunden befolgt worden und spricht sich auch an unsern Meridiankreise deutlich aus, indem unter dem Mikroskope betrachtet die Striche von 340° entschieden etwas breiter sind, als die noch 340°, und der Unterschied gerade bei den benachbarten Strichen 339° 57' und 340° 0' am einfallendsten ist, indem sich die Breite der Striche hier wie 3:4 verhält. (Uebrigens sind

Bei der Untersuchung einer von der Theilmasschine abgetragenen Theilung ist es wichtig zu wissen, mit welchem Striche begonnen ist. Findet nämlich im Laufe der Theilung eine allmähliche Veränderung in der Lage der einzelnen Theile des Apparats statt, namentlich des Einstellungsmikroskops und des Messers oder des Limbus der Theilmasschine gegen den des zu theilenden Kreises, so wird sie sich im Intervalle zwischen dem letzten und dem zuerst gezogenen Striche aussprechen. In diesem Falle wird das Gesetz der Continuität mit dem letzten Striche aufhören, und in dem letzten Intervalle ein Sprung sein. Auf diesen Sprung muss bei der Untersuchung und Bestimmung der Theilungsfehler gehörige Rücksicht genommen werden. Es seien für unsern Kreis  $-I, -I', -I''$  die Intervalle, welche mit den Strichen 269° 48', 52', 56', 270° 0', 4' anheilen, so ergab die Messung derselben an derselben Stelle der Mikrometerschraube des ersten Mikroskops durch doppelte Einstellung:

$-I = 238,1$	$K = 240,15$
$-I' = 237,85$	$= 240,0$
$I'' = 237,65$	$= 239,7$
$I'' = 237,05$	$= 240,25$
Mittel $I = 237,66$	Mittel $K = 240,02$

und hiemit  $K = I + 2,36$  mit dem Gewichte  $\frac{4,4}{4+4} = 2,0$ .

Um mich zu überzeugen, dass dieser Unterschied nicht ein zufälliger sei, maß ich nun an 12 um nahezu 30° von einander abstehenden Stellen ein beliebiges Intervall jedesmal wieder aus gedoppelten Einstellungen, wie folgt:

bei 270° der Theilung $I = 238,0$	Abweichungen.
300 — — — — —	+ 0,06
300 — — — — —	— 0,19
330 — — — — —	— 0,04
0 — — — — —	+ 0,16
30 — — — — —	+ 0,61
60 — — — — —	— 0,24
90 — — — — —	— 0,04
120 — — — — —	— 0,24
150 — — — — —	— 0,14
180 — — — — —	— 0,09
210 — — — — —	+ 0,21
240 — — — — —	— 0,04

Im Mittel aus 12 Beob.  $I = 237,94$   
5 Beob. vorher u. nachher gaben  $K = 240,13$

und hieraus:  $K = I + 2,19$  mit d. Gew.  $\frac{12,5}{12+5} = 3,5$ .

Ich setzte diese Vergleichungen noch weiter fort, indem ich  $I$

die Striche auf unserm Meridiankreise wenigstens linearisch 3mal so breit, als die auf dem Repsoldischen Kreise, wie es für die Ablesung mit Vernieren unter verhältnismäßig schwachen Loupen erforderlich ist, und der Unterschied der Breiten des ersten und letzten Striches linearisch ist an beiden Instrumenten nicht sehr verschieden, am Repsoldischen wohl etwas geringer, aber wegen der Feinheit der Striche auffallender.

nach und nach an 36 um  $10^\circ$  verschiedenen Stellen ma6 und damit wiederholte Messungen von  $K$  verband. Der Raum-

- 1) In der Nhe von  $270^\circ$ :  $I = 237,66$  (4 Beobh.);
- 2) An 12 Stellen der Peripherie:  $I = 237,94$  (12 Beobh.);
- 3) An 8 Stellen von  $270^\circ - 340^\circ$ :  $I = 237,33$  (8 Beobh.);
- 4) An 6 Stellen von  $350^\circ - 40^\circ$ :  $I = 237,32$  (6 Beobh.);
- 5) An 7 Stellen von  $50^\circ - 110^\circ$ :  $I = 237,71$  (7 Beobh.);
- 6) An 5 Stellen von  $120^\circ - 260^\circ$ :  $I = 237,74$  (15 Beobh.);

Mittel:  $I = 237,67$  (32 Beobh.);

Fr das Endresultat:  $K = I + 2,45$  ist der wahrscheinliche Fehler  $0,064$ . Da der Winkelerwerth von  $I = 240^\circ$  ist, so folgt  $t = 1,0098$ , so da6 fr kleine Grssen von ein Paar Sekunden  $t = 1^\circ$  angenommen werden kann. Wir haben demnach:

$$K = I + 2,449 \text{ mit dem wahrscheinl. Fehler } 0,064;$$

$$= I + 10,44 \text{ Linie} \quad \frac{1}{251,75} \text{ Linie.}$$

So klein dieser Unterschied von  $K$  und  $I$  ist, so ist er doch auf keinen Fall einer blo6 zuflligen Abweichung oder Unregelmssigkeit der beiden ihn einschliessenden Striche zuzuschreiben. Die bisherigen Untersuchungen geben uns nmlich die Mittel an die Hand, die zuflligen Fehler der einzelnen Striche der Wahrscheinlichkeit nach zu bestimmen. Es ist von mir das Intervall  $I$  an 12 und 36 symmetrisch auf der Peripherie vertheilten Stellen jedesmal durch gedoppelte Einstellungen mit dem Mikrometer gemessen. Setzen wir den von der Unregelmssigkeit der Striche herrhrenden wahrscheinlichen Fehler eines Intervalles  $= f$ , den einer einmaligen Einstellung des Mikroskops  $= g$ , so ist bei gedoppelten Einstellungen der wahrscheinliche Fehler eines beobachteten Intervalles  $= \sqrt{(f^2 + g^2)}$ . Die Vergleichung der einzelnen gefundenen 48  $I$  mit den 5 gleichzeitigen Mitteln, die einzeln verglichen werden mssen, weil zu verschiedenen Zeiten an verschiedenen Stellen der Schraube gemessen wurde, geben die Summe der 48 Quadrate der Abweichungen  $= 4,8076$ ; und daher:

$$\sqrt{(f^2 + g^2)} = 0,6745 \sqrt{\left(\frac{4,8076}{43}\right)} = 0,225.$$

Aber aus den doppelten Einstellungen lsst sich  $g$  erkennen und ist oben  $= 0,177$  gefunden worden, woraus sich  $f = \sqrt{(0,225^2 - 0,177^2)} = 0,119$  ergibt und der wahrscheinliche zufllige Fehler eines einzelnen Strichs:

$$h = \frac{f}{\sqrt{2}} = 0,0933 = \frac{1}{10,725} \text{ Linie.}$$

So klein dieses  $h$  ist, so ist es doch eher zu gro6 als zu klein gefunden worden, indem eine vielleicht nicht vllig stattfindende Constanz der messenden Mikrometerschraube whrend der zusammengehrenden Messungen von  $K$  u.  $I$  vorausgesetzt wird. Bewunderungswrdig erscheint aber diese Sicherheit der Theilung und jetzt eine in dieser Hinsicht ganz ausgezeichnete

ersparni6 wegen stelle ich hier nur die Resultate aller Messungen her:

$K = 240,02$ (4 Beobh.);	$K = I + 2,36$ mit dem Gewicht 2,0
$K = 240,13$ (5 Beobh.);	$K = I + 2,19$ ——— 3,5
$K = 240,02$ (4 Beobh.);	$K = I + 2,69$ ——— 2,7
$K = 240,09$ (6 Beobh.);	$K = I + 2,77$ ——— 3,0
$K = 240,05$ (4 Beobh.);	$K = I + 2,34$ ——— 2,5
$K = 240,11$ (4 Beobh.);	$K = I + 2,37$ ——— 3,2
$K = 240,07$ (27 Beobh.);	$K = I + 2,449$ mit dem Gewicht 16,3.

Vollendung der Theilmachine und eine hochst sorgfltige Einstellung des Mikroskops bei der Abtragung der Theilung voraus. Wenn nun aber der wahrscheinliche zufllige Fehler eines Intervalles nur  $0,119$  ist, so kann eine Abweichung von  $1/4$  als 17,6 mal so gro6 als jener auf keine Weise mehr mglichen Ursachen zugeschrieben werden, indem die Wahrscheinlichkeit, da6 sich unter 5400 Fehlern einer findet, der den mittleren mehr als 17 mal bersteigt, nur  $\frac{1}{94 \cdot 10^{24}}$  oder der 94<sup>te</sup> Theil eines Quadrilliontheils ist \*).

Ich schritt hierauf zur Untersuchung der eigentlichen Fehler der Theilung, die nicht als zufllige Abweichungen einzelner Striche angesehen werden knnen, und befolgte dabei zuerst die Methode, welche Bessel fr den Carryschen Kreis mit so ausgezeichneten Erfolge angewandt hatte. Zu dem Ende nahm ich das Mikroskop IV von seiner Stelle und lie6 sie Verichtung fr dasselbe anfertigen, die an den Mikroskopentrger angebracht wurde, da6 das Mikroskop IV in jeder beliebigen Entfernung zwischen den Mikroskopen I und II auf der Theilung gehrig gerichtet und festgestellt werden konnte. Der Anlaspunkt der ganzen Untersuchung mu6te bei  $270^\circ$  des Linien seyn. Richtet man das Mikroskop I auf diesen Strich, so gibt der Index, an dem die gro6eren Abtheilungen bis auf 4 Mikron auf der Hlfttheilung abgelesen werden, genau  $315^\circ$ . In nachfolgender Untersuchung sind die Angaben immer auf diese Angabe des Hlfindex bezogen, so da6 also wenn eine  $x$  ist, der Strich  $x - 45^\circ$  sich unter dem ersten Mikroskop befindet. Da die Mikroskope I, II, III genau um Quadranten

\*) Am Reichenbachschen Meridiankreise hat auf meinen Wunsch Herr Astronom Prof. da6 zwischen  $339^\circ 57'$  und  $340^\circ 17'$  liegende Intervall  $K$  mit dem zwischen  $340^\circ 0'$  und  $340^\circ 37'$  liegenden  $I$  verglichen und aus 40 Messungen mit einem der Piaterschen Mikroskope, welche zur Untersuchung der Theilungsfhigkeit dieses Instruments gedient hatten,  $K = I + 0,28$  gefunden, mit dem wahrscheinlichen Fehler  $0,095$ . Dieser Unterschied ist so geringe, da6 wir ihn den zuflligen Fehlern der Striche zuschreiben knnen und so ist bei unserm Meridiankreise kein bemerkbarer Sprung am Schlu6 der Theilung vorhanden.

einander absteigen, so läßt sich durch Vergleichungen der letzten Bogen von 315° bis 135° und von 135° bis 315° unter den Mikroskopen I und III die Correction der Ableitung für  $x = 135^\circ$  finden, indem der Anfangsstrich, bei dem der Index auf 315° steht, als richtig vorausgesetzt wird. Durch die Mikroskope I und II erhielt ich die Correctionen der Ableitung für  $x = 45^\circ, 135^\circ$  und  $225^\circ$ . Das ausgenommene Mikroskop wurde darauf in eine Entfernung von genau  $45^\circ$  vom ersten umgedreht und durch diese beiden die Correctionen der Ableitungen an den Octantenstrichen  $0^\circ, 45^\circ$  u. s. w. bis  $270^\circ$  ermittelt. Die so gefundenen Correctionen waren gegen einander ausgetauscht, da sich für die Quadrantenstriche gedoppelte und für das 180° vom Anfang absteigenden ein einfacher Werth ergab. Die schöne Uebereinstimmung dieser verschiedenen Werthe verleiht der Sicherheit der Resultate. Ich bemerke hierbei, daß jeder Bogen durch den Hauptstrich  $x$ , den vorhergehenden  $x - 4'$  und den nachfolgenden  $x + 4'$  untersucht wurde und zwar jedesmal durch 4 unabhängige Ableitungsreihen, in denen die Folge der Bogen geändert wurde. Hierbei ist zu erwähnen, daß, wenn eine Ableitung den Strich  $315^\circ - 4'$  traf, diese erst nach der gehörigen Verbesserung von  $2'45''$  in Anwendung gebracht wurde, um für die Correction der Theilung von  $315^\circ 0'$  zu gebraucht zu werden. Nachdem die Correctionen der 8 Cardinalepunkte so gefunden waren, stellte ich das veränderliche Mikroskop 180° vom ersten ab und ging so, von  $315^\circ$  beginnend, mit durch die Punkte  $333^\circ, 351^\circ, 9^\circ, 27^\circ, 45^\circ$  u. s. w. und nachher von  $0^\circ$  aus durch die Punkte  $18^\circ, 36^\circ, 54^\circ, 72^\circ$  u. s. w. Aus hier wurden die Beobachtungen vervielfältigt durch eine jede Ableitung bei  $x, x - 4', x + 4', x + 8'$ . Diese Vergleichungen gaben die relativen Correctionen der um  $18^\circ$  absteigenden Punkte jedes Quadranten und unter Anwendung der bekannten Correctionen für die Quadranten die absoluten Correctionen in 2 Folgen, durch welche die Correctionen von  $40''$  um  $9''$  von einander absteigenden Bogen als Resultat gewonnen wurden. Die nachfolgende Tafel stellt die so für die Punkte  $x$  gewonnenen  $\Delta x$  dar, welche so zu verstehen sind, daß wenn in dem Mikroskop  $x$  abgelesen wird, die verbesserte Ableitung  $x + \Delta x$  ist.

$x$	$\Delta x$	$x$	$\Delta x$	$x$	$\Delta x$	$x$	$\Delta x$
315°	0'00	45°	+0'67	135°	-6'04	225°	-9'35
324°	-0'30	54°	-0'03	144°	-7'09	234°	-9'74
333°	-0'45	63°	-0'81	153°	-6'08	243°	-7'86
342°	+1'96	72°	+1'85	162°	-6'91	252°	-7'71
351°	+1'38	81°	1'90	171°	-7'07	261°	-7'12
360°	+2'15	90°	-2'28	180°	-8'05	270°	-6'49
369°	+2'16	99°	-3'29	189°	-7'91	279°	-5'46
378°	+1'20	108°	-4'17	198°	-9'79	288°	-4'22
387°	+1'06	117°	-5'20	207°	-9'57	297°	-4'02
396°	+0'66	126°	-5'71	216°	-10'06	306°	-3'94
					314 56		-2'45

Die durch den Gebrauch der Mikroskope gefundenen  $\Delta x$  schließen die Theilungsfehler und den Einfluß der Excentricität in sich. Wären keine Theilungsfehler vorhanden, so müßten sich die obigen Zahlen, wenn wir  $x - 315^\circ = u$  setzen, durch die Formel:  $\Delta x = p + p' \cos u + q' \sin u$  darstellen lassen. Nehmen wir aber zugleich an, daß der am letzten Intervalle  $K'$  erkannte Sprung von  $2'45''$  allmählich eingetreten ist, und führen wir dafür eine dem Bogen proportionale Correction ein, so mußte:  $\Delta x = p - \frac{u}{360^\circ} \cdot 2'449 + p' \cos u + q' \sin u$  die Formel seyn, in die die  $\Delta x$  sich fügen. Die Behandlung obiger 40 Werthe von  $\Delta x$ , unter Voraussetzung eines gleichen Gewichts derselben, giebt:

$$\Delta x = -2'750 - \frac{u}{360^\circ} \cdot 2'449 + 2'217 \cos u + 4'079 \sin u$$

$$= -2'750 - \frac{u}{360^\circ} \cdot 2'449 + 4'642 \sin(x + 73^\circ.32') \quad (I)$$

und zeigt eine Excentricität von  $4'642''$  an, um welche der Mittelpunkt der Umdrehung von dem der Theilung nach einer Richtung abliegt, für welche  $x = 253^\circ 32'$  ist, oder nach dem Punkte  $208^\circ 32'$  des Linius.

Vergleichen wir nun die einzelnen Werthe  $\Delta x$  mit dieser Formel I, so sind die übrigen Abweichungen der  $\Delta x$  von der Formel, die wir mit  $x$  bezeichnen wollen, als die nach Abziehung des Einflusses der Excentricität und nach Ausgleichung der Incontinuität am Schluss übrigen eigentlichen Theilungsfehler anzusehen, welche folgende Tage darstellt:

$x$	$\Delta x$	$x$	$\Delta x$	$x$	$\Delta x$	$x$	$\Delta x$
315°	+0'53	45°	-0'03	135°	+0'15	225°	-0'68
324°	-0'32	54°	-0'29	144°	0'23	234°	-1'41
333°	-0'95	63°	-0'52	153°	+1'38	243°	+0'04
342°	+1'06	72°	-0'94	162°	+1'06	252°	-0'31
351°	+1'19	81°	-0'29	171°	+1'34	261°	-0'29
0°	+0'78	90°	+0'08	180°	+0'67	270°	-0'29
9°	+0'67	99°	-0'17	189°	+1'03	279°	+0'10
18°	-0'27	108°	-0'25	198°	-0'74	288°	+0'64
27°	-0'27	117°	-0'50	207°	-0'54	297°	+0'13
36°	-0'22	126°	-0'25	216°	-1'16	306°	+0'65

Kein  $\Delta x$  reicht hier bis an  $1'5''$ . Sehen wir diese Fehler als keinen Gesetze folgend an, so würde aus der  $\Sigma \Delta x = 17'56''$  der wahrscheinliche Theilungsfehler in einer Gegend  $= 0'468'' = \frac{17'56''}{39}$  Lin. folgen. Daß diese  $\Delta x$  aber nicht ganz gesetzlos sind, ersieht man bald, wenn man sie durch eine Function der doppelten Bogen darstellt und dafür den Ausdruck

$$+0'410 \cos 2u + 0'347 \sin 2u = 0'538 \sin(2r + 319^\circ 48')$$

erhält, wonach die übrigen Abweichungen von der Formel sich so weit reduciren, daß die Summe der Quadrate derselben 11,80 wird. Hiernach wäre der vollständige Ausdruck der ursprünglich gefundenen Theilungsfehler, wenn man das neue Glied mit den vorigen vereinigt:

$$\Delta x = -2^{\circ}750 - \frac{x-315^{\circ}}{360^{\circ}} \cdot 2^{\circ}449 + 4^{\circ}642 \sin(x+73^{\circ}32') + 0^{\circ}538 \sin(2x+319^{\circ}48') \quad (II)$$

Die durch diesen Ausdruck gefundene Correction einer Ablesung  $x$  hat den wahrscheinlichen Fehler  $0^{\circ}392$ , und wir sind berechtigt nach Anwendung derselben eine Ablesung im Mittel aus den 4 Mikroskopen für bis auf  $0^{\circ}196$  richtig zu halten.

Es ist aber noch zu bemerken, daß die von uns auf die oben beschriebene Weise gefundenen  $\Delta x$  nur dann die reinen Fehler der Excentricität und der Theilung sind, wenn der vertikale Durchschnitt des Zapfens am Kreise eine vollkommenen Kreis ist. Ist dies nicht der Fall, so sind sie mit dem Einfluß der Unregelmäßigkeiten der Zapfen behaftet. Nun ist es zwar durch Beobachtung der Wasserröhre gewiß, daß die Zapfen unseres Instruments, wie alles, was Herr *Repsold* abdreht, im hohen Grade vollkommen sind, aber dennoch ist es möglich, daß in ihnen Fehler sind, die als von derselben Ordnung wie die  $\Delta x$  angesehen werden müssen. Wenn aber die Zapfen auf rechtwinkligen Unterlagen sich drehen, wie bei unserm Instrumente der Fall ist, so läßt sich leicht beweisen, daß der Einfluß der Unregelmäßigkeiten der Zapfen für den mittleren Theilungsfehler von 4 um die Quadranten von einander abliegenden Punkten sich gänzlich wieder aufhebt, und daß wir also die gefundenen  $\Delta x$  mit völliger Sicherheit zur Bestimmung der fürs Mittel der Ablesungen an 4 Mikroskopen übrig bleibenden Correctionen anwenden können.

Bekanntlich wird der Einfluß der Excentricität bei der Bestimmung der Theilungsfehler gänzlich eliminiert, wenn man durch die Anwendung von 2 um  $180^{\circ}$  von einander entfernten Mikroskopenebenen die mittleren Theilungsfehler der um  $180^{\circ}$  abliegenden Punkte untersucht. Ich hielt es für geeignet, nach dieser Methode eine neue von der frühern ganz unabhängige Untersuchung der Theilungsfehler zu unternehmen, deren Ergebnisse ich jetzt darstellen werde. Die 4 Mikroskope in ihrer ursprünglichen Stellung gaben zuerst die Correctionen der beiden Quadrantenpunkte, dann blieben die Mikroskope I u. III an ihrer Stelle, II und IV wurden aber ausgenommen und in die Entfernung von  $45^{\circ}$  von I und III gebracht. Auch jetzt wurden mehrere, aber bloß zunächst nachfolgende Striche untersucht, um den Sprung bei  $314^{\circ}56'$  ganz zu vermeiden. Nenne ich  $\delta x$  die mittlere Correction für die Ablesung an 2 um  $180^{\circ}$  von einander abstehenden Mikroskopen, die auf  $x$  und  $180^{\circ}+x$  gestellt sind, wobei  $\delta 315^{\circ} = \delta 135^{\circ} = 0$  vorausgesetzt wird, so erhielt ich zuerst, bei Entfernung der Mikroskope um  $90^{\circ}$ ,

aus den einzelnen Ablesungen bei den verschiedenen nahe liegenden Strichen:

$$\begin{aligned} \delta 45^{\circ} (\delta 225^{\circ}) &= -1^{\circ}02 \\ &\quad -1,77 \\ &\quad -1,90 \quad (A) \\ &\quad -1,01 \\ &\quad -1,36 \\ \text{Mittel} &= -1^{\circ}26; \end{aligned}$$

darauf, indem die Mikroskope II und IV um  $45^{\circ}$  von I und III abstanden, für die Octanten:

$$\begin{array}{ccc} \delta 0^{\circ} & \delta 45^{\circ} & \delta 90^{\circ} \\ +0^{\circ}15 & -0^{\circ}94 & -0^{\circ}90 \\ +0,04 & -1,48 & -1,55 \\ +0,27 & -1,11 & -1,06 \\ -0,49 & -2,16 & -1,38 \\ +0,18 & -1,46 & -0,94 \\ -0,74 & -2,35 & -1,79 \\ +0,21 & -1,48 & -0,97 \\ +0,57 & -1,68 & -1,72 \\ \text{Mittel} & +0,02 & -1,58 & -1,29 \end{array} \quad (B)$$

Jetzt berichtete ich die beweglichen Mikroskope II und IV von neuem, mit vorzüglicher Sorgfalt für die senkrechte Stellung der optischen Achse gegen den Limbus und erhielt noch einmal für die Octanten folgende Größen:

$$\begin{array}{ccc} \delta 0^{\circ} & \delta 45^{\circ} & \delta 90^{\circ} \\ +0^{\circ}29 & -1^{\circ}14 & -0^{\circ}95 \\ -0,54 & -1,78 & -2,05 \\ +0,19 & -1,32 & -1,31 \\ -0,23 & -2,36 & -1,69 \\ +0,58 & -0,99 & -1,06 \\ -0,42 & -1,34 & -1,51 \\ -0,36 & -1,17 & -1,55 \\ -0,92 & -1,74 & -1,67 \\ \text{Mittel} & -0,16 & -1,48 & -1,47 \end{array} \quad (C)$$

Somit waren für die Cardinalpunkte folgende Correctionen zu halten, die ich mit ihrer Ausgleichung zusammenstelle:

$x$	(A) $\delta x$	(B) $\delta x$	(C) $\delta x$	Ausgleichung $\delta x$
$315^{\circ}$	$0^{\circ}00$	$0^{\circ}00$	$0^{\circ}00$	$0^{\circ}00$
0		$+0,02$	$-0,16$	$-0,03$
$45^{\circ}$	$-1,26$	$-1,58$	$-1,48$	$-1,44$
90		$-1,29$	$-1,47$	$-1,34$
135	$0,00$	$0,00$	$0,00$	$0,00$

(Der Beschluß folgt.)

Eine Bemerkung über die Aufstellungsart beweglicher Instrumente. Von Herrn Geh. Rath und Ritter *Bessel*. p. 121.

Ueber ein auf der Dorpater Sternwarte befindliches, mit einem Vertikalkreise versehenes tragbares Durchgangsinstrument mit dem mechanischen Werkstatte von *Repsold* in Hamburg. Von Sr. Excellenz dem Herrn Staatsrath v. *Struve*. p. 125.

### Beitrag zur Theorie der astronomischen Strahlenbrechung.

Von Herrn Fr. W. Bessel.

#### V o r w o r t.

Der Herausgeber der Astr. Nachr. hat mich an dem Vergnügen Theil nehmen lassen, welches die Bekanntheit eines jungen Astronomen, der sich durch eine Arbeit einführt, welche von großem Nachdenken zeugt, ihm gemacht hat; er hat mir den Aufsatz, welcher hier gedruckt erscheint, vor dem Abdrucke mitgetheilt. Seinem Wunsche, den Aufsatz durch ein Paar Worte einzuleiten, entspreche ich, indem ich den Lesern empfehle, auch eine Arbeit nicht zu übersehen, deren Verfasser ihnen zwar noch nicht bekannt ist, jedoch durch seine Leistung selbst die Hoffnung begründet, daß er den Astronomen nicht unbekannt bleiben werde.

Königsberg 1837. Nov. 11.

Bessel.

#### §. 1.

Wenn ein Lichtstrahl aus dem Himmelsraume in die dünnere Atmosphäre der Erde eintritt, so muß er nach den bekannten Gesetzen der Brechung von seinem ursprünglichen Wege abgelenkt und mehr nach dem Mittelpunkte der Erde zu gebogen werden. Da aber die Luft, welche die Erde umgibt, von oben nach unten immer dichter wird, so entsteht natürlich in jedem Momente eine neue Brechung, und der Lichtstrahl wird gezwungen, eine krumme Linie zu beschreiben, welche gegen den Mittelpunkt der Erde hohle ist. Er wird dabei immer in derselben Ebene bleiben, weil Einfallswinkel und Brechungswinkel in einerlei Ebene liegen. Die Tangente der krummen Linie in dem Punkte, wo sie das Auge trifft, giebt die Richtung an, in welcher das Gesehene gesehen wird, woraus folgt, daß die Strahlenbrechung die größere Erhebung über den Horizont hervorbringt, als sie in der Stellung des Himmels gemäß seyn sollte. Die Theorie der astronomischen Strahlenbrechung soll nun zeigen, wie der Unterschied zwischen wahrer und scheinbarer Höhe (Refraction) gefunden werden kann.

#### §. 2.

Man denke sich die Atmosphäre in lauter concentrische Schichten zerlegt, deren Dicke unendlich klein ist, so wird in jeder Schicht gleiche Dichtigkeit vorausgesetzt werden dürfen, und folglich auch gleiches Brechungsvermögen der Luft. Nun sey  $i$  der Einfallswinkel für irgend eine Schicht,  $i', i'', i'''$  u. s. w. denselbe für die nächstfolgenden Schichten, nach unten hin;

ferner  $l, l', l''$  u. s. w. die den Einfallswinkeln  $i, i', i''$  u. s. w. zugehörigen Refractionswinkel, endlich  $m, m', m''$  u. s. w. die Brechungsverhältnisse der Luftschichten in Bezug auf den leeren Raum, und  $x, x', x''$  u. s. w. ihre Höhe vom Mittelpunkte der Erde an gerechnet, so ist:

$$\begin{aligned} \sin i : \sin l &= m' : m \\ \sin i' : \sin l' &= m'' : m' \\ \sin i'' : \sin l'' &= m''' : m'' \text{ u. s. w.} \\ \sin l : \sin i' &= x' : x \\ \sin l' : \sin i'' &= x'' : x' \\ \sin l'' : \sin i''' &= x''' : x'' \text{ u. s. w.} \end{aligned}$$

woraus durch Zusammensetzung dieser Verhältnisse folgt:

$$\sin i : \sin i''' = m''' : m : mx.$$

Setzt man hier für  $i'''$  den Winkel, welchen der Strahl in der untersten Schicht mit der Scheitellinie macht, d. i. die scheinbare Zenithdistanz  $z$ , so wird  $m'''$  dem Brechungsverhältnisse der Luft an der Erde gleich, welches wir mit  $\mu$  bezeichnen wollen,  $x'''$  aber ist dann der Erddurchmesser  $= 1$ . Demgemäß ist:

$$\sin i : \sin z = \mu : mx.$$

Der Winkel, den der Strahl beim Eintritt in die Atmosphäre mit der Scheitellinie bildet, ist die wahre Zenithdistanz. Die Refraction  $= r$  ist also der Unterschied der Richtungen des Strahles beim Eintritt in die Atmosphäre und beim Austritt aus derselben. Hieraus ergibt sich der Brechungswinkel  $l = i - dr$ , und aus:

$$\sin i : \sin(i - dr) = m' : m$$

folgt  $\sin i - \sin(i - dr) : m' - m = \sin(i - dr) : m$

d. i.  $\cos i dr : dm = \sin i : m$

also  $dr = \frac{dm}{m} \operatorname{tg} i$

oder wenn wir  $\operatorname{tg} i$  aus der Proportion  $\sin i : \sin z = \mu : mx$  ableiten

$$dr = \frac{\mu dm \sin z}{m \sqrt{(m^2 x^2 - \mu^2 \sin^2 z)}}$$

Hierbei bemerken wir, daß  $m$  durch die Formel  $\sqrt{(1 + kx)}$  ausgedrückt wird, wo  $k = 0,00058917$ , und  $x$  die Dichtigkeit der Luft in der Höhe  $= x$  bedeutet, wenn sie an der Erde  $= 1$  ist. Der Werth von  $k$  ist der Dichtigkeit der Luft an der Erde proportional, der oben angeführte gilt für 0° Temperatur und 0,76 Meter Barometerhöhe, und folglich ist für jede andere Temperatur  $T$  nach Celsius und den Luftdruck  $= b$ ,

$$k = 0,00058917 \cdot \frac{b}{0,76} \cdot \left( \frac{1 - \frac{T}{273,15}}{1 + 0,00375 T} \right).$$



## §. 3.

Um nun den so gefundenen Ausdruck für das Differential der Strahlenbrechung integrieren zu können, müßte man wissen, was für eine Function  $w$  von  $x$  sey, d. h. man müßte das Gesetz der Abnahme der Dichtigkeit der Luft nach den höheren Regionen kennen, welches Gesetz uns jedoch noch sehr im Dunkeln liegt oder eigentlich ganz unbekannt ist. Man hat daher zu Hypothesen seine Zuflucht genommen und aus einer angenommenen Function für  $w$  durch  $x$  einen Ausdruck für die Refraction zu gewinnen gesucht, welcher sodann durch Vergleichung der Rechnung mit der Beobachtung geprüft, und mehr oder minder bestätigt wurde.

Bezeichnet  $p$  den Luftdruck in der Höhe  $x = 1 + y$ ,  $t$  die Temperatur nach der hunderttheiligen Scale daselbst,  $R$  den Erdradius in demselben Maasse, in welchem die Barometerhöhe  $P$  an der Erde gegeben ist, und ist  $m$  die Dichtigkeit der Luft an der Erde, die des Quecksilbers  $= 1$  gesetzt, so ist bekanntlich

$$-\frac{dp}{p} = \frac{mR}{P} \cdot \frac{dy}{(1+0,00375 \cdot t)(1+y)^2}$$

Um diese Gleichung integrieren zu können, müßte man wissen, was  $t$  für eine Function von  $y$  ist. Die aerostatischen Aufzüge von *Gay-Lussac* und *Sacharow* haben bewiesen, daß die Temperatur in den höheren Regionen abnimmt, und daß die Temperaturdifferenzen schneller als die Differenzen der Höhen wachsen. Daß indeß diese Progression durch die ganze Atmosphäre gelten sollte, ist nicht wahrscheinlich, vielmehr ist es glaublich, daß in einer gewissen Höhe die Temperaturdifferenzen wieder abnehmen, oder wohl gar die Temperatur constant bleibt. Es scheint daher, daß man zum Behuf der Berechnung der Refraction am wenigsten von der Wahrheit sich entfernen werde, wenn man die Temperaturdifferenzen mit den Höhen gleichförmig wachsend annimmt. Diese ist die *Euler'sche* Hypothese, nach welcher  $y = \frac{(T-t)a}{(1+0,00375 T)}$  ist, wo  $T$  die Temperatur an der Erdoberfläche nach *Celsius*, und  $a$  eine Constante bedeutet. Hieraus folgt, wenn wir die Zahl 0,00375 kurzweg  $\alpha$  nennen,  $t = T - (1 + \alpha T) \cdot \frac{y}{a}$ , und daher:

$1 + \alpha t = (1 + \alpha T) \left(1 - \frac{\alpha y}{a}\right)$ , oder wenn  $\frac{a}{\alpha} = \sigma$  gesetzt wird,  $1 + \alpha t = (1 + \alpha T) \left(1 - \frac{y}{\sigma}\right)$ . Setzen wir dieses in die obige Gleichung zwischen  $dp$  und  $dy$ : so erhalten wir

$$-\frac{dp}{p} = \frac{mR}{P(1+\alpha T)} \cdot \frac{dy}{\left(1 - \frac{y}{\sigma}\right)(1+y)^2}$$

Um hier bequem integrieren zu können, setzen wir abkürzend  $(1+y)^2 = 1+2y$ , und erhalten sodann

$$-\frac{dp}{p} = \frac{mR}{P(1+\alpha T)} \cdot \frac{dy}{1 - \left(\frac{1}{\sigma} - 2\right)y + \frac{2y^2}{\sigma}}, \text{ und daher}$$

$$\log p = \frac{mR\sigma}{P(1+\alpha T)(1+2\sigma)} \log \left[ \frac{1 - \frac{y}{\sigma}}{1+2y} \right] + \text{Const.}$$

Bestimmen wir hier die Const. so, daß für  $y=0$ ,  $p$  der Luftdruck  $P$  an der Erdoberfläche gleich wird, so haben wir  $V = \text{Const.}$ , und daher, weil  $\frac{P}{p} = \frac{w}{w_0}$ :

$$w = \left[ \frac{1 - \frac{y}{\sigma}}{1+2y} \right]^{\frac{mR\sigma}{P(1+\alpha T)(1+2\sigma)}}$$

Diesen Ausdruck für  $w$  legt *J. C. E. Schmidt* seiner Theorie der astronomischen Strahlenbrechung zu Grunde. Es kommt nur noch darauf an, ihn numerisch zu entwickeln.

Zu diesem Behuf wird von den Datis ausgegangen, welche *Gay-Lussac* bei seinem aerostatischen Aufzuge gefunden hat. Das Thermometer zeigte unten  $30^{\circ} \text{C}$ , in der Höhe von 7000 Meter  $-9^{\circ} \text{C}$ ; daselbst gab auch das Barometer eine Dichtigkeit der Luft  $= 0,432$ , die an der Erde stattfindend  $= 1$  gesetzt.

Hier ist also  $y = \frac{1}{909,457}$ ,  $T-t = 40^{\circ} \text{C}$ , wenn  $\sigma = 0,008116$  folgt.

Ferner ist bei  $0^{\circ}$  Temperatur und 28,0754 P. Z. Barometerstand  $P$ , die Dichtigkeit der Luft  $m = \frac{1}{10485}$ , woraus

$$\frac{mR\sigma}{P(1+2\sigma)} = 6,3806 \text{ folgt, so daß}$$

$$w = \left[ \frac{1 - \frac{y}{0,008116}}{1+2y} \right]^{\frac{6,3806}{1+0,008116}}$$

Setzen wir hier statt  $y$  und  $T$  die Werthe bei *Gay-Lussac* Luftfahrt, so finden wir  $w = 0,438$ , welches von dem beobachteten Werthe 0,432 um 0,006 abweicht.

Da für  $y = 0,008116$ ,  $w = 0$  wird, welches am Ende der Atmosphäre stattfindet, so könnte man  $\sigma$  die Höhe der Atmosphäre nennen.

## §. 4.

Wir wollen nun unser Augenmerk wieder auf die Strahlenbrechung selbst wenden, und, um auf einen endlichen Ausdruck für dieselbe zu gelangen, die Wurzelgrößen  $(m^2 x^2 - \mu^2 \sin^2 \epsilon)$  in eine Reihe nach den Potenzen von  $\mu^2 \sin^2 \epsilon$  aufzulösen. Dadurch wird:

$$r = \mu \sin \epsilon \int \frac{dm}{m^2 x} + \frac{1}{2} \mu^3 \sin^2 \epsilon \int \frac{dm}{m^4 x^3} + \frac{3}{8} \mu^5 \sin^4 \epsilon \int \frac{dm}{m^6 x^5} \text{ etc.}$$

Hier sind also nun die Integrale  $\int \frac{dm}{m^2 x}$  u. a. w., allgemein

$$\int \frac{dm}{m^{\alpha+1} x^{\beta}}, \text{ von } y=0 \text{ bis } y=\sigma \text{ zu finden, wenn } 1+y=$$

Da nun  $\frac{dm}{m^{n+1}} = -\frac{1}{n} d(m^{-n})$ , und  $m = \sqrt[2]{1+kw}$ : so  
ist man  $\frac{dm}{m^{n+1}} = \frac{1}{2} k \cdot dw - \frac{1}{2} (n+2) k^2 w dw$ , wenn wir die

$$\frac{1}{2} k \int \frac{dw}{(1+y)^n} - \frac{n+2}{4} k^2 \int \frac{wdw}{(1+y)^n} = \frac{k}{2} \left[ \frac{w}{x^n} + n \int \frac{wdy}{(1+y)^{n+1}} \right] - \frac{1}{2} (n+2) k^2 \left[ \frac{w^2}{x^n} + n \int \frac{w^2 dy}{(1+y)^{n+1}} \right]$$

Nun ist  $\int \frac{wdy}{(1+y)^{n+1}} = \int w dy - (n+1) \int w y dy$  u. s. w.

wenn man  $(1+y)^{-(n+1)}$  in eine Reihe auflöst. Ist nun  $w$  die Barometerhöhe in der Höhe  $y$ ,  $d$  das Verhältniß der Dichtigkeit der Luft zu der des Quecksilbers an der Erde, so ist  $-k w dy = dw$ , also  $\int w dy = -\frac{w}{k}$ ; und wenn  $h$  die Barometerhöhe an der Erdoberfläche bedeutet,  $\int w dy = -\frac{h}{k}$ .

von  $y=0$  bis  $y=\sigma$ .

Da ferner  $w = \left[ \frac{1-y}{1+2y} \right]^n$ , so hat man

$\int w dy = \int \left( 1 - \frac{y}{\sigma} \right)^n dy$ , wo wir den Nenner  $(1+2y)^n$

dann weglassen, weil er nur auf die dritte und höhere Potenzen von  $y$  führen würde. Es ist aber

$$\begin{aligned} \int \frac{dw}{m^{n+1}} &= \frac{1}{2} k \left[ 1 - \frac{h}{\delta R} + \frac{2\sigma^2}{\nu+1 \cdot \nu+2} \right] - \frac{1}{2} k^2 \left( 1 - \frac{\sigma}{2\nu+1} \right) = a \\ \int \frac{dw}{m^{n+1}} &= \frac{1}{2} k \left[ 1 - \frac{3h}{\delta R} + \frac{12\sigma^2}{\nu+1 \cdot \nu+2} \right] - \frac{1}{2} k^2 \left( 1 - \frac{3\sigma}{2\nu+1} \right) = b \\ \int \frac{dw}{m^{n+1}} &= \frac{1}{2} k \left[ 1 - \frac{5h}{\delta R} + \frac{30\sigma^2}{\nu+1 \cdot \nu+2} \right] - \frac{1}{2} k^2 \left( 1 - \frac{5\sigma}{2\nu+1} \right) = c \end{aligned}$$

Diese Ausdrücke sind noch mit den Potenzen von  $\mu$  zu multiplizieren, um die Coefficienten der obigen Entwicklung für  $r$

vollständig zu erhalten. Da nun  $\mu = \sqrt[2]{1+k} = 1 + \frac{1}{2} k$  so wird

$$\begin{aligned} \mu^a &= A = \frac{k}{2} \left( 1 - \frac{h}{\delta R} + \frac{2\sigma^2}{\nu+1 \cdot \nu+2} \right) - \frac{1}{2} k^2 \left( 1 + \frac{2h}{\delta R} - \frac{3\sigma}{2\nu+1} \right) \\ \mu^b &= B = \frac{k}{2} \left( 1 - \frac{3h}{\delta R} + \frac{12\sigma^2}{\nu+1 \cdot \nu+2} \right) + \frac{1}{2} k^2 \left( 1 - \frac{16h}{\delta R} + \frac{15\sigma}{2\nu+1} \right) \\ \mu^c &= C = \frac{k}{2} \left( 1 - \frac{5h}{\delta R} + \frac{30\sigma^2}{\nu+1 \cdot \nu+2} \right) + \frac{1}{2} k^2 \left( 3 - \frac{50h}{\delta R} + \frac{35\sigma}{2\nu+1} \right) \end{aligned}$$

§. 5.

Man sieht aber schon auf den ersten Blick, daß die in den vorigen § für  $r$  entwickelte Reihe wenig convergiren werde. Um sie convergent zu machen, setze man  $\frac{t g z}{\sqrt[2]{(1+t g z^2)}}$  statt  $\mu z$ , so wird

$$\mu z = A t g z - \frac{1}{2} (A-B) t g z^3 + \frac{3}{2} (A-2B+C) t g z^5 \text{ u. s. w.}$$

Setzen wir nun hierin statt  $A, B$  und  $C$  die obigen Werthe ein, und vernachlässigen zugleich die Glieder, welche den Factor  $z^5$  oder  $k^3 g$  enthalten, so wird:

$$r = \left( 1 - \frac{h}{\delta R} - \frac{k}{4} \right) \cdot \frac{k}{2} t g z + \left( \frac{h}{\delta R} - \frac{k}{4} \right) \frac{k}{2} t g z^3;$$

Reihenentwicklung für  $(1+k)^{-\frac{1}{2}}$  bis zur zweiten Potenz von  $k$  nehmen. Das fragliche Integral  $V$  stellt sich also nun dar durch

$$\int \left( 1 - \frac{y}{\sigma} \right)^n y dy = -\frac{\sigma^2}{\nu+1 \cdot \nu+2} \text{ von } y=0 \text{ bis } y=\sigma.$$

$$\text{Also } \int \frac{wdy}{x^{n+1}} = -\frac{n h}{\delta R} + \frac{n \cdot n+1}{\nu+1 \cdot \nu+2} \sigma^2.$$

Für das Integral  $\int \frac{w^2 dy}{(1+y)^{n+1}}$  lassen wir ebenfalls die

Nenner weg, und finden  $\int w^2 dy = \frac{-w}{2\nu+1}$ . Demnach ist

$$V = \frac{k}{2} \left[ 1 - \frac{n h}{\delta R} + \frac{n \cdot n+1}{\nu+1 \cdot \nu+2} \sigma^2 \right] - \frac{n+2}{6} k^2 \left( 1 - \frac{n \sigma}{2\nu+1} \right).$$

Hiernach ist also das Integral erst dann von dem Gesetz der Abnahme der Brechungen abhängig, wenn die zweite Potenz von  $\sigma$  zu wirken beginnt.

Setzen wir nun nach und nach  $n=1, n=3, n=5$ , so erhalten wir:

und es ist klar, daß die Refraction, in so weit sie sich durch diese Formel berechnen läßt, von dem Gesetz der Abnahme der Brechungen gar nicht abhängig ist.

$$\begin{aligned} \mu^a &= A = \frac{k}{2} \left( 1 - \frac{h}{\delta R} + \frac{2\sigma^2}{\nu+1 \cdot \nu+2} \right) - \frac{1}{2} k^2 \left( 1 + \frac{2h}{\delta R} - \frac{3\sigma}{2\nu+1} \right) \\ \mu^b &= B = \frac{k}{2} \left( 1 - \frac{3h}{\delta R} + \frac{12\sigma^2}{\nu+1 \cdot \nu+2} \right) + \frac{1}{2} k^2 \left( 1 - \frac{16h}{\delta R} + \frac{15\sigma}{2\nu+1} \right) \\ \mu^c &= C = \frac{k}{2} \left( 1 - \frac{5h}{\delta R} + \frac{30\sigma^2}{\nu+1 \cdot \nu+2} \right) + \frac{1}{2} k^2 \left( 3 - \frac{50h}{\delta R} + \frac{35\sigma}{2\nu+1} \right) \end{aligned}$$

Man sieht aber schon auf den ersten Blick, daß die in den vorigen § für  $r$  entwickelte Reihe wenig convergiren werde. Um sie convergent zu machen, setze man  $\frac{t g z}{\sqrt[2]{(1+t g z^2)}}$  statt  $\mu z$ , so wird

Setzen wir nun hierin statt  $A, B$  und  $C$  die obigen Werthe ein, und vernachlässigen zugleich die Glieder, welche den Factor  $z^5$  oder  $k^3 g$  enthalten, so wird:

$$r = \left( 1 - \frac{h}{\delta R} - \frac{k}{4} \right) \cdot \frac{k}{2} t g z + \left( \frac{h}{\delta R} - \frac{k}{4} \right) \frac{k}{2} t g z^3;$$

Da nun  $R = 6866200$  Meter, so berechnet sich

10\*

$$\frac{h}{\delta R} = 0,0012517(1 + 0,00393 T) = 0,0012517 + 0,00000497 T.$$

Setzt man nun die Dichtigkeit der Luft bei 0° Temperatur und 0,76 Meter Barometerhöhe = 1, und die bei jedem andern Zustand der Atmosphäre stattfindende =  $D$ : so findet sich

$$r = D(60^{\circ}6864 - 0^{\circ}0003 T - 0^{\circ}0089 D) \tan z \\ - D(0^{\circ}0761 + 0^{\circ}0003 T - 0^{\circ}0089 D) \tan z^2.$$

So wäre denn auf diesem Wege eine Formel für die astronomische Strahlenbrechung gefunden, bei der man nicht einmal das Gesetz zu kennen braucht, nach welchem die Brechungen in den höheren Luftschichten abnehmen. Jetzt wollen wir untersuchen, bis zu welcher Grenze genau die Refractionen mit Hilfe derselben sich berechnen lassen. Da wir nun die Glieder mit  $\sigma^2$  vernachlässigt haben, so ist klar, daß die Differenzen von einem Gliede mit  $\sigma^2$  oder mit  $\left(\frac{h}{\delta R}\right)^2$  abhängig seyn müssen, und diese Differenzen werden sich gewiß mittheilt der in §. 4 für  $A$ ,  $B$  und  $C$  aufgestellten Werthe so genau berechnen lassen, als nöthig ist, um die Genauigkeit der Formel für  $r$  zu beurtheilen.

Vernachlässigen wir also die Glieder mit  $\sigma^2$ ,  $k^2\sigma$  und  $k^2\left(\frac{h}{\delta R}\right)$  nicht mehr, so findet sich, daß durch die obige Formel für  $r$  folgender Fehler begangen wird:

$$\frac{1}{2}k \left[ \frac{2\sigma^2}{v+1 \cdot v+2} - \frac{1}{2}k \cdot \left(\frac{h}{\delta R}\right) + \frac{3k\sigma}{8v+4} \right] \tan z \\ + \frac{1}{2}k \left[ \frac{5\sigma^2}{v+1 \cdot v+2} - 2k \cdot \left(\frac{h}{\delta R}\right) + \frac{3k\sigma}{4v+2} \right] \tan z^2 \\ + \frac{1}{2}k \left[ \frac{3\sigma^2}{v+1 \cdot v+2} - \frac{1}{2}k \cdot \left(\frac{h}{\delta R}\right) + \frac{3k\sigma}{8v+4} \right] \tan z^3$$

Wird hier  $n = 5$  gesetzt, welches für  $69^{\circ}8' C$  stattfindet, so wird  $\frac{1}{2}k = 47^{\circ}5'$ , und der in Rede stehende Fehler

$$= 0^{\circ}00014 \tan z + 0^{\circ}00033 \tan z^2 + 0^{\circ}00018 \tan z^3$$

Für diese hohe Temperatur dürfte dieses wohl ein Größtes werden. Wenn nun bei der Berechnung der Refraction ein Fehler von  $0^{\circ}05$  für Nichts geachtet wird, so setze man obigen Ausdruck =  $0^{\circ}05$ , oder  $14 \tan z + 33 \tan z^2 + 18 \tan z^3 = 500$ , woraus  $\tan z = 3,04$  gefunden wird, wozu eine Zenithdistanz  $> 70^{\circ}$  gehört. Also lassen sich durch obige Formel für  $r$  die Refractionen aller Zenithdistanzen bis  $70^{\circ}$  genauer als bis  $0^{\circ}05$  berechnen.

### §. 6.

Somit wären denn die Refractionen bis  $70^{\circ}$  Zenithdistanz von dem Gesetze, nach welchem die Brechungen in den höheren Luftschichten abnehmen, gar nicht abhängig, und das ist in der That für die practische Astronomie ein bedeutender Vortheil, der nicht auseinandergesetzt zu werden braucht. Aber für größere Zenithdistanzen wird die Sache weit schwieriger, weil nun das Gesetz der Abnahme der Brechungen immer stärker

zu wirken anfängt, und seinen Einfluß nicht bloß in einzelnen Secunden, sondern sogar in Minuten äußert. Jene Abnahme der Brechungen hängt auf bekannte Weise von der Abnahme der Dichtigkeit der höheren Luftschichten, und diese wieder von dem Gesetz der Wärmeabnahme ab., welches eben bis jetzt noch nicht entziffert worden ist. Wenn aber auch diese Schwierigkeit hebesigt würde, so würden zwar die Refractionen kleiner Höhen sich berechnen lassen, aber diese Rechnungen würden in der practischen Astronomie dennoch nicht anwendbar seyn, weil sie immer einen ruhigen, geregelten Zustand voraussetzen müßten, der keinesweges stattfindet. In den untersten Luftschichten walten nämlich diejenigen Ursachen, von welchen außer dem Drucke von oben die Dichtigkeit der Luft abhängt, z. B. Temperatur, Feuchtigkeit u. dergl. so gut wie ohne Regel, und diese Regellosigkeit in der Luft, muß auch eine Regellosigkeit in der Strahlenbrechung bewirken, welche um so stärker wird, je größer die Zenithdistanzen werden. Diese Betrachtungen leiten uns zu dem Entschlusse, die Refractionen größerer Zenithdistanzen, als etwa  $86^{\circ}$  aus den Tafeln, welche für die practische Astronomie bestimmt sind, gänzlich auszuschließen, und noch fehlenden Refractionen der Zenithdistanzen von  $70^{\circ}$  bis  $86^{\circ}$  Grad weniger durch ein hypothetisches Gesetz der Abnahme der Brechungen, sondern mehr auf einem empirischen, durch die Theorie gehörig unterstützten Wege zu bestimmen. Zu dem letzteren sind wir um so mehr geneigt, wenn die Behauptung wahr ist, daß für jeden besonderen Beobachtungsort besondere Refractionstafeln entworfen werden müssen.

### §. 7.

Nun wäre denn die Aufgabe, auf welche Weise die Refractionen der Zenithdistanzen von  $70^{\circ}$  bis  $87^{\circ}$  am bequemsten gefunden werden können. Das schwierigste Geschäft ist hier, einen Ausdruck für  $r$  zu gewinnen, welcher die Refraction durch die Zenithdistanz genau genug darstellt, in dem aber auch so wenig wie möglich constante Factoren vorkommen. Aus der Gleichung  $r = \mu \sin z \int \frac{dm}{m^2 x} + \frac{1}{2} \mu^2 \sin^2 z \int \frac{dm}{m^4 x^2} + \dots$  u. s. w. =  $\mu \sin z + \frac{1}{2} \mu^2 b \sin^2 z + \dots$  folgt durch Umkehrung  $\sin z = \frac{r}{\mu a} - \frac{b r^2}{2 \mu a^3} \dots$  Nun ist  $(1-\lambda) \sin z + \frac{1-\lambda^3}{2.3} \sin^3 z + \frac{3(1-\lambda^3)}{2.4.5} \sin^5 z \dots = z - \arcsin \lambda \sin z$ , also wenn wir

statt  $\sin z$  seinen Werth durch  $r$  substituiren.

$$\frac{1-\lambda}{\mu a} r - \left[ \frac{(1-\lambda)b}{2 \mu a^3} - \frac{(1-\lambda^3)}{6 \mu^2 a^3} \right] r^2 = z - \arcsin \lambda \sin z$$

oder etwas anders geschrieben und das Quadrat des kleinen Bruches  $1-\lambda$  weggelassen:

$$\frac{1-\lambda}{\mu a} r - \frac{1-\lambda}{2 \mu^2 a^3} \left[ \frac{b}{a} - 1 - (1-\lambda) \right] r^2 = z - \arcsin \lambda \sin z.$$

Diese Gleichung kommt mit derjenigen überein, welche Laplace für die astronomische Strahlenrechnung gegeben hat, wenn man das Glied mit  $r^2$  weglässt.

Der Werth von  $\lambda$  ist nach dieser Darstellung ganz willkürlich, wenn er nur kleiner als 1 ist; welche Zahl jedoch für  $\lambda$  zu setzen sey, damit jene Gleichung bei ihrer Abkürzung den Refractionen am besten genüge, muß durch die Erfahrung ausgemacht werden.

Setzen wir nun  $\lambda r + \mu r^2 = z - \arcsin \lambda \sin z$ , so sind zwei Constanten durch die Beobachtung zu bestimmen. Da indessen  $\lambda = \frac{1-\lambda}{\mu a}$ , und  $a$  nach Obigem ohne das Gesetz der Abnahme der Brechungen sich genau genug darstellen läßt, so kommt Alles auf die Bestimmung zweier Constanten an. Da die Natur der Sache wird es zulassen, selbst die Zahl  $\frac{\mu^2 b}{a} - 1 = \frac{\mu^2 b - a}{a}$  in dem Coefficienten von  $r^2$  nach den in § 4 für  $a$  und  $b$  gefundenen Formeln zu berechnen, so daß Maß das einzige  $\lambda$  durch Beobachtung zu bestimmen ist. Wenn auch in jener Zahl noch ein Fehler sich vorfindet, so wird dieser doch dadurch größtentheils seinen Einfluß verlieren, daß  $\lambda$  sich ihm anbequemt. Es berechnet sich aber  $\frac{\mu^2 b - a}{a}$  durch

$$-\lambda \left( \frac{h}{dr} - \frac{5\sigma^2}{v+1. v+2} \right) + \frac{1}{4} \lambda^2 \left( 1 - \frac{6h}{dr} + \frac{6\sigma}{2v+1} \right).$$

### §. 8.

Aus  $\frac{1-\lambda}{\mu a} r - \mu r^2 = z - \arcsin \lambda \sin z$  muß  $\lambda$  veränderungsweise bestimmt werden. In den Mailänder Refractionstafeln ist  $\frac{1}{\mu a} = 3560,19$ , und hieraus findet man, wenn man die dortigen Refractionen von  $82^\circ$  und  $87^\circ$  zu Grunde legt, sehr nahe  $\lambda = 0,99741$ ,  $\frac{1-\lambda}{\mu a} = 9,2209$ ,  $\mu = 0,0000005742$ , so für die Refraction die Gleichung

$$9,2209 r - 0,0000005742 r^2 = z - \arcsin 0,99741 \sin z.$$

Ganz vorzüglich wichtig ist hierbei, daß neben dieser Gleichung noch eine andere von derselben Form, nur mit anderen Coefficienten statt findet. Es ist nämlich auch

$$\lambda = 0,999464$$

$$\frac{1-\lambda}{\mu a} = 1,90825$$

$$\mu = 0,0000004705.$$

Die doppelten Werthe ihrer Coefficienten sind der Vortheil der Formel, denn sie prüft sich hierdurch selbst in Bezug auf  $\lambda$  wie weit nämlich die Resultate beider Rechnungen übereinstimmen, in so weit werden die Refractionen in Beziehung auf ihre Zenithdistanzen richtig dargestellt seyn.

### §. 9.

Wie man nun zu verfahren habe, um durch diese Gleichung eine Tabelle aller Refractionen zu entwerfen, ergibt sich ohngefähr aus Folgendem:

Wenn man voraussetzt, daß der Werth von  $\mu^2 b - a$  in §. 7 sich genau genug finden läßt, ohne ihn aus Beobachtungen abzuleiten, so ist bloß eine einzige Beobachtung nöthig um  $\lambda$  zu finden. Diese mag etwa einer Zenithdistanz  $\approx 86^\circ$  angehören. Dann kann man also für denjenigen Zustand der Atmosphäre, bei dem die Beobachtung gemacht worden ist, eine Refractionstafel berechnen, wofür die doppelten Werthe von  $\lambda$  die Prüfung abgeben. So kann man auch bei anderen Zuständen der Atmosphäre Refractionen beobachten, und aus ihnen Tafeln berechnen.

Wir werden weiter unten sehen, daß sich die Refractionen bei gleicher Temperatur und gleicher Zenithdistanz sehr nahe wie die Barometerhöhen verhalten müssen. Demgemäß ist es leicht, die Refractionen auf einen mittleren Stand des Barometers zu bringen.

Sie sind also nur noch auf eine mittlere Temperatur  $= T$  zurückzuführen. Zu diesem Behufe darf man wohl voraussetzen, daß für die Temperatur  $r$ , die Refraction genau genug dargestellt werde durch  $r + r'(T-t) + r''(T-t)^2$ , wo  $r$  die mittlere Refraction bedeutet. Die Werthe von  $r$ ,  $r'$ ,  $r''$  lassen sich aber für jede Zenithdistanz nach dem Vorigen aus drei Beobachtungen, die bei sehr verschiedenen Temperaturen anzustellen sind, finden.

Es darf kaum bemerkt werden, daß die Werthe von  $r$ ,  $r'$ ,  $r''$  durch Vervielfachung der Beobachtungen geprüft und berichtigt werden können.

### §. 10.

Wir wollen nun noch sehen, wie sich auf das Eulersche Gesetz der Wärmeabnahme eine allgemeine Entwicklung der Refraction gründen lasse. Wir haben in Bezug hierauf schon in §. 3 die Formel entwickelt

$$\omega = \left[ \frac{t - \frac{\gamma}{a}}{1 + 2\gamma} \right]^{\frac{n}{1 + 0,00075 \gamma}}$$

wollen aber jetzt die Hypothese lieber so stellen, daß

$$(1 + \gamma)^2 = 1 + 2\sigma \left( t - \omega^{\frac{1}{n}} \right) \text{ sey,}$$

welche Hypothese von der vorigen nicht viel abweicht. In dieser Formel ist nun  $n = \frac{m}{P} \cdot \frac{R\sigma}{1 + aT}$ , wo die Bedeutung der Zeichen aus §. 3 klar ist. Wir wollen hier den Barometercoefficienten  $\frac{P}{m}$  und den Erthaltemesser so wählen, wie sie in Bessels Fund. Astr. für Greenwich angegeben sind. Dann folgt

aus den oben angeführten Datis bei *Gay-Lussac's* Luftfahrt  
 $\sigma = 0,0092572$ ,  $n = \frac{7,408595}{1+0,00375}$ , indem man nämlich die  
 beobachtete Höhe  $y$ , die beobachtete Dichtigkeit  $w$ , und die  
 beobachtete untere Temperatur zu Hülfe nimmt.

Darnach ist nun

$$(1+y)^2 = 1 + 0,0185144 \left( 1 - w \frac{1+0,00375 T}{7,408595} \right)$$

oder für solche Höhen, die auf der Erde zugänglich sind,  
 schlechtweg

$$y = 181617. \left( 1 - w \frac{1+0,00375 T}{7,408595} \right)$$

in Pariser Füssen. Dieses giebt für  $w = 0$  die Höhe der At-  
 mosphäre = 181617 Par. F., nahe so, wie sie von *Zach* be-  
 stimmt.

Nach der letzteren Formel berechnet sich die Höhe des  
 Monte Gregorio auf 5260 F., eben so wie nach den Formeln  
 für barometrische Höhenmessung von *Ramond*. Ferner die  
 Höhe des Pic de Pignoré bei Tarbes auf 8028 F., wofür die  
 trigonometrische Messung 8044 gab.

### §. 11.

Das Differential der Refraction ist  $dr = \frac{\mu \sin s \, dm}{m \sqrt{(m^2 x^2 - \mu^2 \sin^2 s)}}$   
 und da  $m = \sqrt{1 + kDw}$ , wo  $D$  die in §. 4 angegebene Be-

$$r = \frac{1}{2} DC \sin s \left[ \int \frac{n t^{n-1} dt}{\sqrt{(1 + \Theta^2 - t)}} + \frac{1}{2} ns D \sin s \int \frac{t^{n-1} (1 - t^n) dt}{(1 + \Theta^2 - t)^{\frac{3}{2}}} \right. \\ \left. + \frac{1}{2} ns D^2 \sin s \int \frac{t^{n-1} (1 - t^n) dt}{(1 + \Theta^2 - t)^{\frac{5}{2}}} + \frac{1}{8} ns^3 D^3 \sin s \int \frac{t^{n-1} (1 - t^n) dt}{(1 + \Theta^2 - t)^{\frac{7}{2}}} \right]$$

die Integralen von  $t = 0$  bis  $t = 1$  genommen. So viel  
 Glieder werden wohl zur Berechnung aller Refractionen hin-  
 reichend seyn. Zu bemerken ist noch, daß  $C = 892^{\circ}988$   
 $s = 0,031822$ . Die Werthe von  $n$  und  $\sigma$  sind aus dem Vo-  
 rigen bekannt.

### §. 12.

Das schwierigste Geschäft bei der Entwicklung der Re-  
 fraction ist nun die Entwicklung der hier vorkommenden Inte-  
 gralien. Wir wollen zuerst  $\int \frac{n t^{n-1} dt}{\sqrt{(1 + \Theta^2 - t)}} = U$  zu be-  
 stimmen suchen, wofür wir  $\int \frac{(m+1) t^m dt}{\sqrt{(1 + \Theta^2 - t)}}$  setzen wollen.

Wäre  $m$  eine ganze Zahl, so wäre das Integral algebraisch  
 und leicht zu finden. Da aber  $m$  gewöhnlich ein Bruch ist,  
 so müssen wir suchen eine Reihe zu erhalten, welche bei  
 jedem Werthe von  $\Theta$  noch schnell genug convergirt, allein für

$$U = 2[\sqrt{(1 + \Theta^2) + u}]^m [\sqrt{(1 + \Theta^2) - u}]^{m+1} \left[ 1 + \frac{m}{m+2} \frac{\sqrt{(1 + \Theta^2) - u}}{\sqrt{(1 + \Theta^2) + u}} + \frac{m \cdot m - 1}{m + 2 \cdot m + 3} \left( \frac{\sqrt{(1 + \Theta^2) - u}}{\sqrt{(1 + \Theta^2) + u}} \right)^2 \text{ u. s. w.} \right]$$

deutung hat: so ist  $dm = \frac{1}{2} k Dw$ , und unsere Formel ist  
 sich zunächst so dar  $dr = \frac{\frac{1}{2} k \mu D \sin s \, dw}{m^3 \sqrt{(x^2 - \frac{\mu^2}{m^2} \sin^2 s)}}$ .

Für  $m^3$  nehmen wir das arithmetische Mittel aus seinen  
 größten und kleinsten Werthe 1 und  $\mu^2$ , und da  $\mu = \sqrt{(1 + k)}$   
 so erhalten wir einen constanten Factor der Refraction  
 $\frac{k(1 + kD)^{\frac{1}{2}}}{1 + (kD)^{\frac{1}{2}}}$ , wofür sich nahe genug  $\frac{1}{2} k$  setzen läßt.

Den Quotienten  $\frac{\mu^2}{m^3} = \frac{1 + kD}{1 + kDw}$  wollen wir ableiten  
 $= 1 + kD(1 - w)$  setzen. Da nun  $x^2 = (1 + y)^2 = 1 + 2\sigma(1 - w)^{\frac{1}{2}}$   
 so wird:

$$dr = \frac{\frac{1}{2} k D \sin s \, dw}{(1 + \frac{1}{2} k) \sqrt{(\cos^2 s + 2\sigma(1 - w)^{\frac{1}{2}}) - kD(1 - w) \sin^2 s}}$$

Wir setzen nun  $u^{\frac{1}{2}} = t$ , also  $w = t^2$ , und  $dw = 2t^{2-1} dt$   
 Ferner setzen wir  $\frac{\cos s}{\sqrt{(2\sigma)}} = \Theta$ ,  $\frac{1}{2\sigma} = a$ , und  $\frac{k}{(1 + \frac{1}{2} k) \sqrt{(2\sigma)}} = c$

so wird  $dr = \frac{1}{2} DC \sin s \cdot n t^{n-1} dt$   
 $= \sqrt{(1 + \Theta^2 - t D \sin s (1 - t^2))}$

Dieses müssen wir in eine nach den Potenzen von  $t$  geordnet  
 Reihe auflösen, wodurch wir erhalten

diesen Zweck weiß ich nichts weiter anzuführen, als fol-  
 gendes:

Man setze  $1 + \Theta^2 - t = u$ , so ist

$$t = 1 + \Theta^2 - u^{\frac{1}{2}}$$

$$t^{m+1} = (1 + \Theta^2 - u^{\frac{1}{2}})^{m+1}$$

und  $(m+1)t^m dt = -2(m+1)(1 + \Theta^2 - u^{\frac{1}{2}})^m du$ ,  
 also  $U = -2(m+1) \int (1 + \Theta^2 - u^{\frac{1}{2}})^m du$ , welches Integr.  
 von  $u = \Theta$  his  $u = \sqrt{(1 + \Theta^2)}$  genommen werden muß  
 Nun zerfalle man die Potenz  $(1 + \Theta^2 - u^{\frac{1}{2}})^m$  in die Factoren  
 $(\sqrt{(1 + \Theta^2) - u})^m (\sqrt{(1 + \Theta^2) + u})^m$ , so ist  
 $U = -2(m+1) \int (\sqrt{(1 + \Theta^2) - u})^m \cdot (\sqrt{(1 + \Theta^2) + u})^m du$   
 $= +2 \int (\sqrt{(1 + \Theta^2) + u})^m \cdot d(\sqrt{(1 + \Theta^2) - u})^{m+1}$   
 $= 2(\sqrt{(1 + \Theta^2) + u})^m (\sqrt{(1 + \Theta^2) - u})^{m+1}$   
 $- 2m \int (\sqrt{(1 + \Theta^2) - u})^{m-1} (\sqrt{(1 + \Theta^2) + u})^{m-1} du$   
 und wenn man die Entwicklung in der Weise fortmacht, so  
 erhält man die Reihe:

so das Gesetz des Fortganges klar in die Augen springt.  
Nun wird nun 0 für  $u = \sqrt{(1+\Theta^2)}$ ; aber, wenn  $u = \Theta$

$$U = 2(\sqrt{(1+\Theta^2)} - \Theta) \left( 1 + \frac{m}{m+2} \cdot \frac{\sqrt{(1+\Theta^2-\Theta)}}{\sqrt{(1+\Theta^2+\Theta)}} \text{ u. a. w.} \right)$$

Nun ist  $\frac{\sqrt{(1+\Theta^2-\Theta)}}{\sqrt{(1+\Theta^2+\Theta)}} = [\sqrt{(1+\Theta^2-\Theta)}]^2$ , und setzen wir  $\sqrt{(1+\Theta^2)} - \Theta = 3$ ; so wird endlich

$$U = 2[\sqrt{(1+\Theta^2)} - \Theta = 3] \left( 1 + \frac{m}{m+2} 3^2 + \frac{m \cdot m-1}{m+2 \cdot m+3} 3^4 + \frac{m \cdot m-1 \cdot m-2}{m+2 \cdot m+3 \cdot m+4} 3^6 \text{ u. a. w.} \right)$$

Für die hier vorkommende Reihe führen wir die Bezeichnung  $\Psi(m)$  ein, so daß also

$$U = 2[\sqrt{(1+\Theta^2)} - \Theta] \Psi(m) \text{ ist.}$$

Die Reihe  $\Psi(m)$  bricht ab, sobald  $m$  eine ganze Zahl ist, und dann ist das Integral algebraisch. Sie muß immer convergiren, da 3 seiner Natur nach ein lichter Bruch ist; und läßt selbst noch in dem Falle ihre Anwendung zu, wenn 3 seinen größten Werth = 1 annimmt, wegen der raschen Convergenz ihrer Coefficienten. Uebrigens wird  $3^2 < 1$  bei einer Zenithdistanz  $z = 87^\circ$ , woraus die Brauchbarkeit der Reihe noch mehr hervorgeht.

### §. 13.

Das Integral  $\int \frac{t^{n-1}(1-t^n)dt}{(1+\Theta^2-t)^{\frac{1}{2}}} = U'$  stellt sich zu-

$$U' = \frac{1}{2} n \left[ \frac{1}{2} (3n-1) \Psi(3n-3) + (n-1) \Psi(n-3) - 2(2n-1) \Psi(2n-3) \right]$$

$$U' = \frac{1}{2} n \left[ \frac{1}{2} 3(3n-1)(2n-2) \Psi(2n-2) + 3(3n-1)(3n-2) \Psi(3n-4) - (n-1)(n-2) \Psi(n-4) + (4n-1)(4n-2) \Psi(4n-4) \right]$$

Wir erhalten wir für die Refraction die Formel:

$$C \cdot D \sin z [\sqrt{(1+\Theta^2)} - \Theta] \left\{ \begin{aligned} & \Psi(n-1) \\ & + \left\{ \begin{aligned} & \Psi(2n-2) \\ & - \Psi(n-2) \end{aligned} \right\} n \sin^2 z \\ & + \left\{ \begin{aligned} & (3n-1) \Psi(3n-3) \\ & + (n-1) \Psi(n-3) \\ & - 2(2n-1) \Psi(2n-3) \end{aligned} \right\} \frac{1}{2} n \sin^4 z \\ & + \left\{ \begin{aligned} & (4n-1)(4n-2) \Psi(4n-4) \\ & + 3(2n-1)(2n-2) \Psi(4n-2) \\ & - 3(3n-1)(3n-2) \Psi(3n-4) \\ & - (n-1)(n-2) \Psi(n-4) \end{aligned} \right\} \frac{1}{8} n \sin^6 z \end{aligned} \right\} = r$$

u. a. w.

### §. 14.

Die Berechnung der Refraction erfordert demnach hier die Berechnung der Functionen  $\Psi(n-1)$ ,  $\Psi(2n-2)$ ,  $\Psi(3n-3)$ ,  $\Psi(4n-4)$ . Wenn aber diese gefunden sind, so lassen sich die übrigen Functionen  $\Psi(n-2)$  u. a. w. aus ihnen leicht ableiten, als durch Anwendung der Reihe für  $\Psi(m)$  gegeben würde. Man setze

$$\int \frac{t^{m-1} dt}{\sqrt{(1+\Theta^2-t)}} = A \int \frac{(m+1)t^m dt}{\sqrt{(1+\Theta^2-t)}} + B t^m \sqrt{(1+\Theta^2-t)},$$

so, wenn man differentiiert:

$$\frac{t^{m-1} dt}{\sqrt{(1+\Theta^2-t)}} = \frac{A(m+1)t^m dt}{\sqrt{(1+\Theta^2-t)}} + m B t^{m-1} dt \sqrt{(1+\Theta^2-t)} - \frac{1}{2} B t^m dt (1+\Theta^2-t)^{-\frac{1}{2}}$$

gesetzt wird, so erhält man, da alsdann

$$(\sqrt{(1+\Theta^2)} - u)^m \cdot (\sqrt{(1+\Theta^2)} + u)^m = (1+\Theta^2 - u^2)^m = 1:$$

nächst dar durch

$$- \frac{1}{2} \int \frac{d(1-t^2)}{dt} \cdot \frac{dt}{(1+\Theta^2-t)^{\frac{1}{2}}} = - \int \frac{d(1-t^2)^{\frac{1}{2}}}{dt} \cdot d(1+\Theta^2-t)^{-\frac{1}{2}} \\ = \frac{d(1-t^2)^{\frac{1}{2}}}{dt} (1+\Theta^2-t)^{-\frac{1}{2}} + \int \frac{d^2(1-t^2)}{dt^2} \cdot \frac{dt}{\sqrt{(1+\Theta^2-t)}}.$$

Weil aber der Theil ohne Integralzeichen sowohl für  $t=0$ , als auch für  $t=1$  verschwindet: so kann man auch bloß

$$\text{setzen: } U' = \int \frac{d^2(1-t^2)}{dt^2} \cdot \frac{dt}{\sqrt{(1+\Theta^2-t)}}.$$

Nun ist  $(1-t^2)^2 = 1 - 2t^2 + t^4$ , also  $\frac{d^2(1-t^2)}{dt^2} =$

$$= 2n(2n-1)t^{2n-2} - (n-1)t^{n-2}, \text{ und hieraus folgt sogleich:}$$

$$U' = 4n \left[ \frac{1}{2} \Psi(2n-2) - \Psi(n-2) \right].$$

Ganz auf dieselbe Weise findet man die folgenden Integrale:

$$\begin{aligned} & \Psi(n-1) \\ & + \left\{ \begin{aligned} & \Psi(2n-2) \\ & - \Psi(n-2) \end{aligned} \right\} n \sin^2 z \\ & + \left\{ \begin{aligned} & (3n-1) \Psi(3n-3) \\ & + (n-1) \Psi(n-3) \\ & - 2(2n-1) \Psi(2n-3) \end{aligned} \right\} \frac{1}{2} n \sin^4 z \\ & + \left\{ \begin{aligned} & (4n-1)(4n-2) \Psi(4n-4) \\ & + 3(2n-1)(2n-2) \Psi(4n-2) \\ & - 3(3n-1)(3n-2) \Psi(3n-4) \\ & - (n-1)(n-2) \Psi(n-4) \end{aligned} \right\} \frac{1}{8} n \sin^6 z \end{aligned}$$

oder

$$m = \left( (m+1)A - \frac{2m+1}{2} B \right) t + m B (1+\Theta^2).$$

$$\text{Hieraus folgt } B = \frac{1}{1+\Theta^2}, \text{ und } A = \frac{2m+1}{2m+2} \cdot \frac{1}{1+\Theta^2}.$$

Folglich ist:

$$\int \frac{t^{m-1} dt}{\sqrt{(1+\Theta^2-t)}} = \frac{2m+1}{(2m+2)(1+\Theta^2)} \int \frac{(m+1)t^m dt}{\sqrt{(1+\Theta^2-t)}} + \frac{t^m \sqrt{(1+\Theta^2-t)}}{1+\Theta^2}.$$

Dieses gibt von  $t=0$  bis  $t=1$  genommen

$$\Psi(n-1) = \frac{2m+1}{(2m+2) \cdot (1+\Theta^2)} \Psi(m) + \frac{\Theta}{2(1+\Theta^2) \sqrt{(1+\Theta^2-\Theta^2)}}.$$

## §. 15.

Man wird nicht erwarten, daß die Formel des §. 13 durchaus mit den Beobachtungen übereinstimmen werde, aber so viel ist doch gewiß, daß man mit den Beobachtungen übereinstimmende Resultate erhalten werde, die Refractionen am Horizonte ausgenommen, wenn man die Coefficienten aus Beobachtungen der Refractionen selbst bestimmen will. Um doch wenigstens ein Beispiel zu geben, so wollen wir die Rechnung mit einer in *Bessels* Fund. Astr. angeführten Beobachtung *Struve's* in Lappland vergleichen. Dieser beobachtete am 13<sup>ten</sup> Dec. 1802 die Zenithdistanz des oberen Sonnenrandes =  $29^{\circ} 43' 45''$  und die Refraction =  $37' 47''$  bei einer Temperatur =  $-13.2^{\circ}$  C. und einer Barometerhöhe von 0,73156 Metern. Daraus berechnet sich die Refraction =  $37' 51''$ , welches von der Beobachtung nur  $3'' 3$  abweicht.

Aber solche Uebereinstimmung findet nicht allenthalben statt, namentlich erhält man weit größere Differenzen, wenn man die Rechnung mit den in *Bessels* Fund. Astr. angeführten Beob-

achtungen *Bradley's* vergleicht, wo die berechneten Refractionen sämtlich zu groß ausfallen. Ein Theil des Fehlers könnte hier auf den Werth von  $\epsilon$  fallen, welcher in *Bessels* angeführter Schrift ohngefähr um  $1''$  kleiner angegeben wird als der oben angeführte. Da indessen hierdurch der Fehler nicht vollkommen gehoben wird, so muß zu einer Aenderung der Coefficienten in der Formel §. 13 geschritten werden, welches Geschäft mit vieler Mühe verknüpft ist, die ich nicht über mich nehmen konnte, da mir der nöthige Beistand mangelte. Aus diesem Grund habe ich es auch unterlassen, Refractionstafeln zu berechnen, zumal da ich hiernüt nichts über die *Besselsche* Arbeit hinaus gewinnen könnte.

Was aber jetzt in Bezug auf die Theorie der astronomischen Strahlenbrechung geleistet worden ist, läßt, so wie auch die *Besselschen* Refractionstafeln, in der practischen Astronomie zur Anwendung des etwa  $85^{\circ}$  oder  $86^{\circ}$  scheinbarer Zenithdistanz zu. Dieses glaube ich durch die §§. 4 bis 9 auf den einfachsten und sichersten Wege erreicht zu haben.

Weimar 1837.

Fr. W. Barys.

## Ueber die Bahn des Doppelsterns 3062 Struve.

(Im Sternbilde der Cassiopeja,  $\alpha = 23^{\circ} 57'$ ,  $\delta = +57^{\circ} 28'$ .)

Dieses telescopische Sternpaar hat seit *Herschel* bereits mehr als einen halben Umlauf vollendet und ist deshalb wohl geeignet, die noch sehr geringe Zahl derjenigen Sternsysteme, deren Elemente uns einigermaßen bekannt sind, zu vermehren. Da die Zahl der vorhandenen Beobachtungen kaum größer ist als die, welche die Theorie absolut erfordert, so konnte die Darstellung derselben verhältnißmäßig sehr genau sein, ohne daß deshalb auf einen bedeutenden Grad der Sicherheit in den Elementen geschlossen werden kann. Diese Beobachtungen sind:

T	P	d	
1782,65	$320^{\circ} 42'$		<i>Herschel</i> I
1823,81	(36 42)		<i>Struve</i> im 5f. Fernrohr
1831,71	87 30	0'820	<i>Struve</i> im grofs. Refractor.
1833,71	108 34	0,557	—
1835,66	132 37	0,410	—
1836,61	146 23	0,466	—

Die nur auf Schätzung beruhende Position von 1823,81 ist bei der definitiven Rechnung nicht mit hinzugezogen worden. Die Elemente sind die folgenden:

Halbe grofse Axe	= $a = 1'0033$
Excentricität	= $e = 0,53169 = \sin 32^{\circ} 7' 2''$
Abst. des Perihels vom $\Omega$	= $\lambda = 36^{\circ} 31' 2''$
Neigung	= $\gamma = 25^{\circ} 31,6'$
Aufsteigender Knoten	= $\Omega = 125^{\circ} 10,0'$
Umlaufzeit	= $54,5140$ Jahre.
Zeit des Perihels	= $1837,427$ .

Damit wird erhalten:

T	P	d	$\Delta p$	$\Delta \delta$
1782,65	$320^{\circ} 16,9'$	1'4187	+ 23'	
1823,81	40 34,8	0,9017	(-231,8)	
1831,71	88 47,0	0,6114	- 77,0	+ 0'208

T	P	d	$\Delta p$	$\Delta \delta$
1833,71	$108^{\circ} 34,0'$	0'5451	0'0	+ 0'011
1835,66	132 37,1	0,4981	- 0,1	- 0,078
1836,61	146 21,7	0,4672	+ 1,3	- 0,001

Da möglicherweise zwischen 1782 und 1823 nicht  $76^{\circ}$  sondern  $360^{\circ} + 76^{\circ}$  zurückgelegt seyn konnten, so versuche ich auch diese Hypothese. Hier ergab sich aber, wie zu erwarten war, ein Perihel auf der entgegengesetzten Seite, und für die beiden erwähnten Epochen so geringe Distanzen, daß weder *Herschel* (der doch die Distanz = 1 Diameter setzt) noch *Struve* im 5f. Fernrohr ihn hätten doppelt erblicken können.

Wir kennen also jetzt einen Doppelstern, der bei einer Umlaufzeit wie Uranus eine mittlere Distanz von nur  $1''$  zeigt, und bei dem das Product  $\pi \sqrt{M}$ , oder die mit der Cubikwurzel der Masse multiplicirte Parallaxe  $0'0521$  beträgt.

1838,0	$168^{\circ} 8,2'$	0'449 (Minimum)
5.	$184^{\circ} 27,2'$	0,452
1839,0	$200^{\circ} 14,3'$	0,463
5.	$214^{\circ} 38,5'$	0,484
1840,0	$227^{\circ} 14,4'$	0,520
5.	$237^{\circ} 59,1'$	0,565
1841,0	$247^{\circ} 6,3'$	0,620
5.	$254^{\circ} 48,0'$	0,676
1842,0	$261^{\circ} 28,2'$	0,729
5.	$267^{\circ} 12,9'$	0,781
1843,0	$272^{\circ} 15,3'$	0,831

Bei dieser Gelegenheit bemerke ich noch, daß die Umlaufzeit von  $\gamma$  Urtina's nicht, wie man bisher angenommen, 5 bis 6 Jahrhunderte, sondern höchstens 180 Jahr ist. Das Nähere darüber halte ich mir vor, bis eine neue Reihe von Beobachtungen, die im Frühjahr 1838 zu erwarten sind, ein noch fehlendes Beobachtungsdatum gegeben haben wird.

Mädler.

# ASTRONOMISCHE NACHRICHTEN.

No. 345.

Ueber ein auf der Dorpater Sternwarte befindliches, mit einem Vertikalkreise versehenes tragbares Durchgangsinstrument aus der mechanischen Werkstätte von Repsold in Hamburg.

Von Sr. Excellenz dem Herrn Staatsrath und Ritter v. Struve.

(Beschluß.)

Durch Aufstellung der Mikroskope II und IV in Entfernungen von 18° von I und III wurden nun zuerst für den von 315° bis 45° gebenden Quadranten die relativen Verbesserungen für 333°, 351° etc., die ich mit  $\delta x$  bezeichne, so ermittelt, als wenn für die Endpunkte des Quadranten keine Verbesserungen statt finden. (Da aber  $\delta 45^\circ - \delta 315^\circ = -1''.44$ , so sind zu diesen  $\delta x$  für diesen Quadranten noch die Reductionen  $-1''.44$ ;  $-2''.1''44$  etc. hinzugefügt, um die wahren Correctionen  $\delta x$  zu geben. Eben so wurde mit den 3 übrigen Quadranten verfahren. Die erhaltenen Größen sind folgende:

Quadrant von 315° bis 45°.

$x = 333^\circ$	$x = 351^\circ$	$x = 9^\circ$	$x = 27^\circ$
$\delta x = +0.38$	$+0.48$	$+0.70$	$+0.15$
$+0.64$	$+1.23$	$+0.92$	$+0.11$
$+0.85$	$+1.08$	$+1.10$	$+0.26$
$+0.16$	$+0.35$	$+0.49$	$-0.10$
Mittel $\delta x = +0.51$	$+0.79$	$+0.80$	$+0.05$
Reduction $= -0.29$	$-0.58$	$-0.87$	$-1.16$
$\delta x = +0.22$	$+0.21$	$+0.07$	$-1.11$

Quadrant von 45° bis 135°.

$x = 63^\circ$	$x = 81^\circ$	$x = 99^\circ$	$x = 117^\circ$
$\delta x = -0.37$	$-0.69$	$-1.06$	$-1.38$
$-0.62$	$-0.60$	$-1.14$	$-1.23$
$-0.31$	$-0.57$	$-0.61$	$-1.30$
$-0.48$	$-0.59$	$-0.75$	$-1.49$
Mittel $\delta x = -0.45$	$-0.66$	$-0.89$	$-1.35$
Reduction $= -1.15$	$-0.86$	$-0.57$	$-0.29$
$\delta x = -1.60$	$-1.52$	$-1.46$	$-1.64$

Quadrant von 0° bis 90°.

$x = 18^\circ$	$x = 36^\circ$	$x = 54^\circ$	$x = 72^\circ$
$\delta x = -0.68$	$+0.11$	$+0.28$	$-0.37$
$-0.33$	$-0.46$	$-0.64$	$+0.28$
$-0.80$	$-1.02$	$-0.78$	$-0.95$
$-1.27$	$-0.64$	$-0.36$	$-0.26$
Mittel $\delta x = -0.77$	$-0.50$	$-0.37$	$-0.32$
Reduction $= -0.29$	$-0.53$	$-0.81$	$-1.07$
$\delta x = -1.06$	$-1.05$	$-1.18$	$-1.39$

Quadrant von 90° bis 180°

$x = 108^\circ$	$x = 126^\circ$	$x = 144^\circ$	$x = 162^\circ$
$\delta x = +0.31$	$-0.02$	$+0.60$	$+0.95$
$+0.27$	$+0.09$	$+0.09$	$+0.29$
$-0.08$	$-0.34$	$+0.40$	$+0.57$
$+0.27$	$+0.22$	$+0.42$	$+0.62$
Mittel $\delta x = +0.19$	$-0.01$	$+0.38$	$+0.61$
Reduction $= -1.08$	$-0.52$	$-0.56$	$-0.30$
$\delta x = -0.89$	$-0.53$	$-0.18$	$+0.31$

Wenn wir nun aus den  $\Delta x$ , welche die erste Untersuchung gab, durch Vereinigung der um 180° absteigenden Größen zu arithmetischen Mitteln übergehen, zu denen die aus  $\Delta 315^\circ = 0^\circ$  und  $\Delta 135^\circ = -6''.04$  folgende Constante  $+3''.02$  hinzuzufügen ist, so erhalten wir eine erste Reihe der mittleren Correctionen für Ablesungen an zwei entgegengesetzten Mikroskopen, oder der  $\delta x$ . Aus dieser eben dargestellten Untersuchung ergibt sich die 2<sup>e</sup> Reihe derselben. Ich stelle beide hier neben einander, so wie die zur Beurtheilung ihrer Zuverlässigkeit dienenden Unterschiede.

$x =$	$x =$	$\delta x$ nach der ersten Unter-suchung.	$\delta x$ nach der 2 <sup>ten</sup> Unter-suchung.	Unterschiede der beiden Resultate.
315°	135°	0.00	0.00	
324	144	-0.67	-0.18	-0.49
333	153	-0.24	+0.22	-0.46
342	162	+0.55	+0.31	+0.24
351	171	+0.17	+0.21	-0.04
0	180	+0.07	-0.03	+0.10
9	189	+0.14	-0.07	+0.21
18	198	-1.27	-1.06	-0.21
27	207	-1.23	-1.11	-0.12
36	216	-1.58	-1.05	-0.53
45	225	-1.32	-1.44	+0.12
54	234	-1.86	-1.18	-0.68
63	243	-1.31	-1.60	+0.29
72	252	-1.76	-1.39	-0.37
81	261	-1.49	-1.52	+0.03
90	270	-1.36	-1.34	-0.02
99	279	-1.35	-1.46	+0.11
108	288	-1.17	-0.89	-0.28
117	297	-1.62	-1.64	+0.02
126	306	-1.30	-0.83	-0.47
134 56'	314 66'	-1.22		



Die Uebereinstimmung der beiden Reihen ist eine gewiss sehr befriedigende vorzüglich in den Octanten. Die Summe der Quadrate aller Unterschiede ist 1,9153, woraus sich unter Annahme eines gleichen Gewichts beider Reihen der wahrscheinliche Fehler der Bestimmungen jeder Reihe  $0^{\circ}161$  ergäbe. Da aber auf jeden Fall der 2<sup>te</sup> Reihe der Vorzug gebührt, indem sie auf mehr Theilstrichen und Ablesungen beruht, auch mit größerer Sorgfalt angestellt ist, so vereinige ich beide Reihen zu einem Endresultate unter Annahme eines doppelten Gewichts für die 2<sup>te</sup> Reihe, und erhalte nun folgende Endwerthe der  $\delta x$ , deren wahrscheinliche Fehler  $0^{\circ}076$  betragen:

Endwerthe der mittleren Correctionen  $\delta x$  für 2 um  $180^{\circ}$  von einander absteckende Punkte.

$x$	$\delta x$	$x$	$\delta x$		
315°	135°	0°00	54°	234°	-1°41
324	144	-0,34	63	243	-1,30
333	153	+0,07	72	252	-1,51
342	162	+0,39	81	261	-1,51
351	171	+0,20	90	270	-1,35
0	180	0,00	99	279	-1,42
9	189	0,00	108	288	-0,98
18	198	-1,13	117	297	-1,63
27	207	-1,15	126	306	-0,99
36	216	-1,23	134 56'	314 56'	-1,22
45	225	-1,40			

Vereinigen wir endlich nun noch die um  $90^{\circ}$  von einander absteckenden  $\delta x$ , so ergeben sich uns nach Abzug der Constanten  $0^{\circ}70$  diejenigen Correctionen  $\xi$ , welche für das Mittel aus den Ablesungen an 4 Mikroskopen aus unserer Untersuchung unmittelbar hervorgehen, wie folgt:

$x$	$\delta x$	$x$	$\delta x$	$x$	$\delta x$	Correction $\xi$ beobachtet.
0°	315°	45°	135°	225°	0°00	0°00
9	324	54	144	234	-0,17	-0,17
18	333	63	153	243	-0,01	-0,01
27	342	72	162	252	+0,14	+0,14
36	351	81	171	261	+0,05	+0,05
45	0	90	180	270	+0,03	+0,03
54	9	99	189	279	-0,01	-0,01
63	18	108	198	288	-0,35	-0,35
72	27	117	207	297	-0,69	-0,69
81	36	126	216	306	-0,41	-0,41
89 56'	44 56'	134 56'	224 56'	314 56'	-0,61	-0,61

Der analytische Ausdruck dieser Correction findet sich, wenn wir nun mit  $u$  den Abstand eines jeden  $x$  von dem Anfangspunkt seines Quadranten bezeichnen oder respective von  $315^{\circ}$ ,  $45^{\circ}$ ,  $135^{\circ}$  und  $225^{\circ}$ :

$$(\odot) \dots \xi = +0^{\circ}128 - \frac{m}{90^{\circ}} \cdot 0^{\circ}612 + 0^{\circ}207 \sin(4u + 70^{\circ}51')$$

Die Uebereinstimmung dieser Formel mit den beobachteten  $\xi$  ist so genau, daß die Unterschiede sich so darstellen:

$$+0^{\circ}07; +0^{\circ}12; +0^{\circ}02; +0^{\circ}07; -0^{\circ}03; \\ +0,01; +0,11; -0,05; -0,20; +0,21;$$

woraus sich der wahrscheinliche Fehler jedes beobachteten gleich  $0^{\circ}111$  ergibt. Die Werthe der Formel geben folgend Tafel, welche als die an die Ablesungen im Mittel aus 4 Mikroskopen anzubringenden Correctionen anzusehen sind, mit zur Constante  $+0^{\circ}068$  hinzugefügt ist, um für die respective Anfangspunkte des Quadranten Null zu erhalten.

Tafel der an das Mittel der Ablesungen von 4 Mikroskopen anzubringenden Verbesserungen nach Formel (○).

$x$	$\delta x$	$\xi$	Correction	Wahrsch. Fehler.
315°	45°	135°	225°	0°00
324	54	144	234	+0,02
333	63	153	243	+0,08
342	72	162	252	+0,14
351	81	171	261	+0,15
0	90	180	270	+0,09
9	99	189	279	-0,05
18	108	198	288	-0,24
27	117	207	297	-0,42
36	126	216	306	-0,55
44 56'	134 56'	224 56'	314 56'	-0,61

Der Ort des Zeniths liegt auf unserem Instrumente  $n$  nahe bei  $180^{\circ}$  und ist  $179^{\circ}48'$ . Hiernit ergeben sich die an die durch unser Instrument aus Beobachtung in beiden Lagen gezogenen Zenithdistanzen  $= z$  anzubringenden  $\delta z$  theilungsfehlern herrührenden Verbesserungen  $= \zeta$ , die hier folgen lassen:

$z$	$\delta z$	W. F.
0° 0'	0°00	0°025
9 0	-0,10	0,026
18 0	-0,19	0,026
27 0	-0,25	0,026
36 0	-0,29	0,026
44 48	-0,31	0,008
44 52	0,00	0,000
45 8	0,00	0,000
45 12	+0,31	0,008
54 0	+0,29	0,026
63 0	+0,25	0,026
72 0	+0,19	0,026
81 0	+0,10	0,025
90 0	0,00	0,026

Das Resultat dieser Untersuchung ist ungefähr folgendes:

Der Vertikalkreis unsers Instrumentes von 13 $\frac{1}{2}$  Zoll Durchmesser ist so genau getheilt, daß die größten Correctionen, welche an die bei Ablesungen der 4 Mikroskope in beiden Lagen gemessenen Zenithdistanzen anzubringen sind, nur  $\pm 0^{\circ}31$  betragen. Die Feinheit und Richtigkeit der Theilung ist aber eine so ausgezeichnete, daß diese zwischen 0 und  $\pm 0^{\circ}31$  liegenden anzubringenden Verbesserungen mit einer Sicherheit erkannt werden, die über deren Anwendbarkeit gar keinen Zweifel läßt.

*Ugt. Der wichtigste Fehler der Theilung ist der Sprung zwischen dem letzten und ersten Striche, der 3'45 beträgt. Wäre er nicht berücksichtigt, so würde sein Einfluß zwar durch den Gebrauch von 4 Mikroskopen auf 0'61 und bei den Zenithdistanzen bis auf 0'305 reducirt werden. Erkennt wird dieser Sprung völlig unschädlich.*

Bei den Instrumenten deutscher Künstler werden die Theilungen von den mit hoher Vollendung gearbeiteten Theilungsscheiben übertragen. Die bisher an mehreren Instrumenten aus München und an einem aus Hamburg angestellten Untersuchungen haben die Genauigkeit dieser Abtragungen erkennen lassen. Für alle tragbaren Instrumente dieser Künstler, die so eingerichtet sind, daß die Winkelmessung von verschiedenen Punkten aus beginnen kann, ist jede Prüfung der Theilung überflüssig. Soll aber ein Instrument, das seiner Bestimmung und seinem Bau nach dieser Einrichtung entbehren muß, soll namentlich ein größeres Meridianinstrument genaue Declinationen liefern, so muß der Astronom die Theilung am zusammengepackten und aufgestellten Instrumente untersuchen. Die Ergebnisse dieser Untersuchung werden aber nur dann völlige Zuverlässigkeit haben, wenn das Gesetz der Continuität nirgends unterbrochen ist, oder wenn der Astronom den Punkt, wo die Punkte kennt, wo Sprünge eingetreten sind. Er muß also erstens wissen, wo der Künstler zu theilen angefangen hat. Es ist aber nicht möglich, daß alle Striche in einem regelmäßig fortschreitenden Zuge copirt werden. Es werden Pausen gemacht. Bei diesen Pausen können durch Temperaturveränderungen Sprünge entstehen. Die Aufsuchung dieser Sprünge ist bei der großen Zahl der Intervalle für den Astronom unmöglich. Es muß daher zweitens jeder Strich, bei welchem der regelmäßige Fortgang der Theilung unterbrochen wurde, angegeben werden. Es es scheint am besten, wenn bei der Abtragung nur nach bestimmten Intervallen, z. B. nach dem Dekanten pausirt werde, und der Künstler hat für den Astronomen eine vollständige Geschichte der Theilung des Instrumentes zu geben, in welcher die Zeiten des Anfangs, jedes Abtragens und Wiederanfangs und andere Umstände, deren Kenntniss vom Wichtigkeit seyn kann, verzeichnet sind.

Endlich bliebe, nm Allen, was die Ablesungen der Theilung an unserm Instrumente betrifft, geprüft zu haben, noch zu untersuchen, mit welcher Sicherheit die Micrometerschrauben das Intervall von 4 Minuten zwischen den benachbarten Strichen eintheilen im Stande sind. Ich gestehe, daß es mir zweifelhaft ist, daß bei einem Instrumente von so kleinem Radius, wie das vorliegende, die Schraube eine Regelmäßigkeit hat, die derjenigen Genauigkeit entspricht, mit der die Theilungsscheibe erkannt sind und die einzelnen Einstellungen ausgeführt werden können. Hier haben größere Instrumente einen ent-

schiedenen Vorzug vor den kleinern, wenn dieselbe Genauigkeit der Schraube vorausgesetzt wird. Constante Fehler werden aber aus diesen Unvollkommenheiten der Schraube nicht hervorgehen, wenn bei Meridianinstrumenten der Ort des Zeniths oder des Pols von Zeit zu Zeit innerhalb der Grenze eines Intervalls zweier Theilstriche durch Verstellung der Wasserwaage verändert wird. Bei dem Gebrauch unseres Instruments eliminieren sie sich durch die Aenderungen der Zenithdistanzen in der Nähe des Meridians, und in dieser Hinsicht ist es vortheilhaft, die Beobachtungen so weit vom Meridian abzubringen, daß diese Aenderungen sich bis auf einige Minuten, d. h. bis zum Betrage eines Intervalls belaufen. Es versteht sich von selbst, daß die mittlern Werthe der von der Micrometerschraube ausgehenden Theile, die etwas von Bogensekunden abweichen, für alle Schrauben auf ähnliche Weise ermittelt werden müssen, wie es fürs Mikroskop I geschehen ist, für welches wir oben  $237',67 = 240''$  oder  $\epsilon = 1''0098$  gefunden haben; und daß bei jeder Einstellung die letzte Bewegung eine positive seyn muß, um den Einfluß des todtten Ganges zu vermeiden.

Der Erfolg der mit einem Instrumente angestellten astronomischen Beobachtungen läßt aber erst über die Vollkommenheit desselben ein endliches Urtheil fallen. Durch andere Arbeiten vielfach in Anspruch genommen, kann ich jetzt nur eine geringe Zahl von Beobachtungen vorlegen, die zur Bestimmung der Polhöhe von Dorpat aus den Zenithdistanzen der Polarsterne und Fundamentalsterne zu wenig Tagen gemacht sind, Beobachtungen, zu denen ich vorzüglich durch einen Besuch veranlaßt wurde, mit dem St. Exzellenz der Admiral von Greig, Präsident der Commission zur Begründung der Sternwarte in Pulkowa, die Dorpater Sternwarte im Augustmonat dieses Jahres erfreute, indem der Herr Admiral das ausgezeichnete Instrument durch eigene Beobachtungen näher kennen zu lernen wünschte.

Die nachfolgenden einzelnen Polhöhen sind aus je 4 Einstellungen nach jedem Sterne abgeleitet worden, von denen 2 bei Kreis links, 2 bei Kreis rechts gemacht sind, die zusammen einen Satz bilden. Ich stelle sie hier der Zeitfolge nach zusammen und bemerke, daß bei denselben die kleinen oben gefundenen Correctionen der Theilung schon angebracht sind und daß ich die Declinationen der Polarsterne unmittelbar aus der Berliner Ephemeride nahm, an die Declinationen der Fundamentalsterne aber die kleinen Veränderungen anbrachte, welche die Dorpater Beobachtungen nach Obs. Dorp. Vol. VI fordern, nemlich:

für Capella	+ 0'18	für Procyon	+ 1'12
„ Orion.	+ 0'37	„ Arcturus	+ 0'09
„ Sirius	+ 0'26	„ „ Aquilas	+ 0'87.

## Polhöhen an Repsold's Kreise.

Datum.	Stern.	Polhöhe.	Beobachter.
1) 1836 Juli 29	Polaris 14 <sup>h</sup> 15'	58° 22' 47,7	Struve.
2)	—	47,6	—
3) 1837 Aug. 11	Polaris 14 <sup>h</sup> 25'	47,7	—
4)	—	47,3	—
5)	—	47,2	—
6)	—	46,9	—
7) Aug. 13	Polaris 15 <sup>h</sup> 50'	48,6	Adm. Greig.
8)	—	48,2	—
9) Aug. 16	Capella unt. Pol.	50,2	Struve.
10)	δ Ursae min.	47,0	—
11)	—	49,1	—
12)	γ Aquilae	47,0	—
13) Aug. 17	Polaris 18 <sup>h</sup> 10'	49,1	O. Struve.
14)	Sirius	45,1	Struve.
15)	Polaris 7 <sup>h</sup> 35'	46,9	O. Struve.
16)	—	46,3	—
17) Aug. 18	Arcturus	45,6	—
18)	—	46,0	—
19)	Capella unt. Pol.	47,7	Struve.
20)	—	49,1	—
21)	α Orionis	44,7	—
22)	Sirius	44,6	—
23)	—	45,2	—
24)	Procyon	45,8	—

Ehe wir aus diesen Angaben ein Endresultat ziehen, wollen wir noch ein Paar Bemerkungen vorangehen lassen.

1) Die Uebereinstimmung der gedoppelten in einem Satze vorkommenden gleichartigen Beobachtungen läßt uns, nachdem sie auf den Meridian, reducirt sind, die Sicherheit der einzelnen Einstellung beurtheilen. Um ein Beispiel zu geben, stelle ich hier die 8 von dem Herrn Admiral gemachten Einstellungen, die oben zu 2 Resultaten vereinigt sind, zusammen.

## Meridianort des Polarsterns in der untern Culmination.

Kreis links: 212° 56' 53,7	Kreis rechts: 146° 36' 21,4
53,5	20,7
55,5	21,7
53,0	19,7
Mittel 212° 56' 53,92	146° 36' 20,87

Hieraus:

Ort des Zeniths: 179° 46' 37,40

Meridianzenithdistanz: 33 10 16,52

Aus allen 96 bei den obigen Polhöhen gemachten Einstellungen paarweise verglichen, ergibt sich:

der wahrscheinl. Fehler einer einmaligen Einstellung = 0,66.

In diesem Fehler ist der Einfluß des Ziels auf den Stern, der Ablesung fürs Mittel der 4 Mikroskope, der Unvollkommenheit der Schrauben des Mikrometers und des Mittels der

Ablesung beider Wasserwagen enthalten. Worans sich ergibt, daß die einzelnen Elemente mit merkwürdiger Genauigkeit erkannt werden müssen, da diese Sicherheit selbst einem großen Meridianinstrumente genügen würde.

2) Bei jeder einzelnen Beobachtung sind von mir bei Wasserwagen des Mikroskopenträgers abgelesen worden. Die obere ist auf stählernen Ringen umzustellen, ich brauche aber ohne Verstellung. Sind  $O$  und  $U$  die nach jeder Wasserwagen anzubringenden Correctionen der Ablesung, so wird das Mittel  $\frac{O+U}{2}$  gebraucht und  $O-U$  muß eine Constante seyn wenn keine relative Verstellung Statt findet. Ich gebe hier  $O-U$  bei der allerersten gedoppelten Beobachtungsreihe:

	Diff. v. Mittel.
$O = U + 2^2$	+ 0,2
	+ 2,6
	+ 2,0
	+ 1,8
	+ 2,2
	+ 2,0
	+ 1,4
	+ 1,9

Mittel  $O = U + 2^2 01$

Hienach würde folgen, daß für  $\frac{O+U}{2}$  der wahrscheinl. Fehler nur 0,12 wäre. Auf jeden Fall ist die Genauigkeit des Mittels beider Wasserwagen eine völlig ausreichende, obwohl sie bei ihrer kleinen Dimension von 4 Zoll nicht zu den empfindlichsten gehören. Ich finde den Bogenwerth einer Theilung von einer Linie = 4'0 und 2'4.

3) Vom 11<sup>ten</sup> bis auf den 13<sup>ten</sup> August war am Instrumente in Bezug auf die Mikroskope und die Wasserwagen nichts geändert worden. Ebenso vom 17<sup>ten</sup> bis zum 18<sup>ten</sup> August in einem solchen Falle müssen die Oerter des Zeniths constant seyn auch bei verschiedenen Sternen, wenn nemlich das Instrument in der Verbindung seiner wirkenden Theile fest ist. Ich gebe hier die zusammengehörigen Oerter des Zeniths:

11<sup>ten</sup> und 13<sup>ten</sup> August.

	Diff. v. Mittel.
Aug. 11. Polaris 269° 46' 37,6	+ 0,8
	36,8
	35,8
	36,3
Aug. 13. —	37,1
	37,3
Mittel 269° 46' 36,82	+ 0,5

17<sup>ten</sup> und 18<sup>ten</sup> August.

		Diff. v. Mittel.
Aug. 17.	Sirius 269° 47' 19" 5	+ 1,0
	Polaris	— 0,1
		18,4
		18,1
		— 0,4
Aug. 18.	Arcturus	+ 0,9
		19,4
		+ 0,6
	Capella unt. Pol	19,1
		18,5
		0,0
		+ 1,0
	$\alpha$ Orionis	19,5
	Sirius	18,0
		— 0,5
		— 2,0
		16,5
		— 0,9
	Procyon	17,6
		18,9
		+ 0,4
	Mittel 269° 47' 18" 50	

Nur bei dem so südlichen und seines Glanzes wegen so schwierigen Sirius findet einmal eine Abweichung von 2° vom Mittel statt, sonst kommt keine größer als 1° vor. Es wäre interessant zu beobachten, wie sich der Ort des Zeniths in längeren Perioden hält.

Wenden wir uns nun wieder zu den obigen 24 Polhöhen. Ist nicht gleich, daß der in der Nähe des Nordhorizonts beobachtete Stern Capella die größten Polhöhen giebt, daß die südlichen Sterne die kleinsten gewähren. Hiedurch ist die kleine Biegung des Fernrohrs deutlich ausgesprochen. Unter Annahme, daß diese dem Sinus der Zenithdistanz proportionirt ist, erhalten wir folgende Gleichungen für die Polhöhe, geordnet vom Nordhorizonte an durch den Scheitel bis zum südlichen, wenn  $b$  die Constante der Biegung ist.

$\varphi = 58^{\circ} 22' 50'' 2$	— 0,97 $b$
47,7	— 0,97 $b$
49,1	— 0,97 $b$
47,7	— 0,55 $b$
47,6	— 0,55 $b$
47,7	— 0,55 $b$
47,3	— 0,55 $b$
47,2	— 0,55 $b$
46,9	— 0,55 $b$
48,6	— 0,54 $b$
48,2	— 0,54 $b$
49,1	— 0,53 $b$
46,9	— 0,53 $b$
46,3	— 0,53 $b$
47,0	— 0,47 $b$
49,1	— 0,47 $b$
45,6	+ 0,62 $b$
46,0	+ 0,62 $b$
47,0	+ 0,75 $b$
44,7	+ 0,78 $b$
45,8	+ 0,80 $b$
45,1	+ 0,97 $b$
44,6	+ 0,97 $b$
45,2	+ 0,96 $b$

Wenn sich ergeben als Endwerthe:

$$\varphi = 58^{\circ} 22' 46'' 85, \quad b = + 1'' 84$$

wahrscheinl. Fehler 0,12; 0,18.

Die mit  $b = + 1'' 84$  folgenden einzelnen Polhöhen sind:

	Diff. v. allgem. Mittel.	Mittel für die einseln. Sterne.
Capella unt. d. Pol $\varphi = 58^{\circ} 22' 48'' 4$	+ 1,5	58° 22' 47" 20
	45,9	— 1,0
	47,3	+ 0,4
Polaris	46,7	— 0,2
	46,6	— 0,3
	46,7	— 0,2
	46,3	— 0,6
	46,2	— 0,7
	45,9	— 1,0
	47,6	+ 0,7
	47,2	+ 0,3
	48,1	+ 1,2
	45,9	— 1,0
	45,4	— 1,5
$\delta$ Ursae minoris	46,1	— 0,8
	48,2	+ 1,3
Arcturus	46,7	— 0,2
	47,1	+ 0,2
$\gamma$ Aquilae	48,4	+ 1,5
$\alpha$ Orionis	46,1	— 0,8
Procyon	47,3	+ 0,4
Sirius	46,9	0,0
	46,4	— 0,5
	47,0	+ 0,1
		58 22 46,77

Allgemeines Mittel =  $58^{\circ} 22' 46'' 85$ .

Der wahrscheinliche Fehler einer einmaligen Polhöhe aus einem Satze von 4 Einstellungen ist hiernach 0" 58.

Uebrigens kann das gefundene Resultat keinen Anspruch darauf machen, als eine neue absolute Bestimmung der Dorpater Polhöhe zu gelten, da es mit dem Einflusse der Declinationen behaftet ist. Für eine absolute Bestimmung hätte überdies der Biegungscoefficient direct d. h. durch Messungen zwischen entgegengesetzten Fernrohren ermittelt werden müssen. Hier beruht er vorzugsweise auf den mit einer großen Refraction behafteten Zenithdistanzen von Sirius und Capella. Sehr leicht möglich, daß die Refractionen etwas zu klein berechnet sind, weil das Thermometer an einer Stelle aufgehängt war, wo die Temperatur wohl etwas zu hoch gefunden werden mußte. Wir werden uns daher nicht wundern, wenn unser Resultat mit der aus vielfachen Bestimmungen in meiner Gradmessung abgeleiteten Polhöhe nicht innerhalb der wahrscheinlichen Fehler übereinstimmt. Diese ist für die Mitte des Thurms  $58^{\circ} 22' 47'' 30$  und für den Ort des Repold'schen Kreises, der 0" 26 nördlicher steht,  $58^{\circ} 22' 47'' 55$  um 0" 71 größer als der Repold'sche Kreis sie giebt. Auf jeden Fall ist aber die Uebereinstimmung der mit diesem Instrumente gewonnenen Resultate für sich betrachtet eine bewunderungswürdige.

Dorpat im October 1837.

W. Struve.

Schreiben des Herrn *Bianchi*, Directors der Sternwarte in Modena, an den Herausgeber.

Modena 1837. Mai 6.

C'est sans doute un des phénomènes les plus remarquables et merveilleux du ciel étoilé que celui des étoiles qu'on appelle changeantes, variables ou périodiques. Et il me semble qu'il seroit même important de l'observer avec beaucoup de soin et de précision pour en saisir et fixer les circonstances qui se renouvellent le plus constamment; parcequ'on parviendroit par ce moyen à démêler les lois de leurs changements de lumière ou d'aspect, et peut-être aussi on réussiroit à pouvoir assigner la cause physique la plus vraisemblable de ce phénomène singulier, et à étendre ainsi nos connaissances sur ce point reculé du Système du Monde. Pourtant il faut avouer que nous en sommes restés sur cet objet aux observations des siècles précédents et que dans le nôtre, occupé de bien d'autres recherches et découvertes d'Astronomie, on n'a donné presque aucune attention aux étoiles périodiques et on n'a pas profité pour elles des grands perfectionnements des instruments et des Lunettes modernes. Mr. de *Lalande* au sujet de ces étoiles avait dit (Astron. T. I. §. 824) „Ces variations des étoiles sont bien dignes de l'attention des observateurs curieux.... Un jour viendra peut-être où les sciences auront assez d'amateurs pour qu'on puisse suffire à ces détails“ à quoi Sir *John Herschel* vint d'ajouter il y a quelques années „Assurément ce jour est maintenant arrivé (Traité d'Astr. traduit de l'anglais. Bruxelles. pag. 511).“ Mais si cela est vrai à présent pour le nombre des amateurs de la Science, il ne l'est pas du même pour les résultats de ces travaux; et dans les livres récents d'Astronomie, comme celui d'*Herschel* (Chap. XII. §§. 593—597), on ne trouve pas de nouvelles ou de plus exactes indications sur les étoiles périodiques que celles que *Lalande* nous laisse exposées, il y a presque un demi-Siècle, dans son *Astronomie* aux §§. 794—825. C'est d'après ces réflexions que je n'ai pas cru tout-à-fait inutile de vous entretenir, dans cette lettre, sur celle des périodiques qu'on signala la première, qu'on a observé plus que les autres, et qu'on appelle Omicron ou la variable de la Baleine. Pendant quelques années j'en ai remarqué de temps en temps l'éclat ou la grandeur; mais dernièrement j'en ai pu suivre la période et les phases près de son grand éclat, circonstance qui aura lieu aussi pour quelques années à venir: et c'est pourquoi j'espère d'exciter ici la curiosité des autres observateurs à diriger soigneusement les regards à cette étoile, en comparer les apparences, et à vouloir bien vous en communiquer les résultats pour les publier dans votre Journal.

Et premièrement en observant la variable de la Baleine à son passage méridien le jour 1 Févr. 1836 je jugeais qu'elle avait alors

atteint sa plus grande clarté, parce qu'elle me parut ce jour là de 3<sup>me</sup> grandeur; tandis que je l'avais vue un mois auparavant de 10<sup>me</sup> grandeur; et qu'après elle perdit en force ou intensité de lumière. Or, à ce que dit *Lalande* (§. 794) l'étoile étoit à sa plus grande éclat le 9 Août 1782, et en supposant que de cette époque au 1 Févr. 1836, ou dans l'intervalle de 19332 jours, le nombre de révolutions ou de périodes de l'étoile aie été de 11 on en tire la valeur d'une période = 3361,76. De même on dit d'après les observations de *Bode*, que l'étoile avait été à son plus grand éclat le 15 Nov. 1779; ce qui comparé à mon observation ou pour l'intervalle de jours 20531, et en supposant le nombre de périodes accomplies = 61, donne la valeur de la période = 3369,5. En remontant encore plus loin, et en choisissant l'époque du commencement d'Août 1703, où selon *Cassini* l'étoile se voyait à son maximum de clarté, on en tire avec mon observation l'intervalle de jours 48396 (en y comprenant toujours les années bissextiles) et en admettant 144 pour le nombre correspondant des périodes écoulées, on a la valeur d'une période = 3361,08. Mais si dans ces trois comparaisons au lieu de supposer les nombres des périodes écoulées dans les intervalles correspondans 58, 61 et 144 on les avoit supposés respectivement 59, 62 et 146, on en auroit obtenu les valeurs d'une période 331,05; 331,14; 331,48. On voit pourtant que les valeurs d'une période s'accordent bien entre elles dans l'une des hypothèses sur le nombre des périodes mais que dans l'autre. Si c'est la première hypothèse qui a réellement en lieu, on en déduira que la période des variations de l'étoile s'accroît ou s'allonge successivement; parce que *Boulliau* l'assignoit de 333 jours dans le 1667; plus tard *Cassini* l'étoit de jours 334; *Herschel* la donne de 3341,75 (Traité d'Astr. §. 595); et moi je la trouve d'après les observations plus récentes = 3361,7. Si c'étoit l'autre hypothèse qui se serait vérifiée, alors au contraire la période auroit souffert une diminution, on seroit donc plus rapide. Et si entre les deux hypothèses nous nous en tenons au résultat moyen nous aurons les trois valeurs de la période 333,91; 333,86; 333,78; ce qui s'accorderoit avec la détermination de *Cassini*, et aussi en supposant de 145 le nombre exact des périodes accomplies dès le commencement d'Août 1703 à celui de Févr. 1836. Quelle est donc la valeur vraie de la période, si pourtant il y en a une qui soit uniforme ou invariable. Pour ne pas se tromper d'une ou plusieurs révolutions il faut non-seulement, ce me semble, aux observations anciennes et s'en tenir aux modernes; mais dans celles-ci pour compenser l'avantage d'un long intervalle entre les termes comparés, il sera nécessaire de les avoir avec la plus grande précision possible les points mêmes de comparaison, ou le temps et ce que l'on prend pour le maximum d'éclat de l'étoile; car sans cette précaution on pourroit s'égarer

de beaucoup dans le résultat. Or je viens de remarquer dans les deux dernières périodes de l'étoile qu'elle acquiert le plus grand éclat assez rapidement, parce que dans un mois à peu-près je l'ai vu passer de la 10<sup>me</sup> grandeur à la 3<sup>me</sup>, et ensuite elle s'affaiblit un tant soit peu, mais en reprenant peu après sa vivacité et oscillant ainsi pendant un intervalle peut-être variable et toutefois assez long, comme on le verra par les observations de la dernière période. C'est donc l'instant, où l'étoile atteint proprement et de premier coup son grand éclat sans aucune oscillation précédente, qu'il faut choisir pour la détermination de la période; et outre cela il sera bon d'observer l'étoile à sa plus grande hauteur, ou dans le méridien, et de notre en même temps l'état de transparence ou de pureté de l'atmosphère: surtout il conviendrait d'employer à ces déterminations un appareil photométrique appliqué à la lunette.

Voilà maintenant les observations ou estimés de la grandeur de l'étoile, que j'ai jugée tout simplement à la vue dans le champ étoilé de la lunette, mais après avoir acquis une certaine expérience par un grand nombre d'étoiles observées.

Dates.	Grandeur appar. de l'étoile.	Etat atmosphérique.	(Notes.
1835 Décbr. 12	10-11	Serein.	Toutes ces observations faites au passage mérid. et à la lunette du cercle.
1836 Janv. 5	10-11	Idem.	
Févr. 1	3	Idem.	
6	5.6	Air un peu voilé.	
9	6	beau serein.	
11	6	Serein.	L'él. à peine vis.
1836 Novbr. 9	9	Ser. voilé clair de lune.	Aussi ces observations faites au méridien et à la lunette du cercle
25	8.9	Serein: clair de Lune.	
Décbr. 3	7.8	Serein ombragé.	
8	6	Ser.: dep. brouillard.	
10	6	Serein.	
17	4.5	quelq. nuage: cl. de L.	
22	4.+	Ser. beau: cl. de Lune.	
26	3.4	Serein voilé.	
30	3.4	Serein.	
1837 Janv. 3	4.5	Idem.	
4	4.5	Idem.	
8	5	Idem.	
12	5	Idem: clair de Lune.	
21	5	Idem: clair de Lune.	
27	5	Idem.	
Févr. 1	4.+	Air légèrement couvert.	
3	4.+	Air très-pur.	
7	3.4	Serein beau.	
26	5	Serein.	Ces dern. observ. fait hors du mér. à 6 <sup>h</sup> de tems vrai et avec des lunettes moindres.
Mars 4	5	Idem.	
8	6	Serein beau.	
10	6	Idem.	
18	5	Idem.	

On a dit en second lieu l'α de la Baleine a disparu quelque-temps (v. *Lalande et Herschel*. Oeuvres et §§. ci-dessus); et c'est pourquoi on donne l'échelle de ses variations

de grandeur de 2 à 0. Qu'il me soit permis de douter ou que cette disparition totale n'est point arrivée, ou que les phénomènes de l'étoile ont fort changé de nos jours. En effet je n'ai pas manqué d'observer la variable au méridien dans les années ci-dessus, et, sans en reporter ici les positions, je puis bien en garantir (moins quelque petite différence et incertitude sur le jugement de la grandeur) le tableau suivant de la visibilité de l'étoile.

Dates.	Grand app. de l'étoile.	Dates.	Grand. app. de l'étoile.
1831 Janvier 4	6.7	1833 Octbr. 16	6.7
27	8	Décbr. 11	9 10
Décbr. 4	5	23	10
25	6	1834 Janvr. 6	9. 10
1832 Janvier 19	6.7	17	10
Décbr. 16	9. 10	Décbr. 5	10. 11 *)
27	9	1835 Janvr. 24	10. +
1833 Janvier 11	10		
17	10. 11		

\*) Egalé à la suivante.

Si on fait réflexion à présent que l'étoile devait avoir dans l'année 1833 son grand éclat au mois de Mai, et qu'au commencement de l'année par conséquent elle était près de la phase opposée, et que néanmoins elle y était assez visible avec une bonne lunette comme celle de mon cercle, il faut en conclure qu'elle n'avait pas disparu. J'observe encore une circonstance qui n'a été jamais remarquée par les observateurs de la variable, ou dont je ne trouve au moins aucune mention faite; et c'est que dans le champ obscur de la lunette, la variable étant dans le centre et pour un rayon de 11 à 12 minutes en arc, on voit seulement une petite étoile de 11<sup>me</sup> grandeur, plus australe que la variable de 7<sup>e</sup> à 8<sup>e</sup> en arc et qui la suit à peu-près de 9<sup>e</sup> en tems. Cette petite étoile compagne à la périodique ne change jamais d'éclat et présente en soi même un objet de comparaison aux variations de l'autre, qui dans sa moindre phase lui devient sensiblement égale; comme je le jugeais dans l'observation du 5 Décembre 1834. Or si les anciens observateurs de la variable n'ont point signalé la petite compagne de *Baleine*, cela est un argument qu'ils ne voyaient pas celle-ci dans les points de sa plus faible clarté, et en conséquence ils annonçaient que l'étoile avait disparu. Il est convenable donc de rectifier à cet égard la table des périodiques donnée par *Herschel* (pag. 508), ou on lit pour α de la Baleine les variations de grandeur de 2 à 0; pendant que pour  $\chi$  du Cygne on y lit des variations de 6 à 11.

Enfin, sur le témoignage de *Hevelius*, *Lalande* et *Herschel* prétendent que la changeante de la Baleine fut quatre années entières sans paraître; savoir, depuis le mois d'Octobre 1672 jusqu'au mois de Décembre 1676. Je ne puis pas pour le moment consulter l'ouvrage de *Hevelius* où cela a été dit; mais je me permettrai sur ce point une remarque. La périodique vient d'atteindre son grand éclat au commencement à peu-près de l'année courante. Soit maintenant  $\epsilon$  le nombre des années entre

cette dernière et une autre époque quelconque au commencement de l'année respective. En prenant pour la valeur de la période celle de jours 334, comme la plus généralement reçue, on aura le rapport  $\frac{365.2425}{334}$  pour exprimer le nombre des périodes accomplies par l'étoile de l'une des époques à l'autre, et la partie entière du quotient sera elle-même ce nombre; car le numérateur de la partie fractionnaire, ou le résidu exprimé en jours, indiquera pour l'autre époque le jour de l'année correspondante où l'étoile atteignit son éclat maximum, et seulement ce résidu sera additif ou soustractif au commencement de l'année donnée de l'autre époque, selon que cette époque est antérieure ou postérieure au 1837. Cela posé, on trouve que depuis 1672 jusqu'au 1837, 180 périodes des variations de l'étoile se sont écoulées et que 145 jours restent; par conséquent l'étoile brillait à son maximum le 24 Mai 1672, et dans les trois années suivantes cela venait d'arriver vers la fin des mois d'Avril, Mars et Février. Or l'étoile à ces tems et pour nos latitudes moyennes passe au méridien en plein jour après midi, et on ne pouvait pas la voir que vers la moitié de Mars le soir à une petite hauteur occidentale. Lorsque donc *Hevelius* pensa que dans les quatre années ci-dessus l'étoile avait cessé de paraître, ce fut qu'elle pendant les mois de son cours nocturne sur l'horizon était de lumière assez faible, ou de 10<sup>me</sup> grandeur et peut-être moins: et pour dire vrai s'il nous est aisé de la voir même dans un pareil affaiblissement, nous en sommes redevables uniquement à la bonté et perfection de nos modernes lunettes acromatiques.

Pour viser à la périodique, lorsqu'elle est sur l'horizon c'est-à-dire visible pendant la nuit, j'ajoute ici une petite table qui donne les heures de son passage méridien et celles de sa présence nocturne dans le cours de l'année: ce qui doit bien s'entendre pour nos lieux de moyenne latitude boréale, et tout en supposant que la pureté de l'air soit favorable à distinguer l'étoile jusqu'à l'angle horaire de 5 heures avec le méridien. Voici cette table qui n'ayant pas d'autre but qu'une indication simple et grossière n'a aucune prétention à une rigoureuse exactitude.

Mois, et jour.	L'ét. passe au mér. en tems vrai à peu-près.	L'étoile à l'Est.	L'étoile à l'Ouest.
Janvr. 6	7 <sup>h</sup>	visib. pour 2 <sup>h</sup> av. le mér.	vis. pour 5 <sup>h</sup> après le mér.
24	6	— 0 <sup>h</sup>	— 5
Févr. 8	5	Invisible	— 4 au coucher
23	4	—	— 3
Mars 10	3	—	— 2
25	2	—	— 0 <sup>h</sup>
Avril 9	1	—	Invisible
24	0	—	—
Mai 9	23	—	—
24	22	—	—
Juin 9	21	—	—
24	20	visib. pour 0 <sup>h</sup> au lever	—
Juillet 9	19	— 2	—
24	18	— 3	—
Août 9	17	— 4	—
24	16	— 5 av. le mér.	vis. pour 0 <sup>h</sup> après le mér.
Sept. 8	15	— 5	— 2
23	14	— 5	— 3
Oct. 8	13	— 5	— 4
23	12	— 5	— 5
Nov. 7	11	— 5	— 5
22	10	— 4 <sup>h</sup>	— 5
Déc. 8	9	— 4	— 5
23	8	— 3	— 5

Concluons, de cette table et de ce que la variable a été dans un grand éclat au commencement de cette année, que l'étoile revient tout-de-suite à la même phase pour quatre ou cinq ans après le courant dans les tems où elle se montre le plus sur l'horizon pendant la nuit. Les observateurs en conséquence pourront bien profiter de cette heureuse circonstance pour suivre soigneusement les variations de l'étoile; et c'est ce qui m'a paru digne d'attirer l'attention pour exciter et tourner la curiosité astronomique sur un phénomène aussi étrange qu'intéressant, et dont nous ne connaissons pas bien jusqu'ici, ni les éléments de fait, ni l'ordre des lois, et par là beaucoup moins l'explication ou la cause probable la plus vraisemblable; comme on peut s'en convaincre d'après les considérations précédentes.

Joseph Bianchi.

### Sternbedeckung in Göttingen.

Herr Hofrath Gauß hat mir folgende von ihm beobachtete Bedeckung des Sterns 57<sup>o</sup> Arietis mitgetheilt:  
1837 Decbr. 9 Eintritt 5<sup>h</sup> 2' 57<sup>o</sup> M. Z.  
Austritt 5 20 13,0

Den Eintritt hält er für sehr gut, den Austritt für unzuverlässig.

S.

Ueber ein auf der Dorpater Sternwarte befindliches, mit einem Vertikalkreise versehenes tragbares Durchgangsinstrument etc. V. Sr. Excellenz dem Herrn Staatsrath v. Struve (Bechluss.) p. 153. — Schreiben des Herrn Bianchi, Directors der Sternwarte in Modena, an den Herausgeber. p. 163. — Sternbedeckung in Göttingen. p. 167.

Altona 1838. Februar 10.

# ASTRONOMISCHE NACHRICHTEN.

N<sup>o</sup>. 346.

Schreiben des Herrn *Kreil*, Adjuncten bei der Mailänder Sternwarte, an den Herausgeber.

Mailand 1838. Januar 16.

Beifolgend theile ich Ihnen einige Resultate der im vergangenen Jahre angestellten magnetischen Beobachtungen mit, von denen ich glaube, daß sie auch der Aufmerksamkeit der Astronomen nicht unwürdig sind. Ich meine die monatliche Periode, die sich in den Schwingungsdauern der horizontalen Nadel schon im vorigen Jahre zeigte, und die von dem Einflusse des Mondes oder der Sonne auf den magnetischen Zustand unseres Planeten hervorgerufen seyn kann. Die Beobachtungen dieses Jahres haben dies Phänomen bestätigt, und zwar auch in der letzten Hälfte viele and. gewaltige (in der folgenden Tafel mit Asterisken angedeutete) Störungen der regelmäßigen Aenderung der Schwingungsdauern einigen Eintrag finden, so zeigten sich doch in den Monaten August und October die längsten Danern zur Zeit des Neumondes, wie im vorigen Jahre, wo eben diese Erscheinung auch noch im November statt hatte, während in diesem die drei letzten Neumonde, so wie die der ersten Monate des Jahres von den kürzesten Schwingungsdauern begleitet waren. Der März machte in beiden Jahren, der September, während welchen die Beobachtungen im vorigen unterbrochen waren, in diesem Jahre eine Ausnahme. Die folgende Tafel der fünfjährigen Mittel wird dies deutlicher zeigen.

1837.		€	Dauer.	Inclination.
1836	29 Dec. — 2 Jänner.		22,28150	63° 46' 44"
	3 Jänner — 7	⊙	22,26479	46 24,6
	8 — 12		22,27513	46 28,0
	13 — 17		22,29562	46 27,7
	18 — 22		22,27215	46 38,9
	23 — 27		22,28360	47 10,5
	28 — 1 Febr.		22,26929	47 24,8
	2 Febr. — 6	⊙	22,26669	47 32,6
	7 — 11		22,27280	47 23,0
	12 — 16		22,27851	47 39,1
	17 — 21		22,28215 *)	48 6,7
	22 — 26		22,26373	48 18,0
	27 — 28		22,26916	48 6,3
	1 März — 5 März	⊙	22,36755	47 59,1
	6 — 10		22,35213	47 29,7
	11 — 15		22,34253	47 14,3
	16 — 20		22,33728	47 39,8
	21 — 25		22,39285	47 31,7
	26 — 30		22,36476	46 49,0

1837.		€	Dauer.	Inclination.
31 März	4 April	⊙	22,32603	63° 46' 56"
5 April	9		22,34269	47 27,0
10	14		22,33858	47 16,2
15	19		22,33366	47 15,9
20	24		22,33779 *)	47 36,7
25	29		22,32181	47 48,8
30	4 Mai		22,31775	48 3,1
5 Mai	9	⊙	22,33675	47 34,5
10	14		22,33390	46 22,7
15	19		22,32889	45 50,3
20	24		22,34709	45 49,9
25	29		22,31573	45 50,6
30	3 Juni		22,31067	46 32,2
4 Juni	8	⊙	22,31749	46 16,4
9	13		22,30163	45 58,5
14	18		22,28645	46 0,7
19	23		22,31734	45 2,0
24	28		22,32455	44 26,1
29	3 Juli	⊙	22,33249 *)	44 6,3
4 Juli	8		22,33929	43 37,0
9	13		22,33892	43 3,7
14	18		22,33342	43 8,3
19	23		22,33531	42 52,7
24	28		22,33499	
29	2 Aug.	⊙	22,34174	
3 Aug.	7		22,35590	
8	12		22,34698	
13	17		22,37877	63 51 12,1
18	22		22,37830	51 24,4
23	27		22,38849	51 5,7
28	1 Sept.	⊙	22,40567	50 11,1
2 Sept.	6		22,41890	48 19,8
7	11		22,41075	47 12,7
12	16		22,41304	47 39,0
17	21		22,39986	48 50,3
22	26		22,42500	49 14,3
27	1 Oct.	⊙	22,43497	47 47,1
2 Oct.	6		22,41664	47 38,8
7	11		22,41527	47 26,0
12	16		22,42563	47 30,5
17	21		22,44054 *)	
22	26		22,42240	
27	31	⊙	22,44058	
1 Nov.	5		22,44288	
6	10		22,44974	



1837	€	Datum.	Inclination.
1t — 15 —		22,48344 *)	
16 — 20 —		22,47213	
2t — 25 —		22,46459	
26 — 30 —	●	22,45559	
1 Dec. — 5 —		22,46036	63° 54' 49" 2
6 — 10 —		22,46020	54 14,5
11 — 15 —		22,47382 *)	56 22,0
16 — 20 —		22,47784 *)	55 53,0
21 — 25 —		22,46104	56 30,0
26 — 30 —	●	22,46248	56 40,2

Der zwischen Febrnar und März ersichtliche Sprung ist die Folge von einer am Apparate vorgenommenen Aenderung. Ich habe auch die Inclination beigelegt, um zu zeigen, daß diese Variation der Schwingungsdauern nicht, wie dies bei ihren stündlichen Aenderungen der Fall ist, auf Rechnung der Inclination kommen könne, sondern daß die Intensität der totalen Kraft selbst ihr unterworfen zu seyn scheint; doch muß, ehe hierüber etwas entschieden werden kann, noch der Ausspruch der nun besser, d. h. näher am Schwerpunkt aufgehängten Inclinationen-Nadel abgewartet werden.

Es ist übrigens höchst wahrscheinlich, daß eine Ursache, die auf die Schwingungsdauern so kennbar und mit solcher Regelmäßigkeit einwirkt, auch die Richtung der Nadel ändern müsse, und daß durch eine zweckmäßige Combination der über die Declination angestellten Beobachtungen ihre Wirkung, wenn sie überhaupt existirt, ans Licht treten müsse. Allein es ergeben sich hiebei mancherlei Schwierigkeiten: erstens kann diese Wirkung, als mag nun ihren Grund in dem Einfluß des Mondes oder eines anderen Gestirnes haben, nicht in der mittleren Declination (im Mittel aus allen an einem Tage beobachteten) erkannt werden, da sie von der Lage des Gestirns gegen den Beobachtungsort abhängt, und dieser an einem Tage alle möglichen Lagen annimmt; zweitens ist die stündliche Aenderung der Declination verschieden nicht nur allein nach den Jahreszeiten, sondern auch nach den Tagesstunden, wie man sich leicht überzeugen kann, aus der in Nr. 328 der Astron. Nachr. gegebenen Tafel, welche die zu verschiedenen Stunden beobachtete Declination für alle Monate des Jahres enthält, und mit welcher auch die Ergebnisse dieses Jahres nahe übereinstimmen. Man sieht, daß in den Wintermonaten der Unterschied zwischen der größten und kleinsten Declination sich nicht bis auf 6 Minuten erhebt, während er im Sommer über 16 Minuten hinausgeht, daß im Sommer die um die Mittagstunden beobachtete Declination merklich größer ist, als die um dieselbe Tageszeit im Winter angegebene, und daß die Abends um 11 Uhr gefundene im Sommer größer, im Winter kleiner ist als die Morgens um 8 Uhr beobachtete. Diese Erscheinungen, die ihren Grund wahr-

scheinlich in der Lage der Erde und des Beobachtungsortes gegen die Sonne haben, zeigen sich so nützlich im Vergleich mit der wahrscheinlich sehr schwachen Wirkung, der ich nachzu spüren vor hatte, und die ich dem Einfluße des Mondes auf den Erdmagnetismus zuschreiben möchte, daß mir ein einziger Umstand nur einige Hoffnung des Gelingens gewährt. Dieser Umstand ist die Periodicität der genannten Erscheinungen, vermöge welcher sie in einer größeren Reihe von Beobachtungen sich aufheben, und die Wirkung einer schwächeren, aber mit ihnen in keinem Zusammenhange stehenden Ursache erscheinen lassen müssen. Indessen mußte man die Idee aufgeben, sie aus den täglichen Mitteln erkennen zu können, welche zu den analogen Resultate in den Schwingungsdauern geführt hätte man mußte dagegen die Beobachtungen nach den Stunden eilen, in denen sie waren angestellt worden, und dabei jedesmal die Stellung des Mondes berücksichtigen. Es wurden daher die Beobachtungen jeder Stunde in Reihen getheilt, welche die an mehreren auf einander folgenden Tagen zur selben Stunde angestellten enthielten, so lange nämlich der Mond zur Beobachtungszeit sich auf der einen Seite, z. B. gegen Osten zur magnetischen Meridian, befand; hätte der Mond zur Beobachtungszeit bereits diesen Meridian überschritten, so begann eine neue Beobachtungsreihe bei Mond West, welche mit der andern verglichen den Einfluß dieses Gestirnes auf die Richtung der Nadel zeigen mußten, wenn die jährliche Aenderung der Declination in jedem Monate gleichförmig vor sich gieng: da aber vermöge dieser Aenderung die Declination in den ersten Monaten des Jahres wächst, in den letzten abnimmt, so konnte der gesuchte Einfluß nur im Mittel eines ganzen Jahres sich zeigen und auch hiebei war es noch sehr ungewiß, ob eine zwölfjährige Beobachtungsreihe ausgedehnt genug ist, die Wirkung der periodischen und der scheinbar unregelmäßigen Aenderung zu vernichten. Ich war oben so erstaunt als erfreut zu sehen, daß schon die Beobachtungen des ersten Jahres ein Resultat gaben, das kaum einem Zweifel Raum läßt, und wiewohl durch die Beobachtungen des zweiten Jahres noch mehr bestätigt wird, wie man aus der folgenden Tafel ersehen kann. Im vorigen Jahre wurden mehrere Beobachtungsstunden verloren, konnten daher nicht in Rechnung gezogen werden, derselben Ursache wurden die beiden ersten Monate ausgelassen. Die Combination Juni, Juli ist weggelassen, da man am 1<sup>ten</sup> Juli den Apparat in einem anderen Beobachtungsaale aufstellte, daher die folgenden Beobachtungen nicht mit den vorhergehenden verglichen werden konnten. Die Stationen der ersten Colonne sind nicht streng zu nehmen, sondern sollten nur dienen, die Mittel je zwei auf einander geordneter Reihenpaare von einander zu sondern.

Declination = 18°

1836.	20 <sup>h</sup> 0'		22 <sup>h</sup> 30'		1 <sup>h</sup> 0'		11 <sup>h</sup> 0'		
	€ Ost.	€ West.	€ Ost.	€ West.	€ Ost.	€ West.	€ Ost.	€ West.	
März u. April	33° 50' 6"	32° 25' 0"	39° 22' 3"	37° 28' 0"	47° 0' 1"	46° 50' 8"	März	36° 26' 6"	36° 14' 9"
April u. Mai	31 11,6	30 28,8	40 47,2	40 8,5	47 45,7	47 0,5	April	35 57,9	36 37,7
Mai u. Juni	30 36,7	31 6,7	39 47,1	41 10,6	47 13,6	46 35,1	Mai	34 24,7	34 31,5
Juni u. Juli							Juni	35 28,6	35 2,1
Juli u. Aug.	41 7,0	42 12,4	53 6,5	51 45,8	56 9,7	59 16,4	Juli	45 51,7	47 36,8
Aug. u. Sept.	42 14,7	40 45,1	53 18,5	51 57,9	56 43,5	59 3,7	Juli u. Aug.	46 50,3	45 12,1
Sept. u. Oct.	44 9,9	42 1,5	53 50,5	47 20,7	58 7,4	55 42,2	Aug. u. Sept.	45 51,4	45 49,7
Oct. u. Nov.	30 36,4	31 2,1	36 54,7	35 37,5	43 15,6	40 53,8	Sept. u. Oct.	32 40,4	30 10,9
Nov. u. Dec.	31 15,7	31 9,1	34 37,9	34 7,5	39 50,6	37 12,1	Oct. u. Nov.	31 39,2	30 45,8
Dec. u. Jänner	31 16,0	31 37,0	33 21,6	33 32,3	38 0,7	38 52,1	Nov. u. Dec.	31 9,4	31 36,2
Mittel	35 8,7	34 45,3	42 47,4	41 27,6	48 14,1	47 56,3	Dec. u. Jänner	31 44,4	33 20,5
Diff. Ost-West	+ 23° 4'		+ 79° 8'		+ 17° 8'		Diff. Ost-West Mittel	37 5,9	36 59,8

Decl. = 18°

1837.	20 <sup>h</sup> 0'		22 <sup>h</sup> 30'		1 <sup>h</sup> 0'		4 <sup>h</sup> 30'		7 <sup>h</sup> 30'		11 <sup>h</sup> 0'	
	€ Ost.	€ West.	€ Ost.	€ West.	€ Ost.	€ West.	€ Ost.	€ West.	€ Ost.	€ West.	€ Ost.	€ West.
Jan. u. Febr.	31° 6' 1"	30° 15' 5"	34° 25' 2"	31° 46' 0"	40° 30' 0"	38° 16' 4"	36° 14' 9"	33° 40' 7"	33° 16' 3"	32° 26' 4"	30° 20' 4"	29° 17' 8"
Febr. u. März	28 29,2	28 21,7	31 54,4	32 20,3	36 33,6	38 1,4	33 0,8	33 42,1	31 31,8	32 6,4	29 13,0	29 52,9
März u. April	28 0,2	24 3,5	33 40,9	31 36,3	39 20,4	40 46,8	33 49,2	35 18,8	33 29,8	30 27,8	29 23,1	29 17,3
April u. Mai	23 25,4	23 18,1	29 14,8	28 39,9	40 41,5	39 45,7	37 39,9	35 58,2	30 57,1	31 12,0	29 39,1	31 24,3
Mai u. Juni	26 59,3	25 13,7	30 52,4	31 45,1	40 29,7	40 43,1	36 10,2	37 53,4	31 18,5	34 38,5	30 48,0	32 22,9
Juni u. Juli	27 52,8	25 30,0	35 43,5	33 54,3	42 18,2	41 22,8	38 30,1	37 11,8	32 43,7	32 21,2	32 7,1	31 21,6
Juli u. Aug.	26 10,6	25 3,4	32 15,4	32 43,0	39 20,4	38 55,5	36 11,9	34 13,3	32 7,8	29 43,4	30 16,3	28 59,9
Aug. u. Sept.	24 35,9	24 17,4	31 31,1	31 20,0	38 48,7	40 3,3	33 40,8	33 24,7	29 57,3	30 16,3	29 29,8	30 45,7
Sept. u. Oct.	27 63,5	27 21,3	36 13,9	35 26,6	41 33,3	42 13,6	34 48,6	35 15,9	31 6,9	32 27,6	30 19,7	31 0,5
Oct. u. Nov.	30 13,1	27 43,0	33 23,0	32 52,9	40 29,8	39 14,7	35 45,3	34 33,3	31 27,3	30 47,8	28 40,7	28 19,2
Nov. u. Dec.	28 22,2	30 23,7	32 5,1	33 56,4	37 7,8	37 2,4	34 31,5	32 53,1	30 40,2	30 48,8	29 33,1	27 50,3
December	29 56,9	30 53,2	31 16,8	33 12,1	34 27,1	34 41,1	32 24,6	33 1,7				
Mittel	27 45,4	26 52,0	32 43,0	32 27,7	39 15,8	39 15,6	35 14,0	34 45,2	31 41,0	31 34,2	29 59,1	30 3,0
Diff. Ost-West	+ 53° 4'		+ 15° 3'		+ 3° 2'		+ 28° 8'		+ 6° 8'		+ 3° 9'	

Man sieht aus diesen Mitteln und ihren Unterschieden, wie der Einfluss des Mondes auf den magnetischen Zustand unserer Planeten sich wie der eines Körpers äußert, der den auf Stäben gerichteten Pol unserer Magnetnadeln anzieht. Es ist die Aufgabe des Inclinatoriums zu entscheiden, ob, wie schon früher erwähnt wurde, dieser Einfluss sich bloß auf die

Richtung der Nadel beschränkt, oder auch auf die Intensität ausdehnt, und ob auch eine ähnliche, dem Wechsel der Declination des Mondes entsprechende Erscheinung erkannt werden kann. Hierüber werden uns hoffentlich die Beobachtungen dieses Jahres belehren.

Kreit.

### Ueber einige Aeusserungen von Bessel in den Astron. Nachrichten Nr. 344.

Die Erklärung über die an dem Repsold'schen Passage-Instrumente bemerkte Veränderlichkeit, welche Bessel mir früher mittheilte, war in den Worten enthalten: Die Fußplatten dürfen nicht eingeregnet werden, sondern das Instrument muß frei auf dem Steine stehen, dann steht es unwandelbar fest. Diese Erklärung schien mir unwahrscheinlich und einen innern Widerspruch zu enthalten. Sie thut es noch. Denn die Nothwendigkeit des freien Aufstellens, oder mit andern Worten der Beweglichkeit der Fußplatten, als Bedingung für die unwan-

delbare Festigkeit setzt voraus, daß alle Ursachen einer Änderung der Stellung, sey es äußere Erschütterung oder Einwirkung der Wärme, vom Centrum ausgehen und gleichmäßig die Platten verschieben. Wäre das der Fall, so würde zunächst ermittelt werden müssen, welche Reibung der Platten auf der Oberfläche des Steins noch zulässig sey, um nicht durch eben diese dasselbe Uebel herbeizuführen, was man durch Weglassung des Kittes vermeiden wollte.

Die in Nr. 344 enthaltene Erklärung bringt in dieser meiner Ansicht keine Aenderung hervor. Man sieht aus dieser letzten Erklärung, daß die freie Aufstellung nur als das kleinere Uebel gewählt ward, zur Verhütung des größeren, einer Zwängung oder nicht freien Stellung der Fußschrauben. Wenn es *Bessel* nicht gelungen ist, diese Zwängung zu verhüten, falls er die Fußplatten befestigt, so mag es für ihn gerathener seyn, das kleinere Uebel zu wählen. Sind die Bewegungen so stark, daß bei festgekitteten Fußplatten, wenn auch anfangs keine Zwängung statt fand, diese später doch merklich wird, so kann nach meiner Ansicht das Instrument auch dann nicht im Azimut feststehen, wenn die Fußplatten frei aufliegen, weil zu diesem festen Stande die regelmäßige gleichförmige Aenderung einer Bewegung erfordert wird, für welche keine gesetzmäßige Leitung vorhanden ist, und die auf der rauhen Oberfläche des Steins von selbst nicht statt finden wird. Daß der Künstler keine solche Leitung angebracht hat, zeigt, daß er wenigstens von der Ansicht ausging, die Bewegungen werden nicht so stark seyn, um dieses fürchten zu lassen. Zeigt der Erfolg, daß sie doch sind, und wird deshalb die Beweglichkeit der Fußplatten notwendig, so wird eine Veränderlichkeit im Azimut eintreten, so lange nicht durch andere Mittel für die gleichförmige Vertheilung auf alle Fußschrauben gesorgt ist. Ich wiederhole es, die freie Aufstellung kann vortheilhafter seyn, als eine Befestigung der Platten, wenn eine Zwängung der Fußschrauben schwer zu vermeiden seyn sollte. Voraussetzen, daß durch sie allein das Instrument plötzlich alle Veränderlichkeit verliert, welche es ohne sie zeigt, ist mir ein innerer Widerspruch, besonders da man höchstens (und auch da nur selten) bei der Einwirkung der Wärme eine etwas gleichförmige Vertheilung erwarten kann, bei den andern Störungen, denen der Kitt hauptsächlich entgegenwirken soll, nothwendig eine ungleichförmige angenommen werden muß.

Wenn übrigens diese Ursache bei den Berliner Beobachtungen eingewirkt haben sollte, so liegt die Schuld nicht an mir. Bekannt mit der auch bei der Aufstellung anzuwendenden Vorsicht, hielt ich es für gerathen, *Bessel's* Ankunft abzuwarten. *Bessel* hat das Instrument ausgepackt, *Bessel* hat es auf den Stein gestellt und nach seiner Weise die Platten befestigt. Ich übernahm es erst, als es fertig zum Beobachten war. Ganz ähnlich verfuhr ich, als ich selbst bei Gelegenheit der Russischen Chronometerexpedition meinen Gehilfen sorgfältig von mir geprüfte Instrumente übergab. Die Aufstellung übernahm ich ebenfalls selbst.

Mir ist eine andere Erklärung bei weitem wahrscheinlicher, Das *Repositische* Instrument entbehrt der zwei Klammerschrauben, durch welche bei andern Instrumenten ähnlicher Art der bewegliche Azimuthalkreis mit den Fußschrauben festverbunden

wird. Der Azimuthalkreis wird bei *Reposit* nur durch ein Schraube ohne Ende gehalten, die durch eine Feder gegen den gezahnten Rand des Kreises gedrückt wird. Sie dient zugleich zur feineren Bewegung. Als unmittelbar vor der Zeitmessung nach Königsberg Herr *Baumann* das Instrument *Bessel's* Auftrag auseinander nahm, zeigte es sich, daß durch Mangel oder Eintrocknung von Oel, die Feder, welche die Schraube andrückt, nicht ihre volle Wirkung thun konnte. Wenn, wie ich glaube, schon an sich diese Art der Befestigung zu dem Zwecke einer unveränderlich festen Aufstellung im Meridian nicht hinreicht, so ward durch den erwähnten Umstand hier in Berlin (was später mit dem Instrumente vorgekommen ist, ist mir unbekannt) das Uebel noch vergrößert. Diese Ursache hätte sich finden und prüfen lassen, wenn sich das hartnäckige Bestehen von *Bessel* auf der Behauptung, die Ursache der Veränderlichkeit müßte außer dem Instrument liegen, jede Zerlegung und Untersuchung schlechterdings verweigert hätte, so daß mir nur die Wahl blieb, bei dem unvollkommen Zustande fortzubeobachten, oder das Instrument ganz bei Seite zu setzen. Liegt denn aber, selbst wenn man *Bessel's* Erklärung annimmt, die ganz ungewöhnlich große Gefahr einer Zwängung der Fußschrauben außer dem Instrumente, wie *Bessel* auch jetzt noch annimmt?

In dem Ausdruck von *Bessel*, daß ich mich über diesen Gegenstand auf eine Art erklärt hätte, welche auf den Künstler einen Schatten wirft, liegt eine Zweideutigkeit, die ich nicht übergehen kann. Hoffentlich ist sie keine absichtliche. Da Thatsachen konnte und wollte ich nicht verschweigen, kann gefügt ist kein Wort. Wenn *Reposit's* Name dabei vorkam, so hat Niemand die Veranlassung dazu gegeben als *Bessel*. Niemand, am wenigsten ich, hat *Bessel* gezwungen ein Instrument auszuwählen, dessen Eigenthümlichkeiten er damals nicht kannte, und bei welchem er das angeblich jetzt gefundene Mittel, ihnen zu begegnen, noch nicht entdeckt hatte. Ausgenommen vom Fach werden das große Opfer zu würdigen wissen welches ich dadurch brachte, daß ich eine so wichtige Beobachtung, wie die der Längenbestimmung von Berlin, mit einem mir fremden Instrumente übernahm. Eine zweite Gelegenheit wie die, welche die über alles Lob erhabene Liberalität der Königlich-Dänischen Regierung mir damals darbot, kehrt nicht wieder.

Eine tadelnde Aeußerung über ein Instrument kann die lichten Künstler, und ich brauche nicht zu sagen, daß ich die mögliche Ursache habe *Reposit* dafür zu halten, weder zu wachen noch ihm schaden, wenn sie auf strenger Prüfung ruht. Ueberhaupt fragt es sich wohl, ob alle die Instrumente welche als vortrefflich ausgehen werden, auch scharf geprüft sind, und ob der Vortheil, den der dankende Künstler durch

das nicht ganz beifällige Urtheil bei einer einzelnen Leistung gewiss kann, nicht mehr werth ist, als das unbegründete Lob, zu welchem so überaus freigebig zu seyn jetzt häufig Sitte ist.

Bessel beschwert sich, daß ich seine Erklärung in Zweifel gesetzt habe, ohne sie zu erwähnen. Ich wollte, daß er sie erwarte. Ich fordere, und werde bei jeder ähnlichen Gelegenheit fordern, daß der, durch dessen Fehler einem wichtigen Resultate ein auch noch so geringer Nachtheil erwachsen ist, auch diesem seinen Fehler selbst öffentlich vertritt und entschuldigt. Da Bessel es bisher nicht gethan, so war eine Erinnerung schweulich, und es freut mich, daß diese Erinnerung nicht fruchtlos geblieben ist.

Was Bessel meine Aeußerung, daß seine Erklärung mir einem innern Widerspruch zu enthalten scheine, für gleich-

bedeutend damit hält, daß ich sie für unvernünftig erklärt habe, so ist das seine Schlussfolge. Ich wenigstens halte mich nicht für unfehlbar, aber eben so wenig lasse ich mir das Recht nehmen, meine Ansicht über innere Wahrheit oder innern Widerspruch ungeschont auszusprechen.

Den ganzen sonderbaren Schluß des Besselschen Aufsatzes übersehe ich sehr gern, und lasse ihn als mir gänzlich unverständlich völlig auf sich beruhen. Er zeigt mir nur Bessels Empfindlichkeit, daß dieser Gegenstand berührt werden mußte. Bessel würde es sich und Repsold und mir leichter gemacht haben, wenn er von freien Stücken gethan hätte, was ich für seine Pflicht hielt.

Encke.

## Beobachtungen in Kopenhagen.

Die folgenden Beobachtungen sind mit dem Passagen-Instrument auf Bessels Bastion und von dem Observator der Sternwarte, *Mag. Pedersen*, gemacht. Bei den Mondsternen zeigt die rechte Reihe die Anzahl der Fäden; die letzte giebt die Reduction um die Sternzeit der Mondbeobachtung zu erhalten.

1833 Jan. 6.	Mond II	7 <sup>h</sup> 53 <sup>m</sup> 18 <sup>s</sup> 14	5	+ 0,95
	42 Cancri	8 10 36,58	5	
Febr. 27.	α Tauri	4 26 20,20	3	
	Mond I	4 38 25,83	5	+ 0,75
	123 γ Tauri	5 27 39,91	5	
28.	106 β	4 57 55,29	5	
	Mond I	5 38 15,87	5	- 0,03
	18 γ Gem.	6 19 2,92	5	
März 4.	δ Cancri	9 27 49,93	5	
	Mond I	9 56 5,62	5	- 0,06
	31 γ 63 q Cancri	9 9 39,16	3	
	Mond I	9 27 46,42	4	- 0,02
	37 Leporis	10 7 42,74	5	
	42	10 12 55,52	5	
April 3.	75 Virg.	11 51 24,61	5	
	36 com.	12 11 58,16	4	
	Mond I	12 24 29,70	5	+ 0,11
	29 γ Virg.	12 33 43,29	4	
4	29 γ	12 33 13,00	5	
	36	12 44 39,27	4	
	51 δ	13 1 19,47	4	
	Mond II	13 22 29,16	5	+ 0,31
Oct. 25.	30 γ Plac.	23 53 25,95	4	
	Mond I	0 10 45,62	5	- 0,87
	420 Plac.	0 27 1,14	5	
	30 m Ceti	0 44 31,12	5	
26.	120 Plac.	0 27 1,15	4	
	30 m Ceti	0 44 31,26	5	
	Mond I	0 56 29,47	5	- 0,22
	106 γ Plac.	1 32 47,63	5	

1833 Oct. 27.	106 γ Plac.	1 <sup>h</sup> 32 <sup>m</sup> 47 <sup>s</sup> 55	5	
	Mond I	1 42 59,09	5	- 0,34
	65 δ Ceti	2 4 12,32	5	
	73 δ	2 19 20,24	5	
29.	4 Ceti	3 2 15,09	5	
	Mond II	3 23 37,04	5	- 0,09
	103 Tauri	3 30 2,49	5	
Nov. 23.	33 Ceti	1 2 1,20	3	
	Mond I	1 24 6,25	5	- 1,03
	110 γ Plac.	1 36 38,03	5	
	225 Ceti	1 51 16,81	4	
Dec. 22.	65 δ	2 4 12,21	5	
	Mond I	2 38 17,26	5	- 0,58
1834 Jan. 19.	37 γ Ceti	2 35 57,96	3	
	Mond I	3 5 7,25	5	- 1,11
	5 γ Tauri	3 21 42,73	5	
20.	Mond I	3 55 57,23	5	- 1,15
	74 α Tauri	4 18 55,69	3	
	α	4 26 24,19	5	
25.	47 δ Cancri	8 35 14,82	5	
	Mond II	9 9 1,14	5	- 1,41
Febr. 16.	2 γ Tauri	10 18 10,31	4	
	Mond I	3 34 15,19	5	- 0,36
	35 γ Tauri	3 51 28,97	5	
	α	4 10 20,90	5	
20.	43 γ Gem.	6 54 15,54	5	
	55 δ	7 10 12,47	5	
	Mond I	7 27 8,99	5	- 0,41
	β Gem.	7 35 9,27	5	
	63 δ	7 43 19,91	4	
22.	4 λ Leon.	9 22 16,10	4	
	Mond I	9 36 6,93	5	- 0,36
	α Leonis	9 59 31,93	3	
März 18.	β Tauri	5 16 47,63	5	
	123 γ	5 27 23,00	4	
	Mond I	5 58 10,33	5	- 1,06
	13 μ Gem.	6 12 54,67	5	

1834 März 18.	27 a Gem.	6 <sup>h</sup> 33' 42"73	5	
19.	27 a —	6 33 42,68	5	
	Mond I	6 58 25,73	5	-0,92
	β Gem.	7 35 8,88	5	
20.	β —	7 35 8,72	6	
	Mond I	8 0 36,06	4	+0,29
	47 d Cancr.	8 35 14,82	5	
	77 ε —	8 59 48,47	5	
24.	3 v Virg.	11 37 20,18	5	
	β —	11 42 3,56	4	
	Mond I	12 5 20,18	5	+0,18
43 d Virg.		12 47 15,38	5	
April 17.	Mond I	8 38 17,39	2	-0,23
	77 ε Cancr.	8 59 47,97	5	
	4 λ Leonis	9 22 14,88	5	
18.	4 λ Leonis	9 22 14,53	5	
	Mond I	9 38 35,63	5	-0,22
	α Leonis	9 59 31,75	5	
	γ —	10 10 49,29	5	
19.	γ —	10 10 48,77	5	
	Mond I	10 37 47,04	5	-0,27
	63 γ Leon.	10 56 47,49	4	
20.	77 b Leon.	11 12 35,06	5	
	Mond I	11 35 48,46	5	-0,25
	β Virg.	11 42 3,65	2	
23.	98 α —	14 4 4,28	5	
	99 i —	14 7 20,32	5	
	Mond II	14 30 59,27	5	-0,21
	α <sup>1</sup> Libr.	14 41 43,60	5	
Mai 20.	α Virg.	13 16 26,58	4	
	79 ζ —	13 26 15,53	5	
	Mond I	14 0 18,57	5	+0,12
	λ Virg.	14 10 9,72	3	
	μ —	14 24 20,50	5	
	α <sup>1</sup> Libr.	14 41 43,74	4	
Juni 17.	Mond I	14 34 16,89	5	-0,08
	27 β Libr.	15 8 6,67	5	
19.	α <sup>1</sup> Scorpil	15 57 42,77	4	
	Mond I	16 31 4,50	5	-0,29
21.	13 μ Sagitt.	18 3 52,15	5	
	22 λ —	18 17 45,63	5	
	Mond II	18 36 51,47	5	+0,06
	41 γ Sagitt.	18 59 55,18	5	
Juli 20.	α <sup>1</sup> Capric.	20 8 52,67	4	
	Mond II	21 28,83	4	-0,11
	16 φ Capric.	26 17,59	2	
	22 γ —	54 59,27	5	
21.	22 γ —	20 54 59,27	5	
	Mond II	21 7 36,32	5	-0,12
	40 γ Capric.	30 55,30	4	
	49 d —	37 54,34	5	
Aug. 15.	27 φ Sagitt.	18 35 19,68	3	
	Mond I	49 29,45	5	-0,17
16.	Mond I	19 48 17,88	3	+0,20
	α <sup>1</sup> Capric.	20 8 52,64	4	
Sept. 12.	Mond I	19 30 32,88	4	+0,13
	62 c Sagitt.	19 52 29,05	5	
	α <sup>1</sup> Capric.	20 8 52,65	4	
13.	62 c Sagitt.	19 52 29,03	5	
	α <sup>1</sup> Capric.	20 8 52,60	4	
	Mond I	27 22,89	4	+0,27

1834 Sept. 13.	22 γ Capric.	20 <sup>h</sup> 54' 59"67	4	
	25 γ —	59 5,12	5	
15.	33 i Aquar.	21 37 30,21	5	
	Mond I	22 12 17,74	5	+0,47
	76 d Aquar.	22 45 52,82	5	
16.	76 d Aquar.	22 45 52,63	4	
	Mond I	23 0 43,14	5	-0,47
	20 n Pisc.	23 39 27,10	5	
17.	20 n Pisc.	23 39 27,22	4	
	Mond I	46 42,68	4	-0,54
		48 45,51	5	-0,51
	12 n Ceti	0 21 36,78	2	
Oct. 10.	62 c Sagitt.	19 52 28,24	5	
	α <sup>1</sup> Capric.	20 8 52,10	4	
	Mond I	20 10 2,57	3	-0,15
	16 φ Capr.	20 36 17,41	5	
Nov. 16.	30 e Tauri	3 39 13,55	4	
	Mond II	5 53 28,98	5	-0,10
	77 d <sup>1</sup> Tauri	4 19 0,52	2	
	α —	4 26 27,16	3	
Dec. 11.	106 γ Pisc.	1 32 50,87	5	
	110 α —	36 41,14	5	
	Mond I	58 58,28	2	-0,64
12.	87 μ Ceti	2 36 1,51	4	
	Mond I	44 51,32	5	-0,63
	57 d Ariet.	3 2 12,22	5	
	2 ε Tauri	18 14,01	5	
13.	102 i —	4 53 14,53	5	
	104 m —	56 42,61	5	
	Mond I	5 18 13,13	5	-0,52
	H Gem.	54 5,38	5	
	7 γ —	6 4 56,00	5	
1835 Jan. 6.	Mond I	0 66 31,37	5	-0,52
	98 μ Pisc.	1 21 82,03	5	
	106 γ —	32 50,37	4	
10.	Mond I	4 2 28,23	5	-0,68
	τ Tauri	32 21,07	5	
11.	γ —	4 82 21,15	5	
	Mond I	55 18,54	5	-0,49
	119 Tauri	5 29 82,70	2	
	123 ζ —	27 47,28	4	
Febr. 6.	38 ε Ariet.	3 15 24,73	4	
	43 i —	3 21 45,36	5	
	Mond I	3 40 39,07	5	-0,52
8.	109 n Tauri	5 59 22,17	5	
	Mond I	5 59 22,17	4	-1,37
	H Gem.	54 5,73	5	
	α —	6 4 55,48	5	
9.	Mond I	6 22 53,41	4	-1,71
	43 ζ Gem.	54 19,54	5	
	55 d —	7 10 16,15	2	
10.	43 ζ Gem.	6 54 19,38	4	
	55 d —	7 10 15,98	5	-2,06
	Mond I	22 28,46	5	
	83 φ Gem.	43 23,80	5	
12.	77 ε Gem.	8 59 52,51	4	
	4 λ Leonis	9 22 18,43	3	
	Mond I	22 43,01	4	-1,20
	30 γ Leonis	58 20,22	2	
	41 γ —	10 10 52,74	5	

März 10.	Mond I	7 <sup>h</sup> 53' 39" 72	5	+ 0,52
	γ Cancri	8 33 44,12	5	
	δ —	8 35 18,44	4	
April 8.	Mond I	9 24 1,90	4	— 1,42
	30 γ Leon.	58 20,56	3	
11.	8 π Virg.	11 52 25,98	4	
	Mond I	12 12 55,79	5	— 1,46
	43 δ Virg.	27 78,76	5	
Juni 9.	46 δ Libr.	15 44 27,87	2	
	Mond I	16 6 30,57	2	+ 0,29
	9 α Oph.	22 23,53	4	
	35 γ —	17 0 56,99	5	
10.	35 γ —	17 0 56,96	5	
	Mond I	12 41,62	5	+ 0,39
	4 b Sagitt.	17 49 45,28	5	
	13 μ —	18 3 55,67	5	
11.	4 b Sagitt.	17 49 45,05	5	
	13 μ —	18 3 55,61	5	
	Mond II	23 24,36	5	+ 0,78
Juli 7.	Mond I	16 40 58,38	5	— 0,24
	42 δ Oph.	17 11 55,02	5	
	51 ε —	21 23,27	5	
Aug. 4.	Mond I	17 20 28,87	5	+ 1,54
	13 μ Sagitt.	18 3 55,81	4	
5.	13 μ Sagitt.	3 55,89	4	
	Mond I	26 4,70	5	+ 1,56
	41 π Sagitt.!	59 59,42	5	
Sept. 2.	Mond I	19 8 43,00	3	+ 0,04
	59 b Sagitt.	46 51,34	5	
	62 ε —	52 33,04	5	
3.	59 b Sagitt.	19 46 51,23	5	
	Mond I	20 11 38,89	5	+ 0,67
	16 ψ Capr.	36 21,71	3	
Nov. 1.	Mond I	0 2 21,34	5	— 0,34
	20 m Ceti	44 37,72	5	
3.	98 μ Pisc.	1 21 35,90	4	— 0,44
	Mond I	32 51,67	4	
	65 F Ceti	2 4 18,97	4	
4.	Mond I	2 13 23,73	4	— 0,60
	π Ariet.	40 8,78	4	
	48 s —	49 50,39	4	
25.	16 ψ Capr.	20 36 20,70	4	
	Mond I	21 12 22,99	4	— 0,33
	49 δ Capr.	37 57,34	4	
1836 Jan. 25.	65 F Ceti	2 4 17,94	3	
	Mond I	15 55,98	6	0,00
	38 Arietis	36 1,02	5	
	42 π —	40 8,11	6	
Febr. 25.	102 I Tauri	4 53 17,81	6	
	Mond I	5 14 1,49	5	+ 0,03
	136 Tauri	43 1,52	6	
	1 h Gem.	54 9,26	6	
26.	136 Tauri	5 43 1,69	6	
	1 h Gem.	5 54 9,68	6	
	Mond I	6 8 25,44	6	0,00
	27 s Gem.	33 51,17	5	

März 30.	63 x Leonis	10 <sup>h</sup> 56' 34" 22	4	
	Mond I	11 8 56,42	6	— 0,15
	3 γ Virg.	37 26,69	6	
1836 April 25.	Mond I	9 53 59,76	2	+ 0,11
	41 γ Leon.	10 10 55,91	6	
	47 ρ —	24 10,86	6	
26.	41 γ Leon.	10 10 56,14	6	
	47 ρ —	24 11,18	6	
	Mond I	44 55,65	6	— 0,02
	77 ρ Leonis	11 12 41,50	6	
	84 r —	19 30,88	6	
27.	Mond I	11 33 14,85	6	+ 0,01
	90 Virg.	56 51,98	6	
	15 η —	12 11 82,23	6	
28.	15 η —	12 11 82,15	6	
	Mond I	25 53,13	6	+ 0,05
	43 δ Virg.	47 22,06	4	
	51 θ —	13 1 29,21	4	
30.	98 x Virg.	14 4 10,91	6	
	Mond I	12 48,95	6	+ 0,33
	9 α Libr.	41 50,50	6	
	15 ξ —	47 54,13	6	
Mai 16.	Mond I	12 52 2,71	7	+ 0,01
	67 α Virg.	13 16 34,98	7	
27.	α Virg.	13 16 34,99	7	
	Mond I	44 25,82	7	— 0,11
	98 x Virg.	14 4 10,93	7	
	100 λ —	10 16,31	7	
28.	Mond I	14 40 30,82	7	— 0,05
	24 i Libr.	15 2 55,04	7	
	38 γ —	26 23,53	4	
29.	24 i Libr.	15 2 54,99	7	
	Mond I	41 28,80	7	— 0,09
	29 α Scorpii	16 19 23,84	6	
	23 r —	25 43,08	5	
Juni 26.	46 δ Libr.	15 44 31,75	7	
	Mond I	16 12 32,85	7	— 0,04
28.	13 μ Sagitt.	18 3 59,63	7	
	19 δ —	10 32,19	7	
	Mond I	31 38,03	7	+ 0,23
	Mond II	34 15,71	7	
	40 r Sagitt.	56 44,11	7	
Sept. 18.	Mond I	18 12 30,46	5	— 0,21
	34 Sagitt.	45 8,40	6	
	38 —	52 13,24	7	
Oct. 21.	20 n Pisc.	23 39 33,31	7	
	Mond I	49 41,23	7	— 0,12
25.	Mond II	3 9 4,05	6	— 0,20
	42 π Ariet.	40 12,27	6	
Nov. 15.	ζ Capric.	21 17 19,79	7	
	s —	27 55,53	7	
	Mond I	47 55,99	7	— 0,23
	57 Aquar.	22 22 0,02	5	
	71 r —	40 56,74	5	
18.	Mond I	0 22 41,34	3	— 0,25
	20 m Ceti	44 40,51	7	
	71 s Pisc.	54 29,05	2	

(Beschluß folgt.)

## Schreiben des Herrn Fischer in Apenrade an den Herausgeber.

Nachstehende Beobachtungen, nebst den daraus abgeleiteten Resultaten, bin ich so frei Ihnen hierdurch zu übersenden. Mit nur geringen Hülfsmitteln versehen, ist die Anzahl meiner Beobachtungen bis jetzt nur klein gewesen, doch glaube ich, daß dieselben, namentlich die zur Bestimmung der Polhöhe angestellten, wohl Zutruhen verdienen, da ich sie mit möglicher Umsicht angestellt habe. Zu meinen Beobachtungen gebrauche ich folgende Instrumente: Eine Pendeluhr, die 4 Wochen in einem Aufzuge geht, und deren Compensation durch eine im Gehäuse befestigte Stange, welche das Pendel trägt, bewirkt wird. Zur Bestimmung des täglichen Ganges derselbe beobachte ich Sternculminationen mit einer Art kleinem Transitinstrument, wenn ich anders ein gewöhnliches mit 3 Verticalfäden und 1 Horizontalfaden versehenes Fernrohr, das rechtwinklig auf einer hölzernen Horizontalachse mit Metallzapfen befestigt ist, so nennen darf. Da sowohl das Instrument an sich, als auch die Aufstellung desselben nicht solid ist, so gebrauche ich es nur zur Bestimmung des Uberganges, den ich bei einer Zwischenzeit von einigen Tagen scharf genug zu erhalten glaube. Die absolute Zeit habe ich aus correspondirenden Sonnenhöhen erhalten, werde dieselbe aber für die Zukunft lieber aus zwei gleichen Sternhöhen bestimmen. Die Beobachtungen für die Polhöhe sind vermittelt eines, auf einer soliden Verticalachse, deren stählerne Zapfen in Metallplatten rotiren, befestigten Fernrohrs mit Kreuzfäden, angestellt. Die Achse wird vor jeder Beobachtungsreihe aufs sorgfältigste genau senkrecht gerichtet, was durch zwei Schieber: am unteren Zapfen bewirkt und durch eine Libelle erreicht ist; das Fernrohr von 30 Zoll Länge und circa 16mal Vergrößerung wird durch Schrauben unverrückbar mit der Achse verbunden, und da die Beobachtungen in ziemlich kurzer Zeit eingeschlossen sind, glaube ich die Unveränderlichkeit des Ganzen verthuen zu können. Nach der Beobachtung jedes Sterns besichtige ich die Libelle, und sobald sich eine Veränderung an derselben zeigt, die Beobachtungsreihe verworfen. Aus den auf diese Art erhaltenen Bestimmungen habe ich ohne irgend einige Rücksicht die angeführten genommen und berechnet, mehrere noch unberechnete habe ich vorhanden. Die Sternbedeckungen endlich habe ich mit einem von mir selbst verfertigten Newton'schen Spiegeltelescop beobachtet, das nemliche, das ich bei der Sonnenfinsternis am 15<sup>ten</sup> Mai 1836 anwandte. Bei der Mondfinsternis im Octbr. v. J. hatte ich das Unglück, daß der große Spiegel durch das Zurückweichen einer Schraube gelöst, aus dem Rohr fiel und zerbrach, ein Verlust, den ich bis jetzt nicht habe ersetzen können, so daß ich für den Augenblick fast ohne Fernrohr bin.

Die Formeln der Berechnung der Sternbedeckungen sind die Bessel'schen, aus Ihren Abz. Nachr., deren Mittheilung ich der zuvorkommenden Güte unsers Herrn Dr. Neuber veranke. Für die übrigen Berechnungen habe ich J. J. Littrow's theoretische und praktische Astronomie, 2 The. 1821, als Leitfaden gebraucht; Schade, daß dies schätzbare Werk durch so viele Druckfehler entstellt ist. Die gebrauchten Logarithmen sind die Göttingen von *Vlamin*, die Angaben des Nautical-Almanachs zu Grunde gelegt, und die dort nicht angegebenen Sterne aus *Bode's* großem Verzeichnisse, meinem einzigen Sternkataloge, genommen. Meinen

\*) Herr Fischer könnte aus dem bekannten Werthe der Niveau-theile (wenn sonst Theilungen darauf sind) die nöthige Correction berechnen.

Beobachtungsort, am Südende der Stadt, schätze ich 15' südlicher und 1" in Zeit östlicher als die hiesige Kirche.

Beobachtet in gleicher Höhe.			Grafend. Polhöhe
1837 Juni 15.	$\alpha$ Cassiopeæ	11 <sup>h</sup> 8' 1" M. Z.	} = 55° 2' 35"
	$\alpha$ Aquilæ	11 12 26	
	$\gamma$ Pegasi	11 59 3	
Die Uhr eilte täglich vor M. Z. = 12 <sup>9</sup> .			
Jul 22.	$\gamma$ Pegasi	10 52 37	} = 55° 2' 31"
	$\alpha$ Androm.	11 18 13	
	$\alpha$ Persæi	12 38 22	
Sept 21.	$\beta$ Tauri	10 44 35	} = 55 2 29,2
	$\alpha$ Ceti	10 47 33	
	$\alpha$ Tauri	11 5 30	
Die Uhr ging genau M. Z.			
Nov. 25.	$\beta$ Gemin.	11 43 32	} = 55 2 23,1
	$\gamma$ Gemin.	11 54 54	
	$\alpha$ Urs. maj.	12 1 55	
Tägl. Accel. der Uhr = 5".4.			

Mittel aus diesen vier Bestimmungen: 55° 2' 29", worin ich einatweilen 55° 2' 30" in meinen Berechnungen annehme.

Bedeckung von  $\alpha$  Gemin. 1835 Aug. 19.

Eintr. 14<sup>h</sup> 16' 3" Apenr. M. Z. Nicht ganz sicher.

Austr. 15 14 27,0 — Scharf.

Die Zeitbestimmung beruht auf mehreren Höhen Jupiter's, zwisch beiden Beobachtungen mit einem guten Schiffssocleten von O horizonze genommen. Die gebrauchte Uhr war nur eine gewöhnliche Secundenuhr, die aber sehr gut ging. Die Bedeckung des Sterns ist auch in Altona beobachtet. Eintritt 14<sup>h</sup> 15 37,9 Austritt 15<sup>h</sup> 14' 4" 52 M. Z. mit der Abplattung  $\frac{1}{6}$ , inde ich nach Bessel's Methode, den Nautical-Almanach gebrauchte,

für Altona {Eintr.  $d = +39' 44'' 95 + 1,9406 \alpha + 0,1412$   
 {Austr.  $d = +39 49,42 + 1,9417 \alpha - 0,3089$

Apenrade {Eintr.  $d = +37 25,41 + 1,9421 \alpha + 0,2300$   
 {Austr.  $d = +37 41,80 + 1,9416 \alpha - 0,2101$

Eintr. von  $\lambda$  Caneri 1837 Mai 14. 9<sup>h</sup> 51' 45" Mittl. Z.  
 $d = +37 56,79 + 2,0234 \alpha - 2,1174$

Zu dieser Bedeckung wünschte ich gern correspondirende in t halten. Die Zeitbestimmung beruht auf 6 gut übereinstimmend Höhen beider Sonnenränder.

Noch habe ich 1837 Mai 7 den Eintritt eines Sterns 9<sup>h</sup> 55' 18" beobachtet; mit den scheinbaren Oertern des Sun 81° 44' 16" 2 + 26° 49' 7" habe ich die Berechnung versuch aber ein so abweichendes Resultat erhalten, daß wenn auch der in Rechnung genommene Stern der richtige ist, ein Fehl beim Notiren der Zeit von mir gemacht worden ist.

1837 Jul 27 um 9<sup>h</sup> 12' M. Z. erblickte ich von meinem Zimmer aus eine Feuerkugel, deren scheinbare Bewegung senkrecht d den Horizont war, und die vom Zenith zu kommen schien. D selbe durchlief in etwa 2 Sec. 8 bis 10°, erschien in einem hell weissen Lichte, eine gleich verschwindende Funkenspur hinterlassend, und erschall ohne Geräusch in einer Höhe von ungefähr 2 und einem östlichen Azimuth von 15 bis 20° vom Norden angeseh Den scheinbaren Diameter, der bis zum Verschwinden zunahm schätzte ich auf 8 Bogenminuten wenigstens, als das Meteor v schwand. Aus Zeitnozen ersah ich, daß dasselbe sich in Oist bemerkt worden war, wo indessen die Bewegung als von Ost n West gebend angeführt ist, was, wenn es sonst richtig ist, mit ziemliche Nähe der Erscheinung zu deuten scheint.

Fischer.

### Ueber den Einfluß der Strahlenbrechung auf Sonnenfinsternisse und Sternbedeckungen.

Ein Nachtrag zu der in Nr. 339–342 abgedruckten Abhandlung.

Von Herrn Professor und Ritter *Hansen*,  
Director der Sternwarte in Seeberg.

In der Theorie der Verfinsterungen hat man nie die Einwirkung der Strahlenbrechung entwickelt. Man hat entweder geradezu gesagt, daß diese keine Wirkung auf die Verfinsterungen ausübe, oder man hat dieses wenigstens stillschweigend angenommen. Dieses ist aber nicht richtig, denn die Strahlenbrechung ist nicht ohne Einfluß auf die Zeit, Dauer und die Oerter des Anfangs oder Endes einer Verfinsterung oder Sternbedeckung. Von gleich in den meisten Fällen diese Wirkung unberücksichtigt ist. In den folgenden Zeilen, die ich als einen Nachtrag meiner in Nr. 339–342 abgedruckten Abhandlung anzuzeigen will, werde ich das Wesentlichste dieser Einwirkung auseinandersetzen.

Denken wir uns zuerst den Anfang oder das Ende einer Verfinsterung oder Sternbedeckung von der Erde aus gesehen. In Augenblicke der Berührung haben der Stern und der beobachtete Punkt des Mondrandes oder dieser und der bezügliche Punkt des Sonnenrandes gleiche scheinbare Zenithdistanz, und die Strahlenbrechung der beiden sich berührenden Punkte ist dieselbe, weil in unsern Tafeln und Formeln die Strahlenbrechung nur von der scheinbaren Zenithdistanz und keinesweges von der Entfernung des Himmelskörpers abhängt. Hiemit scheint also, als ob die Strahlenbrechung gar keine Wirkung auf Sonnenfinsternisse oder Sternbedeckung äußere. Nehmen aber unsern Standpunkt im Raume, und betrachten den Schattenkegel. Denken wir zuerst die Atmosphäre der Erde weg, so geben die Formeln der genannten Abhandlung genau Durchschnittspunkte des Schattenkegels und der Erdoberfläche, denken wir uns aber hierauf die Atmosphäre hinzu, so dadurch bewirkt, daß die Lichtstrahlen, welche die Oberfläche des Schattenkegels bilden, bei ihrem Durchgange durch die Atmosphäre gekrümmt, oder mit andern Worten, von der Linie abgelenkt werden. Die durch die Durchschnittspunkte des Schattenkegels und der Erdoberfläche gebildete Linie wird also in der That, wegen des Vorhandenseyns der Atmosphäre, andere Punkte der Erdoberfläche treffen, als die, welche in der genannten Abhandlung, wo die Strahlenbrechung nicht berücksichtigt wurde, bestimmt wurden. Die Strahlen-

brechung ist also nicht ohne Einfluß auf Sonnenfinsternisse und Sternbedeckungen.

Diese Ansicht steht mit der zuerst gegebenen, wo der Standpunkt des Beobachters sich auf der Erde gedacht wurde, im Widerspruch, indem durch diese abgeleitet wurde, daß die Strahlenbrechung keine Wirkung auf diese Erscheinungen äußere. Geben wir der Sache aber näher auf den Grund, so zeigt sich, daß beide Ansichten mit einander übereinstimmen, und daß der Widerspruch nur scheinbar ist, indem in der That die Strahlenbrechung nicht nur von der scheinbaren Zenithdistanz, sondern auch von der Entfernung des Himmelskörpers abhängt. Sie ist streng genommen nicht einerlei für den Mondrand und den Stern oder den Sonnenrand, wenn diese auch scheinbar mit einander in Berührung sind. Um dies zu zeigen erinnere ich daran, daß die durch unsere Formeln und Tafeln berechnete Strahlenbrechung der Winkel ist, den die Tangenten der beiden Endpunkte der Curve, welche der Lichtstrahl beschreibt, indem er die Atmosphäre durchläuft, mit einander machen. Dieser Winkel wird bei der Herleitung der Strahlenbrechung aus den allgemeinen Gleichungen der Bewegung in Function des Winkels, welchen die an der Oberfläche der Erde befindliche Tangente der Curve des Lichtstrahls mit der durch diesen Punkt gehenden Verticale macht, also in Function der scheinbaren Zenithdistanz ausgedrückt. Da aber die Verlängerung der Tangente zu dem andern Endpunkte der Curve des Lichtstrahls diese Verticale nicht so der Oberfläche der Erde, (im Auge des Beobachters,) sondern in einer gewissen Höhe über derselben trifft, so ist nur in dem Falle, wo die Entfernung des Himmelskörpers unendlich groß ist, die durch die Strahlenbrechung verbesserte scheinbare Zenithdistanz die wahre Zenithdistanz. In allen Fällen, wo die Entfernung des Himmelskörpers endlich ist, ist die wahre Zenithdistanz kleiner, als die durch unsere Strahlenbrechung verbesserte scheinbare Zenithdistanz. Es ist mir nicht bekannt, daß je die GröÙe dieser von der Entfernung des Himmelskörpers abhängigen Correction der Strahlenbrechung entwickelt worden wäre; es wird in der Mec. ecl. und in andern diesen Gegenstand behandelnden



Schriften nur gesagt, daß sie sehr klein und selbst für den Mond unmerklich sey. es ist indeß ein Leichtes, sie aus der in der Mec. cel. befindlichen Theorie der Strahlenbrechung zu entwickeln.

Ich entnehme aus diesem Werke (Tom. IV. pag. 244) die Gleichung

$$(1) \dots \dots \frac{c}{a} = n \sqrt{1 + \frac{4K}{n^2}(\rho)} \cdot \sin \Theta$$

wo  $\Theta$  die scheinbare Zenithdistanz,  $n$  die Geschwindigkeit des Lichts im leeren Ranne,  $n \sqrt{1 + \frac{4K}{n^2}(\rho)}$  die Geschwindigkeit desselben an der Oberfläche der Erde,  $a$  der Halbmesser der Erde und  $c$  eine Constante ist. Um  $c$  zu bestimmen dient die Gleichung

$$(2) \dots \dots \dots r^2 dv = c dt$$

wo  $t$  die Zeit,  $r$  der vom Mittelpunkt der Erde an den in irgend einem Punkte seiner Bahn befindlichen Lichtstrahl gezogene Radius und  $v$  der Winkel ist, den dieser Radius zur Zeit  $t$  mit dem Vertical am Orte des Beobachters, oder mit dem durch diesen Ort gelegten Radius der Erde, welche als kugelförmig angesehen wird, macht.

Um die Bedeutung von  $c$  zu finden betrachte ich den Lichtstrahl bei seinem Eintritte in die Atmosphäre. In diesem Punkte ist  $r = a'$ , wenn  $a'$  den Halbmesser der Erde vermehrt um die Höhe der Atmosphäre bedeutet, und es durchläuft in dem Zeittheilchen  $dt$  der Lichtstrahl den Weg  $n dt$ . Nennen wir nun  $\varphi$  den Winkel, den der Lichtstrahl in diesem Augenblicke mit dem Radius  $r$  oder  $a'$  macht, so ist dessen senkrecht auf  $r$  zerlegte Bewegung während des Zeittheilchens  $dt$  und während dessen Eintritts in die Atmosphäre  $= n dt \sin \varphi$ , andertheils ist aber dieselbe Bewegung  $= r dv$ . Wir haben daher, wenn wir diese Werthe von  $r$  und  $r dv$  in die Gleichung (2) substituiren

$$c = a' n \sin \varphi$$

und da  $r$  senkrecht auf der Oberfläche der Atmosphäre steht, so ist  $\varphi$  der Einfallswinkel des Lichtstrahls an der obern Grenze derselben. Substituiren wir nun diesen Werth von  $c$  in die Gleichung (1), so ergibt sich

$$(3) \dots \dots \dots \frac{a'}{a} \sin \varphi = \sqrt{1 + \frac{4K}{n^2}(\rho)} \cdot \sin \Theta$$

Betrachten wir jetzt das Dreieck zwischen dem Mittelpunkt der Erde dem Punkt des Eintritts des Lichtstrahls in die Atmosphäre und dem Punkte, in welchem die verlängerte Tangente am Eintrittspunkte den verlängerten Vertical des Beobachters schneidet. In diesem Dreieck ist die eine Seite  $a'$  und die andere  $a + x$ , wenn  $x$  die Höhe über der Erdoberfläche bedeutet, in welcher jene Tangente die verlängerte Verticale des Beobachters

schneidet. Es sind ferner in diesem Dreieck die den obigen Seiten resp. gegenüber liegenden Winkel  $180^\circ - (\Theta + \delta)$  und  $\varphi$  wo  $\delta$  die zur scheinbaren Zenithdistanz  $\Theta$  gehörige aus der Tafeln zu entnehmende Strahlenbrechung bezeichnet. Wir haben daher

$$a + x = \frac{\sin \varphi}{\sin(\Theta + \delta)} a'$$

und hieraus, wenn wir den Werth von  $a' \sin \varphi$  aus (3) substituiren,

$$1 + \frac{x}{a} = \frac{\sin \Theta}{\sin(\Theta + \delta)} \sqrt{1 + \frac{4K}{n^2}(\rho)}$$

lösen wir diese Gleichung in eine unendliche Reihe auf, wo bleiben bei der ersten Potenz der GröÙe  $\frac{4K}{n^2}(\rho)$ , und bei der zweiten von  $\delta$  stehen, so ergibt sich

$$\frac{x}{a} = \frac{2K}{n^2}(\rho) - \delta \cot \Theta + \delta^2 \frac{1 + \cos^2 \Theta}{2 \sin^2 \Theta}$$

oder

$$\frac{x}{a} = \frac{2K}{n^2}(\rho) - k + \frac{1}{2} k^2 (1 + \sec^2 \Theta)$$

wo  $k$  die sogenannte Constante der Strahlenbrechung oder  $\delta = k \Theta$  ist. Die erste dieser Formeln dient für die der Horizont am nächsten befindlichen 5 Höhengraden, die zweit für den übrigen Theil des Himmels, und man kann hier unbedenklich  $k^2$  übergehen.

Wenn aber in der Höhe  $x$  über der Oberfläche der Erde die Zenithdistanz eines Gestirns, dessen Horizontalparallaxe,  $z$  genannt wird, so ist dessen Zenithdistanz an der Oberfläche der Erde sehr nahe  $=$

$$z = \frac{x}{a} \sin \pi \sin z$$

wir halten daher in unserem Falle, wo  $z = \Theta + \delta$ , und wegen der Kleinheit der ganzen Correction im zweiten Glied unbedenklich  $\Theta$  für  $z$  gesetzt werden darf, die wahre an der Oberfläche der Erde statt findende Zenithdistanz irgend eines Himmelskörpers

$$\Theta + \delta = \left\{ \frac{2K}{n^2}(\rho) - \delta \cot \Theta + \delta^2 \frac{1 + \cos^2 \Theta}{2 \sin^2 \Theta} \right\} \sin \pi \sin \Theta$$

oder

$$\Theta + \delta = \left\{ \frac{2K}{n^2}(\rho) - k + \frac{1}{2} k^2 (1 + \sec^2 \Theta) \right\} \sin \pi \sin \Theta$$

Das zweite Glied  $\delta$  dieses Ausdrucks der wahren Zenithdistanz hat keine Wirkung auf Sonnenfinsternisse und Sternbedeckungen, weil es für beide Gestirne einerlei ist, Zahl gegen sich aber die folgenden Glieder, weil sie für beide Gestirne verschieden sind, nicht ohne Einfluß. Um die Größe dieses Einflusses zu ermitteln, werde ich den numerischen Werth dieser Glieder für den Mond, für welchen sie auf jed

Fall am merklichsten werden müssen, berechnen. Es ist (Mec. cél. Tom. IV. p. 246) für den Barometerstand von 0<sup>m</sup>76 und für die Temperatur des schmelzenden Eises

$$\frac{2K}{n^2}(e) = 0.000294047$$

und die Horizontalparallaxe des Mondes im Mittel = 57' 3"; hiemit und mit der Bessel'schen Strahlenbrechung findet sich

Wenn die scheinbare Zenithdistanz des Sterns oder $\Theta$	= 90°	die wahre Zenithdistanz desselben	= $\Theta + \theta$
	89		— 0,651
	88		— 0,389
	87		— 0,253
	86		— 0,176
	85		— 0,127
	80		— 0,042
	70		— 0,014
	60		— 0,007
	50		— 0,003
	40		— 0,002
	30		— 0,002
	20		— 0,001
	10		— 0,001
	0		0

Für jedes andere Gestirn findet man hieraus die betreffende Correction, wenn man die obigen Größen mit dem Verhältniß der Horizontalparallaxe dieses Gestirns zur Horizontalparallaxe des Mondes multiplicirt. Für die Sonne muß man also die obigen Zahlen mit  $\frac{1}{355}$  multipliciren, voraus sogleich sichtbar ist, daß für diese die Correction völlig unmerklich ist.

Denken wir uns nun durch die Formeln der Anfangs angelegten Abhandlung die Zeit berechnet, in welcher bei Anfang oder Ende einer Sonnenfinsterniß die Ränder der Sonne und des Mondes, oder bei einer Sternbedeckung der Stern und der Mondrand mit einander in Berührung seyn müßten, und denken wir uns ferner die Gestirne in Einem Vertical über einander stehend, so sind in der That die Ränder der beiden Gestirne nach Maßgabe der Zenithdistanz um die oben bezeichneten Größen von einander entfernt. Ist nun zugleich die relative Bewegung derselben grade auf ihre Mittelpunkte gerichtet, so wird der Ein- oder Austritt um so viel früher oder später erfolgen, als sie brauchen, um die oben angegebenen Seilen zu durchlaufen. Die stündliche relative Bewegung der Sonne und des Mondes ist im Mittel = 30' 29" und folglich in diesem Falle die Correctionen des Anfangs und Endes der Sonnenfinsterniß die folgenden:

Bei 90° Zenithdistanz	Correction = 2' 42
89	1,28
88	0,77
87	0,50
86	0,34
85	0,23
80	0,08
70	0,03
etc.	etc.

Wenn, während die übrigen Umstände dieselben sind wie vorher, die relative Bewegung nicht vertical ist, so vergrößern sich die vorstehenden Correctionen der Ein- und Austrittszeiten im Verhältnisse der Secante des Winkels, den die relative Bewegung mit dem Verticalkreise macht. Ist z. B. dieser Winkel 60°, so sind die Correctionen doppelt so groß, aber es entspricht diesen Umständen eine Verfinsternung von nur  $\frac{1}{3}$  der Sonnenscheibe. Bei größerer Neigung der relativen Bewegung wird die Correction natürlich noch größer, aber es ist zugleich die Verfinsternung noch kleiner, und deshalb an sich von minder großem Werthe. Z. B. damit die Correction bei 85° Zenithdistanz Eine Secunde betrage muß der Winkel der relativen Bewegung mit dem Vertical 75° 30' betragen, und das Maximum der Verfinsternung beträgt in diesem Falle nur  $\frac{0.7}{12}$  der Sonnenscheibe; bei 80° Zenithdistanz wäre in diesem Falle die Correction nur 0' 3 und folglich bei kleineren Zenithdistanzen noch kleiner.

Wir haben hiemit das eine Extrem, nemlich wenn beide Gestirne in Einem Vertical stehen, betrachtet, nehmen wir nun das andere Extrem, nemlich den Fall, wo sie gleiche Zenithdistanzen haben, vor. Da die obige Einwirkung der Strahlenbrechung, so wie diese selbst, in der Richtung des Verticals sich äußert, so ist von selbst klar, daß in dem jetzigen Falle die Entfernung der Ränder, und also auch die von der Strahlenbrechung erzeugte Correction der Ein- und Austrittszeiten nur eine Größe der dritten Ordnung in Bezug auf die oben angeführten numerischen Größen seyn kann, und daher selbst im Horizonte unmerklich ist. Wir haben also oben das Maximum der Einwirkung der Strahlenbrechung auf Sonnenfinsternisse und Sternbedeckungen betrachtet, und können daher allgemein schließen, daß ohgleich in den meisten Fällen (nemlich wenn die Höhe der Gestirne nicht unbedeutend ist) diese Einwirkung unbedeutlich, und zu vernachlässigen ist, doch Fälle vorkommen können, (nemlich wenn die Höhe der Gestirne oder das Maximum der Verfinsternung klein ist) wo sie nicht vernachlässigt werden darf; wir wollen daher zur genauern Berechnung dieser Einwirkung übergehen.

Diese läßt sich sehr einfach dadurch bewerkstelligen, daß man statt des Punktes der Oberfläche der Erde, wo der Beobachter sich befindet, in den Formeln der genannten Abhandlung den Punkt der Vertical des Beobachtungsortes anwendet, in welchem diese von der Tangente der äußeren Extremität der Lichtcurve geschnitten wird. Es folgt nemlich aus dem Vorhergehenden, daß der Lichtstrahl, welcher, wenn die Atmosphäre nicht da wäre, in diesen Punkt gelangen würde, in der That vermöge der brechenden Kraft der Atmosphäre in das Auge des Beobachters gelangt. Wir müssen also die Lage dieses Punktes in Beziehung auf das Erdellipsoid be-

rechnen. Sey wie in der angeführten Abhandlung  $\phi'$  die Polhöhe des Beobachtungsortes und  $c$  die Abplattung des Erdellipsoids, dann hat man erstlich den Erdradius  $\rho$  und die geocentrische Breite durch folgende Formeln

$$\rho \sin \phi = \frac{(1-c)^2 \sin \phi'}{\sqrt{(\cos^2 \phi' + (1-c)^2 \sin^2 \phi')}}.$$

$$\rho \cos \phi = \frac{\cos \phi'}{\sqrt{(\cos^2 \phi' + (1-c)^2 \sin^2 \phi')}}.$$

durch welche man  $\rho$  in Theilen des Aequatorealhalbmessers ausgedrückt erhält. Seyen nun auf dieselbe Höhe bezogen  $h$  die Höhe des Beobachtungsortes über dem Meere, und  $x$  die Höhe des genannten Punktes über der Oberfläche der Erde, so erhalten wir, wenn wir diesen Punkt der Verticale durch eine grade Linie, deren Länge ich  $\rho$ , nennen will, mit dem Mittelpunkte der Erde verbinden, ein ebenes Dreieck, dessen Seiten  $\rho$ ,  $h+x$  und  $\rho$  sind, und in welchem der der Seite  $\rho$  gegenüber liegende Winkel =  $180^\circ - (\phi' - \phi)$  ist; nennen wir ferner den Winkel, welchen der Radius  $\rho$  mit dem Aequatorealhalbmesser macht,  $\phi$ , so ist in unserm Dreiecke der der Seite  $h+x$  gegenüber liegende Winkel =  $\phi$ ,  $\phi - \phi$  und wir erhalten durch die ebene Trigonometrie

$$\rho \sin (\phi - \phi) = (h+x) \sin (\phi' - \phi)$$

$$\rho \cos (\phi - \phi) = \rho + (h+x) \cos (\phi' - \phi)$$

aus welchen Formeln  $\rho$  und  $\phi$  berechnet werden müssen, nachdem  $x$  berechnet worden ist. Die Größen  $\rho$  und  $\phi$  bestimmen also die Lage des genannten Punktes in Beziehung auf das Erdellipsoid, und wir berücksichtigen den Einfluss der Strahlenbrechung vollständig dadurch, dass wir in allen Formeln der mehrmals genannten Abhandlung  $\rho$  und  $\phi$ , resp. statt  $\rho$  und  $\phi$  substituiren, und übrigens auch in den Aufgaben, die von Maximis oder Minimis abhängen, auf die Veränderlichkeit von  $x$  Rücksicht nehmen.

Die Größe  $x$ , welche mit der oben  $\frac{x}{a}$  bezeichneten Größe identisch ist, hängt von der scheinbaren Zenithdistanz ab, und kann wenigstens in dem Falle, wo die größte Genauigkeit wesentlich ist, nemlich bei der Berechnung der Längendifferenzen aus beobachteten Verluststörungen oder Sternbedeckungen, direct berechnet werden. In den übrigen Fällen kann man, wenn man strenge verfahren will, nur durch indirecte Rechnung zum Ziele gelangen, und diese fängt man in den Aufgaben, wo  $\phi$ , oder  $\phi$  oder  $\phi'$  eine unbekannte Größe ist, damit an, dass man  $\rho = 1$  setzt. Da  $x$  immer eine sehr kleine Größe ist, so braucht man in allen Fällen, die vorkommen können, die Zenithdistanz nie sonderlich genau zu berechnen, und man kann sich fast immer begnügen, statt der scheinbaren Zenithdistanz des Punktes, wo die Verfinstörung anfängt oder endigt,

die wahre Zenithdistanz des Punktes ( $\alpha$ ,  $d$ ) zu substituiren. Diese wird ohnehin in mehreren der hierher gehörigen Aufgaben gebraucht, denn wenn man sie  $\alpha$  nennt, so ist

$$\cos \alpha = \sin \phi, \sin d + \cos \phi, \cos d \cos (15' + \alpha')$$

und man sieht sogleich, dass die rechte Seite dieser Gleichung in den Formeln der genannten Abhandlung vorkommt.

Die obigen Formeln zeigen ferner, dass es selten oder nie nützlich seyn wird den Winkel  $\phi$ , von  $\phi$  zu unterscheiden, denn da der Unterschied zwischen  $\phi$  und  $\phi'$  höchstens 11 bis 12 Minuten beträgt, und  $\frac{h+x}{\rho}$  selten größer als  $\frac{1}{1000}$  ist, so kann  $\phi$ ,  $\phi$  selten  $0.25$  erreichen. Man kann daher fast ohne Ausnahme

$$\phi, \phi = 0$$

$$\text{und} \quad \rho = \rho + h + x$$

setzen. Um die Berechnung von  $x$  zu erleichtern habe ich aus der *Bezelschen* Refractionstafel das folgende Tablechen berechnet, dessen Argument die scheinbare Zenithdistanz ist.

Z. D.	$x$	Z. D.	$x$
$90^\circ 0'$	0,0003531	$86^\circ 30'$	0,0000610
$89^\circ 50'$	3155	$86^\circ 0'$	504
40	2631	$85^\circ 30'$	420
30	2548	85	361
20	2301	84	271
10	2085	83	209
$89^\circ 0'$	1897	82	167
$88^\circ 50'$	1731	81	135
40	1584	80	111
30	1453	70	29
20	1337	60	13
10	1234	50	6
$88^\circ 0'$	1140	40	0,0000004
$87^\circ 30'$	905	0	0,0000000
$87^\circ 0'$	738		

Ich benutze diese Gelegenheit, um einige in der angegebenen Abhandlung heftigste Druckfehler anzuzeigen.

Druckfehler in Nr. 339 — 342.

pag. 34	Zeile 1 v. d.	statt	$(x, x' + y, y' + z, z')$	lies	$(x, x' + y, y' + z, z')$
— 35	— 14 v. o.	— zu lassen	—	—	—
— 42	— 8 v. u.	— $\sin \phi$	—	—	—
— 43	— 10 v. u.	— $n' \cos N'$	—	—	—
— 51	— 15 v. u.	— $r \cos d$	—	—	—
— 59	— 5 v. o.	— (17) und (22)	—	—	—
— 63	— 24 v. u.	— Störungen	—	—	—
— 70	— 23 v. o.	— Mittelpunkt	—	—	—
— 73	— 2 v. u.	— $W$	—	—	—
— 88	— 1 v. u.	— fälschlich	—	—	—
— 101	— 11 v. o.	— längen	—	—	—

Hansen.

Planetenebeobachtungen am Meridiankreise der Sternwarte zu Kremsmünster sammt ihrer Vergleichung  
mit dem Berliner Astr. Jahrbuche.

## J u p i t e r.

1835 Dec.	18.	13 <sup>h</sup> 7 <sup>m</sup> 51 <sup>s</sup> 47	m. Z. Kr.	AR. = 6 <sup>h</sup> 55 <sup>m</sup> 23 <sup>s</sup> 23	Decl. = +22° 52' 38" 8	$da = +0^{\circ} 85$	$d\delta = -1^{\circ} 5$
	22.	12 49 56,40	—	53 11,32	56 2,2	+ 0,51	+ 0,8
1835 Januar	6.	11 42 19,04	—	44 31,03	23 8 22,7	+ 0,61	- 4,5
	7.	37 48,49	—	43 56,72	9 4,0	+ 0,26	- 0,8
	8.	33 18,31	—	43 22,20	9 47,0	+ 0,24	+ 0,6
	9.	28 47,92	—	42 47,59	10 33,2	+ 0,54	- 2,0
	11.	19 48,23	—	41 39,56	11 53,3	+ 0,54	+ 3,1
	13.	10 49,69	—	40 32,69	13 18,6	+ 0,36	- 0,4
	14.	6 21,02	—	39 59,85	14 0,1	+ 0,12	- 1,7
	21.	10 35 9,87	—	36 18,62	18 14,3	+ 0,19	+ 1,2
Febr.	5.	9 29 47,74	—	29 54,64	25 5,8	+ 0,35	+ 4,5
	10.	8 35,09	—	28 21,18	26 47,8	+ 0,29	+ 1,4
	21.	8 23 5,21	—	26 6,21	29 25,3	+ 0,43	+ 1,5
	23.	14 59,81	—	25 52,61	29 47,3	+ 0,50	- 0,1
	27.	7 58 59,69	—	25 35,78	30 17,8	+ 0,59	+ 2,9
	28.	55 2,22	—	25 34,31	30 26,4	0,00	+ 1,3
März	1.	47 8,77	—	25 32,48	30 38,2	+ 0,37	+ 1,0
	9.	16 8,90	—	26 0,27	31 4,6	+ 0,54	+ 0,3
	20.	6 34 58,82	—	28 5,29	30 34,4	+ 0,35	+ 4,0
	22.	27 39,66	—	28 38,21	30 22,2	+ 0,47	+ 3,1
	25.	16 47,21	—	29 33,62	—	+ 0,31	—
	26.	13 10,89	—	29 53,48	—	+ 0,36	—
	27.	9 35,92	—	30 14,21	—	+ 0,24	—

## V e s t a.

1836 März	5.	13 <sup>h</sup> 19 <sup>m</sup> 47,65	m. Z. Kr.	AR. = 12 <sup>h</sup> 14 <sup>m</sup> 52 <sup>s</sup> 06	Decl. = +11° 3' 31" 2	$da = +2^{\circ} 87$	$d\delta = -15^{\circ} 4$
	9.	0 52,85	—	11 40,89	36 34,3	+ 3,03	- 11,3
	12.	12 46 32,06	—	9 7,78	12 0 51,1	+ 3,04	- 12,9
	15.	32 5,60	—	6 28,07	24 24,2	+ 3,35	- 20,9
	19.	12 42,24	—	2 49,58	53 50,3	+ 3,09	- 21,5
	20.	7 52,49	—	1 54,08	13 0 40,0	+ 3,34	- 13,3
	21.	3 2,17	—	0 59,11	—	+ 3,00	—
	22.	11 58 11,01	—	0 3,91	13 14 5,0	+ 2,92	- 14,7
	23.	53 20,35	—	11 59 8,79	20 29,8	+ 2,88	- 14,8

## S a t u r n u s.

1836 April	8.	12 <sup>h</sup> 57 <sup>m</sup> 48 <sup>s</sup> 40	m. Z. Kr.	AR. = 14 <sup>h</sup> 6 <sup>m</sup> 42 <sup>s</sup> 21	Decl. = —9° 43' 40" 8	$da = +0^{\circ} 28$	$d\delta = —$
	16.	23 56,33	—	4 26,85	—	+ 0,24	- 15° 0
	18.	15 29,82	—	3 52,66	40 35,3	- 0,11	13,1
	20.	7 3,45	—	3 17,85	37 23,7	+ 0,01	17,9
	23.	11 54 23,52	—	2 26,54	32 47,8	+ 0,22	15,1
	24.	50 10,44	—	2 8,22	31 15,5	+ 0,19	15,2
	25.	45 56,92	—	1 50,64	29 41,9	+ 0,44	17,0
Mai	3.	12 13,48	—	13 59 34,19	17 47,7	+ 0,12	16,5
	4.	8 0,80	—	59 17,44	16 21,1	+ 0,13	17,0

1836 Mai	5.	11 <sup>h</sup> 3' 48' 36" m. Z. Kr.	AR. = 13 <sup>h</sup> 59' 0' 76"	Decl. = -9° 14' 54" 8	$\alpha x = +0' 19$	$\delta d = -16' 0$
	7.	10 55 33,64	58 27,64	12 7,6	+0,40	17,2
	8.	51 11,51	58 11,45	—	+0,30	—
	19.	5 9,95	55 23,71	- 8 56 51,7	+0,15	-20,0
	20.	0 59,99	55 9,63	55 43,8	+0,16	20,4
	22.	9 52 40,32	54 42,17	53 39,5	+0,20	14,5
Jun.	7.	8 46 45,82	51 41,79	40 16,7	-0,09	19,3
	10.	34 32,63	51 16,17	38 44,8	+0,28	14,5
	11.	30 29,02	51 8,42	38 13,3	+0,28	17,8
	14.	18 20,16	50 47,28	36 59,1	+0,21	19,5
	16.	10 15,77	50 34,71	36 23,6	+0,34	17,0
	23.	7 42 12,62	50 2,83	35 18,0	-0,07	15,9

## Pallas.

1836 Juli	28.	12 <sup>h</sup> 46' 56" 31" m. Z. Kr.	AR. = 21 <sup>h</sup> 13' 36" 26"	Decl. = +13° 55' 8" 5	$\alpha x = +2' 21$	$\delta d = +31' 0$
August	13.	18 49,94	9 4,57	15 8,8	2,14	35,3
	4.	14 7,80	8 18,14	7 48,3	2,39	28,4
	8.	11 55 19,03	5 12,77	12 35 37,1	1,96	37,1
	13.	31 48,33	1 20,86	11 50 52,6	2,33	35,6
	22.	10 49 47,77	20 54 42,27	10 18 55,2	2,13	34,5

## Ceres.

1836 Aug.	31.	12 <sup>h</sup> 57' 6" 09" m. Z. Kr.	AR. = 23 <sup>h</sup> 37' 50" 82"	Decl. = -19° 38' 46" 2	$\alpha x = +0' 59$	$\delta d = +8' 8$
Sept.	1.	52 23,18	37 4,10	45 5,4	+0,59	+12,7

## Uranus.

1836 Aug	31.	11 <sup>h</sup> 37' 46" 55" m. Z. Kr.	AR. = 22 <sup>h</sup> 18' 18" 25"	Decl. = -11° 24' 43" 3	$\alpha x = +3' 74$	$\delta d = +10' 4$
Sept.	1.	33 41,21	18 9,16	25 36,7	+3,80	+13,0
	16.	10 32 32,99	15 59,10	37 42,3	+3,58	+12,0
	17.	28 29,11	15 50,86	38 25,4	+3,65	+10,1
	26.	9 51 56,49	14 41,46	44 44,7	+3,60	+9,8
	27.	47 53,60	14 34,40	45 22,9	+3,47	+9,0
	28.	43 50,38	14 27,19	46 1,9	+3,60	+9,7
	29.	39 47,52	14 20,16	46 38,3	+3,67	+8,6
Octbr.	4.	19 35,04	13 47,18	49 39,8	+3,68	+13,4
	6.	11 31,16	13 34,95	50 40,9	+3,65	+9,5
	7.	7 29,25	13 29,15	51 14,4	+3,54	+11,5

Beobachtungen der Mondculminationen sammt ihrer Vergleichung mit dem Berliner Astr. Jahrbuche.

1836 Januar	26.	AR. = 3 <sup>h</sup> 3' 46" 60"	Decl. = +16° 32' 23" 3	$\alpha x = +0' 35$	$\delta d = +5' 3$
Febr.	27.	7 4 57,03	26 34 23,9	+0,67	+2,6
	28.	8 0 49,62	+25 10 29,7	+0,06	+8,4
März	1.	9 49 43,61	+18 29 8,9	-0,16	+6,4
	27.	6 31 57,49	—	+0,29	—
April	25.	9 54 53,94	+18 17 23,5	+0,11	+2,9
	27.	11 36 7,59	+7 29 23,8	+0,08	+1,8
Juni	27.	17 21 22,85	-25 54 38,6	+0,40	-0,5
Juli	27.	20 16 44,93	-24 42 12,6	+1,09	+1,2
	28.	21 22 7,55	-20 41 41,1	+0,76	-0,8
August	22.	18 36 21,35	-27 17 14,5	+0,77	+16,3
Octbr.	16.	19 0 26,44	-27 25 32,2	+0,50	-0,2
	17.	20 5 53,42	-25 33 49,2	+0,54	-8,1

## Beobachtungen der Sterne im Parallel des Mondes.

		AR.	
1836 Jan. 26.	38 Ariet.	2 <sup>h</sup> 36' 17 <sup>s</sup>	
	42 $\pi$ Ariet.	2 40 8,75	
	Mond I	3 2 42,73	
	25 $\gamma$ Tauri	3 37 44,76	
Febr. 27.	27 $\epsilon$ Gemin.	6 33 50,44	
	Mond I	7 3 47,78	
	78 $\beta$ Gemin.	7 35 16,90	
	83 $\phi$ Gemin.	7 45 27,97	
März 1.	4 $\lambda$ Leonis	9 22 22,28	
	Mond I	9 48 36,49	
	41 $\gamma$ Leonis	10 10 56,69	
	47 $\rho$ Leonis	10 24 11,22	
27.	$\sigma$ Cancri	7 53 26,27	
	19 $\lambda$ Cancri	8 13 46,95	
	Mond I	8 30 49,00	
	77 $\xi$ Cancri	8 59 55,63	
April 25.	4 $\lambda$ Leonis	9 22 21,64	
	16 $\psi$ Leonis	9 34 48,00	
	Mond I	9 53 47,36	
	41 $\gamma$ Leonis	10 10 55,99	
	47 $\rho$ Leonis	10 24 10,95	
27.	77 $\epsilon$ Leonis	11 12 41,65	
	84 $\zeta$ Leonis	11 19 31,22	
	Mond I	11 35 1,89	
	9 $\epsilon$ Virginis	11 56 52,41	
	23 $\tau$ Scorp.	16 25 43,22	

		AR.	
1836 Juni 27.	36 $\Delta$ Ophiuchi	17 <sup>h</sup> 5' 18 <sup>s</sup> 53	
	Mond I	17 20 6,02	
	13 $\mu$ Sagittar.	18 3 59,82	
	19 $\delta$ Sagittar.	18 10 32,10	
Juli 27.	59 $b$ Sagittar.	19 46 55,33	
	62 $c$ Sagittar.	19 52 36,84	
	Mond I	20 15 28,48	
	16 $\psi$ Capric.	20 36 25,23	
28.	16 $\psi$ Capric.	20 36 25,46	
	22 $\gamma$ Capric.	20 34 6,59	
	Mond II	21 23 21,02	
Aug. 22.	13 $\mu$ Sagittar.	18 3 59,51	
	22 $\lambda$ Sagittar.	18 17 53,25	
	Mond I	18 35 4,17	
	41 $\pi$ Sagittar.	19 0 2,93	
	52 $h$ Sagittar.	18 26 45,82	
Octbr. 16.	22 $\lambda$ Sagittar.	19 17 52,71	
	Mond I	18 59 10,27	
	52 $h$ Sagittar.	19 26 45,28	
	62 $c$ Sagittar.	19 52 35,94	
17.	52 $h$ Sagittar.	19 26 45,32	
	62 $c$ Sagittar.	19 52 36,04	
	Mond I	20 4 38,84	
	16 $\psi$ Capric.	20 36 24,59	
	Füdenzahl:	5.	

Koller.

## Beobachtungen in Kopenhagen.

(Beschluß.)

		Mittl. Zeit.	AR.	Fehler der Ephemeride.
1836 Juni 6.		12 <sup>h</sup> 7 33' 7	17 <sup>o</sup> 6' 8" 13	— 7,24
	7.	12 2 46,1	5 16,50	— 8,08
	8.	11 57 59,7	4 25,46	— 7,80
	9.	53 12,6	3 34,29	— 7,78
	10.	48 25,9	2 43,28	— 7,76
	11.	43 39,5	1 52,48	— 7,74
	16.	19 51,0	16 57 42,98	— 7,87
1836 Aug. 6.		12 4 42,2	21 6 44,95	— 2,62
	7.	11 59 59,6	5 58,53	— 2,52
	13.	11 31 47,0	1 20,61	— 2,38
		Ceres		
1836 Juni 4.		12 28 43,7	17 19 28,51	— 0,89
	6.	18 57,4	17 32,23	— 1,50
	7.	14 2,3	16 34,74	— 1,35
	8.	9 9,2	15 36,06	— 1,22
	11.	11 54 26,6	12 40,62	— 0,62
	15.	34 51,2	8 48,25	— 0,94

		Mittl. Zeit.	AR.	Fehler der Ephemeride.
1836 Aug. 30.		13 <sup>h</sup> 1' 46" 9	23 <sup>o</sup> 38' 36" 76	— 0,62
Sept. 8.		12 19 11,1	31 22,82	— 0,43
	9.	14 25,3	30 32,69	— 0,41
	10.	9 39,9	29 42,36	— 0,41
	15.	11 45 47,2	25 29,62	— 0,68
	16.	41 1,5	24 39,42	— 0,61
	18.	31 30,0	22 59,72	— 0,68
		Vesta.		
1836 März 18.		12 17 33,0	12 3 44,33	— 3,20
	20.	7 51,4	1 54,08	— 3,10
	21.	3 0,3	0 58,76	— 3,11
	30.	11 19 31,8	11 52 51,78	— 3,23
		Saturn.		
1836 April 7.		13 1 49,8	14 6 58,76	— 0,10
	9.	12 53 25,1	6 25,72	— 0,11
	10.	49 12,2	6 8,81	— 0,32
	16.	23 54,6	4 26,62	— 0,40

	Mittl. Zeit.	AR.	Fehler der Ephemeride.
1836 April 19.	22 <sup>h</sup> 11' 6"0	22 <sup>o</sup> 3' 35"12	-0'02
22.	11 58 36,4	2 43,12	+0,07
26.	41 43,0	1 33,75	+0,06
27.	37 32,0	1 16,51	+0,06
29.	29 4,1	0 42,18	+0,09
30.	24 51,3	0 25,07	+0,06
Mai.			
5.	3 47,9	13 59 1,03	+0,17
6.	10 59 35,3	58 44,28	-0,08

	Mittl. Zeit.	AR.	Fehler der Ephemeride.
1836 Aug. 29.	11 45 55,5	22 18 36,39	-3,64
30.	43 45,7	18 27,23	-3,74
Sept. 1.	35 34,8	18 9,27	-3,64
3.	27 24,3	17 51,11	-3,85
8.	6 56,6	17 7,09	-3,58
9.	2 43,6	16 58,31	-3,64
10.	10 58 45,8	16 49,51	-3,76

Olufsen.

Auszug aus einem Schreiben des Herrn Dr. Mädler an den Herausgeber.

Berlin 1837. Oct. 22.

Bei meiner Anwesenheit in Prag sprach Morstadt unter Andern auch über das Meteor vom 13<sup>ten</sup> Novbr., und stellte die Hypothese auf, daß es zerstreute Schweiftheile des Bielaschen Cometen, dessen Bahn die Erde am 13<sup>ten</sup> Nov. ziemlich nahe stehe, sein möchten. Dadurch veranlaßt vereinigten sich am 25<sup>ten</sup> August die folgend genannten

Feldt aus Braunsberg,  
Koller aus Kremsmünster,  
Mädler aus Berlin,  
v. Montedego aus Ofen,  
Morstadt aus Prag,  
Weisse aus Krakau,

alle persönlich gegenwärtig, in den Nächten vom 11, 12, 13<sup>ten</sup> Nov. so viele Sternschnuppen als möglich, hauptsächlich aber die nach  $\gamma$  Leonis zu geschene, zu beobachten nach folgenden Merkmalen.

$\left. \begin{array}{l} T \\ x \\ \delta \end{array} \right\}$  des Erscheinens und Verschwindens, so genau als thunlich, besonders die Zeit,  
Größe und Glanz.  
Mit oder ohne Schweif.

und was sich sonst unter der Rubrik „besondere Bemerkung“ ergäbe. Für  $\alpha$  und  $\delta$  wird man freilich meistens zu die Sterne angeben können, wo sie erscheinen.

Sind mehrere Beobachter auf einem Punkte, so theilt er den Himmel unter sich; ist nur einer, so richtet er sein Aug gegen  $\gamma$  Leonis.

Jeder von uns hat übernommen, einen Bericht darüber an Feldt in Braunsberg jährlich zu schicken, der die Relation übernommen hat und sie publiciren wird; und zugleich noch von seinem Wohnorte aus Andre sichere Beobachter zur Theilnahme aufzufordern. Schwabe in Dessau hat bereits zugeagt, Lohrmann in Dresden (dessen mir höchst erfreuliche persönliche Bekanntschaft ich auf der Hinreise machte) und Strömt in Stralsund habe ich aufgefordert. Im Falle Sie des genau Plau überhaupt angemessen finden, bin ich überzeugt, daß Sie zur weiteren Ausdehnung unsers projectirten meteorischen Beobachtungsnetzes recht wesentlich beitragen können und werden. Daß es übrigens nicht sowohl auf viele, sondern auf zuverlässig und möglichst entfernt von einander wohnende Beobachter ankommt, werden Sie besser wissen als ich.

Mädler.

## Ch r o n o m e t e r.

E<sub>2</sub> ist bei mir ein silbernes Taschenchronometer von Arnold Nr. 1927 zu dem billigen Preise von 100 holl. Durants zum Verkauf niedergelegt. Ich habe es früher bei der Bestimmung der Längendifferenz zwischen Altona und Berlin gebraucht, die es nur 0<sup>o</sup>35 von dem Mittel aller 20 Chronometer verschieden gab. Der mittlere tägliche Gang vom 2<sup>ten</sup> Dec. 1837 bis jetzt ist 1<sup>er</sup> Vor-

eilung. Die größte ein einzigmal in dieser Periode beobachtete Abweichung vom mittleren Gange ist 1<sup>er</sup>. Zu näherer Auskunft über den Gang bin ich gern erbötig. Der Durchmesser der Linie ist 23 Pariser Linien, so daß sie sich sehr bequem in der Tasche tragen läßt.

8.

(Inh. zu Nr. 346.) Schreiben des Herrn Kreil, Adjuncten der Sternwarte in Mailand, an den Herausgeber. p. 169. — Ueber einige Aufforderungen von Bezel in den Astr. Nachr. N. 344. p. 173. — Beobachtungen in Kopenhagen p. 177. — Schreiben des Herrn Fischer in Apenrade an den Herausgeber. p. 183.  
(zu Nr. 247.) Ueber den Einfluss der Strahlenbrechung auf Sonnenfinsternisse u. Sternbedeckungen etc. Von Hrn. Prof. Hansen. p. 184.  
Planetenbeob. am Meridianskreis der Sternwarte zu Kremsmünster sammt ihrer Vergleichung mit dem Berl. Astr. Jahrb. p. 188.  
Beobh. in Kopenhagen (Beschluß). p. 197. — Auszug aus einem Schreiben des Herrn Dr. Mädler an den Herausgeber. p. 199.  
Chronomet. p. 199.

Altona 1835. März 10.

### Note sur la théorie des perturbations planétaires.

Par M. Hansen,

Directeur de l'Observatoire de Seeberg.

Je viens de donner dans les *Fundamenta nova investigationis orbitae verae quam luna perlustrat*, une nouvelle et complète exposition de la méthode dont je me suis servi en traitant le problème des 3 et des 4 corps. Cette méthode n'avait pas été réunie jusqu'alors dans un seul corps, et ce que j'en avais publié se trouvait dans différents mémoires insérés dans les *Astronomische Nachrichten*, et dans mon mémoire couronné par l'Académie de Berlin. J'espère qu'il pourra à présent s'en former une idée sans avoir besoin de parcourir ces différents mémoires ou bien sans être obligé de se tenir à l'aperçu que M. de Pontécoulant prétend donner dans son mémoire (*Additions à la C. d. T.* 1837). Cet aperçu, qui loin de remplir ce qu'il promet ne paraît écrit que pour défigurer mes travaux et pour en donner une idée fautive, n'est paru dans un livre qui est dans les mains de tous les astronomes, et exigeait donc une réplique de ma part. Je la fais ici aussitôt que mon ouvrage sur la théorie de la Lune paraît. Les Géomètres y trouveront les preuves de mes assertions et leur auguste tribunal décidera en dernière instance sur les mérites de mes travaux.

M. de Pontécoulant annonce dans les premières lignes de son mémoire qu'il va donner une idée juste et claire de ma méthode. Or quand on veut donner une idée juste et claire d'une méthode quelconque, il n'en faut pas détacher quelques points, mais en donner un aperçu complet et relever tout ce qui la caractérise et la distingue des autres. Il est évident qu'il n'est satisfaisant à ces conditions.

Mais si à la seconde page de son mémoire il déclare qu'il s'occupera que des termes du 1<sup>er</sup> ordre, ne débute-t-il pas par dérober ma méthode, dont les formules fondamentales sont complexes et se trouvent développées dans mon mémoire couronné jusqu'aux termes du 3<sup>me</sup> ordre \*) par rapport aux masses perturbatrices, d'un de ses principaux avantages? Quand après M. de Pontécoulant dans son développement de mes deux méthodes principales part de formules dans lesquels on a déjà quelques termes, sans prendre notice de ce que j'ai

exposé dans le N<sup>o</sup> 244 et suiv. des *Astron. Nachrichten* (quelque à en juger par le Tome III de sa Théorie analytique du Système du monde, mon mémoire semble être parvenu à sa connaissance) n'a-t-il pas démontré mes formules d'une manière incomplète? En effet s'il ne s'agit que de reproduire par un développement quelconque mes deux formules principales, on y peut parvenir de plusieurs manières, et on peut trouver des développements plus courts, que celui que M. de Pontécoulant a choisi; mais s'il s'agit d'un développement qui démontre toute l'étendue de mes formules, je n'en connais jusqu'à présent qu'un seul, et c'est celui que j'ai donné dans le mémoire inséré dans le N<sup>o</sup> 258 et suiv. des A. N. et reproduit sans le secours des séries dans la 1<sup>re</sup> section de mes *Fundamenta*. Il dit (p. 41), que j'ai fait l'application de mes formules pour déterminer les termes du second ordre, par rapport aux masses, des deux grandes inégalités de Jupiter et de Saturne. En vérité, j'ai déterminé dans mon mémoire couronné ces termes relatifs à Saturne, mais j'ai déterminé aussi tous les termes du second ordre de cette planète, qui sont au-dessus d'une certaine quantité numérique, ce que M. de Pontécoulant passe tout-à-fait sous silence.

M. de Pontécoulant dit (p. 43) \*\*, qu'il restait à appliquer la méthode des quadratures mécaniques aux planètes principales, et en particulier à la théorie de Jupiter et de Saturne, et que cette tâche avait été heureusement remplie par moi, tandis qu'à la page 92 il dit, que la méthode du développement en série de la fonction perturbatrice à toute la précision désirable, dans la théorie des mouvements troublés des planètes et que les inégalités planétaires calculées de cette manière peuvent suffire aux besoins de l'astronomie. Ces deux assertions se contredisent, la première m'accorde d'avoir fait ce qui restait encore à faire et la seconde veut que ce que j'ai fait soit inutile. Cette dernière assertion se fonde sur la comparaison de mes résultats aux valeurs des diverses parties des grandes inégalités de Jupiter et de Saturne obtenues par lui-même par l'ancienne méthode, qui lui donne seulement des différences

\*) Les développements dans les *Fundamenta* s'étendent aux termes de tous les ordres.

\*\*) Les citations se rapportent au mémoire dans la C. d. T. 1837.



qu'il appelle petites. Or ces petites différences suffisantes aux besoins de l'astronomie vont à  $10^6$  Sexagésimales! D'ailleurs supposons pour un moment que les différences dans cette inégalité n'aient pas une influence sensible; est-ce donc la grande inégalité seule qui décide pour ou contre un calcul des perturbations de Jupiter et de Saturne. Les autres inégalités n'ont-elles aucune influence sur le lieu de ces planètes? Qu'il plaise à M. de Pontécoulant de jeter un coup d'œil sur le tableau des inégalités que j'ai trouvées dans mon mémoire couronné, il y verra sans calcul que j'en ai trouvé beaucoup, qui ont été négligées par M. de Laplace, et parmi lesquelles se trouvent des coefficients, qui ne sont pas tout-à-fait petits. Un petit calcul lui découvrirait encore des différences, qui ne sont pas négligeables dans quelques uns des coefficients; que nous avons calculés tous les deux.

Je pourrais multiplier davantage ces réflexions sur ce qu'il plaît à M. de Pontécoulant d'appeler un essai de donner une idée juste et claire de mes travaux sur la théorie des perturbations: mais ce que j'ai dit, suffira pour prouver qu'il ne rend pas ni mes idées ni l'esprit de ma méthode. Cette assertion devient encore plus manifeste, quand il dit dans la note de la page 43: „J'ai peine à comprendre pourquoi il a „choisi la méthode d'intégration fondée sur la variation des „constantes arbitraires, dont il avait lui-même signalé les inconvéniens, plutôt que celle qui donne directement, sous forme finie, les expressions de la longitude vraie, d'rayon vecteur „et de la latitude, et qui semble s'adapter bien plus aisément „au calcul des quadratures paraboliques.“

Je remarque d'abord, que je ne connais pas de méthode, qui donne sous forme finie toutes les perturbations de ces coordonnées. Avant que j'eusse donné mes formules finies il existoit seulement des formules qui donnent sous forme finie les perturbations de ces coordonnées du premier ordre par rapport aux masses. Mais voulant aller plus loin, je ne pouvais pas faire usage de ces formules.

Secondement, pour éclaircir les doutes de M. de Pontécoulant sur le choix que j'ai fait de la méthode de la variation des constantes arbitraires, après en avoir signalé moi-même les inconvéniens, je vais exposer les idées qui ont dirigé mes recherches, idées qui à la vérité sont renfermées dans les développemens généraux de mes mémoires, mais que je n'y ai pas exposées en résumé. En même tems j'espère, que par le récit que je vais faire, les bizarreries et le défaut de clarté et de méthode, que M. de Pontécoulant croit avoir trouvé dans mes mémoires, disparaîtront \*).

\*) Dans son mémoire publié dans le Com. d. l. M. de Pontécoulant veut bien encore laisser quelque mérite réel à mes travaux (pag. 92), mais dans le tome III de sa „Theorie

Une classe de problèmes de mécanique très-étendue embrasse les cas où les forces qui animent un corps ou un système de corps, étant données on demande les positions de ces corps pour un temps quelconque, et par conséquent les expressions des coordonnées de ces corps en fonctions du temps. Les problèmes de ce genre conduisent toujours à des équations différentielles du second ordre entre les coordonnées et le temps, équations qui, lorsqu'il s'agit des cas de la nature, le plus souvent ne sont pas intégrables, au moins sous forme finie. Pour rendre les intégrations pratiques on a imaginé la belle méthode de la variation des constantes arbitraires, introduites par des intégrations préparatoires, et cette méthode, dans ses applications à la mécanique consiste en ce, qu'après avoir divisé les forces données en deux parties, dont l'une rend les équations entre les coordonnées et le temps intégrables, on considère les constantes arbitraires introduites par cette première intégration comme affectées et rendues variables par l'autre partie des forces.

Dans les applications aux cas de la nature, c'est toujours la partie principale des forces, qui rend les équations différentielles intégrables, et c'est le rapport des forces secondaires à la force principale qui cause la variabilité des constantes arbitraires. D'ailleurs, ces constantes arbitraires devenues variables sont déterminées par des équations différentielles („pas par des simples expressions différentielles“) du premier ordre, et comme dans le cas que nous considérons le rapport des forces secondaires à la force principale est toujours très-petit, on peut intégrer ces équations par des approximations successives.

De cette manière on peut supposer le problème analytiquement résolu, quoiqu'il ne soit pas directement résolu, car, au lieu de donner les coordonnées des corps explicitement en fonction du temps, on les donne en fonction du temps et de certaines quantités, qui à leur tour sont aussi des fonctions du temps.

Telle est la méthode de la variation des constantes arbitraires. Mais cette méthode, quoique considérée sous un point de vue analytique, soit un des procédés les plus ingénieux et les plus élégants, a pour la pratique, au moins dans la théorie des perturbations célestes quelques inconvéniens, qui rendent son application difficile et laborieuse. Comme les équations

analytiques etc.“ (pag. 510), il m'objecte un choix malheureux des variables, des innovations analytiques dont les avantages ne rachètent pas la bizarrerie, enfin une obscurité complète de clarté et de méthode, qui rend mon travail peu-près inutile. Je ne sais pas ce qui arrive aux autres, mais j'avoue franchement que quelquefois un livre m'a paru au premier coup d'œil dépourvu de clarté et de méthode, qui, après l'avoir mieux étudié n'avait ni l'un ni l'autre de ces défauts.

élémentelles desquelles on part sont des équations du second ordre, le nombre des constantes arbitraires est le double de celui des coordonnées, et par conséquent il faut calculer les perturbations d'un nombre de quantités double de celui des coordonnées; ces calculs faits, il faut substituer les valeurs obtenues des constantes arbitraires dans les expressions des coordonnées; ainsi par ces considérations seules, on voit que le calcul des perturbations par la méthode de la variation des constantes arbitraires exige des travaux plus laborieux, que ceux auxquelles une méthode qui donneroit immédiatement les perturbations des coordonnées conduirait. En vérité, on pourroit se dispenser de substituer les séries qui représentent les perturbations des éléments (c'est-à-dire des constantes arbitraires) dans les expressions des coordonnées, car calculant dans chaque cas un moyen de ces séries les valeurs numériques des éléments, on obtiendrait les valeurs numériques des coordonnées pour le temps pour lequel on veut calculer le lieu de la planète, en substituant ces valeurs numériques des éléments dans les expressions connues du mouvement elliptique. Mais en procédant ainsi on ne gagneroit rien. Les séries qui représentent les valeurs des éléments troubles sont beaucoup moins convergentes que celles qui donnent les coordonnées troubles, et par conséquent on aurait beaucoup plus que le double nombre de coefficients à calculer, mais l'inconvénient le plus grave consiste en ce que la plupart des coefficients des perturbations des éléments se réduisent à des quantités beaucoup plus petites, quand on les aura substitués dans les expressions des coordonnées, et qu'ainsi les coefficients des divers termes des séries ne donnent les valeurs troubles des éléments sont beaucoup plus grands, que ne seroient les termes correspondants dans l'expression des coordonnées troubles, et cela n'existe pas seulement pour les termes du premier ordre par rapport aux masses, mais à plus forte raison pour les termes des ordres supérieurs. Cependant cette méthode fut jusqu'à présent la seule qu'on avoit pour calculer les perturbations du second ordre des planètes, et arrêté par ces difficultés et par le grand nombre des termes que naissent de l'emploi de cette méthode, personne n'a pu donner ainsi un calcul des perturbations qu'on pût en aucune manière regarder comme satisfaisant et complet. On n'est contenté de calculer quelques termes isolés et on a rejeté les autres par une espèce de divination. C'est là tout un présentiment que les termes négligés n'avaient pas une influence réelle qu'une démonstration mathématique de leur négligence. Aussi n'a-t-on considéré parmi les termes du premier ordre, par rapport aux masses que ceux qui résultent du premier terme des coefficients du développement de la fonction perturbatrice, excepté dans la grande inégalité de Jupiter et de Saturne, sans avoir montré que les autres termes des coefficients ne donneraient que des quantités négligeables.

En effet mes calculs des perturbations de Jupiter et de Saturne ont fait voir que plusieurs de ces termes négligés jusqu'alors n'appartiennent pas aux quantités qu'il est permis de négliger dans l'état actuel de l'astronomie.

Remédier aux inconvénients que je viens d'exposer ce fut principalement le but, que je m'étais proposé, et je cherchai les moyens à y parvenir dans une amélioration de la méthode de la variation des constantes arbitraires, sans être d'abord trop sûr du succès de mon entreprise. Cependant j'ai réussi, et j'y suis parvenu en donnant à cette méthode une extension, par laquelle on est à même de s'en servir pour déterminer immédiatement les valeurs troubles des coordonnées. On savoit déjà qu'au lieu du système des constantes arbitraires qui, par l'intégration des équations du mouvement dans lesquelles on n'a considéré que la force principale, se présente de soi-même, on peut, en appliquant la méthode de la variation des constantes arbitraires, regarder comme constante arbitraire toute fonction de celles-là, et ou a déjà appliqué ce principe à plusieurs systèmes de constantes arbitraires, mais on a toujours pris des fonctions déterminées de ces constantes.

Au lieu de procéder ainsi, j'imaginai des fonctions, qui parce qu'elles renferment une quantité indéterminée sont des fonctions indéterminées de ces constantes arbitraires qu'on désigne par le nom d'éléments elliptiques.  $f(a, b, c, \text{etc. } \tau)$  étant une telle fonction où  $a, b, c, \text{etc.}$  sont les éléments elliptiques et  $\tau$  une quantité indéterminée, je démontrerais qu'on obtient rigoureusement la valeur troublée de la fonction  $f(a, b, c, \text{etc. } t)$ , où  $t$  représente le temps, en déterminant la valeur de la fonction  $f(a, b, c, \text{etc. } \tau)$  considérée comme constante arbitraire et en changeant après l'intégration  $\tau$  en  $t$ . Ainsi en donnant à la fonction  $f$  et à plusieurs fonctions du même genre, une forme en  $a, b, c, \text{etc.}$  et  $\tau$ , absolument la même que celle que les coordonnées ont en  $a, b, c, \text{etc.}$  et  $t$ , on peut, analytiquement parlé, déterminer directement et aussi exactement qu'on voudra, les valeurs troubles des coordonnées.

Dans mon premier mémoire sur ce sujet, qui a été inséré dans le Nr. 166 et suiv. des Astr. Nachrichten, je n'ai démontré les propositions nécessaires qu'indirectement, mais j'ai rempli cette tâche dans mon dernier mémoire, qui a paru dans le Nr. 258 et suiv. du même Journal, et je crois que les démonstrations, qui y ont été données ne laissent rien à désirer, du côté de l'évidence. D'ailleurs quoique je n'y aie parlé que du problème des perturbations célestes, tout ce qui concerne ce point s'applique également à tous les problèmes de mécanique qu, étant données les forces qui animent un système de corps, on demande les positions de ces corps pour un temps quelconque.

Je me suis proposé après de donner, dans l'application des principes ci-dessus à la théorie des perturbations des

planètes, des formules qui permettraient une application rigoureuse, et qui seraient telles qu'on pouvait être assuré de n'avoir pas négligé quelque terme au dessus d'une quantité numérique fixe. Pour obtenir ce but il ne m'était pas permis de négliger le moindre terme dans les développemens analytiques, et c'était seulement quand on venait aux calculs numériques qu'on pouvait négliger les termes au-dessous de la quantité fixe prise à volonté. J'eus déjà pour cet effet la méthode d'intégration par les quadratures mécaniques, mais cette méthode ne suffisait pas, et j'avais besoin d'autres moyens.

J'ai déjà dit plus haut, que la méthode de la variation des constantes arbitraires conduit à des équations différentielles entre ces constantes devenues variables et le tems, et si le nombre des corps qui constituent le système de corps soumis à leur attraction mutuelle est égal à  $n+1$ , on a  $2n$  équations différentielles, qui déterminent les valeurs des  $2n$  constantes arbitraires en fonction du tems, et par conséquent les mouvemens des  $n$  corps relatifs au  $(n+1)^{\text{ème}}$  corps, considéré comme corps principal. Comme les constantes arbitraires devenues variables se trouvent étremitées dans ces équations, il faut à la rigueur intégrer ces équations simultanément, et seulement lorsqu'on ne se propose que de déterminer les perturbations du premier ordre par rapport aux forces perturbatrices, on peut les considérer comme des expressions différentielles qui peuvent être intégrées chacune à part. Lorsqu'on veut déterminer les perturbations du second ordre et des ordres supérieurs, on ne peut pas intégrer une de ces équations sans s'y servir de toutes les autres. Ainsi les équations qui déterminent les perturbations des fonctions dont j'ai appelé ci-dessus l'une  $f$ , ne doivent pas contenir explicitement les élémens  $a, b, c$  etc., mais seulement ou les fonctions  $f$  et des fonctions de ces fonctions, ou encore des groupes des élémens  $a, b, c$ , etc. telles que leurs perturbations ont un rapport simple avec les perturbations des fonctions  $f$ . Car si elles contenaient les élémens isolés  $a, b, c$ , etc., il faudrait pour pouvoir les intégrer complètement, outre les équations pour les fonctions  $f$ , par lesquelles les positions des corps du système seraient déjà déterminées complètement, calculer aussi les équations qui déterminent les perturbations des élémens  $a, b, c$  etc., ce qui rendrait les calculs longs et pénibles, et amènerait les difficultés que je voulais éviter. Ainsi le choix des fonctions  $f$ , ou ce qui revient au même, le choix des coordonnées n'est nullement indifférent dans l'application des principes exposés ci-dessus. Si l'on veut obtenir des expressions simples, il faut les choisir telles, que l'élimination des élémens  $a, b, c$ , etc. par les fonctions  $f$  devienne praticable et conduise à des expressions simples.

Je reconnus bientôt que la longitude moyenne dans l'orbite et le logarithme du rayon vecteur donnaient les équations

les plus simples pour le calcul des perturbations. Si on extrait on voulait faire usage de la longitude vraie, ou on obtiendrait des équations moins simples, ainsi qu'on peut le voir par la transformation générale des coordonnées, qui j'ai donnée dans mon mémoire inséré dans le Nr. 258 et suiv. des A. En dénotant par  $m$  la masse perturbatrice, et par  $W, W', F, F',$  etc.  $U, U',$  etc.  $X, X',$  etc. des fonctions des élémens et du tems, cette transformation fait voir que dans le cas la longitude moyenne on a

$$\left(\frac{d\zeta}{dt}\right) = 1 + mW + m^2W' + \text{etc.}$$

$$\left(\frac{d\beta}{dt}\right) \left(\frac{d\zeta}{dt}\right) = m^2F + m^3F' + \text{etc.}$$

et que dans le cas de la longitude vraie on aurait

$$\left(\frac{d\zeta}{dt}\right) = U + mU' + m^2U'' + \text{etc.}$$

$$\left(\frac{d\beta}{dt}\right) \left(\frac{d\zeta}{dt}\right) = mX + m^2X' + \text{etc.}$$

les formules pour le calcul des perturbations restant d'ailleurs les

mêmes\*). Ainsi dans le premier cas le terme  $\left(\frac{d\beta}{dt}\right) \left(\frac{d\zeta}{dt}\right)$

est une fonction du second ordre par rapport aux masses perturbatrices, et  $\left(\frac{d\zeta}{dt}\right)$ , qui entre comme facteur dans ces formules, ne diffère de l'unité que d'une quantité de l'ordre des masses perturbatrices, mais dans le second cas le terme

$\left(\frac{d\beta}{dt}\right) \left(\frac{d\zeta}{dt}\right)$  est du premier ordre et le facteur  $\left(\frac{d\zeta}{dt}\right)$

est une quantité finie des élémens et du tems, les formules pour le calcul des perturbations restant d'ailleurs les mêmes. Il est donc clair que le calcul des perturbations tant du premier ordre que des ordres supérieurs doit devenir plus simple dans le cas de la longitude moyenne que dans le cas de la longitude vraie. Ainsi par le choix des quantités, que j'ai appelées  $\zeta, \beta, p, q$ , pour la planète troublée et  $\zeta', \beta', p', q'$ ,  $\zeta'', \beta'', p'', q''$  pour les planètes perturbatrices, quantités dont dépendent les perturbations de la longitude moyenne, du logarithme du rayon vecteur, de la latitude au-dessus d'un plan quelconque et de la réduction de la longitude dans l'orbite au plan moyen

\*) Voir l'art. 30 et suiv. du Nr. 260 des Astr. Nachrichten.

par la latitude, je suis parvenu à des équations rigoureuses, qui sous la forme la plus simple donnent ces perturbations. Ces équations ne contiennent pas les élémens isolés  $a, b, c$ , etc. mais seulement des fonctions des inconnues  $\zeta, \beta, p, q, \zeta', \beta', p', q'$ , etc. et encore deux groupes des élémens  $a, b, c$ , etc., savoir les quantités  $\frac{an}{\sqrt{(1-e^2)}}$  et  $\frac{1}{a(1-e^2)}$ .

les perturbations desquelles décident d'une manière extrêmement simple des perturbations de  $\zeta$  et  $\beta$ . Il faut encore remarquer que dans ces expressions les termes en déjà disparus, qui, existant dans les expressions des perturbations des élémens elliptiques, se détruisent mutuellement, lorsqu'en substitue ces perturbations dans les expressions des coordonnées.

On voit ainsi que par la manière dont je me suis servi de la méthode de la variation des constantes arbitraires, j'ai remédié aux inconvéniens qui naissent de l'emploi de cette méthode dans son état ordinaire, et j'espère que M. de Pontécoulant verra maintenant pourquoi je me suis servi de la variation des constantes arbitraires, après en avoir signalé moi-même les inconvéniens. Il paraît en même temps, que le choix des inconnues, quant au calcul même des perturbations, n'est pas si malheureux comme M. de Pontécoulant nous le veut faire croire. Je serais presque tenté de l'appeler heureux. En effet mes inconnues se prêtent aussi mieux aux applications des perturbations. Supposons premièrement qu'on veuille construire des tables des planètes dans la forme usuelle. On calculera alors les valeurs de  $p$  et  $q$  telles, que par ces quantités le lieu de la planète soit rapporté à l'écliptique mobile, et les tables qui en résultent auront partout la forme usuelle, on prendra seulement l'équation du centre et la partie elliptique du logarithme du rayon vecteur avec la longitude moyenne, laquelle on aura ajouté les perturbations, au lieu de prendre ces quantités avec l'anomalie comme on la fait jusqu'à présent, et au lieu de prendre la latitude et la réduction de la longitude à l'écliptique avec l'argument de la latitude on les prendra avec la longitude vraie dans l'orbite \*). Ainsi, l'addition des perturbations à la longitude moyenne occasionnant le même travail que l'addition à la longitude vraie, on épargnera le calcul de l'anomalie moyenne et de l'argument de latitude et on n'aura pas besoin de prendre le logarithme du rayon vecteur dans les tables des logarithmes, car les tables des planètes le donneront immédiatement, et c'est précisément le logarithme

du rayon vecteur, dont on doit se servir pour le calcul du lieu géocentrique de la planète. Ainsi déjà sous ce point de vue les inconnues que j'ai choisies se prêtent mieux aux applications, que ne font les inconnues adoptées auparavant; mais on peut aller plus loin. Au moyen des quantités que j'ai appelées  $z$  et  $w$ , je donne les perturbations de la longitude et du logarithme du rayon vecteur indépendantes du tout plan de projection, et tout ce qui se rapporte au plan de projection est contenu dans les quantités  $p$  et  $q$  de la manière que l'angle qui fait le plan de l'orbite de la planète avec le plan de projection peut être aussi grand qu'on voudra. Par conséquent on peut prendre pour ce plan le plan de l'équateur, et par ce moyen on peut rendre le calcul de l'ascension droite et de la déclinaison géocentrique beaucoup plus facile. Mais ce sont précisément ces quantités que les observations astronomiques donnent directement et en compare ainsi les observations immédiatement au résultat de la théorie. Le mémoire dans lequel j'ai expliqué la construction de telles tables a paru dans les Astr. Nachr. Nr. 295. 296. 297. D'ailleurs il est aisé à démontrer qu'on peut partout éviter l'emploi de la longitude, et que l'ascension droite et la déclinaison suffisent pour tout l'usage de l'astronomie, sans qu'il en résulte une augmentation de calcul. Si cependant on voudrait avoir les longitudes, ces nouvelles tables des planètes, sans augmenter beaucoup leur volume, peuvent être construites de manière, qu'elles donnent à volonté, ou la longitude, ou l'ascension droite et la déclinaison de la planète.

On voit déjà par ce que je viens de dire, que les inconnues que j'ai choisies ont de grands avantages j'ajoute que mes équations qui déterminent ces inconnues jouissent de belles propriétés inattendues, tant pour le calcul des perturbations que pour leur application.

Il existe entre les deux équations qui déterminent les quantités  $\zeta$  et  $\beta$  une relation rigoureuse et très-simple au moyen de laquelle on peut calculer très-facilement les perturbations de  $\beta$  ou de  $w$ , lorsqu'en aura calculé celles de  $\zeta$ ; les séries qui donnent le développement de  $\zeta$  pour les coefficients des divers arguments sont plus convergentes que les séries par lesquelles on calcule les coefficients des arguments de la longitude vraie, ainsi que je l'ai fait voir à la page 9 de mon mémoire couronné; les séries aussi qui constituent les perturbations de la longitude moyenne et du logarithme du rayon vecteur sont plus convergentes que les séries qui représentent les perturbations de la longitude vraie et les perturbations correspondantes du rayon vecteur, ainsi que je l'ai dit dans la préface de mon mémoire couronné à la page VII. A la vérité, je n'ai pas encore donné une démonstration directe de ce dernier théorème, je l'ai trouvé en calculant les perturbations de Jupiter et de Saturne,

\*) On peut aussi rédiger les tables de manière que la partie principale de la latitude et la réduction de la longitude doivent être prises avec la longitude moyenne augmentée de ses perturbations; car la longitude vraie dans l'orbite est fonction de cette variable unique.

mais ne voyant aucune raison pourquoi cela devait seulement exister pour ces deux planètes, je me crus en droit de conclure, que cela devra avoir généralement lieu, aussi al-jò trouvé la même chose pour la lune, les perturbations de laquelle j'ai déjà calculé dans ce moment jusqu'aux termes de 3<sup>me</sup> ordre par rapport à la force perturbatrice. De plus, dans l'art. 8 de mon mémoire couronné, j'ai démontré, que les trois premiers termes des séries dont se composent les coefficients des arguments des perturbations de la quantité  $\zeta$ , de la quelle les perturbations de la longitude moyennent dépendent, étant donnés on peut trouver tous les autres termes de ces séries par la multiplication par deux nombres constants, dont l'un est presque toujours si petit qu'il peut être négligé. On pourrait même se contenter de n'en calculer que deux termes, mais le calcul du troisième terme donne lieu à une équation de condition par laquelle on peut vérifier une partie considérable des calculs numériques. Ce théorème facilite extrêmement le calcul numérique des perturbations, soit du premier, soit des ordres supérieurs par rapport aux masses, et cela seul pourrait décider en faveur de ma méthode, même s'il n'y avait pas d'autres avantages. D'ailleurs j'ai trouvé plusieurs équations rigoureuses de condition par lesquelles j'ai pu vérifier l'exactitude de mes calculs numériques, ce qui est encore un grand avantage de ma méthode. Si l'on rassemble tout ce qui a été dit ici, on voit que mes formules s'adaptent non seulement bien plus aisément aux calculs des perturbations que les formules connues auparavant, mais qu'elles rendent aussi sous plusieurs regards l'application des perturbations plus sûre et plus facile.

Lorsque je publiai mes deux premiers mémoires sur ce sujet, celui inséré dans le Nr. 166 et suiv. des A. N. et le mémoire couronné par l'Académie Royale de Berlin, je n'étais pas en possession de toute la théorie dont je viens de donner l'exposition. J'avais été forcé de négliger dans le calcul analytique quelques petits termes, qui en vérité ne sont d'aucune influence du moins pour Jupiter et Saturne, si l'on projette l'orbite de la planète troublée telle qu'elle est pour un temps quelconque, au plan de la même orbite qui répond à l'origine du temps, ainsi que je l'ai fait dans ces deux mémoires. C'est depuis que j'ai trouvé les moyens de remédier à cela, et je les ai exposés dans le mémoire inséré dans le Nr. 244 et suiv. des A. N. J'y ai démontré, que les formules données dans mes mémoires précédents conservent leur forme et que seulement la signification de quelques lettres change un peu, et c'est de cette manière que j'ai réduit les termes négligés sup-

ra vant à deux termes dont l'un est subsidiaire \*) et ne donne que des termes du second ordre et des ordres supérieurs, et dont l'autre s'ajoute à la réduction de la longitude à un plan quelconque. Ce terme ajouté à cette réduction rend celle-ci plus simple, et j'ai trouvé en outre, qu'il d'une manière très-simple donne toutes les perturbations du premier ordre par rapport aux masses de cette réduction, au moyen des perturbations de la latitude, soit que le plan de réduction soit fixe ou qu'il soit mobile suivant une loi quelconque. Dans le mémoire qui a paru dans les Astr. Nachr. Nr. 295 et suiv. j'ai étendu ce théorème aux perturbations du second ordre par rapport aux masses \*\*).

Ces recherches entreprises sous le point de vue purement scientifique de considérer dans mes formules des termes, dont on aurait pu presque toujours élever l'influence en faisant la réduction de la longitude ainsi que je l'avais faite auparavant, ont été après utiles pour la pratique, parcequ'elles m'ont fourni les moyens de donner les formules pour les perturbations de  $p$  et  $q$  ces quantités se rapportent à un plan quelconque mobile. Les principes fondamentaux de cette réduction se trouvent dans le mémoire cité, et je me bornerai ici à dire que j'y ai donné la réduction de la longitude et de la latitude, à un plan quelconque ou ce qui revient au même, la réduction des quantités  $p$  et  $q$ , par des moyens qui me ont tout-à-fait propres, et qui ne supposent nullement que l'orbite de la planète et le plan de réduction fassent un angle petit l'un avec l'autre; seulement j'y ai supposé que le mouvement du plan mobile de réduction soit tel qu'on y puisse négliger le cube du temps. Je me suis servi dans cette réduction d'une quantité arbitraire, quo j'ai aussi appelée  $\tau$ , mais cette quantité n'a presque aucune analogie avec la quantité  $\tau$ , dont je me suis servi d'ailleurs. Enfin par la transformation générale des coordonnées, dont j'ai parlé ci-dessus, et que j'ai donnée dans le mémoire, publié dans les A. N. Nr. 258. 259. 260. j'ai fait voir que mes formules fondamentales n'appartiennent pas seulement aux perturbations de la longitude moyenne, mais qu'il y a une infinité de manières dont on peut s'en servir, et ces manières

\*) Ce terme est la différence en longitude entre la somme ascendante de la planète perturbatrice sur l'orbite de la planète troublée et le noeud descendant de la planète troublée sur l'orbite de la planète perturbatrice, différence qui a une valeur nulle que pour un moment de temps déterminé.

\*\*) Une extension de ce théorème se trouve dans les *Trans. Phil. Soc. VI.*

temps j'ai fait voir, qu'elles deviennent les plus simples, si l'on les considère comme appartenant à la longitude moyenne.

Telles sont les idées qui ont dirigé mes recherches, et telles sont les conséquences principales de la méthode qui en est la traduction analytique. Il serait superflu de reproduire ici mes développemens analytiques. Mais je ne puis pas finir cette note sans dire deux mots sur quelques endroits des ouvrages de M. de Pontécoulant. A la page 52 de son mémoire dans la C. d. T. 1837. M. de Pontécoulant, après avoir développé la formule suivante \*) :

$$2 \frac{d\rho}{\rho dt} + \frac{d \left( \frac{dh}{dt} \right)}{\left( \frac{dh}{dr} \right)} = \frac{d \cdot \sqrt{(a\mu(1-e^2))}}{\sqrt{(a\mu(1-e^2))}} \dots\dots (5)$$

exprime ainsi : „La formule (5) peut servir à déterminer les inégalités du rayon vecteur au moyen de celles de la longitude vraie supposées connues, et je l'ai employée à cet usage dans le livre II de la *Théorie analytique du Système du Monde*.” J'avoue que j'étais un peu surpris en lisant cette assertion. L'ouvrage de M. de Pontécoulant a paru avant que je publiasse mon premier mémoire sur la théorie des perturbations; n'est-il donc inadmissible la quantité indéterminée  $\tau$  avant moi? A-t-il traité les perturbations du rayon vecteur de celles de la longitude, contre l'usage adopté jusqu'alors généralement, l'après lequel on déterminait les perturbations de la longitude de celles du rayon vecteur? Je n'en sais rien. Pour m'informer, j'ai lu le second livre de son ouvrage, mais je n'y ai rien trouvé qui prouvât qu'il m'avait précédé. La seule chose que j'y ai trouvée qui paraisse se rapporter à ce point, c'est la formule suivante

$$dr = \int \left( \frac{dk}{k} - \frac{2dr}{r} \right) dv$$

à laquelle M. de Pontécoulant parvient à la page 474 du 1<sup>er</sup> premier de son ouvrage, mais cette formule ne peut à cette part être confondue avec la formule (5) ou avec la formule que j'en ai dérivée. Elle ne contient pas l'indéterminée; elle sert à déterminer les perturbations de la longitude des perturbations du rayon vecteur; et elle ne sert que pour les inégalités du premier ordre, tandis que la formule (5) et celle que j'en ai dérivée contiennent la quantité indéterminée  $\tau$ , donnent les perturbations du rayon vecteur au moyen des perturbations de la longitude, et

J'ai copié cette formule littéralement du mémoire de M. de Pontécoulant, et sans y corriger les irrégularités, qui s'y trouvent.

s'étendent à toutes les puissances de la force perturbatrice. Ainsi je ne sais ce que M. de Pontécoulant a voulu dire dans la phrase citée, et je désire vivement qu'il s'explique clairement sur ce point.

En général M. de Pontécoulant fera bien de mettre plus de précision et dans ses assertions et dans ses ouvrages. Voyons par exemple la page 51. du troisième volume de sa *Théorie analytique* où il donne les perturbations de Saturne d'après son calcul. En comparant ce résultat aux perturbations de Saturne produites par Jupiter que j'ai données à la page 189 de mon mémoire couronné, on trouve que M. de Pontécoulant a omis vingt-sept arguments dont la somme des coefficients monte à 15" sexagésimales, et parmi lesquels il y a un coefficient qui monte à 5", un qui est de 3", deux qui surpassent 1" et onze qui sont dans les dixièmes de seconde. Il faut se rappeler en même temps que mes coefficients doivent être appliqués à la longitude moyenne, ce qui rend la série des coefficients plus convergente. Par conséquent si on réduisait nos perturbations à être appliquées à la longitude vraie on trouverait la somme des coefficients négligés par M. de Pontécoulant plus grande encore que 15". Le résultat de M. de Pontécoulant a donc sous ce point de vue déjà besoin de correction, mais les corrections ne se bornent pas là. On trouve encore des erreurs dans les coefficients calculés par M. de Pontécoulant. Prenons par exemple l'inégalité qui dépend de quatre fois la longitude moyenne de Saturne moins deux fois celle de Jupiter; cette inégalité est pour l'an 1800 suivant M. de Pontécoulant égale à

$$+ 652''59 \sin (4l - 2l - 59^\circ 34')$$

$l$  étant la longitude moyenne de Saturne et  $l$  celle de Jupiter, et ce résultat suppose la masse de Jupiter égale à  $\frac{1}{1053,924}$ ; en adoptant la masse de M. Bouvard, qui est égale à  $\frac{1}{1070,5}$ , cette inégalité devient

$$+ 642''48 \sin (4l - 2l - 59^\circ 34')$$

Suivant M. de Laplace, en prenant pour dernier résultat de ce géomètre celui sur lequel les tables les plus récentes de M. Bouvard ont été construites, cette même inégalité est égale à

$$+ 667''01 \sin (4l - 2l - 56^\circ 52')$$

et suivant moi, après avoir réduit le coefficient tel qu'il devait être appliqué à la longitude vraie, on a

$$+ 668''39 \sin (4l - 2l - 57^\circ 11')$$

et ces deux dernières valeurs supposent la même masse de M. Bouvard. En calculant le maximum de la différence entre ces résultats on trouve ce maximum

entre M. de Laplace et M. de Pontécoulant =  $39^{\circ}41'$  sexa-  
 entre M. de Laplace et moi =  $3,94$  gési-  
 entre M. de Pontécoulant et moi =  $37,62$  males.

La différence entre M. de Laplace et moi tient à ce que M. de Laplace a négligé les termes dépendants de la quatrième puissance des excentricités et des inclinaisons, ainsi que les termes du second ordre par rapport aux masses qui proviennent des perturbations périodiques. Ce résultat de mon calcul a été confirmé par des équations de condition, et d'ailleurs la petite différence avec M. de Laplace, qui est au-dessous des quantités négligées par lui, en montre la justesse. La différence énorme du résultat de

M. de Pontécoulant prouve donc, que son analyse a besoin d'une révision soignée. En effet c'est seulement en feuilletant le 3<sup>ème</sup> Tome de sa Théorie analytique, que j'ai trouvé les erreurs indiquées. Pour être plus généralement compris j'ai écrit cette note dans une langue étrangère, en renonçant aux avantages que j'aurais pu tirer de l'emploi de ma langue maternelle. C'est à ce titre que j'ose compter sur l'indulgence de mes lecteurs. Ils apprécieront les motifs de mon choix, et ne seront pas trop sévères contre les fautes de langue, qui sans doute se trouveront dans ces lignes.

Hansen.

Schreiben des Herrn *W. Weisse*, Directors der Cracauer Sternwarte, an den Herausgeber.

Cracau 1838. Febr. 27.

Vor allem sage ich Ihnen meinen verbindlichsten Dank für die mir gütigst überschickten Beobachtungen der Mondsterne. Ich habe die Ermittlung unserer Länge bereits begonnen; indessen erwarte ich doch noch von verschiedenen Sternwarten correspondirende Beobachtungen. Hiebei übersende ich zur gefälligen Aufnahme in die Astr. Nachrichten die im Jahre 1837 an der hiesigen Sternwarte gemachten Beobachtungen der Mondsterne und Sternbedeckungen. Wie überall, so war auch hier dieses Jahr sehr ungünstig für astronomische Bestimmungen.

Die Resultate der an der hiesigen Sternwarte täglich dreimal, nämlich um 6 Uhr früh, um 2 Uhr Nachmittags, und um 10 Uhr Abends gemachten meteorologischen Beobachtungen sind folgende:

Mittl. Barometerstand (auf 0° reducirt)	27° 4' 30 Par. M.
Höchster ——— den 6 <sup>ten</sup> Februar	28 1,90
Tiefster ——— den 29 <sup>ten</sup> Novbr.	26 8,86

Mittl. Wärme +  $5^{\circ}33$  R. (tiefer als im J. 1829, wo  
 Grösste — (Juni 24) +  $24^{\circ}4$  sie +  $5^{\circ}47$  war.)  
 Kleinste — (Febr. 3) —  $16^{\circ}8$

Mittl. Stand von *August's* Psychrometer  $c = 2^{\circ}84$ .

Ganz heitere Tage zählten wir bloß 22, heiter mit Wolken 83, trübe Tage 260; an 161 Tagen hatten wir Regen, an 34 T. Schnee und an 17 T. Hagel. Der herrschende Wind war von NO. und Stürme zählten wir 17. In der Nacht vom 14<sup>ten</sup> zum 15<sup>ten</sup> Novbr. hatten wir hier ein sehr schönes Nordlicht.

In den Nächten, die zur Beobachtung der Sternschnuppen bestimmt waren, war es immer trübe.

Im Juli des verfloffenen Jahres habe ich den dritten Band der Stern-Verzeichnisse aus *Bessel's* Zonen-Beobachtungen nach Petersburg zum Drucke gesandt. Dieser Band enthält die Stunden XII—XVII incl. mit 6973 verschiedenen Sternen. Von diesen sind 1127 öfters beobachtet, die ich also zur Berechnung der wahrscheinlichsten Fehler benutzte. Ich fand so für diesen 3<sup>ten</sup> Band den wahrscheinlichen Fehler einer AR. aus 2275 Beobachtungen =  $0^{\circ}111$ , mit den Gränzen  $0^{\circ}112$   $0^{\circ}110$

einer Decl. aus 2276 Beob. =  $1^{\circ}128$ , mit den Gränzen  $1^{\circ}140$   $1^{\circ}117$

Verbinde ich alle Beobachtungen der Sterne, die mehrmals beobachtet sind, in allen drei Bänden, so erhalte ich den wahrscheinlichsten Fehler einer AR.

aus 6775 Beob. =  $0^{\circ}118$  mit den Gränzen  $0^{\circ}119$   $0^{\circ}117$ ; einer Decl.

aus 6778 — =  $1^{\circ}132$  mit den Gränzen  $1^{\circ}138$   $1^{\circ}126$

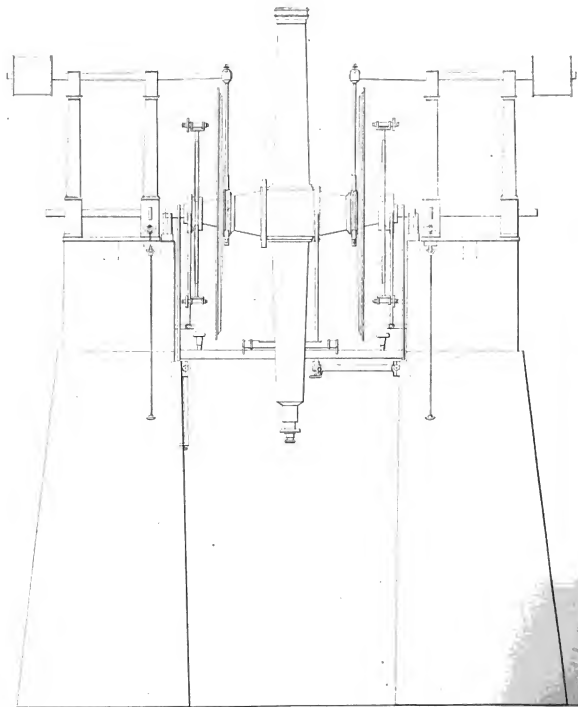
Diese 3 ersten Bände enthalten bereits 23231 verschiedene Sterne.

An dem vierten und letzten Bande arbeite ich eben mit allem Eifer, um ihn auch bald an den Druckort abgeben zu können. Bald wird also diese mühsame Arbeit, die mich schon durch mehrere Jahre beschäftigt hat, ganz vollendet sein. Wie weit der Druck bereits vorgerückt ist, weiß ich nicht genau, da ich schon seit längerer Zeit keine Nachrichten aus Petersburg und Dorpat habe. Nach früheren Nachrichten aber wird der Druck ununterbrochen bis zur Vollendung des ganzen Werkes fortgesetzt.

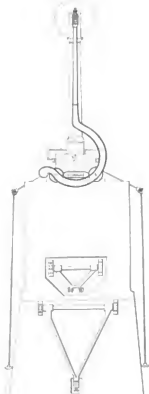
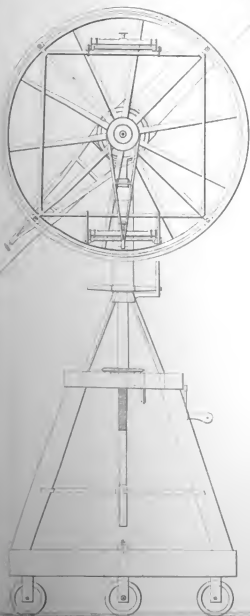
Dr. Max Weisse.

Note sur la théorie des perturbations planétaires. Par M. Hansen. p. 201.  
 Schreiben des Herrn Prof. *W. Weisse*, Directors der Sternwarte in Cracau, an den Herausgeber. p. 215.

Altona 1833. März 22.







# ASTRONOMISCHE NACHRICHTEN.

N<sup>o</sup>. 349.

Schreiben des Herrn *Airy*, Astronomer Royal, an den Herausgeber.

Greenwich 1838, Febr. 24.

Dear Sir,

I do not think that it has been remarked that the Tabular Radius Vector of Uranus is considerably in error. Yet it appears certain that it is so. To shew this I will give the results of the observations made at Cambridge in 1833, 1834 and 1835, and at Greenwich in 1836.

The method which has been pursued in reducing the observations is the following. In all these years, every observation has been so reduced as to shew the error of the tables in R. A. (the right ascensions in the Cambridge Observations being diminished by 0<sup>h</sup>14, and those in the Greenwich Observations being reduced to the same equinox) and in N. P. D. The observations have been divided into groups of about 10 each, and the mean error in R. A. and the mean in N. P. D. have been adopted for the mean day in each group. From these, the errors in Longitude and Ecliptic Polar Distance have been formed by means of the factors contained in the Tables No. II in the Appendix to the Greenwich Observations 1836. With the errors in Ecliptic Polar Distance we have nothing further to do here: but those in Longitude are thus treated. An error in Geocentric Longitude depends upon two errors, namely the error in Heliocentric Longitude and the error of the Radius Vector. Consequently from a single Normal Error in Geocentric Longitude we can obtain nothing but an Equation between the error in Heliocentric Longitude and the error of the Radius Vector. Therefore, if we compute from this the error in Heliocentric Longitude, it will have a term depending on the error of the Radius Vector. But the factor of the last term will have different signs according as the observations are before or after opposition. Therefore if we have any other means of judging how the error in Heliocentric Longitude ought to change in this time, we can infer the error of the Radius Vector from the difference of the computed errors in Heliocentric Longitude before and after opposition.

In the following tables, the Tabular Error signifies the excess of the tabular quantity over the observed quantity. Instead of the month and day, I have (for convenience) put the number of the day reckoned from the beginning of the

year. The sign  $\delta R$  is used to denote the Tabular Error of the Radius Vector of Uranus, expressed in parts of the earth's mean distance from the Sun.

## Normal Tabular Errors of Uranus in Heliocentric Longitude.

1833 day	215	+ 32 <sup>m</sup> 63	+ 90 <sup>m</sup> x $\delta R$
	235	+ 33,13	— 90 x $\delta R$
	265	+ 31,03	— 333 x $\delta R$
	279	+ 32,00	— 418 x $\delta R$
	295	+ 32,24	— 484 x $\delta R$
	323	+ 31,54	— 505 x $\delta R$
1834 day	229	+ 37,87	+ 3 x $\delta R$
	258	+ 37,28	— 255 x $\delta R$
	283	+ 38,23	— 417 x $\delta R$
	312	+ 39,15	— 507 x $\delta R$
	336	+ 39,61	— 489 x $\delta R$
1835 day	215	+ 45,46	+ 165 x $\delta R$
	232	+ 45,46	+ 21 x $\delta R$
	255	+ 44,79	— 183 x $\delta R$
	293	+ 44,81	— 438 x $\delta R$
	326	+ 44,37	— 500 x $\delta R$
	337	+ 45,53	— 488 x $\delta R$
1836 day	203	+ 53,66	+ 290 x $\delta R$
	236	+ 52,62	+ 12 x $\delta R$
	256	+ 52,32	— 165 x $\delta R$
	285	+ 51,69	— 380 x $\delta R$
	307	+ 51,52	— 476 x $\delta R$
	327	+ 52,66	— 503 x $\delta R$

The means for each year are as follows

1833,	day 269	+ 32 <sup>m</sup> 10	— 290 <sup>m</sup> x $\delta R$
1834,	day 284	+ 38,43	— 333 x $\delta R$
1835,	day 276	+ 45,07	— 237 x $\delta R$
1836,	day 269	+ 52,41	— 264 x $\delta R$

Considering that  $\delta R$  is a very small quantity and is not likely to vary much between one year and the next, we may in taking the differences consider it as the same quantity. The difference between 1833 and 1834 may be used for finding the changes in the error of Heliocentric Longitude in the course of the observations of 1833: the difference between 1833 and 1835 will give the change for 1834: the difference between 1834 and 1836 will give the change for 1835: the difference between 1835 and 1836 will give the change for 1836. Thus we find

[1833 — 1834]	Change in 380 days	+ 6 <sup>h</sup> 33 — 43' x $\delta R$	[to be used for 1833]
[1833 — 1835]	Change in 737 days	+ 12,97 + 53 x $\delta R$	[to be used for 1834]
[1834 — 1836]	Change in 715 days	+ 13,98 + 129 x $\delta R$	[to be used for 1835]
[1835 — 1836]	Change in 358 days	+ 7,34 + 33 x $\delta R$	[to be used for 1836]

Taking the distance of each Normal Day from the mean of the days for that year, computing the proportional part of the change just given, and applying it to the mean of the Normal Tabular Errors for the year, we have the following.

*Tabular Errors (formed by applying the proportional part of the change to the Mean of the Normal Tabular Errors for the year*

1833 day 215	+ 31 <sup>h</sup> 20 — 284" x $\delta R$
235	+ 31,53 — 286 x $\delta R$
265	+ 32,03 — 290 x $\delta R$
279	+ 32,27 — 291 x $\delta R$
295	+ 32,53 — 293 x $\delta R$
323	+ 33,00 — 296 x $\delta R$
1834 day 229	+ 37,47 — 337 x $\delta R$
258	+ 37,97 — 335 x $\delta R$
283	+ 38,41 — 333 x $\delta R$
312	+ 38,92 — 331 x $\delta R$
336	+ 39,34 — 329 x $\delta R$
1835 day 215	+ 43,88 — 248 x $\delta R$
232	+ 44,21 — 245 x $\delta R$
255	+ 44,66 — 241 x $\delta R$
293	+ 45,40 — 234 x $\delta R$
326	+ 46,05 — 228 x $\delta R$
337	+ 46,26 — 226 x $\delta R$
1836 day 203	+ 51,06 — 210 x $\delta R$
236	+ 51,73 — 207 x $\delta R$
256	+ 52,14 — 205 x $\delta R$
285	+ 52,74 — 203 x $\delta R$
307	+ 53,19 — 201 x $\delta R$
327	+ 53,60 — 199 x $\delta R$

These may be considered as true errors, liable to no greater uncertainty than that of the mean of all the observations made in each year, and liable to no sensible relative uncertainty whatever.

Making these equal to the Normal Tabular Errors deduced from observation only, and performing the subtractions so as to make the sign of  $\delta R$  always positive we obtain the following equations

1833	0 = + 1 <sup>h</sup> 49 — 374" x $\delta R$
	0 = + 1,63 + 196 x $\delta R$
	0 = + 1,00 + 43 x $\delta R$
	0 = + 0,27 + 127 x $\delta R$
	0 = + 0,29 + 191 x $\delta R$
	0 = + 1,46 + 209 x $\delta R$
Sum for 1833	0 = + 6,08 + 1140 x $\delta R$
1834	0 = + 0,40 + 334 x $\delta R$
	0 = — 0,69 + 80 x $\delta R$
	0 = + 0,18 + 84 x $\delta R$
	0 = — 0,23 + 176 x $\delta R$
	0 = — 0,27 + 160 x $\delta R$
Sum for 1834	0 = — 0,61 + 684 x $\delta R$
1835	0 = + 1,58 + 413 x $\delta R$
	0 = + 1,27 + 266 x $\delta R$
	0 = + 0,13 + 58 x $\delta R$
	0 = + 0,59 + 204 x $\delta R$
	0 = + 1,68 + 272 x $\delta R$
	0 = + 0,73 + 262 x $\delta R$
Sum for 1835	0 = + 5,98 + 1475 x $\delta R$
1836	0 = + 2,60 + 500 x $\delta R$
	0 = + 0,89 + 219 x $\delta R$
	0 = + 0,18 + 40 x $\delta R$
	0 = + 1,05 + 177 x $\delta R$
	0 = + 1,67 + 275 x $\delta R$
	0 = + 0,94 + 304 x $\delta R$
Sum for 1836	0 = + 7,33 + 1515 x $\delta R$

Thus from the observations of 1833,	$\delta R = -0,00533$
— — — — — 1834,	$\delta R = +0,00074$
— — — — — 1835,	$\delta R = -0,00405$
— — — — — 1836,	$\delta R = -0,00483$

I cannot imagine what has made the difference between the result of the observations of the year 1834 and that of the other years. It is not any error in my computations. The observations show a systematic difference between the progress of the errors in AR in the year 1834 and in the other years. I suspect that some difference must have been made in the radius vector used for the computations of the Nautical Almanac in 1834.

If, however, we adopt the mean of the four results, we find  $\delta R = -0,00337$ : that is, the tables of *Bouvard* give the radius vector of Uranus too small by a quantity considerably greater than the moon's distance from the earth. If we adopt the mean of 1833, 1835 and 1836, the error appears to be nearly equal to the diameter of the moon's orbit.

G. B. Airy.

## Physische Beobachtungen des Mars in der Opposition von 1837.

(Hiebei ein Steindruck.)

Die fast beispiellos schlechte Witterung, welche den ganzen Herbst und Winter, so wie den größten Theil des Frühlings hindurch beinahe alle astronomischen Beobachtungen vereitelte, hat sich auch unsern Bemühungen, die diesmalige Opposition des

Mars zur Vervollständigung der 1830 begonnenen Zeichnung seiner Oberfläche zu benutzen, entgegen gestellt, und uns nur unvollkommene Resultate gewinnen lassen, die ohne den Umstand, daß wir den großen Refraktor der Königl. Sternwarte zu

kommen konnten, noch unbedeutender geworden wären. Erst am 12<sup>ten</sup> Januar gelangen zwei Zeichnungen, und späterhin bis am 22<sup>ten</sup> März in 14 theilweise heltern Nächten noch 30, die theilweise wegen der bedeutenden Entfernung des Mars den im September und October 1830 erhaltenen und in Nr. 192 der A. N. mitgetheilten sämmtlich nachstehen. Der weiße Fleck am Nordpol war indess mit einer Deutlichkeit sichtbar, wie wir den Südpol auch nie erinnern wahrgenommen zu haben; er erschien zugleich, besonders im Januar und Februar, ungemein scharf gegen den übrigen Theil der Kugel abgesetzt, so daß der erste Abdruck glauben machte, es bedecke ein Planet am andern an dieser Stelle. Ein dunkler Fleck von ungleicher Intensität und Breite umgab diese weiße Zone ringsherum: alle übrigen Flecken der Nordhalbkugel waren dagegen sehr matt und auch meistens höchst unbestimmt begrenzt, auch dadurch nicht denen der Südhalbkugel zu vergleichen, wovon einmal nur wenige recht zu Gesicht kamen. Dafs dieser Unterschied nicht etwa vorzugsweise der allerdings sehr schwachen, nicht ein einziges Mal völlig heltern Luftbeschaffenheit zuschreiben sei, davon überzeugten wir uns durch den Vergleich mit den zum Theil sichtbaren Flecken der Südhalbkugel, deren Schwärze nahe dieselbe wie 1830 war.

Es bestätigt sich also, was wir schon in jener Opposition über die verhältnismäßig größere Lichtstärke und geringere Ausdehnung der Continuität in der Nordhalbkugel des Mars wahrgenommen haben, so wie sich überhaupt die Constanz der Ränder und in den beiden folgenden Oppositionen beobachteten Fleck auch diesmal so weit bewährt hat, als es bei der verschiedenen Lage der Erde gegen die Marsaxe, der grössern Entfernung und andern Umständen erwartet werden konnte. Da dem 1830 gesehenen weißen Fleck am Südpole hätte, wenn eine Ausdehnung nicht die damalige weit übertraf, gegenüber nichts zu Gesicht kommen können. Er erstreckte sich damals am 10<sup>ten</sup> Sept. 1830 bis zum 84° S. B., und der südliche, diesmal im Rande der Marskugel liegende Punkt war 10° S. B. Gleichwohl war in einigen Beobachtungen eine zwar sehr schwache, doch aber sichere Spur dieses Südpolflucks wahrzunehmen; nimmt man an, dafs die Breite dieser Zone annähernd 1° gewesen sei, so folgt dafs das weiße Licht am Südpole sich bis 55° S. B. erstreckt habe. Nach den astronomischen Bestimmungen der Axenlage war der Südpol des Mars in der gegenwärtigen Opposition noch 33° von seinem nächsten Tage entfernt und stand folglich, abgesehen von der geringen Neigung, in Absicht auf Jahreszeiten in demselben Zustande zur Sonne, wie der Erdoordpol am 18<sup>ten</sup> November, während er sich 1830 fast mitten in seinem Sommer befand. Bei der nächsten Opposition (April 1839) wird er sich mitten in einem Winter befinden, aber auch von der Erde alsdann noch stärker abgewandt sein. Demnach erscheint die Benennung

Schneezone nicht unpassend, wenigstens wird sie durch die Beobachtungen so gut gerechtfertigt, als es der Natur der Sache nach möglich ist, da mit Ausnahme dieses weißen Polarflecks kein einziger Fleck auf der Kugel eine merkliche physische Veränderung der Grösse oder des Ortes hat wahrnehmen lassen.

Der Nordpolfleck zeigte sich in der ersten Beobachtung am 12<sup>ten</sup> Januar (auf der Königl. Sternwarte) so scharf begrenzt, dafs seine Ausdehnung mit ziemlicher Sicherheit geschätzt werden konnte; sie betrug längs des Randes 0,27 des Marsdurchmessers, und die Breite 0,13. Die erste Angabe führt auf einen Halbmesser von 15°7' der Marskugel, oder auf 74°3' N. B. des Randes; die zweite, wenn man den um 18°13' einwärts gerückten Pol als Mitte des Flecks annimmt, auf eine nördliche Breite von 78°7'; also war nach beiden Angaben (von denen die erstere das doppelte Gewicht hat) der Nordpolfleck beträchtlich grösser, als der Südpol fleck 1830. Bei den folgenden Beobachtungen schien seine Ausdehnung, doch nicht erheblich, in Abnahme begriffen zu sein; sicherer ist die Wahrnehmung, dafs die Scharfe seiner Begrenzung sich nach der Opposition verminderte. Die Jahreszeit des Marsnordpols am 12<sup>ten</sup> Januar 1837, wo er 46° vom Maximo seiner Erwärmung abstand, läfst sich mit der des Erdoordpols am 4<sup>ten</sup> Mai vergleichen.

Es lag in unserm Plane, den Positionswinkel des weißen Flecks wiederholt mikrometrisch zu bestimmen, um die erforderlichen Data zu einer directen Prüfung der Axenstellung des Mars zu erhalten. Die ungünstige Witterung hat diese Absicht vereitelt. Indefs ergaben die wenigen Messungen, die als gelungen bezeichnet werden können, dafs die etwaige Excentricität des Polarflecks jedenfalls nur gering sein müsse. Fällt nämlich der wahre Mittelpunkt des als kreisförmig angenommenen Flecks nicht mit dem Pole zusammen, sondern steht um den Bogen  $i$  von demselben entfernt, so mufs, wenn  $C$  den Positionswinkel des Poles für eine gegebene Nacht bezeichnet, die Mitte des Flecks innerhalb einer Rotationsperiode zweimal alle zwischen  $C+i$  und  $C-i$  fallenden Lagen einnehmen. Es wurden nun folgende Beobachtungen erhalten:

	Mittl. Berl. Zeit.	Winkel mit dem Decl.-Kreis, von N. durch O. gezählt.	
		$7^h 51'$	$+ 4^{\circ} 50'$
1837 Febr. 10.	8 52	$+ 6 22$	
	10 25	$+ 7 0$	
	15 49	$+ 1 30$	sehr schwierig.
	Febr. 11.	7 28	$+ 3 20$
Febr. 12.	8 45	$+ 4 22$	
	9 16	$+ 5 27$	
	10 17	$+ 6 46$	
	17 39	$+ 3 46$	15 *

		Mittl. Berl. Zeit.	Winkel mit dem Decl.-Kreise, von N. durch O. gezählt.	
1837 Febr. 18.	11 <sup>h</sup> 36'	+ 4° 0'	kurz vor der Bedeckung,	
Febr. 22.	10 7	+ 1 18	die durch Nebel ver-	
	11 26	+ 0 14	eitelt ward.	
Febr. 28.	6 44	+ 2 1		
März 7.	8 12	+ 4 3		
	8 53	+ 5 47		
	10 28	+ 0 40		
März 10.	7 17	+ 4 32		

Die nahe Uebereinstimmung dieser Winkel; in denen noch die Veränderungen von  $C$  zu berücksichtigen und die wol kaum auf  $1\frac{1}{2}^{\circ}$  zu verbürgen sind (jede einzelne ist das Mittel aus 4 Ablesungen, in denen Abweichungen von  $2^{\circ}$  bis  $3^{\circ}$  vorkommen) führt auf das Resultat, daß  $i$  nicht wohl über  $4^{\circ}$  steigen könne und zu seiner Bestimmung überhaupt mehr und besserer Beobachtungen bedürfe, als die diesmal von uns erhaltenen. Bei der Reduction der einzelnen Zeichnungen haben wir deshalb kein Bedenken getragen,  $i = \text{Null}$  zu setzen. Unbemerkt können wir indefs den Umstand nicht lassen, daß in den wenigen Beobachtungen, wo eine Spur des Südpolflecks wahrgenommen wurde, diese dem Nordpolleck nicht grade gegenüberstand, sondern am 7<sup>ten</sup> Februar  $16^{\circ} 14'$  nur etwa  $12^{\circ}$ , um  $14^{\circ} 28' 8''$  nach Osten, am 7<sup>ten</sup> März  $10^{\circ} 24'$  etwa  $5^{\circ}$  nach Osten, endlich am 18<sup>ten</sup> März  $7^{\circ} 56'$  um  $3^{\circ}$  bis  $5^{\circ}$  nach Westen abwich.

Daß auch die Neigung und Knotenlage des Marsäquators, wie *Herschel* sie gefunden, nicht erheblich von den wahren Werthen abweichen, zeigt die verhältnißmäßig sehr befriedigende Uebereinstimmung rücksichtlich der Breite derjenigen Flecke, die 1830 und 1837 in entgegengesetzten Lagen beobachtet worden sind. Eine schärfere Reduction beider Beobachtungsreihen wird indefs erst möglich sein, wenn sowohl die Lage der Axe als auch die etwaige Excentricität beider Polflecke ermittelt sein wird, wozu die Oppositionen von 1839, 1845 und 1847 am meisten geeignet scheinen. Bis dahin können nur Materialien zu einer künftigen Marskarte erhalten werden.

Von den 1830 beobachteten deutlicheren Flecken der Südhälfte war nur einer, in unserer früheren Zeichnung mit  $p$  bezeichnet, sicher wiederzuerkennen. Wir sahen ihn zuerst am 7<sup>ten</sup> Febr. um  $16^{\circ} 4'$  M. Z. deutlich, ferner am 28<sup>ten</sup> Febr. um  $6^{\circ} 49'$  und in 3 Beobachtungen in der Nacht des 7<sup>ten</sup> März; endlich noch, aber weniger bestimmt, am 10<sup>ten</sup> März von  $7^{\circ} 7'$  bis  $9^{\circ} 22'$  und am 11<sup>ten</sup> März um  $8^{\circ} 22'$ . Die areographische Breite des westlichen Endes  $p$  ergab sich aus 11 Beobachtungen  $\approx 43^{\circ} 29'$ ; im Jahre 1830 war sie zwischen  $40^{\circ}$  und  $42^{\circ}$  gefunden worden und sowohl dies als auch die Uebereinstimmung der Figur, sprechen für die Identität beider. Ein Versuch, seine diesmal beobachtete Länge an die von 1830 anzuknüpfen,

ergab eine Rotationsperiode von  $24^{\circ} 37' 29''$ , zwar hinreichend genau, um die Identität auch in dieser Beziehung zu bestätigen und gewiß zu sein, daß die angenommene Zahl der ganzen Rotationen keinen Fehler enthalte, aber schon der nachlässigen Lage des Flecks wegen nicht geeignet, die früher bestimmte Rotation zu verbessern. Diese hatte sich nemlich, wie folgt, ergeben:

Aus den Beobachtungen vom Sept. und Oct. 1830  $24^{\circ} 37' 5''$

Aus der Verbindung von 1830 — 1832. ....  $24^{\circ} 37' 23''$

Aus der Verbindung von 1830 — 1834. ....  $24^{\circ} 37' 20''$

Der Fleck  $a$ , dessen Epoche 1830 am schärfsten bestimmt werden konnte und durch den wir den ersten Marsmeridian legten, hat sich weder 1834 noch 1837 mit Sicherheit gezeigt; wir sind daher noch immer geneigt, dem zweiten der obigen Werthe ( $24^{\circ} 37' 23''$ ) den Vorzug zu geben, da er allein hinreichende Sicherheit zu gewähren scheint, um die Beobachtungen von 1830 an die späteren, noch zu erwartenden, anzuknüpfen.

Ein zweiter, mit  $a$   $f$  bezeichneter Fleck, ward am 12<sup>ten</sup> Januar und 22<sup>ten</sup> Februar, jedesmal in 2 Beobachtungen, noch noch später am 22<sup>ten</sup> März wieder erkannt, doch zeichnete sich kein Punkt desselben scharf genug aus, um auf ihn eine Bestimmung zu gründen. Eine spezifische Verschiedenheit der Farbe des Grundes (die Polflecke ausgenommen) war ebenfalls nicht deutlich wahrzunehmen; zwar schien es in der ersten, auf der Königl. Sternwarte angestellten Beobachtung, als sei die Mittelzone der Kugel, eine Gegend, deren Mitte beiläufig in  $40^{\circ}$  L. und  $15^{\circ}$  S. B. liegt, rötlich im Vergleich zur übrigen Kugel, allein Herr Prof. *Encke*, der an dieser und mehreren folgenden Beobachtungen Theil nahm, entschied nicht bestimmt für Roth, sondern nur für eine von der übrigen Fläche verschiedene und namentlich dunklere Färbung. Diejenigen Stellen, an welchen in der Opposition von 1830 ein rötlicher Schimmer wahrgenommen werden war, lagen diesmal zu weit abgewandt.

Die dunkle, den Nordpolleck umgebende Zone war zwar von sehr ungleicher Breite und auch nicht überall gleich schwarz, doch in allen Beobachtungen merklich dunkler als die übrigen Flecke, selbst als die der Südhälfte. Um den entgegengesetzten Pol hatte sich 1830 nichts Aehnliches gezeigt; die Flecke in seiner Nähe waren vielmehr äußerst matt, wenig zusammenhängend und nur in den günstigsten Momenten mit Mühe wahrzunehmen, wogegen bei dieser Erscheinung die erwähnte Zone auf den ersten Blick ins Auge fiel, sobald mit Mars überhaupt sichtbar war. Wenn, wie man anzunehmen geneigt sein könnte, ein Schmelzen des Schnees diese sonst dunkle Färbung veranlaßte, so stünde zu erwarten, diesen Fleck bei der Opposition von 1839 nicht in gleicher Gestalt und Farbe wiederzufinden.

Auf diese wenigen Resultate müssen wir uns diesmal beschränken. Vielleicht daß andere, von Witterungs-Störungen weniger als wir gemüthsangete Beobachter glücklicher waren. Jedenfalls ist es uns angenehm die Erfahrung gemacht zu haben, daß die größere Entfernung des Mars in dieser und den beiden nächsten Oppositionen kein absolutes Hinderniß physischer Beobachtungen sei, abgesehen davon, daß wir die Südhalbkugel des Mars stets besser als die nördliche kennen lernen werden, da Jahrtausende hindurch in allen Oppositionen, wo die Entfernung von der Erde geringer als 0,5 ist, der Nordpol unsichtbar bleibt.

Wir behalten uns vor, die einzelnen Original-Zeichnungen in einer künftigen Zusammenstellung unserer sämtlichen physischen Planetenbeobachtungen mitzutheilen, und geben hier ein Verzeichniß, die beiden Marshalbkugeln in Polarprojection darzustellen. Die Südhalbkugel ist bis auf wenige schwache Flecke, die aus den Beobachtungen von 1837 resultiren, die alle welche in Nr. 192 der A. N. gegeben worden; die bei-

den concentrischen punktirten Kreise hezeichnen die Grenzen des Polarflecks 1830 und 1837, letzteres unter der oben gemachten Voraussetzung, die andern durch Punkte begrenzten Stellen hingegen das damals wahrgenommene Roth. Die Nordhalbkugel ist zwischen 0° und 30° B. größtentheils nach den früheren Beobachtungen entworfen; für die Gegenden jenseit des 30° konnten dagegen nur die gegenwärtigen benutzt werden. Der Nordpolarfleck ist nach der Beobachtung vom 12<sup>ten</sup> Januar angesetzt und erstreckt sich hiernach bis 74°3 B.; die übrigen gründen sich meistens auf 4 bis 6 einzelne Zeichnungen. Am unvollkommensten dürfte die Gegend zwischen 70° und 120° L. dargestellt sein, da diese in keiner Beobachtung der Mitte nahe genug stand um gut gesehen zu werden.

Wilhelm Beer. Dr. Mädler.

Dieser Aufsatz, den ich schon im Mai 1837 erhielt, hatte sich in den mitgesandten Steindruck versteckt, wodurch seine Verspätung erklärt wird.

S.

Meridiankreis von A. und G. Repsold aufgestellt in der Hamburger Sternwarte im Frühjahr 1836.

(Siehe ein Steindruck.)

Bei Construirung des durch beifolgende Zeichnung erläuterten Instruments haben die Verfertiger es sich zur Aufgabe gemacht, durch möglichst große Gleichmäßigkeit und Conterbalancirung aller einzelnen Theile desselben unter einander, je mehr durch verschiedenartige Durchbiegungen entstehenden Fehler zu vermeiden. Aus obigem Grunde ist das Instrument in allen Theilen symmetrisch, die Achse innen wie außen gedreht, und gleich schwere Kreise mit den dazu gehörigen Microscopenträgern belasten die Achse gleichmäßig und bedingen gleich schwere Gegengewichte an beiden Seiten; um eine mögliche Torsion der Achse zu vermeiden, ist die Festhaltung ganz nahe dem Fernrohr, ein entsprechendes Gegengewicht an der andern Seite stellt das Gleichgewicht des Ganzen her.

Die Kreise sind von Gussmessing, 3 Fufs 2 Zoll franz. im Durchmesser, auf Silber von 2 zu 2 Min. getheilt und liegen gegen einander auf der Achse. Ihre Befestigung dasselbst geschieht durch ausgesprochene Platten, welche Befestigungsart jede Spannung beim Anschrauben verhindert und es erlaubt, das Null der Theilung auf jedem verlangten Punkte fest zu stellen. Die Ableitung der Theilung eines jeden Kreises geschieht durch 4, um 90° von einander entfernte Microscope. Das massive Mittel der Microscope tragenden, aus hohlen Röhren construirten, in 4 Theile Kreuze ist, um absolute Höhen messen zu können, auf einem an der Achse der Art aufgepaßt, daß sich selbige ohne große Reibung frei in den Büchsen bewegt. Ein mit einem verbandener Arm, der durch die in Lager sich bewe-

genden, beim Umlagen des Instruments wieder zu drückenden Haltungsstücke gefaßt wird, dient zur Feststellung und Nivellirung des Ganzen. Mit den Microscopen liest man directe Secunden ab, kann also bis auf 0,1 Secunden schätzen. Die Unwandelbarkeit jener Microscop-Kreuze wird durch zwei an denselben befindlichen, zu nivellirenden Stahleylindern gezeigt, zwei Nonien an den verticalen Seiten der Kreuze dienen zur ungefähren Ablesung.

Das Fernrohr mit Fraunhofer'schem Objectiv von 5 Fufs Brennweite besteht aus zwei gleich schweren, innen und außen gedrehten conischen Röhren von geschlagenem Messing, welche innig mit der Achse verbunden, vermöge ihrer Form eine möglichst geringe Durchbiegung gestatten. Die Beleuchtung der Fäden geschieht durch die hohle Achse mittelst eines Spiegels im Mittel des Fernrohrs, zu welchem Zwecke auf dem Ende einer der in der Verlängerung der Achse fortlaufenden Röhren eine Lampe aufzustecken ist. Die Verdunkelung, so wie die Regulirung der Lichttheile wird durch einen, mittelst eines Triebes zu bewegendem Keil von farbigem Glase leicht und schnell bewerkstelliget.

Die Lager der Achse stehen, ganz unabhängig von den übrigen Theilen des Instruments, auf in den Pfeilern mit Gyps festgegoßenen Messingklötzen aufgeschraubt, hinter denselben die messingenen Platten, welche die Säulen für die Gegengewichte tragen.

Die Umliegung des Instruments ist leicht und mit wenig Umständlichkeiten vorzunehmen, da die Gegengewichte nicht umgesteckt zu werden brauchen, und statt der sonst üblichen Ringe, in welchen die Rollen zur Aufhebung des Gewichts der Achse befindlich, nur Halbring oder große Haken gewählt sind (wie in der Zeichnung zu sehen), die bei der Umliegung die Achse frei durchlassen, und daher hängen bleiben können.

Der auf einer Eisenbahn zu bewegendes Umlegebock hebt beim Drehen der Kurbel das Instrument lothrecht in die Höhe, die Umdrehung geschieht, nachdem dasselbe zwischen den

Pfeilern herausgefahren, mit größter Leichtigkeit, ein Arm an dem oberen drehenden Theil, welcher sich an einem zweiten festen stützt, verhindert dessen Drehen um mehr oder minder als 180°, und ein auf der Eisenbahn festgeschriebener Klauen giebt das Maas, wie weit der Wagen wieder hinein zu fahren, damit die Zapfen beim Herablassen des Instruments die Lager treffen.

Der Kreis ist im Juli 1833 angefangen, und im März 1836 aufgestellt.

A. und G. Repsold.

### Mondsterne auf der Cracauer Sternwarte im Jahre 1837 beobachtet.

Datum.	Gestirne.	Scheinb. AR.	Anzahl der Fäden.
1837 Januar 18.	112 β Tauri	5 <sup>h</sup> 16' 0" 22	5
	123 ζ Tauri	5 27 55,02	5
	Mond I	5 42 49,24	5
	44 α Aurigae	6 5 0,43	5
	13 μ Geminor.	6 13 6,64	5
19.	44 α Aurigae	6 5 0,28	5
	13 μ Geminor.	6 13 6,66	5
	Mond I	6 38 8,46	5
	55 δ Geminor.	7 10 23,94	5
	66 α Geminor.	7 24 12,33	5
Februar 11.	87 μ Ceti	2 36 8,04	5
	Mond I	2 45 15,88	5
	57 δ Arietis	3 2 18,87	5
12.	57 δ Arietis	3 2 18,76	5
	Mond I	3 36 44,04	5
	50 ω <sup>2</sup> Tauri	4 7 45,03	5
	69 υ <sup>1</sup> Tauri	4 16 33,77	5
13.	50 ω <sup>2</sup> Tauri	4 7 14,26	5
	69 υ <sup>1</sup> Tauri	4 16 4,80	4
	Mond I	4 29 15,55	5
	102 ι Tauri	4 52 51,45	2
	109 n Tauri	5 8 59,37	4
14.	109 n Tauri	5 9 1,20	5
	Mond I	5 23 44,91	5
	(145) Tauri	5 26 30,36	5
	136 C Tauri	5 42 37,28	5
	7 η Geminor.	6 4 34,74	5
März 14.	112 β Tauri	6 15 59,51	5
	Mond I	5 58 35,46	5
	27 α Geminor.	6 33 54,48	4
15.	27 α Geminor.	6 33 54,58	5
	Mond I	6 54 18,78	3
	60 ι Geminor.	7 15 36,63	5
	77 α Geminor.	7 34 36,90	5
16.	60 ι Geminor.	7 15 36,28	5
	77 α Geminor.	7 34 36,93	2
	Mond I	7 48 53,08	5
	19 λ Cancri	8 10 50,79	3
	23 φ <sup>2</sup> Cancri	8 16 56,12	5
18.	77 ε Cancri	8 59 59,80	5
	85 q Cancri	9 9 58,77	5

Datum.	Gestirne	Scheinb. AR.	Anzahl der Fäden.
1837 März 18.	Mond I	9 <sup>h</sup> 31' 57" 85	5
	29 π Leonis	9 51 36,90	5
	32 α Leonis	9 59 59,30	5
April 13.	9 μ <sup>1</sup> Cancri	7 56 39,00	5
	Mond I	8 20 45,36	5
	47 δ Cancri	8 35 25,47	5
	77 ε Cancri	8 59 59,30	5
15.	14 α Leonis	9 32 27,63	4
	29 π Leonis	9 51 36,86	5
	Mond I	10 0 54,34	5
	ζ Leonis	10 10 52,69	5
	47 ρ Leonis	10 24 14,79	5
Mai 14.	63 χ Leonis	10 56 87,16	5
	73 n Leonis	11 7 20,99	5
	Mond I	11 14 7,81	5
	2 ε <sup>2</sup> Virginis	11 36 53,95	5
	5 β Virginis	11 42 13,37	5
16.	15 η Virginis	12 11 2,98	5
	29 γ Virginis	12 32 53,22	5
	Mond I	12 45 18,21	5
	51 δ Virginis	13 1 0,14	5
	67 α Virginis	13 16 6,16	4
Juni 17.	21 α Scorpii	16 19 27,90	5
	23 α Scorpii	16 25 47,31	5
	Mond I	16 56 39,66	5
	42 δ Ophiuchi	17 12 2,79	5
	3 ρ Sagittarii	17 37 21,14	5
Juli 13.	Mond I	15 23 13,51	5
	8 β Scorpii	15 56 0,32	5
14.	6 π Scorpii	15 49 2,46	5
	8 β Scorpii	15 56 0,55	5
	Mond I	16 23 43,70	5
	36 A Ophiuchi	17 5 22,64	4
	42 δ Ophiuchi	17 12 3,16	4
Aug. 11.	21 α Scorpii	16 19 27,73	5
	23 α Scorpii	16 25 47,12	5
	Mond I	16 58 15,48	5
	42 δ Ophiuchi	17 12 2,44	5
	10 γ <sup>2</sup> Sagittarii	17 55 23,65	5
13.	34 σ Sagittarii	18 45 12,86	5
	Mond I	19 14 28,27	5

Datum.	Gestirne.	Scheinb. AR.	Anzahl der Fäden.
1817 Aug. 13.	59 b Sagittarii	19 46' 59" 77	5
	62 c Sagittarii	19 52 41,07	5
14.	59 b Sagittarii	19 46 59,48	4
	62 c Sagittarii	19 52 40,99	5
	Mond I	20 23 17,23	5
	22 ♄ Capric.	20 55 10,43	3
	34 ♀ Capric.	21 17 24,46	4
Sept. 9.	Mond I	18 43 58,20	5
	41 ♄ Sagittarii	19 0 6,63	4
	52 h Sagittarii	19 26 49,77	5
10.	41 ♄ Sagittarii	19 0 6,39	2
	52 h Sagittarii	19 26 49,96	5
	Mond I	19 51 10,35	5
	10 ♄ Capric.	20 18 2,01	3
	16 ♀ Capric.	20 36 29,18	5
Octbr. 12.	20 n Piscium	23 39 36,98	5
	30 r Piscium	23 53 39,03	5
	Mond I	0 19 31,64	5

Datum.	Gestirne.	Scheinb. AR.	Anzahl der Fäden.
1837 Octbr. 12.	(189) Piscium	0 39' 53" 48	5
	71 s Piscium	0 54 32,42	5
Decbr. 7.	71 s Piscium	0 54 32,45	5
	Mond I	1 21 27,29	5
	110 s Piscium	1 36 51,06	5
	5 ♀ Arietis	1 44 39,19	5
8.	110 s Piscium	1 36 51,07	5
	5 ♀ Arietis	1 44 39,37	5
	Mond I	2 14 15,50	5
	42 ♄ Arietis	2 40 16,04	5
	48 s Arietis	2 49 57,93	5
31.	33 s Aquarii	21 57 40,40	2
	Mond I	22 29 51,56	5
	73 λ Aquarii	22 44 9,16	5
	95 ♀ Aquarii	23 10 31,66	5

Bemerkung. An den Tagen Febr. 13. 14., Mai 16 und Dec. 31 sind bloß die Durchgänge durch den Meridian angegeben, weil an diesen Tagen keine gute Zeitbestimmung gemacht werden konnte.

### Sternbedeckungen in Craeua im Jahre 1837 beobachtet.

Datum.	Sternzeit.	
1837 Febr. 14.	Eintritt (145) Tauri in den dunkeln Mondsrand um 5 <sup>h</sup> 56' 2" 58	Wegen Wolken unsicher.
März 13.	(43) Aurigae	10 24 8,07
— 15.	47 Geminorum	9 53 34,24 Sehr gut.
— 16.	2 w Cancri	7 49 44,66 Sehr gut.
Mai 10.	19 λ Cancri	13 55 21,95 Sehr gut.
Juni 6.	4 w Cancri	14 23 39,80 Sehr gut.
Aug. 14.	(170) Capric.	19 10 42,61 Gut.
Nov. 10.	54 Ceti	0 48 1,82 Auf 0 <sup>h</sup> 5 unsicher.

### Schreiben des Herrn Professors Benzenberg an Herrn Dr. und Ritter Olbers.

Düsseldorf 1836. Januar 7.

Das Jahr 1837 ist nun vollendet und ich habe in demselben 11 Beobachtungen über die Anzahl der Sternschnuppen.

1) Den 30 <sup>ten</sup> Januar	innerhalb 3 Stunden	4 Sternschnuppen.
2) Den 6 <sup>ten</sup> Februar	— 3 — 5 —	—
3) Den 6 <sup>ten</sup> März	— 3 — 4 —	—
4) Den 10 <sup>ten</sup> —	— 3 — 4 —	—
5) Den 31 <sup>ten</sup> —	— 3 — 3 —	—
6) Den 11 <sup>ten</sup> April	innerhalb 3 Stunden	4 Sternschnuppen.
7) Den 11 <sup>ten</sup> Mai	— 5 <sup>h</sup> — 18 —	—
8) Den 6 <sup>ten</sup> Juni	— 5 — 15 —	—
9) Den 7 <sup>ten</sup> —	— 5 — 12 —	—
10) Den 3 <sup>ten</sup> —	— 5 — 7 —	—
11) Den 11 <sup>ten</sup> Juni	innerhalb 3 <sup>h</sup> 1/2 Stunden	4 Sternschnuppen.
12) Den 1 <sup>ten</sup> —	— 5 — 9 —	—
13) Den 1 <sup>ten</sup> Juli	— 5 — 19 —	—
14) Den 2 <sup>ten</sup> —	— 6 — 29 —	—
15) Den 1 <sup>ten</sup> August	— 5 <sup>h</sup> — 24 —	—

16) Den 1 <sup>ten</sup> August	innerhalb 6 Stunden	47 Sternschnuppen.
17) Den 1 <sup>ten</sup> —	— 6 — 11 —	—
18) Den 1 <sup>ten</sup> —	— 6 — 98 —	—
19) Den 1 <sup>ten</sup> —	— 2 — 24 —	—
20) Den 1 <sup>ten</sup> —	— 6 — 44 —	—
21) Den 31 <sup>ten</sup> August	innerhalb 7 Stunden	17 Sternschnuppen.
22) Den 2 <sup>ten</sup> Septbr.	— 3 — 38 —	—
23) Den 21 <sup>ten</sup> —	— 3 — 13 —	—
24) Den 3 <sup>ten</sup> October	— 3 — 18 —	—
25) Den 13 <sup>ten</sup> —	— 4 — 13 —	—
26) Den 19 <sup>ten</sup> October	innerhalb 3 Stunden	20 Sternschnuppen.
27) Den 26 <sup>ten</sup> —	— 4 — 16 —	—
28) Den 7 <sup>ten</sup> November	— 3 — 10 —	—
29) Den 30 <sup>ten</sup> —	— 10 <sup>h</sup> — 37 —	—
30) Den 3 <sup>ten</sup> December	— 3 — 11 —	—
31) Den 16 <sup>ten</sup> —	— 3 — 7 —	—

In 140 Stunden 583 Sternschnuppen



Man sieht also aus dieser Tabelle, wenn man auch sonst nichts wüßte, daß zu Zeiten viele Sternschnuppen sind und zu Zeiten wenige. Unter diesen waren 5 Beobachtungen, wo die Sternschnuppen häufig erschienen. Nämlich:

- 1) Vom 6<sup>ten</sup> zum 7<sup>ten</sup> August in 6 Stunden 47 Sternschnuppen.
- 2) Vom 9<sup>ten</sup> zum 10<sup>ten</sup> — 6 — 98 —
- 3) Vom 10<sup>ten</sup> zum 11<sup>ten</sup> — 2 — 24 —
- 4) Vom 17<sup>ten</sup> zum 18<sup>ten</sup> — 6 — 44 —
- 5) Vom 6<sup>ten</sup> zum 7<sup>ten</sup> September 7 — 38 —

In 27 Stunden 251 Sternschnuppen.

Also in jeder Stunde 9.

Wenn man in 27 Stunden 251 Sternschnuppen abzieht, so bleiben für 119 Stunden noch 332 übrig. Diese mit 113 getheilt gibt 3 Sternschnuppen auf die Stunde.

Wenn also die Sternschnuppen selten sind, so hat man bei einem einzelnen Beobachter 3 auf die Stunde.

Wenn sie häufig sind, so hat man für einen Beobachter 9 auf die Stunde.

Sind sie aber sehr häufig, z. B. den 10<sup>ten</sup> August 1837, so hat man 16 Sternschnuppen für einen Beobachter auf die Stunde.

Es ist hier immer nur von Einem Beobachter die Rede. Obschon ich zwei Ruhebetten habe, so ließe ich doch durch meinen Gehülfen nur das eine in den Garten bringen und von diesem beobachten.

Dr. *Schnabel* in Gummersbach, 7½ Meilen von Düsseldorf, hatte die Nacht vom 12<sup>ten</sup> zum 13<sup>ten</sup> November 1836 4 Beob-

achter an den Fenstern des Gesellschaftssaales. Er selbst war in der Mitte des Saales und schrieb die Beobachtungen zu. Hier war es wo durch Einen in einer Stunde 30 bis 38 Sternschnuppen beobachtet wurden.

Zeit.	Süd.	Ost.	Nord.	West.	Summe.
12 — 1	9	20	8	12	49
1 — 2	17	8	16	12	53
2 — 3	16	17	20	12	65
3 — 4	30	14	17	7	68
4 — 5	38	15	6	15	74
	110	74	67	58	309

Man muß das ganze Jahr hindurch jede Stunde beobachten, und es können daher noch viele Jahre hingehen, ehe wir die Sternschnuppen von einem ganzen Jahre vollständig haben. Aber jede Stunde ist notwendig, weil die Erde in jeder Stunde 15600 Meilen vorrückt, und da kann sie denn eine Gegend kommen, wo es sehr wenige Sternschnuppen gibt. Z. B. *Brandes* hat den 6<sup>ten</sup> Decbr. 1798 gleich nach der Dämmerung in 4 Stunden 400 Sternschnuppen gesehen. Der Anfang wäre also bei Tage gewesen. Nachher wurden sie seltener, und während 8 Stunden sah er im Ganzen nur 80.

Wir müssen daher zuerst eine Sternwarte am Cap de guten Hoffnung haben, weil da Sommer ist wenn wir hier Winter haben, und denn 180 Grad davon im südlichen Asien eine zweite, wo es Mitternacht ist, wenn wir Mittag haben.

*Benzenberg.*

## E r k l ä r u n g.

Herr Professor *Encke* hat, in dem Aufsätze, welcher in Nr. 346 der *Astron. Nachrichten* abgedruckt worden ist, gewünscht, daß ich meine Pflicht gethan hätte, ohne daß er mich daran erinnerte. Wenn er für meine Pflicht hält, mich über meine Arbeiten über die Pendellänge für Berlin weiter zu äußern, als in der dieselben betreffenden Abhandlung schon geschehen ist, so willfahre ich ihm hiermit, indem ich noch

erkläre, daß ich sie zu den zuverlässigsten Arbeiten zähle, welche ich ausgeführt habe. Ich selbst halte aber für meine Pflicht, auf diesen neuen, oder auf jeden andern Angriff des Herrn Professors nichts zu entgegnen.

Königsberg 1838. März 3.

*F. W. Bessel.*

## I n h a l t.

Schreiben des Herrn *Airy*, Astronom Royal, an den Herausgeber. p. 217. — Physische Beobachtungen des Mars in der Opposition von 1837. Von den Herren *W. Beer* und *Dr. Mädler*. p. 219. — Meridiankreis von *A.* und *G. Repsold*, aufgestellt in der Hamburger Sternwarte im Frühjahr 1836. p. 225. — Mondsterne u. Sternbedeckungen auf der Graecaner Sternwarte im Jahr 18 beobachtet. p. 227 und 229. — Schreiben des Herrn Professors *Benzenberg* an Herrn Dr. u. Ritter *Olbers*. p. 229. — *Eklipse* p. 231.

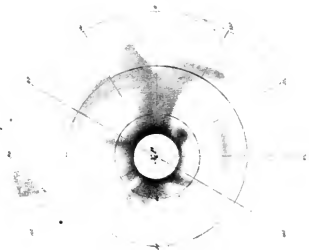
Die Steindrucktafel zu *Beer* und *Mädlers* Beob. des Mars werden mit der nächsten Nummer nachgeliefert.

Altona 1838. April 7. (Hiebei eine Steindrucktafel.)

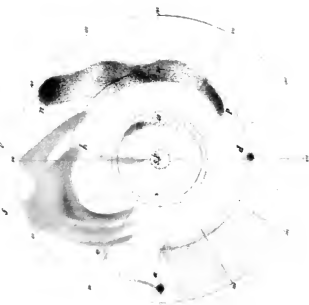


# MARS.

*Verdunthbergel*



*Verdunthbergel*



**Bestimmung der Rotationselemente der Himmelskörper aus Beobachtungen von Punkten oder Flecken auf ihren Oberflächen.**

Von Herrn *Hardenkamp*,

Oberlehrer der Mathematik und Naturwissenschaften am Gymnasium zu Hamm in Westphalen.

### §. 1.

Wenn die Astronomen in der neuern Zeit eine sehr genaue Kenntnis der Bahnelemente der zu unserm Sonnensystem gehörigen Himmelskörper erlangt haben, so scheint dieses nicht in demselben Maße von den Rotationselementen derselben zu gelten. Obgleich diese nicht von so großer Wichtigkeit wie jene sind, so ist es doch wünschenswerth, eine den jetzigen Hilfsmitteln der Astronomie entsprechende Genauigkeit auch hier zu erlangen. Ich glaube daher, daß es nicht uninteressant seyn werde, wenn ich im Folgenden die Formeln entwickle, die zur Bestimmung dieser Elemente aus beobachteten Punkten oder Flecken dienen, und zugleich zeige, wie die von *Gauss* erlangte Methode der kleinsten Quadrate hier anzuwenden ist, um diejenigen Elemente der Rotation zu finden, die sich so genau als möglich den Beobachtungen anschließen. Vorzüglich werden diese Formeln dienen können, um aus vorhandenen Beobachtungen über Sonnen- und Mondflecken die Rotationselemente dieser Himmelskörper zu bestimmen.

Es sei für die Beobachtungszeit  $t$  die vom Mittelpunkt des Himmelskörpers aus gesehene Länge und Breite der Erde (resp. Beobachtungsortes)  $\lambda$  und  $\beta$ , der Abstand  $p$ ; die von einem Punkte auf seiner Oberfläche aus gesehene Länge und Breite in Erde (resp. des Punktes, von wo aus die Beobachtung gemacht wird)  $l$  und  $b$ , der Abstand  $r$ ; endlich Länge, Breite und Abstand in Beziehung auf den Mittelpunkt des Himmelskörpers,  $L$ ,  $B$ ,  $R$ , und die scheinbare Größe desselben  $\pi$ . Und wenn die Lage des beobachteten Punktes, so wie die des Himmelskörpers und der Erde auf die drei rechtwinklig sich schneidenden Ebenen bezogen, woron die Pole in  $90^\circ$  und  $0^\circ$  der Erdsphäre und in deren Pole selbst liegen, so erhält man folgendes Gleichungen zur Bestimmung dieses Punktes:

$$\begin{aligned} R \sin B &= p \sin \beta - r \sin b \\ R \cos B \sin L &= p \cos \beta \sin \lambda - r \cos b \sin l \\ R \cos B \cos L &= p \cos \beta \cos \lambda - r \cos b \cos l \end{aligned}$$

Bestimmung von  $\frac{r}{p}$  erhält man leicht diese Gleichung:

$$\left(\frac{r}{p}\right)^2 - 2\left(\frac{r}{p}\right) \cos \varphi = \sin^2 \pi - 1; \dots\dots\dots (4)$$

$$\text{wo } \cos \varphi = \sin \beta \sin b + \cos \beta \cos b \cos(L-l), \text{ und} \\ R = p \sin \pi.$$

Aus (4) erhält man

$$\begin{aligned} \frac{r}{p} &= \cos \varphi \pm \sqrt{(\sin^2 \pi - \sin^2 \varphi)} \\ &= \cos \varphi \pm \sqrt{(\sin(\pi + \varphi) \sin(\pi - \varphi))}. \end{aligned}$$

Für unsern Fall muß das Minuszeichen genommen werden, da der beobachtete Punkt auf der der Erde zugewandten Seite liegt. Der Winkel  $\varphi$  ist der scheinbare Abstand des Punktes vom Mittelpunkt des Himmelskörpers und kann mit aller Schärfe gefunden werden. Man kann auch  $\cos \varphi$  so schreiben:

$$\begin{aligned} &\frac{\cos(\beta - b) - \cos(\beta + b) + [\cos(\beta - b) + \cos(\beta + b)] \cos(\lambda - l)}{2} \\ &= \cos(\beta - b) \cos\left(\frac{\lambda - l}{2}\right) - \cos(\beta + b) \sin\left(\frac{\lambda - l}{2}\right); \end{aligned}$$

zu einer bequemern Rechnung kann diese Formel dienen

$$\sin^2 \varphi = \sin^2\left(\frac{\beta - b}{2}\right) \cos^2\left(\frac{\lambda - l}{2}\right) + \cos^2\left(\frac{\beta + b}{2}\right) \sin^2\left(\frac{\lambda - l}{2}\right).$$

Für  $\sin \varphi$ ,  $\sin\left(\frac{\beta - b}{2}\right)$  und  $\sin\left(\frac{\lambda - l}{2}\right)$  kann man, ohne an Genauigkeit etwas einzubüßen, den Bogen setzen; daher wird endlich

$$\varphi = \sqrt{(\beta - b)^2 \cos^2\left(\frac{\lambda - l}{2}\right) + (\lambda - l)^2 \cos^2\left(\frac{\beta + b}{2}\right)} \dots\dots (5)$$

und somit auch

$$\frac{r}{p} = \cos \varphi - \sqrt{(\sin(\pi - \varphi) \sin(\pi + \varphi))}$$

oder auch ohne merklichen Fehler

$$\frac{r}{p} = \cos \varphi - \frac{\sqrt{((\pi - \varphi)(\pi + \varphi))}}{206265}.$$

Durch Verbindung der Gleichungen (2) und (3) erhält man folgende zur Bestimmung von  $L$  und  $B$ ,

$$\sin \pi \cos B \sin(L-l) = \cos \beta \sin(\lambda-l) \dots\dots\dots (6)$$

$$\sin \pi \cos B \cos(L-l) = \cos \beta \cos(\lambda-l) - \frac{r}{p} \cos b \dots\dots (7)$$

Hieraus berechnet man zuerst

$$\lg(L-l) = \frac{\cos \beta \sin(\lambda-l)}{\cos \beta \cos(\lambda-l) - \frac{r}{\rho} \cos b}$$

und dann  $\cos B$ ; zur Prüfung der Rechnung kann

$$\sin \pi \sin B = \sin \beta - \frac{r}{\rho} \sin b$$

dienen.

## §. 2.

Um aus den Veränderungen von  $l$  und  $b$  die entsprechenden von  $B$  und  $L$  zu finden, differenzirt man zuerst die Gleichung (1):

$$\sin \pi \cos B dB = -\sin b d\frac{r}{\rho} - \frac{r}{\rho} \cos b db;$$

$$-\sin \pi \sin B \sin L dB + \sin \pi \cos B \cos L dL = -\cos b \sin l d\left(\frac{r}{\rho}\right) + \frac{r}{\rho} \sin b \sin l db - \frac{r}{\rho} \cos b \cos l db,$$

$$-\sin \pi \sin B \cos L dB - \sin \pi \cos B \sin L dL = -\cos b \cos l d\frac{r}{\rho} + \frac{r}{\rho} \sin b \cos l db + \frac{r}{\rho} \cos b \sin l db;$$

multipliziert man die erste dieser Gleichungen mit  $\sin L$ , die zweite mit  $\cos L$ , und zieht von der ersten die zweite ab, ergibt sich

$$\begin{aligned} \sin \pi \cos B &= d\left(\frac{r}{\rho}\right) \sin(L-l) \cos b - \frac{r}{\rho} \sin b \sin(L-l) db - \frac{r}{\rho} \cos b \cos(L-l) dl \\ &= -\frac{r}{\rho} \frac{(\cos b \cos B + \sin b \sin B \cos(L-l))}{\cos B \sqrt{(\sin \pi^2 - \sin \phi^2)}} dl + \frac{r}{\cos B \sqrt{(\sin \pi^2 - \sin \phi^2)}} db; \end{aligned}$$

oder

setzt man noch

$$\begin{aligned} \sin b \cos(L-l) &= m \cos \mu \\ \cos b &= m \sin \mu, \end{aligned}$$

so wird endlich

$$dL = -\frac{r}{\cos B \sqrt{(\sin \pi^2 - \sin \phi^2)}} m \cos b \cos(B-\mu) dl + \frac{r}{\cos B \sqrt{(\sin \pi^2 - \sin \phi^2)}} \sin B \sin(L-l) db \dots$$

Umgekehrt ergibt sich auch leicht aus den Gleichungen (8) und (9)

$$\begin{aligned} -\frac{r}{\rho} \frac{\cos b}{\sin \pi} dl &= \cos B \cos(L-l) dL - \sin B \sin(L-l) dB \\ -\frac{r}{\rho} \frac{db}{\sin \pi} &= \sin b \cos B \sin(L-l) dL - (\cos b \cos B + \sin b \sin B \cos(L-l)) dB \end{aligned}$$

Um die Winkel  $l$  und  $b$  auf die beobachtete Länge und Breite zurückzuführen, bemerke man, daß  $l$  die beobachtete Länge  $+180^\circ$  und  $b$  die beobachtete Breite negativ genommen, ist.

Eben so ist  $\lambda$  die vom Beobachtungsorte aus gesehene Länge des Himmelskörpers  $+180^\circ$ ,  $\beta$  die Breite auch negativ genommen; und müssen aus den Coordinaten des Himmelskörpers und aus den des Beobachtungsortes bestimmt werden, welches durch die Formeln (6) und (7) geschehen kann, da diese ganz allgemein sind. Bedeuten  $x, y, z$  die Coordinaten des Mittelpunktes des Himmelskörpers, dieselben Größen für den Beobachtungsort  $x', y', z'$ ; so hat man auch

da nun

$$\begin{aligned} d\left(\frac{r}{\rho}\right) &= \frac{r}{\rho} \frac{\sin \phi}{\sqrt{(\sin \pi^2 - \sin \phi^2)}} \cdot \left(\frac{d\phi}{db} db + \frac{d\phi}{dl} dl\right) \\ -\sin \phi \frac{d\phi}{db} &= \cos \beta \sin \beta - \cos \beta \sin b \cos(\lambda-l) \\ -\sin \phi \frac{d\phi}{dl} &= \cos \beta \cos b \sin(\lambda-l) \end{aligned}$$

so erhält man

$$dB = \frac{r}{\rho} \frac{\sin b \cos b \sin(L-l)}{\sqrt{(\sin \pi^2 - \sin \phi^2)}} dl - \frac{r}{\rho} \frac{\cos(L-l)}{\sqrt{(\sin \pi^2 - \sin \phi^2)}} db.$$

Differenzirt man dann die Gleichungen (2) und (3), so wird

$$\begin{aligned} \rho \sin \beta &= x' - x \\ \rho \cos \beta \sin \lambda &= y' - y \\ \rho \cos \beta \cos \lambda &= z' - z \end{aligned}$$

Wodurch  $\beta$  und  $\lambda$  von der Parallaxe des Beobachtungsortes befreit werden.

## §. 3.

Hat man durch die Formeln (6) und (7) die  $L$  des Punktes oder Fleckens in Beziehung auf die Ekliptik bestimmt, so läßt sich aus diesen die Lage in Beziehung auf den Quator des Himmelskörpers und die Lage dieses Aps selbst, d. i. Neigung und Länge des Knotens finden; bes man durch  $A, D$  die Gerade Aufsteigung und Abweichung

Prüfen, durch  $i$  und  $u$  die Neigung und Länge des Knotens, so erhält man, wie die sphärische Trigonometrie lehrt, folgende Gleichungen:

$$(10) \dots \sin D = \cos i \sin B - \sin i \cos B \sin(L-u)$$

$$(11) \dots \cos D \sin A = \sin i \sin A + \cos i \cos B \cos(L-u)$$

$$(12) \dots \cos D \cos A = \cos B \cos(L-u);$$

weil die eine aus den beiden andern folgt. Da jede Beobachtung drei solcher Gleichungen gibt, so reichen also drei Beobachtungen vollkommen zur Bestimmung der Unbekannten. Wir müssen hier die Voraussetzung machen, daß der beobachtete Punkt oder Flecken aus dem wir die Elemente bestimmen, mit der Oberfläche des Himmelskörpers fest verbunden ist.

$$(13) \dots 0 = \cos i (\sin B - \sin B_1) - \sin i (\cos B \sin(L-u) - \cos B_1 \sin(L_1-u))$$

$$(14) \dots 0 = \cos i (\sin B - \sin B_2) - \sin i (\cos B \sin(L-u) - \cos B_2 \sin(L_2-u))$$

Hieraus ergibt sich

$$(15) \dots \lg u = \frac{(\sin B - \sin B_1)(\cos B \sin L - \cos B_1 \sin L_1) - (\sin B - \sin B_2)(\cos B \sin L - \cos B_2 \sin L_2)}{(\sin B - \sin B_1)(\cos B \cos L - \cos B_1 \cos L_1) - (\sin B - \sin B_2)(\cos B \cos L - \cos B_2 \cos L_2)}$$

Da im diesem Werthe von  $\lg u$  eine etwas bequemere Form gibt, wenn der Kürze wegen

$$-i_1 = \frac{\cos B_1 \sin L_1}{\cos B \sin L} - 1, \quad -i_2 = \frac{\cos B_2 \sin L_2}{\cos B \sin L} - 1;$$

$$-v_1 = \frac{\cos B_1 \cos L_1}{\cos B \cos L} - 1, \quad -v_2 = \frac{\cos B_2 \cos L_2}{\cos B \cos L} - 1;$$

$$x = \frac{\sin B - \sin B_1}{\sin B - \sin B_2} = \frac{\sin\left(\frac{B-B_1}{2}\right) \cos\left(\frac{B+B_1}{2}\right)}{\sin\left(\frac{B-B_2}{2}\right) \cos\left(\frac{B+B_2}{2}\right)}$$

so; dadurch erhält man einfacher

$$(16) \dots \lg u = \frac{\lambda_1 - v_1 \lambda_2}{v_1 - v_2} \lg L = \frac{\lambda_1}{v_1} \left( \frac{1 - \frac{\lambda_2}{\lambda_1}}{1 - \frac{v_2}{v_1}} \right) \lg L.$$

$$(17) \dots \lg i = \frac{2 \cos\left(\frac{B+B_1}{2}\right) \sin\left(\frac{B-B_1}{2}\right)}{m_1 \cos B \sin(L-u)} = \frac{2 \cos\left(\frac{B+B_2}{2}\right) \sin\left(\frac{B-B_2}{2}\right)}{n_1 \cos B \sin(L-u)}$$

so; hier ergibt sich durch eine einfache geometrische Annahme, daß  $i$  im ersten Quadranten liegen müsse, wenn  $L$  selbst, hingegen im zweiten, wenn  $L$  abnimmt.

$$(18) \dots \cos D (\cos A - \cos A_1) = \cos B \cos(L-u) - \cos B_1 \cos(L_1-u)$$

$$(19) \dots \cos D (\cos A - \cos A_2) = \cos B \cos(L-u) - \cos B_2 \cos(L_2-u)$$

$$(20) \dots \cos D (\cos A + \cos A_1) = \cos B \cos(L-u) + \cos B_1 \cos(L_1-u)$$

$$(21) \dots \cos D (\cos A + \cos A_2) = \cos B \cos(L-u) + \cos B_2 \cos(L_2-u).$$

Die Verbindung der Gleichungen 10, 11, 12 ergibt sich

$$\sin B = \sin i \cos D \sin A + \sin i \sin D;$$

so; nach aus 3 Beobachtungen:

$$\sin i \cos D (\sin A - \sin A_1) = \sin B \sin B_1,$$

$$\sin i \cos D (\sin A - \sin A_2) = \sin B \sin B_2.$$

Setzt man die Gleichung (16) durch die Gleichung (20), so ist

den sei; in wiefern man dies annehmen kann, wollen wir bei der mathematischen Behandlung unsers Problems nicht untersuchen. Aufser den Größen  $i$  und  $u$  bleibt also auch  $D$  constant, nur  $A$ ,  $B$  und  $L$  ändern sich. Wenn man für zwei andere Beobachtungen die Größen  $A$ ,  $B$ ,  $L$  in  $A_1$ ,  $B_1$ ,  $L_1$  und  $A_2$ ,  $B_2$ ,  $L_2$  übergehen läßt, so hat man statt der Gleichung (10) folgende drei:

$$\sin D = \cos i \sin B - \sin i \cos B \sin(L-u) \dots (13)$$

$$\sin D = \cos i \sin B_1 - \sin i \cos B_1 \sin(L_1-u) \dots (14)$$

$$\sin D = \cos i \sin B_2 - \sin i \cos B_2 \sin(L_2-u); \dots (15)$$

nicht man von der ersten dieser Gleichungen die beiden andern ab, so erhält man diese beiden:

Das Zeichen von  $\lg u$  bestimmt, ob  $u$  im ersten oder dritten, oder im zweiten oder vierten Quadranten liege. Wenn  $B$  in den folgenden Beobachtungen wächst, so liegt  $L-u$  entweder im ersten oder vierten; wenn  $B$  abnimmt, im zweiten oder dritten Quadranten. Hiernach ist es leicht,  $u$  in dem richtigen Quadranten zu nehmen.

Aus (16) und (17) erhält man, wenn  $u$  bestimmt ist,

$$\lg i = \frac{\sin B - \sin B_1}{\cos B \sin(L-u) - \cos B_1 \sin(L_1-u)} = \frac{\sin B - \sin B_2}{\cos B \cos(L-u) - \cos B_2 \cos(L_2-u)};$$

setzt man auch hier wieder

$$m_1 = 1 - \frac{\cos B_1 \cos(L_1-u)}{\cos B \sin(L-u)}, \quad n_1 = 1 - \frac{\cos B_2 \sin(L_2-u)}{\cos B \sin(L-u)};$$

so wird

$$2 \cos\left(\frac{B+B_1}{2}\right) \sin\left(\frac{B-B_1}{2}\right) = 2 \cos\left(\frac{B+B_2}{2}\right) \sin\left(\frac{B-B_2}{2}\right)$$

Aus der Gleichung (12) erhalten wir für die 3 Beobachtungen, durch Addition und Subtraction folgende:

$$\frac{\lg\left(\frac{A+A_1}{2}\right)}{\sin i} = \frac{\cos B \cos(L-u) - \cos B_1 \cos(L_1-u)}{\sin B - \sin B_1} \dots (22)$$

eben so ist, wenn (17) durch (21) dividirt wird,

$$\lg\left(\frac{A+A_2}{2}\right) = \frac{\cos B \cos(L-u) - \cos B_2 \cos(L_2-u)}{\sin B - \sin B_2} \dots (23)$$

Auf ähnliche Weise ist

$$(24) \dots \cot g \left( \frac{A-A_1}{2} \right) = \frac{\cos B \cos(L-u) + \cos B_1 \cos(L_1-u)}{\sin B - \sin B_1}$$

$$(25) \dots \cot g \left( \frac{A-A_2}{2} \right) = \frac{\cos B \cos(L-u) + \cos B_2 \cos(L_2-u)}{\sin B - \sin B_2}$$

Was die Quadranten betrifft, in welchen die vorstehenden Winkel liegen müssen, so ist leicht zu ermessen, daß  $\frac{A-A_1}{2}$  und  $\frac{A+A_1}{2}$  mit  $\frac{L-L_1}{2}$  und  $\frac{L-u+L_1-u}{2}$  in denselben Quadranten,  $\frac{A-A_2}{2}$  und  $\frac{A+A_2}{2}$  mit  $\frac{L-L_2}{2}$  und  $\frac{L-u+L_2-u}{2}$  in denselben Quadranten fallen müsse.

Hat man  $u$ ,  $A$  und  $i$  bestimmt, so berechnet man  $D$  entweder durch die Formel

$$\cos D = \frac{\cos B \cos(L-u)}{\cos A},$$

oder

$$\sin D = \cos i \sin B - \sin i \cos B \sin(L-u);$$

in welcher letztern Formel man

$$\sin i \sin(L-u) = N \sin \psi$$

$$\cos i = N \cos \psi$$

setzen kann, und somit

$$\sin D = N \sin(B-\psi).$$

Es bleibt nun noch übrig, die Dauer der Axendrehung zu bestimmen. Wenn die Rotationsdauer durch  $T$  bezeichnet wird, so hat man für die 3 Beobachtungszeiten  $t$ ,  $t'$

$$\cos B dB = (\cos i \cos D \sin A - \sin i \sin D) di + (\cos i \cos D - \sin i \sin D \sin A) dD + \sin i \cos D \cos A dA, \\ -(\sin B \sin(L-u) dB + \cos B \cos(L-u) d(L-u) = -(\sin i \cos D \sin A + \cos i \sin D) di - (\sin i \cos D + \cos i \sin D) dD + \cos i \cos D \cos A dA$$

Man kann diesen Gleichungen eine etwas bequemere Form geben. Wenn man das sphärische Dreieck, dessen Ecken die Pole der Ekliptik, und des Aequators und der vom Mittelpunkt des Himmelskörpers aus gesehene Ort des Fleckens ist, so sieht man, daß  $90^\circ - B$ ,  $90^\circ - D$ ,  $i$ , die 3 Seiten, und  $90^\circ - A$ ,  $90^\circ + L - u$  zwei gegenüberstehende Winkel sind; der dritte

$$(28) \dots \dots \dots dB = \sin(L-u) di + \cos u dD + \frac{\sin i \cos(L-u)}{\cos B} dA \\ (29) \dots \dots \dots dL = du - \lg B \cos(L-u) di - \frac{\sin u}{\cos B} dD + \frac{\cos u \cos(L-u)}{\cos A} dA$$

Wenn man den irgend einer Zeit  $T$  entsprechenden Werth von  $A = E$  setzt, so wird nach (27) die der Zeit  $t$  entsprechende Geradaufsteigung des Punktes

$$A = E + \frac{t-\tau}{T} 360^\circ;$$

differenziert man diese Gleichung, so erhält man den Fehler in  $A$ .

$$(30) \dots \dots \dots dB = \sin(L-u) di + \cos u dD + \sin i \cos(L-u) dE - 360^\circ \frac{t-\tau}{T} \sin i \cos(L-u) dT$$

$$(31) \dots \dots \dots dL = du - \lg B \cos(L-u) di - \frac{\sin u}{\cos B} dD + \frac{\cos u \cos D}{\cos B} dE - 360^\circ \frac{t-\tau}{T} \sin i \cos(L-u) dT$$

Jede Beobachtung gibt zwei solche Bedingungsgleichungen. Hat man nun eine Reihe von Beobachtungen vor sich und will

$$T = \frac{360^\circ}{A_2 - A_1} (t' - t) = \frac{360^\circ}{A_3 - A_1} (t'' - t) \dots \dots \dots$$

Man erhält für  $T$  zwei Werthe, (die, wegen der Unvollständigkeit der Beobachtungen, nicht gleich seyn werden) v daher rührt, daß die drei Beobachtungen sechs, von einander unabhängige Gleichungen geben, aus denen also sechs  $U$  kannte gefunden werden können, in unserm Falle aber nur 3 zu bestimmen waren.

#### §. 4.

In dem Vorhergehenden haben wir nur 3 Beobachtungen betrachtet und aus diesen die Elemente der Umdrehung rechnet. Wenn aber die Aufgabe ist, aus einer beliebigen Zahl von Beobachtungen die Elemente zu bestimmen, die so genau als möglich allen gemachten Beobachtungen anschließen, so muß man sich der Methode der kleinsten Quadrien bedienen.

Wie diese auf den vorliegenden Fall am bequemsten gewandt werden, wollen wir im Folgenden kurz zeigen. Zu entwickeln wir die aus der Natur des Problems sich ergebenden sogenannten Bedingungsgleichungen.

Um die Veränderungen, die  $L$  und  $B$  durch Veränderung der Rotationselemente erleiden, zu erhalten, differenzirt folgende Gleichungen, die durch Verbindung der Gleichungen (10), (11), (12) leicht erhalten werden können,

$$\sin B = \cos i \sin D + \sin i \cos D \sin A \\ \cos B \cos(L-u) = \cos i \cos D - \sin i \sin D;$$

Dadurch erhält man

Winkel mag durch  $v$  bezeichnet werden. In diesem Dreieck hat man folgende Gleichungen:

$$\cos D \cos v = \cos i \cos B + \sin i \sin B \sin(L-u) \\ \cos v = \cos i \cos D - \sin i \sin D \sin A \\ \sin B \sin v \cos(L-u) = \sin A - \sin(L-u) \cos v.$$

Setzt man die Werthe in die vorstehenden Differenzialgleichungen, so wird endlich

den die fehlerhaft angenommenen oder bestimmten Werthe  $E$  und  $T$  hervorbringen

$$dA = dE - 360^\circ \frac{t-\tau}{T} dT.$$

Setzt man diesen Werth in die Gleichung (28) und (29), wird endlich

$$(30) \dots \dots \dots dB = \sin(L-u) di + \cos u dD + \sin i \cos(L-u) dE - 360^\circ \frac{t-\tau}{T} \sin i \cos(L-u) dT$$

$$(31) \dots \dots \dots dL = du - \lg B \cos(L-u) di - \frac{\sin u}{\cos B} dD + \frac{\cos u \cos D}{\cos B} dE - 360^\circ \frac{t-\tau}{T} \sin i \cos(L-u) dT$$

diese alle zur Bestimmung der Bahnelemente benutzen, dient man sich, wie erwähnt, der Methode der kleinsten

drate. Die Anwendung derselben auf den vorliegenden Fall ist jetzt, nachdem wir die Formeln (30) und (31) gefunden haben, einfach. Man berechnet für jede gemachte Beobachtung aus den Formeln (6) und (7) die Größen  $L$  und  $B$ , und dann dieselben aus den näherungsweise bekannten Elementen, die aus drei dazu passend erachteten Beobachtungen berechnet werden können, und setzt die Unterschiede dem Werthe von  $dL$  und  $dB$  gleich, und behandelt dann die so erhaltenen Bedingungen, wie es die Methode der kleinsten Quadrate vorschreibt, um diejenigen Verbesserungen der Rotationselemente zu erhalten, welche sich den Beobachtungen so genau als möglich anschließen. Setzt man den Unterschied der aus den Beobachtungen und den Elementen berechneten Längen und Brei-

$$(32) \dots \dots \frac{r \cos b \, dl}{\sin \pi} = \cos B \cos(L-l) \, dw - \sin B \cos(l-w) \, di - (\sin v \cos(L-l) + \cos v \sin B \sin(L-l)) \, dD \\ - \cos(L-w) \left[ \sin i \sin B \sin(L-l) - \frac{\cos B \cos v \cos(L-l)}{\cos A} \right] \, dE \\ + \cos(L-w) \left[ \sin i \sin B \sin(L-l) - \frac{\cos B \cos v \cos(L-l)}{\cos A} \right] \cdot 360^\circ \frac{t-\tau}{T^2} \, dT.$$

$$(33) \dots \dots \frac{r \, db}{\sin \pi} = \sin b \cos B \sin(L-l) \, dw + [\cos b \cos B \sin(L-w) + \sin b \sin B \sin(L-w)] \, di \\ + [\cos v (\cos b \cos B + \sin b \sin B \cos(L-l)) - \sin v \sin b \sin(L-l)] \, dD \\ + \cos(L-w) \left[ \sin i (\cos b \cos B + \sin b \sin B \cos(L-l)) + \frac{\sin b \cos B \cos v \sin(L-l)}{\cos A} \right] \, dE \\ - \cos(L-w) \left[ \sin i (\cos b \cos B + \sin b \sin B \cos(L-l)) + \frac{\sin b \cos B \cos v \sin(L-l)}{\cos A} \right] \cdot 360^\circ \frac{t-\tau}{T^2} \, dT.$$

Man kann vielleicht einige Rechnungsvorteile bei der Berechnung dieser Größen erlangen, wenn man folgende Hilfsquantitäten einführt:

$$\sin B \sin(L-l) = M \sin \psi, \\ \cos(L-l) = M \cos \psi, \\ \cos B \sin(L-w) = M_1 \sin \psi_1, \\ \sin B \sin(L-w) = M_1 \cos \psi_1,$$

$$\sin B \cos(L-l) = M_2 \sin \psi_2, \\ \sin(L-l) = M_2 \cos \psi_2, \\ \cos B \cos v = M_3 \sin \psi_3, \\ M_3 \sin(v-\psi_3) = M_2 \cos \psi_3, \\ \sin v \cos B = M_4 \sin \psi_4, \\ M_2 \cos(v-\psi_4) = M_4 \cos \psi_4.$$

Hiedurch gestalten sich die Formeln (32) und (33) einfach so

$$(34) \dots \dots \frac{r \cos b \, dl}{\sin \pi} = \cos B \cos(L-l) \, dw - \sin B \cos(l-w) \, di - M \sin(v+\psi) \, dD + M \cos D \cos(v+\psi) \, dE - M \cos(v+\psi) \cdot 360^\circ \frac{t-\tau}{T^2} \, dT,$$

$$(35) \dots \dots \frac{r \, db}{\sin \pi} = \sin b \cos B \sin(L-l) \, dw + M_1 \sin(b+\psi_1) \, di - M_2 \sin(b-\psi_2) \, dD \\ + M_4 \sin(b+\psi_4) \cos D \, dE - M_4 \sin(b+\psi_4) \cos D \cdot 360^\circ \frac{t-\tau}{T^2} \, dT.$$

Bestimmt man hier die Unterschiede der unmittelbar beobachteten und berechneten Größen  $l$  und  $b$  oder  $dl$  und  $db$  so, daß die Summe der Quadrate dieser Fehler ein Kleinstes wird, so erhält man aus 5 Gleichungen die gesuchten Verbesserungen der Rotationselemente. Was die Berechnung der Coefficienten der Bedingungen betrifft, so ist es wohl wegen der vielen Hülfswinkel in den Gleichungen (34) und (35) vertheilbarer, die Formeln (30) und (31) anzuwenden. Sind die Neigung und Länge des Knotens des Himmelskörpers gewissen mit der Zeit wach-

ten,  $n$  und  $n_1$ , so erhalten die Bedingungengleichungen (30) u. (31) folgende Form

$$n = a \, dw + b \, di + c \, D + d \, dE + e \, dT, \\ n_1 = b' \, di + c' \, dD + d' \, dE + e' \, dT.$$

Löst man die Summe der Quadrate dieser Unterschiede oder Fehler ein Minimum werden, so erhält man 5 Gleichungen, aus denen die Verbesserungen der Elemente gefunden werden, welche den Beobachtungen am besten genügen. Man kann auch, statt dieses Verfahren anzuwenden, unmittelbar die beobachteten Oerter mit den aus den Elementen berechneten vergleichen; es lassen sich nämlich  $dl$  und  $db$  unmittelbar durch  $dw$ ,  $di$ ,  $dD$ ,  $dE$ ,  $dT$  ausdrücken. Oben aus den Gleichungen (8) u. (9) erhält man, wenn in diese die Werthe für  $dL$  u.  $dB$  aus (30) u. (31) gesetzt werden,

senden oder abnehmenden Bewegungen unterworfen, wie dies z. B. beim Monde der Fall ist, so lassen sich auch die hieraus entstehenden Veränderungen der Elemente noch berücksichtigen. Setzt man für die Zeit  $\tau$  die Neigung und Länge des Knotens  $\omega$ , und  $i$ , und die Veränderungen derselben in der Zeiteinheit  $\Delta\omega$ , und  $\Delta i$ , so ist für die Zeit  $t$

$$\omega = \omega + (t-\tau) \Delta\omega, \\ i = i + (t-\tau) \Delta i, \\ dw = d\omega + (t-\tau) \Delta d\omega, \\ di = di + (t-\tau) \Delta di;$$

und hieraus



setzt man diese Werthe in die Gleichung (30) und (31) oder (34) und (35), so kann man die den Elementen anzuhängenden Verbesserungen finden. Daß alle hier gegebenen Formeln auch noch ihre Gültigkeit haben, wenn man den beobachteten Punkt

oder Flecken, statt ihn auf die Ekliptik zu beziehen, auf den Äquator der Erde bezieht, ist einleuchtend.

Hamm, im Februar 1838.

*Hardenkamp.*

## Ueber die Flecken der Sonne.

Von Herrn Hofrath Schumbe.

Im vergangenen Jahre 1837 war die Thätigkeit der Sonne in Erzeugung von Flecken so ungewöhnlich groß, daß ich veranlaßt wurde meine Tagebücher in dieser Hinsicht nachzusehen, wo ich denn sehr merkwürdige Unterschiede mit den frühern Jahren fand, was mich um so mehr bestimmte die von mir seit 12 Jahren über ihre Menge und Größe gemachten Beobachtungen mitzutheilen, da mir eine ähnliche Arbeit unbekannt ist.

Ich glaube aber einige Bemerkungen über mein hierbei befolgtes Verfahren vorausschicken zu müssen; da gewiss Jedem, der dergleichen Beobachtungen anstellt, bekannt ist, wie viel der Willkühr dabei überlassen bleibt.

Seit 1826, wo ich anfang mit zwei *Fraunhofer'schen* Fernrohren von 3½ und 6 Fuß Brennweite zu beobachten, sehe ich nur diejenigen Fleckenhäufen als Gruppen an, die abgesondert dastehen und durch keine größern und kleinern Flecken und durch keinen Nebel miteinander verbunden sind. Hierdurch hängt die Zahl der Gruppen zwar von der Güte des Fernrohrs ab und es trifft allerdings sehr oft, daß Häufen von mehreren Hunderten, ja Tausenden von Flecken nur eine einzige Nummer bekommen, während bei einem einzeln stehenden dasselbe statt findet. Allein die Neigung der Sonne, ihr Flecken meistens haufenweis hervorzubringen, ist so groß, daß andere Beobachter während eines Jahres gewiss keinen beträchtlichen Unterschied in der Zahl mit meinen Nummern haben werden. Der Einfluß aber, den immer noch bedeutende Mängel meiner Arbeit auf das Resultat haben, wird durch ein gleichmäßiges Verfahren hierbei sehr vermindert und ich theile meine Beobachtungen nur von der Zeit an mit, wo ich ein solches so streng als möglich durchgeführt zu haben glaube. Nicht die Zahl der Gruppen, sondern ihr gegenseitiges Verhältnis ist das, was mir bemerkenswerth scheint und den Zweck dieses Aufsatzes ausmacht.

Den ersten neuen Flecken, den ich beim Anfang des Jahres sehe, bezeichne ich mit Nr. 1 und fahre in fortlaufender Zahl so bis zum Jahreschlusse fort, daß auch die alten Flecken, die im neuen Jahre fortbestehen, ihre vorjährigen Nummern behalten.

Von den beiden Instrumenten hat das 3½füßige ein Okular mit einem Fadenkreuz zur Eintragung der Gruppen und die 4½malige Vergrößerung; auch bei dem 6füßigen gebrauche ich nur eine 64malige Vergrößerung, um diejenigen Flecken, welche als Gruppen Nummern erhalten müssen, im kleinen Fernrohr aber wegen ihrer Feinheit übersehen wurden, nachzutagen, und nur selten bin ich gezwungen in zweifelhaften Fällen eine 96mal. Vergr. anzuwenden. So habe ich es auch für zweckmäßig gehalten, die Objectivgläser mit Kapseln zu decken, welche dem 6füßigen nur eine Oeffnung von 2½ Zoll und dem 3½füßigen eine von 1½ Zoll lassen, die jedoch durch Einsetzringe erweitert werden können, wenn es eine geringere Helligkeit des Himmels erfordert. Ich erreiche hierdurch einen doppelten Zweck, erstens vermeide ich das Zerspringen der Sonnengläser, was oft einen schwer zu ersetzenden Verlust mit sich bringt, und zweitens kann ich hellere Sonnengläser anwenden, als wenn das Objectiv seine ganze Oeffnung behält; denn selbst die besten Sonnengläser, welches anstrengt die von *Utzschneider* und *Fraunhofer* sind, verlieren mit der größern Sättigung der Farbe an Klarheit und Schärfe; ich wende nur die von gelber und grünllicher Farbe an, weil sie die größte Deutlichkeit und wenigste Wärme verursachen.

Hieran schließen sich nun noch folgende allgemeine Bemerkungen:

1) Behofte Kernflecken sind die großen dunkel-schwarzen Kerne mit grauem, scharfbegrenztem Nebel umgeben, der ungefähr die Zacken, *Einrisse*, kurz die Gestalt des Kernes besitzt. Dieser Hof ist stets unter die Oberfläche der Sonne concav eingesenkt und hat sehr mannigfaltige, meistens strahlenförmige Zeichnungen, die durch Reihen kleiner Punkte gebildet werden, welche von den hervorragenden Zacken des Kernes bis zum Umfang des Hofes fortlaufen und oft selbst noch über diesen hinausgehen. Weichen die Höfe bedeutend von der Gestalt des Kernes ab, was oft bei ihrer Bildung und ihrer Auflösung geschieht, so sehe ich sie als unregelmäßig an.

2) Kernflecken nenne ich diejenigen schwarzen Flecken ohne Hof, bei denen eine Ausdehnung deutlich unterzochien werden kann.

1) Punkte, die nur als deutliche Punkte, d. h. ohne nennliche Ausdehnung und ohne Hof erscheinen.

4) Poren, die äußerst feinen, nur mit den besten Fernrohren bei günstigem Wetter kennbaren Pünktchen, welche meistens auf der ganzen Oberfläche der Sonne zerstreut sind, besonders wenn diese ihr marmorirtes, griessartiges Ansehen mit. Bei größerer Menge machen sie die mehr gleichförmig gelbe Färbung der Hölle aus und hidden

5) die Nebel, welche oft mit ihrer grauen Farbe ganze Gruppen einschließen und große Räume bedecken.

6) Unter Lichtgewölke verstehe ich hellere und glänzendere Erscheinungen, die sich nur nahe an Sonnenränder befinden, sie seien nun zusammengeballt (sonst Sonnenfackeln genannt) oder aderförmig gestaltet.

7) Narben ist schon ein bekannter Ausdruck, man bedarf sie nur nach der Mitte der Sonne zu; sie werden wahrscheinlich durch Lichtgewölke gebildet, das hier dieses Ansehen gewinnt.

Bei der nachfolgenden Aufzählung der Sonnenflecken ist auch noch der Lichtflocken, einer Erscheinung gedacht, deren Wesen mir zwar unbekannt ist, allein von denen mir so viel gewis zu seyn scheint, daß sie in keiner andern Beziehung zur Sonne stehen, als daß sie von ihr beleuchtet und sichtbar gemacht werden, sonst aber unsrer Erdatmosphäre angehören, sich jedoch sehr hoch in derselben befinden. Meine Gründe waren sind in der nachfolgenden nähern Beschreibung enthalten.

Diese Lichtflocken besitzen so viel Licht, daß sie nicht an dem Glanze der Sonne wenig nachstehen, wenn sie mit derselben im Gesichtsfelde des Fernrohrs zugleich beobachtet werden, sondern auch selbst dann fast noch ungeschwächt sichtbar bleiben, wenn die Sonne aus dem Gesichtsfelde entfernt wird und dasselbe dunkelschwarz erscheint. Sie sind weißer als die Sonne und die Farbe des Sonnenglases hat wenig Einfluß darauf, obgleich die Farbe des Sonnenbildes sich nach der des Glases richtet. Sie haben eine etwas unregelmäßig runde Gestalt, wodurch man im Stande ist, während ihres Vorüberfliegens nicht nur eine wälzende, sondern auch eine dastliche Bewegung einer Seifenblase, an ihnen zu unterscheiden, indem ihr Flug mit der eines in unruhigem Wasser schwimmenden Körpers verglichen werden kann. Die Geschwindigkeit, mit der sie das 28 Minuten große Gesichtsfeld des Fernrohrs durchfliegen, ist sehr verschieden und es geschieht dieses zuweilen in 3 bis 4, zuweilen in kaum einer Sekunde, so daß es leicht möglich wird, die langsamern und die Grade von der Sonne mit dem Fernrohr verfolgen zu können. Eine noch größere Verschiedenheit herrscht bei der

Richtung ihres Fluges, wo durchaus keine Vorwärtz, obgleich sie in der einmal angenommenen Stunden, ja Tage lang beharren; zuweilen schien es mir, als wenn sie sich nach Wind und Wolkenzug richteten, allein oft zichen sie dem erstern gerade entgegen, aber öfter stimmen sie mit letztern überein. Ihre Entfernung von der Erde kann ich gar nicht bestimmen, ich schliesse aber auf eine sehr beträchtliche, weil ich sie mit dem für die Sonne gestellten Okular am schärfsten sehe und jede Verrückung desselben sie weniger deutlich macht. Ich fand sie am häufigsten in den Sommermonaten, besonders an heißen Tagen, seltner im Frühling und Herbst, nie aber bemerkte ich sie im November, December, Januar und Februar. Der Meinung eines frühern Beobachters, der diese Lichtflocken für den sogenannten fliegenden Sommer hält, kann ich jedoch nach der obigen Beschreibung und dazu auch deswegen nicht beitreten, weil ich sie in den Jahren nicht sah, wo dieses Gesphunst hier ungemein häufig vorkam. Die von Herrn Göbel (Astr. Nachr. Nr. 144. p. 483. 484) erwähnte Lichterscheinung durch Staubtheilchen kann ich nicht identisch mit den Lichtflocken halten. Diese Staubtheilchen im Fernrohr beobachte ich sehr häufig, doch nur mit einem einzigen Okulare, wo sie aber als dunkle Punkte erscheinen, die von dem Collectivglase electricch angezogen und abgelöst werden, ehe dieses sich gleichmäßig erwärmt hat. Leichter könnte man die Lichtflocken mit den Staubtheilchen verwechseln, welche außerhalb des Instruments im Sonnenstrahl umwirbeln, wenn man bei der Beobachtung das Auge, womit man nicht in das Fernrohr sieht, nicht gehörig schließt; allein auch gegen diese Täuschung kann man sich leicht sichern. Correspondirende Beobachtungen könnten vielleicht eine nähere Aufklärung geben und es würde mir sehr angenehm seyn, wenn dieser Aufsatz mir Mitbeobachter erweckte.

Wie verschieden die Menge der Sonnenflecken und die Größe der Gruppen in verschiedenen Zeiten ist, zeigt folgende Uebersicht und die dazu gehörigen Anmerkungen.

1826	zählte ich	118 Gruppen.
1827	zählte ich	161
1828	zählte ich	225
1829	zählte ich	199
1830	zählte ich	190
1831	zählte ich	149
1832	zählte ich	84
1833	zählte ich	33
1834	zählte ich	51
1835	zählte ich	173
1836	zählte ich	272
1837	zählte ich	333

1826 beobachtete ich an 277 Tagen, von denen enthielten 22 keine Sonnenflecken und fielen fast sämtlich in den August und September. Die Gruppen waren nicht sehr reichhaltig, im März war ein Flecken von ausgezeichneter Größe sichtbar.

Einige Lichtflocken bemerkte ich am 7<sup>ten</sup> und 8<sup>ten</sup> Juli und 3<sup>ten</sup> und 4<sup>ten</sup> August.

1827. Beobachtungstage 273. Die Sonne war nur den 21<sup>sten</sup> und 22<sup>sten</sup> Januar fleckenlos. Die Gruppen ziemlich reichhaltig, enthielten oft unregelmäßig behofte Kernflecken. Lichtflocken bemerkte ich im April, Mai, Juni, Juli, August, September und October oft häufig auf einander folgend.

1828. Beobachtungstage 282. Kein Tag ohne Sonnenflecken. Die Gruppen meistens sehr reichhaltig und ihre Flecken entstanden sehr schnell. Im Mai und September war ein Flecken mit unbewaffnetem Auge sichtbar. Lichtflocken häufig im Juni, Juli, August; sparsam im April, Mai und September.

1829. Beobachtungstage 244. Kein Tag ohne Flecken. Die Gruppen wurden Ende des Jahres etwas sparsamer und nahmen an Reichhaltigkeit der Flecken ab. Im April entstand ein ausgezeichnet großer behofter Kernflecken. Lichtflocken sparsam im Juni und Juli.

1830. Beobachtungstage 217. Die Sonne war nur am 24<sup>ten</sup> Januar fleckenlos. Die Gruppen enthielten oft unregelmäßig behofte Kernflecken. Lichtflocken sah ich nur am 6<sup>ten</sup> Juli sehr sparsam.

1831. Beobachtungstage 239. Die Sonne zeigte nur am 12<sup>ten</sup> Mai, 2<sup>ten</sup> Juli und 11<sup>ten</sup> December keine Flecken. Die Gruppen waren nicht sehr reichhaltig und wurden immer sparsamer, jedoch erschienen die wenigsten im April, mehrentheils wurden nur einzelne, doch sehr regelmäßig behofte Kernflecken von mittlerer Größe sichtbar, welche nicht viele Nebenflecken in ihrer Begleitung hatten. Im Juni und Juli zeichneten sich die breiten Zonen, worin die Flecken entstehen, durch starkes Lichtgewölke, große Narben und deutliche Poren so augenfällig aus, daß sie wie zwei Gürtel sichtbar waren. Lichtflocken im Juli und August sehr häufig; im April, Mai und September sparsam und einzeln.

1832. Beobachtungstage 270, davon 49 Tage fleckenlos; die meisten derselben waren im Juli, August und Sep-

tember. Die Gruppen sehr arm; kleine Flecken lösten sich sehr schnell auf. Keine Lichtflocken.

1833. Beobachtungstage 267. Die 139 Tage, wo die Sonne keine Flecken zeigte, fielen vorzüglich in den Juni, Juli, August, October und November. Die Flecken waren einzeln und klein, oft nur Punkte, die sich zuweilen in einigen Stunden aufgelöst hatten; im October zeichnete sich ein behofter Kernflecken durch seine Größe und Schönheit aus. Kei Lichtflocken.

1834. Beobachtungstage 275, 120 Tage ohne Sonnenflecken, welche vorzüglich in den Januar, April, Mai, Juli und August fielen; im December nahm die Fleckenbildung beträchtlich zu. Keine Lichtflocken.

1835. Beobachtungstage 244. Die 18 Tage ohne Sonnenflecken waren sämtlich im Januar. Die Gruppen bestanden mehrentheils aus behoften Kernflecken mit wenigen Nebenflecken und Punkten. Keine Lichtflocken.

1836. Beobachtungstage 200, an keinem Tage war Sonne fleckenlos. Die Gruppen mehrten sich vom März sehr schnell, sowohl an Größe als an Menge, jedoch bestanden sich die meisten und reichhaltigsten nur auf der einen Halbkugel der Sonne. Höchst merkwürdig war das plötzliche Entstehen selbst von bedeutenden Kernflecken, so wie die Veränderlichkeit. Keine Lichtflocken.

1837. Beobachtungstage 168. Die Sonne war nie ohne Flecken, vielmehr häuften diese sich auf der einen Halbkugel immer mehr an, so daß diese damit wie übersät war, indessen sich mehrere Gruppen durch schnell eintretende Zwischenflecken zu großen Massen vereinigten; ihr Entstehen und ihre Veränderlichkeit war eben so plötzlich und beträchtlich wie vorigen Jahre; es zeigten sich aber mehr unregelmäßig behofte Kernflecken und so außerordentlich große Strecken Nebeln, daß nach ungefähren Zählungen und Schätzungen diese oft mehrere tausend Flecken und Punkte umgaben. Lichtflocken sah ich nur im August ziemlich häufig; im September sparsamer und nur einige im October.

Dessau, im Februar 1838.

Heinrich Schwabe

## Inhalt.

Bestimmung der Rotations Elemente der Himmelskörper aus Beobachtungen von Punkten oder Flecken auf ihren Oberflächen.

Herrn *Hardenkamp*, Oberlehrer der Mathematik und Naturwissenschaften am Gymnasium zu Hamm in Westphalen, p. 23.  
Ueber die Flecken der Sonne. Von Herrn Hofrath *Schwabe*, p. 243.

(Hiebei die zu *Beer* und *Müllers* Beobachtungen des Mars in der vorigen Nummer gebörende Steindrucktafel.)

Altona 1838. April 19.

# ASTRONOMISCHE NACHRICHTEN.

N<sup>o</sup>. 351. 352.

Schreiben des Herrn *James Yates*, Secretary to the Council of the British Association, an den Herausgeber.  
London 1838. April 10.

I have the pleasure of informing you, that the next meeting of the British Association for the Advancement of Science will be held at Newcastle-on Tyne during the week commencing on Monday, August the 20<sup>th</sup>. You will oblige the Council by

making these circumstances known; and be assured, how much pleasure they will feel, if any of your distinguished countrymen can attend the meeting.

*James Yates.*

Auszug aus einem Schreiben des Herrn Professors *Gerling* an den Herausgeber.

Marburg 1838. März 12.

Ich übersende Ihnen anliegend einen Aufsatz über meine im vorigen Herbst ausgeführte Längen-Bestimmung zwischen Göttingen (Altona) und Mannheim, dessen bisherige Verspätung seinen Grund darin hat, daß ich die deshalbigen Rechnungen neben meinen übrigen Amtsgeschäften und neben der noch fortwährenden Rechnung für den Rest meiner Triangulirung besorgen mußte, deren Resultate noch in diesem Frühjahr als zweites Heft meiner Beiträge erscheinen sollen.

Ich habe zum eventuellen Abdruck der Abhandlung gleich einen Brief von *Nicolai* an mich beigegeben, woraus hervorgeht, daß er seine Länge =  $24^{\circ} 29' 84''$  setzt, dazu meine Bestimmung....

5 55,86

gäbe für Göttingen.....

30 25,70

Sehr neugierig bin ich zu erfahren, wie dieses mit den früheren Angaben stimmt.

*Gerling.*

Die Längen-Unterschiede zwischen Göttingen (Altona), Marburg und Mannheim durch Signale bestimmt.

Von Herrn Professor *Gerling*.

Die Beendigung der Messungen für das über Kurhessen sich erstreckende Netz großer Dreiecke machte ein ferneres Anstellen derselben an eine astronomische Bestimmung wünschenswerth. Hierzu bot sich der Umstand gleichsam von selbst dar, daß auf dem Frauenberg ohnweit Marburg sowohl der Feldberg sichtbar ist, welcher im Gesichtsfeld des Passagen-Instrumentes der Mannheimer Sternwarte liegt (nur  $7^{\circ} 6' 2''$  westlich von der Collimationslinie) als auch der Meiser, welcher von der Göttinger Sternwarte aus beobachtet werden kann. Nachdem ich auf deshalbige Anfrage von Herrn Hofrath *Gauss* und Herrn Hofrath *Nicolai* die Zusicherung erhalten hatte, daß ich mir zu veranstaltenden Signalen auf ihren Sternwarten beobachtet werden, auch die Regierungen der Staaten, deren Territorien am Feldberg zusammengränzen, auf Ersuchen der Kurhessischen, diese Operation aufs kräftigste fördernden, Begünstigung die Benutzung dieses Berges zu dem fraglichen Zweck aufs bereitwilligste gestattet hatten, ließ sich der Plan

für die Arbeit entwerfen, deren Ergebnisse mitzuthellen der Zweck dieses Aufsatzes ist.

## §. 1.

Der Unterschied der geographischen Längen zwischen den beiden Endstationen, den ich als Haupt-Resultat auszumitteln bezweckte, konnte offenbar unabhängig von der Zeit-Bestimmung auf dem Frauenberg gefunden werden, wenn die an diesem letzten Punkte zur Beobachtung gebrauchte Uhr die Zeit nur zwischen den Signalen hielt, die abwechselnd auf beiden Bergen gegeben werden sollten. Dazu hatte ich ein vortreffliches Hilfsmittel an einem Box-Chronometer von *Keezel* Nr. 1314, der sich hiebei so bewährte, wie es bei einem Werke dieses Meisters zum Voraus zu erwarten war. Ich wünschte aber auch als Neben-Resultat hiedurch eine astronomische Längen-Bestimmung für Marburg zu gewinnen, dessen Schloßthurm nach den in meinen Beiträgen zur Geo-

graphie von Kurhessen u. s. w. mitgetheilten geodätischen Messungen 1575 rhein. Ruthen nördlich und 376 rhein. Ruthen (d. h. 4° 52' in Zeit) westlich \*) von Frauenberg liegt. Zu diesem letzten Zweck mußte ich mir auf dem Frauenberg auch Zeitbestimmungen verschaffen, soweit solches die mangelhaften Hilfsmittel erlaubten.

### §. 2.

Die Pulversignale, als das am längsten bekannte und durch Erfahrung erprobte Hilfsmittel, wurden nach den Angaben des Herrn v. Zach und den schätzbaren Notizen angeordnet, welche ich durch gütige Vermittelung des Herrn Hofrath Nicolai dem Herrn Major Klose in Karlsruhe verdanke, welcher 1824 die Signale gegeben hatte, deren Resultato in Bode's Jahrbuch für 1828 S. 127 abgedruckt sind. Zur Verwirklichung der Beobachtungen sollten aber auch Heliotrop-Signale gegeben werden; und hieüber ist vorerst noch einiges zu erinnern. Ein Heliotrop-Signal kann nämlich entweder dadurch gegeben werden, daß der vorher leuchtende Spiegel plötzlich verdeckt wird, oder der vorher gedeckte Spiegel plötzlich geöffnet, oder endlich durch einen einzelnen Blitz, den der vorher und nachher verdeckte Spiegel giebt. Obwohl die erste dieser Methoden, wie ich von Nicolai erfuhr, die Autorität eines Bohnerberger für sich hatte, entschied ich mich doch für die dritte, und zwar aus dem Grunde, weil nicht erwiesen ist, ob das Zeitmoment des Verschwindens eines vorher anhaltend leuchtenden Lichtpunkts genau eben so von den Beobachtern geschätzt wird, als das Moment eines Blitzes, welche Frage nebst vielen andern noch einer besondern Untersuchung bedarf, und es vor allem also darauf ankam, möglichst gleichförmige Erscheinungen zu beobachten, die Heliotrop-Signale also so viel als thunlich den Pulversignalen ähnlich zu machen. Um übrigens die Beobachter von der Lebhafteigkeit des zu erwartenden Blitzes und dem Punkt des Fernrohrs, wo er erscheinen würde, jedesmal zum Voraus in Kenntniß zu setzen, ließ ich jedem Blitz ein kurzes Attention's-Zeichen vorausgehen. Ferner war zu erwägen, wie die Gleichzeitigkeit der auf jedem Berge zu gebenden Signale zuverlässig verbürgt würde. Zu diesem Ende wurden die zwei nach den Beobachtungspunkten zu richtenden Heliotropo in den rückwärts verlängerten Richtungslinien so aufgestellt, daß die zu denselben entsendeten Licht-Prismen sich so nahe als möglich in einem und demselben Parallelogramm durchkreuzten, in welches dann ein das Licht abwechselnd abfangender und freilassender Papp-

deckel gebracht wurde. Es ist hiebei vorthellhaft, wenn die Papppe nahe senkrecht auf die Halbirungs-Linie des Winkels nach den Beobachtungsstationen gehalten werden kann, weil sich sodann die Spiegel auf derselben Seite der Papppe abblenden, und also der Signalgeber, obwohl er ganz aus freier Hand arbeitet, dafür bürgen kann, daß gleichzeitig beide Heliotrop geöffnet und geschlossen werden. Näher sich aber jeder Winkel zweien rechten und ist man dadurch gezwungen, die Papppe nahe in die Halbirungslinie selbst zu stellen, so macht ihre Beleuchtung an verschiedenen Seiten das gleichzeitige Sehen unmöglich und muß also die Papppe auf irgend eine mechanische Weise an dem einmal für sie bestimmten Platz zu stehen gezwungen werden.

Frellich könnte man, wenn an Heliotropen Mangel, dagegen an Chronometern Vorrath wäre, auch wohl mit einem Heliotrop auf jeder Signal-Station fertig werden; abgesehen aber von der Unbequemlichkeit, die es dem Signalgeber brächte, seine Richtung stets zu wechseln und die Signale nach dem Chronometer aufzuschreiben, würden dann 4mal so viele zu gehen und doppelt so viele zu beobachten seyn, indem die Beobachtung eines Paares solcher correspondirender Signale ein Gewicht 1 hat, wenn das Gewicht eines gleichzeitig beobachteten = 1 gesetzt wird.

### §. 3.

Weil die Erfahrung gelehrt hat, daß dergleichen Erscheinungen desto genauer beobachtet werden, je genauer sie zu dem vorausbestimmten Augenblick erscheinen, waren meine Gehülften (Herr Jac auf dem Melsner und Herr Fiedler auf dem Feldberg) durch ihre Instruction unter andern angewiesen, die Signale nach ihren Taschenuhren so genau als möglich zu den vorgeschriebenen Zeiten zu geben, und wurde diese Taschenuhren täglich, so oft die Witterung es zuließ, vermittelt meiner Heliotrop-Signale und überdies noch jeden Abend durch zwei Pulversignale, die ich auf dem Frauenberg abbrechen ließ, nach meinem Chronometer gestellt, dessen Stunden gegen M. Z. ich den beiden Sternwarten mitgetheilt hatte, zu welchen Angaben also gleichsam das Argument bildeten, zu welchem die übrigen Zahlenangaben sich ordneten.

Die Signale erfolgten nach dieser Vorschrift auf jedem Berge mit Pausen von 8' dergestalt, daß immer die Meissner Signale den Feldberg-Signalen um 4' vorangingen. Eine längere Pause eintreten zu lassen, würde wegen der Beobachtungen auf dem Frauenberg nicht rathsam gewesen seyn, sich auf den Gang der Taschenuhren nicht zu verlassen. Für die Heliotrop-Signale war überdies zu Vermehrung die Anzahl festgesetzt, daß jedesmal drei hinter einander in 30" scheiterten von 30" folgten. Wären alle in der Instru-

\*) Diese Zahlen beziehen sich nicht mehr auf die Signallänge, sondern auf einen erst im vorigen Jahr errichteten Postamentstein. Die Reduction der späteren Messungen kann also vielleicht noch um eine Kleinigkeit ändern.

geschiehen gelangen, so hätte jeder Tag 45 Heliotrop-Signale und 11 Pulversignale geliefert.

## §. 4.

Durch die Witterung wurde die Operation wenig begünstigt, dem Wolken (die besonders oft den Feldberg umlagerten, während der Meisner viel häufiger Sonne hatte) und Regen wechselten schon in den ersten Tagen, nachdem wir (Aug. 16) die Berge bezogen hatten, vom 28<sup>ten</sup> August an trat eine Pause von vollen 8 Tagen ein, während welcher kein Signal gleichzeitig auf den Beobachtungs-Stationen gesehen werden konnte, und überdies tobte mit wenigen Ausnahmen ein sehr heftiger Wind, das es nicht nur auf dem Frauenberge oft sehr schwer hielt, die Schläge des kaum 2 Fufs vom Ohr entfernten Chronometers zu hören, sondern das besonders auf dem Feldberge Schwierigkeiten entstanden, die Heliotrope in der einmal gegebenen Richtung zu erhalten, durch welchen Umstand namentlich die dortigen Signale vom 6<sup>ten</sup> Sept., als sie gleichzeitig beide Heliotrope gehörig gerichtet waren, verloren gingen. Einige wenige Meisner-Signale gingen auch deshalb Anfangs verloren, weil die Regulierung der deren Taschenuhr vom Frauenberg aus misslang, und ein mangelhafter Sonnenweiser ihr einen um 5' fehlerhaften Stand gab. Nachdem endlich so viele Signale beobachtet waren, daß sich kein Mißverstand mehr ereignen konnte, wurde die Operation am 9<sup>ten</sup> Sept. beendet.

## §. 5.

Die Beobachtung geschah in Mannheim unmittelbar am Passagen-Instrument, an welchem auch von Hofrath Nicolai die Zeitbestimmungen gemacht waren. In Göttingen wurden die Zeitbestimmungen von Dr. Goldschmidt allein besorgt. Heliotrop-Signale wurden von dem Hofrath Gauss und ihm mit mehreren umhert der Uhr des Passage-Instruments beobachtet, die Beobachtungen der Pulversignale dagegen konnten durch die verhältnißmäßig geringen Entfernung des Meisners mit dem Auge festgestellt werden. Ich hatte unter meinem Zelt auf dem Frauenberge einen zwölfzölligen Ertelschen Theodolit aufgestellt, dessen beide Fernröhre bei Tage auf die Signalberge gerichtet und gleich für die Nacht festgesetzt wurden; diesen Fernröhren gab ich dann gegen Abend ein Objectiv noch kleine Papierstreifen als Blendungen bei, die in eine Laterne, welche den Chronometer beleuchtete, hineingelegt wurden, um meinem übrigens beschatteten Auge den Blick des Gesichtsfeldes bemerklich zu machen, so daß ich die Aufmerksamkeit ganz auf den gehörigen Punkt richten konnte, ein Umstand, den als sehr wesentlich zur Sicherheit der Beobachtung ich schon am ersten Signal-Abend kennen

lernte. Mein Gehülfe, Herr Hartmann, beobachtete zuweilen, wenn es gerade seine übrigen Geschäfte erlaubten, gleichzeitig mit mir die Heliotrop-Signale an einem Handfernrohr, und die Pulversignale, soweit sie dem bloßen Auge sichtbar wurden (und das geschah doch verhältnißmäßig für die Entfernungen \*) oft) und sicherte mich dadurch wenigstens vor Schreibfehlern. In einzelnen Fällen, wo z. B. mein Auge der Ruhe bedurfte, löste er mich auch eine Zeitlang ganz ab.

## §. 6.

Ich lasse nun die Original-Beobachtungen folgen wie sie meine eigenen und die von den beiden Sternwarten mitgetheilten Protocolle ergaben, bloß mit Weglassung derer, die aus irgend einem Grunde (meistentheils wegen der Witterung) an der jenseitigen Station nicht gesehen wurden, und also verloren gingen. Die Anzahl solcher vergänglich beobachteter Signale ist jedesmal am Ende eines Tages in Parenthese beigefügt.

In dem Göttinger Protocolle ist die Zeit regelmäßig nach Dr. Goldschmidt's Beobachtung angesetzt, darüber aber der Bruch einer Secunde angegeben, welcher mit seinem Zeichen der Goldschmidt'schen Beobachtung beizufügen ist, um die Gauss'sche Beobachtung zu geben. Diejenigen Beobachtungen, welche ausnahmsweise von Gauss allein gemacht sind, finden sich mit G bezeichnet.

In dem Frauenberger Protocolle sind mit H diejenigen Beobachtungen bezeichnet, bei welchen Hartmann mich abgelöst hatte.

Meisner Signale in Göttingen beobachtet.  
Sternzeit.

Aug. 22.	Aug. 22.	Aug. 22.	Aug. 24.
Heliotropsign.	19 <sup>h</sup> 2' 3 <sup>s</sup> 8 <sup>s</sup> - 0 <sup>m</sup>	15 <sup>h</sup> 58' 20 <sup>s</sup> 45	0 <sup>m</sup>
15 <sup>h</sup> 49' 29 <sup>s</sup> 53 G	10 4,98 + 0,3	58 50,23	+ 0,2
49 59,63 G	18 17,08 - 0,2	16 6 51,05	+ 0,2
50 29 53 G	34 6,27 + 0,1	14 51,14	+ 0,2
16 5 30,93 - 0 <sup>m</sup>	50 11,07 - 0,3	(10)	
6 2,13 - 0,3	(3)	Pulversign.	
6 31,83 - 0,3	Aug. 24.	18 46 6,17	+ 0,2
Pulversign.	Heliotropsign.	54 8,76	0,0
18 37 57,99 0,0	14 53 47,29 + 0,2	19 2 9,16	+ 0,2
46 0,78 + 0,3	15 1 45,18 + 0,3	10 10,06	+ 0,2
54 1,68 0,0	17 45,17	18 11,55	+ 0,2

\*) Die Entfernungen finden sich neben den Winkeln (von links zu rechts gezählt) im folgenden den ganzen Zug darstellenden Uebersicht:

Göttingen Meisner	=	9084 rh. R.
Frauenberg Meisner Göttingen	=	134° 35'
Meisner Frauenberg	=	21276 rh. R.
Meisner Frauenberg Feldberg	=	147° 17'
Frauenberg Feldberg	=	16688 rh. R.
Frauenberg Feldberg Mannheim	=	158° 5'
Feldberg Mannheim	=	22024 rh. R.

Aug. 24. 19 <sup>h</sup> 26' 11" 05 +0.01 34 13,34 +0.2 42 15,34 +0.3 50 15,64 +0.1 58 17,43 +0.5 (1)	Aug. 26. Heliotropsign. 14 <sup>h</sup> 27' 32" 10 +0.2 28 2,90 (21) Pulversign. 19 0 1,66 +0.4 8 4,76 +0.2 16 4,76 +0.1 24 10,55 +0.1 32 9,75 +0.0 40 9,74 +0.5 48 16,94 +0.5 56 14,44 +0.1 20 4 15,63 +0.2 12 17,83 0.0 (1)	Sept. 6. 20 <sup>h</sup> 24' 28" 33 +0.2 32 28,62 +0.4 (b) 40 30,62 -0.1 48 32,21 +0.3 (1)	Sept. 7. Heliotropsign. 15 9 37,65 10 7,55 0.0 17 7,95 0.0 17 38,55 +0.1 18 8,55 -0.6 33 40,14 +0.4 34 9,84 +0.1 41 10,64 +0.1 41 41,74 0.0 42 11,74 -0.2 49 11,63 -0.2 49 42,33 -0.2 50 12,13 -0.2 57 12,83 -0.4 57 42,83 +0.2 58 12,53 -0.3 16 5 13,72 +0.1 5 44,52 -0.4 6 13,62 +0.1 13 14,32 -0.4 13 45,22 0.0 14 14,62 21 15,62 +0.1 21 45,82 0.0 22 15,62 +0.1 29 16,71 -0.6 29 46,91 +0.1 30 10,51 -0.2 37 17,41 -0.3 37 47,51 +0.2 38 17,51 -0.4 45 17,90 +0.3 45 48,10 +0.1 46 18,30 -0.1 53 49,60 -0.3 (c) 54 18,90 +0.2 17 1 19,59 -0.1 1 49,79 +0.1 2 20,19 -0.1 (3)	Sept. 8. Heliotropsign. 15 <sup>h</sup> 11' 55" 71 -0.4 12 25,61 -0.5 19 25,40 +0.1 19 56,20 +0.2 20 25,90 +0.1 27 26,50 0.0 27 57,10 -0.3 28 27,00 -0.2 35 27,90 -0.5 35 58,10 +0.2 36 27,80 +0.1 43 28,09 +0.3 43 58,99 0.0 44 28,29 +0.4 51 29,19 +0.1 51 59,99 -0.1 52 29,29 0.0 59 29,89 +0.2 16 0 0,49 -0.2 0 30,09 +0.2 7 30,28 +0.1 8 0,98 -0.4 8 30,98 -0.2 23 32,47 0.0 24 2,97 +0.1 24 32,37 -0.1 31 32,97 -0.4 32 3,57 -0.1 32 32,97 -0.5 39 33,27 +0.2 40 4,07 +0.2 40 33,27 +0.2 47 34,16 +0.1 48 4,76 0.0	Sept. 8. 16 <sup>h</sup> 48' 34" 56 -0.2 56 5,66 +0.6 17 3 35,56 0.0 4 5,76 G (5) Pulversign. 19 36 2,17 44 4,16 0.0 52 5,46 +0.5 20 0 7,25 +0.5 8 9,15 +0.1 16 10,15 -0.1 24 13,94 +0.1 32 14,94 +0.2 40 14,84 +0.2 48 15,73 +0.4 56 17,83 +0.5	Sept. 9. Heliotropsign. 15 15 4,56 -0.1 15 35,16 -0.2 16 4,16 +0.2 23 37,16 -0.7 24 5,56 -0.1 31 7,25 -0.7 31 37,75 -0.3 32 6,45 +0.3 39 8,25 -0.4 39 38,55 -0.1 40 8,25 -0.3 47 9,15 G 47 39,55 +0.1 48 8,85 +0.2 55 10,24 -0.2	Sept. 9. 15 <sup>h</sup> 55' 40" 94 -0.1 56 10,24 +0.3 16 3 11,14 -0.2 3 41,94 -0.2 4 11,34 +0.3 11 12,23 -0.4 12 12,53 19 13,33 +0.1 19 44,13 0.0 20 12,93 +0.4 27 14,23 -0.4 27 44,83 -0.4 28 14,03 -0.1 51 16,92 +0.3 51 47,11 +0.3 52 17,11 +0.3 59 17,71 +0.2 59 47,81 +0.2 17 0 17,91 0.0 7 19,11 0.0 7 49,11 +0.3 8 19,11 0.0 (2) Pulversign. 19 40 54,93 -0.3 48 56,33 +0.3 56 56,42 +0.1 20 4 58,82 0.0 13 0,51 0.0 21 1,91 -0.6 29 3,01 -0.6 37 5,00 +0.6 45 5,80 0.0 53 7,99 -0.6 21 1 8,89 +0.2
Aug. 25. Heliotropsign. 14 24 37,86 0.0 25 8,66 +0.2 25 37,86 0.0 32 38,66 +0.3 33 9,56 +0.3 33 38,56 -0.75 40 50,16 -0.3 41 39,36 -0.2 48 39,55 +0.3 49 9,75 +0.1 49 39,55 +0.1 56 39,85 57 10,55 +0.2 57 40,55 -0.6 15 4 40,84 +0.5 5 11,64 0.0 5 40,64 +0.2 12 41,44 +0.2 20 41,64 +0.4 21 12,74 +0.4 21 41,74 +0.2 28 42,63 +0.5 29 12,73 -0.4 29 42,73 0.0 37 42,83 +0.5 44 43,62 +0.3 53 44,42 +0.1 16 0 44,62 +0.2 1 15,42 +0.2 8 44,81 +0.4 9 15,61 +0.4 9 44,91 +0.4 16 45,51 +0.2 17 15,81 +0.6 17 45,61 +0.2 (9) Pulversign. 18 49 12,34 +0.4 56 55,54 -0.8 19 4 56,73 -0.1 12 57,53 +0.4 21 2,82 +0.8 28 58,42 +0.3 36 59,72 +0.4 45 0,71 +0.2 53 1,41 +0.2 20 1 0,40 +0.3 (1)	Aug. 28. Pulversign. 19 0 3,13 +0.1 8 5,12 +0.4 16 6,22 +0.4 24 8,31 +0.4 32 9,41 +0.4 40 10,01 +0.4 48 12,10 +0.1 56 13,40 +0.5 20 4 13,10 +0.2 12 16,09 +0.5 20 18,19 0.0 Sept. 4. Pulversign. (10) Sept. 5. Pulversign. (2) Sept. 6. Heliotropsign. 15 9 36,60 +0.3 10 6,80 0.0 10 36,49 +0.3 18 7,19 +0.5 18 37,29 0.0 16 5 39,77 0.0 6 10,47 -0.2 6 39,67 +0.2 43 39,46 +0.4 14 10,46 +0.2 14 39,76 +0.4 21 40,56 -0.3 22 10,46 +0.3 22 40,36 +0.4 30 40,95 G (2) Pulversign. 19 28 21,36 +0.3 36 21,85 -0.3 44 23,65 +0.8 (a) 52 31,34 +0.2 20 8 26,44 +0.1 16 26,83 +0.1	Sept. 6. 20 <sup>h</sup> 24' 28" 33 +0.2 32 28,62 +0.4 (b) 40 30,62 -0.1 48 32,21 +0.3 (1)	Sept. 7. Heliotropsign. 15 9 37,65 10 7,55 0.0 17 7,95 0.0 17 38,55 +0.1 18 8,55 -0.6 33 40,14 +0.4 34 9,84 +0.1 41 10,64 +0.1 41 41,74 0.0 42 11,74 -0.2 49 11,63 -0.2 49 42,33 -0.2 50 12,13 -0.2 57 12,83 -0.4 57 42,83 +0.2 58 12,53 -0.3 16 5 13,72 +0.1 5 44,52 -0.4 6 13,62 +0.1 13 14,32 -0.4 13 45,22 0.0 14 14,62 21 15,62 +0.1 21 45,82 0.0 22 15,62 +0.1 29 16,71 -0.6 29 46,91 +0.1 30 10,51 -0.2 37 17,41 -0.3 37 47,51 +0.2 38 17,51 -0.4 45 17,90 +0.3 45 48,10 +0.1 46 18,30 -0.1 53 49,60 -0.3 (c) 54 18,90 +0.2 17 1 19,59 -0.1 1 49,79 +0.1 2 20,19 -0.1 (3)	Sept. 8. Heliotropsign. 15 <sup>h</sup> 11' 55" 71 -0.4 12 25,61 -0.5 19 25,40 +0.1 19 56,20 +0.2 20 25,90 +0.1 27 26,50 0.0 27 57,10 -0.3 28 27,00 -0.2 35 27,90 -0.5 35 58,10 +0.2 36 27,80 +0.1 43 28,09 +0.3 43 58,99 0.0 44 28,29 +0.4 51 29,19 +0.1 51 59,99 -0.1 52 29,29 0.0 59 29,89 +0.2 16 0 0,49 -0.2 0 30,09 +0.2 7 30,28 +0.1 8 0,98 -0.4 8 30,98 -0.2 23 32,47 0.0 24 2,97 +0.1 24 32,37 -0.1 31 32,97 -0.4 32 3,57 -0.1 32 32,97 -0.5 39 33,27 +0.2 40 4,07 +0.2 40 33,27 +0.2 47 34,16 +0.1 48 4,76 0.0	Sept. 8. 16 <sup>h</sup> 48' 34" 56 -0.2 56 5,66 +0.6 17 3 35,56 0.0 4 5,76 G (5) Pulversign. 19 36 2,17 44 4,16 0.0 52 5,46 +0.5 20 0 7,25 +0.5 8 9,15 +0.1 16 10,15 -0.1 24 13,94 +0.1 32 14,94 +0.2 40 14,84 +0.2 48 15,73 +0.4 56 17,83 +0.5	Sept. 9. Heliotropsign. 15 15 4,56 -0.1 15 35,16 -0.2 16 4,16 +0.2 23 37,16 -0.7 24 5,56 -0.1 31 7,25 -0.7 31 37,75 -0.3 32 6,45 +0.3 39 8,25 -0.4 39 38,55 -0.1 40 8,25 -0.3 47 9,15 G 47 39,55 +0.1 48 8,85 +0.2 55 10,24 -0.2	Sept. 9. 15 <sup>h</sup> 55' 40" 94 -0.1 56 10,24 +0.3 16 3 11,14 -0.2 3 41,94 -0.2 4 11,34 +0.3 11 12,23 -0.4 12 12,53 19 13,33 +0.1 19 44,13 0.0 20 12,93 +0.4 27 14,23 -0.4 27 44,83 -0.4 28 14,03 -0.1 51 16,92 +0.3 51 47,11 +0.3 52 17,11 +0.3 59 17,71 +0.2 59 47,81 +0.2 17 0 17,91 0.0 7 19,11 0.0 7 49,11 +0.3 8 19,11 0.0 (2) Pulversign. 19 40 54,93 -0.3 48 56,33 +0.3 56 56,42 +0.1 20 4 58,82 0.0 13 0,51 0.0 21 1,91 -0.6 29 3,01 -0.6 37 5,00 +0.6 45 5,80 0.0 53 7,99 -0.6 21 1 8,89 +0.2

Meisner-Signale auf dem Frauenberge beobachtet.  
Kessels Nr. 1314.

Aug. 22. Heliotropsign. 5 <sup>h</sup> 44' 8" 0 44 38,0 45 7,0 6 0 6,5 0 37,5 1 7,0 (3) Pulversign. 8 32 8,5 40 11,5 48 10,0 56 9,0 9 4 10,0 12 21,5 28 8,0 44 10,3 Aug. 24. Heliotropsign. 4 30 43,0 H 48 44,0	Aug. 24. (a) 5 <sup>h</sup> 4' 41,0 45 6,8 (c) 45 36,0 53 36,0 6 1 34,5 (5) Pulversign. 8 32 25,7 40 26,0 48 25,5 56 24,7 H 9 4 25,0 12 23,0 20 24,3 28 25,0 36 24,2 (f) 44 25,0 Aug. 25. Heliotropsign. 4 7 44,5 8 14,5	Aug. 25. 4 <sup>h</sup> 8' 44,3 15 43,5 16 14,7 16 42,5 23 53,0 24 42,5 31 42,0 32 11,7 32 41,2 39 40,5 40 11,5 40 40,5 47 40,2 48 10,5 48 39,5 55 39,5 5 3 39,2 4 10,0 4 38,5 11 37,5 12 8,5
--	---	--

Aug. 25. 5 <sup>h</sup> 12' 37.5 20 37.5 27 36.5 36 35.5 43 35.0 44 5.8 51 34.0 52 4.5 52 34.0 59 33.0 6 0 4.2 0 33.2 (2) Pulversign. 8 31 35.3 39 17.0 47 16.8 55 16.5 9 3 21.3 11 15.0 19 15.0 27 14.6 35 13.8 43 11.5	Sept. 6. 4 <sup>h</sup> 6' 33.0 14 2.5 27 36.5 5 1 27.0 1 57.8 2 27.0 9 26.0 9 55.5 10 25.5 17 25.0 17 52.5 18 25.0 25 24.5 (4) Pulversign. 8 23 35.0 31 35.2 39 35.5 47 41.5 9 3 34.3 11 33.0 19 33.2 27 32.5 35 33.2 43 33.5	Sept. 7. 5 <sup>h</sup> 37' 34.0 38 3.5 45 33.0 H 45 2.5 H 53 2.5 53 32.5 54 3.0 (2) Pulversign. 8 24 7.5 32 8.8 40 8.0 48 8.7 56 8.5 9 4 9.3 12 10.5 20 10.0 28 11.0 36 10.8 44 12.2 Sept. 8. Heliotropsign. 4 0 1.5 0 31.5 7 30.0 8 0.5 8 30.0 15 29.8 15 0.3 16 30.0 23 29.4 24 0.0 24 29.5 31 29.2 31 59.5 32 29.0 39 28.5 39 59.0 40 28.5 47 28.0 H 47 58.5 H 48 28.0 H 55 27.3 H 55 57.5 H 55 27.5 H (1) 5 11 25.2 11 57.0 12 26.4 19 25.6 19 55.0 20 25.5 27 25.0 27 55.5 28 24.5 35 24.3 H 35 55.0 H 36 24.5 H 43 55.0 51 23.0 51 53.0	Sept. 8. Pulversign. 8 <sup>h</sup> 23' 26.5 31 25.5 39 25.8 47 25.2 55 26.2 9 3 26.5 11 29.0 19 28.5 27 27.4 35 26.8 43 28.5 Sept. 9. Heliotropsign. 3 59 14.5 59 45.0 4 0 14.0 7 45.5 8 14.5 15 14.5 H 15 45.0	Sept. 9. 4 <sup>h</sup> 15' 14.0 28 14.0 23 44.5 24 14.0 31 14.2 31 44.7 32 13.5 39 12.0 39 44.5 40 13.5 47 12.8 47 44.0 48 13.5 55 12.5 56 12.8 5 3 13.0 H 3 43.7 H 4 12.6 H 11 12.6 H 11 42.9 H 12 12.0 H	Sept. 9. 5 <sup>h</sup> 35' 11.5 35 41.5 36 10.5 43 11.0 43 41.0 44 11.0 51 10.5 51 40.5 52 10.7 Pulversign. 8 24 21.5 32 19.8 40 20.0 48 21.0 56 21.5 9 4 21.7 12 22.0 20 22.5 28 22.2 36 22.5 44 22.5
Aug. 26. Heliotropsign. 4 6 42.0: H (1) 7 13.0: H Pulversign. 8 38 30.5 H 46 29.0 54 27.5 9 2 32.0 10 30.5 18 28.5 26 36.0 34 30.0 42 30.0 50 31.5	Sept. 7. Heliotropsign. 4 1 35.0 2 7.8 9 8.0 9 38.0 10 7.6 25 38.0 25 7.0 33 6.5 33 37.5 34 7.5 41 6.5 41 35.5 H 42 5.5 49 5.0 49 36.3 50 5.5 57 6.0 57 36.0 58 5.5 5 5 5.0 H 5 35.5 6 4.5 13 5.8 13 35.0 14 5.0 21 4.5 21 35.0 22 4.5 29 4.0 29 34.5 30 4.2 37 3.5	Aug. 24. Pulversign. 8 <sup>h</sup> 35' 36.0 43 34.5 51 37.3 59 20.0 9 7 12.0 23 1.7 31 4.0 38 57.8 (1) Aug. 25. Heliotropsign. 5 22 33.0 30 31.0 30 54.0 31 34.0 (1) Pulversign. 8 28 18.5 35 10.0 44 6.0 52 4.5 9 0 3.5 7 57.5 15 54.0 24 0.5 31 50.0 39 45.3 47 39.0	Aug. 25. Pulversign. 8 <sup>h</sup> 35' 54.5 43 51.0 51 55.0 59 43.5: 9 7 48.0 15 46.3 H 23 56.5 31 46.0 39 55.5 47 42.3 Aug. 28. Pulversign. 8 28 11.5 35 59.5 43 57.5 51 52.0 59 51.0 9 7 40.0 15 51.0 23 47.2 31 36.5 39 42.0 47 43.0 Sept. 5. Pulversign. (2) Sept. 6. Heliotropsign. (9) Pulversign. 8 28 0.5 35 58.5 43 53.5	Sept. 5. 5 <sup>h</sup> 51' 52.5 59 53.0 9 7 52.5 15 55.0 23 53.5 31 45.5 39 53.5 47 38.0 Sept. 7. Heliotropsign. 4 44 39.0 45 7.0 45 34.5 52 34.0 53 8.5 53 32.0 5 0 34.5 (1) 1 5.0 1 33.5 8 30.5 9 3.5 9 31.5 16 35.0 17 5.5 17 38.0 25 5.0 25 36.5 32 24.5 32 54.5 33 24.0 40 22.5 40 52.0 41 20.5 49 15.0 56 11.5	

Feldberg - Signale auf dem Frauenberge beobachtet.  
Kessels Nr. 1314.



Sept. 7.	Sept. 8.	Sept. 8.
5 <sup>h</sup> 56' 44" 0	5 <sup>h</sup> 7' 50" 5	8 <sup>h</sup> 51' 53" 0
57 14,8	8 21,5	59 41,5
(5)	15 22,5	9 7 37,8
Pulversign.	15 56,5	15 40,5
8 28 7,0	16 27,5	23 40,5
36 6,0	23 25,5	31 28,5
51 57,0	23 52,5	39 24,5
9 0 0,0	24 29,5	47 19,0
8 1,7	31 37,0 H	
15 56,0	(l) 32 7,5::11	Sept. 9.
24 3,5	(m) 32 33,2 H	Heliotrospign.
31 55,3	39 32,0 H	(3)
39 59,7	40 6,3 H	Pulversign.
47 53,5	40 29,0 H	8 28 5,0
	47 29,0	35 54,0
	47 56,0	43 46,5
Sept. 8.	48 25,5	51 40,5
Heliotrospign.	55 41,5::	59 44,0
4 43 25,0	56 23,5	9 7 41,2
43 55,5	(15)	15 35,5
44 27,5	Pulversign.	23 37,5
51 32,5 H	8 27 52,5	31 28,3
52 23,5 H	35 47,0	39 27,4
59 55,0	43 47,7	47 19,5
5 7 25,0 H		

*Feldberg-Signale in Mannheim beobachtet.*  
Sternzeit.

Aug. 23.	Aug. 26.	Sept. 6.
Pulversign.	Pulversign.	19 <sup>h</sup> 50 47,62
18 <sup>h</sup> 43' 22" 22	18 <sup>h</sup> 51' 32" 67	58 49,42
51 22,42	59 31,36	20 6 50,22
59 26,31	19 7 36,65	14 53,61
19 7 10,41	15 26,15	22 53,91
15 3,91	23 31,64	30 47,61
30 55,90	31 31,44	38 55,71
38 59,70	39 43,13	46 41,91
46 54,39	47 33,62	Sept. 7.
(1)	55 45,12	Heliotrospign.
Heliotrospign.	20 3 32,41	15 46 48,88
15 33 43,45	(1)	47 16,88
41 42,95	Aug. 28.	47 44,88
42 6,15	Pulversign.	54 45,58
42 46,15	18 51 40,88	55 20,68
(4)	59 30,08	55 43,88
Pulversign.	19 7 29,97	16 2 47,17
18 39 59,80	15 25,07	3 17,87
47 52,29	23 25,56	3 46,87
55 49,99	31 16,05	10 45,17
19 3 49,28	39 28,55	11 47,87
11 50,27	47 25,64	11 45,87
19 45,77	55 16,04	18 50,37
27 43,46	20 3 23,03	19 20,87
35 51,05	11 25,83	19 53,67
43 41,45	Sept. 6.	27 21,36
51 39,24	Heliotrospign.	27 53,59
59 33,23	(24)	34 41,66
Aug. 26.	Pulversign.	35 13,16
Heliotrospign.	19 26 52,42	35 42,16
15 46 29,51	34 50,92	42 43,06
(3)	42 47,42	43 13,36

Sept. 7.	Sept. 8.	Sept. 8.
16 <sup>h</sup> 43' 40" 06	16 <sup>h</sup> 6' 3" 59	19 <sup>h</sup> 50' 33" 04
51 36,35	13 35,08	58 39,74
58 33,65	14 0,78	20 6 29,34
59 6,15	14 31,58	14 26,83
59 37,15	21 33,58	22 31,03
(3)	22 7,78	30 31,93
Pulversign.	22 38,58	38 21,33
19 30 54,09	29 37,78	46 18,73
38 53,78	30 5,58	54 14,53
54 47,28	30 42,28	
20 2 52,27	37 60,88	Sept. 9.
10 55,47	38 19,58	Heliotrospign.
18 50,57	38 47,28	(7)
26 59,16	45 53,58	Pulversign.
34 52,26	46 21,28	19 38 43,03
42 58,76	46 44,58	46 31,53
50 53,25	53 45,08	54 27,83
(1)	54 12,58	20 2 23,53
Sept. 8.	54 40,98	10 27,53
Heliotrospign.	17 1 58,57	18 25,83
15 49 32,29	2 41,57	26 21,79
50 1,79	(2)	34 25,03
50 34,09	Pulversign.	42 16,93
57 39,09	19 34 35,14	50 17,53
58 29,99	42 30,74	58 11,03

Anmerkungen zu vorstehenden Beobachtungen:

- (a) Hier stand ursprünglich 36° 31' + 1,2; mit Bewilligung des Herrn Dr. Goldschmidt wurde 1" an seiner Beobachtung geändert.
- (b) Hier trat derselbe Fall ein, indem ursprünglich 22° 51' + 0,3 geschrieben war.
- (c) Hier stand durch offenbaren Schreibfehler 45° 90.
- (d) Hier stand durch Schreibfehler 4'.
- (e) Neben 36° 0 war am Rande bemerkt (32?), was nachher als vorgetriebener Zweifel erkannt wurde.
- (f) War durch Verwechseln der Chronometer-Schläge ursprünglich 20° 0 geschrieben.
- (g) Durch ähnliches Verwechseln war ursprünglich 18° 0 geschrieben.
- (h) Ich hatte mich am 20 Chronometer-Schläge verwechselt und ursprünglich 18° 5 aufgeschrieben, was sich aus Herborns Aufzeichnung und Vergleichung der Göttinger Beobachtung als falsch ergab.
- (i) War ursprünglich 22° 5 geschrieben und dabei bemerkt, daß vielleicht 10 Schläge verwechselt seyen.
- (k) War oben an 10° 0 geschrieben und der Zweifel angemerkelt.
- (l) Hier stand durch Verwechseln ursprünglich 31° 51' 5.
- (m) Es waren 661 Chronometer-Schläge falsch an 36° 5 reduziert und niedergeschrieben, was aus dem Gedächtnis später geändert wurde.

§. 7.

Schon bei meinen vorläufigen Berathungen mit Nival über den Plan der Arbeit war zur Sprache gekommen, daß in dem Endresultat noch ein constanter Fehler enthalten seyn könnte, der von dem Unterschiede der Schätzung verschiedener Beobachter in den Apparen der zeitbestimmenden Sterne her herrührte. Dieses und der weitere Umstand, daß auch noch zu untersuchen blieb, in wie fern ein ähnlicher Unterschied bei

den Signal-Beobachtungen selbst vorgekommen sey, bestimmte nicht in den Plan der Arbeit gleich eine demnächstige Reise nach Göttingen und Mannheim mit aufzunehmen, um mein Auge mit dem dortigen Beobachter zu vergleichen und hierauf am Ende zu reduciren. Zufällig zusammen treffende Verhältnisse erlaubten eine unmittelbare Anknüpfung dieser Untersuchung an das Ende der Signal-Beobachtungen. Ich kann mich hier aber darauf beschränken, bloß die Endresultate anzugeben, da ich die darauf bezüglichen Einzelheiten dem Herrn Dr. Goldschmidt übergeben habe, welcher durch unsere deshalben Versuche veranlaßt, eine selbstständige umfassende Arbeit über diese und mehrere damit verwandte Fragen übernommen hat.

In Göttingen fand sich

die Lichtblitze:

Gauß = Goldschmidt + 0<sup>m</sup>088 aus 292 Beobachtungen des obigen Protocols,

Gerling = Goldschmidt + 0,027 aus 56 Beob. von Heliotropsignalen an derselben Uhr, worin die Meissner-Signale in Göttingen beobachtet waren.

Die Appulse:

Gerling = Goldschmidt + 0<sup>m</sup>195 aus 26 Sterndurchgängen mit Passage-Instrument, bei welchen auf jeden Beobachter je 3 Fäden kamen, indem der mittlere Faden während des Wechsels weggelassen wurde. Wir fanden ein ähnliches Resultat auch aus der Beobachtung des von Gauss dazu vorgeschlagenen Katerschen Feder-Pendels (inverted pendulum), beschossen aber demnächst dieses nicht mit zu benutzen, weil wir damals noch nicht die nöthigen Vorsichtsmaßregeln kannten, die dessen sichere Anwendung für diesen Zweck erfordert.

In Mannheim fand sich an der Uhr des Passagein-

struments

Lichtblitze:

Gerling = Nicolai + 0<sup>m</sup>157 aus 308 Beobachtungen an einer entfernten Lampe, die den Pulversignalen ganz ähnliche Erscheinungen gab.

Die Appulse:

Gerling = Nicolai + 0<sup>m</sup>783 aus 72 Sterndurchgängen an den fünf Fäden abwechselnd je zu 2 und 3 Fäden beobachtet, und

Gerling = Nicolai + 0<sup>m</sup>681 aus je 190 Beobachtungen des Feder-Pendels, woraus

ein Mittel Gerling = Nicolai + 0<sup>m</sup>732 gesetzt werden muß, so lange wenigstens, als es nicht Goldschmidt etwa gelingt, die Realität eines Unterschiedes der beiden Methoden aufzufinden.

In Marburg endlich fand ich noch für Lichtblitze:

Gerling = Hartmann + 0<sup>m</sup>035 aus 267 Beobachtungen an dem Chronometer Keassels t314.

Für Appulse:

Gerling = Hartmann + 0<sup>m</sup>031 aus je 180 Beobachtungen des Feder-Pendels an einer Halbscunden-Uhr, die Hartmann auf dem Frauenberge bei Sterndurchgängen benutzt hatte.

### §. 8.

Zuerst wurden nun also die mit *G* bezeichneten Beobachtungen des Göttinger Protocols durch Abziehung von 0<sup>m</sup>09 auf Goldschmidts Auge, und ebenso die mit *H* bezeichneten in beiden Frauenberger Protocols durch Zugufug von 0<sup>m</sup>06 auf mein Auge reducirt. Sodann wurden die auf den Sternwarten angeschriebenen Sternzeiten in mittlere Zeit übersetzt (durch doppelte Rechnung die Göttinger von Goldschmidt und Hartmann, die Mannheimer von Hartmann und Fiedner) und ihnen gleich die Correction beigelegt, die sie sowohl wegen der Zeitbestimmung durch Appulse als wegen der Verschiedenheit der Beobachtung bei den Lichtblitzen erforderten, um auf mein Auge reducirt zu werden. Nämlich

für Göttingen: + 0<sup>m</sup>027 — 0<sup>m</sup>195 = — 0<sup>m</sup>17  
und für Mannheim: + 0,157 — 0,732 = — 0,57.

Endlich wurde noch vermittelst des täglichen Ganges meines Chronometers (den ich aus der Vergleichung meiner Uhrzeiten für die Pulversignale mit den Beobachtungen der Sternwarten bis zum 28<sup>ten</sup> August einschließlic im Mittel = — 0<sup>m</sup>54 und hernach = — 0<sup>m</sup>69 mit aller für den gegenwärtigen Zweck erforderlichen Genauigkeit einstweilen setzen konnte) allen meinen Beobachtungen die kleine Correction beigelegt, die sie auf den Zustand des Chronometers von 7 Uhr Abends reducirt, so daß, um sie in *M. Z.* des Frauenbergs auszudrücken, für jeden Tag nur die Beifügung einer Constante übrig blieb, über deren Berechnung ich mich demnächst noch ausführlicher erklären muß. Letzteres vorbehaltend, kann ich nun die Zusammenstellung der Beobachtungen folgen lassen, denen ich gleich die nöthigen 4 Columnen für die durch Abziehung der einzelnen zusammengehörigen Beobachtungszeiten ermittelten Werthe des Neben-Resultats (*x* und *y*) nebst den ihnen beizufügenden Correctionen ( $\Delta x$  und  $\Delta y$ ), wodurch sie auf das definitive Mittel zurückgeführt werden, beisetze; so wie zwei weitere Columnen für die jedesmalige Summe (*z*) zwei solcher in einer Zeile stehende Differenzen, welche Summe also aus zweien um etwa 4' verschiedenen Doppel-Beobachtungen abgeleitet, um die Zeit-Bestimmung des Frauenbergs ganz unabhängigen Werth des Haupt-Resultats darstellt; nebst der Correction ( $\Delta z$ ), wodurch derselbe aufs definitive Mittel gebracht wird.

Meisner-Signale.				
Frauenberg.		Göttingen.		
Uhrzeit.	Mittl. Zeit.	Mittl. Zeit.	$\alpha$	$\Delta\alpha$
Aug. 22. Heliotropsignale.				
5 <sup>h</sup> 44'	8 <sup>m</sup> 03	5 <sup>h</sup> 41' 42" 78	5 <sup>h</sup> 46' 18" 72	35 <sup>m</sup> 94 + 0 <sup>m</sup> 25
44	38,03	42 12,78	46 48,95	36,17 + 0,02
45	7,03	42 41,73	47 18,37	36,79 + 0,60
6	0 6,52	57 41,27	6 2 17,59	36,32 - 0,13
0	37,52	58 12,27	2 48,71	36,44 - 0,25
1	7,02	58 41,77	3 18,33	36,56 - 0,37

Pulversignale.				
8 32	8,47	8 29 43,22	8 34 19,68	36,46 - 0,27
40	11,46	37 46,21	42 21,15	(34,94 + 1,25)
48	9,96	45 44,71	50 20,74	36,03 + 0,16
56	8,95	53 43,70	58 21,62	(37,92 - 1,73)
9 4	9,95	9 1 44,70	9 6 21,41	36,71 - 0,52
12	21,45	9 56,20	14 32,16	35,96 + 0,23
28	7,94	25 42,69	30 18,76	36,07 + 0,12
44	10,24	41 44,99	46 20,93	35,94 + 0,25

Aug. 24. Heliotropsignale.				
4 40	43,11	4 38 16,85	4 42 53,89	37,04 - 0,85
48	44,05	46 17,79	50 53,47	35,68 + 0,51
5 4	41,05	5 2 14,79	5 6 50,83	36,04 + 0,15
45	6,83	42 40,57	47 16,48	35,91 + 0,28
45	36,03	43 9,77	47 46,19	36,42 - 0,23
53	36,02	51 9,76	55 45,68	35,92 + 0,27
6 1	34,52	59 8,26	6 3 44,46	36,20 - 0,01

Pulversignale.				
8 32	25,67	8 29 59,41	8 34 34,71	35,30 + 0,89
40	25,96	37 59,70	42 35,98	36,28 - 0,09
48	25,46	45 59,20	50 35,07	35,87 + 0,32
56	24,71	53 58,45	58 34,65	36,20 - 0,01
9 4	24,95	9 1 58,69	9 6 34,83	36,14 + 0,05
12	22,95	9 56,69	14 33,02	36,33 - 0,14
20	24,25	17 57,99	22 33,99	36,00 + 0,19
28	24,94	25 58,68	30 34,68	36,00 + 0,19
36	24,14	33 57,88	38 33,67	35,79 + 0,40
44	24,94	41 58,68	46 34,14	35,46 + 0,73

Aug. 25. Heliotropsignale.				
4 7	44,56	4 5 17,79	4 9 53,32	35,53 + 0,66
8	14,56	5 47,79	10 24,04	36,25 - 0,06
8	44,86	6 17,59	10 53,16	35,57 + 0,52
15	43,56	13 16,79	17 52,81	36,02 + 0,17
16	14,76	13 47,99	18 23,62	35,63 + 0,56
16	42,56	14 15,79	18 52,34	36,75 - 0,56
23	53,06	21 26,29	26 2,96	36,67 - 0,48
24	42,56	22 15,79	26 52,03	36,24 - 0,05
31	42,06	29 15,29	33 51,07	35,78 + 0,41
32	11,76	29 44,99	34 21,21	36,22 - 0,03
32	41,26	30 14,49	34 50,91	36,42 - 0,23
39	40,55	37 13,78	41 50,06	36,28 - 0,09
40	11,55	37 44,78	42 20,68	35,90 + 0,29
40	40,55	38 13,78	42 50,60	36,82 - 0,53
47	40,25	45 13,48	49 49,74	36,26 - 0,07

Feldberg-Signale.			
Frauenberg.		Mannheim.	
Uhrzeit.	Mittl. Zeit.	Mittl. Zeit.	
			$y$
			$\Delta y$
			$z$
			$\Delta$
	</		

## Meiöer-Signale.

Frauenberg.		Göttlingen.		x	Δx
Uhrzeit.	Mittl. Zeit.	Uhrzeit.	Mittl. Zeit.		
Aug. 25. Heliotropsignale.					
14 <sup>h</sup> 10' 55	4 <sup>h</sup> 45' 3" 78	5 <sup>h</sup> 50' 20" 46	36' 68	— 0' 49	
15 29,55	46 12,78	50 49,37	36,59	— 0,40	
16 39,55	53 12,78	57 49,03	36,25	— 0,06	
1 3 39,25	5 1 12,48	5 5 47,92	35,44	+ 0,75	
4 10,05	1 43,28	6 18,93	35,65	+ 0,54	
4 30,50	2 11,78	6 47,85	36,07	+ 0,12	
11 37,54	9 10,77	13 47,09	36,82	— 0,63	
12 8,54	9 41,77	14 17,61	35,84	+ 0,35	
12 37,54	10 10,77	14 47,83	36,76	— 0,57	
20 37,54	18 10,77	22 46,32	35,55	+ 0,64	
27 36,53	26 9,76	29 46,96	36,20	— 0,01	

36 36,53	34 9,76	38 45,28	35,52	+ 0,67	
38 33,03	41 8,26	45 44,34	36,08	+ 0,11	
44 5,53	41 39,06	46 15,05	35,99	+ 0,20	
51 34,03	49 7,26	53 43,21	35,95	+ 0,24	
52 4,53	49 37,76	54 13,93	36,17	+ 0,02	
52 34,03	50 7,26	54 43,15	35,89	+ 0,30	
59 33,02	57 6,23	6 1 42,60	36,35	— 0,16	
6 0 4,22	57 37,43	2 12,81	(35,36	+ 0,83)	
9 33,22	58 6,45	2 42,54	36,09	+ 0,10	
Pulversignale.					
8 31 55,78	29 8,50	8 33 44,46	35,96	+ 0,23	
20 16,96	36 50,19	41 26,89	36,20	— 0,01	
47 16,76	44 49,99	49 26,27	36,28	— 0,09	
56 16,45	52 49,68	67 25,75	36,07	+ 0,12	
9 21,25	9 0 54,48	9 5 29,72	35,24	+ 0,95	
11 11,35	8 48,18	13 24,02	35,84	+ 0,35	
13 16,96	16 48,18	21 24,01	35,83	+ 0,36	
27 16,94	24 47,77	29 23,68	35,91	+ 0,28	
30 13,74	32 46,97	37 23,07	36,10	+ 0,09	
40 11,44	40 44,67	45 20,75	36,08	+ 0,11	

Aug. 26. Heliotropsignale.					
4 42,13:4	4 14,86	4 8 51,18	36,32	— 0,13	
7 13,13:	4 45,86	9 21,90	36,04	+ 0,15	
Pulversignale.					
8 36 55,2	8 36 3,25	8 40 36,10	(32,85	+ 3,34)	
46 28,96	44 1,69	48 37,88	36,19	0,00	
54 27,45	52 0,18	56 36,57	36,39	— 0,20	
9 31,95	9 0 4,68	9 4 41,03	36,35	— 0,16	
10 30,45	8 3,18	12 38,93	35,75	+ 0,44	
18 28,45	16 1,18	20 37,60	36,42	— 0,23	
26 35,94	24 8,67	28 43,48	(34,81	+ 1,38)	
34 29,94	32 2,67	36 39,67	(37,00	— 0,81)	
42 23,94	40 2,67	44 39,55	36,88	— 0,69	
50 31,44	48 4,17	52 40,43	36,26	— 0,07	

Aug. 28. Heliotropsignale.					
8 37,07	8 28 9,68	8 32 45,75	36,07	+ 0,12	
36 36,96	36 10,67	40 46,42	35,75	+ 0,44	
46 36,46	44 10,17	48 46,21	36,04	+ 0,15	
54 39,45	52 11,16	56 46,98	35,82	+ 0,37	

## Feldberg-Signale.

Frauenberg.		Mannheim.		y	Δy	z	Δz
Uhrzeit.	Mittl. Zeit.	Uhrzeit.	Mittl. Zeit.				
5 <sup>h</sup> 22' 33" 03	5 <sup>h</sup> 20' 6" 26	5 <sup>h</sup> 18' 46" 22	20' 04	— 0' 37	55' 59	+ 0' 27	
30 31,03	28 4,26	26 44,40	19,86	— 0,19	56,06	— 0,20	
30 54,03	28 27,26	27 7,54	19,72	— 0,05			
31 34,03	29 7,26	27 47,43	19,83	— 0,16			

8 28 18,47	8 25 51,70	8 24 32,04	19,66	+ 0,01			
36 9,97	33 43,20	32 23,24	19,96	— 0,29	55,92	— 0,06	
44 5,96	41 39,19	40 19,63	19,56	+ 0,11	55,76	+ 0,10	
52 4,46	49 37,69	48 17,62	20,07	— 0,40	56,35	— 0,49	
9 0 3,46	57 36,68	56 17,29	19,39	+ 0,28	55,46	+ 0,40	
7 57,45	9 5 30,68	9 4 11,50	19,18	+ 0,49	54,42	+ 1,44	
15 53,95	13 27,18	12 7,88	19,30	+ 0,37	55,14	+ 0,72	
24 0,44	21 33,67	20 14,14	19,53	+ 0,14	55,36	+ 0,50	
31 49,94	29 23,17	28 3,26	19,91	— 0,24	55,82	+ 0,04	
39 46,24	37 19,47	35 59,74	19,73	— 0,06	55,83	+ 0,03	
47 38,94	45 12,17	43 52,44	19,73	— 0,06	55,81	+ 0,05	

5 31 20,53	5 28 53,26	5 27 34,27	18,99	+ 0,68			
8 35 54,47	8 33 27,20	8 32 7,11	20,09	— 0,42			
43 50,96	41 23,69	40 4,50	19,19	+ 0,48			
51 55,96	49 28,69	48 8,46	20,23	— 0,56	56,42	— 0,56	
59 43,45	57 16,18	55 56,68	19,50	+ 0,17	55,89	— 0,03	
9 7 47,95	9 5 20,68	9 4 0,85	19,83	— 0,16	56,18	— 0,32	
15 46,31	13 19,04	11 59,34	19,70	— 0,03	55,45	+ 0,41	
23 56,44	21 29,17	20 9,69	19,48	+ 0,19	55,90	— 0,04	
31 45,94	29 18,67	27 58,89	19,78	— 0,11			
39 55,44	37 28,17	36 9,05	19,12	+ 0,55			
47 42,24	45 14,97	43 55,06	19,91	— 0,24	56,79	— 0,93	

8 28 11,47	8 25 43,18	8 24 23,49	19,69	— 0,02			
35 59,47	33 31,18	32 11,41	19,77	— 0,10	55,84	+ 0,02	
43 57,46	41 29,17	40 9,99	19,18	+ 0,49	54,93	+ 0,93	
51 51,96	49 23,67	48 3,80	19,87	— 0,20	55,91	— 0,05	
59 50,95	57 22,66	56 2,97	19,69	— 0,02	55,51	+ 0,35	

## Meisner - Signale.

Frauenberg.		Göttingen.		$\pi$	$\Delta\pi$
Uhrzeit.	Mittl. Zeit.	Mittl. Zeit.			
Aug. 28. Pulversignale.					
9 <sup>h</sup> 2' 39".45	9 <sup>h</sup> 0' 11".16	9 <sup>h</sup> 4' 46".77	35.61	+ 0.58	
10 38.45	8 10.16	12 46.05	35.89	+ 0.30	
18 38.95	16 10.66	20 46.83	36.17	+ 0.02	
26 39.94	24 11.65	28 46.81	(35.16	+ 1.03)	
34 39.74	32 11.45	36 47.20	35.75	+ 0.44	
42 39.44	40 11.15	44 46.88	35.73	+ 0.46	
50 40.14	48 11.85	52 47.66	35.81	+ 0.38	

## Sept. 6. Heliotropsignale.

4 5 33.89	4 2 58.41	4 7 33.80	35.39	+ 0.80	
6 4.09	3 28.61	8 3.92	35.31	+ 0.88	
6 33.09	3 57.61	8 53.58	35.92	+ 0.27	
14 2.58	11 27.10	16 3.00	35.90	+ 0.29	
14 32.08	11 56.60	16 33.01	36.41	- 0.22	
5 1 27.06	58 51.58	5 3 27.79	36.21	- 0.02	
1 57.86	59 22.38	3 58.41	36.03	+ 0.16	
2 27.06	59 51.58	4 27.42	35.84	+ 0.35	
9 26.05	5 6 50.57	11 26.17	35.60	+ 0.59	
9 56.55	7 21.07	11 57.09	36.02	+ 0.17	
10 26.55	7 51.07	12 26.80	35.23	+ 0.96	
17 25.05	14 49.57	19 26.96	36.39	- 0.20	
17 52.55	15 17.07	19 55.77	(38.70	- 2.51)	
18 25.05	15 49.57	20 26.59	36.02	+ 0.17	
26 24.54	23 49.06	28 24.78	35.72	+ 0.47	

## Pulversignale.

8 23 34.96	8 20 59.48	8 25 36.17	36.69	- 0.50	
31 35.16	28 59.68	33 35.35	35.67	+ 0.52	
39 35.45	36 59.97	41 35.84	35.87	+ 0.32	
47 41.45	45 5.97	49 42.19	36.22	- 0.03	
9 3 34.24	9 0 58.76	9 6 34.69	35.93	+ 0.26	
11 32.94	8 57.46	13 33.77	36.31	- 0.12	
19 33.14	16 57.66	21 33.95	36.29	- 0.10	
27 32.43	24 56.95	29 32.93	35.98	+ 0.21	
35 33.13	32 57.65	37 33.61	35.96	+ 0.23	
43 33.42	40 57.94	45 33.89	35.95	+ 0.24	

## Sept. 7. Heliotropsignale.

4 1 35.09	3 58 58.81	4 3 38.94	(40.13	- 3.94)	
2 7.89	59 31.61	4 8.76	37.15	- 0.96	
9 8.08	4 6 31.80	11 8.01	36.21	- 0.02	
9 38.08	7 1.80	11 38.53	36.53	- 0.34	
10 7.68	7 31.40	12 8.45	37.05	- 0.86	
25 38.07	23 1.79	27 37.50	35.71	+ 0.48	
26 7.07	23 30.79	28 7.11	36.32	- 0.13	
33 6.57	30 30.29	35 6.77	36.48	- 0.29	
33 37.57	31 1.29	35 37.78	36.49	- 0.30	
34 7.57	31 31.29	36 7.70	36.41	- 0.22	
41 6.56	38 30.28	43 6.44	36.16	+ 0.03	
41 36.62	39 0.34	43 37.06	36.72	- 0.53	
42 6.56	39 30.28	44 6.77	36.49	- 0.30	
49 6.06	46 29.78	51 6.13	36.35	- 0.16	
49 36.36	47 0.08	51 36.25	36.17	+ 0.02	
50 5.56	47 29.28	52 5.86	36.58	- 0.39	

## Feldberg - Signale.

Frauenberg.		Mannheim.		y	$\Delta y$	z	$\Delta z$
Uhrzeit.	Mittl. Zeit.	Mittl. Zeit.					
9 <sup>h</sup> 7' 39".95	9 <sup>h</sup> 5' 11".66	9 <sup>h</sup> 8' 52".18	19.48	+ 0.19	55.09	+ 0.71	
15 50.95	13 22.66	12 3.33	19.33	+ 0.34	55.22	+ 0.61	
23 47.14	21 18.85	19 59.12	19.73	— 0.06	55.90	— 0.61	
31 36.44	29 8.15	27 48.24	19.91	— 0.24			
39 41.94	37 13.65	35 53.90	19.76	— 0.08	55.50	+ 0.61	
47 42.94	45 14.65	43 55.38	19.27	+ 0.40	55.00	+ 0.61	
Aug. 28. Pulversignale.							
8 28 0.46	8 25 24.98	8 24 6.09	18.89	+ 0.78	55.58	+ 0.61	
35 56.46	33 22.98	32 3.28	19.70	— 0.03	55.37	+ 0.61	
43 53.45	41 17.97	39 58.48	19.49	+ 0.18	55.36	+ 0.61	
51 52.45	49 16.97	47 57.37	19.60	+ 0.07	55.82	+ 0.61	
59 52.94	57 17.46	55 57.86	19.60	+ 0.07			
9 7 52.44	9 5 16.96	9 3 57.35	19.61	+ 0.06	55.54	+ 0.61	
15 54.94	13 19.46	11 59.42	20.04	— 0.37	56.35	— 0.61	
23 53.43	21 17.95	19 58.41	19.54	+ 0.13	55.83	+ 0.61	
31 46.43	29 10.95	27 50.81	20.14	— 0.47	56.12	— 0.61	
39 53.42	37 17.94	35 57.59	20.35	— 0.69	56.31	— 0.61	
47 37.92	45 9.44	43 42.51	19.93	— 0.26	55.88	— 0.61	
Sept. 6. Heliotropsignale.							
4 44 39.06	4 42 2.78	4 40 42.70	20.08	— 0.41	56.24	— 0.61	
45 7.06	42 30.78	41 10.62	20.16	— 0.49	56.88	— 0.61	
43 34.56	42 58.88	41 38.55	19.73	— 0.06	56.22	— 0.61	
52 34.06	49 57.78	48 38.10	19.68	— 0.01	56.08	— 0.61	
53 8.56	50 32.28	49 13.11	19.17	+ 0.50	55.34	+ 0.61	
53 32.06	50 55.78	49 36.24	19.54	+ 0.13	56.12	— 0.61	

## Meiſer - Signale.

Frauenberg.		Göttingen.		x	Δx
Uhrzeit.	Mittl. Zeit.	Mittl. Zeit.			
Sept. 7. Heliotropſignale.					
0 <sup>h</sup> 6'06	4 <sup>h</sup> 54' 29' 78	4 <sup>h</sup> 59' 5' 91	36' 13	+ 0'06	
17 56,06	54 59,78	59 36,62	36,84	— 0,65	
50 5,36	55 29,28	5 0 5,64	36,36	— 0,17	
1 5 51,2	5 2 28,84	7 5,20	36,36	— 0,17	
5 55,56	2 59,28	7 36,01	36,73	— 0,54	
8 4,36	3 28,28	8 5,33	(37,05)	— 0,86	
13 5,85	10 29,57	15 5,18	35,61	+ 0,58	
13 35,05	10 58,77	15 35,30	36,53	— 0,34	
15 5,85	11 28,77	16 5,01	36,24	— 0,05	
21 4,55	18 28,27	23 4,96	36,69	— 0,50	
21 35,05	18 58,77	23 35,07	36,30	— 0,11	
23 4,55	19 28,27	24 4,59	36,52	— 0,13	
25 4,04	26 27,76	31 4,34	36,38	— 0,39	
29 34,54	26 58,26	31 34,36	36,10	+ 0,09	
30 4,34	27 27,96	32 4,28	36,32	— 0,13	
37 3,54	34 27,26	39 3,52	36,26	— 0,07	
37 34,84	34 57,76	39 33,64	35,88	+ 0,31	
38 4,54	35 27,26	40 3,75	36,49	— 0,30	
43 34,10	42 56,82	47 33,82	37,00	— 0,81	
46 5,60	43 26,32	48 3,04	36,72	— 0,53	
51 2,53	50 26,25	55 2,58	36,33	— 0,14	
53 22,53	50 56,25	55 32,70	36,45	— 0,26	
54 5,88	51 26,75	56 3,02	36,27	— 0,08	

## Pulversignale.

24 7,46	8 21 31,18	8 26 6,69	35,51	+ 0,68	
26 5,74	29 31,48	34 8,67	37,19	— 1,00	
29 7,95	37 31,67	42 8,05	36,38	— 0,19	
30 4,65	45 32,37	50 8,63	36,26	— 0,07	
30 8,44	53 32,16	58 8,01	35,85	+ 0,34	
4 5,24	9 1 32,96	9 6 9,69	36,73	— 0,54	
10 16,44	9 34,16	14 10,16	36,12	+ 0,07	
20 5,94	17 33,66	22 10,15	36,49	— 0,30	
20 16,93	25 34,65	30 11,43	36,78	— 0,59	
26 16,73	33 34,45	38 10,61	36,16	+ 0,03	
30 12,12	41 35,84	46 11,79	35,95	+ 0,24	

## Heliotropſignale.

0 1,59	3 57 24,61	4 2 0,71	36,20	— 0,01	
0 31,59	57 54,51	2 30,53	36,02	+ 0,17	
7 10,00	4 4 53,01	9 29,18	36,17	+ 0,02	
0 5,98	5 23,50	9 59,89	36,39	— 0,20	
10 30,98	5 53,00	10 29,51	36,51	— 0,32	
15 19,88	12 52,80	17 28,96	36,16	+ 0,03	
0 3,38	13 23,30	17 59,48	36,18	+ 0,01	
30 30,68	18 53,00	18 29,29	36,29	— 0,10	
12 29,47	20 52,39	25 29,04	36,65	— 0,16	
34 0,07	21 22,99	25 59,17	36,18	+ 0,01	
20 57	21 52,49	26 28,78	36,29	— 0,10	
25 27	28 52,19	33 27,93	35,74	+ 0,45	
20 57	29 22,49	33 58,74	36,25	— 0,06	
20 57	29 51,99	34 27,97	35,98	+ 0,21	
20 56	36 54,48	41 27,71	36,23	— 0,04	
20 56	37 28,98	41 58,43	36,45	— 0,26	
20 56	37 51,48	42 27,65	36,17	+ 0,02	

## Feldberg - Signale.

Frauenberg.		Mannheim.		y	Δy	z	Δz
Uhrzeit.	Mittl. Zeit.	Mittl. Zeit.					
5 <sup>h</sup> 0' 34' 56	4 <sup>h</sup> 57' 58' 28	4 <sup>h</sup> 56' 38' 37	19' 91	— 0' 24	56' 04	— 0' 18	
1 5,06	58 28,78	57 8,99	19,79	— 0,12	56,63	— 0,77	
1 33,56	58 57,28	57 37,92	19,36	+ 0,31	55,72	+ 0,14	
8 30,55	5 5 54,27	5 4 35,07	19,20	+ 0,47	55,56	+ 0,30	
9 3,55	6 27,27	5 7,68	19,59	+ 0,08	56,32	— 0,46	
9 31,55	6 55,27	5 55,61	19,66	+ 0,01			
16 35,05	13 58,77	12 38,95	19,82	— 0,15	55,43	+ 0,43	
17 5,55	14 29,27	13 9,37	19,90	— 0,23	56,43	— 0,57	
17 38,05	15 1,77	13 42,08	19,69	— 0,02	55,93	— 0,07	
25 5,04	22 28,76	21 8,55	20,21	— 0,54	56,51	— 0,65	
25 36,54	23 0,26	21 42,65	(17,61 + 2,06)				
32 24,54	29 48,26	28 27,64	20,62	— 0,95	57,20	— 1,34	
32 54,54	30 18,26	28 59,05	19,21	+ 0,46	55,31	+ 0,55	
33 24,04	30 47,76	29 27,98	19,78	— 0,11	56,10	— 0,24	
40 22,54	37 46,26	36 27,72	18,54	+ 1,13	54,80	+ 1,06	
40 52,04	38 15,76	36 57,94	(17,82 + 1,85)				
41 20,54	38 44,26	37 24,57	19,69	— 0,02	56,18	— 0,32	
49 15,04	46 38,76	45 19,55	19,21	+ 0,46	55,93	— 0,07	
56 11,53	53 35,25	52 15,72	19,53	+ 0,14	55,86	0,00	
56 44,03	54 7,75	52 48,13	19,62	+ 0,05	56,07	— 0,21	
57 14,83	54 38,55	53 19,04	19,51	+ 0,16	55,78	+ 0,08	
8 28 5,96	8 25 30,68	8 24 11,19	19,49	+ 0,18	55,00	+ 0,86	
36 5,96	33 29,68	32 9,58	20,10	— 0,43	57,29	— 1,43	
51 56,95	49 20,67	48 0,47	20,20	— 0,53	56,46	— 0,60	
59 59,94	57 28,66	56 4,14	19,52	+ 0,15	55,37	+ 0,49	
9 8 1,64	9 5 25,36	9 4 6,02	19,34	+ 0,33	56,07	— 0,21	
15 55,94	13 19,66	11 58,83	20,83	— 1,16	56,95	— 1,09	
24 3,43	21 27,15	20 7,08	20,07	— 0,40	56,56	— 0,70	
31 55,23	29 18,95	27 58,89	20,06	— 0,39	56,84	— 0,98	
59 59,62	37 23,34	36 4,06	19,28	+ 0,39	55,44	+ 0,42	
47 53,42	45 17,14	43 57,26	19,88	— 0,21	55,83	+ 0,03	

8 28 6,96	8 25 30,68	8 24 11,19	19,49	+ 0,18	55,00	+ 0,86	
36 5,96	33 29,68	32 9,58	20,10	— 0,43	57,29	— 1,43	
51 56,95	49 20,67	48 0,47	20,20	— 0,53	56,46	— 0,60	
59 59,94	57 28,66	56 4,14	19,52	+ 0,15	55,37	+ 0,49	
9 8 1,64	9 5 25,36	9 4 6,02	19,34	+ 0,33	56,07	— 0,21	
15 55,94	13 19,66	11 58,83	20,83	— 1,16	56,95	— 1,09	
24 3,43	21 27,15	20 7,08	20,07	— 0,40	56,56	— 0,70	
31 55,23	29 18,95	27 58,89	20,06	— 0,39	56,84	— 0,98	
39 59,62	37 23,34	36 4,06	19,28	+ 0,39	55,44	+ 0,42	
47 53,42	45 17,14	43 57,26	19,88	— 0,21	55,83	+ 0,03	

## Meisner-Signale.

Frauenberg.		Göttingen.		$\pi$	$\Delta x$
Uhrzeit.	Mittl. Zeit.	Mittl. Zeit.			
Sept. 8.					
4 <sup>h</sup> 47' 28" 12	4 <sup>h</sup> 44' 51" 04	4 <sup>h</sup> 49' 27" 10	36" 06	+ 0' 13	
47 58,62	45 21,54	49 57,62	36,08	+ 0,11	
48 28,12	45 51,04	50 27,13	36,09	+ 0,10	
55 27,42	52 50,34	57 26,18	55,84	+ 0,35	
55 57,62	53 20,54	57 56,79	36,25	— 0,06	
56 27,62	53 50,54	58 26,71	36,17	+ 0,02	

5 11 26,25	5 8 49,17	5 13 25,74	36,57	— 0,38	
11 57,05	9 19,97	13 56,16	36,19	0,00	
12 26,45	9 49,37	14 25,48	36,11	+ 0,08	
19 25,65	16 48,57	21 24,93	36,36	— 0,17	
19 55,95	17 17,97	21 54,45	(37,48 — 1,29)		
20 25,55	17 48,47	22 24,77	36,30	— 0,11	
27 25,04	24 47,96	29 23,92	35,96	+ 0,23	
27 55,54	25 18,46	29 54,63	36,17	+ 0,02	
28 24,54	25 47,46	30 23,75	36,29	— 0,10	
35 24,40	32 47,32	37 23,49	36,17	+ 0,02	
35 55,10	33 18,92	37 54,01	35,99	+ 0,20	
36 24,60	33 47,52	38 23,73	36,21	— 0,02	
43 55,04	41 17,96	45 53,60	35,64	+ 0,55	
51 23,04	48 45,96	53 22,27	36,31	— 0,12	
51 53,04	49 15,96	58 52,30	36,34	— 0,15	

## Pulversignale.

8 23 26,46	8 20 49,38	8 25 23,90	(34,52 + 1,67)		
31 25,46	28 49,38	33 24,58	36,20	— 0,01	
39 25,75	36 49,67	41 24,56	35,89	+ 0,30	
47 26,15	44 49,07	49 25,04	35,97	+ 0,22	
56 26,14	52 49,06	57 25,63	36,57	— 0,38	
9 3 26,44	9 0 49,36	9 5 25,91	36,55	— 0,36	
11 28,94	8 51,86	13 27,78	35,92	+ 0,27	
19 28,44	15 51,36	21 27,48	36,12	+ 0,07	
27 27,33	24 50,25	29 26,06	35,81	+ 0,36	
35 26,73	32 49,65	37 25,63	35,98	+ 0,21	
43 28,42	40 51,34	45 26,42	35,08	+ 1,11	

## Sept. 9.

## Heliotropsignale.

3 59 14,59	3 56 36,71	4 1 13,14	36,43	— 0,24	
59 45,09	57 7,21	1 43,66	36,45	— 0,26	
4 0 14,09	57 36,21	2 12,58	36,37	— 0,18	
7 45,58	4 5 7,70	9 44,34	36,64	— 0,45	
8 14,58	5 36,70	10 12,67	35,97	+ 0,22	
15 14,64	12 36,76	17 13,21	36,45	— 0,26	
15 45,08	13 7,20	17 43,62	36,42	— 0,23	
16 14,08	13 36,20	18 12,24	36,04	+ 0,15	
23 14,07	20 36,19	25 12,90	36,71	— 0,52	
23 44,57	21 6,69	25 43,11	36,42	— 0,23	
24 14,07	21 36,19	26 12,73	36,54	— 0,35	
31 14,27	28 36,39	33 12,39	36,09	+ 0,19	
31 44,77	29 6,89	33 42,80	35,91	+ 0,28	
32 13,57	29 35,69	34 12,01	36,32	— 0,13	

## Feldberg-Signale.

Frauenberg.		Mannheim.		$y$	$\Delta y$	$z$	$\Delta z$
Uhrzeit.	Mittl. Zeit.	Mittl. Zeit.					
4 <sup>h</sup> 51' 32" 62	4 <sup>h</sup> 48' 55" 54	4 <sup>h</sup> 47' 35" 23	20" 31	— 0" 64	56" 37	— 0" 3	
52 23,62	49 46,54	48 25,98	20,56	— 0,89	56,65	— 0,7	
59 55,12	57 18,04	55 58,35	19,69	— 0,02	56,53	+ 0,3	

5 7 25,06	5 4 47,98	5 3 28,61	19,37	+ 0,30			
7 50,65	5 13,47	3 54,24	19,23	+ 0,44			
8 21,55	5 44,47	4 24,95	19,52	+ 0,15			
15 22,55	12 45,47	11 26,09	19,38	+ 0,29	55,95	— 0,6	
15 56,55	13 19,47	11 59,90	19,57	+ 0,10	55,76	+ 0,1	
16 27,55	13 50,47	12 30,62	19,85	— 0,18	55,96	— 0,1	
23 25,54	20 48,46	19 28,67	19,79	— 0,12	56,15	— 0,2	
23 52,54	21 15,46	19 56,39	19,07	+ 0,60			
24 29,54	21 52,46	20 23,00	19,46	+ 0,21	55,76	+ 0,1	
31 37,10	29 0,02	27 40,42	19,60	+ 0,07	55,56	+ 0,3	
32 7,60	29 30,52	28 9,05	(21,47 — 1,80)				
32 38,30	29 56,22	28 36,68	19,54	+ 0,13	55,83	+ 0,6	
39 32,10	36 56,02	35 41,82	(13,20 + 6,47)				
40 6,40	37 29,32	36 9,44	19,88	— 0,21	55,87	— 0,6	
40 29,10	37 52,02	36 32,67	19,35	+ 0,32	55,56	+ 0,3	
47 29,04	44 51,96	43 32,02	19,94	— 0,27			
47 56,04	45 18,96	43 59,44	19,52	+ 0,15	55,16	+ 0,7	
48 25,54	45 48,46	44 27,77	20,69	— 1,02			
55 41,53	53 4,45	51 44,16	20,29	— 0,62	56,60	— 0,7	
56 28,53	53 46,45	52 27,03	19,42	+ 0,25	55,76	+ 0,1	

8 27 52,46	8 25 15,38	8 23 55,73	19,65	+ 0,02			
35 46,96	33 9,88	31 50,03	19,85	— 0,18	56,05	— 0,1	
43 47,65	41 10,57	39 51,01	19,66	+ 0,11	55,45	+ 0,4	
51 52,95	49 15,87	47 56,38	19,49	+ 0,18	55,46	+ 0,4	
59 41,44	57 4,36	55 44,61	19,75	— 0,08	56,32	— 0,4	
9 7 37,74	9 5 0,66	9 3 40,89	19,77	— 0,10	56,82	— 0,4	
15 40,44	13 3,36	11 43,77	19,59	+ 0,08	55,51	+ 0,6	
23 40,23	21 3,15	19 43,36	19,79	— 0,12	55,91	— 0,6	
31 28,43	28 51,35	27 31,68	19,67	0,00	55,48	+ 0,1	
39 24,42	36 47,34	35 27,58	19,76	— 0,09	55,74	+ 0,1	
47 18,92	44 41,84	43 22,07	19,77	— 0,10	54,85	+ 1,1	

## Meissner-Signale.

Frauenberg.		Göttingen.		$x$	$\Delta x$
Uhrzeit.	Mittl. Zeit.	Mittl. Zeit.			
Sept. 9. Heliotropsignale.					
4 <sup>h</sup> 37' 12.06	4 <sup>h</sup> 36' 34.18	4 <sup>h</sup> 41' 12.25	(38' 07	—1' 88)	
39 44.56	37 6.68	41 42.87	36,19	0,00	
40 13.56	37 35.68	42 12.09	36,41	—0,22	
47 12.86	44 34.98	49 11.84	36,86	—0,67	
47 44.06	45 6.18	49 42.56	36,38	—0,19	
48 13.56	45 35.68	50 11.88	36,20	—0,01	
55 12.56	52 34.68	57 11.62	36,94	—0,75	
56 12.86	53 34.98	58 11.76	36,78	—0,59	
5 13.12	5 35.24	5 11.41	36,17	+0,02	
1 43.52	1 5.94	5 42.12	36,18	+0,01	
4 12.72	1 34.84	6 10.84	36,00	+0,19	
11 12.71	8 34.83	13 10.99	36,16	+0,03	
11 43.81	9 5.13	13 41.81	36,38	—0,19	
12 12.51	9 34.23	14 10.63	36,40	—0,21	
35 11.34	32 33.66	37 9.74	36,08	+0,11	
39 44.54	33 3.66	37 39.86	36,20	—0,01	
38 10.54	33 32.66	38 9.77	(37,11	—0,92)	
43 11.04	40 33.16	45 9.22	36,06	+0,13	
43 41.04	41 3.16	46 39.24	36,08	+0,11	
44 11.04	41 33.16	46 9.26	36,10	+0,09	
51 10.54	48 32.66	53 9.31	36,65	—0,46	
51 40.54	49 2.66	53 39.22	36,56	—0,37	
52 10.74	49 32.86	54 9.14	36,28	—0,09	

## Pulversignale.

24 21.46	8 21 43.58	8 26 19.95	36,38	—0,19	8 <sup>h</sup> 28' 4" 96	8 <sup>h</sup> 25' 27.08	8 <sup>h</sup> 24' 7.04	20" 04	—0" 37	56" 42	—0" 56
22 19.76	29 41.88	34 20.05	(36,17	—1.98)	35 53.96	33 16.08	31 55.25	19,83	—0,16		
40 19.95	37 42.07	42 18.83	36,76	—0,57	43 46.45	41 8.57	39 49.26	19,31	+0,36	56,07	—0,21
40 20.95	45 43.07	50 19.91	36,84	—0,65	51 40.45	49 2.57	47 43.66	18,91	+0,76	55,75	+0,11
56 21.44	63 43.56	58 20.26	36,70	—0,61	59 43.94	57 6.06	63 46.34	19,72	—0,05	56,42	—0,56
4 21.64	9 14.76	9 6 20.37	36,61	—0,42	9 7 41.14	9 5 3.26	9 3 43.34	19,92	—0,25	56,53	—0,67
12 21.94	9 44.06	14 20.16	36,10	+0,09	15 35.44	12 57.56	11 37.94	19,62	+0,05	55,72	+0,14
20 22.44	17 44.56	22 20.83	36,27	—0,08	23 37.43	20 59.55	19 39.92	19,63	+0,04	55,90	—0,04
28 22.13	25 44.25	30 20.32	36,07	+0,12	31 28.23	28 50.35	27 50.35	19,82	—0,15	55,89	—0,03
36 22.43	33 44.55	38 21.19	36,64	—0,45	39 27.32	36 49.44	35 29.82	19,62	+0,05	56,26	—0,40
44 22.42	41 44.34	46 20.78	36,24	—0,05	47 19.42	44 41.54	43 22.02	19,52	+0,15	55,76	+0,10

## §. 9.

Für die Zeitbestimmung auf dem Frauenberge hatte das Fernrohr eines zehnzölligen Breithaupt'schen Theodoliten durch eine angemessene Aufstellung in ein Passage-Instrument umzuwandeln gesucht, an welchem Herr Hartmann Beobachtungen beobachtete. Leider hatte aber (höchstwahrscheinlich durch die späte Vollendung des dazu bestimmten Instrumentes und das deshalb immer noch fortdauernde Nachlassen seines Fundaments) die Aufstellung nicht die gehörige Festigkeit, was sich zunächst an den Beobachtungen der Längs- und Quersicht gab. Eine demgegenüber unternommene ganz streng durchgeführte Discussion der Beobachtungen zeigte, obwohl durch eine rühmliche Probe von Herrn Hartmann's Sorgfalt und Geschicklichkeit sich ergab, dass sie wenigstens nichts zur Gewinnung einer aus correspondirenden Sonnen-

höhen \*) gewonnenen Zeitbestimmung beitragen konnten, und erschien es also als das vortheilhafteste sie ganz wegzulassen.

\*) Ich nehme dieselben seit einigen Jahren mit dem Steinheil'schen Prismenkreis, nach der Nr. 247 S. 106 angegebenen Methode, und mit dem verquiekten Horizont, für dessen Wiedereinführung gewiss jeder, der durch Sonnenhöhen seine Zeit bestimmen muss, dem Herausgeber dieser Zeitschrift herzlichen Dank zollt. Nur eine Veränderung habe ich an letzterem ausbringen zweckmäßig gefunden. Ich tauche nämlich die Kupferplatte mit feinem (16löthigem) Silber doubliren, welches mich von dem Verkehr mit dem widrigen Kupfer-Amalgam befreit, und die geringen Kosten bald wieder reichlich dadurch vergütet, dass das stete Reiben des gebrauchten Quecksilbers wegfällt, ohne dass in der Güte oder Bequemlichkeit des Horizonts an sich irgend etwas geändert wird.



Die nun noch allein dastehenden Sonnenhöhen (73 Paare) gaben mir 6 Bestimmungen des Chronometer-Standes gegen M. Z. zwischen dem 21<sup>ten</sup> Aug. und 10<sup>ten</sup> Septbr., aus welchen die den Uhrzeiten beizufügenden Constanten für die 9 Beobachtung-Tage zu interpoliren waren. Da ich nun schon ohnehin wußte, daß der *Kesselsche* Chronometer einen viel zu genauen Gang hat, als daß sich seine kleinen Schwankungen durch andere als die allervollkommensten Beobachtungsmittel finden ließen; so beschloß ich diesen Gang erst allein, unabhängig von meinen Sonnenhöhen, möglichst scharf auszumitteln, dadurch meine sechs Bestimmungen erst auf eine Normal-Bestimmung zurückzuführen, und von dieser dann zu den einzelnen Beobachtung-tagen wieder auszugelen. (Auf ähnliche Weise wie man in älterer Zeit anrieth den Gang der Uhr unabhängig von den Bestimmungen des Standes durch Sternverschwindungen zu suchen.)

Ich fing also damit an meine sämmtlichen schon vorläufig auf 7 Uhr reducirten Uhrzeiten (mit Weglassung einiger wenigen zweifelhaften) von den mittleren Zeiten der Sternwarten abzuziehen, hieraus für jeden Beobachtungs-Tag das Mittel zu nehmen, und aus diesem Mitteln den täglichen Gang vom 25<sup>ten</sup> August aus zu bestimmen. Dies gah mir folgendes Täfelchen:

	Gött. M. Z.		Chron.	
	Chron.	Tägl. Gang.	Mah. M. Z.	Tägl. Gang.
Aug. 22	2' 11' 054	— 0' 580		
24	9,774	— 0,550	3' 45' 896	— 0' 500
26	9,299	— 0,576	46,468	— 0,476
28	8,949	— 0,688	46,890	— 0,503
28	7,574		47,896	
Sept. 6	0,473	— 0,789	55,197	— 0,811
7	0,124	— 0,745	55,885	— 0,799
8	1 59,064	— 0,774	56,720	— 0,802
9	58,572	— 0,750	57,311	— 0,801

woraus unzweifelhaft erhellt, daß der Chronometer in den kalten und stürmischen Tagen, die auf den 28<sup>ten</sup> August folgten, seinen Gang um eine Kleinigkeit geändert hat, daß dagegen innerhalb der beiden Perioden der Gang als constant betrachtet werden muß. Ich behandle also die 17 Bedingungsgleichungen mit 4 unbekannten Größen, welche aus obigem Täfelchen sich ergeben, nach der Methode der kleinsten Quadrate und finde

$$\begin{aligned} \text{Gang bis zum 28<sup>ten</sup> August} &= -0'50581 \\ \text{— nach dem — — — — —} &= -0,79963 \end{aligned}$$

woraus beiläufig erhellt, daß meine vorläufigen Reductionen der Uhrzeit auf 7 Uhr keiner weitern Correction mehr bedürfen.

Die für die erste und dritte Columnne des Täfelchens hieraus sich ergebenden Correctionen sind:

Aug. 22.	— 0'143	
24.	+ 0,125	+ 0'010
25.	+ 0,094	— 0,056
26.	— 0,061	+ 0,027
28.	+ 0,302	+ 0,033
Sept. 6.	+ 0,206	— 0,071
7.	— 0,244	+ 0,040
8.	+ 0,016	+ 0,005
9.	— 0,292	+ 0,014

woraus die mittlern Fehler 0,19 und 0,04 folgen, deren Kleinheit nichts zu wünschen übrig läßt.

Meine Sonnenhöhen geben nun für 7 Uhr Abends:

	M.Z. = Kessels	Gew.	für Aug. 28	Corr.
Aug. 21.	— 2' 25' 41	6	— 2' 28' 95	+ 0' 664
26.	— 2' 27' 15	12	28,14	— 0,146
Sept. 5.	— 2' 34' 23	12	27,83	— 0,456
7.	— 2' 35' 37	13	27,37	— 0,916
9.	— 2' 38' 38	14	28,78	+ 0,494
10.	— 2' 39' 20	16	28,80	+ 0,514

Mit Rücksicht auf das Gewicht ergibt sich daraus für den 28<sup>ten</sup> August das Mittel — 2' 28' 286 und aus den oben schon beifügten Correctionen der wahrscheinliche Fehler desselben 0'175.

Aus dieser Normal-Bestimmung für den 28<sup>ten</sup> August und den obigen Werthen für den Gang folgten sodann die Constanten, durch deren Anbringung meine Uhrzeiten in Mitt. Zeit des Frauenbergs übersetzt wurden; so daß nun nur noch die Abziehung und die Berechnung der Mittel übrig blieb.

## §. 10.

Bei Operationen dieser Art ist es aber wohl nie zu vermeiden, daß nicht Beobachtungen vorkommen, die wegen zu großer Abweichung vom Mittel nach dem Erfolg ausgeschlossen werden müßten. Es kam also zunächst darauf an, für diese Ausschließung eine Regel festzusetzen, bei welcher vor allem darauf zu sorgen war, daß die nothwendig eingetragenen willkürlichen Grenzen nicht zu viele ausschloßen. Dazu konnte die obige Rechnung wenigstens leiten, bei der ich meine Uhrzeiten mit den mittleren Zeiten der Sternwarten vergleichen hatte. Zog ich dort nämlich die Differenzen für die einzelnen Beobachtungen von den Mitteln der jedesmaligen Beobachtungstage ab; so liefs sich der mittlere Fehler einer Doppel-Beobachtung vorläufig schätzen. Ich fand ihn, sehr nahe übereinstimmend für beide Signalberge 0'4 und bemerke also diejenigen punctirten Beobachtungen, welche mehr als 0'8 und die unpunctirten, welche mehr als 1'2 abweichen, auszuschließen.

Nachdem nun die Differenzen der Columnen für die mittleren Zeiten genommen, und (mit vorläufigem Anschluß von 3, die sich gleich von vorn herein als unzulässig zeigten) daraus

die verfügbaren Mittel genommen waren, fanden sich 15 Meisner und 5 Feldberg-Beobachtungen als nach jener Festsetzung verwerflich (sie sind in obiger Zusammenstellung schon dadurch kennlich, daß ihre  $x$  und  $\Delta x$ ;  $y$  und  $y\Delta$  in Parenthesen eingeschlossen sind) und so blieben am Ende 256 Meisner und 136 Feldberg-Beobachtungen, unter welchen sich 116 correspondirende finden, die das Hauptresultat unabhängig von meiner Zeitbestimmung geben, während überdies noch an isolirte Beobachtungen 140 Meisner und 20 Feldberg-Signale theil nehmen.

	Gött.-Feldg.	Gew.	Feldg.-Mannh.	Gew.	Gött.-Mannh.	Gew.
1) Isolirte Pulversignale	4' 36" 1282	11	1' 19" 6520	10	5' 55" 7802	5,2
2) Correspond. Pulversignale	36,1166	73	19,6896	73	55,8062	36,5
3) Alle Pulversignale	36,1181	84	19,6851	83	55,8032	41,7
4) Isolirte Heliotropsignale	36,2195	129	19,6020	10	55,8215	9,3
5) Correspond. Heliotropsignale	36,2726	43	19,6758	43	55,9484	21,5
6) Alle Heliotropsignale	36,2327	172	19,6619	53	55,8946	40,5
7) Alle isolirten Signale	36,2123	140	19,6270	20	55,8393	17,5
8) Alle correspond. Signale	36,1744	116	19,6845	116	55,8589	58,0
9) Alle Signale	36,1951	256	19,6760	136	55,8711	88,8

In beiden letzten Zahlen der 3<sup>ten</sup> und 9<sup>ten</sup> Zeile \*) zeigen dabei die so gute Uebereinstimmung, daß sie, besonders da doch die constanten Abweichungen der beobachtenden Augen (§. 7) nicht absolut genau festgestellt sind, als ganz gleichbedeutend zu betrachten seyn dürften. Ich nehme also als Endresultat der ganzen Arbeit die drei Zahlen an:

$$x = 4' 36'' 19; \quad y = 1' 19'' 67; \quad s = 5' 55'' 86$$

und berechnete damit Herr Hartmann die eben gleich beigegebenen Correctionen  $\Delta x$ ,  $\Delta y$  und  $\Delta s$ .

Ob der kleine Unterschied, welchen die Meisner-Beobachtungen zwischen Pulversignalen und Heliotrop-Signalen zeigen, bloß zufällig ist, oder in der Verschiedenheit der Erscheinung (vergl. §. 5) einen realen Grund hat, wird wohl nie unterschieden bleiben müssen.

## §. 12.

Es blieben nun endlich noch die Fehler-Größen fest-

\*) Es war mir interessant zu sehen, wie auch ohne Anwendung des obigen Kunstgriffs für die unabhängige Berechnung des Gangs meines Chronometers (§. 9) bloß aus meinen Sonnenhöhen sich die letzte Zeile darstellen würde. Die durchgeführte Rechnung gab:

$$36'' 1306; \quad 19'' 8340; \quad 55'' 9646.$$

## §. 11.

Nachdem also nun die beiden Columnen für die Längen-Unterschiede  $x$  und  $y$  berechnet, und durch Addition der in einer Horizontale stehenden Zahlen für die 116 correspondirenden Beobachtungen der Columnen für  $x + y = s$  auch ausgefüllt war, blieben nur noch die Mittel zu nehmen, und dadurch die Endresultate festzusetzen. Schon um der Prüfung der Rechnung wegen war es dabei zweckmäßig, auch gruppenweise die Mittel zu berechnen, und hieraus ergab sich denn die folgende Zusammenstellung

anzusetzen. Herr Hartmann findet aus den Columnen  $\Delta x$ ,  $\Delta y$  und  $\Delta s$  die mittleren Fehler

	Aus $\Delta x$	Aus $\Delta y$	Aus $\Delta s$
Für Heliotropsignale	0,35228	0,41857	0,48353
— Pulversignale	0,38497	0,31401	0,51769
— alle Signale	0,36263	0,35693	0,50319

und läßt sich demnach, da die kleinen Unterschiede für  $\Delta x$  und  $\Delta y$  gewiß vernachlässigt werden können, der mittlere Fehler einer solchen Doppelbeobachtung, deren Zuverlässigkeit schon oben als Gewichts-Einheit angenommen wurde, aus allen 392 Beobachtungen  $= 0'' 36015$  setzen (woraus also der mittlere Fehler einer Bestimmung von  $s$  zu  $0'' 50932$  sich berechnet, was mit dem oben direct berechneten genau genug stimmt).

Hieraus ergibt sich dann der wahrscheinliche Fehler einer Doppelbeobachtung  $= 0'' 2429$  und der wahrscheinliche Fehler der aus sämtlichen Beobachtungen folgenden Längenunterschiede

für Göttingen-Franenberg	$= \pm 0'' 0152$
— Franenberg-Mannheim	$= \pm 0'' 0208$
— Göttingen-Mannheim	$= \pm 0'' 0258$

Marburg, den 7<sup>ten</sup> März 1838.

Gerling.

## Auszug aus einem Schreiben des Herrn Hofraths Nicolai an den Professor Gerling.

Mannheim 1837. Septbr. 20.

## Die Länge von Mannheim beruht auf folgenden Bestimmungen:

- 1) Astronom. Bestimmung nach *Wurm* aus vielen älteren und neueren Beobachtungen..... 24' 29" 9
- 2) Geodätische Verbindung mit Paris durch die *Cassini'schen* Dreiecke nach *Méchain*..... 24 29,8
- 3) Geodät. Verbindung mit Dünkirchen nach Herrn von *Müffling's* Triangulation..... 24 30,05
- 4) Geodät. Verbindung mit Wien nach *Soldner* und *Bohnenberger*..... 24 29,61

Mittel..... 24 29,84

also dasselbe Resultat, was *Méchain* schon vor 50 Jahren durch die unmittelbare geodätische Verbindung der Mannheimer und Pariser Sternwarte erhielt.

Die Länge von Wien ist dabei  $= 56' 10'' 4$  gesetzt, eine Annahme die nach *Littrow's* Zusammenstellung (Astron. Nachrichten Bd. III S. 64) auch wohl bis auf 0'' 2 sicher seyn dürfte.

Alle neueren Bestimmungen bestätigen dies vollkommen. So ist z. B. nach *Puissant's nouvelle description géométrique de la France* pag. 216 die Länge des Straßburger Meßsterns..... 21' 35" 6 und nach Mittheilung des Obristen *Henry*:

- a) Reduction dieser Länge auf das Straßburger Observatorium..... - 3,78
- b) Trigonometrischer Längenunterschied zwischen diesem und der Mannheimer Sternwarte..... +2 56,05

Mithin Länge der Mannheimer Sternwarte..... 24 29,87

Eine andere Bestätigung wird durch *Speier* erhalten.

Die Länge von *Speier* (*Schwerdt's* Observatorium) hat *Wurm* aus vielen daselbst beobachteten Sternbedeckungen gefunden..... 24' 25" 6 Trigonometrischer Längenunterschied zwischen diesem und der Mannheimer Sternwarte..... +4,30

24 29,98

Nicolai.

## Anzeige, betreffend die Beobachtungen auf der Königsberger Sternwarte.

Der Anzeige zufolge, welche in Nr. 261 der Astr. Nachrichten erschienen ist, sind die ersten 15 Abtheilungen dieses Werkes, sowohl in Königsberg, als auch bei der *Reichen'schen* Buchhandlung in Leipzig, gegen die Zahlung von 20 Rthl. zu erhalten. Dieser Preis wird auf 2 Rthl. für jede Abtheilung erhöht, wenn nicht alle 15 Abtheilungen genommen werden.

Die 16<sup>te</sup> Abtheilung ist an denselben Orten für 2 Rthl. zu haben. Die nun dazugekommenen 17<sup>te</sup> und 18<sup>te</sup> Abtheilungen, jede für 2 Rthl.

Wer unter diesen Bedingungen etwas von dem Werke zu haben wünscht, muß entweder hier die Zahlung an die Königl.

Universitäts-Casse, oder in Leipzig an die *Reichen'sche* Buchhandlung, veranlassen. In dem ersten Falle wird, gegen Abgabe seiner Quittung, die Ablieferung des Werkes auf der Sternwarte erfolgen; in dem zweiten liefert es die genannte Buchhandlung. Die Herabsetzung des früheren Preises hat sich nur durch die Einführung dieses Geschäftsganges bewirken lassen; unentbehrbare Correspondenz darüber müssen sowohl der Director der Sternwarte, als die Königl. Universitäts-Casse sich verbiten, indem dadurch Unregelmäßigkeit in ein Geschäft gebracht werden würde, welches nur vertheilhaft geordnet werden konnte, indem man seinen Fortgang ganz regelmäßig machte.

## Inhalt von Nr. 351 und 352.

Schreiben des Herrn *James Yates*, Secretary to the Council of the British Association, an den Herausgeber. p. 249,

Auszug aus einem Schreiben des Herrn Professors *Gerling* an den Herausgeber. p. 249.

Die Längen-Unterschiede zwischen Göttingen (Altona), Marburg und Mannheim durch Signale bestimmt. Von Herrn Professor *Gerling*. p. 249.

Auszug aus einem Schreiben des Herrn Hofraths *Nicolai* an den Professor *Gerling*. p. 279.

Anzeige, betreffend die Beobachtungen auf der Königsberger Sternwarte. p. 279.

Altona 1836. Mai 24.

Schreiben des Herrn Professors und Ritters *Encke* an den Herausgeber.

Berlin 1838. Mai 16.

Die fünfjährige Wiederkehr des Cometen von *Pons* \*), der im 9<sup>ten</sup> December 1838 sein Perihel erreicht, gehört zu den interessantesten, die überhaupt stattgefunden haben. Der Comet dessen Lauf ganz ähnlich seyn wird dem Laufe welchen er im Jahre 1795 nahm, wo er am 21<sup>sten</sup> December der Sonne am nächsten stand, kommt am 7<sup>ten</sup> November der Erde so nahe, als er überhaupt nur ihr kommen kann, und wird deshalb so hell erscheinen, als es überhaupt für seine Lichtstärke möglich ist. Im Jahr 1795 ward er gleichzeitig an drei Orten, in Slough, Paris und Berlin entdeckt, was als Beweis für seine Helligkeit dienen kann. Er wird dabei, wenn im nach der Erscheinung von 1828 schließen darf, für die stärksten Refractoren, etwa von der Mitte oder Ende des Augusts an sichtbar werden, und bis zum Anfang des Decembers, also mehr als drei Monate hindurch es bleiben. Die Zeit, in welcher er hell genug für wirkliche Beobachtungen ist, wird etwa vom Ende des Septembers anfangen. Selbst mit schwächeren Fernröhren wird man ihn höchst wahrscheinlich von der Mitte des Octobers an mit Erfolg beobachten können, und nur die Nähe an der Sonne ihn unsern Augen verborgen. Während des Septembers und Octobers ist er für die ganze Nacht hindurch über dem Horizonte, im November wird er vor Sonnenaufgang und nach Sonnenuntergang sichtbar werden können, im December, wenn es überhaupt möglich seyn sollte, nur in den Morgenstunden.

Vorzüglich wird diese Erscheinung aber dadurch interessant, daß sie, wenn auch nicht jetzt gleich, doch späterhin, die übrigen Elemente mit größerer Sicherheit aus späteren Erscheinungen bestimmt seyn werden, zu einer Bestimmung der Merkursmasse dienen kann, welche im Grunde genommen, wenigstens bei *Laplace*, noch völlig unbekannt und nach einer etwas willkürlichen Hypothese angenommen ist. Die Annahme für den Halbmesser des Merkurs von 7<sup>ten</sup> der mittleren Entfernung der Erde, und aus der Bemerkung,

daß die bekannten Dichtigkeiten der Erde, des Jupiters und Saturns nahe umgekehrt ihren mittleren Entfernungen proportional sind, welche Hypothese auf die Dichtigkeit des Merkurs ausgedehnt ist, hat *Laplace* Méc. cé. Livre VI. Cap. 17. 21 die Masse zu  $\frac{1}{327115}$  bestimmt. Andere Gründe für diese Annahme aufzufinden ist mir nicht gelungen, so daß die Merkursmasse bis jetzt noch nicht streng ermittelt zu seyn scheint. Unter allen Himmelskörpern, die in geschlossenen Bahnen sich bewegen, kommt keiner, wie Herr Dr. *Obers* gleich anfangs (Berl. Astr. Jahrb. 1822 pag. 197) es bemerkte, dem Merkur so nahe, wie dieser Comet, so daß er im Minimum selbst bis auf 0,018 sich ihm nähern kann. Bei den früheren Erscheinungen war eine bedeutende Annäherung, und damit die Möglichkeit, aus den Störungen, die sie mit sich führt, auf die störende Masse zu schließen, nicht eingetreten, aber im Jahre 1835 Aug. 23 näherten sich beide Himmelskörper einander so sehr, daß die kleinste Entfernung nur 0,12 betrug. Die durch den Merkur in dieser Nähe bewirkten Aenderungen in den Elementen des Cometen werden bei der bevorstehenden Erscheinung so merklich hervortreten, daß sie die Wiederkehr zum Perihel um 0,1 Tag früher bewirken, als es ohne den Merkur der Fall gewesen wäre, und die bei der großen Nähe an der Erde beträchtliche Größe des Einflusses dieser Aenderung auf den geocentrischen Ort wird machen, daß zur Zeit der besten Sichtbarkeit des Cometen der Einfluß der Merkursstörungen beträgt in

1838. *	Gerader Aufsteigng.	Abweichung.
Oct. 13.	+ 13' 6"	+ 7' 26"
23.	+ 13 32	+ 17 12
Nov. 2.	— 57 54	+ 16 50
12.	— 41 48	— 8 16
23.	— 24 33	— 8 22

an daß über die Richtigkeit der Merkursmasse, in so fern ein sehr bedeutender Irrthum dabei stattfinden sollte, schon die blasse Vergleichung der Ephemeride mit den Beobachtungen entschieden wird. Später wenn die Durchgangszeit des Perihels, sofern sie von den andern Umständen abhängt, auf Hunderttheile oder Tausendtheile eines Tages zu bestimmen möglich seyn sollte, wird man auch eine verhältnismäßig geringe

\*) Herr Professor *Encke* nennt den Cometen, der in diesen Blättern immer, und auch sonst allgemein, der *Enckesche Comet* genannt wird, bekanntlich den *Ponschen Comet*. S.

Grenze für die Sicherheit der Merkursmasse erhalten, da allerdings die auffallende Vergrößerung des Einflusses bei dem geocentrischen Orte nur scheinbar zu der grösseren Genauigkeit beiträgt, weil sie bei den übrigen Störungen der Durchgangszeit eben so einwirkt.

Schon bei der letzten Erscheinung im Jahre 1835 war es mir nicht möglich gewesen, die Störungsrechnungen in derselben Ausdehnung wie früher durchzuführen, und ich hatte mich begnügen müssen, die Jupitersstörungen heiläufig zu berechnen, und die übrigen Planetenstörungen zu schätzen. Die daraus berechnete Ephemeride hatte sich indessen über Erwartung bewährt. Jetzt würde ich die Störungsrechnung für zwei Umläufe völlig haben aufgeben müssen. Um so mehr fühle ich mich dem Herrn *Carl Bremker*, welcher früher schon bei der Vermessung von Westphalen beschäftigt, seit drei Jahren hier dem mathematischen und astronomischen Studium mit großem Erfolge seine Zeit widmet, zum größten Danke verpflichtet, dass er weder durch die große Länge der Rechnung und den damit verknüpften Zeitaufwand, noch durch die Undankbarkeit derselben (in so fern das Resultat auf ein Paar Zahlen hinauskommt, denen durchaus nicht diejenigen, die selbst nicht eine solche Arbeit versucht haben, den Werth in Vergleich mit der angewandten Mühe beilegen werden, den sie haben) sich abschrecken liess, die Rechnung durchzuführen. Die große Sorgfalt, die er darauf verwandt, verbunden mit der Prüfung, welche die Differenzen darbieten, lässt bei mir keinen Zweifel übrig, dass er sie nicht eben so genau gemacht hat, als ich sie nur hätte machen können; und wenn auch die heftigste Belohnung für ihn selbst daraus hervorgehen wird, dass die vollständige Durchführung einer so bedeutenden Rechnung ihm die gründlichste Einsicht in das Wesen derselben, und die dabei zum Grunde liegenden Formeln der physischen Astronomie gegeben hat, so kann ich doch nur lebhaft wünschen, dass auch ein günstiger Erfolg ihm die darauf gewandte Mühe und Zeit einigermaßen vergüten möge.

Den Störungsrechnungen wurden die Elemente zum Grunde gelegt, welche in den *Astr. Nachr.* Nr. 210 u. ff. aus den Erscheinungen bis 1829 abgeleitet sind, sowohl in Bezug auf die Massen, als auf die Constante und das Gesetz des Widerstandes. In den dort gebrauchten Zeichen betragen die Störungen von

1829 Jan. 9,72 bis 1832 Mai 4,0 M. Par. Zeit.

$$\begin{aligned}\Delta i &= + 92'144 \\ \Delta \Omega &= - 11,143 \\ \Delta \Phi &= + 302,924 \\ \Delta \pi &= + 21,198 \\ \Delta \mu &= + 1,469544 \\ \Delta M &= + 1326,845\end{aligned}$$

Betrag der Präcession... 2'46''447.

Diese sind noch von mir berechnet. Aus den Beobachtungen

des Cometen im Jahr 1832, in Buenos Ayres von Herrn *Ma potti*, und am Vorgebirge der guten Hoffnung von Herrn *Hederson*, habe ich den Normalort abgeleitet:

$$\begin{aligned}1832 \text{ Jun. } 5,9 \text{ Mittl. Par. Zeit.} \\ \text{AR. Com.} &= 52^{\circ} 20' 47'' \\ \text{Decl. Com.} &= -19^{\circ} 12' 6,9.\end{aligned}$$

Die Rechnung nach den zum Grunde gelegten Elementen und Störungswerthen giebt dafür:

$$\begin{aligned}\text{AR. Com.} &= 52^{\circ} 18' 19'' \\ \text{Decl. Com.} &= -19^{\circ} 13' 21,9.\end{aligned}$$

so dass die Fehler sind in

$$\begin{aligned}\text{AR.} &- 2' 28'' 3 \\ \text{Decl.} &- 1' 13,0\end{aligned}$$

An sie schliessen sich die Störungs-Rechnungen von Herrn *Bremker*, welche geben:

1832 Mai 4,0 — 1835 Aug. 26,3.

$$\begin{aligned}\Delta i &= - 54' 786 \\ \Delta \Omega &= + 1,912 \\ \Delta \Phi &= - 145,890 \\ \Delta \pi &= - 17,887 \\ \Delta \mu &= - 0,559504 \\ \Delta M &= + 341,874\end{aligned}$$

Betrag der Präcession... 2'46''316.

Aus den Beobachtungen des Cometen in Breslau von Herrn *Boguslawsky*, und in Mailand von Herrn *Kreil*, habe ich den Normalort abgeleitet:

$$\begin{aligned}1835 \text{ Jul. } 30,5 \text{ Mittl. Par. Zeit.} \\ \text{AR. Com.} &= 100^{\circ} 57' 11'' \\ \text{Decl. Com.} &= + 29^{\circ} 45' 42,4.\end{aligned}$$

Die Rechnung nach den obigen Elementen und den Störungswerthen giebt dafür:

$$\begin{aligned}\text{AR. Com.} &= 100^{\circ} 56' 6'' \\ \text{Decl. Com.} &= + 29^{\circ} 46' 1,8.\end{aligned}$$

so dass die Fehler sind in:

$$\begin{aligned}\text{AR.} &- 1' 5'' \\ \text{Decl.} &+ 0' 19,4.\end{aligned}$$

Bei der Geringfügigkeit der Fehler (die zugleich die Befugnis für die Rechnung des Herrn *Bremker* in gewissen Situationen kann) habe ich nicht geglaubt, an den Elementen irgend etwas ändern zu dürfen. Theils nämlich würde eine etwa geänderte Jupitersmasse wohl anzuwenden seyn, da meine Annahme noch etwas verschieden ist von der Bestimmung von *Airy*, die unstrittig den Vorzug verdient, theils wird eine kleine Vernachlässigung in Bezug auf die Reducirung der Beobachtungen auf eine feste Ebene zu verbessern nothwendig seyn, so dass ein nochmaliges Zusammenstellen aller Rechnungen über Erscheinungen seit 1819 bei einer Verbesserung der Elemente vorgenommen werden musste. Dieses jetzt vor den nächsten Beobachtungen zu thun, scheint mir ein unnützer Aufwand von Zeit, da die neuen Beobachtungen doch wieder mit den älteren vereinigt werden müssen, bei dem grossen Einflusse der Merkursmasse, es erst abzuwarten ist, welche Grösse man

hören muß, und überdem die Kleinheit der obigen Fehler vollkommen dagegen sichert, daß das Anfinden des Cometen in Anfang irgend erschwert wird durch die Unsicherheit des Orts. Kaum sollte ich fürchten, daß die ersten Oerter um mehr als höchstens 5 Minuten abweichen werden, weil die Bestimmung der Durchgangszeit durch das Perihel bei ihnen von geringem Einfluß ist. Der Erfolg wird sonach unmittelbar zeigen, in wiefern ein System von Elementen aus 10jährigen Beobachtungen (1819—1828) abgeleitet, sich für die nächsten zehn Jahre (1828—1838) bewährt.

Die Störungsrechnungen des Herrn *Bremiker* für die neue Periode ergeben:

1835 Aug. 26,3 — 1838 Dec. 19,0

$\Delta i$	=	+ 11" 504
$\Delta \Omega$	=	— 66,986
$\Delta \varphi$	=	+ 52,855
$\Delta \pi$	=	+ 47,649
$\Delta \mu$	=	+ 0,416711
$\Delta M$	=	262,009

Betrag der Präcession . . . 2' 46" 510

omit denn die Elemente folgen

1838 Dec. 19,0 mittl. Berl. Zeit.

$M$	=	0° 0' 0" 59
$\mu$	=	1071° 18372
$\pi$	=	157° 27' 34" 8
$\Omega$	=	334 36 31,8
$\varphi$	=	57 41 44,0
$i$	=	13 21 29,0

M. Aeq. Dec. 19.

Mit diesen ist die beifolgende Ephemeride so berechnet, daß sie als constant angenommen sind. Die angeführten Geraden Aufsteigungen und Abweichungen gelten für das mittlere Aequinoctium von Dec. 19. Will man die wahren Oerter, hingegen auf das scheinbare Aequinoctium des Tages, haben, so wird man die in den Rubriken: Reduction auf das wahre Aequinoctium angeführten Größen, den Geraden Aufsteigungen und Abweichungen algebraisch hinzuzufügen haben, und von der Beobachtungszeit, die in der Rubrik: Abweichung angeführte mittlere Zeit abziehen. Die zwei ersten Rubriken der Aenderungen der Coordinaten bei der Geraden Auf-

steigung mit  $p$  und  $p'$ , bei der Abweichung mit  $q$  und  $q'$  bezeichnet, werden in den bei weitem meisten Fällen hienreichen, das Resultat der Ephemeride auf jeden beliebigen Zeitpunkt mit der strengsten Schärfe zu übertragen.

Es wäre jetzt nur noch der Betrag der Störungen der Elemente von Decbr. 19 bis zu jedem beliebigen Tage hinzuzufügen. Diese ist indessen theils sehr gering, theils so unregelmäßig, wegen der schnellen Aenderung der Coefficienten, welche den Einfluß jeder Aenderung eines Elementes auf die geocentrischen Coordinaten ausdrücken, daß es rathsam geschienen hat, nur für bestimmte Tage ihn zu berechnen. Die folgende Tabelle, in welcher die Correctionen so zu verstehen sind, daß sie algebraisch den Oertern der Ephemeride hinzuzufügen sind, wird nahe die Correction geben.

1838.	$\Delta\alpha$	$\Delta\delta$
Aug. 2,0	+ 3,9	- 2,4
20,0	+ 5,3	- 2,7
Sept. 7,0	+ 5,7	- 3,1
25,0	+ 5,5	- 4,0
Oct. 13,0	+ 4,1	- 5,7
23,3	+ 11,9	- 7,2
Nov. 2,6	+ 26,3	+ 1,4
12,9	+ 8,6	+ 5,9
28,2	+ 1,8	+ 1,9
Dec. 3,5	+ 1,4	+ 0,9
13,8	+ 0,0	+ 0,2
24,1	- 0,2	+ 0,1.

Die angegebenen Entfernungen von der Erde und Sonne, von denen die letzten nicht weiter interpolirt sind, als die unmittelbare Rechnung sie gab, werden theils für die Parallaxe, theils für die Schätzung der Lichtstärke des Cometen dienen können.

Auch diese Ephemeride in ihrer ganzen Ausdehnung verdanke ich dem Herrn *Bremiker*. Eine Berechnung mit weniger Decimalen (Herr *Bremiker* hat 7 angewandt) für Intervalle von 12 zu 12 Tagen hat mir gezeigt, daß irgend welcher constante Fehler von Erheblichkeit nicht stattfinden kann.

Encke.

(Die Ephemeride in der folgenden Nummer.)

Vorschlag die bei achromatischen Fernrohren erforderliche Länge durch ein Spiegeltelescop mit einem besonderen Glasspiegel bis auf mehr als die Hälfte abzukürzen.

Von Herrn Fr. W. Barfuß.

Weimar 1838.

# §. 1.

Daß Herr *Newton* für sein Spiegeltelescop zuerst einen Spiegel vorgeschlagen, und auch die späteren Verfertiger Spiegeltelescopien hatten denselben anzuwenden versucht; so man ging gar bald zu den Metallsiegeln über, indem

man fand, daß die Strahlen, welche von der Vorderfläche des Glasspiegels reflectirt werden, und mit voller Intensität durch die Oculare gehen, den Eindruck des Hauptbildes zu sehr schwächen. Man hat es allerdings bedauert, mit dem Verluste des Glasspiegels auch zugleich den Verlust an Dauerhaft-

tigkeit catoptrischer Instrumente zu erleiden, da Metallspiegel durch Oxydation in der Luft gar zu leicht die Politur verlieren; man hat aber bis jetzt doch noch kein Mittel erfunden, den Hauptfehler des Glaspiegels, der eben in der doppelten Reflexion besteht, für catoptrische Fernröhre unschädlich zu machen. Hierfür gebe ich nun den Vorschlag, ein Planconvexglas auf der erhabenen Seite mit Folie zu belegen und vor dasselbe noch ein Biconcavglas zu setzen; bei dieser Vorrichtung wird der Fehler der doppelten Reflexion für Newtons Telescop größtentheils, für das von Gregory ganz unschädlich gemacht, so als ob gar keine doppelte Reflexion statt fände.

Indessen leuchtet auch der große Mangel, den dieses dioptrisch-catoptrische Objectiv besitzt, sogleich in die Augen, denn es findet bei der Brechung und bei der Spiegelung ein doppelter Verlust an Licht statt. Aber unsere Vorrichtung hat andere Vorzüge, welche alles, was Spiegeltelescope und achromatische Refractoren in gleicher Hinsicht leisten, weit übertreffen; und die Vergleichung dieser Vorzüge mit den Mängeln wird zeigen, ob ein so eingerichtetes Telescop brauchbar sey oder nicht. Sollte aus mir unbekannten Gründen das letztere sich ergeben, so mag man meine Arbeit als einen bloßen theoretischen Gedanken beurtheilen, wie ja die Geschichte der physikalischen Wissenschaften zeigt, daß das meiste Gedachte eben nur Gedanke war.

Nun wollen wir die Einrichtung und Wirkung unseres Objectivs näher untersuchen.

## §. 2.

Man denke sich eine Biconvexlinse auf der einen Seite mit Folie belegt, so daß sie einen Hohlspiegel abgibt. Ein Strahl also, der auf diesen Spiegel fällt, wird gebrochen, dann gespiegelt, dann wieder gebrochen, man sucht nun die Weite  $\beta$  vom Spiegel, in welcher ein aus der Axe kommender und so modificirter Strahl mit der Axe wieder vereinigt wird.

Ist die Entfernung des strahlenden Punktes  $= a$ , der Halbmesser der offenen Fläche  $= p$ , das Brechungsverhältnis  $= n$ , so wird nach der ersten Brechung der Strahl in einer Entfernung  $= k = \frac{na p}{(n-1)a - p}$  hinter dem Glase mit der Axe vereinigt. Nun wird er gespiegelt, als käme er aus der Entfernung  $k$  hinter dem Spiegel, und daher ist jetzt die Weite der Vereinigung  $= c = \frac{kR}{2k + R}$ , wo  $R$  den Halbmesser der belegten Fläche bedeutet. Beim Rückgange durch die offene Fläche wird der Strahl wieder gebrochen, als käme er aus der Entfernung  $c$ , und da er aus Luft in Glas geht, so haben wir in der Formel für  $k$ ,  $c$  statt  $a$ ,  $\frac{1}{n}$  statt  $n$  zu setzen. Dieses

gibt  $\beta = \frac{-cp}{(n-1)c + np}$ . Das negative Zeichen deutet an,

daß  $\beta$  die entgegengesetzte Lage von  $k$  hat. Daher ist

$$\frac{1}{\beta} = \frac{n-1}{p} + \frac{n}{c} = \frac{n-1}{p} + \frac{n}{k} + \frac{2n}{R}, \text{ oder endlich}$$

$$\frac{1}{\beta} = \frac{2(n-1)}{p} + \frac{2n}{R} - \frac{1}{a}.$$

Die offene Fläche des Spiegels soll nach unserer Voraussetzung immer eben seyn. Für diesen Fall ist dann  $\frac{1}{R} = \frac{2n}{R} - \frac{1}{a}$ .

folglich die Brennweite  $p = \frac{R}{2n}$ , und  $\frac{1}{\beta} = \frac{1}{p} - \frac{1}{a}$ .

Die Brennweite fällt also noch geringer aus, als bei einem einfachen Hohlspiegel von gleicher Krümmung. Für  $a = \frac{1}{2} R$  ist sie bekanntlich  $\frac{1}{4} R$ .

## §. 3.

Da die Brennweite eines solchen Spiegels von den Brechungsverhältnissen des Glases abhängt, so wird er nicht sein können von der Farbenzerstreuung. Man differenzirt also  $p$  nach der Farbenzerstreuung, so ist  $dp = p \cdot \frac{dn}{n}$ . Für ein Convex- oder Concavglas von der Brennweite  $p$  ist  $dp = \frac{dn}{n-1} p$ , und folglich ist hier die Zerstreuung weit größer, für  $n = \frac{3}{2}$  dreimal so groß, als dort. (Das Differential von  $p$  ist positiv genommen, da das Zeichen auf die Rechnung keinen Einfluß bat.) Daher wird man farblose Bilder erhalten können, wenn man vor den Spiegel ein Hohlglas von demselben Glasart setzt. Wir wollen nun die Brennweite dieses Hohlglases suchen, welche erforderlich ist, um das Bild achromatisch zu machen.

Es sey also  $q$  die Brennweite des Hohlglases,  $e$  seine Entfernung vom Spiegel, die Entfernung des Objectes unendlich, so fallen die Strahlen so auf den Spiegel, als kämen sie aus der Entfernung  $q + e$ . Daher hat man für die Vereinigungsweite  $\beta$  nach der Spiegelung, bevor der Strahl durch das Hohlglas zurückgeht,  $\frac{1}{\beta} = \frac{1}{p} - \frac{1}{q + e}$ . Nun fallen die Strahlen so auf das Hohlglas, als kämen sie aus der Entfernung  $-(\beta - e)$ , also haben wir für die Brennweite  $\gamma$  des ganzen Systems  $\frac{1}{\gamma} = \frac{1}{\beta - e} - \frac{1}{q}$ .

Soll hier Achromatismus eintreten, so muß  $d\gamma = 0$  seyn, d. h. es muß seyn  $\frac{d\beta}{(\beta - e)^2} - \frac{dq}{q^2} = 0$ . Also  $d\beta = \beta^2 \left[ \frac{dp}{p^2} - \frac{dq}{(q + e)^2} \right]$ ,  $dp = \frac{1}{n} p dn$ ,  $dq = \frac{dq}{n-1}$  folglich:

$$\frac{\beta^2}{(\beta - e)^2} \left[ \frac{1}{np} - \frac{q}{(n-1)(q+r)} \right] - \frac{1}{(n-1)q}$$

$$\frac{1}{q} \left( 1 - \frac{e}{\beta} \right)^2 = \frac{n-1}{np} - \frac{q}{(q+e)^2}$$

oder

Wir wollen  $e$  so klein annehmen, daß man die zweiten Potenzen davon vernachlässigen kann, dann wird nach einigen Reductionen:

$$q = \frac{2n}{n-1} (p-e).$$

Hier scheint es am vorteilhaftesten, wenn Glas und Spiegel hart an einander liegen, also  $e = 0$  ist. Dann ist

$$q = \frac{2np}{n-1} = \frac{R}{n-1}.$$

Also muß die Brennweite des Zerstreuungsglases der des Planconvexglases gleich seyn. Daraus folgt sich  $\beta = \frac{2np}{n+1}$ , und  $\gamma = np = \frac{1}{2}R$ , woraus der merkwürdige Satz folgt, daß das Bild farblos wird, wenn die Brennweite des Systems der des Hohlspiegels gleich wird, den die belegte Fläche sich abgeben würde. Dann wird nämlich die durch die Spiegellinse verursachte Brechung wieder aufgehoben.

Dieser Achromatismus vereinigt alle ungleichartigen Strahlen und läßt kein secundäres Spectrum übrig, in sofern dasselbe nicht etwa abhängt von den zweiten Potenzen von  $dn$ . Ein solches bleibt noch immer zurück, muß aber weit geringer seyn, als das eines achromatischen Refractors, da für Flintglas  $dn$ , und also noch mehr  $dn^2$  größer ist, als dasselbe  $dn$  bei gemeinem Spiegelglase, welches wir hier der leichteren Bereitung und geringeren Farbenzerstreuung wegen anzuwenden. Sollte nicht vielleicht die Anwendung des Spiegelglases zu achromatischen Fernrohren in der Größe von  $dn^2$  nach ihre Grenze finden?

Unser Achromatismus erfordert weit weniger Kunst, als bei dioptrischen Fernrohren; man braucht nicht einmal  $n$  zu kennen, denn wenn  $p$  und  $r$  die Halbmesser des Zerstreuungsglases bedeuten, so ist  $\frac{rp}{r+p} = -R$ . Indessen muß man  $n$  kennen, um die Kugelabweichung aufheben zu können, und hierzu genügt ein einfacher Versuch, indem man bemerkt, welcher Entfernung ein Planconvexglas im verfinsterten Zimmer die deutlichsten Bilder gibt. In dieser Hinsicht übertrifft unser System gar sehr, die dioptrischen Objectiv.

## §. 4.

In einem fast noch höheren Grade übertrifft auch das catoptrische Objectiv die dioptrischen in Hinsicht der Abweichung wegen der Kugelgestalt. Um aber hier die richtigen Rechnungen anstellen zu können, müssen wir erst die Abweichung unseres Spiegels untersuchen.

Nach Kugels Dioptrik ist die Abweichung bei der Brechung durch die Vorderfläche eines Glases  $= -\frac{(nk+a)(a+k)^2}{2(n-1)^2 a^2 k} xx$ , wo  $x$  die Einfallshöhe bedeutet,  $a$  und  $k$  aber die in §. 2 genannte Geltung haben. Für gegenwärtigen Fall, wo die brechende Fläche eben, also  $p = \infty$  ist, wird  $k = -na$ , also die Abweichung  $= -\frac{na-1}{2na} xx = +\frac{na-1}{2k} xx$  und positiv, wenn  $k$  als positiv angesehen wird.

Diese Abweichung verursacht eine Abweichung bei der Spiegelung, welche man findet, wenn man  $e = \frac{kH}{2k-R}$  nach  $k$  differenzirt. Sie ist also  $= -\frac{ecd k}{k^2}$ . Die Spiegelfläche selbst bringt eine Abweichung  $= -1 \left( 1 - \frac{e}{k} \right)^2 \frac{xx}{H}$  hervor, welche mit der vorigen zusammen die vollständige Aenderung  $dc$  von  $e$  ausmacht.

Beim Rückgange durch die Vorderfläche werden die Strahlen mit der Axe in einer Entfernung vereinigt, welche man findet, wenn man in der Formel für  $k = na$ ,  $c + da$  statt  $a$ ,  $\frac{1}{n}$  statt  $n$  setzt. Die  $c$  gibt eine Abweichung  $= \frac{1}{n} dc$ . Hierzu kommt noch die von der Vorderfläche selbst hervorbrachte Abweichung, welche man findet, wenn man in der Formel für  $dk$ ,  $e$  statt  $k$ ,  $\frac{1}{n}$  statt  $n$  setzt. Sie ist also  $= -\frac{nn-1}{2n} \cdot \frac{xx}{e}$ . Darum ist die Gesamtabweichung

$$-xx \left[ \frac{na-1}{2n} \cdot \frac{cc}{k^2} + \frac{1}{4nR} \left( 1 - \frac{e}{k} \right)^2 + \frac{nn-1}{2nc} \right]$$

Ist der Gegenstand unendlich weit, so ist  $k = \infty$ ,  $c = \frac{1}{2}R$ , also die Abweichung  $= -\frac{4nn-3}{4nR} xx$ . Für  $n = \frac{3}{2}$  wird dieser gerade  $= \frac{xx}{R} = -\frac{xx}{3p}$ , also daß bei einem solchen Spiegel die Abweichung wegen der Kugelgestalt größer ist, als bei einem einfachen.

## §. 5.

Um nun die Abweichung des dioptrisch-catoptrischen Objectivs zu berechnen, stellen wir vor unserem Spiegel ein Convexglas von der Brennweite  $q$  in der Entfernung  $e$  auf. Bei diesem Glase sey die Vereinigungswerte der aus irgend einem Punkte der Axe kommenden Strahlen  $= a$ , die Abweichung  $\alpha x$ . Nunmehr fallen die Strahlen aus der Entfernung  $e-a$  auf den Spiegel und ihre Vereinigungswerte  $\beta$  wird durch die Formel ausgedrückt  $\frac{1}{\beta} = \frac{1}{p} - \frac{1}{e-a}$ . Das Differential derselben nach  $\alpha$  ist  $\frac{\beta \delta \alpha}{(e-a)^2}$ , welches der eine Theil der Abweichung



bei der Spiegelung ist. Dazu kommt noch eine Abweichung  $u$  wegen der Spiegelflächen, so daß die ganze Abweichung von  $\beta$

$$\beta = d\beta = \frac{\beta d\alpha}{(e-\alpha)^2} + u \text{ gefunden wird.}$$

In  $u$  ist die Einfallshöhe  $= \frac{e-\alpha}{q} x$  zu nehmen.

Nun gehen die Strahlen wieder durch das Glas, als kämen sie aus der Entfernung  $e-\beta$ , und ihre Vereinigungsweite  $\gamma$  ist in der Formel  $\frac{1}{\gamma} = \frac{1}{q} - \frac{1}{e-\beta}$  enthalten. Hier

$$d\alpha = -\frac{nqxx}{2(n-1)^2} \left( \frac{n}{q} - \frac{2n+1}{k} + \frac{n+2}{k^2} \right)$$

$$u = -\frac{n\gamma y}{2(n-1)^2 q} \cdot \frac{(e-\gamma)^2 (e-\beta)^2}{q\beta\beta} xx \left[ n \left( \frac{1}{(e-\beta)^2} - \frac{1}{\gamma(e-\beta)} + \frac{1}{\gamma^2} \right) - \frac{2n+1}{\lambda} \left( \frac{1}{\gamma} - \frac{1}{e-\beta} \right) + \frac{n+2}{\lambda^2} \right]$$

Klingels anal. Dioptr. §. 177.

$$u \text{ setze man} = -\left( \frac{e-\gamma}{q} \right)^2 Qxx.$$

Hier ist  $k$  die Vereinigungsweite bei der Brechung der Vorderfläche des Glases  $= \frac{nr}{n-1}$ ,  $\lambda$  dasselbe bei der Hinter-

fläche  $= \frac{n(e-\beta)r}{(n-1)(e-\beta)-r}$ .  $r$  und  $\rho$  sind die beiden Halb-

$$dy = xx \left[ \frac{n\gamma y}{2(n-1)^2 q} \left( \frac{n}{q} + \frac{2n+1}{k} + \frac{n+2}{k^2} \right) - \frac{\gamma^2 Q}{\beta^3} + \frac{n\gamma y}{2(n-1)^2 q} \left( n \left( \frac{1}{\beta\beta} + \frac{1}{\beta\gamma} + \frac{1}{\gamma^2} \right) - \frac{2n+1}{\lambda} \left( \frac{1}{\beta} + \frac{1}{\gamma} \right) + \frac{n+2}{\lambda^2} \right) \right].$$

$$\text{und es ist } \frac{1}{\lambda} = \frac{1}{n\beta} - \frac{1}{n\gamma} - \frac{1}{k}.$$

### §. 6.

In die Formel des vorigen § setzen wir nun dasjenige Verhältniß zwischen  $\rho$  und  $q$ , welches der Achromatismus erfordert, also

$$q = \frac{2np}{n-1}, \quad \beta = \frac{2np}{n+1}, \quad \gamma = np, \quad \frac{1}{\lambda} = \frac{1}{nnp} - \frac{1}{k}.$$

$$dy = \frac{xyx}{2nn} \left( \frac{2n^3 + 2n^2 - 3n - 2}{4\gamma\gamma} + \frac{2n^3 + 3n^2 - n - 4}{2\gamma r} + \frac{(n+2)(n-1)}{rr} \right).$$

weiche demnach sehr einfach ausfällt.

Diese haben wir  $= 0$  zu setzen, wenn die Abweichung gehoben werden soll.

Setzen wir hier zuerst  $n = \frac{3}{2}$ , so wird

$$dy = \frac{1}{8} xyx \left( \frac{19}{\gamma\gamma} + \frac{64}{\gamma r} + \frac{28}{rr} \right).$$

Nehmen wir  $r = -4\gamma$ , also das Hohlglas gleichseitig, so wird  $dy = \frac{19}{8} \frac{xx}{\gamma}$ , oder nahe  $= \frac{xx}{15\gamma}$ , und demnach die Abweichung weit kleiner, als bei einem einfachen sphärischen Hohlspiegel. Nehmen wir aber  $r = -3\gamma$ , also  $\rho = -6\gamma$ ,

$$\text{so wird } dy = \frac{7xx}{648\gamma} = \frac{xx}{92,6\gamma}.$$

Setzen wir aber  $\frac{19}{\gamma\gamma} + \frac{64}{\gamma r} + \frac{28}{rr} = 0$ , so findet sich ein-

findet zunächst wegen  $d\beta$  eine Abweichung  $\frac{\gamma\gamma d\beta}{(e-\beta)^2}$ , wozu noch die Abweichung  $w$  wegen der Gestalt des Glases hinzukommt. In  $w$  ist die Einfallshöhe  $= \frac{(e-\alpha)(e-\beta)}{n\beta}$  zu nehmen.

Setzen wir die Entfernung des strahlenden Punktes endlich weit hinaus, so ist  $\alpha = q$ ,

$$\text{messer. Daher ist } \frac{1}{\lambda} = \frac{n-1}{n\rho} - \frac{1}{n(e-\beta)},$$

$$= \frac{1}{nq} - \frac{n-1}{nr} - \frac{1}{n(e-\beta)} = \frac{1}{nq} - \frac{1}{n(e-\beta)} - \frac{1}{k}.$$

Wir setzen nun  $e = 0$  und schreiben  $-q$  statt  $q$ ;  $u$  durch die Abweichung:

$$\text{Der Factor } Q \text{ ergibt sich aus §. 4, wenn man dort } a = k = \frac{2n\rho}{n-1}, \quad R = 2np, \quad c = \frac{2nnp}{n+1} \text{ nimmt. Dann}$$

$$Q = \frac{n^3 + 2nn - 2}{2nn(n+1)^2 p}.$$

Setzt man alle diese Werthe in die Gleichung des § für  $dy$  und zuletzt noch  $\frac{n\rho}{n-1}$  statt  $k$ ,  $\frac{\gamma}{n}$  statt  $p$ , erhält man nach einer leichten Rechnung die Formel der Abweichung:

mal  $r = -2,852\gamma$  und  $\rho = -6,697\gamma$ . Die andere Wurzel  $r = -0,517\gamma$ , welche ein für die Aufhebung der Krümmungsabweichung nicht recht taugliches Glas gibt. Für  $n = \frac{3}{2}$  wird  $r = -2,8034$ , und hieraus sieht man, daß  $r$  abnimmt, wenn  $n$  wächst, daher man solches Glas wählen muß, welches  $n$  nicht größer ist als 1,52, da es vorthellhaft, wenn  $r$  so groß als möglich wird.

### §. 7.

Wir wollen nun auch die Abweichung der ungleichseitigen Randstrahlen untersuchen. Differentiirt man  $dy$  nach  $n$ , erhält man

$$ddy = \frac{\gamma x d\alpha}{2nn} \left[ \frac{2n^3 + 3n + 4}{4\gamma\gamma} + \frac{2n^3 + n + 8}{2\gamma r} + \frac{4-n}{rr} \right]$$

der die  $n = \frac{3}{2}$ .

$$dd\gamma = \frac{\gamma x x d\alpha}{108} \left[ \frac{61}{\gamma\gamma} + \frac{130}{\gamma r} + \frac{40}{rr} \right].$$

oder wenn man  $r = -2,85$  setzt  $dd\gamma = + \frac{x x}{5,3\gamma} d\gamma$ , und

da die Abweichung  $= \frac{x x}{108}$ ,  $dd\gamma = \frac{x x}{530\gamma}$ . Diese Abweichung

ist sehr gering, und da sie der Farbenzerstreuung der Oculare entgegengesetzt ist, so wird sie dadurch noch unschädlicher.

Um die Größe der Oeffnung unseres Objectiva zu bestimmen, überlegen wir, daß der größte hier vorkommende Winkel des Strahles mit seinem Lotho derjenige ist, welchen der aus der Spiegellinse heraustretende und auf die Hinterfläche der Concaulinse fallende Strahl mit seinem Einfallslothe

nicht. Dieser ist aber  $\arcsin \frac{x}{\beta} + \arcsin \frac{x}{\rho}$ , wofür wir

$$\text{kurz } \frac{x}{\beta} + \frac{x}{\rho} \text{ setzen dürfen, oder } \frac{x}{\beta} + \frac{x}{\rho} = \sin \left( \frac{x}{\beta} + \frac{x}{\rho} \right).$$

Esso gibt für  $n = 1,52$  den größten Sinus  $\frac{7x}{5\gamma}$ . Setzen wir denselben, so folgt  $x = \frac{5}{7}\gamma$ , also die Oeffnung  $2x = \frac{10}{7}\gamma$ , welches mehr als den dritten Theil der Brennweite des Systems beträgt. Soll aber der größte Sinus nur  $\frac{1}{2}$  betragen, so wird die Oeffnung  $\frac{5}{4}\gamma$ , oder beinahe  $\frac{1}{2}\gamma$ , welches ungemein ist. Für längere Röhre könnte man  $2x = \frac{1}{2}\gamma$  wählen, wo dann der größte Sinus etwa  $\frac{1}{2}$ , und der größte Winkel, den der Strahl mit seinem Lothen macht, etwa  $30^\circ$  ist.

Es braucht kaum bemerkt zu werden, daß man bei größter Genauigkeit auch die Dicke der Gläser durch eine indirecte Rechnung mit in Anschlag bringen kann. Diese Dicke wird

der Sinus des größten Winkels, der eigentlich in der Rechnung gebraucht wird, ist der Sinus der Summe zweier Winkel, deren Sinus  $\frac{x}{\rho}$  und  $\frac{x}{\beta}$ , also  $= \frac{x}{\rho} \sqrt{1 - \frac{x^2}{\beta^2}} + \frac{x}{\beta} \sqrt{1 - \frac{x^2}{\rho^2}}$ , und die obige Formel für die Abweichung wegen der Kugelgestalt läßt eigentlich die fünfte Potenz von  $x$  in der Entwicklung dieses Sinus, oder das Glied

$$\frac{1}{\rho\beta} \left( \frac{t}{\beta^3} + \frac{t}{\rho^3} \right)$$

weg. Nehmen wir nun  $x = \frac{1}{10}\gamma$ , so ist  $\frac{x}{\beta} = \frac{1}{4}$ ,

$\frac{x}{\rho} = \frac{1}{66,97}$  für  $n = \frac{3}{2}$ , also das vernachlässigte Glied mit  $x^5 = 0,000000456$ . Es wird also erst ein Fehler in der 7ten Decimalstelle begangen, woraus einzusehen, daß die Oeffnung  $\frac{1}{2}\gamma$  selbst für sehr große Röhre noch zulässig ist. Kleinere Röhre von 2 bis 3 Faden werden wohl nicht gut  $\frac{1}{2}\gamma$  als Oeffnung vertragen.

auch bei der ungeheuren Oeffnung dennoch nicht übermäßig groß. Die Krümmung der Spiegellinse erfordert eine Dicke  $= \frac{\gamma}{256}$ , wenn die Oeffnung  $= \frac{1}{2}\gamma$  genommen wird, und eine

Dicke  $= \frac{\gamma}{400}$ , wenn die Oeffnung  $\frac{1}{4}\gamma$  beträgt.

## §. 8.

Wir wollen, nachdem die Vorzüge unseres Systemen in Bezug der aufgehobenen Abweichungen aller Art anerkannt sind, auch dessen Mängel näher betrachten. Diese Mängel sind aber zweierlei: 1) die vielfache Reflexion der Glasflächen und 2) der vielleicht nicht unbedeutende Lichtmangel.

Betrachten wir aus den erstgenannten Mangel. Die Vorderfläche der Hohllinse wirft die Strahlen convergent zurück, aber deren Hinterfläche und die ebene Fläche der Spiegellinse geben divergirende Strahlen, die durch den Rückgang durch das Hohlglas noch mehr zerstreut werden. Von allen diesen divergirenden Strahlen kann nichts auf den kleinen Spiegel fallen, wenn der Punkt, von dem die Strahlen ausgehen, in der Axe liegt; diese sind demnach unschädlich. Diejenigen Reflexionen, welche beim Rückgange der Strahlen von der eigentlichen Spiegelfläche statt finden, sind allen dioptrischen Fernröhren gemein, und dürfen daher nicht in Anschlag gebracht werden.

Es kann also nur die Reflexion von der Vorderfläche des Hohlglases schädlich wirken. Construiren wir uns zuerst das Telescop newtonisch, so muß der kleine Spiegel wenigstens so weit vom Brennpuncte des Objectiva abstehen, als die halbe Oeffnung  $x$ , und wenigstens die Größe haben, daß er den hier stattfindenden senkrechten Durchschnitt des Strahlenkegels faßt, der von den mit der Axe parallel auffallenden und vom Spiegel reflectirten Strahlen gebildet wird; diese Größe ist  $\frac{2x^2}{\gamma}$ .

Der Focus der von der Vorderfläche reflectirten Strahlen ist um  $1,4\gamma$  vom Objective entfernt, und sein senkrechter Durchschnitt beträgt da, wo der kleine Spiegel steht,  $\frac{0,4\gamma + x}{1,4} 2x$ . Setzen wir nun  $\gamma = 48''$ ,  $x = 6$  Zoll, so verhalten sich jene beiden Durchschnitte  $= \frac{0,4\gamma + x}{1,4} = 6 : \frac{25,2}{1,4} = 1 : 3,4$  ihre Flächen wie  $1 : 9$ , und hieraus sehen wir, daß der kleine Spiegel nur  $\frac{1}{3}$  des von der Vorderfläche reflectirten Lichtes aufnimmt. Indessen muß wohl etwas mehr angesetzt werden, da der kleine Spiegel ein wenig größer zu machen ist. Nehmen wir die Oeffnung  $= 12$  Zoll bei einer Länge von  $60$  Zoll, so findet man auf gleiche Weise, daß nur ungefähr  $\frac{1}{15}$  jenes Lichtes vom kleinen Spiegel aufgefangen wird.

Anders aber steht die Sache, wenn das Telescop gregorianisch gebaut wird. Hier geht fürs erste ein Theil des Ne-

benlichtes vor dem kleinen Spiegel vorbei, und das darauf fallende wird im Brennpunkte des kleinen Spiegels, oder vielmehr noch vor demselben gesammelt und wieder auf den großen Spiegel zurückgeworfen, jedoch kann nichts in das Loch gehen, wie man aus einer Zeichnung leicht sehen wird. Der große Spiegel wirft nun dieses Licht, da es fast aus seinem Brennpunkte kommt, nahe parallel zurück, so daß es entweder ganz vor dem kleinen Spiegel vorbei geht, oder wenn ja ein Theil auf den Rand desselben fallen sollte, so wird er durch eine nochmalige Reflexion gänzlich aus dem Rohre entfernt.

Sonach wäre für dieses Telescop der Fehler der doppelten Reflexion der Glasspiegel ganz und gar gehoben.

### §. 9.

Aber ein schwereres Examen muß unser Objectiv aushalten, wenn es in Bezug auf Lichtstärke geprüft wird. Zuerst ist klar, daß bei den Spiegelungen an den verschiedenen Glasflächen viel Licht verloren wird, denn es spiegeln beim Hin- und Hergange sechs solcher Flächen, und also wird dadurch so viel Licht verloren, als bei einem dreifachen dioptrischen Objectiv. Indessen muß der Verlust doch etwas geringer angesetzt werden deshalb, weil das Licht durch keine Biconvexlinse geht. Es mag also der Lichtverlust nicht viel stärker seyn, als bei einem zweifachen dioptrischen Objectiv. Aber bei der Spiegelung wird viel Licht verloren, denn nach *Ramfort* verschlucken auch die besten Glasspiegel 0,3494 des darauf fallenden Lichtes. Ist hier der Verlust bei der Spiegelung an der Vorderfläche, und die Verschluckung beim Durchgange durch das Glas mitgerechnet, so dürfen wir wohl den Verlust bei der bloßen Spiegelung an der belegten Fläche kleiner ansetzen, und annehmen, daß unser Objectiv  $\frac{2}{3}$  des Lichtes zurückwirft, was ein doppeltes dioptrisches Objectiv durchläßt.

Unser Telescop erfordert aber nothwendig zwei Spiegelungen; und wenn das zweitemal wieder  $\frac{2}{3}$  verloren wird, so bleiben im Ganzen nur noch  $\frac{1}{3}$  des Lichts im achromatischen Refractor. Wenn wir indessen auf die vollkommenere Vereinigung der farbigen Strahlen so wie auf die offenbar vollkommene Vereinigung der Central- und Randstrahlen aller

Art etwas rechnen dürfen, so möchte es nicht zu viel erscheinen, wenn wir die Lichtstärke  $\frac{1}{4}$  oder  $\frac{2}{3}$  von der im achromatischen Refractor ansetzen.

Sollten sich aber die Glasspiegel nicht zu noch größerer Vollkommenheit bringen lassen, als aus *Ramforts* Versuchen hervorgeht? Sollte sich nicht der kleine Spiegel vollkommener herstellen lassen, so daß er weniger, als  $\frac{1}{3}$  des darauf fallenden Lichtes verschluckt? Hier kann man ja ohne eben sehr große Kosten die vom Grafen von *Sickingen* empfohlene Mischung aus Platin, Gold und Eisen anwenden, auch hat man den kleinen Spiegel bei der Politur besser in der Gewalt, als einen großen Objectivspiegel. Wenn dieses gelingt, so kann man wohl die Lichtstärke unseres Telescops auf  $\frac{2}{3}$  von der im achromatischen Refractor setzen.

Wir wollen indessen jetzt nur die Hälfte dafür nehmen.

Unser Telescop verträgt nun eine Oeffnung von 1 Fuß bei einer Länge von höchstens 5 Fuß. Ein *Fraunhofer*scher Refractor dagegen hat bei derselben Länge nur eine Oeffnung von  $\frac{1}{2}$  Fuß, also gewinnen wir an auffallendem Lichte das Sechsfache, und zurückgeworfenem zum mindesten das 4fache. Demnach kann ein Fernrohr mit unserem Objectiv doppelt so viel vergrößern, also daß die Hälfte an der Länge erspart wird.

Ueberhaupt muß unser Objectiv, wenn es mit dem bloßen Spiegel die Hälfte des auffallenden Lichtes verschluckt, im Verhältnisse  $1:\sqrt{2}$  größer seyn als das dioptrische, wenn es mit diesem gleiche Lichtstärke haben soll, welches freilich etwas viel ist. Anders aber steht die Sache, wenn es noch  $\frac{2}{3}$  des auffallenden Lichtes übrig läßt, denn dann braucht es nur um 0,225 größer zu seyn, als das dioptrische, welches bei 9 Zoll Oeffnung des letzteren nur 2 Zoll beträgt.

Schließlich bemerke ich nur noch, daß ich jetzt die obigen Objectiv von 1 Fuß Brennweite und 3 bis 4 Zoll Oeffnung ausführen lasse. Das Fernrohr soll der größern Leichtigkeit wegen, wie ein *Newton*sches Spiegeltelescop gebaut werden. Ich hoffe von dem Erfolge dieses Unternehmens bald Nachricht geben zu können.

Fr. W. Barffels.

### Inhalt.

Schreiben des Herrn Professors und Ritters *Encke*, Directors der Berliner Sternwarte an den Herausgeber. p. 281.

Vorschlag, die bei achromatischen Fernrohren erforderliche Länge durch ein Spiegeltelescop mit einem besonderen Glasspiegel bis auf mehr als die Hälfte abzukürzen. Von Herrn Fr. W. Barffels. p. 285.

# ASTRONOMISCHE NACHRICHTEN.

N<sup>o</sup>. 354.

## Beobachtungen von Mondsternen auf der Hamburger Sternwarte.

Von Herrn Ch. Rümker.

Hierbei sende ich Ihnen die von mir seit Anfang 1836 in Hamburg beobachteten Mondculminationen, indem ich mir vorbehalte, die übrigen nachzuliefern. Bis zum April 1836 sind sie noch mit den Passagen-Instrumente des seligen Herrn J. G. Repsold mit 7 Passagefäden beobachtet, seitdem aber mit dem Meridiane der Gebrüder Repsold jun., welcher 13 Fäden und 1 Monoscope hat. In der Erwartung, daß auch auf andern Sternwarten die langen Intervalle zwischen den im N. A. verzeichneten Sternen mit Beobachtungen mehrerer im Parallel des Mondes befindlichen ausgefüllt, und möglicher Weise an Cap der guten Hoffnung ihre Declination mit der des Mondes verglichen werden möchte, habe ich die AR. und Decl. von noch mehreren sich seiner Bahn anschließenden Sternen beobachtet, und da des geringeren Einflusses wegen, welchen

Refraction, Theilungsfehler und Excentricität auf den Declinations-Unterschied zweier beinahe in demselben Parallele culminirenden Gestirne haben können, die Bestimmung der Parallaxe des Mondes durch Vergleichung seiner Declination mit einem und demselben Sterne in beiden Hemisphären sicherer, als durch die Vergleichung ihrer absolut gefundenen Declinationen ist, so scheint es mir wünschenswerth, daß auf dem Cap und in Europa auch die Declinationen der Mondsterne beobachtet werden. Uebrigens glaube ich nicht, daß die starken Abweichungen der hier folgenden Declinationen von den Mondstafeln des ersten zuzuschreiben sind. Die Declinationen des Mondes sind für Refraction, aber nicht für Parallaxe verbessert.

Rümker.

1836.	Sterne.	AR.	Fäden.
Jan. 15	$\beta^h$ Ceti	2 4 18,004	7
	Mond I	2 16 16,239	7
	29 Ariet.	2 23 54,826	7
	$\gamma$ Ariet.	2 29 30,426	4
	38 Ariet.	2 36 1,474	6
	42 Ariet. $\pi$	2 40 8,276	7
Jan. 26	38 Ariet.	2 36 1,424	5
	$\rho$ Ariet.	2 46 35,705	3
	$\alpha$ Ariet.	2 49 50,307	7
	Mond I	3 3 15,749	7
	$\gamma$ Ariet.	3 11 45,957	7
	$\xi$ Tauri	3 18 17,070	7
	$\zeta$ Tauri	3 21 49,295	7
	$\eta$ Tauri	3 27 19,870	7
	$\theta$ Tauri	3 37 44,593	7
	$\iota$ Aurigae	6 4 55,949	7
Jan. 30	$\mu$ Gemin.	6 13 2,786	7
	Mond I	6 31 23,099	7
	$\alpha$ Gemin.	6 33 50,999	7
	$\beta$ Gemin.	6 35 37,671	6
Febr. 24	$\alpha^1$ Tauri	3 59 36,794	6
	$\alpha^2$ Tauri	4 7 39,106	7
	$\gamma$ Tauri	4 10 27,725	7
	$\delta$ Tauri	4 13 28,726	6
	$\epsilon$ Tauri	4 19 2,294	7
	Mond I	4 21 55,461	7
	$\theta$ Tauri	4 21 55,461	7

1836.	Sterne.	AR.	Fäden.
Febr. 24	Aldebaran	4 26 30,731	7
	$\gamma$ Tauri	4 32 24,166	7
	$\delta$ Tauri	4 41 46,859	7
	102 Tauri	4 53 17,734	7
Febr. 25	102 Tauri	4 53 17,776	7
	109 Tauri	5 9 25,608	6
	Mond I	5 14 25,151	7
	$\beta$ Tauri	5 15 55,816	4
	$\zeta$ Tauri	5 27 50,977	7
	$\beta$ Tauri	5 38 57,376	7
	C Tauri	5 43 1,563	7
	H Gemin.	5 54 9,355	4
Febr. 26	C Tauri	5 43 1,229	7
	$\gamma$ Gemin.	6 4 58,867	7
	Mond I	6 8 48,904	7
	$\mu$ Gemin.	6 13 2,133	5
	$\gamma$ Gemin.	6 28 14,417	6
	$\delta$ Gemin.	6 31 23,099	7
März 7	Mond II	15 4 12,581	7
	28 Libr.	15 11 36,593	4
	$\alpha$ Libr.	15 16 19,191	7
	$\gamma^1$ Libr.	15 21 25,996	7
	$\gamma^2$ Libr.	15 23 40,011	7
	$\gamma$ Libr.	15 26 22,048	7
	Xi Libr.	15 30 36,048	7
	$\eta$ Libr.	15 34 51,446	7
	$\theta$ Libr.	15 44 29,811	4
	$\iota$ Libr.	15 44 29,811	4

1836.	Sterne.	AR.	Fäden.	Decl.	Micr.
März 27	$\lambda$ Canc.	8 10 46,736	5		
	$\phi^1$ Canc. cent.	8 16 51,891	7		
	$\delta$ Canc.	8 22 14,482	6		
	Mond I	8 31 26,689	7		
	$\gamma$ Canc.	8 33 47,475	7		
	$\alpha^1$ Canc.	8 46 58,432	7		
	$\alpha^2$ Canc.	8 49 31,289	7		
	$\nu$ Canc.	8 53 8,846	7		
	$\xi$ Canc.	8 59 55,603	7		
	$\eta$ Canc.	9 9 49,768	7		
März 29	$\gamma$ Leon.	10 10 56,204	7		
	Mond I	10 17 51,569	7		
	$\phi$ Leon.	10 24 11,006	6		
	50 Leon.	10 30 7,111	7		
	52 $\alpha$ Leon.	10 37 44,583	7		
April 25	$\lambda$ Leon.	9 22 21,700	12	+23 41 16,71	8
	$\psi$ Leon.	9 34 48,057	13	+14 43 8,94	8
	$\nu$ Leonis	9 49 24,212	13		
	Mond Io.R.	9 54 22,983	11	17 57 8,83	8
	$\gamma^1$ Leon.	10 10 55,985	13	20 40 7,49	8
	$\phi$ Leon.	10 24 10,92	13	10 8 51,55	8
April 26	$\phi$ Leon.	10 24 11,04	12		
	Mond Io.R.	10 45 18,05	13	+12 52 6,07	8
April 29	Mond Io.R.	13 18 22,816	13	- 6 9 28,77	8
	m Virg.	13 33 1,981	13	7 52 28,42	8
	p Virg.	13 46 18,596	13	0 41 39,11	4
	r Virg.	13 53 19,843	13	2 20 23,61	8
	$\alpha$ Virg.	14 4 10,804	13		
	l Virg.	14 7 26,804	13	5 13 0,58	8
April 30	l Virg.	14 7 26,810	12	- 5 13 1,87	2
	Mond Io.R.	14 13 13,410	13	12 43 51,06	8
	$\mu$ Virg.	14 34 27,01	13	4 56 36,86	4
	$\alpha^1$ Libr.	14 41 50,56	13	15 21 27,67	4
	$\xi^1$ Libr.	14 47 54,20	13	10 44 44,03	8
Nov. 13	Mond I	19 44 38,865	13		
	$\psi$ Capric.	20 36 24,415	13		
Nov. 15	$\eta$ Capric.	20 25 5,660	10		
	$\alpha$ Capric.	21 27 55,415	13	-20 11 42,83	4
	$\delta$ Capric.	21 38 1,008	13	16 51 57,91	4
	Mond Io.R.	21 48 20,662	13	19 50 29,53	8
	$\sigma$ Aquar.	22 22 0,177	13	11 30 38,93	2
	$\tau^1$ Aquar.	22 40 56,564	13	14 27 3,42	4
Dec. 17	$\gamma$ Piscium	1 32 57,009	13		
	Mond Io.R.	1 43 41,747	13	+ 8 45 0,325	8
Jan. 15	$\rho^1$ Ariet.	2 46 39,400	13		
1837	$\phi^6$ in Par.	3 1 29,000	9		
	Mond Io.R.	3 5 33,858	13	+17 47 57,14	2
	$\tau$ Ariet.	3 11 49,523	13	20 33 21,65	2
	$\gamma$ Tauri	3 37 48,347	13	23 85 51,63	2
	$\phi^6$ mag.	3 45 10,608	13	16 8 15,64	2
Febr. 12	$\delta$ Ariet.	3 2 18,548	13	+19 56 25,73	4
	61 Ariet $\tau^1$	3 11 49,180	12		
	Tauri	3 27 23,313	13	22 40 12,62	4
	Mond Io.R.	3 38 10,590	13	20 49 18,57	8

1836.	Sterne.	AR.	Fäden.	Decl.	Micr.
Febr. 17	Mond Io.R.	8 9 59,430	7	+25° 1' 1' 42	4
	$\eta$ Canc.	8 23 17,484	13	20 59 24,75	4
	$\gamma$ Canc.	8 33 51,584	13		
	$\delta$ Canc.	8 35 25,910	4	18 44 54,48	4
	$\rho^1$ Canc.	8 45 54,261	13		
März 17	$\lambda$ Canc.	8 10 50,972	13	+24 31 52,21	4
	$\phi^1$ Canc. cent.	8 16 56,141	13		
	$\delta$ Canc.	8 22 18,549	13	18 38 27,65	4
	$\delta$ Canc.	8 35 25,683	7	18 44 57,55	4
	Mond Io.R.	8 42 57,980	13	23 16 9,35	4
	$\alpha^1$ Canc.	8 49 34,801	10	12 29 2,28	4
	$\xi$ Canc.	8 59 59,472	13	22 42 8,72	4
	$\eta$ Canc.	9 9 53,534	13	18 23 33,08	4
März 18	$\xi$ Canc.	8 59 59,668	13	+22 42 5,63	4
	$\phi$ Canc.	9 9 53,651	18	18 28 86,17	4
	$\eta$ Canc.	9 26 37,967	18	16 33 9,32	4
	Mond Io.R.	9 32 54,353	13	19 23 59,06	4
	$\mu$ Leon.	9 43 30,213	13	26 46 19,40	4
	$\pi$ Leon.	9 51 36,828	13	8 49 22,26	4
	$\alpha$ Leon.	9 59 42,374	13	12 45 38,75	4
März 19	$\tau$ Leon.	9 51 36,853	13	+ 8 49 21,10	4
	$\alpha$ Leon.	9 59 42,385	13	12 45 35,66	4
	Mond Io.R.	10 21 37,076	13	14 38 3,34	4
	$\eta$ Leon.	10 37 48,307	13	15 3 8,83	4
	$\phi$ Leon.	10 52 19,181	10		
April 14	$\xi$ Canc.	8 59 59,353	13	+22 42 3,605	4
	Mond Io.R.	9 13 22,281	13	21 9 46,875	4
	$\lambda$ Leon.	9 22 25,439	13		
	$\alpha$ Leon.	9 32 27,793	13		
	$\alpha$ Leon.	9 59 42,394	13	12 45 37,94	4
April 16	$\gamma$ Leon.	10 10 59,994	3		
	$\phi$ Leon.	10 24 14,343	5	+10 8 34,33	4
	Mond Io.R.	10 49 18,169	13	11 33 5,77	4
	$\eta$ Leon.	11 7 21,138	12	14 11 41,53	4
	$\lambda$ Leon.	11 15 26,800	13	11 25 29,38	2
Mai 10	$\alpha^1$ Gemin.	7 24 11,267	11	+32 14 32,90	2
	$\beta$ Gemin.	7 35 19,964	8	28 25 0,03	4
	Mond Io.R.	8 0 24,757	13	25 41 49,16	4
Mai 12	$\sigma$ Leon.	9 32 26,934	9		
	Mond Io.R.	9 42 9,196	13	+18 39 16,15	1
	$\alpha$ Leon.	9 59 41,620	13	12 45 48,37	1
	$\gamma$ Leon.	10 10 59,304	13	20 39 52,46	1
Mai 13	Mond I	10 29 29,110	13		
	54 Leon.	10 46 47,056	13		
	$\chi$ Leon.	10 56 37,302	13		
	$\delta$ Leon.	11 5 27,010	13		
Mai 14	$\chi$ Leon.	10 56 37,112	4		
	$\eta$ Leon.	11 7 21,042	12	+14 11 41,96	4
	Mond Io.R.	11 15 23,411	13	8 19 0,08	4
	$\alpha$ Virg.	12 30 4,288	13	9 2 7,64	4
Mal 15	$\gamma$ Virg. b	11 51 37,333	13	+ 4 33 39,46	2
	9 Virg. a	11 56 55,302	13		
	Mond Io.R.	12 0 53,406	11	+ 2 22 14,33	6
	$\eta$ Virg.	12 11 35,440	13	+ 0 14 13,01	8
	$\gamma$ Virg.	12 33 25,413	12	- 0 33 24,62	4
	$\alpha$ Virg.	13 16 38,344	13	-10 18 40,72	4

1837.	Starre.	AR.	Fäden.	Decl.	Micr.
Aug. 16	r Virg.	12 11 35,254	13	+ 0 14 14,75	4
	r' Virg.	12 33 25,600	13	- 0 33 23,31	4
	Mondl o.R.	12 47 8,510	13	- 3 50 38,64	8
	a Virg.	13 16 38,439	13	- 10 18 40,24	4
Aug. 18	l Virg.	14 10 19,566	3		
	2 Labrae	14 14 41,354	13	- 10 68 4,96	4
	Mondl o.R.	14 27 3,284	13	- 16 4 56,37	4
	u Virg.	14 34 30,161	13		
	20 Labr.	14 54 34 469	13	- 24 38 15,85	4
Aug. 13	Mondl	13 12 39,413	13		
	a Virg.	13 16 38,186	13		
Aug. 16	Mondl	15 54 0,296	13		
	19 Scorp.	16 10 52,604	13		
	4 Oph. ψ	16 14 36,580	13		
	s Scorp.	16 19 27,888	13		
Aug. 17	Mondl	16 58 30,795	13		
	4 Oph.	17 12 2,780	13		
Aug. 12	Mondl o.R.	14 29 56,441	13	- 16 41 34,63	8
	a' Libr.	14 41 54,041	13	15 21 43,99	8
	β Libr.	15 8 16,402	13	8 46 41,83	8
Aug. 13	β Libr.	15 8 16,418	13	- 8 46 43,04	8
	Mondl o.R.	15 24 49,029	13	21 46 4,34	4
	r Scorp.	15 49 2,440	13	25 38 39,15	4
	β' Scorp.	15 56 0,449	13	19 23 17,90	4
Aug. 26	Mondl II	4 15 29,703	13		
	a Tauri	4 26 35,134	13		
Aug. 10	δ Scorp.	15 50 44,277	13		
	Mondl o.R.	15 58 1,870	13	- 24 24 26,79	4
	Antares	16 19 27,623	13	26 4 3,16	4
Aug. 12	63 Oph.	17 44 54,784	13	- 24 50 56,45	4
	r' Sagitt.	17 55 23,076	13	30 25 10,58	4
	u Sagitt.	18 4 3,584	13		
	Mondl o.R.	18 6 66,737	13	28 49 26,72	4
Aug. 14	e Sagitt.	19 52 41,174	13	- 28 9 23,46	4
	a' Capric.	20 9 3,448	13	13 2 35,98	4
	r Capric.	20 18 2,205	13	18 44 21,11	4
	Mondl u.R.	20 25 9,797	13	25 38 13,16	4
	r Capric.	20 55 10,194	13	20 29 31,25	4
	ζ Capric.	21 17 24,274	13	23 6 35,42	4
Aug. 15	r Capric.	20 55 10,329	13		
	32 Capric.	21 13 12,706	13		
	ζ Capric.	21 17 24,066	5		
	a Capr.	21 27 59,676	13		
	Mondl u.R.	21 30 33,422	13	- 20 46 22,96	4
	60 mag.	21 38 5,091	13	21 52 32,89	4
	u Capric.	21 44 26,960	11	14 18 43,15	4
	1 Aquar.	21 57 40,514	13	14 39 12,63	4
	δ Aquar.	22 8 16,314	8		
Sept. 6	Mondl u.R.	15 37 44,262	13	- 23 12 59,40	4
	β' Scorp.	16 55 59,605	13	19 21 23,28	4
	Antares	16 19 27,247	13	26 4 0,18	4

1837.	Starre.	AR.	Fäden.	Decl.	Micr.
Sept. 11	β' Capric.	20 11 68,466	6		
	r Capric.	20 18 1,909	12	- 18 44 22,53	4
	r' Capric.	20 28 15,287	13	15 42 19,16	4
	ψ Capric.	20 36 29,203	13	25 61 2,27	4
	Mondl u.R.	20 58 24,408	9	23 29 16,30	4
	δ Capric.	21 38 5,411	13	16 61 38,49	4
Sept. 22	r Gemin.	6 6 4,508	13		
	u Gemin.	6 13 7,924	13		
	Mondl II	7 22 10,316	13		
	a' Gemin.	7 24 13,086	10		
	β Gemin.	7 36 21,632	13		
Sept. 23	δ Gemin.	7 10 24,569	13		
	a' Gemin.	7 24 13,031	8		
	β Gemin.	7 35 21,677	13		
	Mondl II	8 16 6,654	13		
Oct. 7	Mondl u.R.	—	—	- 28 25 62,55	8
Oct. 10	Mondl u.R.	22 32 56,524	13	- 14 30 38,09	4
	r' Aquar.	22 41 0,586	13		
	λ Aquar.	22 44 9,594	13	- 8 26 27,15	4
	81 Aquar.	22 52 57,985	13		
Oct. 12	1 Pisc.	23 31 36,827	10	+ 4 45 0,29	4
	n Pisc.	23 39 36,832	13	- 8 39 44,32	4
	r Pisc.	23 53 39,217	13	- 6 54 55,73	4
	Mondl u.R.	0 20 59,928	13	- 0 22 37,23	4
	20 Mayer	0 39 53,248	13	+ 4 26 52,82	4
	ψ Pisc.	1 33 0,363	13	+ 4 40 3,40	4
Nov. 6	δ Capric.	21 38 4,774	13	- 16 51 41,06	4
	u Capric.	21 44 26,742	13	14 18 47,42	4
	Mondl u.R.	22 11 53,288	12	16 43 7,12	4
	σ Aquar i	—	—	11 30 21,14	4
Dec. 10	n Tauri	3 37 52,635	13	+ 23 36 4,07	4
	7th mag.	3 46 40,320	13	20 17 40,77	4
	A' Tauri	3 55 8,143	11	21 38 9,80	4
	7.8	4 0 51,598	10	18 2 42,56	2
	Mondl o.R.	4 6 46,820	13	24 20 26,50	4
	6. 7 mag.	4 15 31,713	8	18 39 56,91	4
	Aldeh.	4 26 38,635	13	16 10 48,29	4
	r Tauri	4 32 32,474	13	22 38 32,84	4
	i Tauri	4 53 25,693	13	21 21 14,93	4
Jan. 1	λ Aquarii	—	—	- 8 26 30,78	4
1838	ψ Aquarii	23 10 31 219	13	- 10 29 51,03	4
	Mondl u.R.	23 25 35,365	13	7 21 5,19	4
Jan. 7	u' Tauri	4 16 37,945	13		
	Aldebaran	4 26 38,676	13		
	r Tauri	4 32 32,429	13		
	Mondl u.R.	4 44 35,172	13		
	β Tauri	5 16 4,237	13		
	ζ Tauri	6 27 58,860	13		
Febr. 3	r Tauri	9 37 52,230	10	+ 23 36 3,53	4
	A' Tauri	9 55 8,212	10	21 38 5,98	4
	u' Tauri	4 16 37,977	13	22 26 32,02	4
	Mondl u.R.	4 26 61,770	13	25 14 47,28	4
	i Tauri	4 53 25,962	13	21 21 15,20	4
	β Tauri	6 16 4,016	13		

1838.	Sterne.	AR.	Fäden.	Decl.	Micr.
Febr. 4	1 Tauri	4 53 25,980	13		
	Mondl.u.R.	5 25 5,458	13	+27 15 58,80	4
	c Tauri	5 43 9,858	13		
	7.	6 0 32,296	13	26 28 28,43	4
	x Tauri	6 5 4,449	13	29 33 12,65	4
März 3	Aldebaran	4 26 38,101	13	+16 10 45,30	4
	i Tauri	4 53 25,327	13	21 21 17,16	4
	Mondl.u.R.	5 50,158	13	26 58 9,81	4

1838.	Sterne.	AR.	Fäden.	Decl.	M
März 3	β Tauri	5 16 3,689	13	+28 27 59,45	
	26 Aurigae	5 28 14,523	5	30 23 31,80	
	c Tauri	5 43 9,335	13	27 34 13,33	
März 6	x Gemin.	7 34 40,714	13	+24 46 51,28	
	Mondl.u.R.	7 58 22,445	13	25 37 49,36	
	χ Cancr.	8 10 14,014	13	27 44 13,92	
	φ <sup>1</sup> Cancr. cent.	8 17 0,126	13	27 27 32,41	

### Elemente des Doppelsterns γ Coronae.

Seit der ersten Beobachtung *Herschels* hat dieses Sternepaar schon beträchtlich mehr als einen vollen Umlauf zurückgelegt, so daß ein Versuch, seine Bahn zu bestimmen, wenigstens in Beziehung auf Umlaufzeit, der äußerst geringen schenbaren Distanz beider Sterne ungeachtet, einigen Erfolg zu verbürgen scheint. Auch hat *Herschel II* (*On the Orbits of revolving double stars, London 1834*) bereits einen solchen Versuch gemacht; da er aber nur die Beobachtungen bis 1833,28 benutzen konnte und seit jener Zeit eine Reihe höchst genauer Messungen von *Struve*, die von *Herschels* Bahn erheblich abweichen, hinzugekommen ist, so gebe ich hier die Resultate einer neuen Untersuchung.

In *Herschels* angeführter Bearbeitung kommt ein Positions-winkel vor:

1819,70. 359° 0' *Struve*;

welchen ich aber in dem neuesten Werke nirgend erwähnt finde, und den ich deshalb auch nicht mit zur Berechnung hinzugezogen habe. Zur Vergleichung mögen hier die älteren Elemente mit aufgeführt werden:

Durchgang durch das Perihel. . . . .	1806,20	1815,20
Umlaufzeit. . . . .	44,242 I.	43,340 I.
Aufsteigender Knoten. . . . .	40° 35'	22° 35' 2"
Perihel vom Knoten. . . . .	178 38	263 10,3
Neigung. . . . .	37 24	71 29,1
Excentricitätswinkel. . . . .	15 5,4	20 42,9
Halbe große Axe. . . . .	0° 33,25	1° 19,12
Bewegung. . . . .	direct.	
τ. M <sup>1</sup> (cf. <i>Struve Mensurae Micr.</i> p. CLXIV). . . . .	0° 0666	0° 0963

### Vergleichung meiner Elemente mit den Beobachtungen.

T	P	d	Δp	Δd	Beobachter.
1781,69	30° 41'	—	3'6		<i>Herschel I</i>
1802,69	179 40	—	56,6		<i>Herschel I</i>
1823,27	25 57	—	2,9		<i>Herschel II</i> So
1826,77	35 17	1° 057	+ 1,8	— 0° 068	<i>Struve</i>
1829,55	43 15	0,960	— 18,5	— 0,053	<i>Struve</i>
1830,30	44 28	—	106,3		<i>Herschel II</i>
1831,36	51 12	—	+ 40,9		<i>Hersch. II</i> Das
1831,63	50 38	0,883	— 65,0	+ 0,007	<i>Struve</i>
1832,40	57 10	—	+ 102,0		<i>Herschel II</i>
1832,76	56 52	0,790	— 81,6	— 0,005	<i>Struve</i>
1833,28	62 6	—	+ 101,0		<i>Herschel II</i>
1835,41	74 17	0,730	— 132,7	+ 0,115	<i>Struve</i>
1836,52	88 46	0,563	+ 52,5	— 0,005	<i>Struve</i>
(1819,70) (359 0)			(— 923,8)		?

### Ephemeride.

T	P	d	Δp	Δd	Beobachter.
1837,0	93° 28' 0"	0° 536			
5	99 41,6	0,522			
1838,0	106 13,1	0,512			
5	112 56,7	0,507			
1839,0	119 40,2	0,509			
1840,0	132 32,1	0,531			
1841,0	144 1,9	0,572			
1842,0	153 44,8	0,627			
1843,0	161 46,4	0,690			
1844,0	168 23,7	0,760			
1845,0	173 54,8	0,834			<i>Mädler.</i>

### Ephemeride des Pons'schen Cometen für 1838.

(S. Astr. Nachr. Nr. 353.)

### August 1838.

12 <sup>h</sup> mittl. Berl Zeit	Aberration	Reduction f. w. Aequ.	Gor. Aufst. α	Ständige Bewegung. P	Ständige Bewegung. P'	Reduction f. w. Aequ.	Abweichung d	Ständige Bewegung q	Log. der Entfern. v. d. Erde.	Log. der Entfern. v. d. Son.
1	15° 50' 8"	— 22° 9'	31° 2' 4,9"	+ 0° 34' 88"	— 0° 005	— 2' 3"	+ 21° 59' 50" 0"	+ 0° 27' 91"	+ 0° 004	0,285147
2	15 39,7	22,8	31 15 59,1	0 34,62	0,006	2,2	22 11 2,2	0 28,11	0,004	0,280025
3	15 28,6	22,7	31 29 46,8	0 34,35	0,006	2,1	22 22 19,4	0 28,32	0,005	0,274845
4	15 17,4	22,6	31 43 27,8	0 34,07	0,006	2,0	22 33 41,7	0 28,54	0,005	0,269605
5	15 6,3	22,5	31 57 2,1	0 33,79	0,006	1,9	22 45 9,3	0 28,77	0,005	0,264305

Zeit in Sec.	Reduction f. w. Arg.	Ger. Anst. $\alpha$	Stündliche Bewegung. $\mu$	Reduction f. w. Arg.	Abweichung $\delta$	Stündliche Bewegung. $\mu'$	Log. der Entfernung v. d. Erde. v. d. Sonne.		
Aberration									
6 14 55,2	-22,4	32° 10' 29,5	+0° 53' 50	-0,006	-1,8	+22° 56' 42,5	+0° 29' 00	+0,005	0,258943
7 14 44,1	22,3	32 23 49,7	0 33,18	0,007	1,7	23 8 21,5	0 29,25	0,005	0,253518
8 14 33,0	22,2	32 37 2,3	0 32,6	0,007	1,6	23 20 6,4	0 29,50	0,005	0,248303
9 14 21,9	22,1	32 50 7,2	0 32,54	0,007	1,4	23 31 57,6	0 29,77	0,006	0,242477
10 14 10,8	22,0	33 3 4,0	0 32,19	0,007	1,3	23 43 55,2	0 30,04	0,006	0,236858
11 13 59,7	-21,9	33 15 52,5	+0 31,84	-0,008	-1,2	23 55 59,5	+0 30,32	+0,005	0,231173
12 13 48,7	21,8	33 28 32,2	0 31,47	0,008	1,1	24 8 10,7	0 30,62	0,006	0,225420
13 13 37,6	21,7	33 41 2,9	0 31,08	0,008	1,0	24 20 29,2	0 30,93	0,006	0,219597
14 13 26,6	21,6	33 53 24,2	0 30,68	0,009	1,0	24 32 55,1	0 31,24	0,007	0,213704
15 13 15,6	21,5	34 5 35,6	0 30,27	0,009	0,9	24 45 28,7	0 31,57	0,007	0,207740
16 13 4,6	-21,4	34 17 36,8	+0 29,82	-0,009	-0,8	24 58 10,4	+0 31,91	+0,007	0,201703
17 12 53,7	21,4	34 29 27,3	0 29,37	0,010	0,7	25 11 0,3	0 32,26	0,008	0,195592
18 12 42,7	21,3	34 41 6,6	0 28,90	0,010	0,6	25 23 58,9	0 32,63	0,008	0,189407
19 12 31,8	21,2	34 52 34,4	0 28,41	0,010	0,5	25 37 6,5	0 33,01	0,008	0,183145
20 12 20,9	21,1	35 3 50,4	0 27,91	0,010	0,4	25 50 23,4	0 33,41	0,009	0,176806
21 12 10,0	-21,1	35 14 54,1	+0 27,39	-0,011	-0,3	26 3 50,2	+0 33,83	+0,009	0,170388
22 11 59,2	21,0	35 25 45,0	0 26,85	0,011	0,2	26 17 27,0	0 34,25	0,009	0,163889
23 11 48,4	20,9	35 36 22,7	0 26,28	0,012	0,1	26 31 14,4	0 34,71	0,010	0,157309
24 11 37,6	20,8	35 46 45,6	0 25,70	0,012	0,0	26 45 12,9	0 35,18	0,010	0,150646
25 11 26,8	20,7	35 56 56,3	0 25,10	0,013	+0,1	26 59 22,9	0 35,67	0,010	0,143899
26 11 16,1	-20,7	36 6 51,3	+0 24,48	-0,013	+0,1	27 13 44,9	+0 36,18	+0,011	0,137066
27 11 5,4	20,6	36 16 31,2	0 23,83	0,014	0,2	27 28 19,4	0 36,71	0,011	0,130145
28 10 54,8	20,6	36 25 55,2	0 23,16	0,014	0,3	27 43 7,1	0 37,27	0,012	0,123134
29 10 44,2	20,5	36 35 2,7	0 22,46	0,015	0,4	27 58 8,4	0 37,85	0,012	0,116032
30 10 33,6	20,5	36 43 53,1	0 21,73	0,015	0,5	28 13 24,1	0 38,46	0,013	0,108837
31 10 23,0	-20,4	36 52 25,7	+0 20,97	-0,016	+0,5	28 28 54,7	+0 39,10	+0,014	0,101546
32 10 12,5	20,4	37 0 39,8	0 20,19	0,017	0,6	28 44 41,0	0 39,77	0,014	0,094158
$\alpha' = \alpha + \mu t + \mu' t^2$					$\delta' = \delta + \delta t + \delta' t^2$				

$$\alpha' = \alpha + p\mu + p'\mu'$$

$$\delta' = \delta + q\eta + q'\eta'$$

September 1838.

1	10 12,5	-20,4	37 0 39,8	+0 20,19	-0,017	+0,6	28 44 41,0	+0 39,77	+0,014	0,094158	0,277619
2	10 2,0	20,4	37 8 34,7	0 19,37	0,017	0,7	29 0 43,7	0 40,47	0,015	0,086670	
3	9 51,6	20,3	37 16 9,6	0 18,52	0,018	0,8	29 17 3,3	0 41,20	0,016	0,079081	
4	9 41,2	20,3	37 23 23,5	0 17,62	0,019	0,8	29 33 41,2	0 41,96	0,016	0,071388	
5	9 30,9	20,2	37 30 15,2	0 16,68	0,020	0,9	29 50 37,6	0 42,75	0,017	0,063588	0,267066
6	9 20,6	-20,2	37 36 44,1	+0 15,68	-0,021	+0,9	30 7 53,5	+0 43,59	+0,018	0,055860	
7	9 10,3	20,1	37 42 48,8	0 14,65	0,022	1,0	30 25 30,0	0 44,49	0,019	0,047660	
8	9 0,1	20,1	37 48 28,1	0 13,59	0,023	1,0	30 43 27,9	0 45,37	0,020	0,039526	
9	8 50,0	20,1	37 53 40,8	0 12,46	0,024	1,1	31 1 48,3	0 46,33	0,020	0,031276	0,256031
10	8 39,8	20,0	37 58 25,5	0 11,26	0,025	1,2	31 20 32,2	0 47,33	0,021	0,022906	
11	8 29,8	-20,0	38 2 40,7	+0 10,00	-0,027	+1,2	31 39 40,7	+0 48,39	+0,022	0,014413	
12	8 19,8	19,9	38 6 26,0	0 8,6	0,028	1,3	31 59 15,1	0 49,49	0,023	0,005796	
13	8 9,8	19,9	38 9 36,8	0 7,29	0,030	1,3	32 19 16,5	0 50,64	0,025	9,997051	0,244475
14	7 59,9	19,9	38 12 14,1	0 5,82	0,031	1,4	32 39 46,3	0 51,85	0,026	9,988176	
15	7 50,0	19,9	38 14 15,2	0 4,27	0,033	1,4	33 0 46,0	0 53,13	0,027	9,979165	
16	7 40,2	-19,8	38 16 34,1	+0 2,63	-0,035	+1,4	33 22 17,1	+0 54,47	+0,029	9,970018	
17	7 30,5	19,8	38 16 20,5	0 0,89	0,037	1,5	33 44 21,1	0 55,85	0,030	9,960730	0,232354
18	7 20,8	19,8	38 16 20,1	-0 0,97	0,039	1,5	34 6 59,8	0 57,86	0,032	9,951298	
19	7 11,2	19,8	38 15 34,5	0 2,87	0,041	1,5	34 30 15,0	0 58,92	0,033	9,941719	
20	7 1,6	19,8	38 14 1,4	0 4,92	0,044	1,6	34 54 8,7	0 59,57	0,035	9,931989	



12 <sup>h</sup> mittl. Berl. Zeit.	Aberration	Reduction f. w. Aeq.	Ger. Aufst. $\alpha$	Stündliche Bewegung. $\mu$	Reduction f. w. Aeq.	Abweichung $\delta$	Stündliche Bewegung. $\mu$	Log. der Entfernn. v. d. Erde. v. d. Son.
21	6 52' 2	—19,8	38° 11' 37,3	—0' 7 10	+1 6	+35° 18' 42,9	+1' 2' 30	+0 037
22	6 42,7	19,8	38 8 19,5	0 9,41	1,7	35 43 59,9	1 4,13	0,039
23	6 33,4	19,8	38 4 4,6	0 11,86	1,7	36 10 2,0	1 6,06	0,041
24	6 24,1	19,8	37 58 49,0	0 14,48	1,7	36 36 51,8	1 8,11	0,034
25	6 14,9	19,8	37 52 28,3	0 17,28	1,7	37 4 32,0	1 10,26	0,046
26	6 5,7	—19,9	37 44 58,1	—0 20,29	+1,7	+37 33 5,5	+1 12,55	+0,049
27	5 56,7	19,9	37 36 12,8	0 23,51	1,8	38 2 35,5	1 14,97	0,052
28	5 47,7	19,9	37 26 8,0	0 26,94	1,8	38 33 5,3	1 17,53	0,055
29	5 38,8	20,0	37 14 37,8	0 30,63	1,7	39 4 38,4	1 20,25	0,058
30	6 29,9	20,0	37 1 33,2	0 34,65	1,7	39 37 18,6	1 23,13	0,062
31	6 21,2	—20,1	36 46 62,0	—0 39,02	+1,7	+40 11 9,9	+1 26,16	+0,065
32	5 12,6	20,2	36 30 19,1	0 43,79	1,7	40 46 16,6	1 29,41	0,069

$\alpha' = \alpha + \mu t + \mu^2 t^2$ 
$$\delta' = \delta + \mu t + \mu^2 t^2$$

$$a' = a + p t + p' t^2$$

$$\delta' = \delta + q t + q' t^2$$

October 1838.

1	5 21,2	—20,1	36 46 62,0	—0 39,02	—0,095	+1,7	+40 11 9,9	+1 26,16	+0,065	9,813770 0,18465
2	5 12,5	20,2	36 30 19,1	0 43,79	0,104	1,7	40 46 16,6	1 29,41	0,069	9,801882
3	5 3,9	20,2	36 11 46,9	0 48,97	0,113	1,7	41 22 43,2	1 32,84	0,074	9,789782 0,17711
4	4 56,4	20,3	35 51 4,8	0 54,63	0,124	1,6	42 0 34,7	1 36,48	0,078	9,777464
5	4 47,0	20,4	35 28 0,0	1 0,87	0,136	1,6	42 39 66,1	1 40,34	0,083	9,764928 0,16931
6	4 38,7	—20,5	35 2 18,1	—1 7,74	—0,150	+1,6	+43 20 52,6	+1 44,41	+0,088	9,752155
7	4 30,6	20,7	34 33 42,8	1 15,35	0,167	1,6	44 3 29,9	1 48,74	0,093	9,739134 0,16123
8	4 22,3	20,8	34 1 55,0	1 23,79	0,185	1,4	44 47 54,0	1 53,32	0,098	9,725917
9	4 14,3	20,9	33 26 33,5	1 33,14	0,207	1,4	45 34 11,1	1 58,15	0,103	9,712439 0,15294
10	4 6,4	21,1	32 47 13,5	1 43,69	0,232	1,3	46 22 27,3	2 3,25	0,109	9,698718
11	3 58,6	—21,3	32 3 25,9	—1 55,52	—0,262	+1,2	+47 12 49,1	+2 8,61	+0,114	9,684762 0,14411
12	3 50,9	21,5	31 14 36,1	2 8,89	0,296	1,1	48 5 22,5	2 14,23	0,120	9,670540
13	3 43,4	21,8	30 20 4,6	2 24,06	0,337	0,9	49 0 13,9	2 20,09	0,124	9,656084 0,13557
14	3 35,9	22,1	29 19 4,1	2 41,36	0,385	0,8	49 57 28,6	2 26,17	0,129	9,641385
15	3 28,6	22,4	28 10 39,1	3 1,20	0,444	0,6	50 57 11,5	2 32,42	0,131	9,626448 0,12643
16	3 21,5	—22,7	26 53 42,3	—3 24,08	—0,512	+0,6	+51 59 25,3	+2 38,75	+0,133	9,611282
17	3 14,5	23,1	25 26 51,7	3 50,56	0,595	0,2	53 4 11,5	2 45,08	0,130	9,595898 0,11701
18	3 7,6	23,5	23 48 40,0	4 21,46	0,695	0,0	54 11 27,6	2 51,22	0,125	9,580313 0,11217
19	3 0,9	23,9	21 57 2,3	4 67,65	0,816	—0,3	55 21 6,9	2 56,97	0,114	9,564547 0,10725
20	2 54,4	24,4	19 49 41,9	5 40,24	0,964	0,7	56 32 56,3	3 1,97	0,093	9,548628 0,10223
21	2 48,1	—24,9	17 23 48,9	—6 30,57	—1,135	—1,0	—57 46 32,2	+3 5,79	+0,064	9,532591 0,09713
22	2 42,0	25,4	14 36 3,3	7 29,90	1,345	1,5	59 1 20,0	3 7,82	+0,018	9,516481 0,09193
23	2 36,1	25,9	11 22 25,0	8 40,18	1,586	2,0	60 16 26,3	3 7,16	—0,050	9,500355 0,08664
24	2 30,4	26,4	7 38 17,3	10 2,38	1,851	2,6	61 30 33,3	3 2,70	0,142	9,484280 0,08174
25	2 25,0	26,8	3 18 37,6	11 37,89	2,119	3,2	62 41 53,6	2 62,98	0,271	9,468340 0,07574
26	2 19,8	—26,9	358 18 20,0	—13 25,45	—2,351	—4,0	—63 47 59,5	+2 36,16	—0,439	9,452635 0,07014
27	2 15,0	26,5	352 33 5,7	15 21,71	2,466	4,8	64 45 36,9	2 10,29	0,647	9,437285 0,06413
28	2 10,4	25,6	346 0 51,8	17 18,67	2,363	5,7	65 30 45,6	1 33,46	0,892	9,422428 0,05860
29	2 6,2	24,2	338 43 47,1	19 3,36	1,942	6,6	65 58 46,2	+0 44,55	1,145	9,408223 0,05366
30	2 2,4	21,9	330 50 2,6	20 19,10	1,162	7,5	66 4 49,7	—0 16,11	1,374	9,394846 0,04959
31	1 59,0	—19,1	322 34 26,7	—20 50,56	—0,126	—8,4	—65 44 38,5	—1 26,04	—1,525	9,382491 0,04039
32	1 56,0	16,1	314 16 28,9	20 30,74	+0,934	9,0	64 56 20,8	2 40,82	1,572	9,371362 0,034671

$$a' = a + p t + q' t^2$$

$$\delta' = \delta + q t + q' t^2$$

## November 1838.

Zeit. beobachtet.	Reduction f. w. Aequ.	Ger. Aufst. $\alpha$	Stündliche Bewegung. $\mu$	Stündliche Bewegung. $\mu'$	Reduction f. w. Aequ.	Abweichung $\delta$	Stündliche Bewegung. $q$	Stündliche Bewegung. $q'$	Log. der Entfernung v. d. Erde. v. d. Sonne.		
1	1 56'0	-16'1	314° 16' 28' 9	-20° 30' 74	+0' 934	-9'0	+64° 55' 20' 8	-2' 40' 82	-1' 572	9,371362	0,034073
2	1 53,4	13,1	306 16 5,3	19 24,45	1,777	9,3	63 86 3,6	3 55,06	1,504	9,361656	0,027611
3	1 51,3	10,2	298 49 12,9	17 46,04	2,764	9,4	61 48 2,2	5 3,78	1,347	9,358605	0,021009
4	1 49,7	8,1	292 5 17,7	15 52,28	2,427	9,5	59 34 14,5	6 3,47	1,134	9,347359	0,014259
5	1 48,7	6,4	286 7 33,6	13 57,12	2,341	9,4	56 58 43,0	6 52,27	0,897	9,343079	0,000735
6	1 48,1	-5,1	280 54 34,5	-12 9,64	+2,127	-9,3	+54 5 57,8	-7 29,58	-0,659	9,340871	0,000298
7	1 48,1	4,4	276 22 21,0	10 33,72	1,861	9,2	51 0 32,0	7 55,78	0,435	9,340709	0,993074
8	1 48,6	4,0	272 25 51,9	9 10,98	1,593	9,0	47 46 42,5	8 11,71	0,232	9,342836	9,985679
9	1 49,6	3,6	269 0 0,3	8 0,40	1,848	8,8	44 28 22,6	8 18,54	-0,057	9,346954	9,978107
10	1 51,2	3,5	266 0 4,7	7 0,97	1,133	8,6	41 8 54,3	8 17,65	+0,089	9,353026	9,970349
11	1 53,2	-3,5	263 21 58,4	-6 10,96	+0,956	-8,4	+37 61 6,1	-8 10,42	+0,207	9,360915	9,962899
12	1 55,7	3,5	261 2 15,3	5 28,87	0,803	8,3	34 87 13,7	7 58,23	0,297	9,370440	9,954249
13	1 58,7	3,5	258 58 0,2	4 53,36	0,681	8,1	31 29 0,0	7 42,41	0,359	9,381407	9,945889
14	2 2,1	3,5	257 6 51,0	4 23,23	0,678	8,0	28 27 38,3	7 24,05	0,402	9,393622	9,937812
15	2 5,8	3,6	255 26 49,4	3 57,59	0,493	7,8	25 33 57,7	7 4,16	0,424	9,406890	9,928508
16	2 10,0	-3,6	253 56 17,3	-3 55,63	+0,424	-7,7	+22 48 24,5	-6 43,53	+0,433	9,421034	9,919468
17	2 14,5	3,6	252 33 54,8	3 16,70	0,367	7,6	20 11 9,3	6 22,78	0,430	9,435891	9,910182
18	2 19,4	3,7	251 18 35,8	3 0,25	0,320	7,5	17 42 8,7	6 2,36	0,419	9,451317	9,900639
19	2 24,6	3,7	250 9 26,4	2 45,89	0,281	7,4	15 21 10,6	5 42,63	0,402	9,467192	9,890829
20	2 30,1	3,8	249 5 41,3	2 33,15	0,249	7,3	13 7 55,3	5 23,81	0,382	9,483410	9,880740
21	2 35,9	-3,8	248 6 44,0	-2 21,83	+0,223	-7,2	+11 1 59,6	-5 6,03	+0,358	9,499899	9,870363
22	2 42,0	3,8	247 12 4,4	2 11,63	0,194	7,1	9 2 56,9	4 49,38	0,335	9,516560	9,859685
23	2 48,4	3,8	246 21 18,2	2 2,36	0,185	7,1	7 10 20,3	4 33,87	0,311	9,533367	
24	2 55,1	3,8	245 34 5,4	1 53,82	0,171	7,0	5 23 42,2	4 19,51	0,287	9,550272	9,837382
25	3 2,1	3,8	244 50 10,5	1 45,84	0,161	7,0	3 42 35,3	4 6,24	0,265	9,567243	
26	3 9,3	-3,8	244 9 21,5	-1 38,30	+0,153	-6,9	+2 6 34,1	-3 54,08	+0,244	9,584259	9,813744
27	3 16,9	3,8	243 31 29,6	1 31,06	0,149	6,9	+0 85 13,7	3 42,83	0,223	9,601303	
28	3 24,8	3,7	242 56 29,3	1 23,98	0,146	6,9	-0 51 49,2	3 32,57	0,204	9,618367	9,788699
29	3 33,0	3,7	242 24 17,6	1 16,99	0,145	6,8	2 14 56,5	3 23,18	0,187	9,635448	
30	3 41,6	3,6	241 54 53,9	1 9,97	0,147	6,8	3 34 28,4	3 14,61	0,170	9,652543	9,762200
31	3 50,5	-3,6	241 28 20,1	-1 2,82	+0,151	-6,8	+4 50 43,9	-3 6,80	+0,155	9,669655	
32	3 59,7	3,5	241 4 40,3	0 55,45	0,156	6,8	6 4 0,4	2 59,68	0,142	9,686766	9,734261
$\alpha' = \alpha + \mu t + \mu' t^2$										$\delta' = \delta + q t + q' t^2$	

 $\alpha' = \alpha + p t + p' t^2$  $\delta' = \delta + q t + q' t^2$ 

## December 1838.

1	3 50,5	-3,6	241 28 20,1	-1 2,82	+0,151	-6,8	-4 50 43,9	-3 6,80	+0,155	9,669655	
2	3 59,7	3,5	241 4 40,3	0 55,45	0,156	6,8	6 4 0,4	2 59,68	0,142	9,686786	9,734261
3	4 9,4	3,4	240 44 0,9	0 47,77	0,164	6,8	7 14 33,8	2 53,21	0,128	9,703940	
4	4 19,5	3,4	240 26 30,5	0 39,69	0,173	6,9	8 22 39,2	2 47,33	0,117	9,721122	9,704998
5	4 30,0	3,3	240 12 19,9	0 31,10	0,185	6,9	9 28 30,1	2 41,99	0,106	9,738335	
6	4 40,9	-3,2	240 1 42,3	-0 21,93	+0,198	-6,9	-10 32 18,7	-2 37,14	+0,096	9,755579	9,746698
7	4 52,3	3,1	239 54 52,8	0 12,07	0,213	6,9	11 34 16,1	2 32,72	0,088	9,772853	
8	5 4,2	3,0	239 52 8,9	0 1,46	0,229	7,0	12 34 32,1	2 28,67	0,081	9,790153	9,643935
9	5 16,5	2,9	239 53 49,4	+0 9,98	0,247	7,0	13 33 14,9	2 24,94	0,075	9,807468	
10	5 29,4	2,7	240 0 16,0	0 22,81	0,266	7,1	14 30 18,3	2 21,46	0,070	9,824783	9,613698
11	5 42,5	-2,6	240 11 47,4	+0 35,54	+0,285	-7,1	-15 26 26,4	-2 18,15	+0,058	9,842074	
12	5 56,7	2,5	240 28 48,0	0 49,66	0,303	7,2	16 21 3,2	2 14,92	0,067	9,859309	9,585549
13	6 11,0	2,3	240 51 37,2	1 4,80	0,319	7,2	17 14 22,7	2 11,69	0,068	9,876449	
14	6 25,8	2,1	241 20 33,2	1 20,19	0,331	7,3	18 6 23,2	2 8,33	0,072	9,893443	9,561664
15	6 41,0	2,0	241 55 49,7	1 36,24	0,337	7,4	18 57 0,9	2 4,761	0,077	9,910234	

12 <sup>te</sup> mittl. Berl. Zeit.	Aberration	Reduction f. w. Aeqn.	Ger. Aufst. $\alpha$	Stündliche Bewegung. $p$	Reduction f. w. Aeqn.	Abweichung $\delta$	Stündliche Bewegung. $q$	Log. der Entfernung v. d. Erde.	Log. der Entfernung v. d. Sonne.		
16	6° 36' 6"	— 1' 0"	242° 37' 33.9	+ 1 52.45	+ 0.337	— 7.4	— 19° 46' 9.4	— 2 0.89	+ 0.084	9,926756	9,44619
17	7 12.4	1.7	243 25 45.7	2 8.47	0.329	7.5	20 33 40.7	1 56.64	0.093	9,942940	
18	7 28.4	1.5	244 20 15.6	2 23.87	0.313	7.5	21 19 24.7	1 51.95	0.102	9,958717	9,53609
19	7 44.5	1.3	245 20 45.3	2 38.37	0.289	7.6	22 3 11.0	1 46.83	0.111	9,974022	
20	8 0.6	1.1	246 26 47.0	2 51.53	0.258	7.7	22 44 49.5	1 41.31	0.119	9,988801	9,53945
21	8 16.6	— 0.9	247 37 46.0	+ 3 3.10	+ 0.223	— 7.7	— 23 24 11.1	— 1 35.44	+ 0.125	— 0.003010	
22	8 32.4	0.7	248 53 1.9	3 12.92	0.186	7.8	24 1 8.7	1 29.32	0.130	0,016621	9,552137
23	8 47.9	0.4	250 11 51.8	3 20.94	0.149	7.8	24 35 37.3	1 23.05	0.131	0,029620	
24	9 3.2	— 0.1	251 33 33.0	3 27.20	0.112	7.9	25 7 34.9	1 16.74	0.131	0,042008	9,572929
25	9 18.2	+ 0.1	252 57 24.1	3 31.80	0.080	7.9	25 37 1.4	1 10.49	0.129	0,053798	
26	9 32.8	+ 0.4	254 22 47.4	+ 3 34.90	+ 0.050	— 8.0	— 26 3 59.4	— 1 4.37	+ 0.125	0,065012	9,599256
27	9 47.0	0.6	255 49 8.6	3 36.68	0.025	8.0	26 28 33.0	0 58.46	0.121	0,075676	
28	10 0.9	0.9	257 15 59.3	3 37.35	+ 0.003	8.1	26 50 47.7	0 52.81	0.115	0,085824	9,628624
29	10 14.4	1.2	258 42 54.1	3 37.07	— 0.014	8.1	27 10 50.0	0 47.44	0.109	0,095487	
30	10 27.6	1.5	260 9 32.5	3 36.02	0.029	8.2	27 28 46.9	0 42.35	0.103	0,104699	9,659341
31	10 40.4	+ 1.7	261 35 37.8	+ 3 34.33	— 0.041	— 8.2	— 27 44 45.6	— 0 37.58	+ 0.096	0,113493	
32	10 52.9	2.0	263 0 56.1	3 32.12	0.050	8.2	27 58 53.4	0 33.12	0.090	0,121900	9,689966
$\alpha' = \alpha + p t + p' t^2$						$\delta' = \delta + q t + q' t^2$					

Auszug eines Schreibens von Sir John Herschel an den Herrn Geheimenrath Beer und den Herrn Dr. Mädler

The last astronomical novelty of the Southern hemisphere is one of very great interest. The Star  $\pi$  Argus (marked in Bode's Map as  $\pi$  Robur Caroli) has always hitherto been regarded as a Star of the second magnitude or at most as (2.1) During the former years I have had it (as it were) continually under my eye, by reason of the great nebula which surrounds it, and of which I have been taking most careful drawings. I have always considered it as (2.1) and never had reason to suppose it variable. In November 1837 I saw it as usual. Judge of my surprise to find on the 16. 17. December that it had suddenly become a Star of the first magnitude and almost equal to Rigel. It continued to in-

crease. Rigel is now not to be compared to it, it exceeds Arcturus and is very nearly equal to a Centauri, being at the moment when I write, the fourth Star in the heavens in order of brightness.

J. F. W. Herschel.

Anmerkung.

Dies Schreiben ist ohne Datum, muß aber nach andern darin angeführten Umständen in der Mitte des Januars d. J. geschrieben seyn. Sir John Herschel denkt im Mai wieder in England anzukommen.

S.

Inhalt.

Beobachtungen von Mondsternen auf der Hamburger Sternwarte. Von Herrn Ch. Rümkler. p. 297.

Elemente des Doppelsterns  $\pi$  Coronae. p. 303.

Ephemeride des Ponschen Cometen für 1838. (S. Astr. Nachr. Nr. 353.) p. 303.

Auszug eines Schreibens von Sir John Herschel an den Herrn Geheimenrath Beer und den Herrn Dr. Mädler. p. 311.

Ueber eine neue Eigenschaft der *Laplace'schen*  $Y^{(n)}$  und ihre Anwendung zur analytischen Darstellung derjenigen Phänomene, welche Functionen der geographischen Länge und Breite sind.

Von Herrn Professor *Neumann* in Königsberg.

Mit großem Erfolg hat man seit längerer Zeit sich der Reihen bemerkt, welche nach den Sinussen und Cosinussen der Vielfachen des Bogens fortschreiten, um in den periodischen Phänomenen der Natur aus einer großen Anzahl Beobachtungen Resultate zu ziehen. Die sichern Ergebnisse der Meteorologie beruhen fast ganz auf diesem Gebrauch. Ein vorzüglicher Vortheil, welchen die Anwendung dieser Reihen darbietet, ist der Umstand, daß der Werth der Coefficienten, welche man bestimmt, unabhängig von ihrer Anzahl ist. In der Physik der Erde ist es ein wichtiger Gesichtspunct für die Phänomene, diese in Functionen ihres Ortes an der Erdoberfläche zu betrachten, als Functionen der geographischen Länge und Breite. Es wird unzweckmäßig seyn, diese Functionen zweier Winkel darzustellen durch ähnliche Reihen, welche nemlich nach den Sinussen und Cosinussen der Vielfachen zweier Winkel fortschreiten. Auch hat niemand bis jetzt z. B. die Vertheilung der Temperatur auf der Erdoberfläche, oder die Vertheilung der Intensität des Erdmagnetismus, seiner Richtung etc. auf diese Weise in eine Formel zu bringen versucht; und mit Recht, denn in

diesen und andern Fällen haben die theoretischen Beschäftigungen mit diesen Phänomenen schon längst die wahre Form, in welcher sie dargestellt werden müssen, gefunden, nemlich durch Reihen, welche fortgehen nach den Functionen, welche *Laplace* in der Theorie der Attraction der Sphäroide mit  $Y^{(n)}$  bezeichnet hat.

Das Verfahren, eine Function für welche man alle Werthe kennt, durch eine Reihe welche nach den  $Y^{(n)}$  fortschreitet, darzustellen, ist bekannt. Die Absicht dieser Mittheilung ist das Verfahren anzugeben, welches man zu befolgen hat, wenn nur einzelne Werthe der darzustellenden Function gegeben sind. Es ist ganz analog demjenigen, welches man bei den Reihen der Sinusse und Cosinusse der Vielfachen eines Bogens anwendet, und bietet dieselben Vortheile, welche dort so geschätzt werden.

Bezeichnet man die geographische Länge mit  $w$ , und die Breite mit  $\varphi$  und setzt:  $\sin \varphi = \mu$ , bezeichnet man ferner das Glied in  $Y^{(n)}$ , welches unabhängig von  $w$  ist, mit  $X^{(n)}$ , so ist der allgemeine Ausdruck für  $Y^{(n)}$  folgender:

$$Y^{(n)} = B_0^{(n)} X^{(n)} + (A_1^{(n)} \sin w + B_1^{(n)} \cos w) \frac{(1-\mu^2)^{\frac{1}{2}}}{n} \frac{dX^{(n)}}{d\mu} + (A_2^{(n)} \sin 2w + B_2^{(n)} \cos 2w) \frac{1-\mu^2}{n \cdot n-1} \frac{d^2 X^{(n)}}{d\mu^2} + \dots$$

$$+ \dots + (A_i^{(n)} \sin i w + B_i^{(n)} \cos i w) \frac{(1-\mu^2)^{\frac{i}{2}}}{n \cdot n-1 \cdot n-2 \cdot \dots \cdot n-(i-1)} \frac{d^i X^{(n)}}{d\mu^i}$$

und der Werth von  $X^{(n)}$  ist dieser:

$$X^{(n)} = \mu^n - \frac{n \cdot n-1}{2 \cdot 2n-1} \mu^{n-2} + \frac{n \cdot n-1 \cdot n-2 \cdot n-3}{2 \cdot 4 \cdot 2n-1 \cdot 2n-3} \mu^{n-4} - \dots$$

Die Größen  $B_0^{(n)}, B_1^{(n)}, \dots, A_1^{(n)}, A_2^{(n)}, \dots$  sind willkürliche, welche bestimmt werden sollen, daß, wenn man durch  $F(w, \mu)$  den beobachteten Werth einer Function an dem durch  $w$  und  $\mu$  bezeichneten Ort darstellt, die Gleichung

$$F(w, \mu) = Y^{(0)} + Y^{(1)} + Y^{(2)} + \dots + Y^{(p)}$$

für alle Beobachtungen genügt wird.

Die bekannten Eigenschaften der Functionen  $Y^{(n)}$ , welche ihnen eine so ausgebreitete Anwendung verschafft haben, und die ist:

auf welchen auch das Wesentliche der hier anzugebenden Methode beruht, sind diese:

$$\int_{-1}^{+1} \int_0^{2\pi} Y^{(n)} Y^{(n')} dw d\mu = 0$$

so lange  $n$  und  $n'$  verschieden sind. Setzt man in dies Doppel-Integral die Werthe für die  $Y$ 's aus (1) führt die Integration nach  $w$  aus, so ergibt sich sogleich

$$\int_{-1}^{+1} X^{(n)} X^{(n')} d\mu = 0 \dots \dots \dots (4)$$

oder allgemein

$$\int (1-\mu^2)^{\frac{1}{2}} \frac{d^i X^{(n)}}{d\mu^i} \frac{d^j X^{(n')}}{d\mu^j} d\mu = 0 \dots \dots (5)$$

so lange  $n$  und  $n'$  verschieden sind. Wenn  $n = n'$ , so erhält man

$$(6) \dots \dots \dots \int_{-1}^{+1} (X^{(n)})^2 d\mu = \frac{4}{2n+1} \left( \frac{1 \cdot 2 \cdot 3 \dots n}{1 \cdot 3 \cdot 5 \dots 2n-1} \right)^2$$

und allgemein

$$(7) \dots \dots \dots \left( \frac{1}{n \cdot n-1 \cdot n-2 \dots n-(i-1)} \right)^2 \int_{-1}^{+1} (1-\mu^2)^i \left( \frac{d^i X^{(n)}}{d\mu^i} \right)^2 d\mu = \frac{2}{2n+1} \left( \frac{1 \cdot 2 \cdot 3 \dots n}{1 \cdot 3 \cdot 5 \dots 2n-1} \right)^2 \left( \frac{n+1 \cdot n+2 \dots n+i}{n \cdot n-1 \cdot n-2 \dots n-(i-1)} \right)^2$$

Die gegebenen Werthe  $F_{\alpha, \mu_i}$  sollen auf der Erdoberfläche vertheilt seyn auf eine Anzahl gleich weit von einander absteher Meridiane, und in jedem Meridian auf Breiten, für welche  $\mu$  die Werthe:  $\mu_1, \mu_2, \mu_3 \dots$  hat. Um die Gleichung (3) bis  $Y^{(p)}$  inclusive darzustellen, müssen die Meridiane von einander um den Winkel  $\frac{1}{p} \pi = \alpha$  entfernt seyn, und in Bezie-

hung auf die Werthe von  $\mu$  will ich vorläufig annehmen, daß sie von  $\mu_1$  bis  $\mu_{2p+1}$  gehen, so daß ihre Anzahl ist:  $2p+1$  ich werde später zeigen, daß bei einer schicklichen Wahl  $\mu$ 's die viel geringere Anzahl:  $p+1$  schon hinreicht.

Das gegebene System Beobachtungen ist also folgendes:

$$(8) \dots \dots \dots \begin{cases} F(0, \mu_1) & F(0, \mu_2) & F(0, \mu_3) & F(0, \mu_{2p+1}) \\ F(\alpha, \mu_1) & F(\alpha, \mu_2) & F(\alpha, \mu_3) & F(\alpha, \mu_{2p+1}) \\ F(2\alpha, \mu_1) & F(2\alpha, \mu_2) & F(2\alpha, \mu_3) & F(2\alpha, \mu_{2p+1}) \\ \vdots & \vdots & \vdots & \vdots \\ F((2p-1)\alpha, \mu_1) & F((2p-1)\alpha, \mu_2) & F((2p-1)\alpha, \mu_3) & F((2p-1)\alpha, \mu_{2p+1}) \end{cases}$$

Die horizontalen Reihen enthalten die Beobachtungen in denselben Meridianen, die verticalen diejenigen in denselben Parallelkreis. Bringt man (3) in die Form.

$$F(w, \mu) = C_0 + C_1 \cos w + S_1 \sin w + C_2 \cos 2w + S_2 \sin 2w + \dots$$

so erhält man nach dem bekannten Verfahren aus jeder verticalen Reihe von (8) die numerischen Werthe von  $C_0, C_1, \dots, S_2, S_3, \dots$  z. B. aus der ersten verticalen Reihe:

$$(9) \dots \dots \dots \begin{cases} C_0 = \frac{1}{2p} \sum_{m=0}^{2p-1} F(m\alpha, \mu_1) \\ C_1 = \frac{1}{p} \sum_{m=0}^{p-1} \cos \alpha F(m\alpha, \mu_1) & S_1 = \frac{1}{p} \sum_{m=0}^{p-1} \sin \alpha F(m\alpha, \mu_1) \\ C_2 = \frac{1}{p} \sum_{m=0}^{p-1} \cos 2\alpha F(m\alpha, \mu_1) & S_2 = \frac{1}{p} \sum_{m=0}^{p-1} \sin 2\alpha F(m\alpha, \mu_1) \end{cases}$$

Man erhält, indem man für  $\mu_1$  nach und nach setzt,  $\mu_2, \mu_3 \dots$  für jedes  $C$  und jedes  $S$  die Anzahl:  $2p+1$  Werthe, die ich in der Bezeichnung nicht weiter unter-

scheiden will, um die Zeichen nicht zu sehr zu baulen. Die analytischen Werthe dieser  $C_0, C_1, C_2 \dots S_1, S_2 \dots$  sind folgende:

$$(10) \dots \dots \dots \begin{cases} C_0 = B_0^{(0)} X + B_0^{(1)} X + B_0^{(2)} X + B_0^{(3)} X + B_0^{(4)} X + \dots + B_0^{(p)} X \\ C_1 = (1-\mu^2)^{\frac{1}{2}} \left\{ B_1^{(1)} X + \frac{B_1^{(2)} X}{2} + \frac{B_1^{(3)} X}{3} + \frac{B_1^{(4)} X}{4} + \dots + \frac{B_1^{(p)} X}{p} \right\} \\ C_2 = (1-\mu^2)^{\frac{3}{2}} \left\{ \frac{B_2^{(2)} X}{1 \cdot 2} + \frac{B_2^{(3)} X}{2 \cdot 3} + \frac{B_2^{(4)} X}{3 \cdot 4} + \dots + \frac{B_2^{(p)} X}{p-1 \cdot p} \right\} \\ C_3 = (1-\mu^2)^{\frac{5}{2}} \left\{ \frac{B_3^{(3)} X}{1 \cdot 2 \cdot 3} + \frac{B_3^{(4)} X}{2 \cdot 3 \cdot 4} + \dots + \frac{B_3^{(p)} X}{p-2 \cdot p-1 \cdot p} \right\} \\ C_4 = (1-\mu^2)^{\frac{7}{2}} \left\{ \frac{B_4^{(4)} X}{1 \cdot 2 \cdot 3 \cdot 4} + \dots + \frac{B_4^{(p)} X}{p-3 \cdot p-2 \cdot p-1 \cdot p} \right\} \\ \vdots \\ C_p = (1-\mu^2)^{\frac{p}{2}} \left\{ \frac{B_p^{(p)} X}{1 \cdot 2 \dots p} \right\} \end{cases}$$

Die Werthe von  $S_1, S_2, \dots$  erhält man aus denen für  $C_1, C_2, \dots$  was überall statt  $B$  gesetzt wird:  $A$ . In nachdem  $C_1, C_2, \dots, S_1, S_2, \dots$  aus der ersten, zweiten etc. verticalen Reihe der Beobachtungen (8) bestimmt worden ist, hat man auf der rechten Seite dieser Gleichungen (10) zu setzen:  $\mu, \mu^2$  etc., so daß die Anzahl von jeder dieser Gleichungen  $2p+1$  ist, und die Anzahl sämtlicher Gleichungen ist  $2(p+1)$ .

Es handelt sich nun darum, aus diesem System von Gleichungen die Coefficienten  $B_0^{(0)}, B_0^{(1)}, B_0^{(2)}, \dots, B_1^{(0)}, B_1^{(1)}, B_1^{(2)}, \dots, A_1^{(0)}, A_1^{(1)}, A_1^{(2)}, \dots$  zu bestimmen. Dies geschieht auf folgende einfache Weise. Es sei  $a_1, a_2, a_3, \dots, a_{2p+1}$  ein System willkürlicher Größen, und es werde die Summe  $a_1\mu^0 + a_2\mu^1 + a_3\mu^2 + \dots + a_{2p+1}\mu^{2p+1}$  bezeichnet mit  $\Sigma a\mu^n$ . Man genüge nun durch die  $a$ 's und  $\mu$ 's folgendem System von  $2(p+1)$  Gleichungen:

$$(11) \dots \dots \dots \begin{cases} \Sigma a &= 1 \\ \Sigma a\mu &= 0 \\ \Sigma a\mu^2 &= \frac{1}{2} \\ \Sigma a\mu^3 &= 0 \\ \Sigma a\mu^4 &= \frac{1}{24} \\ \vdots & \vdots \\ \Sigma a\mu^{2p} &= \frac{1}{2p+1} \\ \Sigma a\mu^{2p+1} &= 0 \end{cases}$$

In diesem Systeme, welches viel mehr Größen, über welche man verfügen kann, enthält, als Gleichungen, können die  $\mu$ 's bis auf eine willkürlich gewählt, und die Bestimmung der  $a$ 's von ihnen abhängig gemacht werden. Ich werde hernach zeigen, welche Werthe der  $\mu$ 's die vortheilhaftesten sind.

In Bezug auf (11) gelten nun folgende Sätze:

$$(12) \dots \dots \dots \Sigma a X^{(n)} X^{(n')} = 0$$

Diese Summe genommen in Beziehung auf das ganze System  $\mu$ 's und respectiven  $a$ 's, durch welchen den Gleichungen (11) genügt ist, so lange  $n$  und  $n'$  verschieden sind und  $n+n'$  nicht größer, als  $2p+1$ . Wenn  $n=n'$ , so hat man für diese Summe

$$(13) \dots \dots \dots \Sigma a (X^n)^2 = \frac{2}{2n+1} \left( \frac{1 \cdot 2 \cdot 3 \dots n}{1 \cdot 3 \cdot 5 \dots 2n-1} \right)^2$$

Den so hat man, die Summe in demselben Sinne genommen, allgemein:

$$(14) \dots \dots \dots \Sigma a (1-\mu^2)^t \frac{d^t X^{(n)}}{d\mu^t} \frac{d^t X^{(n')}}{d\mu^t} = 0$$

so lange  $n$  und  $n'$  verschieden sind und ihre Summe kleiner als  $2p+1$  ist. Wenn  $n=n'$ , so ist

$$\left( \frac{1}{n \cdot n-1 \dots n-(i-1)} \right)^2 \Sigma a (1-\mu^2)^t \left( \frac{d^i X^{(n)}}{d\mu^i} \right)^2 \Bigg\} = \frac{1}{2n+1} \left( \frac{1 \cdot 2 \cdot 3 \dots n}{1 \cdot 3 \cdot 5 \dots 2n-1} \right)^2 \left( \frac{n+t \cdot n+2 \dots n+1}{n \cdot n-1 \dots n-(i-1)} \right)^2 \quad (15)$$

Den Beweis für diese Sätze (12), (13), (14), (15) zieht man unmittelbar aus denen in (4), (5), (6), (7). In der That substituiren wir in

$$\int_{-1}^{+1} X^{(n)} X^{(n')} d\mu$$

für  $X^{(n)}$  und  $X^{(n')}$  ihre Werthe aus (2), führen dann die Multiplication aus, so erhalten wir eine Reihe von der Form:

$$X^{(n)} X^{(n')} = \mu^{n+n'} - \alpha \mu^{n+n'-2} + \beta \mu^{n+n'-4} \dots \quad (16)$$

Integriren wir diese Gleichungen nach  $\mu$  zwischen  $-1$  und  $+1$ , so verschwindet das Integral von selbst, wenn  $n+n'$  eine ungerade Zahl ist; wenn dies aber eine grade Zahl ist, erhalten wir

$$\int_{-1}^{+1} X^{(n)} X^{(n')} d\mu = 2 \left( \frac{1}{n+n'+1} - \frac{\alpha}{n+n'-1} + \frac{\beta}{n+n'-3} - \dots \right)$$

Diese Größe ist nach (4) = 0. Nehmen wir jetzt die Summe

$$\Sigma a X^{(n)} X^{(n')} = \Sigma a (\mu^{n+n'} - \alpha \mu^{n+n'-2} + \beta \mu^{n+n'-4} - \dots)$$

in Beziehung auf das ganze System  $\mu$ 's und respectiven  $a$ 's, durch welches den Gleichungen (11) Genüge geschieht, unter der Voraussetzung, daß  $n+n' < 2p+1$ . Substituirt man auf der rechten Seite für  $\Sigma a \mu^{n+n'}$ ,  $\Sigma a \mu^{n+n'-2}$ , etc. ihre Werthe aus (11), so ergibt sich, daß diese Summe von selbst verschwindet, wenn  $n+n'$  ungrade ist, und wenn  $n+n'$  grade ist, wird sie

$$\Sigma a X^{(n)} X^{(n')} = \left( \frac{1}{n+n'+1} - \frac{\alpha}{n+n'-1} + \frac{\beta}{n+n'-3} + \dots \right)$$

Diese Größe ist aber, wie wir eben gesehen haben = 0.

Ganz auf dieselbe Weise beweist sich (14) aus (5) und man übersieht sehr leicht, daß die Summen (13) und (15) die halben Werthe von den entsprechenden Integralen (6) u. (7) haben.

Mittels dieser Sätze (12), (13), (14), (15) bestimmt man die Coefficienten aus den Gleichungen (10) und denen ihnen zugehörigen ganz auf dieselbe Weise, wie bei den Sinus- und Cosinus-Reihen. Man findet

$$B_0^n = \frac{2n+1}{2} \left( \frac{1 \cdot 3 \cdot 5 \dots 2n-1}{1 \cdot 2 \cdot 3 \dots n} \right)^2 \sum_{\mu=\mu_1}^{\mu=2p+1} a C_\mu X^{(n)}$$

oder wenn für  $C_0$  sein Werth aus (9) gesetzt wird:

$$(17a) \dots B_0^{(n)} = \left( \frac{2n+1}{4p} \right) \left( \frac{1 \cdot 3 \cdot 5 \dots 2n-1}{1 \cdot 2 \cdot 3 \dots n} \right)^2 \sum_{\mu=0}^{n-2p+1} \sum_{m=0}^{n-2p-1} a V(m, \mu) X^{(n)}$$

und allgemein

$$B_i^{(n)} = (2n+1) \left( \frac{1 \cdot 3 \cdot 5 \dots 2n-1}{1 \cdot 2 \cdot 3 \dots n} \right)^2 \left( \frac{n \cdot n-1 \cdot n-2 \dots n-(i-1)}{n+1 \cdot n+2 \dots n+i} \right) \sum_{\mu=n-1-i}^i a C_\mu \frac{(1-\mu^2)^{\frac{q}{2}}}{d\mu} \frac{d^i X^{(n)}}{d\mu^i}$$

oder, wenn für  $C_\mu$  sein Werth aus (9) gesetzt wird:

$$(17b) \dots B_i^{(n)} = \frac{2n+1}{p} \left( \frac{1 \cdot 3 \cdot 5 \dots 2n-1}{1 \cdot 2 \cdot 3 \dots n} \right)^2 \left( \frac{n \cdot n-1 \cdot n-2 \dots n-(i-1)}{n+1 \cdot n+2 \dots n+i} \right) \sum_{\mu=n-1-i}^{n-2p+1} \sum_{m=0}^{n-2p-1} \frac{a \cos i\alpha (1-\mu^2)^{\frac{q}{2}}}{n \cdot n-1 \dots n-(i-1)} \frac{d^i X^{(n)}}{d\mu^i} V(m, \mu)$$

Die Werthe für  $A_i$  haben dieselbe Form als  $B_i$ , man hat nur statt  $C_\mu$  zu setzen,  $S_\mu$ , oder statt  $\cos i\alpha$  zu setzen:  $\sin i\alpha$ .

Ich habe bis jetzt angenommen, daß auf jedem Meridian  $2p+1$  willkürlich gelegene Beobachtungen gegeben sind, und daß diese Meridiane den Aequator in  $2p$  gleiche Theile theilen. Dadurch wurde zunächst der Zweck erreicht, daß alle Constanten der  $Y^{(n)}$  bis  $Y^{(p)}$  inclusive vollständig bestimmt wurden. Indes habe ich diese Annahme gemacht, mehr um die Vorstellung zu fixiren, als weil der Umstand, ob die  $Y^{(n)}$  alle vollständig, oder ob einige nur theilweise bestimmt werden, nicht unerheblich wäre. Bei der Anwendung wird sich häufig der Fall finden, wo es sogar zweckmäßig ist, von den höhern  $Y^{(n)}$  nur das von  $s$  unabhängige Glied, und die zunächst darauf folgenden zu bestimmen. Ich werde daher jetzt die Gleichungen (11) unter dem allgemeinen Gesichtspunct näher untersuchen, wo die Meridiane von  $q$  Parallelkreisen getheilt werden,  $q$  mag eine grade oder ungerade Zahl sein. Diese Gleichungen entwickelt geschrieben sind dann folgende:

$$(18) \dots \begin{cases} a_1 + a_3 + a_5 + \dots + a_q = 1 \\ a_1\mu_1 + a_3\mu_3 + a_5\mu_5 + \dots + a_q\mu_q = 0 \\ a_1\mu_1^3 + a_3\mu_3^3 + a_5\mu_5^3 + \dots + a_q\mu_q^3 = \frac{1}{2} \\ \vdots \\ a_1\mu_1^{q-1} + a_3\mu_3^{q-1} + a_5\mu_5^{q-1} + \dots + a_q\mu_q^{q-1} = \begin{cases} \frac{1}{q+1} \\ 0 \end{cases} \end{cases}$$

wo in der letzten Gleichung rechter Hand, je nachdem  $q$  grade oder ungrade ist, zu setzen ist  $\frac{1}{q+1}$  oder 0.

Die Anzahl dieser Gleichungen ist  $q+1$ , die Anzahl der zur Verfügung stehenden Größen ist  $2q$ , die  $\mu$ 's sind also nicht ganz willkürlich, sondern es existirt eine Relation zwischen ihnen. Man kann aber die letzte der Gleichungen in (18) ganz ohne erheblichen Nachtheil unberücksichtigt lassen, wodurch ihre Anzahl sich auf  $q$  reducirt, und die  $\mu$ 's also ganz willkürlich gewählt werden können.

Genügt man den Gleichungen auf diese Weise, so bestimmt man in (10) die  $B_i$ , wenn  $q$  ungrade ist, bis  $B^{\frac{q-1}{2}}$  inclusive, und wenn  $q$  grade ist bis  $B^{\frac{q}{2}}$  exclusive. Man

kann aber statt die  $\mu$ 's willkürlich anzunehmen, den Gleichungen in (18) noch  $q-1$  Bedingungen hinzufügen, und man kann diese Bedingungen dahin richten, daß in (10) alle  $B_i$  bis  $B_i^{(q-1)}$  ihre Bestimmung erhalten, d. h. man kann durch eine zweckmäßige Verfügung über die willkürlichen  $\mu$ 's dieselbe Anzahl Glieder in (19) durch die halbe Anzahl Beobachtungen bestimmen. Diese Bedingungen werden dadurch ausgedrückt, daß man den Gleichungen (18) noch  $q-1$  ähnliche Gleichungen hinzufügt, d. h. sie fortsetzt bis zur  $2q-1$ ten Potenz der  $\mu$ 's. Sie verwandeln sich demnach in folgende:

$$\begin{cases} a_1 + a_3 + a_5 + \dots + a_q = 1 \\ a_1\mu_1 + a_3\mu_3 + a_5\mu_5 + \dots + a_q\mu_q = 0 \\ a_1\mu_1^3 + a_3\mu_3^3 + a_5\mu_5^3 + \dots + a_q\mu_q^3 = \frac{1}{2} \\ \vdots \\ a_1\mu_1^{q-1} + a_3\mu_3^{q-1} + a_5\mu_5^{q-1} + \dots + a_q\mu_q^{q-1} = 0 \end{cases} \quad (19)$$

aus welchen die  $\mu$ 's und  $a$ 's zu bestimmen sind. Die Theile dieser Gleichungen rechter Hand haben die Form der Glieder einer recurrenten Reihe, woraus erhellt, daß die  $\mu$ 's die Wurzeln einer algebraischen Gleichung vom  $q$ ten Grade sind. Es sei diese Gleichung:

$$X^q + a_1x^{q-1} + a_2x^{q-2} + \dots + a_q = 0 \dots (20)$$

Unterscheiden wir vorläufig die zwei Fälle: erstens, wo  $q$  eine grade Zahl, zweitens wo  $q$  eine ungrade Zahl ist.

1.  $q$  sei eine grade Zahl. Die Coefficienten aller ungraden Potenzen von  $x$  in (20) werden  $= 0$ ; die Coefficienten der graden Potenzen werden zufolge der bekannten Eigenschaften recurrender Reihen durch folgende Relationen bestimmt:

$$\begin{cases} 0 = \frac{1}{q+1} + \frac{a_2}{q-1} + \frac{a_4}{q-3} + \dots + \frac{a_q}{q-1} \\ 0 = \frac{1}{q+3} + \frac{a_2}{q+1} + \frac{a_4}{q-1} + \dots + \frac{a_q}{q-3} \\ 0 = \frac{1}{q+5} + \frac{a_2}{q+3} + \frac{a_4}{q+1} + \dots + \frac{a_q}{q-5} \\ \vdots \\ 0 = \frac{1}{2q-1} + \frac{a_2}{2q-3} + \frac{a_4}{2q-5} + \dots + \frac{a_q}{q-1} \end{cases} \quad (21)$$

2.  $q$  sei eine ungrade Zahl. Jetzt sind in (20) die Coefficienten aller graden Potenzen von  $X = 0$ , so daß in diesem Falle eine Wurzel von (20) immer  $= 0$  ist. Für die Coefficienten der ungraden Potenzen:  $a_2, a_4 \dots$  erhält man folgende Relationen:

$$\left\{ \begin{aligned} 0 &= \frac{1}{q+2} + \frac{a_2}{q} + \frac{a_4}{q-2} + \dots + \frac{a_{q-1}}{3} \\ 0 &= \frac{1}{q+4} + \frac{a_4}{q+2} + \frac{a_6}{q} + \dots + \frac{a_{q-1}}{5} \\ 0 &= \frac{1}{q+6} + \frac{a_6}{q+4} + \frac{a_8}{q+2} + \dots + \frac{a_{q-1}}{7} \\ &\vdots \\ 0 &= \frac{1}{2q-1} + \frac{a_2}{2q-3} + \frac{a_4}{2q-5} + \dots + \frac{a_{q-1}}{q} \end{aligned} \right.$$

Ich werde jetzt nachweisen, daß die Gleichung (20), deren Wurzeln die durch (19) bestimmt werdenden  $\mu$ 's sind, immer  $q$  mal grade oder ungrade seyn, identisch ist mit

$$X^{(q)} = 0$$

Aus dem Satz (4):

$$\int_{-1}^{+1} X^{(q)} X^{(q')} d\mu = 0$$

verausgesetzt, daß  $q$  und  $q'$  verschieden sind, leitet man, indem für  $X^{(q)}$  nach und nach  $X^{(0)}, X^{(1)}, X^{(2)} \dots X^{(q-1)}$  gesetzt wird, leicht ab:

$$(23) \dots \dots \dots \int_{-1}^{+1} X^{(q)} \mu^q d\mu = 0$$

wenn  $q$  irgend eine ganze Zahl, die aber kleiner sein muß als  $q$ , bedeutet. Der Umstand, daß  $X^{(q)}$  eine ganze algebraische Function von der Ordnung  $q$  ist, verbunden mit der Eigenschaft (23) bestimmt diese Function vollständig bis auf einen constanten Factor, auf den es hier nicht weiter ankömmt. Es sei nun  $q$  eine grade Zahl,  $X^{(q)}$  enthält alsdann nur grade Potenzen von  $\mu$  und es sei

$$X^{(q)} = \mu^q + A_2 \mu^{q-2} + A_4 \mu^{q-4} + \dots + A_q$$

Multiplizieren wir diese Gleichung nach und nach mit  $\mu^0, \mu^2, \mu^4 \dots \mu^{q-2}$  und nehmen jedesmal das Integral zwischen  $\mu = -1$  und  $\mu = +1$ , so erhalten wir zufolge (23):

$$\left\{ \begin{aligned} 0 &= \frac{1}{q+1} + \frac{A_2}{q-1} + \frac{A_4}{q-3} + \dots + \frac{A_q}{1} \\ 0 &= \frac{1}{q+3} + \frac{A_2}{q+1} + \frac{A_4}{q-1} + \dots + \frac{A_q}{3} \\ &\vdots \\ 0 &= \frac{1}{2q-1} + \frac{A_2}{2q-3} + \frac{A_4}{2q-5} + \dots + \frac{A_q}{q-1} \end{aligned} \right.$$

Dies ist aber dasselbe System Gleichungen, als in (21), woraus folgt, daß  $X^{(q)} = 0$  identisch ist mit der Gleichung (20).

Wenn  $q$  ungrade ist, enthält  $X^{(q)}$  nur ungrade Potenzen von  $\mu$ ; es sei

$$X^{(q)} = \mu^q + A_2 \mu^{q-2} + \dots + A_{q-1} \mu$$

Multiplizieren wir diese Gleichung nach und nach mit  $\mu^1, \mu^3, \dots, \mu^{q-3}$ , integrieren jedesmal zwischen  $-1$  und  $+1$ , so erhalten wir nach (23) ein System Gleichungen zwischen  $A_2, A_4 \dots$  welches übereinstimmt mit (22), so daß also auch in diesem Falle die Identität zwischen (20) und  $X^{(q)} = 0$  nachgewiesen ist.

Ich will jetzt noch bemerken, daß wenn eine Function:  $F(x)$ , für welche, zwischen  $x = A$  und  $x = B$ ,  $q$  einzelne Werthe gegeben sind, zwischen diesen Grenzen  $A$  und  $B$  dargestellt werden soll, man in vielen Fällen sich der Reihe

$$F(x) = B^{(0)} X^{(0)} + B^{(1)} X^{(1)} + B^{(2)} X^{(2)} \dots \dots (24)$$

als einer sehr zweckmäßigen Interpolations-Formel bedienen wird. Setzt man nemlich  $x = \frac{1}{2}(A+B) - \frac{1}{2}(A-B)\mu$ , so verwandelt sich  $F(x)$  in eine Function von  $\mu$ , welche zwischen  $\mu = -1$  und  $\mu = +1$  darzustellen ist. Wenn nun die  $x$ , in Beziehung auf welche die Werthe gegeben sind, so gewählt sind, daß die ihnen entsprechenden  $\mu$  die Wurzeln der Gleichung  $X^{(q)} = 0$  sind, so giebt die Anwendung der entwickelten Methode in (24) alle Coefficienten bis  $B^{(q)}$  exclusive. Die Anwendung der Methode der kleinsten Quadrate zur Bestimmung der Coefficienten in (24) führt zu keinem andern Verfahren, und man ist also überhoben der so lästigen Auflösung der sonst durch diese Methode gegebenen Gleichungen. Wenn  $F(x)$  eine algebraische ganze Function von der Ordnung  $q-1$  ist, so wird sie durch (24) vollständig bestimmt; wenn dies nicht der Fall ist, muß man sich  $F\left(\frac{A+B}{2} + \frac{A-B}{2}\mu\right)$  in eine Reihe

nach den steigenden Potenzen von  $\mu$  entwickelt denken, die hinlänglich convergirt, um die  $q$ te und die höhern Potenzen vernachlässigen zu können. Diese vernachlässigten Glieder üben einen Einfluß auf die Werthe, welche man für  $B^{(0)}, B^{(1)}, B^{(2)} \dots$  erhält, aus, der aber um so geringer ist, je niedriger die Stellenzahl der  $B$  ist. So ist  $B^{(0)}$  genau bis auf diejenigen Glieder, deren Exponent in der Entwicklung von  $F\left(\frac{A+B}{2} - \frac{A-B}{2}\mu\right)$  gleich oder größer als  $2q$  ist, und allgemein:  $B^{(m)}$  ist genau bis auf die Glieder, deren Exponent gleich oder größer als  $2q-m$  ist. Grade aus diesem Umstande, daß die ersten Glieder mit viel größerer Genauigkeit bestimmt werden, läßt sich oft nicht unerheblicher Nutzen ziehen. Wenn z. B. das Integral  $\int F(x) dx$  zwischen  $A$  und  $B$  aus den gegebenen  $q$  Beobachtungen gefunden werden soll, so ist dieses  $= (B-A) B^{(0)}$  und also genau bis auf die Glieder in der Entwicklung von  $F\left(\frac{A+B}{2} - \frac{A-B}{2}\mu\right)$  von der



Ordnung 2g, vorausgesetzt, daß die gegebenen Werthe von  $Fx$  auf Abcissen fallen, deren zugehörige  $\mu$ 's die Wurzeln von  $X^{(q)} = 0$  sind. Es seien diese gegebenen Werthe  $M_1, M_2, \dots, M_g$ , so ist also

$$\int_a^b Fx \, ds = (B-A) \{ a_1 M_1 + a_2 M_2 + \dots + a_g M_g \}$$

wo die  $a$ 's aus (18) bestimmt werden müssen. Diese Integrationsmethode, die sich hier gleichsam von selbst darbietet, ist genau dieselbe, welche Herr Hofrath Gauss in seiner Abhandlung: *Methodus nova integralium etc.* (Comm. Soc. Reg. Gött. recent. Vol. III) entwickelt hat, ausgehend grade von der Forderung, dies Integral bis auf Glieder von der Ordnung 2g

genau zu erhalten. In dieser Abhandlung findet man die Wurzeln der Gleichungen, von denen die  $\mu$ 's abhängen, bis  $X^{(q)} = 0$ , und zugleich die Werthe der entsprechenden  $a$ 's. Diese  $a$ 's sind in der erwähnten Abhandlung mit  $R, R', \dots$  bezeichnet, und unsere  $\mu', \mu'', \dots$  erhält man aus den dortigen  $a, a', a'', \dots$  indem man diese  $a$ 's verdoppelt und von 1 abzieht.

Ueber vortheilhafte Anordnung der Rechnung bei Anwendung der entwickelten Methode, einige Hilfstafeln u. dgl. werde ich mich in einer spätern Mittheilung, wo ich diese Methode auf die Darstellung der Vertheilung des Erdmagnetismus anwenden werde, auslassen.

F. E. Neumann.

### Beobachtung der Sternschnuppen vom 20ten bis 26ten April 1838 von Dr. Benzenberg.

#### 1.

Herr Arago sagt im Annuaire vom Jahr 1836 S. 297, daß vom 20ten bis zum 24ten April 1803 und zwar wie er glaubte am 22ten April von 1 bis 3 Uhr Morgens eine große Menge Sternschnuppen in Virginien und Massachusetts sei gesehen worden, und zwar seien sie so häufig gewesen, daß sie in allen Richtungen wie ein Raketenregen zu sehen gewesen wären.

Dieses war um so merkwürdiger, da man immer noch glaubte, daß im Frühjahr die Sternschnuppen sehr selten wären, etwa 3 auf die Stunde von einem Beobachter.

Ich hatte mir nun vorgenommen diese Nächte beobachten zu lassen, um zu sehen, ob die Sternschnuppen so häufig erschienen, wie Herr Arago es sagte. Ich wurde hierin noch bestärkt, als ich von Herrn Dr. Olbers einen Brief erhielt, der am 16. April geschrieben war. Er sagte unter anderem: „Daß nach einer Mittheilung von Herrn Erie in Newhagen (Amerika), an Herrn Harris, dieser behauptete, daß besonders im April die Sternschnuppen sehr häufig erschienen.“

Wenn im April in Amerika die Sternschnuppen häufig sind, so muß dieses in Europa dasselbe sein; denn da die Erde in jeder Secunde  $4\frac{1}{2}$  Meilen auf ihrer Bahn fortgeht, so durchläßt sie in 6 $\frac{1}{2}$  Minuten ihren Durchmesser von 1719 Meilen.

Nach Herrn Arago wurden im Jahr 1803 eine außerordentliche Menge Sternschnuppen im April in Amerika gesehen, und zwar Morgens von 1 bis 3 Uhr. Da nun die Erde nach einem Jahr (365 Tagen 6 Stunden) wieder an denselben Orte ist, wo sie auch im vorigen Jahre war, so folgt hieraus, daß im Jahr 1804 um 7 Uhr Morgens diese Sternschnuppenercheinung statt

fund, die im vorigen Jahr um 1 Uhr stattgefunden hatte. Allein um 7 Uhr ist der Tag da, und man kann die Sternschnuppen der Sonne wegen nicht sehen, obsehon sie dann eben so häufig sind, wie des Nachts.

Dasselbe war der Fall im Jahr 1806, wo um 1 Uhr Nachmittags diese Sternschnuppenercheinung statt finden mußte. Im Jahr 1807 war die Erde um 7 Uhr Abends in der Lage, daß man die Sternschnuppenercheinung wahrnehmen konnte, und da diese Erscheinung von Abends 7 bis 9 Uhr dauerte, so konnte man in Amerika diese Sternschnuppen sehen.

Da nun in Düsseldorf der Unterschied zwischen dem Meridian von Massachusetts ungefähr 80° oder 5,3 Stunden ist, so ist es hier Mitternacht, wenn es in Amerika Abends 7 Uhr ist. Man konnte also hier eben so gut um Mitternacht diese Sternschnuppen sehen, wie in Amerika um 7 Uhr. Es war kein Mondlicht, und daher konnte der Mond nicht störend einwirken. Nur ist es schade, daß Herr Arago in Hinsicht des Tages nicht sicher ist, wo diese Erscheinung in Amerika stattfand. Er glaubte im 22ten April sei der Tag gewesen, allein den Tag mußte man aus durch die Beobachtungen finden, welche man vom 20ten bis zum 24ten April anstellte.

Jetzt folgen die Beobachtungen.

#### 2.

Beobachtung vom 22. April 1838 von Abends 8 $\frac{1}{2}$  Uhr bis Morgens 4 $\frac{1}{2}$  Uhr.

Der Himmel war an diesem Abende zum Theil dunkel. Bei den Beobachtungen ist die Terziumuhr nicht gebraucht worden, weil sie abgezeichnet wird.

## Bemerkungen.

Nr.	Zeit.	Bemerkungen.
1	8 <sup>45</sup>	5' Gröfse.
2	8 57	3' Gr., ging langsam.
3	9 15	4' Gr. Man konnte jetzt nur noch an einem kleinen Theile beobachten.
4	10 23	eine kleine.
5	10 40	1' Gr., hell, um 10 <sup>45</sup> ganz trübe. Um 11 Uhr etwas heller.
6	11 5	4' Gröfse.
7	11 9	eine kleine. Um 11 <sup>25</sup> war es ganz heiter.
8	11 24	5' Gröfse.
9	11 30	sehr klein.
10	12 1	3' Gröfse.
11	12 2	ebenso. Um 12 <sup>45</sup> wurde es dunkel, um 1 <sup>h</sup> wieder heller.
12	1 5	sehr klein.
13	1 14	2' Gr. Sehr hell.
14	1 35	4' Gr. Um 1 <sup>45</sup> trübe, um 2 <sup>h</sup> wieder hell.
15	2 7	5' Gr.
16	2 26	4' Gr. Um 2 <sup>45</sup> zum Theil trübe.
17	3 14	2' Gr., ging sehr langsam.

Da es nun die ganze Nacht ungefähr 2 Stunden 25 Minuten dunkel war, so kommen auf 8 Stunden 23 Sternschnuppen, demnach 3 auf die Stunde.

Die Anzahl der Sternschnuppen war also das tägliche, weil es 3 auf die Stunde ist.

## 3.

Beobachtung der Sternschnuppen vom 3<sup>1</sup>. April von 8<sup>1</sup> Uhr bis 3<sup>1</sup> Uhr.

Am 24<sup>ten</sup> April war es den Tag über trübe, aber Abends wurde es sich auf und es blieb die Nacht hell.

## Bemerkungen.

Nr.	Zeit.	Bemerkungen.
1	8 <sup>34</sup>	ganz klein.
2	9 8	2' Gröfse, sehr langsam.
3	9 37	5' Gr.
4	10 5	4' Gr.
5	10 45	sehr klein.
6	10 54	1' Gr.
7	11 29	5' Gr.
8	11 38	klein.
9	12 5	2' Gr.
10	12 11	klein.
11	12 15	1' Gr. mit kleinem Schweife.
12	12 34	3' Gr.
13	12 47	klein.
14	1 25	klein.
15	1 40	3' Gr. Diese ging im Zickzack.
16	1 46	klein.
17	2 20	sehr klein.
18	3 25	3' Gr., ging langsam.
19	3 38	5' Gr.

In 7<sup>1</sup> Stunden wurden 19 Sternschnuppen beobachtet. Also 3 auf die Stunde.

## 4.

Beobachtung von 3<sup>1</sup>. April von 9 Uhr Abends bis 3<sup>1</sup> Uhr Morgens.

Diese Nacht war es hell und kein Wölkchen zeigte sich. Diese Nacht die Terzinuhr gebraucht.

## Bemerkungen.

Nr.	Zeit.	Dauer.	Bemerkungen.
1	9 <sup>37</sup>	—	unbedeutend.
2	9 58	1 <sup>h</sup> 3 <sup>m</sup>	3' Gröfse.
3	10 27	— 57	5' Gr.
4	10 38	—	sehr klein.
5	10 47	1 3	2' Gr.
6	10 59	— 59	sehr klein.
7	11 30	1 12	2' Gr., sehr hell.
8	11 51	1 58	1' Gr., mit Schweif.
9	12 14	—	sehr klein.
10	12 20	—	ebenso.
11	12 41	— 48	5' Gr.
12	1 10	1 14	2' Gr.
13	1 15	— 49	5' Gr.
14	1 32	— 59	4' Gr.
15	2 1	— 58	dito.
16	2 20	1 2	2' Gr.
17	3 14	—	eine kleine.

Es waren also in 6<sup>1</sup> Stunden 17 Sternschnuppen sichtbar, oder 2<sup>1</sup> auf die Stunde.

## 5.

Beobachtung vom 3<sup>1</sup>. April von 8<sup>1</sup> Uhr Abends bis 1<sup>h</sup> 17 Minuten Morgens.

Diese Nacht war es meist trübe, und man konnte nur an einem Theile des Himmels beobachten. Aber es mußte dennoch, ungeachtet der Dunkelheit, beobachtet werden.

Nr.	Zeit.	Bemerkungen.
1	8 <sup>55</sup>	4' Gröfse. Die Luft war neblig.
2	9 50	sehr klein.
3	10 20	dito.
4	11 26	4' Gr. Von 12 bis 12 <sup>1</sup> Uhr dunkel.
5	11 46	5' Gr.
6	12 49	dito.
7	1 3	sehr klein.
8	1 17	klein.

Um 1<sup>h</sup> 30 Minuten wurde es ganz dunkel.

Wenn man nun 4 Beobachtungstunden annimmt, so kommen 2 Sternschnuppen auf die Stunde. Diese Nacht fand also auch kein Sternschnuppenregen Statt.

## 6.

Beobachtung vom 3<sup>1</sup>. April von 9 Uhr Abends bis Morgens 3<sup>1</sup> Uhr.

An diesem Abend war die Luft etwas trübe, man sah zwar die Sterne, aber bläß.

Nr.	Zeit.	Bemerkungen.
1	9 <sup>45</sup>	sehr klein, es war neblige Luft.
2	9 52	dito.
3	10 19	5' Gröfse.
4	10 42	eine kleine.
5	11 5	dito. Um 11 <sup>1</sup> Uhr ganz trübe.
6	1 31	eine kleine. Es war theilweise hell.
7	1 52	4' Gr. Jetzt war es ganz hell.
8	1 57	klein.
9	2 14	5' Gr.
10	2 23	3' Gr.

In 6<sup>1</sup> Stunden nur 10 Sternschnuppen, also auch kein Sternschnuppenregen.

Es scheint daher, daß in den von Herrn Arago beobachteten Nächten, nemlich vom 20<sup>ten</sup> bis zum 25<sup>ten</sup> April keine Sternschnuppennacht statt fand. Es muß also verschrieben sein, welches durch die Länge der Zeit (1803) sehr leicht möglich ist,

## 7.

Beobachtung vom  $\frac{3}{4}$  April von  $\frac{8}{4}$  Uhr Abends bis  $\frac{3}{4}$  Uhr Morgens.

In dieser Nacht war es sehr hell, doch waren nur wenige Sternschnuppen sichtbar.

Ein Beobachter sah in dieser Nacht nur 17 Sternschnuppen, Also  $\frac{2}{4}$  in jeder Stunde.

Nr.	Zeit.	Bemerkungen.
1.	8 <sup>48</sup> '	klein.
2.	9 34	3' Größe.
3.	9 47	2' Gr., hell, ging langsam.
4.	10 54	3' Größe.
5.	11 —	klein.
6.	11 25	sehr klein.
7.	11 7	klein.
8.	11 25	4' Gr.
9.	11 43	2' Gr., sehr schnell.
10.	12 16	sehr klein.
11.	12 30	klein.
12.	12 58	5' Gr.
13.	1 20	klein.
14.	1 24	4' Größe, ging langsam.
15.	1 50	sehr klein.
16.	2 5	klein.
17.	2 48	5' Gr.

Es regnete in der Nacht vom 26<sup>ten</sup> zum 27<sup>ten</sup> April, und die Luft war völlig undurchsichtig, aber wohl nur in einer Höhe von einer halben Stunde, denn jenseits dieser Wolkenschicht war es ganz hell. In der Nacht vom 27<sup>ten</sup> zum 28<sup>ten</sup> April war es wieder dunkel.

## 8.

## Ergebnisse.

1. Vom 20<sup>ten</sup> bis zum 21<sup>ten</sup> April wurden 17 Sternschnuppen gesehen, oder 3 auf die Stunde. Es wurden für die Zeit, daß es trübe war, 6 Sternschnuppen gerechnet.
2. Vom 21<sup>ten</sup> zum 22<sup>ten</sup> April wurden 19 Sternschnuppen gesehen, oder  $\frac{2}{4}$  auf die Stunde.
3. Vom 22<sup>ten</sup> zum 23<sup>ten</sup> April wurden 17 Sternschnuppen gesehen, oder  $\frac{2}{4}$  auf die Stunde.
4. Vom 23<sup>ten</sup> zum 24<sup>ten</sup> April zum Theil trüber Himmel und nur 8 Sternschnuppen.
5. Vom 24<sup>ten</sup> zum 25<sup>ten</sup> April ebenfalls zum Theil trübe und nur 10 Sternschnuppen.
6. Vom 25<sup>ten</sup> zum 26<sup>ten</sup> April wurden 17 Sternschnuppen gesehen, oder  $\frac{2}{4}$  auf die Stunde.

Man sieht also hieraus, daß vom 20<sup>ten</sup> bis zum 25<sup>ten</sup> April wenige Sternschnuppen waren, nemlich im Durchschnitt  $\frac{2}{4}$  auf die Stunde. Freilich macht hierbei der Tag einen großen Unterschied, denn von Morgens 4 Uhr bis Abends 8 Uhr war es Tag und man konnte in dieser Zeit keine Sternschnuppen sehen.

Die Sternschnuppennacht in Amerika, die im Jahr 1803 von Morgens 1 bis 3 Uhr stattfand, mußte im Jahre 1838 von 7 bis 9 Uhr Abends stattfinden, und in Düsseldorf von 12 bis 2 Uhr um Mitternacht.

Alles wohl erwogen, so bleibt nichts übrig als anzunehmen, daß sich Herr Arago geirrt habe, und dieser Irrthum muß sich mit der Zeit auffinden, denn die Beobachtungen in Düsseldorf waren sehr genau, ungeachtet sie einer ungewöhnlichen Austreibung unterworfen waren.

Mein Gehülfe blieb 6 Nächte nacheinander auf und schlief dann am Tage. Aber es war dennoch keine Kleinigkeit. Denn in den letzten Nächten gegen 2 oder 3 Uhr Morgens kam der Schlaf und er konnte denselben nur los werden, wenn er in Garten auf und ab spazieren ging. Zwar hoffte ich immer, daß um 12 Uhr Nachts die Erde so weit fortgerückt sey, daß eine Menge Sternschnuppen gesehen würden, und ich wartete insofern auf die Stunde, wenn man mich wecken würde, aber vergeblich, und erst um 2 oder 3 Uhr wurde ich wach, ich ging dann ans Fenster und vernahm, daß keine Sternschnuppennacht gewesen sei.

Herr Custodie, der im Jahr 1832 am  $\frac{1}{4}$  November in 3 Stunden 267 Sternschnuppen sah, war auch zum Theil aufgeblichen. Er wohnte nemlich in der Neustadt, wo er nach Süden eine unbeschränkte Aussicht in den Rhein hat, und also aus dem Fenster recht gut die Sternschnuppen beobachten konnte. Dieser sagte mir: daß er in diesen Nächten 2 bis 3 Stunden Acht gegeben habe, und er hätte dann nur 5 bis 7 Sternschnuppen gesehen.

In der Nacht vom 29<sup>ten</sup> April sah mein Gehülfe, weil es hell war, nur 7 Sternschnuppen in 3 Stunden. Also auch sehr wenige.

Es scheint daher, wenn im April Sternschnuppennächte kommen, daß diese sehr beschränkt sind, und höchstens nur 12 Stunden anhalten. Aber im August hat man schon die Sternschnuppen die 2mal 24 Stunden anhalten, und zwar ohne Unterbrechung z. B. den 9<sup>ten</sup>, 10<sup>ten</sup> und 11<sup>ten</sup> August. Hingegen vom 7<sup>ten</sup> zum 8<sup>ten</sup> Aug. sind nur sehr wenige Sternschnuppen; denn im vorigen Jahre sah ein Beobachter in dieser Nacht in 6 Stunden nur 11 Sternschnuppen.

In der Nacht vom 3<sup>ten</sup> zum 4<sup>ten</sup> Mai war der Mond 8 Tag alt, aber es war außerordentlich sternhelle. Es wurden zu dieser Zeit wenige Sternschnuppen gesehen. In 7 Stunden sah er nur 12.

Die Sternschnuppe Nr. 11 ging ganz senkrecht und sie ist wahrscheinlich auf unsere Erde, aber sie erlosch, und die Sternschnuppe ging nach ihrem Erlöschen noch immer eben so schnell. Aber unsichtbar.

Dr. Benzenberg.

Ueber eine neue Eigenschaft der Laplace'schen  $\chi^{(n)}$  und ihre Anwendung zur analytischen Darstellung derjenigen Phänomene, welche Functionen der geographischen Länge und Breite sind. Von Herrn Professor J. E. Neumann in Königsberg. p. 313.  
Beobachtung der Sternschnuppen vom 20ten bis 26ten April 1838. Von Herrn Dr. Benzenberg. p. 323.

# T a f e l n

zu

*Bessels Abhandlung über barometrisches Höhenmessen.*

§ § C D.

Dichtigkeiten dieser drei  
Drucke ausgesetzt werden,

keit  $D$  giebt:

$$0,9691 D = d D$$

$$1,1026 D = d_s D$$

$$0,5260 D = d_p D$$

en einer Ausgleichung un-

$$v_H d_H \dots \dots \dots (1)$$

itsprechen. Man hat näm-  
r Raumesinheit enthaltenen  
bestandtheile,  $D$ ,  $\delta$ ,  $\delta_s$ ,  $\delta_H$   
h die Voraussetzung der  
Raume:

$$n_s = \delta_H : m_H ; \dots \dots (2)$$

ke bezeichnen, welche das  
ese einzeln genommen, auf  
einschließenden Raumes  
esetz:

$$: \delta$$

$$: \delta_s$$

$$: \delta_H$$

$$= p_H : v_H$$

$$\delta_H = v_H d_H D$$

$\delta_s$ ,  $\delta_H$  in die obige Pro-

$$m_H = v_H d_H M$$

ie Relation (1). Damit  
nd  $d_s$  ein wenig geändert  
in 1,1048 verwandelt.

Luft, nämlich des Ge-  
z und *Arago* bestimmt.  
sich an der Oberfläche  
umelzenden Eises unter

Es scheint daher, daß in den Nächten, nemlich vom 20<sup>ten</sup> bis 24<sup>ten</sup> Sternschuppen statt fand. Es mußtes durch die Länge der Zeit (1803,

7.

Beobachtung vom 22. April von L. Morgens.

In dieser Nacht war es sehr Sternschuppen sichtbar.

Ein Beobachter sah in dieser Also 2½ in jeder Stunde.

Nr.	Zeit.	Bemerk.
1	8 <sup>h</sup> 48'	klein.
2	9 34	5' Größe.
3	9 47	2' Gr., hell
4	10 54	3' Größe.
5	11 —	klein.
6	11 25	sehr klein.
7	11 7	klein.
8	11 25	4' Gr.
9	11 43	2' Gr., sehr
10	12 16	sehr klein.
11	12 20	klein.
12	12 58	5' Gr.
13	1 20	klein.
14	1 24	4' Größe, g'
15	1 60	sehr klein.
16	2 5	klein.
17	2 48	6' Gr.

Es regnete in der Nacht vi die Luft war völlig undurchsichtig von einer halben Stunde, denn je es ganz hell. In der Nacht von wieder dunkel.

§

Erge!

1. Vom 20<sup>ten</sup> bis zum 2<sup>ten</sup> pen gesehen, oder 3 auf die 2 daß es trübe war, 6 Sternschuppen.
2. Vom 21<sup>ten</sup> zum 22<sup>ten</sup> gesehen, oder 2½ auf die Sternschuppen.
3. Vom 22<sup>ten</sup> zum 23<sup>ten</sup> gesehen, oder 2½ auf die Sternschuppen.
4. Vom 23<sup>ten</sup> zum 24<sup>ten</sup> und nur 8 Sternschuppen.
5. Vom 24<sup>ten</sup> zum 25<sup>ten</sup> und nur 10 Sternschuppen.
6. Vom 25<sup>ten</sup> zum 26<sup>ten</sup> gesehen, oder 2½ auf die Sternschuppen.

Ueber eine neue Eigenschaft d Functionen der geograph. Beobachtung der Sternschuppen.

## T a f e l l

Argument =  $\tau + \tau'$  (Centesimalscale)

$\tau + \tau'$	0,00375 $\log V$	$\log W$	0,003648 $\log V$	$\tau + \tau'$	0,00375 $\log V$	$\log W$	0,003648 $\log V$
-20	3,95747	9,3501	3,95793	20	3,99014	9,9096	3,98971
-19	3,95832	9,3646	3,95875	21	3,99093	9,9229	3,99048
-18	3,95916	9,3792	3,95958	22	3,99171	9,9362	3,99124
-17	3,96001	9,3937	3,96040	23	3,99249	9,9495	3,99200
-16	3,96085	9,4083	3,96122	24	3,99328	9,9628	3,99277
-15	3,96169	9,4227	3,96203	25	3,99406	9,9760	3,99353
-14	3,96253	9,4372	3,96285	26	3,99484	9,9892	3,99428
-13	3,96337	9,4516	3,96366	27	3,99561	0,0023	3,99504
-12	3,96420	9,4660	3,96447	28	3,99639	0,0165	3,99580
-11	3,96504	9,4803	3,96529	29	3,99715	0,0285	3,99655
-10	3,96587	9,4946	3,96610	30	3,99794	0,0416	3,99731
-9	3,96670	9,5089	3,96690	31	3,99871	0,0546	3,99806
-8	3,96753	9,5232	3,96771	32	3,99948	0,0677	3,99881
-7	3,96836	9,5374	3,96851	33	4,00026	0,0806	3,99956
-6	3,96918	9,5516	3,96932	34	4,00102	0,0936	4,00031
-5	3,97001	9,5657	3,97012	35	4,00179	0,1065	4,00106
-4	3,97083	9,5799	3,97092	36	4,00255	0,1193	4,00180
-3	3,97165	9,5940	3,97172	37	4,00332	0,1322	4,00255
-2	3,97247	9,6080	3,97252	38	4,00408	0,1450	4,00329
-1	3,97329	9,6221	3,97332	39	4,00484	0,1578	4,00403
0	3,97411	9,6361	3,97411	40	4,00560	0,1705	4,00477
1	3,97493	9,6500	3,97490	41	4,00636	0,1833	4,00551
2	3,97574	9,6640	3,97570	42	4,00712	0,1960	4,00625
3	3,97655	9,6779	3,97649	43	4,00787	0,2086	4,00699
4	3,97736	9,6918	3,97728	44	4,00863	0,2212	4,00772
5	3,97817	9,7056	3,97806	45	4,00938	0,2338	4,00846
6	3,97898	9,7194	3,97885	46	4,01013	0,2464	4,00919
7	3,97979	9,7332	3,97963	47	4,01088	0,2589	4,00992
8	3,98059	9,7470	3,98042	48	4,01163	0,2714	4,01066
9	3,98140	9,7607	3,98120	49	4,01238	0,2839	4,01139
10	3,98220	9,7744	3,98198	50	4,01313	0,2963	4,01211
11	3,98300	9,7880	3,98276	51	4,01388	0,3087	4,01284
12	3,98380	9,8017	3,98354	52	4,01462	0,3211	4,01357
13	3,98460	9,8153	3,98431	53	4,01536	0,3335	4,01429
14	3,98539	9,8288	3,98509	54	4,01611	0,3458	4,01502
15	3,98619	9,8424	3,98586	55	4,01685	0,3581	4,01574
16	3,98698	9,8560	3,98663	56	4,01759	0,3703	4,01646
17	3,98777	9,8693	3,98741	57	4,01832	0,3824	4,01718
18	3,98856	9,8828	3,98818	58	4,01906	0,3946	4,01790
19	3,98935	9,8962	3,98894	59	4,01980	0,4068	4,01862
20	3,99014	9,9095	3,98971	60	4,02053	0,4189	4,01933

### Bemerkungen über barometrisches Höhenmessen.

Von Herrn Geheimen-Rath und Ritter Bessel.

(Hiebei eine Beilage.)

#### 1.

Die Atmosphäre der Erde ist bekanntlich aus Stickstoffgas, Sauerstoffgas, Kohlensäuregas und Wasserdampf zusammengesetzt, und es wird angenommen, daß diese Bestandtheile derselben keine chemische Wirkung aufeinander äussern, oder daß willährliche Massen derselben, zusammengemischt, unter gleichen Drucke und in gleicher Wärme, einen Raum füllen, welcher der Summe der von den einzelnen gefüllten Räume gleich ist. Wenn die Bestandtheile der Atmosphäre zu allen Zeiten und in allen Höhen, in einem gleichen Verhältnisse vermischet angenommen werden, so ist die Kenntniß dieses Verhältnisses, insofern es sich um die Bedingungen ihres Gleichgewichts handelt, nöthig; wenn man aber die Freiheit behalten will, den Untersuchungen darüber auch andere Voraussetzungen zum Grunde zu legen, so darf man die Art der Zusammensetzung der Atmosphäre nicht stillschweigend übergehen.

Die drei Gasarten, welche sich in der Atmosphäre befinden, können vielleicht, an einem bestimmten Punkte der Oberfläche der Erde, nicht immer in genau gleichem Verhältnisse vorhanden sein; allein die Veränderungen, welche dieses Verhältnisse von einer Zeit zur andern erfährt, sind jedenfalls so klein, daß sie, durch die Methoden der Chemie, nur in Folge der wiederholter Versuche entdeckt werden können; nicht mit größer Leichtigkeit, daß man das stattfindende Verhältnisse in jedem einzelnen Falle durch Beobachtung erkennbar machen könnte. Man muß also ein bestimmtes Verhältnisse annehmen.

Nach der Angabe von *Berzelius* sind die Räume, welche die drei Gasarten, in der Reihenfolge, in welcher ich sie oben angeführt habe, einnehmen, in dem Verhältnisse:

$$77,96 : 21,15 : 0,07;$$

oder der Raum 1 trockner atmosphärischer Luft, an der Oberfläche der Erde, wird gefüllt durch:

$$v = 0,76605 \text{ Stickstoffgas}$$

$$v_s = 0,21325 \text{ Sauerstoffgas}$$

$$v_n = 0,00070 \text{ Kohlensäuregas.}$$

Derselbe große Chemiker giebt die Dichtigkeiten dieser drei Gasarten, wenn sie alle demselben Drucke ausgesetzt werden, welcher ihrem Gemische eine Dichtigkeit  $D$  giebt:

$$\text{des Stickstoffgases} \dots\dots = 0,9691 D = d D$$

$$\text{des Sauerstoffgases} \dots\dots = 1,1026 D = d_s D$$

$$\text{des Kohlensäuregases} \dots\dots = 0,5260 D = d_n D$$

Diese 6 Zahlen bedürfen indessen einer Ausgleichung untereinander, indem sie die Relation:

$$1 = v d + v_s d_s + v_n d_n \dots\dots\dots (1)$$

der sie entsprechen müssen, nicht entsprechen. Man hat nämlich, wenn  $M, m, m_s, m_n$  die in der Raumeinheit enthaltenen Masse des Gemisches und seiner Bestandtheile,  $D, d, d_s, d_n$  ihre Dichtigkeiten bezeichnen, durch die Voraussetzung der gleichförmigen Vertheilung in diesem Raume:

$$D : M = d : m = d_s : m_s = d_n : m_n; \dots\dots\dots (2)$$

ferner, wenn  $P, p, p_s, p_n$  die Drücke bezeichnen, welche das Gemisch und seine Bestandtheile, diese einzeln genommen, auf die Einheit der Oberfläche des sie einschließenden Raumes ausüben, durch das *Mariottesche Gesetz*:

$$P : d D = p : d$$

$$P : d_s D = p_s : d_s$$

$$P : d_n D = p_n : d_n$$

und auch,

$$P : 1 = p : v = p_s : v_s = p_n : v_n$$

also

$$d = v d D; d_s = v_s d_s D; d_n = v_n d_n D$$

Setzt man diese Ausdrücke von  $d, d_s, d_n$  in die obige Proportion (2), so erhält man:

$$m = v d M, m_s = v_s d_s M, m_n = v_n d_n M$$

und, da  $M = m + m_s + m_n$  ist, die Relation (1). Damit ihr entsprochen werde, habe ich  $d$  und  $d_s$  ein wenig geändert und das erstere in 0,9711, das andere in 1,1048 verwandelt.

Die Dichtigkeit der atmosphärischen Luft, nämlich des Gemisches der drei Gasarten, haben *Biot* und *Arago* bestimmt. Sie haben gefunden, daß sie, wenn sie sich an der Oberfläche der Erde und in der Wärme des schmelzenden Eises unter

dem Drucke, welchen eine gleich warme Quecksilbersäule von 336,905 Pariser Linien Höhe unter dem 45<sup>ten</sup> Grade der Polhöhe äußert, befindet, 10466,8mal leichter ist als Quecksilber. Unter diesen Umständen ist also das obige

$$D = \frac{1}{10466,8}.$$

Se wie die Wärme zunimmt, nimmt auch die spezifische Elasticität der Luft zu, oder der Raum, den eine Masse Luft einnimmt, vergrößert sich bei gleichbleibendem Drucke. Gay-Lussac hat das merkwürdige Resultat gefunden, daß die spezifische Elasticität aller Gasarten und Dämpfe, bei gleicher Aenderung der Wärme, sich gleichviel verändert und daß diese Aenderung den Graden des Quecksilberthermometers proportional ist. Wenn sie für die Wärme des schmelzenden Eises = 1, und ihre Aenderung für eine, einem Grade der Thermometerscale entsprechenden Aenderung der Wärme =  $k$  gesetzt wird, so ist also ihr Werth für die Angabe  $t$  des Thermometers:

$$E = 1 + kt.$$

Für die Wärme des siedenden Wassers fand Gay-Lussac  $E = 1,375$ .

Zu den drei Gasen gesellt sich in der Atmosphäre noch Wasserdampf, und es ist bekannt, daß er in veränderlicher Menge, welche in jedem besonderen Falle nur durch einen Versuch bestimmt werden kann, vorhanden ist. Was sich hierauf bezieht, werde ich später berühren, zuerst aber die atmosphärische Luft als trocken betrachten.

## 2.

Die barometrischen Höhenmessungen beruhen auf der Vergleichung des beobachteten Verhältnisses der Drücke der Luft in verschiedenen Höhen, mit dem Ausdrücke, welche die Bedingung des Gleichgewichts der Luft dafür giebt. Obgleich dieser Ausdruck in der Mécanique Céleste, und später in vielen anderen Schriften, entwickelt worden ist, so werde ich seine Entwicklung doch auch hier nicht unterlassen: es wird mir dadurch leichter werden, sowohl eine kleine Veränderung anzubringen, als später Verkommendes anzuknüpfen.

Das Mariottesche Gesetz fordert, daß die Dichtigkeit  $\delta$  der Luft, in dem Verhältnisse des Druckes  $p$ , den sie erfährt und folglich, im Gleichgewichte, selbst wieder ausübt, und in dem umgekehrten Verhältnisse ihrer spezifischen Elasticität  $E$ , oder daß

$$\frac{\delta \cdot E}{p}$$

beständig ist. Hierbei ist Luft von gleicher Beschaffenheit in allen Höhen, vorausgesetzt. Nimmt man zum Maasse von  $p$  den Druck an, welchen eine Quecksilbersäule von der Wärme des schmelzenden Eises und der Höhe von 336,905 Par. Linien,

an der Oberfläche der Erde und unter dem 45<sup>ten</sup> Grade der Polhöhe, auf eine Flächeneinheit äußert; als Maas von  $t$  die Dichtigkeit des Quecksilbers in der Wärme des schmelzenden Eises und als Maas von  $E$  die spezifische Elasticität der Luft in derselben Wärme, und setzt man  $\delta = D$  für  $p = 1$  und  $E = 1$ , so ist:

$$\delta \cdot E = pD \dots \dots \dots (3)$$

Der Druck der Luft in einer Höhe  $x$  über der Oberfläche der Erde, oder in einer Entfernung  $a+x$  von ihrem Mittelpunkte, ist die Summe der Drücke aller über  $x$  liegenden Schichten. Eine Schichte zwischen den Höhen  $x$  und  $x+dx$  hat, für jede Einheit ihrer Oberfläche, die Masse  $t \cdot dx$ , übert also auf diese Einheit den Druck:

$$(g) \delta \left( \frac{a}{a+x} \right)^2 dx$$

wo  $(g)$  die Schwere an der Oberfläche der Erde, senkrecht unter dem Punkte, auf welchen  $x$  und  $\delta$  sich beziehen, in Theilen der Schwere unter dem 45<sup>ten</sup> Grade der Polhöhe ausgedrückt, bedeutet. Allein um die durch das Wegnehmen dieser Schichte von den über  $x$  liegenden erzeugte Verminderung des Druckes durch dasselbe Maas zu messen, durch welches oben  $p$  gemessen worden ist, muß der eben gegebene Ausdruck durch dieses Maas dividirt werden und ergiebt dann:

$$dp = - \frac{(g) \delta}{336,905} \left( \frac{a}{a+x} \right)^2 dx$$

oder, wenn man  $a$  und  $x$  nicht durch die Pariser Linie, sondern durch die Toise messen will:

$$dp = - \frac{(g) 864 \cdot \delta}{336,905} \left( \frac{a}{a+x} \right)^2 dx \dots \dots \dots (4)$$

Wenn man  $\delta$  durch die Verbindung beider Gleichungen eliminirt, erhält man:

$$\frac{dp}{p} = - \frac{(g) 864 \cdot D}{336,905} \left( \frac{a}{a+x} \right)^2 \frac{dx}{E}$$

Durch das Integral dieser Gleichung werden die Werthe von  $p$ , welche in zwei verschiedenen Höhen über der Oberfläche der Erde, für  $x = h$  und  $x = h'$  vorhanden sind, miteinander verglichen; nämlich, wenn man sie durch  $P$  und  $P'$  bezeichnet und die Logarithmen des Briggschen Systems, für denselben Modul  $\mu$  geschrieben wird, annimmt:

$$\log \frac{P'}{P} = - \frac{(g) 864 \cdot D \cdot \mu}{336,905} \int_h^{h'} \left( \frac{a}{a+x} \right)^2 \frac{dx}{E}$$

oder, wenn man

$$\frac{336,905}{864 \cdot D \cdot \mu} = 9397,74 = l = (g) l'$$

setzt

$$\log \frac{P'}{P} = - \frac{1}{l'} \int_h^{h'} \left( \frac{a}{a+x} \right)^2 \frac{dx}{E} \dots \dots \dots (5)$$

Die noch auszuführende Integration setzt voraus, daß man die Relation zwischen  $x$  und  $E$ , oder das Gesetz kenne, nach welchem die in beiden Höhen beobachteten, der Wärme der Luft entsprechenden Thermometerstände  $\tau$  und  $\tau'$  ineinander übergehen. Man kennt dieses Gesetz in keinem Falle und hat daher keinen Grund, die Aenderung der Wärme anders, als der Aenderung der Höhe proportional anzunehmen. Laplace setzt, um diese Absicht näherungsweise zu entsprechen und um zugleich dem Integrale die möglichst einfache Form zu geben:

$$(1+kt)^2 + \frac{iax}{a+x}$$

für alle zusammengehörige Werthe von  $t$  und  $x$  als beständig voraus und bestimmt die Constante  $i$  so, daß sie den beiden beobachteten Temperaturen  $\tau$  und  $\tau'$  genügt. Hierdurch wird:

$(1+kt)^2 + iX = (1+k\tau)^2 + iH = (1+k\tau')^2 + iH'$   
wo ich  $X, H, H'$  für  $\frac{ax}{a+x}, \frac{ah}{a+h}, \frac{ah'}{a+h'}$  geschrieben habe.  
Man erhält dadurch

$$i = \frac{2k(\tau - \tau') \left( \frac{1+k \frac{\tau + \tau'}{2}}{H - H'} \right)}{H - H'}$$

$$dX = \left( \frac{a}{a+x} \right)^2 dx = -\frac{2k}{i} (1+kt) dt$$

mit ferner

$$\left( \frac{a}{a+x} \right)^2 \frac{dx}{E} = -\frac{2k}{i} dt,$$

aus dem das von  $h$  bis  $h'$  genommene Integral ist:

$$\frac{2k}{1} (\tau - \tau') = \frac{H - H'}{1 + k \frac{\tau + \tau'}{2}}.$$

Man hat also, der Laplaceschen Annahme des Gesetzes der Vertheilung zufolge, die Formel (5) in:

$$\log \frac{P}{P'} = \frac{1}{f} \cdot \frac{H - H'}{1 + k \frac{\tau + \tau'}{2}}$$

umgewandelt.

3.

Ich habe hierbei die Luft als trocken angenommen, muß aber immer darin enthaltenen Wasserdampf noch berücksichtigen. Wenn das sich in einem begrenzten Raume befindliche Gemisch der trockenen Bestandtheile der Luft auf die benachbarte Oberfläche den Druck  $p$  ausübt, der Wasserdampf den Druck  $p_1$ , und wenn die specifischen Schwere beider nach  $D$  und  $d_1 D$ , der feuchten, aus ihrer Mischung entstandenen Luft durch  $D'$  bezeichnet werden, so ist, der Gleichung (4) zufolge:

$$1 = v \frac{D}{D'} + v_1 \frac{d_1 D}{D'}$$

und

$$v = \frac{p}{p+p_1}, \quad v_1 = \frac{p_1}{p+p_1},$$

also

$$D' = D \frac{p+p_1}{p},$$

oder, wenn man (um kein neues Zeichen einzuführen) den ganzen Druck ( $= p+p_1$ ) jetzt durch  $p$  bezeichnet:

$$D' = D \left\{ 1 - \frac{p_1}{p} (1-d_1) \right\} \dots \dots \dots (7)$$

Für feuchte Luft verwandelt sich also die Gleichung (3) in:

$$d \cdot E = \{ p - p_1 (1-d_1) \} D$$

und ihre Verbindung mit (4) ergibt:

$$0 = dp + \frac{1}{\mu f} p \frac{dX}{E} - \frac{(1-d_1)}{\mu f} p_1 \frac{dX}{E} \dots \dots \dots (8)$$

Um diese Gleichung integrieren zu können, muß man wissen, wie  $p_1$  von den übrigen veränderlichen Größen abhängt. Wenn keine Beobachtung, welche die in der Luft enthaltene Quantität Wasserdampf für einen besonderen Fall bestimmt, vorhanden ist, so muß man seine Berechnung auf die Voraussetzung entweder eines mittleren, oder eines den sonstigen jedesmaligen Umständen angemessenen erscheinenden Zustandes der Atmosphäre gründen. Ich werde diesen Fall zuerst untersuchen, indem ich voraussetzen werde, daß an jedem Punkte der Atmosphäre ein bestimmter Theil derjenigen Menge Wasserdampf vorhanden ist, welche sie, ihrer Wärme gemäß, daselbst aufnehmen kann. Wenn dieses Maximum des Wasserdampfes den Druck ( $p_1$ ) äußert, nehme ich also

$$p_1 = \alpha (p)$$

an, wo ich unter  $\alpha$  einen beständigen Factor, nicht größer als 1, verstehe, dessen Werth der späteren Wahl überlassen bleibt.

Den Ausdruck von ( $p_1$ ) durch die Angabe  $t$  des Centimalthermometers, hat Laplace (Méc. Cé. IV. p. 273) aus Versuchen von Dalton, in der im vorigen Art. gewählten Einheit des Druckes ausgedrückt:

$$= 10^{(0-100) \cdot 0,0154647 - (t-32) \cdot 0,0000025826}$$

abgeleitet, wofür man auch

$(p_1) = 0,0067407 \cdot 10^6 \cdot 0,0079718 - 0,0000025826 t$  ..... (9)  
schreiben kann. Man hat also, der Voraussetzung gemäß,

$$p_1 = \alpha \beta 10^{6t-ett}$$

wo

$$\beta = 0,0067407$$

$$\alpha = 0,0279712$$

$$e = 0,0000025826$$

sind.

Multiplirt man die Differentialgleichung (8) mit

$$10^{\frac{1}{f} \int \frac{dx}{H}}$$



so kann man das Product integrieren, nämlich:

$$C = p \cdot 10^{\frac{1}{\mu} \int \frac{dX}{X}} = \frac{(1-d_t)}{\mu f} \int p_t 10^{\frac{1}{\mu} \int \frac{dX}{X}} \frac{dX}{E}$$

Der Laplaceschen Annahme des Gesetzes der Aenderung der Wärme, zwischen zwei Höhen, für welche sie durch Beobachtung gegeben ist (Art. 2), zufolge, ist:

$$\frac{dX}{E} = -\frac{2k}{i} dt;$$

substituiert man dieses und auch den Ausdruck von  $p$ , so wird

$$C = p \cdot 10^{-\frac{2k}{i} t} + \frac{2\alpha\beta(1-d_t)k}{\mu f \cdot i} \int 10^{(1-\frac{2k}{i}t) - \alpha t} dt.$$

Durch diese Gleichung enthält man die Relation zwischen den Drücken der Atmosphäre  $P$  und  $P'$  in den Höhen  $h$  und  $h'$ , nämlich:

$$P \cdot 10^{-\frac{2k}{i} t} - P' \cdot 10^{-\frac{2k}{i} t'} = \frac{2\alpha\beta(1-d_t)k}{\mu f \cdot i} \int_{t'}^t 10^{(1-\frac{2k}{i}t) - \alpha t} dt$$

Setzt man  $T$  für  $1/(r+r')$  und  $T+\epsilon$  für  $t$ , so verwandelt das noch zu suchende Integral sich in:

$$-10^{-\frac{2k}{i} T} \cdot 10^{\alpha T - \alpha T'} \int_{T'}^{T+\epsilon} 10^{(1-\frac{2k}{i}T) - \alpha T} dT$$

Wenn man, um abzukürzen,

$$u = \frac{2\alpha\beta(1-d_t)k}{f \cdot i} \cdot 10^{\alpha T - \alpha T'} \int_{T'}^{T+\epsilon} 10^{(1-\frac{2k}{i}T) - \alpha T} dT$$

schreibt, hat man also

$$P \cdot 10^{-\frac{2k}{i} T} - P' \cdot 10^{-\frac{2k}{i} T'} = -\frac{u}{\mu} \cdot 10^{-\frac{2k}{i} T'}$$

oder

$$P \cdot 10^{-\frac{2k}{i}(T-T')} + \frac{u}{\mu} \cdot 10^{-\frac{2k}{i} T'} = P'$$

woraus folgt:

$$10^{-\frac{2k}{i}(T-T')} = \frac{P'}{P} \frac{\sqrt{[4\mu^2 P P' + u u]} - u}{\sqrt{[4\mu^2 P P' + u u]} + u}$$

und, wenn man die Briggschen Logarithmen beider Glieder dieser Gleichung nimmt und bis  $u u$  incl. richtig entwickelt:

$$\frac{2k}{i} (T-T') = \log \frac{P}{P'} + \frac{u}{\sqrt{P P'}}.$$

Der angewandten Relation zwischen der Wärme und der Höhe zufolge, ist aber (Art. 2):

$$\frac{2k}{i} (T-T') = \frac{H'-H}{1+kT};$$

wodurch man erhält

$$(10) \dots \dots \log \frac{P}{P'} = \frac{1}{f} \frac{H'-H}{1+kT} - \frac{u}{\sqrt{P P'}}$$

Das in dem Ausdrucke von  $u$  vorkommende Integral findet man, durch Reihenentwicklung der Exponentialgröße:

$$= (r-r') \left\{ 1 + \frac{(r-r')^2}{24\mu^4} \left[ \left( a - \frac{2k}{f \cdot i} - 2\alpha T \right)^2 - 2\epsilon\mu \right] + \dots \right\}$$

Um die Größe des zweiten Gliedes dieser Reihe einigermaßen zu schätzen, kann man annehmen, daß der Stand des Centesimalthermometers für 85 Toisen der Zunahme der Höhe um einen Grad abnimmt. Dann ist dieses Glied für  $H-H' = n \cdot 1000$  Toisen und für  $T=0$ ,  $= n \cdot 0,0093$ ; es ist also für kleine Höhenunterschiede ein unbedeutender Theil des ersten Gliedes, während es selbst für die größten, welche noch zugänglich sind, nicht auf ein Zehntel desselben steigt. Die Voraussetzung über die Vertheilung des Wasserdampfes in der Atmosphäre, worauf die gegenwärtige Rechnung beruht, besitzt weit größere Unsicherheit; weshalb ich glaube, daß es wenig Interesse haben kann, ihr durch eine zusammengesetztere Rechnung ganz treu zu bleiben. Ich vereinfache diese daher und nehme:

$$u = \frac{2\alpha\beta(1-d_t)k}{f \cdot i} (T-T') 10^{\alpha T - \alpha T'}$$

an. Nach der Angabe von *Berzelius* ist  $d_t = 0,62$ , und oben ist gezeigt worden, daß

$$\frac{\beta}{i} = 0,0067407$$

$$\frac{2k(r-r')}{i} = \frac{H'-H}{1+kT}$$

ist. Hierdurch wird

$$u = \alpha \frac{H'-H}{f} \cdot 10^{\alpha T - \alpha T'} \cdot 0,002561$$

und man erhält, durch die Substitution dieses Ausdruckes in die Gleichung (10):

$$\log \frac{P}{P'} = \frac{H'-H}{f(1+kT)} \left\{ 1 - \frac{0,002561}{\sqrt{P P'}} 10^{\alpha T - \alpha T'} \right\} \dots (11)$$

Will man die Berechnung des Höhenunterschiedes der beiden Punkte, wo der Druck und die Wärme der Luft beobachtet sind, auf die Voraussetzung des mittleren Zustandes zwischen Trockenheit und größter Feuchtigkeit der Luft gründen, so muß man  $\alpha = \frac{1}{2}$  annehmen. Es scheint aber, daß man, auch ohne unmittelbare Bestimmung der jedesmal wirklich vorhandenen Menge des Wasserdampfes, durch Berücksichtigung äußerer Umstände, in geeigneten Fällen größtmäßige Genauigkeit erlangen kann, als durch die Voraussetzung  $\alpha = \frac{1}{2}$ ; wenn es z. B. in der ganzen Luftmasse zwischen beiden Punkten regnet, so ist  $\alpha = 1$ ; wenn die beiden Punkte sich in einer weit von dem Meere entfernten, schon als ausgezeichnet trockenen (bekannten Lande \*) befinden, so wird es angemessener sein,

\*) Diese ist z. B. der Fall mit einem großen Theile Nordasien, wie aus *A. Ernsts Reise um die Erde* S. 67 u. s. w. hervorgeht. Man lernt dasselbe nicht von der Thatsache kennen, sondern auch die geographischen Verhältnisse, wovon sie die Folge ist.

Wasser als  $\frac{1}{2}$  anzunehmen. Damit man unmittelbar übersehe, wie groß der Einfluss der Feuchtigkeit auf barometrische Höhenmessungen werden kann, werde ich ihn weiter entwickeln. Die Vergrößerung, welche ein, unter der Voraussetzung trockener Luft berechneter Höhenunterschied, durch die Berücksichtigung des Wasserdampfes erfährt, ist, der Gleichung (11) zufolge:

$$= \frac{\alpha \omega}{1 - \alpha \omega} (H' - H)$$

wo  $\omega$  für

$$\frac{0,00256t}{\sqrt{(P'P')}} 10^{\frac{H' - H}{T(1 + \frac{1}{2}T)}} \cdot 10^{\frac{H' - H}{T}}$$

geschrieben ist. Vernachlässigt man das Quadrat dieser GröÙe und setzt man

$$P' = P \cdot 10^{\frac{(H' - H)}{T(1 + \frac{1}{2}T)}}$$

was gleichfalls nur einen Fehler von der Ordnung  $\omega^2$  erzeugt, so wird

$$\omega = \frac{0,00256t}{P} 10^{\frac{H' - H}{T(1 + \frac{1}{2}T)}} \cdot 10^{\frac{H' - H}{T}}$$

und daher der Einfluss des Wasserdampfes:

$$12) \dots = \alpha \cdot \frac{0,00256t}{P} (H' - H) 10^{\frac{H' - H}{T(1 + \frac{1}{2}T)}} \cdot 10^{\frac{H' - H}{T}}$$

Nimmt man den in dieser Formel vorkommenden Druck  $P$  in der Höhe  $h = 1$ , oder den Barometerstand dasselbst  $= 336,905$  und  $\alpha = 0,00375$  an, so findet man die in  $\alpha$  zu multiplizierende GröÙe für verschiedene Werthe von  $H' - H$  und  $T$ , so wie folgende Tafel sie angiebt:

$\frac{H' - H}{T}$	$T = \frac{1}{2}(t + t')$		
	0°	10°	20°
500	1,36	2,55	4,64
1000	2,90	5,41	9,83
1500	4,62	8,61	15,60
2000	6,55	12,18	22,02
2500	8,70	16,15	29,14
3000	11,10	20,55	37,02

Man kann aus diesen Zahlen beurtheilen, wie groß der Einfluss einer Unsicherheit über den Werth von  $\alpha$ , in einem vorzunehmenden Falle ist.

#### 4.

Seit der Erfindung des Daniell'schen Hygrometers und des Augustin'schen Psychrometers kann man die jedesmal in der Luft enthaltene Menge des Wasserdampfes leicht und mit hinreichender Genauigkeit erkennen. Die Forderung, dass an beiden Punkten, deren Höhenunterschied barometrisch gemessen werden soll, außer dem Barometer und Thermometer, auch das Psychrometer beobachtet werde, kann leicht erfüllt werden, und gewährt dann dem Resultate der Beobachtungen den Vortheil, von einer willkürlichen Annahme über die vorhandene Menge

des Wasserdampfes, etwa in derselben Art frei zu sein, als es, durch die Beobachtung der Luftwärme an beiden Punkten, von einer Willkür in dieser Beziehung befreit wird. Ich werde daher die Rechnungsvorschrift aufsuchen, welche anzuwenden ist, wenn man auch die Beobachtungen des Psychrometers besitzt.

Das Psychrometer beruhet auf der Vergleichung des Standes  $r$  eines Thermometers, dessen Kugel befeuchtet wird, mit dem Stande  $\tau$  eines anderen nicht befeuchteten Thermometers. Wenn der größte Druck, welchen Wasserdampf von der Wärme  $t$  ausüben kann, durch  $\phi$  und der in Pariser Linien ausgedrückte Barometerstand durch  $b$  bezeichnet werden, so ist der Druck, welchen der in der Luft wirklich vorhandene Wasserdampf ausübt:

$$= \phi \tau - \frac{0,558 (\tau - r) b}{336,905 (m - r)}$$

wo, in dem Falle eines positiven Werthes von  $\tau$ ,  $m = 640$ ; in dem Falle eines negativen, einen Eisüberzug der befeuchteten Thermometerkugel bedingenden Werthes aber,  $m = 715$  ist. Diese Formel ist von dem Erfinder des Psychrometers, August, gegeben, und stützt sich auf die Vergleichung von Versuchen mit physischen Betrachtungen \*). Den Ausdruck von  $\phi$  durch  $t$  leitet August aus Beobachtungen über den Druck, welchen Wasserdampf von verschiedener Wärme ausübt, ab, indem er ein, von Kämpf aus den von Dalton, Ure, Schmidt und Arzberger darüber angestellten, gezogenes mittleres Resultat anwendet. Diese Beobachtungen sind aber, mit Ausnahme der beiden zuerst angeführten Reihen, so wenig übereinstimmend untereinander, dass es zweifelhaft wird, ob man alle vier vereinigen darf. Ich ziehe daher vor, bei dem oben schon angewandten, von Laplace gegebenen, sich an Dalton's Beobachtungen, also auch an die ihnen nahe kommenden von Ure, anschließenden Ausdrucke zu bleiben. Es ist im Allgemeinen meine Meinung, dass man sehr bekannt gewordene und häufig angewandte Formeln nicht eher ändern sollte, als bis die Nothwendigkeit der Aenderung als entschieden betrachtet werden kann; was in dem gegenwärtigen Falle keineswegs statt findet. Die ausgezeichneten späteren Untersuchungen Arago's über denselben Gegenstand, betreffen nur die Elasticität des Wasserdampfes in sehr hohen Wärmegraden, und es ist nicht darauf zu rechnen, dass dieselbe Interpolationsformel, welche diese befriedigend darstellt, auch auf weit geringere anwendbar sei.

Wenn man den Laplace'schen Ausdruck anwendet, erhält man den Druck, welchen der in der Luft enthaltene Wasser-

\*) Poggendorff Annalen der Physik Bd. 81. S. 69 und Bd. 90 (14 der neuen Folge) S. 137.

dampf ausübt, der angeführten Formel zufolge:

$$p_r = 0,0064707 \cdot 10^{\frac{a}{m-r}} \cdot \frac{(r-r_r)^b}{m-r_r}$$

und wenn man ihn durch

$$(p_r) = 0,0064707 \cdot 10^{\frac{a}{m-r_r}}$$

oder durch den Druck dividirt, den der Wasserdampf ausüben würde, wenn die Luft damit gesättigt wäre, das oben durch  $\alpha$  bezeichnete Verhältniß, also:

$$(13) \dots \alpha = \frac{10^{\frac{a}{m-r_r}}}{10^{\frac{a}{m-r}}} = 0,2457 \frac{b}{m-r_r} \cdot \frac{r-r_r}{10^{\frac{a}{m-r_r}}}$$

$t$	$\beta$	$\psi$	
-20°	9,4155	7,1086	298
-19	9,4459	7,0788	297
-18	9,4762	7,0491	296
-17	9,5064	7,0195	295
-16	9,5364	6,9900	293
-15	9,5663	6,9607	292
-14	9,5961	6,9315	290
-13	9,6258	6,8925	290
-12	9,6553	6,8735	288
-11	9,6847	6,8447	287
-10	9,7140	6,8160	285
-9	9,7432	6,7875	285
-8	9,7722	6,7590	283
-7	9,8011	6,7307	282
-6	9,8299	6,7025	280
-5	9,8586	6,6745	279
-4	9,8871	6,6466	278
-3	9,9155	6,6188	277
-2	9,9438	6,5911	276
-1	9,9720	6,5635	274
0	0,0000	6,5361	272
+1	0,0279	6,5092	271
2	0,0557	6,4829	270
3	0,0884	6,4571	268
4	0,1109	6,4315	268
5	0,1383	6,4063	

Zur Erleichterung der Berechnung von  $\alpha$  theile ich hier eine Tafel mit, deren erste Spalte, für alle Werthe von  $t$ , von -20 bis +30,

$$\log 10^{\frac{a}{m-r}} = ft$$

die zweite

$$\log \frac{0,2457}{m-r} 10^{\frac{a}{m-r}} = \psi t$$

enthält. Man erlangt dadurch

$$\log A = f r_r - f r$$

$$\log B = \log A + \psi r_r + \log(r-r_r) + \log b$$

und das gesuchte  $\alpha = A - B$ .

$t$	$ft$	$\psi t$	
+5°	0,1383	6,4493	266
6	0,1656	6,4227	264
7	0,1927	6,3963	264
8	0,2198	6,3699	262
9	0,2467	6,3437	261
10	0,2735	6,3176	260
11	0,3001	6,2916	258
12	0,3266	6,2658	257
13	0,3530	6,2401	256
14	0,3793	6,2146	255
15	0,4055	6,1890	253
16	0,4315	6,1637	252
17	0,4574	6,1385	251
18	0,4832	6,1134	249
19	0,5089	6,0885	249
20	0,5344	6,0636	247
21	0,5598	6,0389	246
22	0,5851	6,0143	244
23	0,6102	5,9899	243
24	0,6353	5,9656	242
25	0,6602	5,9414	241
26	0,6849	5,9173	239
27	0,7096	5,8934	239
28	0,7341	5,8696	237
29	0,7585	5,8458	235
30	0,7828	5,8223	

Bestimmt man auf diese Art die Werthe von  $\alpha$  für beide Höhen, so wird man sie selten von gleicher Größe finden. Da man das Gesetz des Ueberganges von dem einen zu dem

anderen nicht kennt, so ist die Willkür unvermeidlich. Ich halte für das Angemessenste, das Mittel aus beiden Werthen von  $\alpha$  zur Berechnung der Formel (11) anzuwenden.

## 5.

Es scheint mir nöthig, die verschiedenen Voraussetzungen, die zu untersuchen, durch welche ich die Formel (11) erlangt habe. Die erste Voraussetzung aller Untersuchungen, welche den Druck und die Dichte der Atmosphäre in unbestimmten Höhen betreffen, ist die ihres Gleichgewichts. Daß sie nicht richtig ist, darf nicht erst hier gesagt werden. Ihre Unrichtigkeit zeigt sich sowohl in den Schwankungen des Barometerstandes um seinen mittleren Werth für jeden Punkt der Erde, als auch in der Verschiedenheit dieses Werthes für verschiedene Punkte, selbst wenn sie in der Oberfläche des Meeres angenommen werden. Die Kenntniß dieser Verschiedenheit haben wir erst im J. 1831 durch eine Untersuchung *Adolph Ernans* erlangt\*), durch welche er, theils aus eigenen, auf einer Reise um die Erde gemachten Beobachtungen, theils aus fremden, sowohl im nördlichen Asien und Amerika gesammelten, als auch auf der Russischen Corvette *Kretschet*, unter der Leitung des Capitains *Hagemeyer* angestellten, gezeigt hat, daß die von dem Aequator entferntere Grenze der Zone der Passatwinde, einen höheren Barometerstand hat, als die ihm nähere; und ferner, daß dieser Stand auch unter verschiedenen Meridianen verschieden ist. Das erste Resultat beruht auf Beobachtungen, welche während des achtmonatigen Durchschiffens der Passatzone gesammelt worden sind, und ist auch später auf der, für die Astronomie denkwürdigen *Reise Herschels* nach dem Vorgebirge der guten Hoffnung hervorgetreten; das andere beruht auf einer Vergleichung der in dem atlantischen und dem stillen Meere gemachten Beobachtungen. Die Unterschiede gehen bis auf mehrere Linien und lassen nicht zweifelhaft, daß der mittlere Barometerstand in verschiedenen Punkten der wahren Oberfläche der Erde, nach der geographischen Länge und Breite dieser Punkte abhängig ist.

Die als zufällig zu betrachtenden Schwankungen des Barometerstandes müssen Abweichungen einzelner barometrischer Bestimmungen eines Höhenunterschiedes, von dem Mittel aus vielen, hervorbringen; die mittleren Verschiedenheiten welche von der Länge und Breite abhängen, müssen aber, wenn man sie nicht kennt, Fehler zur Folge haben, welche selbst aus dem Mittel vieler Beobachtungen nicht verschwinden, außer in dem Falle, daß beide Punkte, deren Höhenunterschied bestimmt werden soll, in einer Lothlinie liegen. Es geht aus der erlangten Kenntniß dieser Verschiedenheiten hervor, daß die barometrische Bestimmung des Höhenunterschiedes zweier Punkte, selbst wenn sie auf jahrelang wieder-

holten Beobachtungen beruht, [desto zweifelhafter bleibt, je weiter die Punkte voneinander entfernt sind. Denkt man sich Oberflächen, in welchen der mittlere Luftdruck gleich ist, um die Erde gelegt, so kann durch das Barometer nichts anders erlangt werden, als die Bestimmung des auf diese Oberflächen bezogenen Höhenunterschiedes; ob aber diese Oberflächen da wo die beiden Punkte sich befinden, sich mehr oder weniger von dem Parallelismus mit der Oberfläche der Erde entfernen, bleibt gänzlich unbekannt, so lange man die Function der Länge und Breite nicht kennt, welche die beziehungsweise Lage beider bestimmt. Hierdurch wird den Beobachtungen über den Luftdruck ein neuer Gesichtspunkt eröffnet, indem durch sie die Absicht verfolgt werden muß, an allen Punkten der Erde, die Höhe der Oberfläche eines bestimmten Druckes zu erfahren. Allein für jetzt kann die, aus der allenthalben gleichen Annahme dieser Höhe herrergelende Größe der Unsicherheit noch nicht näher bestimmt werden; gleichfalls kann die, von der als zufällig zu betrachtenden Schwankungen erzeugte, nicht näher angegeben werden; und selbst wenn man, um sie näher kennen zu lernen, lange fortgesetzte Beobachtungen an Punkten in verschiedener Höhe machen wollte, so würden ihre Unterschiede untereinander immer nur als der Erfolg der Vermischung dieser Ursache, mit anderen, gleichfalls unvermeidlich fehlerhaften Voraussetzungen, zu betrachten sein.

Die Beschaffenheit der trockenen Luft ist so vorausgesetzt worden, wie sie zu der Zeit war, als *Biot* und *Arago* für ihre Dichtigkeit die im 1<sup>ten</sup> Art. angeführte Bestimmung erhielten. Aenderte sich der Sauerstoffgehalt derselben um  $n$  Hundertel, so würde sich ihre Dichtigkeit um  $n \cdot 0,001337$  verändern, und ein, unter der Annahme  $D = \frac{1}{1093,3}$  bestimmter Höhenunterschied müßte in dem Verhältnisse  $1:t + n \cdot 0,001337$  geändert werden. *Humboldt* und *Gay-Lussac* haben aber am 19. Tagen, zwischen dem 17<sup>ten</sup> Novbr. und 23<sup>ten</sup> Decbr. 1804, keine merkliche Veränderung des Sauerstoffgehaltes der Luft gefunden, weshalb die Voraussetzung eines beständigen Verhältnisses der beiden hauptsächlichsten Bestandtheile der atmosphärischen Luft, als gerechtfertigt betrachtet werden darf.

Indessen hat *Dalton* bekanntlich für wahrscheinlich gehalten, daß jeder der Bestandtheile der Luft nur von den höheren Schichten seiner eigenen Materie, nicht aber von der ganzen höheren Masse, zusammengedrückt werde, also in verschiedenen Höhen die Dichtigkeit besitze, welche er besitzen würde, wenn er ausschließlich vorhanden wäre. Hiernach muß ein mit der Höhe veränderliches Mischungsverhältnis, und damit auch ein anderes Verhältnis der Drucke der Luft in verschiedenen Höhen entstehen, als aus der älteren im 2<sup>ten</sup> Art. verfolgten Annahme. Die barometrischen Höhenmessungen sind deshalb als ein Mittel vorgeschlagen, zwischen beiden Annahmen zu

\*) *Poggendorff Annalen der Physik und Chemie* Bd. 99 (23 der neuen Folge) S. 144.

entscheiden. Die Aufmerksamkeit, welche die Ansichten eines Physicus, wie Dalton, erheischen, fordert, daß ich auch hier die selbige verfolge.

Die Formel (6) ist nun nicht mehr für die atmosphärische Luft, sondern nur für jeden ihrer Bestandtheile richtig; sie bezieht sich auf den einen oder den anderen derselben, je nachdem man seine specifische Schwere, statt der der Luft im Allgemeinen, darin voraussetzt. Setzt man die Drücke, welche die drei Bestandtheile der Luft in den Höhen  $h$  und  $h'$  üben,  $= p, p_1, p_2$  und  $p', p'_1, p'_2$  und ihre specifischen Schwere  $Dd, Dd_1, Dd_2$ , und schreibt man, um abzukürzen,  $U$  für

$$\frac{1}{T} \frac{H'-H}{1+kT}$$

so wird, der Formel (6) gemäß:

$$p' = p \cdot 10^{-Ud}$$

$$p'_1 = p_1 \cdot 10^{-Ud_1}$$

$$p'_2 = p_2 \cdot 10^{-Ud_2}$$

und da

$$P = p + p_1 + p_2$$

$$P' = p' + p'_1 + p'_2$$

$$p = vP; p_1 = v_1P; p_2 = v_2P$$

ist,

$$P' = P \{ v \cdot 10^{-Ud} + v_1 \cdot 10^{-Ud_1} + v_2 \cdot 10^{-Ud_2} \}$$

oder

$$P' = P \cdot 10^{-U' \{ v \cdot 10^{U(1-d)} + v_1 \cdot 10^{U(1-d_1)} + v_2 \cdot 10^{U(1-d_2)} \}}$$

wofür ich, um abzukürzen,

$$(10) \dots \dots \dots P' = P \cdot 10^{-U' \psi}$$

schreiben werde. Die Größe  $\psi$  ist, in allen zugänglichen Höhen, wenig von  $1$  verschieden, wie die folgende, nach den im 1<sup>ten</sup> Art. angeführten Werthen:

$v = 0,78605$	$d = 0,9711$
$v_1 = 0,21325$	$d_1 = 1,1048$
$v_2 = 0,00070$	$d_2 = 0,5260$

berechnete Tafel zeigt:

$U$	$\psi$	$\log \psi$
0,0	1,0000000	0,0000000
0,1	1,0000840	0,365
0,2	1,0003334	1,148
0,3	1,0007444	32,32
0,4	1,0013135	57,01
0,5	1,0020375	88,40

Wenn das Verhältnis  $P':P$  aus der Beobachtung hervorgegangen ist und daraus das Höhenunterschiede proportionale  $U$  gesucht wird, so findet es sich, wie diese Tafel zeigt, nach der Dalton'schen Ansicht etwas größer, als nach der älteren, in einem Verhältnisse, welches die Tafel (deren Zahlen nahe wie das Quadrat des Arguments fortschreiten) ergibt.

Will man mit einer, in allen vorkommenden Fällen kaum von der Wahrheit abweichenden Näherung zufrieden seyn, so kann man (14) weiter entwickeln. Man hat nämlich:

$$U = \log \frac{P}{P'} + \log \psi$$

und wenn man für  $\log \psi$  das erste Glied seiner Entwicklung oder

$$\frac{U U}{2\mu} \{ v(1-d)^2 + v_1(1-d_1)^2 + v_2(1-d_2)^2 \} = U U \cdot 0,000675$$

und für  $U$  seinen Ausdruck schreibt:

$$\frac{H'-H}{T(1+kT)} = \log \frac{P}{P'} + \left\{ \frac{H'-H}{T(1+kT)} \right\}^2 \cdot 0,003675$$

Die Aenderung, welche die Befolgung der Dalton'schen Ansicht von der Zusammensetzung der Luft, in dem nach der älteren berechneten Werthe von  $H'-H$  hervorbringt, ist also:

$$+ \frac{(H'-H)^2}{T^2(1+kT)^2} \cdot 0,003675$$

und, wenn man  $H'-H = n \cdot 1000$  Toisen setzt

$$= + \frac{n \cdot n \cdot 0,7 \cdot 391}{1+kT} \dots \dots \dots (15)$$

Diese Aenderung ist viel zu klein, als daß man je böhm dürfte, durch barometrische Höhenmessungen eine Entscheidung für oder wider die Ursache, aus welcher sie hervorgeht, zu erhalten. Sie wird weit überwogen von dem Einflusse der immer vorhandenen Störungen des Gleichgewichtes der Atmosphäre, so wie auch von der Unsicherheit des im 2<sup>ten</sup> Art. angewandten Gesetzes der Wärmeänderung zwischen beiden Höhen, wo der Thermometerstand beobachtet ist. Selbst der geometrischen Messung des Höhenunterschiedes würde äußerst schwer eine Sicherheit gegeben werden können, welche groß genug wäre, um ein Urtheil über eine Größe zu gewähren, welche so klein ist, als die, auf welcher die Entscheidung zwischen beiden Annahmen beruht.

## 6.

Die nothwendige Verfolgung der Dalton'schen Annahme in Beziehung auf die barometrischen Höhenmessungen giebt zu Veranlassung, auch meine Ansicht dieses vielbesprochenen Gegenstandes mitzutheilen. Diese Annahme stützt sich hauptsächlich auf das Verhalten des Wasserdampfes, sowohl für sich allein, als in seiner Vermischung mit Luft.

Wenn eine Flüssigkeit in einen leeren Raum gebracht wird, so entwickelt sie Dämpfe, so lange, bis diese eine bestimmte von der Wärme des Raumes abhängige Dichtigkeit erreicht haben. Dalton hat diese Dichtigkeit im Falle des Wasserdampfes, für alle Wärmeabstufungen zwischen dem Wasser des gefrierenden und des siedenden Wassers, bestimmt und durch unzweifelhafte Versuche gezeigt, daß die Dämpfe, eben

sowohl wenn der Raum Anfangs mit trockener Luft von beliebiger Dichtigkeit gefüllt, als wenn er Anfangs leer ist, genau dieselbe Dichtigkeit erlangen. Jeder Versuch, diese Dichtigkeit (bei gleichbleibender Wärme) zu vergrößern, ist erfolglos: wird der mit reinem dichtesten Dampfe gefüllte Raum, in Verhältnisse  $1:1-n$  verkleinert, so verwandelt sich ein Theil des Dampfes, welcher sich zu dem Ganzen verhält wie  $n:1$ , in Flüssigkeit; genau dieselbe Verwandelung tritt ein, wenn der mit der Mischung von dichtestem Dampfe und beliebig dichter Luft gefüllte Raum, in denselben Verhältnisse verkleinert wird; die Luft des Gemisches erfährt dadurch aber keine Verwandelung, sondern eine Vermehrung ihrer Dichtigkeit, in dem Verhältnisse  $1-n:1$ .

Dieses ist das reine Ergebniss von *Dalton's* Versuchen. Es bestimmt den Unterschied zwischen Dampf und Luft, indem es jenem ein, von der Wärme abhängiges Maximum von Dichtigkeit beilegt, welches für diese nicht vorhanden ist. Es zeigt ferner, dass den Kräften an der Oberfläche der Flüssigkeit, welche ihre Verdampfung im leeren Raume bewirken, nicht durch den Druck entgegengewirkt wird, welchen diese Oberfläche von sie berührender Luft erfährt. In dieser letzten Beziehung erinnere ich, dass *Poisson* aus ganz anderen Ueberlegungen, den sogenannten capillaren, gefolgert hat, dass die Dichtigkeit der Oberfläche der Flüssigkeiten unendlich klein ist. Ob, die Luftarten sämmtlich ein von der Wärme abhängiges Maximum der Dichtigkeit besitzen (wie von dem Kohlenwasserstoffe schon bekannt ist), ob sie sich also von den Dämpfen nur durch die Größe dieses Maximums, oder specifisch unterscheiden, kann für jetzt nicht entschieden werden, hier über auch unberührt bleiben.

So lange die Dämpfe eine kleinere Dichtigkeit besitzen, als die grösste, die sie in ihrer jedesmaligen Wärme erlangen können, und sie nicht physisch von den Gasen verschieden. Sie befolgen nämlich das *Mariottesche Gesetz*, und *Gay-Lussac* hat gezeigt, dass sie dieselbe Ausdehnbarkeit durch die Wärme besitzen, welche allen Gasarten gemeinschaftlich ist. Sie verhalten sich also, so lange sie das Maximum ihrer Dichtigkeit nicht erreicht haben, sowohl für sich allein, als in der Vermischung mit Gasen, genau wie die letzteren. Ein Druck bringt, eben so wenig in den Dämpfen, als in den Gasen, eine Veränderung ihrer Beschaffenheit hervor, sondern diese tritt, die Dämpfe mögen rein, oder mit Gasen vermischt seyn, erst ein, wenn ein Versuch gemacht wird, ihre Dichtigkeit ihr Maximum überschreiten zu lassen; sie kann z. B. immer durch Verkleinerung des Raumes, in welchem sie sich befinden, herbeigeführt werden, und zwar in dem letzteren Falle eben sowohl als in dem ersten, indem die unbegrenzte Zusammenpressbarkeit der Gase die dazu erforderliche Verkleinerung des

Raumes jedesmal möglich macht. Wenn ferner ein Raum durch eine Luftart gefüllt ist, welche auf eine Einheit seiner Oberfläche einen Druck  $p$  ausübt, so hat die Hineinbringung einer andern Luftart, welche für sich allein, auf dieselbe Einheit, den Druck  $p$ , ausüben würde, keinen andern physischen Erfolg, als den, dass diese Einheit nun den Druck  $p+p$ , erfährt; genau denselben Druck erfährt sie aber, wenn statt der zweiten Luftart Dampf hineingebracht wird, welcher, gleichfalls für sich allein, den Druck  $p$ , ausüben würde. Endlich vermischen sich sowohl verschiedene Luftarten unter sich, als auch mit Dämpfen, in jedem beliebigen Verhältnisse.

Es ist also zwischen dem physischen Verhalten eines Gemisches eines Gases mit einem andern, und eines Gemisches des ersten mit Dampf, durchaus kein Unterschied. Folglich kann dieses Verhalten des zweiten Gemisches nichts lehren, was durch das Verhalten des ersten nicht gelernt werden kann. Das Verhalten des mit Luft vermischten Wasserdampfes, welches *Dalton's* Versuche vollständig an den Tag legen, ist also auch nicht lehrreicher, als das Verhalten jedes Gemisches zweier Gase, und eine Theorie, die auf das letztere nicht hätte gebaut werden können, kann auch in dem ersten keine Stütze finden. Es würde auch, aus dem Verhalten eines Gemisches von Dampf und Luft nicht haben gefolgert werden können, dass die Luft den Dampf nicht drücke, wenn nicht, als sich von selbst verstehend, vorausgesetzt worden wäre, dass Druck den Dampf in Flüssigkeit verwandelt, für welche Voraussetzung nichts destoweniger keine, ihre Rechtmäßigkeit andeutende Thatsache vorhanden ist.

Dieser Ansicht der über die Dämpfe erlangten Kenntnisse zufolge, geben sie keine Veranlassung zu der Annahme; Dampf werde nur von Dampf, nicht aber von Luft gedrückt. Mit dieser Veranlassung geht auch die Analogie verloren, welche für das ähnliche Verhalten des Gemisches verschiedener Gase geltend gemacht werden ist. Allein *Dalton* hat seine Annahme auch durch eine, von den Versuchen über den Wasserdampf unabhängige Wahrnehmung unterstützt, nämlich dadurch, dass ein specifisch schwereres Gas sich mit einem leichteren vermischt, selbst wenn dieses Anfangs höher liegt. Die *Dalton'sche* Annahme erklärt diese Wahrnehmung allerdings, allein damit kann nicht behauptet werden, dass sie allein sie begreiflich mache; das Aufsteigen von Flüssigkeiten in Röhren, welche durch sie besetzt werden, könnte z. B. durch die Annahme, die Schwere äussere innerhalb der Röhre ihre Wirkung unvollständig, erklärt werden; seine wahre Erklärung ist aber bekanntlich hiervon verschieden.

Wenn ich nicht irre, so ist auch die Kleinheit der Veränderung der Beschaffenheit der Luft in einem Raume, in welchem sich viele Personen befinden, deren Athmen das Sauer-

stoffgas vermindern und das Kohlensäuregas vermehren muß, als für die Richtigkeit der *Dalton'schen* Annahme sprechend, angeführt worden. In der That muß das Sauerstoffgas sich vorzugaweise aus der äußeren Luft ersetzen und das Kohlensäuregas vorzugaweise in diese übergeben, wenn die einzelnen Bestandtheile der inneren Luft nur von den gleichartigen der äußeren gedrückt werden. Die ersten Versuche dieser Art sind in einem der Pariser Schauspielhäuser von *Humboldt* und *Gay-Lussac* vorgenommen \*) und haben eine Verminderung des Sauerstoffgehaltes von 0,007, so wie einen nicht näher bestimmten Kohlensäuregehalt ergeben. Neuerlich hat *Dalton* diese Versuche in Räumen wiederholt \*\*), welche gleichfalls durch zahlreiche Versammlungen gefüllt waren, und den Sauerstoffgehalt = 0,20325 gefunden, während er ihn in freier Luft = 0,2090 fand; auch zeigte sich mehr Kohlensäuregas als in freier Luft; in einem Falle, in welchem es bestimmt wurde, betrug es 0,01. Diese Versuche zeigen also wirkliche Veränderungen der Beschaffenheit der Luft, und es kommt nur darauf an, zu untersuchen, ob sie kleiner sind als die Veränderungen, die man nach der älteren Theorie erwarten durfte. Wenigstens die früheren dieser Versuche scheinen nicht in der Absicht angestellt zu seyn, dadurch die Richtigkeit der *Dalton'schen* Theorie zu prüfen; allen fehlen die näheren Angaben, welche einer Berechnung zum Grunde gelegt werden müßten, namentlich die Angaben des cubischen Inhalts der Räume, deren Luft untersucht worden ist; der Anzahl der darin befindlichen Menschen und Lichtflammen und der Stärke der letzteren; der Verbindungen zwischen dem Inneren und Aeusseren und der Wärme in verschiedenen Höhen; auch ist der untersuchte Fall wohl nicht einfach genug, um ihn streng richtig berechnen zu können. Um aber eine ungefähre Uebersicht zu erhalten, bin ich von der in den Preussischen Städten beobachtet werdenden Regel, die Räume, welche Versammlungen aufnehmen sollen, nicht kleiner zu machen, als 100 Cubikfuß für jeden Menschen, ausgegangen, habe aber diesen Raum noch um ein Drittel vermindert; ferner habe ich nach *Davy's* Versuchen \*\*\*)) angenommen, daß jeder Mensch in einer Minute die Luft von 4,9 Cubiczoll Stickstoffgas und 19,5 Cubiczoll Sauerstoffgas vermindert, dagegen um 15,4 C.Z. Kohlensäuregas vermehrt. Wenn man das, bei der Verminderung von 9 C.Z. in einer Minute notwendige Eindringen der äußeren Luft durch die jedesmal vorhandene Vermehrung der Wärme ausgeglichen annimmt, so findet man aus diesen Zahlen, daß das im 1<sup>ten</sup> Art. angeführte Verhältniß der drei in

der Luft Anfangs befindlichen Gasarten, nämlich:

$$v = 0,78605, v_s = 0,21325, v_c = 0,00070$$

sich nach Verlauf einer Stunde in

$$v = 0,78719, v_s = 0,20405, v_c = 0,00876$$

ändert. Entzieht man der verminderten Luft das Kohlensäuregas, so ist das Verhältniß der beiden anderen Gase Anfangs = 0,7866 : 0,2134 und nach Verlauf der Stunde = 0,7941 : 0,2059. Dieses Resultat der Rechnung ist dem Resultate der Versuche nicht so unähnlich, daß man daraus schließen dürfte, die Voraussetzung, auf welche die ersten gebaut ist, sei unrichtig; vielmehr scheint es, daß man diese Vergleichung leicht leichter gegen als für die *Dalton'sche* Annahme geltend machen könnte. Ich glaube überhaupt, daß, wenn man Versuche in haben wünscht, welche unmittelbar gegen oder für diese Annahme entscheiden, man sie am leichtesten erhalten wird, indem man das Eindringen atmosphärischer Luft in einen, mit einem ihrer Bestandtheile, oder auch mit beiden in einem anderen Verhältnisse gefüllten, nicht luftdicht verschlossenen Raum beobachtet. Um diese Versuche zu vereinfachen und die Grundlagen ihrer Berechnung leichter zu erhalten, müßte der Raum nicht das Innere eines Saales, sondern das Innere einer Glasglocke seyn.

Wenn keine besondere Hypothese über die molecular Beschaffenheit der Gase und Dämpfe gemacht wird, so ist offenbar, daß ein Gastheilchen ein angrenzendes Theilchen von gleicher oder ungleicher Beschaffenheit, mit gleicher Kraft (mit derselben, womit es sich auszudehnen strebt) drücken muß. Ohne eine solche Hypothese ist also die *Dalton'sche* Annahme im Widerspruche mit den Grundsätzen der Aerostatik. Uebrigst aber kann dieses nicht eher behauptet werden, als bis der Beweis geführt sein wird, daß keine Hypothese dieser Art mathematisch möglich sei. Die von mir entwickelte Ansicht des Verhaltens der Dämpfe bedarf dagegen nicht der Rechtfertigung durch eine besondere Hypothese, indem sie unmittelbares Resultat der Erfahrung und als Unterscheidungszeichen zwischen Dämpfen und Gasen angesehen wird, daß die Dichtigkeit der Dämpfe nicht über einen gewissen, von der Wärme abhängigen Grad, gesteigert werden kann. Was man aber auch auf die molecular Beschaffenheit eingeht, so ist leicht begreiflich, daß eine Entfernung der kleinsten Theilchen der Dämpfe stattfindet, für welche ihre Anziehungskraft der aus der Wärme hervorgehenden Abstoßungskraft gleich wird, so daß jede kleinere Entfernung die erstere überwiegt und die Vereinigung der Theilchen zur Folge hat.

\*) *Gilbert's Annalen der Physik*. Bd. XX. S. 82.

\*\*) *Phil. Transact.* 1837. P. II. p. 363.

\*\*\*)) Nach *Gilbert's* Berechnung. *Annalen der Physik* Bd. XIX. S. 312.

Wenn ich die *Dalton'sche* Annahme, trotz dem, was ich oben darüber gesagt habe, in Beziehung auf die trockenen Bestandtheile der Luft verfolgt habe (Art. 6), so darf ich wohl

rniger unterlassen, zu untersuchen, was daraus, in Beziehung zu den in der Atmosphäre enthaltenen Wasserdampf hervorgeht. Auch muß man diese Untersuchung durchführen, wenn man erfahren will, ob Beobachtungen über die Vertheilung des Wasserdampfes in der Atmosphäre für oder wider die Dalton'sche Annahme geltend gemacht werden können.

Ich werde also nach Dalton annehmen, der Wasserdampf in der Atmosphäre werde nur durch höhere Schichten seiner eignen Art zusammengedrückt, oder er bilde eine, durch ihr eigenes Gleichgewicht bestehende Atmosphäre. Die Aenderung des Druckes dieser Dampfatmosfera, welche der Vergrößerung  $dx$  der Höhe  $x$  entspricht, ist, der Formel (4) zufolge:

$$dp_r = - \frac{(g) 864 \cdot d}{336 905} \left( \frac{a}{a+x} \right)^a dx$$

oder, nach später eingeführten Bezeichnungen,

$$dp_r = - \frac{\delta}{\mu \cdot D} dX$$

Ihre Dichtigkeit  $\delta$  folgt, bis sie ihr Maximum erreicht, dem Mariotteschen Gesetze, oder entspricht der Gleichung (3), welche für den gegenwärtigen Fall:

$$\delta \cdot E = p_r D \delta_r$$

ist; wozu noch die zum Gleichgewichte wesentlich erforderliche Bedingung hinzukommt, daß das aus dieser Gleichung hervorfließende  $\delta$  in keiner Höhe größer werde, als das der Wärme angemessene Maximum der Dichtigkeit; oder, der Bezeichnung des  $\Psi$ -Art. zufolge, die Bedingung, daß

$$p_r \geq \Psi^t$$

Eliminirt man  $\delta$ , so erhält man

$$\frac{dp_r}{p_r} = - \frac{d_r}{\mu \cdot D} \frac{dX}{1 + k \cdot X}$$

Ein ganz ähnliches Differential ist schon im 2<sup>ten</sup> Art., unter der Voraussetzung integrirt, daß die Wärme zwischen den beiden Höhen, wo sie beobachtet ist, sich so verändere, wie Laplace annimmt. Dieser Voraussetzung zufolge ist

$$\frac{dX}{1 + k \cdot X} = - \frac{2k}{i} dt$$

so daß daher das von der Höhe  $h$ , wo der Thermometerstand  $\tau$  ist, und für welche ich den Druck des Wasserdampfes durch  $P_r$  bezeichnen werde, an gezählte Integral:

$$\log \frac{P_r}{p_r} = \frac{d_r}{i} \frac{2k}{i} (\tau - t)$$

$$(16) \dots \dots p_r = P_r 10^{-\frac{d_r}{i} \frac{2k}{i} (\tau - t)}$$

Nimmt man den Druck  $P_r$  in der Höhe  $h = \alpha \Phi \tau$  an, wo  $\alpha$  nicht größer als 1 sein kann, so fordert die zu erfüllende Bedingung, daß für jeden Werth von  $t$ ,

$$\alpha \Phi \tau \cdot 10^{-\frac{d_r}{i} \frac{2k}{i} (\tau - t)} \geq \Psi^t$$

oder

$$\alpha \Phi \tau \cdot 10^{-\frac{d_r}{i} \frac{2k}{i} \tau} \geq \Phi^t \cdot 10^{-\frac{d_r}{i} \frac{2k}{i} t} \dots \dots (17)$$

und wenn für  $\Phi \tau$  und  $\Phi^t$  der Ausdruck (9) gesetzt wird, daß

$$\alpha 10^{-(\frac{d_r}{i} \frac{2k}{i} - a) \tau - c \tau} \geq 10^{-(\frac{d_r}{i} \frac{2k}{i} - a) t - c t} \dots \dots (18)$$

sei.

Wenn man  $t$ , mit zunehmender Höhe, ohne Begrenzung kleiner werdend annimmt, so muß es zwar einen negativen Werth erlangen, für welchen, selbst bei dem kleinsten Werthe von  $a$ , diese Bedingung nicht mehr erfüllt wird; man darf aber hieraus nicht schließen, daß die Dalton'sche Annahme mit dem Vorhandensein einer im Gleichgewichte befindlichen Wasserdampfatmosfera von nicht verschwindender Dichtigkeit, unter allen Umständen unvereinbar sei. Das Abnehmen von  $t$  geht nämlich nicht ins Unendliche, sondern nur bis zu dem Werthe, den es an der Grenze der Atmosphäre besitzt; auch ist die Formel (9), worauf der Ausdruck der Bedingung beruht, nur eine Interpolationsformel, deren Form nicht gerechtfertigt werden kann, und für welche nichts anders geltend gemacht wird, als ihre mehr oder weniger genügende Uebereinstimmung mit den Dalton'schen, zwischen  $t = 0$  und  $t = 100^\circ$  gemachten Beobachtungen.

Wenn man indessen die Logarithmen der beiden Größen, zwischen welchen die Bedingung stattfindet, nimmt, so folgt daraus

$$\log \alpha \geq \left( \frac{d_r}{i} \frac{2k}{i} - a + c (\tau + t) \right) (\tau - t)$$

und man weiß überdies, daß  $\alpha \geq 1$ , also  $\log \alpha$  nicht positiv sein muß. Hieraus geht hervor, daß die Bedingung erfüllt wird, oder die Wasserdampfatmosfera möglich ist, auch das ihre Dichtigkeit in der Höhe  $h$  bestimmende  $\alpha (< 1)$  willkürlich bleibt, wenn

$$\frac{d_r}{i} \frac{2k}{i} > a - c (\tau + t) \dots \dots (19)$$

ist, was bis zur Grenze der Atmosphäre stattfinden muß; ferner, daß im entgegengesetzten Falle, wenn also, selbst in der Höhe  $h$ ,

$$\frac{d_r}{i} \frac{2k}{i} < a - c (\tau + t) \dots \dots (20)$$

ist, zwar auch eine sich im Gleichgewichte befindende Wasserdampfatmosfera möglich ist, ihre Dichtigkeit in der Höhe  $h$  aber durch die Bedingung beschränkt wird, daß  $\alpha$  kleiner sein muß, als

$$10^{\left( \frac{d_r}{i} \frac{2k}{i} - a + c (\tau + t) \right) (\tau - t)} \dots \dots (21)$$



für den Werth von  $z$  ist, welcher an der Grenze der Atmosphäre stattfindet. In einem besonderen Falle der Wärmeabnahme kann die Wasserdampf-Atmosphäre in allen Höhen so dicht sein, als ihre Wärme erlaubt; dieser Fall fordert, daß

$$\frac{dp_r}{p_r} = -\frac{d_r}{\mu} \frac{dX}{1+k} = \frac{d\Phi z}{\Phi z}$$

oder, unter Voraussetzung des immer angewandten Ausdruckes

$$(22) \dots \dots \dots X-H = \frac{r'}{d_r} \left\{ (a-2c\tau)(1+k\tau)(\tau-t) - \left( \frac{ak}{2} - c + 2c\tau k \right) (\tau-t)^2 - \frac{3}{2} ek(\tau-t)^3 \right\}$$

Setzt man die oben schon angewandten Werthe von  $r'$ ,  $d_r$ ,  $a$ ,  $c$ ,  $k$  in diese Gleichung, so erhält man das Gesetz der Wärmeabnahme, welches, unter der Voraus-

$$X-H = 424,0 (1-\tau \cdot 0,00447) (1+\tau \cdot 0,00375) (\tau-t) + 0,15 (1-\tau \cdot 0,0463) (\tau-t)^2 - 0,003 (\tau-t)^3$$

Setzt man ferner, dem 2<sup>ten</sup> Art. zufolge,

$$\frac{2k}{i} = \frac{H'-H}{\tau-\tau'} \cdot \frac{1}{1+kT}$$

und bezeichnet man den Werth, welchen  $z$  an der äußersten Grenze der Atmosphäre hat, durch  $(t)$ , so verwandelt sich die Bedingung (19) in:

$$\frac{H'-H}{\tau-\tau'} > \frac{r'}{d_r} (1+kT) \left\{ a-c(\tau+(t)) \right\} \\ > \left\{ 424,0 - 0,95 (\tau+(t)) \right\} (1+kT)$$

In der Wirklichkeit ist die Veränderung der Höhe, welche eine

$$\log \alpha < \left\{ \frac{H'-H}{\tau-\tau'} \cdot \frac{1}{1+kT} \cdot \frac{d_r}{r'} - a + c(\tau+(t)) \right\} (\tau-(t))$$

oder

$$(1+kT) \frac{r'}{d_r} \log \alpha < \left\{ \frac{H'-H}{\tau-\tau'} - [424,0 - 0,95 (\tau+(t))] \right\} (1+kT) (\tau-(t))$$

voraus

$$\tau-(t) < \frac{-\frac{r'}{d_r} \log \alpha \cdot (1+kT)}{[424,0 - 0,95 (\tau+(t))] (1+kT) - \frac{H'-H}{\tau-\tau'}}$$

folgt. Kennt man also das letzte Glied des Nenners und zugleich  $\alpha$ , so kann man nach dieser Formel einen Werth von  $\tau-(t)$  berechnen, der, unter der verfolgten Voraussetzung der *Daltonschen* Annahme, größer ist als der Wärmenunterschied zwischen der Höhe  $\bar{A}$  und der Grenze der Atmosphäre. Nimmt man z. B.  $\frac{H'-H}{\tau-\tau'} = 85$  Toisen und  $7 = 0$ , und setzt man die Atmosphäre an der Oberfläche der Erde, halb gesättigt mit Wasserdampf voraus, so erhält man näherungsweise  $\tau-(t) < 13^{\circ}5$ , was kaum die gewöhnliche Wärmeabnahme in 1200 T. Höhe, geschweige denn an der Grenze der Atmosphäre erreicht; ist die letztere  $= n \cdot 13^{\circ}5$ , so wird die größte Grenze von  $\alpha = \frac{1}{n}$ . Die *Daltonsche* Annahme ist also nur mit einer sehr geringen Menge Wasserdampfes in der Atmosphäre, und nicht mit der wirklich darin vorkommenden ver-

von  $\Phi z$ ,

$$-\frac{d_r}{r'} dX = (a-2c\tau)(1+k\tau) dt$$

sei. Hieraus folgt durch Integration:

$$a(\tau-t) + \left( \frac{ak}{2} - c \right) (\tau^2-t^2) - \frac{3}{2} ek(\tau^3-t^3) = \frac{d_r}{r'} (X-H)$$

wofür auch geschrieben werden kann:

$$\text{Abnahme des Thermometerstandes von } 1^{\circ} \text{ hervorbringt, weit kleiner, etwa } = 85 \text{ Toisen. Mit diesem wirklichen Zustande der Atmosphäre kann also, der } \textit{Daltonschen} \text{ Annahme zufolge, ihre Sättigung durch Wasserdampf, an der Oberfläche der Erde, nicht vereinigt werden. Wird aber die Bedingung (20) erfüllt, oder ist}$$

$$\frac{H'-H}{\tau-\tau'} < (424,0 - 1,9\tau) (1+kT)$$

so ist, der Formel (21) zufolge, nachdem man darin des Ausdruck von  $\frac{2k}{i}$  substituirt hat,

einbar. Wenn man die in dieser Untersuchung gemachte Voraussetzung des Gleichgewichtes der Atmosphäre als richtig ansehen könnte, so würde das Vorkommen einer beträchtlichen Menge Wasserdampfes in ihr, ein nicht zu besetzendes Argument gegen die *Daltonsche* Annahme sein; dieses Gleichgewicht ist aber nie wirklich vorhanden, und namentlich verdanke ich Herrn Professor *Neumann* die Bemerkung, daß die Dichtigkeit von der Oberfläche der Erde aufsteigendes Wasserdampfes durch den Widerstand vermehrt werden muß, welchen die Luft ihm entgegensetzt.

8.

Ich komme nun zu der Untersuchung der Voraussetzung, daß die Wärme zwischen beiden Höhen, wo sie beobachtet ist, sich nach dem von *Laplace* dafür angenommenen Gesetze

(§ 2) verändere. Die Gleichung zwischen  $s$  und  $X$ , welche dem Gesetze ausspricht, ist, wie aus dem 2ten Art. hervorgeht:

$$(11) \cdot (1+ks)^2 = (1+kr)^2 \frac{H'-X}{H-H} + (1+kr)^2 \frac{X-H}{H'-H}$$

Man hat aber keinen Grund, mäßige Abweichungen des Ueberschusses der Wärme von  $\tau$  zu  $\tau'$ , von der durch diese Gleichung erhaltenen Vorschrist, als unstatthaft zu betrachten; es bleibt z. B. gänzlich zweifelhaft, ob nicht zwischen den beiden Höhen ein Unterschied der wahren Wärme, von der aus dieser Vorstich hervorgehenden, vorhanden ist, welcher bis auf ein Zehntel von  $\tau - \tau'$  steigt. Es ist daher nicht überflüssig, den Ueberschuss solcher Abweichungen weiter zu verfolgen.

Es werde voraussetzen, daß der wahre Werth von

$$\frac{1}{E} = \frac{1 - 4ks \frac{(\tau-t)(t-\tau')}{\tau-\tau'}}{1+kt}$$

ist, wo  $s$  den der Gleichung (23) entsprechenden Werth des Barometerstandes in der Höhe  $x$ , und  $a$  einen beständigen Coefficienten bezeichnet, dessen größere oder kleinere Annahme die Größe der Abweichung von dem Gesetze bestimmt. Dieser Ausdruck von  $\frac{1}{E}$  ist so gewählt, daß er in den beiden Grenzen mit dem vorigen übereinstimmt, und daß die Abweichung der Wärme, welche er voraussetzt, von der aus der zusammengekommen Gleichung folgenden, etwa für  $t = \frac{1}{2}(\tau + \tau')$ , oder  $s = \frac{1}{2}(h + h')$ , ihr Maximum  $= a(\tau - \tau')$  erlangt. Man erhält dadurch

$$\left(\frac{a}{s+z}\right)^2 dx = -\frac{2k}{t} dt \left\{ 1 - 4ks \frac{(\tau-t)(t-\tau')}{\tau-\tau'} \right\}$$

und das von  $h$  bis  $h'$  genommene Integral:

$$= \frac{2k}{t} (\tau - \tau') \left\{ 1 - \frac{1}{2} k a (\tau - \tau') \right\}$$

$$10) \dots \dots = \frac{H'-H}{1+kt} \left\{ 1 - \frac{1}{2} k a (\tau - \tau') \right\}$$

Man glaube nicht, daß man in irgend einem vorkommenden Falle geneigt sein wird, für wahrscheinlich zu halten, daß  $a$  sich innerhalb sehr enger Grenzen, z. B.  $\pm \frac{1}{10}$  befinde; erreicht  $a$  diese Grenzen, so ist die daraus folgende Verbesserung des, unter der Voraussetzung des Gesetzes (23) gefundenen Höhenunterschiedes

$$= \pm \frac{H'-H}{1+kt} \frac{\tau - \tau'}{4000},$$

z. B. für einen Höhenunterschied von 1000 Toisen, für welchen  $\tau - \tau'$  gewöhnlich  $12^\circ$  ist, etwa  $\pm 3$  Toisen. Man sieht, desto weniger geneigt sein,  $a$  als nothwendig sehr klein anzunehmen, da man nicht übersehen wird, daß die Wärme der Luft, welche man an einem, in der Ebene oder auf einer beliebigen Punkte beobachtet, immer an der Wärme der

Oberfläche der Erde an diesem Punkte Theil nimmt. Man sieht hieraus, wie wenig geeignet barometrische Höhenmessungen schon aus diesem Grunde allein sind, über Fragen zu entscheiden, deren Beantwortung auf kleinen Verschiedenheiten zwischen einer Theorie und der Erfahrung beruht. Es ist übrigens nicht unwahrscheinlich, daß spät in der Nacht vorgenommene barometrische Höhenmessungen besser untereinander übereinstimmen werden, als am Tage gemachte, wo die Sonne die Oberfläche der Erde erwärmt.

## 9.

Es ist bekannt, daß Gay-Lussac den hier durch  $k$  bezeichneten Werth, durch fast vollkommen untereinander übereinstimmende Versuche  $= 0,00375$  gefunden hat; auch daß Dalton, aus den seingigen genau dasselbe Resultat erhalten hat. Beide große Physiker haben beabsichtigt, die Vergrößerung unmittelbar zu bestimmen, welche die Raumeinheit trockener Luft erfährt, indem man sie bei gleichbleibendem Drucke aus der Wärme des gefrierenden Wassers in die des siedenden bringt. Nicht nur die Uebereinstimmung der einzelnen Versuche beider Reihen untereinander, sondern auch der Resultate beider, hat die Annahme allgemein gemacht, daß die Bestimmung  $k = 0,00375$  zu den sichersten gehöre, welche man hesität; und es würde kein Grund, diese Annahme in Zweifel zu ziehen, vorhanden sein \*), wenn nicht neuerlich eine Arbeit von Rudberg bekannt geworden wäre, welche sich durch große darauf verwandte Vorsicht, namentlich in der Austrocknung der angewandten Luft, auszeichnet, allein ein beträchtlich kleineres Resultat, nämlich  $k = 0,003648$ , ergibt. Indessen sollte jede neuere Bestimmung, welche gegen eine ältere, durch eigenes Gewicht und durch häufige allgemeine Anwendung, gewissermaßen classisch geworden, streitet, immer nur von einer genauen Kritik der älteren begleitet, auftreten; nur wenn sich aus dieser Kritik Gründe zum Mißtrauen gegen

\*) Ich selbst habe zwar die Zahl, welche man statt  $k$ , bei der Berechnung der astronomischen Strahlenbrechungen, anwenden muß, aus meinen Beobachtungen bestimmt und  $= 0,0036438$  gefunden; allein diese Zahl muß verschieden von  $k$ , und zwar kleiner sein, wie aus der VII. Abthl. meiner Beob. S. XI hervorgeht. Man könnte ihre Aufschung ersparen, wenn man, für die Zeit jeder Beobachtung einer Strahlenbrechung, auch die Beobachtung des Wasserdampfgehaltes der Luft besäße; der Mangel dieser Beobachtung sollte und mußte durch meine Untersuchung, in soweit er ohne Kenntniß des jedesmaligen, unfälligen Zustandes der Luft beseitigt werden kann, weniger nachtheilig gemacht werden. Als ein Beitrag zur Bestimmung von  $k$  ist ihr Resultat nicht anzusehen, sondern nur als ein Beitrag zur Kenntniß der astronomischen Strahlenbrechungen.

die ältere ergeben, darf billigerweise angenommen werden, daß die neuere den Vorrang verdient. Rudberg hat sich auf diese Kritik nicht eingelassen. Da der Unterschied beider Bestimmungen nicht durch die zufälligen Fehler der Versuche, so wie sie sich aus der Uebereinstimmung der einzelnen, sowohl der früher als der später gemachten, ergeben, erklärt werden kann, also auf einen beständigen Fehler deutet, so darf von dem arithmetischen Mittel beider Resultate nicht die Rede sein. Meiner Meinung nach darf für jetzt nichts Anderes geschehen, als beide Resultate anzuwenden und über den Unterschied des dadurch Erlangten spätere Entscheidung abzuwarten.

## 10.

Nachdem ich die verschiedenen Voraussetzungen, welche der Formel (11) zum Grunde liegen, durchgegangen bin, kehre ich zu dieser Formel zurück und werde nun zeigen, welche Anwendung auf barometrische Höhenmessungen davon gemacht werden muß.

Die Drücke  $P$  und  $P'$  in den Höhen  $h$  und  $h'$  kann man aus den danelbst gemachten Barometerbeobachtungen ableiten.

$$= \log b - \log \frac{336,905(53242 + t)}{53242} - \mu \left\{ \frac{t}{5550} - \frac{1}{53242} \right\} - \frac{2\mu}{a} H$$

Setzt man für  $a$  das geometrische Mittel beider halben Axen des Erdsphäroids (nach Astron. Nachrichten Nr. 333 ist sein  $\log = 6,5140838$ ), und für  $t$  die Normaltemperatur des französischen Fufmaafses  $= 16^{\circ}25$ , so wird

$$\log P = \log b - \log .337,008 - t . 0,000070095 - \frac{H}{3760707}$$

Man erhält also

$$\log \frac{P}{P'} = \log b - \log b' + \frac{H' - H}{3760707}$$

$$\log b - \log b' = \frac{(g)(H' - H)}{l(1 + kT)} \left\{ 1 - \frac{l(1 + kT)}{(g).3760707} - a \frac{0,863}{V(b, b')} 10^{aT - aT'} \right\}$$

Verwechselt man  $(g)$ , im Nenner des zweiten Gliedes, mit  $l$ , was keinen merklichen Einfluß hat, und nimmt man für  $a$  die halbe Summe seiner Werthe an beiden Beobachtungspunkten  $= \frac{1}{2}(a + a')$ , so wird die in den Klammern befindliche GröÙe

$$= \frac{399,17 - kT}{400,17} \left\{ 1 - (a + a') \frac{172,67}{V(b, b')} \frac{10^{aT - aT'}}{399,17 - kT} \right\}.$$

Bezeichnet man daher

$$l(1 + kT) \frac{400,17}{399,17 - kT} \text{ durch } P'$$

$$\frac{172,67 \cdot 10^{aT - aT'}}{399,17 - kT} \text{ durch } W$$

so ergibt die Gleichung:

$$H' - H = \frac{\log b - \log b'}{(g)} \frac{P'}{1 - \frac{(a + a')W}{V(b, b')}}.$$

Bezeichnet man eine Barometerhöhe durch  $b$ , die Wärme des Quecksilbers und der Scale, auf welcher sie gemessen worden ist, durch  $t$ , und nimmt man an, daß diese, wie gewöhnlich von Messing verfertigt ist, so erhält man die Masse Quecksilbers, welche jede Flächeneinheit trägt

$$= b \cdot \frac{53242 + t}{53242 + (t)} \cdot \frac{5550}{5550 + t}$$

wo  $(t)$  die Normaltemperatur der Maafseinheit der Barometerscale bedeutet, und wo die Raumeinheit Quecksilber, in der Wärme des schmelzenden Eises, zur Einheit der Masse genommen ist. Diese Masse drückt im Verhältnisse der Schwere, welcher sie ausgesetzt ist, also mit der Kraft

$$(g) \left( \frac{a}{a + h} \right)^2,$$

und der Druck, den sie ausübt, ist das Product beider, und die angenommene Einheit des Druckes ( $= 336,905$ ) dividirt. Man erhält also

$$P = \frac{(g)b}{336,905} \left( \frac{a}{a + h} \right)^2 \cdot \frac{53242 + t}{53242 + (t)} \cdot \frac{5550}{5550 + t}$$

und seinen, in der Formel (11) vorkommenden Briggschen Logarithmen, mit hinreichender Annäherung:

wo  $\log b$ , und  $\log b'$ , um abzukürzen, für  $\log b - t . 0,000$  und  $\log b' - t' . 0,00007$  gesetzt sind. Ferner erhält man, ob merklichen Fehler:

$$V(P, P') = \frac{V(b, b')}{337,008}.$$

Setzt man beides in (11) und überdies  $\frac{l}{(g)}$  für  $l'$ , so wird diese Gleichung:

$$\log b - \log b' = \frac{l(1 + kT)}{(g).3760707} - a \frac{0,863}{V(b, b')} 10^{aT - aT'}$$

und da

$$H' - H = \frac{ah'}{a + h'} - \frac{ah}{a + h} = h' - h - \frac{h'h}{a} + \frac{hh'}{a}$$

ist:

$$h' - h - \frac{h'h}{a} + \frac{hh'}{a} = \log b - \log b' \cdot \frac{P'}{(g)} \cdot \frac{1}{1 - \frac{(a + a')W}{V(b, b')}}.$$

Dieses ist die zur Anwendung bequemste Umformung Gleichung (11). Sie kann nicht weiter abgekürzt werden, da die Freiheit nicht aufgeopfert werden soll, den Wasserdampfgehalt der Luft, so wie man ihn jedesmal durch das Psychrometer erkennen kann, richtig in Rechnung zu ziehen. Man kann auch den, zur Erleichterung der Rechnung besten Hilfstafeln, eine Einrichtung geben, welche die Mithel Wasserdampf gehörig zu berücksichtigen, höchst unbequem macht.

11.

Ich werde noch diese Hilfstafeln erklären. Sie sind logarithmisch eingerichtet, so wie die kleinen, sehr bequemen Tafeln von *Gauß*. Sie sind aber etwas weitläufiger; sowohl weil sie das gesuchte Resultat unter den beiden Annahmen  $\alpha$  und  $\alpha'$ , nämlich  $\alpha = 0,00375$  und  $0,003648$  ergeben sollen, als auch weil der Einfluß des Wasserdampfes vollständiger in Rechnung gebracht werden soll, als nach der von *Laplace* geübten Formel geschieht.

Berechnet man

$$\log Br \left\{ \log b_i - \log b_i' \right\} \text{ durch } B$$

$$1 - \frac{(\alpha + \alpha') W}{\sqrt{(b_i b_i')}} - F'$$

$$\frac{1}{(G)} \dots \dots \dots G$$

ist der Logarithmus von  $k' - h - \frac{k' h'}{a} + \frac{h h}{a}$

$$= B + \log F' + \log F'' + \log G$$

Die Tafel I enthält in ihrer ersten Spalte für  $k = 0,00375$ , in der letzten für  $k = 0,003648$  berechnet:

$$\log F' = \log \frac{9397,74 \cdot 400,17 (1 + k T)}{399,17 - k T}$$

Das Argument ist  $2T = \tau + \tau'$ ; in der zweiten Spalte enthält sie

$$\log W = \log \frac{172,67 \cdot 10^{aT - \tau T}}{399,17 - k T}$$

und zwar hat die Verschiedenheit der beiden Annahmen von  $k$  keinen Einfluß auf die letzte Decimalstelle von  $\log W$ , weshalb nur eine Spalte damit gefüllt werden durfte. Wenn man nun aus dem daraus entnommenen Werthe von  $\log W$  die halbe Summe der (schon aufgesuchten) Logarithmen von  $b$  und  $b'$  abzieht, so ist der Rest der Logarithmus von

$$\frac{(\alpha + \alpha') W}{\sqrt{(b_i b_i')}}$$

unter der Voraussetzung  $\alpha = \alpha' = \frac{1}{2}$ ; sollen  $\alpha$  und  $\alpha'$  andere angenommen werden, so muß noch  $\log(\alpha + \alpha')$  addirt werden. Dadurch hat man das Argument von Tafel II, welche  $\log F''$  enthält. Tafel III enthält, mit dem Argumente  $\tau + \tau'$  die Polhöhe:

$$\log G = \log \frac{1}{1 - 0,0026257 \cos 2\phi}$$

Die Formel auf dem Werthe der Zunahme der Secundenlänge von dem Aequator bis zu den Polen beruht, welche Herr *Baily*, aus der Berechnung aller bekannt gewordenen Beobachtungen des Pendels, im VII. Bande der Schriften der brit. Society p. 94, abgeleitet hat.

Die Summe von  $B$  und der aus den drei Tafeln genommenen Zahlen ist  $\log \left\{ k' - h - \frac{k' h'}{a} + \frac{h h}{a} \right\}$ ; um aus dem hierdurch bekannt werdenden Werthe dieser GröÙe,  $k' - h$  selbst zu finden, muß man  $\frac{k' h'}{a}$  addiren und  $\frac{h h}{a}$  subtrahiren, welche beide durch Tafel IV gegeben werden, indem man mit  $k'$  und mit  $h$  in sie eingeht.

Um alle Bezeichnungen und Vorschriften beisammen zu haben, setze ich sie noch einmal her:

$b, b'$  Barometerstände, auf einer in Pariser Linien getheilten Scale abgelesen.

$t, t'$  Stände des Centesimalthermometers am Barometer.

$\tau, \tau'$  Stände des Centesimalthermometers in freier Luft.

$\alpha, \alpha'$  Sättigungsgrade der Luft durch Wasserdampf.

Die Berechnung des Höhenunterschiedes der Punkte, wozu diese Beobachtungen gemacht worden sind, fordert die Aufzählung von:

1.  $\log b_i = \log b - t \cdot 0,00007$ ;  $\log b_i' = \log b' - t' \cdot 0,00007$ .
2.  $B = \log \left\{ \log b_i - \log b_i' \right\}$
3.  $\log F'$  und  $\log W$ , welche mit dem Argumente  $\tau + \tau'$ , aus Tafel I genommen werden.
4.  $\log F''$ , welchen Tafel II, mit dem Argumente  $\log \frac{(\alpha + \alpha') W}{\sqrt{(b_i b_i')}}$  ergibt.
5.  $\log G$ , welchen Tafel III mit dem Argumente Polhöhe  $= \phi$  ergibt.
6.  $\log$  des genäherten Höhenunterschiedes  $= B + \log F' + \log F'' + \log G$ .
7. Der wahre Höhenunterschied ist der genäherte  $\pm$  dem Unterschied der kleinen Verbesserungen, welche man aus Tafel IV, mit den Argumenten gröÙere und kleinere Höhe, erhält.

Zum Beispiele wähle ich eine von *d'Aubuissons* Messungen der Höhe des Monte Gregorio über einem Punkte, dessen Höhe  $h = 128,3$  Toisen ist; sie findet sich im *Traité de Géognosie* I p. 481. Da der Wasserdampfgehalt der Luft nicht beobachtet ist, so nehme ich  $\alpha = \alpha' = \frac{1}{2}$ .

$$b = 329^{\circ}013, \quad t = 19^{\circ}85, \quad \tau = 19^{\circ}95$$

$$b' = 268,215, \quad t' = 10,5, \quad \tau' = 9,9$$

$$\log b = 2,51721; \quad 7.t = 139; \quad \log b_i = 2,51582 \quad \text{halbe}$$

$$\log b' = 2,42848; \quad 7.t' = 73,5; \quad \log b_i' = 2,42774,5 \quad \text{Summe } ^{\circ})$$

$$\log \frac{b_i}{b_i'} = 0,088075$$

$$- B = 8,94485$$

Tafel	$B = 8,94485$	
I. $\tau + \tau' = 29^{\circ} 85' (k = 0,00375)$	$\log V = 3,99782$	$\log V' = 0,0397$
II. Arg. = 7,5679	$\log V = 161$	$\log V' = 2,4718$
III. $\phi = 45^{\circ} 32'$	$\log G = -2$	$7,5679$
	2,94426	
gehörter Höhenunterschied.....	879 <sup>7</sup> 54	
IV. $h' = 1007,8$ , $h = 128,3$	+0,31	
	$h' - h = 879^{\circ} 85$	

*D'Aubuisson* berechnet selbst 879<sup>7</sup>7; aus den *Gefährlich* Tafeln erhält man 879<sup>7</sup>63. Will man  $k = 0,003648$  annehmen, so erhält man 1<sup>7</sup>26 weniger. Nimmt man die *La* ganz trocken an, so erhält man 3<sup>7</sup>24 weniger; nimmt man sie ganz feucht an, 3<sup>7</sup>28 mehr.

*Bessel.*

Schreiben des Herrn *Dumouchel*, Directors der Sternwarte auf dem Collegio Romano, an den Herausgeber.

Rom 1838. Aug. 9.

Après un trop long silence, il y a pourtant déjà quelques tems que je me propose de vous écrire pour vous communiquer plusieurs observations intéressantes, dont la lecture de votre journal a fourni l'occasion. Je n'ai différé un peu que pour donner plus de certitude à nos conclusions, leur concilier plus de confiance, et pour éloigner jusqu'au soupçon même de précipitation. Les observations faites par *M<sup>r</sup> Encke* sur l'anneau de Saturne, avec un excellent oculaire achromatique, firent naître à mon très-cher Collègue le *Père De Vico*, l'espoir de voir quelque chose de semblable avec notre grande lunette, il ne fut pas trompé, car profitant de quelques nuits très-claires et sereines, qui ne sont pas rares actuellement sous notre beau ciel de Rome, Saturne se trouvant à peu près à sa moindre distance de la terre, avec son excellente vue et en employant nos plus forts oculaires, quoique non achromatiques, le soir du 29 mai il apperçut très-distinctement et fit voir à ses élèves et amis outre les 2 anneaux déjà connus, 3 autres divisiones, ou lignes noires, l'une presque au milieu de l'anneau extérieur et deux sur l'anneau intérieur. Les observations de ces jours suivans donnèrent quelque variation dans le nombre des zones selon que l'air était plus ou moins pur et serein. Vers la culmination de la planète, on voyait quelques fois jusqu'à 6 anneaux (si l'on peut leur donner ce nom); la distinction étoit telle, qu'on n'y pouvoit soupçonner aucune illusion d'optique.

Mais ce qui nous paroit plus important encore, à l'époque et dans le cours de ces observations, ils apperçurent très-bien les 7 satellites de Saturne, même les deux voisins de planète, qu'on dit n'avoir encore été vus que par *Herschel*. Ceux-ci paroissent auprès de l'anneau, et se voyoient très-bien, pendant quelque tems, vers la culmination: à mesure que la planète s'abaissait, on les distinguoit toujours plus distinctement et on finissoit par les perdre de vue. Le *Père De Vico* n'a pu instituer d'observations sur le 1<sup>er</sup> satellite, à partir de Saturne, avec les moyens que nous avons (J'ai écrit de *M<sup>r</sup> Casseioir* pour avoir 1 ou 2 bons oculaires achromatiques munis de micromètres j'attends sa réponse.) mais il a déjà un assez grand nombre d'observations sur le second et s'en sert pour déterminer d'avance sa position approchée, pour l'assurance: ce qui l'a engagé en de très-longes calculs (car nous manquons de secours pour cet objet) et lui a donné lieu de déployer une grande capacité, avec une rare patience et persévérance à toute épreuve. Ce sera l'objet d'un mémoire au quel il travaille sans relâche.

A partir du mois de juillet les 2 prem. satell. se voient plus difficilement il y avoit pourtant encore dans ce mois quelques belles nuits où on les voyait très-bien tous les deux à sa place.

*E. G. Dumouchel*  
Pr. de la C<sup>ie</sup> de Jean

# Inhalt.

Bemerkungen über barometrisches Höhenmessen. Von Herrn Geheimen-Rath und Ritter *Bessel*. p. 329.  
Schreiben des Herrn *Dumouchel*, Directors der Sternwarte auf dem Collegio Romano, an den Herausgeber. p. 359.

Altona 1838. September 20. (Hiebei eine Beilage und ein Blatt mit Tafeln.)

## N<sup>o</sup> 357. DER ASTRONOMISCHEN NACHRICHTEN.

Schreiben Sr. Excellenz des Herrn wirklichen StaatsRaths v. *Fuss*, Mitglieds und beständigen Secretairs der Kaiserl. Academie der Wissenschaften in St. Petersburg, an den Herausgeber.

Am gestrigen Tage sind die am <sup>19. Juni</sup>~~1. Juli~~ in Warschau Allerhöchst bestätigten Statuten und Etat unserer Hauptsternwarte durch die Senatszeitung promulgirt worden. Ich glaube mir einige Ansprüche auf Ihren Dank zu erwerben, indem ich Ihnen heute schon eine treue deutsche Uebersetzung dieser denkwürdigen Actenstücke für Ihre Zeitschrift übersende, die mir in das nächste Organ zu seyn scheint, um die Nachricht über die Vollendung der großartigen Stiftung unseres Monarchen zu den Astronomen zu verbreiten. Der liberale Sinn des Monarchen, in welchem sich die hohe Achtung für die Wissenschaft ausdrückt, die unsere Regierung schon auf so viel-

fültige Weise an den Tag gelegt hat, wird gewiß nicht minder anerkannt werden, als die würdige Ausstattung der Anstalt mit den nöthigen Geldmitteln. Die Bedingungen des Gedeihens derselben sind jetzt in den Händen der Akademie und dieses selbst also, auch für die fernere Zukunft denke ich, verbürgt. Für die nächste haftet uns der Ruf und die geistige und körperliche Tüchtigkeit des bereits designirten ersten Directors der Hauptsternwarte, unsers *Struve*, der Sie nächstens persönlich begrüßen und Ihnen einen Separatdruck des Statuts in der Originalsprache mit französischer Uebersetzung überreichen wird.

St. Petersburg den 1<sup>ten</sup>. August 1838.

*Fuss.*

### Ukas an den dirigirenden Senat.

Da die Wünsche, die Fortschritte der Astronomie in Unserm Reiche zu befördern, haben Wir befohlen in der Nähe St. Petersburgs, auf dem Pulkowaberge, eine Hauptsternwarte zu errichten und diese mit einem vollständigen Apparat der vollsten Instrumente zu versehen.

Nun, da der Bau der für diese Anstalt bestimmten Gebäude seiner Vollendung naht, so daß dieselbe vom Jahre 1839 an eröffnet werden und in Wirksamkeit treten kann, haben Wir die von dem Minister des öffentlichen Unterrichts entworfene und im Reichsrathe durchgesehenen Statuten und den Etat der Hauptsternwarte bestätigt, und befehlen dieselben vom 1. Januar des künftigen Jahres in Kraft treten lassen.

Das Original ist von Sr. Kaiserlichen Majestät Höchstseiner Hand unterzeichnet.

Warschau, den <sup>19. Juni</sup>~~1. Juli~~ 1838.

*Nikolai.*

der Kaiserlich-Russischen Hauptsternwarte zu Pulkowa bei St. Petersburg.

Die auf dem Pulkowaberge, 17 Werst von St. Petersburg, errichtete Sternwarte steht unmittelbar unter der Oberaufsicht der Kaiserlichen St. Petersburg Akademie der Wis-

senschaften und führt, als Central-Anstalt dieser Art im Reiche, den Namen der Kaiserlich-Russischen Hauptsternwarte (Imperialis primaria Rossiae specula academica).

2. Der Zweck bei der Gründung der Hauptsternwarte ist ein dreifacher. Es sollen auf derselben a) ununterbrochen und in möglicher Vollkommenheit Beobachtungen angestellt werden, die auf die Förderung der Astronomie, als Wissenschaft, abzielen; b) correspondirende Beobachtungen für geographische Unternehmungen im Reiche und wissenschaftliche Reisen überhaupt. Außerdem soll c) nach Möglichkeit zur Vervollkommenung der praktischen Astronomie in ihren Anwendungen auf Geographie und Nautik beigetragen und zu Uebungen in der geographischen Ortsbestimmung Gelegenheit geboten werden.

Anmerkung. Diesem dreifachen Zweck angemessen, ist die Hauptsternwarte bei ihrer Eröffnung mit einem vollständigen Apparat der vorzüglichsten astronomischen Instrumente nach der neuesten Construction versehen. Zur Unterhaltung und Ausbesserung derselben, zur Bestellung neuer Instrumente, je nachdem etwa neue Fortschritte der Wissenschaft und Kunst, solche erforderlich machen sollten, so wie endlich zur Ausführung solcher wissenschaftlichen Arbeiten und Beobachtungen, die besondere Mittel erheischen, ist im Etat der Sternwarte eine besondere Summe ausgeworfen.

3. Die bei der Hauptsternwarte angestellten Beamten sind: 1) der Director derselben oder der erste Astronom; 2) vier Assistenten, deren einer den Titel des zweiten Astronomen führt; 3) der Sekretär des Directors; 4) der Mechaniker, und 5) der Inspector.

4. Das Amt des Directors der Hauptsternwarte oder des ersten Astronomen wird jedesmal dem ordentlichen Akademiker für praktische Astronomie übertragen. Die Akademie wird künftig bei der Wahl eines Akademikers für besagtes Fach diese seine wichtige Bestimmung mit vor Augen haben.

5. Der Director ist gehalten, seine ganze Thätigkeit ungetheilt den Pflichten seines Amtes zu widmen, und da sein Beruf als Director und als Akademiker den beharrlichsten Eifer und seine stete Gegenwart erheischt, so ist es ihm untersagt, sich mit irgend andern öffentlichen oder Privat-Aemtern zu befassen, die dem Zweck der Hauptsternwarte fremd sind. Als Ersatz ist für ihn im Etat der Hauptsternwarte ein besonderes Jahrgelohd angewiesen, dessen er unabhängig von seinen Emolumenten als Akademiker genießt.

6. Der Director wacht darüber, daßs auf der Hauptsternwarte ununterbrochen und in möglichster Vollkommenheit beobachtet werde, nach einem von ihm selbst, dem neuesten Standpunkt der Wissenschaft gemäß, entworfenen und vorläufig von der Akademie gut geheßenen Plane. Als Vorgesetzter der Sternwarte und der bei derselben angestellten Beamten, leitet er alle auf Grundlage jenes Planes vorhabenden Arbeiten, vertheilt dieselben und nimmt persönlich daran Theil. Wenn übrigens irgend einer der Assistenten wünschen sollte, neben den ihm vom Director auferlegten Pflichten, selbstständig irgend eine wissenschaftliche Untersuchung vorzunehmen, so wird der Director nicht allein ihm keine Hindernisse in den Weg legen, sondern vielmehr sich beeifern, ihm nach Möglichkeit alle Mittel zur Anstellung der nöthigen Beobachtungen oder Versuche und zur Erreichung seines Zweckes zu bieten.

7. Der Director verwaltet die ihm anvertrante Anstalt nach denselben Regeln, welche in den §§. 105 u. 107 des Reglements der Akademie für die Directoren der übrigen wissenschaftlichen Institute festgesetzt sind. In allen die Hauptsternwarte betreffenden Angelegenheiten, wo die Einwilligung der höhern Vorgesetzten einzuholen ist, wendet er sich mit seinen Vorstellungen an die Akademie.

8. Der Director überreicht alljährlich der Akademie das druckfertige Resumé der vornehmsten auf der Sternwarte im Laufe des vergangenen Jahres angestellten Beobachtungen, welches die Akademie ihrerseits sofort dem Druck übergibt, unter dem Titel: *Annales Speculæ* u. a. v. Von diesen Annalen werden unentgeltlich Exemplare an sämtliche Russischen

Universitäten, an die berühmtesten Sternwarten des In- und Auslandes, so wie an die bekanntesten Russischen und auswärtigen Astronomen vertheilt, die ihrerseits dieselbe Hülfe leisten gegen die Hauptsternwarte beobachten.

9. Der Director der Hauptsternwarte bringt unentgeltlich alle wichtige Entdeckungen, die durch irgend einen der Beobachter der Hauptsternwarte gemacht seyn mögen, so wie alle merkwürdige Himmelserscheinungen zur Kenntniß der Akademie.

10. Die vier Assistenten werden durch die Akademie aus der Zahl der von dem Director dazu vorgeschlagenen Candidaten gewählt, und zwar vorläufig auf drei Jahre, während welcher sie sämtliche ihnen laut dem Etat zukommende Emolumente genießen. Nach Verlauf dieser Zeit werden sie, sofern sie sich als tüchtig erwiesen, auf die Fortsetzung der Akademie, durch den Minister des öffentlichen Unterrichts in ihrem Amte bestätigt, mit Zurechnung der drei verfloßenen Jahre, seit ihrem Eintritt in den Dienst. Im entgegengeßten Falle ist es dem Director freigestellt, die etwa Unfähigen nach vor Ablauf des Trienniums zur Entlassung vorzustellen.

11. Es bleibt der Akademie übrigens unbenommen, junge Gelehrte, die ihr durch frühere Leistungen bekannt sind, und für welche die vorläufigen Probejahre als überflüssig erkannt werden, auf den Wunsch des Directors auch sofort zur Bestätigung als Assistenten der Hauptsternwarte vorzustellen.

12. Der zweite Astronom wird durch die Akademie auf die Vorstellung des Directors unter den vier Assistenten gewählt; in diesem Amte durch den Minister des öffentlichen Unterrichts bestätigt und genießt sodann das mit demselben verknüpfte Zukelohd, gemäß dem Etat der Hauptsternwarte.

13. Im Falle einer Krankheit oder Abwesenheit des Directors der Hauptsternwarte versieht der zweite Astronom provisorisch seine Stelle. Wenn, während dessen, eine Angelegenheit der Hauptsternwarte zur Berathung in der Akademie kommen sollte, so wird der die Stelle des Directors bekleidende zweite Astronom zur Sitzung der Akademie zugelassen, und wenn er nicht Mitglied wäre, um persönlich die Angelegenheit vertreten zu können.

14. Die Assistenten dürfen auch andere wissenschaftliche oder Lehrposten bekleiden, die sich mit ihrem Geschäft bei der Hauptsternwarte vertragen, als bei der Akademie der Wissenschaften, der Universität und andern höhern Lehranstalten, und die mit diesen Posten verknüpfte Emolumente beziehen, ohne etatmäßigen Gehalt bei der Hauptsternwarte unbeschadet.

15. Dem Director sind beigegeben: 1) ein Sekretär zur Führung der Correspondenz; 2) ein Mechaniker, zur Aufsicht über die Instrumente, ihre Instandhaltung und zur Ausbesserung verschiedener kleinerer Apparate, und 3) ein Inspector, um

Aufsicht über die polizeiliche Ordnung und Reinlichkeit in den Gebäuden der Sternwarte und den Beobachtungssälen. Diese Beamten werden von dem Director selbst angestellt und entlassen, worüber er jedoch der Akademie zu berichten hat. Das Amt des Inspectors kann, nach dem Ermessen des Directors, dem Secrétaire oder Mechaniker übertragen werden mit dem, diesem Amte etatsmäßig zugewiesenen Gehalt.

16. Der Director ist berechtigt, aus der für die wissenschaftlichen Bedürfnisse angewiesenen Summe kleine Jahresgehälter solchen Handwerkern auszuwerfen, die er temporär oder für immer bei der Sternwarte anzustellen für nöthig erachtet.

17. Der zweite Astronom steht im 7<sup>ten</sup>, die übrigen Assistenten aber im 8<sup>ten</sup> Klassenrange, auf dieselbe Weise, wie diese Rangs den Mitgliedern der Akademie (Regl. § 29) und den Professoren der höhern Lehranstalten zugestanden sind. Die Beförderung zu den folgenden Rangs erfolgt auf Grundtatsachen der für die Akademiker bestehenden Gesetze, wobei der zweite Astronom und die Assistenten zur 1<sup>sten</sup> Kategorie der Staatsbeamten zu rechnen sind.

18. Hinsichtlich der Ausländer, die etwa zu Assistentenstellen oder zur Stelle eines Mechanikers berufen werden möchten, gelten dieselben Regeln, welche bereits für die Besetzung ähnlicher wissenschaftlicher Stellen bei der Akademie durch Ausländer bestehen.

19. Die Hauptsternwarte braucht für ihre Correspondenz das Siegel mit dem Reichswappen und der Umschrift: Siegel der Kaiserlichen Akademischen Hauptsternwarte. Summische aus dem Innern an die Hauptsternwarte gerichteten oder von ihr ins Innere abgesendeten Briefe und Packen, wenn letztere nicht über Ein Pud wiegen, werden in allen Postämtern und Postcomptoirs portofrei angenommen und expedirt.

20. Die zur Unterhaltung der Hauptsternwarte und zur Einrichtung der bei derselben angestellten Beamten etatsmäßig angewiesene Summe wird aus dem Reichsschatze zugleich mit der Etatssumme der Akademie verabfolgt und mit dieser in der Hauptkassa bei dem Verwaltungs-Comité deponirt, welches über dieselbe nach Grundlage gegenwärtigen Statuts und den allgemeinen Regeln verfügt.

21. Die für wissenschaftliche Zwecke bestimmten 12000 Rubel, so wie für die Unterhaltung der Bibliothek angewiesenen 100 Rubel verabfolgt das Verwaltungs-Comité theilweise dem Director auf sein Verlangen, oder verausgibt dieselben laut dessen Anweisungen. Zur Buchführung der dem Director ausbezahlten Geldsummen wird ihm aus dem Comité ein Schreiber begeben, welches er am Schlusse des Jahres mit seiner Unterfertigung dem Comité zur Revision und Controlle vorzulegen hat.

22. Die Ueberschüsse dieser Summen verbleiben in der Kasse des Comité unter dem Namen des Sternwarten-

Capitals. Die sonstigen Ueberschüsse aber, welche aus temporären Vacanzen in dem Personal der Sternwarte und andern Ersparnissen entstehen mögen, fließen am Schlusse des Jahres in die ökonomische Summe der Akademie.

23. Das Sternwarten-Capital steht gleichfalls zur Verfügung des Directors und kommt der Anstalt zu Gute, jedoch nur nach vorhergegangener Einholung der Genehmigung der Akademie, oder durch ihre Vermittelung der höhern Autorität.

24. Das Comité sorgt: a) für die Instandhaltung der Gebäude der Sternwarte sowohl äußerlich als im Innern; b) für zeitgemäße Anschaffung der für Heizung und Beleuchtung nöthigen Vorräthe und für die äußere Reindlichkeit; c) für anständige Unterhaltung der Dienerschaft, Bekleidung und Beköstigung derselben. Für diese Ausgaben ist im Etat eine besondere Summe angewiesen.

25. In allen die Oekonomie und das Polizeiwesen betreffenden Fällen wendet sich der Director, als Wirth der Anstalt direct an das Verwaltungs-Comité, welches gehalten ist, in allen Dingen seinen gerechten Forderungen zu entsprechen.

26. Die Hauptsternwarte hat dahin zu wirken, daß die Arbeiten der übrigen Sternwarten des Reichs dem neuesten Zustande der Astronomie entsprechend und nach Möglichkeit in gegenseitigem Zusammenhange seyen, damit aus den auf den verschiedenen Sternwarten angestellten Beobachtungen die Wissenschaft den möglichst größten Nutzen ziehe. Hierzu hat sie a) einen regelmäßigen Briefwechsel mit den Sternwarten des Reichs zu unterhalten und, da sie in ununterbrochenem Verkehr mit den auswärtigen Sternwarten steht, alle wichtige, die Wissenschaft betreffende Gegenstände und Ereignisse zur Kenntniß der inländischen Astronomen zu bringen; b) den Verkehr zwischen den inländischen und auswärtigen Sternwarten auch dadurch zu vermitteln, daß sie Aufträge zur Anschaffung literarischer Hilfsmittel und Bestellungen astronomischer Apparate übernimmt; c) diejenigen Sternwarten, die ihre Beobachtungen nicht veröffentlichen, aufzufordern, Abschriften derselben einzuschicken; die im Archiv der Hauptsternwarte niederzulegen und in vorkommenden Fällen zu benutzen wären. Sollten dergleichen Beobachtungen, ihrer Wichtigkeit wegen, des Druckes werth befunden werden, sey es in extenso oder im Auszuge, so wird die Hauptsternwarte sie ihren Annalen als Anhang beifügen. Endlich d) in vorkommenden dringenden Fällen andern Sternwarten durch ihre eigenen Mittel zu helfen, als z. B. bei wissenschaftlichen Reisen durch Reiseinstrumente, Chronometer u. s. w.

Das Original ist von Sr. Kaiserl. Majestät gezeichnet:

„Dem sey also.“

Warschau, den 19. Juni 1838.



## Etat der Kaiserlich-Russischen Haupt-Sternwarte.

	Unterhalt.		Classen und Categorien.		
	Einem.	Allen.	Rang.	Pension.	Unterh.
Dem Director oder ersten Astronomen, außer seinem Akademikergehalt	8000	8000	Wie bei den Akademikern.		
Demselben für Equipage.....	2000	2000			
Den vier Assistenten.....	2500	10000			
Den denselben für Equipage.....	1000	4000			
Dem zweiten Astronomen, Zulagegehalt.....	2000	2000			
Dem Secretair.....	1200	1200			
Dem Mechaniker.....	1000	1000			
Dem Inspector.....	1000	1000			
Zur Unterhaltung der Sternwarte in wissenschaftlicher Beziehung.....	—	12000			
Für die Bibliothek.....	—	1000			
Zur Unterhaltung der Häuser, der Aufwärter u. ökonom. Bedürfnisse.....	—	20000			
Total	62200				

Schreiben des Herrn v. Boguslawski, Directors der Breslauer Sternwarte, an den Herausgeber.

Breslau 1838. August 20.

Es wird Ihnen ohne Zweifel interessant seyn zu erfahren, daß es mir gelungen ist den *Enckeschen* Cometen auf der hiesigen Sternwarte aufzufinden.

Ogleich ich bei der noch für den Monat Juli vorgenommenen Verlängerung der Ephemeride dieses Cometen wohl gewahr wurde, daß fast gar keine Hoffnung vorhanden war, ihn schon im Juli aufzufinden (da seine Lichtstärke am 15<sup>ten</sup> Juli nur 0,060 und am 27<sup>ten</sup> Juli nur 0,073 von der schwachen betrug, welche derselbe am 30<sup>ten</sup> Juli 1835 gehabt hatte; so machte ich doch am 14<sup>ten</sup>, 24<sup>ten</sup>, 25<sup>ten</sup>, 28<sup>ten</sup>, 29<sup>ten</sup> und 30<sup>ten</sup>, natürlich ganz fruchtlose, Versuche.

Erst nach dem Mondscheine am 14<sup>ten</sup> August glaubte ich eine sehr schwache Spur von demselben aufzufinden. Noch in einer späteren Nachtstunde veranlaßte mich die vüßige Klarheit des Himmels, die ich bei Beobachtung des Austritts von 136 Aur. wahrnahm, meine Nachforschungen fortzusetzen. Wirklich zeigte sich die vorhin schon bemerkte lichtere Stelle am Himmel noch deutlicher, ja in einigen Momenten so, daß mir 2 Beobachtungen am 4füßigen Frauenhofer, mit einem sehr einfachen Micrometer, dessen Beschreibung ich mir vorbehalten muß, in nachfolgender Art gelangen:

M. Bresl. ZL.	$\alpha$	$\delta$	Ephem.
14 <sup>h</sup> 12 <sup>m</sup> 2	2 <sup>h</sup> 15 <sup>m</sup> 18 <sup>s</sup> 39	+24 <sup>°</sup> 38' 10" 6	—18 <sup>h</sup> 77' +4 <sup>h</sup> 21 <sup>m</sup> 2
14 16,8	2 15 18,05	+24 38 4,1	—19,34 +4 11,3
Der Comet wurde verglichen mit <sup>(8)</sup> H. C. 24 Aodt 1793 2 <sup>h</sup> 13 <sup>m</sup> 54 <sup>s</sup> 2 und <sup>(7)</sup> 2 13 55,5			

Die anbrechende Dämmerung verhinderte alle weiteren Versuche zur Ueberzeugung zu gelangen; und so blieben diese Beobachtungen nur Vermuthungen, die ich als solche vorläufig dem Herrn Professor *Encke* meldete. Die beiden folgenden Nächte waren und blieben trübe. Am 17<sup>ten</sup> schien es Nachts eine Zeitlang sehr heiter zu sein; dennoch war nichts vom Cometen zu bemerken, aber auch nichts von der Stelle, welche ich am 14<sup>ten</sup> beobachtet hatte.

Eodlich in der verwichenen Nacht gelang es mir, den Cometen, aber unbeschreiblich Lichtschwach wieder aufzufinden und zweimal mit den beiden Sternen der *Besselschen* Zone Nr. 133 den 19<sup>ten</sup> Jan. 1826 2<sup>h</sup> 11<sup>m</sup> 59<sup>s</sup> 30 und 2<sup>h</sup> 12<sup>m</sup> 0<sup>s</sup> 04 (das genannte Micrometer erfordert immer 2 Vergleichsterne) zu beobachten. Die zweite Beobachtung wurde durch dunstige Luft gestört, und ist ganz ungenau:

M. Bresl. ZL.	$\alpha$	$\delta$	Ephem.
um 13 <sup>h</sup> 20 <sup>m</sup> 50	2 <sup>h</sup> 19 <sup>m</sup> 41 <sup>s</sup> 63	+25 <sup>°</sup> 41' 21" 2	+9 <sup>h</sup> 53' +8 <sup>h</sup> 45 <sup>m</sup> 3
13 33,75	2 19 38,22	+25 38 3,7	+9,56 +0 10,4

Alle Beobachtungen können natürlich bei der unbeschreiblichen Lichtschwäche des Gegenstandes keinen Anspruch auf Genauigkeit machen, und können fast nur jenem Mikrometer verdankt werden. Die letzte Beobachtung wird am besten ganz verworfen, ogleich sie der Ephemeride am nächsten kommt. Herr Prof. *Encke* hat den Cometen am 14<sup>ten</sup> und 19<sup>ten</sup> als Wahrscheinlichkeit nach, oder eigentlich gewiß auch gesehen, aber da noch nicht zu beobachten unternommen.

v. Boguslawski.

### Untersuchungen über die Wahrscheinlichkeit der Beobachtungsfehler. Von Herrn Geheimen-Rath und Ritter Bessel.

Die Wahrscheinlichkeit eines Beobachtungsfehlers kann von seiner Größe abhängig angenommen werden, aber sie ist so lange unbekannt, so lange unbekannt ist, auf welche Art  $x$  aus seinen Ursachen entsteht. Wir verdanken indessen Laplace das merkwürdige Resultat, daß, aus einer großen Anzahl gleichartiger Beobachtungen, die *wahrscheinlichsten* Folgerungen gezogen werden können, ohne daß es nöthig ist, das Gesetz der Wahrscheinlichkeit der Fehler zu kennen.

Wenn man eine solche Reihe von Beobachtungen einer Erscheinung, deren mathematische Theorie bekannt ist, besitzt und wenn man die Constanten dieser Theorie, diesem Resultate gemäße, bestimmt, so giebt ihre Vergleichung mit den einzelnen Beobachtungen der Reihe, Unterschiede zu erkennen, durch welche man eine *practische* Bestimmung des Gesetzes der Wahrscheinlichkeit der Fehler der angewandten Beobachtungsart ziehen kann. Findet man nämlich, daß in  $m$  Fällen, unter den vorhandenen großen Anzahl  $\mu$  derselben, der Fehler zwischen zwei einander sehr nahe liegenden Grenzen  $x$  und  $x - \frac{1}{i}$  liegt, so ist die Wahrscheinlichkeit dieses Ereignisses, welche durch  $\frac{1}{i} \varphi x$  bezeichnet werde,  $= \frac{m}{\mu}$ , oder

$$\varphi x = \frac{mi}{\mu}.$$

läßt man diese Bestimmung einer Anzahl Werthe von  $\varphi x$  zu Gunsten einer Curve, deren Abscissen die Fehler  $x$  sind, so ist diese Curve das Gesetz der Wahrscheinlichkeit der Fehler  $x$ , und zwar desto richtiger, je größer  $\mu$  und  $i$  sind. Kann man dahin gelangen, die Ordinaten dieser Curve, unbestimmt eine Function  $\varphi x$  darzustellen, so ist hierdurch das Gesetz der Wahrscheinlichkeit der Fehler der angewandten Beobachtungsreihe gegeben, und es ist kein Hinderniß mehr vorhanden, wenn es darauf ankommt, aus einer beliebigen Anzahl von Beobachtungen derselben Art, ihre *wahrscheinlichsten* Resultate zu ziehen und die *wahrscheinlichen* Fehler daraus zu berechnen. Das was ich hier gefordert habe, nämlich das Vorhandensein einer sehr zahlreichen Beobachtungsreihe einer Erscheinung, deren mathematische Theorie bekannt ist, kann aber nicht immer vorausgesetzt werden; es fehlt, so kann der hier vorgeseichnete Weg zu der

Bestimmung des Gesetzes der Wahrscheinlichkeit der Fehler nicht betreten werden.

Um in allen Fällen anwendbare Vorschriften zur Benutzung einer Beobachtungsreihe zu erhalten, hat Gauss, in seiner anfänglichen Darstellung der Methode der kleinsten Quadrate, die Annahme verfolgt, daß das arithmetische Mittel aus einer Anzahl gleichartiger Beobachtungen einer gleichbleibenden Größe, ihre wahrscheinlichste Bestimmung sei. Er hat gezeigt, daß diese Annahme gleichbedeutend ist mit der Bedingung, daß, auch in dem allgemeineren Falle, in welchem die beobachtete Größe nach einem gegebenen Gesetze veränderlich ist, die Summe der Quadrate der übrigbleibenden Unterschiede zwischen den Beobachtungen und der darauf gegründeten Theorie, den *möglichst kleinen* Werth erhält; ferner, daß die eine wie die andere ein bestimmtes Gesetz der Wahrscheinlichkeit der Fehler nämlich

$$\varphi x = \frac{1}{m\sqrt{(2\pi)}} e^{-\frac{x^2}{2mm}}$$

fordert, wo  $mm$  den mittleren Werth der Quadrate der Fehler, oder den Werth des bestimmten Integrals

$$\int_{-\infty}^{+\infty} xx \varphi x \, dx$$

bedeutet. Wenn kein Grund vorhanden ist, in dem speciellen Falle die Annahme des arithmetischen Mittels zurückzuweisen, so ist also auch keiner vorhanden, in dem allgemeinen Falle von der Methode der kleinsten Quadrate abzuweichen; allein dieser Mangel eines Widerspruchs gegen das eine oder das andere, ist kein Beweis des Stattfindens des angegebenen Ausdruckes von  $\varphi x$ , und man muß sich anderweitig von seiner Anwendbarkeit auf eine gegebene Beobachtungsreihe überzeugen, eine man geneigt sein kann, der darauf gegründeten Berechnung des *wahrscheinlichen* Fehlers, sowohl der Beobachtungen selbst, als ihrer Resultate, irgend ein Gewicht beizulegen.

Da aber nicht bezweifelt werden kann, daß die Function  $\varphi x$  von der Art der Beobachtungen, auf welche sie angewandt werden soll, abhängig ist, und man ihren, dieser zugehörigen wahren Ausdruck, wenigstens im Allgemeinen, nicht kennt, so muß die Auflösung der Aufgabe, aus vorhandenen Beobach-

tungen einer Erscheinung, deren mathematische Theorie gegeben ist, die besten Resultate zu ziehen, auf die Betrachtung einer *willkürlich* bleibenden Function  $\Phi x$  gegründet werden. Diesem Gesichtspunkte sind *Laplace*, *Gauss* und *Poisson* in den bewundernswürdigen Abhandlungen gefolgt, welche sie über die gegenwärtige Materie bekannt gemacht haben. Das Wesentlichste der Theorie dieser Materie hat schon *Lagrange* zum Gegenstande einer, in den *Turiner Memoiren* für 1770—1773 gedruckten Abhandlung gemacht.

Wenn ich, nach solchen Vorgängern, Untersuchungen über denselben Gegenstand anstelle, so muß ich zu ihrer Entschuldigung sagen, daß ich eine Ansicht verfolgen werde, deren Verfolgung außer der Absicht der genannten großen Geometer lag. Ich werde nämlich die Entstehungsart der Beobachtungsfehler aus ihren Ursachen, zum Grunde des Folgenden machen. Wenn man anfangs die Fehler einer gewissen Beobachtungsart, als einer, auf gegebene Art wirkenden Ursache hervorgehend betrachtet, so wird dadurch ihre jedesmalige Größe  $x$  eine gegebene Function eines Arguments  $\xi$ , welches in derselben Art willkürlich ist, wie das Fallen eines Würfels. Aus dem Ausdrucke  $x = f\xi$  kann aber der Ausdruck  $\Phi x$  abgeleitet werden, und durch diesen wird man in den Stand gesetzt, alle Folgerungen, welche man aus der Beobachtungsreihe ziehen kann, der Wahrscheinlichkeitsrechnung gemäß zu ziehen. Unter dieser Voraussetzung, welche fordert, daß das Argument einer gegebenen Function als willkürlich angesehen werde, würde man also mit Unrecht die Function des Fehlers, welche seine Wahrscheinlichkeit ausdrückt, als willkürlich betrachten. Ich werde diese Bemerkung verfolgen, auch auf einige Beispiele anwenden, durch welche zugleich anschaulich werden wird, daß Fälle vorkommen können, in welchen es ein Interesse hat, die gewöhnliche Voraussetzung der Willkür der Function  $\Phi x$  zu verlassen. Gewöhnlich sind diese Fälle aber nicht, indem man meistens über die Function  $f\xi$  eben so zweifelhaft sein wird, als über die Function  $\Phi x$ ; dann findet die Betrachtung der ersteren keine Anwendung, und die Voraussetzung der Willkür der letzteren tritt an deren Stelle. In der Wirklichkeit wird es auch selten erlaubt sein, die Fehler einer Ursache zuzuschreiben; vielmehr werden im Allgemeinen mehrere, meistens viele von einander unabhängige Ursachen zusammenwirken. Hierdurch wird es nöthig, die Zusammensetzung der wirklich vorkommenden Fehler aus mehreren Ursachen, zu untersuchen. Ich bin dadurch zu den merkwürdigen Resultate gelangt, daß viele von einander unabhängige Fehlerursachen von gleicher Ordnung durch ihr Zusammenwirken Fehler hervorbringen, deren Wahrscheinlichkeit näherungsweise dieselbe ist, welche durch die Voraussetzung des arithmetischen Mittels, oder durch die Bedingung der kleinsten Quadrate, gefordert wird.

Hierdurch findet eine auffallende Uebereinstimmung zwischen diesem Gesetze der Wahrscheinlichkeit der Fehler und der Vertheilung derselben in wirklich gemachten Beobachtungsreihen ihre Erklärung; welche Uebereinstimmung ich in häufigen Fällen bemerkt und auch einmalig bekannt gemacht habe, z. B. in der, am 29<sup>ten</sup> Juni 1815 an den verstorbenen *Bode* gegebene und in dem Astr. Jahrb. 1818 S. 234 gedruckten, flüchtigen öffentlichen Nachricht von einer Anwendung der Fehler zum Maasse der Genauigkeit der Beobachtungen, und in den *Fundamentis Astronomiae* pro Ao. 1755 p. 19. Ich nenne diese Uebereinstimmung *auffallend*, weil sie auf eine allgemeine, in jeder Beobachtungsart Eigentümliche überwiegende Eigenschaft deutet, indem nicht angenommen werden kann, daß die verschiedenartigsten Beobachtungsreihen, oder so verschiedenartige Gegenstände betreffend, ohne eine solche Eigenschaft, dem angeführten Gesetze der Wahrscheinlichkeit der Fehler sehr nahe entsprechen würden.

## 1.

Ich fange mit der Aufsuchung der Wahrscheinlichkeit  $= \Phi x \cdot dx$  an, mit welcher erwartet werden kann, daß die Beobachtungsfehler zwischen  $x$  und  $x + dx$  falle, wenn  $x$ , auf gegebene Art, von einer Ursache  $\xi$  abhängt, für welche jeder zwischen zwei Grenzen  $-a$  und  $a$  liegende Werth gleich möglich ist.

Die zu  $x$  und  $x + dx$  gehörigen Werthe der Ursache bezeichne ich durch  $\xi$  und  $\xi + d\xi$ , die gegebene Art der Abhängigkeit der ersten Größe von der zweiten, durch  $x = f\xi$ , wo durch  $dx = df\xi$  wird. Die Wahrscheinlichkeit, daß der Fehler zwischen  $x$  und  $x + dx$  falle, ist einerseits  $= \Phi x \cdot dx$  andererseits ist sie, der Annahme zufolge, daß jeder zwischen  $-a$  und  $a$  liegende Werth von  $\xi$  gleich möglich ist  $= \frac{d\xi}{2a}$ .

Man hat also

$$\Phi x \cdot dx = \frac{d\xi}{2a}$$

und wenn man für  $dx$  seinen Ausdruck schreibt:

$$\Phi x = \frac{1}{2a} \frac{d\xi}{df\xi} \dots \dots \dots (1)$$

woraus  $\xi$  durch die Gleichung  $x = f\xi$  weggeschafft werden kann.

Wenn die Elemente  $p, q, r, \dots$  aus einer Reihe von  $n + 1$  Beobachtungen bestimmt werden sollen, so ist bekanntlich das System derselben das wahrscheinlichste, welches das Product

$$\Omega = \Phi x \cdot \Phi x' \cdot \Phi x'' \dots \Phi x^{(n)}$$

so groß als möglich macht, oder welches die Gleichungen:

$$\begin{cases}
 0 = \phi' x \frac{dx}{dp} + \phi' x' \frac{dx'}{dp} + \phi' x'' \frac{dx''}{dp} + \dots \\
 0 = \phi' x \frac{dx}{dq} + \phi' x' \frac{dx'}{dq} + \phi' x'' \frac{dx''}{dq} + \dots \\
 0 = \phi' x \frac{dx}{dr} + \phi' x' \frac{dx'}{dr} + \phi' x'' \frac{dx''}{dr} + \dots
 \end{cases}$$

u. s. w.

erfüllt, in welchen  $\phi' x, \phi' x', \dots$  für

$$\frac{d\phi x}{dx}, \frac{d\phi x'}{dx}, \dots$$

geschrieben sind. Bei der Bestimmung der wahrscheinlichsten Elemente kommt also nicht sowohl  $\phi x$ , als  $\phi' x$  in Betracht; will man dieses, ohne in [1]  $\xi$  durch  $x$  ersetzt zu haben, also auch  $\xi$  ausdrücken, so erhält man, durch Differentiierung von [1]:

$$[2] \dots \phi' x = - \frac{d^2 f \xi}{(d f \xi)^2}$$

woraus nun  $\xi$ , durch  $x = f \xi$ , wegzuschaffen ist.

Die Grenzen  $\mp a$ , zwischen welchen die möglichen Werthe von  $x$  eingeschlossen sind, sind  $\mp f a$ . Der Ausdruck des Quotients des mittleren Fehlers einer Beobachtung ist

$$[3] \dots m m = \int_{-a}^a x x \phi x dx = \frac{1}{2a} \int_{-a}^a (f \xi)^2 d \xi$$

Der wahrscheinlichste Fehler einer Beobachtung  $= m k$ , findet sich aus der Auflösung der Gleichung:

$$\int_{-a}^a x \phi x dx = \frac{1}{2} \int_{-a}^a x \phi x dx$$

oder, nach der Einführung von  $\xi$  und unter der Voraussetzung  $\phi x = 0$  und  $\xi = 0$  zusammengehören, und  $f(-\xi) = -f \xi$ , aus der Gleichung:

$$[4] \dots \int_0^a f \xi^2 d \xi = \frac{1}{2} \int_0^a f \xi d \xi$$

aus  $K$  gefunden und dann

$$m k = f K$$

2.

Zur Erläuterung des Vorigen werde ich es auf zwei Beispiele anwenden.

Das erste Beispiel soll die Annahme

$$x = a \sin \xi$$

folgen, und für  $\xi$  soll jeder Werth gleich möglich, oder  $\phi \xi = 1$  sein. Man erhält ohne Weiteres aus den Formeln [1], [2] und [3],

$$\phi x = \frac{1}{\pi \sqrt{a^2 - x^2}}$$

$$\phi' x = \frac{x}{a^2 - x^2}$$

$$m m = \frac{1}{2} a^2$$

Die Formel [4] ergibt

$$\int_0^K \sin \xi d \xi = \frac{1}{2} \int_0^{\sin K} \frac{d \xi}{\xi}$$

oder

$$1 - \cos K = \frac{1}{2},$$

woraus

$$K = 60^\circ$$

und

$$m k = a \sin 60^\circ = \frac{a \sqrt{3}}{2}$$

hervorgehen.

Die wahrscheinlichsten Elemente folgen aus der Auflösung der Gleichungen (2), wenn darin

$$\phi' x = \frac{x}{a^2 - x^2}$$

gesetzt wird; für den einfachsten Fall, in welchem eine immer gleiche Größe  $p$ , durch die Beobachtungen

$$p = h, h', h'', \dots, h^{(n)}$$

bestimmt werden soll, folgt  $p$  aus der Auflösung der Gleichung:

$$0 = \frac{h-p}{a^2 - (h-p)^2} + \frac{h'-p}{a^2 - (h'-p)^2} + \dots + \frac{h^{(n)}-p}{a^2 - (h^{(n)}-p)^2} \dots [5]$$

statt deren die Methode der kleinsten Quadrate die Auflösung der Gleichung

$$0 = h-p + h'-p + \dots + h^{(n)}-p = \{h + h' + \dots + h^{(n)}\} - (n+1)p \dots [6]$$

fordert. Das Verhältniß des mittleren Fehlers zum wahrscheinlichsten ist  $\approx 1:k \approx 1:\sqrt{3} \approx 1:1,732$ , nach der gewöhnlichen Theorie, als wahrscheinlichste angenommen, würde es  $1:0,4769364\sqrt{2} \approx 1:0,6745$  sein.

Ein diesem Beispiele entsprechender Fall würde vorhanden sein, wenn der Winkel zwischen zwei Punkten, von beliebigen und nicht angegebenen Punkten der Theilung eines Kreises an, gemessen wäre, welcher Kreis eine bekannte Excentricität und nur eine einfache Ableitung besitzt, übrigens aber fehlerfrei ist und fehlerfrei angewandt wird. Wird in diesem Falle der Anfangspunkt einer Messung durch  $u$ , der Punkt der Theilung, welcher in der Richtung von ihrem Mittelpunkt nach dem Mittelpunkt der Bewegung der Albidade liegt, durch  $A$ , die Excentricität durch  $e$  bezeichnet, so ergibt die Messung, statt des wahren Winkels  $p$ ,

$$p + 2e \sin \frac{1}{2} p \cos (u - A + \frac{1}{2} p)$$

Man hat also, den im Beispiele angewandten Bezeichnungen zufolge:

$$2e \sin \frac{1}{2} p = a; u - 90^\circ - A + \frac{1}{2} p = \xi$$

und  $u$  sowohl wie das davon abhängige  $\xi$ , ist, der Annahme gemäß, vollkommen willkürlich. Man sollte also  $p$  durch die Auflösung der Gleichung [5], welche vom  $2n+1^{\text{ten}}$  Grade ist, bestimmen, und sein so bestimmter Werth würde der wahr-

scheinlichste sein, der aus den vorhandenen Beobachtungen gefolgert werden kann. Dafs er desto weniger, je grösser  $n$  ist, von dem arithmetischen Mittel aus allen Beobachtungen abweicht, welches man durch [6] erhält, kann sowohl in dem vorhandenen Falle leicht nachgewiesen werden, als es auch aus der allgemeinen, von Laplace gefundenen Eigenschaft folgt, welcher zufolge die Bestimmung der Elemente desto freier von  $\phi x$  wird, je grösser die Anzahl der vorhandenen Beobachtungen ist. Der wahrscheinliche Fehler ist 2,558 Mal so gross, als man ihn durch Verfolgung der Hypothese, auf welcher die Methode der kleinsten Quadrate beruht, schätzen würde.

Wels man nichts von der Ursache der Abweichungen der verschiedenen Messungen des Winkels  $p$  von einander, so erscheinen sie als wahre Beobachtungsfehler und es ist kein Grund vorhanden, welcher sich der Anwendung des arithmetischen Mittels, oder allgemeiner der Methode der kleinsten Quadrate, auch auf diese Beobachtungen, widersetzt. Man erhält aber dadurch, in dem betrachteten Falle, nicht den wahrscheinlichsten Werth von  $p$  und eine viel zu kleine Bestimmung seines wahrscheinlichen Fehlers. Ein anderer, dem Beispiele gleichfalls entsprechender Fall ist mir in meiner eigenen Praxis vorgekommen: Ich hatte den Unterschied zweier Längen durch eine Mikrometerschraube, oft wiederholt gemessen, und bemerkte, als ich die Beobachtungen untereinander verglich, dafs grössere positive oder negative Abweichungen von dem mittleren Resultate der Messungen häufiger vorkamen als kleinere; was sowohl der Hypothese, auf welcher die Methode der kleinsten Quadrate beruht, als der gewöhnlichen Erfahrung widersprach. Ich konnte nicht zweifeln, dafs in diesem Falle ein ganz anderes Gesetz der Wahrscheinlichkeit der Fehler stattfinden müsse, und fand wirklich bei einer hierdurch veranlafsten näheren Prüfung des Apparates, dafs die Mikrometerschraube, in dem Umfange jeder ganzen Drehung, sich nicht den Angaben ihrer Trommel proportional forthewegte, aber in verschiedenen Drehungen wiederkehrende, dem Sinusse des von einem gewissen Anfangspunkte an gezählten Drehungswinkels proportionale Ungleichheiten zeigte. Dieser Fall entsprach also dem Beispiele. Als ich die erkannte Fehlerursache durch Rechnung beseitigte, hatte ich das Vergnügen, meine Messungen in sehr befriedigender Uebereinstimmung zu finden; voraus als hervorging, dafs der Apparat nur geringe sonstige Fehlerursachen besafs.

Das zweite Beispiel soll die Annahme

$$x = a\xi\xi$$

verfolgen, und jeder zwischen den Grenzen  $-x$  und  $x$  liegende Werth von  $\xi$  soll gleich möglich seyn. Die Formeln [1], [2] und [3] ergeben in diesem Falle:

$$\phi x = \frac{1}{4a\sqrt{(\sigma\xi)}}$$

$$\phi'x = -\frac{1}{2x}$$

$$mm = \frac{1}{2}aa\xi^4$$

Die Formel [4] ergibt die Gleichung:

$$\int_0^x \xi\xi d\xi = \frac{1}{2} \int_0^x \xi\xi d\xi$$

oder

$$K^1 = \frac{1}{2}a^3$$

und man erhält dadurch:

$$mk = \frac{a \cdot a\xi}{\sqrt[3]{4}}, \quad k = \frac{\sqrt[3]{5}}{\sqrt[3]{4}}$$

Beobachtungen dieser Art ergeben die wahrscheinlichsten Werthe der Elemente, wenn man, in den Gleichungen (6)

$$\phi'x = -\frac{1}{2x}$$

setzt; in dem einfachsten Falle, in welchem eine immer gleiche Gröfse  $p$ , durch die Beobachtungen

$$p = h, \quad h', \quad h'', \dots, h^{(n)}$$

bestimmt werden soll, folgt also  $p$  aus der Auflösung der Gleichung:

$$0 = \frac{1}{h-p} + \frac{1}{h'-p} + \dots + \frac{1}{h^{(n)}-p}$$

oder, wenn man das Product:

$$(h-p)(h'-p)(h''-p) \dots (h^{(n)}-p)$$

durch  $P$  bezeichnet, aus der Auflösung der Gleichung des  $n$ ten Grades:

$$0 = \frac{dP}{dp} \dots \dots \dots [1^*]$$

Das Verhältnifs des mittleren Fehlers zum wahrscheinlichen ist  $= \sqrt[3]{4} : \sqrt[3]{5} = 1 : 1,409$ .

Dieses Beispiel ist eins von denen, in welchen man nicht zu der Bestimmung von  $p$ , sondern zu der Bestimmung einer davon verschiedenen Grenze gelangt, nämlich der Grenze  $p + \int x \phi x dx$ ; man gelangt zwar immer nur zu einer Grenze welche diesen Ausdruck hat, allein wenn  $\phi(-x) = \phi x$  ist, so ist sie von  $p$  nicht verschieden, was hier, wo alle  $x$  gleiches Zeichen haben, nicht stattfindet. In dem gegenwärtigen Fall erhält man die Grenze

$$= p + \frac{1}{2a} \int_0^x \xi\xi d\xi = p + \frac{1}{2}aa\xi$$

Das Quadrat des mittleren, auf diese Grenze bezogenen Fehlers, ist bekanntlich \*)

$$= mm - \frac{1}{2}aa\xi^4 = \frac{1}{2}aa\xi^4$$

\*) Gauss Theoria combin. observationum etc. Göttinge 1823 p. 7.

und den wahrscheinlichen Fehler findet man

$$= \frac{\sqrt{2}}{3} a x x = 0,420 \cdot a x x.$$

Wenn das die Methode der kleinsten Quadrate ergebende Fehlerwerth aus hier angewandt werden sollte, würde man ihn  $= 0,6745 \cdot \sqrt{\frac{2}{3}} \cdot a x x = 0,201 \cdot a x x$  finden.

Es ist nicht schwer, aus diesem Beispiele untergeordnete Fälle, welche wirklich vorkommen können, aufzufinden. Einer von ihnen ist vorhanden, wenn die Länge einer Stange, welche eine kugelförmig gekrümmte Endfläche hat, auf einem mikrometrischen Apparate gemessen werden soll, welcher den Fehler hat, daß der Mittelpunkt der kugelförmigen Fläche nicht sicher in die gerade Linie zwischen der Mikrometerspitze und dem Punkte, von welchem an die Länge gezählt wird, gebracht werden, sondern innerhalb der Grenzen  $-x$  und  $x$  wirklich davon entfernt sein kann. Bezeichnet man den Halbmesser der Kugelfläche durch  $r$ , so ist, für ein convexes Ende der Stange,  $x = \frac{r - \frac{r}{2}}{2r}$ , für ein concaves  $x = \frac{r + \frac{r}{2}}{2r}$ , und also  $x = \pm \frac{1}{2r}$ . Daß  $x$  und  $x$  stets gleiches Zeichen haben, liegt in der Natur der Sache.

In beiden Beispielen, welche ich gegenwärtig verfolgt habe, ist das Gesetz der Wahrscheinlichkeit der Fehler beträchtlich verschieden von dem oft erwähnten Gesetze

$$\phi x = \frac{1}{m \sqrt{2\pi}} e^{-\frac{x^2}{2m^2}}$$

In dem ersten derselben sind sogar die sich den Grenzen nähernden Fehler weit wahrscheinlicher als die kleinen, und für die Grenzen selbst wird  $\phi x = \infty$ . Dieses findet in vielen, und vermuthlich auch häufig vorkommenden Fällen statt. Wenn jeder Fehler aus einer einzigen Ursache entsandte, so würde, meiner Meinung nach, kein Grund vorhanden sein, zu erwarten, daß die Abnahme der Zahl der Fehler sich mit dem Zunehmen ihrer Größe verbunden zeigen werde; so wie es, seltener, nur bei sehr einfachen Beobachtungsarten vorkommender Ausnahmen nicht zu gedenken, in der Wirklichkeit der Fall ist. Da ich die Absicht erreicht zu haben glaube, welche mich zu der Verfolgung einiger Beispiele veranlaßte, so verlasse ich diese, und bemerke darüber nur noch, daß jeder Versuch, das die Methode der kleinsten Quadrate (wenn man sie als wahrscheinlichste Methode betrachten will) zum Grunde liegende Gesetz allgemein als das wirklich vorkommende zu erkennen, notwendig vergebens sein muß, da die Beispiele zeigen, daß Bedingungen, welche nicht hiesig mathematisch möglich sind, sondern auch practisch erfüllt werden können, auf davon ganz verschiedene Gesetze führen.

3.

Ich werde nun die Wahrscheinlichkeit eines Fehlers untersuchen, welcher aus der Zusammenwirkung mehrerer, von ein-

ander unabhängiger Ursachen entsteht. Um nicht unnützlich Weitläufigkeit herbeizuführen, werde ich voraussetzen, daß jede dieser Ursachen so wirkt, daß sie positiven und negativen Fehlern von gleicher Größe gleiche Wahrscheinlichkeit giebt; ferner werde ich, als Maas dieser Wahrscheinlichkeit, die Gewisheit des Vorhandenseins der Ursache, aus welcher ein Fehler entsteht, oder, was dasselbe ist, das zwischen den äußersten Grenzen des Fehlers geommene Integral  $\int \phi x \cdot dx = 1$  annehmen. Indem ich schon gezeigt habe, wie aus einer gegebenen Art der Wirkung der einen Fehler erzeugenden Ursache, die seine Wahrscheinlichkeit ausdrückende Function hervorgeht, so ist es auch unnützig, die erstere in dem Folgenden ferner zu betrachten.

Man erhält eine deutliche Vorstellung von dem Zusammenwirken verschiedener Fehlerursachen, wenn man die Einheit, durch welche die Wirkung jeder derselben, oder der Beitrag, den sie zu dem Gesamtfehler liefert, gemessen wird, in unendlich viele gleiche Theile ( $\mu$ ) theilt und diese Wirkung von  $\frac{1}{\mu}$  zu  $\frac{1}{\mu}$  fortgehend annimmt. Die Wahrscheinlichkeit, daß eine der Ursachen die Wirkung  $x$  erzeuge, ist der Anzahl von Fällen proportional, in welchen diese Wirkung sich, unter einer unendlich greifen Zahl  $N$  von Fällen, zeigt. Bezeichnet man diese Anzahl durch  $\frac{N}{\mu} \phi x$ , so ist der Ausdruck der Wahr-

scheinlichkeit des Vorkommens von  $x = \frac{1}{\mu} \phi x$ . Die Wahrscheinlichkeit, daß eine andere von der vorigen unabhängige Fehlerursache die Wirkung  $y$  hervorbringe, hat eben so den Ausdruck  $\frac{1}{\mu} \phi y$ ; daß eine dritte die Wirkung  $z$  hervorbringe,

den Ausdruck  $\frac{1}{\mu} \phi z$ ; u. s. w. Die Wahrscheinlichkeit, daß diese Ursachen zugleich die durch  $x, y, z, \dots$  bezeichneten Wirkungen hervorbringen, ist das Product aller Wahrscheinlichkeiten der einzelnen, also, wenn die Anzahl der von einander unabhängigen Ursachen  $= \mu + 1$  gesetzt wird,

$$= \frac{1}{\mu^{1+\mu}} \cdot \phi x \cdot \phi y \cdot \phi z \dots$$

Wenn nun

$$x + y + z + \dots = n$$

gesetzt wird, so ist die Wahrscheinlichkeit, daß die Gesamtwirkung aller Ursachen, oder der Gesamtfehler,  $= n$  sei, die Summe aller Werthe, welche der eben gegebene Ausdruck erhält, wenn für  $x, y, z, \dots$  alle von  $\frac{1}{\mu}$  zu  $\frac{1}{\mu}$  fortschreitende Werthe gesetzt werden, welche mit der Bedingung  $x + y + z + \dots = n$  vereinbar sind. Bezeichnet man diese Wahrscheinlichkeit durch  $\frac{1}{\mu} \psi n$ , so hat man also

$$\psi n = \frac{1}{\mu^{1+\mu}} \sum \phi x \cdot \phi y \cdot \phi z \dots \dots \dots [7]$$

in welchem Ausdrucke das Summenzeichen  $\Sigma$  die angegebene Bedeutung hat.

Die Aufgabe, die Function  $\psi n$  zu finden, ist also gleichbedeutend mit der Aufgabe, die geforderte Summation auszuführen. Da die Summation einer Reihe von Werthen einer Function, deren Argument von einer Grenze zu einer anderen, in arithmetischer Progression, und zwar durch unendlich kleine Aenderungen fortgeht, sich auf eine Integration zwischen diesen Grenzen reducirt, und unsere Aufgabe  $\mu$  solcher Summationen, also auch  $\mu$  successive Integrationen erfordert, so erhält sie hierdurch eine Schwierigkeit, welche nur in besonderen Fällen der Functionen  $\varphi x$ ,  $\varphi_1 y$ ,  $\varphi_2 z \dots$  übersteiglich ist. Wenn  $x, y, z, \dots$  nicht jede beliebige GröÙe haben können, sondern der Bedingung unterworfen sind, daß sie sich in den Grenzen resp.  $\mp a$ ,  $\mp b$ ,  $\mp c \dots$  befinden müssen, so gesellt sich zu dieser Schwierigkeit noch eine andere, gleichfalls sehr beträchtliche, nämlich die Schwierigkeit, jede Integration in ihren gehörigen Grenzen auszuführen. Offenbar ist dann  $\psi n$  keine stetige Function von  $n$ , sondern sie erhält andere und andere Ausdrücke. Je nachdem  $n$  sich zwischen den verschiedenen ihrer GröÙe nach aufeinander folgenden Combinationen von  $\mp a$ ,  $\mp b$ ,  $\mp c, \dots$  befindet.

## 4.

Ogleich das, was ich eben gesagt habe, nicht erwarten läßt, daß man, ohne die Aufgabe von einer andern Seite aufzufassen, ein allgemein befriedigendes Resultat dadurch erhalten werde, so werde ich doch den Ausdruck [7] zu verfolgen anfangen. Man kann dadurch zu zwar speciellen, aber doch der Aufmerksamkeit nicht unwerth erscheinenden Resultaten gelangen.

Nimmt man zuerst nur zwei zusammenwirkende Fehlerursachen, so verandert sich [7] in:

$$\psi n = \frac{1}{i} \Sigma \varphi x \varphi y$$

$$[8] \dots \dots \dots \left\{ \begin{array}{l} \psi n = \int_{-a}^{+a} \varphi x \cdot \varphi(n-x) dx, \text{ wenn } n \text{ zwischen } -a-b \text{ und } +a+b \\ = \int_{-a}^{+a} \varphi x \cdot \varphi(n-x) dx \dots \dots \dots -a+b \dots a-b \\ = \int_{-a}^{+a} \varphi x \cdot \varphi(n-x) dx \dots \dots \dots a-b \dots a+b \end{array} \right.$$

Daß diese Formeln die Bedingung  $\psi n = \psi(-n)$ , der sie, der Annahme  $\varphi x = \varphi(-x)$  und  $\varphi y = \varphi(-y)$  gemäß, entsprechen müssen, wirklich erfüllen, bemerkt man leicht.

Ich werde diese Formeln auf einige Beispiele anwenden. Zuerst werde ich die beiden zusammenwirkenden Fehler-

und die durch  $x$  und  $y$  zu erfüllende Bedingung ist

$$n = x + y.$$

Schafft man dadurch  $y$  fort, so wird

$$\psi n = \frac{1}{i} \Sigma \varphi x \varphi_i(n-x)$$

und diese Summe muß über alle, von  $\frac{1}{i}$  zu  $\frac{1}{i}$  fortschreitende Werthe von  $x$  ausgedehnt werden, welche  $x$  nicht außerhalb der Grenzen  $\mp a$ , und zugleich  $n-x$  nicht außerhalb der Grenzen  $\mp b$  bringen. Die Grenzen, über welche  $n$  nicht hinausgehen kann, sind offenbar  $\mp(a+b)$ .

Unter Vorbehalt der gehörigen Begrenzung des Integrals, ist

$$\frac{1}{i} \Sigma \varphi x \varphi_i(n-x) = \int \varphi x \varphi_i(n-x) dx$$

Die Bedingung, daß  $x$  zwischen  $-a$  und  $a$  liege, fordert, daß das Integral nicht über diese Grenzen hinaus ausgedehnt werde; die zweite Bedingung, daß  $n-x$  zwischen  $-b$  und  $b$  liege, fordert aber auch, daß das Integral nicht über die Grenzen  $n-b$  und  $n+b$  hinausgehe. Es geht hieraus hervor, daß man die gehörige Begrenzung des Integrals erhält, wenn man  $-a$ ,  $a$ ,  $n-b$ ,  $n+b$  nach ihrer GröÙe ordnet und die beiden mittleren als Grenzen des Integrals annimmt. Das Integral geht nicht bis zu  $a$ , wenn  $n-a < -b$  und  $> b$ , oder  $n < -a-b$  und  $> a+b$  ist, woron jedoch die Bedingung  $n > a+b$  weggelassen werden kann, indem sie nur fordert, daß  $n$  die Grenze seiner möglichen GröÙe nicht überschreite; es erlangt also die Grenze  $a$  nicht, sondern  $n+b$  statt derselben, wenn  $n < -a-b$  ist. Dagegen fängt es nicht von  $-a$  an, wenn  $n+a < -b$  und  $> b$ , oder  $n < -a-b$  und  $> -a+b$  ist, woron aus dem angeführten Grunde die Bedingung  $n < -a-b$  weggelassen werden kann; es fängt also nicht von der Grenze  $-a$  an, sondern von  $n-b$  statt derselben, wenn  $n > -a+b$  ist. Wenn man die beiden von beiden Functionen, deren Grenzen sich am weitesten ausdehnen, als die erste von beiden, also  $a > b$  annimmt, erhält man also:

ursachen so annehmen, daß die eine innerhalb der Grenzen  $\mp a$ , die andere innerhalb  $\mp b$  liegenden Fehler eine beständige Wahrscheinlichkeit giebt; also

$$\varphi x = \frac{1}{2a} \quad \varphi y = \frac{1}{2b}$$

Die Formeln [8] ergeben für diesen Fall unmittelbar

$$\begin{aligned}\psi_n &= \frac{n+a+b}{4ab} \text{ wenn } n \text{ zwischen } -a-b \text{ und } -a+b \\ &= \frac{2b}{4ab} \dots\dots\dots -a+b \dots\dots -a-b \\ &= \frac{-n+a+b}{4ab} \dots\dots\dots a-b \dots\dots a+b\end{aligned}$$

Indem  $n$  von  $-(a+b)$  zu  $+(a-b)$  übergeht, wächst also  $\psi$  gleichförmig von 0 bis  $\frac{1}{2a}$ , welchen Werth es behält, während  $n$  sich zwischen  $-a+b$  und  $a-b$  befindet.

$$\begin{aligned}\psi_n &= \frac{1}{2b\pi} \int_{-a+b}^{a+b} \frac{dx}{\sqrt{(aa-xx)}} = \frac{1}{2b\pi} (\frac{1}{2}\pi + u) \text{ wenn } n \text{ zwischen } -a-b \text{ und } -a+b \\ &= \frac{1}{2b\pi} \int_{n-b}^{n+b} \frac{dx}{\sqrt{(aa-xx)}} = \frac{1}{2b\pi} (u-u') \dots\dots\dots -a+b \dots\dots -a-b \\ &= \frac{1}{2b\pi} \int_n^{n+a} \frac{dx}{\sqrt{(aa-xx)}} = \frac{1}{2b\pi} (\frac{1}{2}\pi - u') \dots\dots\dots a-b \dots\dots a+b\end{aligned}$$

wo die Winkel  $u$  und  $u'$  aus den Formeln:

$$\sin u = \frac{n+b}{a}; \quad \sin u' = \frac{n-b}{a}$$

hervorgehen.

Der in diesem Beispiele verfolgte Fall findet unter andern statt, wenn man der Ableitung des Theilunges des im 2<sup>ten</sup> Art. zur Erläuterung gewählten excentrischen Kreises eine optische Parallele beilegt, und den Ort des Auges, von welchem ihre Größe abhängt, innerhalb der Grenzen, zwischen welchen diese von  $-b$  zu  $b$  übergeht, willkürlich annimmt.

Als drittes Beispiel werde ich beide zusammenwirkende Fehlerursachen, von der Art der im 1<sup>ten</sup> Beispiele des 2<sup>ten</sup> Art. abgeleitet, also

$$\varphi x = \frac{1}{\pi} \sqrt{(aa-xx)}; \quad \varphi, y = \frac{1}{\pi} \sqrt{(bb-yy)}$$

annehmen. Bei dieser Annahme setzt die Erfindung von  $\psi_n$  die Integration von

$$\frac{1}{\pi^2} \cdot \frac{dx}{\sqrt{(aa-xx)} \sqrt{(bb-(n-x)^2)}}$$

zwischen den in den Formeln [8] angegebenen Grenzen vorus. Diese Function ist also eine elliptische Transcendente der ersten Gattung, deren Ausdruck unter die Form:

$$\frac{1}{M} \int \frac{dy}{\sqrt{(1-yy)} \sqrt{(1-k^2 yy)}}$$

gebracht werden kann. Man erlangt diese Reduction sehr leicht, wenn man den, durch Eleganz und Vollständigkeit der Entwicklung des Meisters würdigen Formeln folgt, welche

Als zweites Beispiel werde ich für eine der beiden zusammenwirkenden Fehlerursachen, die in dem ersten Beispiele des 2<sup>ten</sup> Art. abgeleitet, also

$$\varphi x = \frac{1}{\pi} \sqrt{(aa-xx)},$$

und für die andere die eben angewandte, also

$$\varphi, y = \frac{1}{2b}$$

annehmen. Dadurch werden die Formeln [8].

Jacobi \*) gegeben hat. Wenn man in diesen Formeln  $x$  für  $y$  und  $y$  für  $x$  schreibt, so lehren sie, dass

$$\frac{dx}{\sqrt{(x-a)(x-\beta)(x-\gamma)(x-d)}} = \frac{dy}{\sqrt{(1-yy)} \sqrt{(L^2 - N^2 yy)}}$$
 wird, wo (unter der Voraussetzung  $a > \beta > \gamma > d$ ) unter  $L$  und  $N$  die Ausdrücke:

$$2L = \sqrt{(a-\gamma)(\beta-d)} + \sqrt{(x-\beta)(\gamma-d)}$$

$$2N = \sqrt{(a-\gamma)(\beta-d)} - \sqrt{(a-\beta)(\gamma-d)}$$

verstanden werden, und die Relation zwischen  $x$  und  $y$  die folgende ist:

1) wenn  $x$  nicht kleiner als  $a$  und nicht größer als  $d$  ist

$$\frac{L-Ny}{L+Ny} = \sqrt{\frac{(a-\beta)(\beta-d)}{(a-\gamma)(\gamma-d)}} \sqrt{\frac{x-\gamma}{x-\beta}}$$

2) wenn  $x$  nicht kleiner als  $\gamma$  und nicht größer als  $\beta$  ist

$$\frac{L-Ny}{L+Ny} = \sqrt{\frac{(\beta-d)(\gamma-d)}{(a-\beta)(a-\gamma)}} \sqrt{\frac{a-x}{x-d}}$$

Die vier Factoren des Quadrats des Nenners des Differentials, welches mit diesen Formeln verglichen werden soll, sind:

$$x-a, x+a, x-n-b, x-n-b.$$

Wenn man  $n$  zwischen  $-a-b$  und  $-a+b$  fällt, ist ihre Reihenfolge:

$$x-a, x-n-b, x+a, x-n+b$$

\*) Fundamenta nova theoriae funct. ellipt. Regiomonti 1829. p. 12. Man findet daselbst auch ähnliche Formeln für den Fall, in welchem der Nenner

$$\sqrt{-(x-a)(x-\beta)(x-\gamma)(x-d)}$$

ist.



und das Integral wird von  $-a$  bis  $n+b$  genommen. Man hat also

$$\alpha = a, \quad \beta = n+b, \quad \gamma = -a, \quad \delta = n-b$$

und das Integral von  $\gamma$  bis  $\beta$  zu nehmen. Hieraus folgt

$$2L = \hat{Y} 4ab + \hat{Y} \{n\alpha - (a-b)^2\}$$

$$2N = \hat{Y} 4ab - \hat{Y} \{n\alpha - (a-b)^2\}$$

und die Grenzen des Integrals  $= -1$  und  $+1$ .

Wenn  $2^{\text{tes}}$   $n$  zwischen  $-a+b$  und  $a-b$  fällt, ist ihre Reihenfolge:

$$x-a, x-n-b, x-n+b, x+a$$

und das Integral wird von  $n-b$  bis  $n+b$  genommen. Man hat also

$$\alpha = a, \quad \beta = n+b, \quad \gamma = n-b, \quad \delta = -a$$

und das Integral von  $\gamma$  bis  $\beta$  zu nehmen. Hieraus folgt

$$2L = \hat{Y} \{(a+b)^2 - n\alpha\} + \hat{Y} \{(a-b)^2 - n\alpha\}$$

$$2N = \hat{Y} \{(a+b)^2 - n\alpha\} - \hat{Y} \{(a-b)^2 - n\alpha\}$$

und die Grenzen des Integrals  $= -1$  und  $+1$ .

Wenn  $3^{\text{tes}}$   $n$  zwischen  $a-b$  und  $a+b$  fällt, ist ihre Reihenfolge:

$$x-n-b, x-a, x-n+b, x+a$$

und das Integral wird von  $n-b$  bis  $a$  genommen. Man hat also

$$\alpha = n+b, \quad \beta = a, \quad \gamma = n-b, \quad \delta = -a$$

und das Integral von  $\gamma$  bis  $\beta$  zu nehmen. Das Uebrige folgt hieraus wie in dem ersten Falle, was auch eine Folge davon ist, daß  $\psi_n = \psi(-n)$  sein muß.

Man hat also in allen drei Fällen

$$\psi_n = \frac{1}{\pi^2 L^2} \int_{-1}^1 \frac{dy}{\sqrt{(1-yy)} \sqrt{(1-ky)}} \quad (1)$$

und wenn man

$$k = \left(\frac{N}{L}\right)^2 = \sin \theta$$

und  $y = \sin \phi$  setzt

$$[9] \dots \dots \psi_n = \frac{2}{\pi^2 L^2} \int_0^{A_n} \frac{d\phi}{\sqrt{(1-\sin^2 \theta \sin^2 \phi)}} \quad (2)$$

Den Zahlenwerth des Integrals hat *Legendre*, im 3<sup>ten</sup> Theile der *Exercices du calcul intégral*, in eine Tafel gebracht, deren Argument  $\theta$  ist.

### 5.

Ich habe diese Beispiele verfolgt, um dadurch in einigen speciellen Fällen anschaulich zu machen, in welcher Art die Beschaffenheit der Functionen  $\phi$  und  $\psi$ , durch ihr Zusammenwirken verändert wird. Die drei Beispiele sind dieser Absicht angemessen gewählt: das *erste* setzt zwei Fehlerursachen voraus, welche grössere und kleinere Fehlern gleiche Wahrscheinlichkeiten beilegen; das *zweite* verhindert eine solche

Fehlerursache mit einer anderen, deren Wirkungen desto wahrscheinlicher werden, je grösser sie sind und für welche  $\phi$ , an den Grenzen von  $x$ , sogar bis ins Unendliche wächst; das *dritte* betrachtet endlich das Zusammenwirken zweier Fehlerursachen der letzteren Art. Um leichter als durch die eingetragenen Formeln das Resultat dieses Zusammenwirkens zweier einander unabhängiger Fehlerursachen übersehen zu können, habe ich die Zahlenwerthe von  $(a+b)\psi_n$  zuerst für die Voraussetzung  $a = 5$  und  $b = 5$ , dann für die Voraussetzung  $a = 6$  und  $b = 4$  berechnet und führe sie hier an:

$+n$	I	II	III	$+n$	I	II	III
0	1,0	1,00	$\infty$	0	0,83	0,58	0,61
1	0,9	0,80	0,15	1	0,83	0,60	0,64
2	0,8	0,70	0,12	2	0,83	0,76	$\infty$
3	0,7	0,63	0,11	3	0,73	0,69	0,60
4	0,6	0,56	0,10	4	0,63	0,63	0,51
5	0,5	0,50	0,09	5	0,52	0,56	0,46
6	0,4	0,44	0,08	6	0,42	0,49	0,42
7	0,3	0,37	0,08	7	0,31	0,42	0,39
8	0,2	0,30	0,07	8	0,21	0,33	0,36
9	0,1	0,20	0,07	9	0,10	0,23	0,34
10	0,0	0,00	0,06	10	0,00	0,00	0,32

Im Beispiele III ist eigentlich der Werth von  $\psi_n$ , an der Grenze von  $n$ , unbestimmt; allein für ein unendlich wenig kleineres  $n$  drücken ihn die berechneten Zahlen aus. Durch diese Tafeln wird anschaulich, wie das Zusammenwirken zweier Fehlerursachen grösseren Fehlern, im Allgemeinen, kleinere Wahrscheinlichkeiten giebt, selbst wenn die den einzelnen zugehörigen  $\phi$  und  $\psi$ , diese Eigenschaft nicht haben. In dem Beispiele II ist das starke Zusammendrängen der Fehler an den Grenzen der aus der einen ihrer Ursachen hervorgehenden, gänzlich verschwunden, und es zeigt sich darin im Ganzen ein mit dem Wachsen von  $n$  verbundenes Abnehmen von  $\psi_n$ . In dem Beispiele III drängen sich die Fehler in dem ersten berechneten Falle bei  $n = 0$ , in dem zweiten bei  $n = 2$ , noch stark zusammen, aber die Werthe von  $n$ , für welche dieses stattfindet, liegen nicht mehr an den Grenzen. Daß etwas Ähnliches aus dem Zusammenwirken zweier Fehlerursachen entstehen müsse, begreift man auch leicht ohne Rechnung; allein diese weist es in den ihr entworfenen Fällen näher nach.

Man kann aus speciellen Fällen allerdings nichts Allgemeines folgern; allein ich bemerke, bei Gelegenheit der gegenwärtigen Verfolgung einiger derselben, daß die dadurch erhaltenen Resultate der Vermuthung nicht zuwider sind, daß das Zusammenwirken einer grossen Anzahl, von einander unabhängiger Fehlerursachen, die Gesetze der einzelnen mögen sein wie man will, einem Ausdrucke von  $\psi_n$  nähern könne, welcher die Eigenschaft besitzt, mit dem Wachsen der Werthe von  $n$  fortwährend abzunehmen.

6.

Man kann, durch weitere Verfolgung der Formel [7], leicht einen Ausdruck von  $\psi_n$  erhalten, welcher das Resultat des Zusammenwirkens dreier Fehlerursachen angiebt. Für zwei Fehlerursachen  $\varphi_x$  und  $\varphi_y$  habe ich oben gefunden:

$$\psi_n = \int_{-a}^a \varphi_x \varphi_y (n-x) dx$$

weicher Ausdruck aber die Hinzufügung der Bedingung fordert, daß statt  $\varphi_y(n-x)$  Null gesetzt werde, wenn  $n-x$  ausserhalb  $\mp c$  liegt. Führt man, um die Bezeichnungen  $n$  und  $\psi_n$  auch für das Zusammenwirken dreier Fehlerursachen beibe-

$$\psi_n = \int_{-a}^a \varphi_2(n-\nu) F_\nu d\nu = \int_{-a}^a \varphi_2(n-\nu) d\nu \int_{-a}^a \varphi_1(\nu-x) \varphi_x dx \dots \dots \dots [10]$$

und es wird klar, daß man dieses Verfahren auch auf vier oder jede größere Zahl von Fehlerursachen ausdehnen kann, indem man immer die Bedingung hinzufügt, daß, statt der

$$\psi_n = \int_{-a}^a \varphi_3(n-\nu_1) d\nu_1 \int_{-a}^a \varphi_2(\nu_1-\nu_2) d\nu_2 \int_{-a}^a \varphi_1(\nu_2-x) \varphi_x dx \dots \dots \dots [11]$$

Die hier geforderten successiven Integrationen sind aber nur in sehr eingeschränkten Fällen der Bedeutung von  $\varphi, \varphi_1, \varphi_2, \dots$  ausführbar, und selbst wenn sie ausführbar sind, wird die wirkliche Berechnung von  $\psi_n$ , durch die Nebenbedingungen, welche die Begrenzungen der Integrale erfordern, außerordentlich erschwert. Um wenigstens den Anfang dieser Schwierigkeit anschaulich zu machen, werde ich den nicht-einfachen Fall, nämlich den Fall dreier Fehlerursachen, verfolgen. Die Formeln, welche ich dadurch erhalten werde, sind nicht nur hier anwendbar, sondern immer wenn ein Integral

$$\iint \varphi_x \varphi_y \varphi_z dy dx$$

über alle Werthe der veränderlichen Größen angedeutet werden soll, für welche  $x+y+z$  einen gegebenen Werth  $n$  hat: sie können also noch anderweitige Anwendungen finden.

Um abzukürzen, werde ich das Integral

$$\int_{-a}^a \varphi_1(\nu-x) \varphi_x dx \text{ durch } [h, x]$$

bezeichnen. Daraus folgt, den Formeln [8] gemäß:

$$\begin{aligned} \psi_n &= \int_{-a}^{n+c} \varphi_2(n-\nu) [-a, \nu+b] d\nu, \text{ wenn } n > -a-b-c < -a-b+c \\ &= \int_{-a}^{n+c} \varphi_2(n-\nu) [-a, \nu+b] d\nu, \dots n > -a-b+c < -a+b-c \\ &= \int_{-a}^{n+c} \varphi_2(n-\nu) [-a, \nu+b] d\nu, \dots n > -a+b-c < -a+b+c \end{aligned}$$

halten zu können, statt ihrer andere ein, nämlich  $\nu$  statt  $n$  und  $F_\nu$  statt  $\psi_n$ , oder schreibt man statt des obigen Ausdruckes:

$$F_\nu = \int_{-a}^a \varphi_1(\nu-x) \varphi_x dx$$

so kann man, bei der Aufsuchung von  $\psi_n$  für drei Fehlerursachen, dieses  $F_\nu$  statt des vorigen  $\varphi_x$  und  $\varphi_2 = \varphi_2(n-\nu)$  statt der vorigen  $\varphi_1(\nu-x)$  anwenden; unter der Bedingung, daß statt  $\varphi_2(n-\nu)$  Null gesetzt werde, wenn  $n-\nu$  ausserhalb  $\mp c$  liegt, wird das Integral zwischen den Grenzen von  $\nu = \mp(a+b)$  genommen. Man erhält also

hinzukommenden  $\varphi_3(n-\nu_1)$ ,  $\varphi_4(n-\nu_2)$  u. s. w. Null gesetzt werde, sobald  $n-\nu_1$ ,  $n-\nu_2$ , u. s. w. ausserhalb  $\mp c$ ,  $\mp c$ , u. s. w. liegen. Für vier Fehlerursachen hat man z. B.

$$\begin{aligned} \text{wenn } \nu > -a-b &< -a+b \dots F_\nu = [-a, \nu+b] \\ \nu > -a+b &< a-b \dots F_\nu = [\nu-b, \nu+b] \\ \nu > a-b &< a+b \dots F_\nu = [\nu-b, a] \end{aligned}$$

Man sucht

$$\psi_n = \int_{-a}^a \varphi_3(n-\nu) F_\nu d\nu$$

unter der Bedingung, daß statt  $\varphi_3(n-\nu)$  Null gesetzt werde, wenn  $n-\nu$  ausserhalb  $\mp c$  liegt. Setzt man nach und nach für  $F_\nu$  die eben gegebenen Ausdrücke, so fordert die Anwendbarkeit des ersten derselben, daß  $\nu > -a-b$  und  $\nu < -a+b$  sei; die jetzt hinzugekommene Bedingung fordert, daß  $n-\nu > -c$  und  $< c$ , oder  $\nu > n-c$  und  $\nu < n+c$  sei. Fällt  $n-c$  zwischen  $-a-b$  und  $-a+b$ , also  $n$  zwischen  $-a-b+c$  und  $-a+b+c$ , so wird das Integral von  $n-c$  angerechnet, für kleinere  $n$  von  $-a-b$ . Fällt  $n+c$  zwischen  $-a-b$  und  $-a+b$ , also  $n$  zwischen  $-a-b+c$  und  $-a+b+c$ , so wird das Integral hiezu  $n+c$  genommen, für größere  $n$  bis zu  $-a+b$ . Insofern der erste der drei Ausdrücke von  $F_\nu$ , bei dem Integrale in Betracht kommt, hat man also, unter der Annahme  $a \geq b \geq c$ :

Die Anwendbarkeit des zweiten der Ausdrücke von  $Fv$  fordert, daß  $v > -a+b$  und  $< a-b$  sei; die hinzukommende Bedingung, daß  $v > n-c$  und  $< n+c$  sei. Fällt  $n-c$  zwischen  $-a+b$  und  $a-b$ , also  $n$  zwischen  $-a+b+c$  und  $a-b+c$ , so wird das Integral von  $n-c$  angerechnet, für

kleinere  $n$  von  $-a+b$ . Fällt  $n+c$  zwischen  $-a+b$  und  $a-b$ , also  $n$  zwischen  $-a+b-c$  und  $a-b-c$ , so wird das Integral bis zu  $n+c$  genommen, für größere  $n$  bis zu  $a-b$ . Insofern der zweite der drei Ausdrücke von  $Fv$  bei dem Integrale in Betracht kommt, hat man also, unter der Annahme  $c > b+c$ :

$$\begin{aligned}\psi n &= \int_{-a+b}^{n+c} \varphi_2(n-v)[v-b, v+b] dv, \text{ wenn } n > -a+b-c < a-b+c \\ &= \int_{-a+b}^{n+c} \varphi_2(n-v)[v-b, v+b] dv, \dots n > -a+b+c < a-b-c \\ &= \int_{n-c}^{a-b} \varphi_2(n-v)[v-b, v+b] dv, \dots n > a-b-c < a-b+c\end{aligned}$$

Wenn aber  $a < b+c$  so widerspricht dieses der zweiten Bedingung  $n > -a+b+c < a-b-c$  und die Reihenfolge der vier

Grenzen ist dann  $-a+b-c$ ,  $a-b-c$ ,  $-a+b+c$ ,  $a-b$ , woraus, den angeführten Bedingungen gemäß, hervorgeht:

$$\begin{aligned}\psi n &= \int_{-a+b}^{n+c} \varphi_2(n-v)[v-b, v+b] dv, \text{ wenn } n > -a+b-c < a-b-c \\ &= \int_{-a+b}^{n+c} \varphi_2(n-v)[v-b, v+b] dv, \dots n > a-b-c < -a+b+c \\ &= \int_{n-c}^{a-b} \varphi_2(n-v)[v-b, v+b] dv, \dots n > -a+b+c < a-b+c\end{aligned}$$

Die Anwendbarkeit des dritten der Ausdrücke von  $Fv$  fordert endlich, daß  $v > a-b$  und  $< a+b$  sei; die hinzukommende Bedingung, daß  $v > n-c$  und  $< n+c$  sei. Fällt  $n-c$  zwischen  $a-b$  und  $a+b$ , also  $n$  zwischen  $a-b+c$  und  $a+b+c$ , so wird das Integral von  $n-c$  angerechnet, für kleinere  $n$

von  $a-b$ . Fällt  $n+c$  zwischen  $a-b$  und  $a+b$ , also  $n$  zwischen  $a-b-c$  und  $a+b-c$ , so wird das Integral bis zu  $n+c$  genommen, für größere  $n$  bis zu  $a+b$ . Insofern der dritte der Ausdrücke von  $Fv$  bei dem Integrale in Betracht kommt hat man also:

$$\begin{aligned}\psi n &= \int_{n-c}^{a+b} \varphi_2(n-v)[v-b, a] dv, \text{ wenn } n > a-b-c < a-b+c \\ &= \int_{n-c}^{a+b} \varphi_2(n-v)[v-b, a] dv, \dots n > a-b+c < a+b-c \\ &= \int_{n-c}^{a+b} \varphi_2(n-v)[v-b, a] dv, \dots n > a+b-c < a+b+c\end{aligned}$$

Sammelt man diese 9 Ausdrücke, und bezeichnet man, um abzukürzen,

$$\int_i \varphi_2(n-v) dv \int_h \varphi_1(v-x) \varphi x dx \text{ durch } [k, l; h, l]$$

so erhält man:

a. in dem Falle  $a < b+c$

$$\begin{aligned}\psi n &= [-a-b, n+c; -a, v+b] \text{ wenn } n > -a-b-c < -a-b+c \\ \psi n &= [n-c, n+c; -a, v+b] \dots n > -a-b+c < -a+b-c \\ \psi n &= [n-c, -a+b; -a, v+b] \dots n > -a+b-c < -a-b+c \\ &+ [-a+b, n+c; v-b, v+b] \dots n > -a+b-c < -a+b+c \\ \psi n &= [n-c, n+c; v-b, v+b] \dots n > -a+b-c < a-b-c \\ \psi n &= [n-c, a-b; v-b, v+b] \dots n > a-b-c < a-b+c \\ &+ [a-b, n+c; v-b, a] \dots n > a-b-c < a-b+c \\ \psi n &= [n-c, n+c; v-b, a] \dots n > a-b+c < a+b-c \\ \psi n &= [n-c, a+b; v-b, a] \dots n > a+b-c < a+b+c\end{aligned}$$

[12].....

β. in dem Falle  $a \geq b + c$

$$\left. \begin{aligned} \psi n &= \begin{cases} -a-b, n+c; & -a, v+b \\ n-c, n+e; & -a, v+b \\ n-e, -a+b; & -a, v+b \end{cases} \text{ wenn } n > -a-b-c < -a-b+c \\ &+ \begin{cases} -a+b, n+c; & v-b, v+b \\ n-e, -a+b; & -a, v+b \\ -a-b, n+c; & v-b, v+b \end{cases} \dots n > -a+b-c < a-b-e \\ \psi n &= \begin{cases} -a+b, a-b; & -a, v+b \\ -a-b, n+c; & v-b, a \\ -a-c, a-b; & v-b, a \end{cases} \dots n > a-b-e < -a+b+c \\ &+ \begin{cases} -a-b, n+c; & v-b, a \\ -a-c, a-b; & v-b, a \\ -a-b, n+c; & v-b, a \end{cases} \dots n > -a+b+c < a-b+c \\ \psi n &= \begin{cases} -a-c, n+c; & v-b, a \\ n-e, a+b; & v-b, a \end{cases} \dots n > a+b-e < a+b+e \end{aligned} \right\} \dots [12']$$

Es kann kein Interesse haben, die noch viel weitläufiger werdende, und die Unterscheidung mehrerer besonderer Fälle fordernde vollständige Entwicklung des Ausdrucks [11], oder gar eines, noch mehr als vier Fehlerursachen berücksichtigenden, zu verfolgen und die zahlreicheren Unterbrechungen der Stetigkeit von  $\psi n$  aufzusuchen. Dafs der Fortgang auf diesem Wege in abschreckende Weitläufigkeiten führt, und doch kein, eine Uebersicht gewährendes Resultat geben kann, wird durch die Formeln [12] und [12'] anschaulich, und damit ist die Absicht ihrer Entwicklung erreicht.

7.

Es sind indessen besondere Fälle vorhanden, in welchen das Zusammenwirken mehrerer Fehlerursachen, zu einem einfachen Resultate führt. Mit diesen werde ich mich jetzt beschäftigen.

Einer von ihnen ist der Fall, in welchem die verschiedenen Fehlerursachen nach demselben Gesetze der Wahrscheinlichkeit wirken, welches zu vollständigen Rechtfertigung der Methode der kleinsten Quadrate nothwendig ist. Ich werde zuerst nur zwei solcher Fehlerursachen annehmen, also

$$\phi x = \frac{h}{\sqrt{\pi}} e^{-\frac{h^2}{2} x^2}, \quad \phi, y = \frac{h_y}{\sqrt{\pi}} e^{-\frac{h_y^2}{2} y^2}$$

wetzen, und  $\pm \infty$  als Grenzen von  $x$  und  $y$  betrachten. Dann ist (Art. 4)

$$\psi n = \int_{-\infty}^{\infty} \phi x \cdot \phi (n-x) dx = \frac{h h_y}{\pi} \int_{-\infty}^{\infty} e^{-\frac{h^2}{2} x^2 - \frac{h_y^2}{2} (n-x)^2} dx$$

welcher Ausdruck auch

$$\psi n = \frac{h h_y e^{-\frac{(h h_y)^2}{2(h^2 + h_y^2)}}}{\pi} \int_{-\infty}^{\infty} e^{-\left\{ x^2 (h^2 + h_y^2) - \frac{h h_y n}{h^2 + h_y^2} \right\}} dx$$

ausgedr. werden kann, oder wenn man

$$x \sqrt{(h^2 + h_y^2)} = \frac{h h_y n}{\sqrt{(h^2 + h_y^2)}} = t$$

setzt:

$$\psi n = \frac{h h_y e^{-\frac{(h h_y)^2}{2(h^2 + h_y^2)}}}{\pi \sqrt{(h^2 + h_y^2)}} \int_{-\infty}^{\infty} e^{-t^2} dt$$

Da das Integral bekanntlich  $= \sqrt{\pi}$  ist, so wird

$$\psi n = \frac{1}{\sqrt{\pi}} \cdot \frac{h h_y}{\sqrt{(h^2 + h_y^2)}} e^{-\left\{ \frac{h h_y n}{h^2 + h_y^2} \right\}^2} = \alpha$$

oder  $\psi n$  erhält wieder dasselbe Gesetz, welches für die einzelnen Ursachen angenommen wurde, welches nun aber von der Constante

$$\frac{h h_y}{\sqrt{(h^2 + h_y^2)}}$$

statt der in  $\phi x$  und  $\phi, y$  stattfindenden  $h$  und  $h_y$ , abhängig geworden ist. Setzt man  $\frac{1}{\alpha \sqrt{2}}$  für  $h$ , und  $\frac{1}{\beta \sqrt{2}}$  für  $h_y$ , wodurch also  $\alpha$  und  $\beta$  die mittleren aus den einzelnen Ursachen entstehenden Fehler werden, so wird

$$\left( \frac{h h_y}{\sqrt{(h^2 + h_y^2)}} \right)^2 = \frac{1}{2(\alpha^2 + \beta^2)}$$

und es geht hieraus hervor, dafs das Gesetz der Wahrscheinlichkeit des aus beiden Fehlerursachen zusammengesetzten Fehlers  $n$ , keinen andern Unterschied von den zum Grunde gelegten Gesetzen der Wahrscheinlichkeiten der einzelnen hat, als den, dafs der mittlere Werth des Quadrates von  $n$ , die Summe der mittleren Werthe der Quadrate von  $x$  und  $y$  ist. Da diese Wiedervorbringung des zum Grunde gelegten Gesetzes bei zwei Fehlerursachen eingetreten ist, so tritt sie noch bei der Verbindung des dadurch zusammengesetzten Fehlers mit einer neuen Fehlerursache derselben Art ein, u. s. w. Man hat also den mittleren Werth des Quadrats des aus einer beliebigen Anzahl ähnlicher Fehlerursachen zusammengesetzten Fehlers

$$m m = \alpha \alpha + \beta \beta + \gamma \gamma + \text{etc.} \dots$$

und

$$\psi n = \frac{1}{m \sqrt{(2\pi)}} e^{-\frac{n^2}{2m^2}} \dots [13]$$

Ein anderer, der Aufmerksamkeit würdiger Fall ist der, in welchem die einzelnen zusammenwirkenden Fehlerursachen ihren Wirkungen von gleicher Gröfse gleiche, übrigens aber einem beliebigen Gesetze folgende Wahrscheinlichkeiten geben. Dafs die Summe aller Wirkungen  $x + y + z + \dots$  den Werth  $a$  erhalte, ist dann offenbar genau so wahrscheinlich, als wahr-

scheinlich ist, daß die Summe der Fehler von oben so vielen Beobachtungen, als Fehlerursachen vorhanden sind,  $= n$  werde. Die Aufgabe  $\psi_n$  zu bestimmen, ist also in diesem Falle von der von Laplace \*) aufgestellten Aufgabe die Summe der Fehler einer Anzahl gleichartiger Beobachtungen zu finden, nicht verschieden; und sie führt, eben so wie diese, zu dem merkwürdigen Resultate, daß eine Anzahl voneinander unabhängiger, zwar nach einem willkürlichen, aber sämtlich nach einem gleichen Gesetze wirkender Fehlerursachen, den Ausdruck von  $\psi_n$  der oft angeführten exponentiellen Formel [13] destomehr nähert je größer sie ist. Poisson hat später \*\*) eine meisterhafte Analyse derselben Aufgabe gegeben; auch die Recherches sur la probabilité des jugements desselben großen Geometers, enthalten Vieles was sich darauf bezieht.

## 8.

Ich werde in diesem und dem folgenden Art. zeigen, daß beliebig wirkende Fehlerursachen, also willkürliche Annahmen der Functionen  $\phi x, \phi_1 y, \phi_2 z, \dots$  sowohl, als auch der Grenzen  $\mp a, \mp b, \mp c, \dots$  von  $x, y, z, \dots$ , unter gewissen Bedingungen, zu der Erzeugung eines Beobachtungsfehlers zusammenwirken, dessen Gesetz der Wahrscheinlichkeit dasselbe ist [13], welches die Methode der kleinsten Quadrate zur Wahrscheinlichkeiten macht.

Der Ausdruck [7]:

$$\psi_n = \frac{1}{\mu^{n+1}} \Sigma \phi x \cdot \phi_1 y \cdot \phi_2 z \dots$$

in welchem  $\mu+1$  die Anzahl der voneinander unabhängigen

$$\psi_n = \frac{1}{2\pi} \int_{-\infty}^{+\infty} \left( \sum_i \frac{1}{\phi_i} \phi x e^{ux \mu^{n+1}} \right) \left( \sum_i \frac{1}{\phi_i} \phi_1 y e^{uy \mu^{n+1}} \right) \dots e^{-ux \mu^{n+1}} du$$

oder, da  $i$  unendlich groß ist und man die einzelnen Summen durch Integrale ausdrücken kann:

$$\psi_n = \frac{1}{2\pi} \int_{-\infty}^{+\infty} \left( \int_{-\infty}^{+\infty} \phi x \cdot e^{ux \mu^{n+1}} dx \right) \left( \int_{-\infty}^{+\infty} \phi_1 y \cdot e^{uy \mu^{n+1}} dy \right) \dots e^{-ux \mu^{n+1}} du \dots$$

Setzt man, statt der imaginären Exponentialgrößen unter den sich auf  $x, y, z, \dots$  beziehenden Integralzeichen, ihre Ausdrücke durch die trigonometrischen Linien, z. B.

$$e^{ux \mu^{n+1}} = \cos ux + \sqrt{-1} \cdot \sin ux$$

so kann man den  $\sqrt{-1}$  multiplicirten Theil derselben weglassen, weil er aus den zwischen den Grenzen  $\mp a, \mp b, \mp c, \dots$  genommenen Integralen (wegen  $\phi x = \phi(-x), \phi y = \phi(-y)$ )

$$[14] \dots \dots \dots \psi_n = \frac{1}{2\pi} \int_{-\infty}^{+\infty} \left( \int_{-\infty}^{+\infty} \phi x \cdot \cos ux dx \right) \left( \int_{-\infty}^{+\infty} \phi_1 y \cdot \cos uy dy \right) \dots \cos ux \cdot du$$

\*) Theorie analytique des probabilités. Paris 1812. p. 304.

\*\*) Connaissance des Temps 1827 p. 273.

\*\*\*) Auf eine ähnliche Formel, in welcher aber die Begrenzungen aller Integrale gleich sind, gelangt Poisson (probabilités des jugements p. 256) bei der Auflösung einer andern Aufgabe.

Fehlerursachen bezeichnet, würde von der Schwierigkeit, welche die gehörigen Begrenzungen von  $x, y, z, \dots$  seiner Verfolgung in den Weg legen, frei sein, wenn die durch die Bedingung  $x+y+z+\dots=n$  hervorgebrachte Abhängigkeit dieser Größen voneinander nicht vorhanden wäre. Man kann ihn aber von dieser Bedingung befreien, also  $x, y, z, \dots$  als voneinander unabhängig betrachten, wenn man ihn, unter dem Summenzeichen, mit einer Function von  $x+y+z+\dots$  multiplicirt, welche die Eigenschaften hat, für jeden nichtverschwindenden Werth von  $x+y+z+\dots=n$  zu verschwinden und für  $x+y+z+\dots=n=0$  den Werth 1 zu erlangen. Da  $x, y, z, \dots$  sich von  $\frac{1}{x}$  zu  $\frac{1}{y}$  verändern (Art. 4) so hat die Function:

$$\frac{\sin ix \{x+y+z+\dots-n\}}{ix \{x+y+z+\dots-n\}}$$

diese Eigenschaften und man erhält durch ihre Einführung:

$$\psi_n = \frac{1}{i^{n+1}} \Sigma \phi x \cdot \phi_1 y \cdot \phi_2 z \dots \frac{\sin ix \{x+y+z+\dots-n\}}{\pi \{x+y+z+\dots-n\}}$$

wo das Summenzeichen sich geradezu auf die Grenzen  $\mp a, \mp b, \mp c, \dots$  bezieht.

Man kann aber diesem Ausdrucke eine weit zweckmäßigere Form geben, indem man sich erinnert, daß

$$\frac{\sin ix \{x+y+z+\dots-n\}}{\pi \{x+y+z+\dots-n\}} = \frac{1}{2\pi} \int_{-\infty}^{+\infty} e^{i(x+y+z+\dots-n)u} e^{-u^2} du$$

ist; denn dadurch werden  $x, y, z, \dots$  voneinander abgesondert und der Ausdruck erhält die Form:

u. s. w.) verschwindet. Ferner kann man von  $e^{-ux \mu^{n+1}} = \cos ux - \sqrt{-1} \cdot \sin ux$  gleichfalls den in  $\sqrt{-1}$  multiplicirten Theil weglassen, da der von einer negativen, bis zu einer gleich großen positiven Grösse genommene Integral von  $\cos ux \cdot \cos uy \cdot \cos uz \dots \sin ux \cdot \sin uy \cdot \sin uz \dots$  verschwindet. Man erhält also

weicher Ausdruck für jede Anzahl Fehlerursachen und jede Annahme von  $\varphi x, \varphi_1 y, \varphi_2 x, \dots$  richtig, auch nur der Form nach von den im 6<sup>ten</sup> Art. gegebenen Ausdrücken, z. B. [11], verschieden ist.

Ehe ich diesen Ausdruck weiter verfolge, werde ich seine Anwendung durch ein Beispiel erläutern. Ich werde das meiste der im 4<sup>ten</sup> Art. ausgeführten Beispiele wieder vornehmen, also

$$\psi n = \frac{1}{8b\pi} \int_{-\infty}^{\infty} \int_{-\infty}^{\infty} \left\{ \sin u(x+n+b) + \sin u(x-n+b) - \sin u(x+n-b) - \sin u(x-n-b) \right\} \frac{du dx}{u \sqrt{(aa-xx)}}$$

Integriert man zuerst in Beziehung auf  $u$  und erinnert man sich, daß

$$\int_{-\infty}^{\infty} \sin ru \cdot \frac{du}{u}$$

für jeden positiven Werth von  $r = \pi$ , für jeden negativen  $= -\pi$  ist, so wird z. B.

$$\int_{-\infty}^{\infty} \int_{-\infty}^{\infty} \sin u(x+n+b) \frac{du dx}{u \sqrt{(aa-xx)}} = \pi \int_{-\infty}^{\infty} \frac{dx}{\sqrt{(aa-xx)}} - \pi \int_{-\infty}^{\infty} \frac{dx}{\sqrt{(aa-xx)}}$$

welch, um abzukürzen  $\pi[-n-b, a] - \pi[-a, -n-b]$  schreiben werde. Man erhält also:

$$\psi n = \frac{1}{8b\pi} \left\{ [-n-b, a] - [-a, -n-b] + [n-b, a] - [-a, n-b] - [n+b, a] + [-a, n+b] - [n+b, a] + [-a, n+b] \right\}$$

Wenn

1<sup>tes</sup>  $n > a-b$  und  $< -a+b$ , oder  $-n > a-b$  und  $< a+b$  so ist  $n-b < -a$  und  $-n+b > a$ , weshalb die 3<sup>te</sup> und 5<sup>te</sup> dieser Größen  $[-a, a]$  werden, die 4<sup>te</sup> und 5<sup>te</sup> aber verschwinden. Setzt man, wie im 4<sup>ten</sup> Art.,

$$\sin u = \frac{n+b}{a}; \quad \sin u' = \frac{n-b}{a}$$

$$\psi n = \frac{1}{8b\pi} \left\{ (\pi+u) - (\pi-u) + (\pi-u') - (\pi+u') - (\pi+u') + (\pi-u') - (\pi-u) + (\pi+u) \right\}$$

wenn 3<sup>tes</sup>

$a > n-b$  und  $< a+b$ , oder  $-n > a-b$  und  $< -a+b$  so ist  $-n-b < -a$  und  $n+b > a$ , weshalb das 1<sup>te</sup> und 3<sup>te</sup> der Glieder des Ausdrucks  $[-a, a]$  werden, das 2<sup>te</sup> und 7<sup>te</sup> aber verschwinden. Man erhält also

$$\psi n = \frac{1}{8b\pi} \left\{ \pi + (\pi-u) - (\pi+u') - (\pi+u') + (\pi-u') + \pi \right\}$$

Dieses alles ist übereinstimmend mit den im 4<sup>ten</sup> Art. gefundenen Formeln.

Die früher auf die Begrenzungen fallende Schwierigkeit wird durch den Ausdruck [14], auf die in Beziehung auf  $u$  auszuführende Integration übertragen. Es ist kein Grund vorhanden, entweder der Form [11] oder der Form [14] im Allgemeinen einen Vorzug einzuräumen, sondern die vortheilhafte Wahl zwischen beiden hängt von der Beschaffenheit der Functionen  $\varphi x, \varphi_1 y, \varphi_2 x, \dots$  ab. Allein da der vollständige Ausdruck von  $\psi n$ , immer wenn die Begrenzungen der einzelnen Fehlerursachen nicht  $\pm \infty$  sind, nicht stetig ist, und seine An-

$$\varphi x = \frac{1}{\pi} \frac{1}{\sqrt{(aa-xx)}}; \quad \varphi_1 y = \frac{1}{2b}$$

setzen. Man hat also nach [14], indem man zuerst nach  $y$  integriert:

$$\psi n = \frac{1}{2\pi^2} \int_{-\infty}^{\infty} \left( \int_{-\infty}^{\infty} \frac{\cos ux}{\sqrt{(aa-xx)}} dx \right) \frac{\sin ub}{ub} \cos u \cdot du$$

oder

$$\int_{-\infty}^{\infty} \sin ru \cdot \frac{du}{u}$$

für jeden positiven Werth von  $r = \pi$ , für jeden negativen  $= -\pi$  ist, so wird z. B.

$$\int_{-\infty}^{\infty} \int_{-\infty}^{\infty} \sin u(x+n+b) \frac{du dx}{u \sqrt{(aa-xx)}} = \pi \int_{-\infty}^{\infty} \frac{dx}{\sqrt{(aa-xx)}} - \pi \int_{-\infty}^{\infty} \frac{dx}{\sqrt{(aa-xx)}}$$

welch, um abzukürzen  $\pi[-n-b, a] - \pi[-a, -n-b]$  schreiben werde. Man erhält also:

$$\psi n = \frac{1}{8b\pi} \left\{ [-n-b, a] - [-a, -n-b] + [n-b, a] - [-a, n-b] - [n+b, a] + [-a, n+b] - [n+b, a] + [-a, n+b] \right\}$$

so wird also

$$\psi n = \frac{1}{8b\pi} \left\{ (\pi+u) - (\pi-u) + \pi + \pi - (\pi-u) + (\pi+u) \right\};$$

wenn 2<sup>tes</sup>

$n > a+b$  und  $< a-b$ , oder  $-n > a+b$  und  $< -a-b$  so geht keine der Größen  $-n-b, n-b, -n+b, n+b$  über die Grenzen  $\mp a$  hinaus und alle Glieder des Ausdrucks bleiben ungeändert, so daß man erhält:

$$\psi n = \frac{1}{8b\pi} \left\{ (\pi+u) - (\pi-u) + (\pi-u') - (\pi+u') - (\pi+u') + (\pi-u') - (\pi-u) + (\pi+u) \right\}$$

wendung zur Bearbeitung einer Beobachtungsreihe, aus diesem Grunde, in unüberwindliche Weitläufigkeiten führen würde, so ist eine Näherung, welche sich von dem Ausdrucke von  $\psi n$  wenig entfernt und die Unterbrechungen seiner Stetigkeit nicht besitzt, wirklich wünschenswerther als der streng richtige Ausdruck. Kommt es darauf an, die Frage: ob eine solche Näherung möglich ist, zu beantworten, und, im Falle ihrer Bejahung, dieselbe aufzusuchen, so erscheint der Vorzug der gegenwärtigen Form, vor der früheren, sehr groß.

## 9.

Laplace hat bekanntlich gezeigt, daß die Entwicklung von Ausdrücken, welche als Functionen großer Zahlen betrachtet werden können, durch die Berücksichtigung dieses Umstandes, im Allgemeinen erleichtert werden kann. Sowohl er selbst, als auch Poisson, haben hieraus, bei der Auflösung vieler Aufgaben der Wahrscheinlichkeitsrechnung, großen Nutzen gezogen, und auch die gegenwärtige wird dadurch, falls sie das Zusammenwirken vieler Fehlerursachen von nicht sehr

ungleicher Größe betrifft, näherungsweise auflöslich. In diesem Falle ist es klar, daß das im Ausdrucke [14] enthaltene Product

$$\left(\int_{-\infty}^{\infty} \varphi x \cdot \cos ux \, dx\right) \left(\int_{-\infty}^{\infty} \varphi y \cdot \cos uy \, dy\right) \left(\int_{-\infty}^{\infty} \varphi z \cdot \cos uz \, dz\right) \dots$$

welches den größten Werth, dessen er fähig ist, erlangt, wenn  $u = 0$  gesetzt wird, für einigermaßen beträchtliche Werthe von  $ux, uy, uz, \dots$ , deren Cosinusse merklich kleiner werden als 1, sehr klein werden muß.

Wenn man es daher als eine Function von  $u$  betrachtet, so ist es zweckmäßig, ihr die Form:  $M e^{-U}$  zu geben,

$$[15] \dots \dots \dots e^{-U} = \left(\int_{-\infty}^{\infty} \varphi x \cos ux \, dx\right) \left(\int_{-\infty}^{\infty} \varphi y \cos uy \, dy\right) \left(\int_{-\infty}^{\infty} \varphi z \cos uz \, dz\right) \dots$$

und werde nun  $U$  aufsuchen.

Entwickelt man  $\varphi x \cdot \cos ux \, dx$  in die Reihe

$$\varphi x \, dx \left\{ 1 - \frac{ux}{2} + \frac{u^2 x^2}{24} - \frac{u^4 x^4}{720} + \dots \right\}$$

und bezeichnet man:

$$\int_{-\infty}^{\infty} x x \varphi x \, dx = a^2; \int_{-\infty}^{\infty} x^2 \varphi x \, dx = a_1^2; \int_{-\infty}^{\infty} x^4 \varphi x \, dx = a_2^2; \dots$$

wo also  $a^2$  den mittleren Werth des Quadrats des aus der ersten Ursache hervorgehenden Fehlers,  $a_1^2$  den mittleren Werth seines Biquadrats u. s. w. bedeuten, so hat man

$$\int_{-\infty}^{\infty} \varphi x \cos ux \, dx = 1 - \frac{a^2}{2} u^2 + \frac{a_1^2}{24} u^4 - \frac{a_2^2}{720} u^6 + \dots$$

$$[16] \dots \dots \dots U = \frac{[a^2]}{2} u^2 + \frac{3[a^4] - [a_1^2]}{24} u^4 + \frac{30[a^6] - 15[a_1^2 a^2] + [a_2^2]}{720} u^6 + \dots$$

Ich werde zuerst nur das erste Glied dieses Ausdruckes berücksichtigen, also, der Formel [14] gemäß,

$$[17] \dots \dots \dots \psi_n = \frac{1}{2\pi} \int_{-\infty}^{\infty} e^{-\frac{[a^2]}{2} u^2} \cos un \, du$$

$$\int_{-\infty}^{\infty} e^{-\frac{[a^2]}{2} u^2} \cos un \, du = \frac{\sqrt{(2\pi)}}{\sqrt{[a^2]}} e^{-\frac{n^2}{2[a^2]}}$$

$$\int_{-\infty}^{\infty} u^2 e^{-\frac{[a^2]}{2} u^2} \cos un \, du = \frac{\sqrt{(2\pi)}}{[a^2]^{\frac{3}{2}}} e^{-\frac{n^2}{2[a^2]}} \left(1 - \frac{n^2}{[a^2]}\right)$$

$$\int_{-\infty}^{\infty} u^4 e^{-\frac{[a^2]}{2} u^2} \cos un \, du = \frac{\sqrt{(2\pi)}}{[a^2]^{\frac{5}{2}}} e^{-\frac{n^2}{2[a^2]}} \left(3 - \frac{6 \cdot n^2}{[a^2]} + \frac{n^4}{[a^2]^2}\right)$$

$$\int_{-\infty}^{\infty} u^6 e^{-\frac{[a^2]}{2} u^2} \cos un \, du = \frac{\sqrt{(2\pi)}}{[a^2]^{\frac{7}{2}}} e^{-\frac{n^2}{2[a^2]}} \left(15 - \frac{45 \cdot n^2}{[a^2]} + \frac{15 \cdot n^4}{[a^2]^2} - \frac{n^6}{[a^2]^3}\right)$$

Man erhält jede folgende dieser Formeln durch zweimalige Differentiation der vorangehenden in Beziehung auf  $n$ .

Der Ausdruck [17] verwandelt sich hierdurch in:

$$[18] \dots \dots \dots \psi_n = \frac{1}{\sqrt{[a^2]} \sqrt{(2\pi)}} e^{-\frac{n^2}{2[a^2]}}$$

In welcher  $U$  eine Function von  $u$  ist, die für  $u = 0$  verschwindet und mit  $u$  wächst, und in welcher  $M$  den größten Werth des Productes, also da  $\int_{-\infty}^{\infty} \varphi x \, dx = 1, \int_{-\infty}^{\infty} \varphi y \, dy = 1, \dots$

sind, die Zahl 1 bedeutet. Ich wähle also die Form:

und eben so

$$\int_{-\infty}^{\infty} \varphi y \cos uy \, dy = 1 - \frac{\beta^2}{2} u^2 + \frac{\beta_1^2}{24} u^4 - \frac{\beta_2^2}{720} u^6 + \dots$$

$$\int_{-\infty}^{\infty} \varphi z \cdot \cos uz \, dz = 1 - \frac{\gamma^2}{2} u^2 + \frac{\gamma_1^2}{24} u^4 - \frac{\gamma_2^2}{720} u^6 + \dots$$

u. s. w.

Nimmt man, auf beiden Seiten des Gleichheitszeichens,  $\delta$  Logarithmen von [15] und setzt man

$$\begin{aligned} [a^2] &= a^2 + \beta^2 + \gamma^2 + \dots \\ [a^4] &= a^4 + \beta^4 + \gamma^4 + \dots \\ [a_1^2] &= a_1^2 + \beta_1^2 + \gamma_1^2 + \dots \\ [a^6] &= a^6 + \beta^6 + \gamma^6 + \dots \\ [a^2 a_1^2] &= a^2 a_1^2 + \beta^2 \beta_1^2 + \gamma^2 \gamma_1^2 + \dots \\ [a_2^2] &= a_2^2 + \beta_2^2 + \gamma_2^2 + \dots \end{aligned}$$

so erhält man

annehmen. Das in diesem Ausdruck vorkommende bestimmte Integral hat Laplace, wie ich glaube zuerst, gefunden<sup>\*)</sup>, außer diesem Integrale werde ich später noch einige andere die darauf reducirt werden können, gebrauchen und deshalb alle zugleich hier anführen:

welche Formel jedoch nur in den Fällen als eine Annäherung an den wahren Ausdruck von  $\psi_n$  angesehen werden kann, welchen gezeigt werden kann, daß der Einfluß der weggelassenen Glieder von [16] von geringer Bedeutung ist.

<sup>\*)</sup> Theorie analytique des probabilités p. 96.





den Stern eingestellt werden, und diese Einstellung kann aus verschiedenen Ursachen fehlerhaft werden, nämlich 1<sup>tes</sup>, weil eine Grenze der Kraft des Fernrohrs vorhanden ist, innerhalb welcher seine Richtung willkürlich bleibt; 2<sup>tes</sup> weil der Punkt des Bildes des Sterns, den man in die Absehsenröhre zu bringen beabsichtigt, innerhalb gewisser Grenzen willkürlich sein kann, welche bei großen und hellen Sternen ohne Zweifel weiter auseinander liegen, als bei kleineren weniger hellen, und woraus hervorgehen kann, dass bei Nacht und bei Tage, oder bei hellerem und weniger hellem Himmel, verschiedene Punkte gewählt werden; 3<sup>tes</sup> weil der Stern sich selten oder nie ruhig, sondern in zitternder, von dem Mangel des Gleichgewichts der Luft herrührender Bewegung zeigt, und also eine, zwischen den äußersten Grenzen dieser Bewegung liegende Wahl getroffen werden muß. Hierzu gesellen sich Fehlerursachen, welche von der Einstellung des Instruments ganz unabhängig sind, z. B. 4<sup>tes</sup> ein Einfluss der Elasticität seines Metalls, welcher, zufälligen äusseren Umständen zufolge, bald diesen, bald jenen Werth erhalten, auch zur Folge haben kann, dass die Richtung des Fernrohrs, in dem Augenblicke des Ablesens der Beobachtung, nicht mehr dieselbe ist, welche sie bei seiner Einstellung war; 5<sup>tes</sup> eine Unsicherheit der Angabe des Kreises, welche aus kleinen Ungleichheiten der Entfernungen seiner eigenen Theilstriche und der Theilstriche der Nonien hervorgeht, und welcher sich als veränderlicher Fehler äußert, da gewöhnlich, bei jeder Wiederholung der Beobachtung, andere Theilstriche zur Coincidenz gelangen; 6<sup>tes</sup> die aus der begrenzten Schärfe des optischen Hilfsmittels, wodurch die Ablesungen erlangt werden, hervorgehende Unsicherheit; 7<sup>tes</sup> die aus dem Umstande hervorgehenden Fehler, dass die Schätzung der Angaben der Nonien nur z. B. bis auf die Hälfte des kleinsten Zwischenraumes von 2", welchen sie angeben, getrieben werden kann, wodurch alle an den vier Nonien dieser Instrumente abgelesenen Beobachtungen, sich immer mit einer vollen, einer viertel, halben oder dreiviertel Secunde, nie aber mit anderen Theilen derselben schließen. Ferner kommen dazu äussere Umstände, z. B. 8<sup>tes</sup> der Einfluss der Körperwärme des Beobachters auf den Kreis oder andere Theile des Apparats; 9<sup>tes</sup> der Einfluss einer, im Allgemeinen vorhandenen, Verschiedenheit der Wärme zwischen dem unteren und oberen Rande des Kreises, welcher Spannungen in seinem Metalle und Veränderungen seiner Figur erzeugt. Auch veranlasst 10<sup>tes</sup> die Voraussetzung, dass die Wasserröhre der Alhidade bei jeder Ablesung, sich im nicht hebelträchtigen Zustande des Gleichgewichts befinde, einen zufälligen Fehler; 11<sup>tes</sup> geht ein solcher aus der Annahme hervor, dass das Instrument zwischen zwei mit einander zu vergleichenden Beobachtungen in vollkommen gleichem Zustande geblieben sei, während doch die Bemerkung von Aenderungen, welche es in kürzerer oder

längerer Zeit erfährt, nicht selten ist. Mit dem sogenannten Beobachtungsfehler vermischte sich auch 12<sup>tes</sup> der Einfluss, welchen die fehlerhafte Annahme hat, dass der Zustand der Atmosphäre, so wie Barometer und Thermometer ihn angeben, genau der sei, wonach die Grösse der jedesmaligen Strahlenbrechung sich richtet, und 13<sup>tes</sup> der Einfluss kleiner Unvollkommenheiten der Reductionselemente der Beobachtungen. Ich werde vermuthlich in dieser Aufzählung von Ursachen, welche zur Erzeugung eines scheinbaren Beobachtungsfelders zusammenwirken, mehrere übersehen haben, so wie ich der zufälligen Unachtsamkeit in der Ausführung einzelner Momente der Beobachtungen, nicht vortheilhafter oder unruhiger Beleuchtung der Fäden und der Theilstriche, der Einflüsse der Kälte auf das Instrument u. s. w. nicht habe erwähnen wollen. Immer aber wird durch diese Aufzählung von Fehlerursachen der Zweck erreicht, bemerkt zu machen, dass selbst diese einfache Beobachtungsart eines Gesamtfelders zeigen muß, welcher aus zahlreichen Ursachen entsteht, deren jede von den übrigen unabhängig wirkt.

Es ist das Bestreben des Künstlers, welcher ein Instrument verfertigt, seine einzelnen Theile so anzuordnen, dass sie das was sie leisten sollen, mit *gleichmässiger* Genauigkeit leisten. Es würde unnütz sein, einem Kreise einen *grossen* Halbmesser und bis auf Kleinigkeiten sichere Theilungen anzuweisen, wenn er nur ein kleines, wenig sichere Einzeltheile gewährendes Fernrohr tragen sollte. Wenn es dagegen in der Absicht liegt, in den ersten Beziehungen das Aeusserste zu leisten, so ist jedesmal auch die Absicht vorhanden, ein *gutes* Instrument angemessenen Fernrohr anzuwenden. Auch die Wasserröhre, wodurch der Scheitelpunkt erkannt werden soll, gehört der Künstler *gleichmässige* Vollendung, und sein ganzes Nachdenken wendet er an, um *alle* Theile des Instruments so anzuordnen, dass nicht die Mangelhaftigkeit des einen, den Vortheil vernichte, welchen die Vollendung der übrigen hervorbringt. Der Beobachter, der das Instrument anwendet, bestrebt sich gleichfalls, dieser Anwendung eine der Genauigkeit des Instruments *gleichmässige* Sicherheit zu geben. Er soll Beobachtungen als ungenügend erkennen, wenn die äusseren Umstände so ungünstig sind, dass sie ihm Zweifel verursachen, welche er für *ungleichmässig* mit der Genauigkeit des Apparats hält. Während er z. B. eine, bis auf einige Secunden getriebene Unsicherheit, welche das Zittern der Luft verursacht, für nicht bedeutend hält, wenn er mit einem *grossen* und *genauen* Instrumente beobachtet, muß sie ihm *unbedeutend* erscheinen, wenn er ein mit einem *schwachen* Fernrohre versehenes Instrument von *kleinem* Halbmesser, welches, auch bei der *ruhigsten* Luft, viel *grössere* Unsicherheiten übrig lassen würde, anwendet. Es ist nicht die *Grösse* der Unsicherheit, welche diesen Unterschied veranlasst, sondern nur ihr *verschiedenes Verhalten* zu anderen vorhandenen Fehlerursachen.

Aus dieser Darstellung der Beobachtungen im Allgemeinen und der wesentlichen Beschaffenheit eines guten Apparats und der, ihm angemessenen Beobachtungsreihe, scheint mir hervorzugehen, daß man die beiden Annahmen, unter welchen das im 9<sup>ten</sup> Art. erlangte Resultat näherungsweise richtig ist, nicht für so selten gerechtfertigt halten darf, als man, ohne genauere Betrachtung der Beobachtungsarten und Apparate, vielleicht geneigt sein mögte. Die erste dieser Annahmen ist, daß viele Ursachen zur Hervorbringung des Beobachtungsfehlers zusammenwirken; die zweite, daß unter den, aus den einzelnen Ursachen hervorgehenden mittleren Fehlern, keiner die übrigen beträchtlich übertrifft. Wenn diese Annahmen erlaubt sind, nähert sich immer die Wahrscheinlichkeit des Gesamtfehlers  $n$  einer Beobachtung, der Form:

$$\psi n = \frac{1}{m\sqrt{(2\pi)}} e^{-\frac{nn}{2mm}}$$

U. d. demselben Gesetze, wovon Gauss zuerst gezeigt hat, daß  $m$  das von der Vorschrift des arithmetischen Mittels geforderte ist.

## 11.

Ohne Ausnahme kann zwar die Richtigkeit der beiden Annahmen, worauf dieses Resultat beruhet, nicht vorausgesetzt werden, und ich habe selbst, im 2<sup>ten</sup> Art., einen Fall angeführt, in welchem sie nicht stattfand; dort war eine, die übrigen beträchtlich übertrifftende Fehlerursache vorhanden und sie folgte für sich allein einem ganz anderen Gesetze, welsches dieses in den Beobachtungen vorzugsweise hervortrat. Aber es scheint, daß die Beobachtungsarten, wenigstens die astronomischen, selten so einfach sind, daß sie nicht die Annahmen und ihr Resultat mehr oder weniger rechtfertigen sollten.

Ich halte für zweckmäßig, hierüber das Zeugniß von astronomischen Beobachtungen selbst anzuführen. Ich habe in den Fundamentis Astronomiae pro Ao. 1755 p. 19) abgehandelt, wie viele Fehler sich, bei verschiedenen Beobachtungsarten Bradleys, innerhalb enger, von 0 bis zu den größten, ohne fortgehender Begrenzungen fanden. Die eine dieser Abhandlungen habe ich auf 300 Beobachtungen der Declinationen der häufig beobachteten Sterne gegründet; die andere auf Beobachtungen der Rectascensionen in Zeit ausgedrückt; die dritte auf 470 Beobachtungen weit zusammengesetzterer, nämlich der Rectascensionen einiger Fixsterne, so wie sie in ihren Rectascensionen unterschieden von der Sonne, deren Rectascensionen aus ihren beobachteten Declinationen berechnet sind, hervorgehen. Diese Abhandlungen werde ich jetzt den Fall von 100 Beobachtungen reduciren, und sie mit auf die Annahme

$$\psi n = \frac{1}{m\sqrt{(2\pi)}} e^{-\frac{nn}{2mm}}$$

gegründeten Theorie, so vergleiche, daß ich  $mm$  durch die Summe der Quadrate der Fehler bestimme, während, in den Fund. Astr. selbst, eine andere Bestimmungsart angewandt worden ist.

## 1. Beobachtungen der Declinationen

$$m = +1'6237$$

Grenzen.	Beob.	Theorie.	Untersch.
0 0 — 0 4	22,0	19,5	— 2,5
0,4 — 0,8	19,3	18,3	— 1,0
0,8 — 1,2	18,3	16,2	— 2,1
1,2 — 1,6	9,3	13,6	+ 4,3
1,6 — 2,0	9,0	10,6	+ 1,6
2,0 — 2,4	7,7	7,9	+ 0,2
2,4 — 2,8	3,3	5,5	+ 2,2
2,8 — 3,2	5,0	3,6	— 1,4
3,2 — 3,6	2,7	2,2	— 0,5
3,6 — 4,0	1,3	1,3	0,0
4,0 etc. . .	2,0	1,4	— 0,6

## 2. Beobachtungen der Rectascensionen.

$$m = +0'2283 \text{ Zeit.}$$

Grenzen.	Beob.	Theorie.	Untersch.
0 0 — 0 1	38,0	33,5	— 4,5
0,1 — 0,2	28,0	28,0	0,0
0,2 — 0,3	17,7	19,2	+ 1,5
0,3 — 0,4	8,0	10,9	+ 2,9
0,4 — 0,5	4,7	5,1	+ 0,4
0,5 — 0,6	2,0	2,0	0,0
0,6 — 0,7	1,0	0,7	— 0,3
0,7 — 0,8	0,3	0,2	— 0,1
0,8 — 0,9	0,3	0,0	— 0,3

## 3. Beobachtung der absoluten Rectascensionen.

$$m = +0'4033 \text{ Zeit.}$$

Grenzen.	Beob.	Theorie.	Untersch.
0 0 — 0 1	20,0	19,6	— 0,4
0,1 — 0,2	18,7	18,4	— 0,3
0,2 — 0,3	16,6	16,3	— 0,3
0,3 — 0,4	12,4	13,6	+ 1,2
0,4 — 0,5	10,8	10,6	— 0,2
0,5 — 0,6	7,7	7,8	+ 0,1
0,6 — 0,7	5,5	5,4	— 0,1
0,7 — 0,8	3,0	3,6	+ 0,6
0,8 — 0,9	2,1	2,1	0,0
0,9 — 1,0	1,5	1,3	— 0,2
1,0 etc. . .	1,7	1,3	— 0,4

Diese drei Beobachtungsreihen sind von sehr verschiedener Art; ich werde aber noch ein viertes Beispiel anführen, bei welchem die Fehler durch wieder andere Ursachen hervorgerufen seyn müssen. Ich nehme es von 100 Rectascensionen des Polarsterns her, welche ich in den J. 1813 bis 1815 mit dem älteren Passagen-Instrumente der Königsberger Sternwarte beobachtet habe.

## 4. Rectascensionen des Polarsterns.

$$m = + 1^{\text{h}} 3093 \text{ Zeit.}$$

Grenzen.	Beobh.	Theorie.	Untersch.
0° 0' — 0° 4'	25	24,0	— 1,0
0,4 — 0,8	22	21,9	— 0,1
0,8 — 1,2	19	18,2	— 0,8
1,2 — 1,6	11	13,7	+ 2,7
1,6 — 2,0	9	9,5	+ 0,5
2,0 — 2,4	8	6,0	— 2,0
2,4 — 2,8	2	3,4	+ 1,4
2,8 — 3,2	3	1,8	— 1,2
3,2 — 3,6	1	0,9	— 0,1
3,6 etc....	0	0,6	+ 0,6

Die aus diesen vier Beispielen hervorgehende nahe Uebereinstimmung der Erfahrung mit der Forderung, welche die Theorie, unter der Voraussetzung des Stattfindens der beiden oft erwähnten Annahmen macht, ist geeignet dieses zu rechtfertigen; und zwar desto geeigneter, je zahlreicher die von anderen Reihen astronomischer Beobachtungen hergenommenen Beispiele sind, welche ich für dasselbe hätte anführen können. Es ist nicht wahrscheinlich, daß die einzelnen Ursachen, aus

deren Zusammenwirkung die Fehler so verschiedenartiger Beobachtungsreihen entstehen, jede für sich, dasselbe exponentielle Gesetz der Wahrscheinlichkeit ihrer Wirkungen haben sollten, und daß, aus diesem Grunde, dem 7<sup>ten</sup> Art. zufolge, dieses Gesetz sich auch in ihrer Zusammenwirkung zeigte; vielmehr ist es wahrscheinlich, und durch die früher angeführten Verfolgungen specieller Fälle auch anschaulich geworden, daß diese einzelnen Ursachen nach sehr verschiedenen Gesetzen wirken, und die nahe Uebereinstimmung zwischen der Erfahrung und dem exponentiellen Gesetze, nur durch das Zusammenwirken einer großen Zahl derselben hervorgebracht wird.

Diese Untersuchung führt also, im Allgemeinen (nicht ohne mögliche Ausnahme, deren eine ich angeführt habe) zu dem Gesetze der Wahrscheinlichkeit der Fehler zurück, auf welches die Methode der kleinsten Quadrate Anfangs gegründet wurde, und welches spätere Betrachtungen über die Willkür, welche das Gesetz der Fehler immer hat, wenn die Art ihrer Entstehung aus einer Ursache nicht bekannt ist, wieder aufgeben veranlaßten.

Bessel

## Verzeichniß meiner astronomischen Uhren, welche ich für beigesetzte Preise zu verkaufen beabsichtige.

	floll.				
	floll.				
1. Ein Regulator von P. Bofenbach in Hannover in Mahagoni-Kasten mit Stiftengang und Quecksilber-Pendel. Geht einen Monat..... für	300	38	burg. Mit Schlüssel aufzuziehen und Quecksilber-Pendel. Grakaus Hacken. Ständig. für	250	33
2. Ein Regulator von Lion vor 10 Jahren in Hamburg gemacht, mit Stiftengang und Rostpendel von 5 stählernen und 4 messingenen Stangen mit Gewichten, Ständig, mit Schlüssel aufzuziehen für.....	200	25	5. Ein Ständiger Box-Chronometer von Levetz Nr. 512 in einem Kasten, für.....	750	94
3. Ein Regulator von J. A. Libberts in Hamburg mit Emaille-Zifferblatt, auf eine besondere Art eingerichtet, indem das Werk nur 3 Räder und 2 Getriebe hat; die Erfindung ist von Dr. Franklin in Philadelphia. Ständig und mit Schnur zum Aufziehen und Quecksilber-Pendel für....	250	32	Dieser Chronometer ist jetzt beim Uhrmacher Lorenzen in Altona, der ihn sehr lobt.		
4. Ein Regulator in Mahagoni-Kasten mit vier-eckigem Zifferblatt von J. A. Libberts in Ham-			6. Ein alter Regulator von J. Magellan in Mahagoni-Kasten und mit Quecksilber-Pendel, auf Sternzeit adjustirt. Grakaus Hacken. Mit Schlüssel aufzuziehen, für.....	200	28
			Ferner ein Gregorianisches 5füßiges Teleskop mit Gestell für.....	200	28
			Hamburg, Vorstadt St. Pauli hinter der Reeperbahn. Monat Juli 1838.		

Th. Blacker.

## Inhalt.

- (Beil. zu Nr. 357.) Schreiben Sr. Excellenz des Herrn würklichen Staats-Raths v. Fize, Mitglieds und beständigen Secretairs der Kaiserl. Academie der Wissenschaften in St. Petersburg, an den Herausgeber. p. 361.  
 Ukas an den dirigirenden Senat. p. 361.  
 Schreiben des Herrn v. Boguslawski, Directors der Breslauer Sternwarte, an den Herausgeber. p. 367.  
 (Nr. 358, 359.) Untersuchungen über die Wahrscheinlichkeit der Beobachtungen. Von Herrn Geheimen-Rath u. Ritter Bessel. p. 367.  
 Verzeichniß von astronomischen Uhren, welche Th. Blacker für beigesetzte Preise zu verkaufen beabsichtigt. p. 403.

### Ueber die Bestimmung des Punktes des Mondrandes, wo bei einer Sternbedeckung der Stern ein- und austritt.

Von Herrn Professor und R<sup>itter</sup> Hansen,  
Director der Beobachtung der Sternwarte.

Astronomischen Ephemeriden, und unter diesen namentlich Encke'schen, sind unter andern auch für die Beobachtung Sternbedeckungen für den praktischen Astronomen von unermesslichem Nutzen. Namentlich leisten die Encke'schen Ephemeriden durch die Aufnahme der Beobachtungsconstanten für die Vorausberechnung der Sternbedeckungen dem Beobachter eine große Hilfe, indem sie ihn in den Stand setzen, mit wenig Mühe nicht nur die Ein- und Austrittszeiten, sondern auch den Ort des Mondrandes, wo der Ein- oder Austritt geschieht, bis auf sehr Weniges genau im Voraus berechnen zu können. Wenn nun gleich diese Berechnung hinsichtlich der Ein- und Austrittszeiten alles erfüllt, was man wünschen kann, ist doch die aus derselben hervorgehende Bestimmung des Punktes des Mondrandes, wo die Erscheinung statt findet, etwas zu wünschen übrig. Durch Hilfe eines Winkels, den  $Q$  genannt wird, bestimmt man vom Declinationspolar, der durch den Stern gelegt wird, ausgehend den fraglichen Punkt des Mondrandes, aber diese Bestimmung ist in der Praxis deswegen mangelhaft, weil es, wenn man nicht anstatt mit parallactischer Aufstellung versehenen Fernrohre beobachtet, oder wenn der Mond nicht im Meridiane steht, schwer ist, die Lage des Declinationskreises sich zu veranschaulichen, und selbst wenn dieses möglich ist, doch der Winkel  $Q$  nur nach dem Augenmaasse geschätzt werden kann. Ist jedoch vorzüglich für Austritte am hellen Mondrande sehr wesentlichem Nutzen den fraglichen Punkt des Mondrandes im Voraus genau zu kennen, damit man die Aufmerksamkeit darauf richten könne; ja es läßt sich erwarten, wenn dieses möglich gemacht wird, die Beobachtung der Austritte am hellen Rande denen am dunklen Rande Geringfügigkeit nicht nachstehen werden.

Um den fraglichen Punkt genau im Voraus zu bestimmen, kann man die vortreffliche Beer-Mädler'sche Mondkarte einnehmen, an die Hand, welches nichts zu wünschen übrig läßt, man sich in den Stand gesetzt sieht, die selenocentrische Lage des fraglichen Punktes im Voraus bequem bestimmen zu können. Man lernt somit den Mondfleck kennen,

an welchem der Stern hervortreten wird, und kann ihn bei der Beobachtung mit Sicherheit ins Auge fassen.

Diese Idee theilte der Herr Hofrath Gauss mir kürzlich mündlich mit und forderte mich auf, die Formeln für diesen Zweck zu entwickeln und zu publiciren. Indem ich hiemit dieser angenehmen Aufforderung Genüge leiste, spreche ich zugleich den Wunsch aus, daß der Herr Professor Encke inskünftige die Data für diese Berechnung den schätzenswerthen Angaben seiner Ephemeriden hinzufügen möchte. Zufolge der Auflösung, die ich gefunden habe, ist in den Ephemeriden die Angabe von drei Constanten für jede Sternbedeckung außer den bisherigen erforderlich, und diese Constanten werden, wie man weiter unten sehen wird, durch Auflösung eines schiefwinklichen sphärischen Dreiecks gefunden, ihre Berechnung erfordert also nur wenig Mühe. Weniger Mühe hat alsdann der Beobachter, um aus diesen Constanten und dem Winkel  $Q$  die selenocentrische Lage des Punktes des Mondrandes zu berechnen, wo der Ein- oder Austritt geschieht, denn er braucht nur ein rechtwinkliches sphärisches Dreieck aufzulösen.

#### 1.

Seyen  $x, y, z$  die Coordinaten des Mittelpunktes des Mondes vom Mittelpunkt der Erde ausgehend so genommen, daß die positive Axe der  $x$  im Aequator nach dem Frühlingsaequinox, die positive Axe der  $y$  nach  $90^\circ$  Grader Aufsteigung, und die positive Achse der  $z$  nach dem Nordpole gerichtet ist. Seyen ferner  $\xi, \eta, \zeta$  die Coordinaten irgend eines Punktes  $E$  der Oberfläche der Erde vom Mittelpunkt derselben ausgehend, und jenen Coordinaten resp. parallel, ferner  $x', y', z'$  die Coordinaten irgend eines Punktes  $M$  der Mondoberfläche von dem Punkte  $E$  ausgehend, und jenen Coordinaten resp. parallel; endlich  $\xi', \eta', \zeta'$  die auf den Mondmittelpunkt bezogenen, und jenen resp. parallelen Coordinaten des Punktes  $M$ . Somit haben wir sogleich die Gleichungen

$$x' = x - \xi + \xi'; \quad y' = y - \eta + \eta'; \quad z' = z - \zeta + \zeta'.$$

2.

Bezeichnen wir nun mit  $\xi^a$ ,  $\eta^a$ ,  $\zeta^a$  andere auf den Mittelpunkt des Mondes bezogene Coordinaten des Punktes  $M$ , die solche Lage haben sollen, daß die positive Axe die der  $\xi^a$  nach irgend einem Punkte des Mondaequators, dessen selenocentrische Länge  $\lambda$  ist, die positive Axe der  $\eta^a$  im Mondaequator nach dem Punkte, dessen selenocentrische Länge  $90^\circ + \lambda$  ist, und die positive Axe der  $\zeta^a$  nach dem Nordpole des Mondaequators gerichtet ist, so haben wir

$$\xi^a = a \xi^s + b \eta^s + c \zeta^s$$

$$\eta^a = a' \xi^s + b' \eta^s + c' \zeta^s$$

$$\zeta^a = a'' \xi^s + b'' \eta^s + c'' \zeta^s$$

Nennen wir aber  $\Omega$  die Länge des aufsteigenden Knotens des Mondaequators auf dem Erdaequator,  $i$  die gegenseitige Neigung dieser beiden Äquatoren, und  $\psi$  den Bogen des Mondaequators von der positiven Axe der  $\xi^a$  bis zum aufsteigenden Knoten des Mondaequators auf dem Erdaequator, dann giebt die sphärische Trigonometrie

$$a = \cos \Omega \cos \psi - \sin \Omega \sin \psi \cos i$$

$$b = -\cos \Omega \sin \psi - \sin \Omega \cos \psi \cos i$$

$$c = \sin \Omega \sin i$$

$$a' = \sin \Omega \cos \psi + \cos \Omega \sin \psi \cos i$$

$$b' = -\sin \Omega \sin \psi + \cos \Omega \cos \psi \cos i$$

$$c' = -\cos \Omega \sin i$$

$$a'' = \sin \psi \sin i$$

$$b'' = \cos \psi \sin i$$

$$c'' = \cos i$$

$$\begin{aligned} r' \cos \delta' \cos \alpha' &= r \cos \delta \cos \alpha - p \cos \phi \cos \mu + p' \cos \phi' \cos \Omega \cos(\mu' + \psi) - p' \cos \phi' \sin \Omega \sin(\mu' + \psi) \cos i + p' \sin \phi' \sin \Omega \sin i \\ r' \cos \delta' \sin \alpha' &= r \cos \delta \sin \alpha - p \cos \phi \sin \mu + p' \cos \phi' \sin \Omega \cos(\mu' + \psi) + p' \cos \phi' \cos \Omega \sin(\mu' + \psi) \cos i - p' \sin \phi' \cos \Omega \sin i \\ r' \sin \delta' &= r \sin \delta - p \sin \phi + p' \cos \phi' \sin(\mu' + \psi) \sin i + p' \sin \phi' \cos i \end{aligned}$$

Um den Bogen  $\mu' + \psi$  zu erklären, sey  $\nu$  die vom Frühlings-aequinox an gerechnete selenocentrische Länge des Punktes  $M$ , dann haben wir, vermöge der Eigenschaft, daß der aufsteigende Knoten des Mondaequators auf der Ecliptik immer mit dem absteigenden Knoten der Mondbahn auf der Ecliptik zusammenfällt, den Bogen des Mondaequators von dem Durchschnitte des durch  $M$  gehenden Declinationskreises an bis zu dem aufsteigenden Knoten des Mondaequators mit der Ecliptik  $= \Theta - \psi + 180^\circ$ , wenn  $\Theta$  die Länge des aufsteigenden Knotens der Mondbahn auf der Ecliptik bedeutet. Nennen wir nun  $\Delta$  den Bogen des Mondaequators von dem aufsteigenden Knoten dieser Ebene mit der Ecliptik an bis zu dem aufsteigenden Knoten derselben Ebene mit dem Erdaequator, so erhalten wir den Bogen des Mondaequators von dem Punkte  $\nu$  an bis zum aufsteigenden Knoten des Mondaequators mit dem Erdaequator  $= \nu - \Theta + 180^\circ + \Delta$ . Aber dieser Bogen ist zufolge der vorhergehenden Erklärungen gleich der Summe der Bögen  $\mu'$  und  $\psi$ , wir haben also

$$\mu' + \psi = \nu - \Theta + 180^\circ + \Delta.$$

3.

Sey nun

$\alpha, \delta, r$  Grade Aufsteigung, Abweichung und Entfernung des Mondmittelpunktes in Beziehung auf den Erdmittelpunkt;

$\alpha', \delta', r'$  Grade Aufsteigung, Abweichung und Entfernung des Punktes  $M$  in Beziehung auf den Punkt  $E$ ;

$\mu, \phi, p$  Grade Aufsteigung, Abweichung und Entfernung des Punktes  $E$  in Beziehung auf den Erdmittelpunkt;

$\mu'$  der Winkel, den eine durch den Punkt  $M$  und der Rotationsaxe des Mondes gelegte Ebene mit der Ebene der  $\xi^a \zeta^a$  macht;

$\phi'$  der Winkel, den die von dem Punkte  $M$  nach dem Mondmittelpunkte gezogene Linie mit der Ebene der  $\xi^a \eta^a$  macht, oder mit anderen Worten  $\phi'$  die selenocentrische Polhöhe des Punktes  $M$ ;

$p'$  der Halbmesser des Mondkörpers;

Dann haben wir

$$x = r \cos \delta \cos \alpha \quad x' = r' \cos \delta' \cos \alpha'$$

$$y = r \cos \delta \sin \alpha \quad y' = r' \cos \delta' \sin \alpha'$$

$$z = r \sin \delta \quad z' = r' \sin \delta'$$

$$\xi = p \cos \phi \cos \mu \quad \xi' = p' \cos \phi' \cos \mu'$$

$$\eta = p \cos \phi \sin \mu \quad \eta' = p' \cos \phi' \sin \mu'$$

$$\zeta = p \sin \phi \quad \zeta' = p' \sin \phi'$$

Substituiren wir diese Werthe der Coordinaten, so wie die Ausdrücke des vorigen Artikels in die Gleichungen des Art. 1, so ergibt sich

Es ist jedoch zweckmäßiger, die selenocentrischen Längen von dem Punkte des Mondaequators an zu zählen, welcher der Erde zugekehrt die Mitte der Mondscheibe einnimmt, wenn die Librationen Null sind, und so ist es auch auf der *Bes. Mödler'schen* Mondkarte geschehen; wir müssen daher die Länge  $\nu$  auf diesen Anfangspunkt reduciren. Nennen wir von diesem mittleren Mittelpunkte der Mondscheibe an gezählt positiv nach Westen und negativ nach Osten für das bloße waffnete Auge,  $L$  die Länge des Punktes  $M$ , so haben wir in Folge der gleichförmigen Rotationsbewegung des Mondes und der Identität seiner Rotationszeit mit seiner Umlaufzeit um die Erde,  $\nu = L + l + 180^\circ$ , wenn  $l$  die mittlere Mondlänge bedeutet, und somit ergibt sich endlich

$$\mu' + \psi = L + l - \Theta + \Delta$$

4.

Die Formeln des vorigen Artikels geben, wenn die Lage irgend eines Punktes  $M$  der Mondoberfläche, das heißt  $\phi'$  und  $l$

gegeben sind, die Grade Aufsteigung  $\alpha'$ , die Abweichung  $\delta'$  und die Entfernung  $r'$  dieses Punktes in Beziehung auf irgend einen gegebenen Punkt  $E$  der Oberfläche der Erde und für irgend eine gegebene Zeit. Sie geben aber auch, wenn sie demgemäß aufgelöst werden, den Punkt  $M$  der Mondoberfläche, welcher von irgend einem gegebenen Punkte  $E$  der Erdoberfläche aus zu einer gegebenen Zeit irgend einem gegebenen, durch  $\alpha'$ ,  $\delta'$  bezeichneten Punkte der Himmelkugel entspricht, sie geben ferner auch den Punkt der Oberfläche des Mondes, welcher den Ein- oder Austritt eines Sterns entspricht, wenn wir mit  $\alpha$  und  $\delta$  die Grade Aufsteigung und Abweichung dieses Sterns bezeichnen, und übrigens den in diesen Formeln vorkommenden

$$\begin{aligned} p' \sin \theta &= -r \cos \delta' \sin(\alpha - \alpha') + p \cos \phi \sin(\mu - \alpha') \\ p' \cos \theta &= r \sin \delta' \cos \delta' - r \cos \delta' \sin \delta' \cos(\alpha - \alpha') - p \sin \phi \cos \delta' + p \cos \phi \sin \delta' \cos(\mu - \alpha') \\ r' &= r \sin \delta' \sin \delta' + r \cos \delta' \cos \delta' \cos(\alpha - \alpha') - p \sin \phi \sin \delta' - p \cos \phi \cos \delta' \cos(\mu - \alpha') \end{aligned}$$

der Winkel ist, den der durch den Ort des Sterns gelegte Declinationskreis mit dem durch den Ort des Sterns und dem Mittelpunkt des Mondes gelegten größten Kreise macht. Dieser Winkel ist so gezählt, daß er Null ist, wenn, während diese beiden Kreise zusammenfallen, der Mondmittelpunkt südlich von Stern ist, von dieser Stellung ausgehend wächst er, wenn der Mittelpunkt des Mondes sich westlich von jenem

$$\begin{aligned} 0 &= r \cos \delta' \sin(\alpha - \alpha') - p \cos \phi \sin(\mu - \alpha') + p' \cos \phi' \sin(\Omega - \alpha') \cos(\mu' + \psi) + p' \cos \phi' \cos(\Omega - \alpha') \sin(\mu' + \psi) \cos i - p' \sin \phi' \cos(\Omega - \alpha') \sin i \\ r' \cos \delta' &= r \cos \delta' \cos(\alpha - \alpha') - p \cos \phi \cos(\mu - \alpha') + p' \cos \phi' \cos(\Omega - \alpha') \cos(\mu' + \psi) - p' \cos \phi' \sin(\Omega - \alpha') \sin(\mu' + \psi) \cos i + p' \sin \phi' \sin(\Omega - \alpha') \sin i \\ r' \sin \delta' &= r \sin \delta' - p \sin \phi + p' \cos \phi' \sin(\mu' + \psi) \sin i + p' \sin \phi' \cos i \end{aligned}$$

Multiplizieren wir ferner die zweite Gleichung des Art. 4 mit  $\sin \delta'$ , die dritte mit  $\cos \delta'$ , und addiren sie; multiplizieren wir endlich die zweite dieser Gleichungen mit  $\cos \delta'$ , die dritte mit  $\sin \delta'$ , und addiren sie, dann geben diese Gleichungen in folgende über:

$$\begin{aligned} \sin \theta &= \cos \phi' \sin(\Omega - \alpha') \cos(\mu' + \psi) + \cos \phi' \cos(\Omega - \alpha') \sin(\mu' + \psi) \cos i - \sin \phi' \cos(\Omega - \alpha') \sin i \\ \sin \delta' \cos \theta &= \cos \phi' \cos(\Omega - \alpha') \cos(\mu' + \psi) - \cos \phi' \sin(\Omega - \alpha') \sin(\mu' + \psi) \cos i + \sin \phi' \sin(\Omega - \alpha') \sin i \\ - \cos \delta' \cos \theta &= \cos \phi' \sin(\mu' + \psi) \sin i + \sin \phi' \cos i \end{aligned}$$

hieraus erhalten wir durch Multiplicationen mit  $\sin(\Omega - \alpha')$ ,  $\cos(\Omega - \alpha')$ ,  $\sin i$  und  $\cos i$  ohne Mühe

$$\begin{aligned} \cos \phi' \cos(\mu' + \psi) &= \sin(\Omega - \alpha') \sin \theta + \sin \delta' \cos(\Omega - \alpha') \cos \theta \\ \cos \phi' \sin(\mu' + \psi) &= \cos(\Omega - \alpha') \cos i \sin \theta - \{ \cos \delta' \sin i + \sin \delta' \cos i \sin(\Omega - \alpha') \} \cos \theta \\ \sin \phi' &= -\cos(\Omega - \alpha') \sin i \sin \theta - \{ \cos \delta' \cos i - \sin \delta' \sin i \sin(\Omega - \alpha') \} \cos \theta \end{aligned}$$

die Auflösung unserer Aufgabe enthalten.

## 6.

In den eben gefundenen Gleichungen ist  $\theta$  die einzige Größe, die von der Lage des Beobachtungsortes abhängt. Die Coefficienten von  $\sin \theta$  und  $\cos \theta$  sind nur von der Lage des Beobachters und dem Orte des beobachteten Sterns abhängig, sie können also in den astronomischen Ephemeriden für die Sternbedeckung ein für allemal angegeben werden, und wenn dieses geschehen ist, ist es für jeden Beobachter, wel-

Größen die Bedingung unterlegen, daß die Linie von dem Punkte  $E$  nach dem Punkte  $M$ , das ist die Gesichtslinie von dem Auge des Beobachters nach dem Punkte  $\alpha'$ ,  $\delta'$  die Mondkugel tangire.

Die Formeln, welche diese Bedingung ausdrücken, entnehme ich aus meiner in Nr. 339—42 abgedruckten Abhandlung über die Verfinsterungen auf der Erde überhaupt. Beschränken wir die dortigen Formeln auf Sternbedeckungen, so wird  $\alpha = \alpha'$ ,  $\delta = \delta'$ ,  $u = p'$ , und da dort  $r' = u^2 + z^2$  ist, so wird  $z = \sqrt{r'^2 - u^2} = r'$ . Hiemit gehen die Gleichungen (9) und die dritte Gleichung (4) der genannten Abhandlung in folgende über:

Declinationskreise entfernt.

## 5.

Multiplizieren wir nun die erste der in Art. 3 entwickelten Gleichungen mit  $-\sin \alpha'$ , die zweite mit  $\cos \alpha'$ , und addiren sie; multiplizieren wir dann die erste mit  $\cos \alpha'$ , die zweite mit  $\sin \alpha'$ , und addiren sie, so erhalten wir

$$\begin{aligned} p' \sin \theta &= -r \cos \delta' \sin(\alpha - \alpha') + p \cos \phi \sin(\mu - \alpha') \\ r' \cos \delta' - p' \sin \delta' \cos \theta &= r \cos \delta' \cos(\alpha - \alpha') - p \cos \phi \cos(\mu - \alpha') \\ r' \sin \delta' + p' \cos \delta' \cos \theta &= r \sin \delta' - p \sin \phi \end{aligned}$$

Die Verbindung dieser Gleichungen mit den vorhergehenden giebt sogleich

cher ohnehin die Ein- und Austrittszeiten für seinen Beobachtungsort, und somit auch den Winkel  $\theta$  berechnet ein Leichtes mittelst der eben gefundenen Formeln den Punkt der Mondoberfläche zu berechnen, wo der Ein- oder Austritt statt findet, und sich diesen mittelst der Beer-Mädler'schen Mondkarte zu vergegenwärtigen.

In den vorstehenden Formeln sind sechs Constanten enthalten und die in dem Bogen  $\mu' + \psi$  enthaltenen bekannten Größen fügen diesen noch eine siebente Constante hinzu; ich werde aber jetzt zeigen, daß sich diese auf drei Constanten

zurückführen lassen. Diese Reduction liefse sich leicht durch rein analytische Betrachtungen ausführen, ich werde indefs, weil dieses etwas kürzer zum Ziele führt, einige geometrische Betrachtungen anwenden. Die Coefficienten  $\cos(\delta_0 - \alpha') \sin i$  und  $\cos \delta' \cos i - \sin \delta' \sin i \sin(\delta_0 - \alpha')$  zeigen sogleich, daß  $i$ ,  $90^\circ - \delta'$  und  $90^\circ - (\delta_0 - \alpha')$  zwei Seiten und der eingeschlos-

sene Winkel eines sphärischen Dreiecks sind. Wenn wir daher die übrigen Stücke dieses Dreiecks  $90^\circ - \varphi$ ,  $-(\mu_r + \psi)$  und  $c$  nennen, so daß den Seiten  $i$ ,  $90^\circ - \delta'$ ,  $90^\circ - \varphi$ , resp. der Winkel  $c$ ,  $-(\mu_r + \psi)$ ,  $90^\circ - (\delta_0 - \alpha')$  gegenüber liegen, so glebt uns die sphärische Trigonometrie sogleich

$$\begin{aligned}\cos \varphi, \sin c &= \sin i \cos(\delta_0 - \alpha') \\ \cos \varphi, \cos c &= \cos \delta' \cos i - \sin \delta' \sin i \sin(\delta_0 - \alpha') \\ \sin \varphi, &= \sin \delta' \cos i + \cos \delta' \sin i \sin(\delta_0 - \alpha') \\ -\cos(\mu_r + \psi) \cos c - \sin(\mu_r + \psi) \sin c \sin \varphi, &= \sin(\delta_0 - \alpha') \\ \cos(\mu_r + \psi) \sin c - \sin(\mu_r + \psi) \cos c \sin \varphi, &= \cos(\delta_0 - \alpha') \sin \delta' \\ -\sin(\mu_r + \psi) \cos c + \cos(\mu_r + \psi) \sin c \sin \varphi, &= \cos(\delta_0 - \alpha') \cos i \\ \cos \delta' \cos(\delta_0 - \alpha') &= -\sin(\mu_r + \psi) \cos \varphi, \\ \sin i \cos(\delta_0 - \alpha') &= \sin c \cos \varphi.\end{aligned}$$

Multiplizieren wir die dritte dieser Gleichungen mit  $\sin(\delta_0 - \alpha')$ , dann erhalten wir nach einer leichten Umstellung

$$\sin \varphi, \sin(\delta_0 - \alpha') + \cos \delta' \cos(\delta_0 - \alpha') \cdot \sin i \cos(\delta_0 - \alpha') = \cos \delta' \sin i + \sin \delta' \cos i \sin(\delta_0 - \alpha')$$

Substituiren wir nun in das erste Glied der linken Seite dieser Gleichung für  $\sin(\delta_0 - \alpha')$  seinen Werth aus der vorstehenden vierten Gleichung, und für die beiden Factoren, aus welchen

das zweite Glied der linken Seite besteht, ihre Werthe aus den beiden letzten vorstehenden Gleichungen, so ergibt sich sogleich

$$-\sin(\mu_r + \psi) \sin c - \cos(\mu_r + \psi) \cos c \sin \varphi, = \cos \delta' \sin i + \sin \delta' \cos i \sin(\delta_0 - \alpha')$$

Hiermit gehen die letzten Gleichungen des vorigen Artikels sogleich in folgende über

$$\begin{aligned}\cos \varphi' \cos(\mu' + \psi) &= -\cos(\mu_r + \psi) \sin(\delta - c) - \sin(\mu_r + \psi) \sin \varphi, \cos(\delta - c) \\ \cos \varphi' \sin(\mu' + \psi) &= -\sin(\mu_r + \psi) \sin(\delta - c) + \cos(\mu_r + \psi) \sin \varphi, \cos(\delta - c) \\ \sin \varphi' &= -\cos \varphi, \cos(\delta - c)\end{aligned}$$

und diese verwandelt man leicht in folgende

$$\begin{aligned}\cos \varphi' \sin(\mu' - \mu_r) &= \sin \varphi, \cos(\delta - c) \\ \cos \varphi' \cos(\mu' - \mu_r) &= -\sin(\delta - c) \\ \sin \varphi' &= -\cos \varphi, \cos(\delta - c)\end{aligned}$$

Nehmen wir nun an, daß

$$\mu_r + \psi = L_r + i - \Theta + \Delta$$

sey, so haben wir

$$\mu' - \mu_r = L - L_r$$

und die vorstehenden Formeln gehen in folgende über

$$\begin{aligned}(\mathcal{A}) \dots \dots \dots \left\{ \begin{aligned} \cot g \varphi' \sin(L - L_r) &= -tg \varphi, \\ \cot g \varphi' \cos(L - L_r) &= \sec \varphi, tg(\delta - c) \end{aligned} \right.\end{aligned}$$

wo zu bemerken ist, daß  $\varphi'$  positiv genommen werden muß, wenn  $\delta - c$  im zweiten oder dritten Quadranten, hingegen  $\varphi'$  negativ genommen werden muß, wenn  $\delta - c$  im ersten oder vierten Quadranten liegt.

### 7.

Die Gleichungen ( $\mathcal{A}$ ) des vorigen Artikels geben jedem Beobachter mit geringer Mühe die selenocentrische Position des

$$\begin{aligned}\sin(45^\circ - \tfrac{1}{2}\varphi) \sin \tfrac{1}{2}(c + M) &= -\sin(45^\circ + \tfrac{1}{2}(\delta_0 - \alpha')) \cos(45^\circ + \tfrac{1}{2}(\delta' + i)) \\ \sin(45^\circ - \tfrac{1}{2}\varphi) \cos \tfrac{1}{2}(c + M) &= \cos(45^\circ + \tfrac{1}{2}(\delta_0 - \alpha')) \cos(45^\circ + \tfrac{1}{2}(\delta' + i)) \\ \cos(45^\circ - \tfrac{1}{2}\varphi) \sin \tfrac{1}{2}(c - M) &= \sin(45^\circ + \tfrac{1}{2}(\delta_0 - \alpha')) \sin(45^\circ + \tfrac{1}{2}(\delta' + i)) \\ \cos(45^\circ - \tfrac{1}{2}\varphi) \cos \tfrac{1}{2}(c - M) &= \cos(45^\circ + \tfrac{1}{2}(\delta_0 - \alpha')) \sin(45^\circ + \tfrac{1}{2}(\delta' - i))\end{aligned}$$

Punktes des Mondrandes, wo der bedeckte Stern ein- oder austritt, wenn in den Ephemeriden für jede Sternbedeckung die drei Größen

$$L_r, \varphi, \text{ und } c$$

angegeben werden. Aus der Betrachtung des im vorigen Artikel erwähnten sphärischen Dreiecks haben wir für die Berechnung dieser Größen sogleich die Formeln

$$\begin{aligned}\cos \varphi, \sin M &= -\cos \delta' \cos(\delta_0 - \alpha') \\ \cos \varphi, \cos M &= \sin \delta' \sin i - \cos \delta' \cos i \sin(\delta_0 - \alpha') \\ \sin \varphi, &= \sin \delta' \cos i + \cos \delta' \sin i \sin(\delta_0 - \alpha') \\ \sin c &= \frac{\sin i \sin M}{\cos \delta'}\end{aligned}$$

wo  $M$  für  $\mu_r + \psi$  geschrieben ist. Da der Winkel  $c$  nie groß werden kann, so kann man ihn immer mit hinreichender Sicherheit durch seinen Sinus berechnen. Man kann für die Berechnung dieser Größen auch die *Gauvianischen* Formeln anwenden. Dasselbe eben erwähnte sphärische Dreieck giebt auch

$\varphi$ , wird immer innerhalb der Grenzen  $-90^\circ$  und  $+90^\circ$  genommen. Aus  $M$  haben wir  $L$ , durch folgende Formel

$$L = M - l + (\Theta - \Delta)$$

Da während der Dauer einer Sternbedeckung  $\Omega$  und  $i$  sich sehr wenig ändern, so können  $\varphi$ ,  $c$  und  $M$  unbedenklich als constant angesehen werden, und eben so verhält es sich mit  $\Theta - \Delta$ ; die GröÙen  $L$ , ändert sich aber mehr, weil sie von der mittleren Mondlänge abhängt. Da aber  $l$  sich der Zeit proportional ändert, so ist die Veränderung von  $L$ , sehr leicht zu berücksichtigen, sobald der Zeitpunkt, für welchen der berechnete Werth derselben gilt, angegeben wird. Am zweckmäßigsten ist es,  $L$ , für dieselbe Epoche, auf welche sich die übrigen, für die Vorausberechnung der Zeitmomente einer Sternbedeckung, nöthigen Constanten beziehen, zu berechnen. Die stündliche Veränderung von  $L$ , kann ein für allemal angeführt werden, damit man nicht nöthig habe, diese aus den Mondtafeln zu entnehmen.

Ich habe im Vorhergehenden den Winkel  $\theta$ , den ich bei Vorausberechnungen von Sternbedeckungen immer anwende, eingeführt; will man statt dessen den Winkel  $Q$ , den *Encke* nach *Bessel* in seinen Ephemeriden zu berechnen lehrt, gebrauchen, so dient die Bemerkung, dafs immer  $\theta = 180^\circ - Q$  ist, führt man diesen Werth in die Gleichungen (A) ein, so ergibt sich

$$\cotg \varphi' \sin (L - L_0) = -\tg \varphi,$$

$$\cotg \varphi' \cos (L - L_0) = -\sec \varphi, \tg (Q + c)$$

bei deren Anwendung  $\varphi'$  positiv genommen werden mufs, wenn  $Q + c$  im ersten oder vierten Quadranten,  $\varphi'$  hingegen negativ genommen werden mufs, wenn  $Q + c$  im zweiten oder dritten Quadranten liegt.

Die Länge  $L$  ist, weil der fragliche Punkt immer dem mittleren Mondrande nahe ist, auf der Mondkarte manchmal schwer zu bestimmen, und es kann daher, besonders wenn  $\varphi'$  absolut genommen grofs ist, zweckmäÙig seyn, dafür den Bogen des gröÙsten Kreises zu wählen, welcher den mittleren Mittelpunkt der Mondscheibe mit dem fraglichen Punkt verbindet. Nennt man diesen Bogen  $R$ , so ist

$$\cos R = \cos \varphi' \cos L$$

und  $R$  kann durch diese Formel immer sicher bestimmt werden, da dieser Bogen sich nie beträchtlich von  $90^\circ$  entfernt. Mehrtheils ist aber eigentlich die Berechnung der Polhöhe  $\varphi'$  überflüssig, man kann diese aber, wenn sie grofs ist, nicht genau berechnen, ohne zuvor den Bogen  $L - L_0$  berechnet zu haben.

Ich erwähne beiläufig, dafs sich aus den Formeln des Art. 3 auch die Librationen des Mondes auf einfache Art ableiten lassen, und dafs die Berechnung derselben für irgend einen Punkt der Oberfläche der Erde von drei Constanten abhängig ist, die nur aus GröÙsen, die sich auf den Mittelpunkt der Erde beziehen, zusammengesetzt sind.

Die hier vorkommenden GröÙsen  $i$ ,  $\Omega$  und  $\Delta$  sind übrigens ganz dieselben, die *Encke* in den letzten Händen seines Jahrbuches unter der Ueberschrift  $i$ ,  $\Omega'$  und  $\Delta'$  gegeben hat. Sie hängen von folgenden Gleichungen ab, worin  $s$  die Schiefe der Eccliptik, und  $l$  die Neigung des Mondaequators gegen die Eccliptik bedeutet.

$$\sin \frac{1}{2}(\Delta - \Omega) \sin \frac{1}{2}i = \sin \frac{1}{2}(s - l) \cos \frac{1}{2}\Theta$$

$$\cos \frac{1}{2}(\Delta - \Omega) \sin \frac{1}{2}i = -\sin \frac{1}{2}(s + l) \sin \frac{1}{2}\Theta$$

$$\sin \frac{1}{2}(\Delta + \Omega) \cos \frac{1}{2}i = \cos \frac{1}{2}(s - l) \cos \frac{1}{2}\Theta$$

$$\cos \frac{1}{2}(\Delta + \Omega) \cos \frac{1}{2}i = \cos \frac{1}{2}(s + l) \sin \frac{1}{2}\Theta.$$

## 8.

Um eine Anwendung der obigen Formeln zu geben, habe ich zuvörderst die Constanten für die im *Enckeschen* Jahrbuche angekündigten Sternbedeckungen des Monats September dieses Jahres berechnet, und werde die Constanten für die Bedeckungen der übrigen Monate dieses Jahrs nachfolgen lassen.

1838.

	$\varphi$	$L_0$	$c$
Sept. 2. 43 x Capric.	$-5^\circ 53'$	$86^\circ 28'$	$+17^\circ 41'$
3. 70 Aquarii	$-3^\circ 26'$	$87^\circ 50'$	$+20^\circ 42'$
4. 20 n Piscium	$-1^\circ 37'$	$89^\circ 52'$	$+21^\circ 55'$
5. 44 t —	$-0^\circ 46'$	$92^\circ 7'$	$+21^\circ 55'$
7. 27 x Arietis	$+3^\circ 31'$	$95^\circ 14'$	$+17^\circ 42'$
8. 58 s —	$+3^\circ 55'$	$96^\circ 45'$	$+14^\circ 54'$
— 68 —	$+4^\circ 54'$	$96^\circ 27'$	$+13^\circ 57'$
9. 59 x Tauri	$+5^\circ 18'$	$97^\circ 38'$	$+9^\circ 39'$
12. 47 Gemm.	$+5^\circ 50'$	$97^\circ 37'$	$-5^\circ 50'$
13. 19 l Cancr.	$+5^\circ 42'$	$97^\circ 2'$	$-11^\circ 51'$
30. 50 Aquarii	$-4^\circ 8'$	$85^\circ 8'$	$+19^\circ 45'$

NB. Die Constante  $L_0$  gilt für die in der *Enckeschen* Ephemeride der Sternbedeckungen angeführte Zeitepoche T. Die Veränderung von  $L_0$  ist  $= -32'9$  für jede mittlere Stunde nach dieser Epoche.

Da die Anwendung dieser Constanten so sehr einfach ist, so wird wohl nicht nöthig seyn, diese durch ein Beispiel zu erläutern.

Seeberg 1838. Aug. 20.

Hansen.



Constanten zur Berechnung der selenographischen Lage des Punktes, wo die vom Monde bedeckten Sterne ein- und austreten, für die Monate October, November und December des Jahres 1838.

Von Herrn Professor und Ritter Hansen,  
Director der Seeberger Sternwarte.

		$\Phi_i$	$L_i$	$c$
1838.				
Octbr. 2.	(270) Piscium	-1° 5'	89° 4'	+21° 58'
—	(33) —	-0 16	89 1	+21 57
3.	(252) —	+0 20	91 19	+21 23
8.	(286) Tauri	+5 59	98 13	+1 43
10.	2 a <sup>1</sup> Cancri	+6 6	98 5	-10 11
—	4 a <sup>2</sup> —	+5 53	98 12	-10 18
25.	60 a Sagittarii	-6 47	82 50	+10 1
28.	70 Aquarii	-3 22	85 0	+20 39
29.	20 n Piscium	-1 33	86 28	+21 54
30.	441 —	-0 40	88 33	+21 56
Novbr. 1.	19 Arietis	+2 34	92 12	+18 41
—	27 ψ —	+3 35	92 6	+17 43
2.	58 ζ Arietis	+3 59	94 7	+14 57
—	q Tauri	+4 54	93 49	+13 22
3.	59 χ Tauri	+5 20	95 50	+9 43
—	(135) Aurigae	+5 47	97 2	+3 9
4.	(235) Tauri	+6 0	96 18	+1 45
5.	49 c Aurigae	+6 17	96 49	-2 24
—	25 Gemin.	+6 33	97 36	-2 59
6.	76 c —	+5 49	97 39	-8 42
9.	37 Leonis	+3 36	95 56	-19 22
10.	Martis Centrum	+2 29	94 41	-20 0
—	63 χ Leonis	+1 51	94 5	-21 7
24.	50 Aquarii	-4 4	85 31	+19 43
—	(2961) Aquarii	-3 58	85 13	+19 57
26.	(270) Piscium	-1 1	87 32	+21 58
—	(33) —	-0 11	87 0	+21 58
27.	(252) —	+0 25	88 52	+21 25
30.	59 χ Tauri	+5 21	93 17	+9 44
Decbr. 2.	136 c Tauri	+5 38	93 50	+1 34
—	(287) Aurigae	+5 35	96 4	+0 50
3.	47 Gemin.	+5 49	96 41	+5 45
8.	89 II Leonis	+0 30	92 43	-21 44
14.	(255) m Scorpil	-6 34	86 19	-11 1
20.	28 φ Capricorni	-5 34	85 53	+15 51
22.	85 h <sup>2</sup> Aquarii	-2 25	86 59	+21 9
25.	102 π Piscium	+2 30	89 56	+20 19
26.	27 ψ Arietis	+3 39	91 11	+17 48
27.	65 —	+4 59	92 20	+14 4
—	9 Tauri	+4 56	92 2	+13 26
—	23 d Plejadum	+5 12	91 50	+12 44
—	25 γ Tauri	+5 18	91 31	+12 38
—	27 f Plejadum	+5 10	91 53	+12 31
—	28 h —	+5 15	91 55	+12 31
28.	59 χ Tauri	+5 22	93 29	+9 47
29.	(136) Aurigae	+5 47	94 29	+3 5
—	(235) Tauri	+6 0	93 50	+1 49
—	136 c —	+5 39	93 46	+1 36
—	(287) Aurigae	+5 34	93 57	+0 53
31	76 c Gemin.	+5 47	97 14	-8 37

Die Constante  $L_i$  gilt für die in der Encheschen Ephemeride der Sternbedeckungen  $T'$  genannte Zeit, und

ihre Veränderung ist für jede Stunde nach dieser Epoche = -32° 9'

Die Planetenbedeckungen können fast immer und vielleicht immer auf gleiche Art wie die Bedeckungen der Fixsterne behandelt werden, da es aber doch wünschenswerth seyn möchte, die Lage des Austrittspunktes genau berechnen zu können, so habe ich dieses Problem auch für den Fall aufgelöst, wo das entferntere Gestirn Parallaxe und Durchmesser zeigt.

Die Gleichungen (9) und die dritte Gleichung (4) meiner in Nr. 339—342 abgedruckten Abhandlung, nemlich die folgenden

$$y, \sin \delta = -r \cos \delta \sin(a-a) + \rho \cos \Phi \sin(\mu-a)$$

$$y, \cos \delta = r \sin \delta \cos a - r \cos \delta \sin a \cos(a-a) - \rho \sin \Phi \cos a + \rho \cos \Phi \sin a \cos(\mu-a)$$

$$z = r \sin \delta \sin a + r \cos \delta \cos a \cos(a-a) - \rho \sin \Phi \sin a - \rho \cos \Phi \cos a \cos(\mu-a)$$

verbunden den von dem Punkte  $E$  der Oberfläche der Erde aus gesehenen Ort des Mittelpunktes des Mondes mit dem Punkte  $(a, d)$  der Himmelskugel durch einen größten Kreis, dessen Lage gegen den durch den Punkt  $(a, d)$  gehenden Declinationskreis durch den Winkel  $\delta$  bestimmt wird. Wenn wir in diese Gleichung für die auf den Punkt  $E$  bezogenen Coordinaten  $y, z$ , und für die auf den Mittelpunkt der Erde bezogene Grade Aufsteigung  $a$ , Abweichung  $\delta$ , und Entfernung  $r$  des Mittelpunktes des Mondes die homologen Coordinaten, Grade Aufsteigung, Abweichung und Entfernung irgend eines andern Punktes desselben größten Kreises substituiren, so verbinden dieselben Gleichungen diesen Punkt mit dem Punkte  $(a, d)$ . Auf demselben größten Kreise liegt der vom Punkte  $E$  aus gesehene Mittelpunkt des entfernteren Gestirns, und folglich liegt auch der scheinbare Berührungspunkt beider Gestirne auf diesem größten Kreise. Nennen wir nun die auf den Punkt bezogenen Coordinaten dieses Berührungspunktes  $X, Y, Z$ , die gleichfalls auf den Punkt  $E$  bezogene Grade Aufsteigung und Abweichung desselben Punktes  $a'$  und  $\delta'$ , und seine Entfernung vom Punkte  $E \dots r'$ , so müssen wir, wie leicht zu erkennen ist, nach der Substitution dieser Größen in die obigen Gleichungen, die von dem Radius  $\rho$  der Erde abhängigen Glieder weglassen. Wir haben also für den scheinbaren Berührungspunkt

$$Y \sin \delta = -r' \cos \delta' \sin(a'-a)$$

$$Y \cos \delta = r' \sin \delta' \cos a - r' \cos \delta' \sin a \cos(a'-a)$$

$$Z = r' \sin \delta' \sin a + r' \cos \delta' \cos a \cos(a'-a)$$

Ziehen wir diese Gleichungen von den obigen ab, so ergibt sich

$$\begin{aligned} (Y-y)\sin\theta &= -r' \cos\delta \sin(a'-a) + r \cos\delta \sin(a-a) - p \cos\phi \sin(\mu-a) \\ (Y-y)\cos\theta &= [r' \sin\delta - r \sin\delta + p \sin\phi] \cos a - [r' \cos\delta \cos(a'-a) - r \cos\delta \cos(a-a) + p \cos\phi \cos(\mu-a)] \sin a \dots (1) \\ Z-z_0 &= [r' \sin\delta - r \sin\delta + p \sin\phi] \sin a + [r' \cos\delta \cos(a'-a) - r \cos\delta \cos(a-a) + p \cos\phi \cos(\mu-a)] \cos a \end{aligned}$$

Nennen wir wie in meinem vorigen Aufsätze den Radius der Mondkugel  $\rho$ , so haben wir (S. Nr. 339 Art. 4)

$$(2) \dots \dots \dots y, = \rho' \sec f + z, \text{tg} f$$

und dieselbe Gleichung verbindet auch die Coordinaten  $Y$  und  $Z$  mit einander, wenn wir  $\rho' = 0$  machen, denn wenn wir den Halbmesser der Mondkugel gleich Null machen, fällt der scheinbare Berührungspunkt derselben mit dem entfernteren Gestirne mit dem Mittelpunkte der Mondkugel zusammen, und die übrigen durch die vorstehenden Gleichungen bedingten Umstände bleiben die nämlichen, wenn wir den Radius des entfernteren Gestirns um so viel vergrößern, wie wir den Mondradius verkleinert haben, das ist, wenn wir den Mondradius zum Radius des entfernteren Gestirns addirt uns denken \*). Wir haben also

$$Y = Z \text{tg} f$$

$$\begin{aligned} \rho' \cos f \sin\theta &= r' \cos\delta \sin(a'-a) - r \cos\delta \sin(a-a) + p \cos\phi \sin(\mu-a) \\ \rho' \sin f \cos\delta + \rho' \cos f \sin\delta \cos\theta &= r' \cos\delta \cos(a'-a) - r \cos\delta \cos(a-a) + p \cos\phi \cos(\mu-a) \\ \rho' \sin f \sin\delta - \rho' \cos f \cos\delta \cos\theta &= r' \sin\delta - r \sin\delta + p \sin\phi \end{aligned}$$

Gehen wir nun zu den Gleichungen des Art. 3 meines vorigen Aufsatzes über diese Aufgabe über. Multipliciren wir die erste dieser Gleichungen mit  $-\sin a$ , die zweite mit  $\cos a$ ,

$$\begin{aligned} r' \cos\delta \sin(a'-a) &= r \cos\delta \sin(a-a) - p \cos\phi \sin(\mu-a) + \rho' \cos\phi' \sin(\delta b-a) \cos(\mu'+\psi) + \rho' \cos\phi' \cos(\delta b-a) \sin(\mu'+\psi) \cos i \\ &\quad - \rho' \sin\phi' \cos(\delta b-a) \sin i \\ r' \cos\delta \cos(a'-a) &= r \cos\delta \cos(a-a) - p \cos\phi \cos(\mu-a) + \rho' \cos\phi' \cos(\delta b-a) \cos(\mu'+\psi) - \rho' \cos\phi' \sin(\delta b-a) \sin(\mu'+\psi) \cos i \\ &\quad + \rho' \sin\phi' \sin(\delta b-a) \sin i \\ r' \sin\delta &= r \sin\delta - p \sin\phi + \rho' \cos\phi' \sin(\mu'+\psi) \sin i + \rho' \sin\phi' \cos i \end{aligned}$$

Addiren wir diese beziehungsweise zu den vorstehenden Gleichungen, so erhalten wir sogleich

$$\begin{aligned} \cos f \sin\theta &= \cos\phi' \sin(\delta b-a) \cos(\mu'+\psi) + \cos\phi' \cos(\delta b-a) \sin(\mu'+\psi) \cos i - \sin\phi' \cos(\delta b-a) \sin i \\ \sin f \cos\delta + \cos f \sin\delta \cos\theta &= \cos\phi' \cos(\delta b-a) \cos(\mu'+\psi) - \cos\phi' \sin(\delta b-a) \sin(\mu'+\psi) \cos i + \sin\phi' \sin(\delta b-a) \sin i \\ \sin f \sin\delta - \cos f \cos\delta \cos\theta &= \cos\phi' \sin(\mu'+\psi) \sin i + \sin\phi' \cos i \end{aligned}$$

und hieraus durch Multiplicationen mit  $\sin(\delta b-a)$ ,  $\cos(\delta b-a)$ ,  $\sin i$  und  $\cos i$ ,

$$\begin{aligned} \cos\phi' \cos(\mu'+\psi) &= \sin f \cos\delta \cos(\delta b-a) + \cos f \{ \sin(\delta b-a) \sin\theta + \sin\delta \cos(\delta b-a) \cos\theta \} \\ \cos\phi' \sin(\mu'+\psi) &= \sin f \{ \sin\delta \sin i - \cos\delta \cos i \sin(\delta b-a) \} + \cos f \{ \cos i \cos(\delta b-a) \sin\theta - [\cos\delta \sin i + \sin\delta \cos i \sin(\delta b-a)] \cos\theta \} \\ \sin\phi' &= \sin f \{ \sin\delta \cos i + \cos\delta \sin i \sin(\delta b-a) \} - \cos f \{ \sin i \cos(\delta b-a) \sin\theta + [\cos\delta \cos i - \sin\delta \sin i \sin(\delta b-a)] \cos\theta \} \end{aligned}$$

welche die Auflösung unserer Aufgabe enthalten. Man kann diese Gleichungen auf die nämliche Art, wie in meinem vorigen Aufsätze geschehen ist, vereinfachen. Führt man die Hilfs-

$$\begin{aligned} \sin(45^\circ - \tfrac{1}{2}\phi_1) \sin \tfrac{1}{2}(c+M) &= -\sin(45^\circ + \tfrac{1}{2}(\delta b-a)) \cos(45^\circ + \tfrac{1}{2}(d+n)) \\ \sin(45^\circ - \tfrac{1}{2}\phi_1) \cos \tfrac{1}{2}(c+M) &= \cos(45^\circ + \tfrac{1}{2}(\delta b-a)) \cos(45^\circ + \tfrac{1}{2}(d-n)) \\ \cos(45^\circ - \tfrac{1}{2}\phi_1) \sin \tfrac{1}{2}(c-M) &= \sin(45^\circ + \tfrac{1}{2}(\delta b-a)) \sin(45^\circ + \tfrac{1}{2}(d+n)) \\ \cos(45^\circ - \tfrac{1}{2}\phi_1) \cos \tfrac{1}{2}(c-M) &= \cos(45^\circ + \tfrac{1}{2}(\delta b-a)) \sin(45^\circ + \tfrac{1}{2}(d-n)) \\ L_1 &= M - i + (\Theta - \Delta) \end{aligned}$$

und die Gleichungen  $x, = 0$ ,  $x', = 0$  (S. Nr. 339 Art. 4) geben  $X = 0$ . Diese beiden Gleichungen zwischen  $X$ ,  $Y$ ,  $Z$  sind die Gleichungen der vom Punkte  $E$  an die Mondkugel am Berührungspunkte des entfernteren Gestirns gezogene Tangente. Verbinden wir diese Gleichungen mit der Gleichung der Mondkugel selbst, das ist mit

$$X^2 + (Y-y)^2 + (Z-z_0)^2 = \rho^2$$

dann bekommen wir durch Zuziehung der Gleichung (2) ohne Mühe

$$Z-z_0 = \rho' \sin f; \quad Y-y = -\rho' \cos f$$

Substituiren wir diese Werthe von  $Y-y$ , und  $Z-z_0$ , in die Gleichungen (1), und multipliciren diese dann beziehungsweise mit  $\sin\delta$  und  $\cos\delta$ , dann ergibt sich

und addiren; multipliciren wir dann die erste mit  $\cos a$ , die zweite mit  $\sin a$ , und addiren, dann gehen sie in folgende über

größen  $\phi_1$ ,  $L_1$  und  $c$  ein, welche nunmehr durch folgende Gleichungen berechnet werden müssen \*

\*) Die Gleichung (2) und die Gleichung  $x_2 = 0$  sind, wenn wir uns  $x_1$ ,  $y$ , und  $z$ , als veränderliche Coordinaten denken die Gleichungen der durch den Mittelpunkt des Mondes gehenden, und mit der Gesichtslinie vom Auge des Beobachters nach dem scheinbaren Berührungspunkte der beiden Gestirne parallelen geraden Linie.

dann verwandeln sich die vorstehenden Gleichungen durch das in meinem vorigen Aufsatze ausgeführte Verfahren in folgende

$$\begin{aligned}\cos \phi' \sin(L-L_0) &= \sin f \cos \phi_0 + \cos f \sin \phi_0 \cos(\delta-c) \\ \cos \phi' \cos(L-L_0) &= -\cos f \sin(\delta-c) \\ \sin \phi' &= \sin f \sin \phi_0 - \cos f \cos \phi_0 \cos(\delta-c)\end{aligned}$$

Der Unterschied dieses Resultats von dem für Fixsternbedeckungen erhaltenen Resultate besteht also darin, daß man in dem Falle, wo das entferntere Gestirn Parallaxe und Halbmesser zeigt, die Hülfsgrößen  $\phi_0$ ,  $L_0$  und  $c$  nicht mit der auf den Mittelpunkt der Erde bezogenen Graden Aufsteigung  $a'$  und Abweichung  $\delta'$ , sondern mit der vom Mittelpunkt des Mondes aus gesehenen Graden Aufsteigung  $a$  und Abweichung  $d$  des Mittelpunktes dieses Gestirns berechnen muß, und daß man bei der Benützung dieser Hülfsgrößen jetzt ein schiefwinkliches sphärisches Dreieck aufzulösen hat, in welchem aber der gegebene Winkel (oder wenn man will die gegebene Seite) nur um den immer sehr kleinen Bogen  $f$  von  $90^\circ$  verschieden ist.

Da während der Dauer der Bedeckung die GröÙe  $a$  von  $a'$ , und  $d$  von  $\delta'$  nur äußerst wenig verschieden sind, so kann man sich immer begnügen der Berechnung der Constanten  $\phi_0$ ,  $L_0$  und  $c$  die GröÙen  $a'$  und  $\delta'$  zu Grunde zu legen, und so habe ich es auch bei der oben angeführten Nov. 10 statt

findenden Bedeckung des Mars gemacht. Die immer hinreichend genaue Berechnung dieser Constanten für eine Planetenbedeckung unterscheidet sich also gar nicht von der Berechnung derselben für eine Fixsternbedeckung.

Schließlich bemerke ich noch, daß die obigen Resultate auch mit Rücksicht auf die Strahlenbrechung streng richtig sind, wenn man nur, wo nöthig, bei der Berechnung des Winkels  $\theta$  auf die Strahlenbrechung Rücksicht genommen hat.

Um zu zeigen, wie für die obige Bedeckung des Mars der Winkel  $f$  sich gestaltet, habe ich dessen Werth berechnet und gefunden

für die äußeren Berührungen  $\log \sin f = 5,3179 - 10$

für die inneren Berührungen  $\log \sin f = 4,8108 - 10$

Die Berücksichtigung von  $f$  ist also bei der Vorausberechnung dieser Bedeckung ganz überflüssig, denn für die Oerter, wo der Mars hinter dem Monde eine so kleine Sehne beschreibt, daß diese geringen Werthe von  $f$  (beziehungsweise  $+4^3$  und  $-1^3$ ) die Lage des Orts am Mondrande, wo er ein- und austritt, beträchtlich ändern könnten, wird die Beobachtung der Bedeckung ohnehin nur ungenau ausfallen können.

*Hansen.*

## A n z e i g e n.

Es ist schon in den früheren Banden dieser Nachrichten bemerkt, daß ohne ausdrückliche Bestellung und Vorauszahlung keine Nummer eines neuen Bandes versandt wird. Die Herren Abonnenten, welche diese Blätter fortzusetzen wünschen, werden also, um Unterbrechungen zu vermeiden, ersucht baldmöglichst ihre Bestellungen einzusenden.

Man pränumerirt mit 8  $\frac{1}{2}$  Hamburger GrobCourant, oder mit einem holländischen Ducaten, und von diesem Preise wird auch den Postämtern und Buchhandlungen kein Rebat gegeben. Ueberhaupt sind alle in dieser Anzeige bemerkten Preise, Nettopreise.

Einzelne Nummern werden nur zur Completirung, wenn sie vorrätzig sind, 4  $\frac{1}{2}$  ggr. abgelassen.

Die sehr wenig Exemplare mehr gedruckt werden als bestellt sind, so kann ein Band, der schon geschlossen ist, nicht unter 12  $\frac{1}{2}$  Hamburger GrobCourant, oder 1  $\frac{1}{2}$  Ducaten verkauft werden. Die einzige Ausnahme ist wenn alle schon geschlossenen Bände vom 3ten (inclusive) an, auf einmal genommen werden, und wenn also, wie bei dem Verkaufe einzelner Bände, keiner von den wenigen noch übrigen Exemplaren des ganzen Werks incomplet gemacht wird. In diesem Falle wird der Band auch nur zu 8  $\frac{1}{2}$  ggr. berechnet. Der erste Band ist ganz vergriffen.

Die Anzeigen von Büchern, Instrumenten u. s. w. in den Intelligenzblättern, werden mit 2 ggr. die Zeile vergütet.

*S.*

## I n h a l t.

Ueber die Bestimmung des Punktes am Mondrande, wo bei einer Sternbedeckung der Stern ein- und austritt. Von Herrn Professor und Ritter Hansen, Director der Seegerger Sternwarte. p. 405.

Constanten zur Berechnung der selenographischen Lage des Punktes, wo die vom Monde bedeckten Sterne ein- und austritten, für die Monate October, November und December des Jahres 1838. Von demselben. p. 415.

Anzeige. p. 419.

Altona 1838. October 11.

# R e g i s t e r.

## A.

- Abbildung zu *Bessel's* Abhandlung über den Doppelstern  $\gamma$  Ophiuchi 105.  
 des Mars von *Beer* und *Mädler* 219.  
 des *Repsolden's* Meridiankreises auf der Hamburger Sternwarte 226.  
*Airy*, G. B., Astronomer Royal in Greenwich, über den Radius vector des Uranus 217.  
*Altona*, Längsunterschied mit Mannheim und Marburg 249.  
 Anzeige, betreffend die Beobachtungen auf der Königsberger Sternwarte 279.  
 die Astr. Nachr. betreffend 419.  
*Apenrade*, Astronom. Ortsbestimmung dasselbst von *Fischer* 183.  
 Feuerkugel ebendasselbst gesehen am 27sten Juli 1837 von demselben 184.  
*Argus*  $\gamma$  ( $\gamma$  Rohur Caroli) Sir *John Herschel's* Schreiben über diesen Stern an *Beer* und *Mädler* 311.  
*Arnold's* Chronometer 1927 verkündlich für 100 Hüll. Ducaten 199.  
 Astron. Uhren zu verkaufen bei *Thomas Blacker* 403.  
 Astronom. Strahlbrechnung, Beitrag zur Theorie derselben von *F. W. Baffuss* 151.  
 Aufstellungsart beweglicher Instrumente, eine Bemerkung darüber von *Bessel* 121.

## B.

- Baffuss*, F. W., in Weimar, Beitrag zur Theorie der astronomischen Strahlbrechung 151.  
 Vorschlag die Länge der achromatischen Fernröhre durch ein Spiegeltelescop mit einem besondern Glasspiegel bis auf mehr als die Hälfte abzukürzen 285.  
 barometrisches Höhenmessen von *Bessel* 329.  
 barometerstand, mittlerer, in Crona 215.  
*Beer*, Wm. und Dr. *Mädler*, physische Beobachtungen des Mars 1837 in der Opposition 219.  
*Benkenberg*, Beobachtung von Sternschnappen 1837 in Düsseldorf 229. 1838 vom 20ten bis 26ten April 323.  
 Beobachtungen siehe Comet, Mondsterne, Planeten-Beobachtungen, Sternbedeckungen u. s. w.  
 Beobachtungen auf der Königsberger Sternwarte, Anzeige dieselben betreffend 279.  
 Beobachtungsfehler, über die Wahrscheinlichkeit derselben von *Bessel* 369.  
 Berichtigungen in den Astron. Nachrichten 191.

15r Bd.

- Bessel*, F. W., Geheimrath, Director der Königsberger Sternwarte, über den Doppelstern  $\gamma$  Ophiuchi 105.  
 Eine Bemerkung über die Aufstellungsart beweglicher Instrumente 121.  
*Bessel's* Sternverzeichnis von *Bessel's* Zonen 216.  
 Erklärung rüchichtlich des *Enckeschen* Ansatzes in Nr. 346 der A. N. 231.  
 Ueber barometrisches Höhenmessen 329.  
 Untersuchung über die Wahrscheinlichkeit der Beobachtungsfehler 369.  
*Blanchi*, Director der Sternwarte in Modena, über den veränderlichen Stern  $\delta$  Ceti 163.  
*Blacker*, Th., Verzeichniß von verkündlichen astronomischen Uhren 403.  
*Beguslawsky*, Prof., Director der Breslauer Sternwarte, Beobachtung des *Enckeschen* Cometen 1838 den 14ten und 19ten August 367.  
*Bremiker* in Berlin, Elemente des *Enckeschen* Cometen 284. Ephemeride desselben 303.  
*Breslau*, Beobachtungen des *Enckeschen* Cometen auf der dortigen Sternwarte am 14ten und 19ten Aug. 1838 von *Beguslawsky* 367.  
 British Association for the Advancement of science, Versammlung derselben am 20ten August 1838 in Newcastle on Tyne 249.

## C.

- Cap de bonne espérance, Beobachtungen dasselbst von *Henderson* und Vergleichung derselben mit Greenwicher Beobachtungen zur Bestimmung der Mondparallaxe 25.  
 Caspisches und schwarzes Meer, Fortgang der Operationen zwischen selbigen 103.  
 Ceres, beobachtet im August und September 1836 von *Keller* in Krennau 195.  
 Ceti  $\delta$ , über diesen veränderlichen Stern von *Blanchi* 163.  
 Chronometer von *U. Jürgensen*, Gang desselben gegeben von *A. Lang* auf St. Croix 22.  
*Arnold* 1927 zu verkaufen für 100 Hüll. Ducaten 199.  
 Comet, *Enckescher*, über dessen Wiederkehr 1838 von *Encke* 281. Elemente desselben von *Bremiker* 284. Ephemeride für 1838 von *Bremiker* 383.  
*Beguslawski* Beobachtungen desselben 1838 Aug. 14 und 19 in Breslau 367.  
 Constanten von *Hansen* zur Berechnung der heliographischen Lage des Punktes, wo die vom Monde bedeckten Sterne ein- und austreten, für die Monate October, November und December 1838. 415.

Coronae  $\gamma$ . Elemente dieses Doppelsterns von *Mädler* 303.  
Cracca, Resultate der meteorologischen Beobachtungen daselbst von *FF* class 215.

Beobachtungen von Mondsternen 1837 von demselben 227.  
von Sternbedeckungen 229.

St. Croix, Sternbedeckungen und Mondsterne, beobachtet von *A. Lang* daselbst 21.

## D.

Dörfler, Rector in Heide, Anzeige seiner Leçons de Goniometrie 31.

Doppelstern  $\rho$  Ophiuchi von *Bessel* 105.  
3062 Struve in der Cassiopei, Bahn desselben von *Mädler* 151.  
 $\gamma$  Coronae, Elemente desselben von *Mädler* 303.

Dorpat, über das auf der dortigen Sternwarte befindliche, mit einem Vertikalkreise versehene *Repsold'sche* Durchgangsinstrument von *Struve* 121.

Druckfehler in den Astron. Nachr. 192.

Durchgangsinstrument, tragbares, mit einem Vertikalkreise von *Repsold*, auf der Dorpater Sternwarte von *Struve* 121.

Dumouchet, P., Director der Sternwarte des Collegio Romano in Rom, über die Satelliten und den Ring des Saturns 359.

## E.

Elemente des Enckeschen Cometen von *Bremker* 284.  
des Doppelsterns  $\gamma$  Coronae von *Mädler* 303.

Encke, J. F., Director der Berliner Sternwarte, sah auf dem Ring des Saturns am 25<sup>ten</sup> April 1837 mehrere Abtheilungen 17.

sah  $\gamma$  Virginis doppelt 22.  
über einige Aeußerungen von *Bessel* in den Astron. Nachr. Nr. 344. 173.

Aufsatz in den Astr. Nachr. Nr. 346; *Bessels* Erklärung rück-sichtlich desselben 231.

Enckescher Comet, über dessen Widerkehr 1838 von *Encke* 281.  
Elemente desselben von *Bremker* 284.

Ephemeride für 1838 von demselben 303.  
Beobachtung desselben am 14<sup>ten</sup> und 19<sup>ten</sup> August 1838 in Breslau von *Boguslawsky* 367.

Ephemeride des Enckeschen Cometen für 1838 von *Bremker* 303.

Erdschatten, über die Größe desselben von *Mädler* 29.

## F.

Faldt in Braunschweig, Beobachter von Sternschnuppen 199.  
Fendleroff, astronomische Ortsbestimmungen und magnetische Beobachtungen in Sibirien 103.

Fernröhre, achromatische, durch ein Spiegeltelescop mit einem besondern Glaspiegel über die Hälfte abzukürzen von *Borjuss* 285.

Feuerkugel, gesehen 1837 Jul 27 von *Fischer* in Apenrade 184.  
Fischer in Apenrade, astronom. Ortsbestimmungen daselbst 183.

Beobachtung einer Feuerkugel 1837 den 27<sup>ten</sup> Juli 184.  
Flecke auf der Sonne von *Schwabe* 243.

von Fess, wirklicher Staatsrath, Mitglied und beständiger Secretair der Kaiserl. Academie der Wissenschaften in St. Petersburg, Mittheilung der Statuten für die Kaiserlich Russische Hauptsternwarte zu Pulkawa 361.

## G.

Gang eines Jürgensschen Chronometers, mitgetheilt von *A. Lang* 22.

Garling, Professor in Marburg, über die aus Signalbeobachtungen abgeleiteten Längenunterschiede zwischen Göttingen, Altona, Marburg und Mannheim 249.

Göttingen, Längenunterschied mit Marburg und Mannheim aus beobachteten Signalen bestimmt von *Gerling* 249.

Greenwicher Beobachtungen verglichen mit *Henderson's* Beobachtungen am Vorgebirge der guten Hoffnung zur Bestimmung der Meridiansdistanz 25.

Grunert, Dr. Professor in Greifswald, über die Redaction der Mondsternen 27.

## H.

Hamburger Sternwarte, Meridiankreis derselben von *A. und G. Repsold* 226.  
daselbst beobachtete Mondsterne vom Jan. 1836 bis März 1838 von *Rümker* 297.

Hansen, P. H., Professor, Director der Seeberger Sternwarte, über die Verfinsterungen auf der Erde überhaupt 33  
über den Einfluss der Strahlenbrechung auf Sonnenfinsternisse und Sternbedeckungen 185.

Note sur la théorie des perturbations planétaires 201.  
Ueber die Bestimmung des Punktes am Monde, wo bei einer Sternbedeckung der Stern ein- und austritt 405.  
Constanten zur Bestimmung der selenographischen Lage des Punktes, wo die vom Monde bedeckten Sterne ein- und austreten für 1838 Oct., Nov., Dec. 413.

Henderkamp, Oberlehrer der Mathematik und Naturwissenschaften am Gymnasium in Hamm in Westphalen, Bestimmung der Rotationsperiode der Himmelskörper aus Beobachtungen von Punkten oder Flecken auf ihrer Oberfläche 218.

Henderson, T., in Edinburgh, Bestimmung der Mondparallaxe aus dessen Beobachtungen am Vorgebirge der guten Hoffnung und aus Greenwicher Beobachtungen 25.

Höhenmesser, barometrische, von *Bessel* 329.

Herschell, Sir John, an *Beer u. Mädler* über den Stern  $\gamma$  Argus ( $\gamma$  Robur Caroli) 311.

## I.

Jürgensen, L. U., Gang eines Chronometers mitgetheilt von *A. Lang* 22.

Japier, beobachtet von *Keller* in Kremmünster von 1835 Dec. bis 1836 März 193.

## K.

Königsberger Beobachtungen, Anzeige derselben betref-fend 279.

Keller, Director der Sternwarte in Kremmünster, Beobachtungen von Planeten 193; von Mondsternen 195.  
Nachricht von Sternschnuppen 199.

Kopenhagen, daselbst beobachtete Mondsterne 1833 bis 1838 von *Petersen* 177. Planeten 197.

Kreil, Adjunct an der Malländer Sternwarte, über die Sternschnuppen am 10<sup>ten</sup> und 11<sup>ten</sup> Aug. 1838. 29.  
Magnetische Beobachtungen in Müländ 1836 und 1837 und daraus ersichtlicher Einfluß des Mondes auf die Magnetnadel 169.

Kremsmünster, siehe Koller.

Kapfer zu Besold's Abhandlung über den Doppelstern  $\gamma$  Ophiuchi 105.

## L.

Längenunterschied von Altona. Göttingen, mit Marburg und Mannheim 279; mit Wien, Strassburg, Speier 280.

Lang, Andr., auf St. Croix, Beobachtungen von Mondsternen und Sternbedeckungen 21.

Leçons de Géométrie 1835 von Dürfer 29.

## M.

Mädler und Beer physische Beobachtungen des Mars 1837 in der Opposition 219.

Mädler, Dr. J. H., über den Gebrauch der Mondkarte 1.

Verzeichniß der Mondflecke 7.

Untersuchung über die Größe des Erdschattens 29.

Ueber die Bahn des Doppelsterns 3062 Strass in der Cassiopeja 151.

Ueber Beobachtung von Sternschnuppen 199

Elemente des Doppelsterns  $\gamma$  Coronae 303.

Magnetische Beobachtungen in Sibirien von Fedoroff 103.  
von Kreil in Müländ 1836 u. 1837 und daraus an erkennbarer Einfluß des Mondes auf die Magnetnadel 169.

Mannheim und Marburg Längenunterschied mit Göttingen aus beobachteten Signalen abgeleitet von Gerling 249. mit Wien, Speier und dem Strassburger Münster 280.

Mars, physische Beobachtungen desselben von Beer und Mädler 1837 in der Opposition 219.

Meridienkreuz der Hamburger Sternwarte von A. und G. Repsold 225.

Mond, Einfluß desselben auf den magnetischen Zustand der Erde von Kreil 169.

Mondstanzonen, Reduction derselben von Grunert 27.

Mondflecke, Verzeichniß derselben von Mädler 7.

Mondkarte von Beer und Mädler, über den Gebrauch derselben 1.

Mondparallaxe, abgeleitet aus Henderson's Beobachtungen am Vorgebirge der guten Hoffnung und aus correspondirenden Greenwiche's Beobachtungen 25.

Mondrand, Bestimmung des Punktes an selbigem, wo bei einer Sternbedeckung des Stern ein- und austritt, von Hansen 405.

Mondsterne, beobachtet

auf St. Croix 1832, 1833 u. 1834 von A. Lang 231.

in Cracon vom Jan. bis Dec. 1837 von M. Weiss 227.

in Hamburg vom Jan. 1836 bis März 1838 von Ch. Rümker 297.

in Kopenhagen von 1833 bis 1836 von Pedersen 177.

in Kremsmünster vom Jan. bis Oct. 1836 von Koller 195.

Monte de Go in Ofen, Beobachter von Sternschnuppen 199.

Morstadt in Prag, Beobachter von Sternschnuppen 199.

## N.

Neumann, Professor in Königsberg, über eine neue Eigenschaft der Laplace'schen  $Y^{(n)}$  und ihre Anwendung zur analytischen Darstellung derjenigen Phänomene, welche Functionen der geographischen Länge und Breite sind 313.

Newcastle an Tyne, Versammlung der British Association etc. daselbst 1837 den 20<sup>ten</sup> Aug. 249.

Nicolai, Hofrath, Director der Sternwarte in Mannheim, über die Länge von Mannheim 279.

## O.

Olafsen, Professor, Director der Kopenhagener Sternwarte, Mittheilung der Beobachtungen von Mondsternen etc. daselbst von Mag. Pedersen 177.

Ophiuchi, über diesen Doppelstern von Bessel 105.

Ortsbestimmungen, astronom., und magnet. Beobachtungen in Sibirien von Fedoroff 103; von Fischer in Apenrade 183.

## P.

Pallas, beobachtet in Kremsmünster 1836 im Juli und August von Koller 195.

Pedersen, Magister, Observator an der Kopenhagener Sternwarte, Beobachtung von Mondsternen von 1833 bis 1836. 177, von Planeten 197.

Perturbationes planetarum par Mr. Hansen 201.

Physische Beobachtung des Mars in der Opposition 1837 von Beer und Mädler 219.

Planeten-Beobachtungen.

Vesta beob. in Kremsmünster 1836 im März von Koller 193.

Pallas beob. in Kremsmünster 1836 im Juli und August von Koller 195.

in Kopenhagen 1835 im Juni und 1836 im August von Pedersen 197.

Ceres beob. in Kremsmünster 1836 im Aug. und Sept. von Koller 195.

in Kopenhagen 1835 im Juni, 1836 im Aug. von Pedersen 197.

Jupiter beob. in Kremsmünster 1835 Dec. bis 1836 März von Koller 193.

Saturn ———— 1836 April bis Juni v. Koller 193.

Uranus ———— 1836 Aug. bis Oct. von Koller 195.

Ponscher Comet d. h. Encke'scher Comet, siehe diesen.

Psychrometerstand, mittlerer, in Cracon von Weiss 215

Pulkowa, Statut der dortigen Hauptsternwarte 351.

## R.

Radiusvector des Uranus von Airy 217.

Reduction der Mondstanzonen von Grunert 27.

Repsold's tragbares Durchgangsinstrument mit einem Verticalkreise auf der Dorpater Sternwarte, von Struve 121.

Meridiankreis der Hamburger Sternwarte, Beschreibung und Zeichnung desselben 226.

Ring des Saturns in mehreren Theilen gesehen von Encke 17. von P. de Fico in Rom 359.

$\gamma$  Rohar Caroli ( $\gamma$  Argus), Sir John Herschel's Schreiben über diesen Stern an Beer und Mädler 311.

Rom, Collegio Romano, Beobachtungen von P. de Fico der Satelliten und des Ringes vom Saturn 359.

Rotationsmomento der Himmelskörper, Bestimmung derselben aus Beobachtungen von Punkten oder Flecken auf ihrer Oberfläche von Henderkamp 233.

Rümker, Ch., Director der Hamburger Sternwarte, daselbst beobachtete Mondsterne von 1836 Jan. bis 1838 März 297.

## S.

- Satelliten des Saturns beobachtet von P. de Fico 359.  
 Satara, beobachtet in Kremsmünster 1836 vom April bis Juni von Koller 193.  
 Dessens Ring mehrfach getheilt gesehen am 25<sup>ten</sup> April 1837 von Encke 17, ebenfalls von P. de Fico, so wie Beobachtung der Satelliten 359.  
 Schwabe in Dessau, über Flecke der Sonne 243.  
 Schwarzes Meer und Caspisches Meer, über den Fortgang der Observationen zwischen selbigen von Struve 103.  
 Sibirien, Foderoff's astronomische Ortsbestimmungen und magnetische Beobachtungen daselbst 103.  
 Signale zu Gering's Längenbestimmung zwischen Göttingen, Marburg und Mannheim 249.  
 Seenenflasterisse und Sternbedeckungen, über den Einfluß der Strahlenbrechung auf selbige von Hansen 185.  
 Seenenflocke von Schumbe 243.  
 Spieler, Längenunterschied mit Mannheim 280.  
 Statut der Kaiserl. Russischen Hauptsternwarte zu Pulkowa 361.  
 Steinsdrücke, Abbildungen des Mars von Beer und Mädler 219.  
 Zeichnung des Meridiankreises der Hamburger Sternwarte von A. und G. Repsold 229.  
 Sternbedeckungen, Bestimmung des Punktes am Mondrand, wo der Stern ein- und austritt von Hansen 405.  
 Constanten zur Bestimmung der selenographischen Lage des Punktes, wo die vom Meade im Oct., Nov. u. Dec. 1838 bedeckten Sterne ein- und austraten 415.  
 Beobachtet auf St. Croix (1832 März 6 1833 Novbr. 17 1834 Aug. 7 Sept. 6) 21.  
 in Cracau (1837 Febr. 14 März 13. 15. 16 Mai 10 Jun 6 Aug. 14 Nov. 10) 229.  
 in Göttingen (1837 Dec. 9) 167.  
 beob. (1832 März 6. 1833 Nov. 17. 1834 Aug. 7 Sept. 6) 21.  
 (1837 Febr. 14 März 13. 15. 16 Mai 10 Jun. 6 Aug. 14 Nov. 10) 229.  
 (1837 Dec. 9) 167.  
 Sternschnuppen; vom 10<sup>ten</sup> und 11<sup>ten</sup> Aug. 1838 beobachtet in Mailand von Kreil 29, Mädler über selbige 199. Beobachter Feldt in Braunschweig und Koller in Kremsmünster; Mädler in Berlin; Montedego in Ofen; Morstadt in Prag; Weiss in Cracau 199. Beob. 1837 von Bensberg 229. 1838 vom 20<sup>ten</sup> bis 26<sup>ten</sup> April von demselben 323.  
 Sternverzeichnis der Besselschen Zonen von Weiss 216.  
 Störungen der Planeten von Hansen 201.  
 Strahlenbrechung, über den Einfluß derselben auf Sonnenflasterisse und Sternbedeckungen von Hansen 185.  
 Strasburger Münster, Längenunterschied mit Mannheim 280.

Struve, Staatsrath, Director der Hauptsternwarte zu Pulkowa, über den Fortgang der Operationen zwischen dem schwarzen und caspischen Meere 103.

Ueber ein auf der Dorpater Sternwarte befindliches mit einem Verticalkreise versehenes tragbares Durchgangsinstrument von Repsold 125.

## T.

Tabellen zu Bessels Abhandlung über barometrisches Höhenmessen 329.

Thermometerstand, mittlerer, in Cracau von Weiss 215.

## U.

Uhren, astronomische, zu verkaufen bei Th. Blacher 403.

Ukne S. M. des Kaisers von Rußland an den dirigierenden Senat mit dem Statut für die Hauptsternwarte bei Pulkowa 361.

Untersuchung über die Wahrscheinlichkeit der Beobachtungsfehler von Bessel 369.

Uranus beobachtet in Kremsmünster 1836 vom Aug. bis Octbr. von Koller 195.

Ueber dessen Radiusvector von Airy 217.

## V.

Verbesserungen in den Astr. Nachr. 192.

Verflasterungen, über selbige auf der Erde überhaupt von Hansen 33.

Verzeichniß der Sterne in Bessels Zonen von Weiss 215.

Vesta, beob. in Kremsmünster 1836 im März von Koller 193.

de Vico, P., Gehülfe an der Sternwarte des Collegio Romano in Rom, Beob. der Satelliten und des Ringes von Saturn 370.

γ Virginis, am 29<sup>ten</sup> März 1837 doppelt gesehen von Encke 22.

## W.

Wahrscheinlichkeit der Beobachtungsfehler, Untersuchung über selbige von Bessel 369.

Wetase in Cracau, Beobachter von Sternschnuppen 195.

Resultate aus meteorolog. Beobachtungen daselbst 215.

Sternverzeichnis der Besselschen Zonen 216.

Beobachtung 1837 von Mondsternen 227. 1837 von Sonnenbedeckungen 229.

Westindien, St. Croix, Beobachtungen daselbst von Sonnenbedeckungen u. Mondsternen von 1832 bis 1834 von Lenz 22.

Wien, Längenunterschied mit Mannheim 280.

## Y.

Yates, James, Secretair der British Association for the Advancement of Science, Anzeige ihrer Versammlung 1837 Aug. 2 in Newcastle on Tyne 249.

## Z.

Zeichnung zu Bessels Beob. des Doppelsterns  $\gamma$  Pheiculi 166 des Mars von Beer und Mädler 219.

des Meridiankreises auf der Hamb. Sternwarte von Repsold 229. Zonen, Bessels, Sternverzeichnis derselben von Weiss 216.

# ASTRONOMISCHE NACHRICHTEN,

herausgegeben

von

H. C. Schumacher,

wirklichem Etatsrathe, ordentlichem Professor der Astronomie in Copenhagen, Commandeur vom Dannebrog und Dannebrogsmann, Ritter des Königl. Schwed. Nordsternordens, des Königl. Preussischen Rothen Adlerordens dritter Classe, des Kaiserl. Russischen Stanislausordens und der Ehrenlegion, Mitglieder der Königl. Gesellschaften der Wissenschaften in Copenhagen, London, Edinburgh, Stockholm, Göttingen und Upsala, der Königl. astron. Gesellschaft in London, der americanischen Gesellschaft der Wissenschaften in Philadelphia, der physiographischen Gesellschaft in Lund, und der naturforschenden Gesellschaft in Danzig. Ehrenmitgliede der Königl. Gesellschaft der Wissenschaften in Dublin, der meteorolog. Gesellschaft in London, der Society of useful arts in Edinburgh, der mathematischen Gesellschaft in Hamburg und der naturforschenden Gesellschaft in Rostock, Correspondenten des Französischen Instituts, der Kaiserl. Academie der Wissenschaften in St. Petersburg, der Königl. Gesellschaften der Wissenschaften in Berlin, Brüssel, Neapel, Padua, Palermo und Turin.

---

Sechzehnter Band.

mit einem Steindruck, einem Bogen Mondsepheride, Inhaltsverzeichniß und Register.

---

Altona 1839.

gedruckt in der Hammerich- und Lesser'schen Buchdruckerel





# I n h a l t.

## Nr. 361.

Ueber die Summation der Progressionen. Von Herrn Geheimen Rath und Ritter *Bessel* 1. — Sternbedeckung beobachtet auf der Göttinger Sternwarte 5. — Auszug aus zwei Briefen des Herrn Professors und Ritters *Ecke*, Directors der Berliner Sternwarte, an den Herausgeber 5. — Auflösung einer allgemeinen Aufgabe aus der Wahrscheinlichkeitsrechnung. Von Herrn Professor und Ritter *Hansen*, Director der Seeburger Sternwarte 5.

## Nr. 362.

Auszug aus einem Schreiben des Herrn *Pferrers Hülsmann* in Elberfeld an den Herausgeber 17. — Ein Beitrag zur Auflösung der Aufgabe Zeit und Polhöhe zugleich zu bestimmen. Von Herrn Dr. *Breutel*, Assistenten an der Wiener k. k. Sternwarte 23. — Auflösung einer allgemeinen Aufgabe aus der Wahrscheinlichkeitsrechnung (Beispiels.). Von Herrn Professor und Ritter *Hansen*, Director der Seeburger Sternwarte 27. — Schreiben des Herrn *Ründer*, Directors der Hamburger Sternwarte, an den Herausgeber 31. — Verbesserungen in den A. N. Nr. 356 und 357. 31.

## Nr. 363.

Ueber die Bahnen der Doppelsterne  $\gamma$  Virginis und  $\zeta$  Herculis. Von Herrn Dr. *Mädler* 33. — Ueber die eigene Bewegung des Sonnensystems. Von Herrn Prof. *Argelander*, Director der Sternwarte in Bonn 43.

## Nr. 364.

Ueber die eigene Bewegung des Sonnensystems (Beispiels.). Von Herrn Professor *Argelander*, Director der Sternwarte in Bonn 49. — Ueber das Helligkeitsverhältniß der Doppelsysteme. Von Herrn Dr. *Mädler* 55. — Berechnung der *Hausen* Constanten für die Sternbedeckungen von 1839; nebst einigen Bemerkungen über den Gebrauch der Mondkarte bei Sternbedeckungen. Von Herrn Dr. *Mädler* 61.

## Nr. 365. 366.

Bestimmung der Entfernung des Glästen Sterne des Schwanz. Von Herrn Geheimen Rath und Ritter *Bessel* 65. — Ehrenbezeugung 95. — Verbesserungen in Nr. 358, 359 und 363 der Astronom. Nachrichten 95.

## Nr. 367 — 370.

Entwicklung einer Methode der Berechnung der Kometen-Störungen, wobei dieselben auf den Schwerpunkt des Sonnensystems bezogen, und die von den einzelnen störenden Massen und deren Quadraten und Producten herrührenden Glieder von einander abgesondert werden. Von Herrn J. W. H. *Lehmann*, Dr. der Philosophie u. Prediger zu Derwitz u. Killow bei Potsdam 97. — Schreiben des Herrn Professors v. *Boguslawski*, Directors der Sternwarte in Breslau, an den Herausgeber 159. — Verbesserungen 159.

## Nr. 371.

Einrichtung zur Erleichterung der Beobachtungen der Sternbedeckungen. Von Herrn Geh. Rath und Ritter *Bessel* 161. — Nachricht über die für die Kaiserliche Hauptsternwarte auf Pulkowa in Hamburg und München angefertigten Instrumente. Von Herrn Staatsrath v. *Struve* 163. — Schreiben des Herrn Professors v. *Boguslawski*, Directors der Bresl. Sternwarte, an den Herausgeber 167. — Schreiben des Herrn Hofraths *Nicolai* an den Herausgeber 176. — Anfangspuncte und Endpuncte der in der Nacht vom 13. zum 14. Novbr. auf der Königl. Sternwarte beobachteten Beihen der Sternschnuppen. Von Herrn Geh. Rath und Ritter *Bessel* 171. — Circular an die Mitglieder des magnetischen Vereins nebst Einladung zur Subscription 171. — Preise von *Jürgensens* Chronometern etc. 173.

## Nr. 372.

November-Beobachtungen von Sternschnuppen 1838 in Bremen. Von Herrn Dr. und Ritter *Olbers* 177. — Die in der Nacht vom 11ten auf den 12ten August 1838 zu Braunsberg in Ostpreußen beobachteten Sternschnuppen, von Herrn Professor *L. Feldt* 179. — Ueber den Enckeschen Kometen im J. 1838. Von Herrn Hofrath *Schwabe* in Dessau (Hiebei ein Stein-druck.) 181. — Sonnen-Beobachtungen im Jahre 1838. Von Herrn Hofrath *Schwabe* in Dessau 185. — Ueber die Lichtfunken, Lichtflocken und Lichtfäden bei Sonnenbeobachtungen, von Herrn Observator *Galle* in Berlin 185. — Brief des Baronets, Sir John F. W. *Herschel* an den Herausgeber 187. Ehrenbezeugungen 189. — Druckfehler in *Gerlings* Aufsatz über Längenunterschiede. (Astr. Nachr. Nr. 351 u. 352.) 191. Verbesserungen in den Astr. Nachr. 191.

## Nr. 373.

Berichtigung 209. — Schreiben des Herrn *Kreil*, Adjuncten an der Prager Sternwarte, an den Herausgeber 209. — Beobachtungen am Meridiankreise der Sternwarte in Kremsmünster 1837. 215. — Schreiben des Herrn *Bianchi*, Directors der Sternwarte in Modena, an den Herausgeber 217. Schreiben des Herrn Professors *Weisse*, Directors der Cra-cauer Sternwarte, an den Herausgeber 223.

## Nr. 374.

Auszug eines Briefes von dem Weiherrn *Alexander v. Humboldt* an den Herausgeber. (Ueber die Bestimmung der Lichtstärke südlicher Sterne.) 225. — Ueber den Ausdruck einer Function für  $\Phi$ , durch Cosinus und Sinus der Vielfachen von  $x$ . Von Herrn Geh. Rath und Ritter *Bessel* 229. — Schreiben des Herrn Professors *Weisse*, Directors der Sternwarte in Cra-cau, an den Herausgeber 239.

## Nr. 375.

Schreiben des Herrn C. Bremker an den Herausgeber 241. — Schreiben des Herrn Bianchi, Directors der Sternwarte in Modena, an den Herausgeber (Beschluss) 249. — Schreiben des Herrn Professors Weisse, Directors der Sternwarte in Cracau, an den Herausgeber 253. — Vermischte Nachrichten 255.

## Nr. 376.

Ueber die Bestimmung der Libration des Mondes, durch Beobachtungen. Von Herrn Geh. Rath und Ritter Bessel 257.

## Nr. 377.

Beschluss des vorstehenden Aufsatzes 273. — Schreiben des Herrn Professors Argelander an den Herausgeber. 279. — Schreiben des Herrn Dr. Weisse, Directors der Sternwarte in Cracau, an den Herausgeber 283. — Schreiben des Herrn Professors v. Boguslawski, Directors der Sternwarte in Breslau, an den Herausgeber 287. — Schreiben des Herrn Hofraths Schwabe an den Herausgeber 287.

## Nr. 378.

Osservazioni dei nuovi Pianeti Vesta, Cerere, Giunone, e Pallade intorno alla loro opposizione col Sole fatte nell' I. R. Osservatorio di Padova negli Anni 1834, 1836, 1837 e 1838. 289. Schreiben des Herrn Professors Bianchi, Directors der Sternwarte in Modena, an den Herausgeber 291. — Schreiben des Herrn Doctors Stecowski, Adjuncten der Cracauer Sternwarte, an den Herausgeber 299. — Vermischte Nachrichten 303.

## Nr. 379.

Observations astronomiques faites à l'observatoire académique de Vilna en 1834 n. s. (Eingesandt von Herrn Staatsrath v. Slawinski, Director der Wilnaer Sternwarte.) 305. — Observations astronom. faites à l'observatoire Impériale de Vilna pendant l'année 1835 n. s. Von demselben 313.

## Nr. 380. 381.

Ueber Sternschnuppen. Von Herrn Geheimen-Rath und Rittm. Bessel 321. — Länge von Cracau. (Beschluss. s. Nr. 378. 299.) 331.

## Nr. 382.

Ehrenbezeugung 353. — Hansen'sche Constanten für die Sternbedeckungen. Von Herrn Dr. Mädler 353. — Physische Beobachtungen des Mars in der Opposition 1839. Von demselben 357. — Ueber die Aufstellung eines Inclinatoriums auf einem Schiffe. Von Herrn Professor A. Erman 363. — Ueber die Länge von Lima. Von Herrn H. Galle, Gehülfe auf der Berliner Sternwarte 365. — Vermischte Nachrichten 367.

## Nr. 383.

Aussatz aus einem Schreiben des Herrn Majors Sabine an den Herrn Hofrath Gauss 369. — Schreiben des Herrn Professors v. Boguslawski, Directors der Breslauer Sternwarte, an den Herausgeber. p. 369. — Schreiben des Herrn Bianchi, Directors der Sternwarte in Modena, an den Herausgeber 373. — Schreiben des Herrn Bianchi, Directors der Sternwarte in Modena, an den Herausgeber 379. — Erföschen von Sternschnuppen beobachtet in Altona 1839 Aug. 10 379. — Anzeige 383.

## Nr. 384.

Schreiben des Herrn Dr. Olbers an den Herausgeber 385. — Sternschnuppen-Momente 1839 Aug. 10. 385. — Auszug aus einem Schreiben des Herrn Geheimenraths Bessel an den Herausgeber 387. — Beobachtungen des Enckeschen Cometen an der Sternwarte zu Kremsmünster 387. — Beobachtung von Planeten, Mondculminationen, Mondsternen am Meridiankreise, und Sternbedeckungen auf der Sternwarte zu Kremsmünster. Von Herrn M. Koller 393. — Schreiben des Herrn Fischer in Apennin an den Herausgeber 397.

### Ueber die Summation der Progressionen. Von Herrn Geheimen-Rath und Ritter Bessel.

Ich habe hier kein neues Resultat mitzutheilen, sondern nur die neue Entwickelungsart eines bekannten Resultats. Sie wird so vollständig zu demselben, daß sie mir die Mittheilung zu verdienen scheint. Ich suche die Summe der

$$\frac{1}{2} \{ f[a + (\frac{1}{2} - x)\delta] + f[a + (\frac{1}{2} + x)\delta] \} + \frac{1}{2} \{ f[a + (\frac{3}{2} - x)\delta] + f[a + (\frac{3}{2} + x)\delta] \} + \dots \\ \dots + \frac{1}{2} \{ f[a + (n - \frac{1}{2} - x)\delta] + f[a + (n - \frac{1}{2} + x)\delta] \} \dots \dots \dots [2]$$

bezeichnet, so ist

$$S = \frac{1}{2} f[a + \frac{1}{2}\delta] + \frac{1}{2} f[a + n\delta] + \phi(\frac{1}{2})$$

Die Function  $\phi x$  ist für positive und negative Werthe  $x$  gleich, und kann daher durch die Reihe

$$\phi x = A^0 + 2A^1 \cos 2\pi x + 2A^2 \cos 4\pi x + \dots$$

ausgedrückt werden, welcher Ausdruck, wenn man ihn nach  $x$  mit  $dx$ ,  $\cos 2\pi x dx$ ,  $\cos 4\pi x dx$ , ... multiplicirt und

$$\phi x = \int_{-1}^1 \phi x dx + 2 \cos 2\pi x \int_{-1}^1 \phi x \cos 2\pi x dx + 2 \cos 4\pi x \int_{-1}^1 \phi x \cos 4\pi x dx + \dots$$

$$\phi(\frac{1}{2}) = \int_{-1}^1 \phi x dx - 2 \int_{-1}^1 \phi x \cos 2\pi x dx + 2 \int_{-1}^1 \phi x \cos 4\pi x dx \dots \dots \dots [4]$$

die einzelnen Theile von [2] haben den Ausdruck:

$$\frac{1}{2} \{ f[a + (\frac{2h+1}{2} - x)\delta] + f[a + (\frac{2h+1}{2} + x)\delta] \}$$

und ihre Summe, von  $h=0$  bis  $h=n-1$  genommen, ist  $\phi x$ . Man hat also

$$\int_{-1}^1 \phi x \cos 2\pi m x dx = \frac{1}{2} \sum_{h=0}^{n-1} \left\{ \int_{-1}^1 f[a + (\frac{2h+1}{2} - x)\delta] \cos 2\pi m x dx + \int_{-1}^1 f[a + (\frac{2h+1}{2} + x)\delta] \cos 2\pi m x dx \right\}$$

oder man, da beide Integrale offenbar einander gleich sind, auch

$$\int_{-1}^1 \phi x \cos 2\pi m x dx = \sum_{h=0}^{n-1} \int_{-1}^1 f[a + (\frac{2h+1}{2} + x)\delta] \cos 2\pi m x dx$$

schreiben kann. Setzt man  $y$  für  $x + \frac{1}{2}$ , so wird dieser Ausdruck:

$$= (-1)^m \sum_{h=0}^{n-1} \int_0^1 f[a + (h+y)\delta] \cos 2\pi m y dy$$

oder, indem man das Argument des Cosinus um eine beliebige

$$= (-1)^m \left\{ \int_0^1 f[a+y\delta] \cos 2\pi m y dy + \int_0^1 f[a + (1+y)\delta] \cos 2\pi m (1+y) dy + \int_0^1 f[a + (n-1+y)\delta] \cos 2\pi m (n-1+y) dy \right\}$$

Progression:

$$S = f a + f(a + \delta) + f(a + 2\delta) + \dots + f(a + n\delta) \dots [1]$$

Wenn man

von  $-\frac{1}{2}$  bis  $+\frac{1}{2}$  integrirt:

$$A^0 = \int_{-1}^1 \phi x dx$$

$$A^1 = \int_{-1}^1 \phi x \cos 2\pi x dx$$

$$A^2 = \int_{-1}^1 \phi x \cos 4\pi x dx \quad \text{u. s. w.}$$

ergiebt. Man hat also

Anzahl ganzer Peripherien verändern kann,

$$= (-1)^m \sum_{h=0}^{n-1} \int_0^1 f[a + (h+y)\delta] \cos 2\pi m (h+y) dy$$

und wenn man die einzelnen Glieder, auf welche das Zeichen  $\Sigma$  sich bezieht, schreibt:

Die in den Klammern stehende GröÙe ist nun offenbar

$$= \int_0^{\pi} f[a+y\delta] \cos 2mxy \cdot dy$$

und man erhält dadurch:

$$[5] \dots \dots \dots \int_{-1}^1 \varphi x \cos 2m\pi x \cdot dx = (-1)^m \int_0^{\pi} f[a+y\delta] \cos 2mxy \cdot dy$$

Man kann diesen Ausdruck in andere Formen bringen, indem man die Integration wiederholt theilweise ausführt; man erhält dadurch

$$\int f[a+y\delta] \cos 2mxy \cdot dy = \frac{1}{2m\pi} f[a+y\delta] \sin 2mxy - \frac{1}{2m\pi} \int \frac{df[a+y\delta]}{dy} \sin 2mxy \cdot dy$$

und wenn man dieses fortsetzt,

$$\frac{1}{2m\pi} f[a+y\delta] \sin 2mxy + \frac{1}{(2m\pi)^2} \frac{d^2 f[a+y\delta]}{dy^2} \cos 2mxy - \frac{1}{(2m\pi)^3} \int \frac{d^3 f[a+y\delta]}{dy^3} \cos 2mxy \cdot dy$$

Das von 0 bis zu der ganzen Zahl  $n$  genommene Integral ist daher:

$$\int_0^{\pi} f[a+y\delta] \cos 2mxy \cdot dy = \frac{\delta}{(2m\pi)^2} \frac{d^2 F}{da^2} - \frac{\delta^3}{(2m\pi)^4} \frac{d^4 F}{da^4} + \frac{\delta^5}{(2m\pi)^6} \int_0^{\pi} \frac{d^5 f[a+y\delta]}{da^5} \cos 2mxy \cdot dy$$

wo statt der Differentialquotienten in Beziehung auf  $y$ , die Differentialquotienten in Beziehung auf  $a$ , oder

$$\frac{df[a+y\delta]}{dy} = \delta \frac{df[a+y\delta]}{da}$$

$$\frac{d^2 f[a+y\delta]}{dy^2} = \delta^2 \frac{d^2 f[a+y\delta]}{da^2}$$

genommen worden sind und  $F$ , um abzukürzen, für  $f[a+y\delta] - fa$  gesetzt ist. Man kann ferner für dasselbe Integral schreiben:

$$\frac{\delta}{(2m\pi)^2} \frac{d^2 F}{da^2} - \frac{\delta^3}{(2m\pi)^4} \frac{d^4 F}{da^4} + \frac{\delta^5}{(2m\pi)^6} \int_0^{\pi} \frac{d^5 f[a+y\delta]}{da^5} \cos 2mxy \cdot dy$$

und allgemein:

$$\left( \frac{\delta}{(2m\pi)^2} \frac{d^2 F}{da^2} - \frac{\delta^3}{(2m\pi)^4} \frac{d^4 F}{da^4} + \dots + (-1)^{n-1} \frac{\delta^{2n-1}}{(2m\pi)^{2n}} \frac{d^{2n-1} F}{da^{2n-1}} + (-1)^n \frac{\delta^{2n}}{(2m\pi)^{2n+2}} \int_0^{\pi} \frac{d^{2n+1} f[a+y\delta]}{da^{2n+1}} \cos 2mxy \cdot dy \right)$$

Substituiert man diese Umformung in [5] und die Anwendung dieser Formel auf alle Werthe von  $m$ , von 1 bis  $\infty$ , in [4], so erhält man:

$$[6] \dots \dots \dots \varphi(i) = \int_0^{\pi} f[a+y\delta] dy + \frac{\delta}{2\pi^2} \frac{dF}{da} \left\{ 1 + \frac{1}{2^2} + \frac{1}{3^2} + \frac{1}{4^2} + \dots \right\} \\ - \frac{\delta^3}{2^3 \pi^4} \frac{d^3 F}{da^3} \left\{ 1 + \frac{1}{2^4} + \frac{1}{3^4} + \frac{1}{4^4} + \dots \right\} \\ + \dots \\ + \frac{(-1)^{i-1} \delta^{2i-1}}{2^{2i-1} \pi^{2i}} \frac{d^{2i-1} F}{da^{2i-1}} \left\{ 1 + \frac{1}{2^{2i}} + \frac{1}{3^{2i}} + \frac{1}{4^{2i}} + \dots \right\} \\ + \frac{(-1)^i \delta^{2i}}{2^{2i-1} \pi^{2i}} \int_0^{\pi} \frac{d^{2i} f[a+y\delta]}{da^{2i}} \left\{ \cos 2xy + \frac{\cos 4xy}{2^{2i}} + \frac{\cos 6xy}{3^{2i}} + \dots \right\} dy$$

Das letzte Glied dieses Ausdruckes ist die Ergänzung der bei dem ihm vorangehenden Gliede abgebrochenen Reihe. Man kann dafür

$$+ \frac{(-1)^i \delta^{2i}}{2^{2i-1} \pi^{2i}} \int_0^{\pi} \frac{d^{2i} f[a+y\delta]}{da^{2i}} \left\{ 1 + \frac{1}{2^{2i}} + \frac{1}{3^{2i}} + \frac{1}{4^{2i}} + \dots - 2 \sin xy - \frac{2 \sin 2xy}{2^{2i}} - \frac{2 \sin 3xy}{3^{2i}} - \dots \right\} dy$$

schreiben, wodurch sein von den Sinussen unabhängiger Theil dem vorangehenden Gliede gleich, aber von entgegengesetzten Zeichen wird. Beide Glieder zusammengekommen sind daher:

$$[7] \dots \dots \dots \frac{(-1)^{i-1} \delta^{2i}}{2^{2i-1} \pi^{2i}} \int_0^{\pi} \frac{d^{2i} f[a+y\delta]}{da^{2i}} \left\{ \sin xy + \frac{\sin 2xy}{2^{2i}} + \frac{\sin 3xy}{3^{2i}} + \dots \right\} dy$$

und man erhält den vollständigen Ausdruck von  $\Phi(i)$ , wenn man ihn hiermit, statt mit

$$[i] \dots \frac{(-1)^{i-1} d^{i-1}}{2^{i-1} \pi^{i-1}} \cdot \frac{d^{i-1}}{da^{i-1}} \left\{ 1 + \frac{1}{2^i} + \frac{1}{3^i} + \frac{1}{4^i} + \dots \right\}$$

schließt. Wenn

$$\frac{d^i f(a+yd)}{da^i}$$

zwischen  $y=0$  und  $y=n$  immer dasselbe Zeichen behält, so haben [7] und [8] offenbar gleiches Zeichen, und es geht hieraus hervor, daß alsdann die Summe der früheren Glieder einer Ergänzung bedarf, welche das Zeichen von [8] hat. Wenn diese Bedingung erfüllt wird, und wenn die Zeichen des

$$S = \int_0^n f(a+yd) dy + ifa + if[a+nd] + \frac{S_2}{2\pi^2} \cdot d \frac{d\{f[a+nd]-fa\}}{da} \\ - \frac{S_4}{2^3 \pi^4} d^3 \frac{d^3\{f[a+nd]-fa\}}{da^3} \\ + \frac{S_6}{2^5 \pi^6} d^5 \frac{d^5\{f[a+nd]-fa\}}{da^5} \\ - \text{etc.} \dots \dots \dots [9]$$

oder, wenn man die bekannte Relation zwischen den reciproken Reihen und den Bernoullischen Zahlen, nämlich

$$\frac{S_m}{2^{m-1} \pi^m} = \frac{B_i}{1.2 \dots 2i}$$

benutzt, um statt der ersteren die letzteren einzuführen:

$$S = \int_0^n f(a+yd) dy + ifa + if[a+nd] + \frac{B_1 d}{1.2} \frac{d\{f[a+nd]-fa\}}{da} \\ - \frac{B_3 d^3}{1.2.3.4} \frac{d^3\{f[a+nd]-fa\}}{da^3} \\ + \frac{B_5 d^5}{1.2.3.4.5.6} \frac{d^5\{f[a+nd]-fa\}}{da^5} \\ - \text{etc.} \dots \dots \dots [10]$$

Dies ist die bekannte Formel für die Summation der Progressionen.

Bessel.

Sternbedeckung beobachtet auf der Göttinger Sternwarte.

Eintritt  $\chi$  Leonis 1838 Janus 27.  $10^h 9' 17''$  M. Z. Gauss.

10 9 16,9 — Goldschmidt.

Durch die Güte des Herrn Hofraths und Ritters Gauss mitgetheilt. S.

Auszug aus zwei Briefen des Herrn Professors und Ritters Encke, Directors der Berliner Sternwarte, an den Herausgeber.

Berlin den 19<sup>ten</sup> Septbr. 1838.

Nachdem ich Ihnen die Auffindung des Cometen anzeigen zu können. Am 16<sup>ten</sup> Septbr. fand mein Gehülfe, Herr Galle, mit dem größten Refractor einen ganz ungemein schwachen Nebel in der Gegend der Ephemeride, den wir etwa 3 Stunden

lang verfolgten. Er schien in dieser Zeit augenfällig seine Stelle geändert zu haben. Beobachtet konnte er nur werden vermittelst des Durchgangs durch die Mitte des Gesichtsfeldes, da er auch am Rande verschwand und von Beleuchtung keine Rede seyn konnte. Auch diese Beobachtungen, so wenig

sicher sie waren, gaben doch die Declinations-Aenderung mit größerer Uebereinstimmung, als erwartet werden konnte. Am 17<sup>ten</sup> Septbr. wurde nur nach der bekannten Constellation der neue Ort aufgesucht und ein ganz ähnlicher Nebel von etwa 2 bis 3 Minuten Durchmesser beobachtet. Die Reduction bei der Beobachtungen giebt im Mittel

Fehler d. Ephem.			
Sept. 16.	14 <sup>h</sup> 0' Berl. Zt.	AR. = 38° 13' 24"	+ 2' 19"
		Decl. = 33 22 29	+ 1 31
17.	12 0 ———	AR. = 38 13 33	+ 2 48
		Decl. = 33 42 39	+ 1 35

Es müßte ein sonderbares Zusammentreffen von Umständen seyn, wenn dieses nicht der Comet wäre, um so mehr als ich noch vor wenigen Stunden den Fehler in der Declination für weit größer hielt und also die Ephemeride uns nicht bestochen haben kann. Es ist nämlich in Ihren Reductionstafeln der Hist. cöl. die Correctionstafel für die Declination für 1794 Dec. 18. pag. 133 der H. C. Z. D. = 15°, an der Stelle, wo ich sie gebrauchte, um 2' 34" irrig, wie die Vergleichung mit *Bessels* Zonen und mit den *Piazzi*schen Sternen lehrt. Ein flüchtiger Blick hätte mich belehren können, daß hier ein Fehler sey, da für Decbr. 16. Z. D. 15° und Decbr. 19. Z. D. 19° p um 2' wenigstens verschieden ist und auch im entgegen gesetzten Sinne sich ändert. Anfangs glaubte ich deshalb, der Fehler der Ephemeride sey 4'.

		M. Berl. Zt.		AR.		Decl.		Diff. der Ephem.			
								AR.	Decl.		
Sept. 16.	14 <sup>h</sup> 0' 38"	38° 13' 24"		+ 33° 22' 29"		+ 1' 59"		+ 1' 32"		6 Vergl.	
17.	11 52 0	38 13 33		33 42 32		+ 2 28		+ 1 36		9 —	
19.	11 4 10	38 12 15		34 28 0		+ 3 3		+ 1 15		7 —	
21.	12 56 54	38 8 9		35 17 57		+ 3 3		+ 1 40		6 —	
22.	11 12 13	38 4 45		35 41 40		+ 3 23		+ 1 23		7 —	
23.	11 8 5	38 0 40		36 7 28		+ 3 26		+ 1 31		6 —	
24.	12 3 58	37 55 3		36 35 30		+ 3 32		+ 1 21		6 —	
25.	11 10 9	37 49 43		37 1 44		+ 2 42		+ 1 42		8 —	
27.	11 2 15	37 33 23		37 59 42		+ 2 55		+ 1 35		7 —	
29.	15 11 27	37 9 12		39 6 37		+ 3 31		+ 2 12		8 —	
30.	14 59 44	36 55 48		39 39 18		+ 3 47		+ 2 4		8 —	
Oct. 1.	16 30 31	36 38 42		40 15 34		+ 4 58		+ 1 58		6 —	

Die letzte Beobachtung ist unsicher, weil gleich nach Untergang des Mendes die Dämmerung schon hinderte und außerdem ein schwacher Stern, der in dem Cometen-Nebel stand, oder ihm folgte, sein Licht noch mehr verdeckte.

Es geht hieraus hervor, daß nach den Differential-Coeffizienten von Herrn *Bremiker* die mittlere Anomalie um 60" etwa zu groß ist, da wahrscheinlich von ihr die Fehler herühren werden. Der Comet kommt etwa  $1\frac{1}{2}$  Stunde später in sein Perihel, als die Rechnung voraussetzt, wodurch die Störungsrechnungen des Herrn *Bremiker* vortrefflich bestätigt wer-

den. Gerne hätte ich noch eine neue Bestätigung abgewartet, da das Object so ungemein schwach ist, daß das Auge sich immer erst gewöhnen und anstrengen muß, um es wieder zu sehen, wenn man einmal vom Fernrohr weggegangen ist. Aber da es jetzt wieder eine trübe Periode zu werden droht, so habe ich vorgezogen, das was ich schon für hinlänglich sicher halte zu geben.

Wie übrigens der Comet zur Zeit des Mondschins auf einer Sternwarte mit ganz gewöhnlichen Instrumenten gesehen werden sein kann, ist mir unbegreiflich. Ich vermute, daß eine Verwechslung mit andern Nebeln vorgegangen ist, wozu kann ich mir auch bei dem günstigsten Himmel dieses nicht erklären. Herrn v. *Boguslawski's* Wahrnehmungen scheinen ebenfalls sämtlich nicht zum Cometen zu gehören.

Berlin, den 4<sup>ten</sup> Octbr. 1838.

Den Cometen haben wir hier so unablässig verfolgt, als das Wetter erlaubte, und trotz dem, daß wir wegen seiner Schwäche ihn nur in der Mitte eines unerleuchteten Gesichtsfeldes von 14 Minuten Durchmesser einstellen konnten, den die Beobachtungen der Ein- und Austritte selbst waren nicht möglich, so zeigen doch die Resultate eine verhältnismäßig gute Uebereinstimmung. Das schöne Münchner Instrument hat sich auf diese Weise auch als Aequatorial bewährt. Die Beobachtungen sind ohne Rücksicht auf Parallaxe.

Wenn hierin die Hauptquelle des Fehlers liegt, so werden sich später weit größere Fehler zeigen, die am 23<sup>ten</sup> Oct. auf 9 Minuten in Declination, am 12<sup>ten</sup> Novbr. auf 18 Minuten in AR. steigen, eine Vergrößerung, die von der Nähe des Cometen an der Erde herrührt und weiter nicht betreffend kann.

Der Comet hat an Licht zugenommen, ist aber immer noch sehr schwach und formlos. Seinen Durchmesser schätzte wir auf etwa 2 bis 3 Minuten. In den ersten Tagen war er nur von Zeit zu Zeit und bei gänzlicher Verdunkelung des

Zimmers zu sehen trotz der Lichtstärke des Refraktors. In den letzten Tagen konnte man ihn schon bemerken, wenn auch das Zimmer etwas erhellet war und er war immer sichtbar. Nach dem Mondscheine wird er sich immer besser und besser zeigen.

Von auswärtigen Beobachtern hat, so viel ich weiß, nur Sir James South ihn gesehen. Denn die in den Zeitungen von andern Orten her bekannt gemachten Angaben sind gänzlich falsch. Eine Nachricht setzt ihn bei  $\kappa$  Persei hin, etwa 1) bis 20 Grade von seinem wahren Orte.

Ich glaube völlig überzeugt zu seyn, daß man ihn nicht über 3 Monat etwa vor seinem Durchgange durch das Perihel

mit den jetzigen besten Hilfsmitteln sehen kann, womit auch Struve's Wahrnehmung im Jahre 1828 stimmt, da die erste Vermuthung, welche 4 Monate vorher damals angeführt wird, mir zweifelhaft erscheint, auch hat Struve nur dann erst geglaubt, ihn schon damals gesehen zu haben, als er später ihn bestimmt gefunden. In dem Monat August dieses Jahres konnte er mit dem hiesigen Refractor nicht gesehen werden, geschweige denn mit schwächeren Instrumenten.

Die Beobachtung des Cometen wird mir jetzt, da ich bei dieser Gelegenheit die Güte des Refraktors in so mannichfacher Art kennen gelernt habe, noch mehr Vergnügen gewähren. Mögte nur der November sich nicht zu ungünstig erweisen.

Encke.

## Auflösung einer allgemeinen Aufgabe aus der Wahrscheinlichkeitsrechnung.

Von Herrn Professor und Ritter Hansen,

Director der Seeberger Sternwarte.

### Aufgabe.

Seyen  $W=0$ ,  $W'=0$ ,  $W''=0$  etc. Gleichungen, die durch irgend eine Theorie gegeben, zwischen den unbekannten Größen  $v$ ,  $v'$ ,  $v''$ , etc. statt finden müssen. Sey aber die Anzahl dieser Gleichungen kleiner wie die der unbekannten Größen, so daß man diese daraus nicht bestimmen kann. Ich nehme nun an, daß die Bestimmung der unbekannten Größen möglich werde, wenn man die Werthe gewisser Functionen  $V$ ,  $V'$ ,  $V''$ , etc. derselben durch Beobachtungen ermittelt, und frage in dem Falle, wo man eine größere Anzahl der Functionen  $V$ ,  $V'$ ,  $V''$ , etc. als zur vollständigen Bestimmung der unbekannten Größen unumgänglich notwendig ist, durch Beobachtungen ermittelt hat, nach den wahrscheinlichsten Werthen dieser, und nach dem Gewichte jeder dieser Bestimmungen, so wie nach den wahrscheinlichsten Werthe irgend einer Function von  $v$ ,  $v'$ ,  $v''$ , etc. und dem Gewichte dieser Bestimmung?

### Erste Auflösung.

Seyen  $L$ ,  $L'$ ,  $L''$ , etc. die beobachteten Werthe der Functionen  $V$ ,  $V'$ ,  $V''$ , etc. und die Gewichte dieser Beobachtungen beziehungsweise  $p$ ,  $p'$ ,  $p''$ , etc. Seyen ferner  $(v)$ ,  $(v')$ ,  $(v'')$ , etc. die durch irgend eine vorläufige Rechnung gefundenen, genäherten Werthe von  $v$ ,  $v'$ ,  $v''$ , etc. und  $x$ ,  $x'$ ,  $x''$ , etc. die denselben hinzuzufügenden Verbesserungen, so daß die wahrscheinlichsten Werthe  $v = (v) + x$ ,  $v' = (v') + x'$ ,  $v'' = (v'') + x''$ , etc. sind. Ich nehme an, daß  $x$ ,  $x'$ ,  $x''$ , etc. so klein seyen, daß man sowohl in den Functionen  $V$ ,  $V'$ ,  $V''$ , etc. wie in den Gleichungen  $W=0$ ,  $W'=0$ ,  $W''=0$ , etc. ihre Quadrate und Producte vernachlässigen kann. Seyen  $(V)$ ,  $(V')$ ,  $(V'')$ , etc. die Werthe, welche die Functionen  $V$ ,  $V'$ ,  $V''$ , etc. annehmen, nachdem man darin  $(v)$ ,  $(v')$ ,  $(v'')$ , etc. beziehungsweise für  $v$ ,  $v'$ ,  $v''$ , etc. substituirt hat. Sey ferner

$$L - (V) = l, \quad L' - (V') = l', \quad L'' - (V'') = l'', \text{ etc.}$$

$$\frac{dV}{dv} = a, \quad \frac{dV'}{dv'} = b, \quad \frac{dV''}{dv''} = c, \text{ etc.}$$

$$\frac{dV'}{dv} = a', \quad \frac{dV''}{dv'} = b', \quad \frac{dV''}{dv''} = c', \text{ etc.}$$

$$\frac{dV''}{dv} = a'', \quad \frac{dV''}{dv'} = b'', \quad \frac{dV''}{dv''} = c'', \text{ etc.}$$

etc.

$$\frac{dW}{dv} = q, \quad \frac{dW'}{dv'} = q', \quad \frac{dW''}{dv''} = q'', \text{ etc.}$$

$$\frac{dW'}{dv} = r, \quad \frac{dW''}{dv'} = r', \quad \frac{dW''}{dv''} = r'', \text{ etc.}$$

$$\frac{dW''}{dv} = s, \quad \frac{dW''}{dv'} = s', \quad \frac{dW''}{dv''} = s'', \text{ etc.}$$

etc.

Man berechne nun zuerst die Größen:

$$(aa) = pa^2 + p'a'^2 + p''a''^2 + \text{etc.}$$

$$(ab) = pa'b + p'a'b' + p''a'b'' + \text{etc.}$$

$$(ac) = pa'c + p'a'c' + p''a'c'' + \text{etc.}$$

$$(al) = pa'l + p'a'l' + p''a'l'' + \text{etc.}$$

$$(bb) = pb^2 + p'b'^2 + p''b''^2 + \text{etc.}$$

$$(bc) = pb'c + p'b'c' + p''b'c'' + \text{etc.}$$

$$(bl) = pbl + p'b'l' + p''b'l'' + \text{etc.}$$

$$(cc) = pc^2 + p'c'^2 + p''c''^2 + \text{etc.}$$

$$(cl) = pcl + p'c'l' + p''c'l'' + \text{etc.}$$



$$(cf) = p'el + p'e'l + p''e''e'' + \text{etc.}$$

und die Größen

$$(bb, 1) = (bb) - \frac{(ab)^2}{(aa)}$$

$$(bc, 1) = (bc) - \frac{(ab)(ac)}{(aa)}$$

etc.

$$(bd, 1) = (bd) - \frac{(ab)(ad)}{(aa)}$$

$$(cc, 2) = (cc) - \frac{(ac)^2}{(aa)} - \frac{(bc, 1)^2}{(bb, 1)}$$

etc.

$$\eta = q$$

$$\eta' = q' - \frac{(ab)}{(aa)} \eta$$

$$\eta'' = q'' - \frac{(ac)}{(aa)} \eta - \frac{(bc, 1)}{(bb, 1)} \eta'$$

$$\eta''' = q''' - \frac{(ad)}{(aa)} \eta - \frac{(bd, 1)}{(bb, 1)} \eta' - \frac{(cd, 2)}{(cc, 2)} \eta''$$

etc.

$$\kappa = r$$

$$\kappa' = r' - \frac{(ab)}{(aa)} \kappa$$

$$\kappa'' = r'' - \frac{(ac)}{(aa)} \kappa - \frac{(bc, 1)}{(bb, 1)} \kappa'$$

$$\kappa''' = r''' - \frac{(ad)}{(aa)} \kappa - \frac{(bd, 1)}{(bb, 1)} \kappa' - \frac{(cd, 2)}{(cc, 2)} \kappa''$$

etc.

$$\lambda = s$$

$$\lambda' = s' - \frac{(ab)}{(aa)} \lambda$$

$$\lambda'' = s'' - \frac{(ac)}{(aa)} \lambda - \frac{(bc, 1)}{(bb, 1)} \lambda'$$

$$\lambda''' = s''' - \frac{(ad)}{(aa)} \lambda - \frac{(bd, 1)}{(bb, 1)} \lambda' - \frac{(cd, 2)}{(cc, 2)} \lambda''$$

etc.

Sey nun

und

$$m' = -\frac{(ab)}{(aa)}$$

$$m'' = -\frac{(ac)}{(aa)} - \frac{(bc, 1)}{(bb, 1)} m'$$

$$m''' = -\frac{(ad)}{(aa)} - \frac{(bd, 1)}{(bb, 1)} m' - \frac{(cd, 2)}{(cc, 2)} m''$$

etc.

$$n' = -\frac{(bc, 1)}{(bb, 1)}$$

$$n'' = -\frac{(bd, 1)}{(bb, 1)} - \frac{(cd, 2)}{(cc, 2)} n'$$

etc.

$$o' = -\frac{(cd, 2)}{(cc, 2)}$$

etc.

welche Hülfsgrößen ich für vier unbekannte Größen vollständig hingeschrieben habe, damit das Gesetz des Fortganges deutlich hervortrete; man rechne ferner

$$(\eta\eta) = \frac{\eta^2}{(aa)} + \frac{\eta'^2}{(bb, 1)} + \frac{\eta''^2}{(cc, 2)} + \text{etc.}$$

$$(\eta\eta') = \frac{\eta\eta'}{(aa)} + \frac{\eta'\eta'}{(bb, 1)} + \frac{\eta''\eta''}{(cc, 2)} + \text{etc.}$$

$$(\eta\lambda) = \frac{\eta\lambda}{(aa)} + \frac{\eta'\lambda'}{(bb, 1)} + \frac{\eta''\lambda''}{(cc, 2)} + \text{etc.}$$

$$(\kappa\kappa) = \frac{\kappa^2}{(aa)} + \frac{\kappa'^2}{(bb, 1)} + \frac{\kappa''^2}{(cc, 2)} + \text{etc.}$$

$$(\kappa\lambda) = \frac{\kappa\lambda}{(aa)} + \frac{\kappa'\lambda'}{(bb, 1)} + \frac{\kappa''\lambda''}{(cc, 2)} + \text{etc.}$$

$$(\lambda\lambda) = \frac{\lambda^2}{(aa)} + \frac{\lambda'^2}{(bb, 1)} + \frac{\lambda''^2}{(cc, 2)} + \text{etc.}$$

und überdies

$$(\eta m) = \frac{\eta}{(aa)} + \frac{\eta' m'}{(bb, 1)} + \frac{\eta'' m''}{(cc, 2)} + \text{etc.};$$

$$(\kappa m) = \frac{\kappa}{(aa)} + \frac{\kappa' m'}{(bb, 1)} + \frac{\kappa'' m''}{(cc, 2)} + \text{etc.};$$

$$(\lambda m) = \frac{\lambda}{(aa)} + \frac{\lambda' m'}{(bb, 1)} + \frac{\lambda'' m''}{(cc, 2)} + \text{etc.};$$

$$(\eta n) = \frac{\eta'}{(bb, 1)} + \frac{\eta'' n''}{(cc, 2)} + \text{etc.};$$

$$(\kappa n) = \frac{\kappa'}{(bb, 1)} + \frac{\kappa'' n''}{(cc, 2)} + \text{etc.};$$

$$(\lambda n) = \frac{\lambda'}{(bb, 1)} + \frac{\lambda'' n''}{(cc, 2)} + \text{etc.};$$

$$(\eta o) = \frac{\eta''}{(cc, 2)} + \text{etc.}$$

$$(\kappa o) = \frac{\kappa''}{(cc, 2)} + \text{etc.}$$

$$(\lambda o) = \frac{\lambda''}{(cc, 2)} + \text{etc.}$$

Seyen nun

$$s = \gamma + (\eta m) x_0 + (\kappa m) \beta_0 + (\lambda m) \gamma_0 + \text{etc.}$$

$$s' = \gamma' + (\eta n) x_0 + (\kappa n) \beta_0 + (\lambda n) \gamma_0 + \text{etc.}$$

$$s'' = \gamma'' + (\eta o) x_0 + (\kappa o) \beta_0 + (\lambda o) \gamma_0 + \text{etc.}$$

etc.

wo  $x_0, \beta_0, \gamma_0$ , etc. willkürliche Größen sind, denen je nach Beschaffenheit der Umstände entweder diese oder je endliche Werthe beilegen, oder die man der Null gleich sein kann. Seyen ferner  $W = f, W' = g, W'' = h$  etc. die W the der Gleichungen  $W = 0, W' = 0, W'' = 0$ , etc. sein

man darin  $(\nu) + \pi$ ,  $(\nu') + \pi'$ ,  $(\nu'') + \pi''$ , etc. statt  $\nu$ ,  $\nu'$ ,  $\nu''$ , etc. substituirt hat. Somit mache man

$$(\pi\pi, 1) = (\pi\pi) - \frac{(\eta\pi)^2}{(\eta\eta)}$$

$$(\pi\lambda, 1) = (\pi\lambda) - \frac{(\eta\pi)(\eta\lambda)}{(\eta\eta)}$$

etc.

$$\delta' = \delta - \frac{(\eta\pi)f}{(\eta\eta)}$$

$$(\lambda\lambda, 2) = (\lambda\lambda) - \frac{(\eta\lambda)^2}{(\eta\eta)} - \frac{(\pi\lambda, 1)^2}{(\pi\pi, 1)}$$

etc.

$$\lambda'' = \lambda - \frac{(\eta\lambda)f}{(\eta\eta)} - \frac{(\pi\lambda, 1)}{(\pi\pi, 1)} \delta'$$

und bestimme  $\phi$ ,  $\chi$ ,  $\psi$ , etc. aus folgenden Gleichungen

$$\phi = \frac{f}{(\eta\eta)} - \frac{(\eta\pi)}{(\eta\eta)} \chi - \frac{(\eta\lambda)}{(\eta\eta)} \psi - \text{etc.}$$

$$\chi = \frac{g}{(\pi\pi, 1)} - \frac{(\pi\lambda, 1)}{(\pi\pi, 1)} \psi - \text{etc.}$$

$$\psi = \frac{h}{(\lambda\lambda, 2)} - \text{etc.}$$

Dann ist

$$x = \pi - (\eta\pi)\phi - (\pi\pi)\chi - (\lambda\pi)\psi - \text{etc.}$$

$$x' = \pi' - (\eta\pi')\phi - (\pi\pi')\chi - (\lambda\pi')\psi - \text{etc.}$$

$$x'' = \pi'' - (\eta\pi'')\phi - (\pi\pi'')\chi - (\lambda\pi'')\psi - \text{etc.}$$

und somit haben wir die wahrscheinlichsten Werthe  $(\nu) + \pi$ ,  $(\nu') + \pi'$ ,  $(\nu'') + \pi''$ , etc. unserer unbekannten Größen  $\nu$ ,  $\nu'$ ,  $\nu''$ , etc.

Sey nun  $X$  irgend eine reelle Function der Größen  $\nu$ ,  $\nu'$ ,  $\nu''$ , etc. dann bekommt man den wahrscheinlichsten Werth von  $X$ , wenn man die eben gefundenen wahrscheinlichsten Werthe von  $\nu$ ,  $\nu'$ ,  $\nu''$ , etc. substituirt. Sey ferner

$$\frac{dX}{d\nu} = A, \quad \frac{dX}{d\nu'} = B, \quad \frac{dX}{d\nu''} = C, \quad \frac{dX}{d\nu'''} = D, \text{ etc.}$$

$$\frac{1}{(P\nu)} = \frac{1}{(aa)} + \frac{m^2}{(bb, 1)} + \frac{m'^2}{(cc, 2)} + \text{etc.}$$

$$\frac{1}{(P\nu')} = \frac{1}{(bb, 1)} + \frac{m'^2}{(cc, 2)} + \text{etc.}$$

$$\frac{1}{(P\nu'')} = \frac{1}{(cc, 2)} + \text{etc.}$$

Diese Aufgabe und ihre Auflösung umfasst zwei *Gaußsche* Aufgaben als specielle Fälle. Man erhält die Auflösung der Aufgabe der „*Theoria combinationis observationum etc.*“, wenn man in den obigen Formeln alle sich auf die Gleichungen  $M=0$ ,  $M'=0$ ,  $M''=0$ , etc. beziehenden Größen gleich Null macht, man erhält dagegen die Auflösung der Aufgabe des *Supplementum theoriae combinationis observationum etc.* wenn man in den obigen Formeln  $a=1$ ,  $b=c$ , etc. etc.  $=0$ ,  $a'=1$ ,  $a''=c'$  etc. etc.  $=0$ ,  $a''=b''$  etc. etc.  $=0$ , und

Hiermit berechne man

$$M = A$$

$$M' = B - \frac{(ab)}{(aa)} M$$

$$M'' = C - \frac{(ac)}{(aa)} M - \frac{(bc, 1)}{(bb, 1)} M'$$

$$M''' = D - \frac{(ad)}{(aa)} M - \frac{(bd, 1)}{(bb, 1)} M' - \frac{(cd, 2)}{(cc, 2)} M''$$

etc. etc.

Ferner

$$(\eta M) = \frac{\eta M}{(aa)} + \frac{\eta' M'}{(bb, 1)} + \frac{\eta'' M''}{(cc, 2)} + \frac{\eta''' M'''}{(dd, 2)} + \text{etc.}$$

$$(\pi M) = \frac{\pi M}{(aa)} + \frac{\pi' M'}{(bb, 1)} + \frac{\pi'' M''}{(cc, 2)} + \frac{\pi''' M'''}{(dd, 2)} + \text{etc.}$$

$$(\lambda M) = \frac{\lambda M}{(aa)} + \frac{\lambda' M'}{(bb, 1)} + \frac{\lambda'' M''}{(cc, 2)} + \frac{\lambda''' M'''}{(dd, 2)} + \text{etc.}$$

$$(\pi M, 1) = (\pi M) - \frac{(\eta\pi)}{(\eta\eta)} (\eta M)$$

$$(\lambda M, 2) = (\lambda M) - \frac{(\eta\lambda)}{(\eta\eta)} (\eta M) - \frac{(\pi\lambda, 1)}{(\pi\pi, 1)} (\pi M, 1)$$

etc. etc.

dann haben wir, wenn wir das Gewicht dieser Bestimmung der Function  $X$  mit  $(PX)$  bezeichnen,

$$\frac{1}{(PX)} = \frac{M^2}{(aa)} + \frac{M'^2}{(bb, 1)} + \frac{M''^2}{(cc, 2)} + \frac{M'''^2}{(dd, 2)} + \text{etc.}$$

$$- \frac{(\eta M)^2}{(\eta\eta)} - \frac{(\pi M, 1)^2}{(\pi\pi, 1)} - \frac{(\lambda M, 2)^2}{(\lambda\lambda, 2)} - \text{etc.}$$

Machen wir in diesen Formeln  $A=1$ ,  $B=0$ ,  $C=0$ , etc., so erhalten wir das Gewicht von  $\nu$ , machen wir  $A=0$ ,  $B=1$ ,  $C=0$ ,  $D=0$ , etc., so erhalten wir das Gewicht von  $\nu'$ , u. s. w. Nennen wir nun diese Gewichte beziehungsweise  $(P\nu)$ ,  $(P\nu')$ ,  $(P\nu'')$ , etc., so ergibt sich so gleich

$$- \frac{(\eta\pi)^2}{(\eta\eta)} - \frac{(\pi\pi, 1)^2}{(\pi\pi, 1)} - \frac{(\lambda\pi, 2)^2}{(\lambda\lambda, 2)} - \text{etc.}$$

$$- \frac{(\eta\pi')^2}{(\eta\eta)} - \frac{(\pi\pi', 1)^2}{(\pi\pi', 1)} - \frac{(\lambda\pi', 2)^2}{(\lambda\lambda, 2)} - \text{etc.}$$

$$- \frac{(\eta\pi'')^2}{(\eta\eta)} - \frac{(\pi\pi'', 1)^2}{(\pi\pi'', 1)} - \frac{(\lambda\pi'', 2)^2}{(\lambda\lambda, 2)} - \text{etc.}$$

etc.

überdies, welches in diesem Falle erlaubt ist,  $l=l'=l''=l'''=0$  macht. Den Beweis der obigen Auflösung glaube ich hier weglassen zu dürfen, da ihn jeder durch Hülfe der beiden angeführten Abhandlungen von *Gauß* leicht wird finden können.

### Zweite Auflösung.

Ich schreibe außer den oben ausdrücklich angeführten unbekannten Größen  $\nu$ ,  $\nu'$ ,  $\nu''$ , etc. noch die unbekannten Größen  $\nu_1$ ,  $\nu_2$ ,  $\nu_3$ , etc. hin, und bezeichne alle sich auf diese

unbekannten Größen beziehenden Hilfsgrößen diesen analog. Es sollen aber jetzt  $W=f'$ ,  $W'=g'$ ,  $W''=h'$ , etc. die Werte der Gleichungen  $W=0$ ,  $W'=0$ ,  $W''=0$  etc. seyn, wenn darin  $(v)$ ,  $(v')$ ,  $(v'')$  etc. für  $v$ ,  $v'$ ,  $v''$ , etc. und  $(v_1)$ ,  $(v_{11})$ ,  $(v_{111})$  etc.

$$\begin{aligned} q &= q_1\mu + q_{11}\mu' + q_{111}\mu'' + \text{etc.}; & q' &= q'_1v + q'_{11}v' + q'_{111}v'' + \text{etc.}; \\ r &= r_1\mu + r_{11}\mu' + r_{111}\mu'' + \text{etc.}; & r' &= r'_1v + r'_{11}v' + r'_{111}v'' + \text{etc.}; \\ s &= s_1\mu + s_{11}\mu' + s_{111}\mu'' + \text{etc.}; & s' &= s'_1v + s'_{11}v' + s'_{111}v'' + \text{etc.}; \end{aligned}$$

und alsdann berechne man die Größen  $a$ ,  $a'$ ,  $a''$ , etc.  $b$ ,  $b'$ ,  $b''$ , etc.  $c$ ,  $c'$ ,  $c''$ , etc.  $n$ ,  $n'$ ,  $n''$ , etc. aus folgenden Gleichungen  
 $a = a_1 - b_1\mu - c_1\mu' - d_1\mu'' - \text{etc.};$   $b = b_1 - b'_1v - c'_1v' - d'_1v'' - \text{etc.};$   $c = c_1 - b_1\mu - c_1\mu' - d_1\mu'' - \text{etc.};$   $n = 1 - b_1\mu - c_1\mu' - d_1\mu'' - \text{etc.};$   
 $a' = a'_1 - b'_1\mu' - c'_1\mu'' - d'_1\mu''' - \text{etc.};$   $b' = b'_1 - b''_1v' - c''_1v'' - d''_1v''' - \text{etc.};$   $c' = c'_1 - b_1\mu - c_1\mu' - d_1\mu'' - \text{etc.};$   $n' = 1 - b_1\mu - c_1\mu' - d_1\mu'' - \text{etc.};$   
 $a'' = a''_1 - b''_1\mu'' - c''_1\mu''' - d''_1\mu^{(4)} - \text{etc.};$   $b'' = b''_1 - b'''_1v'' - c'''_1v''' - d'''_1v^{(4)} - \text{etc.};$   $c'' = c''_1 - b_1\mu - c_1\mu' - d_1\mu'' - \text{etc.};$   $n'' = 1 - b_1\mu - c_1\mu' - d_1\mu'' - \text{etc.};$

und berechne ferner

$$\begin{aligned} (aa) &= p a^2 + p' a'^2 + p'' a''^2 + \text{etc.} \\ (ab) &= p a b + p' a' b' + p'' a'' b'' + \text{etc.} \\ (ac) &= p a c + p' a' c' + p'' a'' c'' + \text{etc.} \end{aligned}$$

$$\begin{aligned} (an) &= p a n + p' a' n' + p'' a'' n'' + \text{etc.} \\ (bb) &= p b^2 + p' b'^2 + p'' b''^2 + \text{etc.} \\ (bc) &= p b c + p' b' c' + p'' b'' c'' + \text{etc.} \end{aligned}$$

$$\begin{aligned} (bn) &= p b n + p' b' n' + p'' b'' n'' + \text{etc.} \\ (cc) &= p c^2 + p' c'^2 + p'' c''^2 + \text{etc.} \\ (cn) &= p c n + p' c' n' + p'' c'' n'' + \text{etc.} \end{aligned}$$

$$\begin{aligned} (bb, 1) &= (bb) - \frac{(ab)^2}{(aa)} \\ (bc, 1) &= (bc) - \frac{(ab)(ac)}{(aa)} \\ (bn, 1) &= (bn) - \frac{(ab)(an)}{(aa)} \\ (cc, 2) &= (cc) - \frac{(ac)^2}{(aa)} - \frac{(bc, 1)^2}{(bb, 1)} \\ (cn, 2) &= (cn) - \frac{(ac)(an)}{(aa)} - \frac{(bc, 1)(bn, 1)}{(bb, 1)} \end{aligned}$$

etc.

für  $v_1$ ,  $v_{11}$ ,  $v_{111}$ , etc. substituirt worden ist. Man bestimme nun zuerst die Größen  $\mu$ ,  $\mu'$ ,  $\mu''$ , etc.  $v$ ,  $v'$ ,  $v''$ , etc.  $p$ ,  $p'$ ,  $p''$ , etc.  $\zeta$ ,  $\zeta'$ ,  $\zeta''$ , etc. aus folgenden Gleichungen

$$\begin{aligned} q &= q_1p + q_{11}p' + q_{111}p'' + \text{etc.}, & f &= q_1\zeta + q_{11}\zeta' + q_{111}\zeta'' + \text{etc.} \\ r &= r_1p + r_{11}p' + r_{111}p'' + \text{etc.}, & g' &= r_1\zeta + r_{11}\zeta' + r_{111}\zeta'' + \text{etc.} \\ s &= s_1p + s_{11}p' + s_{111}p'' + \text{etc.}, & h' &= s_1\zeta + s_{11}\zeta' + s_{111}\zeta'' + \text{etc.} \end{aligned}$$

Dann ist

$$\begin{aligned} x &= \frac{(an)}{(aa)} - \frac{(ab)}{(aa)} x' - \frac{(ac)}{(aa)} x'' - \text{etc.} \\ x' &= \frac{(bn, 1)}{(bb, 1)} - \frac{(bc, 1)}{(bb, 1)} x'' - \text{etc.} \\ x'' &= \frac{(cn, 2)}{(cc, 2)} - \text{etc.} \end{aligned}$$

und

$$\begin{aligned} x_1 &= -\zeta - \mu x - v x' - p x'' - \text{etc.} \\ x_{11} &= -\zeta' - \mu' x - v' x' - p' x'' - \text{etc.} \\ x_{111} &= -\zeta'' - \mu'' x - v'' x' - p'' x'' - \text{etc.} \end{aligned}$$

Die Gewichte können durch die Formeln der ersten Auflösung berechnet werden, wenn man darin alles, was sich auf die Gleichungen  $W=0$ ,  $W'=0$ ,  $W''=0$ , etc. bezieht, weglässt. Die Auswahl der in dieser Auflösung verschiedenartig vorkommenden Größen ist zuweilen willkürlich, zuweilen aber nicht. Wenn die Auswahl nicht willkürlich ist, dann müssen für  $v$ ,  $v'$ ,  $v''$ , etc. die unbekannten Größen gewählt werden, die vermöge der Beschaffenheit der Gleichungen  $W=0$ ,  $W'=0$ ,  $W''=0$ , etc. von einander unabhängig sind. Man findet leicht den Beweis dieser Auflösung, wenn man mehr in Nr. 202 u. f. der Astr. Nachr. publicirte Abhandlung durchgeht.

(Der Beschluss folgt.)

## Inhalt.

Ueber die Summation der Progressionen. Von Herrn Geheimen Rath und Ritter Bessel. p. 1.

Sternbedeckung beobachtet auf der Göttinger Sternwarte. p. 5.

Auszug aus zwei Briefen des Herrn Professors und Ritters Encke, Directors der Berliner Sternwarte, an den Herausgeber. p. 5.

Auflösung einer allgemeinen Aufgabe aus der Wahrscheinlichkeitsrechnung. Von Herrn Professor und Ritter Hansen, Director der Seeberger Sternwarte. p. 5.

Auszug aus einem Schreiben des Herrn Pfarrers *Hülsmann* in Elberfeld an den Herausgeber.

Elberfeld 1838. Juli 24.

In vorigen und diesem Jahre habe ich mich zuweilen damit beschäftigt, die geographische Lage meines Wohnorts durch astronomische Beobachtungen zu bestimmen; vielleicht ist die Mittheilung derselben nicht ohne einiges Interesse. Aus Circummeridianhöhen, welche mit einem 6zölligen Spiegelsextanten (von *Breithaupt* in Cassel) vom aufgeklippten Quecksilberhorizont genommen wurden, fand ich die Polhöhe meiner Wohnung:

		51° 15' 35" 08	Zahl d. Höhen.
1837	Aug. 21	44,04	6
	Oct. 12	26,50	9
	— 13	33,19	6
	Nov. 2	44,70	6
	— 25	36,70	10
	— 26	39,50	5
	Dec. 9	37,80	26

Das Mittel aus allen Höhen 51° 15' 37" 13

Weil die Uebereinstimmung der einzelnen Beobachtungen nicht befriedigte, versuchte ich die Polhöhe auch aus mehreren vor- und nachmittägigen Höhen der Sonne zu bestimmen, welche ich anfangs nach der Methode von *Danvers*, dann aber mittelst einer indirecten Methode unter Annahme einer geäußerten Polhöhe berechnet. Sind nämlich  $s$  die mit dieser ungefähren Polhöhe  $\phi'$  aus den Höhen  $h$   $h'$  berechneten Stundenwinkel, so berechnet man bloß in Minuten

$$\sin a = \frac{\cos \delta \sin s}{\cos h}; \quad \sin a' = \frac{\cos \delta' \sin s'}{\cos h'}, \quad \text{wo } \delta \text{ die Declination der } \odot \text{ ist}$$

$$A = \frac{\cot g a}{\cos \phi}; \quad A' = \frac{\cot g a'}{\cos \phi'} \quad d\phi = \frac{(s-s') - (i-i')}{A-A'}$$

wo  $i-i'$  die Zwischenzeit der Beobachtungen in wahrer Sonnenzeit und in Bogen ausgedrückt ist.

Das richtige  $\phi$  ist dann  $\phi' + d\phi$ .  $a$  und  $s$  sind östlich negativ zu nehmen.

Hat man mehrere Beobachtungen Vor- und Nachmittags gemacht, so nimmt man aus den einzelnen berechneten Stundenwinkeln, so wie aus den Höhen und Zeiten und Declinationen das Mittel und berechnet damit  $A$  uml  $A'$ .

My B.L.

Auf solche Weise fand ich die Polhöhe meiner Wohnung 1837 am 7<sup>ten</sup> Dec. aus 3 vormittägigen und 3 nachmittägigen Höhen, von welchen jede das Mittel aus 7 bis 11 Höhen war..... = 51° 15' 36" 91

1838 am 9<sup>ten</sup> Jan. aus 2 vor- u. 2 nachmitt. Höhen 36,0

13<sup>ten</sup> Jan. aus 2 vor- u. 2 nachmitt. Höhen 42,3

18<sup>ten</sup> Jan. aus 3 vor- u. 2 nachmitt. Höhen 84,5

Mittel aus allen Beobachtungen 51° 15' 37" 42

Bei Bestimmungen der Höhen wurde meist der obere Sonnenrand gemessen, auf Refraction, nach dem Thermometer und Barometer corrigirt, gehörig Rücksicht genommen und der Indexfehler des Instruments jedesmal vor oder nach den Beobachtungen mittelst der Sonne bestimmt.

Ganz kürzlich habe ich den Versuch gemacht, die Polhöhe ohne alle Höhenmessung, bloß durch die Zeit zu bestimmen. Das Resultat dieser Versuche hat mich durch die Uebereinstimmung derselben unter sich und mit den auf anderen Wegen erhaltenen überrascht; ich erlaube mir daher, das Detail dieser Beobachtungen etwas ausführlicher mitzutheilen. Die Methode besteht darin, daß man sich zunächst durch correspondirende Sonnenhöhen seiner Zeit und des Gauges der Uhr möglichst genau versichert, das Instrument auf eine willkürliche Höhe, die nicht bekannt zu seyn braucht, unverrückt befestigt und dann die Zeit abwartet, wo zwei Gestirne, deren Azimuth ungefähr um 90° verschieden ist, diese Höhe erreichen. Aus dem bekannten Stand und Gang der Uhr und der Beobachtungszeit findet man dann die Stundenwinkel  $s$  und  $s'$ ; die Declinationen  $\delta$  und  $\delta'$  der Gestirne und deren Rectascensionen werden als bekannt angenommen. Setzt man dann

$$m = \frac{s'-s}{2}; \quad n = \frac{s'+s}{2}; \quad f = \frac{\delta'-\delta}{2}; \quad g = \frac{\delta'+\delta}{2}$$

$$M \sin N = \sin m \cdot \cot g f \quad O = n - N$$

$$M \cos N = \cos m \cdot \tan g$$

so hat man

$$\tan g \phi = M \cos O.$$

Differenzirt man die Gleichungen, aus welchen jene Formeln hergeleitet sind, nämlich:

$$\sin h = \cos \phi \cos \delta \cos s + \sin \phi \sin \delta$$

$$\sin h' = \cos \phi \cos \delta' \cos s' + \sin \phi \sin \delta'$$

2

mit Beziehung auf  $\phi$  und  $\alpha$ , so findet man leicht, wenn  $a$  und  $a'$  die Azimuthe sind,

$$d\phi = \frac{(ds - ds') \cos \phi \cdot \sin \alpha \sin \alpha'}{\sin (a - a')}$$

woraus erhellet, daß man nur solche Gestirne wählen muß, bei welchen  $a - a'$  nicht zu klein ist und am besten solche wählt, bei welchen  $a - a' = 90^\circ$ , also  $\sin (a - a') = 1$  ist. Zu Beobachtungen dieser Art bediente ich mich nicht des Sextanten, weil das Fernrohr desselben zu lichtschwach ist, sondern eines vortreflichen *Fraunhofer'schen* Tubus von 4 Fuß Brennweite und 37 Linien Oeffnung, welches Instrument Sterne erster und zweiter Größe zu allen Zeiten des Tages und selbst Sterne der dritten Größe am nördlichen Himmel bei hellem Sonnenschein zeigt. Auf dem Fuße des Stativs ist ein Azimutalkreis, dessen Nonius 2 Minuten angiebt, angebracht; auf der zur sanften Vertikalbewegung dienenden Triebstange ist eine, auf trigonometrischer Rechnung beruhende Theilung eingeschnitten, vermöge welcher man das Instrument auf eine beliebige Höhe bis auf 2 bis 3 Minuten genau stellen kann, eine Genauigkeit, die hinreichend ist, um einen Stern, dessen Höhe und Azimut man für eine gewisse Zeit berechnet hat, bei Tage in das Gesichtsfeld zu bringen. Die Stüle des Stativs, welches auf einem soliden Untergestell mit 3 Stellschrauben ruht, wird mittelst einer empfindlichen Röhrenlibelle, die ich von *Ertel* in München erhalten, genau vertikal gestellt. Zur Vervielfältigung der Beobachtungen habe ich in den Brenn-

punkt des am wenigsten (64mal) vergrößerten Oculars einen vertikalen und sieben horizontale Spinnfäden eingezozen; jedesmal wurde der Antritt des Sterns, so wie des obern und untern Sonnenrandes an allen sieben Fäden beobachtet und aus diesen sieben, respective 14 Beobachtungen das Mittel genommen. Das Instrument wurde bei allen Beobachtungen auf dieselbe Höhe, die aus den correspondirenden Sonnenhöhen zu  $35^\circ 16'4''$  (von Refraction und Parallaxe der Sonne affectirt) berechnet wurde, gestellt und auf dieser Höhe so befestigt, daß keine Verrückung, auch nicht die geringste, entstehen konnte. Zur Bestimmung der Polhöhe wählte ich außer der Sonne, die Vor- und Nachmittags beobachtet wurde, die drei Fundamentalsterne  $\alpha$  Bootis,  $\alpha$  Lyrae und  $\alpha$  Cephei, welche nach Berechnung des Azimuths und des Stundenwinkels für die Höhe von  $35^\circ 16'4''$  ohne Mühe bei Tage aufgefunden wurden. Da der Unterschied des Azimuths von  $\alpha$  Bootis und  $\alpha$  Lyrae aber zu gering war, so wurden bei Berechnung der Polhöhen bloß die Beobachtungen von  $\alpha$  Bootis,  $\alpha$  Cephei (bei welchen  $a - a'$  ungefähr  $70^\circ$  beträgt,) und von  $\alpha$  Cephei und der Sonne (wo  $(a - a')$  ungefähr  $60^\circ$  ist) benutzt. Die bei den Beobachtungen gebrauchte Uhr ist eine Pendeluhr mit hülfsernem Sekundenpendel und freiem Echappement, welche 6 Wochen in einem Aufzuge fortgeht und von ihrem mittleren täglichen Gange nur bei großem Temperaturwechsel mehr als 1 Secunde abweicht. Die Beobachtungen sind fol-

Sonne.		Sonne.		$\alpha$ Bootis.		$\alpha$ Lyrae.		$\alpha$ Cephei	
Jul. 9.	$20^h 0' 48'' 72$	Jul. 12.	$20^h 3' 0'' 51$	Jul. 10.	$3^h 3' 4'' 80$	Jul. 10.	$6^h 0' 59'' 76$	Jul. 10.	$6^h 33' 19'' 29$
10.	$4 7 59,98$	13.	$4 6 21,44$	11.	$2 59 5,29$	11.	$5 57 2,33$	11.	$6 29 22,10$
10.	$20 1 30,79$	13.	$20 3 48,99$	12.	$2 55 7,63$	12.	$5 53 3,68$	12.	$6 25 23,33$
11.	$20 2 14,97$	16.	$4 19,58$	13.	$2 51 59,14$			13.	$6 21 26,59$
12.	$4 6 57,47$	16.	$20 6 15,40$					16.	$6 9 30,70$

Die angegebenen Zeiten sind die Uhrzeiten; die Uhr ist auf mittl. Zeit regulirt.

Aus den Sonnenbeobachtungen ergab sich der Stand und Gang der Uhr, wonach, unter Berücksichtigung der Zeitgleichung und des Mittagsunterschieds von Berlin ( $= 24'9''$ ), die Uhrzeiten bei der Sonne in wahre Sonnenzeit und bei den Sternen

in wahre Sternzeit verwandelt, und somit die Stundenwinkel bestimmt wurden. Die scheinbaren Oerter der Sterne wurden aus *Encke's* Jahrbuch genommen. Es ergaben sich folgende Stundenwinkel (östlich positiv) und Declinationen:

Stunden v. d. Sonne.		Decl. d. Sonne.		Stunden v. $\alpha$ Bootis.		Decl. $\alpha$ Bootis.		Stunden v. $\alpha$ Cephei.		Decl. $\alpha$ Cephei.	
Jul. 10.	$-60^\circ 52' 8'' 55$		$22^\circ 16' 12'' 7$	Jul. 10.	$+58^\circ 8' 16'' 20$		$20^\circ 1' 38'' 76$	Jul. 10.	$+112^\circ 2' 32'' 10$		$61^\circ 53' 55'' 55$
11.	$+60 36 42,75$		$22 3 10,6$	11.	$38,25$		$38,81$	11.	$22,65$		$55,80$
12.	$-60 33 22,95$		$22 0 24,4$	12.	$38,40$		$38,87$	12.	$38,85$		$56,28$
12.	$+60 26 39,60$		$21 54 48,5$	13.	$57,90$		$38,93$	13.	$16,95$		$56,59$
13.	$-60 23 9,80$		$21 51 52,8$					16.	$21,30$		$57,73$
13.	$+60 16 3,70$		$21 46 3,7$								
16.	$-59 49 54,91$		$21 24 11,9$								
16.	$+59 41 46,35$		$21 17 35,5$								

NB. Zu diesen Stundenwinkeln muß, wenn sie mit den Stundenwinkeln der Sterne in Rechnung genommen werden, wegen der Parallaxe der Sonne noch eine Verbesserung  $ds = \frac{\pi \cos h^2}{\sin \alpha \cos \phi \cdot \cos \delta}$  wo  $\pi$  die Horizontalparallaxe der Sonne bedeutet, hinzunehmen.

Diese Verbesserung beträgt bei den 6 ersten Stundenwinkeln  $11''25$ , bei den beiden letzten  $11''11$ .

Nach den obigen Formeln erhält man die Polhöhe, wie folgt:

Aus  $\alpha$  Bootis und  $\alpha$  Cephei.

Jul. 10.	$51^{\circ}15'51''0$
— 11.	37,1
— 12.	40,4
— 13.	22,7

Mittel  $51^{\circ}15'37''8$

Aus der Sonne und  $\alpha$  Cephei.

Jul. 10.	$51^{\circ}15'33''9$
— 11.	35,8
— 12.	43,6
— 12.	39,7
— 13.	37,8
— 13.	38,3
— 16.	34,6
— 16.	35,2

Mittel  $51^{\circ}15'37''36$

Aus ähnlichen Beobachtungen am 14<sup>ten</sup> Jan. aus den Stundenwinkeln der Sonne und  $\alpha$  Lyrae

$$\varphi = 51^{\circ}15'35''7.$$

Am 7<sup>ten</sup> Juli aus  $\alpha$  Lyrae und  $\alpha$  Cephei

$$\varphi = 51^{\circ}15'37''1.$$

Bekanntlich kann man nach der von Gauss vorgeschlagenen Methode (*Zach's Correspondenz* Bd. XVIII. S. 277—293) auch ohne Kenntniss des Standes der Uhr aus der beobachteten gleichen Höhe dreier Sterne die Polhöhe und den Stand der Uhr bestimmen. Wendet man diese Methode auf die am 10<sup>ten</sup> Jul. beobachteten Höhen von  $\alpha$  Bootis,  $\alpha$  Lyrae und  $\alpha$  Cephei an, deren mit dem Fehler der Uhr behafteten, bloß nach dem täglichen Gang der Uhr verbesserten Stundenwinkel der Reihe nach sind:

$$\alpha \text{ Bootis } s = 58^{\circ}14'13''8$$

$$\alpha \text{ Lyrae } s' = 79^{\circ}25'58''6$$

$$\alpha \text{ Cephei } s'' = 112^{\circ}8'29''9$$

so findet man die Polhöhe =  $51^{\circ}15'38''05$  und den Fehler der Uhr =  $+20''6$ .

Die Uebereinstimmung aller dieser Resultate scheint mir zu beweisen, daß diese Methode eine größere Schärfe gewährt, als man mit Sextanten erlangen kann, und da, wo man keine guten Höhenmesser hat, oder kein Passagen-Instrument in der Richtung von West nach Ost aufstellen kann, mit Vorteil anzuwenden seyn dürfte. Bei zweckmäßiger Auswahl der zu beobachtenden Sterne und Vervielfältigung der Beobachtungen wird man die Polhöhe bis auf einige Secunden genau bestimmen können, und dies möchte bei einem Sextanten wohl nur durch eine große Reihe von Beobachtungen zu erreichen seyn.

Zur Bestimmung der Länge von Elberfeld habe ich in diesem Winter 3 Sternbedeckungen vom Monde beobachtet und solche nach den Formeln von Bessel (Astr. Nachr. Nr. 151) berechnet. Es sind dies folgende:

Jan. 8. 136 C Tauri Eintritt am dunkeln Mondrand,  
 $8^h45'23''9$  mittl. Elberfelder Zeit =  $s$   
=  $3\ 57\ 6,94$  Sternzeit.

Febr. 4. 136 Aurigae Eintritt am dunkeln Mondrand,  
 $7^h15'36''7$  mittl. Elberfelder Zeit =  $t$   
=  $4\ 13\ 32,06$  Sternzeit.

— 7.  $\lambda$  Cancri Eintritt am dunkeln Mondrand,  
 $6^h59'20''7$  mittl. Elberfelder Zeit =  $t$   
=  $4\ 9\ 3,048$  Sternzeit.

Bei der Berechnung habe ich die Polhöhe zu  $51^{\circ}15'36''$  und die Abplattung der Erde  $\frac{1}{305,78}$  angenommen, woraus sich ergab:  
 $L. r \cos \varphi' = 9,7972996$ ;  $L. r \sin \varphi' = 9,8900906$ .

Die Hauptmomente der Rechnung sind folgende:

1) Bedeckung von 136 C Tauri.

$$\begin{array}{ll} \text{Mittl. AR.} = 85^{\circ}47'9'' & \text{Mittl. Decl.} = +27^{\circ}33'58'' \\ \text{Praec. Aberr. Nut.} + 18,54 & + 9,25 \\ \text{Scheinb. AR. } 85^{\circ}47'27''54 & + 27^{\circ}34'7''25. \end{array}$$

Für den Mond findet man mittelst Interpolation aus dem Berliner Jahrbuch:

M. Berl. Zt.	$\alpha$	$\delta$	$\pi$
8	$84^{\circ}31'15''7$	$+27^{\circ}58'29''2$	$55^{\circ}41'2$
9	85 6 53,0	28 0 40,5	40,0
10	85 42 27,5	28 2 42,8	38,9

und hieraus nach den Formeln von Bessel:

$$\begin{array}{ll} P & Q \\ -1,2075934 & +0,4438045 \\ -0,6435197 & +0,4788300 \\ -0,0793029 & +0,5138429 \end{array}$$

Sternzeit in Bogen =  $59^{\circ}16'44''1$ ; daraus  $u = -0,2799045$ ;  
 $v = 0,4285670$ .

Für 9 Uhr Berliner mittlere Zeit =  $T$  hat man

$$\begin{array}{ll} p-u = m \sin M = -0,3636152, & p' = m \sin N = 0,5641450 \\ q-v = m \cos M = 0,0502630, & q' = m \cos N = 0,0350192 \\ M = 270^{\circ}52'12''1; & N = 86^{\circ}26'52''6 \\ \log m = 9,564751, & \log n = 9,752226 \\ \psi = 105^{\circ}28'18''3 & M-N-\psi = 85^{\circ}57'1''2 \end{array}$$

$$\begin{array}{ll} L \cos(M-N-\psi) = 8,848935 & t = 8^h45'23''9 \\ L m = 9,564751 & T' = u \\ L 60 = 1,778151 & s-T = -14'36''1 \\ c. L. n. \cos \psi = 0,821648n & d-(t-T) = -10\ 18,92 \\ L d-(t-T) = 1,013485n & d = -24'55''02 \\ d-(t-T) = -10'18''92 & +1,7087 \Delta \alpha \\ & -0,3994 \Delta \delta \end{array}$$

## 2) Bedeckung von 136 Aurigae.

Scheinb. AR. =  $81^{\circ}26'44''.598$ . Scheinb. Decl. =  $27^{\circ}33'13''.881$ .Man findet  $u = -0,1944146$ ;  $v = 0,4125772$ für 7<sup>h</sup> 40' M. Berl. Zt.  $\begin{cases} p = -0,4640555; & q = 0,3470089 \\ p' = 0,5596523; & q' = 0,0526302 \end{cases}$ 

Damit findet man

$$d - (t - T) = -32^{\circ}34'; \quad t - T = -24^{\circ}23'3''$$

$$d = -24^{\circ}55'64'' + 1,5632 \Delta x + 0,4629 \Delta t.$$

3) Bedeckung von  $\lambda$  Cancri.Scheinb. AR. =  $122^{\circ}43'48''.95$ . Scheinb. Decl. =  $+24^{\circ}31'39''.313$  $u = -0,545575$ ;  $v = 0,578040$ ;für 7<sup>h</sup> 40' M. Berl. Zt.  $\begin{cases} p = -0,936727; & p' = 0,537069 \\ q = 0,842780; & q' = -0,131365 \end{cases}$ 

Damit findet man

$$d - (t - T) = -24^{\circ}27'6''; \quad t - T = -39^{\circ}3'';$$

$$d = -25^{\circ}6'9'' + 1,889 \Delta x - 2,563 \Delta t.$$

Die Bedeckungen wurden mit einem 4füßigen Fraunhofer, unter Anwendung des Kreismikrometers als Ocular, welches nur circa 40mal vergrößert und ungemein lichtstark ist, beobachtet. Die beiden ersten Beobachtungen sind bis auf  $\frac{1}{2}$  Secunde sicher; bei der letzten wurde der Stern, als er dem Mondo sehr nahe kam, so lichtschwach, daß die Beobachtung um 2 bis 3 Sekunden unsicher ist. Die Zeitbestimmung beruht auf vielen correspondirenden Sonnenböhen und ist bis auf  $\frac{1}{2}$  Secunde sicher.

Das um 11<sup>h</sup> abweichende Resultat der letzten Beobachtung hat seinen Grund wohl theils in der Fehlerhaftigkeit der

Beobachtung selbst, theils in der Unrichtigkeit des aus *Encke's* Jahrbuch angenommenen Sternorts und Mondorts, da Herr Prof. *Encke* selbst (Astr. Jahrb. für 1830 S. 256) sagt, daß bei den neuesten Mondstafeln noch Fehler von 10'' in Länge rorkäme, und die Oerter der kleinen Sterne in seinen Angaben noch hin und wieder um 5'' irrig seyn könnten. Das einzige Sternverzeichniß, welches ich habe, ist das *Bode'sche*; dieses weicht aber in seinen Angaben von denen des Berliner Jahrbuchs oft sehr ab. Die letzte Beobachtung ist auch, wegen ihrer Unsicherheit nur mit 5stelligen Logarithmen berechnet.

Zur Interpolation der Mondörter habe ich eine logarithmische Interpolationstafel, wie sie *Bessel* (Astr. Nachr. Nr. 151 S. 128 in der Anmerkung) wünscht, von 10 zu 10 Minuten berechnet.

Beiläufig bemerke ich, daß sich im Berliner Jahrbuch für 1838 S. 261 ein Druckfehler findet; es muß nämlich in der 4<sup>ten</sup> Zeile von oben  $v' = \alpha \sin d$ , statt  $v' = \lambda \sin d$  heißen.

Sollten Ihnen zu den obigen Sternbedeckungen correspondirende bekannt geworden seyn, so würden Sie mich durch deren Mittheilung sehr verbinden; ich würde dann die unbestimmten Größen  $\Delta x$  und  $\Delta t$  bestimmen können.

Hinsichtlich der Lage meiner Wohnung bemerke ich, daß aoihe 62 Rheinl. Ruthen nördlich und 117 Rheinl. Ruthen östlich vom reformirten Pfarrthurne liegt, welches einem Unterschied von 10<sup>h</sup> 08 in Breite und einem Unterschied von 30<sup>h</sup> 11 = 2<sup>h</sup> 02 (in Zeit) in Länge entspricht.

Hülsmann,

Evang. Pfarrer und Schullehrer.

## Ein Beitrag zur Auflösung der Aufgabe Zeit und Polhöhe zugleich zu bestimmen.

Von Dr. R. A. Brestel,

Assistenten an der Wiener k. k. Sternwarte.

Da die, bei dieser Aufgabe nothwendige Auflösung dreier sphärischer Dreiecke sehr zeitraubend ist, so hat man, theils durch indirecte Methoden, theils durch zweckmäßige Auswahl der Beobachtungen, die Rechnung einigermaßen abzukürzen versucht.

Einen beträchtlichen Vortheil dieser Art, der bis jetzt wenig beachtet worden zu seyn scheint, erhält man durch Beobachtung der beiden Gestirne in gleichen Stundenwinkeln; ein Fall, den herbeizuführen immer in der Gewalt des Beobachters steht, da er nur zwischen der ersten und zweiten Beobachtung so viel Zeit verstreichen lassen darf, daß die Zwischenzeit der Beobachtungen und die Differenz der Rectascensionen beider Gestirne einander gleich werden.

Alsdann hat man, wenn wir durch  $s$  und  $s'$  die Zenithdistanzen, durch  $p$  und  $p'$  die Poldistanzen der beiden Gestirne,

durch  $z$  den gemeinschaftlichen Stundenwinkel und durch  $\psi$  die Aequatorsböhe bezeichnen wollen, bekanntlich folgende zwei Gleichungen:

$$\begin{aligned} \cos z &= \cos p \cos \psi + \sin p \sin \psi \cos s \\ \cos z' &= \cos p' \cos \psi + \sin p' \sin \psi \cos s' \end{aligned} \dots\dots (1)$$

Multiplirt man die erste Gleichung mit  $\sin p'$ , die zweite mit  $\sin p$  und zieht die zweite von der ersten ab, so erhält man für  $\cos \psi$  folgende Gleichung:

$$\cos \psi = \frac{\cos z \sin p' - \cos z' \sin p}{\sin p' - p} \dots\dots (2)$$

Bei der numerischen Berechnung des Werthes von  $\psi$  kann man sich entweder der *Gauß'schen* Logarithmen bedienen, was für den damit Vertrauten immer das Vortheilhafteste seyn wird oder man kann durch Einführung von Hilfsgrößen die Form





wobei ebenfalls ersichtlich ist, daß es am zweckmäßigsten seyn wird, einen Stern in der Nähe des Pols, und den andern in der Nähe des Aequators zu wählen.

Mit Hülfe dieser Methode ist man im Stande, bloß mittelst eines Sextanten, ohne Beihülfe einer Uhr, die Polhöhe eines Ortes leicht zu bestimmen. Zu diesem Zwecke beobachtet man rasch hintereinander die Höhen zweier Sterne, die nahe gleiche Rectascensionen haben, und deren einer sich in der Nähe des Pols befindet. Da dieser letztere seine Höhe sehr langsam ändert, so wird man die Beobachtungen als gleichzeitig, also die geringe Differenz der beiden Stunden-

winkel als bekannt ansehen, und daher die Polhöhe mittelst der obigen Formeln berechnen können. Will man aber den kleinen Fehler, der aus dieser Annahme hervorgehen könnte, auch noch vermeiden, so kann man die Höhe des einen Sterns zweimal, einmal vor- und das andere mal nach der Beobachtung des zweiten Sterns nehmen, und das Mittel dieser beiden Höhen, als zur Zeit der Beobachtung des zweiten Sterns gehörig betrachten; der Fehler, den man dabei begeht, wird immer kleiner ausfallen, als der wahrscheinliche Beobachtungsfehler.

Dr. Brestel.

### Auflösung einer allgemeinen Aufgabe aus der Wahrscheinlichkeitsrechnung. (Beschluss.)

Von Herrn Professor und Ritter Hansen,  
Director der Seeburger Sternwarte.

#### Z u s a t z.

Ich werde bei dieser Gelegenheit einen allgemeineren Fall, den ich mehrmals Gelegenheit gehabt habe anzuwenden, in allgemeinen Ausdrücken andeuten. Sey in den Functionen  $F, F^{(n)}$  etc. außer den Größen  $v, v', v'',$  etc. die unbekannte Größe  $w$ , in den Functionen  $F', F^{(n)}$  etc. die unbekannte Größe  $w'$ , in den Functionen  $F'', F^{(n)}$  etc. die unbekannte Größe  $w''$  vorhanden u. s. w. Seyen  $(w), (w'), (w'')$  etc. die genäherten Werthe von  $w, w', w'',$  etc. und  $(w) + u, (w') + u', (w'') + u''$  etc. die wahrscheinlichsten Werthe dieser Größen. Sey ferner, während die Bedingungsgleichung  $W = 0, W' = 0, W'' = 0,$  etc. nur die Größen  $v, v', v'',$  etc. enthalten, zwischen den Größen  $w, w', w'',$  etc. Eine Bedingungsgleichung  $U = 0$  vorhanden. Sey nun

$$\frac{dF}{dw} = \alpha, \quad \frac{dF^{(n)}}{dw} = \alpha^{(n)}, \text{ etc.}$$

$$\frac{dF'}{dw'} = \beta, \quad \frac{dF^{(n)'}}{dw'} = \beta^{(n)}, \text{ etc.}$$

$$\frac{dF''}{dw''} = \gamma, \quad \frac{dF^{(n)''}}{dw''} = \gamma^{(n)}, \text{ etc.}$$

ferner

$$\frac{dU}{dw} = H, \quad \frac{dU}{dw'} = I, \quad \frac{dU}{dw''} = K, \text{ etc.}$$

zufolge des Vorhergehenden sind die Differentialquotienten

$$(\alpha x) u + (\alpha a) x + (\alpha b) x' + (\alpha c) x'' + \text{etc.} = (\alpha f) - Hf$$

$$(\beta x) u' + (\beta a) x + (\beta b) x' + (\beta c) x'' + \text{etc.} = (\beta f) - If$$

$$(\gamma x) u'' + (\gamma a) x + (\gamma b) x' + (\gamma c) x'' + \text{etc.} = (\gamma f) - Kf$$

$$(\alpha a) x + (\alpha b) x' + (\alpha c) x'' + \text{etc.} + (\alpha a) u + (\beta a) u' + (\gamma a) u'' + \text{etc.} = (\alpha f) - g\varphi - r\chi - s\psi - \text{etc.}$$

$$(\alpha b) x + (\alpha b) x' + (\alpha c) x'' + \text{etc.} + (\alpha b) u + (\beta b) u' + (\gamma b) u'' + \text{etc.} = (\beta f) - g'\varphi - r'\chi - s'\psi - \text{etc.}$$

$$(\alpha c) x + (\alpha c) x' + (\alpha c) x'' + \text{etc.} + (\alpha c) u + (\beta c) u' + (\gamma c) u'' + \text{etc.} = (\gamma f) - g''\varphi - r''\chi - s''\psi - \text{etc.}$$

$\frac{dF}{dw}, \frac{dF'}{dw'}, \frac{dF''}{dw''},$  etc. etc. alle gleich Null. Sey aus den vorigen Bezeichnungen analog

$$(\alpha x) = p a^2 + p^{(n)} a^{(n)} + \text{etc.}$$

$$(\alpha a) = p a a + p^{(n)} a^{(n)} a^{(n)} + \text{etc.}$$

$$(\alpha b) = p a b + p^{(n)} a^{(n)} b^{(n)} + \text{etc.}$$

$$(\alpha f) = p a f + p^{(n)} a^{(n)} f^{(n)} + \text{etc.}$$

$$(\beta \beta) = p' \beta^2 + p^{(n)} \beta^{(n)} + \text{etc.}$$

$$(\beta a) = p' \beta a' + p^{(n)} \beta^{(n)} a^{(n)} + \text{etc.}$$

$$(\beta b) = p' \beta b' + p^{(n)} \beta^{(n)} b^{(n)} + \text{etc.}$$

$$(\beta f) = p' \beta f' + p^{(n)} \beta^{(n)} f^{(n)} + \text{etc.}$$

$$(\gamma \gamma) = p'' \gamma^2 + p^{(n)} \gamma^{(n)} + \text{etc.}$$

$$(\gamma a) = p'' \gamma a'' + p^{(n)} \gamma^{(n)} a^{(n)} + \text{etc.}$$

$$(\gamma b) = p'' \gamma b'' + p^{(n)} \gamma^{(n)} b^{(n)} + \text{etc.}$$

$$(\gamma f) = p'' \gamma f'' + p^{(n)} \gamma^{(n)} f^{(n)} + \text{etc.}$$

sonit führt die Aufgabe auf folgende Gleichungen

wo  $\theta$  eine unbekannte Größe ist, und übrigen die Buchstaben die nemliche Bedeutung haben, wie im Vorhergehenden. Nehmen wir nun noch an, daß nach der Substitution von  $(\omega)$ ,  $(\omega')$ ,  $(\omega'')$ , etc. statt  $\omega$ ,  $\omega'$ ,  $\omega''$ , etc. die Gleichung  $U=0$  in  $U=m$  übergeht, so haben wir die Gleichung

$$Hu + Iu' + Ku'' + \text{etc.} + m = 0.$$

In diesem Falle, wo in der ersten Abtheilung der vorstehenden Gleichungen  $(A)$  nur Eine Größe wie  $\theta$ , und überdies

$$\theta = \frac{m}{S} + \frac{1}{S} \left\{ H \frac{(a\alpha)}{(a\alpha)} + I \frac{(\beta\beta)}{(\beta\beta)} + K \frac{(\gamma\gamma)}{(\gamma\gamma)} + \text{etc.} \right\} - \frac{1}{S} \left\{ H \frac{(a\alpha)}{(a\alpha)} + I \frac{(\beta\beta)}{(\beta\beta)} + K \frac{(\gamma\gamma)}{(\gamma\gamma)} + \text{etc.} \right\} x' - \frac{1}{S} \left\{ H \frac{(a\alpha)}{(a\alpha)} + I \frac{(\beta\beta)}{(\beta\beta)} + K \frac{(\gamma\gamma)}{(\gamma\gamma)} + \text{etc.} \right\} x'' - \text{etc.}$$

machen,

$$S = \frac{H^2}{(a\alpha)} + \frac{I^2}{(\beta\beta)} + \frac{K^2}{(\gamma\gamma)} + \text{etc.}$$

und damit

$$\begin{aligned} (a\alpha)u &= -\frac{H}{S}m + \left\{ (a\alpha) - \frac{H}{S} \left[ H \frac{(a\alpha)}{(a\alpha)} + I \frac{(\beta\beta)}{(\beta\beta)} + K \frac{(\gamma\gamma)}{(\gamma\gamma)} + \text{etc.} \right] \right\} - \left\{ (a\alpha) - \frac{H}{S} \left[ H \frac{(a\alpha)}{(a\alpha)} + I \frac{(\beta\beta)}{(\beta\beta)} + K \frac{(\gamma\gamma)}{(\gamma\gamma)} + \text{etc.} \right] \right\} x' \\ &\quad - \left\{ (a\alpha) - \frac{H}{S} \left[ H \frac{(a\alpha)}{(a\alpha)} + I \frac{(\beta\beta)}{(\beta\beta)} + K \frac{(\gamma\gamma)}{(\gamma\gamma)} + \text{etc.} \right] \right\} x'' - \text{etc.} \\ (\beta\beta)u' &= -\frac{I}{S}m + \left\{ (\beta\beta) - \frac{I}{S} \left[ H \frac{(a\alpha)}{(a\alpha)} + I \frac{(\beta\beta)}{(\beta\beta)} + K \frac{(\gamma\gamma)}{(\gamma\gamma)} + \text{etc.} \right] \right\} - \left\{ (\beta\beta) - \frac{I}{S} \left[ H \frac{(a\alpha)}{(a\alpha)} + I \frac{(\beta\beta)}{(\beta\beta)} + K \frac{(\gamma\gamma)}{(\gamma\gamma)} + \text{etc.} \right] \right\} x' \\ &\quad - \left\{ (\beta\beta) - \frac{I}{S} \left[ H \frac{(a\alpha)}{(a\alpha)} + I \frac{(\beta\beta)}{(\beta\beta)} + K \frac{(\gamma\gamma)}{(\gamma\gamma)} + \text{etc.} \right] \right\} x'' - \text{etc.} \\ (\gamma\gamma)u'' &= -\frac{K}{S}m + \left\{ (\gamma\gamma) - \frac{K}{S} \left[ H \frac{(a\alpha)}{(a\alpha)} + I \frac{(\beta\beta)}{(\beta\beta)} + K \frac{(\gamma\gamma)}{(\gamma\gamma)} + \text{etc.} \right] \right\} - \left\{ (\gamma\gamma) - \frac{K}{S} \left[ H \frac{(a\alpha)}{(a\alpha)} + I \frac{(\beta\beta)}{(\beta\beta)} + K \frac{(\gamma\gamma)}{(\gamma\gamma)} + \text{etc.} \right] \right\} x' \\ &\quad - \left\{ (\gamma\gamma) - \frac{K}{S} \left[ H \frac{(a\alpha)}{(a\alpha)} + I \frac{(\beta\beta)}{(\beta\beta)} + K \frac{(\gamma\gamma)}{(\gamma\gamma)} + \text{etc.} \right] \right\} x'' - \text{etc.} \end{aligned}$$

Substituiert man diese Werthe von  $u$ ,  $u'$ ,  $u''$ , etc. in die zweite Abtheilung der obigen Gleichungen  $(A)$ , so ergibt sich

$$\begin{aligned} (A) \dots \dots \dots &\begin{cases} (AA)x + (AB)x' + (AC)x'' + \text{etc.} = (AL) - q\alpha - r\beta - s\gamma - \text{etc.} \\ (AB)x + (BB)x' + (BC)x'' + \text{etc.} = (BL) - q'\alpha - r'\beta - s'\gamma - \text{etc.} \\ (AC)x + (BC)x' + (CC)x'' + \text{etc.} = (CL) - q''\alpha - r''\beta - s''\gamma - \text{etc.} \end{cases} \end{aligned}$$

wo

$$\begin{aligned} (AA) &= (a\alpha) - \frac{(a\alpha)^2}{(a\alpha)} - \frac{(\beta\alpha)^2}{(\beta\beta)} - \frac{(\gamma\alpha)^2}{(\gamma\gamma)} - \text{etc.} + \frac{1}{S} \left[ H \frac{(a\alpha)}{(a\alpha)} + I \frac{(\beta\beta)}{(\beta\beta)} + K \frac{(\gamma\gamma)}{(\gamma\gamma)} + \text{etc.} \right]^2 \\ (AB) &= (a\alpha)(\beta\beta) - \frac{(a\alpha)(\beta\beta)}{(a\alpha)} - \frac{(\beta\alpha)(\beta\beta)}{(\beta\beta)} - \frac{(\gamma\alpha)(\gamma\beta)}{(\gamma\gamma)} - \text{etc.} + \frac{1}{S} \left[ H \frac{(a\alpha)}{(a\alpha)} + I \frac{(\beta\beta)}{(\beta\beta)} + K \frac{(\gamma\gamma)}{(\gamma\gamma)} + \text{etc.} \right] \left[ H \frac{(\beta\beta)}{(a\alpha)} + I \frac{(\beta\beta)}{(\beta\beta)} + K \frac{(\gamma\beta)}{(\gamma\gamma)} + \text{etc.} \right] \\ (BB) &= (b\beta) - \frac{(a\beta)^2}{(a\alpha)} - \frac{(\beta\beta)^2}{(\beta\beta)} - \frac{(\gamma\beta)^2}{(\gamma\gamma)} - \text{etc.} + \frac{1}{S} \left[ H \frac{(\beta\beta)}{(a\alpha)} + I \frac{(\beta\beta)}{(\beta\beta)} + K \frac{(\gamma\beta)}{(\gamma\gamma)} + \text{etc.} \right]^2 \\ (AL) &= (a\alpha) - \frac{(a\alpha)(a\alpha)}{(a\alpha)} - \frac{(\beta\alpha)(\beta\alpha)}{(\beta\beta)} - \frac{(\gamma\alpha)(\gamma\alpha)}{(\gamma\gamma)} - \text{etc.} + \frac{1}{S} \left[ H \frac{(a\alpha)}{(a\alpha)} + I \frac{(\beta\beta)}{(\beta\beta)} + K \frac{(\gamma\gamma)}{(\gamma\gamma)} + \text{etc.} \right] \left[ H \frac{(a\alpha)}{(a\alpha)} + I \frac{(\beta\beta)}{(\beta\beta)} + K \frac{(\gamma\gamma)}{(\gamma\gamma)} + \text{etc.} \right] \\ &\quad + \frac{1}{S} \left[ H \frac{(a\alpha)}{(a\alpha)} + I \frac{(\beta\beta)}{(\beta\beta)} + K \frac{(\gamma\gamma)}{(\gamma\gamma)} + \text{etc.} \right] m \end{aligned}$$

etc.

In die Gleichungen  $(B)$  aufzulösen, kann nun ohne Weiteres die erste Auflösung der vorhergehenden Aufgabe angewandt werden, wenn man in den dortigen Formeln allethalben beziehungsweise  $(AA)$ ,  $(AB)$ , etc.  $(AL)$ ,  $(BB)$  etc. etc. statt  $(a)$ ,  $(ab)$ , etc.  $(a)$ ,  $(bb)$ , etc. etc. schreibt. Auch die zweite

immer nur Eine der Größen  $u$ ,  $u'$ ,  $u''$ , etc. vorkommt, kann man leicht  $\theta$  eliminiren. Multipliciren wir die erste Gleichung mit  $\frac{H}{(a\alpha)}$ , die zweite mit  $\frac{I}{(\beta\beta)}$ , die dritte mit  $\frac{K}{(\gamma\gamma)}$  u. s. w. und addiren, dann haben wir in Folge der Bedingungsgleichung, und wenn wir zur Abkürzung

$$S = \frac{H^2}{(a\alpha)} + \frac{I^2}{(\beta\beta)} + \frac{K^2}{(\gamma\gamma)} + \text{etc.}$$

machen,

Auflösung kann durch ein Verfahren, welches jeder leicht wird finden können, für die Auflösung der Gleichungen  $(B)$  angewandt werden.

Die vorstehende Behandlung gewährt in vielen Fällen beträchtlichen Nutzen, und zwar vorzugsweise in den Fällen, wo

eine der Größen  $u, u', u'',$  etc. und  $x, x', x'',$  willkürlich ist. Alsdann kann man nemlich nach Belieben eine Bedingungsgleichung  $U = 0$  einführen und diese so wählen, daß nicht nur die vorstehenden Ausdrücke leicht zu berechnen sind, sondern auch die Größen  $(AB), (AC)$  etc.  $(BC)$  etc. in Beziehung auf die Größen  $(AA), (BB),$  etc. möglichst klein werden, wodurch die folgende Rechnung möglichst einfach wird.

Man kann überdies in solchen Fällen auch oft die Rechnung so einrichten, daß  $m = 0, (a) = 0, (b) = 0,$  etc., wodurch noch mehr Abkürzungen entstehen. Ich werde in der Folge die speciellen Fälle, in welchen die obige Behandlung nur Nutzen verschafft hat, näher bezeichnen und ausführen, für jetzt muß ich mich mit dieser kurzen Andeutung begnügen.

Hansen.

Schreiben des Herrn Ch. Rümker, Directors der Hamburger Sternwarte, an den Herausgeber.

Ich bin so frei Ihnen die folgenden Positionen einiger Doppelsterne mitzutheilen, welche beim Aufsuchen neuer Sterne ins Feld des Meridiankreises traten. Zwar habe ich seitdem bemerkt, daß mehrere davon schon von den Herren Herschel und Struve als solche erkannt sind, und namentlich der

2<sup>te</sup>  $\gamma$  Arctis, der 9<sup>te</sup>  $\beta$  Bootis, der 15<sup>te</sup> 2 Equulei und der 17<sup>te</sup>  $\zeta$  Aquarii. Indessen sind doch auch mehrere neue darunter und die genaueren Positionen der älteren möchten vielleicht noch einiges Interesse haben.

C. Rümker.

### Positionen von Doppelsternen.

Mittl. AR. Anfangs 1836	Jährl. Parallax.	<i>a</i>	<i>b</i>	<i>c</i>	<i>d</i>	Mittl. Decl. Anfangs 1836	Jährl. Parallax.	<i>a'</i>	<i>b'</i>	<i>c'</i>	<i>d'</i>
12 41 59.36	3,281	+8,8071	+8,4859	+0,5160	+8,3478	+20° 18' 11.65	+18,08	+9,4106	+9,4960	+1,2573	-9,5342
2 3 38.06	3,324	8,7855	8,5631	0,5216	8,3289	20 26 11.32	17,19	9,3526	9,4767	1,2353	9,7110
5 26 35.40	3,599	8,0166	8,8517	0,5562	7,5881	21 53 3.82	2,90	8,5302	8,7317	0,4622	9,9534
6 9 57.47	3,828	-7,5553	8,8842	0,5628	7,2492	29 38	0,87	-9,0658	-8,3645	-9,9725	9,9995
6 52 36.14	4,797	8,4018	9,0331	0,6809	8,3042	53 1	4,56	9,7133	9,2596	0,6594	9,9884
8 38 40.30	4,722	8,9065	8,9873	0,6741	8,8334	58 7 45.90	12,81	9,6274	9,7343	1,1076	9,8661
11 27 35.32	3,357	9,0838	8,2861	0,5260	9,0076	57 2 41.55	19,85	+9,0726	-9,9194	1,2976	9,1480
14 44 6.73	2,046	8,8881	-8,8275	3,3106	8,7685	49 23 53.90	15,12	9,8926	9,7580	1,1795	+9,8172
14 58 23.01	2,015	8,8534	8,8473	0,3043	8,7264	48 17 44.72	14,27	9,9100	9,7256	1,1544	9,8444
17 49 13.01	2,625	7,5183	8,8461	0,4191	7,0167	18 21 22.02	0,94	9,8613	8,1701	9,9736	9,9995
19 20						20 50 18.99					
19 30 40.50	2,643	+8,4341	8,5133	0,4221	+7,9468	18 39 34.20	+7,724	9,8517	+9,0983	+0,8878	9,9651
20 38 34.60	2,785	8,6445	8,7261	0,4450	8,0564	15 18 36.00	+12,79	9,7938	9,2268	1,1068	9,8863
20 50 53.92	2,791	8,6722	8,7066	0,4457	8,1072	15 48 20.40	+13,60	9,7908	9,2666	1,1335	9,8560
20 54 7.43	2,957	8,6648	8,6678	0,4708	7,7226	6 32 22.84	13,81	9,7112	8,8958	1,1359	9,8604
22 20 17.36	3,103	8,7823	8,4498	0,4918	-7,5718	-3 34 53.73	18,17	9,6095	-8,7534	1,2594	9,6250
22 20 23.19	3,078	8,7815	8,4482	0,4880	-6,9542	-0 51 23.84	18,18	9,6313	-8,1203	1,2595	9,6243
23 12 31.62	2,999	8,8279	8,1304	0,4769	+8,2160	+14 9 7.55	19,61	9,6732	+9,3788	1,2925	9,3131
23 57 19.62	3,064	8,8431	6,8979	0,4862	8,3074	16 55 37.12	20,04	9,6315	9,4643	1,5019	8,0548

### Verbesserungen in den Astr. Nachrichten Nr. 356 und 357.

S. 350. Z. 12 statt Masse	L. m. Massen	S. 355. Z. 15 fehlt $ds$ unter dem Integral.	S. 343. S. 26 statt (10)	L. m. (14)
- 333. - 8 - diese	- dieser	- 336. - 25 statt $aTc - T^2$ L. m. $aTc - T^4$	- 347. - 32 - Städten	- Statum
- 24 - woraus	- wovon	- 340. - 9 - $\log(r-r)$ L. m. $\log(r-r)$	- 351. - 3 v. u. st. $\frac{1}{2}$	- $\frac{1}{2}$
- 25 - 2k	- 2k	- 341. - 14 - eigener		
- 25 - 1	- i	- 342. - 18 - der		
- 335. - 9 - enthält	- erhält	- 343. - 2 - Physicus		

Tafel II lese man:  $\Delta r_g = \log \frac{(a+z)^2}{\sqrt{(b+b)}}$

Auszug aus einem Schreiben des Herrn Pfarrers Hülmann in Elberfeld an den Herausgeber. p. 17. — Ein Beitrag zur Auflösung der Aufgabe Zeit und Polhöhe zugleich zu bestimmen. Von Herrn Dr. Brödel, Assistenten an der Wiener L. K. Sternwarte. p. 17. — Auflösung einer allgemeinen Aufgabe aus der Wahrscheinlichkeitsrechnung (Beschluss.). Von Herrn Professor und Rector Hülmann Director der Seeburger Sternwarte. p. 27. — Schreiben des Herrn Rümker, Directors der Hamburger Sternwarte, an den Herausgeber. p. 31. — Verbesserungen in den A. N. Nr. 356 und 357. p. 31.

Altona 1838. October 25.

### Ueber die Bahnen der Doppelsterne $\gamma$ Virginis und $\zeta$ Herculis.

Von Herrn Dr. Mädler.

Bei einer Reihe von Jahren ist die Aufmerksamkeit derjenigen Astronomen, welche den so schwierigen Doppelsternmessungen ihre Kräfte widmeten, vorzugsweise dem merkwürdigen Sternpaare  $\gamma$  Virginis zugewandt. Namentlich besitzen wir von Struve eine Reihe ausgezeichnet sorgfältiger und genau discutirte Beobachtungen aus der Zeit von 1819 bis zum Perihel und durch dasselbe hindurch, und da bereits Bradley und Mayer uns Bestimmungen des Richtungswinkels gegeben und Herschel ihn 1780 beobachtet hat, so konnte der Versuch einer Bahnbestimmung gewagt werden.

Schon vor einigen Jahren suchte Herschel II durch Construction eine Ellipse für  $\gamma$  Virginis, vermittelst deren er die Umlaufzeit zu 525 Jahren bestimmte, wofür er später eine andere von 660 Jahren Umlaufzeit substituirte. Beide Bahnen sind indess später von dem berühmten Urheber selbst zurückgenommen worden, da er hiernach 1836 sein scheinbares wie sein wirkliches Perihel schon überschritten haben mußte, während er grade in diesem Jahre eine geringere Distanz als je zuvor vorher zeigte, so daß es Herschel und Feldhausen gar nicht gelang ihm als Doppelstern wahrzunehmen. Deshalb müge hier eine neue Untersuchung folgen.

#### Beobachtungen.

Zeit.	Position.	Distanz.	
1718,20	160° 52'		Bradley.
20,31	139 7:	7,49	Cassini.
56,00	144 22	6,50	Th. Mayer.
80,00		5,66	Herschel I.
81,89	130 44		—
1803,20	120 19		—
3,40		5,90	—
19,40		3,56	Struve (am Meridianskr.)
1820,25	105 15		—
1822,00	103 4	2,86	—
22,25	103 24	3,79	Herschel II., South.
1823,19		3,30	Amici.
1825,32	97° 55'	2,373	Struve (Refractor).
25,32	96 53	3,26	South.
1828,35	90 30		Herschel II.
28,38	91 30	2,070	Struve.
1829,16		1,76	Herschel II.
29,22	87 43		—
29,39	88 16	1,782	Struve.

Zeit.	Position.	Distanz.	
1830,24		2' 22"	Herschel II.
30,38	82° 5'		—
30,39	81 29		Davies.
30,59	82 10	1,586	Beaull.
1831,23		2,01	Davies.
31,34		1,74	Herschel II.
31,36	78 8	1,97	Davies.
31,36	80 55	1,492	Struve.
1832,25	70 28		Herschel II.
32,30	69 55	1,31	Davies.
32,40	71 26	1,14	Smyth.
32,52	73 30	1,262	Struve.
1833,10	62 43	1,18	Herschel II.
33,23	68 38		Smyth.
33,24	61 11	1,54	Herschel II.
33,37	65 32	1,056	Struve.
1834,38	51 40	0,912	—
34,84	33 36		—
1835,38	15 29	0,514	—
1836,41	331 34:	0,257	—
1837,20	280 25:		Encke.
37,41	258 7	0,595	Struve.
37,48	256 24	0,626	Encke, Galle, Mädler.
1838,41	232 2	0,867	Struve.
38,42	230 39	0,768	Otto Struve.
38,43	229 12	0,83	Galle, Mädler.

Die Resultate für 1837 und 1838 beruhen auf Messungen hier und in Dorpat, deren Detail mir von den Beobachtern gütigst mitgetheilt und die noch nicht öffentlich bekannt gemacht worden sind.

Bei 1836,41 und 1837,20 erschienen die Sterne nicht getrennt, sondern nur länglich. In allen übrigen hier aufgeführten Beobachtungen war eine Trennung sichtbar. Die von mir herrührenden Positionsmessungen für 1833 und 1834 (Astr. Nachr. Nr. 280) habe ich nicht mit aufgenommen, da sie für so nahe stehende Sterne neben andern gleichzeitigen mit weit kraftvollern Instrumenten angestellten, keinen Werth haben können.

Gleich nach Erscheinung der *Mensurae micrometricae* machte ich einen Versuch, bei welchem die Beobachtungen bis incl. 1836 benutzt, und nur die gänzlich unvereinbare *Cassinische*, so wie die, wo der Stern bloß länglich gesehen war, ausge-

geschlossen wurden. Konnten gleich die Beobachtungen ziemlich genügend dargestellt werden, so zeigte sich doch, daß die Unsicherheit der einzelnen Elemente noch zu beträchtlich war, indem z. B. die Neigung um 5 bis 6 Grad geändert werden konnte, ohne die übrigen Fehler erheblich zu vergrößern. Das Resultat nebst der erhaltenen Vergleichung, jedoch bloß in Beziehung auf die Positionswinkel, war folgendes:

Zeit des Perihels. . . . .	$T = 1836,320$
Mittl. jährl. Bewegung $= \mu = -2^{\circ} 8' 09,07$ ; Periode $687,6305$	
Excentricitätswinkel. . . . .	$\varphi = 59\ 46,2$ ; $\sin \varphi = 0,8640120$
Neigung. . . . .	$i = 30\ 34,6$
Aufsteigender Knoten $= \Omega = 58\ 32,4$ (M. Aeq. 1830)	
Abat. d. Per. v. Knoten $= \lambda = 265\ 20,4$	

Die zur Berechnung angewandten Beobachtungen zeigten folgende Unterschiede:

1718,20	+ 265,9	1828,38	+ 54,3	1832,40	+ 100,3
56,00	+ 163,8	1829,22	+ 62,6	52	+ 281,6
81,89	- 65,0	39	+ 133,3	1833,10	- 44,5
1803,20	- 49,1	1830,38	+ 10,5	23	+ 92,9
20,25	- 42,2	39	- 22,9	24	- 47,4
22,00	- 23,0	59	+ 74,4	37	+ 273,7
22,25	+ 21,5	1831,36	+ 77,5	1834,38	+ 357,0
25,32	+ 28,3	86	+ 244,5	84	- 69,5
25,32	- 33,7	1832,25	- 28,7	1835,38	- 74,5
28,35	+ 48,6	32,30	- 38,9		

Die später erhaltenen weichen dagegen folgendermaßen ab:

1837,41	- 458,3
48	- 419,1
1838,41	- 528,3
42	- 605,2
43	- 686,8

Hierdurch war eine nicht unbeträchtliche Abweichung der oben erhaltenen Werthe angedeutet und die Möglichkeit einer Verbesserung derselben dargeboten. Statt aber auf die hiesher angewandte Art durch Ableitung von Mittelwerthen für 4 Epochen und Combination derselben nach *Encke's* Methode die Elemente zu finden, zog ich es vor durch Bedingungsgleichungen die Correctionen für obige Näherungswerthe zu suchen, und dabei jede Beobachtung einzeln und unverändert anzuwenden. Jedoch zeigte schon ein vorläufiger Versuch, daß auf die Distanzen hierbei nicht gerechnet werden, und daß sie, verbunden mit den Positionswinkeln angewandt, nur dazu dienen könnten, das Resultat der letztern zu verschlechtern. Aber noch eine andere Betrachtung bestimmte mich, die Rechnung zuerst mit den Positionswinkeln allein durchzuführen. Obgleich nemlich die angenommene Allgemeinheit des *Newton'schen* Gravitationsgesetzes auch außerhalb unsers Sonnensystems die höchste Wahrscheinlichkeit für sich hat, so kann man doch diesen wichtigen Schluß nicht eher als Lehrsatz aufstellen, als bis ihn die Beobachtungen direct bestätigt haben. Am frühesten

und sichersten aber scheint dies dadurch erreicht werden zu können, daß man zeigt, es bestehe zwischen Positionswinkel und Distanzen eine feste, auf das *Keplersche* Gesetz

$$pp\,ds = C$$

gegründete Relation. Hat man nun eine Form der Bahn ohne Anwendung der beobachteten Distanzen erhalten, und läßt es sich sodann darthun, daß die letztern, so weit es die Genauigkeit der Messungen gestattet, der erwähnten Gleichung Genüge leisten, so kann man mit weit größerer Sicherheit auf das Stattfinden derselben schließen, als wenn man durch unmittelbare Anwendung der Distanzen die letztern gleichsam genöthigt hätte, der vorausgesetzten Theorie sich anzuschließen.

Zur Berechnung des Positionswinkels  $p$  aus den 6 Elementen  $T, \mu, i, \varphi, \Omega, \pi$  ( $a$  ausgeschlossen) hat man bekanntlich die folgenden Gleichungen:

$$\mu(T - T) = u - u.e \sin u; \quad (u = 3437,75)$$

$$tg \frac{1}{2} v = tg \frac{1}{2} u \sqrt{\frac{1+e}{1-e}}$$

$$tg(p - \Omega) = tg(v + \lambda) \cos i.$$

Setzt man nunmehr

$$\frac{\cos^2 \frac{1}{2} v}{\cos^2 \frac{1}{2} u} = \alpha; \quad 1 - e \cos u = \beta; \quad \frac{\cos i \cos^2(p - \Omega)}{\cos^2(v + \lambda)} = \gamma$$

so werden die Bedingungsgleichungen für  $p$  folgende Form annehmen:

$$\begin{aligned} \Delta p &= + \Delta \Omega \\ &- tg(v + \lambda) \cos^2(p - \Omega) \sin i \cdot \Delta i \\ &+ \gamma \cdot \Delta \lambda \\ &+ \pi \gamma u \sin u \left( \frac{1}{\beta} \sqrt{\frac{1+e}{1-e}} + \frac{1}{(1-e)\sqrt{\frac{1}{1-e}}} \right) \cdot \Delta e \\ &+ \frac{\gamma}{\beta} (T - T) \sqrt{\frac{1+e}{1-e}} \cdot \Delta \mu \\ &- \frac{\gamma}{\gamma} \gamma \mu \sqrt{\frac{1+e}{1-e}} \cdot \Delta T. \end{aligned}$$

Den einzelnen oben aufgeführten Beobachtungsergebnissen wird nun allerdings ein gleichförmiges Gewicht in der Wirklichkeit nicht zukommen. Allein die Rücksichten, welche hierbei der Strenge nach genommen werden müßten, sind so vielfältig, daß es unnützlich fällt, nach irgend einem nicht durchaus willkürlichen Princip die relativen Gewichte zu bestimmen. Daß die früheren Beobachtungen den neueren an absoluter Genauigkeit weit nachstehen, leidet keinen Zweifel, allein auch die neueren sind mit wesentlich verschiedenen Instrumenten angestellt, und der Streit über den Vorzug der einen oder der andern Beobachtungsmethode ist noch unentschieden. Ueberhaupt ist die Genauigkeit des Positionswinkels eine Funktion der Distanz, und die Form dieser Funktion wieder abhängig von der Beobachtungsmethode und vielleicht selbst von der Individualität des Beobachters. Die höchst schätzbaren und sorg-

folgenden Untersuchungen, welche *Struve* in dieser Beziehung angestellt hat, sind nur erst ein Anfang dessen, was geleistet werden mußte, um nach einem sichern Maasstabe diese Ge-  
sichte bestimmen zu können. In Erwägung dieser Schwierig-  
keiten, und eingedenk der Erinnerung *Encke's* in seiner Ab-  
handlung über die Methode der kleinsten Quadrate (Berliner  
astr. Jahrbuch 1835 u. 1836) habe ich es vorgezogen, bei  
diesem ersten Versuch allen Beobachtungen das gleiche Gewicht  
zu geben.

Bei Auflösung der numerischen Gleichungen hatte ich

$$\Delta E = 10000 \Delta e$$

$$\Delta M = 10 \Delta \mu$$

$$\Delta t = 1000 \Delta T;$$

und erhielt die folgenden Correctionen:

$$\Delta \Omega = -9'847; \text{ Gewicht } 0,13927$$

$$\Delta i = +350,723; \quad 0,22040$$

$$\Delta \lambda = +37,239; \quad 0,09528$$

$$\Delta E = +38,0512; \quad 5,88504$$

$$\Delta M = -84,7281; \quad 2,03142$$

$$\Delta t = -203,055; \quad 3,88000.$$

Diese Correctionen sind, wie erwartet werden mußte, sehr be-  
deutend, und scheinen eine Wiederholung der Berechnung mit  
den neuen Näherungswerten zu erfordern. Indess abgesehen  
davon, daß für jetzt die besseren Beobachtungen noch zu  
wenig zahlreich sind, und zu nahe bei einander liegen um von  
einer solchen Wiederholung einen sichern Erfolg erwarten zu  
können, so findet glücklicherweise die beträchtlichste Correction  
bei einem Elemente statt, dessen Cosinus in den übrigen Gli-  
edern nur als einfacher Factor des ganzen Coefficienten, und  
bei  $\Delta \Omega$  gar nicht erscheint, während der Coefficient von  $\Delta i$   
selbst nur  $\sin i$  als gleichfalls beständiger Factor enthält. Die  
Substitutionen, welche man zur Ermittlung der übrigbleibenden  
Fehler vorzunehmen hat, werden also durch diese Correction  
nicht geändert, wohl aber die Verbesserungen selbst. Nennt  
man den anfänglich für  $i$  gesetzten Näherungswert  $i_0$  und den  
richtigen  $i$ , so hat man das gefundene  $\Delta i$  mit  $\frac{\sin i_0}{\sin i}$ , so wie die  
Verbesserungen  $\Delta \lambda$ ,  $\Delta E$ ,  $\Delta M$ ,  $\Delta t \dots$  mit  $\frac{\cos i_0}{\cos i}$  zu multipli-  
ciren; wo  $i$  durch einige Näherungen leicht erhalten wird.  
Die obigen Correctionen werden demnach in die nachstehenden  
verwandelt:

$$\Delta \Omega = -9'847$$

$$\Delta i = +313,44$$

$$\Delta \lambda = +39,547$$

$$\Delta E = +40,409$$

$$\Delta M = -89,979$$

$$\Delta t = -217,737$$

und die Elemente selbst sind nun die folgenden:

$$T = 1836,1026$$

$$\mu = 2^\circ 17' 0886; \text{ Periode } 157,5623$$

$$\phi = 60 \ 13,99; \quad \sin \phi = 0,8680529$$

$$i = 35 \ 48,04$$

$$\Omega = 58 \ 22,55$$

$$\lambda = 265 \ 59,95.$$

Des Einflusses wegen, den die starke Abweichung der zum  
Grunde gelegten Näherungswerte auf die numerischen Coef-  
ficienten der Bedingungsgleichungen ausüben muß, suchte ich  
die übrigbleibenden Fehler einmal durch gewöhnliche Substitu-  
tion (I) und sodann durch directe Berechnung der  $p$  aus den  
neuen Elementen (II). Beide Systeme von Fehlern stelle ich  
hier zusammen:

	(I)	(II)	(I)	(II)
1718,20	+ 6'1	+ 9'9	1831,36	+173'9
1756,00	+ 44,7	+ 50,5	1832,25	-109,8
1781,89	-136,6	-146,8	1832,30	-120,4
1803,20	-90,5	-101,8	1832,40	+17,1
1820,25	-71,5	-81,0	1832,52	+197,4
1822,00	-36,9	-41,5	1833,10	-134,5
1822,25	-8,9	-16,5	1833,23	+ 1,2
1825,32	+ 20,5	+ 1,7	1833,24	-140,0
1825,32	+ 41,5	-60,3	1833,37	+184,6
1828,35	+ 6,7	+ 0,4	1834,38	+291,8
1828,38	+ 67,9	+ 65,9	1834,84	-82,4
1829,22	+ 4,7	+ 6,1	1835,38	+51,2
1829,39	+ 75,8	+ 78,2	1837,41	+269,1
1830,38	-58,3	-53,0	1837,48	+264,7
1830,89	-93,6	-85,9	1838,41	-85,4
1830,59	+ 1,8	+ 10,4	1838,42	-163,9
1831,35	+ 6,9	+ 8,2	1838,48	-247,8

Aus (II) erhält man den mittlern Fehler einer Beobachtung  

$$= \sqrt{\frac{702710}{34-6}} = 158',4$$
 woraus die mittleren Fehler der  
 gefundenen Elemente

$$\text{für } e = \pm 0,0068266$$

$$\mu = 11'115$$

$$T = 0,080423$$

$$\lambda = 515'0$$

$$i = 293,7$$

$$\Omega = 424'5$$

so daß die Unsicherheit der Umlaufzeit etwa 13 Jahr beträgt.  
Die große Unsicherheit von  $\lambda$  und  $\Omega$  ist eine gegenseitige,  
durch die geringe Divergenz der Coefficienten für  $\Delta \lambda$  und  $\Delta \Omega$   
bewirkte, sie hebt sich demnach in Bezug auf die vom Aequi-  
noctio an gezählte Länge des Perihels dem größern Theile  
nach auf. Die Zeit des Perihels scheint bis auf einen Monat  
sicher und nur die Neigung schwankt noch zwischen beträcht-  
lich weiten Grenzen.

Für die Distanzen  $d$  hat man

$$d = a(1 - e \cos u) \frac{\cos(p - \Omega)}{\cos(p + \lambda)}$$

3\*

worin  $\alpha$  noch unbekannt und aus den beobachteten Distanzen abzuleiten ist. Die einzelnen Relationen sind folgende:

	Berechnet.	Beobachtet.	Diff. vom Mittel.
1756,00	1,5111 $\alpha$	= 6'30	+ 0'265
1780,00	1,4217 =	5,66	- 0,207
1803,40	1,1869 =	5,90	+ 1,002
1819,40	0,8498 =	3,56	+ 0,052
1822,00	0,7696 =	2,86	- 0,315
1822,25	0,7654 $\alpha$	= 3,79	+ 0,631
1823,19	0,7353 =	3,30	+ 0,266
1825,32	0,6634 =	2,373	- 0,365
1825,32	0,6634 =	3,26	+ 0,522
1826,38	0,5420 =	2,070	- 0,147
1829,16	0,5104 =	1,76	- 0,366
1829,39	0,4999 =	1,782	- 0,281
1830,24	0,4592 =	2,22	+ 0,325
1830,59	0,4422 =	1,586	- 0,239
1831,23	0,4170 =	2,01	+ 0,289
1831,34	0,4127 =	1,74	+ 0,037
1831,36	0,4117 =	1,97	+ 0,270
1831,36	0,4117 =	1,492	- 0,208
1832,30	0,3493 =	1,31	- 0,131
1832,40	0,3457 =	1,14	- 0,287
1832,52	0,3355 =	1,262	- 0,123
1833,10	0,3000 =	1,18	- 0,058
1833,24	0,2905 =	1,54	+ 0,340
1833,37	0,2815 =	1,056	- 0,106
1834,38	0,2094 =	0,912	+ 0,056
1835,38	0,1349 =	0,514	- 0,043
1836,41	0,1165 =	0,257	- 0,224
1837,41	0,1807 =	0,595	- 0,151
1837,48	0,1856 =	0,626	- 0,140
1838,41	0,2521 =	0,867	- 0,173
1838,42	0,2528 =	0,768	- 0,275
1838,43	0,2536 =	0,830	- 0,215

Mittel aus 32 Beobachtungen  $\alpha = 4''1265$ .

Aus den seit 1825 am Dorpater Refractor angestellten Beobachtungen, mit Ausschluss der Distanz von 1836, wo die Sterne nicht getrennt erschienen, wird hingegen

$$\alpha = 5''6375; \pi M^1 = 0''1247$$

und die Abweichungen der einzelnen Beobachtungen vom Mittel

1825,32	- 0'039	1834,38	+ 0'150
1828,38	+ 0,008	1835,38	+ 0,022
1829,39	- 0,036	1837,41	- 0,062
1831,36	- 0,005	1838,41	- 0,051
1832,52	+ 0,042	1838,41	- 0,152
1833,37	- 0,033		

Aus der Besselschen Heliometerbeobachtung wird erhalten

$$\alpha = 3''587$$

aus den beiden Berliner Beobachtungen

$$\alpha = 3,316,$$

und die Abweichungen dieser 3 Beobachtungen vom Resultat der Struwschen beträgt

$$- 0''020; - 0''056; - 0''082.$$

Am sichersten scheint es, den zweiten Werth für  $\alpha$  ( $3''6375$ ) anzunehmen, da die 13 Jahre umfassenden Vergleichen, trotz der Schwierigkeit, so nahe stehende und helle Sterne richtig zu messen, die vollste Befriedigung gewähren. Die Abweichung der älteren Beobachtungen wird dadurch freilich vergrößert, allein ein Blick auf die vorstehenden Zahlen zeigt die Unmöglichkeit, sie auf irgend eine Weise genügend zu vereinigen. Doch auch diese Abweichungen sind nicht größer, als nach der Beschaffenheit der angewandten Hilfsmittel mit Methoden zu erwarten war, und ich glaube nicht, dass man Veranlassung finden wird, für dieses System von den nun Grunde gelegten Gravitationsgesetze abzugehen.

Doch selbst in dem Falle, wo sich etwas stärkere Abweichungen zeigen, oder der Zeichenwechsel in den übrig bleibenden Fehlern länger, als der Zufall zu gestatten scheint, vermist werden sollte, findet noch eine andere sehr wahrscheinliche Erklärung statt. Bekanntlich hat Struve bei einer nicht unbedeutenden Anzahl von Doppelsternen des Himmels abermals aus zweien zusammengesetzt gefunden, und es ist wahrscheinlich, dass dies noch bei vielen andern, obgleich unsere stärksten Instrumente es nicht mehr zeigen, statt finde, ja dass vielleicht die meisten Doppelsterne in der Wirklichkeit drei- und mehrfache Systeme sind. Bleiben wir nur bei den nächsten, bereits durch die Beobachtungen bestätigten Fälle stehen, so ist klar, dass wir auf den Mittelpunkt der scheinbaren Gesamtfigur zweier uns nicht mehr trennbarer Sterne pointieren, und diesen Mittelpunkt in der Beobachtung mit dem Schwerpunkte der Massen als identisch setzen, was zu bedeutenden Abweichungen führen kann. Möglich dass grade  $\gamma$  Virginis sich in diesem Falle befindet, und dass der Wechsel, den Struve in der relativen Helligkeit der beiden Sterne wahrgenommen hat, auf ein solches Verhältnis hindeutet. Diese Fixsternsysteme werden, wie Brandt erinnert hat, den künftigen Zeiten Veranlassung geben, das Gesetz der Schwere unter einem neuen Gesichtspunkte anzuwenden und eine ganz allgemeine Auflösung des Problems der drei Körper zu suchen; und alsdann werden manche bis dahin unerklärliche Abweichungen ihre befriedigende Lösung finden.

#### Ephemeride.

	$p$	$d$		$p$	$d$
1838,5	232° 24'7	0 910	1844,0	198° 8'4	1 951
39,0	226 26,4	1,056	43,0	195 9,1	2 091
39,5	221 30,7	1,172	46,0	192 32,6	2 226
40,0	217 22,5	1,269	47,0	190 13,0	2 358
40,5	213 52,6	1,364	48,0	188 8,8	2 473
41,0	210 50,1	1,459	49,0	186 15,3	2 586
42,0	205 43,9	1,636	1850,0	184 33,8	2 677
43,0	201 35,7	1,799			

Ueber  $\zeta$  Herculis bemerkte *Struve* im Jahr 1836, daß die bisherigen Beobachtungen eine Bahn von 14 Jahren Umlaufzeit anzudeuten schienen, was binnen wenigen Jahren entschieden werden könne. Ich glaube, daß diese Entscheidung durch die neuesten Berliner Beobachtungen bereits im Allgemeinen möglich ist. Der Begleiter steht seit 1832.75 (wo *Struve* ihn zuerst wieder erblickte), auf der Südseite des Hauptsterns, hat in 5.95 Jahren  $58^\circ$  seiner scheinbaren Bahn zurückgelegt und die Distanz hat fortwährend langsam zugenommen. Die Form dieser Curve zeigt selbst in einer oberflächlichen Zeichnung die Unmöglichkeit, den Begleiter bis zum Jahre 1840 oder 1841 zu der Position zurückzuführen, wo *Struve* (vor seinem Verschwinden) 1826.63 erblickte. So blieb nur die Annahme übrig, daß er von 1782.55 (*Herschel*) bis 1826.63 (*Struve*)  $360^\circ + 45^\circ 54'$  seiner scheinbaren Bahn durchlaufen habe. Die Beobachtungen sind nun die folgenden:

	Position.	Distanz.	
1782,55	$69^\circ 18'$	unbestimmt.	<i>Herschel I</i>
1795	zwischen $0^\circ$ u. $90^\circ$	geringer als 1782.	<i>Herschel I</i>
1802	einfach.		<i>Herschel I</i>
1826,63	23 24	$0^\circ 910$	<i>Struve</i>
1828,77	einfach.		<i>Struve</i>
1829,67	einfach.		<i>Struve</i>
1831,65	einfach.		<i>Struve</i>
1832,75	220 30	$< 0,81$	<i>Struve</i>
1834,45	203 30	0,91	<i>Struve</i>
1835,45	196 54	1,094	<i>Struve</i>
1836,58	188 1	—	<i>Mädler</i>
1836,60	186 18	1,090	<i>Struve</i>
1838,70	168 30	1,35	<i>Galle</i>

Die folgenden Elemente sind nur als ein ganz roher Versuch anzusehen, sie scheinen mir jedenfalls die fortwährende Schärfe des Trabanten bis 1862 hin wenigstens für das Fernrohr, was ihn 1826 zeigte, darzubieten:

	Position.	Distanz.
$T =$	1830,90	
$\mu =$	$-9^\circ 54' 43''$ , hieraus Umlaufzeit $36^\circ 3375$ .	
$\Omega =$	195 36	
$\lambda =$	94 1	
$i =$	55 57	
$\phi =$	27 30; $\sin \phi =$	0,4617.
$\alpha =$	$1^\circ 251$ ; $\pi M =$	$0^\circ 1140$ .

Die übrigbleibenden Fehler sind folgende:

	Position.	Distanz.
1782,55	$-330'$	
1826,63	$+182$	$-0^\circ 194$
32,75	$-142$	$< +0,178$
34,45	$+142$	$-0,020$
35,45	$+184$	$+0,031$
36,58	$+115$	
36,60	$+13$	$-0,057$
38,70	$-272$	$+0,129$

Das Verschwinden des Begleiters von 1828 bis 1831 erklärt sich hinreichend dadurch, daß die Distanz in diesen Jahren unter  $0^\circ 7'$  blieb und 1830 bis auf  $0^\circ 35'$  herabging. Mit dem Verschwinden 1802 ist dies jedoch nicht der Fall, die Rechnung ergibt für dieses Jahr eine Distanz von  $1^\circ 2'$ . Allein wer je diesen Stern beobachtete, wird wissen, wie ungemein schwierig der Begleiter wahrzunehmen ist. Auch *Struve* konnte ihn 1833 nicht sehen; eben so erschien er nicht im Berliner Refraktor 1837 und Anfangs 1838, und in allen diesen Fällen kann die Ursache, man gebe der Bahn eine Form welche man wolle, unmöglich in der geringen Distanz allein gesucht werden. Bei einer Bahn von 28 Jahren, welche jene beiden Verschwindungen anzudeuten scheinen, ist es nicht möglich, die Beobachtungen von 1826 bis 1838 so gut darzustellen, als hier geschehen, und die *Herschelsche* von 1782 müßte hiernach ganz verworfen werden. *Herschel* giebt die Distanzen nicht direct, sagt aber, daß sie 1782 größer als 1795 gewesen sei; ich finde für diese Zeiten  $1^\circ 03'$  und  $0^\circ 63'$ . Rückwärts des Quadranten, wo *Herschel* ihn 1795 sah, weicht die Rechnung jedoch bedeutend ab, da er hiernach grade auf der entgegengesetzten Seite, zwischen  $180^\circ$  und  $270^\circ$ , stehen müßte. Allein es ist nicht möglich, diesen unbestimmten Angaben Genuge zu thun, ohne die Harmonie der bessern gänzlich zu zerstören.

#### Ephemeride.

1839	$173^\circ 0'$	$1^\circ 216$
1840	167 54	1,208
1841	162 44	1,199
1842	157 28	1,184
1843	151 59	1,157
1844	146 15	1,133
1845	140 16	1,103
1846	133 56	1,077
1847	127 19	1,053
1848	120 24	1,033
1849	113 15	1,016
1850	105 52	1,005

J. H. Mädler.



# Ueber die eigene Bewegung des Sonnensystems.

Von Herrn Professor Argölander,

Director der Sternwarte in Bonn.

Unter diesem Titel findet sich im 3<sup>ten</sup> Theile der Memoiren der Kaiserlichen Academie der Wissenschaften zu St. Petersburg ein Aufsatz, den ich zu Anfange des vorigen Jahres der Academie übergeben hatte. Eine Anzeige dieses Aufsatzes von *Struve* ist aus dem *Bulletin scientifique de l'Académie de St. Petersburg* in diese Nachrichten Nr. 331. übergegangen; sie enthält indeß außer den einleitenden Betrachtungen nur das Hauptresultat. Es könnte aber seyn, daß manchem Leser dieses Blattes, der die Petersburger Memoiren nachzuschlagen nicht Gelegenheit hat, eine etwas genauere Kenntniß der Untersuchungen selbst, auf denen das Resultat beruht, nicht unerwünscht wäre; weshalb ich mir erlaube, hier einen Auszug aus dem genannten Aufsätze zu geben.

Die Grundlage dieser Untersuchungen bilden die eigenen Bewegungen der Sterne in AR. und Decl., die ich in meinem Cataloge von 560 Sternen durch Vergleichung mehr Beobachtungen mit den Positionen der *Fundamenta Astronomiae* und anderer älterer Cataloge erhalten habe. Es konnten indeß nicht alle 560 Sterne benutzt werden, indem bei sehr vielen die eigenen Bewegungen so klein sind, daß die unvermeidlichen Beobachtungsfehler ihre Werthe sehr bedeutend entstellt haben können. Diejenigen 390 aber, deren jährliche eigene Bewegung im Bogen des größten Kreises 0<sup>u</sup>1 übersteigt, glaubte ich mit Sicherheit gebrauchen zu können, da aus den Untersuchungen über die wahrscheinlichen Fehler der Positionen der *Fundamenta* und meines Catalogs der wahrscheinliche Fehler dieser jährlichen Bewegungen nur = 0<sup>u</sup>014 folgt. Durch weitere Ausführung der *Bessel'schen* Rechnungen über die wahrscheinlichen Fehler der *Bradley'schen* Beobachtungen habe ich nämlich den wahrsch. Fehler einer auf 5 Beobachtungen beruhenden AR. der *Fundamenta*, reducirt auf den Bogen des größten Kreises, gefunden = 0<sup>u</sup>710, einer auf 5 Beobachtungen beruhenden Declination = 0<sup>u</sup>620; für meinen Catalog, und Positionen denen 8 Beobachtungen zum Grunde liegen, gelten resp. die Zahlen 0<sup>u</sup>228 und 0<sup>u</sup>355; hieraus folgt also der wahrscheinliche Fehler des Unterschiedes beider Cataloge in AR. reducirt auf den größten Kreis = 0<sup>u</sup>746, in Decl. = 0<sup>u</sup>715, und daraus ferner die oben angegebene Zahl. Da uns nun über die Parallaxen der Sterne bis jetzt noch nichts bekannt ist, so können auch die eigenen Bewegungen selbst auf kein gemeinschaftliches Maas zurückgeführt, also auch bei dieser Untersuchung nicht benutzt werden; sondern man muß sich auf das Verhältniß der Bewegungen in AR. und Decl., das heißt auf die Richtung der Bewegung beschränken. Ich berechnete daher zuerst diese Richtungen, oder vielmehr die

Winkel derselben mit den durch die Sterne gelegten Declinationskreisen,  $\psi$ ; diese verglich ich mit denjenigen Richtungen,  $\psi'$ , die statt finden müßten, wenn die Sterne selbst sich gar nicht bewegten, sondern die an ihnen wahrgenommenen Ortsveränderungen nur scheinbar und aus der Bewegung des Sonnensystems nach einem durch  $AR. = A$  und  $Decl. = D$  gegebenen Punkte  $Q$  entständen wären. Die Unterschiede zw. zwischen beiden Richtungen, d. h. die  $(\psi - \psi')$  haben ihren Ursprung zum Theil in den unvermeidlichen Beobachtungsfehlern, zum Theil in den wahren eigenen Bewegungen der Sterne, zum Theil in der fehlerhaft angenommenen Lage des Punktes  $Q$ . Die zweite Fehlerquelle wird, wenn  $A$  und  $D$  auch nur einigermaßen genähert richtig sind, offenbar die bedeutendste sein; sie wird indeß vollkommen so wirken, wie die erste. Denn da die Gesetze, nach denen die wahren Bewegungen der Sterne vor sich gehen, uns eben so unbekannt sind, als die Natur der Ursache, die die Beobachtungsfehler erzeugen, und wir daher für jeden Stern jede Richtung der wahren Bewegung als gleich wahrscheinlich annehmen müssen, so vermischen sich beide Fehlerquellen vollkommen und erzeugen nur zufällige Unterschiede in den  $(\psi - \psi')$ . Dahingegen erzeugen Fehler in der Annahme von  $A$  und  $D$  einem bestimmten Gesetze folgende Veränderungen in den verschiedenen  $(\psi - \psi')$ , und wir werden daher aus einer zureichenden Anzahl dieser nach der Methode der kleinsten Quadrate genäherte Werthe für die Correctionen von  $A$  und  $D$  finden können, wenn wir für jeden Stern die Bedingungsgleichung des Einflusses dieser Correctionen auf  $(\psi - \psi')$  entwickeln. Es ist aber offenbar, daß nicht alle Sterne diese Correctionen mit gleicher Genauigkeit geben werden; denn einmal hat die Lage am Himmelsgewölbe, dann die Entfernung von uns Einfluß auf die Sicherheit der aus jedem Sterne folgenden Gleichung. Bei Sternen nämlich, die am Pole von dem Punkte  $Q$  abstehen, erzeugt die Bewegung der Sonne offenbar die größte scheinbare Ortsveränderung, und werden daher auch zur Bestimmung von  $Q$  am geeignetsten sein, während solche, auf die die Sonne in gerader Linie strahlt, oder von denen sie sich ebenso entfernt, dazu gar nicht dienen können, und es läßt sich leicht zeigen, daß der Sinuswerth eines jeden Sterns dem Sinus seines Abstandes von dem Punkte  $Q$ , den ich mit  $f$  bezeichne, proportional sei. Die Entfernung der Sterne aber hat in so fern Einfluß auf die Sicherheit, als im Allgemeinen die entfernteren Sterne geringere eigene Bewegungen zeigen, und bei diesen daher die unvermeidlichen Beobachtungsfehler, die ja im Mittel für alle Sterne sich gleich bleiben, einen größeren Einfluß haben werden.

Für jeden einzelnen Stern wird dies aber nicht wahr sein; den gewis bewegen sich manche Sterne absolut rascher, andere langsamer; außerdem bewirkt auch die Bewegung der Sonne bei dem einen Sterne eine Vergrößerung, bei dem andern eine Verkleinerung der scheinbaren Bewegung, und wir können daher nicht behaupten, daß jeder Stern, dessen eigene Bewegung größer ist, als die eines andern, uns auch näher sei. Daher habe ich die Sterne nach der Größe ihrer eigenen Bewegung in drei Classen getheilt; die erste enthält 21 Sterne, deren jährliche eigene Bewegung im Bogen des größten Kreises größer als eine Secunde ist, die zweite 50 Sterne, bei denen sie zwischen 0"5 und 1" ist; die dritte endlich 319 Sterne mit geringeren eigenen Bewegungen bis auf 0"1 und bei der Paar sehr genau bestimmten bis auf 0"09 hinab. Jede dieser Classen wurde nun abgesondert berechnet, so nämlich, daß in den beiden ersten für einen jeden Stern aus einem angenommenen Werthe für die Lage von  $Q$   $\psi$  berechnet, dieses

$$\begin{array}{ll} \text{aus Cl. I} & A = 255^{\circ}54'8 \pm 12^{\circ}31'4 \quad D = \\ \text{Cl. II} & 258 \ 14,0 \pm 8 \ 50,1 \\ \text{Cl. III} & 261 \ 58,0 \pm 3 \ 59,4 \end{array}$$

den wahrscheinlichen Fehler im Richtungswinkel eines um  $90^{\circ}$  vom Punkte  $Q$  abstehenden Sterns, oder die wahrscheinliche Größe von  $(\psi - \psi') \sin f$ , wie sie nach der Elimination sich ergibt, bedeutet. Um nun aus dieser Bestimmung das Endresultat zu ziehen, multiplicirte ich die Summen der Producte und Quadrate der Coefficienten mit dem für jede Classe aus den verschiedenen  $a''(\psi)$  geschlossenen Werth, wobei ich, um zu kleine Zahlen zu vermeiden, alles auf die Genauigkeit von Beobachtungen mit  $a''(\psi) = 35^{\circ}$  brachte, addirte die in den 3 Classen erhaltenen Quantitäten, und unterwarf die Summen einer neuen Elimination, die endlich die folgenden Zahlen für 1792,5 ergab:

$$\begin{array}{ll} A = 260^{\circ}46'6 \pm 9^{\circ}27'6 & D = +31^{\circ}17'7 \pm 2^{\circ}19'6 \\ \text{reducirt auf den Anfang unsers Jahrhunderts} \\ A = 260^{\circ}50'8 & D = +31^{\circ}17'3. \end{array}$$

$$\begin{array}{ll} \text{Classe II} & A = 255^{\circ}9'7 \pm 8^{\circ}34'0 \quad D = \\ \text{III} & 261 \ 10,7 \pm 3 \ 48,9 \end{array}$$

der ersten Classe hat eine vollständige neue Rechnung keinen Fehler entdecken lassen, und ich glaube behaupten zu können, daß auch in den beiden andern Classen jetzt kein Fehler mehr vorhanden sei. Die gemachten Verbesserungen betreffen nicht nur im Ganzen die einzelnen  $(\psi - \psi')$  verkleinert,

$$\begin{array}{ll} \text{für 1792,5} & A = 259^{\circ}47'6 \pm 3^{\circ}18'6 \\ \text{für 1800} & A = 259 \ 51,8 \end{array}$$

Obgleich nun hier die Correctione der angenommenen Werthe noch ziemlich bedeutend sind, so glaube ich doch nicht, daß eine neue Rechnung, gegründet auf die neuen Werthe, das Endresultat um viele Minuten ändern würde, und

mit dem aus den eigenen Bewegungen in AR. und Decl. gefundenen  $\psi$  verglichen, die Coefficienten der Bedingungsgleichung für den Einfluß von Veränderungen in  $A$  und  $D$  auf  $(\psi - \psi')$  entwickelt, jede Bedingungsgleichung mit  $\sin f$  multiplicirt, und daee jede Classe besonders der Methode der kleinsten Quadrate unterworfen wurde. In der dritten Classe berechnete ich zwar die  $\psi$  für jeden Stern auch besonders, zur Berechnung der  $\psi \sin f$  und der Coefficienten der Bedingungsgleichungen vereigte ich aber die nahegelegenen Sterne in mittlere Oerter, deren ich 47 erhielt, und somit 47 Gleichungen, aus denen deee weiter die Methode der kleinsten Quadrate die wahrscheinlichsten Werthe von  $\Delta A$  und  $\Delta D$  ergab. Jedem ich nun von vorläufigen Werthen für  $A$  und  $D$  ausging, erhielt ich durch fortgesetzte Näherungen  $A = 260^{\circ}51'1$ ,  $D = +31^{\circ}3'4$  für die Mitte des Jahres 1792 als der mittleren Epoche zwischen 1755 und 1830, worauf ich endlich die definitive Bestimmung gründete; sie folgt

$$\begin{array}{ll} +37^{\circ}49'9 \pm 9^{\circ}29'0 & a''(\psi) = 31^{\circ}57' \\ +39 \ 13,8 \pm 6 \ 6,7 & 33 \ 38 \\ +29 \ 13,8 \pm 2 \ 38,4 & 37 \ 20 \end{array}$$

Um die Sicherheit dieses Resultates so viel möglich zu erhöhen, hatte ich die Berechnung der verschiedenen  $\psi$  und der Coefficienten der Bedingungsgleichungen sehr sorgfältig kontrollirt; indeß haben sich in die Berechnung der  $\psi$  einige Fehler, besonders durch Verwechslung des Quadranten, eingeschlichen. Aufmerksam wurde ich hierauf durch Herrn Hofrath Gauß gemacht, der die Güte hatte, mir einen solchen Fehler bei  $\gamma$  Serpentis anzuzeigen; ich habe daher alle  $\psi$  neu berechnet, und dabei die erwähnten Fehler entdeckt. Da es voranzuziehen war, daß diese einen nicht unbedeutenden Einfluß auf das Endresultat haben mußten, habe ich die Rechnung wiederholt, und so die folgenden bedeutend verschiedenen Resultate für die beiden zweiten Classen erhalten:

$$\begin{array}{ll} +37^{\circ}34'3 \pm 5^{\circ}55'6 & a''(\psi) = 32^{\circ}37' \\ +30 \ 56,1 \pm 2 \ 31,4 & 35 \ 42 \end{array}$$

und also auch die Summe ihrer Quadrate, soedern auch die partiellen Resultate cleander hedeutend näher gebracht, so daß jetzt keines der sechs Resultate außerhali ihrer wahrscheinlichen Fehler von den Endresultaten abweicht, die sich jetzt folgendermaßen herausstellen,

$$\begin{array}{ll} D = +32^{\circ}29'5 \pm 2^{\circ}13'5 \\ D = +32 \ 29,1 \end{array}$$

habe daher diese neue Rechnung eben so weel unternommen, als ich die verschiedenen  $\psi$ , die in dem Memoire für alle Sterne angegeben sind, neu berechnet habe. Dahingegen theile ich, um andern Astronomen, die etwa das Resultat auf eine andere

Weise ziehen wollen, die Rechnung zu erleichtern, vorzüglich auf den Wunsch des Herrn Hofraths *Gauß*, mehr Detail der Rechnung mit, als in der angegebenen Abhandlung enthalten ist, wobei ich nur bemerke, daß  $\log \sin \alpha$  gleichfalls aus den frühesten Werthen  $A = 260^\circ 46'$ ,  $D = +31^\circ 17'$  berechnet ist, und überdem  $\alpha$  und  $\delta$  die AR. und Decl. für 1792,5,  $\Delta\alpha$  die jährliche eigene Bewegung im Bogen des größten Kreises,  $l.\Delta\alpha$  aber und  $l.\Delta\delta$  die Logarithmen der jährlichen eigenen Bewegungen, in AR. schon multiplicirt mit  $\cos \delta$  und in Decl. bezeichnen, und die vorgesetzten Nummern sich auf meinen Catalog beziehen.

## Erste Classe.

NC.	$\alpha$	$\delta$	$l.\Delta\alpha$	$l.\Delta\delta$	$\Delta\alpha$	$\log \sin \alpha$
19	9° 9'	+56° 42'6	0,0345	9,6946n	1'19	9,9815
20	9 18,4	+ 4 12,7	9,8739	0,0504n	1,35	9,9879
23	13 38,6	+53 53,8	0,5355	9,1906n	3,75	9,9888
47	23 36,4	-17 2,1	0,2347n	9,9232	1,91	9,9051
66	31 6,7	+33 16,0	0,0598	9,9909n	1,17	9,9930
81	43 32,7	-48 48,4	0,1195	8,6990n	1,32	9,9992
103	61 25,8	-7 59,1	0,3365n	9,5381n	4,08	9,6921
148	99 0,0	-16 28,6	9,7057n	0,0888n	1,33	9,5784
158	112 6,5	+ 5 44,7	9,8319n	0,0204n	1,25	9,8683
197	139 43,2	+52 36,8	9,9851n	9,7551n	1,12	9,9954
298	195 32,5	+28 56,0	9,6911n	9,9571	1,03	9,9167
301	196 53,6	-17 9,2	0,0167n	0,0090n	1,46	9,9905
321	211 33,0	-20 16,2	0,0432n	0,2925n	2,25	9,8518
373	236 43,2	+16 20,9	9,5402	0,0976n	1,30	9,6496
406	258 13,5	+32 44,6	9,1384	0,0022n	1,01	8,6575
421	268 44,6	+ 2 33,7	9,3340	0,0402n	1,12	9,6951
441	288 46,1	+11 30,7	9,8791	9,8248	1,01	9,7307
446	293 10,8	+69 18,6	9,7015	0,2553n	1,87	9,8271
481	314 24,2	+37 44,3	0,6099	9,4947	5,13	9,8422
540	345 50,3	+56 1,5	0,3036	9,4362	2,03	9,9453
558	357 50,3	+25 59,0	9,9454	9,9934n	1,32	9,9961

## Zweite Classe.

90	50 47,4	-10 10,1	9,9881n	8,7524n	0,98	9,7575
92	51 34,4	- 0 16,0	9,3191n	9,7283n	0,57	9,8218
95	53 19,7	-10 28,6	8,9012n	9,8567n	0,72	9,7343
96	54 29,0	-23 52,3	9,1543n	9,7372n	0,56	9,6160
130	83 57,2	-22 31,6	9,5014n	9,5911n	0,50	9,2046
135	85 36,3	-20 54,5	9,3312	9,8149n	0,69	9,2903

NC.	$\alpha$	$\delta$	$l.\Delta\alpha$	$l.\Delta\delta$	$\Delta\alpha$	$\log \sin \alpha$
253	169° 3'	+ 4° 5'	9,9042n	9,2068	0'82	0,0000
265	174 58,3	+ 2 56,0	9,8736	9,4393n	0,80	9,9992
284	187 47,3	- 0 18,5	9,7189n	8,1761	0,52	9,9463
331	216 29,7	-11 24,9	9,8990n	9,5567	0,67	9,9384
347	227 11,2	+ 2 33,7	9,1000	9,7226n	0,54	9,8314
375	237 10,5	-15 54,6	9,8133n	9,5211n	0,73	9,8957
384	241 5,5	- 7 48,4	9,2827	9,6893n	0,52	9,8371
389	246 22,1	- 1 52,1	9,6184	9,5079n	0,53	9,7691
424	272 38,7	+ 2 56,4	9,7721n	9,8156n	0,88	9,7095
542	346 36,1	+ 2 9,1	9,8704	7,0000	0,74	9,9995
552	352 19,2	+ 4 30,2	9,6250	9,6444n	0,61	0,0000
14	7 9,0	+20 7,7	9,6672n	9,5551n	0,59	9,9999
46	22 48,9	+19 15,2	9,4543n	9,8293n	0,73	9,9832
112	69 38,8	+ 6 35,1	9,7343	8,5315n	0,64	9,8021
118	73 48,0	+18 21,0	9,7756	8,3222	0,50	9,8849
160	113 9,0	-28 30,8	9,7958n	8,7634n	0,63	9,9350
182	130 3,1	+29 6,7	9,7119n	9,3874n	0,57	9,9577
190	135 13,8	+15 49,3	9,7180n	9,4871	0,61	9,9739
264	174 37,0	+15 43,9	9,6973n	8,9731n	0,51	9,9915
286	188 57,5	+10 42,2	9,4717	9,6503n	0,56	9,9702
305	199 34,2	+14 53,3	9,3544n	9,7404n	0,68	9,9260
370	255 53,2	-13 51,4	9,1028n	9,7093n	0,53	9,6140
416	264 35,2	+27 51,0	9,5426n	9,8543n	0,80	9,8205
443	289 12,7	+24 32,9	9,2888n	9,7959n	0,65	9,6408
452	295 9,8	+ 8 19,9	9,7432	9,5900	0,68	9,9033
457	298 41,8	+16 31,0	9,6202n	9,5302n	0,54	9,7838
524	339 5,0	+11 6,6	9,3046	9,6739n	0,51	9,9336
530	340 28,3	+ 8 44,2	9,7473	8,7160	0,56	9,9852
1	359 33,0	+58 0,3	9,7124	9 2833n	0,55	9,9077
44	22 18,2	+41 34,0	9,9187	9,0864n	0,84	0,0000
122	76 8,5	+39 53,8	9,7161	9,8241n	0,85	9,9765
183	131 13,9	+48 50,7	9,6524n	9,4564n	0,53	9,9998
184	131 46,6	+42 55,6	9,6364n	9,4564n	0,52	9,9998
198	140 47,5	+36 44,4	9,8507n	9,6133n	0,75	9,9998
214	147 15,1	+32 56,2	9,7325n	9,6133n	0,70	9,9998
248	166 46,2	+32 41,7	9,6352n	9,7781n	0,74	9,9998
281	185 57,9	+42 29,2	9,8686n	9,4487	0,79	9,9320
326	214 32,0	+52 48,9	9,3920n	9,6096n	0,48	9,9041
371	236 22,6	+43 2,4	9,6310	9,7853	0,74	9,9496
377	238 17,0	+53 55,4	9,2711n	9,8727n	0,77	9,9147
392	248 22,0	+31 59,2	9,5974n	9,5798	0,55	9,9448
478	310 15,7	+61 2,2	9,8785	9,9042	0,81	9,9304
486	316 37,7	+37 10,0	9,2205	9,6857	0,51	9,9361
428	276 11,7	+72 38,3	9,7165	9,5611n	0,64	9,8206

(Der Beschluß folgt.)

## I n h a l t.

Ueber die Bahnen der Doppelsterne  $\gamma$  Virginis und  $\zeta$  Herculis. Von Herrn Dr. *Nüdler*. p. 33.Ueber die eigene Bewegung des Sonnensystems. Von Herrn Professor *Argander*, Director der Sternwarte in Bonn. p. 43.

# ASTRONOMISCHE NACHRICHTEN.

N<sup>o</sup>. 364.

## Ueber die eigene Bewegung des Sonnensystems. (Beschluss.)

Von Herrn Professor *Argelander*,  
Director der Sternwarte in Bonn.

Dritte Classe.													
NC.	$\alpha$	$\delta$	$l.\Delta\alpha$	$l.\Delta\delta$	$\Delta\alpha$	$\log \sin f$	NC.	$\alpha$	$\delta$	$l.\Delta\alpha$	$l.\Delta\delta$	$\Delta\alpha$	$\log \sin f$
401	254 37	—15 27	8,5025	9,1072	0,13	9,8660	451	294 38	+33 15	7,7005	9,6294	0,43	9,6796
402	257 9	—20 52,5	9,3946	9,3201	0,32	9,8962	459	299 40	+35 24,5	9,3545	9,5922	0,45	9,7306
376	237 59	+18 24	8,6384	9,2624	0,19	9,6144	440	288 7	+67 18	9,1070	8,8633	0,15	9,8030
379	239 41	+17 37	9,0244	9,0314	0,15	9,6008	460	301 18	+75 54	8,6866	9,0128	0,11	9,8747
383	240 55	+14 5,5	9,2456	9,5911	0,43	9,6278	475	310 13	+80 21	8,7825	9,3729	0,24	9,9009
388	245 19	+21 57	9,0299	7,4771	0,11	9,4575	489	318 24	+61 43	9,2000	inf. neg.	0,16	9,8683
393	248 44	+6 30	9,4012	9,3010	0,32	9,6608	483	314 25	—21 23	9,1228	8,9638	0,16	9,9820
398	251 58	+9 42,5	9,4794	8,5682	0,30	9,5935	487	317 19	—21 41	9,2198	8,6628	0,17	9,9865
403	256 38	+25 6	8,9323	9,1072	0,15	9,0978	494	322 9	—17 35,5	9,3621	8,2787	0,23	9,9878
409	261 20	—12 43,5	8,9782	9,2810	0,21	9,5033	495	322 34	—14 58	9,1697	9,4249	0,30	9,9853
412	263 19	+4 40	8,3208	9,2718	0,19	9,6532	499	323 54	—17 3,5	9,3896	9,3962	0,35	9,9895
413	263 30	—24 41	8,7027	9,0086	0,11	9,0880	502	325 30	—14 31	9,5416	8,5798	0,36	9,9889
414	263 43	+24 26	9,0274	9,0453	0,15	9,1062	508	329 38	—8 32	9,1581	9,6532	0,47	9,9704
381	240 20	+37 1,5	8,6346	9,5599	0,37	9,4858	515	333 50	—17 47,5	9,3132	8,4548	0,21	9,9967
382	240 55	+44 23	9,1441	9,5211	0,36	9,3850	520	335 50	—21 46	9,3287	9,1239	0,25	9,9999
385	241 44	+34 23,5	9,4819	8,2788	0,30	9,4475	526	339 6	—20 41,5	9,1156	9,2833	0,23	9,9999
394	248 57	+39 19,5	8,7178	8,8325	0,09	9,3366	461	301 10	+14 34,5	8,8779	8,8976	0,11	9,8124
396	251 17	+32 3	9,1377	7,7782	0,14	9,1498	472	307 12	—0 14	9,1973	7,8451	0,16	9,9083
405	257 38	+37 31	8,5379	9,0043	0,11	9,0695	473	307 12	+9 22	9,5204	8,5911	0,33	9,8732
378	239 30	+59 7,5	9,5396	9,5159	0,48	9,7056	484	316 6	+9 10,5	8,9187	9,4728	0,31	9,9173
387	245 56	+76 13,5	inf. neg.	9,3838	0,24	9,8530	488	318 7	+18 55,5	9,1814	8,9494	0,18	9,9014
410	262 3	+55 19,5	9,2030	8,6335	0,17	9,6101	509	329 56	+5 11	9,5545	8,7076	0,36	9,9717
415	266 32	+68 51	8,1648	9,4364	0,29	9,8856	462	301 42	+36 11	8,7264	9,0569	0,13	9,7489
417	266 24	+72 15	8,0313	9,4216	0,26	9,8174	476	309 28	+33 12	9,5700	9,5145	0,49	9,8156
419	266 2	+50 50	8,6577	9,2810	0,20	9,5323	479	310 41	+43 17	9,1668	9,0969	0,20	9,8153
422	269 41	+76 59	8,3979	9,4133	0,26	9,8560	492	321 35	+37 36,5	9,1948	9,0792	0,19	9,8821
425	273 11	+64 20	8,5602	9,7031	0,35	9,7467	496	323 43	+27 49	9,3633	9,3856	0,34	9,9077
427	275 34	+71 25	8,7433	9,0670	0,13	9,8161	506	329 20	+24 20	9,5159	8,6128	0,33	9,9379
429	276 21	+65 26	8,9392	8,7924	0,11	9,7934	512	332 44	—2 25,5	9,2131	9,4624	0,33	9,9669
430	275 59	—8 22,5	8,6186	9,4800	0,30	9,8277	527	339 17	—5 18	9,3172	9,4639	0,36	9,9668
436	281 28	+3 57	7,8750	9,0414	0,11	9,7427	531	340 56	—17 22	9,4718	8,8633	0,30	9,9999
437	281 29	—6 6	9,0601	8,2553	0,12	9,8282	541	346 16	—10 13	9,5874	8,1761	0,39	9,9999
438	287 26	—18 41	9,1303	8,4150	0,14	9,9193	544	347 3	+14 53	9,4314	9,0645	0,29	9,9988
424	288 46	+2 43	9,3851	9,0792	0,27	9,7979	545	347 9	—6 15	9,3165	8,2041	0,21	0,0000
426	273 43	+21 41	9,3345	9,3927	0,33	9,4137	546	348 1	—21 14	9,1870	8,9912	0,18	9,9951
382	279 12	+20 21,5	8,6105	9,5441	0,35	9,5302	554	352 59	—15 41,5	8,9921	8,4771	0,10	9,9935
388	282 33	+14 48	8,8147	8,7777	0,12	9,6395	2	360 10	—16 36,5	9,0027	9,3997	0,27	9,9821
453	290 1	+24 15	9,1774	8,9294	0,17	9,6529	517	334 1	+3 20,5	8,4914	8,6233	0,31	9,9827
453	295 16	+9 54,5	9,3737	9,1335	0,27	9,7937	533	342 1	+8 15,5	9,6340	9,3802	0,49	9,9908
455	296 17	+5 54	8,8814	9,6684	0,47	9,8240	536	344 31	+1 0	9,1105	9,0128	0,16	9,9977
456	297 23	+18 56	8,8509	8,8129	0,10	9,7604	549	349 22	+5 14,5	9,0818	8,5682	0,13	9,9990
28	269 47	+30 32,5	8,9745	8,9638	0,13	9,1302	556	357 10	+5 43	9,2708	9,0453	0,22	9,9996
31	277 29	+36 36	9,3500	9,4698	0,37	9,4263	513	333 25	+19 48	9,5094	7,9642	0,32	9,9587
47	292 43	+49 45	7,6854	9,3579	0,23	9,7005	532	341 49	+19 39,5	9,4218	8,9138	0,28	9,9795
49	294 4	+50 3	9,3390	9,1761	0,23	9,7122	534	343 26	+26 57,5	9,2993	9,1818	0,25	9,9745

NC.	$\alpha$	$\delta$	$l.\Delta\alpha$	$l.\Delta\delta$	$\Delta\alpha$	$\log \sin f$
539	345 26	+25 44	9,2861n	9,0043n	0,22	9,9799
547	348 24	+31 24	9,4018	8,6990n	0,26	9,9794
548	348 46	+22 16	9,3383	8,7160	0,22	9,9887
559	358 58	+27 52,5	9,5953	9,2455n	0,43	9,9960
560	359 25	+27 56,5	9,1516	9,1614n	0,20	9,9963
514	381 53	+51 12	8,3155n	9,3117n	0,21	9,9116
537	344 36	+48 10	9,2229	9,1584	0,22	9,9513
538	345 13	+42 26	9,3387n	9,2504n	0,28	9,9897
550	350 17	+38 6	9,4449	8,8513n	0,29	9,9756
551	351 52	+45 20	9,2378	9,6149n	0,45	9,9702
504	329 9	+72 12	8,9044n	9,2833n	0,21	9,9067
529	340 35	+65 7	8,9239n	9,1553n	0,17	9,9268
553	352 44	+76 28,5	8,8307n	9,2068	0,18	9,9381
7	3 4	-13 22	9,5906	8,8062	0,39	9,9799
9	6 9	-4 44	9,5725	8,5052n	0,38	9,9837
10	6 14	-1 39	9,0567	9,0043n	0,15	9,9948
17	8 18	-19 8	9,2881	8,4472	0,20	9,9593
18	8 46	-14 1	8,9033n	9,3541n	0,24	9,9658
21	9 56	-11 46	9,3683n	9,3711n	0,33	9,9661
27	14 32	-11 17,5	9,3466	9,1139n	0,26	9,9535
32	15 59	-9 2	8,7617	9,4564	0,29	9,9531
33	16 3,5	-2 5	8,8834n	9,3010	0,21	9,9655
35	16 35,5	-3 22	9,3246	9,1106n	0,25	9,9618
51	24 51	-11 43	8,2003n	9,0569n	0,20	9,9131
5	1 41	+7 43	8,4508	9,0253	0,11	9,9981
6	1 46	+15 11	9,4255	7,3010	0,27	9,9998
25	14 20	+0 54	9,0149	9,6721n	0,48	9,9743
26	14 26	+4 33	9,4511n	9,3096n	0,35	9,9789
31	16 44	+6 28,5	9,2302	8,9345n	0,19	9,9786
39	19 50	+5 4	9,4732	9,2810n	0,35	9,9672
41	21 2	+0 6,5	9,1761	9,9798n	0,41	9,9553
52	24 58	+10 0,5	9,0207n	8,7924n	0,12	9,9656
58	27 21	+2 6	9,4833	9,4698n	0,42	9,9405
13	6 55	+28 11	9,3255n	9,3541n	0,31	9,9997
22	11 19	+37 22	9,3193	8,8261	0,22	9,9987
28	14 33	+34 32	9,2933	8,8692n	0,21	0,0000
42	21 10	+40 22	9,2312n	9,6053n	0,44	0,0000
54	25 19	+28 34	8,4419	9,3655n	0,23	9,9931
56	25 58	+36 13,5	9,2351	7,8451	0,17	9,9982
61	28 53	+22 28,5	9,2971	9,1399n	0,24	9,9812
62	29 19	+34 0	9,2500	8,5441n	0,18	9,9950
24	14 3	+42 50	9,2289	8,7076n	0,18	9,9927
29	14 39	+54 2,5	9,3358	8,0792n	0,22	9,9896
36	18 6	+59 9	9,5123	8,6435n	0,33	9,9865
37	18 50	+44 20	9,5438	9,0334n	0,37	9,9987
43	21 20	+47 34	8,8744	9,1461n	0,16	9,9982
63	29 18	+56 39	9,0836	8,5798	0,13	9,9956
64	29 59	+50 5,5	9,5187	9,2529n	0,38	9,9994
11	6 11	+81 20,7	9,0645n	8,9494	0,15	9,9433
60	27 53	+70 34,0	9,4899	9,4564n	0,42	9,9768
65	30 33	-3 22	9,5936	8,8921n	0,40	9,9124
69	36 14	-4 27	9,2042n	9,6484n	0,47	9,8821
71	37 24	-12 46	9,0517	9,3997n	0,28	9,8408
75	38 51,6	-19 27,5	9,4789	8,3424	0,30	9,8028
79	41 35	-9 44	9,8406	9,3655n	0,25	9,8274
85	43 33	-1 59	9,3717	8,9542n	0,25	9,8442
87	46 57	-1 42	9,4189	9,0414n	0,28	9,8381
91	51 32	-0 6	8,2175	9,2405n	0,18	9,8231

NC.	$\alpha$	$\delta$	$l.\Delta\alpha$	$l.\Delta\delta$	$\Delta\alpha$	$\log \sin f$
93	52 12	-6 18	8,8725n	9,3483n	0,23	9,7756
67	34 5,5	+9 16	9,4422n	9,3424n	0,35	9,9391
70	36 20	+11 32,5	9,4176	8,9542n	0,27	9,9395
73	38 8,5	+2 21	9,1051n	9,2227n	0,21	9,9604
74	38 26	+9 14	9,4282	8,6721n	0,27	9,9151
78	41 11	+17 11	9,4867	9,3032n	0,36	9,9441
80	42 52	+3 16	7,8744n	9,0294n	0,11	9,8446
84	44 57	+18 56	9,2950	7,9542n	0,20	9,9418
88	47 8	+2 36	9,4285	8,2304n	0,27	9,8507
100	56 16	+21 26	9,3409	9,1106n	0,25	9,9236
104	62 5	+13 31,5	9,0933	8,1761n	0,13	9,8860
72	37 32	+48 20,5	9,5415	9,0719n	0,37	9,9990
76	38 54	+28 22,5	9,1887	9,1038n	0,20	9,9770
77	39 23	+37 27	9,3615	9,0000n	0,25	9,9918
82	43 53,5	+44 3,5	9,2686	9,1987n	0,24	9,9963
98	55 19	+50 4,7	9,0047	9,2330n	0,20	9,9980
101	58 34	+37 30	9,2473	9,3692n	0,29	9,9378
111	69 34	-17 19,5	9,2387	9,2765	0,26	9,9178
140	86 44	-14 13	7,9407n	9,1847	0,15	9,9471
106	64 12	+15 25,5	8,9699	8,6580n	0,10	9,9828
108	66 0	+16 5	8,8831	9,2253n	0,18	9,9828
110	69 9	+18 21	9,3149	9,5887n	0,42	9,9887
113	70 52	+9 48,5	8,7138	9,1903n	0,15	9,9427
119	74 4	+9 12	7,6476	9,5944n	0,39	9,9317
123	78 18	+28 25	8,8607	9,2967n	0,21	9,9588
127	81 23	+9 10	8,9966	9,4914n	0,33	9,9513
128	83 10	+14 57,6	9,1201	9,3010n	0,24	9,9588
136	85 31,5	+20 13	9,3158n	9,0531n	0,24	9,9828
142	90 32	+29 33,5	8,4166n	9,4669n	0,29	9,9481
144	91 12	+12 19	9,1005	9,2718	0,23	9,9481
109	67 42	+56 22	8,4256	9,2455n	0,18	9,9828
114	70 29	+66 30,5	8,9038	9,6021n	0,41	9,9828
117	72 37	+51 18	8,4900n	9,2672n	0,19	9,9828
120	75 21	+45 46	9,0020	9,6804n	0,44	9,9828
125	78 42	+57 3	9,1949	9,3464n	0,27	9,9828
141	87 5	+42 54	9,0901	9,2577n	0,22	9,9828
145	93 11	+58 17,5	7,8509	9,5682n	0,37	0,0000
153	104 59	-3 55,5	8,6375	9,3404	0,22	9,9828
162	115 5	-16 42,5	8,9962	9,1106n	0,16	9,9828
163	115 32,5	-13 21	8,9771n	9,5599n	0,38	9,9781
169	120 16	-13 12	9,3575n	9,0128	0,11	9,9828
174	123 34	-3 5,5	9,2129n	8,6232n	0,17	9,9828
151	101 30	+26 20	9,1854n	8,9638	0,18	9,9828
155	108 56	+32 11	9,0948	9,2504	0,22	9,9828
156	110 20	+32 19,5	9,2490n	8,8108n	0,19	9,9828
159	112 35	+29 22	8,8568	9,3464n	0,23	9,9828
166	119 29	+26 7,5	8,6344n	9,5366n	0,35	9,9828
167	119 39	+33 6	9,5763n	9,8129n	0,75	9,9828
171	121 51,5	+27 52,5	8,4447	9,5740n	0,38	9,9828
146	94 40,5	+61 58,5	9,4549n	9,4133n	0,38	9,9828
147	97 56,5	+43 46	7,9890n	9,2175	0,17	9,9828
150	99 49	+58 40,5	8,2722	9,2810n	0,19	9,9828
152	104 26	+59 59	9,0954n	9,4814n	0,33	9,9828
173	123 13	+51 23,7	9,0967n	9,1399n	0,19	9,9828
191	135 54	+3 11,5	9,1710	9,5172n	0,36	9,9828
196	139 22,5	-5 10	9,3784n	9,0000n	0,26	9,9828
201	141 55	-8 30	9,0225n	inf. neg.	0,11	9,9828
202	141 55	+5 35	9,2347n	8,6335n	0,18	9,9828

N.C.	$\alpha$	$\delta$	$l.\Delta\alpha$	$l.\Delta\delta$	$\Delta\alpha$	$\log \sin \delta$
109	144 56	+ 5 18,5	9,0375n	8,5315n	0,11	9,9761
112	145 22,5	+ 3 25	9,2581n	9,1106	0,22	9,9741
116	150 7	- 11 20	9,3074n	8,8921n	0,22	9,9626
217	150 51	- 6 22	9,4406n	8,6990	0,28	9,9721
175	123 31	+ 17 43	9,3042n	9,1737n	0,25	9,9533
178	128 13	+ 18 54,5	7,1520	9,3655n	0,23	9,9664
128	129 52	+ 16 6,5	9,1961n	8,8751	0,17	9,9634
188	134 8	+ 27 28,5	9,1594n	9,5944n	0,42	9,9899
188	135 4,5	+ 18 53	9,0271n	7,6021n	0,11	9,9791
192	137 6	+ 35 15,5	9,3998n	7,7782	0,25	9,9984
199	141 29	+ 25 36	9,4387n	8,4472n	0,28	9,9948
204	142 31	+ 10 50	9,2017n	8,6128n	0,16	9,9796
207	144 1	+ 21 33,5	9,1820	9,1399n	0,21	9,9939
218	145 1	+ 25 22	8,7656	9,2455n	0,18	9,9972
218	145 14	+ 26 58,5	9,4421n	8,9031n	0,29	9,9981
218	146 44	+ 16 12	8,8575n	9,2742n	0,20	9,9921
219	149 19,5	+ 12 58,5	9,4128n	8,1761	0,26	9,9922
179	129 2	+ 62 43,5	8,3688n	9,2601	0,18	9,9911
184	132 59	+ 67 57,7	8,6599n	9,0755n	0,13	9,9816
194	138 45	+ 46 30	7,3149n	9,2041n	0,16	9,9991
203	143 47	+ 46 69	9,4679	9,0492n	0,31	9,9971
203	144 1	+ 60 0,3	9,4000n	9,2480n	0,31	9,9851
210	151 8	+ 43 56,5	9,2124n	8,7160n	0,17	9,9948
214	154 1	- 15 47	9,1968n	9,0043n	0,19	9,9664
216	157 43	- 0 39	9,1055n	9,0864n	0,18	9,9912
216	159 51	- 15 6,5	8,7628	9,2695	0,20	9,9806
219	162 25	- 17 12	9,6654n	9,1367	0,48	9,9833
219	167 15	- 13 40,5	9,8931n	9,3054	0,22	9,9933
21	168 16	- 17 38,5	9,4795n	8,4472n	0,30	9,9918
21	168 38	- 16 33	9,2546n	8,8692	0,19	9,9981
219	169 11	- 11 13	9,1805n	8,5441	0,16	9,9965
217	170 21	- 5 19	8,8732n	9,1761n	0,17	9,9994
21	157 58,5	+ 4 40	9,0008n	8,2788	0,10	9,9953
159	8	+ 7 26	8,9648n	8,3222n	0,10	9,9977
212	163 34,5	+ 8 27	9,5017n	8,7993n	0,32	9,9998
213	164 5	+ 3 5	9,6101n	8,9243n	0,42	9,9989
217	170 15	+ 15 31	9,2405n	9,2405n	0,34	9,9962
217	170 56	+ 4 13	9,2163n	9,0719n	0,20	9,9997
217	173 48	+ 7 41,5	8,7404	9,2989n	0,21	9,9972
217	178 17	+ 6 43	9,2876n	9,1761n	0,25	9,9935
217	179 46	+ 3 4	8,2894	9,3404n	0,22	9,9943
21	157 54	+ 27 24,5	9,0738n	8,8976n	0,14	9,9989
158	2	+ 24 16	9,0754n	7,9547n	0,12	9,9997
158	2	+ 35 20	8,7311	9,3655n	0,24	9,9932
151	163 32,5	+ 26 19	9,6171n	9,9031n	0,42	9,9961
151	165 41,5	+ 21 16	9,5221n	9,1461n	0,36	9,9970
156	46	+ 21 39,5	9,3116	9,1367n	0,25	9,9967
172	73 31	+ 35 22,5	8,0875	9,6232n	0,42	9,9763
172	41	+ 32 54	9,5118n	8,6532	0,33	9,9787
174	179	+ 21 22	9,2134n	7,6021	0,16	9,9873
182	16	+ 29 19	9,3939n	9,2900n	0,29	9,9616
153	26	+ 36 29	9,0545n	8,9590n	0,15	9,9977
153	37,5	+ 37 46	9,0471n	9,0170n	0,15	9,9967
156	48	+ 38 59	9,3971n	8,6232n	0,25	9,9940
161	67	+ 41 32	9,5318n	8,7160	0,34	9,9864
162	42	+ 62 62,0	9,0615n	8,9494n	0,15	9,9606
164	29	+ 45 37	8,8334n	8,8976n	0,11	9,9787
175	42,5	+ 54 51	9,0435	7,8451n	0,11	9,9466

N.C.	$\alpha$	$\delta$	$l.\Delta\alpha$	$l.\Delta\delta$	$\Delta\alpha$	$\log \sin \delta$
269	177 53	+ 44 12	9,4834n	8,5051	0,31	9,9537
272	181 17	- 16 23	9,2336n	8,5441	0,18	0,0000
280	185 21	- 15 3	9,6647n	8,7324n	0,46	9,9989
297	195 15,5	- 15 4,5	8,9934	9,4232n	0,28	9,9905
299	196 12	- 18 50	9,4907	9,0334n	0,33	9,9929
304	198 56,5	- 11 37,5	9,0647n	8,5682n	0,12	9,9809
316	208 56	- 8 19	9,1671n	8,1139	0,15	9,9516
274	182 27	+ 4 28	9,4381n	8,7324n	0,29	9,9899
277	182 59,5	+ 6 27,5	9,2971n	8,9085n	0,21	9,9873
283	187 47	+ 11 34	9,1715n	8,5315n	0,15	9,9719
287	190 38,5	- 2 25	9,3218n	8,4314n	0,21	9,9838
291	192 58,0	+ 12 5	9,3839n	8,4472	0,24	9,9569
300	196 37	+ 10 31	9,5032n	8,2788	0,37	9,9834
307	201 2	+ 0 28	9,3936n	8,9542	0,26	9,9545
309	203 10	+ 4 35,5	9,5071n	8,7559n	0,33	9,9382
276	182 33	+ 18 56,5	9,8780n	8,9345	0,12	9,9744
279	184 9	+ 29 25,5	9,0192n	9,0374n	0,15	9,9562
293	194 58,5	+ 18 38	9,6225n	9,1903	0,45	9,9382
311	204 21	+ 18 30	9,6555n	8,7404	0,46	9,9877
313	204 52	+ 16 40	8,9130n	8,7243	0,10	8,9995
314	206 12	+ 19 26,5	8,2967n	9,5378n	0,35	8,8856
285	188 47	+ 40 23,5	9,5420n	9,2148	0,38	9,9259
289	191 34,5	+ 39 26,5	9,3583n	8,7324	0,24	9,9167
295	195 7	+ 39 50	9,0345n	8,5198	0,12	9,9018
303	198 53	+ 56 0,8	9,1930	8,5315n	0,16	8,9779
308	201 29	+ 50 5	9,1169n	7,9031	0,13	8,8661
312	204 50	+ 50 21	8,9304n	8,5051n	0,09	8,8506
335	218 30	- 24 83	9,3729n	8,8451n	0,25	9,9700
337	219 50	- 15 9	8,8550n	8,6128n	0,09	9,9412
368	235 30,5	- 16 6,5	9,2194	9,1584	0,22	9,9038
318	210 53,5	- 4 58,5	9,4531n	8,9868	0,30	9,9366
320	211 17	- 5 0	8,6216	9,6021n	0,40	9,9363
334	218 2	- 4 45	9,1384	9,4969n	0,34	9,9100
355	230 43	- 9 20,5	9,4756	9,3579n	0,38	8,8830
365	235 7	- 2 27	9,9750n	8,0000n	0,10	8,8225
325	212 29	+ 17 16	9,1384n	8,9445	0,16	8,8556
359	233 9	+ 19 8	9,1199n	8,9956	0,17	9,6671
361	233 31	+ 7 4,5	9,2447	8,8261	0,19	9,7602
364	235 7	+ 6 7	9,2816	8,8451	0,20	9,7647
328	215 46,5	+ 23 11	9,1263n	8,7324	0,14	8,8130
329	216 24,5	+ 30 39	9,3412	9,1553	0,26	9,7873
342	223 53	+ 27 46	9,1524n	8,1761	0,14	9,7262
345	224 33	+ 25 41	9,1878	9,1584n	0,21	9,7265
350	227 53,5	+ 30 22,5	9,0614n	8,2553n	0,12	9,6737
352	228 39,5	+ 31 3	9,1504	9,2355n	0,22	9,6628
356	231 29	+ 27 25	9,1244	8,7634n	0,15	9,6380
358	233 5	+ 20 21	8,9475n	7,8451	0,09	9,6590
360	235 30,5	+ 26 58	8,8665n	8,9542	0,12	9,6129
366	235 13,5	+ 26 43	9,0514n	8,5682n	0,12	9,5876
323	212 7	+ 47 3	9,2243n	9,1959	0,23	8,8191
324	212 11,5	+ 52 20	9,1690n	8,9085	0,17	9,8155
327	215 21	+ 50 47	9,4821n	8,8692n	0,31	9,7950
344	224 14	+ 48 28	9,6147n	8,5185	0,41	9,7294
353	229 10	+ 38 7	9,1133n	8,9912	0,16	9,6530
369	235 51	+ 36 18,5	8,5447n	9,5237n	0,34	9,5593

Diejenigen  $\psi$ , die bei der neuen Revision unrichtig befunden wurden, setze ich verbessert hier her, so wie die  $\psi' - \psi$ , die

aus dieser Verbesserung folgen, und zwar in derselben Ordnung, in der die Sterne in meiner Abhandlung und in dem oben gegebenen Tableau auf einander folgen:

	NC.	$\downarrow$	$\downarrow-\downarrow$
Cl. II.	424	222° 8'	— 59° 30'
Cl. III.	412	353 37	— 178 26
	453	119 54	+ 9 1
	440	60 18	— 22 10
	514	185 46	— 88 1
	550	104 18	+ 11 1
	553	337 11	+ 122 46

NC.	$\downarrow$	$\downarrow-\downarrow$
54	173 12	— 38 52
78	123 14	+ 18 31
155	34 57	+ 170 40
166	187 8	+ 27 58
146	227 44	+ 35 52
229	260 27	— 23 13
297	159 37	+ 73 1
299	109 14	+ 122 26
329	56 54	— 159 41
345	133 4	+ 118 23
352	140 35	+ 120 26

Argelander.

## Ueber das Helligkeitsverhältniß der Doppelsternpaare.

Von Herrn Dr. Mädler.

Das großartige Werk über Doppelsterne, mit welchem *Struve* die Astronomie erweitert hat, ist eine reiche Fundgrube für die mannichfaltigsten Untersuchungen über die Constitution der Fixsternwelt, und der Verfasser selbst hat uns bereits in der Einleitung mehrere höchst werthvolle Proben gegeben. Zwar ist nicht zu verkennen, daß alle gegenwärtig aus dieser Arbeit gezogenen Resultate nur eine Andeutung und Vorbereitung künftiger Untersuchungen sein können: gleichwohl werden die ersteren bei aller noch unvermeidlichen Unvollkommenheit doch um so weniger als unzeitig und übereilt erscheinen, je weniger die Zukunft, weicher aus den Mensuris den vollen Gewinn zu ziehen vergönnt sein wird, eine nahe bevorstehende genannt werden kann.

Bereits in der Einleitung zu seinem 1827 erschienenen Catalogus machte *Struve* aufmerksam darauf, daß der Unterschied in der scheinbaren GröÙe beider Sterne eines Binärsystems

beträchtlich geringer sei, als er nach einem mittleren Durchschnitt aus willkürlich gebildeten Sternepaaren gefunden werden müßte. Indem ich dieses Resultat einer genaueren Prüfung unterwarf, bei welcher die Doppelsterne einerseits nach ihren 8 Klassen geordnet, andererseits nach der verschiedenen Helligkeit des Hauptsterns in jeder Klasse noch 3 Unterabtheilungen gemacht wurden, bestätigte sich nicht allein die Thatsache, sondern es ergab sich zugleich, daß mit der zunehmenden scheinbaren Distanz ein fast regelmäßiges Wachsen dieses Unterschiedes statt finde. In den folgenden Zusammenstellungen der von mir erhaltenen Resultate bezeichnen die römischen Ziffern die 8 *Struveschen* Klassen; unter *A* sind die Sternepaare begriffen, wo der Hauptstern nicht unter 3<sup>m</sup>, unter *B* die, wo er zwischen 3<sup>m</sup> und 8<sup>m</sup>2; unter *C* die, wo er unter 8<sup>m</sup>2 Helligkeit hat. Die Zahl der verglichenen Sternepaare \*) ist:

	Cl. I.	II.	III.	IV.	V.	VI.	VII.	Summa.
<i>A</i>	13	16	39	36	16	24	26	182
<i>B</i>	64	193	303	355	205	137	333	1817
<i>C</i>	12	107	188	195	140	71	131	926
Summa	89	316	530	586	361	232	490	2925

Die mittlere Helligkeit (scheinbare GröÙe) des Hauptsterns ergab sich:

	<i>A</i>	<i>B</i>	<i>C</i>
4 <sup>m</sup> 96	4,92	4,60	4,611
7,360	7,472	7,467	7,516
8,530	8,568	8,628	8,667
7,170	7,711	7,514	7,721
7,783	7,495	7,636	7,723
7,641			

Die mittlere Helligkeit des Begleiters hingegen:

	<i>A</i>	<i>B</i>	<i>C</i>
6 <sup>m</sup> 28	6,54	7,04	7,585
7,990	8,420	8,957	9,096
8,860	9,421	9,403	9,597
7,860	8,618	8,820	9,164
9,339	9,215	9,451	9,758
9,145			

\*) Es sind nicht allein die ( $n+1$ )fachen Sterne amal aufgeführt, sondern auch mehrere von denen, welche *Struve* in seiner Mensuris ausgeschlossen hat, für welche aber in gegenwärtiger Untersuchung ein Anschließungsgrund nicht statt fand, mit zusammen genommen werden.

wonach die Unterschiede der scheinbaren Helligkeit die folgenden sind:

	I.	II.	III.	IV.	V.	VI.	VII.	VIII.	Summa.
A	1 <sup>m</sup> 32	1,53	2,44	2,874	3,325	3,429	3,788	4,658	2 <sup>m</sup> 913
B	0,630	0,948	1,490	1,580	1,774	1,718	1,947	2,225	1,644
C	0,330	0,853	0,775	0,930	1,035	1,147	1,060	1,127	0,950
	0,690	0,907	1,306	1,443	1,556	1,720	1,813	2,035	1,504

(3)

Die Regelmäßigkeit in der Zunahme dieser Zahlen veranlaßte mich zu untersuchen, ob sie sich durch einen Ausdruck von der Form  $n \cdot d^n$ , wo  $n$  einen constanten Factor und  $d$  die mittleren Distanzen in jeder Klasse bezeichnen, darstellen ließen. Ich erhielt nach der Methode der kleinsten Quadrate  $n = 0^m 8638$  und  $x = 0,2617$ , und damit die obigen Zahlen  $0^m 721$ ; 0,960; 1,132; 1,381; 1,578; 1,723; 1,891; 2,066; folglich die Abweichungen  $-0^m 031$ ;  $-0,053$ ;  $+0,154$ ;  $+0,062$ ;  $-0,022$ ;  $-0,003$ ;  $-0,078$ ;  $-0,031$ .

Allerdings könnte bei den Sternen der I. und einigermaßen auch noch denen der II. Klasse der Grund des geringen mittleren Unterschiedes mehr ein optischer als physischer sein, da ein sehr schwacher Begleiter bei zu geringer Distanz vom Hauptstern nicht mehr erkannt wird, während er bei größerer sichtbar und selbst noch meßbar sein kann. Allein auch für die folgenden Klassen, wo dieser Grund gewiß gänzlich wegfällt, bleibt das Gesetz deutlich sichtbar, und zugleich steht fest, daß selbst in der letzten Klasse die Unterschiede noch immer geringer sind, als diejenigen, welche erhalten werden, wenn man die mittleren Unterschiede für die entsprechenden Größen bei willkürlich paarweise verbundenen Sternen untersucht. Bei *Struve* kommen zwar noch einzelne Sterne der

12<sup>ten</sup> Größe vor, im Allgemeinen aber wird man die 11<sup>te</sup> des Begleiters als mittlere Grenze seiner Untersuchungen annehmen haben. Die Zahl der Fixsterne in den bloß telescopischen Klassen ist uns unbekannt, bleiben wir indess bei denen stehen, welche p. XCH. des angeführten Werkes aus der vorausgesetzten Größe des Lichtverlustes (0,1276 für einen Stern erster Größe) annäherungsweise gefolgert werden, und welche, wie er hinzufügt, gewiß noch zu gering sind und von der Wahrheit desto weiter abweichen, je geringer die Größe des Sterne ist, folglich sicher nicht zu große, sondern eher zu kleine Werthe für die mittleren Unterschiede der Sterne geben werden, so finden wir wenn der größere Stern 4<sup>m</sup> ist, 6<sup>m</sup> 181 mittlere Differenz:

—	—	5	—	5,219
—	—	6	—	4,232
—	—	7	—	3,276
—	—	8	—	2,353
—	—	9	—	1,483

welche Werthe also für das Mittel aus einer hinreichenden Anzahl optischer Doppelsterne, wo der Begleiter nicht unter 11<sup>m</sup> ist, gültig, oder vielmehr nach der obigen Bemerkung noch etwas zu klein sein werden. Durch Interpolation erhält man hieraus die Werthe, welche in Tafel (3) hätten erscheinen müssen, wenn die physischen Doppelsterne sich in dieser Beziehung den optischen gleich verhielten, folgendermaßen:

A	5 <sup>m</sup> 258	5,297	5,609	5,598	5,867	5,613	5,411	5,705	5 <sup>m</sup> 557
B	2,938	2,835	2,840	2,795	2,872	2,862	2,830	2,734	2,824
C	1,883	1,849	1,799	1,766	1,745	1,846	1,808	1,836	1,821
Mittel	3,215	2,715	2,896	2,705	2,650	2,914	2,783	2,704	2,780

(4)

Die Differenzen (4) — (3), oder die Ueberschüsse der mittleren Unterschiede bei optischen Doppelsternen, verglichen mit denen bei physischen, sind also:

A	+3 <sup>m</sup> 938	3,767	3,169	2,724	2,542	2,184	1,623	1,047	2 <sup>m</sup> 644
B	2,308	1,887	1,350	1,215	1,098	1,142	0,883	0,509	1,180
C	1,553	0,996	1,024	0,336	0,710	0,699	0,748	0,609	0,871
Mittel	+2,525	1,808	1,590	1,262	1,094	1,194	0,970	0,669	1,266

(5)

Die allgemeinen Resultate der vorstehenden Untersuchungen lassen sich in folgende Sätze zusammenfassen:

1. In allen 8 Klassen gehört die größere Anzahl der Doppelsterne zu den physisch verbundenen, doch so, daß in den höheren Klassen die Zahl der optischen wächst.

2. Diejenigen Sterne, deren Begleiter verhältnißmäßig nahe stehen, sind im Allgemeinen nicht weiter von der Erde entfernt, als die von größeren Distanzen, und der Grund des geringeren scheinbaren Abstandes ist also gleichfalls physisch,

d. h. diese Sterne stehen einander, im Durchschnitt genommen, wirklich näher als die der höhern Klassen.

Zu diesen beiden Gesetzen ist bereits *Struve*, aber durch eine gänzlich verschiedene Betrachtungsweise, gelangt, so daß unsere von einander unabhängigen Resultate sich gegenseitig bestätigen. Fände das zweite Gesetz nicht Statt, so müßten die Hauptsterne der ersten Klassen durchschnittlich schwächer sein als die der höhern, was aus den obigen Reihen nicht hervorgeht.



3. Die Differenzen der Helligkeit (und folglich, wenn man den Oberflächen beider Sterne gleiche Leuchtfähigkeit zuschreibt, auch die Differenzen der Durchmesser) sind desto kleiner, je näher der Begleiter dem Hauptsterne steht.

Dieses Gesetz bestätigt sich auch durch eine Vergleichung der drei- und mehrfachen Sterne. In den meisten Systemen dieser Art ist derjenige Begleiter, der dem Hauptsterne optisch näher steht, auch der hellere, und oft von letzterem kaum verschieden. Hier waltet also das umgekehrte Gesetz als in den Planeten- und Mondensystemen, wo im Allgemeinen die entfernteren sekundären auch die größeren sind.

4. Größere Hauptsterne haben in der Regel auch größere Begleiter, doch ist die Differenz stärker, wenn der Hauptstern zu den ersten Größen gehört.

Die Anzahl der verglichenen Sterne hätte noch etwas vermehrt werden können, wenn die von *Herschel* und *South* beobachteten, die bei *Struve* nicht vorkommen, hinzugezogen worden wären. Allein die Scala, welche die genannten britischen Astronomen bei der Größenbezeichnung anwenden, lat von der, welche *Struve* und *Harding* gewählt haben (beide letztern stimmen in Rücksicht der Größen sehr nahe überein) so verschieden, daß sie ohne eine bedeutende Reduction, zu der die Data nicht mit hinreichender Sicherheit vorliegen, sich zu einer

Masse des Hauptsterns, die des Begleiters = 1 gesetzt, im mittlern Durchschnitt.

		I.	II.	III.	IV.	V.	VI.	VII.	VIII.	Mittel.
(6)	A	4,616	6,409	19,349	32,772	56,666	64,294	99,419	285,917	34,361
	B	2,140	3,162	4,208	4,590	8,619	8,052	10,684	14,903	7,360
	C	1,493	2,830	2,563	3,093	3,514	4,026	3,622	3,929	3,169
		2,311	3,008	4,883	8,767	6,614	8,071	9,037	11,832	4,266

Also nur das Verhältniß von Erde und Mond (88:1) gestattet noch eine Vergleichung mit den höhern Klassen der Binar-systeme mit hellern Hauptsternen; in den übrigen uns bekannten Systemen sind selbst die größten der sekundären Massen in Vergleich zu ihrem Centrialkörper ungleich kleiner, als die Begleiter der Doppelsterne, und die Fälle mügen nicht selten sein, wo die Massen der beiden Sterne nahe dieselben sind, da man bei mehreren keinen Unterschied der scheinbaren Größe wahrgenommen hat. Die Schwerpunkte der fünf Systeme, welche wir näher kennen, liegen sämtlich noch innerhalb der Hauptkörper, ein Fall der bei Doppelsternen zu den selteneren gehören mag.

Bei einigen wenigen zeigen sich zwar stärkere Unterschiede des Lichtglanzes, so daß die vorausgesetzte Hypothese auf Massenverschiedenheiten führt, wie sie auch außer den Doppelsternsystemen vorkommen. Ich habe aus jeder der 8 Klassen diejenigen 3 Systeme ausgewählt, in denen die stärksten Verschiedenheiten vorkommen.\* Nimmt man sie sämtlich als physisch an, so findet sich:

Zusammenstellung mit den hier verglichenen nicht eignen. Sie verdienen, zumal wenn die Reduction der in der Südhälfte beobachteten vollendet sein wird, eine besondere Untersuchung.

Die ermittelten Größendifferenzen können aber auch angewandt werden, uns eine allgemeine Vorstellung über das bei Doppelsternen stattfindende Verhältniß der Massen zu bilden. Nach *Struve's* Untersuchungen stehen die Sterne 7<sup>ter</sup> Größe durchschnittlich in einer Entfernung = 11,34 von unserer Erde, wenn die mittlere Entfernung eines Sterns 1<sup>er</sup> Größe = 1 gesetzt wird. Daraus würde folgen, daß ein Stern 7<sup>ter</sup> Größe, der mit einem Sterne der ersten in gleichem Abstand von der Erde sich befindet, einen 11,34mal kleineren Durchmesser und eine (11,34)<sup>2</sup>mal kleinere Masse als der Hauptstern hat, wenn man sowohl die Leuchtfähigkeit der Oberflächen, als die Dichtigkeit beider Sterne einander gleich setzt. Läßt man die scheinbaren Durchmesser der Sterne aneinanderfolgender um 1 verschiedener Größen nach einer geometrischen Reihe abnehmen, und nimmt für die schwächeren Sterne denselben Exponenten der Verminderung an, so folgt, daß ein um 1 hellerer Stern eine Masse = 3,367 habe, wenn die Masse des schwächeren = 1 gesetzt wird; oder daß jene (3,367)<sup>n</sup> sei, wenn man die Masse des um n Größen schwächeren Begleiters zur Einheit nimmt. Unter diesen Voraussetzungen führen die in (3) ermittelten Helligkeitsdifferenzen auf folgende Massenverhältnisse:

				Masse d. Hauptsterns.
I.	λ Ophiuchi	4 <sup>m</sup> 0;	6 <sup>m</sup> 0;	12,5
	γ Coronae	4,0	7,0	38,1
	ζ Herculae	3,0	6,5	70,1
II.	1380 Anon.	7,6;	10,7	43
	1400 Anon.	7,3	10,5	49
	δ Cygni	3,0	7,9	364
III.	φ Virginis	5,2;	9,7	236
	5 Cancri	6,2	10,7	236
	2 Camelopardalis	4,7	9,0	185
IV.	52 Cygni	4,0;	9,2	552
	φ Piscium	4,7	10,1	704
	υ Ursae maj.	3,7	10,1	2370
V.	α Pegasi	3,9;	10,6	4350
	β Orionis	1,0	8,0	4912
	α Geminorum	3,2	10,3	5546
VI.	ι Leporis	4,2;	10,5	2099
	δ Orionis	4,7	11,3	3032
	ζ Persei	4,7	11,3	3022
VII.	129 Pegasi	5,8;	11,8	1458
	42 Herculae	4,0	10,7	3412
	α Ursae minoris	2,0	9,0	4912
VIII.	δ Equulei	4,1;	10,2	1647
	β Serpentis	3,0	9,2	1859
	7 Camelopardalis	4,2	11,3	5546

Sobald man indefs die von Struve gezogenen Grenzen auch nur um ein Geringes überschreitet, kommt man auf weit stärkere Differenzen. So für  $\gamma$  Delphini  $3^m 0, 11^m 0$ ; Distanz  $= 32^4 477$ , Masse nach obiger Hypothese 16540. Allein eben dieser Umstand dürfte einen Beweis abgeben, daß  $32^4$  wirklich sehr nahe diejenige Grenze der Distanzen sei, jenseit welcher die

bloß optische Duplicität der Sterne überwiegende Wahrscheinlichkeit erhält. Noch weiter in diesen Betrachtungen zu gehen, würde für jetzt vergebliche Arbeit sein, da das Vorstehende genügt, das bei Doppelsternen statt findende Gesetz der Massenvertheilung in seinen allgemeinsten Beziehungen darzustellen.

Mädler.

# Berechnung der Hansenschen Constanten für die Sternbedeckungen von 1839; nebst einigen Bemerkungen über den Gebrauch der Mondkarte bei Sternbedeckungen.

Von Herrn Dr. Mädler.

In Nr. 360 der A. N. hat Herr Director Hansen gezeigt, daß von in den vorausberechneten Ephemeriden für jede Sternbedeckung noch drei auf die selenocentrische Lage des Ein- oder Austrittspunktes bezügliche Constanten hinzugefügt werden, der Beobachter an einem gegebenen Orte nur noch ein rechtwinkliges sphärisches Dreieck auflösen hat, um die selenographische Länge und Breite des bezüglichen Punktes zu finden. Durch Hülfe der Mondkarte kennt er also den Ort des Mondprofils, kann dies mit Bequemlichkeit im Fernrohr aufsuchen und zugleich, was bei Bedeckungen schwacher Sterne ebenfalls von Nutzen sein dürfte, den ganzen übrigen Theil des Mondbildes aus dem Gesichtsfelde entfernen. Indefs könnte leicht ein anderer Umstand diese Vortheile illusorisch machen. Die Constanten  $L$ ,  $\phi$ ,  $c$  (vgl. Hansens Aufsatz) können zwar nicht mit hinreichender Genauigkeit gefunden werden; der Bogen  $Q$  aber, wovon die Bestimmung von  $\phi$  größtentheils abhängt, ist oft mit einer beträchtlichen Unsicherheit behaftet. Nach Encke's Bemerkung (Astr. Jahrbuch für 1830 p. 256) kann der Moondort um  $10''$ , der des Sterns auch wohl bis  $5''$  falsch sein. Dies auf unsern Gegenstand angewandt, findet sich, daß der Ein- oder Austrittspunkt selbst bei einer nahe centralen Bedeckung um  $1''$  im Bogen des Mondrandes, folglich bei moontrischen um mehrere Grade fehlerhaft sein kann. Man wird also namentlich bei Bedeckungen der letztern Art den voraus berechneten  $\phi$  kein so großes Vertrauen schenken dürfen.

Ist der Mond nahe voll, kann man also sowohl beim Ein- als Austritt den sichtbaren Theil des Mondes mit dem Sterne zugleich ins Auge fassen, so wird man diesem Uebelstande leicht abhelfen können. Die fehlerhaft angenommene Declinationsdifferenz wird nemlich den Ein- und Austrittspunkt nicht allein an gleichem Sinne, sondern auch nahe um dieselbe Quantität verschieben. Hat man also  $\phi$  sowohl für den Ein- als Austritt berechnet, und hat der beobachtete Eintritt gezeigt, daß der Punkt  $M$  eine selenographische Breite  $\phi' + \Delta\phi$  zu haben, so wird derselbe Werth von  $\Delta\phi$  auch sehr nahe die Correction des Austrittspunktes geben.

Überhaupt aber dürfte es wünschenswerth sein, daß der beobachtete Ein- und Austrittspunkt, so oft dies mit Sicherheit möglich ist, nach seiner selenographischen Breite angegeben werde. Die Fälle, wo die Identität des bedeckten Sterns zweifelhaft werden kann, sind besonders bei Plejadenbedeckungen nicht so gar selten; und ist nur ein Moment beobachtet worden und der Stern sehr klein, also vielleicht gar nicht vorausberechnet, so ist gewöhnlich die Mühe umsonst. Jene Angabe aber, selbst wenn sie nur einseitig gelingt, giebt, verbunden mit dem beobachteten Moment, dem Berechner die Mittel an die Hand, beide Coordinaten des bedeckten Sterns leicht und mit hinreichender Genauigkeit zu

finden, um über seine Identität entscheiden zu können. Noch glaube ich darauf aufmerksam machen zu müssen, daß der voll erleuchtete Rand zuweilen einen von der Mondkarte sehr verschiedenen Anblick darbieten kann. Ist nemlich die Beleuchtung schon so weit vorgerückt, daß die Unebenheiten des Terrains nicht mehr hervortreten, sondern nur noch Farben unterschieden werden können, so wird es oft Mühe machen, sich auf der Karte, welche hauptsächlich für das Terrain berechnet ist, zurechtzufinden. Beobachtet man die Oberfläche des Mondes häufiger, so wird man diesen Nachtheil zwar wenig empfinden, indefs scheint doch eine Karte, welche ausschließlich Vollmondsbild ist, auch in andern Beziehungen wünschenswerth, und eine solche ist jetzt in Arbeit und wird hoffentlich im Laufe des nächsten Jahres erscheinen.

Die hier folgenden Constanten für alle vorausberechneten Sternbedeckungen des Jahrs 1839 schliesen sich genau den von Hansen selbst für Sept. bis Dec. 1838 berechneten an.

## Hansensche Constante für die Sternbedeckungen im J. 1839.

1839.		$\phi$	$L$	$c$
Janr. 6.	25 (Virginia)	$-1^{\circ} 52'$	$90^{\circ} 47'$	$-21^{\circ} 48'$
7.	58	$-2 52$	90 8	$-21 1$
	62	$-3 9$	89 22	$-20 54$
22.	27 $\psi$ Arietis	$+3 37$	92 33	$+17 50$
23.	66	$+4 59$	92 26	$+14 5$
25.	136 Aurigae	$+5 48$	93 54	$+3 18$
27.	47 Geminoi.	$+5 48$	95 54	$-5 39$
Febr. 1.	89 H Leonis	$+0 21$	93 14	$-21 44$
	(1596) Aquar.	$-1 46$	87 49	$+21 28$
15.	71 $\pi$ Pisc.	$+1 35$	91 8	$+21 22$
19.	47 Arietis	$+4 57$	93 33	$+16 14$
23.	47 Geminoi.	$+7 32$	95 21	$-1 58$
28.	82 Leonis	$-0 10$	92 12	$-21 34$
	84 $\pi$ Leonis	$-0 21$	91 59	$-21 37$
März 4.	22 Virginia	$-5 16$	87 32	$-18 42$
	1 b Scorpü	$-6 45$	85 22	$-12 28$
	4 Scorpü	$-7 22$	84 51	$-12 7$
	6 $\gamma$	$-6 48$	84 44	$-11 55$
11.	296 Caprie.	$-5 56$	83 14	$+13 50$
	298	$-6 50$	83 11	$+13 51$
19.	17 b Plejad.	$+5 25$	94 16	$+12 52$
	16 g	$+5 36$	94 11	$+12 52$
	19 e	$+5 46$	94 15	$+12 52$
	20 c	$+5 40$	94 16	$+12 51$
	23 d	$+5 14$	94 20	$+12 50$
	(151)	$+5 32$	94 21	$+12 44$
	25 $\gamma$ Tauri	$+5 21$	94 21	$+12 44$

1839.		$\phi$	$L_z$	$e$
März 19.	28 h Plejad.	+5° 20'	94° 25'	+12° 37'
	27 f —	+5 16	94 25	+12 37
21.	236 Tauri	+6 1	96 12	+1 55
23.	76 c Gemin.	+5 36	97 18	+8 10
29.	91 Virginis	-1 48	92 6	-21 56
	111 —	-1 62	91 42	-21 54
30.	50 —	-2 50	90 41	-21 14
April 1.	166 Librae	-5 35	87 22	-17 1
	171 —	-5 40	87 12	-16 58
3.	23 r Scorpii	-7 31	84 15	-8 48
4.	90 Ophiuchi	-7 56	83 40	-4 8
6.	84 p Sagitt.	-7 7	82 30	+6 46
8.	28 q Capr.	-5 29	82 55	+15 45
17.	136 Aurigae	+5 48	95 58	+3 23
30.	265 m Scorpii	-6 39	86 45	-11 11
Mai 2.	339 y Sagitt.	-7 35	84 21	-0 41
3.	293 —	-7 26	83 18	+5 9
4.	60 a —	-6 41	83 17	+9 45
8.	96 Piscium	-1 44	84 32	+21 38
13.	25 r Tauri	+5 22	91 44	+12 47
	151 Plejad.	+5 32	91 40	+12 46
	27 f —	+5 16	91 47	+12 40
	28 h —	+5 21	91 47	+12 40
15.	287 Aurigae	+5 35	95 9	+1 8
21.	88 Leonis	+1 19	94 13	-21 33
25.	22 Virginis	-4 29	89 44	-18 1
27.	1 b Scorpii	-6 49	87 47	-12 33
	4 —	-7 6	87 20	-12 11
	6 r —	-6 54	87 9	-11 58
Juni 9.	23 d Plejad.	+5 9	90 53	+12 55
	25 r Tauri	+5 35	90 26	+12 50
	27 f Plejad.	+5 16	91 28	+12 42
	28 h —	+5 23	91 29	+12 42
22.	171 Librae	-6 43	89 8	-17 6
24.	23 r Scorpii	-7 25	89 33	-8 56
27.	126 Q Sagitt.	-6 23	84 45	+7 7
30.	39 Aquarii	-3 26	85 18	+19 1
Juli 4.	100 Pisc.	+3 19	88 9	+20 32
6.	66 Arietis	+5 7	90 45	+14 17
7.	59 x Tauri	+5 27	91 53	+10 2
8.	136 Aurigae	+5 48	93 34	+3 29
18.	85 Virginis	-6 28	90 33	-20 13
23.	339 y Sagitt.	-7 40	89 19	-20 33
26.	454 Capric.	-4 21	84 44	+15 1
28.	65 f Aquarii	-2 8	87 3	+20 19
Aug. 10.	47 p Leonis	+0 29	94 39	-19 54
18.	159 Scorpii	-7 35	85 11	-8 32
23.	40 y Capric.	-3 13	84 19	+17 11
24.	45 D Aquarii	-8 4	85 56	+19 18
	58 —	-1 50	85 12	+19 52
25.	90 $\phi$ —	-1 6	86 54	+21 18
	Uranus	-0 50	86 42	+21 17
	96 Aquarii	-0 41	86 31	+21 25
27.	262 Pisc.	+2 43	89 11	+21 30
29.	48 s Arietis	+5 27	91 56	+16 22
30.	17 b Plejad.	+5 36	93 19	+13 9
	16 g —	+5 46	93 17	+13 9
	23 d —	+5 21	93 21	+13 2
	20 c —	+5 46	93 21	+13 4
	25 r Tauri	+5 22	93 44	+12 49
	151 Plejad.	+5 33	93 45	+12 49

1839.		$\phi$	$L_z$	$e$
Aug. 30.	27 f Plejad.	+5° 18'	93° 48'	+12° 42'
	28 h —	+5 24	93 49	+12 42
Sept. 1.	236 Tauri	+5 49	95 16	+2 8
	136 C —	+5 37	95 22	+1 55
20.	33 s Aquarii	-2 32	83 14	+18 37
21.	81 —	-0 49	84 31	+20 56
22.	227 Pisc.	+0 55	85 36	+21 57
23.	62 —	+2 37	88 4	+21 44
	63 d —	+2 51	88 14	+21 43
25.	112 Arietis	+4 40	92 5	+17 48
	34 $\mu$ —	+5 17	91 50	+17 17
26.	6 —	+5 8	93 50	+14 16
	16 g Plejad.	+5 49	93 25	+13 8
	18 m —	+5 42	93 26	+13 2
	19 e —	+5 65	93 26	+13 1
	20 c —	+5 48	93 24	+12 59
	136 Aurigae	+5 47	96 18	+3 34
	236 Tauri	+5 56	96 32	+1 56
Octbr. 1.	43 y Cancri	+4 6	97 27	+13 9
2.	8 Leonis	+2 44	97 23	+16 56
17.	40 y Capric.	-3 10	82 0	+17 6
18.	58 Aquarii	-1 47	82 16	+19 49
19.	90 $\phi$ —	-1 1	83 60	+21 17
	96 —	-0 37	83 34	+21 24
21.	8 Piscium	+1 33	87 4	+21 17
23.	47 Arietis	+4 55	91 47	+16 22
29.	83 q Cancri	+2 39	98 45	+15 49
31.	59 e Leonis	-0 11	97 15	+20 55
Nov. 11.	126 Q Sagitt.	-6 17	83 26	+6 59
14.	33 i Aquarii	-2 28	81 55	+18 35
15.	81 —	-0 45	82 1	+18 35
	82 —	-0 24	81 45	+20 57
16.	227 Pisc.	+0 59	82 50	+21 59
17.	62 —	+2 39	83 58	+21 49
	63 d —	+2 54	84 6	+21 49
19.	112 Arietis	+4 52	89 37	+18 0
21.	66 —	+5 12	90 28	+14 28
	16 g Plejad.	+5 47	90 12	+13 16
	17 b —	+5 37	90 9	+13 15
	19 e —	+5 57	90 12	+13 14
	20 c —	+5 47	90 12	+13 11
	151 —	+5 40	90 10	+13 3
22.	136 Aurigae	+5 47	94 31	+3 41
	236 Tauri	+5 57	94 59	+2 16
	136 C —	+5 35	94 58	+2 3
	287 Aurigae	+5 32	94 52	+1 19
Decbr. 1.	85 Virginis	-5 36	93 25	-1 15
	49 d Capric.	-3 4	83 4	+17 33
12.	176 Aquar.	-0 59	82 19	+20 19
15.	262 Pisc.	+2 51	84 42	+21 34
	8 —	+3 24	84 15	+21 32
17.	48 e Arietis	+5 31	87 39	+16 39
19.	136 Aurigae	+5 46	91 35	+3 48
20.	43 —	+5 12	92 35	-0 17
21.	77 s Gemin.	+4 10	95 17	-8 14
23.	74 Leonis	+1 58	97 47	+16 11
24.	45 —	+0 18	97 41	+19 39
	49 —	+0 50	97 6	+19 58
30.	262 Librae	-7 2	91 30	+16 7
31.	4 Scorpii	-7 13	90 13	+12 33

Mädler

### Bestimmung der Entfernung des 61<sup>sten</sup> Sterns des Schwans.

Von Herrn Geheimen-Rath und Ritter Bessel.

Als es Bradley gelungen war, seine Beobachtungen in *Kew* und *Wansted*, welche die Entdeckungen der Aberration und Nutation herbeiführten, durch diese allein genügend zu erklären, ohne dazu der Annahme einer jährlichen Parallaxe der beobachteten Fixsterne zu bedürfen, liefs er nicht unbemerkt, dafs ein über eine Secunde betragender Werth derselben, den Beobachtungen der Sterne  $\gamma$  Draconis und  $\eta$  Ursae majoris nicht entgegen sein würde. Indem er hinzusetzt, dafs diese Sterne mehr als 400000 Mal so weit als die Sonne von uns entfernt seien \*), geht hervor, dafs er unter jährlicher Parallaxe den Winkel versteht, welchen die ganze Erdbahn an den Sternen einschliesst.

Hierauf beruht die später gewöhnlich gewordene Annahme, dafs die jährliche Parallaxe der Fixsterne im Allgemeinen sehr klein sei. Wenn diese Annahme aber auch für die grösste Mehrheit der zahllosen Sterne dieser Art unbezweifelbar ist, so ist doch eben so wenig zu bezweifeln, dafs einige darunter weit näher sind, als die grösste Menge der übrigen; hin zu welcher Grenze die jährliche Parallaxe dieser näheren Sterne steigen kann, kann aus der von Bradley erkannten Kleinheit derselben für die beiden angeführten Sterne (denen man noch mehrere andere, bei derselben Gelegenheit beobachtete hinzusetzen kann), offenbar nicht gefolgert werden. Wenn man also auch des Mittels entbehrte, durch fortgehende Verbesserung der Apparate und Beobachtungsmethoden, Grössen bestimmbar zu machen, welche die von Bradley angegebene Grenze der jährlichen Parallaxen jener Sterne nicht überschreiten, so würde man dennoch die Hoffnung nicht verlieren, das Maafs der Entfernungen anderer Sterne aus den Beobachtungen hervorgehen zu sehen.

Bei dem jetzigen Zustande unserer Kenntnisse des Weltbaues können wir nur zwei, in der That nicht sichere Gründe der Vermuthung, dafs ein Fixstern verhältnismäfsig nahe sei, anführen; nämlich den optischen Grund, seine aussergewöhnliche Helligkeit, und den geometrischen, seine aussergewöhnlich starke eigene Bewegung. Dafs beide täuschen können,

ist nicht zu bezweifeln; allein wenn eine Untersuchung über die jährliche Parallaxe eines Fixsterns unternommen werden soll, so sind sie dennoch die einzigen, welche seine Wahl leiten können.

Bekanntlich ist die jährliche Parallaxe einiger Sterne der ersten Grösse der Gegenstand mehrerer neueren Untersuchungen gewesen. Piazzi fand im Jahr 1805 beträchtliche, von 2<sup>er</sup> bis 10<sup>er</sup> gehende Werthe dieser Parallaxen für  $\alpha$  Tauri,  $\alpha$  Canis maj.,  $\alpha$  Canis min. und  $\alpha$  Lyrae, dagegen verschwindende für  $\alpha$  Aurigae,  $\alpha$  Bootis und  $\alpha$  Aquilae; er selbst war mit der Sicherheit, mit welcher seine Beobachtungen diese Resultate ergaben, zwar nicht zufrieden, hielt aber einen Werth der jährlichen Parallaxe von  $\alpha$  Canis maj. von 4<sup>er</sup> für wahrscheinlich. Sein Resultat für  $\alpha$  Lyrae (2<sup>er</sup>) wurde von dem von Calandrelli, aus Zenithsector-Beobachtungen in Rom gezogenen (4<sup>ter</sup>) noch übertroffen. Obgleich diesen Bemühungen zur Kenntnifs der jährlichen Parallaxen einiger Fixsterne zu gelangen, genügende Sicherheit nicht beigelegt werden kann, indem Piazzi die seinigen selbst verdächtig macht, und das von Calandrelli angewandte Instrument nicht geeignet ist, großes Zutragen zu seinen Leistungen zu erwecken, so standen sie doch ohne Widerspruch, und man konnte wirklich den Beobachtungen, welche zu ihnen geführt hatten, nichts außer ihnen selbst liegendes entgegenzusetzen. Indessen hatten die Beobachtungen der Unterschiede der Geradenaufliegungen der Sterne, seit Bradley, nicht nur eine grösste Vollkommenheit erreicht, sondern es war auch eine so grösste Zahl von ihnen, durch Bradley und Maskelyne bekannt geworden, dafs man darauf eine Untersuchung gründen konnte, deren Resultat wenigstens so viele Sicherheit versprach, dafs sich auch beträchtlich kleinere jährliche Parallaxen, als die neuerlich angegebenen, dadurch bestätigt oder widerlegt finden müfsen. Ich suchte daher alle von Bradley, in dem Laufe von 12 Jahren, auf der Greenwich Sternwarte beobachteten Geradenaufliegungsunterschiede von  $\alpha$  Canis maj. und  $\alpha$  Lyrae auf, indem sich, wegen ihrer Annäherung an 180°, in ihnen die Summe der Parallaxen beider Sterne verrathen müfste; es fanden sich 207 Beobachtungen dieser Art und sie ergaben die Summe der Parallaxe von  $\alpha$  Canis maj. und der mit 1,227 multiplicirten von  $\alpha$  Lyrae = 0<sup>o</sup>044 und den wahrscheinlichen

\*) *Signal Miscellaneous works and Correspondence of James Bradley.* Oxford 1832. p. 15.

Fehler dieser Bestimmung  $= \pm 0^{\circ}2430$ . Obgleich der gefundene, fast verschwindende Werth der gesuchten Größe wenig Gewicht besessen haben würde, wenn es auf einige Zehntel einer Secunde angekommen wäre, so zeigte er doch mit entscheidender Sicherheit, daß die *Größen* in Palermo und Rom gefundenen Werthe der jährlichen Parallaxen beider Sterne nicht als wirklich vorhanden angenommen werden konnten. Für die Sterne  $\alpha$  *Canis min.* und  $\alpha$  *Aquila*, welche, so wie die vorigen, in der Geradenansteigung nahe um  $180^{\circ}$  verschieden sind, fanden sich 200 Beobachtungen, welche die Summe der jährlichen Parallaxen  $= 0^{\circ}9313$  und ihren wahrscheinlichen Fehler  $= \pm 0^{\circ}2085$  ergaben. Auch dieses Resultat trat beträchtlichen Werthen der jährlichen Parallaxen entscheidend entgegen; daß aber die Wahrscheinlichkeit, womit es den größeren Werth der letzten Summe, vergleichungsweise mit der ersten, andeutet, groß genug wäre, um daraus allein auf eine geringere Entfernung eines der beiden letzteren Sterne folgern zu dürfen, glaube ich nicht.

Bradley's Greenwich Beobachtungen ließen also keinen Zweifel darüber, daß die jährlichen Parallaxen auch der vier angeführten Sterne der ersten Größe eine Kleinheit besitzen, welche sie unter die Größen versetzt, über deren wirkliches Vorhandensein auch die genauesten Meridian-Instrumente der jetzigen Zeit nur mit großer Schwierigkeit eine sichere Entscheidung herbeiführen können. Die Hoffnung, die jährliche Parallaxe von  $\alpha$  *Canis min.* und  $\alpha$  *Aquila* aus Beobachtungen der Declinationen dieser Sterne hervorgehen zu sehen, mußte als äußerst klein betrachtet werden, da die Declinationen des ersteren nur um 0,314, des anderen um 0,544 der Größe der ganzen jährlichen Parallaxe geändert werden können. Nichts destoweniger veranlaßte Brinkley die Kraft seiner, mit einem Kreise von 8 Fufs Halbmesser, im Trinity-College in Dublin angestellten Beobachtungen, auch in der Bestimmung der jährlichen Parallaxen von  $\alpha$  *Aquila*; welche er, im entschiedenen Widerspruche mit dem damals schon bekannten Resultate der Bradley'schen Beobachtungen,  $= 2^{\circ}75$  fand. Für  $\alpha$  *Lyrae* fand er  $1^{\circ}4$ ; für  $\alpha$  *Bootis* und  $\alpha$  *Cygni* sehr nahe dieselbe Größe. Diese Resultate zog er aus lange fortgesetzten Beobachtungen, zu deren Sicherheit ihm das Bewußtseyn der darauf verwandten Sorgfalt so großes Zutrauen einflößte, daß er sie auch gegen alle ferneren Widersprüche, welche sie, vorzüglich von dem Königl. Astronomen Pond erfahren, in mehreren zwischen Beiden gewechselten Schriften, bis zum neunten Jahre nach ihrer Bekanntmachung (bis 1824) in Schutz nahm.

Pond hat die vortrefflichen Meridiankreise der Greenwich Sternwarte nicht nur fortwährend zur Untersuchung der jährlichen Parallaxen einiger Sterne der ersten Größe angewandt, sondern auch noch andere Mittel, zu der lange gesuchten Ent-

scheidung darüber zu gelangen, versucht. Dieses waren 10 Fufs lange Fernröhre, welche er an steinernen Pfeilen so befestigte, daß sie auf bestimmte Sterne gerichtet blieben und ihren Declinationsunterschied von anderen, ihrem Parallaxen nahen Sternen, durch ein Fadenmikrometer angaben. Wenn seine Beobachtungen auch zuweilen einen kleinen Werth der Parallaxen von  $\alpha$  *Lyrae*,  $\alpha$  *Cygni* und  $\alpha$  *Aquila* anzudeuten schienen, der aber immer weit unter dem von Brinkley gefundenen blieb, so gaben doch andere, namentlich die, die er für die von den Umstünden am meisten begünstigten hielt, keine Spur davon zu erkennen. Am aufmerksamsten verfolgte er  $\alpha$  *Lyrae*, erlangte aber dadurch keine Bestimmung der Parallaxe dieses Sterns, sondern nur die Ueberzeugung, daß sie zu klein sei, um sich durch die zu ihrer Aufsuchung angewandten Mittel vermehren zu können, obgleich er dieser eine Entscheidungskraft über ein oder zwei Zehntel einer Secunde zutraute. Auch der Nachfolger Ponds, Airy, ist zu demselben Resultate gelangt, indem er, einer neuerlich bekannt gewordenen Nachricht zufolge, die jährliche Parallaxe  $\alpha$  *Lyrae*, aus den Beobachtungen mit einem der beiden Meridiankreise  $= +0^{\circ}2$ , mit dem andern  $= -0^{\circ}1$  gefunden hat.

Weit entfernt, über die lange fortgesetzten Verhandlungen zwischen Brinkley und Pond ein Urtheil auszusprechen, welches immer nur von einer unsichtigen und vollständigen Untersuchung aller dabei in Betracht kommenden Beobachtungen beider Astronomen ausgehen könnte, glaube ich doch, daß eben diese Verhandlungen geeignet sind, Mißtrauen gegen die Kraft der besten Meridianbeobachtungen einzufloßen, wenn sie bis zu der vollen Versicherung über ein oder einige Zehntel einer Secunde gehen soll. Ein Theil der Ursachen, welche das Zutrauen zu ihnen vermindern können, wirkt indessen auf gleiche Weise auf zwei Sterne, welche einander sehr nahe sind und gleichzeitig beobachtet werden. Dieser Theil begreift Alles in sich, was auf die Beziehung der Beobachtungen auf den Scheitelpunkt oder Pol Einfluß erhält, so wie auch die Ursachen, welche veranlassen können, daß eine gemessene Entfernung von dem einen oder dem andern dieser Punkte weniger genau ist, als die unmittelbare Beobachtung; z. B. die regelmäßigkeiten der Strahlenbrechung, ungleiche Wärme der verschiedenen Theile des Instruments, veränderliche Spannungen seines Metalls n. s. w. Da aber alle Fehlerursachen, welche auf die Beobachtungen zweier Sterne auf gleiche Weise wirken, aus der Beobachtung des Unterschiedes ihrer Oerter völlig verschwinden, so ist es nicht zweifelhaft, daß diese Beobachtungsart einer größeren Genauigkeit fähig ist, als die Beobachtung der Oerter selbst. Da ferner ein Fernrohr ständiger sein kann, wenn es nicht der, seine Größe beschränkenden Bedingung, auf einem Meridianinstrumente angebracht zu werden, unterworfen wird, so giebt auch dieses der Beobachtung

im Unterschiede der Oerter einen Vortheil voraus, welcher sich auch durch den größeren Radius der Mikrometertheilungen, vergleichsweise mit dem der Gradbögen der Meridianinstrumente, vermehrt wird. Allerdings aber muß dafür gesagt werden, daß die angeführten Vortheile, ungeschwächt durch nachtheilige Anordnungen oder mangelhafte Einrichtungen, zu Wirklichkeit kommen.

Gegen diese Art waren es, welche *Herschel I* veranlaßte, die Beantwortung der schwierigen Frage nach der jährlichen Parallaxe der Fixsterne, welche sich nur ihrer Kleinheit wegen der Bestimmung entzogen hatte, durch die Doppelsterne zu suchen. Unter der Voraussetzung, daß die Entfernungen der beiden, einen Doppelstern zusammensetzenden Sterne, von einem Sonnensysteme, ein beträchtlich von der Gleichheit unterschiedenes Verhältniß haben, muß die jährliche Parallaxe periodische Einflüsse auf die scheinbare Entfernung des einen von dem andern erhalten, welche *Herschel* aus Beobachtungen, zu verschiedenen Zeiten des Jahres angestellt, hervorgehen zu sehen hoffte. Dieses war die Veranlassung seiner Aufdeckung der Doppelsterne, welche ihn aber bekanntlich zu der Entdeckung einer so großen Zahl derselben führte, daß ihm die Wahrscheinlichkeit der angeführten Voraussetzung dadurch klar wurde, und er dagegen zu der Ueberzeugung des Zusammenhanges der beiden Sterne eines Doppelsterns gelangte. Damit fiel der Grund der Hoffnung im Allgemeinen weg, die Parallaxen der Doppelsterne zu entdecken, er konnte nur für die wieder hervortreten, von welchen gezeigt werden konnte, daß ihre Bestandtheile nicht, wie bei der großen Mehrzahl, zusammen gehörten, sondern durch ihre zufällige Stellung gegen unser Sonnensystem, nur scheinbar einen Doppelstern bildeten. Dieses ist bei dem Sterne  $\alpha$  *Lyrae* und seinem kleinen Begleiter der Fall, wie *Herschel II* und *South* in ihrem 1825 erschienenen, gemeinschaftlichen Werke über die Doppelsterne gezeigt haben.

Indessen würde *Herschels* Absicht zu seiner Zeit nur sehr geringen Nutzen haben erreicht werden können, selbst wenn die Beschaffenheit der Doppelsterne seiner anfänglichen Voraussetzung entsprochen hätte. So kräftig seine Fernrohre waren, eben so mangelhaft waren damals die Einrichtungen, welche sie haben mußten, um zuverlässige Meßinstrumente für kleine Entfernungen zu werden. Es ist *Fraunhofer* vorbehalten gewesen, das mikrometrische Messen der Kraft selbst sehr starke Fernrohre angemessen zu machen. Ohne hier wiederholen zu wollen, was ich bei anderer Gelegenheit darüber gesagt habe\*), muß ich doch der beiden Apparate erwähnen, welche dieses leisten. Der zuerst verfertigte ist das große Fernrohr

der Dorpater Sternwarte, welches, wie *Struve's* häufige Anwendungen derselben zeigen, kleine Entfernungen mit beträchtlicher Uebereinstimmung mißt; der andere ist das große Helioskopet der Königsberger Sternwarte, welches diese kleinen und größeren Entfernungen mit gleichem Vortheile ergibt. Instrumente der ersten Art sind später in München noch einmal verfertigt worden; das angeführte der zweiten Art ist bis jetzt nur einmal vorhanden.

Diese Verbesserung der mikrometrischen Messungen hat *Struve*, wie aus seinem großen Werke über die Messungen der Doppelsterne hervorgeht, benutzt, um dadurch ein Urtheil über die jährliche Parallaxe  $\alpha$  *Lyrae* zu erhalten, welcher Stern, nach der angeführten *Herschel*- und *South'schen* Bemerkung, ein uneigentlicher Doppelstern ist und sich also zu der Ausführung des von *Herschel* dem Vater beabsichtigten Versuches eignet. Seine ausgezeichnete Helligkeit unterstützt die Ansicht, seine jährliche Parallaxe aus sehr genauen Beobachtungen hervorgehen zu sehen, wenn auch die *Pondachen* nicht wahrscheinlich erscheinen lassen, daß sie mehr als einen kleinen Bruch einer Secunde betragen wird; sie beeinträchtigt zwar die Genauigkeit der Messungen, indem sie die Schärfe der Einstellung des Mikrometerfadens vermindert, allein da die Beobachtungen selbst das Maas ihrer Genauigkeit angeben, so gewähren sie auch die Bestimmung der Sicherheit der aus ihnen zu ziehenden Resultate, und das ihm zu schenkende Vertrauen hängt nur hiervon, nicht von einer abgesonderten Schätzung der einzelnen Fehlerursachen ab.

Das angeführte Werk enthält den Anfang der Beobachtungen dieses Sterns, nämlich 17, zwischen dem 3<sup>ten</sup> Nov. 1835 und dem Ende von 1837 gemachte Messungen, sowohl der Entfernung, als auch des Positionswinkels; allein *Struve* hat diesen Anfang fortgesetzt und wird die vollständige Beobachtungsreihe und ihre Resultate bald bekannt machen. Der angeführte Anfang ergibt den Werth der jährlichen Parallaxe  $= 0''.125$ ; die Summe der Quadrate der übrigbleibenden Fehler der 34 Momente der 17 Beobachtungen ist  $= 1.6226$ , wovon der mittlere Fehler einer Beobachtung  $= \pm 0''.2286$ , und der mittlere Fehler des angeführten Resultats  $= \pm 0''.081$  hervorgeht; unter der Annahme, daß das Gesetz der Wahrscheinlichkeit der Fehler dasselbe sei, welches die Methode der kleinsten Quadrate zur wahrscheinlichsten macht, berechnet *Struve* den wahrscheinlichen Fehler des Resultats  $= \pm 0''.055$ . Auf diesen Anfang gründet *Struve* die Hoffnung, die jährliche Parallaxe von  $\alpha$  *Lyrae*, auf diesem Wege in sehr enge Grenzen einschließen zu können; eine Hoffnung, welche man für begründet erkennen muß. Schon aus dem Anfange geht hervor, daß diese Beobachtungen sich entscheidend auf *Ponds* Seite neigen, also gegen *Brinkley's*, für denselben Stern gefundene, viel größere jährliche Parallaxe stimmen.

Die auf die Bestimmung der jährlichen Parallaxen der Fixsterne, nach *Bradley*, gerichteten Bemühungen, welche ich angeführt habe, verfolgen sämmtlich die Ansicht, *sehr helle* Sterne verhältnißmäßig nahe zu finden. Als aber die aus den *Bradleyschen* Beobachtungen abgeleiteten Oerter fast aller *Flamsteedschen* Sterne für 1753, und ihre Vergleichung mit den von *Piazzi* für 1800 bestimmten, eine große Menge von *kleineren* Sternen kennen lehrten, welche beträchtliche eigene Bewegungen besitzen (wovon aber mehrere schon bekannt waren) konnte ich nicht mehr bezweifeln, daß auch unter den kleineren Sternen verhältnißmäßig nahe sind. Ich hielt also den, durch die *stärkste* eigene Bewegung ausgezeichneten Doppelstern 61 Cygni Fl., so wie er jeden Zweifel an der Richtigkeit der *Herschelschen* Ansicht von der Natur der Doppelsterne, augenfällig beseitigte, auch für vorzüglich geeignet zu einer Untersuchung über die jährliche Parallaxe \*). Indessen waren zwei Beobachtungsreihen, welche ich 1815 und 1816 über seine Geradeaufstiegsunterschiede von 6 benachbarten Sternen mit dem älteren Passagen-Instrumente von *Dollond* machte, nicht genau genug, seine jährliche Parallaxe zu verrathen; sie gaben, im Gegentheil, einen *negativen* Werth derselben von 1'', welcher nur unter der unwahrscheinlichen Voraussetzung, daß der Doppelstern weiter entfernt wäre, als die 6 zur Vergleichung gewählten Sterne, hätte statthaft sein können. Auch *Arago* und *Matthieu* haben diesen Stern im J. 1812, im August und November, beobachtet, und daraus seine jährliche Parallaxe = 0''5 abgeleitet; da die Beobachtungen selbst nicht bekannt geworden sind, und nur das daraus gezogene Resultat (im *Annuaire du Bureau des Long. pour 1834* in einer Note p. 282) angeführt wird, so kann ich nichts Näheres darüber sagen.

Ich glaube nicht, daß durch alle die angeführten Versuche, die Parallaxen der Fixsterne zu entdecken, etwas anders gewonnen ist, als die Ueberzeugung, daß sie *sehr kleine*, sich den gewöhnlichen Beobachtungsarten entziehende Größen sind. Man konnte sie noch eben an gut für innerhalb einiger Tausendtel, als innerhalb einiger Zehntel einer Secunde liegend halten; und wirklich kann das reichste der bisher entwickelten Mittel, zu der Kenntniß irgend einer *kleinsten* Grenze einer jährlichen Parallaxe zu gelangen, das von *Savary* entwickelte \*\*), nur zu einer so *kleinen* führen, daß dadurch die Entfernung der Sterne nur zwischen zwei, vergleichungsweise mit ihr selbst, *äußerst* weit auseinanderliegende Grenzen eingeschlossen werden kann.

Als ich die Genauigkeit kennen lernte, welche den Beobachtungen, durch das am Ende von 1829 auf der Königsberger

Sternwarte aufgestellte Heliometer, nicht allein in den kleinen Entfernungen der Doppelsterne, sondern auch in größeren, gegeben werden konnte, erzeugte sie die Hoffnung, daß es gelingen werde, durch dieses Instrument, statt der Ueberzeugung von der Kleinheit der jährlichen Parallaxe der Fixsterne, in günstigen Fällen ihre *Bestimmung* zu erhalten. Mein verehrter Freund *Olbers* forderte mich wiederholt zu Versuchen hienauf; allein da eine Beobachtungsreihe, wenn sie ein unvollständiges Resultat für die jährliche Parallaxe eines Fixsterns geben sollte, meiner Meinung nach, wenigstens ein Jahr lang *unterbrochen* und mit Anseufzerung mancher anderen Beobachtungen, fortgesetzt werden mußte, in den ersten Jahren nach der Aufstellung des Instruments aber andere, *dringende* Anwendungen desselben vorhanden waren, auch die Ausübung der Ostpreussischen Gradmessung später meine häufige Abwesenheit forderte, so konnte ich vor dem Herbst 1834 nicht zu dem Anfange dieser Beobachtungsreihe gelangen. Ich wählte den 61<sup>ten</sup> Stern des Schwans zu ihrem Gegenstande, und zwar nicht allein wegen der größeren Aussicht auf eine merkwürdige Parallaxe, die er, wegen seiner großen eigenen Bewegung, darzubieten schien, sondern auch weil er ein *Doppelstern* ist, den man mit vorzüglicher Genauigkeit beobachten kann, indem man das Bild, welches die eine Hälfte des Heliometer-Objectives von dem zu vergleichenden Stern macht, in die Mitte der beiden Sterne des von der andern Hälfte abgebildeten Doppelsterns legt; auch empfahl er sich durch seinen Ort am Himmel, der zu allen Jahreszeiten, einen Monat ausgenommen, *bei Nacht* in eine hinreichende Höhe über dem Horizonte gelangt; endlich durch die zahlreichen kleinen Sterne, die ihn umgeben, unter welchen man Vergleichungssterne nach Belieben auswählen konnte. Ich wählte darunter zwei, zum nächsten stehende Sternchen der 11<sup>ten</sup> GröÙe, bemerkte aber bald, daß die Luft selten heiter genug war, um die *kleinste* Beobachtung so lichtschwacher Sterne zu erlauben. Die Auswahl anderer, hellerer Vergleichungssterne und der neue Aufsat, der sich darauf beziehenden Beobachtungsreihe, wurden nur durch lange anhaltendes trübes Wetter, und dazu durch den niedrigen Stand des Gestirns verhindert. Im Jahr 1835 war ich geüthigt, drei Monate in Berlin zuzubringen, um dort die Pendellänge durch eine Reihe von Versuchen zu bestimmen, welche lange fortgesetzt wurde, weil ich ihren Resultate beträchtliche Genauigkeit zu geben beabsichtigte. Nach ihrer Beendigung erschien der *Halleysche* Komet, der jeden heiteren Augenblick für sich verlangte. Das Jahr 1836 brachte mich Verhinderungen, allein im August 1837 konnte ich auf ununterbrochene Fortsetzung einer Beobachtungsreihe von 61 Cygni rechnen. Die Aussicht auf ihren Erfolg hatte durch die Bildung, welche *Struve* nach seinen Beobachtungen a *Lyrae* erhielt, neue Unterstützung erhalten; so daß diese *Heliometer*

\*) v. Zach Monatl. Correspondenz August 1812.

\*\*) Connaissance des Temps pour 1830, p. 169.

nach beitrug, die Zeitfolge der Beobachtungen zu Gunsten derselben über die jährliche Parallaxe anzuordnen. Was ich jetzt davon mittheile, beruht auf ihrer Fortsetzung bis zum 2<sup>ten</sup> October 1838; sie werden noch weiter fortgesetzt und daher spätere Nachträge zur Folge haben.

## 1.

Zur Vergleichung mit dem Punkte, welcher zwischen beiden Sternen 61 Cygni in der Mitte liegt, wählte ich zwei Sterne  $a$  und  $b$ , deren zweiter zwar heller ist als der erste, die ich aber beide zwischen der 9<sup>ten</sup> und 10<sup>ten</sup> GröÙe schätze. Der erste steht etwa senkrecht auf der Richtungslinie des Doppelsterns, der andere etwa in dieser Linie. Genauer geht dieses aus folgenden, für den Anfang 1838, aus meinen sämmtlichen Beobachtungen gefolgerten, sich auf den Mittelpunkt von 61 Cygni beziehenden Bestimmungen hervor:

	Entfernung.	Positionen.	
$a$ . . . .	461 <sup>o</sup> 6171	201 <sup>o</sup> 29' 24"	85 Beobh.
$b$ . . . .	706,2791	109 <sup>o</sup> 22' 10"	98 ———

Die für die Positionswinkel angegebenen Zahlen sind die halben Summen dieses Winkels an der Mitte von 61 Cygni und dem  $a$  um 180<sup>o</sup> veränderten an dem Vergleichungsstern. Für die beiden Sterne des Doppelsterns habe ich gefunden:

$$1838,38 \mid 16^{\circ}204 \mid 95^{\circ}19'30'' \mid 10 \text{ ———}$$

Die Anordnung, welche ich den Beobachtungen gegeben habe, ist die folgende: Zuerst wurde die Durchschnittslinie des Objectiva näherungsweise in die Richtung gebracht, in welcher der zu beobachtende Vergleichssterne liegt, und die Mikrometerschraube der Objectivhälfte I auf 60<sup>o</sup>000 gestellt. Nach dieser Vorbereitung folgte eine Beobachtung sowohl der Entfernung als des Positionswinkels, wobei nur die Mikrometerschraube von II gedreht wurde, und gleich darauf eine zweite der Entfernung, die durch die vorher etwas zurückgedrehte Mikrometerschraube I erlangt wurde. Beide Beobachtungen der Entfernung und die eine des Positionswinkels wurden abgelesen und dann noch einigemal wiederholt; am Anfange der Beobachtungsreihe meistens dreimal, später immer viermal; von der Unruhe der Luft das Zutrauen zu ihrer Genauigkeit schwächte auch öfter. Dieses ist die eine Hälfte der Beobach-

tung; ihre andere Hälfte ist genau so wie die erste gemacht, mit dem einzigen Unterschiede, daß die Axe der Objectivhälfte II dabei auf der entgegengesetzten Seite der Axe von I war. Die aus einer solchen Beobachtung hervorgehende Entfernung beruht also auf 12 oder 16 Einstellungen, der Positionswinkel auf 6 oder 8. Ich habe, wie aus dieser Anordnung der Beobachtungen hervorgeht, den Positionswinkel als von geringer Bedeutung für die zu beantwortende Frage nach der jährlichen Parallaxe betrachtet; in der That würde es nicht möglich gewesen sein, seiner Beobachtung eine Genauigkeit zu geben welche der der Entfernung gleich geschätzt werden könnte, denn der Positionskreis des Instruments giebt nur ganze Minuten an, deren Werth in der Entfernung des Sterns  $a = 0^{\circ}134$ , in der Entfernung des Sterns  $b = 0^{\circ}205$  beträgt, während die Ablesung der Entfernung an den Mikrometerschrauben bis auf viel kleinere Theile geht. Ich habe daher, wenn die Unruhe der Luft die Beobachtung schwierig machte, die Aufmerksamkeit vorzüglich auf die Entfernung gerichtet, auch auf die Bestimmungen des Indexfehlers des Positionskreises und der jedesmaligen Lage der Stundenzaxe des Instruments, nicht immer die Sorgfalt verwandt, welche erforderlich gewesen sein würde, wenn die Beobachtungen der Positionswinkel zu der Beantwortung der vorliegenden Frage entscheidend hätte beitragen sollen. Die angewandte Vergrößerung des Fernrohrs war immer eine 300malige.

Die Verwandlung der beobachteten Schraubenrevolutionen ( $S$ ) in Sekunden ( $s$ ) ist nach der Formel \*)

$$\tan g s = S \sin 52^{\circ}9'1788$$

gemacht, oder vielmehr nach ihrer Entwicklung:

$$s = S.52^{\circ}9'1788 - S^2.0^{\circ}00001161.$$

Diese Formel gilt für die Wärme 49<sup>o</sup>2 F.; zeigt das Thermometer  $f$ , so muß der dadurch erhaltenen Entfernung noch

$$- 0^{\circ}0003912 S (f - 49^{\circ}2)$$

hinzugesetzt werden, welche Verbesserung auf eine Vermehrung der früher zu ihrer Erfindung gemachten Beobachtungen beruht. Der Einfluß der Strahlenrechnung ist, nach den Formeln und Tafeln in der XV. Abtheilung meiner Beobachtungen, berechnet worden. Weitere Erklärungen werden die folgenden Verzeichnisse der Beobachtungen nicht bedürfen.

## Beobachtungen des Sterns a.

	St. Zt.	Barometer.	Therm.	S	s	Corrections.		Wahre Entfernung.	
						Wärme.	Refr.		
1	1837 Aug. 18	21 <sup>h</sup> 56'	340,0 13 <sup>o</sup>	55	8,6984	460 <sup>o</sup> 299	-0 <sup>o</sup> 020	+0,146	460 <sup>o</sup> 425
2	19	19 52	336,1 13	56,5	6907	59,892	-0,023	0,136	60,005
3	20	19 47	338,0 14	62	6928	60,003	-0,044	0,133	60,092
4	28	20 49	334,6 9	48	6943	60,082	+0,004	0,139	60,225



		St. Zt.	Barometer.		Therm.	S	s	Correction.		Wahre Entfernung.
			a	A				Wärme.	Refr.	
5	1837 Aug. 30	20 <sup>h</sup> 42'	334,0	11	53	8,6992	460° 341	— 0° 014	+ 0° 137	460° 464
6	Sept. 4	20 44	337,0	11	53	6998	60,374	— 0,014	0,138	60,498
7	8	20 47	337,4	11	53	6994	60,352	— 0,014	0,139	60,477
8	9	21 8	338,5	12	55	6951	60,125	— 0,020	0,140	60,245
9	11	21 51	338,6	11,5	52	6960	60,172	— 0,010	0,145	60,307
10	14	22 43	331,7	16	64	7002	60,395	— 0,051	0,147	60,491
11	20	21 45	339,5	10,6	50	6955	60,146	— 0,003	0,145	60,288
12	23	22 40	341,4	8	46	7016	60,469	+ 0,011	0,157	60,637
13	24	22 20	341,7	7	44	6976	60,257	+ 0,018	0,152	60,421
14	1	23 28	341,6	4,5	34	6986	60,310	+ 0,052	0,175	60,537
15	2	23 15	341,8	4	34	7015	60,473	+ 0,052	0,170	60,695
16	16	0 35	337,6	6	40	7037	60,580	+ 0,031	0,206	60,817
17	28	0 15	336,5	4	37	7028	60,532	+ 0,041	0,194	60,767
18	Nov. 22	22 35	337,5	1,5	30	7065	60,728	+ 0,066	0,159	60,953
19	Decbr. 1	2 20	337,0	0	25	7030	60,543	+ 0,083	0,364	60,990
20	30	1 0	342,9	— 11	5	7087	60,844	+ 0,151	0,249	61,244
21	31	0 27	340,8	— 9	+ 8	7110	60,966	+ 0,141	0,222	61,329
22	1838 Janr. 8	2 1	345,6	— 14,5	— 3	7070	60,754	+ 0,178	0,351	61,283
23	10	1 10	343,4	— 12	+ 1	7103	60,929	+ 0,172	0,263	61,364
24	16	1 33	338,7	— 8	9	7108	60,956	+ 0,137	0,290	61,383
25	17	1 27	340,1	— 10	4	7167	61,268	+ 0,155	0,281	61,704
26	20	2 0	338,0	— 7	14	7101	60,918	+ 0,120	0,308	61,366
27	Febr. 1	3 40	339,1	— 9	6	7116	60,998	+ 0,151	0,736	61,885
28	5	3 40	338,0	— 5	16	7160	61,231	+ 0,117	0,712	62,060
29	10	3 40	328,2	— 1	25	7075	60,781	+ 0,083	0,682	61,546
30	May 3	15 56	340,4	+ 12	56	7492	62,988	— 0,020	0,163	63,131
31	4	15 0	340,3	12	56	7525	63,162	— 0,020	0,205	63,347
32	6	16 16	339,3	11	61	7523	63,152	— 0,006	0,156	63,302
33	12	14 49	336,3	2	32	7487	62,961	+ 0,059	0,228	63,248
34	16	15 46	334,5	3,5	33	7552	63,296	+ 0,055	0,173	63,524
35	17	15 28	336,0	3	31	7567	63,384	+ 0,062	0,190	63,636
36	19	15 56	334,6	8	46	7548	63,284	+ 0,011	0,163	63,458
37	21	15 13	336,3	6	43	7562	63,358	+ 0,021	0,192	63,571
38	22	16 14	336,6	6	42	7558	63,337	+ 0,025	0,159	63,521
39	23	15 36	336,6	7	42	7683	63,469	+ 0,025	0,177	63,671
40	Juni 1	16 20	335,6	7	41	7688	63,496	+ 0,028	0,156	63,680
41	2	15 58	336,4	7	39	7629	63,713	+ 0,035	0,165	63,913
42	12	16 7	336,4	13	58	7622	63,675	— 0,030	0,156	63,801
43	13	16 13	335,7	14	67	7640	63,771	— 0,027	0,153	63,897
44	22	17 42	335,0	13	55	7607	63,596	— 0,020	0,138	63,714
45	26	16 50	338,6	11	61	7656	63,850	— 0,006	0,147	63,991
46	27	18 8	338,1	13	55	7672	63,940	— 0,020	0,137	64,057
47	28	16 55	338,4	12	55	7705	64,115	— 0,020	0,145	64,240
48	29	17 37	338,4	13	56	7713	64,157	— 0,023	0,139	64,273
49	30	17 11	338,2	12	65	7721	64,199	— 0,020	0,142	64,321
50	Juli 1	18 21	338,7	14	58	7655	63,850	— 0,030	0,136	63,956
51	8	18 5	335,2	13	55	7667	63,914	— 0,020	0,136	64,030
52	10	17 35	339,0	12	65	7699	64,083	— 0,020	0,140	64,203
53	14	18 6	337,5	15	62	7658	63,866	— 0,044	0,135	63,957
54	17	18 31	337,4	14	68	7704	64,109	— 0,030	0,135	64,214
55	29	18 13	334,3	12	54	7752	64,364	— 0,016	0,136	64,484
56	Aug. 4	18 40	333,7	14	54	7737	64,284	— 0,016	0,135	64,403
57	11	18 40	335,5	12	53	7750	64,353	— 0,013	0,136	64,476
58	20	18 46	335,4	11	53	7729	64,242	— 0,013	0,135	64,364
59	21	20 30	334,1	12	57	7782	64,522	— 0,026	0,135	64,631
60	25	20 8	336,4	12	63	7765	64,432	— 0,013	0,136	64,555
61	26	20 35	337,3	12	62	7778	64,501	— 0,009	0,138	64,630
62	29	19 49	334,5	13	59	7799	64,612	— 0,033	0,134	64,713

			St. Zi.	Barometer.		Therm.	S	s	Correction.		Wahre
				<sup>h</sup>	<sup>a</sup>	<sup>o</sup>	<sup>a</sup>	<sup>s</sup>	Wärme.	Refr.	Entfernung.
63	1838 Sept.	3	20 <sup>h</sup> 24	337,7	11 <sup>o</sup>	50	8,7806	464,649	-0,003	+0,138	64,784
64		5	22 23	335,5	12	57	7789	64,559	-0,027	0,147	64,679
65		7	21 34	334,8	14	61	7839	64,824	-0,040	0,139	64,928
66		8	21 26	336,7	14	57	7813	64,686	-0,027	0,140	64,799
67		12	21 23	341,5	12	50	7828	64,766	-0,003	0,144	64,907
68		13	19 42	340,8	12	51	7788	64,554	-0,006	0,138	64,686
69		14	19 44	340,3	14	56	7790	64,565	-0,023	0,137	64,679
70		15	20 19	339,6	14	56	7801	64,618	-0,023	0,137	64,732
71		16	19 47	338,0	15	66	7834	64,797	-0,057	0,133	64,873
72		17	23 3	337,1	15	60	7791	64,570	-0,037	0,156	64,689
73		18	19 32	338,1	15	63	7779	64,506	-0,047	0,134	64,593
74		20	19 24	338,7	15	63	7798	64,607	-0,047	0,134	64,694
75		21	19 54	338,2	15	62	7833	64,792	-0,044	0,134	64,882
76		22	19 21	338,6	16	61	7844	64,850	-0,040	0,134	64,944
77		23	20 4	339,3	13	54	7821	64,729	-0,016	0,137	64,850
78		24	19 45	339,1	13,5	58	7801	64,623	-0,030	0,136	64,729
79		25	19 40	339,6	12	55	7853	64,898	-0,020	0,137	65,015
80		26	19 28	340,4	13	57	7829	64,771	-0,027	0,136	64,880
81		27	19 57	340,7	12	50	7809	64,665	-0,003	0,139	64,801
82		28	19 51	342,1	12	53	7809	64,665	-0,013	0,138	64,790
83		29	23 13	342,4	8	45	7831	64,782	+0,014	0,166	64,962
84		30	19 50	343,4	7	40	7836	64,808	+0,031	0,143	64,982
85	Octbr.	1	19 51	342,6	7	42	7793	64,580	+0,025	0,142	64,747

## Beobachtungen des Sterns b.

1	1837 Aug.	16	21 41	339,6	13,5	57	13,3692	707,466	-0,041	+0,198	707,628
2		18	21 8	340,0	13	55	8661	7,302	-0,030	0,199	7,471
3		19	20 50	338,1	13	56,5	8727	7,651	-0,038	0,200	7,813
4		20	20 18	338,0	16	62	8712	7,571	-0,067	0,203	7,707
5		28	21 40	334,6	9	48	3587	6,910	+0,006	0,198	7,114
6		30	21 25	334,0	11	47	3632	7,148	+0,011	0,198	7,357
7	Sept.	4	21 20	337,0	11	49	3621	7,090	+0,001	0,200	7,291
8		9	21 43	338,5	12	55	3673	7,365	-0,030	0,198	7,533
9		11	21 7	338,6	11,5	52	3600	6,979	-0,014	0,200	7,165
10		14	21 48	331,7	16	64	3661	7,302	-0,077	0,190	7,415
11		20	22 20	339,6	10,5	50	3642	7,201	-0,004	0,202	7,399
12		23	23 5	341,4	8	45	3618	7,074	+0,017	0,210	7,301
13		24	21 47	341,7	7	44	3585	6,900	+0,027	0,204	7,131
14	Octbr.	1	23 5	341,6	4,5	34	3600	6,979	+0,079	0,216	7,274
15		2	22 45	341,8	4	34	3578	6,863	+0,079	0,220	7,162
16		16	0 3	337,5	6	40	3569	6,815	+0,048	0,223	7,086
17		28	1 6	336,5	4	37	3497	6,434	+0,064	0,244	6,742
18	Nov.	22	22 10	337,5	1,5	30	3461	6,243	+0,100	0,208	6,551
19	Decbr.	1	1 37	337,0	0	25	3463	6,254	+0,126	0,262	6,642
20		17	23 0	336,0	-1,6	27	3414	5,995	+0,116	0,214	6,325
21		30	0 18	342,9	-11	5	3409	5,968	+0,231	0,246	6,445
22		31	1 10	340,8	-9	8	3367	5,746	+0,215	0,264	6,225
23	1838 Janr.	5	0 28	341,3	-11	+1	3370	5,762	+0,252	0,253	6,267
24		6	1 7	341,2	-13	-2	3333	5,566	+0,267	0,270	6,103
25		8	1 21	345,5	-14,5	-3	3350	5,656	+0,273	0,279	6,208
26		10	1 40	343,4	-12	+1	3329	5,545	+0,252	0,283	6,080
27		14	0 55	339,5	-7	+16	3309	5,439	+0,173	0,253	5,865
28		17	1 54	340,1	-10	4	3331	5,556	+0,236	0,284	6,076
29		20	1 35	338,0	-7	14	3364	5,730	+0,184	0,269	6,183
30	Febr.	1	3 0	329,1	-9	5	3308	5,434	+0,231	0,303	5,968
31		5	3 15	338,0	-5	15	3296	5,370	+0,179	0,310	5,859
32		10	4 7	328,2	-1	25	3299	5,386	+0,126	0,308	5,820

		St. Zt.	Barometer.	Therm.	S	a	Correction.		Wahre Entfernung.
							Wärme.	Refr.	
33	1838 Febr. 19	4 <sup>h</sup> 28'	341,5 — 7 <sup>a</sup>	9	13,3219	704° 963	+ 0° 210	+ 0° 331	705° 504
34	März 12	15 42	341,0 — 6	13	3200	4,862	+ 0,189	0,551	5,662
35	13	17 28	339,0 — 6	14	3139	4,540	+ 0,184	0,335	5,059
36	May 2	14 19	340,4 + 11	52	3086	4,259	- 0,015	0,855	5,099
37	3	15 13	340,4 12	55	3134	4,513	- 0,030	0,600	5,083
38	4	15 40	340,3 12	55	3176	4,735	- 0,030	0,509	5,214
39	6	15 24	339,3 11	51	3176	4,735	- 0,009	0,561	5,287
40	12	15 33	336,3 2	32	3150	4,598	+ 0,090	0,549	5,337
41	16	15 10	334,5 3,6	33	3124	4,465	+ 0,085	0,624	5,174
42	17	16 0	336,0 3	31	3117	4,423	+ 0,095	0,473	4,991
43	19	15 16	334,5 8	46	3147	4,572	+ 0,017	0,586	6,175
44	21	15 49	336,3 6	43	3129	4,487	+ 0,032	0,490	5,009
45	22	15 33	336,6 6	42	3119	4,434	+ 0,038	0,538	5,010
46	23	16 12	336,6 7	42	3172	4,714	+ 0,038	0,436	5,188
47	Juni 1	15 47	335,6 7	41	3139	4,540	+ 0,043	0,497	5,080
48	2	16 31	336,4 7	39	3167	4,688	+ 0,053	0,400	5,141
49	12	15 33	336,4 13	58	3143	4,561	- 0,046	0,520	5,035
50	13	16 45	335,7 14	57	3178	4,746	- 0,041	0,361	5,066
51	22	17 11	335,0 13	55	3220	4,968	- 0,030	0,324	5,262
52	26	17 27	338,5 11	61	3155	4,624	- 0,009	0,310	4,925
53	27	17 36	338,1 13	65	3148	4,587	- 0,030	0,297	4,854
54	28	17 31	338,4 12	55	3182	4,767	- 0,030	0,363	5,040
55	30	17 3	338,4 13	56	3171	4,709	- 0,035	0,338	5,012
56	29	17 43	338,2 12	65	3176	4,735	- 0,030	0,290	4,995
57	Juli 1	17 46	338,7 13	58	3211	4,921	- 0,046	0,286	5,161
58	8	17 22	335,2 13	56	3187	4,794	- 0,030	0,310	5,074
59	10	18 11	339,0 12	56	3131	4,497	- 0,030	0,266	4,733
60	14	17 31	337,5 15	62	3164	4,672	- 0,067	0,298	4,903
61	17	18 2	337,4 14	58	3152	4,608	- 0,046	0,271	4,833
62	29	18 44	334,3 12	54	3179	4,751	- 0,025	0,240	4,966
63	Aug. 2	19 1	336,4 13	54	3142	4,555	- 0,025	0,232	4,762
64	4	18 7	333,7 14	54	3135	4,518	- 0,025	0,265	4,758
65	11	18 11	335,5 12	53	3134	4,513	- 0,020	0,264	4,757
66	20	19 19	335,4 11	53	3146	4,577	- 0,020	0,224	4,781
67	21	19 57	334,1 12	57	3169	4,698	- 0,041	0,208	4,865
68	25	20 40	336,4 12	53	3159	4,645	- 0,020	0,202	4,827
69	26	20 1	337,3 12	52	3141	4,550	- 0,015	0,211	4,746
70	29	20 25	334,5 13	59	3136	4,524	- 0,052	0,201	4,673
71	Sept. 3	19 49	337,7 11	50	3073	4,190	- 0,004	0,215	4,401
72	4	20 44	337,7 10	50	3091	4,287	- 0,004	0,203	4,486
73	5	21 48	335,5 12	57	3099	4,328	- 0,041	0,195	4,482
74	6	20 52	334,0 14	65	3153	4,614	- 0,082	0,194	4,726
75	7	21 0	334,8 14	61	3166	4,682	- 0,062	0,195	4,815
76	8	22 4	336,7 14	57	3118	4,429	- 0,041	0,196	4,584
77	12	19 25	341,5 12	50	3092	4,291	- 0,004	0,227	4,514
78	—	20 45	341,5 12	50	3101	4,338	- 0,004	0,205	4,539
79	13	19 10	340,8 12	51	3158	4,640	- 0,009	0,232	4,863
80	14	19 14	340,3 14	56	3137	4,529	- 0,036	0,228	4,721
81	15	19 37	339,6 14	56	3176	4,735	- 0,036	0,248	4,917
82	16	19 12	338,0 15	66	3154	4,619	- 0,088	0,223	4,754
83	17	19 1	337,1 15	60	3153	4,614	- 0,056	0,250	4,788
84	18	18 51	338,1 15	63	3156	4,630	- 0,072	0,234	4,792
85	19	18 52	338,9 14	59	3154	4,619	- 0,061	0,236	4,804
86	20	18 51	338,7 15	63	3151	4,603	- 0,072	0,235	4,766
87	21	19 10	338,2 15	62	3090	4,280	- 0,067	0,225	4,438
88	22	18 48	338,5 15	61	3102	4,344	- 0,062	0,237	4,519
89	23	19 31	339,3 13	54	3121	4,444	- 0,025	0,221	4,640

		St. Zt.	Barometer.		Therm.	S	s	Correction.		Wahre Entfernung.	
			<sup>h</sup>	<sup>m</sup>	<sup>°</sup>			Wärme.	Refr.		
90	1838 Sept.	24	19 <sup>h</sup> 15'	339,1	13,5	58	13,3123	704 <sup>h</sup> 456	— 0 <sup>h</sup> 046	+ 0 <sup>h</sup> 226	704 <sup>h</sup> 636
91		25	19 0	339,6	12	55	3104	4,354	— 0,030	0,234	4,558
92		26	18 58	340,4	13	57	3116	4,418	— 0,041	0,235	4,612
93		27	19 26	340,7	12	50	3143	4,561	— 0,004	0,225	4,782
94		28	19 22	342,1	12	53	3128	4,481	— 0,020	0,227	4,688
95		29	22 34	342,4		8	45	3110	+ 0,022	0,307	4,615
96		30	19 13	343,4	7	40	3101	4,338	+ 0,048	0,238	4,624
97	Octbr.	1	19 18	342,6	7	42	3103	4,349	+ 0,038	0,234	4,621
98		2	19 31	341,1	8	47	3109	4,381	+ 0,011	0,226	4,618

## 2.

Ehe diese Beobachtungen zur Aufsuchung der jährlichen Parallaxe angewandt werden können, müssen sie, durch Berechnung des Einflusses der eigenen Bewegung, auf eine bestimmte Zeit (wofür ich den Anfang von 1838 annehmen werde) reducirt, auch von einer kleinen Einwirkung der Aberration auf die Entfernungen befreit werden. Beide Reductionen werde ich jetzt näher angeben.

Die Oerter der beiden Sterne 61 Cygni sind neuerlich von *Argelander* sehr genau bestimmt worden \*), und es folgt daraus, für den in der Mitte zwischen beiden liegenden Punkt und für 1838:

$$\text{AR.} = 314^{\circ} 54' 45'' \quad \text{Decl.} = + 37^{\circ} 57' 22'';$$

ihre jährliche eigene Bewegung hat er aus der Vergleichung meiner; auf *Bradley's* Beobachtungen beruhenden Bestimmung für 1755, mit der seinigen für 1830, unter der Voraussetzung, daß die Sterne der Zeit proportional fortschreiten,

$$\text{für den vorübergehenden} + 5'' 1075 \text{ und} + 3'' 232$$

$$\text{folgenden} \dots + 5,193 \text{ und} + 3,016$$

abgeleitet. Nur wenn der Schwerpunkt beider Sterne in der Mitte zwischen ihnen liegt, ist seine, der Zeit proportional anzunehmende Bewegung, das Mittel aus den Bewegungen beider Sterne; wenn er aber nicht in der Mitte liegt, ist die Bewegung der Mitte nicht der Zeit proportional, sondern nimmt Antheil an der Umlaufbewegung der beiden Sterne um ihn. Man kennt seine Lage aber nicht, und hat also keinen Grund anzunehmen, daß das Mittel aus beiden jährlichen Bewegungen, nämlich  $+ 5'' 150$  und  $+ 3'' 124$ , der Mitte und der gegenwärtigen Zeit zugehöre. Indem man dieses dennoch, aus Unbekanntschaft mit der Lage des Schwerpunkts annehmen muß, und indem man die Vergleichungsterne (deren Bewegungen man eben so wenig kennt), als unbeweglich betrachten muß, kommen den unter diesen Voraussetzungen berechneten jährlichen Veränderungen der Entfernungen und Positionswinkel dieser Sterne, noch unbekannte Verbesserungen hinzu, deren Werthe durch ihre Beobachtungen bestimmt werden müssen.

\*) *DLX Stellarum fixarum positiones medias, incunte anno 1830. Elshagenian 1835.*

Ich werde die unter den zu machenden Voraussetzungen stattfindenden jährlichen Veränderungen zuerst aufsuchen. Verbindet man die im 1<sup>ten</sup> Art. angeführten Entfernungen und Positionswinkel der Sterne  $a$  und  $b$ , mit dem Orte der Mitte von 61 Cygni, so erhält man für 1838:

	AR.	Decl.
61 Cygni...	314 <sup>h</sup> 54' 45" 90	+ 37 <sup>h</sup> 57' 22" 90
a.....	314 51 11,60	50 13,36
b.....	315 8 50,58	53 28,66

Die jährlichen Veränderungen dieser Oerter sind, unter Annahme der angeführten eigenen Bewegung von 61 Cygni,

61 Cygni...	+ 40 <sup>h</sup> 126	+ 17 <sup>h</sup> 284
a.....	+ 35,012	+ 14,145
b.....	+ 35,047	+ 14,218

Die Veränderungen der Entfernungen von 1838 bis 1838 +  $\tau$  folgen hieraus:

$$a \dots \dots + 4'' 3983 \cdot \tau + 0'' 0071 \cdot \tau \tau$$

$$b \dots \dots - 2,8003 \cdot \tau + 0,0130 \cdot \tau \tau$$

und die Veränderungen der Positionswinkel:

$$a \dots \dots + 19' 23'' 2 \cdot \tau - 11' 2 \cdot \tau \tau$$

$$b \dots \dots + 20' 36,7 \cdot \tau + 4,9 \cdot \tau \tau$$

Die von mir gemachten Reductionen der Beobachtungen der Entfernungen auf den Anfang von 1838, sind nach den, von den eben gefundenen etwas verschiedenen Formeln:

$$a \dots \dots (+ 4'' 392 + a') \tau + 0'' 0071 \cdot \tau \tau$$

$$b \dots \dots (- 2,825 + b') \tau + 0,0130 \cdot \tau \tau$$

berechnet, welche auf einer vorläufigen, von der jetzt verfolgten etwas verschiedenen Annahme der Werthe der Entfernungen und Positionswinkel beruhen. Die Einflüsse, welche die noch unbekannten Fehler der, der Rechnung zum Grunde liegenden Voraussetzungen, auf die Entfernungen haben, sind daher:

$$a \dots \dots (- 0'' 0063 + a') \tau$$

$$b \dots \dots (- 0,0247 + b') \tau$$

Für die Einflüsse der *Nutation* und *Aberration* auf die Entfernungen und Positionswinkel, werde ich die angewandten Formeln anführen, ohne mich bei ihrer Entwicklung aufzuhalten. Wenn  $A, B, C, D \cdot \tau$  die Bedeutung haben, unter welcher sie in der VIII. Tafel der *Tabb. Region.* von 1750 bis 1850 berechnet, vorkommen, ist das was den Werthen der

Entfernung und des Positionswinkels für den Anfang des Jahres hinzugesetzt werden muß, um die scheinbaren zu erhalten:

$$\text{Entfernung} \dots \gamma C + \delta D + \mu r$$

$$\text{Positionswinkel} \dots \alpha' A + \beta' B + \gamma' C + \delta' D + \mu' r$$

wo  $\mu$  und  $\mu'$  die jährlichen, aus den eigenen Bewegungen entstehenden Veränderungen und

$$\gamma = -2 \sin \frac{1}{2} s [\cos d \sin a + \tan g a \sin d]$$

$$\delta = 2 \sin \frac{1}{2} s \cdot \cos d \cos a$$

$$\alpha' = n \sec d \sin a$$

$$\beta' = \sec d \cdot \cos a$$

$$\gamma' = \tan g d \cos a$$

$$\delta' = \tan g d \sin a$$

bedeuten. Die Entfernung der beiden Sterne ist hier durch  $s$  bezeichnet, die Geradeaufsteigung des in ihrer Mitte liegenden Punktes durch  $a$ , seine Abweichung durch  $d$ , die Schiefe der Ekliptik durch  $s$ . Für kleine Entfernungen, so wie sie bei heliometrischen Messungen vorkommen, können statt  $a$  und  $d$  die Geradeaufsteigung und Abweichung eines der beiden Sterne angenommen werden. Dann enthalten  $\gamma$ ,  $\delta$ ,  $\gamma'$ ,  $\delta'$  den Positionswinkel nicht, und es folgt daraus, daß die Aberra-

$$m' \cos M' = \frac{1}{\sin s} (\sin a \cos P - \cos a \sin d \sin P)$$

$$m' \sin M' = \frac{1}{\sin s} \{ (\cos a \cos P + \sin a \sin d \sin P) \cos s + \sin d \sin P \sin s \}$$

angegeben wird.

Wenn also die Werthe der Entfernungen am Anfange von 1838, für den Stern  $\alpha$  durch  $a$ , für  $\beta$  durch  $\beta$  bezeichnet werden, die Unterschiede der jährlichen Parallaxen dieser Sterne

$$a \dots \dots \alpha + \alpha' r + \alpha' R m \cos(\Theta - M) + 4^{\circ} 392 r + 0^{\circ} 0071 r r + \gamma C + \delta D$$

$$b \dots \dots \beta + \beta' r + \beta' R m \cos(\Theta - M) - 2,825 r + 0,0130 r r + \gamma C + \delta D$$

### 3.

Die vier letzten, nichts Unbekanntes enthaltenden Glieder dieser Ausdrücke habe ich, mit entgegengesetzten Zeichen, den

tion die Entfernungen, in welchen Richtungen sie auch stattfinden mögen, in einem gleichen Verhältnisse ändert; die Richtungen sämtlich um eine gleiche Größe. Wenn die Peripherie eines Kreises von kleinem Halbmesser, um einen Stern beschrieben, mit anderen Sternen besetzt wäre, so würde der Kreis, durch die Aberration nur vergrößert und verkleinert, so wie auch gedreht werden, ohne daß er aufhörte ein Kreis zu sein, ohne daß sein Mittelpunkt sich veränderte und ohne daß die Sterne auf seiner Peripherie die Radien verließen, auf welchen sie sich befinden.

Der Einfluß der jährlichen Parallaxe  $p$  auf die Entfernung ist

$$p R m \cos(\Theta - M)$$

wo  $R$  und  $\Theta$  die Entfernung und die Länge der Sonne bezeichnen und  $m$  und  $M$  aus den Formeln:

$$\begin{aligned} m \cos M &= \sin a \sin P + \cos a \sin d \cos P \\ m \sin M &= (-\cos a \sin P + \sin a \sin d \cos P) \cos s \\ &\quad - \sin d \sin P \sin s \end{aligned}$$

hervorgehen. Ihr Einfluß auf den Positionswinkel  $P$  ist:

$$p R m' \cos(\Theta - M')$$

wo die Bedeutung von  $m'$  und  $M'$  durch die Formeln:

von der jährlichen Parallaxe von 61 *Cygni*, durch  $\alpha'$  und  $\beta'$  und wenn  $\alpha'$  und  $\beta'$  die oben angegebene Bedeutung haben, so erhält man die Ausdrücke der im 1<sup>ten</sup> Art. mitgetheilten

Beobachtungen der Entfernungen:

Beobachtungen hinzugesetzt und dadurch die Zahlen erhalten, welche in den folgenden Verzeichnissen, als Entfernungen für 1838, angeführt sind; die drei ersten Glieder sind für die Druck durch die unbekannten Größen.

### Beobachtungen des Sterns $\alpha$ .

Entfernung für 1838.	Ausdruck.	Entfernung für 1838.	Ausdruck.	Entfernung für 1838.	Ausdruck.
1 462'050	$\alpha - 0,369\alpha' + 0,635\alpha''$	13 461'591	$\alpha - 0^{\circ} 268\alpha' + 0^{\circ} 123\alpha''$	25 461'485	$\alpha + 0^{\circ} 047\alpha' - 0^{\circ} 851\alpha''$
2 1,619	$-0,367 + 0,624$	14 1,614	$-0,249 + 0,012$	26 1,112	$+ 0,056 - 0,837$
3 1,693	$-0,364 + 0,611$	15 1,760	$-0,246 - 0,003$	27 1,491	$+ 0,088 - 0,751$
4 1,726	$-0,342 + 0,613$	16 1,708	$-0,208 - 0,222$	28 1,620	$+ 0,099 - 0,715$
5 1,940	$-0,337 + 0,487$	17 1,512	$-0,175 - 0,398$	29 1,048	$+ 0,113 - 0,665$
6 1,912	$-0,323 + 0,414$	18 1,395	$-0,107 - 0,699$	30 1,675	$+ 0,337 + 0,514$
7 1,841	$-0,312 + 0,363$	19 1,321	$-0,083 - 0,779$	31 1,880	$+ 0,340 + 0,529$
8 1,597	$-0,309 + 0,349$	20 1,233	$-0,003 - 0,897$	32 1,811	$+ 0,345 + 0,553$
9 1,633	$-0,304 + 0,321$	21 1,306	$-0,001 - 0,897$	33 1,686	$+ 0,361 + 0,623$
10 1,779	$-0,296 + 0,270$	22 1,168	$+ 0,023 - 0,886$	34 1,915	$+ 0,372 + 0,681$
11 1,502	$-0,279 + 0,184$	23 1,226	$+ 0,028 - 0,881$	35 2,015	$+ 0,376 + 0,680$
12 1,814	$-0,271 + 0,138$	24 1,175	$+ 0,044 - 0,855$	36 1,813	$+ 0,380 + 0,701$

	Entfernung für 1838.	Ausdruck.
37	461'902	$\alpha + 0'386 \alpha' + 0'721 \alpha''$
38	1,840	$+ 0,889 + 0,730$
39	1,978	$+ 0,392 + 0,740$
40	1,679	$+ 0,416 + 0,817$
41	2,100	$+ 0,419 + 0,825$
42	1,867	$+ 0,446 + 0,885$
43	1,951	$+ 0,449 + 0,889$
44	1,638	$+ 0,474 + 0,919$
45	1,886	$+ 0,485 + 0,926$
46	1,940	$+ 0,488 + 0,928$
47	2,111	$+ 0,490 + 0,928$
48	2,132	$+ 0,493 + 0,928$
49	2,168	$+ 0,496 + 0,929$
50	1,790	$+ 0,499 + 0,928$
51	1,778	$+ 0,518 + 0,921$
52	1,927	$+ 0,524 + 0,917$
53	1,631	$+ 0,534 + 0,910$

	Entfernung für 1838.	Ausdruck.
54	461'851	$\alpha + 0'543 \alpha' + 0'892 \alpha''$
55	1,973	$+ 0,575 + 0,825$
56	1,817	$+ 0,592 + 0,778$
57	1,803	$+ 0,611 + 0,713$
58	1,579	$+ 0,636 + 0,615$
59	1,833	$+ 0,638 + 0,604$
60	1,707	$+ 0,649 + 0,556$
61	1,770	$+ 0,652 + 0,543$
62	1,812	$+ 0,660 + 0,500$
63	1,822	$+ 0,674 + 0,432$
64	1,691	$+ 0,679 + 0,405$
65	1,911	$+ 0,685 + 0,377$
66	1,774	$+ 0,687 + 0,363$
67	1,832	$+ 0,698 + 0,304$
68	1,599	$+ 0,701 + 0,289$
69	1,579	$+ 0,704 + 0,273$
70	1,620	$+ 0,707 + 0,259$

	Entfernung für 1838.	Ausdruck.
71	461'748	$\alpha + 0'709 \alpha' + 0'244 \alpha''$
72	1,552	$+ 0,712 + 0,229$
73	1,443	$+ 0,715 + 0,214$
74	1,519	$+ 0,720 + 0,188$
75	1,693	$+ 0,723 + 0,168$
76	1,744	$+ 0,726 + 0,153$
77	1,638	$+ 0,728 + 0,138$
78	1,505	$+ 0,731 + 0,122$
79	1,778	$+ 0,734 + 0,106$
80	1,631	$+ 0,737 + 0,090$
81	1,540	$+ 0,739 + 0,075$
82	1,515	$+ 0,742 + 0,059$
83	1,675	$+ 0,745 + 0,043$
84	1,684	$+ 0,748 + 0,027$
85	1,436	$+ 0,750 + 0,011$

Beobachtungen des Sterns  $\delta$ .

1	706'572	$\beta - 0'375 \beta' + 0,436 \beta''$
2	6,434	$- 0,369 + 0,462$
3	6,783	$- 0,367 + 0,474$
4	6,684	$- 0,364 + 0,487$
5	6,147	$- 0,342 + 0,585$
6	6,404	$- 0,337 + 0,609$
7	6,373	$- 0,323 + 0,653$
8	6,650	$- 0,309 + 0,711$
9	6,296	$- 0,304 + 0,725$
10	6,567	$- 0,296 + 0,732$
11	6,594	$- 0,279 + 0,795$
12	6,517	$- 0,271 + 0,815$
13	6,354	$- 0,268 + 0,823$
14	6,547	$- 0,249 + 0,855$
15	6,442	$- 0,246 + 0,859$
16	6,467	$- 0,208 + 0,891$
17	6,210	$- 0,175 + 0,876$
18	6,186	$- 0,107 + 0,718$
19	6,367	$- 0,083 + 0,623$
20	6,176	$- 0,041 + 0,430$
21	6,400	$- 0,003 + 0,241$
22	6,188	$- 0,001 + 0,236$
23	6,272	$+ 0,015 + 0,150$
24	6,116	$+ 0,018 + 0,134$
25	6,238	$+ 0,023 + 0,104$
26	6,126	$+ 0,028 + 0,072$
27	5,944	$+ 0,039 + 0,011$
28	6,181	$+ 0,047 - 0,035$
29	6,312	$+ 0,056 - 0,083$
30	6,199	$+ 0,088 - 0,267$
31	6,123	$+ 0,099 - 0,326$
32	6,127	$+ 0,113 - 0,398$
33	5,887	$+ 0,188 - 0,519$

34	706'167	$\beta + 0'195 \beta' - 0'749 \beta''$
35	5,633	$+ 0,198 - 0,758$
36	6,083	$+ 0,334 - 0,861$
37	6,075	$+ 0,337 - 0,857$
38	6,214	$+ 0,340 - 0,852$
39	6,303	$+ 0,345 - 0,842$
40	6,301	$+ 0,361 - 0,806$
41	6,270	$+ 0,372 - 0,778$
42	6,094	$+ 0,375 - 0,771$
43	6,294	$+ 0,380 - 0,754$
44	6,144	$+ 0,386 - 0,737$
45	6,162	$+ 0,389 - 0,728$
46	6,338	$+ 0,392 - 0,719$
47	6,299	$+ 0,416 - 0,625$
48	6,368	$+ 0,419 - 0,618$
49	6,337	$+ 0,446 - 0,496$
50	6,376	$+ 0,449 - 0,486$
51	6,639	$+ 0,474 - 0,366$
52	6,331	$+ 0,485 - 0,310$
53	6,267	$+ 0,488 - 0,296$
54	6,460	$+ 0,490 - 0,282$
55	6,440	$+ 0,493 - 0,268$
56	6,430	$+ 0,496 - 0,253$
57	6,603	$+ 0,499 - 0,238$
58	6,568	$+ 0,518 - 0,135$
59	6,241	$+ 0,524 - 0,106$
60	6,437	$+ 0,534 - 0,046$
61	6,391	$+ 0,543 + 0,090$
62	6,610	$+ 0,575 + 0,179$
63	6,430	$+ 0,586 + 0,230$
64	6,444	$+ 0,592 + 0,268$
65	6,493	$+ 0,611 + 0,365$
66	6,580	$+ 0,636 + 0,485$

67	706'671	$\beta + 0'638 \beta' + 0'496 \beta''$
68	6,661	$+ 0,649 + 0,549$
69	6,587	$+ 0,652 + 0,560$
70	6,536	$+ 0,660 + 0,598$
71	6,299	$+ 0,674 + 0,650$
72	6,391	$+ 0,676 + 0,660$
73	6,394	$+ 0,679 + 0,671$
74	6,645	$+ 0,682 + 0,681$
75	6,741	$+ 0,685 + 0,690$
76	6,517	$+ 0,687 + 0,700$
77	6,475	$+ 0,698 + 0,735$
78	6,500	$+ 0,698 + 0,735$
79	6,831	$+ 0,701 + 0,744$
80	6,696	$+ 0,704 + 0,752$
81	6,899	$+ 0,707 + 0,760$
82	6,743	$+ 0,709 + 0,767$
83	6,784	$+ 0,712 + 0,775$
84	6,795	$+ 0,715 + 0,782$
85	6,814	$+ 0,718 + 0,789$
86	6,783	$+ 0,720 + 0,796$
87	6,463	$+ 0,723 + 0,803$
88	6,651	$+ 0,726 + 0,810$
89	6,679	$+ 0,728 + 0,816$
90	6,682	$+ 0,731 + 0,822$
91	6,611	$+ 0,734 + 0,827$
92	6,672	$+ 0,737 + 0,833$
93	6,849	$+ 0,739 + 0,839$
94	6,762	$+ 0,742 + 0,844$
95	6,696	$+ 0,745 + 0,848$
96	6,713	$+ 0,748 + 0,852$
97	6,717	$+ 0,750 + 0,857$
98	6,721	$+ 0,753 + 0,861$

4.  
Behandelt man diese Gleichungen nach der Methode der kleinsten Quadrate, und setzt man dabei, um mit kleineren Zahlen rechnen zu können, 461'6 +  $\alpha$  und 706'3 +  $\beta$  statt  $\alpha$  und  $\beta$ , so erhält man dadurch:

aus den Beobachtungen des Sterns  $\alpha$

$$\begin{aligned}
 + 8'295 &= 85 \alpha + 27,743 \alpha' + 24,399 \alpha'' \\
 + 4,1016 &= 27,743 \alpha + 21,4782 \alpha' + 13,5709 \alpha'' \\
 + 11,1517 &= 24,399 \alpha + 13,5709 \alpha' + 31,5999 \alpha''
 \end{aligned}$$

aus den Beobachtungen des Sterns *b*

$$\begin{aligned} +13^{\circ}172 &= 98 \beta + 32,645 \beta' + 23,593 \beta'' \\ + 7,9193 &= 32,645 \beta + 24,3663 \beta' + 6,6625 \beta'' \\ +12,0683 &= 23,593 \beta + 8,6625 \beta' + 39,0826 \beta'' \end{aligned}$$

Die Auflösung dieser Gleichungen ergibt:

Stern a	Stern b
$\alpha = +0^{\circ}0094$	$\beta = -0^{\circ}0091$
$\alpha' = -0,0543$	$\beta' = +0,2426$
$\alpha'' = +0,3690$	$\beta'' = +0,2605$

Wenn man  $\alpha''$  und  $\beta''$  als verschwindend, oder die jährliche Parallaxe als unmerklich voraussetzen will, so können die Summen der Quadrate der übrigebleibenden Unterschiede zwischen den beobachteten Entfernungen und ihren, dieser Voraussetzung entsprechenden Ausdrücken, nur bis auf

$$4,4487 \text{ und } 4,7108$$

herabgebracht werden; wenn man aber  $\alpha''$  und  $\beta''$  den Beobachtungen gemäß bestimmt, werden diese Summen beträchtlich verkleinert, nämlich bis auf

$$1,4448 \text{ und } 2,4469$$

Hieraus folgen die mittleren Fehler einer Beobachtung:

$$= \pm 0^{\circ}1327 \text{ und } \pm 0^{\circ}1605$$

und die mittleren Fehler

$$\begin{aligned} \text{von } \alpha' &= \pm 0^{\circ}0398 & \text{von } \beta' &= \pm 0^{\circ}0434 \\ \alpha'' &= \pm 0,0283 & \beta'' &= \pm 0,0278 \end{aligned}$$

Diese Auflösung der Gleichungen und die Bestimmung der mittleren Fehler der daraus hervorgehenden Werthe von  $\alpha''$  und  $\beta''$  läßt keinen Zweifel an der Merkwürdigkeit der jährlichen Parallaxe von 61 Cygni. Sie zeigt zugleich, daß die Beobachtungen am besten darstellenden Werthe von  $\alpha''$  und  $\beta''$  um  $0^{\circ}1085$  voneinander verschieden sind und daß dieser Unterschied größer ist, als der, den die zufälligen Unvollkommenheiten der Beobachtungen erwarten lassen. Die bisherigen Beobachtungen deuten also an, daß  $\alpha''$  der Unterschied zwischen den jährlichen Parallaxen von 61 Cygni und  $a$ , größer ist als der ähnliche Unterschied  $\beta''$  zwischen 61 Cygni und  $b$ , also daß, wenn nicht beide Vergleichsterne, doch wenigstens der Stern  $b$  selbst eine merkliche jährliche Parallaxe besitzt. Ich kenne keinen allgemeinen Grund, welcher sich der Annahme dieser Resultate widersetzt, bin aber keinesweges der Meinung, daß die bisherigen Beobachtungen ihm schon so große Wahrscheinlichkeit gäben, daß es großes Zutrauen verdiente. Ich erwarte also von der Fortsetzung meiner Beobachtungen, daß sie entweder diesem Resultate größeres Gewicht verleihen, oder seine Enttöbung aus zufälligen Beobachtungsfehlern wahrscheinlich machen wird.

Wenn man aus der geringen Helligkeit der Sterne  $a$  und  $b$  einen Grund nehmen will, ihre jährlichen Parallaxen, vergleichungsweise mit der von 61 Cygni, für unmerklich zu halten, so fordert diese Voraussetzung eine andere Auflösung

der Gleichungen, denn ihr zufolge sind  $\alpha''$  und  $\beta''$  nicht von einander unabhängige unbekannte Größen, sondern einander gleich. Ich habe auch diese Voraussetzung verfolgt und wünsche, daß man das Resultat davon, bis auf Weiteres, als das aus meinen Beobachtungen hervorgehende ansehe; denn obgleich es diese Beobachtungen nicht so gut darstellt, als sie, ohne die Annahme der Gleichheit von  $\alpha''$  und  $\beta''$  dargestellt werden können, so entfernt es sich, wie der folgende Art zeigen wird, auch nicht beträchtlich von ihnen, und das Gewicht, womit sie den Unterschied von  $\alpha''$  und  $\beta''$  bestimmen, ist auch nicht groß genug, um ihn als unzweifelhaft beobachtet erscheinen zu lassen.

Aus den vorigen Bestimmungen der mittleren Fehler der Beobachtungen der Sterne  $a$  und  $b$  geht hervor, daß eine Beobachtung des ersten Sterns größeres Gewicht hat, als eine des zweiten. Da das Instrument und die auf die Beobachtungen gewandte Sorgfalt in beiden Fällen dieselben waren, so glaube ich diese vorhandene Verschiedenheit des Gewichts nur aus der Verschiedenheit der Stellungen beider Sterne gegen die Richtung des Doppelsterns erklären zu können, indem ich annehme, daß die Unruhe der Luft, die Beobachtung der geraden Linie zwischen den beiden Sternen des Doppelsterns und einem Vergleichssterne, weniger beeinträchtigt, als die Beobachtung der Bisection ihres Zwischenraums durch denselben. Wenn dieses der Fall ist, so müssen die Beobachtungen des Sterns  $a$  genauer ausfallen, als die Beobachtungen des Sterns  $b$ , indem die nahe senkrechte Stellung des ersten auf der Richtungslinie des Doppelsterns verursacht, daß die Genauigkeit seiner Beobachtungen größtentheils von der Schärfe abhängt, womit man beurtheilen kann, daß sein Bild in die gerade Linie zwischen beiden Sternen des Doppelsterns fällt; während die Genauigkeit der Beobachtungen des letzteren, nahe in der Richtungslinie stehenden Sterns größtentheils von der Schärfe der Bisection abhängig ist. Dieser Grund der Verschiedenheit der Genauigkeit der Beobachtungen beider Sterne mag indessen der richtige sein oder nicht, so bleibt immer nothwendig, ihrer Vereinigung zu einem Resultate die Aufrechnung ihres relativen Gewichtes vorangehen zu lassen. Setzt man das Gewicht einer Beobachtung von  $a = 1$ , so finde ich das Gewicht einer Beobachtung von  $b = 0,6889$ ; multiplicirt man die drei, auf den Beobachtungen des Sterns  $b$  beruhenden Gleichungen mit diesem Gewichte, und vereinigt man sie mit den auf  $a$  beruhenden, so wie die Voraussetzung  $\alpha'' = \beta''$  erfordert, so erhält man:

$$\begin{aligned} \alpha &= +0^{\circ}0171 & \beta &= -0^{\circ}0209 \\ \alpha' &= -0,0293 & \beta' &= +0,2395 \\ \alpha'' &= \beta'' & &= +0^{\circ}3136. \end{aligned}$$

Der mittl. Fehler einer Beobachtung vom Gewichte 1 wird  $\pm 0^{\circ}1084$  und der mittl. Fehler von  $\alpha'' = \beta''$ , oder der jährl. Parall.  $= \pm 0^{\circ}0709$ .

Nachdem hierdurch der Grad der Genauigkeit der mit dem Heliometer, zur Erfindung der jährlichen Parallaxe von 61 Cygni, gemachten Beobachtungen bekannt geworden ist, scheint mir die Vergleichung der *Aussichten* lehrreich zu sein, welche Beobachtungen mit diesem Instrumente, und welche Beobachtungen von Zenithdistansen, mit Meridian-Instrumenten angestellt, gewähren, wenn es auf die Bestimmung sehr kleiner Größen ankommt. Bekanntlich liefern, unter den vorhandenen und durch ihre Leistungen bekannt gewordenen Meridiankreisen, die beiden auf der Greenwich Sternwarte befindlichen, die am genauesten untereinander übereinstimmenden Beobachtungen; ich werde daher den mittleren Fehler, der sich aus den Unterschieden der *Pondschen* Beobachtungen untereinander verräth, aufsuchen, und, um die Leistungen des Instruments selbst so wenig als möglich durch fremde Einwirkungen zu schwächen, dabei nur Beobachtungen anwenden, welche in geringen Entfernungen vom Scheitelpunkte gemacht worden sind. In den Greenwich Beobachtungen von 1814 findet man eine große Zahl einzelner Beobachtungen reducirt, und kann also leicht die Summen der Quadrate ihrer Unterschiede von ihren mittleren Resultaten aufsuchen. Ich habe sie folgendermaßen gefunden:

110 Beob.	$\beta$ Ursae min.	.....	62,998
70 —	$\beta$ Cephei	.....	33,821
70 —	$\alpha$ Ursae maj.	.....	35,512
70 —	$\alpha$ Cephei	.....	31,870
77 —	$\alpha$ Cassiopeiæ	.....	43,659
60 —	$\gamma$ Ursae maj.	.....	27,224
140 —	$\gamma$ Draconis	.....	68,806
597 Beob.	Summe	.....	303,890

Hieraus folgt der mittlere Fehler einer Beobachtung

$$= \pm \sqrt{\frac{303,890}{590}} = \pm 0,7177.$$

Da das Heliometer ihn für eine Messung der Entfernung von 61 Cygni vom Sterne  $\alpha = \pm 0,1354$ , und vom Sterne  $\delta = \pm 0,1354$  ergeben hat, so ist die Anzahl *Pondschers*,

in der Nähe des Scheitelpunktes gemachten Meridianbeobachtungen, welche ein eben so genaues Resultat verspricht, als die Heliometerbeobachtung von  $\alpha$  und von  $\delta$ ,

$$= \left( \frac{0,7177}{0,1354} \right)^2 \text{ und } = \left( \frac{0,7177}{0,1354} \right)^2 \cdot 0,6889$$

$$\text{oder} \dots = 28,10 \text{ und } = 19,36.$$

Der Vortheil auf der Seite des Heliometers ist also so groß, daß es mit Leichtigkeit eben so viel gewähren muß, als die Meridianinstrumente nur mit großer Schwierigkeit gewähren können. Es hat auch den Vorzug vor diesen Instrumenten, nicht auf die Culmination beschränkt und daher noch in Jahreszeiten anwendbar zu sein, in welchen die Tageshelligkeit die Meridianbeobachtungen unterbricht.

## 5.

Damit man unmittelbar übersehen könne, wie die einzelnen Beobachtungen mit den Annahmen, für den Stern  $\alpha$ :

$$\text{I. } \alpha = +0,0094 \quad \alpha' = -0,0543 \quad \alpha'' = +0,3690$$

$$\text{II. } \alpha = +0,0171 \quad \alpha' = -0,0293 \quad \alpha'' = +0,3136$$

und für den Stern  $\delta$ :

$$\text{I. } \beta = -0,0091 \quad \beta' = +0,2426 \quad \beta'' = +0,2605$$

$$\text{II. } \beta = -0,0209 \quad \beta' = +0,2395 \quad \beta'' = +0,3136$$

übereinstimmen, lasse ich ihre Vergleichen mit diesen Annahmen hier folgen; ich setze den beiden sie enthaltenden Columnen I und II, noch eine Column III hinzu, welche nach den auch I zum Grunde liegenden Annahmen

$$\alpha = +0,0094 \quad \alpha' = -0,0543$$

$$\beta = -0,0091 \quad \beta' = +0,2426$$

berechnet ist, jedoch  $\alpha'' = 0$  und  $\beta'' = 0$ , oder die jährliche Parallaxe als verschwindend voraussetzt.

Beobachtungen des Sterns  $\alpha$ .

	I.	II.	III.		I.	II.	III.
1	+0,19	+0,22	+0,42	39	+0,12	+0,14	+0,39
2	-0,24	-0,21	-0,01	40	-0,01	+0,02	+0,29
3	-0,16	-0,13	+0,06	41	+0,21	+0,24	+0,51
4	-0,09	-0,06	+0,10	42	-0,04	-0,02	+0,28
5	+0,13	+0,16	+0,31	43	+0,04	+0,07	+0,37
6	+0,13	+0,16	+0,28	44	-0,26	-0,23	+0,07
7	+0,09	+0,11	+0,22	45	-0,04	-0,01	+0,30
8	-0,16	-0,14	-0,03	46	+0,01	+0,05	+0,36
9	-0,11	-0,09	+0,01	47	+0,19	+0,22	+0,53
10	+0,05	+0,07	+0,15	48	+0,21	+0,24	+0,55
11	-0,19	-0,18	-0,12	49	+0,24	+0,27	+0,59
12	+0,14	+0,15	+0,19	50	-0,14	-0,10	+0,21
13	-0,08	-0,07	-0,03	51	-0,14	-0,11	+0,20
14	-0,01	-0,01	-0,01	52	+0,01	+0,04	+0,35
15	+0,14	+0,14	+0,14	53	-0,28	-0,26	+0,05
16	+0,17	+0,16	+0,09	54	-0,06	-0,03	+0,27
17	+0,04	+0,03	-0,11	55	+0,09	+0,11	+0,39
18	+0,04	-0,01	-0,22	56	-0,05	-0,03	+0,24
19	0,00	-0,06	-0,29	57	-0,04	-0,02	+0,23
20	-0,05	-0,10	-0,38	58	-0,22	-0,21	+0,01
21	+0,03	-0,03	-0,30	59	+0,04	+0,05	+0,24
22	-0,11	-0,17	-0,44	60	-0,07	-0,06	+0,13
23	-0,06	-0,11	-0,38	61	0,00	0,00	+0,20
24	-0,12	-0,17	-0,43	62	+0,05	+0,06	+0,24
25	+0,19	+0,14	-0,12	63	+0,09	+0,09	+0,25
26	-0,19	-0,24	-0,49	64	-0,03	-0,03	+0,12
27	+0,16	+0,11	-0,11	65	+0,20	+0,20	+0,34
28	+0,28	+0,23	+0,02	66	+0,07	+0,06	+0,20
29	-0,31	-0,36	-0,55	67	+0,15	+0,14	+0,26
30	-0,10	-0,09	+0,08	68	-0,08	-0,09	+0,03
31	+0,10	+0,11	+0,30	69	-0,09	-0,10	+0,01
32	+0,02	+0,03	+0,22	70	-0,05	-0,06	+0,05
33	-0,13	-0,12	+0,10	71	+0,09	+0,08	+0,18
34	+0,08	+0,10	+0,33	72	-0,10	-0,12	-0,02
35	+0,17	+0,20	+0,43	73	-0,21	-0,22	-0,13
36	-0,03	-0,01	+0,23	74	-0,12	-0,13	+0,05
37	+0,05	+0,07	+0,31	75	+0,06	+0,05	+0,12
38	-0,02	0,00	+0,25	76	+0,12	+0,10	+0,17



	I.	II.	III.		I.	II.	III.
77	+0'02	0'00	+0'07	82	-0,08	-0,10	-0,05
78	-0,11	-0,13	-0,06	83	+0,09	+0,07	+0,11
79	+0,17	+0,15	+0,21	84	+0,11	+0,08	+0,11
80	+0,03	+0,01	0,06	85	-0,14	-0,16	-0,13
81	-0,06	-0,08	-0,03				

Beobachtungen des Sterns b.

1	+0,26	+0,24	+0,37	50	+0,10	+0,14	-0,02
2	+0,11	+0,10	+0,23	51	+0,33	+0,36	+0,23
3	+0,46	+0,44	+0,58	52	0,00	+0,03	-0,08
4	+0,35	+0,34	+0,48	53	-0,06	-0,04	-0,14
5	-0,21	-0,23	-0,06	54	+0,12	+0,15	+0,05
6	+0,04	+0,02	+0,20	55	+0,10	+0,13	+0,03
7	-0,11	-0,03	+0,16	56	+0,08	+0,11	+0,02
8	+0,25	+0,22	+0,43	57	+0,25	+0,28	+0,19
9	-0,11	-0,14	+0,08	58	+0,19	+0,21	+0,15
10	+0,15	+0,12	+0,35	59	-0,15	-0,13	-0,18
11	+0,16	+0,13	+0,37	60	+0,03	+0,04	+0,02
12	+0,08	+0,05	+0,29	61	-0,03	-0,02	-0,03
13	-0,09	-0,12	+0,13	62	+0,13	+0,14	+0,18
14	+0,09	+0,06	+0,32	63	-0,06	-0,06	0,00
15	-0,01	-0,05	+0,21	64	-0,06	-0,06	+0,01
16	-0,01	-0,04	+0,23	65	-0,04	-0,05	+0,05
17	-0,27	-0,30	-0,04	66	+0,01	0,00	+0,13
18	-0,27	-0,29	-0,08	67	+0,09	+0,08	+0,23
19	+0,07	-0,09	+0,10	68	+0,07	+0,06	+0,21
20	-0,22	-0,23	-0,11	69	-0,01	-0,02	+0,14
21	+0,05	+0,05	+0,11	70	-0,07	-0,09	+0,09
22	-0,16	-0,17	-0,10	71	-0,32	-0,34	-0,16
23	-0,06	-0,06	-0,02	72	-0,24	-0,26	-0,06
24	-0,21	-0,21	-0,18	73	-0,24	-0,26	-0,06
25	-0,09	-0,08	-0,06	74	+0,01	-0,01	+0,19
26	-0,19	-0,18	-0,17	75	+0,10	+0,08	+0,28
27	-0,36	-0,35	-0,36	76	-0,12	-0,15	+0,06
28	-0,11	-0,10	-0,12	77	-0,18	-0,20	+0,02
29	+0,03	+0,05	+0,01	78	-0,15	-0,18	+0,04
30	-0,04	-0,02	-0,11	79	+0,18	+0,15	+0,37
31	-0,11	-0,08	-0,19	80	+0,04	+0,01	+0,23
32	-0,09	-0,05	-0,19	81	+0,24	+0,21	+0,43
33	-0,30	-0,26	-0,44	82	+0,08	+0,05	+0,28
34	+0,02	+0,08	-0,17	83	+0,12	+0,09	+0,32
35	-0,51	-0,45	-0,71	84	+0,13	+0,10	+0,33
36	-0,06	-0,01	-0,29	85	+0,14	+0,11	+0,35
37	-0,08	-0,02	-0,30	86	+0,11	+0,08	+0,32
38	+0,06	+0,12	-0,16	87	-0,21	-0,24	0,00
39	+0,15	+0,21	-0,07	88	-0,13	-0,16	+0,08
40	+0,13	+0,19	-0,08	89	0,00	-0,03	+0,21
41	+0,10	+0,15	-0,11	90	0,00	-0,03	+0,21
42	-0,09	-0,03	-0,29	91	-0,07	-0,10	+0,14
43	+0,11	+0,16	-0,09	92	-0,02	-0,05	+0,20
44	-0,05	0,00	-0,24	93	+0,16	+0,13	+0,38
45	-0,04	+0,01	-0,23	94	+0,07	+0,04	+0,29
46	+0,14	+0,19	-0,05	95	0,00	-0,03	+0,22
47	+0,07	+0,12	-0,09	96	+0,02	-0,01	+0,24
48	+0,14	+0,18	-0,03	97	+0,02	-0,01	+0,24
49	+0,07	+0,11	-0,06	98	+0,02	-0,01	+0,25

Die Vergleichung der 2<sup>ten</sup> Columne dieser Tafeln mit der 1<sup>ten</sup> zeigt, wieviel an der Uebereinstimmung der Beobach-

tungen, durch die Voraussetzung  $\alpha^2 = \beta^2$  aufgeopfert wird; meiner Meinung nach ist es nicht beträchtlich genug, um als ein erheblicher Grund gegen diese Voraussetzung angesehen werden zu können. Ich bin daher der Meinung, daß nur die jährliche Parallaxe  $= 0''3136$  als das Resultat der bisherigen Beobachtungen zu betrachten ist, und daß es ihrer Fortsetzung überlassen werden muß, festzusetzen, ob beziehungsweise auf die beiden Vergleichungssterne a und b, wirklich eine Verschiedenheit vorhanden ist.

Dagegen zeigt die Vergleichung der 3<sup>ten</sup> Columnen mit den vorhergehenden, daß die Vernachlässigung der jährlichen Parallaxe eine so ungenügende Darstellung der Beobachtungen zur Folge hat, daß das Vorhandensein eines merklichen Wertes derselben *augenfällig* wird. Hält man die Zahlen dieser Columnen mit den Coefficienten der jährlichen Parallaxe, welche man in den Verzeichnissen des 3<sup>ten</sup> Art. findet, zusammen, so bemerkt man, daß beide *im Ganzen zugleich* positiv oder negativ sind, so daß die von den Beobachtungen ergebnen Ungleichheiten *im Ganzen* dem von der Theorie vorgeschriebenen Gange folgen; die Uebereinstimmung ist, in dieser Beziehung, für den Stern a größer, als für den Stern b, allein sie scheint mir für beide so groß zu sein, als der Grad der Genauigkeit der Beobachtungen zu erwarten berechtigt. Die aus unbekannten eigenen Bewegungen hervorgehenden jährlichen Aenderungen der Entfernung 61 Cygni von  $a = -0''0293 - 0''0063 = -0''0356$  und von  $b = +0''2395 - 0''0247 = +0''2148$  (Art. 2 und 4), können durch *einjährige* Beobachtungen nicht mit großer Genauigkeit bestimmt werden, werden also, durch ihre Fortsetzung vielleicht noch wesentliche Aenderungen erfahren.

G.

Ogleich die Beobachtungen der Positionswinkel der beiden Vergleichungssterne, den im 1<sup>ten</sup> Art. darüber gemachten Bemerkungen zufolge, in der Untersuchung des Wertes der jährlichen Parallaxe kein Gewicht haben, so unterlasse ich ihre Mittheilung dennoch nicht; theils weil sie zu der Bestimmung der gegenseitigen Lagen der Mitte von 61 Cygni und der beiden Vergleichungssterne eben so wesentlich sind als die Entfernungen, theils weil die im 1<sup>ten</sup> Art. angeführten Mittel aus allen Beobachtungen der Positionswinkel, kaum ein Interesse haben können, wenn nichts hinzugesetzt wird, was das Urtheil über ihre Sicherheit leiten kann. Ich führe die Mittel aus immer 10 aufeinanderfolgenden Beobachtungen, nach ihrer Reduction auf den Anfang von 1838, und auch das Einfluß der jährlichen Parallaxe an; die letzte Columnen setzt diese  $= 0''3136$  voraus.

## Beobachtungen des Sterns a.

10 Beobh.	von Aug. 18 bis Sept. 14	201°27'05 + 4,72a	201°28'53
10 —	Sept. 20 — Dec. 30	28,61 + 5,98	30,39
10 —	Dec. 31 — May 3	29,97 — 1,43	29,52
10 —	May 4 — Juni 1	30,40 — 5,47	28,68
10 —	Juni 2 — Juli 1	28,04 — 2,46	27,27
10 —	Juli 8 — Aug. 25	27,98 + 1,73	28,52
10 —	Aug. 26 — Sept. 15	29,99 + 5,19	31,62
10 —	Sept. 16 — Sept. 26	28,51 + 6,02	30,40
5 —	Sept. 27 — Oct. 1	27,94 + 6,34	29,93

3) Beobh. Mittel ..... 201°29'40

## Beobachtungen des Sterns b.

10 Beobh.	von Aug. 16 bis Sept. 14	109°21'44 + 2,50b	109°20'66
10 —	Sept. 20 — Nov. 22	21,96 + 0,15	22,01
10 —	Dec. 1 — Jan. 20	21,38 + 4,18	22,69
10 —	Febr. 1 — May 17	23,91 — 0,31	23,81
10 —	May 19 — Juni 26	22,76 — 3,85	21,55
10 —	Juni 27 — Juli 29	22,42 — 4,43	21,03
10 —	Aug. 2 — Sept. 4	23,74 — 2,98	22,80
10 —	Sept. 5 — Sept. 16	23,07 — 1,69	22,54
10 —	Sept. 17 — Sept. 26	22,58 — 0,92	22,29
5 —	Sept. 27 — Oct. 2	22,55 — 0,32	22,45

94 Beobh. Mittel ..... 109°22'17

Die aus 10tägigen Beobachtungen gefolgerte gegenseitige Lage beider Sterne von 61 Cygni, welche ich im 1<sup>ten</sup> Art. mitgeteilt habe, ist das Mittel aus den folgenden:

		Entfernung.	Posit. winkl.	
1837 Juni 11	1837,44	15' 98	95° 20'	5 Beobh.
Aug. 18	7,63	16,14	94 52	5 —
Sept. 9	7,69	16,19	94 45	5 —
1838 Sept. 3	8,67	16,34	96 4	5 —
14	8,70	16,21	95 10	5 —
22	8,72	16,12	96 2	5 —
24	8,73	16,26	95 21	5 —
27	8,74	16,39	95 25	5 —
28	8,74	16,30	95 14	5 —
Oct. 1	8,75	16,11	95 2	5 —
Mittel .....	1838,38	16,204	95 19,5	

## 7.

Wenn man die jährliche Parallaxe von 61 Cygni = 0"3136 nimmt, so erhält man seine Entfernung, in mittleren Entfernungen der Erde von der Sonne ausgedrückt = 657700, und die Zeit, welche das Licht gebraucht, um diese Entfernung zu durchlaufen, = 10,28 Jahre. Hieraus und aus der beobachteten eigenen Bewegung des Sterns folgt ferner, daß er eine beständige Aberration von +52"9 in AR. und von +32"1 in Decl. besitzt. Da diese jährliche eigene Bewegung 5"423 des größten Kreises beträgt, so ist die relative jährliche Bewegung unseres Sonnensystems und des Sterns größer als  $\frac{5,123}{0,3136} = 16,53$  mal der Geschwindigkeit der Erdbahn; bis zu dieser Grenze würde sie beob-

achtet werden, wenn sie senkrecht auf die Gesichtslinie vor sich ginge.

Wenn man die Elemente der Bahn des Doppelsterns um den Schwerpunkt seiner beiden Sterne kenne, so würde man die Summe ihrer Massen finden können. Die bisherigen Beobachtungen scheinen mir aber zu der Bestimmung dieser Elemente noch ungenügend zu sein. Ich stelle hier zusammen, was unter dem mir davon Bekanntgewordenen wesentlich erscheint, entweder durch die Zeit, welcher es zugehört, oder durch die Genauigkeit, welche es besitzt,

1753,8	19'654(35'30')	Bradley.....Fond. Astr.
1778,0	15,269 51 3	Chr. Mayer.....M.C. XXVI. S. 296
1781,9	16,33 53 49	Herschel I.....Astr. Soc. V. p. 43
1812,35	19,918 78 57	Bessel.....M.C. XXVI. S. 156
1821,62	14,87 84 23	Struve.....Mens. micr. p. 299
1822,90	15,425 84 21	Herschel III. South. H. u. S. Obs. p. 367
1829,47	15,430 89 56	Herschel II.....Astr. Soc. V. p. 44
1830,84	15,638 90 21	Bessel.....Astr. Nachr. Nr. 240
1831,38	15,605 91 1	Struve.....Mens. micr. p. 299
1835,65	15,967 93 50	Struve.....(die 1 <sup>ste</sup> ist d. Mittel
1836,57	16,080 94 24	Struve.....aus drei Angaben.)
1838,38	16,204 95 19,5	Bessel.....Astr. Art. 6.

Die Bestimmung für 1753,8 beruht auf zwei Beobachtungen der Geradenauflage und einer der Abweichung; auf einer Grundlage, welche zu schwach ist, um nicht einen Fehler von einer Secunde in der Entfernung und von mehreren Graden in der Richtung fürchten zu lassen. Der Bestimmung für 1778 liegen zwar 6 Beobachtungen der Geradenauflage und eines Abweichungsunterschiedes und 5 des Abweichungsunterschiedes zum Grunde, allein Christian Mayer hatte, wie aus den von ihm angeführten Beispielen seiner Beobachtungen hervorgeht, die Gewohnheit, kleine Theile der Zeitsecunden oft nicht anzugeben, sondern sich meistens mit ganzen und halben zu befriedigen, diese Bemerkung, verbunden mit der Angabe des Geradenauflageunterschiedes = einer ganzen Zeitsecunde, ist gleichfalls nicht geeignet, großes Zutrauen zu der Bestimmung für 1778 einzuflößen. Wenn man aber die beiden ersten der obigen Bestimmungen des Positionswinkels, als über einige Grade desselben nicht entscheidend ansieht, so scheint mir aus allen zusammengekommen nur gefolgert werden zu können; daß die Veränderung der Richtung des Doppelsterns ziemlich gleichförmig, etwa 40' jährlich, gewesen ist. Aus den Beobachtungen der Entfernung geht nur hervor, daß sie, um die Zeit des Anfangs dieses Jahrhunderts, ein Minimum von etwa 15" gehabt hat. Diese Resultate der bisherigen Beobachtungen sind aber offenbar nicht hinreichend zur Bestimmung der Elemente, und ich glaube, daß man daraus nur erkennen kann, daß die Umlaufzeit größer als 540 Jahre, und die halbe große Axe der Bahn größer als 15" ist. Will man diese Grenzen als eine Annäherung an die Werthe der Um-

lanfszeit und halben großen Axe ansehen, so kann man aus ihnen und der bestimmten jährlichen Parallaxe eine Annäherung an die Summe der Massen der beiden Sterne des Doppelsterns (= 0,61 der Sonnenmasse) ableiten, und demzufolge für wahrscheinlich halten, daß diese Summe von der Masse der Sonne nicht so stark verschieden ist, daß die Sonne, vergleichungsweise mit den Sternen 61 Cygni, als ein besonders großer, oder besonders kleiner Körper erscheine. Nur lange, mit den vollkommensten mikrometrischen Mitteln der jetzigen Zeit fortgesetzte Beobachtungen des Doppelsterns können zu einem bestimmteren Resultate führen. Wenn auch die Entfernungen und Positionswinkel benachbarter Sterne, beziehungs-

weise auf den Mittelpunkt 61 Cygni, so wie ich sie jetzt für die Sterne  $a$  und  $b$  bestimmt habe, sehr lange und genau beobachtet werden, wird man dadurch zur Erkenntniß des Punktes zwischen beiden Sternen des Doppelsterns gelangen, welcher sich *gleichförmig*, d. h. ohne Theilnahme an der Umlaufbewegung dieser Sterne fortbewegt. Dieser Punkt ist ihr gemeinschaftlicher Schwerpunkt, und seines Kenntniß wird die *abgeordnete* Kenntniß der Massen beider Sterne zur Folge haben. Allein vor dem Ablaufe mehrerer Jahrhunderte werden die Beobachtungen zu einem genügenden Urtheile hieüber nicht berechtigen.

*Bessel.*

### Ehrenbezeugung.

Seine Majestät der König von Schweden haben die Verdienste des Herrn Geheimenraths *W. Beer*, Ritters vom Dannebroge, um die Topographie des Mondes gleichfalls mit einem Orden zu belohnen geruht. *S.*

### Verbesserungen in den Astronomischen Nachrichten.

Nr. 358.

- S. 369 Z. 20 v. u. st.  $x - \frac{1}{6}$  l. m.  $x + \frac{1}{6}$   
 : 371 : 4 : : Ordnung durch : Ordnung, durch  
 : 374 in den Nennern der Formel  $[\delta]$   
 st.  $m, m', \dots, m^{(n)}$  :  $h, h', \dots, h^{(n)}$   
 : 376 Z. 1 :  $\frac{1}{4a\sqrt{a^2}}$  :  $\frac{1}{4a\sqrt{ax}}$   
 : 376 : A. v. u. : fehlt die Note: Wenn man nicht den wahrscheinlichsten Werth dieser Grenze, sondern von  $p$  selbst, verlangt, so ist es offenbar der, von welchem die Beobachtungen, sämmtlich mit dem Zeichen von  $a$ , am wenigsten abweichen; also entweder der kleinste, oder der größte der beobachteten Werthe.  
 : 377 : 2 : :  $\frac{\sqrt{2}}{3} a x = 0,420 a x$   
 l. m.  $\frac{\sqrt{89}}{24} a x = 0,260 a x$

S. 360 Z. 7 v. u. st. zwischen  $-a-b$  und  $a+b$

l. m. zwischen  $-a-b$  und  $-a+b$   
 : 384 : 11 : : entworfenen l. m. unterworfenen

Nr. 359.

- : 385 : 10 : :  $\iint \varphi_a \cdot \psi_y \cdot \varphi_x \cdot dy \cdot dx \dots$   
 l. m.  $\iint \varphi_a \cdot \varphi_1 \cdot \varphi_x \cdot dy \cdot d$   
 : 386 : 7 : : hien : bis zu  
 : 387 : 7 : : untere Grenze des Integrals:  
 st.  $-n-c$  l. m.  $n-c$   
 : 394 : 12 : die GröÙe der eingeklammerten GröÙen:  
 st.  $[-a, n+b]$  l. m.  $[-a, -n+b]$   
 : 397 : 25 v. u. : der Grenze : die Grenze  
 : 399 : 25 : : und welcher : und welche  
 : 400 : 26 : Auch die : Auch der  
 : 401 : 15 :  $\frac{nn}{nn}$  :  $\frac{nn}{nn}$   
 : 404 : 13 : : Annahme : Ausnahmen  
 In Nr. 363 pag. 47. 48 in der Ueberschrift der ersten und zweiten  
 . Classe, statt  $\log. \sin x$  lese man  $\log. \sin f$

### Inhalt.

- (zu Nr. 364.) Ueber die eigene Bewegung des Sonnensystems (Beschlufs). Von Herrn Professor *Argelander*, Director der Sternwarte in Bonn. p. 49. — Ueber das Helligkeitsverhältniß der Doppelsternpaare. Von Herrn Dr. *Mädler*. p. 55. — Berechnung der *Hansenschen* Constanten für die Sternbedeckungen von 1839; nebst einigen Bemerkungen über den Gebrauch d. Mondkarte bei Sternbedeckungen. Von Herrn Dr. *Mädler*. p. 61. —  
 (zu Nr. 365, 366.) Bestimmung der Entfernung des 61sten Sterns des Schwans. Von Herrn Geheimen-Rath und Ritter *Bessel*. p. 67. Ehrenbezeugung. p. 95. — Verbesserungen in Nr. 358, 359 und 363 der Astronom. Nachrichten. p. 95.

Entwicklung einer Methode der Berechnung der Kometen-Störungen, wobei dieselben auf den Schwer-  
punkt des Sonnensystems bezogen, und die von den einzelnen störenden Massen und deren Quadraten  
und Producten herrührenden Glieder von einander abgesondert werden.

Von Herrn J. W. H. Lehmann.

Dr. der Philosophie und Prediger zu Dornitz und Krilow bei Potsdam.

Ein gründlicheres Studium der klassischen Abhandlung von *Bessel* in Nr. 313. 314. 315 der *Astr. Nachr.* veranlaßte den Verzeichneter, über die Abänderungen nachzudenken, welche die Form der Störungsrechnung in den verschiedenen Theilen der Kometenbahn annehmen muß, wenn man einestheils auf den kürzesten Wege zum Ziele gelangen, andertheils den Rechnenden die größte erreichbare Schärfe geben will. Es ist wohl von den Astronomen schon ziemlich allgemein anerkannt, daß zu diesem Behufe die Elemente in größerer Nähe des Schwerpunktes der Sonne auf den Mittelpunkt der Sonne, in größerer Entfernung aber auf den Schwerpunkt des Sonnensystems bezogen werden müssen. Die erstere Beziehung gewährt nach der bisherigen Praxis den vereinigten Vortheil, die Planetenelemente unverändert so anwenden zu können, wie die Tafeln der Ephemeriden sie geben, d. h. in Beziehung auf den Schwerpunkt der Sonne, und zugleich die von den einzelnen Massen herrührenden Glieder von einander abzusondern und dadurch den Weg zu successiven Verbesserungen und künftiger Berichtigung der Planetenmassen unablässig zu lassen, während bei der Beziehung der Störungsrechnung auf den Schwerpunkt, wie sie z. B. nach *Rosenbergers* Methode in Nr. 250 der *Astr. Nachr.* geführt werden, die Planeten-Coordinaten erst auf diesen Schwerpunkt reducirt werden müssen, und die Absonderung der von den einzelnen störenden Massen herrührenden Glieder sich auf die Glieder von der ersten Potenz der störenden Massen beschränkt, auch dieses nur scheinbar, indem die Coordinaten des Schwerpunktes in Beziehung auf den Mittelpunkt der Sonne, welche in den in Beziehung auf den Schwerpunkt genommenen Planeten-Coordinaten implicite enthalten sind, von allen in Beziehung auf den Schwerpunkt störenden Massen zugleich abhängen. Ein Hauptnachtheil, diesen doppelten Nachtheil von den in Beziehung auf den Schwerpunkt zu führenden Störungsrechnungen zu entfernen, ist meines Wissens noch nicht gemacht worden; die Wichtigkeit eines solchen scheint mir jedoch durch die Worte unseres *Bessels* in dessen *Astr. Jahrbuche* für 1838 S. 273 bedingt

zu sein: „Aber in der Praxis wird es rathsam sein, von dieser größten Kürze etwas aufzuopfern, und die Störungen durch jeden Planeten abgesondert zu berechnen; unsere Planetenmassen sind sämmtlich noch so unsicher, daß man sich bei jeder Rechnung darauf gefaßt machen muß, Correctionen der Massen künftighin anbringen zu müssen, was nur möglich ist, wenn man für jeden Planeten einzeln den Betrag der Störung vor sich hat.“

Es wäre eine ermüdende und fast unvollendbare Arbeit, bei der Berechnung der Störungen eines Kometen von langer Umlaufszeit in Beziehung auf den Schwerpunkt des ganzen Sonnensystems die Kräfte, welche die Bewegung um diesen Schwerpunkt stören, durch den ganzen Umlauf mit specieller Berücksichtigung der Oerter und Massen aller sieben Hauptplaneten zu bestimmen. Glücklicherweise ist dieses bei der Geringfügigkeit der vier Massen des Merkur, der Venus, Erde und des Mars im Vergleich zur Jupiters-, Saturns- und Uranusmasse und bei der Kleinheit der Entfernungen jener vier kleinen Planeten von der Sonne im Verhältnis zu den Entfernungen der drei großen Planeten nicht nöthig, indem es um dieser Verhältnisse willen schon bei mäßigen Entfernungen des Kometen von der Sonne erlaubt ist, solche Glieder, welche die Masse eines kleinen Planeten in die eines großen multiplicirt enthalten, und um so mehr die Quadrate und Producte der Massen der kleinen Planeten unter einander, zu vernachlässigen (vgl. *Rosenbergers* Abhandlung in Nr. 250 der *Astr. Nachr.* Spalte 170). Diese Bemerkung berechtigt uns, die kleinen Planeten von der Betrachtung der Störungen in Beziehung auf den Schwerpunkt des Sonnensystems ganz auszuschließen, ausgenommen insofern sich ihr Einfluß durch ein geschlossenes Integral ein für allemal darstellen läßt, wie in *Bessels* schöner Abhandlung (Nr. 313. 314. 315 der *Astr. Nachr.*) geschehen ist. Die Schlussworte dieser Abhandlung müßten wohl folgenden allgemeinen Plan der Berechnung der Störungen des *Halley'schen* oder eines ähnlichen Kometen rechtfertigen.

Die Störungen werden vom Perihelium bis etwa 360 Tage vor- und nachher streng auf den Mittelpunkt der Sonne bezogen, und für alle 7 Planeten einzeln in extenso berechnet, was keine übermäßige Arbeit seyn wird, da für die von Merkur herrührenden Störungen siebenbürtige Intervalle nicht zu groß seyn möchten \*), (was für diesen ganzen Zeitraum, innerhalb dessen die Fundamental-Elemente mehrmals durch die gefundenen Störungen verbessert werden müssen, etwa 52 Intervalle betragen würde), und für die entfernteren Planeten, abgesehen von den Ausnahmefällen sehr starker Annäherung, successiv größere Intervalle statthaft sind. Nach Ablauf dieses Zeitraums werden die Elemente des Kometen durch die *Bessel'schen* oder *Arcandlerschen* Formeln (siehe die angeführte Abhandlung, Spalte 43 bis 48), welche nur Glieder von der ersten Potenz der störenden Massen enthalten, vom Mittelpunkt der Sonne auf den gemeinsamen Schwerpunkt zwischen Sonne, Merkur, Venus, Erde und Mars reducirt, wobei der Einfluß jedes dieser vier Planeten einzeln berücksichtigt wird. Dann wird, nach der *Bessel'schen* Näherungsmethode im 2<sup>ten</sup> Abschnitt der gedachten Abhandlung, der Anfang oder das Ende des Integrals der Störung in Beziehung auf den letztgedachten Schwerpunkt berechnet, und zwar für jeden der vier Planeten einzeln, wobei freilich für Merkur und Mars die mit der ersten Potenz der Excentricität  $e'$  multiplicirten Glieder, desgleichen für Mars die nicht mit der Excentricität multiplicirten, aber durch die 4<sup>te</sup> Potenz des Radiusvectors  $r$ , dividirten Glieder, deren es in der That giebt, mit zu berücksichtigen seyn möchten. Dieser gefundene Anfang oder das Ende des Integrals ist mit entgegengesetztem Zeichen (das das Ende des Integrals jedoch bei der Vorwärtsrechnung gegen das Perihelium hin mit demselben Zeichen \*\*) an die Elemente des Kometen in Beziehung auf den Schwerpunkt zwischen Sonne, Merkur, Venus, Erde und Mars zu appliciren; die auf diese Art gefundenen Elemente sind der weiteren Rechnung zum Grunde zu legen. Von da an bleiben die Störungen durch die vier kleinen Planeten bis zum Aphelium ganz unberücksichtigt, und die Bewegung des Kometen wird als elliptisch um den Schwerpunkt zwischen der Sonne und jenen vier Planeten betrachtet, wobei (wenn  $m$  die Summe der Massen der vier kleinen Planeten, und  $a$  die halbe große Axe der Kometenbahn bedeutet) die mittlere Bewegung =  $\frac{\sqrt{1+m}}{a\sqrt{a}}$  zu setzen ist, und die Störungen durch Jupiter, Saturn und Uranus nach den bekannten Differentialformeln so berechnet und durch mechanische Qua-

draturen integrirt werden, als wenn die Kometen-Elemente auf den Mittelpunkt der Sonne bezogen würden.

Hat der Komet eine hinreichende Entfernung jenseit der die Störung hauptsächlich bestimmenden Japiterbahn erreicht, so daß zu erwarten steht, die Störungen in Beziehung auf den Schwerpunkt des ganzen Sonnensystems werden weiterhin merklich geringer ausfallen, als die in Beziehung auf den Mittelpunkt der Sonne \*), so werden die Elemente vom letzteren Punkt auf den ersteren (eigentlich vom Schwerpunkt zwischen Sonne, Merkur, Venus, Erde und Mars auf den Schwerpunkt des ganzen Sonnensystems) reducirt, und nachher die Störungen bis zum Aphelium auf den Schwerpunkt des ganzen Sonnensystems bezogen. Sowohl jene Reductionen als diese Störungen enthalten, streng analytisch entwickelt, Glieder mit den ersten Potenzen der Jupiters-, Saturns- und Uranusmassen, dann Glieder mit den Quadraten und Producten dieser Massen, dann Producte zu drei Dimensionen u. s. w. ohne Ende. Eine Entwicklung über die zweite Dimension hinaus würde eine fast unausführbare Weidäufigkeit verursachen; gleichwohl aber machen die besonderen Umstände, unter denen die Elemente auf den Schwerpunkt bezogen werden, eine solche Ausdehnung unnöthig. Denn sollten die Störungen in Beziehung auf den Schwerpunkt so beträchtlich ausfallen, daß auch die Glieder mit den Producten zu drei Dimensionen berücksichtigt werden müßten, so wäre es ein sicheres Zeichen, daß die Entfernung des Kometen von der Sonne noch nicht groß genug ist, die Beziehungen der Störungen auf den Schwerpunkt mit Vortheil anwenden zu können, und daß man also die Beziehung auf den Mittelpunkt der Sonne (wobei in den Formeln für die differentielle Aenderungen der Elemente nur Glieder mit den ersten Potenzen der störenden Massen vorkommen) noch länger vorwalten lassen muß. Dagegen wird die Betrachtung der Glieder mit den Quadraten und Producten zu zwei Dimensionen nicht umgangen werden können; denn selbst die Störungen in Beziehung auf den Schwerpunkt so gering ausfallen, daß der Einfluß der Glieder zu zwei Dimensionen durchaus unmerklich wäre, so würde man eben so sehr versichert seyn, daß die Entfernung des Kometen von der Sonne groß genug ist, die weiter folgenden Störungen in einem geschlossenen Integrale darstellen zu können. Dieser letztere Fall findet selbst für einen Theil des Laufs des *Halleyschen* Kometen hinsichtlich seiner Störungen durch Jupiter, Saturn und Uranus statt; denn ich habe mich vor zwei Jahren durch eine detaillirte Berechnung überzeugt, daß diese Störungen, auf den Schwerpunkt des Sonnensystems bezogen, für wenigstens

\*) Vergl. *Euckers* Jahrbuch für 1838 S. 273 unten.

\*\*) Ebenso der Anfang des Integrals bei der Rückwärtsrechnung gegen das Perihelium hin.

\*) Nach *Rosenberger* für den *Halleyschen* Kometen etwa beim 60<sup>ten</sup> Grade der excentrischen Anomalie.

24 Jahre vor und 24 Jahre nach dem Aphelium bei ihrer Unbedeutendheit ganz vernachlässigt werden könnten, ohne daß bei den Kometen-Beobachtungen erreichbare Schärfe in Disjunktion zu stehen, woraus unwidersprechlich folgt, daß für einen noch merklich längern Zeitraum das geschlossene Integral hinreichend scharfe Resultate geben muß. Das Verdienst der angegebenen *Bessel'schen* Abhandlung erscheint hierarch um so größer, da die Anwendbarkeit derselben, selbst was die Näherungsmethode im 2<sup>ten</sup> Abschnitt betrifft, keineswegs unbedeutend auf die vier der Sonne zunächst benachbarten Planeten beschränkt ist. In den höchst seltenen Ausnahmefällen sehr starker Annäherungen an den Uranus (welche beim *Halley'schen* Kometen nicht vorkommen) müßte man die bereits zwischen der Saturn- und Uranusbahn eingeleitete Beziehung der Störungen auf den Schwerpunkt des Sonnensystems wieder verlassen, die Elemente auf den Mittelpunkt der Sonne zurück reduciren und so eine kurze Zeit hindurch festhalten, und nachher (jenseit des Uranus) wieder einklinken.

Wir beschränken uns in der folgenden Untersuchung auf diejenigen Theile des Umlaufs, da der Komet sich in mittelmäßigen Entfernungen von der Sonne befindet, so daß die Änderungen seiner Elemente zwar durch mechanische Quadratur, aber in Beziehung auf den Schwerpunkt des ganzen Sonnensystems bestimmt werden. Wir entwickeln die dahin gehörigen Formeln analytisch und so, daß die Glieder mit den ersten Potenzen der störenden Masse, die Glieder mit den Quadraten und die mit den Produkten von einander abgesondert werden. Obgleich der hier zu betrachtenden störenden Massen nur drei sind, Jupiter, Saturn und Uranus, so wollen wir doch die Anzahl derselben, um der Allgemeinheit der Theorie willen, unberücksichtigt lassen, und sie mit  $m'$ ,  $m''$ ... bezeichnen. Es ist klar, daß jedes mit der ersten Potenz einer störenden Masse oder mit deren Quadrat multiplicirte Glied nur Coordinaten desselben Planeten und ihre Differential-Quotienten enthält, nicht aber Coordinaten oder Differential-Quotienten, welche einem andern Planeten angehören, und daß dagegen in jedem Gliede, welches ein Product zweier störender Massen enthält, Coordinaten oder Differential-Quotienten der beiden störenden Planeten und keines dritten vorkommen. Jedem Gliede mit der ersten Potenz oder dem Quadrat einer störenden Masse entsprechen aber ganz ähnlich gebildete Glieder für die übrigen in Betracht gezogenen störenden Massen. Und wenn einem Gliede mit dem Product zweier Massen entsprechen ähnlich gebildete Glieder für alle übrigen möglichen Combinationen zu Zweien, die man aus den in Betracht gezogenen störenden Massen bilden kann; auch sind in jedem solchen Gliede die Elemente, Coordinaten und Differential-Quotienten der beiden störenden Planeten symmetrisch enthalten. Wir werden diese

Elemente, Coordinaten und Differential-Quotienten für jeden Planeten mit eben so vielen Strichen bezeichnen, als sich Striche bei dem betreffenden  $m$  befinden; wir werden aber in den Gliedern mit den ersten Potenzen und Quadraten der störenden Massen nur von einem Striche wirklichen Gebrauch machen, und dabei alle ähnlich gebildeten Glieder in Eins zusammenziehen, indem wir das Summenzeichen  $\Sigma$  davor schreiben, welches über alle in Betracht zu ziehenden störenden Massen zu erstreckt. In den Gliedern mit den Produkten je zweier störender Massen werden wir von einem und von zwei Strichen Gebrauch machen, und dabei wiederum alle ähnlich gebildeten Glieder zusammenziehen, indem wir den Buchstaben  $\Sigma$  davor schreiben, welcher über alle Combinationen zu Zweien zu erstrecken ist, die man aus den in Betracht gezogenen störenden Massen bilden kann. So werden wir Glieder entwickeln, welche mit  $\Sigma m'$  anfangen, andere, welche mit  $\Sigma m''$  anfangen, und noch andere mit  $\Sigma m' m''$ . Die Elemente, Coordinaten und Differentialquotienten für den Kometen werden wir mit denselben Buchstaben bezeichnen als die entsprechenden Größen für die Planeten, dabei aber die Striche weglassen. Die Masse des Kometen, welche hiernach mit  $m$  schlechtweg bezeichnet werden müßte, wollen wir, wie wir dies nach dem jetzigen Zustande der Wissenschaft nicht anders können,  $= 1$  setzen; ob wir uns aber unter der Masseneinheit die Masse der Sonne allein, oder die Masse derselben mit Merkur, Venus, Erde und Mars vereinigt vorstellen, wird (weil wir die Glieder mit dem Product aus der Masse eines kleinen Planeten in die eines großen vernachlässigen) für die Bestimmung der Störungen gleichgültig sein. Wir werden die rechtwinkligen Coordinaten des Kometen mit  $x$ ,  $y$ ,  $z$ , und ihre Differentialquotienten in Beziehung auf die Zeit mit  $\alpha$ ,  $\beta$ ,  $\gamma$  bezeichnen; für die Planeten (bei denen zu diesen sechs Buchstaben noch Striche hinzukommen) wird der Anfangspunct der Coordinaten stets und unveränderlich im Mittelpunkt der Sonne gedacht werden, (wie sie sich unmittelbar aus den Tafeln oder Ephemeriden ergeben), während dieser Anfangspunct für den Kometen, so lange die Beziehung der Störungen auf den Schwerpunkt des Sonnensystems im Gange ist, in diesem Schwerpunkt liegen soll. Bei der Reduction der Elemente vom Mittelpunkt der Sonne auf den Schwerpunkt denken wir uns den Anfangspunct der Kometen-Coordinaten im Mittelpunkt der Sonne, und bezeichnen dieselben Coordinaten, in Beziehung auf den Schwerpunkt genommen, mit  $x + \Delta x$ ,  $y + \Delta y$ ,  $z + \Delta z$ , und ihre Differentialquotienten mit  $\alpha + \Delta \alpha$ ,  $\beta + \Delta \beta$ ,  $\gamma + \Delta \gamma$ ; dagegen sollen bei der umgekehrten Reduction  $x$ ,  $y$ ,  $z$  die Coordinaten in Beziehung auf den Schwerpunkt, und  $\alpha + \Delta \alpha$ ,  $\gamma + \Delta \gamma$ ,  $z + \Delta z$ ,  $\alpha + \Delta \alpha$ ,  $\beta + \Delta \beta$ ,  $\gamma + \Delta \gamma$  die Coordinaten und ihre Differentialquotienten in Beziehung auf den Mittelpunkt der Sonne sein. Dieselbe Bedeutung von  $\Delta$  werden wir auch bei

den Elementen festhalten, nämlich bei

- $\lambda$  (der Quadratwurzel des halben Parameters),
- $i$  (Neigung der Bahn gegen die Ebene der  $x$  und  $y$ ),
- $n$  (Ort des aufsteigenden Knotens auf der Ebene der  $x$  und  $y$ , von einer festen Geraden an gerechnet),
- $a$  (halbe große Axe),
- $v$  (mittlere Bewegung),
- $w$  (Abstand des Perihels in der Bahn vom gedachten Knoten) und

$M$  (mittlere Anomalie entweder im Augenblick der Reduction oder in demjenigen beliebigen Augenblick, für welchen man, während der fortlaufenden Beziehung der Störungen auf den Schwerpunkt, die differentiellen Aenderungen der einzelnen Kometen-Elemente bestimmen will).

Die Lage der Coordinatenachsen wird für den Kometen nach den Umständen variiren; im Endresultat soll allemal eine feste und unveränderliche Ebene für die Ebene der  $x$  und  $y$  angenommen werden, wozu am bequemsten die Ecliptik gebracht wird, nach der Lage, die sie in einem festbestimmten Zeitpunkt einnimmt. Für die störenden Planeten soll die Ase der  $x'$  stets mit dem Radiusvector  $r$  des Kometen parallel sein, und zwar während der fortlaufenden Beziehung der Störungen auf den Schwerpunkt parallel mit dem vom Schwerpunkt ausgehenden Radiusvector, im Augenblick der Reduction der Elemente vom Mittelpunkt der Sonne auf den Schwerpunkt aber parallel mit dem vom Mittelpunkt der Sonne ausgehenden Radius vector, und im Augenblick der Reduction der Elemente vom Schwerpunkt auf den Mittelpunkt der Sonne wiederum parallel mit dem vom Schwerpunkt ausgehenden Radius vector; die Ase der  $y'$  soll gegen die Ase der  $x'$  senkrecht und so liegen, daß die Ebene der  $x'$  und  $y'$  mit der respective auf den Schwerpunkt oder auf den Mittelpunkt der Sonne bezogenen Kometenbahn parallel ist, die Ase der  $s'$  endlich soll auf den Axen der  $x'$  und  $y'$  senkrecht und so liegen, daß, von der Seite der positiven  $s'$  aus betrachtet, die Bewegung des Kometen allem rechthülfig erscheint. Ich habe bei der bisherigen Auseinandersetzung absichtlich die Reduction der Elemente vom Mittelpunkt der Sonne auf den Schwerpunkt, und umgekehrt, öfters erwähnt, weil diese Reduction ein wesentlicher Bestandteil der auf den Schwerpunkt bezogenen Störungsrechnungen ist, und die dahin gehörigen Formeln eben so sehr einer Entwicklung nach den ersten Potenzen, Quadraten und Producten der störenden Massen bedürfen als die Formeln für die störenden Kräfte bei der fortlaufenden Beziehung der Elemente auf den Schwerpunkt selbst. Ich werde daher die Untersuchung in 2 Abschnitte zerfallen lassen, wovon der erste die beiden Reductionen vom Mittelpunkt der Sonne auf den Schwerpunkt, und umgekehrt, aus einem gemeinschaftlichen Gesichtspunkte

betrachtet, (bei welcher Reduction die Entwicklung bis zu zweiten Dimension der störenden Massen inclusive gleichfalls hinreichend ist), der andere aber sich mit der Untersuchung der Kräfte beschäftigt, welche die Bewegung des Kometen um den Schwerpunkt des ganzen Sonnensystems stören. Zu beklagen ist dabei nur, daß man nicht umhin kann, die successiven Verbesserungen der Fundamental-Elemente des Kometen durch die gefundenen Störungen (wir verstehen hier unter Fundamental-Elementen diejenigen, welche jedesmal die Berechnung der differentiellen Aenderungen der Elemente zum Grunde gelegt werden) aus den Störungen aller Planeten zusammen herzuleiten, und daß sich dabei die Einflüsse der einzelnen Planeten durchaus nicht von einander absondern lassen (was, der Natur der Sache nach, bei mechanischen Quadraten immer unmöglich ist); vgl. *Encke's* Jahrbuch für 1831 Seite 274 oben. Diese Schwierigkeit wird indessen einestheil durch den Umstand gemildert, daß die die Kometenstörungen hauptsächlich bestimmende Jupitersmasse, wie es jetzt den Anschein hat, nur noch unbedeutender Correctionen bedarf, um kann andertheils durch eine zu Ende der ganzen Rechnung anzustellende Beurtheilung, ob diese oder jeno sich ergebend Correction einer Planetenmasse einen erheblichen Einfluß auf die Fundamental-Elemente während des ganzen Kometen-Umlaufs habe oder nicht (welche Beurtheilung sich auf kleine Additionen und Subtractionen gründet), direct überwunden werden

## Erster Abschnitt.

### 1.

Wir nennen  $\mu$  und  $\mu + \Delta\mu$  die im Centrum der Bewegung des Kometen vereinigte anziehende Masse, und setzen für die Reduction vom Mittelpunkt der Sonne auf den Schwerpunkt  $\mu = 1$ , und  $\Delta\mu = \Sigma m'$ , für die umgekehrte Reduction die  $\mu = 1 + \Sigma m'$ , und  $\Delta\mu = -\Sigma m'$ . Dafür wollen wir schreiben:

$$\mu = \left\{ \begin{array}{l} 1 + \Sigma m' \end{array} \right\} \quad \Delta\mu = +\Sigma m'$$

und auch für Formeln jeder Art die Bedeutung der unter  $\mu$  ander gesetzt und in Haken  $\left\{ \right\}$  eingeschlossenen Ausdrücke, wie auch der Doppelzeichen  $\pm$  oder  $\mp$ , auf ähnliche Weise verstehe. Diese Haken sollen also nicht die Bedeutung gewöhnlicher Klammern haben, sondern sich nur auf die Unterscheidung der Fälle beziehen, und es sollen die Klammern in gewöhnlicher Bedeutung, da wo sie nöthig sind, außerdem hinzutreten.

Werden die Kometen-Coordinationen  $x, y, z$  den Planeten Coordinationen  $x', y', s'$  parallel gelegt, so ist wegen der Nähe des Schwerpunkts

$$\begin{aligned} 1x &= \mp \frac{\Sigma m' x'}{1 + \Sigma m}; & \Delta y &= \mp \frac{\Sigma m' y'}{1 + \Sigma m}; & \Delta z &= \mp \frac{\Sigma m' z'}{1 + \Sigma m}; \\ 1x &= \mp \frac{\Sigma m' x'}{1 + \Sigma m}; & \Delta \beta &= \mp \frac{\Sigma m' \beta'}{1 + \Sigma m}; & \Delta \gamma &= \mp \frac{\Sigma m' \gamma'}{1 + \Sigma m}. \end{aligned}$$

Auch hat man alsdann

$$(1) \dots \begin{cases} x = r & y = 0 & z = 0 \\ x = \sqrt{\mu} \cdot \frac{e \sin \varphi}{h} & \beta = \sqrt{\mu} \cdot \frac{h}{r} & \gamma = 0 \end{cases}$$

wo  $e = \left( \sqrt{1 - \frac{h^2}{a^2}} \right)$  die Excentricität, und  $\varphi$  die wahre

Anomalie bedeutet,  $r$  aber  $= \sqrt{(x^2 + y^2 + z^2)}$  ist. Vollzieht man die vorhin angedeuteten Divisionen durch  $1 + \Sigma m'$  nach dem binomischen Lehrsatz, und behält man dabei nur die Glieder bis zu den Quadraten und Producten der störenden Massen incl. bei, so erhält man:

$$(2) \dots \Delta x = \mp \Sigma m' x' \pm \Sigma m' x' \pm \Sigma m' m'' (x' + x'')$$

und ähnliche Gleichungen für  $\Delta y$ ,  $\Delta z$ ,  $\Delta \alpha$ ,  $\Delta \beta$ ,  $\Delta \gamma$ . Die Coordinaten  $x'$ ,  $y'$ ,  $z'$  und ihre Differentialquotienten in Beziehung auf die Zeit  $t$ , nämlich  $\alpha'$ ,  $\beta'$ ,  $\gamma'$ , sollen inskünftige immer als gegebene Größen angesehen werden; sie finden sich, indem man die periodischen Breitenstörungen der Planeten unter einander vernachlässigt (was fast immer erlaubt sein wird, durch die Formeln:

$$(3) \dots \begin{cases} x' = r' (\cos n' \cos u' - \sin n' \sin u' \cos i') \\ y' = r' (\sin n' \cos u' + \cos n' \sin u' \cos i') \\ z' = r' \sin u' \sin i' \end{cases}$$

$$\alpha' = \frac{x'}{r'} \cdot \frac{dr'}{dt} - r' (\cos n' \sin u' + \sin n' \cos u' \cos i') \frac{du'}{dt}$$

$$= \frac{x'}{r'} \cdot \frac{dr'}{dt} - (y' \cos i' + z' \sin i' \cos n') \frac{du'}{dt};$$

$$\beta' = \frac{y'}{r'} \cdot \frac{dr'}{dt} - r' (\sin n' \sin u' - \cos n' \cos u' \cos i') \frac{du'}{dt}$$

$$= \frac{y'}{r'} \cdot \frac{dr'}{dt} + (x' \cos i' - z' \sin i' \sin n') \frac{du'}{dt};$$

$$\gamma' = \frac{z'}{r'} \cdot \frac{dr'}{dt} + r' \cos u' \sin i' \frac{du'}{dt}$$

$$= \frac{z'}{r'} \cdot \frac{dr'}{dt} + (x' \cos n' + y' \sin n') \sin i' \frac{du'}{dt},$$

wo  $\alpha'$  die Länge des aufsteigenden Knotens der Planetenbahn ist, der vor der Reduction statt findenden Kometenbahn, vom Radius vector  $r$  an gerechnet,  $i'$  die Neigung beider Bahnen gegen einander, und  $u'$  die Länge des Planeten in seiner Bahn, vom gedachten Knoten an gerechnet, bedeutet, und  $\frac{dr'}{dt}$  und  $\frac{du'}{dt}$  durch Vermittelst einer Reihenfolge benachbarter Planetenörter, aus den Tafeln oder Ephemeriden genommen werden, durch die successiven endlichen Differenzen bestimmen lassen (vgl. Rosenbergers Abhandlung in Nr. 250 der A. N. S. 169, und Bessel a. a. O. S. 8 und 9). Die eben aufgestellten Gleichungen

lassen sich durch die schönen Gauss'schen Relationen bequemer für die logarithmische Rechnung einrichten, was aber nicht hierher gehört. Für  $\frac{du'}{dt}$  und  $\frac{dr'}{dt}$  ließe sich  $\frac{h'}{r'}$  und  $\frac{e' \sin \varphi'}{h'}$  substituiren, wenn man die periodischen Störungen der Planeten unter einander in der Länge und im Radius vector vernachlässigen wollte (vgl. die Bessel'schen Formeln für  $A$ ,  $B$ ,  $C$ ,  $A$ ,  $B$ ,  $C$  a. a. O. S. 47 und 48 oben); hier, wo wir die Quadrate und Producte der störenden Massen mitnehmen wollen, erfordert es die Consequenz, auch  $\frac{du'}{dt}$  und  $\frac{dr'}{dt}$  in größerer Schärfe anzuwenden.

## 2.

Um eine haltbare Vorstellung von der Reduction der Kometen-Elemente zu gewinnen, dürfen wir nicht nur sechs, sondern wir müssen sieben von einander unabhängige Elemente annehmen, indem  $a$  und  $v$  als von einander unabhängig und durch die Centralmasse  $\mu$  vermittelt zu betrachten sind. Hier-  
nach können die sieben Elemente  $h$ ,  $i$ ,  $n$ ,  $a$ ,  $v$ ,  $w$ ,  $M$  als Functionen der sieben Größen  $x$ ,  $y$ ,  $z$ ,  $\alpha$ ,  $\beta$ ,  $\gamma$ ,  $m$  angesehen werden. Die Abhängigkeit der Elemente von den letzteren sieben Größen wird durch folgende Formeln ausgedrückt:

$$h = \frac{Y(c^2 + c'^2 + c''^2)}{\sqrt{\mu}} \dots \dots \dots (4)$$

$$\text{wobei } c = x\beta - yz; \quad c' = y\gamma - zx; \quad c'' = y\gamma - z\beta^2;$$

$$i = \text{Arc. tg. } \frac{Y(c'c'' + c''^2 c^2)}{c} \dots \dots \dots (5)$$

$$n = \text{Arc. tg. } \frac{c^2}{c} \dots \dots \dots (6)$$

$$\frac{1}{2a} = \frac{1}{r} - \frac{V}{2\mu} \dots \dots \dots (7)$$

$$\text{wobei } r = \sqrt{(x^2 + y^2 + z^2)}, \text{ und } V = \alpha^2 + \beta^2 + \gamma^2;$$

$$v = \sqrt{\mu} \cdot a^{-1} \dots \dots \dots (8)$$

$$w = \text{Arc. cos. } \frac{k}{r} - \text{Arc. cos. } \left( \frac{1}{6} (h^2 \cdot \frac{1}{r} - 1) \right) \dots \dots (9)$$

$$\text{wobei } k = x \cos n + y \sin n, \text{ und } e = \sqrt{1 - \frac{h^2}{a^2}};$$

$$\text{wobei } s = \text{Arc. cos. } \left[ \frac{M}{e} - s \sin s \dots \dots \dots (10) \right]$$

\*) Die Striche bei  $c'$  und  $c''$  sind in dieser Untersuchung die einzigen, welche sich nicht auf einen störenden Planeten, sondern auf den Kometen beziehen. Ich habe aber von der so allgemein bekannten Bezeichnung der auf die Coordinaten-Ebene projicirten Flächengeschwindigkeiten nicht abweichen wollen. Weiterhin sollen dennoch alle den Kometen betreffenden Elemente, Coordinaten und Differentialquotienten, und also auch  $c'$  und  $c''$ , der Kürze wegen, Functionen ohne Striche genannt werden.





wird uns für die noch zu entwickelnden Reductionsformeln die Erleichterung gewähren. Die Ableitung von  $Q'$  aus  $P'$  ist zwar nicht ganz so einfach, läßt sich aber doch im Allgemeinen übersehen, wenn man Acht auf die Zusammensetzung derjenigen Function von  $\Delta x, \Delta y, \Delta z, \Delta \alpha, \Delta \beta, \Delta \gamma$  und  $\Delta \mu$  hat, voraus die Entwicklung in die Form (14) jedesmal hervorgeht. Diese Function besteht nämlich theils aus Gliedern, worin die abgedachten endlichen Differenzen in einer, theils aus solchen, worin sie in zwei Dimensionen vorkommen. Die Glieder in zwei Dimensionen haben auf  $P'$  gar keinen Einfluß, wohl aber auf  $Q'$ . Diese Glieder zu zwei Dimensionen enthalten theils  $\Delta \mu^2$ , theils  $\Delta \mu$  mit einer der sechs übrigen endlichen Differenzen multiplicirt, theils gar kein  $\Delta \mu$ . Aus den Gliedern mit  $\Delta \mu^2$  wird  $\Delta \mu^2$  weggelassen, der Coefficient aber bleibt unverändert, und bildet so das entsprechende Glied von  $Q'$ . Aus den Gliedern, welche  $\Delta \mu$  mit einer der sechs übrigen endlichen Differenzen multiplicirt enthalten, wird (vermöge der Gleichungen (2), und weil  $\Delta \mu = \pm \Sigma m'$ ) erstlich  $\Delta \mu$  weggelassen, dann von dem andern Factor das Zeichen  $\Delta$  weggelassen, der dahinter stehende Buchstabe mit einem Strich versehen, und das Vorzeichen + oder - in das entgegengesetzte verwandelt. Aus den Gliedern zu zwei Dimensionen, welche  $\Delta \mu$  gar nicht enthalten, findet man unmittelbar die entsprechenden Glieder von  $Q'$  durch bloßes Weglassung der  $\Delta$ -Zeichen und durch Bezeichnung der dahinter stehenden Buchstaben mit je einem Strich. Die Glieder zu einer Dimension enthalten theils  $\Delta \mu$ , theils die sechs übrigen endlichen Differenzen; die Coefficienten aber, womit diese sieben endlichen Differenzen multiplicirt sind, enthalten entweder  $\mu$ , oder nicht; und wenn sie  $\mu$  enthalten, so sind sie entweder mit  $\sqrt{\mu}$  multiplicirt, oder durch  $\sqrt{\mu}$  dividirt, oder durch  $\mu$  dividirt, oder durch  $\mu^2$  dividirt; wir werden auf alle diese Fälle durch die weitere Untersuchung geführt werden. Ein Glied, welches  $\Delta \mu$  mit einem von  $\mu$  unabhängigen Coefficienten multiplicirt enthält, hat auf  $P'$ , aber nicht auf  $Q'$  Einfluß; der Einfluß auf  $P'$  wird bestimmt, indem man  $\Delta \mu$  wegläßt, und das Vorzeichen des Gliedes ins entgegengesetzte verwandelt. Solche Glieder also, welche auf  $P'$  und  $Q'$  zugleich Einfluß haben, müssen also von diesen Formen haben:

$$\begin{array}{ccccccc} \sqrt{\mu} \cdot p \cdot \Delta \mu & \frac{p}{\sqrt{\mu}} \cdot \Delta \mu & \frac{p}{\mu} \cdot \Delta \mu & \frac{p}{\mu \mu} \cdot \Delta \mu \\ p \Delta \lambda & \sqrt{\mu} \cdot p \cdot \Delta \lambda & \frac{p}{\sqrt{\mu}} \cdot \Delta \lambda & \frac{p}{\mu} \cdot \Delta \lambda & \frac{p}{\mu \mu} \cdot \Delta \lambda \end{array}$$

wo  $p$  eine von  $\mu$  unabhängige Function, und  $\lambda$  eine der sechs Größen  $x, y, z, \alpha, \beta, \gamma$  bedeutet. Die entsprechenden Ausdrücke auf  $P'$  sind alsdann:

$$\begin{array}{ccccccc} -p & -p & -p & -p \\ p\lambda' & p\lambda' & p\lambda' & p\lambda' \end{array}$$

und die auf  $Q'$ :

$$\begin{array}{ccccccc} \left\{ \begin{array}{c} 0 \\ -\frac{p}{2} \end{array} \right\} & \left\{ \begin{array}{c} 0 \\ \frac{p}{2} \end{array} \right\} & \left\{ \begin{array}{c} 0 \\ p \end{array} \right\} & \left\{ \begin{array}{c} 0 \\ 2p \end{array} \right\} \\ \pm p\lambda' \left\{ \begin{array}{c} +2 \\ -1 \end{array} \right\} \cdot \frac{p\lambda'}{2} & \left\{ \begin{array}{c} +2 \\ -3 \end{array} \right\} \cdot \frac{p\lambda'}{2} & \left\{ \begin{array}{c} +1 \\ -2 \end{array} \right\} \cdot p\lambda' & \left\{ \begin{array}{c} +1 \\ -3 \end{array} \right\} \cdot p\lambda' \end{array}$$

Wir benutzen diese allgemeinen Bemerkungen sogleich zur Entwicklung von  $\Delta c'$  aus der unter den Gleichungen (12) enthaltenen Formel

$$\Delta c' = \gamma \Delta x - \alpha \Delta z + x \Delta y - s \Delta \alpha + \Delta x \Delta \gamma - \Delta s \Delta \alpha \dots (15)$$

Wir finden hier, wenn wir die Coordinaten  $x, y, z$  des Coordinaten  $x', y', z'$  parallel legen:

$$\begin{array}{l} P' = -\frac{s \sin \Phi}{h} z' + r\gamma' \\ Q' = \left\{ \begin{array}{l} +2 \\ +1 \end{array} \right\} \cdot \frac{s \sin \Phi}{h} \cdot \frac{z'}{2} \pm r\gamma' + x'\gamma' - s'\alpha' \\ = \left\{ \begin{array}{l} -2 \\ +1 \end{array} \right\} \cdot \frac{s \sin \Phi}{h} \cdot \frac{z'}{2} \pm r\gamma' + h' \sin \epsilon' \cos n' \end{array} \right\} \dots (16)$$

und  $Q''$  läßt sich aus  $Q'$  nach dem Obigen leicht ableiten. (Wir werden auch weiterhin  $Q''$  nicht besonders entwickeln.) Endlich finden wir:

$$\Delta c'' = \gamma \Delta y - \beta \Delta z + y \Delta \gamma - s \Delta \beta + \Delta y \Delta \gamma - \Delta s \Delta \beta \dots (17)$$

und, wenn wir die Coordinaten  $x, y, z$  wiederum den Coordinaten  $x', y', z'$  parallel legen:

$$\begin{array}{l} P' = -\frac{h}{r} s' \\ Q' = \left\{ \begin{array}{l} -2 \\ +1 \end{array} \right\} \cdot \frac{h}{2r} s' + h' \sin i' \sin n' \end{array} \right\} \dots (18)$$

Beziehen wir aber nun die  $x$  und  $y$  auf eine feste Ebene, so haben wir zur Bestimmung von  $\Delta c$ ,  $\Delta c'$  und  $\Delta c''$  in den Gleichungen (12), (15) und (17) anstatt  $x, y, z, \alpha, \beta, \gamma, \Delta x, \Delta y, \Delta z, \Delta \alpha, \Delta \beta, \Delta \gamma$  die Ausdrücke zu substituieren, in welche sich diese Buchstaben verwandeln, wenn man das Coordinatensystem aus der festen Lage in diejenige dreht, wo die Ase der  $x$  mit dem Radius vector  $r$ , und die Ebene der  $x$  und  $y$  mit der Kometenbahn zusammenfällt. Die endlichen Differenzen, auf das neue Coordinatensystem bezogen, wollen wir dennoch der Kürze wegen, und um die oben zur Bildung von  $P'$  und  $Q'$  gegebenen Regeln desto leichter anwenden zu können, gleichfalls mit  $\Delta x, \Delta y, \Delta z, \Delta \alpha, \Delta \beta, \Delta \gamma$  bezeichnen. Wir haben also zu verwandeln:

$$\begin{array}{l} x \text{ in } r \cos(u + \varphi), \text{ wofür wir } \xi \text{ schreiben können,} \\ y \text{ in } r \sin(u + \varphi) \cos i, \text{ wofür wir } \eta \cos i \text{ schreiben wollen,} \\ z \text{ in } \eta \sin i \\ \alpha \text{ in } \frac{d\xi}{dt} \\ \beta \text{ in } \frac{d\eta}{dt} \cos i \\ \gamma \text{ in } \frac{d\eta}{dt} \sin i \end{array}$$

$$\begin{aligned}\Delta x & \text{ in } \frac{\xi \Delta x - \eta \Delta y}{r} \\ \Delta y & \text{ in } \frac{\eta \Delta x + \xi \Delta y}{r} \cos i - \Delta x \sin i \\ \Delta z & \text{ in } \frac{\eta \Delta x + \xi \Delta y}{r} \sin i + \Delta z \cos i\end{aligned}$$

$$\begin{aligned}\Delta c &= \left( \sqrt{\mu} \left( \frac{h}{r} \Delta x - \frac{e \sin \Phi}{h} \Delta y \right) + r \Delta \beta + \Delta x \Delta \beta - \Delta y \Delta \alpha \right) \cos i + \left( \frac{d\xi}{dt} \Delta z - \xi \Delta \gamma - \frac{\xi (\Delta x \Delta \gamma - \Delta z \Delta \alpha) - \eta (\Delta y \Delta \gamma - \Delta z \Delta \beta)}{r} \right) \sin i; \\ \Delta c' &= \left( \sqrt{\mu} \left( \frac{h}{r} \Delta x - \frac{e \sin \Phi}{h} \Delta y \right) + r \Delta \beta + \Delta x \Delta \beta - \Delta y \Delta \alpha \right) \sin i - \left( \frac{d\xi}{dt} \Delta z - \xi \Delta \gamma - \frac{\xi (\Delta x \Delta \gamma - \Delta z \Delta \alpha) - \eta (\Delta y \Delta \gamma - \Delta z \Delta \beta)}{r} \right) \cos i; \\ \Delta c'' &= \dots \dots \dots - \left( \frac{d\eta}{dt} \Delta x - \eta \Delta \gamma - \frac{\eta (\Delta x \Delta \gamma - \Delta z \Delta \alpha) + \xi (\Delta y \Delta \gamma - \Delta z \Delta \beta)}{r} \right)\end{aligned}$$

Entwickeln wir den hier für  $\Delta c$  gefundenen Ausdruck nach den oben gegebenen Regeln, und vergessen wir dabei nicht zu bedenken, daß  $\frac{d\xi}{dt} \left( = -\frac{\sqrt{\mu}}{h} \left( \frac{\eta}{r} + e \sin w \right) \right)$  und  $\frac{d\eta}{dt} \left( = \frac{\sqrt{\mu}}{h} \left( \frac{\xi}{r} + e \cos w \right) \right)$  den Factor  $\sqrt{\mu}$  implicite enthalten, so finden wir, wenn wir

$$o' = \left( \frac{\eta}{r} + e \sin w \right) \cdot \frac{e'}{h} + \xi \gamma'$$

setzen:

$$(19) \dots \left\{ \begin{aligned} P' &= o' \cos i - o' \sin i \\ Q' &= \begin{Bmatrix} +2 \\ -1 \end{Bmatrix} \cdot \left( \frac{\xi}{2} \cos i + \frac{d\xi}{dt} \cdot \frac{e'}{2} \sin i \right) + (r \beta \cos i - \xi \gamma' \sin i) \\ &\quad + h' (\cos i \cos i' - \sin i \sin i' \cos N') \end{aligned} \right.$$

wo  $N'$  ( $= n' + w + \Phi$ ) den Abstand des aufsteigenden Knotens der Bahn des Planeten  $m'$  auf der Kometenbahn vom aufsteigenden Knoten der Kometenbahn auf der festen Ebene bezeichnet. Entwickeln wir auf ähnliche Art den gefundenen Ausdruck für  $\Delta c'$ , so finden wir, wenn wir

$$\psi' = o' \sin i + o' \cos i$$

machen:

$$(20) \dots \left\{ \begin{aligned} P' &= \psi' \\ Q' &= \begin{Bmatrix} +2 \\ -1 \end{Bmatrix} \cdot \left( \frac{\xi}{2} \sin i - \frac{d\xi}{dt} \cdot \frac{e'}{2} \cos i \right) + (r \beta \sin i + \xi \gamma' \cos i) \\ &\quad + h' (\sin i \cos i' + \cos i \sin i' \cos N') \end{aligned} \right.$$

und für  $\Delta c''$ , wenn wir

$$\tau' \text{ für } - \left( \frac{\xi}{r} + e \cos w \right) \cdot \frac{e'}{h} + \eta \gamma'$$

schreiben:

$$(21) \dots \left\{ \begin{aligned} P' &= \tau' \\ Q' &= \begin{Bmatrix} -2 \\ +1 \end{Bmatrix} \cdot \frac{d\eta}{dt} \cdot \frac{e'}{2} \pm \eta \gamma' + h' \sin i' \sin N' \end{aligned} \right.$$

3.

Nach diesen Entwicklungen von  $\Delta c$ ,  $\Delta c'$  und  $\Delta c''$  können wir sogleich  $\Delta h$ ,  $\Delta i$  und  $\Delta n$  mittelst der Gleichungen (4),

$$\begin{aligned}\Delta x & \text{ in } \frac{\xi \Delta x - \eta \Delta \beta}{r} \\ \Delta \beta & \text{ in } \frac{\eta \Delta x + \xi \Delta \beta}{r} \cos i - \Delta \gamma \sin i \\ \Delta \gamma & \text{ in } \frac{\eta \Delta x + \xi \Delta \beta}{r} \sin i + \Delta \gamma \cos i\end{aligned}$$

und finden so:

(5), (6) und (11) bestimmen. Vor der Anwendung der Gleichung (11) sind aber die ersten und zweiten Differentialquotienten von  $h$ ,  $i$  und  $n$  in Beziehung auf  $c$ ,  $c'$  und  $c''$ , auch in Beziehung auf  $\mu$ , auszumitteln. Hierbei ist wiederum in Abgesehen zu merken, daß man die zweiten Differentialquotienten, nachdem man sie ausgemittelt hat, beliebig ableiten kann, ohne ins Endresultat einen erheblichen Fehler fürchten zu dürfen, sofern man gewiß ist, bei einer solchen Ableitung nur Größen von der Ordnung der störenden Massen  $m$  vernachlässigen. So kann man z. B.  $\frac{dh}{dc}$ , welches nicht

der Gleichung (4) eigentlich  $= \frac{h\mu}{h^2\mu} - \frac{cc}{h^2\mu}$  ist,  $= \frac{h^2 - cc}{h^3}$  oder  $= \frac{e'c' + e''c''}{h^3}$  setzen. Ebenso kann man in den ersten Differentialquotienten solche Ableitungen vornehmen, wobei vortheilhaft von der Ordnung der Quadrate und Producte der störenden Massen vernachlässigt werden, z. B.  $\frac{dh}{dc} = \frac{c}{h} \left( \left\{ 1 - \Sigma m' \right\} \right)$  anstatt  $\frac{c}{h\mu}$ ; zum Behuf der Bildung der zweiten Differentialquotienten sind jedoch die ersten Differentialquotienten in völliger Strenge auszumitteln.

Da  $\Delta h$  von der Lage der Coordinatenachsen ganz unabhängig ist, so können wir, nachdem wir aus der Gleichung (4) die ersten und zweiten Differentialquotienten von  $h$  in Beziehung auf  $c$ ,  $c'$ ,  $c''$  und  $\mu$  gebildet haben, in den Ausdrücken dieser Differentialquotienten  $c'$  und  $c'' = 0$  setzen; welches soviel ist, als wenn wir die Coordinaten  $x, y, z$  den Coordinaten  $x', y', z'$  parallel legen. So finden wir:

$$\begin{aligned}\frac{dh}{dc} &= \frac{1}{\sqrt{\mu}} & \frac{dh}{dc'} &= 0 = \frac{dh}{dc''} & \frac{dh}{d\mu} &= -\frac{h}{2\mu} \\ \frac{d^2h}{dc^2} &= 0 & \frac{d^2h}{dc'^2} &= \frac{1}{h} = \frac{d^2h}{dc''^2} & \frac{d^2h}{d\mu^2} &= \frac{3h}{4\mu^2} \\ \frac{d^3h}{dc^3} &= 0 = \frac{d^3h}{dc'c''} = \frac{d^3h}{dc''c'} & \frac{d^3h}{dc'd\mu} &= -\frac{1}{2} \frac{d}{d\mu} \frac{dh}{d\mu} &= -\frac{1}{2} \frac{dh}{d\mu^2}\end{aligned}$$

Die Gleichung (11) giebt alsdann:

$$\Delta h = \frac{\Delta c}{\sqrt{\mu}} - \frac{h}{2\mu} \Delta \mu + \frac{\Delta c'^2 + \Delta c''^2}{2h} + \frac{3h}{8} \Delta \mu^2 - \frac{\Delta c \Delta \mu}{2}.$$

Werden hier für  $\Delta c$ ,  $\Delta c'$  und  $\Delta c''$  ihre Werthe von den Gleichungen (13), (16) und (18) gesetzt, so giebt die Entwicklung von  $\frac{\Delta c}{\sqrt{\mu}}$ :

$$P' = c'$$

$$Q' = \pm c' \left\{ \begin{matrix} +2 \\ -3 \end{matrix} \right\} \frac{r\beta'}{2} + h' \cos i$$

Die Entwicklung von  $-\frac{h}{2\mu} \Delta \mu$ :

$$P' = \frac{h}{2}$$

$$Q' = \left\{ \begin{matrix} 0 \\ -\frac{h}{2} \end{matrix} \right\}$$

Die Entwicklung von  $\frac{\Delta c'^2 + \Delta c''^2}{2h}$ :

$$Q' = \frac{c'c' + r'r'}{2h}$$

Die Entwicklung von  $\frac{3h}{8} \Delta \mu^2$ :

$$Q' = \frac{3h}{8}$$

und die Entwicklung von  $-\frac{\Delta c \Delta \mu}{2}$ :

$$Q' = \frac{c'}{2} = \frac{c' + r\beta'}{2}.$$

Addirt man diese verschiedenen  $P'$  unter sich und diese verschiedenen  $Q'$  unter sich, so findet man für die Entwicklung von  $\Delta h$ :

$$P' = c' + \frac{h}{2}$$

$$Q' = \left\{ \begin{matrix} +3 \\ -1 \end{matrix} \right\} \cdot \left( \frac{c'}{2} + \frac{h}{8} \right) \left\{ \begin{matrix} +3 \\ -2 \end{matrix} \right\} \frac{r\beta'}{2} + h' \cos i + \frac{c'c' + r'r'}{2h}$$

d. i., wenn wir

$$C_1'' = x'\beta'' + x''\beta' - y'\alpha'' - y''\alpha'$$

$$D_1'' = x'\gamma'' + x''\gamma' - z'\alpha'' - z''\alpha' \quad *)$$

$$E_1'' = y'\gamma'' + y''\gamma' - z'\beta'' - z''\beta'$$

$$K' = \left\{ \begin{matrix} +3 \\ -1 \end{matrix} \right\} \cdot \left\{ \begin{matrix} +3 \\ -2 \end{matrix} \right\} \frac{r\beta'}{2} + h' \cos i + \frac{c'c' + r'r'}{2h}$$

$$K_1'' = \left\{ \begin{matrix} +3 \\ -1 \end{matrix} \right\} \cdot \left\{ \begin{matrix} +3 \\ -2 \end{matrix} \right\} \frac{r\beta'}{2} + h' \cos i + \frac{c'c' + r'r'}{2h}$$

setzen:

$$\left\{ \begin{matrix} \Delta h = \mp \Sigma m' \left( c' + \frac{h}{2} \right) + \Sigma m_1'' \cdot \left( \left\{ \begin{matrix} +3 \\ -1 \end{matrix} \right\} \cdot \frac{h}{8} + K' \right) \\ + \Sigma m_1'' m' \left( \left\{ \begin{matrix} +3 \\ -1 \end{matrix} \right\} \cdot \frac{h}{4} + K_1'' \right) \end{matrix} \right.$$

\*) Die Größen  $D_1''$  und  $E_1''$  werden später gebraucht.

Anmerkung. Wir werden, so oft wir eine Function des ersten Grades von  $x', y', z', \alpha', \beta', \gamma'$  mit einem einzelnen Buchstaben bezeichnen, dafür einen kleinen, für eine Function des zweiten Grades aber einen grossen Buchstaben wählen. Wenn bei letzterem der Strich (') in (") verwandelt, derselbe Buchstabe aber beibehalten wird, so soll damit angedeutet werden, daß jedes Glied der betreffenden Function, welches keinen Strich hat, verdoppelt, jedes Glied von der Form  $\lambda'$  aber in  $\lambda' + \lambda''$ , und jedes Glied von der Form  $\lambda'o'$  in  $\lambda'o' + \lambda''o'$  verwandelt wird (wo  $\lambda'$  und  $o'$  dieselbe Bedeutung wie in der ersten Hälfte von §. 2 haben). Diese Bezeichnung wird hoffentlich die Uebersicht in etwas erleichtern.

## 4.

Da  $\Delta i$  und  $\Delta n$  von der Lage der Coordinatenachsen nicht unabhängig sind, so haben wir, wenn wir aus den Gleichungen (5) und (6) die ersten und zweiten Differentialquotienten von  $i$  und  $n$  in Beziehung auf  $c, c'$  und  $c''$  gebildet haben, in die Gleichung (11) für  $\Delta c, \Delta c'$  und  $\Delta c''$  ihre Werthe aus den Gleichungen (19), (20) und (21) zu substituiren. Wir finden aber aus der Gleichung (5), wenn wir nach den Differentiationen  $n=0$  setzen:

$$\begin{aligned} \frac{di}{dc} &= -\frac{\sin i}{h\sqrt{\mu}} & \frac{di}{dc'} &= \frac{\cos i}{h\sqrt{\mu}} & \frac{di}{dc''} &= 0 \\ \frac{ddi}{dc^2} &= \frac{\sin 2i}{hh} & \frac{ddi}{dc'^2} &= -\frac{\sin 2i}{hh} & \frac{ddi}{dc''^2} &= \frac{\cot i}{hh} \\ \frac{ddi}{dc dc'} &= -\frac{\cos 2i}{hh} & \frac{ddi}{dc dc''} &= 0 & \frac{ddi}{dc' dc''} &= 0 \end{aligned}$$

$$\text{also } \Delta i = \frac{-\Delta c \sin i + \Delta c' \cos i}{h\sqrt{\mu}} + \frac{(\Delta c^2 - \Delta c'^2) \sin 2i + \Delta c''^2 \cot i - 2\Delta c \Delta c' \cos 2i}{2hh}$$

Die Entwicklung von  $\frac{-\Delta c \sin i + \Delta c' \cos i}{h\sqrt{\mu}}$  giebt:

$$P' = \frac{c'}{h}$$

$$Q' = -\frac{d\xi}{d\xi} \cdot \frac{c'}{h} \left\{ \begin{matrix} +2 \\ -3 \end{matrix} \right\} \cdot \frac{\xi\gamma'}{2h} + \frac{N}{h} \sin i \cos N'$$

Die Entwicklung von  $\frac{\Delta c^2 - \Delta c'^2}{2hh} \sin 2i$  aber:

$$Q' = \frac{(c'c' - c'c'') \sin 4i - 2c'c'' (1 - \cos 4i)}{4hh}$$

Die Entwicklung von  $\frac{\Delta c''^2}{2hh} \cot i$ :

$$Q' = \frac{r'r' \cot i}{2hh}$$

und die Entwicklung von  $-\frac{\Delta c \Delta c'}{hh} \cos 2i$ :

$$Q' = -\frac{(c'c' - c'c'') \sin 4i + 2c'c'' (1 + \cos 4i)}{4hh}$$

$$\Delta x \text{ in } \frac{\xi \Delta x - \eta \Delta y}{r}$$

$$\Delta y \text{ in } \frac{\eta \Delta x + \xi \Delta y}{r} \cos i - \Delta x \sin i$$

$$\Delta z \text{ in } \frac{\eta \Delta x + \xi \Delta y}{r} \sin i + \Delta x \cos i$$

$$\Delta c = \left( \sqrt{\mu} \left( \frac{h}{r} \Delta x - \frac{e \sin \Phi}{h} \Delta y \right) + r \Delta \beta + \Delta x \Delta \beta - \Delta y \Delta \alpha \right) \cos i + \left( \frac{d\xi}{dt} \Delta x \right.$$

$$\Delta c' = \left( \sqrt{\mu} \left( \frac{h}{r} \Delta x - \frac{e \sin \Phi}{h} \Delta y \right) + r \Delta \beta + \Delta x \Delta \beta - \Delta y \Delta \alpha \right) \sin i - \left( \frac{d\eta}{dt} \Delta x \right.$$

$$\Delta c'' = \dots \dots \dots$$

Entwickeln wir den hier für  $\Delta c$  gefundenen Ausdruck nach den oben gegebenen Regeln, und vergessen wir dabei

zu bedenken, daß  $\frac{d\xi}{dt} = -\sqrt{\mu} \left( \frac{\eta}{r} + e \sin u \right)$

$\frac{d\eta}{dt} = \sqrt{\mu} \left( \frac{\xi}{r} + e \cos u \right)$  den Factor  $\sqrt{\mu}$

ten, so finden wir, wenn wir

$$o' = \left( \frac{\eta}{r} + e \sin u \right)$$

setzen:

$$F' = o' \cos i - o' \sin i$$

$$(19) \dots \left\{ \begin{array}{l} F' = \begin{pmatrix} +2 \\ -1 \end{pmatrix} \cdot \left( \frac{\xi}{2} o' \right. \\ \left. + h' \left( \frac{\eta}{r} + e \sin u \right) \right) \end{array} \right.$$

wo  $N' = o' + \dots$

tens der Bahn

aufsteigenden

bezeichnung

Ausdr.

$\dots \dots \dots$

$\dots \dots \dots$

$\dots \dots \dots$

$\dots \dots \dots$

$\dots \dots \dots$

$\dots \dots \dots$

$\dots \dots \dots$

$\dots \dots \dots$

$\dots \dots \dots$

$\dots \dots \dots$

$\dots \dots \dots$

$\dots \dots \dots$

$\dots \dots \dots$

$\dots \dots \dots$

$\dots \dots \dots$

$\dots \dots \dots$

$\dots \dots \dots$

$\dots \dots \dots$

$\dots \dots \dots$

$\dots \dots \dots$

$\dots \dots \dots$

$\dots \dots \dots$

$\dots \dots \dots$

$\dots \dots \dots$

6.

Die Bestimmung von  $\Delta \frac{1}{2a}$  nach der Gleichung (7) setzt

die Entwicklung von  $\Delta \frac{1}{r}$  und  $\Delta F$  voraus. Wir finden, wenn

$$\frac{d \frac{F}{\mu}}{dF} = \frac{1}{\mu}; \quad \frac{d \frac{F}{\mu}}{d\mu} = -\frac{F}{\mu^2}; \quad \frac{dd \frac{F}{\mu}}{dF^2} = 0; \quad \frac{dd \frac{F}{\mu}}{d\mu^2} = 2F; \quad \frac{dd \frac{F}{\mu}}{dF d\mu} = -1.$$

also  $\Delta \frac{F}{\mu} = \frac{\Delta F}{\mu} - \frac{F}{\mu^2} \Delta \mu + F \Delta \mu^2 - \Delta F \Delta \mu$ . Setzt man hier für  $\Delta F$  seinen Werth aus (26), und für  $\frac{F}{\mu}$  seinen Werth aus (7), so wird

$$\Delta \frac{F}{\mu} = \frac{2}{\sqrt{\mu}} \left( \frac{e \sin \Phi}{h} \Delta x + \frac{h}{r} \Delta \beta \right) + \Delta \alpha^2 + \Delta \beta^2 + \Delta \gamma^2 - \left( \frac{2}{r} - \frac{1}{a} \right) \cdot \frac{\Delta \mu}{\mu} + \left( \frac{2}{r} - \frac{1}{a} \right) \Delta \mu^2 - 2 \left( \frac{e \sin \Phi}{h} \Delta x + \frac{h}{r} \Delta \beta \right) \Delta \mu$$

$$\Delta x \text{ in } \frac{\xi \Delta x - \eta \Delta \beta}{r}$$

$$\Delta \beta \text{ in } \frac{\eta \Delta x + \xi \Delta \beta}{r}$$

$$\Delta y \text{ in } \frac{\eta \Delta x + \xi \Delta \beta}{r}$$

und finden so:

$r, \alpha, \beta, \gamma$  die Werthe  
als bei der Bestimmung von

$$\frac{d \frac{1}{r}}{dy} = 0 = \frac{d \frac{1}{r}}{ds}$$

$$\frac{dd \frac{1}{r}}{dy^2} = -\frac{1}{r^3} = \frac{dd \frac{1}{r}}{ds^2}$$

$$= \frac{dd \frac{1}{r}}{dx ds} = \frac{dd \frac{1}{r}}{dy ds}$$

$$- \frac{\Delta x}{rr} + \frac{2 \Delta x^2 - \Delta y^2 - \Delta z^2}{2r^3}$$

ist

$$Q' = \frac{x'}{rr} + \frac{2x'x'' - y'y'' - z'z''}{2r^3} = \frac{x''}{rr} + B' \quad (26)$$

gibt, wenn man

$$H' = \frac{3x'x'' - y'y''}{2r^3} \quad H'' = \frac{2x'x''' - y'y''' - z'z'''}{r^4}$$

setzt. Dagegen ist

$$\Delta F = 2\sqrt{\mu} \cdot \left( \frac{e \sin \Phi}{h} \Delta x + \frac{h}{r} \Delta \beta \right) + \Delta \alpha^2 + \Delta \beta^2 + \Delta \gamma^2 \dots (26)$$

Die Gleichung (7) selbst giebt:

$$\Delta \frac{1}{2a} = \Delta \frac{1}{r} - \frac{1}{2} \Delta \frac{F}{\mu} \dots \dots \dots (27)$$

Nun ist aber

entwickelt, wenn man

$$\chi' = \frac{e \sin \phi}{h} \alpha' + \frac{h}{r} \beta'$$

+  $\beta' \beta' + \gamma' \gamma'$  seinen Werth  $V' (= \frac{2}{r} - \frac{1}{a})$

$$= 2\chi' + \frac{2}{r} - \frac{1}{a}$$

$$\Delta \frac{1}{2a} = \mp \Sigma m' \cdot \frac{\lambda'}{2a} + \Sigma m'' \cdot \left( \mp \frac{x'}{rr} \left\{ \frac{-4}{+1} \right\} \cdot \frac{\chi'}{2} + H' - \frac{1}{2} V' - \left( \left\{ \frac{2a-r}{0} \right\} \cdot \frac{1}{2a} \right) \right) \\ + \Sigma m'' \cdot \left( \mp \frac{x''+x'''}{rr} \left\{ \frac{-4}{+1} \right\} \cdot \frac{\chi'+\chi''}{2} + H'' - \frac{1}{2} V'' - \left( \left\{ \frac{2a-r}{0} \right\} \cdot \frac{1}{a} \right) \right) \dots \dots \dots (28)$$

7.

und  $\Delta e$  aus den bisherigen Formeln

$$\frac{d\Delta e}{\left(d\frac{1}{2a}\right)^2} = 8a^3$$

$\left(\frac{1}{2a}\right)^2$ . Die Entwicklung von

$$-\frac{\Delta a}{a} = \mp \Sigma m' \lambda' \left\{ \begin{aligned} & + \frac{2x'}{rr} \left\{ \frac{-4}{+1} \right\} \cdot \chi' + 2H' - V' - \left( \left\{ \frac{2a-r}{0} \right\} \cdot \frac{1}{r} - \lambda' \lambda' \right) \\ & + \frac{x''+x'''}{rr} \left\{ \frac{-4}{+1} \right\} \cdot (\chi' + \chi'') + 2H'' - V'' - \left( \left\{ \frac{2a-r}{0} \right\} \cdot \frac{2}{r} - 2\lambda' \lambda'' \right) \end{aligned} \right\} \dots \dots \dots (29)$$

$$a = \gamma \left( 1 - 2h^2 \cdot \frac{1}{2a} \right)$$

$$\frac{da}{dh} = -\frac{h}{ae}; \quad \frac{d\epsilon}{d\frac{1}{2a}} = -\frac{h\epsilon}{e}; \quad \frac{d\Delta e}{dh^2} = -\frac{1}{ae^2}$$

$$\frac{d\Delta e}{\left(d\frac{1}{2a}\right)^2} = -\frac{h^4}{e^2}; \quad \frac{d\Delta e}{da dh} = -h \frac{1+ee}{e^3}$$

$$\text{so } -\frac{ae \Delta e}{h} = \Delta h + ah \Delta \frac{1}{2a} - a^2 h \frac{3+ee}{2} \left( \Delta \frac{1}{2a} \right)^2 \\ + \frac{\left( \Delta h + ah(1+ee) \Delta \frac{1}{2a} \right)^2}{2eeh};$$

$$-\frac{ae \Delta e}{h} = \mp \Sigma m' \left( \sigma' + h \cdot \frac{1+\lambda'}{2} \right) + \Sigma m'' \cdot \left( ah \left( H' + \frac{x'}{rr} \right) + K' + L' \right) \\ + \Sigma m'' \cdot \left( ah \left( H'' + \frac{x''+x'''}{rr} \right) + K'' + L'' \right) \dots \dots \dots (30)$$

9.

Wir gehen jetzt zur Bestimmung von  $\Delta v$  über. Aus der Gleichung (8), die auch

$$Q' = \left\{ \frac{+4}{-1} \right\} \chi' + \left( \left\{ \frac{2a-r}{0} \right\} \right) \cdot \frac{1}{ar} + V'$$

gibt. Hieraus verbunden mit (26) und (27), folgt, wenn man noch

$$\lambda' = \frac{r-2a}{r} - 2a \left( \frac{x'}{rr} + \chi' \right)$$

$$V'' = 2(a' \alpha'' + \beta' \beta'' + \gamma' \gamma'')$$

macht,

$2a \Delta \frac{1}{2a}$  giebt vermöge der Gleichung (28):

$$P' = \lambda'$$

$$Q' = \mp \frac{2ax'}{rr} \left\{ \frac{-4}{+1} \right\} a \chi' + a(2H' - V') - \left( \left\{ \frac{2a-r}{0} \right\} \right) \cdot \frac{1}{r}$$

Die Entwicklung von  $-\left(2a \Delta \frac{1}{2a}\right)^2$  aber:

$$Q' = -\lambda'^2$$

folglich

Nach den Gleichungen (22) und (28) ist, wenn wir

$$\omega' = \frac{2\sigma' + h(1+(1+ee)\lambda')}{2e}$$

setzen,  $\Delta h + ah(1+ee) \Delta \frac{1}{2a}$  auf Eine Dimension  $= \mp \Sigma m' e \omega'$ ,

folglich, wenn wir noch

$$\Theta' = \left\{ \frac{-4}{+1} \right\} \cdot \chi' \left\{ \frac{+7}{-1} \right\} \cdot \frac{1}{4a} - \left\{ \frac{1}{0} \right\} \cdot \frac{2}{r} - V'$$

$$\Theta'' = \left\{ \frac{-4}{+1} \right\} \cdot (\chi' + \chi'') \left\{ \frac{+7}{-1} \right\} \cdot \frac{1}{2a} - \left\{ \frac{1}{0} \right\} \cdot \frac{4}{r} - V''$$

$$L' = \frac{h}{2} \left( a \Theta' - \frac{3+ee}{4} \lambda' \lambda' \right) + \frac{\omega' \omega'}{2h}$$

$$L'' = \frac{h}{2} \left( a \Theta'' - \frac{3+ee}{2} \lambda' \lambda'' \right) + \frac{\omega' \omega''}{h}$$

setzen:

$$v = 2\sqrt{2} \cdot \sqrt{\mu} \cdot \left( \frac{1}{2a} \right)^{\frac{1}{2}}$$

geschrieben werden kann, folgt:

8 \*

folglich die ganze Entwicklung von  $\Delta i$ :

$$P' = \frac{o'}{h}$$

$$Q' = \frac{d\xi}{dt} \cdot \frac{s'}{h} \left\{ \begin{matrix} +2 \\ -3 \end{matrix} \right\} \frac{\xi \gamma'}{2h} + \frac{h' \sin i' \cos N'}{h} + \frac{r' r' \cot i - 2o' o'}{2hh}$$

d. i.

$$(23) \dots \dots \dots \left\{ \begin{aligned} h\Delta i &= \mp \Sigma m' o' + \Sigma m' s' \left( \pm o' - \left\{ \begin{matrix} 0 \\ 1 \end{matrix} \right\} \cdot \frac{\xi \gamma'}{2} + h' \sin i' \cos N' + \frac{r' r' \cot i - 2o' o'}{2h} \right) \\ &+ \Sigma m' m' s' \cdot \left( \pm (o' + s') - \left\{ \begin{matrix} 0 \\ 1 \end{matrix} \right\} \cdot \xi \cdot \frac{\gamma' + \gamma''}{2} + \frac{\xi D_r s' - \eta E_r s'}{r} + \frac{r' r'' \cot i - o' s' - s'' o'}{h} \right) \end{aligned} \right.$$

5.

Aus der Gleichung (6) finden wir, wenn wir nach den Differentiationen  $n = 0$  setzen:

$$\frac{dn}{do'} = 0 \quad \frac{dn}{ds'} = \frac{1}{h\sqrt{\mu \cdot \sin i}}$$

$$\frac{ddn}{ds'^2} = 0 = \frac{ddn}{ds'^2} \quad \frac{ddn}{dc dc'} = -\left(\frac{1}{h \sin i}\right)''$$

$$\text{also } \Delta n = \frac{\Delta c''}{h\sqrt{\mu \cdot \sin i}} \left(1 - \frac{\Delta c'}{h \sin i}\right)$$

Die Entwicklung von  $\frac{\Delta c''}{h\sqrt{\mu \cdot \sin i}}$  giebt:

$$P' = \frac{r'}{h \sin i}$$

$$Q' = \frac{d\eta}{dt} \cdot \frac{s'}{h \sin i} \left\{ \begin{matrix} +2 \\ -3 \end{matrix} \right\} \frac{\eta \gamma'}{2h \sin i} + \frac{h' \sin i' \sin N'}{h \sin i}$$

und die Entwicklung von  $-\frac{\Delta c' \Delta c''}{(h \sin i)^2}$ :

$$Q' = -\frac{r' \psi' \psi''}{(h \sin i)^2}$$

folglich, wenn man

$$P' = \pm r' - \left\{ \begin{matrix} 0 \\ 1 \end{matrix} \right\} \cdot \frac{\eta \gamma'}{2} + h' \sin i' \sin N' - \frac{r' \psi'}{h \sin i}$$

$$F_r s' = \pm (r' + r'') - \left\{ \begin{matrix} 0 \\ 1 \end{matrix} \right\} \cdot \frac{\gamma' + \gamma''}{2} + \frac{\eta D_r s' + \xi E_r s'}{r} - \frac{r' \psi' + r'' \psi''}{h \sin i}$$

setzt,

$$(24) \dots h \sin i \cdot \Delta n = \mp \Sigma m' r' + \Sigma m' s' \cdot F_r + \Sigma m' m' s' \cdot F_r s'$$

6.

Die Bestimmung von  $\Delta \frac{1}{2a}$  nach der Gleichung (7) setzt

die Entwicklung von  $\Delta \frac{1}{r}$  und  $\Delta V$  voraus. Wir finden, wenn

$$\frac{d\frac{1}{r}}{d\mu} = \frac{1}{\mu}; \quad \frac{d\frac{1}{r}}{d\mu} = -\frac{V}{\mu\mu}; \quad \frac{dd\frac{1}{r}}{d\mu^2} = 0; \quad \frac{dd\frac{1}{r}}{d\mu^2} = 2V; \quad \frac{dd\frac{1}{r}}{dV d\mu} = -1.$$

also  $\Delta \frac{1}{r} = \frac{\Delta V}{\mu} - \frac{V}{\mu\mu} \Delta \mu + V \Delta \mu^2 - \Delta V \Delta \mu$ . Setzt man hier für  $\Delta V$  seinen Werth aus (26), und für  $\frac{V}{\mu}$  seinen Werth aus (7), so wird

$$\Delta \frac{1}{r} = \frac{2}{\sqrt{\mu}} \left( \frac{e \sin \Phi}{h} \Delta \alpha + \frac{h}{r} \Delta \beta \right) + \Delta \alpha^2 + \Delta \beta^2 + \Delta \gamma^2 - \left( \frac{2}{r} - \frac{1}{a} \right) \cdot \frac{\Delta \mu}{\mu} + \left( \frac{2}{r} - \frac{1}{a} \right) \Delta \mu^2 - 2 \left( \frac{e \sin \Phi}{h} \Delta \alpha + \frac{h}{r} \Delta \beta \right) \Delta \mu$$

wir nach der Differentiation für  $x, y, z, \alpha, \beta, \gamma$  die Werte aus den Gleichungen (1) setzen (was bei der Bestimmung von  $\Delta \frac{1}{r}$  und  $\Delta V$  erlaubt ist):

$$\frac{d\frac{1}{r}}{dx} = -\frac{1}{rr} \quad \frac{d\frac{1}{r}}{dy} = 0 = \frac{d\frac{1}{r}}{dz}$$

$$\frac{dd\frac{1}{r}}{dx^2} = \frac{2}{r^3} \quad \frac{dd\frac{1}{r}}{dy^2} = -\frac{1}{r^3} = \frac{dd\frac{1}{r}}{dz^2}$$

$$\frac{dd\frac{1}{r}}{dx dy} = 0 = \frac{dd\frac{1}{r}}{dx dz} = \frac{dd\frac{1}{r}}{dy dz}$$

$$\text{folglich } \Delta \frac{1}{r} = -\frac{\Delta x}{rr} + \frac{2\Delta x^2 - \Delta y^2 - \Delta z^2}{2r^3}$$

welches entwickelt

$$P' = -\frac{x'}{rr}$$

$$Q' = \frac{1}{r^2} + \frac{2x'x'' - y'y'' - z'z''}{2r^3} = \frac{1}{r^2} + H \quad (25)$$

giebt, wenn man

$$H' = \frac{3x'x'' - y'y'' - z'z''}{2r^3} \quad H'' = \frac{2x'x''' - y'y''' - z'z'''}{r^3}$$

setzt. Dagegen ist

$$\Delta V = 2\sqrt{\mu} \cdot \left( \frac{e \sin \Phi}{h} \Delta \alpha + \frac{h}{r} \Delta \beta \right) + \Delta \alpha^2 + \Delta \beta^2 + \Delta \gamma^2 \dots (26)$$

Die Gleichung (7) selbst giebt:

$$\Delta \frac{1}{2a} = \Delta \frac{1}{r} - \frac{1}{2} \Delta \frac{V}{\mu} \dots \dots \dots (27)$$

Nun ist aber

weiches entwickelt, wenn man

$$\chi' = \frac{e \sin \Phi}{h} a' + \frac{h}{r} \beta'$$

und für  $a'a' + \beta'\beta' + \gamma'\gamma'$  seinen Werth  $V' = \left(\frac{2}{r} - \frac{1}{a'}\right)$  setzt.

$$P' = 2\chi' + \frac{2}{r} - \frac{1}{a'}$$

$$\Delta \frac{1}{2a} = \mp \Sigma m' \cdot \frac{\lambda'}{2a} + \Sigma m'' \cdot \left( \mp \frac{x'}{rr} \left\{ \begin{smallmatrix} -4 \\ +1 \end{smallmatrix} \right\} \cdot \frac{\chi'}{2} + H' - \frac{1}{2} V' - \left\{ \begin{smallmatrix} 2a-r \\ 0 \end{smallmatrix} \right\} \cdot \frac{1}{2ar} \right) \\ + \Sigma m' m'' \cdot \left( \mp \frac{x' + x''}{rr} \left\{ \begin{smallmatrix} -4 \\ +1 \end{smallmatrix} \right\} \cdot \frac{\chi' + \chi''}{2} + H' - \frac{1}{2} V' - \left\{ \begin{smallmatrix} 2a-r \\ 0 \end{smallmatrix} \right\} \cdot \frac{1}{ar} \right) \dots \dots \dots (28)$$

7.

Wir wollen noch  $\Delta a$  und  $\Delta e$  aus den bisherigen Formeln bestimmen. Wir finden:

$$\frac{da}{d\frac{1}{2a}} = -2a^2 \quad \left( \frac{d\frac{1}{2a}}{d\frac{1}{2a}} \right)^2 = 8a^2$$

also  $-\frac{\Delta a}{a} = 2a \Delta \frac{1}{2a} - \left( 2a \Delta \frac{1}{2a} \right)^2$ . Die Entwicklung von

$$-\frac{\Delta a}{a} = \mp \Sigma m' \lambda' + \left. \begin{aligned} &+ \Sigma m'' \cdot \left( a \left( \mp \frac{2x'}{rr} \left\{ \begin{smallmatrix} -4 \\ +1 \end{smallmatrix} \right\} \cdot \chi' + 2H' - V' \right) - \left\{ \begin{smallmatrix} 2a-r \\ 0 \end{smallmatrix} \right\} \cdot \frac{1}{r} - \lambda' \lambda' \right) \\ &+ \Sigma m' m'' \cdot \left( a \left( \mp \frac{2x' + x''}{rr} \left\{ \begin{smallmatrix} -4 \\ +1 \end{smallmatrix} \right\} \cdot (\chi' + \chi'') + 2H' - V' - \left\{ \begin{smallmatrix} 2a-r \\ 0 \end{smallmatrix} \right\} \cdot \frac{2}{r} - 2\lambda' \lambda'' \right) \end{aligned} \right\} \dots \dots \dots (29)$$

8.

Aus der Gleichung

$$e = \sqrt{\frac{a-h}{a}} = \sqrt{1 - 2h \cdot \frac{1}{2a}}$$

folgt:

$$\frac{de}{dh} = -\frac{h}{ae}; \quad \frac{de}{d\frac{1}{2a}} = -\frac{hh}{e}; \quad \frac{dde}{dh^2} = -\frac{1}{ae^3}$$

$$\left( \frac{dde}{d\frac{1}{2a}} \right)^2 = -\frac{h^4}{e^3}; \quad \frac{dde}{da dh} = -h \frac{1+ee}{e^3}$$

$$\text{also } -\frac{ae \Delta e}{h} = \Delta h + ah \Delta \frac{1}{2a} - a^2 h \frac{3+ee}{2} \left( \Delta \frac{1}{2a} \right)^2 + \frac{\left( \Delta h + ah(1+ee) \Delta \frac{1}{2a} \right)^2}{2eeh}$$

$$-\frac{ae \Delta e}{h} = \mp \Sigma m' \left( a' + h \cdot \frac{1+\lambda'}{2} \right) + \Sigma m'' \cdot \left( ah \left( H' + \frac{x'}{rr} \right) + K' + L' \right) \\ + \Sigma m' m'' \cdot \left( ah \left( H' + \frac{x' + x''}{rr} \right) + K' + L' \right) \dots \dots \dots (30)$$

9.

Wie gehen jetzt zur Bestimmung von  $\Delta v$  über. Aus der Gleichung (8), die auch

$$Q' = \left\{ \begin{smallmatrix} +4 \\ -1 \end{smallmatrix} \right\} \chi' + \left\{ \begin{smallmatrix} 2a-r \\ 0 \end{smallmatrix} \right\} \cdot \frac{1}{ar} + V'$$

gibt. Hieraus verbunden mit (25) und (27), folgt, wenn man noch

$$\lambda' = \frac{r-2a}{r} - 2a \left( \frac{x'}{rr} + \chi' \right)$$

$$V' = 2(a'x'' + \beta'\beta'' + \gamma'\gamma'')$$

macht,

$2a \Delta \frac{1}{2a}$  giebt vermöge der Gleichung (28):

$$P' = \lambda'$$

$$Q' = \mp \frac{2ax'}{rr} \left\{ \begin{smallmatrix} -4 \\ +1 \end{smallmatrix} \right\} \chi' + a(2H' - V') - \left\{ \begin{smallmatrix} 2a-r \\ 0 \end{smallmatrix} \right\} \cdot \frac{1}{r}$$

Die Entwicklung von  $-\left( 2a \Delta \frac{1}{2a} \right)^2$  aber:

folglich

$$Q' = -\lambda'^2$$

Nach den Gleichungen (22) und (28) ist, wenn wir

$$\omega' = \frac{2\sigma' + h(1+(1+ee)\lambda')}{2e}$$

setzen,  $\Delta h + ah(1+ee)\Delta \frac{1}{2a}$  auf Eine Dimension  $= \mp \Sigma m' e \omega'$ ,

folglich, wenn wir noch

$$\Theta' = \left\{ \begin{smallmatrix} -4 \\ +1 \end{smallmatrix} \right\} \cdot \chi' \left\{ \begin{smallmatrix} +7 \\ -1 \end{smallmatrix} \right\} \cdot \frac{1}{4a} - \left\{ \begin{smallmatrix} 1 \\ 0 \end{smallmatrix} \right\} \cdot \frac{2}{r} - V'$$

$$\Theta', e = \left\{ \begin{smallmatrix} -4 \\ +1 \end{smallmatrix} \right\} \cdot (\chi' + \chi'') \left\{ \begin{smallmatrix} +7 \\ -1 \end{smallmatrix} \right\} \cdot \frac{1}{2a} - \left\{ \begin{smallmatrix} 1 \\ 0 \end{smallmatrix} \right\} \cdot \frac{4}{r} - V', e$$

$$L' = \frac{h}{2} \left( a \Theta' - \frac{3+ee}{4} \lambda' \lambda' \right) + \frac{\omega' \omega'}{2h}$$

$$L', e = \frac{h}{2} \left( a \Theta', e - \frac{3+ee}{2} \lambda' \lambda', e \right) + \frac{\omega' \omega', e}{h}$$

setzen:

$$v = 2\sqrt{2} \cdot \sqrt{\mu} \cdot \left( \frac{1}{2a} \right)^{\frac{1}{2}}$$

geschrieben werden kann, folgt:

8 \*



$$\frac{dv}{d\mu} = \frac{v}{2\mu}; \quad \frac{dv}{d\frac{1}{2a}} = 3av; \quad \frac{ddv}{d\mu^2} = -\frac{v}{4}; \quad \left(\frac{d\frac{1}{2a}}{d\mu}\right)^2 = 3a^2v; \quad \frac{d^2dv}{d\mu^2 d\frac{1}{2a}} = \frac{3av}{2}$$

also  $\Delta v = \frac{v}{2\mu} \Delta\mu + 3av \Delta\frac{1}{2a} - \frac{v}{8} \Delta\mu^2 + \frac{3av}{2} \left(\Delta\frac{1}{2a}\right)^2 + \frac{3av}{2} \Delta\mu \Delta\frac{1}{2a}$ , welches, zufolge der Gleichung (28), in Verbindung mit den in § 2 gegebenen Regeln

$$(31) \dots \dots \dots \left\{ \begin{aligned} \frac{\Delta v}{v} &= \mp \Sigma m' \cdot \frac{3\lambda' - 1}{2} \\ &+ \Sigma m'^2 \cdot \left( 3a \left( \mp \frac{x'}{rr} \left\{ \begin{smallmatrix} -4 \\ +1 \end{smallmatrix} \right\} \cdot \frac{\lambda'}{2} + H' - \frac{1}{2} F' \right) - \left( \left\{ \begin{smallmatrix} 3a-r \\ 0 \end{smallmatrix} \right\} \right) \cdot \frac{1}{r} + 3 \cdot \frac{(1-\lambda')^2}{8} \right) \\ &+ \Sigma m' m'' \cdot \left( 3a \left( \mp \frac{x' + x''}{rr} \left\{ \begin{smallmatrix} -4 \\ +1 \end{smallmatrix} \right\} \right) \cdot \frac{\lambda' + \lambda''}{2} + H'' - \frac{1}{2} F'' \right) - \left( \left\{ \begin{smallmatrix} 3a-r \\ 0 \end{smallmatrix} \right\} \right) \cdot \frac{2}{r} + \frac{1}{2} (1-\lambda') (1-\lambda'') \end{aligned} \right\}$$

gibt. Das erste Glied dieses Ausdrucks,  $\mp \Sigma m' \cdot \frac{3\lambda' - 1}{2}$ , fehlt bei *Bessel* a. a. O. S. 46, und würde nach den dort gebrauchten Bezeichnungen

$$\mu \cdot \left\{ A \cdot \frac{3a}{rr} + A' \cdot \frac{3as \sin \phi}{h} - B' \cdot \frac{3ah}{r} + \frac{3a}{r} - 1 \right\}$$

lauten; es darf bei der Reduction der Elemente vom Mittelpunkt der Sonne auf den Schwerpunkt zwischen Sonne, Merkur, Venus, Erde und Mars nicht übergangen werden, weil die mittlere Bewegung nicht von der großen Axe allein, sondern von dieser und von der im Centralpunct vereinigten Masse zugleich abhängig ist.

## 10.

Zur Bestimmung von  $\Delta u$  betrachten wir die beiden Theile der Formel (9), welche respective  $u + \phi$  und  $-\phi$  sind, abgesondert von einander, oder wir bestimmen  $\Delta(u + \phi)$  und  $-\Delta\phi$ . Die ersten und zweiten Differentialquotienten von  $u + \phi$  in Beziehung auf  $x, y, z$  und  $n$  finden wir durch die allgemeinen Formeln:

$$d(u + \phi) = -\frac{r}{\eta} d\left(\frac{x}{r} \cos n + \frac{y}{r} \sin n\right) \\ d\eta = \frac{\eta}{r} dr + \xi d(u + \phi)$$

jene Differentialquotienten lauten, wenn wir nach den Differentiationen  $n = 0$  setzen, und dann  $\xi$  statt  $x$ ,  $\eta \cos i$  statt  $y$ , und  $\eta \sin i$  statt  $z$  schreiben:

$$\begin{aligned} \frac{d(u + \phi)}{dx} &= -\frac{\eta}{rr} & \frac{d(u + \phi)}{dy} &= \frac{\xi \cos i}{rr} \\ \frac{d(u + \phi)}{dz} &= \frac{\xi \sin i}{rr} & \frac{d(u + \phi)}{dn} &= -\cos i \\ \frac{dd(u + \phi)}{dx^2} &= \frac{2\xi\eta}{r^3} & \frac{dd(u + \phi)}{dy^2} &= \frac{\xi}{rr} \left( \frac{\sin i^2}{\eta} - \frac{2\eta \cos i^2}{rr} \right) \\ \frac{dd(u + \phi)}{dx dz} &= \frac{\xi}{rr} \left( \frac{\cos i^2}{\eta} - \frac{2\eta \sin i^2}{rr} \right) & \frac{dd(u + \phi)}{dn^2} &= \frac{\xi \sin i^2}{\eta} \\ \frac{dd(u + \phi)}{dx dy} &= \frac{\cos i}{rr} \cdot \frac{\eta - \xi\xi}{rr} & \frac{dd(u + \phi)}{dx dz} &= \frac{\sin i}{rr} \cdot \frac{\eta - \xi\xi}{rr} \end{aligned}$$

$$\frac{dd(u + \phi)}{dy dz} = -\frac{\xi}{\eta} \cdot \frac{\sin i \cos i}{rr} + \frac{2\eta}{rr}$$

$$\frac{dd(u + \phi)}{dx dn} = 0 \quad \frac{dd(u + \phi)}{-dy dn} = -\frac{\sin i^2}{\eta}$$

$$\frac{dd(u + \phi)}{dx dn} = \frac{\sin i \cos i}{\eta}$$

Transformiren wir zugleich  $\Delta x, \Delta y, \Delta z$  auf die in § 2 angezeigte Weise, und bezeichnen wir, wie dort, die auf das neue Coordinatensystem bezogenen endlichen Differenzen gleichfalls mit  $\Delta x, \Delta y, \Delta z$ , so finden wir:  $\cos i \Delta n + \Delta(u + \phi) =$

$$\frac{\Delta y}{r} \left( 1 - \frac{\Delta x}{r} \right) + \Delta n \cdot \frac{\sin i}{\eta} \left( \frac{\xi}{2} \sin i \Delta n + \Delta z \right) + \frac{\xi}{2\eta\eta} \Delta z^2$$

Hier giebt die Entwicklung von  $\frac{\Delta y}{r}$ :

$$r' = \frac{r'}{r} \dots \dots \dots (32) \\ Q' = \pm \frac{r'}{r}$$

Die Entwicklung von  $-\frac{\Delta x \Delta y}{rr}$ :

$$Q' = -\frac{x' y'}{rr}$$

Die Entwicklung von  $\frac{\xi \sin i^2}{2\eta} \Delta n^2$  zufolge (24):

$$Q' = \frac{\xi}{\eta} \cdot \frac{r' r'}{2\lambda^2}$$

Die Entwicklung von  $\frac{\sin i}{\eta} \cdot \Delta n \Delta z$  zufolge (24):

$$Q' = \frac{r' r'}{\lambda \eta}$$

und die Entwicklung von  $\frac{\xi}{2\eta\eta} \Delta z^2$ :

$$Q' = \frac{\xi z' z'}{2\eta\eta}$$

Die Summe dieser fünf verschiedenen  $Q'$  ist

$$= \pm \frac{y'}{r} - \frac{x'y'}{rr} + \frac{r'}{h\eta} \left( \frac{\xi r'}{2h} + s' \right) + \frac{\xi s' s'}{2r\eta} \\ = \pm \frac{y'}{r} - \frac{x'y'}{rr} + \frac{r'}{2h\eta} \left( \frac{\xi r' - \eta s'}{h} + 2s' \right) + \frac{1}{2h} \left( \frac{h\xi}{r\eta} s' s' + \frac{s' r'}{h} \right).$$

Da aber  $\frac{\xi r' - \eta s'}{h} = -s'$ , so wird jene Summe

$$(33) \dots \dots \dots = \pm s' \frac{y'}{r} + Z'$$

wo  $s' = \frac{r+x'}{r}$  gesetzt ist, und  $Z'$  durch die Gleichungen

$$\frac{d\varphi}{dh} = -\frac{2h}{re \sin \varphi} \quad \frac{d\varphi}{d\frac{1}{r}} = -\frac{h^2}{e \sin \varphi} \quad \frac{d\varphi}{de} = \frac{\cos \varphi}{e} \quad \frac{dd\varphi}{dh^2} = -2 \cdot \frac{2 \cos \varphi + e(1 + \cos \varphi^2)}{re \sin \varphi^2} \quad \frac{dd\varphi}{\left(d\frac{1}{r}\right)^2} = -\left(\frac{h^2}{e \sin \varphi}\right)^2 \cot \varphi \\ \frac{dd\varphi}{de^2} = -\frac{1 + \sin \varphi^2}{e^2 \tan \varphi \sin \varphi^2} \quad \frac{dd\varphi}{dh d\frac{1}{r}} = -2h \cdot \frac{e + \cos \varphi}{e \sin \varphi^2} \quad \frac{dd\varphi}{dh de} = \frac{2h}{re \sin \varphi^2} \quad \frac{dd\varphi}{d\frac{1}{r} de} = \frac{hh}{e \sin \varphi^2}, \text{ also} \\ -\frac{e \sin \varphi}{h} \Delta \varphi = \frac{2\Delta h}{r} + h\Delta \frac{1}{r} + \frac{\cos \varphi}{ae} \cdot \frac{-ae \Delta s}{h} + \frac{\Delta h}{h} \left( \frac{\Delta h}{r} + 2h\Delta \frac{1}{r} \right) \\ + \frac{h \cot \varphi}{2e \sin \varphi} \left( \frac{2\Delta h}{r} + h\Delta \frac{1}{r} + \frac{1 + \sin \varphi^2}{ae \cos \varphi} \cdot \frac{-ae \Delta s}{h} \right) \left( \frac{2\Delta h}{r} + h\Delta \frac{1}{r} + \frac{\cos \varphi}{ae} \cdot \frac{-ae \Delta s}{h} \right)$$

Nach (22), (25) und (30) ist aber, wenn man bei einer Dimension stehen bleibt, und

$$b' = \frac{\sigma'}{h} + \frac{1}{2} \quad d' = \frac{1}{r} \left( \sigma' + \frac{h}{2} - \frac{2hx'}{r} \right)$$

$$p' = \left( \frac{r+x'}{r} + \frac{r\beta'}{h} \right) \sin \varphi \quad q' = \frac{y'}{a} + hx'$$

$$p' = p'(2e + \cos \varphi) + q' \cdot \frac{3 - \cos 2\varphi}{2} + \frac{2e \cos \varphi}{r} y' + \frac{h}{2} \beta' \sin 2\varphi$$

$$v' = p' - q' \cos \varphi - \frac{2e}{r} y' + h\beta' \sin \varphi \text{ macht,}$$

$$\frac{\Delta h}{h} = \mp \Sigma m' b' \quad \frac{\Delta h}{r} + 2h\Delta \frac{1}{r} = \mp \Sigma m' d'$$

$$\frac{2\Delta h}{r} + h\Delta \frac{1}{r} = \mp \Sigma m' \cdot \left( \frac{2\sigma' + h}{r} - \frac{hx'}{rr} \right) = \mp \Sigma m' \cdot \left( \frac{h}{r} \cdot \frac{r+x'}{r} - \frac{2e \sin \varphi}{h} \cdot \frac{y'}{r} + 2\beta' \right) = \mp \Sigma m' \cdot \left( \frac{hp'}{r \sin \varphi} - \frac{2e \sin \varphi}{hr} y' + \beta' \right);$$

$$\frac{1 + \sin \varphi^2}{ae \cos \varphi} \cdot \frac{-ae \Delta s}{h} = \mp \Sigma m' \cdot \frac{1 + \sin \varphi^2}{ae \cos \varphi} \left( \sigma' + h \cdot \frac{1 + \lambda'}{2} \right) = \mp \Sigma m' (1 + \sin \varphi^2) \left( -\frac{h \cos s}{r \cos \varphi} \cdot \frac{r+x'}{r} - \frac{q'}{h} \tan \varphi - (1 + \frac{\cos s}{\cos \varphi}) \beta' \right)$$

$$= \mp \Sigma m' (1 + \sin \varphi^2) \left( -\frac{\cos s}{\cos \varphi} \cdot \frac{hp'}{r \sin \varphi} - \frac{q'}{h} \tan \varphi - \beta' \right);$$

$$\frac{\cos \varphi}{ae} \cdot \frac{-ae \Delta s}{h} = \mp \Sigma m' \cdot \frac{\cos \varphi}{ae} \cdot \left( \sigma' + h \cdot \frac{1 + \lambda'}{2} \right) = \mp \Sigma m' \cos \varphi \left( -\frac{h \cos s}{r} \cdot \frac{r+x'}{r} - \frac{q'}{h} \sin \varphi - (\cos \varphi + \cos s) \beta' \right)$$

$$= \mp \Sigma m' \cos \varphi \left( -\cos s \cdot \frac{hp'}{r \sin \varphi} - \frac{q'}{h} \sin \varphi - \beta' \cos \varphi \right);$$

folglich

$$h \cot \varphi \left( \frac{2\Delta h}{r} + h\Delta \frac{1}{r} + \frac{1 + \sin \varphi^2}{ae \cos \varphi} \cdot \frac{-ae \Delta s}{h} \right) = \pm \Sigma m' p';$$

$$\frac{h}{\sin \varphi} \cdot \left( \frac{2\Delta h}{r} + h\Delta \frac{1}{r} + \frac{\cos \varphi}{ae} \cdot \frac{-ae \Delta s}{h} \right) = \mp \Sigma m' v'.$$

Die Entwicklung der einzelnen Glieder des obigen Ausdrucks für  $-\frac{e \sin \varphi}{h} \Delta \varphi$  giebt also folgende  $P'$  und  $Q'$ :

$$g' = y' - \frac{e \sin \varphi}{hr} s'$$

$$Z' = \frac{1}{2h} \left( s' g' + \frac{q' r'}{h} \right)$$

bestimmt wird. Zur Entwicklung von  $-\Delta \varphi$  finden wir aus der Gleichung (9) die allgemeine Gleichung:

$$d\varphi = -\frac{1}{\sin \varphi} \cdot d \left( \frac{1}{e} \left( h^2 \cdot \frac{1}{r} - 1 \right) \right)$$

und die Werthe der einzelnen Differentialquotienten von  $\varphi$  in Bezug auf  $h$ ,  $\frac{1}{r}$  und  $e$ :

$\frac{2\Delta h}{r}$ .....	$\frac{2\sigma'+h}{r}$	} zusammen.....	$\frac{\sigma'+h}{r} - \frac{s \sin \Phi}{hr} y' + \beta'$
$h\Delta \frac{1}{r}$ .....	$\frac{hx'}{rr} = -\frac{\sigma'}{r} - \frac{s \sin \Phi}{hr} y' + \beta'$		
$\frac{\cos \Phi}{as} \cdot \frac{-as \Delta s}{h}$	$\frac{\cos \Phi}{as} (\sigma' + h \frac{1+h'}{2}) = \frac{\cos \Phi}{as} (\sigma' - h \frac{a-r}{r} - a(\frac{hx'}{rr} + h\gamma')) = -\cos \Phi (\cos s \cdot \frac{\sigma'+h}{r} + (\frac{y'}{hr} + \alpha') \sin \Phi + \beta \cos \Phi)$		
in Summa:			
$-e \frac{\sin \Phi}{h} \Delta \Phi$	$\frac{\sin \Phi}{h} (l' \sin \Phi - \frac{e}{s} y' - s' \cos \Phi)$ , wo $l' = \frac{\sigma'}{h} + h\beta' + 1$ , und $e' = \frac{\gamma'}{r} + h\alpha'$ gesetzt ist.		
also $-\Delta \Phi$ giebt	$\frac{l' \sin \Phi - e' s' \cos \Phi}{s}$		
Oben (32) hatten wir	$\frac{y'}{r}$		
in Summa:			
$\cos i \Delta n + \Delta \omega$	$\frac{l' \sin \Phi - e' s' \cos \Phi}{s}$		(14)

$\frac{2\Delta h}{r}$ .....	$\frac{Q'}{s}$
$h\Delta \frac{1}{r}$ .....	$\frac{\{+3\}}{\{-1\}} \frac{h}{4r} + \frac{2K'}{r}$
$\frac{\cos \Phi}{as} \cdot \frac{-as \Delta s}{h}$	$h(H' + \frac{x'}{rr})$
$\frac{\Delta h}{h} (\frac{\Delta h}{r} + 2h\Delta \frac{1}{r})$	$\frac{h \cos \Phi}{s} (H' + \frac{x'}{rr}) + \frac{K' + L'}{as} \cos \Phi$
Das noch übrige Glied	$b' d'$
von $-\frac{e \sin \Phi}{h} \Delta \Phi$	$\frac{e' u'}{2sh}$
in Summa:	
$-\frac{e \sin \Phi}{h} \Delta \Phi$	$\frac{h^3 \cos s}{rs} (H' + \frac{x'}{rr}) \frac{\{+3\}}{\{-1\}} \frac{h}{4r} + \frac{2K'}{r} + \frac{K' + L'}{as} \cos \Phi + b' d' - \frac{e' u'}{2sh}$

also  $-\Delta \Phi$  giebt, wenn wir

$$B' = \frac{1}{s \sin \Phi} \left( h \left( \frac{2K'}{r} + \frac{K' + L'}{as} \cos \Phi + b' d' \right) - \frac{e' u'}{2s} \right)$$

$$B'' = \frac{1}{s \sin \Phi} \left( h \left( \frac{2K''}{r} + \frac{K'' + L''}{as} \cos \Phi + b'' d'' + b'' d' \right) - \frac{e' u'}{2s} \right)$$

setzen:

$$(35) \dots \left\{ \begin{array}{l} Q' = \frac{h^3 \cos s}{rs \sin \Phi} (H' + \frac{x'}{rr}) \frac{\{+3\}}{\{-1\}} \frac{hh}{4rs \sin \Phi} + B' \\ \text{Oben (33) hatten wir: } Q' = \pm \frac{r' y'}{r} + Z' \end{array} \right.$$

Ehe wir diese verschiedenen  $Q'$  addiren, bemerken wir, daß es für die Bestimmung der von einem einzelnen größeren Planeten herrührenden Aenderungen der Kometen-Elemente von einem Perihelium bis zum andern nicht genügt, die Reduction des Orts des Periheliums vom Mittelpunkt der Sonne auf den Schwerpunkt des Sonnensystems, oder umgekehrt, in

der Form  $\cos i \cdot \Delta n + \Delta \omega$  auszudrücken; denn diese Reduction muß mit den allmähigen, durch mechanische Quadrate herausgebrachten Aenderungen zusammengefügt werden, und es würde, weil  $i$  veränderlich ist, fehlerhaft sein, das Integral  $\int (\cos i \cdot dn + d\omega)$  durch  $\cos i \int dn + \int d\omega$  auszu drücken, sofern man nicht die Glieder von der Ordnung der Quadrate und Producte der störenden Massen ganz vernachlässigen will. Wir müssen daher  $\Delta \omega$  explicite ausdrücken. Es dient indessen bei solchen Kometen, welche nicht etwa von Mitternacht gegen Mittag laufen, sondern sich, wenngleich rückgängig, hinsichtlich ihrer Neigung einigermaßen den Planetenbahnen nähern zu größerer Schärfe der Rechnung, den Ort des Periheliums nicht in der Form  $\omega$  (Abstand des Perihels vom Knoten), sondern, wie bei den Planeten, in der Form des Periheliums in der Bahn auszudrücken. Bezeichnen wir das letztere mit  $\pi$ , so ist  $\pi = n[+] \omega$ , wo die Haken  $[ ]$  nicht mit den bisher gebrauchten zu verwechseln sind, und das obere Zeichen sich auf rechtläufige, das untere auf rückgängige Kometen sich bezieht. Diese Betrachtungsweise werden wir auch bei Halleyschen Kometen vorziehen, da wegen seiner geringen Neigung  $n$  und  $\omega$  etwa dreimal weniger sicher sind als  $i$ , deren Unsicherheit aber durch die Zusammenfügung  $n[+] \omega$  gütlich theilweis aufgehoben wird. Wir finden

$$\Delta \pi = [ \pm ] (\cos i \Delta n + \Delta \omega) + \frac{h \sin i \Delta s}{h} \operatorname{tg} I$$

wo  $I$  die durch einen spitzen Winkel ausgedrückte Neigung der Kometenbahn gegen die feste Ebene bedeutet, der Kometa mag rechtläufig oder rückgängig sein. Fügen wir uns zu dem unter (34) gefundenen  $P'$  und zu dem unter (35) gefundenen  $Q'$  die aus der Entwicklung von  $\frac{h \sin i \Delta s}{h} \operatorname{tg} I$  hervorgehenden und durch die Gleichung (24) zu bestimmenden  $P''$  und  $Q''$  und setzen wir

$$x' = \frac{1}{r} \left( \frac{h^2 \cos \varphi}{\sin \varphi} \pm y' \right), \text{ und } Z' = \frac{1}{2h} \left( x' g^2 + z' g^2 + \frac{g' x^2 + g' z^2}{h} \right),$$

so erhalten wir.

$$\Delta x = \mp \Sigma m' \left[ \left( \pm \right) \frac{t' \sin \varphi - s' \cos \varphi}{s} + \frac{r' t g \frac{1}{2} l}{s} \right] + \Sigma m'' \left[ \left( \pm \right) \left( t' x' + \frac{h h}{\sin \varphi} \left( \frac{h h \cos \varphi}{s} \left[ H' - \frac{1}{r} \right] \left\{ \frac{1}{-1} \right\} \cdot t \right) + B' + Z' \right) + \frac{F' t g \frac{1}{2} l}{h} \right] \\ + \Sigma m''' \left[ \left( \pm \right) \left( t' x'' + \frac{h h}{\sin \varphi} \left( \frac{h h \cos \varphi}{s} \left[ H'' - \frac{2}{r} \right] \left\{ \frac{1}{-1} \right\} \cdot t \right) + B'' + Z'' \right) + \frac{F'' t g \frac{1}{2} l}{h} \right] \dots \dots \dots (36)$$

11.

Zur Bestimmung von  $\Delta M$  haben wir erst  $\Delta s$  zu entwickeln. Wir finden die Differentialquotienten von  $s$  in Beziehung auf  $e$ ,  $\frac{1}{2a}$  und  $\frac{1}{r}$  durch die allgemeine Gleichung:

$$ds = -\frac{1}{\sin s} \cdot d \left[ \frac{1}{e} \left( 1 - 2 \cdot \frac{1}{2a} \cdot \left( \frac{1}{r} \right)^{-1} \right) \right]$$

Diese Differentialquotienten haben folgende Werthe:

$$\frac{ds}{de} = \frac{\cos s}{e}, \quad \frac{ds}{d\frac{1}{2a}} = \frac{2r}{\cos s}, \quad \frac{ds}{d\frac{1}{r}} = -\frac{rr}{ae \sin s}$$

$$\frac{dds}{ds^2} = -\cos s \cdot \frac{1 + \sin s^2}{ae \sin s^2}; \quad \left( \frac{dds}{d\frac{1}{2a}} \right)^2 = -\frac{4rr \cos s}{(e \sin s)^2}; \quad \left( \frac{dds}{d\frac{1}{r}} \right)^2 = -\frac{\cos s - (1 + \sin s^2)s}{ae \sin s^3} r^2;$$

$$\frac{dds}{ds d\frac{1}{2a}} = -\frac{2r}{ae \sin s^2}; \quad \frac{dds}{ds d\frac{1}{r}} = \frac{rr}{ae \sin s^2}; \quad \frac{dds}{d\frac{1}{2a} d\frac{1}{r}} = \frac{2r^2 \cos \varphi}{ae \sin s^3}.$$

Daher wird  $ae \sin s \cdot \Delta s =$

$$\left( 1 - \frac{r \cos s}{e \sin s} \cdot \Delta \frac{1}{2a} + h \frac{1 + \sin s^2}{2ae \sin s} \cdot \frac{-ae \Delta s}{h} \right) \left( 2ar \Delta \frac{1}{2a} - \frac{h \cos s}{e} \cdot \frac{-ae \Delta s}{h} \right) \\ - r^2 \left( 1 - \frac{r}{e \sin s} \left( 2 \cos \varphi \cdot \Delta \frac{1}{2a} - \frac{\cos s - (1 + \sin s^2)s}{2} \Delta \frac{1}{r} \right) + \frac{h}{ae \sin s} \cdot \frac{-ae \Delta s}{h} \right) \Delta \frac{1}{r}$$

Nach (25), (28) und (30) ist aber, wenn man bei einer Dimension stehen bleibt, und

$$\nu' = \frac{1}{2e} \left( \frac{h}{a} \cdot \frac{1 + \sin s^2}{\sin s^2} \left( \sigma' + \frac{h}{2} \right) + \left( \frac{rr}{2a \sin s} + \frac{1}{2} - s^2 \right) \lambda' \right)$$

$$k' = x' - \frac{h \cos s}{e} \left( \sigma' + \frac{h}{2} \right) + \frac{r}{2} \left( 1 - \frac{\cos \varphi}{s} \right) \lambda'$$

$$g' = \left( \frac{h h \cot \varphi}{r e \sin \varphi} - 1 \right) \cdot \frac{x'}{2r} - \frac{h \cot s^2}{2ae} \left( \sigma' + \frac{h}{2} \right) - \left( 1 + \left( \frac{\cot \varphi}{2e} \right)^2 - \left( \frac{1}{2 \sin \varphi} \right)^2 \right) \lambda'$$

$$- \frac{r \cos s}{e \sin s} \cdot \Delta \frac{1}{2a} + h \cdot \frac{1 + \sin s^2}{2ae \sin s} \cdot \frac{-ae \Delta s}{h} \dots \dots \dots = \mp \Sigma m' \nu' \\ 2ar \Delta \frac{1}{2a} - \frac{h \cos s}{e} \cdot \frac{-ae \Delta s}{h} \dots \dots \dots = \mp \Sigma m' (k' - x') \\ - \frac{r}{e \sin s} \left( 2 \cos \varphi \cdot \Delta \frac{1}{2a} - \frac{\cos s - (1 + \sin s^2)s}{2} \Delta \frac{1}{r} \right) + \frac{h}{ae \sin s} \cdot \frac{-ae \Delta s}{h} = \mp \Sigma m' (\nu' - g') \\ - r^2 \Delta \frac{1}{r} = \mp \Sigma m' x'$$

Die Entwicklung der einzelnen Glieder des obigen Ausdrucks für  $ae \sin s \cdot \Delta s$  giebt also folgende  $P'$  und  $Q'$ :

	$P'$
$2ar \Delta \frac{1}{2a}$	$r \lambda'$
$-\frac{h \cos s}{e} \cdot \frac{-ae \Delta s}{h}$	$-\frac{h \cos s}{e} \left( \sigma' + h \cdot \frac{1 + \lambda'}{2} \right)$
$-r^2 \Delta \frac{1}{r}$	$x'$
$ae \sin s \cdot \Delta s$	$k' \dots \dots \dots (37)$

$\frac{2\Delta h}{r}$	$\frac{2\sigma' + h}{r}$	
$h\Delta \frac{1}{r}$	$\frac{h\sigma'}{rr} = -\frac{\sigma'}{r} \frac{e \sin \Phi}{hr} \gamma' + \beta'$	} zusammen .....
$\frac{\cos \Phi}{as} \cdot \frac{-as \Delta s}{h}$	$\frac{\cos \Phi}{as} \left( \sigma' + h \frac{1+\lambda'}{2} \right) = \frac{\cos \Phi}{as} \left( \sigma' - h \frac{a-r}{r} - a \left( \frac{h\sigma'}{rr} + h\gamma' \right) \right) =$	
in Summa:	$\frac{\sin \Phi}{h} \left( l' \sin \Phi - \frac{e}{r} \gamma' - s' \cos \Phi \right)$	wo $l' = \frac{\sigma'}{h} + h\beta'$
also $-\Delta \Phi$ giebt	$\frac{l' \sin \Phi - s' \cos \Phi}{e} - \frac{\gamma'}{r}$	
Oben (52) hatten wir	$\frac{\gamma'}{r}$	
in Summa:	$\frac{l' \sin \Phi - s' \cos \Phi}{e}$	
$\cos i \Delta n + \Delta w$		

$\frac{2\Delta h}{r}$	$\left\{ \begin{matrix} +3 \\ -1 \end{matrix} \right\} \cdot \frac{h}{4r} + \frac{2K'}{r}$	
$h\Delta \frac{1}{r}$	$h \left( H' + \frac{x'}{rr} \right)$	
$\frac{\cos \Phi}{as} \cdot \frac{-as \Delta s}{h}$	$\frac{h \cos \Phi}{e} \left( H' + \frac{x'}{rr} \right)$	
$\frac{\Delta h}{h} \left( \frac{\Delta h}{r} + 2h\Delta \frac{1}{r} \right)$	$K' d'$	

Dann noch übriges Glied  
von  $-\frac{e \sin \Phi}{h} \Delta \Phi$

in Summ  
 $-\frac{e \sin \Phi}{h} \Delta \Phi$

12.

Wenn man  $\Delta T$  (Aenderung der Zeit des Periheliums) statt  $\Delta M$  einführen, so findet man, weil  $T = t - \frac{M}{v}$  ist:

$$\frac{dT}{dM} = \frac{1}{v}; \quad \frac{dT}{dv} = \frac{t-T}{v}; \quad \frac{ddT}{dM^2} = 0;$$

$$\frac{ddT}{dv^2} = -2 \cdot \frac{t-T}{vv}; \quad \frac{ddT}{dM dv} = \frac{1}{vv};$$

folglich

$$\Delta T = \left( 1 - \frac{\Delta v}{v} \right) \left( (t-T) \cdot \frac{\Delta v}{v} - \frac{h}{e \sin \Phi} \cdot \frac{e \sin \Phi \cdot \Delta M}{hv} \right)$$

$$P' = -\frac{hd'}{e \sin \Phi}$$

$$\frac{e \sin \Phi}{h} \cdot Q' = \left\{ \begin{matrix} 0 \\ 1 \end{matrix} \right\} \cdot \frac{\delta'}{2} - a \left( r(1+e \cos s) - \frac{h\lambda \cos \Phi}{e} \right) \left( H' + \frac{x'}{rr} \right) \left\{ \begin{matrix} +3 \\ -1 \end{matrix} \right\} \cdot \frac{r}{4} - ar\Theta' + \frac{h \cos \Phi}{e} (K' + L') - f'K' + x'f'$$

macht,

$$\text{Also wird } \frac{e \sin \Phi}{h} \cdot \frac{Q'}{v} = \mp \Sigma m' d'$$

Hier giebt die Entwicklung von  $(t-T) \cdot \frac{\Delta v}{v}$  zufolge der Gleichung (51):

$$P' = (t-T) \cdot \frac{\Delta \lambda' - 1}{2}$$

$$Q' = (t-T) \cdot \left( 3a \left( H' + \frac{x'}{rr} + \frac{1}{2} \Theta' \right) \left\{ \begin{matrix} -3 \\ +3 \end{matrix} \right\} \cdot \frac{r}{4} + \frac{1}{2} \lambda' (\lambda' - 2) \right)$$

Die Entwicklung von  $-\frac{h}{e \sin \Phi} \cdot \frac{e \sin \Phi \cdot \Delta M}{hv}$  zufolge der Gleichung (59):

$$\begin{aligned} \text{Entwicklung von } & -\frac{\Delta v}{v} \left( (t-T) \frac{\Delta v}{v} - \frac{h}{e \sin \varphi} \cdot \frac{e \sin \varphi \Delta M}{h v} \right) \\ Q' = & \frac{3\lambda'-1}{2} \left( \frac{h\delta'}{e \sin \varphi} - (t-T) \cdot \frac{3\lambda'-1}{2} \right) \\ = & (3\lambda'-1) \cdot \frac{h\delta'}{2e \sin \varphi} - \frac{t-T}{4} - 3\lambda' (6\lambda'-4) \cdot \frac{t-T}{8} \end{aligned}$$

$$\begin{aligned} & = \frac{1}{2} \Sigma m' \left( \frac{3\lambda'-1}{2} (t-T) - \frac{h\delta'}{e \sin \varphi} \right) \\ & \left\{ \begin{aligned} & \left( \frac{h\delta'}{2e \sin \varphi} + a \left( 3(t-T) - \frac{hr(1+\epsilon \cos \epsilon)}{e \sin \varphi} + \frac{h^3 \cos \varphi}{ee} \right) \left( H' + \frac{x'}{rr} \right) \left\{ \begin{aligned} & -3 \left\{ \left( \frac{t-T}{2} - \frac{rh}{4e \sin \varphi} \right) \right. \right. \right. \\ & + a \left( 3 \cdot \frac{t-T}{2} - \frac{rh}{e \sin \varphi} \right) \Theta' - 3\lambda' (5\lambda'-2) \cdot \frac{t-T}{8} + \frac{hh \cos \varphi}{ee} (K' + L') - h \cdot \frac{f' k' - x' g'}{e \sin \varphi} \end{aligned} \right\} \\ & \left. \left( \frac{3\lambda'-1}{3\lambda'} \right) \delta^a + \left( \frac{3\lambda^a-1}{3\lambda^a} \right) \delta' \right) + a \left( 3(t-T) - \frac{hr(1+\epsilon \cos \epsilon)}{e \sin \varphi} + \frac{h^3 \cos \varphi}{ee} \right) \left( H^a + \frac{x^a + x^a}{rr} \right) \left\{ \begin{aligned} & -3 \left\{ \left( \frac{t-T}{2} - \frac{rh}{4e \sin \varphi} \right) \right. \right. \\ & + a \left( 3 \cdot \frac{t-T}{2} - \frac{rh}{e \sin \varphi} \right) \Theta^a - 3(\lambda' (5\lambda^a-2) + \lambda^a (5\lambda'-2)) \cdot \frac{t-T}{8} \\ & + \frac{hh \cos \varphi}{ee} (K^a + L^a) - h \cdot \frac{f' k^a + f^a k' - x^a g^a - x^a g'}{e \sin \varphi} \end{aligned} \right\} \end{aligned} \right\} \dots (40) \end{aligned}$$

bschnitt,

ruhed gedachten Schwer-  
hem die Masse  $1 + \Sigma m'$   
pse beschrieb, so würde

... Coordinaten  $x', y', z'$  von den

kräften

$$(1) \dots \frac{ddx}{dt^2} = -\frac{1+\Sigma m'}{rr} \quad \frac{ddy}{dt^2} = 0 \quad \frac{ddz}{dt^2} = 0$$

gegeben werden, wo  $r$ , wie weiterhin überall, die Entfernung  
des Kometen vom Schwerpunkt des Sonnensystems bedeutet.

$$\begin{aligned} \frac{ddx}{dt^2} &= -\left( r + \frac{\Sigma m' x'}{1+\Sigma m'} \right) \left( \left( r + \frac{\Sigma m' x'}{1+\Sigma m'} \right)^2 + \left( \frac{\Sigma m' y'}{1+\Sigma m'} \right)^2 + \left( \frac{\Sigma m' z'}{1+\Sigma m'} \right)^2 \right)^{-\frac{1}{2}} \\ \frac{ddy}{dt^2} &= -\frac{\Sigma m' y'}{1+\Sigma m'} \left( \left( r + \frac{\Sigma m' x'}{1+\Sigma m'} \right)^2 + \left( \frac{\Sigma m' y'}{1+\Sigma m'} \right)^2 + \left( \frac{\Sigma m' z'}{1+\Sigma m'} \right)^2 \right)^{-\frac{1}{2}} \dots \dots \dots (2) \\ \frac{ddz}{dt^2} &= -\frac{\Sigma m' z'}{1+\Sigma m'} \left( \left( r + \frac{\Sigma m' x'}{1+\Sigma m'} \right)^2 + \left( \frac{\Sigma m' y'}{1+\Sigma m'} \right)^2 + \left( \frac{\Sigma m' z'}{1+\Sigma m'} \right)^2 \right)^{-\frac{1}{2}} \end{aligned}$$

und mit den vom Planeten  $m'$  herrührenden Kräften:

$$\begin{aligned} \frac{ddx}{dt^2} &= -m' \left( r - x' + \frac{\Sigma m' x'}{1+\Sigma m'} \right) \left( \left( r - x' + \frac{\Sigma m' x'}{1+\Sigma m'} \right)^2 + \left( y' - \frac{\Sigma m' y'}{1+\Sigma m'} \right)^2 + \left( z' - \frac{\Sigma m' z'}{1+\Sigma m'} \right)^2 \right)^{-\frac{1}{2}} \\ \frac{ddy}{dt^2} &= m' \left( y' - \frac{\Sigma m' y'}{1+\Sigma m'} \right) \left( \left( r - x' + \frac{\Sigma m' x'}{1+\Sigma m'} \right)^2 + \left( y' - \frac{\Sigma m' y'}{1+\Sigma m'} \right)^2 + \left( z' - \frac{\Sigma m' z'}{1+\Sigma m'} \right)^2 \right)^{-\frac{1}{2}} \dots \dots \dots (3) \\ \frac{ddz}{dt^2} &= m' \left( z' - \frac{\Sigma m' z'}{1+\Sigma m'} \right) \left( \left( r - x' + \frac{\Sigma m' x'}{1+\Sigma m'} \right)^2 + \left( y' - \frac{\Sigma m' y'}{1+\Sigma m'} \right)^2 + \left( z' - \frac{\Sigma m' z'}{1+\Sigma m'} \right)^2 \right)^{-\frac{1}{2}} \end{aligned}$$

nlich mit den von den Planeten  $m'', m''', \dots$  herrührenden  
kräften, welche man erhält, wenn man in den Gleichungen (3)  
die Buchstaben  $m', x', y', z'$  ausserhalb der Summen-  
eichen erst in  $m'', x'', y'', z''$ , dann in  $m''', x''', y''', z'''$ ,  
erwandelt.

Er wird aber statt dessen von dem beweglichen Mittelpunct  
der Sonne, dessen Coordinaten

$$-\frac{\Sigma m' x'}{1+\Sigma m'} \quad -\frac{\Sigma m' y'}{1+\Sigma m'} \quad -\frac{\Sigma m' z'}{1+\Sigma m'}$$

sind, und von den beweglichen Planeten  $m', m'', \dots$ , deren  
Coordinaten

$$\begin{aligned} x' - \frac{\Sigma m' x'}{1+\Sigma m'} \quad y' - \frac{\Sigma m' y'}{1+\Sigma m'} \quad z' - \frac{\Sigma m' z'}{1+\Sigma m'} \\ x'' - \frac{\Sigma m' x'}{1+\Sigma m'} \quad y'' - \frac{\Sigma m' y'}{1+\Sigma m'} \quad z'' - \frac{\Sigma m' z'}{1+\Sigma m'} \text{ u. s. w.} \end{aligned}$$

sind, angezogen, und bewegt sich daher mit den von der  
Sonne herrührenden Kräften:

$$\begin{aligned} \frac{ddx}{dt^2} &= -\left( r + \frac{\Sigma m' x'}{1+\Sigma m'} \right) \left( \left( r + \frac{\Sigma m' x'}{1+\Sigma m'} \right)^2 + \left( \frac{\Sigma m' y'}{1+\Sigma m'} \right)^2 + \left( \frac{\Sigma m' z'}{1+\Sigma m'} \right)^2 \right)^{-\frac{1}{2}} \\ \frac{ddy}{dt^2} &= -\frac{\Sigma m' y'}{1+\Sigma m'} \left( \left( r + \frac{\Sigma m' x'}{1+\Sigma m'} \right)^2 + \left( \frac{\Sigma m' y'}{1+\Sigma m'} \right)^2 + \left( \frac{\Sigma m' z'}{1+\Sigma m'} \right)^2 \right)^{-\frac{1}{2}} \dots \dots \dots (2) \\ \frac{ddz}{dt^2} &= -\frac{\Sigma m' z'}{1+\Sigma m'} \left( \left( r + \frac{\Sigma m' x'}{1+\Sigma m'} \right)^2 + \left( \frac{\Sigma m' y'}{1+\Sigma m'} \right)^2 + \left( \frac{\Sigma m' z'}{1+\Sigma m'} \right)^2 \right)^{-\frac{1}{2}} \end{aligned}$$

Vollzieht man in den Gleichungen (2) und (3) die Divi-  
sionen, Potenzenhebungen, Wurzelanziehungen und Multipli-  
cationen nach dem binomischen Lehrsatz, und vernachlässigt man  
dabei die Glieder, welche hinsichtlich der störenden Massen von  
3 Dimensionen sind, so verwandeln sich die Gleichungen (2) in:

$\begin{aligned} 2ar \Delta \frac{1}{2a} \dots & 2ar \left( H' + \frac{x'}{rr} + \frac{1}{2} \Theta' \left\{ \begin{smallmatrix} -3 \\ +1 \end{smallmatrix} \right\} \cdot \frac{1}{8a} \right) \\ \frac{h \cos \epsilon}{e} \cdot \frac{-ae \Delta \epsilon}{h} \dots & - \frac{h \cos \epsilon}{e} \left( ah \left( H' + \frac{x'}{rr} \right) + K' + L' \right) \\ -r^2 \Delta \frac{1}{r} \dots & -r^2 \left( H' + \frac{x'}{rr} \right) \end{aligned}$ <p style="margin-top: 10px;">Die beiden noch übrigen Glieder von <math>ae \sin s \Delta s</math></p>	$\begin{aligned} & v' k' - x' f' \\ (38) \dots & ar \left( e \cos \epsilon - \frac{\cos \Phi}{e} \right) \left( H' + \frac{x'}{rr} \right) \left\{ \begin{smallmatrix} -3 \\ +1 \end{smallmatrix} \right\} \cdot \frac{r}{4} + ar \Theta' - \frac{h \cos \epsilon}{e} (K' + L') + v' k' - x' f' \end{aligned}$
--	--

Wir finden ferner aus der Gleichung (10):

$$\begin{aligned} \frac{dM}{ds} &= \frac{r}{a} & \frac{dM}{de} &= -\sin s & \frac{ddM}{ds^2} &= e \sin s \\ \frac{ddM}{ds^2} &= 0 & \frac{ddM}{de^2} &= -\cos s \end{aligned}$$

also  $\frac{ae \sin s}{r \sqrt{\mu}} \Delta M$ , d. i.  $\frac{e \sin \Phi}{h} \cdot \frac{\Delta M}{v}$ ,

$$= \frac{ae \sin s}{\sqrt{\mu}} \cdot \left( \left( 1 + \frac{ae \sin s}{2r} \Delta s \right) \Delta s + \frac{r}{e} (s \sin s + \cos s \Delta s) \cdot \frac{-ae \Delta \epsilon}{h} \right).$$

Die Entwicklung von  $\frac{ae \sin s}{\sqrt{\mu}} \left( \Delta s + \frac{h \sin s}{re} \cdot \frac{-ae \Delta \epsilon}{h} \right)$  giebt

zufolge (37), (38) und (30), wenn wir

$$\delta' = k' + \frac{r \sin \Phi^2}{h} \left( \sigma' + h \cdot \frac{1+k'}{2} \right)$$

setzen,

$$(39) \dots \left\{ \begin{aligned} & + \Sigma m'^2 \left( - \left\{ \begin{smallmatrix} 0 \\ 1 \end{smallmatrix} \right\} \cdot \frac{\delta'}{2} + a \left( r(1+e \cos s) - \frac{hh \cos \Phi}{e} \right) \left( H' + \frac{x'}{rr} \right) \left\{ \begin{smallmatrix} -3 \\ +1 \end{smallmatrix} \right\} \cdot \frac{r}{4} + ar \Theta' - \frac{h \cos \Phi}{e} (K' + L') + f' k' - x' f' \right) \\ & + \Sigma m' m'' \left( - \left\{ \begin{smallmatrix} 0 \\ 1 \end{smallmatrix} \right\} \cdot \frac{\delta' + \delta''}{2} + a \left( r(1+e \cos s) - \frac{hh \cos \Phi}{e} \right) \left( H' + \frac{x' + x''}{rr} \right) \left\{ \begin{smallmatrix} -3 \\ +1 \end{smallmatrix} \right\} \cdot \frac{r}{2} + ar \Theta' - \frac{h \cos \Phi}{e} (K' + L') \right. \\ & \quad \left. + f' k' + f'' k'' - x' f' - x'' f'' \right) \end{aligned} \right.$$

12.

Will man  $\Delta T$  (Änderung der Zeit des Periheliums) statt  $\Delta M$  einführen, so findet man, weil  $T = \frac{M}{v}$  ist:

$$\frac{dT}{dM} = \frac{1}{v}; \quad \frac{dT}{dv} = \frac{t-T}{v}; \quad \frac{ddT}{dM^2} = 0;$$

$$\frac{ddT}{dv^2} = -2 \cdot \frac{t-T}{vv}; \quad \frac{ddT}{dM dv} = \frac{1}{vv};$$

folglich

$$\Delta T = \left( 1 - \frac{\Delta v}{v} \right) \left( (t-T) \cdot \frac{\Delta v}{v} - \frac{h}{e \sin \Phi} \cdot \frac{e \sin \Phi \cdot \Delta M}{hv} \right)$$

$$P' = - \frac{h \delta'}{e \sin \Phi}$$

$$\frac{e \sin \Phi}{h} \cdot Q' = \left\{ \begin{smallmatrix} 0 \\ 1 \end{smallmatrix} \right\} \cdot \frac{\delta'}{2} - a \left( r(1+e \cos s) - \frac{hh \cos \Phi}{e} \right) \left( H' + \frac{x'}{rr} \right) \left\{ \begin{smallmatrix} +3 \\ -1 \end{smallmatrix} \right\} \cdot \frac{r}{4} - ar \Theta' + \frac{h \cos \Phi}{e} (K' + L') - f' k' + x' f'$$

$$P' = \delta'$$

$$Q' = - \left\{ \begin{smallmatrix} 0 \\ 1 \end{smallmatrix} \right\} \cdot \frac{\delta'}{2} + a \left( r(1+e \cos s) - \frac{hh \cos \Phi}{e} \right) \left( H' + \frac{x'}{rr} \right) \left\{ \begin{smallmatrix} -3 \\ +1 \end{smallmatrix} \right\} \cdot \frac{r}{4} + ar \Theta' - \frac{h \cos \Phi}{e} (K' + L') + v' k' - x' f'$$

Die Entwicklung von  $ae \sin s \Delta s \left( \frac{ae \sin s}{2r} \Delta s + \frac{h \cos \epsilon}{re} \cdot \frac{-ae \Delta \epsilon}{h} \right)$

aber:

$$Q' = k' \left( \frac{k'}{2r} + \frac{h \cos s}{re} \left( \sigma' + h \cdot \frac{1+k'}{2} \right) \right)$$

d. i. wenn man noch

$$f' = \frac{x'}{2r} + \frac{h}{2ee} \left( \frac{1}{r} + \frac{1}{a \sin s} \right) \left( \sigma' + \frac{h}{2} \right) + \frac{hh}{4ree} \left( 1 + \frac{1-e \cos \Phi}{\sin \Phi} \right) i'$$

macht,

$$Q' = k' (f' - v').$$

$$\text{Also wird } \frac{e \sin \Phi}{h} \cdot \frac{\Delta M}{v} = \mp \Sigma m' \delta'$$

Hier giebt die Entwicklung von  $(t-T) \cdot \frac{\Delta v}{v}$  zufolge der Gleichung (31):

$$P' = (t-T) \cdot \frac{\Delta v}{2}$$

$$Q' = (t-T) \cdot \left( 3a \left( H' + \frac{x'}{rr} + \frac{1}{2} \Theta' \right) \left\{ \begin{smallmatrix} -5 \\ +3 \end{smallmatrix} \right\} \cdot \frac{1}{2} + k' (k'-1) \right)$$

Die Entwicklung von  $-\frac{h}{e \sin \Phi} \cdot \frac{e \sin \Phi \cdot \Delta M}{hv}$  zufolge der Gleichung (39):

sod die Entwicklung von  $-\frac{\Delta v}{v} \left( (t-T) \frac{\Delta v}{v} - \frac{h}{e \sin \phi} \cdot \frac{e \sin \phi \Delta M}{h v} \right)$

$$Q' = \frac{3\lambda' - 1}{2} \left( \frac{h\delta'}{e \sin \phi} - (t-T) \cdot \frac{3\lambda' - 1}{2} \right)$$

$$= (3\lambda' - 1) \cdot \frac{h\delta'}{2e \sin \phi} - \frac{t-T}{4} - 3\lambda' (6\lambda' - 4) \cdot \frac{t-T}{8}$$

Folglich wird  $\Delta T = \mp \Sigma m' \left( \frac{3\lambda' - 1}{2} (t-T) - \frac{h\delta'}{e \sin \phi} \right)$

$$+ \Sigma m'^2 \left[ \left\{ \frac{3\lambda' - 1}{3\lambda'} \right\} \cdot \frac{h\delta'}{2e \sin \phi} + a \left( 3(t-T) - \frac{hr(1+e \cos s)}{e \sin \phi} + \frac{h^3 \cos \phi}{ee} \right) \left( H' + \frac{x'}{rr} \right) \left\{ \frac{-3}{+1} \right\} \cdot \left( \frac{t-T}{2} - \frac{rh}{4e \sin \phi} \right) \right. \\ \left. + a \left( 3 \cdot \frac{t-T}{2} - \frac{rh}{e \sin \phi} \right) \Theta' - 3\lambda' (5\lambda' - 2) \cdot \frac{t-T}{8} + \frac{hh \cos \phi}{ee} (K' + L') - h \cdot \frac{f' k' - x' g'}{e \sin \phi} \right] \\ + \Sigma m' m'' \left[ \frac{h}{2e \sin \phi} \left( \left\{ \frac{3\lambda' - 1}{3\lambda'} \right\} \delta'' + \left\{ \frac{3\lambda'' - 1}{3\lambda''} \right\} \delta' \right) + a \left( 3(t-T) - \frac{hr(1+e \cos s)}{e \sin \phi} + \frac{h^3 \cos \phi}{ee} \right) \left( H' + \frac{x'}{rr} \right) \left\{ \frac{-3}{+1} \right\} \cdot \left( \frac{t-T}{2} - \frac{rh}{4e \sin \phi} \right) \right. \\ \left. + a \left( 3 \cdot \frac{t-T}{2} - \frac{rh}{e \sin \phi} \right) \Theta'' - 3(\lambda' (5\lambda'' - 2) + \lambda'' (5\lambda' - 2)) \cdot \frac{t-T}{8} \right. \\ \left. + \frac{hh \cos \phi}{ee} (K' + L'') - h \cdot \frac{f' k'' + f'' k' - x' g'' - x'' g'}{e \sin \phi} \right] \dots (40)$$

## Zweiter Abschnitt.

### 13.

Wenn der Komet um den als ruhend gedachten Schwerpunkt des Sonnensystems, in welchem die Masse  $1 + \Sigma m'$  vereinigt gedacht wird, eine reine Ellipse beschreibe, so würde er dabei nach der Richtung der Coordinaten  $x', y', z'$  von den beschleunigenden Kräften

$$(1) \dots \frac{ddx}{dt^2} = -\frac{1 + \Sigma m'}{rr} \quad \frac{ddy}{dt^2} = 0 \quad \frac{ddz}{dt^2} = 0$$

getrieben werden, wo  $r$ , wie weiterhin überall, die Entfernung des Kometen vom Schwerpunkt des Sonnensystems bedeutet.

$$\frac{ddx}{dt^2} = - \left( r + \frac{\Sigma m' x'}{1 + \Sigma m'} \right) \left( \left( r + \frac{\Sigma m' x'}{1 + \Sigma m'} \right)^2 + \left( \frac{\Sigma m' y'}{1 + \Sigma m'} \right)^2 + \left( \frac{\Sigma m' z'}{1 + \Sigma m'} \right)^2 \right)^{-1} \\ \frac{ddy}{dt^2} = - \frac{\Sigma m' y'}{1 + \Sigma m'} \left( \left( r + \frac{\Sigma m' x'}{1 + \Sigma m'} \right)^2 + \left( \frac{\Sigma m' y'}{1 + \Sigma m'} \right)^2 + \left( \frac{\Sigma m' z'}{1 + \Sigma m'} \right)^2 \right)^{-1} \dots (2) \\ \frac{ddz}{dt^2} = - \frac{\Sigma m' z'}{1 + \Sigma m'} \left( \left( r + \frac{\Sigma m' x'}{1 + \Sigma m'} \right)^2 + \left( \frac{\Sigma m' y'}{1 + \Sigma m'} \right)^2 + \left( \frac{\Sigma m' z'}{1 + \Sigma m'} \right)^2 \right)^{-1}$$

samt mit den vom Planeten  $m'$  herrührenden Kräften:

$$\frac{ddx}{dt^2} = -m' \left( r - x' + \frac{\Sigma m' x'}{1 + \Sigma m'} \right) \left( \left( r - x' + \frac{\Sigma m' x'}{1 + \Sigma m'} \right)^2 + \left( y' - \frac{\Sigma m' y'}{1 + \Sigma m'} \right)^2 + \left( z' - \frac{\Sigma m' z'}{1 + \Sigma m'} \right)^2 \right)^{-1} \\ \frac{ddy}{dt^2} = m' \left( y' - \frac{\Sigma m' y'}{1 + \Sigma m'} \right) \left( \left( r - x' + \frac{\Sigma m' x'}{1 + \Sigma m'} \right)^2 + \left( y' - \frac{\Sigma m' y'}{1 + \Sigma m'} \right)^2 + \left( z' - \frac{\Sigma m' z'}{1 + \Sigma m'} \right)^2 \right)^{-1} \dots (3) \\ \frac{ddz}{dt^2} = m' \left( z' - \frac{\Sigma m' z'}{1 + \Sigma m'} \right) \left( \left( r - x' + \frac{\Sigma m' x'}{1 + \Sigma m'} \right)^2 + \left( y' - \frac{\Sigma m' y'}{1 + \Sigma m'} \right)^2 + \left( z' - \frac{\Sigma m' z'}{1 + \Sigma m'} \right)^2 \right)^{-1}$$

endlich mit den von den Planeten  $m'', m''', \dots$  herrührenden Kräften, welche man erhält, wenn man in den Gleichungen (3) die Buchstaben  $m', x', y', z'$  ausserhalb der Summenzeichen erst in  $m'', x'', y'', z''$ , dann in  $m''', x''', y''', z'''$ , ... verwandelt.

Es wird aber statt dessen von dem beweglichen Mittelpunkt der Sonne, dessen Coordinaten

$$-\frac{\Sigma m' x'}{1 + \Sigma m'}, \quad -\frac{\Sigma m' y'}{1 + \Sigma m'}, \quad -\frac{\Sigma m' z'}{1 + \Sigma m'}$$

sind, und von den beweglichen Planeten  $m'', m''', \dots$ , deren Coordinaten

$$x'' - \frac{\Sigma m' x'}{1 + \Sigma m'}, \quad y'' - \frac{\Sigma m' y'}{1 + \Sigma m'}, \quad z'' - \frac{\Sigma m' z'}{1 + \Sigma m'}$$

$$x''' - \frac{\Sigma m' x'}{1 + \Sigma m'}, \quad y''' - \frac{\Sigma m' y'}{1 + \Sigma m'}, \quad z''' - \frac{\Sigma m' z'}{1 + \Sigma m'} \text{ u. s. w.}$$

sind, angezogen, und bewegt sich daher mit den von der Sonne herrührenden Kräften:

$$\left( \left( r + \frac{\Sigma m' x'}{1 + \Sigma m'} \right)^2 + \left( \frac{\Sigma m' y'}{1 + \Sigma m'} \right)^2 + \left( \frac{\Sigma m' z'}{1 + \Sigma m'} \right)^2 \right)^{-1} \\ \left( \left( r + \frac{\Sigma m' x'}{1 + \Sigma m'} \right)^2 + \left( \frac{\Sigma m' y'}{1 + \Sigma m'} \right)^2 + \left( \frac{\Sigma m' z'}{1 + \Sigma m'} \right)^2 \right)^{-1} \dots (2)$$

$$\left( \left( r - x' + \frac{\Sigma m' x'}{1 + \Sigma m'} \right)^2 + \left( y' - \frac{\Sigma m' y'}{1 + \Sigma m'} \right)^2 + \left( z' - \frac{\Sigma m' z'}{1 + \Sigma m'} \right)^2 \right)^{-1} \\ \left( \left( r - x' + \frac{\Sigma m' x'}{1 + \Sigma m'} \right)^2 + \left( y' - \frac{\Sigma m' y'}{1 + \Sigma m'} \right)^2 + \left( z' - \frac{\Sigma m' z'}{1 + \Sigma m'} \right)^2 \right)^{-1} \dots (3)$$

Vollzieht man in den Gleichungen (2) und (3) die Divisionen, Potenzerhebungen, Wurzelausziehungen und Multiplicationen nach dem binomischen Lehrsatz, und vernachlässigt man dabei die Glieder, welche hinsichtlich der störenden Massen von 3 Dimensionen sind, so verwandeln sich die Gleichungen (2) in:



$$(4) \dots \begin{cases} \frac{dx}{dt} = -\frac{1}{r} + \Sigma m' \cdot \frac{2x'}{r^3} + \Sigma m'^3 \cdot \frac{-2x'(2r+3x') + 3(y'y' + z'z')}{2r^4} + \Sigma m'm'' \cdot \frac{-x'(2r+3x'') - x''(2r+3x') + 3(y'y'' + z'z'')}{r^4} \\ \frac{dy}{dt} = -\Sigma m' \cdot \frac{y'}{r^3} + \Sigma m'^3 \cdot \frac{(r+3x')y'}{r^4} + \dots + \Sigma m'm'' \cdot \frac{(r+3x'')y'' + (r+3x')y'}{r^4} \\ \frac{dz}{dt} = -\Sigma m' \cdot \frac{z'}{r^3} + \Sigma m'^3 \cdot \frac{(r+3x')z'}{r^4} + \dots + \Sigma m'm'' \cdot \frac{(r+3x'')z'' + (r+3x')z'}{r^4} \end{cases}$$

nod die Gleichungen (3), wenn man  $G = \sqrt{(r(r-2x') + r'^2)^2}$

$$R' = -\frac{1}{G^{3/2}} \left(1 - 3 \left(\frac{r-x'}{G}\right)^2\right); \quad S' = -\frac{1}{G^{3/2}} \left(1 - 3 \left(\frac{y'}{G}\right)^2\right); \quad U' = -\frac{1}{G^{3/2}} \left(1 - 3 \left(\frac{z'}{G}\right)^2\right);$$

$$W' = -3 \cdot \frac{r-x'}{G^{5/2}} y'; \quad X' = -3 \cdot \frac{r-x'}{G^{5/2}} z'; \quad Y' = \frac{3y'z'}{G^{5/2}}$$

setzt, in:

$$(5) \dots \begin{cases} \frac{dx}{dt} = -m' \cdot \frac{r-x'}{G^{3/2}} + m' R' \Sigma m' x' + m' W' \Sigma m' y' + m' X' \Sigma m' z' \\ \frac{dy}{dt} = \frac{m' y'}{G^{3/2}} + m' W' \Sigma m' x' + m' S' \Sigma m' y' + m' Y' \Sigma m' z' \\ \frac{dz}{dt} = \frac{m' z'}{G^{3/2}} + m' X' \Sigma m' x' + m' Y' \Sigma m' y' + m' U' \Sigma m' z' \end{cases}$$

Verwandelt man in den Gleichungen (5) die einfachen Striche außerhalb der Summenzeichen nach und nach in doppelte, dreifache, ..., so erhält man durch Addition die von allen Planeten zusammen herrührenden Kräfte

$$(6) \dots \begin{cases} \frac{dx}{dt} = -\Sigma m' \cdot \frac{r-x'}{G^{3/2}} + \Sigma m'^3 \cdot (x'R + y'W' + z'X') + \Sigma m'm'' \cdot (x'R'' + x'R' + y'W'' + y'W' + z'X'' + z'X') \\ \frac{dy}{dt} = \Sigma \cdot \frac{m' y'}{G^{3/2}} + \Sigma m'^3 \cdot (x'W' + y'S + z'Y') + \Sigma m'm'' \cdot (x'W'' + x'W' + y'S'' + y'S + z'Y'' + z'Y') \\ \frac{dz}{dt} = \Sigma \frac{m' z'}{G^{3/2}} + \Sigma m'^3 \cdot (x'X' + y'Y' + z'U') + \Sigma m'm'' \cdot (x'X'' + x'X' + y'Y'' + y'Y + z'U'' + z'U') \end{cases}$$

Wenn man von den Kräften (1) die Kräfte (4) und (6) subtrahirt, so erhält man die Kräfte, welche die Bewegung des Kometen um den Schwerpunkt des Sonnensystems stören,

positiv genommen, wenn sie die Coordinaten um negative Differentiale zu verändern streben:

$$(7) \dots \begin{cases} A = \Sigma m' \cdot \left( \frac{r-x'}{G^{3/2}} - \frac{r+2x'}{r^3} \right) + \Sigma m'^3 \cdot \left( \frac{2x'(2r+3x') - 3(y'y' + z'z')}{2r^4} - x'R - y'W' - z'X' \right) \\ \quad + \Sigma m'm'' \cdot \left( \frac{x'(2r+3x'') + x''(2r+3x') - 3(y'y'' + z'z'')}{r^4} - x'R'' - x'R' - y'W'' - y'W' - z'X'' - z'X' \right) \\ B = \Sigma m' y' \left( \frac{1}{r^3} - \frac{1}{G^{3/2}} \right) - \Sigma m'^3 \cdot \left( \frac{(r+3x')y'}{r^4} + x'W' + y'S + z'Y' \right) \\ \quad - \Sigma m'm'' \cdot \left( \frac{(r+3x'')y'' + (r+3x')y'}{r^4} + x'W'' + x'W' + y'S'' + y'S + z'Y'' + z'Y' \right) \\ C = \Sigma m' z' \left( \frac{1}{r^3} - \frac{1}{G^{3/2}} \right) - \Sigma m'^3 \cdot \left( \frac{(r+3x')z'}{r^4} + x'X' + y'Y' + z'U' \right) \\ \quad - \Sigma m'm'' \cdot \left( \frac{(r+3x'')z'' + (r+3x')z'}{r^4} + x'X'' + x'X' + y'Y'' + y'Y + z'U'' + z'U' \right) \end{cases}$$

14.

Substituirt man diese Werthe für  $A, B, C$ , numerisch berechnet, in die Formeln S. 56 bis 58 der *Bezelschen* Untersuchungen über die scheinbare und wahre Bahn

des Kometen von 1807 (wofür man auch die *Enckeschen* Formeln S. 330 des *Astronom. Jahrbuchs* für 1837 gebrauchen kann), so erhält man die differentiellen Aenderungen aller einzelnen Elemente des Kometen in Beziehung auf den Schwer-

<sup>\*)</sup>  $G$  ist nicht die wahre Entfernung des Kometen vom Planeten  $m'$ , sondern die gerade Linie, die man von dem Planeten nach demjenigen Punkte ziehen kann, welcher vom Mittelpunkt der Sonne ebensoweit und nach derselben Richtung entfernt ist, als der Komet vom Schwerpunkt.

und des Sonnensystems, und dann durch mechanische Quadratur die endlichen Aenderungen. Diese Substitutionen werden, wenn man sich den Weg künftiger Verbesserungen, wegen Berichtigung der Planetenmassen, offen lassen will, nicht nur für alle in Betracht gezogenen störenden Massen einzeln, sondern auch für die Quadrate und Producte derselben einzeln anzuwenden werden müssen, und wir würden hier die Untersuchung beschließen können, wenn wir nicht bedächten, daß die Weitläufigkeit der mit den Quadraten und Producten der störenden Massen behafteten Glieder in den Gleichungen (7) die für eine große Menge von Intervallen zu wiederholender Rechnung unannehmlich macht (gesetzt auch, daß man, was bei diesen Gliedern erlaubt ist, sich auf eine Rechnung mit vier- oder dreiziffrigen Logarithmen beschränkt), und daß es daher wünschenswerth sein muß, die von den gedachten Gliedern herrührenden Störungen in einem geschlossenen Integrale darstellen zu können. Das ist aber für solche Glieder, welche die letzteren noch zu berücksichtigenden in der Ordnung der Dimensionen der störenden Massen sind, glücklicherweise allemal möglich, weil man in den Factoren, womit  $m''$  und  $m'm''$  in den aus den Gleichungen (7) abzuleitenden Formeln für die differentiellen Aenderungen der Elemente multiplicirt erscheinen, die Planeten- und Kometen-Elemente bei der Integration unbeschadet der erforderlichen Genauigkeit als constant betrachten darf, sofern man nur die große Ungleichheit in der Theorie des Jupiter, Saturn und Uranus zur mittleren Bewegung schlägt. Bei der fortlaufenden Integration durch mechanische Quadratur, welche sich dann auf die mit den ersten Potenzen der störenden Kräfte behafteten Glieder der Gleichungen (7) beschränkt, werden freilich in den durch die gefundenen Störungen verbesserten Fundamental-Elementen die von den Quadraten und Producten der störenden Massen abhängigen Glieder fehlen; aber auch das schadet nichts, weil diese Glieder (da sie periodisch sind) sich nicht anhäufen, und überdies in den differentiellen Aenderungen der Elemente nur Glieder von der dritten Dimension der störenden Massen geben. Freilich wird die in Rede stehende Integration, so lange  $r'$  kleiner oder nur wenig größer als  $r$ ,  $r''$  ... ist, Schwierigkeiten haben, und daher z. B. für solche Glieder, worin die Urmassse als Factor enthalten ist, können so großen Zeitraum umfassen können als für solche, worin die gedachte Masse nicht enthalten ist. Dieser Nachtheil wird aber durch die, vom Jupiter an, successiv abnehmenden Planetenmassen um vieles vermindert. Wo nun  $\frac{r''}{r}$  und  $\frac{r'''}{r}$  klein genug sind, wird man das Integral in einer Reihe den Potenzen von  $\frac{1}{r}$  geordnet, schnell convergirenden darstellen können.

15.

Werden die mit  $\Sigma m''^2$  und  $\Sigma m'm''$  behafteten Glieder der Gleichungen (7) in Reihen entwickelt, die nach den Potenzen von  $\frac{1}{r}$  geordnet sind, so verschwinden die mit  $\frac{1}{r^3}$  behafteten Glieder, und die mit  $\frac{1}{r^2}$  bleiben stehen; wir wollen die mit  $\frac{1}{r^2}$  und  $\frac{1}{r^3}$  beibehalten; wir werden dadurch die mit  $\frac{1}{r^3}$  und  $\frac{1}{r^4}$  behafteten Glieder von  $\frac{dh}{dt}$ ,  $\frac{di}{dt}$ ,  $\frac{dn}{dt}$ ,  $\frac{d\varpi}{dt}$  und  $\frac{dM}{dt}$  und die mit  $\frac{1}{r^2}$  und  $\frac{1}{r^3}$  behafteten Glieder von  $\frac{dv}{dt}$ , von der Ordnung der Quadrate und Producte der störenden Massen, bestimmen können. Die zur Bestimmung von  $G'$ ,  $R'$ ,  $S'$ ,  $U'$ ,  $W'$ ,  $X'$ ,  $Y'$  dienenden Gleichungen des 13<sup>ten</sup> §s nehmen, nach dem binomischen Lehrsatz entwickelt, folgende Gestalt an:

$$\frac{1}{G'} = \frac{1}{r} + \frac{r'}{rr} - \frac{r'^2 - 3x'x'}{2r^3}$$

$$\frac{r-x'}{G'} = 1 - \frac{r'^2 - x'x'}{rr}$$

$$\left(\frac{r-x'}{G'}\right)^2 = 1 - \frac{r'^2 - x'x'}{rr}$$

$$1 - 3 \cdot \left(\frac{r-x'}{G'}\right)^2 = -2 + 3 \cdot \frac{r'^2 - x'x'}{rr}$$

$$\frac{1}{G'^3} = \frac{1}{r^3} + \frac{3x'}{r^4} - 3 \cdot \frac{r'^2 - 5x'x'}{2r^5}$$

$$\frac{1}{G'^4} = \frac{1}{r^4} + \frac{5x'}{r^5}$$

$$R' = \frac{2}{r^3} + \frac{6x'}{r^4} - 6 \cdot \frac{r'^2 - 3x'x'}{r^5}$$

$$S' = -\frac{1}{r^3} \frac{3x'}{r^4} + 3 \cdot \frac{-4x'x' + 3y'y' + z'z'}{2r^5}$$

$$U' = -\frac{1}{r^3} \frac{3x'}{r^4} + 3 \cdot \frac{-4x'x' + y'y' + 3z'z'}{2r^5}$$

$$W' = -\frac{3y'}{r^4} - \frac{12x'y'}{r^5}$$

$$X' = -\frac{3x'}{r^4} - \frac{12x'x'}{r^5}$$

$$Y' = \frac{3y'y'}{r^5}$$

Substituiren wir diese Werthe in die Gleichungen (7), so erhalten wir folgende Formeln für die mit den Quadraten und Producten der Massen behafteten Glieder der störenden Kräfte:

9°

$$(8) \dots \begin{cases} A' = \Sigma m^a \left( 3 \cdot \frac{r'^2 - 3x'x'}{2r^3} + 6 \cdot \frac{3r'^2 - 5x'x'}{r^4} \cdot x' \right) - \Sigma m^b m^c \cdot \left( 3 \cdot \frac{2x'x' - y'y' - z'z'}{r^4} - 6 \cdot \frac{r'^2 + r''^2 - z'z'}{r^5} \cdot (3x'x' - 2y'y' - 2z'z')(i+j) \right) \\ B' = \Sigma m^a \left( \frac{3x'y'}{r^3} - 9 \cdot \frac{r'^2 - 5x'x'}{2r^4} \cdot y' \right) + \Sigma m^b m^c \cdot \left( 3 \cdot \frac{x'y' + x''y''}{r^4} + 3 \cdot \frac{(4x'x' - z'z')y' + (4x''x'' - z''z'')y''}{2r^5} + (8x'x' - 3y'y' - 2z'z')(j+i+j) \right) \\ C' = \Sigma m^a \left( \frac{3x'z'}{r^3} - 9 \cdot \frac{r'^2 - 5x'x'}{2r^4} \cdot z' \right) + \Sigma m^b m^c \cdot \left( 3 \cdot \frac{x'z' + x''z''}{r^4} + 3 \cdot \frac{(4x'x' - y'y')z' + (4x''x'' - y''y'')z''}{2r^5} + (8x'x' - 3y'y' - 2z'z')(i+z) \right) \end{cases}$$

16.

Setzen wir in den Gleichungen (3) des 1<sup>ten</sup> §s statt  $u'$  seinen Werth  $u' + \varphi$ , wo  $u'$  den Abstand des Perihels des Planeten  $m'$  von seinem aufsteigenden Knoten auf der Bahn des Kometen bedeutet, statt  $\cos n'$  und  $\sin n'$  aber ihre Werthe  $\cos(u' + \varphi)$  und  $-\sin(u' + \varphi)$ , wo  $u'$  ( $= u - N$ ) den Abstand des Perihels des Planeten vom aufsteigenden Knoten des Planeten  $m'$  auf der Bahn des Kometen bedeutet, endlich statt  $r' \cos \varphi'$  seinen Werth  $a'(\cos u' - e')$ , und statt  $r' \sin \varphi'$  seinen Werth  $a'Y'(1 - e'^2) \sin u'$ , und machen wir

$$(9) \dots \begin{cases} p_i = \cos(u' + \varphi) \cos u' + \sin(u' + \varphi) \sin u' \cos i \\ q_i = -\cos(u' + \varphi) \sin u' + \sin(u' + \varphi) \cos u' \cos i \\ t_i = \frac{dq_i}{du} = -\sin(u' + \varphi) \cos u' + \cos(u' + \varphi) \sin u' \cos i \\ u_i = \frac{dq_i}{du} = \sin(u' + \varphi) \sin u' + \cos(u' + \varphi) \cos u' \cos i \\ e_i = \cos M' - \frac{3 - \cos 2M'}{2} e' \\ s_i = \sin M' + \frac{e'}{2} \sin 2M' \end{cases}$$

so erhalten wir, wenn wir die Quadrate der Planeten-Excentricitäten vernachlässigen:

$$\begin{aligned} x' &= a'(p_i, c_i + q_i, s_i) \\ y' &= \frac{dx'}{du} \\ z' &= a'(c_i \sin u' + s_i \cos u') \sin i' \end{aligned}$$

Die höheren Potenzen und Producte der Excentricitäten des Jupiter und Saturn könnten zwar wegen des beinahe rationalen Verhältnisses ihrer mittleren Bewegungen bemerkbare Glieder in den Integralen hervorbringen; aber diese Glieder werden wieder dadurch unmerklich, daß der Zeitraum von dem Augenblicke an, wo die Beziehung der Störungen vom Mittelpunct der Sonne auf den Schwerpunkt des Sonnensystems übergeht, bis zu dem Augenblicke, wo die von den Quadraten und Producten der Massen abhängigen und auf den Schwerpunkt bezogenen Störungen überhaupt unmerklich werden, im Verhältniß zur Periode der großen Ungleichheit des Jupiter und Saturn sehr kurz ist.

Macht man ferner:

$$\begin{aligned} a_i &= \cos 2M' + e' \cos 3M' \\ b_i &= e' \cos M' + e'^2 \cos 2M' \\ d_i &= 2 \cos(M' - M'') + e' \cos(2M' - M'') + e'' \cos(2M'' - M') \end{aligned}$$

$$\left. \begin{aligned} e_i'' &= 2 \cos(M' + M'') + e' \cos(2M' + M'') + e'' \cos(2M'' + M') \\ f_i'' &= 2 \sin(M' - M'') + e' \sin(2M' - M'') - e'' \sin(2M'' - M') \\ g_i'' &= 2 \sin(M' + M'') + e' \sin(2M' + M'') + e'' \sin(2M'' + M') \\ h_i'' &= \sin u' \sin u'' \sin i' \sin i'' \\ i_i'' &= \cos u' \cos u'' \sin i' \sin i'' \\ k_i'' &= \sin u' \cos u'' \sin i' \sin i'' \end{aligned} \right\} \dots \dots \dots (10)$$

so wird

$$\begin{aligned} 2c_i'' &= 1 - 5e' \cos M' + a_i \\ 2s_i'' &= 1 + e' \cos M' - a_i \\ 2c_{i,1} &= \sin 2M' + (\sin 3M' - 3 \sin M') e' \\ 4c_{i,11} &= d_i'' + e_i'' - 6b_i'' \\ 4s_{i,11} &= d_i'' - e_i'' \\ 4c_{i,11} &= g_i'' - f_i'' - 6e' \sin M'' \\ 4e_{i,11} &= g_i'' + f_i'' - 6e' \sin M' \\ \frac{2x'x''}{a'a'} &= p_i^2 + q_i^2 - (5p_i^2 - q_i^2) e' \cos M' + (p_i^2 - q_i^2) e_i'' + 4p_i q_i c_i \end{aligned}$$

$$\begin{aligned} 2x'y' &= \frac{d(x'y')}{du_i} \\ \frac{2y'y''}{a'a'} &= t_i^2 + u_i^2 - (5t_i^2 - u_i^2) e' \cos M' + (t_i^2 - u_i^2) e_i'' + 4t_i u_i c_i \end{aligned}$$

$$\frac{2z'z''}{a'a' \sin i' i''} = 1 - (2 - 3 \cos 2u') e' \cos M' - a_i \cos 2u' + 2c_i \sin 2u'$$

$$\frac{2x'z''}{a'a' \sin i' i''} = \sin(u' + \varphi) \cos i' - (5p_i \sin u' - q_i \cos u') e' \cos M' + (p_i \sin u' - q_i \cos u') a_i + 2(p_i \cos u' + q_i \sin u') c_i$$

$$\begin{aligned} \frac{4x'x''}{a'a'} &= -6(p_i p_{i,1} b_i'' + p_i q_{i,1} e' \sin M' + p_i q_{i,1} e'' \sin M') \\ &\quad + (p_i p_{i,1} + q_i q_{i,1}) d_i'' + (p_i p_{i,1} - q_i q_{i,1}) e_i'' - (p_i q_{i,1} - p_{i,1} q_i) f_i'' \\ &\quad + (p_i q_{i,1} + p_{i,1} q_i) g_i'' \end{aligned}$$

$$x''y'' = \frac{d(x'y'')}{du}$$

$$y'y'' = \frac{d(x''y'')}{du} = \frac{dd(x'y'')}{du du_i}$$

$$\begin{aligned} \frac{4x'x''}{a'a'} &= -6(h_i'' b_i'' + k_i'' e' \sin M' + k_i'' e'' \sin M') + (h_i'' + k_i'') d_i'' \\ &\quad + (h_i'' - k_i'') e_i'' - (k_i'' - h_i'') f_i'' + (k_i'' + h_i'') g_i'' \end{aligned}$$

\*)  $h_i''$  wird durch eine ähnliche Formel wie  $k_i''$  gebildet, so daß die auf die Planeten  $m'$  und  $m''$  sich beziehenden Strich mit einander verwechselt werden. Also ist

$$h_i'' = \sin u'' \cos u' \sin i' \sin i''$$

Dasselbe gilt von allen folgenden Bezeichnungen, wobei die Buchstaben oben mit einem Strich und unten mit einem Strich ist.

$$\frac{4x''s''}{a''s''\sin i''} = -6(p, \sin u'' b'' + p, \cos u'' s' \sin M' + q, \sin u'' s' \sin M') \\ + (p, \sin u'' + q, \cos u'') d'' + (p, \sin u'' - q, \cos u'') e'' \\ - (p, \cos u'' - q, \sin u'') f'' + (p, \cos u'' + q, \sin u'') g''.$$

$$\left. \begin{aligned} \alpha'' &= 2p, p_{u''} - t, t_{u''} - h, t_{u''} \\ \beta'' &= 2q, q_{u''} - u, u_{u''} - i, i_{u''} \\ \gamma'' &= 2p, q_{u''} - t, u_{u''} - k, i_{u''} \end{aligned} \right\} \begin{aligned} d'' &= p, t_{u''} + p, t_{u''} \\ e'' &= q, u_{u''} + q, u_{u''} \\ f'' &= p, u_{u''} + q, u_{u''} \end{aligned} \left\{ \begin{aligned} \eta'' &= p, \sin u'' \sin i'' + p, \sin u'' \sin i'' \\ \theta'' &= q, \cos u'' \sin i'' + q, \cos u'' \sin i'' \\ \delta'' &= p, \cos u'' \sin i'' + q, \sin u'' \sin i'' \end{aligned} \right\} \dots \dots \dots (11)$$

so verwandeln sich die durch  $r''$  dividirten Glieder der Gleichungen (8) in:

$$\begin{aligned} A' &= \Sigma m'' \cdot \frac{3a''\alpha''}{4r''^3} (2 - 3(p,^2 + q,^2) - (4 - 15p,^2 + 3q,^2) e' \cos M' - 3(p,^2 - q,^2) a, - 12p, q, c, s,) \\ &\quad + \Sigma m'' m'' \cdot \frac{3\alpha''\alpha''}{4r''^4} (6(\alpha,^2 b,^2 + \gamma,^2 s' \sin M' + \gamma,^2 s' \sin M') - (\alpha,^2 + \beta,^2) d,^2 - (\alpha,^2 - \beta,^2) e,^2 + (\gamma,^2 - \gamma,^2) f,^2 - (\gamma,^2 + \gamma,^2) g,^2) \\ B' &= \Sigma m'' \cdot \frac{3a''\alpha''}{2r''^3} (p, t, + q, u, - (5p, t, - q, u,) e' \cos M' + (p, t, - q, u,) a, + 2(p, u, + q, t,) c, s,) \\ &\quad + \Sigma m'' m'' \cdot \frac{3\alpha''\alpha''}{4r''^4} (-6(\delta,^2 b,^2 + \zeta,^2 s' \sin M' + \zeta,^2 s' \sin M') + (\delta,^2 + s,^2) d,^2 + (\delta,^2 - s,^2) e,^2 - (\zeta,^2 - \zeta,^2) f,^2 + (\zeta,^2 + \zeta,^2) g,^2) \\ C' &= \Sigma m'' \cdot \frac{3a''\alpha'' \sin i''}{2r''^3} (\sin(u'' + \phi) \cos i'' - (5p, \sin u'' - q, \cos u'') e' \cos M' + (p, \sin u'' - q, \cos u'') a, + 2(p, \cos u'' + q, \sin u'') c, s,) \\ &\quad + \Sigma m'' m'' \cdot \frac{3\alpha''\alpha''}{4r''^4} (-6(\eta,^2 b,^2 + \theta,^2 s' \sin M' + \theta,^2 s' \sin M') + (\eta,^2 + \theta,^2) d,^2 + (\eta,^2 - \theta,^2) e,^2 - (\theta,^2 - \theta,^2) f,^2 + (\theta,^2 + \theta,^2) g,^2) \end{aligned}$$

Bei den durch  $r''$  dividirten Gliedern wollen wir auch die ersten Potenzen der Planeten-Excentricitäten vernachlässigen; dadurch geben diese Glieder, wenn wir

$b, = 3(4 - 5(p,^2 + q,^2))p,$	$g, = (15p,^2 + 5q,^2 - 4)t, + 10p, q, u,$	$l, = (15p,^2 + 5q,^2 - 4) \sin u'' + 10p, q, \cos u''$
$d, = 3(4 - 5(p,^2 + q,^2))q,$	$h, = (5p,^2 + 15q,^2 - 4)u, + 10p, q, t,$	$m, = (5p,^2 + 15q,^2 - 4) \cos u'' + 10p, q, \sin u''$
$e, = 5p, (3q,^2 - p,^2)$	$i, = 5(p,^2 - q,^2)t, - 10p, q, u,$	$n, = 5(p,^2 - q,^2) \sin u'' - 10p, q, \cos u''$
$f, = 5q, (q,^2 - 3p,^2)$	$k, = 5(p,^2 - q,^2)u, - 10p, q, t,$	$r, = 5(p,^2 - q,^2) \cos u'' - 10p, q, \sin u''$
	$v, = 4(p,^2 + q,^2) - \sin i''^2$	$y, = 4(p,^2 + q,^2) - t,^2 - u,^2$
	$w, = 4(p,^2 - q,^2) + \cos 2u'' \sin i''^2$	$z, = 4(p,^2 - q,^2) - t,^2 + u,^2$
	$x, = 8p, q, - \sin 2u'' \sin i''^2$	$o, = 8p, q, - 2t, u,$
	$p,^2 = t,^2 + 5p, p_{u''} - t, t_{u''}$	$s,^2 = l,^2 + 5p, p_{u''} - h,^2$
	$q,^2 = m,^2 + 5q, q_{u''} - u, u_{u''}$	$t,^2 = m,^2 + 5q, q_{u''} - i, i_{u''}$
	$r,^2 = n,^2 + 5p, q_{u''} - t, u_{u''}$	$u,^2 = n,^2 + 5p, q_{u''} - k, i_{u''}$

$$\left. \begin{aligned} \chi, &= 2\alpha'' (2p, - p_{u''} t_{u''} - q_{u''} n_{u''}) \\ \lambda, &= 2\alpha'' (2q, - p_{u''} n_{u''} - q_{u''} m_{u''}) \\ \mu, &= \alpha'' (q, (n_{u''} - n_{u''}) - p, (t_{u''} + m_{u''})) \\ \nu, &= \alpha'' (q, (n_{u''} + n_{u''}) - p, (t_{u''} - m_{u''})) \\ \xi, &= \alpha'' (p, (n_{u''} - n_{u''}) - q, (t_{u''} + m_{u''})) \\ e, &= \alpha'' (q, (m_{u''} - t_{u''}) - p, (n_{u''} + n_{u''})) \end{aligned} \right\} \left. \begin{aligned} \pi, &= 2u'' (t, v_{u''} + t, p_{u''} + u, r_{u''}) \\ \varpi, &= 2u'' (u, v_{u''} + u, q_{u''} + t, r_{u''}) \\ p, &= \alpha'' (t, u_{u''} + u, q_{u''} + t, p_{u''}) + u, (r_{u''} - r_{u''}) \\ q, &= \alpha'' (t, u_{u''} - u, r_{u''} + t, p_{u''}) - u, (r_{u''} + r_{u''}) \\ r, &= \alpha'' (t, u_{u''} + u, r_{u''} + t, p_{u''}) - t, (r_{u''} - r_{u''}) \\ u, &= \alpha'' (t, u_{u''} + u, r_{u''} + t, p_{u''}) + t, (r_{u''} + r_{u''}) \end{aligned} \right\} \dots \dots \dots (12)$$

$$\begin{aligned} \phi, &= 2\alpha'' (\gamma, \sin u'' \sin i'' + (s, \sin u'' + u, \cos u'') \sin i'') \\ \psi, &= 2\alpha'' (\gamma, \cos u'' \sin i'' + (t, \cos u'' + u, \sin u'') \sin i'') \\ \chi, &= \alpha'' [(s, \sin u'' + o, \cos u'') \sin i'' + ((s,^2 + t,^2) \sin u'' + (u,^2 - u,^2) \cos u'') \sin i'] \\ \psi, &= \alpha'' [(s, \sin u'' - o, \cos u'') \sin i'' + ((s,^2 - t,^2) \sin u'' - (u,^2 + u,^2) \cos u'') \sin i'] \\ u, &= \alpha'' [(o, \sin u'' - s, \cos u'') \sin i'' + ((s,^2 + t,^2) \cos u'' - (u,^2 - u,^2) \sin u'') \sin i'] \\ e, &= \alpha'' [(e, \sin u'' + s, \cos u'') \sin i'' + ((s,^2 - t,^2) \cos u'' + (u,^2 - u,^2) \sin u'') \sin i'] \end{aligned}$$

setzen, in folgende über:

$$\begin{aligned}
 A' &= \Sigma m'^2 \cdot \frac{3a'^3}{2r^3} (b, \cos M' + d, \sin M' + e, \cos 3M' + f, \sin 3M') \\
 &+ \Sigma m' m'' \cdot \frac{3a' a''}{2r^3} \left( x'' \cos M' + \lambda'' \sin M' + x''_{11} \cos M'' + \lambda''_{11} \sin M'' \right. \\
 &\quad + \mu'' \cos (2M' - M'') + \nu'' \cos (2M' + M'') + \xi'' \sin (2M' - M'') + \eta'' \sin (2M' + M'') \\
 &\quad \left. + \mu''_{11} \cos (2M'' - M') + \nu''_{11} \cos (2M'' + M') + \xi''_{11} \sin (2M'' - M') + \eta''_{11} \sin (2M'' + M') \right) \\
 B' &= \Sigma m'^2 \cdot \frac{9a'^3}{8r^3} (g, \cos M' + h, \sin M' + i, \cos 3M' + k, \sin 3M') \\
 &+ \Sigma m' m'' \cdot \frac{3a' a''}{8r^3} \left( \pi'' \cos M' + \omega'' \sin M' + \pi''_{11} \cos M'' + \omega''_{11} \sin M'' \right. \\
 &\quad + \rho'' \cos (2M' - M'') + \sigma'' \cos (2M' + M'') + \tau'' \sin (2M' - M'') + \upsilon'' \sin (2M' + M'') \\
 &\quad \left. + \rho''_{11} \cos (2M'' - M') + \sigma''_{11} \cos (2M'' + M') + \tau''_{11} \sin (2M'' - M') + \upsilon''_{11} \sin (2M'' + M') \right) \\
 C' &= \Sigma m'^2 \cdot \frac{9a'^3 \sin i}{8r^3} (l, \cos M' + m, \sin M' + n, \cos 3M' + r, \sin 3M') \\
 &+ \Sigma m' m'' \cdot \frac{3a' a'' \sin i}{8r^3} \left( \phi'' \cos M' + \chi'' \sin M' + \phi''_{11} \cos M'' + \chi''_{11} \sin M'' \right. \\
 &\quad + \psi'' \cos (2M' - M'') + \omega'' \cos (2M' + M'') + \zeta'' \sin (2M' - M'') + \eta'' \sin (2M' + M'') \\
 &\quad \left. + \psi''_{11} \cos (2M'' - M') + \omega''_{11} \cos (2M'' + M') + \zeta''_{11} \sin (2M'' - M') + \eta''_{11} \sin (2M'' + M') \right)
 \end{aligned}$$

17.

Aus dem Bisherigen geht hervor, daß die von den Quadranten und Producten der störenden Massen abhängigen Glieder

$$\begin{aligned}
 c &= \Sigma m'^2 \cdot \frac{3a'^3}{8} \left( \Gamma^{(c)} + b^{(c)} \cos M' + d^{(c)} \sin M' + \Delta^{(c)} \cos 2M' + \Theta^{(c)} \sin 2M' + e^{(c)} \cos 3M' + f^{(c)} \sin 3M' \right) \\
 &+ \Sigma m' m'' \cdot \frac{3a' a''}{8} \left[ x^{(c)} \cos M' + \lambda^{(c)} \sin M' + x''^{(c)} \cos M'' + \lambda''^{(c)} \sin M'' \right. \\
 &\quad + \Lambda^{(c)} \cos (M' - M'') + \Xi^{(c)} \cos (M' + M'') + \Pi^{(c)} \sin (M' - M'') + \Omega^{(c)} \sin (M' + M'') \\
 &\quad + \mu^{(c)} \cos (2M' - M'') + \nu^{(c)} \cos (2M' + M'') + \xi^{(c)} \sin (2M' - M'') + \eta^{(c)} \sin (2M' + M'') \\
 &\quad \left. + \mu''^{(c)} \cos (2M'' - M') + \nu''^{(c)} \cos (2M'' + M') + \xi''^{(c)} \sin (2M'' - M') + \eta''^{(c)} \sin (2M'' + M') \right]
 \end{aligned}$$

wo die Coefficienten  $\Gamma^{(c)}$ ,  $b^{(c)}$ ,  $\dots$ ,  $x^{(c)}$ ,  $\lambda^{(c)}$ ,  $\dots$  lauter Functionen von  $r$ , von  $\varphi$  und von Constanten sind. Diese Coefficienten sind nun zu bestimmen.

Addirt man die im vorigen §. herausgebrachten durch  $r^4$  und durch  $r^3$  dividirten Glieder von  $B'$  und  $C'$  von gleichen

von  $o$  (wo  $o$  die differentielle oder endliche Aenderung jedes Elements des Kometen bedeuten kann) sich auf folgende Form zurückführen lassen:

$$\begin{aligned}
 \text{Argumenten, und bedenkt man, daß } -rB' &= \frac{dh}{dt}; \\
 -\frac{r \cos(u+\varphi)}{h} C' &= \frac{d\epsilon}{dt}; \quad -\frac{r \sin(u+\varphi)}{h \sin i} C' = \frac{d\eta}{dt}; \quad u
 \end{aligned}$$

wird:

$$\begin{aligned}
 \Gamma, \left( \frac{dh}{dt} \right) &= -4 \cdot \frac{p, i + q, u_1}{r^3} & \Gamma, \left( \frac{d\epsilon}{dt} \right) &= -\frac{2 \sin(u+\varphi)}{r^3 h} \Gamma, \left( \frac{dh}{dt} \right) \\
 b, \left( \frac{dh}{dt} \right) &= 4 \cdot \frac{5p, i - q, u_1}{r^3} - \frac{3a' g}{r^4} & b, \left( \frac{d\epsilon}{dt} \right) &= \left( 4 \cdot \frac{5p, i \sin u' - q, \cos u'}{r^3 h} e' - \frac{3a' l}{r^4 h} \right) \sin i = \frac{\sin i}{\sin(u+\varphi)} b, \left( \frac{dh}{dt} \right) \\
 d, \left( \frac{dh}{dt} \right) &= 12 \cdot \frac{p, u_1 + q, i}{r^3} e' - \frac{3a' h}{r^4} & d, \left( \frac{d\epsilon}{dt} \right) &= 3 \left( 4 \cdot \frac{p, \cos u' + q, \sin u'}{r^3 h} e' - \frac{a' m}{r^4 h} \right) \sin i = \frac{\sin i}{\sin(u+\varphi)} d, \left( \frac{dh}{dt} \right) \\
 \Delta, \left( \frac{dh}{dt} \right) &= -4 \cdot \frac{p, i - q, u_1}{r^3} & \Delta, \left( \frac{d\epsilon}{dt} \right) &= -4 \cdot \frac{p, \sin u' - q, \cos u'}{r^3 h} \sin i \dots = \frac{\sin i}{\sin(u+\varphi)} \Delta, \left( \frac{dh}{dt} \right) \\
 \Theta, \left( \frac{dh}{dt} \right) &= -4 \cdot \frac{p, u_1 + q, i}{r^3} & \Theta, \left( \frac{d\epsilon}{dt} \right) &= -4 \cdot \frac{p, \cos u' + q, \sin u'}{r^3 h} \sin i \dots = \frac{\sin i}{\sin(u+\varphi)} \Theta, \left( \frac{dh}{dt} \right) \\
 e, \left( \frac{dh}{dt} \right) &= -4 \cdot \frac{p, i - q, u_1}{r^3} e' - \frac{3a' i}{r^4} & e, \left( \frac{d\epsilon}{dt} \right) &= - \left( 4 \cdot \frac{p, \sin u' - q, \cos u'}{r^3 h} e' + \frac{3a' n}{r^4 h} \right) \sin i = \frac{\sin i}{\sin(u+\varphi)} e, \left( \frac{dh}{dt} \right) \\
 f, \left( \frac{dh}{dt} \right) &= -4 \cdot \frac{p, u_1 + q, i}{r^3} e' - \frac{3a' k}{r^4} & f, \left( \frac{d\epsilon}{dt} \right) &= - \left( 4 \cdot \frac{p, \cos u' - q, \sin u'}{r^3 h} e' + \frac{3a' r}{r^4 h} \right) \sin i = \frac{\sin i}{\sin(u+\varphi)} f, \left( \frac{dh}{dt} \right)
 \end{aligned}$$

$$\begin{aligned}
 \lambda'' \left( \frac{dh}{dr} \right) &= \frac{12 \delta_1'' a''}{r^3} - \frac{\pi_1''}{r^4} \\
 \lambda'' \left( \frac{dh}{dr} \right) &= \frac{12 \zeta_1'' a''}{r^3} - \frac{\pi_1''}{r^4} \\
 \Lambda'' \left( \frac{dh}{dr} \right) &= -4 \cdot \frac{\delta_1'' + a_1''}{r^3} \\
 \Xi'' \left( \frac{dh}{dr} \right) &= -4 \cdot \frac{\delta_1'' - a_1''}{r^3} \\
 \Pi'' \left( \frac{dh}{dr} \right) &= +4 \cdot \frac{\zeta_1'' - \zeta_1''}{r^3} \\
 \Omega'' \left( \frac{dh}{dr} \right) &= -4 \cdot \frac{\zeta_1'' + \zeta_1''}{r^3} \\
 \mu'' \left( \frac{dh}{dr} \right) &= -2 \cdot \frac{\delta_1'' + a_1''}{r^3} - \frac{\rho_1''}{r^4} \\
 \nu'' \left( \frac{dh}{dr} \right) &= -2 \cdot \frac{\delta_1'' - a_1''}{r^3} - \frac{\rho_1''}{r^4} \\
 \xi'' \left( \frac{dh}{dr} \right) &= +2 \cdot \frac{\zeta_1'' - \zeta_1''}{r^3} - \frac{\gamma_1''}{r^4} \\
 \epsilon'' \left( \frac{dh}{dr} \right) &= -2 \cdot \frac{\zeta_1'' + \zeta_1''}{r^3} - \frac{\gamma_1''}{r^4}
 \end{aligned}$$

$$\begin{aligned}
 \cos(w+\varphi) \lambda'' \left( \frac{dh}{dr} \right) &= \frac{12 \eta_1'' a''}{r^3 h} - \frac{\Phi_1''}{r^4 h} = \frac{\sin i}{\sin(w+\varphi)} \lambda'' \left( \frac{dh}{dr} \right) \dots \dots (13) \\
 \cos(w+\varphi) \lambda_1'' \left( \frac{dh}{dr} \right) &= \frac{12 \eta_1'' a''}{r^3 h} - \frac{\Phi_1''}{r^4 h} = \frac{\sin i}{\sin(w+\varphi)} \lambda_1'' \left( \frac{dh}{dr} \right) \\
 \cos(w+\varphi) \Lambda'' \left( \frac{dh}{dr} \right) &= -4 \cdot \frac{\eta_1'' + \delta_1''}{r^3 h} = \frac{\sin i}{\sin(w+\varphi)} \Lambda'' \left( \frac{dh}{dr} \right) \\
 \cos(w+\varphi) \Xi'' \left( \frac{dh}{dr} \right) &= -4 \cdot \frac{\eta_1'' - \delta_1''}{r^3 h} = \frac{\sin i}{\sin(w+\varphi)} \Xi'' \left( \frac{dh}{dr} \right) \\
 \cos(w+\varphi) \Pi'' \left( \frac{dh}{dr} \right) &= +4 \cdot \frac{\eta_1'' - \zeta_1''}{r^3 h} = \frac{\sin i}{\sin(w+\varphi)} \Pi'' \left( \frac{dh}{dr} \right) \\
 \cos(w+\varphi) \Omega'' \left( \frac{dh}{dr} \right) &= -4 \cdot \frac{\eta_1'' + \zeta_1''}{r^3 h} = \frac{\sin i}{\sin(w+\varphi)} \Omega'' \left( \frac{dh}{dr} \right) \\
 \cos(w+\varphi) \mu'' \left( \frac{dh}{dr} \right) &= -2 \cdot \frac{\eta_1'' + \delta_1''}{r^3 h} - \frac{\psi_1''}{r^4 h} = \frac{\sin i}{\sin(w+\varphi)} \mu'' \left( \frac{dh}{dr} \right) \\
 \cos(w+\varphi) \nu'' \left( \frac{dh}{dr} \right) &= -2 \cdot \frac{\eta_1'' - \delta_1''}{r^3 h} - \frac{\psi_1''}{r^4 h} = \frac{\sin i}{\sin(w+\varphi)} \nu'' \left( \frac{dh}{dr} \right) \\
 \cos(w+\varphi) \xi'' \left( \frac{dh}{dr} \right) &= +2 \cdot \frac{\eta_1'' - \zeta_1''}{r^3 h} - \frac{\gamma_1''}{r^4 h} = \frac{\sin i}{\sin(w+\varphi)} \xi'' \left( \frac{dh}{dr} \right) \\
 \cos(w+\varphi) \epsilon'' \left( \frac{dh}{dr} \right) &= -2 \cdot \frac{\eta_1'' + \zeta_1''}{r^3 h} - \frac{\gamma_1''}{r^4 h} = \frac{\sin i}{\sin(w+\varphi)} \epsilon'' \left( \frac{dh}{dr} \right)
 \end{aligned}$$

Nach Encke's Jahrbuch für 1837 S. 330 ist:

$$\frac{1}{3av} \frac{dy}{dt} = \frac{e \sin \Phi}{h} \mathcal{A} - \frac{h}{rr} \frac{dh}{dt}$$

da nun hier  $\frac{dh}{dt}$  durch  $r^3$  dividirt erscheint, so können wir in der Entwicklung von  $-\frac{h}{rr} \frac{dh}{dt}$  die durch  $r^4$  dividirten wie auch die mit  $a'$  oder  $a''$  multiplicirten Glieder von  $\frac{dh}{dt}$  vernachlässigen; fügen wir die alsdann noch beibehaltenen Glieder von  $-\frac{h}{rr} \frac{dh}{dt}$  zu den aus dem vorigen §. zu bestimmenden Gliedern von  $\frac{e \sin \Phi}{h} \mathcal{A}$  mit respective gleichen Argumenten hinzu, so erhalten wir:

$$\begin{aligned}
 \frac{1}{3av} \Gamma_1 \left( \frac{dh}{dr} \right) &= \frac{e \sin \Phi}{h} \cdot 4-6 \left( \frac{p_1^2}{r^4} + \frac{q_1^2}{r^4} \right) - \frac{h}{rr} \Gamma_1 \left( \frac{dh}{dr} \right) \\
 \frac{1}{3av} \delta_1 \left( \frac{dh}{dr} \right) &= \frac{e \sin \Phi}{h} \cdot \left( 30 p_1^2 - 6 q_1^2 - 8 \cdot \frac{a_1^2}{r^4} + \frac{4 a_1^2 b_1^2}{r^4} \right) \\
 \frac{1}{3av} \delta_1' \left( \frac{dh}{dr} \right) &= \frac{e \sin \Phi}{h} \left( \frac{36 p_1^2 q_1^2}{r^4} + \frac{4 a_1^2 d_1^2}{r^4} \right) \\
 \frac{1}{3av} \Delta_1 \left( \frac{dh}{dr} \right) &= \frac{e \sin \Phi}{h} \cdot \frac{6 q_1^2 - 6 p_1^2}{r^4} - \frac{h}{rr} \Delta_1 \left( \frac{dh}{dr} \right) \\
 \frac{1}{3av} \Theta_1 \left( \frac{dh}{dr} \right) &= \frac{e \sin \Phi}{h} \cdot \frac{-12 p_1^2 q_1^2}{r^4} - \frac{h}{rr} \Theta_1 \left( \frac{dh}{dr} \right)
 \end{aligned}$$

$$\begin{aligned}
 \frac{1}{3av} \Gamma_1 \left( \frac{dh}{dr} \right) &= \frac{e \sin \Phi}{h} \left( 6 q_1^2 - 6 p_1^2 + \frac{4 a_1^2}{r^4} \right) \\
 \frac{1}{3av} \delta_1 \left( \frac{dh}{dr} \right) &= \frac{e \sin \Phi}{h} \left( -12 p_1^2 q_1^2 + \frac{4 a_1^2 f_1^2}{r^4} \right) \\
 \frac{1}{3av} \nu_1 \left( \frac{dh}{dr} \right) &= \frac{e \sin \Phi}{h} \left( \frac{12 a_1^2}{r^4} + \frac{4 \eta_1^2}{r^4} \right) \dots \dots (14) \\
 \frac{1}{3av} \Lambda_1 \left( \frac{dh}{dr} \right) &= \frac{e \sin \Phi}{h} \cdot \frac{-4 a_1^2 - 4 \beta_1^2}{r^4} - \frac{h}{rr} \Lambda_1 \left( \frac{dh}{dr} \right) \\
 \frac{1}{3av} \Xi_1 \left( \frac{dh}{dr} \right) &= \frac{e \sin \Phi}{h} \cdot \frac{-4 a_1^2 + 4 \beta_1^2}{r^4} - \frac{h}{rr} \Xi_1 \left( \frac{dh}{dr} \right) \\
 \frac{1}{3av} \Pi_1 \left( \frac{dh}{dr} \right) &= \frac{e \sin \Phi}{h} \cdot \frac{4 \gamma_1^2 - 4 \gamma_1^2}{r^4} - \frac{h}{rr} \Pi_1 \left( \frac{dh}{dr} \right) \\
 \frac{1}{3av} \Omega_1 \left( \frac{dh}{dr} \right) &= \frac{e \sin \Phi}{h} \cdot \frac{-4 \gamma_1^2 - 4 \gamma_1^2}{r^4} - \frac{h}{rr} \Omega_1 \left( \frac{dh}{dr} \right) \\
 \frac{1}{3av} \mu_1 \left( \frac{dh}{dr} \right) &= \frac{e \sin \Phi}{h} \left( -2 \cdot \frac{a_1^2 + \beta_1^2}{r^4} + \frac{4 \mu_1^2}{r^4} \right) \\
 \frac{1}{3av} \nu_1 \left( \frac{dh}{dr} \right) &= \frac{e \sin \Phi}{h} \left( -2 \cdot \frac{a_1^2 - \beta_1^2}{r^4} + \frac{4 \nu_1^2}{r^4} \right) \\
 \frac{1}{3av} \xi_1 \left( \frac{dh}{dr} \right) &= \frac{e \sin \Phi}{h} \left( +2 \cdot \frac{\gamma_1^2 - \gamma_1^2}{r^4} + \frac{4 \xi_1^2}{r^4} \right) \\
 \frac{1}{3av} \epsilon_1 \left( \frac{dh}{dr} \right) &= \frac{e \sin \Phi}{h} \left( -2 \cdot \frac{\gamma_1^2 + \gamma_1^2}{r^4} + \frac{4 \epsilon_1^2}{r^4} \right)
 \end{aligned}$$

Nach *Encke* a. a. O. ist ferner

$$\frac{d\pi}{dt} = [\pm] \left( \frac{hh \cos \Phi}{3av} \cdot \frac{dv}{dt} + \frac{h^3 \cos \Phi}{rrs} \cdot \frac{dh}{dt} + \sin \Phi \left( \frac{1}{h} + \frac{h}{r} \right) \cdot \frac{dh}{dt} \right) + s \sin i \operatorname{tg} i \cdot \frac{dn}{dt}$$

folglich, wenn man die durch  $r^3$  dividirten Glieder von  $\frac{d\pi}{dt}$  vernachlässigt:

$$(15) \dots \dots \dots \Phi \left( \frac{d\pi}{dt} \right) = [\pm] \left( \frac{hh \cos \Phi}{3av} \Phi \left( \frac{dv}{dt} \right) + \sin \Phi \left( \frac{1}{h} + \frac{h}{r} \right) \Phi \left( \frac{dh}{dt} \right) \right) + s \sin i \operatorname{tg} i \cdot \Phi \left( \frac{dn}{dt} \right)$$

wo  $\Phi$  jede der 23 Bezeichnungen  $\Gamma, \delta, \Delta, \Theta, \sigma, f, \kappa, \lambda, \mu, \nu, \xi, \zeta, \eta, \iota, \omega, \mu, \nu, \xi, \zeta, \eta, \iota, \omega, \mu, \nu, \xi, \zeta, \eta, \iota, \omega$ ,  $\mu, \nu, \xi, \zeta, \eta, \iota, \omega$  bedeuten kann.

Nach *Encke* a. a. O. ist endlich, wenn man

$$G = \frac{2rs - hh \cos \Phi}{3 \sin \Phi}$$

setzt,

$$\frac{dM}{dt} = \frac{h}{se} \left( G \frac{dv}{dt} - hv \cos \Phi \cdot \frac{dh}{dt} \right) + dv$$

wo  $dv$  das Integral der mit  $\Sigma m''^2$  und  $\Sigma m'm''$  behafteten Glieder von  $\frac{dv}{dt}$  dt, von der Zeit  $\tau$  an, wo die Beziehung der Störungen zum Mittelpunkt der Sonne auf den Schwerpunkt des Sonnensystems übergeht, bis zu einer beliebigen Zeit  $t$  genommen, bedeutet. Wir wollen das in  $\frac{dM}{dt}$  enthaltene Glied  $dv$  anfangs unberücksichtigt lassen, und daher

$$(16) \dots \dots \dots \frac{se}{h} \Phi \left( \frac{dM}{dt} \right) = G \Phi \left( \frac{dv}{dt} \right) - hv \cos \Phi \cdot \Phi \left( \frac{dh}{dt} \right)$$

schreiben.

### 18.

Die im vorigen §. gefundenen Ausdrücke für die mit den Quadraten und Producten der störenden Massen behafteten Glieder der differentiellen Aenderungen der einzelnen Kometen-Elemente sind nun zu integrieren. Die Integration nimmt eine andere Gestalt für die Glieder an, welche von den mittleren Anomalien der Planeten und den Differenzen und Summen ihrer Vielfachen abhängen, als für die davon unabhängigen Glieder. Die letzteren sind die mit  $\Gamma^{(e)}$  behafteten; sie sind, wie leicht zu bemerken, nur unter den von den Quadraten, nicht aber unter den von den Producten der störenden Massen abhängigen Gliedern enthalten. Wir werden mit der Integration der von den mittleren Anomalien abhängigen Glieder anfangen, und dabei die vortreffliche *Besselsche* Methode anwenden, welche in der Abhandlung Nr. 313. 314. 315 der Astr. Nachr. ausge-

$$\frac{se}{h} \Phi \left( \frac{dM}{dt} \right) = av (2s - \cos \Phi - s \cos \Phi^2) \cdot \frac{r}{\sin \Phi} \left( \frac{1}{3av} \cdot \Phi \left( \frac{dv}{dt} \right) + \frac{h}{rr} \Phi \left( \frac{dh}{dt} \right) \right) - \frac{ave (2 + s \cos \Phi) \sin \Phi}{h} \Phi \left( \frac{dn}{dt} \right) \dots \dots \dots (17)$$

geschrieben werden kann. Endlich ist noch zu bemerken, daß man, wenn man von  $\Phi \left( \frac{dh}{dt} \right)$ ,  $\Phi \left( \frac{dn}{dt} \right)$ ,  $\Phi \left( \frac{dv}{dt} \right)$  oder  $\Phi \left( \frac{dM}{dt} \right)$  den Differentialquotienten bilden will, man vor der Differentiation die durch  $r^3$  dividirten wie auch die mit  $s'$  oder  $s''$  mul-

angerechnet ist. Es wird dazu die Bildung der in Beziehung auf die Zeit genommenen successiven Differentialquotienten von  $\delta_i^{(e)}$ ,  $d_i^{(e)}$ ,  $\dots$ ,  $x_i^{(e)}$ ,  $\lambda_i^{(e)}$ ,  $\dots$  erfordert. Aus den Sp. 31 der gedachten Abhandlung angeführten Gründen reicht zu dem hier beabsichtigten Annäherung die Bildung der ersten Differentialquotienten hin, und aus denselben Gründen geht zugleich

hervor, daß, wenn man  $\frac{d\Phi^{(e)}}{dt}$  in die beiden Glieder

$$\frac{d\Phi^{(e)}}{dr} \cdot \frac{dr}{dt} + \frac{d\Phi^{(e)}}{d\Phi} \cdot \frac{d\Phi}{dt}$$

oder

$$\frac{d\Phi^{(e)}}{dr} \cdot \frac{s \sin \Phi}{h} + \frac{d\Phi^{(e)}}{d\Phi} \cdot \frac{h}{rr}$$

auflöst, das letztere, weil es um 2 Potenzen von  $r$  niedriger als  $\Phi^{(e)}$  ist, allemal vernachlässigt werden kann, wofür man nur  $\Phi^{(e)}$  auf Glieder von der Form  $\frac{\Psi}{r^m}$  gebracht hat, wo  $\Psi$  eine ganze positive Zahl, und  $\Psi$  eine ganze rationale Function von  $\sin \Phi$ , von  $\cos \Phi$  und von Constanten ist. Die letztere Beziehung kann jedoch überall durchgeführt werden; denn wenn auch in der Gleichung (15)  $\Phi \left( \frac{dh}{dt} \right)$  mit  $\cos \Phi$  multiplicirt erscheint, so muß man doch bedenken, daß diese Gleichung streng genommen

$$\Phi \left( \frac{dM}{dt} \right) = [\pm] \left( \frac{hh \cos \Phi}{3av} \left( \frac{1}{3av} \cdot \Phi \left( \frac{dv}{dt} \right) + \frac{h}{rr} \Phi \left( \frac{dh}{dt} \right) \right) + \sin \Phi \left( \frac{1}{h} + \frac{h}{r} \right) \Phi \left( \frac{dn}{dt} \right) \right) \dots \dots \dots (17)$$

+  $s \sin i \operatorname{tg} i \cdot \Phi \left( \frac{dn}{dt} \right)$  lautet, und daß  $\frac{1}{3av} \Phi \left( \frac{dv}{dt} \right) + \frac{h}{rr} \Phi \left( \frac{dh}{dt} \right)$  zufolge der Gleichungen (14)  $\sin \Phi$  als Factor enthält, welche sich gegen  $\sin \Phi$  im Nenner hebt; und wenn in der Gleichung (16) die Formel für  $G$  im Nenner  $\sin \Phi$  enthält, so außerdem  $\Phi \left( \frac{dh}{dt} \right)$  mit  $\cos \Phi$  multiplicirt erscheint, so ist zu bedenken, daß die Gleichung (16) auch in dieser Gestalt:

$$\frac{se}{h} \Phi \left( \frac{dM}{dt} \right) = av (2s - \cos \Phi - s \cos \Phi^2) \cdot \frac{r}{\sin \Phi} \left( \frac{1}{3av} \cdot \Phi \left( \frac{dv}{dt} \right) + \frac{h}{rr} \Phi \left( \frac{dh}{dt} \right) \right) - \frac{ave (2 + s \cos \Phi) \sin \Phi}{h} \Phi \left( \frac{dn}{dt} \right) \dots \dots \dots (18)$$

multiplicirten Glieder weglassen kann; ist alsdann  $\frac{\Psi}{r^m}$  das übrigbleibende Glied, so ergibt sich der Differentialquotient

$$= - \frac{s\Psi}{r^m} \cdot \frac{s \sin \Phi}{h}$$

Man kann daher auch

$$\begin{aligned}\frac{d\Phi}{dt} &= -\frac{3e \sin \varphi}{rh} \Phi \left( \frac{d\alpha}{dt} \right); & \frac{d\Phi}{dt} &= -\frac{3e \sin \varphi}{rh} \Phi \left( \frac{d\beta}{dt} \right) \\ \frac{d\Phi}{dt} &= -\frac{3e \sin \varphi}{rh} \Phi \left( \frac{d\alpha}{dt} \right); & \frac{d\Phi}{dt} &= -\frac{3e \sin \varphi}{rh} \Phi \left( \frac{d\beta}{dt} \right) \\ \frac{d\Phi}{dt} &= -\frac{3e \sin \varphi}{rh} \Phi \left( \frac{dM}{dt} \right)\end{aligned}$$

und eben so

$$\frac{d\Phi}{dt} = -\frac{4e \sin \varphi}{rh} \Phi \left( \frac{d\alpha}{dt} \right)$$

setzen, welches ein außerordentlich leichtes Mittel zur numerischen Berechnung der Differentialquotienten giebt, nachdem man die zu differenzirenden Coefficienten durch die Gleichungen (9) bis (16) numerisch bestimmt hat. Bei der Berechnung dieser Differentialquotienten braucht man für  $\Phi$  nur nach und nach  $\Delta_1, \Theta_1, \Lambda_1, \Sigma_1, \Pi_1, \Omega_1$  zu substituieren;  $b_1, d_1, e_1, f_1, \kappa_1, \lambda_1, \mu_1, \nu_1, \xi_1, \eta_1, \mu_1, \nu_1, \xi_1, \eta_1$  bleiben (aus dem angeführten Grunde) unberücksichtigt, oder die betreffenden Differentialquotienten können = 0 gesetzt werden.

Die Integration selbst wird nun durch die *Bessel'sche* Formel

$$\begin{aligned}\int (\Phi^{(c)} \cos m + F^{(c)} \sin m) \cdot dt = \\ \left( -\frac{F^{(c)}}{\frac{dm}{dt}} + \frac{1}{\left(\frac{dm}{dt}\right)^2} \cdot \frac{d\Phi^{(c)}}{dt} \right) \cos m \\ + \left( \frac{\Phi^{(c)}}{\frac{dm}{dt}} + \frac{1}{\left(\frac{dm}{dt}\right)^2} \cdot \frac{dF^{(c)}}{dt} \right) \sin m\end{aligned}$$

willkürigen, wo  $m$  jedes beliebige auf die Differenzen oder Summen der Vielfachen der mittleren Bewegungen der Planeten sich beziehende Argument, und  $\Phi^{(c)}$  den durch die Gleichungen (13) bis (16) bestimmten zu  $\cos m$  gehörigen Coefficienten,  $F^{(c)}$  aber den zu  $\sin m$  gehörigen Coefficienten bezeichnet. Hieraus ergibt sich, wenn man unter  $c$  jedes der 6 Elemente des Kometen versteht:

$$\begin{aligned}b_1^{(bc)} &= -\frac{1}{\nu'} \cdot d_1 \left( \frac{d\alpha}{dt} \right) \\ d_1^{(bc)} &= \frac{1}{\nu'} \cdot b_1 \left( \frac{d\alpha}{dt} \right) \\ \Delta_1^{(bc)} &= -\frac{1}{2\nu'} \cdot \Theta_1 \left( \frac{d\alpha}{dt} \right) + \frac{1}{4\nu'^2} \cdot \frac{d\Delta_1}{dt} \left( \frac{d\alpha}{dt} \right)\end{aligned}$$

10r Bd.

$$\Theta_1^{(bc)} = \frac{1}{2\nu'} \cdot \Delta_1 \left( \frac{d\alpha}{dt} \right) + \frac{1}{4\nu'^2} \cdot \frac{d\Theta_1}{dt} \left( \frac{d\alpha}{dt} \right)$$

$$\eta_1^{(bc)} = -\frac{1}{3\nu'} \cdot f_1 \left( \frac{d\alpha}{dt} \right)$$

$$f_1^{(bc)} = \frac{1}{3\nu'} \cdot e_1 \left( \frac{d\alpha}{dt} \right)$$

$$\kappa_1^{(bc)} = -\frac{1}{\nu'} \cdot \lambda_1 \left( \frac{d\alpha}{dt} \right)$$

$$\lambda_1^{(bc)} = \frac{1}{\nu'} \cdot \kappa_1 \left( \frac{d\alpha}{dt} \right)$$

....(19)

$$\Lambda_1^{(bc)} = -\frac{1}{\nu' - \nu''} \cdot \Pi_1' \left( \frac{d\alpha}{dt} \right) + \frac{1}{(\nu' - \nu'')^2} \cdot \frac{d\Lambda_1}{dt} \left( \frac{d\alpha}{dt} \right)$$

$$\Sigma_1^{(bc)} = -\frac{1}{\nu' + \nu''} \cdot \Omega_1' \left( \frac{d\alpha}{dt} \right) + \frac{1}{(\nu' + \nu'')^2} \cdot \frac{d\Sigma_1}{dt} \left( \frac{d\alpha}{dt} \right)$$

$$\Pi_1^{(bc)} = \frac{1}{\nu' - \nu''} \cdot \Lambda_1' \left( \frac{d\alpha}{dt} \right) + \frac{1}{(\nu' - \nu'')^2} \cdot \frac{d\Pi_1}{dt} \left( \frac{d\alpha}{dt} \right)$$

$$\Omega_1^{(bc)} = \frac{1}{\nu' + \nu''} \cdot \Sigma_1' \left( \frac{d\alpha}{dt} \right) + \frac{1}{(\nu' + \nu'')^2} \cdot \frac{d\Omega_1}{dt} \left( \frac{d\alpha}{dt} \right)$$

$$\mu_1^{(bc)} = -\frac{1}{2\nu' - \nu''} \cdot \xi_1' \left( \frac{d\alpha}{dt} \right)$$

$$\nu_1^{(bc)} = -\frac{1}{2\nu' + \nu''} \cdot \eta_1' \left( \frac{d\alpha}{dt} \right)$$

$$\xi_1^{(bc)} = \frac{1}{2\nu' - \nu''} \cdot \mu_1' \left( \frac{d\alpha}{dt} \right)$$

$$\eta_1^{(bc)} = \frac{1}{2\nu' + \nu''} \cdot \nu_1' \left( \frac{d\alpha}{dt} \right)$$

wobei zu bemerken, daß für  $\nu'$  und  $\nu''$  die mittleren anomalistischen Bewegungen der betreffenden Planeten zu setzen sind. Diese mittleren Bewegungen findet man durch die Formel:

$$\nu' = L_p + G_p - P_p - F_p$$

wo  $L_p$  die mittlere tropische Bewegung in der Länge,  $G$  aber die Geschwindigkeit bezeichnet, womit die große Ungleichheit sich ändert, wo ferner  $P_p$  die gleichförmige tropische Bewegung des Periheliums, und  $F_p$  die Geschwindigkeit bedeutet, womit die ungleichförmige Secular-variation des Periheliums sich ändert. Man findet  $G_p$  am einfachsten vermittelst der in Tafel IX der *Bowward'schen* Jupiterstafeln und in Tafel XI der Saturns- und Uranustafeln ausgesetzten ersten und zweiten Differenzen, und  $F_p$  vermittelst der in Tafel III der Jupiter- und Saturnstafeln ausgesetzten Differenzen, wenn man die *Bezeichnenden* Formeln Spalte 9 der Abhandlung Nr. 313 der *Astron. Nachr.* zu Hülfe nimmt.



19.

Auch die Integration der von der Stellung der Planeten unabhängigen Glieder hat keine Schwierigkeit. Diese sind theils durch  $r^3$ , theils durch  $r^4$ , theils durch  $r^2$  dividirt. Bezeichnen wir demnach ein solches Glied mit  $\frac{\Psi}{r^m}$ , wo  $\Psi$  kein  $r$  enthält, so finden wir:

$$\begin{aligned} \frac{\Psi}{r^m} dt &= \frac{\Psi(1 + e \cos \varphi)^{m-2}}{h^{m-3}} d\varphi \\ -\frac{h^3}{\sin i^2} \cdot \Gamma_{(20)} &= e \cos(2w, +\varphi) + \cos(2w, +2\varphi) + \frac{e}{3} \cos(2w, +3\varphi); \\ \frac{h^4}{\sin i^2 \cos i} \cdot \Gamma_{(20)} &= e \cos(w + w, +\varphi) + \cos(w + w, +2\varphi) + \frac{e}{3} \cos(w + w, +3\varphi) + 2 \sin N' \cdot (\varphi + e \sin \varphi); \\ \frac{h^4 \sin i}{\sin i^2 \cos i} \cdot \Gamma_{(20)} &= e \sin(w + w, +\varphi) + \sin(w + w, +2\varphi) + \frac{e}{3} \sin(w + w, +3\varphi) - 2 \cos N' \cdot (\varphi + e \sin \varphi); \\ (20) \dots \left\{ \begin{aligned} \frac{h^5}{3 \cos i} \Gamma_{(20)} &= e(2 - 3 \sin i^2) \left( \left(1 + \frac{ee}{4}\right) \cos \varphi + \frac{e}{2} (\cos 2\varphi + \frac{e}{6} \cos 3\varphi) \right) \\ &+ \sin i^2 \cdot \left( \frac{e}{8} (\cos(2w, -\varphi) + \cos(2w, +5\varphi)) + \frac{3e}{2} \left(1 + \frac{ee}{4}\right) (\cos(2w, +\varphi) + \cos(2w, +3\varphi)) \right. \\ &\left. + \left(1 + \frac{3ee}{2}\right) \cos(2w, +2\varphi) + \frac{3ee}{4} \cos(2w, +4\varphi) \right) \\ \left[ \frac{h^4}{4} \Gamma_{(20)} - \sin i \lg 1 \Gamma_{(20)} \right] &= (2 - 3 \sin i^2) \left( \left(1 + \frac{3ee}{4}\right) \sin \varphi + \frac{e}{2} (2\varphi + \sin 2\varphi + \frac{e}{6} \sin 3\varphi) \right) \\ &+ \sin i^2 \cdot \left( \frac{ee}{8} (\sin(2w, +5\varphi) - \sin(2w, -\varphi)) - \left(1 - \frac{7ee}{8}\right) \sin(2w, +\varphi) + \left(1 + \frac{11ee}{24}\right) \sin(2w, +3\varphi) \right. \\ &\left. + \frac{3e}{4} (\sin(2w, +2\varphi) + \sin(2w, +4\varphi)) \right); \end{aligned} \right. \\ \frac{h^3 e}{\cos i} \cdot \Gamma_{(20)} &= (2 - 3 \sin i^2) \left( \left(1 - \frac{5ee}{4}\right) \sin \varphi - \frac{e}{2} (2\varphi - \sin 2\varphi - \frac{e}{6} \sin 3\varphi) \right) \\ (21) \dots \left\{ \begin{aligned} &+ \sin i^2 \left( -\frac{3e\varphi \cos 2w}{4} + \frac{ee}{8} (\sin(2w, +5\varphi) - \sin(2w, -\varphi)) - \left(2 + \frac{11ee}{8}\right) \sin(2w, +\varphi) \right. \\ &\left. + \frac{1}{2} \left(1 - \frac{ee}{4}\right) \sin(2w, +3\varphi) - \frac{3e}{4} (\sin(2w, +2\varphi) - \sin(2w, +4\varphi)) \right). \end{aligned} \right. \end{aligned}$$

20.

Die in den beiden vorigen Paragraphen entwickelten Integrale sind, ohne Rücksicht auf eine hinzuzufügende Constante, für den Anfang und das Ende desjenigen Zeitraums numerisch zu berechnen, für welchen man die von den Quadraten und Producten der störenden Massen abhängigen endlichen Aenderungen der Kometen-Elemente bestimmen will; alsdann ist das Integral für den Anfang  $r$  dieses Zeitraums von dem Integral für das Ende  $v$  desselben Zeitraums zu subtrahiren, und die Integration ist vollendet. Es fehlt jedoch noch bei  $\delta H$  der von dem vernachlässigten Gliede  $\delta v$  des Ausdrucks für  $\frac{dH}{dt}$  herrührende Theil, d. h. es fehlt das von  $t = r$  bis  $t = v$  zu erstreckende  $\delta v \cdot dt$ . Hier ist das innerhalb des Integral-Zeichens enthaltene  $\delta v$  von dem Augenblick  $r$  bis zu einem

Da hier  $m-2$  positiv, so ist der Zähler eine ganze rationale Function von  $\sin \varphi$ , von  $\cos \varphi$  und von Constanten, und läßt sich daher durch Entwicklung nach den Sinussen und Cosinussen der Vielfachen von  $\varphi$  zur Integration vorbereiten, welche sich dann ohne Umstände vollziehen läßt. Auf diese Art finden wir, indem wir zur Integration von  $\Gamma_{(20)} \cdot dt$  und  $\Gamma_{(21)} \cdot dt$  die Gleichungen (17) und (18) zum Grunde legen:

beliebigen (veränderlichen) Augenblick  $t$  zu erstrecken; dies soll durch

$$\delta v = \delta^{(v)} v - \delta^{(r)} v$$

ausgedrückt werden, wo  $\delta^{(v)}$  eine Variable, und  $\delta^{(r)}$  eine Constante ist. Wir können hiernach schreiben:

$$\int \delta v \cdot dt = \int \delta^{(v)} v \cdot dt - \delta^{(r)} v (v - r)$$

wo das letztere Integralzeichen gleichfalls von  $t = r$  bis  $t = v$  zu erstrecken ist. Wir finden aber nach der §. 15 angeführten Bessel'schen Formel:

$$\begin{aligned} b_{(j^{(v)})} \cdot \delta^{(v)} &= -\frac{1}{v'} \cdot d_{(j^{(v)})} = -\frac{1}{v'} \cdot b_{(j^{(v)})} \left( \frac{dv}{dt} \right) \\ d_{(j^{(v)})} \cdot \delta^{(v)} &= -\frac{1}{v'} \cdot d_{(j^{(v)})} \left( \frac{dv}{dt} \right) \end{aligned}$$

$$\begin{aligned}\Delta_1^{(k^{(1)})} \cdot d\tau &= -\frac{1}{2\nu'} \Theta_1^{(k^{(1)})} + \frac{1}{4\nu'^2} \cdot \frac{d\Delta_1^{(k^{(1)})}}{dt} \\ &= -\frac{1}{4\nu'^2} \Delta_1^{(k^{(1)})} - \frac{1}{4\nu'^2} \cdot \frac{d\Theta_1^{(k^{(1)})}}{dt} \\ &= -\frac{1}{4\nu'^2} \Delta_1^{(k^{(1)})} + \frac{s \sin \phi}{r h \nu'^2} \cdot \Theta_1^{(k^{(1)})}\end{aligned}$$

$$\Theta_1^{(k^{(1)})} \cdot d\tau = -\frac{1}{4\nu'^2} \cdot \Theta_1^{(k^{(1)})} - \frac{s \sin \phi}{r h \nu'^2} \cdot \Delta_1^{(k^{(1)})}$$

$$s_1^{(k^{(1)})} \cdot d\tau = -\frac{1}{9\nu'^2} \cdot s_1^{(k^{(1)})}$$

$$f_1^{(k^{(1)})} \cdot d\tau = -\frac{1}{9\nu'^2} \cdot f_1^{(k^{(1)})}$$

$$n_1^{(k^{(1)})} \cdot d\tau = -\frac{1}{\nu'^2} \cdot n_1^{(k^{(1)})}$$

$$\lambda_1^{(k^{(1)})} \cdot d\tau = -\frac{1}{\nu'^2} \cdot \lambda_1^{(k^{(1)})}$$

$$\Lambda_1^{(k^{(1)})} \cdot d\tau = -\frac{1}{(\nu' - \nu'')^2} \cdot \Lambda_1^{(k^{(1)})} + \frac{8s \sin \phi}{r h (\nu' - \nu'')^2} \Pi_1^{(k^{(1)})}$$

$$\Xi_1^{(k^{(1)})} \cdot d\tau = -\frac{1}{(\nu' + \nu'')^2} \cdot \Xi_1^{(k^{(1)})} + \frac{8s \sin \phi}{r h (\nu' + \nu'')^2} \Omega_1^{(k^{(1)})}$$

$$\Pi_1^{(k^{(1)})} \cdot d\tau = -\frac{1}{(\nu' - \nu'')^2} \cdot \Pi_1^{(k^{(1)})} - \frac{8s \sin \phi}{r h (\nu' - \nu'')^2} \cdot \Lambda_1^{(k^{(1)})}$$

$$\Omega_1^{(k^{(1)})} \cdot d\tau = -\frac{1}{(\nu' + \nu'')^2} \cdot \Omega_1^{(k^{(1)})} - \frac{8s \sin \phi}{r h (\nu' + \nu'')^2} \cdot \Xi_1^{(k^{(1)})}$$

$$\mu_1^{(k^{(1)})} \cdot d\tau = -\frac{1}{(2\nu' - \nu'')^2} \cdot \mu_1^{(k^{(1)})}$$

$$\nu_1^{(k^{(1)})} \cdot d\tau = -\frac{1}{(2\nu' + \nu'')^2} \cdot \nu_1^{(k^{(1)})}$$

$$\frac{1}{h} \frac{h}{h} \int \left( \left( \frac{h}{r s} \right)^{m-1} - (m-1) \cdot \left( \frac{h}{r s} \right)^{m-2} \cdot \frac{1}{s} + \frac{(m-1)(m-2)}{1 \cdot 2} \cdot \left( \frac{h}{r s} \right)^{m-3} \cdot \left( \frac{1}{s} \right)^2 - \dots \left( \frac{1}{s} \right)^{m-1} \right) \cdot d\tau$$

schreiben kann. Aber auch  $\frac{\cos \phi^m d\phi}{(1+s \cos \phi)^2}$  ist eben so integrabel. Denn wenn erstens  $m=0$  gesetzt wird, so findet sich:

$$\int \frac{d\phi}{(1+s \cos \phi)^2} = \frac{1}{h^2} \int \frac{r^2}{h} d\phi = \frac{1}{h^2} \int dt = \frac{t-T}{h^2}$$

Ferner hat man, wenn  $m=1$  gesetzt wird:

$$\int \frac{\cos \phi d\phi}{(1+s \cos \phi)^2} = \frac{1}{s} \left( \int \frac{(1+s \cos \phi) d\phi}{(1+s \cos \phi)^2} - \int \frac{d\phi}{(1+s \cos \phi)^2} \right) = \frac{1}{s} \left( \int \frac{d\phi}{1+s \cos \phi} - \frac{t-T}{h^2} \right) = \frac{1}{s} \left( \frac{\sqrt{1-s^2}}{h} - \frac{t-T}{h^2} \right)$$

Kann man aber  $\frac{\cos \phi^m d\phi}{(1+s \cos \phi)^2}$  für die Werte  $m=0, 1, 2, 3, \dots$  bis zu einer gewissen Grenze integrieren, so findet man für das um 1 größere  $m$  das Integral folgendergestalt:

$$\int \frac{\cos \phi^m d\phi}{(1+s \cos \phi)^2} = \frac{1}{s^m} \left( \int \frac{(1+s \cos \phi)^m d\phi}{(1+s \cos \phi)^2} - \int \frac{1+m s \cos \phi + \frac{m(m-1)}{1 \cdot 2} s^2 \cos^2 \phi + \dots + m s^{m-1} \cos \phi^{m-1}}{(1+s \cos \phi)^2} d\phi \right)$$

9

$$\Xi^{(k^{(1)})} \cdot d\tau = -\frac{1}{(2\nu' - \nu'')^2} \cdot \Xi^{(k^{(1)})}$$

$$\Theta^{(k^{(1)})} \cdot d\tau = -\frac{1}{(2\nu' + \nu'')^2} \cdot \Theta^{(k^{(1)})}$$

Noch ist der durch die Gleichung (20) dargestellte Ausdruck von  $\Gamma^{(k^{(1)})}$  mit  $dt$ , d. i. mit

$$\frac{h^2}{(1+s \cos \phi)^2} \cdot d\phi$$

zu multiplizieren und dann zu integrieren, um  $\Gamma^{(k^{(1)})} \cdot d\tau$  zu finden. Wir bereiten die einzelnen Glieder von  $\Gamma^{(k^{(1)})}$  zur Integration vor, dadurch daß wir den Winkel  $\phi$  und seine Vielfachen von  $2\pi$  abändern; das geschieht vermittelst der bekannten Formeln für den Cosinus der Summe und Differenz zweier Winkel; hier wird nämlich

$$\cos(2\pi - \phi) = \cos 2\pi \cos \phi + \sin 2\pi \sin \phi$$

$$\cos(2\pi + 5\phi) = \cos 2\pi \cos 5\phi - \sin 2\pi \sin 5\phi$$

u. s. w. Dadurch wird die in Rede stehende Integration auf die Ermittlung der Integrale  $\int \frac{\cos m\phi d\phi}{(1+s \cos \phi)^2}$  und  $\int \frac{\sin m\phi d\phi}{(1+s \cos \phi)^2}$  zurückgeführt, wo für  $m$  nach und nach 1, 2, 3, 4, 5 zu substituieren ist. Da man sowohl  $\cos m\phi$  als  $\frac{\sin m\phi}{\sin \phi}$  sich auf lauter Potenzen von  $\cos \phi$  mit ganzen positiven Exponenten zurückführen läßt, z. B.

$$\cos 2\phi = 2 \cos^2 \phi - 1 \quad \sin 2\phi = 2 \sin \phi \cos \phi$$

$$\cos 3\phi = 4 \cos^3 \phi - 3 \cos \phi \quad \sin 3\phi = \sin \phi (4 \cos^2 \phi - 1)$$

u. s. w., so hängt unsere auszuführende Integration von der Ermittlung von  $\int \frac{\cos \phi^m d\phi}{(1+s \cos \phi)^2}$  und  $\int \frac{\sin \phi \cos \phi^{m-1} d\phi}{(1+s \cos \phi)^2}$  ab, für welches letztere Integral man auch  $-\frac{1}{m} \int \frac{d(\cos \phi^m)}{(1+s \cos \phi)^2}$  d. i.

$$\text{also } e^{\frac{\cos \varphi^m d\varphi}{(1+e \cos \varphi)^2}} = \int (1+e \cos \varphi)^{m-2} d\varphi - \int \frac{d\varphi}{(1+e \cos \varphi)^2} - m e \int \frac{\cos \varphi d\varphi}{(1+e \cos \varphi)^2} - \frac{m(m-1)}{1.2} e^2 \int \frac{\cos^2 \varphi d\varphi}{(1+e \cos \varphi)^2} - \dots - m(m-1) \int \frac{\cos^{m-1} \varphi d\varphi}{(1+e \cos \varphi)^2}$$

Diese Integration ist leicht ausführbar, weil, wenn  $m = 0$  oder  $> 2$  ist,  $m-2 = 0$  oder positiv wird, und folglich  $(1+e \cos \varphi)^{m-2}$  sich nach den Cosinussen der Vielfachen von  $\varphi$  entwickeln lässt. Durch alle diese Hülfsmittel finden wir:

$$e^0 \int \frac{\cos^0 \varphi d\varphi}{(1+e \cos \varphi)^2} = \varphi - \frac{2e\sqrt{a}}{h} + \frac{e-T}{h^2}$$

$$e^1 \int \frac{\cos^1 \varphi d\varphi}{(1+e \cos \varphi)^2} = -2\varphi + e \sin \varphi + \frac{3e\sqrt{a}}{h} - \frac{e-T}{h^2}$$

$$e^2 \int \frac{\cos^2 \varphi d\varphi}{(1+e \cos \varphi)^2} = \left(3 + \frac{e^2}{2}\right) \varphi - 2e \sin \varphi + \frac{e^2}{4} \sin 2\varphi - \frac{4e\sqrt{a}}{h} + \frac{e-T}{h^2}$$

$$e^3 \int \frac{\cos^3 \varphi d\varphi}{(1+e \cos \varphi)^2} = -(4+e^2) \varphi + 3e \left(1 + \frac{e^2}{4}\right) \sin \varphi - \frac{e^2}{2} \sin 2\varphi + \frac{e^3}{12} \sin 3\varphi + \frac{5e\sqrt{a}}{h} - \frac{e-T}{h^2}$$

$$e^4 \int \frac{\sin \varphi d\varphi}{(1+e \cos \varphi)^2} = \frac{r}{hh}$$

$$e^5 \int \frac{\sin \varphi \cos \varphi d\varphi}{(1+e \cos \varphi)^2} = \log r - \frac{r}{hh}$$

$$e^6 \int \frac{\sin \varphi \cos^2 \varphi d\varphi}{(1+e \cos \varphi)^2} = -1 - e \cos \varphi - 2 \log r + \frac{r}{hh}, \text{ ohne Rücksicht auf die Constante} = -e \cos \varphi - 2 \log r + \frac{r}{hh}$$

$$e^7 \int \frac{\sin \varphi \cos^3 \varphi d\varphi}{(1+e \cos \varphi)^2} = 2e \cos \varphi - \frac{e^2}{4} \cos 2\varphi + 3 \log r - \frac{r}{hh}$$

$$e^8 \int \frac{\sin \varphi \cos^4 \varphi d\varphi}{(1+e \cos \varphi)^2} = -e \left(3 + \frac{e^2}{4}\right) \cos \varphi + \frac{e^2}{2} (\cos 2\varphi - \frac{e}{6} \cos 3\varphi) - 4 \log r + \frac{r}{hh}$$

$$e^9 \int \frac{\cos 2\varphi d\varphi}{(1+e \cos \varphi)^2} = 2\varphi - \frac{4e\sqrt{a}}{h} + (2-e^2) \cdot \frac{e-T}{h^2}$$

$$e^{10} \int \frac{\cos 3\varphi d\varphi}{(1+e \cos \varphi)^2} = -8\varphi + 4e \sin \varphi + 3(4-e^2) \cdot \frac{e\sqrt{a}}{h} - (4-3e^2) \cdot \frac{e-T}{h^2}$$

$$e^{11} \int \frac{\cos 4\varphi d\varphi}{(1+e \cos \varphi)^2} = 4(6-e^2) \varphi - 16e \sin \varphi + 2e^2 \sin 2\varphi - 16(2-e^2) \cdot \frac{e\sqrt{a}}{h} + (8-8e^2+e^4) \cdot \frac{e-T}{h^2}$$

$$e^{12} \int \frac{\cos 5\varphi d\varphi}{(1+e \cos \varphi)^2} = -8(8-3e^2) \varphi + 8e(6-e^2) \sin \varphi - 8e^2 \sin 2\varphi + \frac{4e^3}{3} \sin 3\varphi + 5(16-12e^2+e^4) \cdot \frac{e\sqrt{a}}{h}$$

$$- (16-20e^2+5e^4) \cdot \frac{e-T}{h^2}$$

$$e^{13} \int \frac{\sin 2\varphi d\varphi}{(1+e \cos \varphi)^2} = 2 \log r - 2 \cdot \frac{r}{hh}$$

$$e^{14} \int \frac{\sin 3\varphi d\varphi}{(1+e \cos \varphi)^2} = -4e \cos \varphi - 8 \log r + (4-e^2) \cdot \frac{r}{hh}$$

$$e^{15} \int \frac{\sin 4\varphi d\varphi}{(1+e \cos \varphi)^2} = 16e \cos \varphi - 2e^2 \cos 2\varphi + 4(6-e^2) \log r - 4(2-e^2) \cdot \frac{r}{hh}$$

$$e^{16} \int \frac{\sin 5\varphi d\varphi}{(1+e \cos \varphi)^2} = -8e(6-e^2) \cos \varphi + 4e^2 (2 \cos 2\varphi - \frac{e}{3} \cos 3\varphi) - 8(8-3e^2) \log r + (16-12e^2+e^4) \cdot \frac{r}{hh}$$

$$\frac{h^3}{a^2} \int \frac{U^{(1)}(x, dt)}{dx} = e(2-3 \sin^2 i^2) (\varphi + e \sin \varphi) + \sin i^2 \left( \frac{3ee}{2} \sin(2\omega + \varphi) + \frac{3e}{2} \sin(2\omega + 2\varphi) + \frac{3ee}{2} \sin(2\omega + 3\varphi) \right) - e \left( 2 + 3e^2 - 3 \left( 1 + \frac{3ee}{2} (1 + \sin \omega^2) \right) \sin i^2 \right) \cdot \frac{e-T}{h^2}$$

Es ist daher rathsam, in den Gleichungen (19) für  $e$  nur nach und nach  $h$ ,  $i$ ,  $n$ ,  $\nu$ ,  $\varpi$  zu substituieren, und  $dM$  durch folgende Formeln zu bestimmen, welche man durch Vereinigung des durch die Gleichungen (16), (19) und (21) ausgedrückten Theils

von  $dM$  mit  $\int d^{(1)} \nu \cdot ds$  erhält, und worin

$$S = \frac{3ee - hh \cos \varphi}{ra}$$

gesetzt ist:

$$\frac{1}{2} \Gamma_{\tau}^{(2M)} = (2 - 3 \sin i^2) \left( \left( 1 - \frac{e}{4} \right) \sin \Phi + \frac{e}{2} (\sin 2\Phi + \frac{e}{6} \sin 3\Phi) \right) - e \left( 2 + 3e^2 - 3 \left( 1 + \frac{3ec}{2} (1 + \sin i^2) \right) \sin i^2 \right) \cdot \frac{t-T}{h^3} \left\{ \begin{aligned} &+ \sin i^2 \cdot \left( \frac{ee}{8} (\sin (2w + 5\Phi) - \sin (2w - \Phi)) - (2 - \frac{ee}{8}) \sin (2w + \Phi) + \left( \frac{1}{8} + \frac{5ee}{8} \right) \sin (2w + 3\Phi) \right) \\ &- \frac{3e}{4} (\sin (2w + 2\Phi) - 4 \sin (2w + 4\Phi) + \Phi \cos 2w) \end{aligned} \right\} \quad (22)$$

$$b_{\tau}^{(2M)} = \frac{h}{eev'} \left( h\nu \cos \Phi \cdot d_{\tau} \left( \frac{dh}{dt} \right) - G \cdot d_{\tau} \left( \frac{dv}{dt} \right) \right) - \frac{1}{v'v'} \cdot b_{\tau} \left( \frac{dv}{dt} \right)$$

$$\dot{b}_{\tau}^{(2M)} = -\frac{h}{eev'} \left( h\nu \cos \Phi \cdot \dot{b}_{\tau} \left( \frac{dh}{dt} \right) - G \cdot \dot{b}_{\tau} \left( \frac{dv}{dt} \right) \right) - \frac{1}{v'v'} \cdot \dot{b}_{\tau} \left( \frac{dv}{dt} \right)$$

$$\Delta_{\tau}^{(2M)} = \frac{h\nu \cos \Phi}{2ev'} \left( \frac{h}{e \sin \Phi} \Theta_{\tau} \left( \frac{dh}{dt} \right) + \frac{3}{2v'} \Delta_{\tau} \left( \frac{dh}{dt} \right) \right) - \left( \frac{Gh}{2eev'} - \frac{e \sin \Phi}{rhv'^3} \right) \Theta_{\tau} \left( \frac{dv}{dt} \right) - \frac{S}{4v'v'} \Delta_{\tau} \left( \frac{dv}{dt} \right)$$

$$\Theta_{\tau}^{(2M)} = \frac{h\nu \cos \Phi}{2ev'} \left( -\frac{h}{e \sin \Phi} \Delta_{\tau} \left( \frac{dh}{dt} \right) + \frac{3}{2v'} \Theta_{\tau} \left( \frac{dh}{dt} \right) \right) + \left( \frac{Gh}{2eev'} - \frac{e \sin \Phi}{rhv'^3} \right) \Delta_{\tau} \left( \frac{dv}{dt} \right) - \frac{S}{4v'v'} \Theta_{\tau} \left( \frac{dv}{dt} \right)$$

$$e_{\tau}^{(2M)} = \frac{h}{3eev'} \left( h\nu \cos \Phi \cdot f_{\tau} \left( \frac{dh}{dt} \right) - G \cdot f_{\tau} \left( \frac{dv}{dt} \right) \right) - \frac{1}{9v'v'} \cdot e_{\tau} \left( \frac{dv}{dt} \right)$$

$$f_{\tau}^{(2M)} = -\frac{h}{3eev'} \left( h\nu \cos \Phi \cdot e_{\tau} \left( \frac{dh}{dt} \right) - G \cdot e_{\tau} \left( \frac{dv}{dt} \right) \right) - \frac{1}{9v'v'} \cdot f_{\tau} \left( \frac{dv}{dt} \right)$$

$$x_{\tau}^{(2M)} = \frac{h}{eev'} \left( h\nu \cos \Phi \cdot \lambda_{\tau} \left( \frac{dh}{dt} \right) - G \cdot \lambda_{\tau} \left( \frac{dv}{dt} \right) \right) - \frac{1}{v'v'} \cdot x_{\tau} \left( \frac{dv}{dt} \right)$$

$$\lambda_{\tau}^{(2M)} = -\frac{h}{eev'} \left( h\nu \cos \Phi \cdot x_{\tau} \left( \frac{dh}{dt} \right) - G \cdot x_{\tau} \left( \frac{dv}{dt} \right) \right) - \frac{1}{v'v'} \cdot \lambda_{\tau} \left( \frac{dv}{dt} \right)$$

$$\Lambda_{\tau}^{(2M)} = \frac{h\nu \cos \Phi}{e(v'-v^2)} \left( \frac{h}{e \sin \Phi} \Pi_{\tau} \left( \frac{dh}{dt} \right) + \frac{3}{r(v'-v^2)} \Lambda_{\tau} \left( \frac{dh}{dt} \right) \right) - \left( \frac{Gh}{ee(v'-v^2)} - \frac{8e \sin \Phi}{rh(v'-v^2)^3} \right) \Pi_{\tau} \left( \frac{dv}{dt} \right) - \frac{S}{(v'-v^2)^3} \Lambda_{\tau} \left( \frac{dv}{dt} \right)$$

$$\Xi_{\tau}^{(2M)} = \frac{h\nu \cos \Phi}{e(v'+v^2)} \left( \frac{h}{e \sin \Phi} \Omega_{\tau} \left( \frac{dh}{dt} \right) + \frac{3}{r(v'+v^2)} \Xi_{\tau} \left( \frac{dh}{dt} \right) \right) - \left( \frac{Gh}{ee(v'+v^2)} - \frac{8e \sin \Phi}{rh(v'+v^2)^3} \right) \Omega_{\tau} \left( \frac{dv}{dt} \right) - \frac{S}{(v'+v^2)^3} \Xi_{\tau} \left( \frac{dv}{dt} \right)$$

$$\Pi_{\tau}^{(2M)} = \frac{h\nu \cos \Phi}{e(v'-v^2)} \left( -\frac{h}{e \sin \Phi} \Lambda_{\tau} \left( \frac{dh}{dt} \right) + \frac{3}{r(v'-v^2)} \Pi_{\tau} \left( \frac{dh}{dt} \right) \right) + \left( \frac{Gh}{ee(v'-v^2)} - \frac{8e \sin \Phi}{rh(v'-v^2)^3} \right) \Lambda_{\tau} \left( \frac{dv}{dt} \right) - \frac{S}{(v'-v^2)^3} \Pi_{\tau} \left( \frac{dv}{dt} \right)$$

$$\Omega_{\tau}^{(2M)} = \frac{h\nu \cos \Phi}{e(v'+v^2)} \left( -\frac{h}{e \sin \Phi} \Xi_{\tau} \left( \frac{dh}{dt} \right) + \frac{3}{r(v'+v^2)} \Omega_{\tau} \left( \frac{dh}{dt} \right) \right) + \left( \frac{Gh}{ee(v'+v^2)} - \frac{8e \sin \Phi}{rh(v'+v^2)^3} \right) \Xi_{\tau} \left( \frac{dv}{dt} \right) - \frac{S}{(v'+v^2)^3} \Omega_{\tau} \left( \frac{dv}{dt} \right)$$

$$\mu_{\tau}^{(2M)} = \frac{h}{ee(2v'-v^2)} \left( h\nu \cos \Phi \cdot \xi_{\tau} \left( \frac{dh}{dt} \right) - G \cdot \xi_{\tau} \left( \frac{dv}{dt} \right) \right) - \frac{1}{(2v'-v^2)^3} \cdot \mu_{\tau} \left( \frac{dv}{dt} \right)$$

$$\nu_{\tau}^{(2M)} = \frac{h}{ee(2v'+v^2)} \left( h\nu \cos \Phi \cdot \eta_{\tau} \left( \frac{dh}{dt} \right) - G \cdot \eta_{\tau} \left( \frac{dv}{dt} \right) \right) - \frac{1}{(2v'+v^2)^3} \cdot \nu_{\tau} \left( \frac{dv}{dt} \right)$$

$$\xi_{\tau}^{(2M)} = -\frac{h}{ee(2v'-v^2)} \left( h\nu \cos \Phi \cdot \mu_{\tau} \left( \frac{dh}{dt} \right) - G \cdot \mu_{\tau} \left( \frac{dv}{dt} \right) \right) - \frac{1}{(2v'-v^2)^3} \cdot \xi_{\tau} \left( \frac{dv}{dt} \right)$$

$$\eta_{\tau}^{(2M)} = -\frac{h}{ee(2v'+v^2)} \left( h\nu \cos \Phi \cdot \nu_{\tau} \left( \frac{dh}{dt} \right) - G \cdot \nu_{\tau} \left( \frac{dv}{dt} \right) \right) - \frac{1}{(2v'+v^2)^3} \cdot \eta_{\tau} \left( \frac{dv}{dt} \right)$$

und  $d\mathcal{M}$  auf diese Art bestimmt, so ist das anzuhängende Glied nicht mehr  $\beta v \cdot dt$ , sondern

$$-d^{(v)}_{\tau} \cdot (v - \tau)$$

Das Glied ist nachher hinzuzufügen, nachdem man den Anfang des Integrals vom Ende desselben subtrahirt hat.

21.

Will man  $\frac{1}{2a}$  als Element statt  $v$  einführen, so läßt sich das geschlossene Integral der von den Quadraten und Producten der störenden Massen abhängenden differentiellen Aenderung durch folgende Formeln berechnen:

$$\Phi\left(\frac{1}{2a}\right) = \frac{1}{3av} \Phi\left(\frac{dv}{dt}\right) \dots (\text{identisch mit den Gleichungen (14)})$$

$$\frac{d\Phi\left(\frac{1}{2a}\right)}{dt} = -\frac{4e \sin \varphi}{rh} \Phi\left(\frac{1}{2a}\right)$$

$$\lambda^2 \Gamma_1\left(\frac{1}{2a}\right) = \frac{\lambda^2}{3av} \Gamma_1\left(\frac{dv}{dt}\right) \dots (\text{identisch mit der Gleichung (20)})$$

dann lässt sich in den Gleichungen (19) für  $c$  auch  $\frac{1}{2a}$  substituieren.

Will man  $a$  statt  $v$  einführen, so rechnet man nach folgenden Formeln:

$$\Phi\left(\frac{da}{dt}\right) = -\frac{2a}{3v} \Phi\left(\frac{dv}{dt}\right) \dots (\text{die rechten Seiten der Gleichungen (14) werden mit } -2a^2 \text{ multipliziert})$$

$$\frac{d\Phi\left(\frac{da}{dt}\right)}{dt} = -\frac{4e \sin \varphi}{rh} \Phi\left(\frac{da}{dt}\right)$$

$$-h^2 e \Gamma_1^{(2v)} = e(2 - 3 \sin^2 \varphi) \left( \left(1 + \frac{e^2}{4}\right) \cos \varphi + \frac{e}{2} (\cos 2\varphi + \frac{e}{2} \cos 3\varphi) \right) \\ + \sin^2 \varphi \cdot \left[ \frac{e^3}{8} (\cos(2m - \varphi) + \cos(2m + 5\varphi)) + \frac{e}{2} \left(1 + \frac{11e}{4}\right) \cos(2m + \varphi) + \frac{e}{6} \left(7 + \frac{17e}{4}\right) \cos(2m + 3\varphi) \right. \\ \left. + \frac{e^2}{2} (5 \cos(2m + 2\varphi) + 3 \cos(2m + 4\varphi)) \right];$$

dann lässt sich in den Gleichungen (19) für  $c$  auch  $a$  substituieren.

Will man endlich  $T$  statt  $M$  einführen, so folgt aus der Besselschen Formel ( $\sigma'$ ) Seite 58 der oben angeführten Schrift über den Kometen von 1807, wenn man

$$U = t - T - \frac{GH}{ee}$$

setzt:

$$\frac{dT}{dt} = \frac{h\lambda}{ee} \cos \varphi \cdot \frac{dh}{dt} + \frac{U}{v} \cdot \frac{dv}{dt}$$

folglich:

$$\Phi\left(\frac{dT}{dt}\right) = \frac{h\lambda}{ee} \cos \varphi \cdot \Phi\left(\frac{dh}{dt}\right) + \frac{U}{v} \cdot \Phi\left(\frac{dv}{dt}\right) \dots (\text{die rechten Seiten der in der linken Columnne von (13) enthaltenen Gleichungen werden, nachdem sie mit } \frac{h\lambda}{ee} \cos \varphi \text{ multipliziert sind, zu den mit } 3aU \text{ multiplizierten rechten Seiten der Gleichungen (14) (23).....addirt})$$

Wird dieser Ausdruck von  $\Phi\left(\frac{dT}{dt}\right)$  in Beziehung auf die Zeit differenziert, so finden wir, mit Weglassung der Glieder, welche bei der hier beabsichtigten Annäherung nicht in Betracht kommen, und indem wir

$$\Gamma_1^{(2a)} = -\frac{2a}{3v} \Gamma_1^{(2v)} \dots (\text{die rechte Seite der Gleichung (26) wird mit } -\frac{2aa}{\lambda^2} \text{ multipliziert})$$

dann lässt sich in den Gleichungen (19) für  $c$  auch  $a$  substituieren.

Will man  $a$  statt  $\lambda$  einführen, so gelten die Formeln:

$$\Phi\left(\frac{da}{dt}\right) = -\frac{h}{av} \Phi\left(\frac{dv}{dt}\right) - \frac{h\lambda}{3av} \Phi\left(\frac{dv}{dt}\right) \dots (\text{die rechten Seiten der in der linken Columnne von (13) enthaltenen Gleichungen werden, nachdem sie mit } -\frac{h}{av} \text{ multipliziert sind, zu den mit } -\frac{h\lambda}{av} \text{ multiplizierten rechten Seiten der Gleichungen (14) addirt})$$

$$\frac{d\Phi\left(\frac{da}{dt}\right)}{dt} = -\frac{3e \sin \varphi}{rh} \Phi\left(\frac{da}{dt}\right);$$

$$W = \frac{4e \sin \varphi}{rh} \cdot U + \frac{h\lambda}{3aee \sin \varphi}$$

setzen:

$$\frac{d\Phi\left(\frac{dT}{dt}\right)}{dt} = -\frac{3h \cos \varphi}{re} \Phi\left(\frac{dh}{dt}\right) - \frac{W}{v} \cdot \Phi\left(\frac{dv}{dt}\right) \dots (\text{die rechten Seiten der in der linken Columnne von (13) enthaltenen Gleichungen werden, nachdem sie mit } -\frac{3h \cos \varphi}{re} \text{ multipliziert sind, zu den mit } -2aW \text{ multiplizierten rechten Seiten der Gleichungen (14) addirt})$$

Um nun  $\Gamma_1^{(2T)}$  zu finden, müssen wir die in (23) mit enthaltene Gleichung

$$-\frac{eev}{h} \cdot \Gamma_1^{(2v)} = -\frac{ee}{h} \cdot U \cdot \Gamma_1^{(2v)} - h\lambda \cos \varphi \cdot \Gamma_1^{(2v)} \dots (24)$$

\*) Obgleich das Glied  $\frac{4e \sin \varphi}{rh} \cdot U$  des Ausdrucks von  $W$  in

Ausdruck von  $\Phi\left(\frac{dT}{dt}\right)$  ein durch  $r^2$  dividirtes Glied giebt, so darf es doch nicht vernachlässigt werden, weil  $\lambda$  in größeren Entfernungen des Kometen von der Sonne denselben bedeutenden Werth erhält.

mit  $dt$  multipliciren und dann integrieren. Das Letztere ist, wenn man von dem in  $U$  enthaltenen  $t-T$  absieht, schon in § 19 geschehen, weil die rechte Seite der Gleichung (24), wenn man  $t-T$  aus  $U$  weglässt, in die rechte Seite der Gleichung (16) übergeht. Wir haben also nur noch  $\int \frac{t-T}{v} \Gamma_1^{(dt)} \cdot dt$

zu finden. Wir erhalten, wenn wir partiell integrieren:

$$\int \frac{t-T}{v} \Gamma_1^{(dt)} \cdot dt = \frac{t-T}{v} \Gamma_1^{(dt)} - \frac{1}{v} \int \Gamma_1^{(dt)} \cdot dt \\ = \frac{t-T}{v} \Gamma_1^{(dt)} - \frac{1}{v} \Gamma_1^{(dt)} \cdot v \cdot dt$$

und so ergibt sich:

$$\Gamma_1^{(dt)} = \frac{t-T}{v} \Gamma_1^{(dt)} - \frac{1}{v} \Gamma_1^{(dt)} \cdot v \cdot dt \dots (\text{die rechte Seite der}$$

Gleichung (22) ist, nachdem man sie mit  $\frac{a}{h^3}$

multiplirt hat, von der mit  $3a \cdot \frac{t-T}{h^3}$  multiplirten Gleichung (20) zu subtrahiren).

Man lässt sich in den Gleichungen (19) für  $e$  auch  $T$  substituiren.

## 22.

Für diejenigen Astronomen, welche bei Störungsrechnungen auf die Anwendung der mittleren Anomalie  $M$  statt des Elements  $T$  ein besonderes Gewicht legen, wollen wir noch die Bessel'schen Näherungsformeln für  $\delta T$  in Nr. 314 und 315 der Astr. Nachr. so umformen suchen, dass sich ein Ausdruck für  $\delta M$  ergibt. Wir wollen die in Nr. 315 gebrauchten Bezeichnungen beibehalten, und nur noch  $v$  (die mittlere Bewegung des Kometen) und  $M$  (die mittlere Anomalie desselben) hinzufügen. Da

$$M = v(t-T)$$

so wird

$$\frac{\delta M}{dt} = (t-T) \cdot \frac{dv}{dt} + v \left( 1 - \frac{dT}{dt} \right)$$

und wenn  $v$  auf der rechten Seite dieser Gleichung aus einem

$$= \frac{m'}{1+m'} \cdot \frac{a' a''}{2 \sin \cos \psi} \left[ p^{(1)} (5 \sin(i n' t - \psi) - \sin(i n' t + \psi)) - q^{(1)} (5 \cos(i n' t - \psi) - \cos(i n' t + \psi)) \right]$$

für  $i$  nach und nach 1, 2, 3 zu setzen ist, ferner die durch  $r^4$  dividirten und von  $a'$  unabhängigen Glieder

$$= \frac{1-m'}{1+m'} \cdot \frac{m'}{1+m'} \cdot \frac{a''^3}{n' r^4} \left[ (5(p^2 + q^2) - 4)(p \sin n' t - q \cos n' t) + \frac{1}{2}((p^2 - 3q^2)p \sin 3n' t - (3p^2 - q^2)q \cos 3n' t) \right]$$

als die von der mittleren Anomalie des störenden Planeten unabhängigen Glieder

$$= \frac{m'}{1+m'} \cdot \frac{a' a''}{8 h^3} \left[ (2 - 3 \sin^2 F) (\varphi + e \sin \varphi) + \frac{1}{2} \sin^2 F (3e \sin(2\omega + \varphi) + 3 \sin(2\omega + 2\varphi) + e \sin(2\omega + 3\varphi)) \right].$$

## 23.

Werden die Störungen rückwärts, d. h. in die Vergangenheit hinein, berechnet, so ist das an  $\frac{\delta M}{dt}$  angehängte  $\delta v$

constanten Theile (der mittleren Bewegung zu Anfang desjenigen Zeitraums, für welchen man die Aenderungen der Elemente bestimmen will) und einem variablen,  $\delta v$  (Aenderung der mittleren Bewegung vom Anfang  $a$  des gedachten Zeitraums an bis zu einer beliebigen Zeit  $t$ ), besteht, so ist das zur Störung gehörige  $\frac{\delta M}{dt} = (t-T) \cdot \frac{dv}{dt} - v \cdot \frac{dT}{dt} + \delta v$ , welches theilweise integrirt,

$$\delta M = (t-T) \delta v - \int \delta v \cdot dt - v \delta T + \int \delta v \cdot dt$$

gibt, wobei aber wohl zu merken, dass auf der rechten Seite dieser Gleichung  $-\int \delta v \cdot dt + \int \delta v \cdot dt$  sich nicht völlig hebt, weil  $\delta v$  innerhalb beider Integralzeichen eine verschiedene Bedeutung hat, indem nämlich  $\delta v$  innerhalb des ersten Integralzeichens dasjenige ausdrückt, was wir oben mit  $\delta'v$  bezeichnet haben, während  $\delta v$  innerhalb des zweiten Integralzeichens vom Augenblick  $a$  bis zum veränderlichen Augenblick  $t$  zu erstrecken ist. Es bleibt vielmehr bei  $-\int \delta'v \cdot dt + \int \delta v \cdot dt$  ein überschüssiges Glied, und wir erhalten, wenn wir das Ende des Zeitraums, für welchen die Aenderungen der Elemente bestimmt werden sollen, mit  $x$  bezeichnen:

$$\delta M = (t-T) \delta v - v \delta T - \delta^{(1)}v \cdot (x-a)$$

wo das Glied  $-\delta^{(1)}v \cdot (x-a)$  nachher anzuhängen ist, nachdem man den Anfang des Integrals vom Ende desselben subtrahirt hat. Statt der letzteren Gleichung können wir schreiben:

$$\frac{\delta M}{3av} = (t-T) \frac{\delta 1}{2a} - \frac{\delta T}{3a} - \delta^{(1)} \frac{1}{2a} \cdot (x-a)$$

Setzen wir hier, indem wir von dem angehängten  $-\delta^{(1)} \frac{1}{2a} \cdot (x-a)$

absehen, für  $\frac{\delta 1}{2a}$  und  $\delta T$  ihre von Bessel bestimmten Werthe,

so finden wir die durch  $r^3$  dividirten und von der mittleren Anomalie des störenden Planeten abhängigen Glieder von  $\frac{\delta M}{3av} + \frac{h}{3} (\cos \beta N + \delta u)$

allemaal in  $-\delta v$  zu verwandeln. Das macht aber im Raisonnement des 20<sup>ten</sup> § keinen Unterschied; alle dortigen Formeln gelten unverändert für die Rückwärtsrechnung wie für die Vorwärtsrechnung; nur das zuletzt anzuhängende  $-\delta^{(1)}v \cdot (v-r)$

ist in  $-\delta^{(x)} \nu \cdot (\nu - \tau)$  zu verwandeln, wenn  $\nu$  den Ausgangspunkt der Rechnung, d. i. das Ende des Zeitraums, für welchen man die Aenderungen der Elemente bestimmen will, und  $\tau$  den Endpunkt der Rechnung, d. i. den Anfang desselben Zeit-

raums, bedeutet. In §. 22 ist das angehängte  $-\delta^{(x)} \frac{1}{2a} (\chi - \sigma)$  bei der Rückwärtsrechnung in  $-\delta^{(x)} \frac{1}{2a} (\chi - \sigma)$  zu verwandeln, wenn  $\chi$  den Ausgangspunkt der Rechnung bezeichnet.

*Lehmann.*

Schreiben des Herrn Professors *v. Boguslawski*, Directors der Breslauer Sternwarte, an den Herausgeber.

Breslau 1839. Jan. 12.

Zu astronomischen Beobachtungen ist seit meiner Rückkehr der Himmel nicht sonderlich günstig gewesen. Es ist mir daher nur erst gelungen, diejenigen Stellen am Himmel zu revidiren, wo ich den Kometen am 14<sup>ten</sup>, 19<sup>ten</sup>, 28<sup>ten</sup> und 30<sup>ten</sup> August beobachtet habe. Es war aber dort durchaus nichts zu erblicken, was irgend zu einer Verwechslung hätte Anlaß geben können.

Die Vesta zu beobachten war nur am 24<sup>ten</sup>, 25<sup>ten</sup> und 27<sup>ten</sup> Decbr. und nach der Opposition am 8<sup>ten</sup> Januar möglich. Dagegen waren einigemale zur Zeit der Sternbedeckungen die Momente günstig.

1838 Dec. 20.	22 <sup>h</sup> 37' 27 <sup>m</sup> 26 <sup>s</sup>	St. Z.	Austr. von 28 $\phi$ Capric.	6	am hellen Mondrande.	Ziemlich gute Beobachtung	<div style="display: flex; align-items: center;"><div style="margin-right: 5px;">}</div><div>von <math>\alpha</math> Aquari von <math>\alpha</math> Pisc. austr. von <math>\alpha</math> Pegasi von <math>\alpha</math> Arietis von <math>\alpha</math> Arietis           <math>\alpha</math> Ceti</div></div>			
25.	1 23	0,70	—	Eintr. von 57 Mayer	7	am dunkeln Mondr.		Nur ziemlich gut.		
	1 38	0,44	—	Eintr. von 102 $\pi$ Pisc.	6	—				
	1 49	53,25	—	Austr. —	—	am hellen —		Sehr ungenau.		
26.	0 34	46,11	—	Eintr. 27 $\psi$ Arietis	6	am dunkeln —	Ausgezeichnet gut.	<div style="display: flex; align-items: center;"><div style="margin-right: 5px;">}</div><div>von <math>\alpha</math> Arietis           <math>\alpha</math> Ceti</div></div>		
	1 42	35,00	—	war der Stern schon ein wenig am hellen Rande ausgetreten, was nach einigen genauen Schätzungen von Abständen etwa 25' zuvor erfolgt sein muß.						
27.	10.50	14,46	—	Eintr. von $\epsilon$ Plejadum.	5	am dunkeln Mondrand.	Sehr gute Beobachtung.	<div style="display: flex; align-items: center;"><div style="margin-right: 5px;">}</div><div>von <math>\alpha</math> Hydr           <math>\alpha</math> Leonis.</div></div>		
29.	11	1 49,41	—	— 136 $\rho$ Tauri.	4.5	—	wohl nicht sehr genau, weil der Stern nur schwer noch zu erkennen.			

*v. Boguslawski.*

### Ver besserungen.

A. N. Nr. 367.	Spalte 100	Zeile 27	von oben,	statt: Bezeichnungen	lies	Bezeichnung.
	101	26	z	z	Masse	z Maesen.
	106	15	z	z	$\mu$	z $\nu$
	107	1	z	z	$\Delta h$ .	z $\Delta h$ .
	107	21	z	z	$\zeta'$	z $\zeta$
	107	23	z	z	$+r\beta'$	z $+r\beta'$
	112	1	von unten,	z	$\frac{dd}{ddh}$	z $\frac{de}{de dh}$

### Inhalt zu Nr. 367—370.

Entwicklung einer Methode der Berechnung der Kometen-Störungen, wobei dieselben auf den Schwerpunkt des Sonnensystems bezogen, und die von den einzelnen störenden Massen und deren Quadraten und Producten herrührenden Glieder von einander abgesondert werden. Von Herrn *J. W. H. Lehmann*, Dr. der Philosophie u. Prediger zu Derwitz u. Krilow bei Potsdam. p. 159.  
 Schreiben des Herrn Professors *v. Boguslawski*, Directors der Sternwarte in Breslau, an den Herausgeber. p. 159.  
 Verbesserungen. p. 159.

Altona 1839. März 7.

### Einrichtung zur Erleichterung der Beobachtungen der Sternbedeckungen.

Von Herrn Geheimrath und Ritter *Bessel*.

Es ist bekannt, daß die Beobachtungen der Austritte der Sterne aus dem erleuchteten Mondrande gewöhnlich mißrathen. Oft ist dieses die Folge des aus Mondrande selbst zu schwachen Lichtes der Sterne; oft aber auch die Folge der mangelhaften genauen Kenntniß des Punktes an diesem Rande, wo ein Stern erscheinen wird. Ich glaube, daß die Beschreibung der Einrichtung, welche jedem Fernrohre mit Leichtigkeit gegeben werden kann, und wodurch der zweite Grund des Mißrathens beseitigt wird, einigen Lesern der Astr. Nachr. angenehm sein kann. Die nahe bevorstehenden Durchgänge des Mondes durch die Plejaden, von welchen viele, möglichst vollständige Beobachtungen sehr wünschenswerth sind, geben einen Grund mehr, die zur erfolgreichen Beobachtung der Sternbedeckungen nöthigen Vorkehrungen jetzt zu treffen.

Die Einrichtung besteht darin, daß die Fassung eines der Oculare eines Fernrohrs so verändert wird, daß es um seine Axe gedreht werden kann, und daß auf seine äußere Röhre die Theilung von 5 zu 5 Graden geschnitten wird, durch welche seine Drehung gemessen werden kann. Nach der Methode, die Sternbedeckungen für jeden Beobachtungsort vorauszurechnen, welche ich Nr. 145 der Astr. Nachr. gegeben habe und welche die Ephemeriden jetzt befolgen, erhält man durch leichte Rechnung die Zeiten des Eintrittes und des Austrittes eines Sterns und zugleich (d. i. ohne weitere Rechnung) den Positionswinkel, in welchen diese Erscheinungen sich ereignen. Was noch gefordert wird, ist allein die Kenntniß des Punktes am hellen Mondrande, welcher dem bekannten Positionswinkel für den Austritt entspricht. Die angegebene Einrichtung liefert sie auf folgende Art.

Man richtet das Fernrohr auf einen Stern, welcher sich nahe bei dem Monde befindet und dreht das Ocular so, daß die tägliche Bewegung ihn an einem, in die Blende desselben eingespannten Spinnfaden hinführt; man liest dann die Theilung auf der Ocularröhre ab, addirt den gegebenen Positionswinkel an der Ableseung und stellt die Theilung auf diese Summe. Bringt man dann den Faden in Berührung mit

dem Mondrande, so ist der Berührungspunkt der Punkt, wo man den Stern zu erwarten hat.

Diese Bestimmung des Punktes, wo der Austritt erfolgen wird, kann bald nach dem beobachteten Eintritte vorgenommen werden; aller Schärfe nach erleidet sie zwar, bis zu der Zeit des Austrittes, noch eine kleine Aenderung, allein diese ist stets zu unbedeutend, als daß sie berücksichtigt werden dürfte. Man kann auch den bedeckt werdenden Stern selbst, kurz vor dem Eintritte, auf die angezeigte Art zur Erkenntniß des Punktes am Monde, wo der Austritt erfolgen wird, anwenden. Will man die kleine Abweichung der täglichen Bewegung des Mondes von dem wahren Parallel vernachlässigen, so kann man auch den Rand, oder einen Flecken des Mondes benutzen, wodurch man den Ort des Austrittes nie über eine halbe Minute unrichtig erhalten wird. Es werden sich aber immer Sterne in der Nähe des Mondes befinden, welche in einem Fernrohre von hinreichender Stärke zur Beobachtung eines Austrittes sichtbar sind. Für eine Beleuchtung des Fadens darf man nicht sorgen, da der Mond sie befert.

Nachdem man den Punkt am Mondrande bemerkt hat, wo der Stern erscheinen wird, kann man das mit dem Faden versehene Ocular, wenn man ein anderes sonst für angemessener hält, mit diesem vertauschen. Daß dieselbe Einrichtung auch zur Kenntniß des Punktes führt, wo der Anfang einer Sonnenfinsternis zu erwarten ist, vermehrt noch ihre Anwendbarkeit.

Wenn das Fernrohr parallaxisch aufgestellt ist, so erspart man die Aufsuchung der Richtung der täglichen Bewegung; stellt man den Positionskreis seines Oculars auf den Positionswinkel des Austrittes, so ist der Berührungspunkt seines Aequatoralfadens und des Mondrandes der gesuchte Punkt. Für das Heliometer war also keine besondere Einrichtung nöthig; für ein anderes, auf gewöhnliche Art aufgestelltes Fernrohr hat Herr Baumann in Berlin sie mir gemacht. Es ist aber kein so ausgezeichnete Mechaniker nöthig, um ein vorhandenes Ocular drehbar zu machen und seine Röhre mit einer Theilung zu versehen.

*Bessel.*



Nachricht über die für die Kaiserliche Hauptsternwarte auf Pulkowa in Hamburg und München  
angefertigten Instrumente.  
Von Herrn Staatsrath v. Struve.

Ihnen sowohl, als den Lesern Ihrer Zeitschrift wird, hoffe ich, eine kurze Nachricht über die Ergebnisse meiner Reise in Bezug auf die für die Hauptsternwarte in Pulkowa bearbeiteten astronomischen Instrumente willkommen sein.

Die Herren Gehülden *A. und G. Repsold* in Hamburg hatten die Anfertigung eines Meridiankreises nebst vier Collimatoren, zwei für die Anwendung der Instrumente in verticalen Sinne, zwei für die unmittelbare Bestimmung des Winkels der Drehsachse mit der optischen, ohne Umlegung, und die eines großen Durchgangsinstrumente, das als Zenithsector im ersten Verticalen gebraucht werden sollte, übernommen. Es wird den Lesern der Astron. Nachr. einmüthlich sein, daß dies letzte Instrument so eingerichtet ist, daß das Fernrohr sich an dem einen Ende der horizontalen Achse befindet, und die Wasserröhre immer auf der Achse bleibt, daß ihm überdies eine Vorrichtung gegeben worden, wodurch es in kürzester Zeit umgelegt werden kann. Sie, mein verehrter Freund, haben beide Instrumente vollendet und auf vorläufigen hölzernen Pfeilern aufgestellt gesehen und zu meiner großen Freude Ihr Urtheil dahin ausgesprochen, daß Sie dieselben für das höchste hielten, was die Instrumental-Mechanik bis heute zu leisten im Stande gewesen ist. Nachdem ich während drei Wochen die Instrumente mit den Künstlern aufs genaueste durchstudirt hatte und mehrere kleine Veränderungen ausgeführt oder verahndet waren, gingen beide Instrumente am 23<sup>ten</sup> Septbr. mit fast allem Zubehör in 17 Kisten verpackt, die ein Bruttogewicht von 4700 Hamb. Pfund hatten, auf in Federn hängenden Wagen unter Herrn *G. Repsold's* persönlicher Aufsicht nach Lübeck ab. Hier wurden sie auf dem Dampfschiffe Nasjednik eingeschiffet und sind glücklich in Petersburg angelangt, wo sie in einem gewählten Locale der Academie der Wissenschaften bewahrt werden. Die Eröffnung der Kisten wird erst in Pulkowa selbst statt finden, wenn die Arbeiten der Aufstellung daselbst im Frühjahr 1839 beginnen. Bis dahin werden von den Künstlern auch noch einige Apparate nachgeliefert werden, als mehrere Niveaux, die Illuminatoren für die microscopische Ablesung, die Aufsuchekreise des großen Durchgangsinstrumente u. s. v.

In München traf ich am 30<sup>ten</sup> Septbr. ein und verblieb dort bis zum 5<sup>ten</sup> Novbr. In der optischen Anstalt, die wie bekannt jetzt unter der Leitung der Herren *Merz* und *Mahler* steht, welche beide jetzt auch Miteigenthümer des Instituts sind, waren der große Refractor und das Heliumeter in Arbeit. Beide Instrumente wurden während meiner Anwesenheit auf-

gestellt. Zu dem Ende ward ein eigenes viereckiges Gebäude von 32 Fuß Länge und Breite und etwas geringerer Höhe aus Holz gezimmert, und nun in diesem erst das Heliumeter, dann der Refractor auf hölzernen aus Balken gefügten Stativen, die den künftigen steinernen Pfeilern gleichen, zusammengesetzt. Durch Klappen im Dach ließe sich der südlich vom Scheitel gelegene Himmel etwa eine Stunde auf beiden Seiten des Meridians von +5° his +20° Declination beobachten. Außerdem gewährte die Thür eine freie Aussicht nach dem 2700 Fuß entfernten Thurne der Kirche St. Petri, wodurch die Beobachtung geeigneter irdischer Prüfungsobjecte möglich ward. Der große Refractor hat ein Objectiv von 14 Parlaer Zoll freier Oeffnung bei 21 Fuß Brennweite. Nach dem Scheitel gerichtet erhebt sich daher das Objectiv des aufgestellten Instruments 24 Par. Fuß über dem Boden. Die Aufstellung desselben geschah am 25<sup>ten</sup> Oct. unter Herrn *Mahler's* und meiner gemeinschaftlichen Leitung. Das große Gewicht der einzelnen zu hebenden und zusammenzusetzenden Theile erzeugte hier bedeutende Schwierigkeiten. Flaschenzug und Winde mußten zur Hebung, Seile, theils frei, theils in bestimmten Richtungen über Rollen laufend, mußten zur Lenkung gebraucht werden. War ja das Gewicht der Theile  $14^2 \cdot 3 = 3.5$  Mal größer, als das der ähnlichen am Dorpater Refractor. Indeß gelang die Zusammensetzung aufs beste, und der Künstler sah sich nun im Stande, zwei noch fehlende Hauptgewichtstücke, das eine am Ende der Declinationsachse, das andre zur Unterstützung der Stundenachse zu ermitteln, anzubringen und abzugleichen. Als dies geschehen war, zeigte sich in den Bewegungen des Instruments und in der Manipulation desselben durch die Schlüssel dieselbe Sicherheit und Genauigkeit, welche ich seit so langen Jahren am Dorpater Refractor erprobt hatte; auch ergab sich, daß die vor vier Jahren mit Herrn *Mahler* verabredeten Veränderungen alle ihrem Zwecke entsprechend waren. Nachdem endlich das Uhrwerk angebracht und regulirt war, trieb diese die gewaltige Masse um die Stundenachse mit aller zu wünschenden Gleichförmigkeit. Eine wichtige Veränderung ist die, daß der Beobachter in jeder Lage das Uhrwerk außer Verbindung mit der in den Stundenkreis eingreifenden Schraube ohne Ende setzen, und dazu durch Drehung dieser beliebige Verstellungen machen kann, nach denen im Augenblicke durch Anziehung einer Schnur nach das Freiwerden einer Feder die Verbindung des inzwischen fortgesetzten Uhrwerks mit der Schraube so wieder hergestellt wird, daß die wirkliche Bewegung sich sogleich der ganzen Masse wieder mittheilt; eine Vorrichtung, welche für die Bequem-

sicherheit und Genauigkeit der Mikrometermessungen unschätzbar ist. Die optische Wirkung des Instruments wurde durch terrestrische und himmlische Objecte untersucht. Die Betrachtung des Sterns erster Größe  $\alpha$  Aquila bewies den ausgezeichneten Achromatismus und die Schärfe des Bildes selbst bei einem glänzenden Gegenstande. Mehrere Doppelsterne wurden zu Zufriedenheit gesehen. Da aber fast nie nach Sonnenuntergang, der raschen Abnahme der Wärme und der sich erhehenden Nebel wegen, ruhige Bilder erschienen, so zog ich es vor, die starken Vergrößerungen nach den irdischen geeigneten Objecten zu prüfen. Ein feiner künstlicher Doppelstern, aus zwei weißen Scheiben von  $0^{\circ}24$  und  $0^{\circ}42$  Durchmesser im  $4\frac{1}{2}$  Abstand der Mittelpunkte vertrag die 1600fache Vergrößerung so gut, daßs mit derselben die Mikrometermessung ausführbar gewesen wäre. Es werden daher auch die Vergrößerungen sowohl der freien Oculare als die des am Filarmikrometer bis auf die 2000fache gehen. Nach allem, was ich an diesem Fernrohr versucht habe, beuge ich die Hoffnung, daßs dieselbe ein Werkzeug ist, dessen Ausführung, oberachtet in größerer Dimension, dieselbe Vollkommenheit erreicht hat, welche seit 14 Jahren der Dorpater Refraktor bewährt hat, und wodurch die Herren *Morze* und *Mahler* sich ein unvergängliches Denkmal in den Jahrbüchern der Astronomie gesetzt haben werden.

Schon früher als der große Refraktor war das Heliometer aufgestellt. Die Prüfungen desselben fielen in jeder Hinsicht befriedigend aus, namentlich zeigte es sich, daßs die Einrichtung der beiden Objectivhälften in allen Richtungen des Durchschnitte unverändert blieb. Das Schieberwerk ist überhaupt mit der ausgezeichnetsten Sorgfalt und Einsicht gearbeitet, wie ich mich durch Zerlegung desselben überzeuge. Im Ganzen gleicht übrigens unser Heliometer dem gepriesenen Göttinger, nur mit dem Unterschiede, daßs es, wie der Refraktor, auf einem steinernen Pfeiler ruhen wird, und daßs in der Aufstellung einige Veränderungen, denen am Refraktor analog, vorgenommen sind. Außerdem habe ich ein neues Hülfenrohr anbringen lassen, durch welches der Stand der Mikroschrauben in jeder Lage vom Beobachter abgelesen werden kann, ohne daßs dieser seinen Ort verlassen und die Richtung des Fernrohrs zu ändern braucht.

Beide Instrumente waren bei meiner Abreise aus München weit vollendet, daßs nur noch das Schleifen, Poliren und Nacharbeiten nachbliebe, eine Arbeit, die die mechanische Abtheilung des optischen Instituts fast ausschließlich während 6 Monate beschäftigen wird. Vor der Absendung werden die Instrumente nicht wieder zusammengesetzt werden, da alle Untersuchungen, die sich auf die zusammengesetzten Instrumente beziehen, abgemacht waren.

In der mechanischen Anstalt von *Ertel* werden, außer einer Anzahl tragbarer Instrumente und den Apparaten zur Einrichtung der mechanischen Werkstätte der Sternwarte, zwei Hauptinstrumente gearbeitet, das achtfüßige Durchgangsinstrument von 6 Zoll Öffnung und ein großer Verticalkreis. Dieser dreht sich um eine große Verticalachse, und hat einen Kreis von 3 Fuß 4 Zoll Durchmesser verbunden mit einem Fernrohr von  $\frac{5}{2}$  Zoll Öffnung bei nur 6 Fns Brennweite, zusammen auf einer starken Horizontalachse aufsitzend. Ein auf der Verticalachse befestigtes großes Lagerstück giebt die Innepunkte der Horizontalachse ab und trägt nach der Seite des Kreises den Microscopenhalter. Das Instrument ward in meiner Gegenwart zum erstenmale zusammengesetzt, und ich fand die Anordnung der Theile, so wie die hieraus hervorgehende Festigkeit des Baues meisterhaft. Ein einziges sehr glücklich angebrachtes Gegengewicht hebt den ganzen mit der horizontalen Achse drehbaren Obertheil aus seinen Lagern, so daßs er nur durch die Last der Wasserwage niedergehalten wird; und versetzt gleichzeitig den Schwerknoten der ganzen um die verticale Achse drehbaren Masse in diese Achse, die selbst durch die bekannte dreiarne Feder unterstützt wird. Der Erfolg ist eine überraschende Leichtigkeit der Bewegungen um beide Achsen, so daßs sich das große Instrument wie ein achtzölliger Theodolith manipuliren läßt. Im Ganzen waren bei meiner Abreise die Arbeiten im *Ertelschen* Institute noch am weitesten zurück, vorzüglich wohl in Folge der vielen Bestellungen, die in neuerer Zeit daselbst von Großbritannien und Nordamerika aus gemacht sind. Indefß habe ich die Zusage erhalten, daßs bis zum Frühjahr alles vollendet sein wird, und kann dieser gänzlich vertrauen, da die Anstalt ungewöhnliche Kräfte besitzt. Es befinden sich neulich in ihr, abgesehen von der Gießerei, 70 Arbeiter beschäftigt, und es herrscht daselbst unter Leitung von *Ertel* Vater und Sohn ein Fleiß und eine Regelmäßigkeit, deren Zeuge ich mit der größten Genugthuung während 5 Wochen gewesen bin, die ich, von meinem Freunde *Ertel* gastfreundlich aufgenommen, in der Anstalt selbst verlebte habe.

Alle in München für Pulkowa gefertigten Instrumente werden im Frühjahr 1839 fertig sein, und dann unter Herrn *Pohle*s Aufsicht, der nachher die Stelle eines Mechanikers der Sternwarte bekleiden wird, ihre Reise antreten. Es wird in München für diejenigen Gegenstände, deren Transport besondere Sorgfalt heischt, ein eigener in Federn hängender Wagen gebaut. Zeitig im Sommer werden hoffentlich alle diese kostbaren Apparate den Ort ihrer Bestimmung erreichen, an welchem alle Anstalten zu ihrer baldigsten Aufstellung vorbereitet werden.

Dorpat, den 18<sup>ten</sup> Novbr. 1838.

W. Struve.

## Schreiben des Herrn Professors v. Boguslawski an den Herausgeber.

Hamburg 1838. Octbr. 24.

Als ich die ersten Breslauer Beobachtungen des *Enckeschen* Cometen bekannt machte, waren, eigentlich unpassender Weise, selbst die Secunden und deren Bruchtheile so angeführt, wie sie aus der Reductionsrechnung hervorgegangen waren. Man konnte dadurch allerdings versucht werden, zu glauben, daß ich den Beobachtungen eine dem gemäße Genauigkeit habe beilegen wollen, eine Genauigkeit, die hier aber auch nicht im allerentferntesten stattfinden konnte. Der Comete konnte nur dann, und immer nur auf Augenblicke wahrgenommen werden, wenn der Himmel im höchsten Grade aufgeheitert war, und die dunkelste Bläue angenommen hatte, wobei dann vom Diaphragma kaum eine schwache Spur, vom Mikrometer aber gewöhnlich gar nichts zu sehen war. Nur das Verschwinden der Sterne dahinter diente zuweilen, den Ort desselben zu verrathen.

Unter diesen Umständen sind allerdings große Beobachtungsfehler denkbar und möglich. Ja es wäre gewiß besser gewesen, auf jede andere Weise, als durch wirkliche Beobachtungsversuche die heillosigen Oerter des Cometen festzustellen, und um so mehr, weil sie für die Theorie der Bahn gar nicht in Anwendung kommen können.

Da diese Versuche aber doch einmal gemacht sind, und wenigstens lehren, unter welchen Hauptumständen (zu welchen

unser ehrwürdiger *Olters* in Bremen, außer Abstand des Cometen von Sonne und Erde, auch noch den Winkel rechnet, unter welchem die Atome des Cometen das Sonnenlicht zur Erde reflectiren) dieser Comete bei äußerst günstiger Lichtbeschaffenheit dem bewaffneten Auge sichtbar werden kann, so setzte ich die dadurch erhaltenen heillosigen Cometen vollständig ber, mit dem Bemerken, daß der Comete fast einmal wie das anderemal als ein auch gleich Anfangs ziemlich gedehnter, formloser, verwaschener kaum vom Himmel grunde unterscheidbarer Nebel erschien, welcher in der ganzen Zeit nur wenig an Lichtstärke zunahm. Am 30<sup>ten</sup> August erschien er ein klein wenig begränzter.

	M. Bresl. Zeit.			AR. app. Com.		Decl. app. Com.		Ass. der Vergl.	
	d	h	m	h	m	o	'		
1838 Aug. 14	14	19,5		2	15,3	+ 24	38	2	mal
19.	13	12,5		2	19,7	+ 25	40	2	—
28.	13	38,5		2	25,2	+ 27	52	2	—
30.	13	39,2		2	27,4	+ 28	17	2	—
Sept. 14.	12	2,3		2	33,1	+ 32	34	3	—
16.	11	31,4		2	33,1	+ 33	26	1	—

v. Boguslawski.

## Schreiben des Herrn Hofraths Nicolai an den Herausgeber.

Mannheim 1838. Decbr. 4.

Ich habe das Ende der diesmaligen Erscheinung des *Enckeschen* Cometen abgewartet, um Ihnen meine Beobachtungen desselben unter Einer Zusammenstellung mittheilen zu können. Leider ist ihre Anzahl nur höchst gering, indem namentlich der Hauptmonat für die Erscheinung, nämlich der November, hier fast ununterbrochen trübe war. Auch in den letzten Tagen des October, wo das Licht des Cometen ungeachtet des Mondscheins bereits wohl die Beobachtung desselben mit Meridianinstrumenten verstärkt haben würde, gab es keinen einzigen heitern Abend. Mit der Aufsaugung des Cometen begann ich in der zweiten Hälfte des September, aber weder an den zwei ungemein klaren Abenden des 17<sup>ten</sup> und 24<sup>ten</sup>, noch auch in der etwas weniger heitern Nacht des 28<sup>ten</sup> September, konnte ich mit meinen hiesigen Hilfsmitteln, nämlich dem *Frauhoferschen* Cometensucher und dem 4ßußigen Achromaten, auch nur die geringste sichere Spur von ihm wahrnehmen, wozu übrigens nach meinen Erfahrungen vom Jahre 1825 auch wenig Hoffnung vorhanden war. Erst am 9<sup>ten</sup> October um 7 Uhr Abends

hewerkte ich an der Stelle des Himmels, wo der *Enckesche* Comete stehen mußte, mit Sicherheit einen Schimmer, der dem Lichter war, als der übrige Himmelsgrad, und der sich nicht bestimmter zeigte, wenn ich ihn durch sanfte Bewegung des Fernrohrs langsam im Gesichtsfelde hin und her führte. Am folgenden Abend um dieselbe Zeit war dieser äußerst schwach Lichtschimmer an der bezeichneten Stelle nicht mehr vorhanden, sondern ganz dem Laufe des *Enckeschen* Cometes gemäß weiter am Himmel fortgerückt, wodurch sofort die Identität desselben mit dem wiedererwarteten Cometen klar erwiesen war. Vor dem 9<sup>ten</sup> October verhinderte der noch zu früh aufgehende Mond jede Nachsichtung, und es hiebt daher unentschieden ob ich ohne dieses Hinderniß jenen Lichtschimmer nicht vielleicht schon ein paar Tage früher mit meinen Hilfsmitteln wahrhaben erkennen können. Nicht unerwähnt darf ich lassen, daß ich zwischen dieser ersten Wahrnehmung des *Enckeschen* Cometen und derjenigen des *Halleyschen* im Jahre 1835 einen beachtenswerthen Unterschied gefunden habe. Letzteren konnte

ich nämlich nach seiner ersten Erkennung wenigstens acht Tage hindurch nur mit dem Kreismicrometer-Ocular des 4fältigen Achromaten sehen, mit dem Cometensucher aber noch keine Spur von ihm entdecken, während ich den ersten schon am 9<sup>ten</sup> October auch in dem Cometensucher erkennen konnte, ja derselbe in diesem mir eher noch etwas deutlicher und bestimmter erschien, als in jenem grössern Fernrohre. Hieraus scheint hervorzugehen, daß es bei der ersten Erkennung des Enckeschen Cometen weit mehr auf Lichtstärke als auf Vergrößerung des angewendeten Fernrohrs ankommt, für diejenige des Halleyschen Cometen hingegen, bei hinreichender Lichtstärke des Fernrohrs, zugleich auch eine etwas beträchtlichere Vergrößerung in Anwendung zu bringen ist. Bei der am 9<sup>ten</sup> und 10<sup>ten</sup> October noch ganz außerordentlichen Licht-

schwäche des Cometen war an diesen beiden Abenden eine Kreismicrometerbeobachtung ganz unthunlich; am 14<sup>ten</sup> machte ich den ersten Versuch damit, und die wenigen Ortsbestimmungen, die der ungünstige Himmel mir seitdem zu machen erlaubt hat, sind in dem nachfolgenden Tableau enthalten, in welchem die eingeklammerten Ziffern in der letzten Columne die Anzahl der nördlich und südlich vom Mittelpunkt des Kreismicrometers angestellten Vergleichen bedeuten. Nur am letzten Beobachtungstage fand sich kein Stern in der Nähe des Cometen, der eine doppelseitige Vergleichung zuließe, und diese Ortsbestimmung beruht daher nur auf zwei einseitigen, weshalb sie nicht auf denselben Grad von Genauigkeit, den unter sonst gleichen Umständen die auf doppelseitigen Vergleichungen beruhenden Ortsbestimmungen besitzen, Anspruch machen kann.

Kreismicrometerbeobachtungen des Enckeschen Cometen bei seiner Erscheinung im Jahre 1838, angestellt auf der Mannheimer Sternwarte.

1838.	Mittlere Zeit in Mannheim.	Des Cometen scheinbare gerade Aufst.	nördl. Abw.	Unterschied d. Cometen u. Sterns in gerader Aufst.	Zahl der Vergleichen und Vergleichungsterne.
Oct. 14	8 <sup>h</sup> 9' 52"	29° 22' 42"	49° 44' 48"	+ 1° 0' 37" 8	(3) u. (3). H. C. p. 310. 1797 Dec. 30. 1 <sup>h</sup> 50' 20" 7,
— 18	7 31 23	23 59 7	53 56 1	+ 1 28 51,1	(2) u. (2). H. C. p. 373. 1790 Oct. 21. 1 <sup>h</sup> 27' 47".
— 21	6 42 58	17 49 44	57 25 19	+ 0 19 45,0	+ 2 15,1. $\phi$ Cassiopeie.
— 22	6 58 58	15 4 18	58 40 13	+ 0 31 16,5	(3) u. (3). ARapp. = 14° 33' 1", $\delta$ app. = 58° 30' 46"
Nov 10	6 26 39	266 57 14	41 54 48	+ 1 17 30,4	(3) u. (3). H. C. p. 294. 1797 Jun. 24. 17 <sup>h</sup> 50' 51" 2 und Bezel Z. 476. 17 52 33,62 und Bezel Zone 89: 16 23 24,80 — — — 166: 16 23 36,86
— 23	5 47 16	245 9 16	4 9 48	+ 0 50 44,2	(2) H. C. p. 91. 1794 Jun. 28. 16 <sup>h</sup> 21' 34" 3

Die scheinbare Position des Vergleichungsterns 10<sup>er</sup> Gr. vom 22<sup>ten</sup> October habe ich an jenem Abend mit Hilfe des Kreismicrometers durch den Stern H. C. p. 368. 1790 Aug. 30. 0<sup>h</sup> 50' 11" so bestimmt, wie sie in der letzten Columne angegeben ist. Am 10<sup>ten</sup> Novbr. war der Comet eben mit freiem Auge zu erkennen, doch mußte man dasselbe, um ihn zu bemerken, scharf auf die Stelle des Himmels richten, wo der Comet stand. An dem nämlichen Abend bemerkte ich während der Kreismicrometer-Vergleichen, daß der Comet gerade auf einen Stern 10<sup>er</sup> Gr. zuging, und etwa um 6<sup>h</sup> 51' mittl. Mannh. Zeit stand dieser Stern nahezu mitten im hellsten Theile des Cometen, was übrigens mit einem schwächern Instrumente, wie dem hiesigen, und bei der Ausdehnung und unregelmäßigen Begrenzung dieses hellsten Theiles, schwierig zu taxiren ist. Indessen bestimmte ich zugleich die scheinbare Position dieses Sterns mittelst des Kreismicrometers, und erhielt durch vier Vergleichen mit dem Vergleichungsterne dieses Tages Folgendes: ARapp. = 266° 54' 54",  $\delta$  app. = 41° 51' 21". Dieser kleine Stern erlitt durch den Vorübergang des Cometen vor ihm auch nicht die geringste Lichtabnahme, und er erschien mir während seines Durchgangs

durch den hellsten Theil des Cometen in dem nämlichen Lichte und mit derselben Deutlichkeit, als da er noch in dem dünnern Cometennebel stand, was gewis als Beweis von der außerordentlichen Lockerheit der ganzen Substanz dieses Cometen dienen kann.

Aus den obigen Beobachtungen und den detaillirten, höchst sorgfältigen Rechnungen des Herrn Bremker geht hervor, daß die der Ephemeride zum Grunde liegende mittlere Anomalie des Cometen zu groß ist. Läßt sich dieser Umstand durch eine neue Herleitung der Cometen Elemente aus sämtlichen Erscheinungen von 1815 an bis 1838 unter der bisherigen Annahme der Merckuremasse nicht heben, so würde daraus folgen, daß letztere sehr bedeutend, vielleicht beinahe um die Hälfte ihres bisherigen Werthes, vermindert werden müsse. Die Resultate dieser Untersuchung werden daher nicht nur für den Cometen selbst, sondern auch hinsichtlich der dadurch erlangten nähern Kenntniß der Merckuremasse, vom höchsten Interesse sein.

B. Nicolai.

Anfangspunkte und Endpunkte der in der Nacht vom 13<sup>ten</sup> zum 14<sup>ten</sup> November auf der Königsberger Sternwarte beobachteten Bahnen der Sternschnuppen.  
Von Herrn Geheimen Rath und Ritter Bessel.

Nr.	Beobachter.	M. Z. der Beobachtung.	Anfangspunkt.		Endpunkt.	
			AR.	Decl.	AR.	Decl.
1	Busolt	16 <sup>h</sup> 14' 17"	115°	— 6°	110°	— 12°
2	Busch	16 59	130	+ 10	120	+ 1
3		19 32	78	+ 8	78	— 2
4	Busolt	19 51	200	+ 21	205	+ 20
5	Busch	21 53	73	+ 48	67	+ 42
6	Busolt	23 47	166	+ 47	177	+ 51
7		25 11	193	— 3	194	— 7
8	Busch	26 41	179	— 9	178	— 13
9	Busolt	26 48	173	+ 8	174	+ 3
10	Busch	27 13	87	+ 6	83	+ 7
11		28 55	107	+ 32	79	+ 29
12	Busolt	32 11	157	+ 12	161	— 1
13		34 34	137	+ 7	143	— 3
14		35 44	178	+ 10	183	+ 3
15		36 48	140	— 3	144	— 8
16		39 42	176	+ 9	182	+ 2
17		40 59	164	+ 26	176	+ 28
18	Busch	41 39	114	+ 28	134	+ 35
19	Busolt	45 12,5	154	+ 4	157	— 3
20	Busch	46 34	113	+ 4	103	— 18
21	Busolt	48 37	118	— 7	113	— 10
22	Busch	49 20	113	+ 5	125	+ 8
23	Busolt	50 3	158	— 8	162	— 13
24		50 52	75	+ 4	75	0
25	Busch	52 38	101	— 17	92	— 20
26	Busolt	53 28	106	— 9	102	— 12
27		63 29	58	+ 18	53	+ 12
28		55 40	204	+ 21	209	+ 21
29		57 54	223	+ 30	220	+ 24
30	Busch	59 10	108	+ 34	85	+ 44
31	Busolt	59 43	67	+ 17	68	+ 12
32		17 2 29	193	+ 22	197	+ 23
33	Busch	3 2	111	+ 4	106	— 19
34	Busolt	4 35	150	+ 12	156	+ 10
35	Busch	5 22	110	+ 7	98	+ 7
36	Busolt	6 28	189	+ 24	194	+ 23
37		7 4,5	198	+ 23	204	+ 24
38		9 23	157	— 3	158	— 10
39		10 36	110	— 16	107	— 16
40	Busch	11 57	64	+ 8	60	+ 2
41	Busolt	12 57	181	+ 14	187	+ 6

Nr.	Beobachter.	M. Z. der Beobachtung.	Anfangspunkt.		Endpunkt.	
			AR.	Decl.	AR.	Decl.
42	Busolt	17 <sup>h</sup> 14' 37"	143°	0°	146°	— 4°
43		15 51	215	+ 26	213	+ 23
44	Busch	18 45	77	+ 29	53	+ 24
45		20 1	114	+ 8	117	+ 5
46		20 53	181	+ 23	192	+ 8
47	Busolt	23 51	143	— 3	145	— 7
48	Busch	23 57	86	+ 10	81	+ 7
49	Busolt	25 48	157	+ 23	162	+ 23
50		28 6	212	+ 23	214	+ 22
51		30 12	183	+ 14	189	+ 18
52		31 1	220	+ 19	223	+ 16
53		32 2,5	176	— 3	177	— 7
54	Busch	32 5	63	+ 27	58	+ 15
55	Busolt	34 3	155	+ 8	160	— 2
56		36 15	183	— 5	187	— 9
57		38 3,5	133	+ 13	133	+ 8
58		43 30,5	156	+ 20	165	+ 23
59	Busch	46 23,5	108	— 7	103	— 13
60	Busolt	48 11	228	+ 22	232	+ 18
61	Busch	51 22	114	+ 9	106	+ 3
62	Busolt	52 31,5	105	+ 37	97	+ 37
63		56 29	170	+ 9	171	+ 6
64	Busch	58 19	65	+ 10	61	+ 10
65	Busolt	18 2 46	83	+ 3	79	+ 5
66		4 1	191	— 1	198	— 6
67		8 4	172	— 1	174	— 9

Nr. 11, 26, 27, 49 sind als sehr hell, d. h. wenigstens so hell als Sterne erster Grösse, angemerkt. Um die Zeit des Anfanges dieser Beobachtungen heiterte sich der Himmel erst auf, allein während ihrer ganzen Dauer blieb er theilweise mit Wolken und Dünsten belegt. Während der ersten Hälfte der Zeit der Sichtbarkeit der Sternschnuppen waren sie äusserst häufig, so dass vielleicht nur ein Viertel derselben angemerkt werden konnte; später wurden sie sparsamer und am Ende kamen sie nur noch einzeln vor. Die Herren Busch und Busolt glauben, dass in der 1<sup>ten</sup> St. 54', welche die Beobachtungen umfassen, wenigstens 200 hätten angemerkt werden können, wenn eine grössere Zahl von Beobachtern gegenwärtig gewesen wäre.

Bessel.

Circular an die Mitglieder des magnetischen Vereins.

1. Ueber eine Abänderung der Zahl und Zeit der Beobachtungs-Termine.

Seit dem Jahre 1835 sind jährlich sechs magnetische Termine an den letzten Sonntagen der Monate Januar, März, Mai, Juli, September und November gehalten worden. Sie nahmen ihren Anfang um 12 Uhr Mittags nach Göttinger mittlerer Zeit,

und endigten am Sonntag um die nämliche Zeit. Inzwischen hat sich die Zahl der Theilnehmer sehr vermehrt und der Kreis der Beobachtungen ausgedehnt, wodurch eine Abänderung in der Zahl und Zeit der Termine wünschenswerth geworden ist. Einige Beobachter, zumal in England, wünschen, dass die Termine künftig wenigstens so viel früher gehalten werden, als

bisher, daß der Sonntag Morgen nicht in die Beobachtungszeit falle. Andere Beobachter, zumal diejenigen, welche ihre Beobachtungen außer den Declinations-Änderungen auch über die Intensitäts-Änderungen ausdehnen, wünschen, weil diese doppelten Beobachtungen viele Theilnehmer verlangen, welche in der Zeit der Universitäts-Ferien (im März und September) oft nicht anwesend sind, daß die beiden Termine im März und September künftig ausfallen.

Hiernach wird vom Jahre 1839 an

1. die Zahl der Termine auf vier festgesetzt und zwar von drei zu drei Monaten, zu Ende der Monate Februar, Mai, August und November;

2. die Zeit aller Termine vierzehn Stunden vorgerückt, so daß jeder Termin um 10 Uhr Freitag Abends beginnt und um 10 Uhr Sonnabend Abends endigt.

3. Ueber die Einsetzung der Termine-Beobachtungen.

Seit der magnetische Verein sich über die Grenzen von Deutschland ausgebreitet hat, und Beobachtungen aus Däne-

mark, Schweden, Rußland, Belgien, Holland, England und Italien, kurz aus ganz Europa gesammelt werden müssen, ist es viel schwerer geworden, sie so schnell und vollständig zusammen zu bringen, daß die Bekanntmachung der aus ihnen gewonnenen Resultate keinen Aufsehalt leide. Die *Weidmannsche* Buchhandlung in Leipzig, welche den Verlag dieser „Resultate“ übernommen hat, ist bereit, auf dem Wege des Buchhandels eine regelmäßige, schnelle und vollständige Sammlung der Beobachtungen zu veranstalten. Hiernach werden alle Theilnehmer des magnetischen Vereins ersucht, ihre Beobachtungen sogleich nach jedem Termin entweder unmittelbar an die *Weidmannsche* Buchhandlung oder an irgend eine nahe gelegene, mit Leipzig in Verbindung stehende Buchhandlung unter der Adresse der *Weidmannschen Buchhandlung* mit der Bemerkung, daß magnetische Beobachtungen inliegen, zu senden.

Göttingen im November 1838.

*Gauß. Weber.*

Einladung zur Subscription auf die Resultate aus den Beobachtungen des magnetischen Vereins.

Herausgegeben von *Carl Friedrich Gauss* und *Wilhelm Weber*.

In den bereits im Verlag der *Dieterichschen* Buchhandlung in Göttingen erschienenen zwei Bänden „Resultate aus den Beobachtungen des magnetischen Vereins“ für die Jahre 1836 u. 1837 ist nicht nur von den in diesen beiden Jahren nach einem bestimmten Plane gleichzeitig angestellten Beobachtungen jenes Vereins Rechenschaft gegeben, sondern auch die Mittheilung einer zusammenhängenden Reihe von Abhandlungen über die Lehre vom Magnetismus und Galvanismus begonnen worden. Je mehr sich der Kreis der an den magnetischen Terminen theilnehmenden Beobachter in Deutschland und in entfernten Ländern ausgebreitet hat und je größer daher der Aufwand an Zeit ist, welche so viele ausgezeichnete Männer diesem Gegenstande widmen, desto mehr erscheint es wünschenswerth, daß das Erscheinen dieser Schrift auf mehrere Jahre im Voraus gesichert werde, zumal weil manche wesentliche Fortschritte

an die Bekanntmachung dieser Resultate geknüpft sind, worauf am Schlusse des zuletzt erschienenen Bandes aufmerksam gemacht worden ist. Indem die unterzeichnete Buchhandlung den Verlag dieser Schrift übernimmt, eröffnet sie eine Subscription und fordert alle Theilnehmer des Vereins und alle Naturforscher und Freunde der Naturwissenschaft, welche sich für den Inhalt dieser Schrift interessieren, zu dieser Subscription hiernit auf. Der Preis für den Jahrgang wird etwa 1 Thlr. 16 Gr. betragen und, auch wenn der Umfang der Schrift in der Folge wachsen sollte, für die Subscribenten nicht über 2 Thlr. gesteigert werden.

Alle Buchhandlungen nehmen Bestellungen an.

Leipzig, im November 1838.

*Weidmann'sche Buchhandlung.*

Preise von *Jürgensen's* Chronometern etc.

Specification of Chronometers, Watches, Thermometers, etc. made by *U. Jürgensen & Sons*. Copenhagen (Dronningens Tergade 277). 1837. 8vo.

herausgegeben, die jeder Lichhaber der höheren Uhrmacherkunst entweder von ihnen selbst, oder von mir erhalten kann. Die aufgeführten Artikel mit den Preisen in holländischen Ducaten sind folgende:

Die Söhne des verstorbenen ausgezeichneten Künstlers *Urban Jürgensen* setzen das von ihm gegründete Etablissement für die höhere Uhrmacherkunst fort, und haben mir folgende Specification ihrer Preise übersandt, die ich den Lesern dieser Blätter mittheilen das Vergnügen habe. Die beiden ausgezeichneten jungen Künstler arbeiten unter der Firma, „*Urban Jürgensen und Söhne in Kopenhagen*.“ Sie haben eine genaue Beschreibung ihrer Uhren und Abbildungen unter dem Titel,

Chronometer zum Seegebrauch. Boxchronometer in Mahagoni-  
kasten mit Compassuspension.

Gewöhnliche.....150—175 Ducaten.  
Mit *Jürgensens* Metallthermometer.....160—185 Duc.  
Ohne Schnecke und Kette.....150—175 Duc.

Kleinere Chronometer für Längenbestimmungen, Sternwarten,  
auch zur See zu gebrauchen.

In silbernem Gehäuse und Mahagonikasten, so daß sie, ohne sie  
aus dem Kasten zu nehmen, aufgezogen werden können, 150 Duc.  
Achtliche aber größere mit Suspension auf Federn 150—175 Duc.

Wird große Eleganz der Arbeit verlangt, so steigen die Preise  
aller dieser Chronometer auf 200 Ducaten und mehr, man  
kann sie aber auch wohlfeiler haben, wenn man weniger  
elegante Ausführung verlangt, an weit dies angeht, ohne  
ihr Genauigkeit zu schaden. Solche wohlfeilere werden  
aber nur auf ausdrückliches Verlangen gemacht, und erhalten  
ein besonderes Zeichen.

#### Astronomische Pendeluhr.

Mit pyrometrisch geprüftem Compensationspendel, 150—175 Duc.  
Mit *Urban Jürgensens* Compensationspendel, mit einer neuen Art  
der Compensation.....175—200 Duc.  
Reisependel, beträchtlich wohlfeiler.

Uhren zu astronomischen Zwecken, Compteurs, Taschen-  
Chronometer.

Taschennhren, die mittlere und Sternzeit zeigen.....80—100 Duc.  
Compteurs.....30 Duc.  
Taschen-Chronometer in silbernem Gehäuse.....150—175 Duc.  
In goldenem Gehäuse.....175—200 Duc.

#### Metal- Thermometer.

In Form einer Taschenuhr in silbernem Gehäuse.....9 Duc.  
Nach *U. Jürgensens* Einrichtung, daß auch das Minimum der Tem-  
peratur gezeigt wird.....20—35 Duc.  
Thermometer, die Maximum, Minimum und Temperatur des An-  
geblichkeits zeigen, in silbernem Gehäuse.....15—20 Duc.  
Verlangt man diese Thermometer in Gold, so steigt der Preis  
nach dem Gewicht des Gehäuses.

Da die Chronometre immer mehr gebraucht werden, und der  
Absatz zunimmt, so hoffen *U. Jürgensens* Söhne bald im Stande  
zu seyn, Chronometer mit nicht so vollendeter Arbeit, aber für  
den Gebrauch ihrem Zwecke entsprechend, für 100 Ducaten an  
liefern.

Uhren zum Gebrauch für das bürgerliche Leben.

Chronometer für Liebhaber, mit sehr eleganter Ausführung.  
Taschenchronometer in Gold mit oder ohne Secunden, 130—175 Duc.  
Eben solche mit essentriichen Scheiben für Stunden und Secun-  
den, aber concentrischer Scheibe für die Minuten, mit einem  
*Jürgensens* Metallthermometer versehen.....175—200 Duc.

Uhren nach dem Chronometerprincip gebaut, oder sogenannte  
halbe Chronometer.

Die Preise richten sich nach der größeren oder geringeren An-  
näherung der Uhr an ein wirkliches Chronometer, und nach  
dem Luxus der Arbeit. Sie werden geliefert von .25—125 Duc.

#### Repetiruhren in Gold.

Erste Classe Duplex und Anker-Echappement mit oder ohne Com-  
pensation, mit Steinelöchern und Secunden.....65—100 Duc.

Mit Steinelöcher oder Stahlcylinder mit oder ohne Compensation,  
Steinelöcher.....45—80 Duc.

#### Taschenuhren in Gold ohne Repetition.

Echappement Duplex. Rubinlöcher für den Zapfen des Echappa-  
ments. Gezihrte Compensation der Spiralfeder, mit oder ohne  
Secunden. Diese wie alle anderen hier specificirten Uhren geben  
während des Aufziehens.....50—70 Duc.

Uhren mit Anker oder Cylinder-Echappement (Stein- oder Stahl-  
cylinder) mit oder ohne Steinelöcher, Compensation und Se-  
cunden.....40—65 Duc.

Uhren wie die vorigen, aber mit der möglichsten Einfachheit  
der Construction, nach *U. Jürgensens* erstem Plan, 35—50 Duc.

Uhren nach neuer Construction, nach dem Chronometer-Prinzip  
mit Compensationsuhr, und einem Metallthermometer von  
*Jürgensens*.....90—125 Duc.

Uhren nach derselben Construction, mit Duplex- oder halbe  
Echappement, mit gewöhnlicher Compensation und einem silber-  
nen Thermometer.....70—90 Duc.

Das Gold in den Gehäusen ist nie unter 18 Karat. Die  
Gehäuse sind immer stark, und im Allgemeinen von beträch-  
lichem Gewichte.

#### Uhren in silbernen Gehäusen.

Die wohlfeilsten Uhren dieser Art kosten 15 Ducaten. Selt der  
Werk wie in einer der vorigen Classen seyn, so wird die Uhr  
nur um die Differenz des silbernen und goldenen Gehäuses wohl-  
feiler.

#### Damen-Uhren.

Mit Steinelöcher, Steinelöcher, Duplex oder Anker-Echappement etc.  
von.....30—50 Ducaten

Von diesen beiden letzten Sorten findet man unter des  
Etablissement mixte noch wohlfeilere.

#### Etablissement mixte.

Die so bezeichneten Uhren sind in der Schweiz nach dem  
Plan, und unter der Leitung der Söhne *Urban Jürgensens* ge-  
macht, und nachher von ihnen nachgeschickt und vollendet. Diese  
Uhren sind mit mehr Sorgfalt und Genauigkeit, als selbst die  
bessere Sorte der im Handel vorkommenden gemacht. Sie können  
ohneachtet der Zeit, die zum Nachsehen und Vollenden gebraucht  
wird, doch an, in Bezug auf ihre Güte, geringeren Preise ver-  
kauft werden.

Man kann, außer den hier specificirten Uhren, auch Taschenuhren,  
Reisenuhren und überhaupt jede Sorte von Uhren bei *Urban Jürgensens*  
Söhnen bekommen.

S.

Einrichtung zur Erleichterung der Beobachtungen der Sternbedeckungen. Von Herrn Geh. Rath u. Ritter *Bessel*. p. 161. — Nachricht  
über die für die Kaiserliche Hauptsternwarte auf Pulkowa in Hamburg und München angefertigten Instrumente. Von Herrn  
Staatsrath v. *Struve*. p. 163. — Schreiben des Herrn Professors v. *Boguslawski*, Director der Bresl. Sternwarte, an den Heraus-  
geber p. 167. — Schreiben des Herrn Hofrath *Nicolaï* an den Herausgeber p. 176. — Anfangspunkte und Endpunkte der in der  
Nacht vom 13. zum 14. Novbr. auf der Königl. Sternwarte beobachteten Bahnen der Sternschuppen. Von Herrn Geh. Rath und  
Ritter *Bessel*. p. 171. — Circular an die Mitglieder des magnetischen Vereins nebst Einladung zur Subscription. p. 171. —  
Preise von *Jürgensens* Chronometern etc. p. 173.

Altona 1837. Januar 11. (Nr. 367—370 werden nachgeliefert.)

### November Beobachtungen von Sternschnuppen 1838 in Bremen.

Von Herrn Doctor und Ritter *Olters*.

Mit Vergnügen theile ich Ihnen, Ihrer Aufforderung gemäß, eine kurze Nachricht über dasjenige mit, was hier im November 1838 hinsichtlich der Sternschnuppen geschehen und beobachtet ist. Es hatte sich eine Gesellschaft junger wissenschaftlich gebildeter Männer vereinigt, in den Nächten vom 1<sup>ten</sup> bis 15<sup>ten</sup> November diese Meteore zu beobachten. Sie wählten zum Observations-Lokal das obere Stockwerk eines Gartenhauses, das mit zwei gegen einander über gelegenen Balkons, den einen gegen W.N.W., den andern gegen O.S.O. versehen war. Von jedem dieser Balkons übersah man fast den ganzen Himmel, da das zwischenliegende niedere Dach für jeden nur einen kleinen Theil desselben verdeckte, und die übrige Aussicht fast ganz frei war.

In der Regel waren immer vier Personen mit den Beobachtungen beschäftigt. Einer bei dem nach mittlerer Zeit gut gerichteten Chronometer. Auf jedem Balkon befand sich ein Beobachter, der, sobald er eine Sternschnuppe sah, durch zählen im Sekunden-Tact dem am Chronometer beschäftigten die Zeit der Erscheinung angab, die dieser mit der Nummer, der scheinbaren Größe, dem Sternbilde und etwaigen sonstigen Bemerkungen in ein Register eintrug. Der Beobachter aber zeichnete den Lauf der Sternschnuppe mit ihrer Nummer in die Sternkarte. Während dieser Beschäftigung vertrat die vierte Person seine Stelle auf dem Balkon.

Diese so gut und verständlich getroffenen Anstalten wurden aber leider durch trübes Wetter zum größten Theile unnütz gemacht.

Die Nacht vom 11<sup>ten</sup> zum 12<sup>ten</sup> November war völlig trübe.

Die Nacht vom 12<sup>ten</sup> zum 13<sup>ten</sup> aber durchaus und ungewöhnlich heiter, die Luft auch sehr durchsichtig, so daß deswegen auch sehr kleine Sternschnuppen bemerkt werden konnten. Das erste dieser Meteore wurde zwar schon zwischen 6 und 6 Uhr gesehen, aber die regelmäßige Beobachtung fing erst um 7½ Uhr an. Bis 12 U. 3 M. wurden dann 82 Sternschnuppen beobachtet, worauf sich die Beobachter eine etwas mehr als halbstündige Pause erlaubten. Von 12 U. 37 M. bis 1 U. 30 M. erschienen dann 52 Sternschnuppen. Nun wurde wieder eine fast stündliche Pause gemacht, und dann von 1 U. 27 M. bis 17 U. 39 M. noch 51 dieser Meteore, mithin

in allem 186 Sternschnuppen wahrgenommen, und, wenige ausgenommen, in den Sternkarten eingezeichnet.

Obgleich aber in dieser Nacht 186 Sternschnuppen gesehen, und wenn man die Pausen auch noch so gering anschlägt, weit über 200 in Bremen sichtbar gewesen sind, so war dies doch nicht das eigentlich erwartete November Phänomen, denn die Bahnen dieser Sternschnuppen zeigten unter sich nichts paralleles, hatten auch gar keinen Bezug auf das Sternbild des Löwen. Im großen Löwen erschienen nur 4, und eben so viel im kleinen Löwen. Hingegen im Drachen 23, im großen Bären 18, im Schwan 11, im Cepheus 9, u. s. w.; überhaupt in den nördlichen Sternbildern die mebrsten, außer daß auch der Pegasus 16 und der Orion 14 Meteore aufzuweisen hatten. Kurz, alle diese zahlreichen Sternschnuppen schienen zu den sporadischen, nicht zu den eigentlich periodischen zu gehören.

In Ansehung der Größe übertrafen zwei die erste Größe, 23 waren Sternen 1<sup>te</sup> Größe, 27 Sternen der 2<sup>ten</sup>, 63 der 3<sup>ten</sup>, 34 der 4<sup>ten</sup>, 12 der 5<sup>ten</sup>, 3 der 6<sup>ten</sup> Größe an Glanz oder Lichtstärke gleich, 7 wurden als klein oder sehr klein, und von den übrigen die Größe nicht angegeben. Mit Schweifen wurden wenige bemerkt; doch hatten einige erster Größe, z. B. Nr. 7, Nr. 101 einen sehr langen Schweif, und bei einer Nr. 165, die Sterne erster Größe bedeutend übertraf, blieb dieser Schweif 60<sup>o</sup> sichtbar.

Um 14½ Uhr begann anfangs schwach, nachher sehr glänzend und ausgedehnt, ein schönes Nordlicht, das bis zum Morgenlicht anhält, etwa um 4 Uhr seinen besten Glanzpunkt hatte, sich ungefähr 30° über den Horizont erhob, und große Strecken am Himmel mit lebhaftem blutrothen Lichte färbte. Die Beobachter bemerkten genau, daß die über die rothen Himmelsräume hinschießenden Sternschnuppen ihre weiße Farbe ganz angetrübt behielten, und glaubten daraus schließen zu können, daß die rothe Nordlichts-Materie weiter von der Oberfläche der Erde entfernt war, als diese Sternschnuppen.

Nacht vom 13<sup>ten</sup> zum 14<sup>ten</sup> November. Der Abend des 13<sup>ten</sup> Novbrs. war anfangs heiter, und es wurden von 6 U. 50 M. bis 8 U. 2 M. 12 Sternschnuppen wahrgenommen. Aber bald nach 8 Uhr verhüllte ein dichter Nebel den ganzen Himmel



Die Beobachter hielten bis nach Mitternacht auf ihren Posten. Da sich aber auch dann noch gar keine Hoffnung zeigte, daß der Himmel sich aufheitern könne, so gingen sie auseinander und legten sich zu Bette.

Und doch klärte es sich später wieder auf, und der den Lesern der Astr. Nachr. längst so rühmlich bekannte Herr Klüber in Rokwinkel, eine Meile von Bremen, beobachtete am 14 U. 40 M. die erste Sternschnuppe. Er schloß seine Beobachtungen mit der 100<sup>ten</sup> Sternschnuppe etwa um 16 U. 50 M. Von diesem Zeitraume geht etwa eine halbe Stunde ab, in der nicht beobachtet wurde. Fast sämtliche Sternschnuppen kamen aus den beiden Löwen und dem südlichen Theile des großen Bären, und ihre Richtung war fast durchaus nach N. N. O., zuerst mehr nördlich, dann mehr nach Osten übergehend. Von diesen 100 Sternschnuppen gieng nur eine nach Süden etwas westlich, oder der Hauptrichtung entgegengesetzt, über Südosten hinaus nach Süden zwei, eben so viele zwischen Westen und Süden, zwischen W. und N. W. höchstens fünf, etwa eben so viele zwischen O. und S. O., alle übrigen zwischen N. N. W. und O. mit erstgemeldeter vorwaltender nord-

östlicher Richtung. Der größte Theil dieser Sternschnuppen, etwa  $\frac{1}{4}$  oder  $\frac{1}{3}$ , hatte einen Schweif, der aber nur bei 4 oder 5 wirklich mit derselben verbunden war, in der Regel zeigte sich nur eine zurückbleibende leuchtende Spur auf der Bahn des Meteors. Ganz ausgezeichnet helle hat Herr Klüber nicht gesehen, nur einer war wohl etwas heller als Venus, und etwa 7 oder 8 glichen dem Jupiter, oder übertrafen ihn etwas.

Es leidet wohl keinen Zweifel, daß dies das eigentliche November Phänomen war, das sich, freilich weit südlicher, 1799 in der Nacht vom 11<sup>ten</sup> zum 12<sup>ten</sup> November zeigte, nachher 1832 und 1833 in der Nacht vom 12<sup>ten</sup> zum 13<sup>ten</sup> Novbr. vorkam, und nun seit 1834 in der Nacht vom 13<sup>ten</sup> zum 14<sup>ten</sup> November, also immer etwas später erschien.

Am 14<sup>ten</sup> Abends war es hier in Bremen nur bis gegen 9 Uhr Abends heiter, und unsere Beobachter sahen von 1<sup>1</sup> bis 8 Uhr vier, von 8 bis 9 Uhr neun Sternschnuppen. Nachher wurde es völlig trübe, und auch die folgenden Nächte, vom 15<sup>ten</sup> zum 16<sup>ten</sup> und vom 16<sup>ten</sup> zum 17<sup>ten</sup> November blieb der Himmel stets bedeckt.

*Olbers.*

### Die in der Nacht vom 11<sup>ten</sup> auf den 12<sup>ten</sup> August 1838 zu Braunsberg in Ost-Preußen beobachteten Sternschnuppen.

Von Herrn Professor L. Feldt.

In den Nächten vom 9<sup>ten</sup> bis 12<sup>ten</sup> August 1838 war ich auf die Erscheinung der Sternschnuppen genau aufmerksam. Die Nächte vom 9<sup>ten</sup> auf den 10<sup>ten</sup> und vom 10<sup>ten</sup> auf den 11<sup>ten</sup> August waren trübe, die Wolkendecke brach zwar manchmal in diesen Nächten, es zeigten sich aber keine Sternschnuppen. Die Nacht vom 11<sup>ten</sup> auf den 12<sup>ten</sup> blieb dagegen größtentheils heiter; es konnte von 10<sup>h</sup> 25<sup>m</sup> Abends bis gegen 2<sup>h</sup> des Morgens fast ohne Unterbrechung beobachtet werden. Die von mir und meinem Kollegen, Herrn Professor von Dittendorf, in dieser Nacht gemachten Beobachtungen will ich hier etwas näher angeben.

Bei den hier folgenden Beobachtungen konnten wir von unserm Standpunkte aus nur den kleineren Theil des Himmels übersehen, der bei weitem größere Theil blieb theils von Blumen und Häusern, theils von Wolken verdeckt. Von 10<sup>h</sup> 30<sup>m</sup> bis 13<sup>h</sup> 46<sup>m</sup>, also in 3 St. 16 Min., wurden im Ganzen 30 Sternschnuppen aufgezeichnet, wozu jedoch noch bemerkt werden kann, daß uns einige während des Aufzeichnens entgangen sein mögen. Unter diesen 30 Sternschnuppen hatten zwei einen sehr deutlichen Schweif, sechs Sternschnuppen glichen Sternen erster Größe; 17 waren wie Sterne zweiter und dritter Größe, und fünf noch kleiner.

Von 19 dieser Sternschnuppen ist die Rectascension und Declination des Anfangs- und Endpunktes der durchlaufenen Bahn in die Sternkarten auf folgende Weise eingetragen worden.

Die in dem nächstehenden Verzeichnisse unter Nr. 1, 2, 3 und 4 angegebenen Sternschnuppen sind von Herrn von Dittendorf beobachtet und verzeichnet worden; die übrigen dagegen habe ich selbst beobachtet und in die Sternkarten eingetragen.

1. Um 10<sup>h</sup> 30<sup>m</sup> mittl. Braunsb. Zeit. Eine Sternschnuppe erster Größe, sehr hell. Dauer der Erscheinung 2 Sekunden.

Des Anfangsp. AR. = 163° Decl. = + 62° 46'  
des Endpunkts — = 177 — = + 55.

2. Um 10<sup>h</sup> 42<sup>m</sup>. Eine Sternschnuppe zweiter bis dritter Größe durchlief ihren Weg sehr schnell.

Des Anfangsp. AR. = 229° 30' Decl. = + 72°  
des Endpunkts — = 253 30 — = + 58.

3. Um 10<sup>h</sup> 53<sup>m</sup>. Eine Sternschnuppe dritter Größe verschwand in einer Wolke. Bewegung sehr schnell.

Des Anfangsp. AR. = 115° 30' Decl. = + 89°  
des Endpunkts. — = 177 — = + 71° 30'

4. Um 11<sup>h</sup> 4'. Eine sehr schöne Sternschnuppe erster Größe mit einem Schweif. Bewegung langsam.

Des Anfangsp. AR. = 281° 30' Decl. = +40°  
des Endpoints — = 267 — = +21 40'.

5. Um 11<sup>h</sup> 9'. Eine Sternschnuppe zweiter Größe. Dauer gegen 3 Sekunden.

Des Anfangsp. AR. = 252° 30' Decl. = +53°  
des Endpoints — = 250 — = +44 20'.

6. Um 11<sup>h</sup> 15'. Eine kleine Sternschnuppe dritter bis vierter Größe. Bewegung sehr schnell.

Des Anfangsp. AR. = 304° Decl. = +15° 30'  
des Endpoints — = 299 30' — = +9 30.

7. Um 11<sup>h</sup> 18'. Eine kleine Sternschnuppe vierter Größe; sie durchlief ihren Weg schnell.

Des Anfangsp. AR. = 277° 30' Decl. = +10° 40'  
des Endpoints — = 274 — = +5 30

8. Um 11<sup>h</sup> 24'. Eine Sternschnuppe erster Größe mit einem schönen Schweif. Dauer über 3 Sekunden.

Des Anfangsp. AR. = 205° Decl. = +50°  
des Endpoints — = 206 30' — = +44 20'.

- Der Endpunkt ist zweifelhaft; die Sternschnuppe verschwand hinter einem Hanse.

9. Um 11<sup>h</sup> 27'. Eine Sternschnuppe dritter Größe. Bewegung schnell.

Des Anfangsp. AR. = 227° 30' Decl. = +74° 30'  
des Endpoints — = 197 40 — = +56.

10. Um 11<sup>h</sup> 32'. Eine kleine Sternschnuppe dritter oder vierter Größe. Bewegung sehr schnell.

Des Anfangsp. AR. = 330° Decl. = +86° 30'  
des Endpoints — = 22 30' — = +83.

- Um 11<sup>h</sup> 44' bedeckte sich der Himmel mit feinem Schleiergewölke, durch welches man nur Sterne erster Größe deutlich sehen konnte; um 12<sup>h</sup> war jedoch der Himmel wieder ganz heiter.

11. Um 12<sup>h</sup> 4'. Eine Sternschnuppe erster Größe. Bewegung langsam.

Des Anfangsp. AR. = 274° Decl. = +88° 40'  
des Endpoints — = 201 40' — = +63.

12. Um 12<sup>h</sup> 32'. Eine Sternschnuppe zweiter bis dritter Größe. Die durchlaufene Bahn kurz, Bewegung langsam.

Des Anfangsp. AR. = 284° Decl. = +30° 40'  
des Endpoints — = 280 — = +32 30.

13. Um 12<sup>h</sup> 34'. Eine Sternschnuppe erster bis zweiter Größe. Dauer gegen 3 Sekunden.

Des Anfangsp. AR. = 265° 30' Decl. = +62° 30'  
des Endpoints — = 274 — = +56 20.

14. Um 12<sup>h</sup> 42'. Eine Sternschnuppe dritter bis vierter Größe. Dauer 2 Sekunden.

Des Anfangsp. AR. = 272° 30' Decl. = +64°  
des Endpoints — = 281 30 — = 59.

15. Um 12<sup>h</sup> 48'. Eine sehr helle Sternschnuppe erster Größe. Bewegung langsam.

Des Anfangsp. AR. = 267° Decl. = +68°  
des Endpoints — = 259 — = +63 20'.

16. Um 13<sup>h</sup> 3'. Eine Sternschnuppe zweiter Größe. Dauer 2 Sekunden.

Des Anfangsp. AR. = 274° 30' Decl. = +25° 20'  
des Endpoints — = 274 — = +21.

17. Um 13<sup>h</sup> 14'. Eine Sternschnuppe zweiter bis dritter Größe.

Des Anfangsp. AR. = 296° 30' Decl. = +28° 40'  
des Endpoints — = 293 30 — = +22.

18. Um 13<sup>h</sup> 19'. Eine schöne Sternschnuppe erster Größe. Dauer 3 Sekunden.

Des Anfangsp. AR. = 57° 30' Decl. = +37°  
des Endpoints — = 55 30 — = +30.

19. Um 13<sup>h</sup> 27'. Eine Sternschnuppe dritter Größe; sie durchlief ihren Weg schnell.

Des Anfangsp. AR. = 35° 30' Decl. = +88° 20'  
des Endpoints — = 146 30 — = +75 20.

Gegen 13<sup>h</sup> 56' bedeckte sich der Himmel mit langen Wolkenstreifen und bekam ein weißliches Aussehen; der Mond hatte einen großen Hof. Gleich nach 14 Uhr mußten die Beobachtungen geschlossen werden; es wurde ganz trübe.

Wäre es möglich, für die eine oder andere dieser Erscheinungen von entfernten Beobachtern correspondirende zu erhalten, so könnte die Höhe und Bahn für solche Sternschnuppen leicht berechnet werden.

L. Feidt.

## Ueber den Enckeschen Kometen im Jahre 1838.

Von Herrn Hofrath Schwabe in Dessau.

Hiebei ein Steindruck.

Schon im August suchte ich, obgleich vergeblich, nach dem Kometen mit meinem flüssigen Fraunhofer'schen Fernrohr, woran ich eine eigene Okular-Röhre mit einer 30mal. Vergrößerung anschrauben kann. Kleine Lichtnebel und Nebelsterne, welche ich auf seiner von Bremiker berechneten

Bahn fand, zeigten in der Folge durch ihren unveränderten Stand, daß keiner von ihnen der Komet gewesen sein konnte: doch überzeugte ich mich bei diesen wie bei früheren Beobachtungen, daß nur mit der sehr lichtvollen 30mal. Vergr. dieses Instrumentes mir es möglich sein würde den Kometen

am besten aufzufinden, weil diese Weltkörper in großen Entfernungen von Sonne und Erde nur wegen ihrer Lichtschwäche, nicht aber wegen ihrer geringen Größe in den Fernrohren unsichtbar sind.

Im Anfang des Septembers war das Wetter zu Beobachtungen der Art sehr ungünstig und erst

am 29<sup>ten</sup> September fand ich den Kometen zwischen  $\gamma$  Trianguli und Aigol auf. Er erschien als ein sehr schwaches Lichtwölkchen von unbestimmter Gestalt und ohne Spur eines Kernes, ja selbst eine größere Lichtanhäufung in irgend einer Stelle seines Nebels war nicht zu bemerken. Schon mit einer 45mal. Vergr. würde ich dieses schwache Licht nicht aufgefunden haben, und hieraus schliesse ich, daß mein Fernrohr den Kometen nicht bedeutend früher gezeigt hat.

Am 30<sup>ten</sup> September, so wie am 1<sup>ten</sup> und 2ten October bemerkte ich keine augenfällige Veränderung in seiner physischen Beschaffenheit, jedoch konnte ich ihn am letzten Tage mit 54mal. Vergr. sehen und selbst mit 64mal. Vergr. eine Spur davon entdecken. Vom 3<sup>ten</sup> bis 10<sup>ten</sup> October verhielten sich die Dünste und Wolken jede Beobachtung.

Am 11<sup>ten</sup> October aber fand ich ihn 7<sup>h</sup> Abends nicht nur größer und lichtstärker, sondern in seinem Nebel zeigte sich nach dem Mittelpunkte zu das Licht auch etwas gedrängter. Mit 64mal. Vergr. sah ich ihn deutlich und selbst mit 45 und 56mal. Vergr. des 3<sup>füßigen</sup> Fraunhofer'schen Fernrohrs konnte ich ihn erblicken, doch war er noch in einem 2<sup>füßigen</sup> Fraunhofer unsichtbar. Gegen 8<sup>h</sup> Abends stand ein kleiner Fixstern fast im Mittelpunkte des Lichtnebels.

Den 12<sup>ten</sup> October 9<sup>h</sup> Abends konnte ich ihn mit 32 und 40mal. Vergr. des 2<sup>füßigen</sup> Fraunh., sonst aber keine wesentliche Veränderung bemerken.

Erst am 18<sup>ten</sup> October heiterte sich der Himmel theilweise auf, jedoch erlaubten die kurzen heitern Zwischenräume keine genauere Beobachtung, als daß er an Licht und Größe zugenommen hatte.

Den 19<sup>ten</sup> October klärte sich der Himmel vollkommen auf und ich fand den Kometen seit dem 12<sup>ten</sup> d. M. nicht nur sehr beträchtlich größer und heller, sondern ich sah auch, ohgleich die Grenzen des Lichtnebels sehr verwaschen waren, doch eine augenfällige Lichtanhäufung etwas außerhalb der Mitte, so daß der Komet an seinem vorangehenden Theile breiter, lichtschwächer und verwaschener an seinem nachfolgenden aber heller und dichter erschiebe. Einen Kern konnte ich nicht bemerken, ohgleich sein Stand in der Milchstraße diese Beobachtung dadurch sehr erschwerte, daß oft kleine Fixsterne in der Mitte des hellsten Lichtes sichtbar wurden. Fig. 1 stellt den Kometen 8<sup>h</sup> Abends mit 30mal. Vergr. des

6<sup>füßigen</sup> Fraunh. dar; die in und bei ihm befindlichen Punkte deuten Fixsterne an.

Am 21<sup>ten</sup> October fand ich keine wesentliche Änderung seiner Beschaffenheit, und den 22<sup>ten</sup> und 23<sup>ten</sup> sah ich bei nicht ganz reiner Luft nur die excentrische Verdichtung des Lichtnebels deutlicher als früher, aber ohne Spur eines Kernes.

Den 24<sup>ten</sup> October beobachtete ich bei heiterem Himmel von 6<sup>h</sup> bis 8<sup>h</sup> Abends, wo sich allmählich Dünste und opt. Wolken einzustellen. Der Komet war seit dem 21<sup>ten</sup> d. M. so augenfällig heller und größer geworden, daß ich ihn nicht nur mit einem 17zölligen Kometsucher von 15mal. Vergr. und dem Sucher des 6<sup>füßigen</sup> Fraunh. von 10mal. Vergr., sondern sogar mit einem astronomischen Taschenspectiv von 8mal. Vergr. abwechselnd doch mit Gewißheit erkennen konnte. Mit 30 und 45mal. Vergr. des 6<sup>füßigen</sup> Fernrohrs war seine Gestalt wegen der verwaschenen Grenze immer nur noch als rundlich zu unterscheiden, doch trat der dichtere excentrische Theil des Lichtnebels stärker als früher hervor, aber auch bei Anwendung der geeigneten Okulare von 30, 45, 54, 64 und 96mal. Vergr. des 6<sup>füßigen</sup> Fernrohrs sah ich keinen Kern.

Bis zum 5<sup>ten</sup> November konnte ich wegen Dünsten und Wolken nur mangelhafte Beobachtungen anstellen, allein an diesem Tage, der bis 10<sup>h</sup> Ab. heiter blieb, beobachtete ich von 7<sup>h</sup> Ab. an. Sein Licht hatte so sehr zugenommen, daß scharfsichtige Personen ihn mit unbewaffnetem Auge als einen schwachen Nebelfleck unterscheiden konnten. Mit 30mal. Vergr. sah ich ihn von halbovaler Gestalt, wie ihn Fig. 2 darstellt. In seinem nachfolgenden Theile befand sich sein hellstes Licht fast ganz an der Grenze und hatte keinen Kern, von hier aus zog sich der Lichtnebel nach  $\delta$  dem vorangehenden Theile des Kometen hin, doch war das matte Licht bei  $c$  etwas stärker als bei  $d$ , am schwächsten aber zwischen beiden Punkten. An denjenigen Tagen, wo sich der Komet der Erde am nächsten befand, konnte wegen höchst ungünstiger Witterung keine einzige Beobachtung gemacht werden, denn erst

am 10<sup>ten</sup> November klärte sich der Himmel gegen 7<sup>h</sup> Abends auf. Der Komet hatte an Licht und Größe abermals zugenommen. Sein Lichtnebel erschien ausgebreiteter, als am 5<sup>ten</sup> d. M., der nachfolgende Theil  $a$  Fig. 3 war ziemlich scharf begrenzt und sehr lichtvoll, im Mittelpunkte des hellsten Lichtes sah ich zum erstenmal ein feines Lichtpünktchen dann wann hervorblicken, das ich deshalb für keinen Fixstern halten konnte, weil es bei der fortschreitenden Bewegung des Kometen nach  $\delta$  hin immer an derselben Stelle wieder zum Vorschein kam. Der vorangehende Theil des Kometennebels war fächerartig ausgebreitet, weit weniger hell und hatte bei  $c$  etwas mehr über nebeartiges Licht, während der Theil  $d$  am

mattesten aber am weitesten verbreitet erschien und ein mehr streifiges Licht zeigte.

Den 11<sup>ten</sup> November war der Himmel bedeckt.

Am 12<sup>ten</sup> beehrte er sich von 6<sup>h</sup> bis 8<sup>h</sup> Abends auf und ich fand den Kometen wieder etwas heller und größer, als am 10<sup>ten</sup> d. M. In seinem hellsten Lichte bei a Fig. 4 bemerkte ich das Lichtpunkthen mit 30mal Vergr. wieder, es war deutlicher und dauernder als am 10<sup>ten</sup>, und blieb selbst bei 64 und 96mal. Vergr. sichtbar, mit 144mal. Vergr. verschwand es aber, und an seiner Stelle zeigte sich der Lichtnebel gedrängter und stärker, ohne eine Scheibe zu bilden. Die Lichtbülle b, b', b'' breitete sich weiter flückerartig aus, nach c und e hin traten zwei etwas hellere Lichtstreifen hervor, von denen e etwas gekrümmt schärfer begrenzt war und bei f eine dunkle Bucht bildete; bei b d b' hatte diese Lichtbülle die wenigste Helligkeit, ein streifiges Aussehen und die größte Ausdehnung; zugleich geben diese drei Punkte die Richtung seines Laufes an.

Am 13<sup>ten</sup> Novbr. beobachtete ich von 5<sup>h</sup> bis 7<sup>h</sup> Abends. Im Anfang konnte ich wegen der sehr hellen Dämmerung

mit 30mal. Vergr. nur die hellsten Theile des Kometen, nämlich den Kopf a Fig. 5 und den Lichtstreifen e erkennen, aber schon 5<sup>h</sup> Ab. sahe ich mit 64mal. Vergr. die ganze Lichtbülle heller und noch weiter flückerartig ausgebreitet als früher. Im Mittelpunkt der hellsten Stelle a bemerkte ich das fixsternähnliche Lichtpunkthen beständig und deutlicher. Der eintretende Nebel verhinderte stärkere Okulare darauf anzuwenden. Der gestern beschriebene bogenförmige Lichtstreifen e hatte an Schärfe, aber nicht an Licht verloren, war nicht mehr so stark gekrümmt und die Bucht f mit Nebel ausgefüllt; überhaupt erschien diese ganze Gegend heute weniger scharf begrenzt als früher. Zwischen beiden Streifen c und e hatte der Lichtnebel ein gedrängteres und gleichförmiges Aussehen, bei b d b' war er nugenförmig dünner und streifig. a und b sind zwei kleine Fixsterne.

Spätere brauchbare Beobachtungen wurden durch Wolken, Nebel, Mondschein, den schon niedrigen Stand und frühen Untergang des Kometen verhindert.

Dessau den 2<sup>ten</sup> December 1838.

Heinrich Schwabe.

## Sonnenbeobachtungen im Jahre 1838

Von Herrn Hofrath Schwabe in Dessau.

Die Sonne konnte an 202 Tagen beobachtet werden, sie war nie ohne Flecken und ich zählte 282 Gruppen. Im Januar und Februar hatte, wie es schon in den letzten Monaten von 1837 der Fall war, nur die eine Hälfte der Sonne eine so große Anzahl Flecken, daß ich meistens 10 bis 12 zugleich sichtbare, identisch abgesonderte und meistens reichhaltige Gruppen zählen konnte, die jedoch denen des vorigen Jahres an Menge der Flecken, Punkte und Nebel nachstanden. Die andere Halbkugel zeigte dagegen nur wenig einzelne kleine Flecken und Punkte. Vom März an bemerkte ich, daß sich die Flecken auf der westlichen Seite der fleckenreichen Sonnenhalbkugel schneller auflösten, nach der östlichen Seite zu aber immer stärker vermehrten, und vom Ende des Septembers bis zum Schlusse des Jahres war die im Januar und Februar reichste Seite mit nur wenigen einzelnen Flecken und die ent-

gegengesetzte mit vielen reichen Gruppen bedeckt, jedoch sah ich nur höchstens 7 Gruppen zu gleicher Zeit.

Die größten und ausgezeichnetsten heftigen Kernflecken befanden sich jedesmal nur da, wo die meisten Gruppen entstanden, und sehr oft waren sie mit unbewaffnetem Auge kennbar. Diejenigen Stellen, wo sich wenig oder keine Flecken zeigten, hatten ein buntes, körniges Aussehen, unzählige Poren und starke Narben, welche letztere besonders am 23<sup>ten</sup> September und 19<sup>ten</sup> December die beihlen Fleckenzonen sichtbar machten.

Lichtflocken bemerkte ich nur am 13<sup>ten</sup>, 14<sup>ten</sup> und 15<sup>ten</sup> Juli, welches zugleich die wärmsten Tage waren; ihr Flug richtete sich aber weder nach dem Zuge der Wolken, noch nach der Richtung des Windes.

Dessau, den 31<sup>sten</sup> December 1838.

Heinrich Schwabe.

Ueber die Lichtfunken, Lichtflocken und Lichtfäden bei Sonnenbeobachtungen.

Von Herrn Observator Galle in Berlin.

Im Laufe dieses Sommers bemerkte ich bei gelegentlicher Beobachtung der Sonnenoberfläche durch den großen Refractor auch die in Nr. 350 der Astr. Nachr. erwähnten Lichtfunken

oder Lichtflocken, am häufigsten an den Tagen Jun. 25, 29, Aug. 14, 23, Sept. 1, 15, 17. Was ich Näheres darüber wahr genommen habe, spricht sehr dafür, daß es der sogenannte

fliegende Sommer sei. Am 1<sup>ten</sup> und 17<sup>ten</sup> September bewegten sie sich so langsam, daß ich mehrere derselben bis 5° Entfernung von der Sonne verfolgen konnte. Hier legte ich das (nicht angeschraubte) Sonnenglas weg, zog das Ocular weiter heraus und bekam dadurch ein schärfer begrenztes Bild \*). Sie erschienen meist als längliche mit kleinen Seitenansätzen und Unebenheiten versehene Körper, welförmig und darscheinend, unten abgerundet, oben spitz und in einen Faden verlängert. Sie machten langsame Krümmungen und S förmige Biegungen, und erschienen in verschiedenen Projectionen verkürzt und verlängert. Oft waren zwei durch einen Faden verbunden, die sich um einander drehen, auch isolirte Fäden zogen vorüber, die das ganze Gesichtsfeld ein-

\*) Das Herausziehen des Oculars in dem einen Falle um 4<sup>1</sup>/<sub>2</sub> 26 Pr. bei 14° Focaldistanz giebt eine ungefähre Entfernung von 6600 Fufs, und wegen 15° Höhe über dem Horizont 1700 Fufs Höhe über der Erdoberfläche.

nahmen. Zwar habe ich übereinstimmend mit den Erfahrungen des Herrn Hofrath *Schweabe* (Astr. Nachr. Nr. 350) an Tagen, wo die Lichtflocken sehr häufig waren, keinen fliegenden Sommer gesehen, und umgekehrt. Dagegen macht *Arzop* (Ann. Ch. et Ph. XXX. p. 471) gerade auf die Gleichzeitigkeit beider Erscheinungen aufmerksam. Auch könnte es wohl sein, daß der fliegende Sommer bei verschiedenen Zuständen der Atmosphäre in verschiedenen Höhen fliegt.

Daß alle Lichtflocken fliegender Sommer seien, folgt zwar aus den obigen Wahrnehmungen noch nicht, man wird sie aber bei der Gleichartigkeit ihres Ansehens immer für ähnliche in der Luft fliegende Fasern oder Staubtheilchen zu halten Ursache haben. Daß die Erscheinung keine optische Täuschung, noch im Focus des Fernrohrs zu suchen sei (vgl. A. N. Nr. 144) wird einfach dadurch bewiesen, daß sie im Fernrohr und im Sucher gleichzeitig erschienen, welchen Versuch der Herr Prof. *Encke* die Güte hatte in Gemeinschaft mit mir anzustellen.

G. Galle.

### Brief des Baronets, Sir John F. W. Herschel an den Herausgeber.

Slough, Jan 19. 1839.

The star  $\gamma$  Argus about which you enquire, was materially diminished in lustre before I quitted Africa and the diminution was progressive up to the last time that I saw it, which was on the 14<sup>th</sup> of April (in Lat. 17°—18° N.) at which time it had lost so much of its lustre as to rank between  $\alpha$  Orionis and Aldebaran, whereas at its maximum on the 28<sup>th</sup> Dec. 1837 it was scarcely inferior to a Centauri which, after Sirius and Canopus is beyond all comparison the brightest star in the Southern Hemisphere, and which ranks somewhat above Arcturus the brightest of our Northern Stars. Since my return to England I have had no report of the progress of this remarkable phenomenon.

Being on the subject of the brightness of the stars, I should be very glad to see the attention of astronomers recalled to the subject of estimations by the naked eye, after the manner of my Father's catalogues of comparative brightness, but without confining the comparisons to separate constellations, as I am convinced that not only many more periodical stars will thereby be discovered, but that changes not periodical will be found to prevail to a very much greater extent than is now supposed, and which I would suggest may be accounted for by superadding to *Olbers's* idea of imperfect transparency in the celestial spaces, that of inequality in the degree of opacity of different regions, and of movements going on in the opaque matter whatever it be. In short by supposing

the existence of some sort of cosmical cloudiness subject to internal movements depending on causes of which we are ignorant. Of the nature of these super-atmospheric clouds of course no conjecture can yet be formed, but some argument for their being of a material nature may be drawn from the strange observation of Ptolemy that Sirius was in his time one of the 6 red stars, classing it with Arcturus, Aldebaran, Polux, Antares and  $\alpha$  Orionis by the common epithet *virginis*. It seems much more likely that a red colour should be the effect of a medium interferred than that in the short space of 2000 years so vast a body should have actually undergone such a material change in its physical constitution.

Being on this subject I may notice a Hydra as certainly a periodic and a Cassiopeia as a variable star. At least, in Novembre last, I observed  $\gamma$  to be very decidedly the principal star in that constellation, whereas at present  $\alpha$  is as it was in my Father's time, the brightest of the three  $\alpha$ ,  $\beta$ ,  $\gamma$ . I am also disposed to agree with *Struve* who in a letter I have lately received from him seems to consider Capella as on the increase. Certainly on my return to the Northern Hemisphere I was surprised to find that a higher place must be assigned to Capella than I had mentally (from recollection) ascribed to it when engaged in arranging the Southern stars.

Turning up authorities on this highly interesting subject, I was greatly surprised to find the following numerical proper-

ness between the light of Southern stars assigned by *Humboldt* (*Tillock's Philosophical Magazine*, Jan. 7. 1802. Extract of a letter to *Lalande*).

Sirius = 100; Canopus = 98;  $\alpha$  Centauri = 96;  $\alpha$  Eridani = 94; Procyon = 88;  $\alpha$  Gruis = 81;  $\alpha$  Pavonis = 78; etc. etc. He says „I employed the method proposed by Dr. *Herschel* and diaphragms of the same kind as those used for the satellites.“ Now these numbers, even as the mere rough estimate by the naked eye appear to me so very erroneous that I am at a loss what to make of them, nor can anything set in a stronger light the extreme difficulty of procuring numerical measures of star light, than the fact of their ever having been obtained by an observer usually so very careful and exact. For my own part I cannot estimate the light of Canopus as much more than half that of Sirius, and the step from Canopus to  $\alpha$  Centauri is fully as wide as that from Sirius to Canopus. Again I make by actual measurement, on a principle open I think to no theoretical objection, though attended with some trouble in practice, I make  $\alpha$  Eridani only half  $\alpha$  Centauri instead of being to it in the ratio of 94 to 96 as *Humboldt* makes it etc. etc.

Perhaps too I may be pardoned if, without at all intending to criticise the ingenious and elaborate instrumental contrivances of M. *Steinheil*, I take this opportunity of drawing his attention (should you think these remarks worthy of place in the *Nachrichten*) to one or two cases in the list of relative magnitudes given in p. 24 of his work (*Elemente der Helligkeits-Messungen* etc.) where if I mistake not comparison of the stars by the naked eye would have led him to hesitate about the adoption of the numbers assigned. Thus, he places Spica considerably above Rigel, Procyon above Capella, Regulus above Aldebaran and makes Spica and Capella very nearly equal.

The order I have myself been led to assign to the stars entitled to be regarded as of the first magnitude (open however to correction as regards the inter-ordering of Northern with Southern Stars) is as follows. 1. Sirius, 2. Canopus, 3.  $\alpha$  Centauri, 4.  $\gamma$  Argus at its maximum, 5. Arcturus, 6. Capella, 7. Lyra, 8. Rigel, 9.  $\alpha$  Eridani, 10. Procyon, 11. Aldebaran, 12.  $\alpha$  Orionis (somewhat doubtful), 13.  $\beta$  Centauri, 14.  $\alpha$  Crucis, 15. Antares, 16. Spica, 17.  $\alpha$  Aquile, 18. Pollux, 19.  $\alpha$  Cygni, 20. Fomalhaut, 21.  $\beta$  Crucis, 22. Regulus (?), 23.  $\alpha$  Canis majoris, 24.  $\lambda$  Scorpii (?), 25.  $\alpha$  Gruis. I do not however give this list as even my own final result, for it is impossible in the first place to compare directly each star with that immediately above and below it, and, secondly I have not yet fully reduced and fairly combined all my photometric comparisons. Of these however I will give a few as specimens.  $\alpha$  Centauri being taken = 1000 (Sirius being too bright for convenient employment as a Standard Star in my method).

Sirius	= 4102	$\alpha$ Crucis	= 381
Canopus	= 2281	$\alpha$ Aquile	= 357
$\alpha$ Centauri	= 1000	$\beta$ Crucis	= 263
Arcturus	= 744	$\alpha$ Canis	= 219
Rigel	= 742	$\gamma$ Crucis	= 207
$\alpha$ Eridani	= 519	$\alpha$ Gruis	= 179
$\beta$ Centauri	= 426		etc.

I fear that my health will no longer suffer me to indulge the hope of prosecuting these enquiries myself farther in this hemisphere. To my no small annoyance I find that night exposure at least in the winter season is more than I can now face, having been of late a sufferer from severe Rheumatic affections which warn me pretty forcibly to desist. Yet the winter has hitherto been with us remarkably mild. We have had snow only for a few hours and very little continued frost and an unusual allowance of late of winter sunshine.

J. F. W. Herschel.

### Ehrenbezeugungen.

Se. Majestät der König von Schweden haben dem Herrn Capitain v. *Nyegaard*, R. v. D., der bei den mir Allerhöchst übertragenen Vermessungen angestellt ist, das Ritterkreuz des Schwerdtordens, und Herrn Observator *Petersen* das Ritterkreuz des Wassordens zu verleihen geruht.

S. M. der Kaiser von Rußland haben dem Herrn Staatsrath v. *Starinski*, Director der Wilnaer Sternwarte, den St. Annenorden 2<sup>ter</sup> Klasse, und dem Herrn *Houschnevitich*, Observator an der Wilnaer Sternwarte, den Stanislausorden 4<sup>ter</sup> Klasse und einen Brillantenz zu verleihen geruht.

S.

## Druckfehler in meinem Aufsatz über Längen-Unterschiede.

Astr. Nachr. Nr. 351 und 352.

M. u.	S. 253. Z. 25	statt	einer Zeitbestimmung	lies	meiner Zeitbestimmung.
	z 254. z 10 v. u.		z neben		z selbst
M.	z 255. 2 Col. Z. 27		z 56 13,40		z 56 13,40:1
	z 259. 1 z z 23		z 59 55,0		z 59 55,0 H.
	z 24		z 7 25,0 H.		z 7 25,0
	z — Z. 37 ist Ang. 25 vorn beizufügen.				
M.	z 260. z 34	statt	4'		z 3'
M. u.	z — z 36		z vergehlicher		z vergehlicher
M.	z 262 z 3		z Beobachtungen		z Lampen-Beobachtungen
	z — z 6 v. u.		z stehende		z stehenden
	z — z 4 v. u.		z am die		z von der
M. u.	z 263. Col. 2 Z. 4		z 42 41,73		z 42 41,73
	z 264. z 4 am Ende		z — 0,18		z + 0,18
			z + 0,22		z — 0,22
M.	z 265. z 8 Z. 20		z 2 12,81		z 2 12,81:
	z 266. sind bei den Feldberg Signalen des 26ten Ang. sämtliche Zeilen verschoben				
	die Zeile 5 <sup>h</sup> 31' gehört zu den Heliotropsignalen.				
	z z 8 35 muß eine Zeile weiter hinaufgerückt werden, und bleibt isolirt.				
	z z 8 43 kommt dann mit 8 38 der Meissner-Signale in eine Linie zu stehen, und nach alle h				
	genden eine Zeile hinauf, so dass bei den Meissner-Signalen die Zeile 9 50 isolirt bleibt				
	z 270. Ueberschrift	statt	zΔ	lies	Δz
M.	z 271. Col. 3 Z. 19		z 45 53,60		z 45 53,60:
	z 273. letzte Zeile		z einer		z meiner
M.	z 274. Z. 13		z vortheilhafteste		z rathsamste
	z 277. z 4		z γΔ		z Δγ
M. u.	z — z 27		z eben		z oben
M. u.	z 278. z 4		z der		z die

Marburg, den 5ten Januars 1838.

Gerling.

Die Fehler, vor denen M. steht, sind im Manuscripte, die vor denen M. n. steht entstanden aus Unendlichkeit des Manuscriptes.

## Verbesserungen.

In den Astr. Nachr. Nr. 356.	S. 335. Z. 1.	statt:	$\frac{(r-r')^2}{24\mu^2}$	lies man:	$\frac{(r-r')^2}{24\mu^2}$
	z 339. z 8.		z a		z a
	z 339. z 8.		z $\frac{ar'-cr,r_r}{10^{12}-11}$		z $\frac{ar_r'-cr,r_r}{10^{12}-11}$
Nr. 365. 366.	z 68. Z. 15.		z dieser		z diesen
	z 70. z 24.		z der		z des
	z — z 25.		z Resultate		z Resultate
	z 76. Nr. 26.		z 0,308		z 0,328
	z 82. z 95.		z 0,307		z 0,207
Nr. 371	z 176. z 6.		z 25 — 125 Duc.		z 75 — 125 Duc.

November-Beobachtungen von Sternschnuppen 1838 in Bremen. Von Herrn Dr. und Ritter *Olbers*. p. 177.Die in der Nacht vom 11ten auf den 12ten August 1838 zu Braunsberg in Ostpreussen beobachteten Sternschnuppen, von Herrn Professor *L. Feldt*. p. 179.Ueber den Fackelschen Kometen im Jahre 1838. Von Herrn Hofrath *Schwabe* in Dessau (Hiebei ein Steindruck.) p. 181.Sonnen-Beobachtungen im Jahre 1838. Von Herrn Hofrath *Schwabe* in Dessau. p. 185.Ueber die Lichtfunken, Lichtflocken und Lichtfäden bei Sonnenbeobachtungen. Von Herrn Observator *Galle* in Berlin. p. 188.Brief des Baronets, Sir *John F. W. Herschel* an den Herausgeber. p. 187.

Ehrenbezeugungen. p. 189.

Druckfehler in *Gerlings* Aufsatz über Längenunterschiede. (Astron. Nachr. Nr. 351 u. 352.) p. 191.

Verbesserungen in den Astr. Nachr. p. 191.

Altona 1837. Februar 14. (Hiebei eine Steindrucktafel und 1 Bogen Mondephemerie.)

# Ephemeride des Mondes

für den Augenblick des Durchganges seines Mittelpuncts durch den Altonaer Meridian, nach *Burchardts* Tafeln berechnet, und für jede Sternwarte, deren Längenunterschied von Altona nicht über 3 Stunden ist, anwendbar,

für das Jahr 1839.

Zu Nr. 372 der Astr. Nachr.

Ich habe früher: in den Planeten-Distanzen vom Monde eine Ephemeride des Mondes für den Augenblick, in dem sein Mittelpunct durch den Altonaer Meridian geht, bekannt gemacht, die durch zugleich gegebene Hüllsgrößen für jede europäische Sternwarte (oder allgemein für jede Sternwarte, deren Längenunterschied von Altona nicht über 3 Stunden ist) ein bequemes und sicheres Mittel giebt, die Beobachtungen direct mit den *Burchardtschen* Tafeln, nach denen diese Ephemeride gerechnet ist, zu vergleichen. Da der Nautical Almanac und die *Connaissance des Temps* jetzt die von der Dänischen Regierung seit 1822 jährlich herausgegebenen Planetendistanzen, ihren großen Nutzen für die Schifffahrt erkennend, aufgenommen haben, so ward die Fortsetzung dieser Arbeit von unserer Seite unnöthig und ist mit dem Jahre 1838 abgebrochen. Die bis dahin in den Planetendistanzen bekannt gemachte Mond-Ephemeride werde ich daher von jetzt an den Astron. Nachrichten als Zugabe belegen.

Die Ephemeride giebt für den Augenblick des Durchganges durch den Altonaer Meridian ( $30^{\circ} 25'$  in Zeit östl. von Paris) die gerade Aufsteigung, Abweichung (nördliche +) Aequatoreal-Parallaxe und den Durchmesser des Mondes, und die Logarithmen der Hüllsgrößen,  $\alpha, \beta, \gamma, \alpha', \beta', \gamma', a, b$  durch die, die für Altona gegebenen Werthe auf jeden beliebigen Meridian, der nicht über 3 Stunden entfernt ist, reducirt werden.

Für eine Sternwarte nämlich, deren Längenunterschied von Altona in Zeitsecunden  $= t$  ist (positiv wenn die Sternwarte westlich, negativ wenn sie östlich von Altona liegt) müssen folgende Correctionen an die Zahlen der Ephemeride angebracht werden:

$$\begin{aligned} \text{an die AR} & \quad \alpha t + \beta t t + \gamma. t^3 \\ \text{an die } \delta & \quad \alpha' t + \beta' t t + \gamma'. t^3 \\ \text{an die Parallaxe} & \quad a t + b t t \end{aligned}$$

Den Logarithmus des Halbmessers findet man, wenn man zu dem Logarithmen der Parallaxe (in Secunden ausgedrückt) 9,43558 addirt.

S.

Jan.	Grade Aufst.	log $\alpha$	log $\beta$	log $\gamma$	Halbm.	Abweichung.	log $\alpha'$	log $\beta'$	log $\gamma'$	Parallaxe.	log a	log b
1	8 37 30,89	8,58514	2,2963n	5,423	15 23,2"	+22 39 0,0	9,23157n	3,4135n	7,58	56 27,9	6,6773n	9,826
2	9 30 31,33	8,54687	2,2377n	6,15	15 12,3"	+18 5 19,2	9,31603n	3,2229n	7,51	55 47,8	6,6489n	0,449
3	10 19 16,08	8,51320	2,1090n	6,27	15 2,5"	+12 49 39,7	9,36040n	2,9732n	7,39	55 11,9	6,5794n	0,671
4	11 4 49,62	8,48877	1,937n	6,29	14 54,6"	+7 10 13,8	9,38123n	2,5907n	7,27	54 42,9	6,4623n	0,755
5	11 48 26,27	8,47567	1,4440n	6,29	14 49,0"	+1 20 50,9	9,38643n	1,5982	7,18	54 22,4	6,2352n	0,847
6	12 31 21,31	8,47495	1,3403	6,28	14 46,3"	-4 27 39,3	9,37929n	2,6200	7,16	54 12,3	5,7118n	0,887
7	13 14 48,93	8,48845	1,8488	6,27	14 46,6"	-10 5 45,1	9,35977n	2,9085	7,22	54 13,6	5,8992	0,867
8	14 0 1,70	8,50891	2,0681	6,23	14 50,00	-15 23 31,0	9,32430n	3,1096	7,32	54 25,9	6,3176	0,875
9	14 48 8,26	8,53977	2,1933	6,08	14 56,3"	-20 8 58,6	9,26416n	3,2779	7,42	54 49,2	6,5122	0,780
10	15 40 5,51	8,57479	2,2461	5,19	15 5,1"	-24 6 56,1	9,16017n	3,4236	7,49	55 21,5	6,6246	0,695
11	16 36 21,50	8,60793	2,2081	6,16n	15 15,9	-26 58 44,6	8,96200n	3,5411	7,48	56 1,1	6,6878	0,417
12	17 36 32,85	8,63224	2,0064	6,48n	15 27,8	-28 24 20,0	8,40182n	3,6193	7,29	56 44,6	6,7104	9,525
13	18 39 11,63	8,64205	0,9779	6,55n	15 39,7	-28 7 11,4	8,69797	3,6480	5,68	57 28,6	6,6970	0,331n
14												
15	19 42 5,35	8,65591	1,8841n	6,42n	15 50,9	-26 0 33,6	9,09760	3,6212	7,30n	58 9,4	6,6427	0,659n
16	20 43 9,76	8,61751	2,0908n	5,95n	16 0,2	-22 10 54,5	9,28236	3,5368	7,53n	58 43,5	6,5385	0,790n
17	21 41 16,04	8,59392	2,0909n	5,85	16 7,0	-16 56 5,4	9,37006	3,3911	7,60n	59 8,5	6,3653	0,839n
18	22 36 22,45	8,57263	1,9534n	6,23	16 11,0	-10 40 10,1	9,44150	3,1552	7,59n	59 23,3	6,0548	0,817n
19	23 29 16,93	8,55933	1,5888n	6,33	16 12,4	-3 44 33,1	9,46611	2,6490	7,57n	59 28,4	4,8039	0,760n
20	0 21 14,23	8,55718	1,2643	6,35	16 11,5	+3 14 16,7	9,46556	2,6822n	7,55n	59 25,0	5,9024n	0,632n



Jan.	Grade Aufst.	log $\alpha$	log $\beta$	log $\gamma$	Hälftm.	Abweichung.	log $\alpha'$	log $\beta'$	log $\gamma'$	Parallaxe.	log $\alpha$	log $\beta$
21	1 13 38,75	8,56576	1,8675	6,29	16 5,8	+10 5 11,4	9,44091	3,1406n	7,55n	59 15,2	6,1552n	0,449n
22	2 7 51,88	8,58507	2,0695	6,10	16 4,8	+16 21 40,0	9,38782	3,3613n	7,55n	59 0,7	6,2849n	0,426n
23	3 4 57,00	8,61052	2,1306	5,04n	15 59,8	+21 40 57,3	9,29353	3,3068n	7,53n	58 42,2	6,3650n	0,373n
24	4 5 18,38	8,63319	2,0404	6,29n	15 54,0	+25 40 32,5	9,12657	3,6035n	7,41n	58 20,8	6,4243n	0,317n
25	5 8 17,59	8,64637	1,5658	6,54n	15 47,3	+25 0 56,7	8,77638	3,6519n	6,93n	57 56,3	6,4802n	0,317n
26	6 12 8,62	8,64439	1,7837n	6,55n	15 39,8	+28 30 47,6	8,25908n	3,6473n	7,08	57 28,7	6,5407n	0,224n
27	7 14 31,10	8,62634	2,1501n	6,37n	15 31,6	+27 11 15,2	8,95732n	3,5885n	7,46	56 58,6	6,5563n	0,403n
28	8 13 28,22	8,59633	2,2499n	5,75n	15 22,9	+24 15 52,8	9,17723n	3,4786n	7,55	56 26,9	6,5707n	0,418n
29	9 8 5,25	8,56113	2,2355n	5,90	15 14,2	+20 5 42,2	9,28874n	3,3207n	7,53	55 54,8	6,5666n	0,867
30	9 58 26,77	8,52739	2,1459n	6,18	15 5,7	+15 3 12,9	9,34905n	3,1085n	7,45	55 23,8	6,5663n	0,331
31	10 45 24,73	8,50009	1,9851n	6,25	14 58,2	+9 28 27,4	9,37962n	2,7970n	7,36	54 56,0	6,4735n	0,507
	11 29 36,79				14 51,9	+3 37 49,2				54 33,0		

## Febr.

1	11 29 56,79	8,48229	1,6998n	6,26	14 61,9	+3 37 49,2	9,39063n	2,0224n	7,26	54 33,0	6,3624n	0,659
2	12 13 14,05	8,47563	0,5369n	6,26	14 47,5	-2 15 37,3	9,38707n	2,5155	7,20	64 16,8	6,1499n	0,755
3	12 56 26,11	8,48055	1,6307	6,25	14 45,4	-8 0 58,4	9,37048n	2,8626	7,20	54 1,1	6,5478n	0,813
4	13 40 41,82	8,49647	1,9426	6,23	14 45,9	-13 28 7,9	9,33940n	3,0631	7,25	54 11,1	6,5239n	0,643
5	14 27 7,93	8,52174	2,1100	6,15	14 49,4	-18 26 20,6	9,28837n	3,2214	7,34	54 23,9	6,3295	0,679
6	15 16 45,06	8,55337	2,2017	6,89	14 56,0	-22 42 52,2	9,20476n	3,3603	7,43	54 47,9	6,5319	0,847
7	16 10 16,84	8,58674	2,2206	5,61n	15 5,4	-26 2 7,2	9,05833n	3,4809	7,46	55 22,4	6,6523	0,822
8	17 7 62,13	8,61582	2,1354	6,29n	15 17,4	-28 6 2,7	8,74495n	3,5754	7,40	56 6,6	6,7448	0,639
9	18 8 46,49	8,63433	1,8366	6,49n	15 31,2	-28 36 45,7	8,16116	3,6328	7,11	56 67,3	6,7870	0,317
10	19 11 21,13	8,63905	1,2151n	6,48n	16 45,8	-27 21 32,0	8,95572	3,6434	6,76n	57 51,0	6,7923	0,127n
11	20 13 33,60	8,62991	1,9196n	6,26n	15 59,9	-24 17 54,3	9,21360	3,6014	7,39n	58 42,7	6,7533	0,677n
12	21 13 47,18	8,61200	2,0376n	5,53n	16 12,1	-19 35 46,2	9,35396	3,5013	7,57n	69 27,3	6,6590	0,896n
13	22 11 22,93	8,59229	1,9798n	6,04	16 21,1	-13 35 11,6	9,43428	3,3253	7,63n	60 0,2	6,4751	1,003n
14												
15	23 6 39,43	8,57723	1,7460n	6,26	16 26,0	-6 42 9,0	9,17503	2,9892	7,64n	60 18,2	6,0657	1,008n
16	0 0 34,21	8,57114	0,6127	6,32	16 26,6	+0 35 11,9	9,48519	2,1793n	7,63n	60 20,4	5,7837n	0,954n
17	0 54 23,05	8,57570	1,6899	6,29	16 23,3	+7 48 53,4	9,46779	3,0895n	7,61n	60 8,3	6,3365n	0,916n
18	1 49 23,87	8,58986	1,9681	6,12	16 16,7	+14 32 7,7	9,42080	3,3512n	7,58n	59 44,1	6,5191n	0,669n
19	2 46 40,61	8,60989	2,0687	5,17	16 8,1	+20 19 39,8	9,33542	3,5023n	7,52n	59 12,5	6,5975n	0,419n
20	3 46 43,53	8,62973	1,9939	6,17n	15 58,3	+24 48 24,8	9,18901	3,5969n	7,39n	58 36,7	6,6300n	0,905n
21	4 49 8,16	8,64225	1,0958	6,46n	15 48,2	+27 39 27,2	8,91201	3,6449n	6,97n	57 69,6	6,6341n	0,92n
22	5 52 28,29	8,64181	1,6651n	6,61n	15 36,2	+28 41 35,5	7,66463	3,6455n	6,95	57 22,9	6,6180n	0,148
23	6 54 40,48	8,62668	2,0908n	6,37n	16 28,7	+27 54 41,2	8,83519n	3,5984n	7,36	56 48,2	6,5905n	0,168
24	7 53 53,21	8,59976	2,2169n	6,91n	15 19,9	+25 29 42,5	9,11636n	3,6069n	7,50	56 15,7	6,5605n	0,188
25	8 49 6,49	8,56683	2,2203n	5,70	15 11,6	+21 44 57,6	9,25279n	3,3747n	7,50	55 45,5	6,5244n	0,257
26	9 40 13,16	8,53404	2,1495n	6,10	15 4,1	+17 1 6,6	9,32889n	3,1999n	7,45	55 18,0	6,4810n	0,273
27	10 27 51,78	8,50625	2,0123n	6,20	14 57,5	+11 37 36,1	9,36949n	2,9576n	7,38	54 53,4	6,4195n	0,433
28	11 25 57,24	8,48667	1,7814n	6,22	14 51,8	+5 51 17,5	9,36916n	2,5317n	7,31	54 32,8	6,3842n	0,439
	11 56 32,50				14 47,6	-0 3 38,8				54 16,4		

## März.

1	11 56 32,50	8,47705	1,2391n	6,22	14 47,5	-0 3 38,8	9,39193n	2,1717	7,25	54 16,4	6,1987n	0,604
2	12 39 41,76	8,47802	1,3972	6,21	14 44,5	-5 54 59,1	9,38046n	2,7721	7,23	54 8,9	5,8866n	0,625
3	13 23 28,15	8,48927	1,8203	6,20	14 43,4	-11 31 35,9	9,35430n	3,0154	7,25	54 1,8	4,6076n	0,720
4	14 8 52,88	8,50960	2,0175	6 13	14 44,4	-16 42 21,4	9,30991n	3,1808	7,30	54 6,7	5,9852	0,790
5	15 56 52,13	8,53665	2,1266	6,96	14 48,0	-21 15 13,8	9,23872n	3,3158	7,36	54 18,8	6,3188	0,836
6	15 48 10,13	8,56686	2,1724	6,80	14 54,3	-24 56 27,0	9,12115n	3,4309	7,40	54 41,9	6,5145	0,833
7	16 43 6,83	8,59542	2,1342	6,05n	15 3,4	-27 30 29,4	8,90219n	3,6253	7,37	55 15,3	6,6507	0,833
8	17 41 22,82	8,61704	1,9620	6,35n	15 15,3	-28 41 19,8	8,27239n	3,5919	7,23	55 68,9	6,7484	0,775
9	18 41 62,72	8,62760	1,3880	6,42n	15 29,6	-28 15 27,8	8,72963	3,6232	6,62	56 51,3	6,8109	0,389
10	19 42 59,46	8,62599	1,6008n	6,31n	16 45,4	-26 5 54,0	9,10044	3,6136	7,06n	67 49,4	6,8384	0,940

Mars. Grade Aufst.	log $\alpha$	log $\beta$	log $\gamma$	Haltm.	Abweichung.	log $\alpha'$	log $\beta'$	log $\gamma'$	Parallaxe.	log $a$	log $b$
11 20 43 10,06	8,61494	1,8884n	5,89n	16 1,6	-22 14 56,3	9,28634	3,5592	7,40n	58 48,7	6,8266	0,489n
12 21 41 29,68	8,59991	1,8989n	5,72	16 16,5	-16 54 27,1	9,39701	3,4511	7,55n	59 43,4	6,7668	0,839n
13 22 37 54,69	8,58699	1,8878n	6,16	15 28,8	-10 24 6,5	9,46200	3,2565	7,63n	60 27,8	6,6329	1,038n
14											
15 23 33 4,66	8,58109	0,8202n	6,28	16 36,3	-3 9 8,8	9,49279	2,8061	7,67n	60 56,1	6,3434	1,112n
16 0 28 5,54	8,58481	1,6478n	6,29	16 38,8	+ 4 21 34,1	9,49329	2,7831n	7,69n	61 5,3	4,9666n	1,127n
17 1 24 12,54	8,59803	1,9579n	6,16	15 35,9	+11 37 9,3	9,48237	3,2706n	7,68n	60 54,7	6,3678n	1,086n
18 2 22 32,53	8,61768	2,0664	5,51	16 28,1	+18 6 29,6	9,39333	3,4837n	7,63n	60 26,2	6,6162n	0,930n
19 3 23 41,77	8,63790	2,1943	6,14n	15 16,9	+23 20 28,0	9,26924	3,6042n	7,49n	59 45,0	6,7268n	0,729n
20 4 27 21,49	8,65136	1,6646	6,48n	16 3,5	+26 55 13,3	9,0439n	3,6635n	7,11n	58 55,9	6,7690n	0,002n
21 5 32 6,11	8,65171	1,6467n	6,55n	15 49,7	+28 36 25,6	8,47333	3,6688n	6,92	58 5,0	6,7698n	0,867
22 6 35 45,37	8,63665	2,1056n	6,41n	15 36,1	+28 22 39,9	8,67640n	3,6230n	7,40	57 15,3	6,7411n	0,542
23 7 36 17,73	8,60890	2,2420n	5,98n	15 23,9	+26 25 7,0	9,05492n	3,5327n	7,52	56 30,5	6,6894n	0,558
24 8 32 34,89	8,57444	2,2499n	5,69	15 13,2	+23 2 52,2	9,21729n	3,4061n	7,51	55 51,1	6,6228n	0,639
25 9 24 30,25	8,53978	2,1795n	6,12	15 4,2	+18 37 4,1	9,30532n	3,2458n	7,45	55 18,1	6,5421n	0,574
26 10 12 40,30	8,51003	2,0506n	6,21	14 56,7	+13 27 10,8	9,35510n	3,0409n	7,37	54 50,8	6,4509n	0,582
27 10 58 3,47	8,4847	1,83+2n	6,23	14 50,9	+ 7 49 43,6	8,83125n	2,7352n	7,30	54 29,2	6,3388n	0,558
28 11 41 43,53	8,47593	1,4083n	6,22	14 46,4	+ 1 58 36,5	9,3903n	1,7517n	7,26	54 13,0	6,1955n	0,550
29 12 24 45,13	8,47565	1,2012	6,20	14 43,5	- 3 53 58,8	9,38508n	2,6015	7,24	54 2,1	3,9773n	0,556
30 13 8 10,22	8,48456	1,7435	6,17	14 42,0	- 9 36 37,1	0,36522n	2,9343	7,26	53 56,7	5,4701n	0,589
31 13 52 57,57	8,50232	1,9601	6,10	14 42,1	-14 57 47,5	9,32796n	3,1316	7,30	53 57,1	5,5950	0,625
14 40 0,23				14 43,9	-19 45 9,0				54 3,8		
1 14 40 0,23	8,52673	2,0785	5,94	14 43,9	-19 45 9,0	9,26658n	3,2789	7,35	54 3,8	6,0721	0,689
2 15 30 0,03	8,55432	2,1281	5,17	14 47,8	-23 45 6,4	9,16673n	3,3975	7,37	54 17,8	6,3188	0,740
3 16 23 17,52	8,58140	2,1009	5,93n	13 53,8	-26 42 54,3	9,19300n	3,4911	7,54	54 40,0	6,4860	0,760
4 17 19 39,86	8,60260	1,9560	6,27n	15 2,2	-28 23 46,7	8,60417n	3,5579	7,21	55 10,8	6,6101	0,770
5 18 18 14,45	8,61426	1,5262	6,36n	15 13,0	-28 35 10,8	8,40220	3,5929	6,79	55 50,4	6,7080	0,770
6 19 17 39,01	8,61492	1,3909n	6,28n	15 26,1	-27 9 44,7	8,97046	3,5935	6,76n	16 38,7	6,7084	0,665
7 20 16 29,41	8,60649	1,7964n	5,93n	15 41,2	-24 7 20,8	9,20148	3,5591	7,22n	57 33,8	6,8261	0,449
8 21 13 50,29	8,59352	1,8435n	5,47	15 57,3	-19 35 17,7	9,33592	3,4879	7,40n	58 32,9	6,8384	0,729n
9 22 9 30,65	8,58168	1,6823n	6,10	16 13,1	-13 47 6,5	9,4219n	3,3679	7,51n	59 31,1	6,8094	0,671n
10 23 4 1,65	8,57601	0,8180n	6,27	16 27,1	- 7 1 14,8	9,47248	3,1485	7,59n	60 22,3	6,7234	0,933n
11 23 58 24,19	8,57980	1,6610	6,32	15 37,5	+ 0 19 15,9	9,49391	2,4773	7,57n	61 0,7	6,5428	1,084n
12 0 53 55,24	8,59394	1,9947	6,27	16 43,1	+ 7 46 52,3	9,48592	2,9932	7,72n	61 21,1	6,0548	1,170n
13											
14 1 51 52,12	8,61638	2,1401	5,96	16 42,7	+14 49 45,2	9,44277	3,3753n	7,73n	61 19,8	6,1463n	1,152n
15 2 53 10,74	8,54178	2,1530	5,95n	16 36,7	+20 53 41,8	9,3510n	3,5683n	7,66n	60 57,5	6,5693n	1,088n
16 3 57 54,70	8,66210	1,9191	6,49n	16 25,7	+25 26 14,1	9,17946	3,6716n	7,43n	60 17,1	6,7415n	0,923n
17 5 4 48,10	8,66904	1,0330n	6,53n	16 11,3	+28 3 15,5	8,81842	3,7042n	4,19	59 24,3	6,8167n	0,566n
18 6 11 24,30	8,65806	2,0834n	5,55n	15 55,4	+28 35 49,7	8,29050n	3,6728n	7,39	58 25,9	6,8366n	
19 7 15 4,72	8,63072	2,2817n	6,22n	15 39,4	+27 12 18,7	8,97280n	3,5854n	7,57	57 27,4	6,8179n	0,507
20 8 14 6,60	8,59355	2,3136n	5,45	15 24,7	+24 13 18,1	9,18119n	3,4540n	7,57	56 33,5	6,7673n	0,695
21 9 8 6,15	8,55441	2,2563n	6,15	15 12,0	+20 3 16,4	9,28535n	3,2886n	7,50	55 46,9	6,6914n	0,760
22 9 57 38,57	8,51969	2,1352n	6,26	15 1,7	+15 4 30,8	9,34239n	3,0866n	7,39	55 8,8	6,5794n	0,755
23 10 48 47,75	8,49347	1,9430n	6,28	14 53,6	+ 9 35 1,8	9,37292n	2,8164n	7,30	54 39,2	6,6952n	0,734
24 11 27 45,78	8,47776	1,6028n	6,25	14 47,7	+ 3 49 2,7	9,38549n	2,2723n	7,23	54 17,7	6,3090n	0,707
25 12 10 43,67	8,47351	0,6957	6,23	14 43,9	- 2 1 41,2	9,38512n	2,3759	7,22	54 8,8	6,0206n	0,655
26 12 53 48,58	8,48007	1,6706	6,19	14 42,0	- 7 46 28,4	9,37084n	2,8303	7,25	53 56,6	6,5816n	0,597
27 13 38 2,94	8,49621	1,9280	6,13	14 41,6	-13 14 20,0	9,34066n	3,0637	7,30	53 55,4	6,5753	0,639
28 14 24 22,92	8,51973	2,0623	5,98	14 43,1	-18 13 13,8	9,28579n	3,2325	7,35	54 0,6	6,5984	0,529
29 15 13 33,49	8,54725	2,1210	5,38	14 45,9	-22 29 29,5	9,20333n	3,3650	7,38	54 11,0	6,1890	0,611
30 16 5 58,53	8,57438	2,1019	5,89n	14 50,4	-25 48 3,2	9,05789n	3,4681	7,36	54 27,4	6,3840	0,582
17 1 28,77				14 56,4	-27 53 40,8				54 49,6		

May.	Grade	Anst.	log $\alpha$	log $\beta$	log $\gamma$	Häufm.	Abweichung.	log $\alpha'$	log $\beta'$	log $\gamma'$	Parallax.	log a	log b
1	17	1 28,77	8,59617	1,9663	6,26n	14 56,4	— 27 53 40,8	8,76846n	3,3402	7,22	54 49,6	6,4684	0,546
2	17	59 14,25	8,60843	1,5531	6,37n	15 4,2	— 28 33 26,5	7,6409n	3,5779	6,81	55 18,3	6,5669	0,618
3	18	57 52,56	8,60929	1,4002n	6,32n	15 13,7	— 27 39 41,2	8,84705	3,5794	6,72n	55 53,2	6,6458	0,539
4	19	55 55,68	8,60024	1,8298n	6,03n	15 25,0	— 25 12 4,2	9,12674	3,5464	7,18n	56 34,0	6,7099	0,579
5	20	52 21,79	8,58566	1,8992n	5,11	15 37,8	— 21 17 19,6	9,26042	3,4819	7,83n	57 21,4	6,7517	0,479
6	21	46 53,23	8,57127	1,7898n	6,06	15 61,7	— 16 7 22,0	9,37658	3,3838	7,41n	58 12,6	6,7816	0,826
7	22	39 55,33	8,56244	1,3468n	6,26	16 5,9	— 9 57 23,7	9,45744	3,2319	7,48n	59 4,7	6,7736	0,303n
8	23	82 26,01	8,56312	1,4643	6,34	16 19,3	— 3 5 14,3	9,47161	2,9361	7,55n	59 53,7	6,7234	0,750n
9	0	25 42,95	8,57521	1,9506	6,35	16 30,3	+ 4 8 0,8	9,48082	2,2172n	7,64n	60 34,3	6,6007	0,972n
10	1	21 12,71	8,59808	2,1586	6,25	16 37,6	+ 11 16 42,1	9,46123	3,1494n	7,72n	61 1,0	6,3248	1,084n
11	2	20 14,79	8,62794	2,2461	5,55	16 40,0	+ 17 49 55,7	9,40278	3,4508n	7,74n	61 9,7	5,1939n	1,142n
12	3	23 33,64	8,65740	2,1988	6,31n	16 36,8	+ 23 12 59,1	9,28305	3,6219n	7,66n	60 58,0	6,4040n	1,125n
14	4	30 39,68	8,67674	1,8502	6,65n	16 28,3	+ 26 32 46,4	9,04384	3,7083n	7,32n	60 26,7	6,6634n	1,016n
15	5	39 25,69	8,67767	1,7895n	6,70n	16 15,6	+ 28 27 8,0	8,30317	3,7179n	7,08	59 40,0	6,7845n	0,822n
16	6	46 42,10	8,65792	2,2444n	6,51n	16 0,2	+ 27 53 13,1	8,81366n	3,6562n	7,56	58 43,5	6,8355n	0,331n
17	7	49 44,58	8,62251	2,3529n	5,86n	15 43,9	+ 25 27 25,9	9,12741n	3,5341n	7,65	57 43,7	6,8373n	0,234
18	8	47 18,17	8,58038	2,3331n	6,05	15 28,2	+ 21 36 30,0	9,26533n	3,3647n	7,59	56 46,3	6,7013n	0,364n
19	9	39 34,36	8,53997	2,2368n	6,29	15 14,3	+ 16 47 29,6	9,33322n	8,1527n	7,48	55 55,3	6,7356n	0,766
20	10	27 54,26	8,50714	2,0757n	6,32	15 2,8	+ 11 22 38,1	9,36905n	2,8787n	7,35	55 12,9	6,6370n	0,635
21	11	12 36,33	8,48506	1,8179n	6,30	15 54,0	+ 5 38 36,9	9,38464n	2,4057n	7,24	54 40,6	6,4097n	0,522
22	12	55 59,85	8,47505	1,8888n	6,27	14 7,9	— 0 11 55,4	9,38600n	2,1992	7,19	54 18,2	6,3104n	0,794
23	13	38 59,85	8,47710	1,4938n	6,24	14 44,3	— 5 58 33,4	9,37489n	2,7443	7,20	54 5,1	6,0005n	0,760
24	13	22 45,93	8,49044	1,8690	5,19	14 43,1	— 11 31 19,0	9,34991n	2,9952	7,26	54 0,6	6,4817n	0,701
25	14	8 21,65	8,51213	2,0428n	6,08	14 43,9	— 16 39 16,1	9,30630n	3,1763	7,33	54 3,6	5,8798n	0,659
26	14	56 40,64	8,53982	2,1291	5,74	14 46,6	— 21 9 42,0	9,23409n	3,3226	7,39	54 13,4	6,1673	0,558
27	15	48 17,91	8,56874	2,1370	5,68n	14 50,7	— 24 47 43,0	9,11218n	3,4404	7,40	54 28,7	6,3188	0,542
28	16	43 16,02	8,59551	2,0382	6,23n	14 56,3	— 27 17 14,1	8,88322	3,5266	7,30	54 49,2	6,4224	0,489
29	17	40 53,41	8,60899	1,7133	6,40n	15 3,1	— 28 23 30,6	8,15921n	3,5758	6,98	55 14,1	6,4917	0,382
30	18	39 46,48	8,61212	1,2407n	6,40n	15 10,9	— 27 56 46,8	8,71423	3,5844	6,59n	55 42,6	6,5421	0,317
31	19	38 15,36	8,60343	1,8590n	6,19n	15 19,5	— 25 55 12,2	9,06546	3,5526	7,19n	56 14,2	6,5853	0,243
		20 55 0,38				15 29,0	— 22 25 18,8				56 49,0		

## Juni.

1	20	35 0,38	8,58692	1,9784n	5,37n	15 29,0	— 22 25 18,8	9,23989n	3,4856	7,36n	56 49,0	6,6222	0,224
2	21	29 27,52	8,50856	1,9291n	5,96	15 39,1	— 17 39 43,3	9,34454	3,3828	7,41n	57 26,3	6,4662	0,080
3	22	21 50,91	8,55430	1,7006n	6,23	15 49,7	— 11 54 8,1	9,37311	3,2383	7,43n	58 5,2	6,6612	0,729
4	23	13 1,29	8,54881	8,5249	6,33	16 0,5	+ 5 25 33,6	9,41470	3,0023	7,47n	58 44,9	6,5563	0,140n
5	0	4 12,79	8,55490	1,7692	6,37	16 10,8	+ 1 27 50,7	9,46414	2,2762	7,54n	59 22,5	6,6156	0,525n
6	0	56 52,34	8,57321	2,0779	6,35	16 19,7	+ 8 25 36,9	9,45679	2,962n	7,62n	59 55,1	6,5252	0,766n
7	1	52 29,37	8,60170	2,2325	6,17	16 26,2	+ 15 8 20,8	9,41952	3,2947n	7,69n	60 19,0	6,3152	0,933n
8	2	52 17,50	8,63504	2,2794	5,57n	16 29,1	+ 20 51 41,9	9,33692	3,5191n	7,71n	60 29,7	5,9754	1,019n
9	3	56 41,93	8,66449	2,1709	6,49n	16 27,8	+ 28 18 1,6	9,17829	3,6566n	7,89n	60 24,9	6,1841n	1,056n
10	5	4 38,67	8,67991	1,3548	6,71n	16 21,9	+ 27 52 37,2	8,80333	3,7185n	7,02n	60 3,4	6,5326n	1,065n
11							+ 0	0	0	0	0	0	0
12	6	13 25,47	8,67444	2,0163n	6,68n	16 12,0	+ 28 18 54,5	9,42394n	3,7038n	7,35	59 27,0	6,6929n	0,867n
13	7	19 42,54	8,64355	2,3059n	6,39n	15 59,1	+ 26 40 56,3	9,02846n	3,6165n	7,63	58 39,7	6,7715n	0,589n
14	8	21 6,70	8,60950	2,3611n	4,72	15 44,7	+ 23 20 33,4	9,22533n	3,4680n	7,66	57 46,6	6,7991n	0,780n
15	9	16 54,64	8,56693	2,3994n	6,18	15 29,9	+ 18 46 52,2	9,3612n	3,2633n	7,58	56 52,6	6,7849n	0,439
16	10	7 41,14	8,52864	2,1869n	6,32	15 16,3	+ 13 27 1,1	9,36714n	2,9922n	7,45	56 2,7	6,7333n	0,689
17	10	54 38,70	8,49973	1,9908n	6,33	15 4,7	+ 7 42 14,5	9,38775n	2,5575n	7,31	55 20,0	6,6462n	0,894
18	11	39 9,82	8,48263	1,6416n	6,31	14 55,6	+ 1 48 9,4	9,39138n	2,0174	7,21	54 46,7	6,5438n	0,847
19	12	22 35,08	8,47812	0,8354	6,28	14 49,4	— 4 3 29,4	9,38204n	2,6952	7,17	54 23,8	6,3103n	0,847
20	13	6 10,12	8,48572	1,7316	6,24	14 46,0	— 9 42 48,3	9,36010n	2,9469	7,20	54 11,4	5,9209n	0,839

Jan.	Grade Aufst.	log $\alpha$	log $\beta$	log $\gamma$	Haltbn.
21	13 51 5,06	8,50386	1,9828	6,17	14 45,4
22	14 38 22,43	8,52284	2,1119	5,99	14 47,3
23	15 20 50,90	8,53963	2,1612	6,06	14 51,4
24	16 12 51,95	8,58787	2,1189	4,08	14 57,3
25	17 20 5,05	8,60871	1,9216	6,38	15 4,5
26	18 19 19,69	8,61754	1,0434	6,45	15 12,7
27	19 18 51,25	8,61300	1,7642	6,32	15 21,6
28	20 16 59,53	8,59782	1,9962	6,95	15 30,2
29	21 12 44,68	8,57763	2,0140	5,66	15 38,6
30	22 5 59,31	8,58888	1,8889	6,15	15 46,7
31	22 57 20,67				15 54,1

1	22 57 20,67	8,54707	1,5143	6,29	15 54,1
2	23 47 54,51	8,54584	1,3542	6,35	16 0,8
3	0 39 2,42	8,55682	1,9131	6,36	16 6,5
4	1 32 12,18	8,57927	2,1395	6,28	16 11,3
5	2 28 45,60	8,60970	2,2454	6,87	16 14,4
6	3 29 35,42	8,64143	2,2350	6,14	16 15,3
7	4 34 35,58	8,66527	2,0145	6,58	16 13,6
8	5 42 2,31	8,67236	1,2645	6,69	16 8,8
9	6 49 1,75	8,65934	2,1428	6,57	16 1,1
10					
11	7 32 40,45	8,62911	2,3130	6,13	15 50,9
12	8 51 20,69	8,58996	2,3226	5,83	15 39,2
13	9 44 51,41	8,55059	2,2946	6,24	15 26,9
14	10 34 2,24	8,51752	2,0165	6,31	15 15,0
15	11 20 6,84	8,49451	1,8549	6,31	15 4,4
16	12 4 24,28	8,48340	1,8033	6,29	14 56,0
17	12 48 11,32	8,48448	1,4527	6,26	14 50,1
18	13 32 40,27	8,49689	1,8651	6,22	14 47,0
19	14 18 57,92	8,51868	2,0502	6,11	14 46,9
20	15 8 1,62	8,54661	2,1419	5,80	14 49,8
21	16 02 29,55	8,57608	2,1543	5,67	14 55,2
22	16 56 26,32	8,60145	2,0560	6,25	14 2,9
23	17 55 8,89	8,61721	1,7238	6,43	15 12,3
24	18 55 8,82	8,62006	1,3225	6,24	15 22,7
25	19 54 39,36	8,61053	1,9868	6,42	15 33,3
26	20 52 16,06	8,59287	2,0120	5,36	15 43,5
27	21 47 23,65	8,57330	1,9627	5,97	15 82,4
28	22 40 17,28	8,55787	1,7503	6,23	15 69,6
29	23 31 48,62	8,55110	0,8268	6,31	16 4,9
30	24 23 10,54	8,53543	1,6860	6,34	16 8,1
31	15 44,82	8,57106	2,0123	6,29	16 9,4
	210 51,20				16 9,1

1	210 51,20	8,59567	2,1615	6,05	16 9,1
2	3 30 38,88	8,62415	2,1961	5,67	16 7,4
3	41 57 17,71	8,64885	2,0743	6,41	16 4,4
4	8 17 15,44	8,66151	1,4320	6,11	16 0,0
5	63 11 0,48	8,65673	1,9251	6,59	15 54,1
6	7 27 4,77	8,63487	2,1979	6,33	15 46,8
7	8 26 57,76	8,60160	2,2867	5,21	15 38,2
8					
9	9 22 7,39	8,56474	2,2477	6,07	15 28,8
10	10 52 55,67	8,53112	2,1365	6,24	15 19,0

Abweichung.	log $\alpha'$	log $\beta'$	log $\gamma'$	Parallaxe.	log $\alpha$	log $\beta$
-14 59 58,3	9,32237	3,1256	7,28	54 9,2	5,4785	0,790
-19 43 42,9	9,26148	3,2735	7,36	54 16,2	6,1147	0,734
-23 40 32,4	9,16021	3,4007	7,41	54 31,3	6,3330	0,639
-26 34 42,7	8,97942	3,5020	7,38	54 52,9	6,4491	0,516
-28 10 5,4	8,85036	3,5700	7,19	55 19,4	6,5191	0,382
-28 13 39,8	8,4971	3,5965	6,18	55 49,5	6,5598	0,105
-26 39 47,9	8,99410	3,5784	7,12	56 21,5	6,5707	0,127
-23 32 23,5	9,20454	3,5165	7,38	56 53,4	6,5646	0,671
-19 3 39,5	9,32439	3,4125	7,46	57 24,6	6,5478	0,056
-13 30 42,8	9,39650	3,2609	7,47	57 54,1	6,5168	0,188
-7 12 24,3				58 21,3		

-7 12 24,3	9,43782	3,0231	7,48	58 21,3	6,4785	0,241
+0 27 52,7	9,45569	2,4346	7,48	58 45,9	6,4253	0,357
+6 23 16,9	9,45189	2,7605	7,54	59 7,1	6,3547	0,382
+12 59 50,8	9,42314	3,1696	7,61	59 24,5	6,2308	0,611
+18 57 35,2	9,35929	3,4258	7,65	59 35,8	5,9472	0,724
+23 48 53,1	9,23672	3,5834	7,62	59 39,2	5,1604	0,817
+27 5 20,1	8,98932	3,6775	7,40	59 32,8	6,1372	0,867
-28 24 39,7	9,06511	3,7049	6,92	59 15,3	6,4271	0,853
+27 39 30,6	8,86271	3,6621	7,48	58 47,0	6,5847	0,755
+25 11 21,1	9,15818	3,5528	7,64	58 9,7	6,6742	0,589
+20 54 18,5	9,29136	3,3824	7,63	57 26,6	6,7138	0,127
+15 47 4,4	9,35833	3,1453	7,54	56 41,5	6,7172	0,940
+10 4 43,6	9,38600	2,7675	7,42	55 57,7	6,6837	0,550
+4 6 24,2	9,39890	1,4733	7,29	55 19,1	6,6101	0,701
-1 52 47,0	9,39274	2,6258	7,21	54 48,0	6,4884	0,808
-7 41 34,4	9,37342	2,9128	7,18	54 26,4	6,2836	0,839
-13 9 59,0	9,33982	3,0880	7,23	54 15,1	5,8301	0,871
-18 7 47,0	9,28685	3,2295	7,30	54 14,8	3,7795	0,859
-22 23 10,2	9,20275	3,3548	7,37	54 25,2	6,2468	0,799
-25 42 4,1	9,06020	3,4629	7,39	54 45,0	6,4518	0,775
-27 48 45,8	8,77282	3,5462	7,32	55 13,5	6,5673	0,597
-28 28 20,0	7,74432	3,5951	6,98	55 47,9	6,6270	0,382
-27 30 42,5	8,87309	3,6015	6,75	56 25,9	6,6540	0,826
-24 54 31,4	9,14996	3,5622	7,30	57 4,9	6,6507	0,030
-20 48 11,2	9,29880	3,4760	7,46	57 42,3	6,6138	0,498
-15 27 43,3	9,38692	3,3367	7,52	58 15,1	6,5370	0,466
-9 13 19,8	9,43733	3,1130	7,53	58 41,4	6,4243	0,653
-2 26 40,2	9,46021	2,6200	7,53	59 0,8	6,2567	0,712
+4 30 20,5	9,45951	2,6708	7,55	59 12,6	5,9828	0,658
+11 15 26,5	9,43439	3,1489	7,57	59 17,6	3,3066	0,618
+17 25 19,8				59 16,4		

+17 25 19,8	9,37836	3,3821	7,60	59 16,4	5,6490	0,525
+22 35 10,2	9,27504	3,5365	7,58	59 10,1	6,0055	0,516
+26 19 41,3	9,08213	3,6369	7,44	58 59,8	6,1971	0,507
+28 17 13,0	8,61265	3,6823	6,81	58 42,8	6,3400	0,582
+28 16 20,3	8,62060	3,6679	7,25	58 21,1	6,4482	0,525
+26 20 50,2	9,06029	3,5933	7,55	57 54,4	6,5297	0,516
+22 48 23,5	9,24445	3,4617	7,61	57 22,9	6,5866	0,317
+18 3 53,6	9,33568	3,2719	7,57	56 48,3	6,6138	0,905
+12 32 32,0	9,38220	2,9976	7,48	56 12,5	6,6174	0,729

Aug.	Grade Anst.	log $\alpha$	log $\beta$	log $\gamma$	Hathm.
11	11 0 20,33	8,50534	1,9495n	6,28	15 9,5
12	11 45 31,98	8,48992	1,6078n	6,26	15 0,9
12	12 29 42,85	8,48573	0,7821	6,24	14 53,7
14	13 14 2,42	8,49261	1,6981	6,21	14 48,8
15	13 59 35,97	8,50022	1,9479	6,14	14 46,3
16	14 47 21,92	8,53315	2,0807	5,97	14 46,6
17	15 38 5,68	8,56077	2,1317	5,05	14 49,9
18	16 32 8,41	8,58730	2,0960	6,01n	14 56,2
19	17 19 13,65	8,60732	1,9228	6,32n	15 5,2
20	18 28 21,11	8,61727	1,5171	6,40n	15 16,5
21	19 27 59,54	8,61518	1,6181n	6,31n	15 29,2
22	20 26 39,20	8,60349	1,9039n	5,94n	15 42,4
23	21 23 23,31	8,58719	1,9320n	5,57	15 56,1
24	22 18 3,30	8,57217	1,7964n	6,11	16 6,1
25	23 11 12,19	8,56345	1,3224n	6,26	16 14,3
26	0 3 50,86	8,56426	1,4738	6,31	16 19,2
27	0 57 14,11	8,57556	1,9110	6,27	16 20,7
28	1 52 37,81	8,59580	2,0917	6,08	16 18,8
29	2 51 2,70	8,62071	2,1457	6,24n	16 14,2
30	3 52 50,85	8,64351	2,0506	6,31n	16 7,6
31	4 57 20,53	8,65553	1,5544	6,55n	15 59,8
6	2 40,64				15 51,3

Sept.

1	6 2 40,64	8,55416	1,8120n	6,56n	15 51,3
2	7 6 26,37	8,63570	2,1651n	6,36n	15 42,6
3	8 6 39,63	8,60353	2,2585n	5,69n	15 33,9
4	9 2 27,59	8,57061	2,2390n	5,94	15 25,3
5	9 53 59,86	8,53748	2,1460n	6,19	15 16,9
6	10 42 4,40	8,51086	1,9841n	6,24	15 8,9
7					
8	11 27 45,21	8,49347	1,7076n	6,24	15 1,4
9	12 12 9,67	8,48646	0,8500n	6,22	14 54,8
10	12 56 23,22	8,48983	1,6326	6,18	14 49,4
11	13 41 27,19	8,50254	1,8533	6,12	14 45,7
12	14 28 16,84	8,52268	2,0078	5,99	14 44,1
13	15 17 36,97	8,54724	2,0786	5,53	14 44,8
14	16 9 53,57	8,57225	2,0722	5,74n	14 48,2
15	17 5 3,31	8,59318	1,9600	6,18n	14 54,5
16	18 2 26,47	8,60606	1,6301	6,32n	15 3,8
17	19 0 52,50	8,60881	1,0910n	6,29n	15 15,8
18	19 59 1,88	8,60235	1,7279n	6,04n	15 29,9
19	20 55 54,83	8,59035	1,8322n	4,39n	15 45,3
20	21 51 9,80	8,57793	1,7395n	5,28	16 0,6
21	22 45 5,48	8,57009	1,3142n	6,21	16 14,5
22	23 38 31,99	8,57034	1,4233	6,29	16 25,4
23	0 32 38,63	8,58095	1,8921	6,29	16 32,2
24	1 28 40,96	8,60055	2,0904	6,14	16 34,2
25	2 27 44,24	8,62557	2,1606	4,72	16 31,5
26	3 30 18,17	8,64944	2,0877	6,29n	16 24,4
27	4 35 47,88	8,66403	1,6647	6,57n	16 14,5
28	5 42 22,85	8,66295	1,7836n	6,60n	16 2,2
29	6 47 29,14	8,64480	2,1791n	6,42n	15 49,7
30	7 48 56,18	8,61380	2,2835n	5,80n	15 37,5
	8 45 42,43				15 26,2

Abweichung.	log $\alpha'$	log $\beta'$	log $\gamma'$	Parallaxe.	log $\alpha$	log $\beta$
+ 6 36 2,7	9,40145n	2,4750n	7,38	55 37,5	6,5912n	0,357
+ 0 31 49,1	9,40187n	2,3975	7,28	55 5,9	6,5927n	0,566
- 5 26 23,3	9,38727n	2,8478	7,22	54 39,8	6,5147n	0,729
-11 7 8,2	9,35817n	3,0509	7,21	54 21,6	6,2065n	0,780
-16 19 51,9	9,31167n	3,1942	7,25	54 12,4	6,5919n	0,847
-20 53 33,3	9,23990n	3,3141	7,31	54 13,5	5,8831	0,875
-24 35 45,0	9,12482n	3,4198	7,36	54 25,7	6,5127	0,867
-27 12 34,3	9,17165n	3,5078	7,33	54 48,8	6,5138	0,817
-28 29 24,7	8,35270n	3,5705	7,18	55 21,7	6,6387	1,766
-28 14 11,4	8,36768n	3,5996	6,52	56 3,1	6,7129	0,550
-26 20 44,9	9,05256	3,5890	7,03n	56 49,8	6,7475	0,148
-22 51 25,9	9,24678	3,5355	7,36n	57 38,5	6,7475	0,168n
-17 57 17,2	9,36161	3,4338	7,49n	58 25,0	6,7070	0,423n
-11 55 55,0	9,43043	3,6233	7,59	59 5,2	6,5168	0,266n
- 5 9 5,8	9,46660	2,9364	7,59n	59 35,5	6,4518	0,916n
+ 1 59 6,7	9,47563	2,2008n	7,60n	59 53,6	6,1317	0,937n
+ 9 3 18,0	9,45811	3,0842n	7,62n	59 68,9	5,1049n	0,923n
+15 37 14,1	9,40976	3,3593n	7,62n	59 51,9	6,1552n	0,812n
-11 14 18,4	9,31857	3,5224n	7,58n	59 35,0	6,3868n	0,650n
+25 28 51,4	9,15450	3,6241n	7,44n	59 10,7	6,4941n	0,459n
+27 59 28,9	8,81290	3,6726n	6,94n	58 42,0	6,5421n	0,148n
+28 34 11,2				58 11,1		
+28 34 11,2	8,22049n	3,6568n	7,12	58 11,1	6,5639n	9,607n
+27 14 28,3	8,96536n	3,6071n	7,47	57 39,1	6,5687n	9,303
+24 14 40,7	9,24448n	3,4980n	7,56	57 7,3	6,5653n	9,127
+19 56 39,7	9,30288n	3,3414n	7,55	56 35,7	6,5599n	9,671
+14 43 49,3	9,36395n	3,1260n	7,49	56 4,8	6,5443n	9,002
+ 8 57 25,8	9,39418n	2,7887n	7,41	55 35,4	6,5207n	0,055
+ 2 55 29,3	9,40333n	1,1398n	7,33	55 7,8	6,4793n	0,382
- 3 6 58,8	9,39591n	2,6980	7,27	54 43,7	6,4079n	0,459
- 8 57 7,7	9,37317n	2,9848	7,25	54 24,0	6,2914n	0,611
-14 23 16,1	9,33348n	3,1533	7,25	54 10,4	6,0700n	0,695
-19 13 56,9	9,27146n	3,2792	7,29	54 4,2	6,5536n	0,773
-23 17 12,5	9,17473n	3,3839	7,31	54 6,9	6,9357	0,817
-26 20 11,8	9,01319n	3,4702	7,30	54 19,4	6,3152	0,883
-28 9 48,3	8,67894n	3,5354	7,20	54 42,7	6,5307	0,851
-28 34 17,6	8,16645	3,5753	6,89	55 16,6	6,6579	0,847
-27 25 53,8	8,90589	3,5820	6,49n	56 0,8	6,7484	0,701
-24 43 4,0	9,16128	3,5555	7,14n	56 52,5	8,8007	0,456
-20 31 22,0	9,30794	3,4925	7,36n	57 48,8	6,8198	0,517
-15 2 45,3	9,40001	3,3827	7,49n	58 45,2	6,7999	0,582n
- 8 34 26,5	9,45581	3,1890	7,56n	59 36,0	6,7291	0,831n
-12 59 7,7	9,48246	2,7170	7,63n	60 16,2	6,5847	1,044n
+ 5 51 7,7	9,48121	2,8077n	7,67n	60 41,2	6,2784	1,076n
+12 54 4,4	9,44867	3,2762n	7,69n	60 48,6	6,2539n	1,076n
+19 9 47,5	9,37516	3,4987n	7,66n	60 38,4	6,3307n	1,025n
+24 7 25,8	9,23811	3,6259n	7,53n	60 12,6	6,5734n	0,854n
+27 20 48,7	8,97161	3,6870n	7,10n	59 35,2	6,6816n	0,646n
+28 34 29,1	9,79584	3,6872n	7,08	58 61,2	6,7234n	0,127n
+27 48 18,7	8,85120n	3,6503n	7,48	58 5,1	6,7253n	9,972
+25 16 35,0	9,13622n	3,5243n	7,57	57 20,3	6,7000n	0,382
+21 21 42,0				56 39,0		

Dec.	Grade.	Instit.	log $\alpha$	log $\beta$	log $\gamma$	Hulbm.	Abweichung.	log $\alpha'$	log $\beta'$	log $\gamma'$	Parallaxe.	log $a$	log $b$
1	8 45	42,43	8,57721	2,2688n	5,94	15 26,2	+21 21 42,0	9,27047n	3,3766n	7,55	56 39,0	6,6563n	0,489
2	9 37	54,90	8,54204	2,1799n	6,20	15 16,2	+16 27 20,4	9,34242n	3,1853n	7,48	56 22,2	6,6013n	0,498
3	10 26	22,79	8,51330	2,0253n	6,26	15 7,6	+10 54 31,5	9,30606n	2,9194n	7,39	55 30,1	6,6563n	0,509
4	11 12	12,54	8,49385	1,7744n	6,75	15 0,4	+5 0 49,9	9,39685n	2,3893n	7,32	56 2,8	6,4615n	0,479
5	11 56	33,20	8,48486	1,1766n	6,22	14 53,6	-0 59 7,7	9,39637n	2,4287	7,28	54 40,0	6,316n	0,428
6	12 40	30,98	8,4626	1,4116	6,18	14 48,7	-6 52 28,5	9,38071n	2,8751	7,27	54 21,3	6,2744n	0,542
7	13 25	6,75	8,49702	1,7958	6,11	14 45,0	-12 27 9,8	9,34868n	3,0896	7,28	54 7,7	6,1127n	0,516
8	14 11	14,67	8,51523	1,9630	5,97	14 42,7	-17 31 13,2	9,29593n	3,2379	7,30	53 59,1	5,8194n	0,611
9	14 59	58,26	8,53800	2,0407	5,58	14 42,0	-21 52 11,7	9,21299n	3,3522	7,31	53 56,6	4,9929	0,671
10	15 50	43,62	8,56164	2,0419	5,63n	14 43,2	-25 17 10,5	9,07879n	3,4424	7,24	54 1,1	5,978	0,734
11	16 44	30,57	8,58193	1,9434	6,11n	14 46,6	-27 33 22,2	8,83212n	3,5087	7,18	54 13,7	6,2939	0,785
12	17 40	26,03	8,59506	1,6563	6,27n	14 52,5	-28 29 35,1	7,96508n	3,5487	6,90	54 35,4	6,4884	0,826
13	18 37	28,19	8,59889	0,6729n	6,26n	15 1,2	-27 58 14,0	8,72457	3,5599	5,99n	55 7,0	6,6270	0,826
14	19 34	69,48	8,59392	1,6499n	6,06n	15 12,5	-25 57 3,0	9,06017	3,5427	6,98n	55 48,5	6,7291	0,790
15	20 30	17,22	8,58332	1,7898n	6,19n	15 26,2	-22 29 28,5	9,23662	3,4977	7,21n	56 39,1	6,8003	0,671
16	21 34	41,08	8,57145	1,7222n	5,90	15 41,9	-17 43 56,5	9,34775	3,4232	7,34n	57 36,6	6,8399	0,317
17	22 17	48,91	8,56533	1,3447n	6,18	15 5,4	-11 52 45,2	9,42032	3,3041	7,44n	58 37,1	6,9449	0,105n
18	23 10	25,61	8,56347	1,3735	6,30	16 14,3	-5 11 47,0	9,16448	3,0846	7,54n	59 35,6	6,8074	0,734n
19	0 33	67,07	8,57368	1,6917	6,33	16 28,1	+1 58 58,6	9,48285	2,3086	7,64n	60 26,0	6,7089	0,981n
20	1 08	48,11	8,59433	2,1210	6,27	16 38,0	+9 14 18,7	9,47287	3,0172n	7,21n	61 2,2	6,5005	1,077n
21	1 57	12,86	8,62272	2,2314	5,88	16 42,7	+16 3 21,5	9,42638	3,3927n	7,75n	61 19,5	5,8764	1,160n
22	2 59	46,74	8,65268	2,2224	6,14n	16 41,6	+21 50 55,9	9,32564	3,5909n	7,70n	61 15,5	6,2279n	1,140n
23	4 21	48,84	8,67514	1,9922	6,59n	16 34,9	+26 2 13,9	9,12767	3,6958n	7,45n	60 51,1	6,5886n	1,049n
24	5 15	15,86	8,68127	1,4043n	6,70n	16 23,8	+28 11 17,8	8,64425	3,7253n	6,55	60 10,1	6,7398n	0,677n
25	6 23	32,53	8,66710	2,1693n	6,58n	16 9,6	+28 9 56,1	8,64800n	3,6825n	7,49	59 18,1	6,8074n	0,516
26	7 28	15,81	8,63586	2,3317n	6,13n	15 54,1	+26 9 53,3	9,07634n	3,5780n	7,64	58 21,2	6,8217n	0,970
27	8 27	46,72	8,69572	2,3387n	6,86	15 38,8	+22 35 51,5	9,24248n	3,4242n	7,62	67 25,1	6,7975n	0,525
28	9 21	66,91	8,55538	2,2604n	6,25	15 24,8	+17 55 23,0	9,32653n	3,2275n	7,52	56 33,8	6,7466n	0,659
29	10 11	36,96	8,52121	2,1181n	6,31	15 12,7	+12 32 25,8	9,36994n	3,29713n	7,41	55 49,2	6,6747n	0,718
30	10 58	1,22	8,49688	1,8949n	6,30	15 2,6	+6 45 49,4	9,38978n	2,5504n	7,31	55 12,3	6,5807n	0,729
31	11 42	27,61				14 64,7	+0 50 10,7				54 43,3		
1	11 42	27,61	8,45389	1,4657n	6,26	14 54,7	+0 50 10,7	9,39807n	2,1081	7,25	54 43,3	6,4658n	0,689
2	12 26	10,21	8,49232	1,1948	6,22	14 48,8	-5 5 22,1	9,38226n	2,7587	7,24	54 21,6	6,3236n	0,652
3	13 10	15,35	8,49112	1,7429	6,15	14 44,7	-10 40 34,8	9,35667n	3,0128	7,26	54 6,6	6,1427n	0,582
4	13 55	42,21	8,50830	1,9441	6,03	14 42,2	-15 53 5,8	9,31241n	3,1831	7,30	53 57,4	5,8629n	0,582
5	14 43	18,91	8,53092	2,0375	6,69	14 41,2	-20 27 35,6	9,24154n	3,3137	7,33	53 63,9	4,9386n	0,566
6	15 33	36,15	8,55507	2,0499	5,52n	14 41,8	-24 10 48,7	9,12721n	3,4165	7,31	63 55,9	5,7356	0,558
7	16 26	37,89	8,57628	1,9620	6,10n	14 43,8	-26 49 13,2	8,92713n	3,4913	7,21	54 3,4	6,0888	0,632
8	17 21	53,60	8,59031	1,6873	6,28n	14 47,6	-28 10 49,5	8,44413n	3,5359	6,94	54 17,2	6,2914	0,625
9	18 18	20,66	8,69455	0,6692n	6,29n	14 53,1	-28 7 27,0	8,51569	3,5485	5,98n	64 37,4	6,4419	0,718
10	19 14	41,81	8,58907	1,6957n	6,13n	15 0,7	-26 36 36,4	8,96824	3,5301	6,98n	55 5,3	6,5673	0,734
11	20 9	51,76	8,57674	1,8557n	5,53n	15 10,5	-23 41 49,8	9,17262	3,4843	7,19n	66 41,3	6,6672	0,740
12	21 3	17,99	8,56228	1,8261n	5,81	15 22,6	-19 31 22,7	9,29609	3,4148	7,27n	56 25,4	6,7439	0,683
13	21 55	7,00	8,55082	1,9885n	6,15	15 36,5	-14 16 23,2	9,37706	3,3183	7,33n	57 16,6	6,7967	0,526
14	22 58	58,83	8,54682	0,6273	6,29	15 51,8	-8 9 46,2	9,43009	5,1712	7,40n	58 12,7	6,8243	0,081
15	23 36	58,38	8,55338	1,7732	6,36	16 7,6	-1 26 31,4	9,46052	2,8753	7,51n	69 10,4	6,8167	0,439n
16	0 29	27,29	8,57181	2,0810	6,37	16 22,1	+6 34 55,9	9,46814	2,3119n	7,63n	60 4,0	6,7573	0,843n
17	1 24	65,67	8,60101	2,2497	6,27	16 33,9	+12 30 41,1	9,44721	3,1596n	7,73n	60 47,3	6,6240	1,016n
18	2 24	46,24	8,63660	2,3214	5,27	16 41,6	+18 49 67,6	9,38458	3,4678n	7,77n	61 15,1	6,3248	1,136n
19	3 29	42,26	8,67029	2,2600	6,43n	16 43,5	+23 56 8,2	9,25144	3,6467n	7,70n	61 22,7	6,6013n	1,176n

Nov.	Grade Aufst.	log $\alpha$	log $\beta$	log $\gamma$	Halb.	Abweichung.	log $\alpha'$	log $\beta'$	log $\gamma'$	Parallaxe.	log $\alpha$	log $\beta$
21	4 38 59,63	8,69119	1,8639	6,73n	16 39,6	+27 13 1,5	8,96392	3,7353n	7,32n	61 8,2	6,4632n	1,131n
22	5 50 0,17	8,69057	1,9158n	6,75n	16 30,2	+28 16 46,2	7,57457n	3,73n6n	7,24	60 33,7	6,6963n	1,009n
23	6 59 2,01	8,66720	2,3104n	6,51n	16 16,7	+27 5 56,9	8,96273n	3,6619n	7,65	59 44,1	6,8055n	0,790n
24	8 3 8,86	8,62799	2,3924n	5,49n	16 0,7	+24 1 51,5	9,20430n	3,5169n	7,70	58 45,4	6,8481n	0,188n
25	9 1 15,35	8,58340	2,3515n	6,19	15 44,0	+19 35 46,3	9,31379n	3,3137n	7,63	57 44,3	6,8442n	0,317
26	9 53 50,16	8,54236	2,2365n	6,35	15 28,2	+14 17 50,8	9,36714n	3,0439n	7,50	56 46,2	6,8059n	0,659
27	10 42 8,35	8,51047	2,0531n	6,35	15 14,2	+ 8 31 49,7	9,39047n	2,6221n	7,36	55 54,8	6,7370n	0,785
28	11 27 37,03	8,49039	1,7555n	6,31	15 2,6	+ 2 35 1,2	9,39511n	1,9598	7,25	55 12,4	6,6393n	0,409
29	12 11 40,01	8,48281	0,7714n	6,27	14 53,7	+ 3 19 42,3	9,38577n	2,7095	7,20	54 39,6	6,5084n	0,572
30	12 55 33,49	8,48707	1,5981	6,22	14 47,4	+ 9 1 42,9	9,36317n	2,9623	7,21	54 16,6	6,3272n	0,780
	13 40 25,34				14 43,6	+14 20 49,8				54 2,6		
Dec.												
1	13 40 25,34	8,50144	1,8950	6,12	14 43,6	+14 20 49,8	9,32466n	3,1331	7,26	54 2,6	6,0570n	0,779
2	14 27 13,18	8,52312	2,0301	5,91	14 42,0	+19 6 0,5	9,26352n	3,2699	7,31	53 56,6	5,4233n	0,671
3	15 16 38,96	8,54823	2,0758	2,89	14 42,2	+23 4 44,8	9,16590n	3,3n34	7,33	53 57,6	5,6763	0,587
4	16 8 59,42	8,57198	2,0264	6,02n	14 44,1	+26 3 20,7	8,99979n	3,1715	7,28	54 4,5	6,0523	0,538
5												
6	17 3 55,12	8,58940	1,8222	6,29n	14 47,5	+27 48 30,1	8,65139n	3,5293	7,08	54 16,8	6,2254	0,459
7	18 0 27,66	8,59670	0,9221	6,36n	14 52,0	+28 9 58,6	8,19229	3,5519	6,11	54 33,5	6,3423	0,489
8	18 57 12,95	8,59276	1,6769n	6,26n	14 57,9	+27 3 22,9	8,88410	3,5377	6,98n	54 54,9	6,4392	0,489
9	19 52 50,00	8,57973	1,9133n	5,89n	15 5,0	+24 31 28,0	9,12501	3,4898	7,23n	55 21,0	6,5168	0,489
10	20 46 28,45	8,56221	1,9402n	5,50	15 13,4	+20 42 58,7	9,26132	3,4127	7,31n	55 51,8	6,5860	0,534
11	21 38 0,06	8,54569	1,8226n	6,08	15 23,2	+15 50 13,7	9,34729	3,3082	7,34n	56 27,7	6,5496	0,542
12	22 27 54,75	8,53532	1,4347n	6,25	15 34,3	+10 6 54,1	9,40266	3,1658	7,35n	57 8,7	6,7000	0,449
13	23 17 10,32	8,53480	1,3833	6,34	15 46,6	+ 3 47 12,3	9,43597	2,9320	7,40n	57 53,8	6,7310	0,127
14	0 7 3,04	8,54637	1,9245	6,38	15 59,4	+ 2 53 32,3	9,44969	2,1239	7,50n	58 40,9	6,7402	0,303n
15	0 59 1,57	8,57034	2,1670	6,37	16 12,2	+ 9 37 11,3	9,44152	2,8936n	7,61n	59 27,5	6,7124	0,559n
16	1 54 38,45	8,60445	2,3042	6,20	16 23,3	+16 0 47,7	9,40311	3,2950n	7,71n	60 8,3	6,6284	0,851n
17	2 55 11,83	8,64299	2,3456	5,69n	16 31,5	+21 34 49,7	9,31564	3,5303n	7,74n	60 38,5	6,4290	1,014n
18	4 1 7,21	8,67644	2,2348	6,56n	16 35,6	+25 44 34,6	9,13345	3,6776n	7,64n	60 53,4	5,8417	1,090n
19	5 11 8,59	8,69366	1,6056	6,77n	16 84,6	+27 57 7,7	8,66051	3,7433n	7,04n	60 49,9	6,1857n	1,110n
20	6 22 6,67	8,68749	2,0738n	6,73n	16 28,4	+27 54 1,0	8,69339n	3,7245n	7,43	60 27,2	6,6039n	1,058n
21	7 30 14,72	8,69926	2,3463n	6,39n	16 17,7	+25 40 46,8	9,12186n	3,6239n	7,70	59 47,8	6,7282n	0,902
22	8 32 59,91	8,61779	2,3894n	5,55n	16 3,7	+21 43 28,6	9,28582n	3,4494n	7,72	58 56,6	6,8039n	0,582
23	9 29 46,95	8,57382	2,3233n	6,28	15 48,2	+16 35 47,0	9,36304n	3,1986n	7,62	57 59,6	6,8288n	0,729
24	10 21 20,99	8,53557	1,8600n	6,37	15 32,4	+10 48 7,8	9,39708n	2,8119n	7,48	57 1,8	6,8137n	0,999
25	11 9 6,90	8,50773	1,9709n	6,36	15 17,9	+ 4 43 46,0	9,40599n	1,1569	7,34	56 8,5	6,7634n	0,691
26	11 54 32,66	8,49229	1,5744n	6,31	15 5,4	+1 20 40,6	9,39812n	2,6959	7,22	55 22,5	6,6779n	0,443
27	12 39 1,68	8,48942	1,1104	6,27	14 55,6	+ 7 12 56,5	9,37659n	2,9527	7,18	54 46,7	6,5507n	0,539
28	13 23 49,21	8,49080	1,7580	6,20	14 48,7	+12 42 54,2	9,34073n	3,1106	7,20	54 21,3	6,3580n	0,287
29	14 10 1,26	8,51581	1,9708	6,07	14 44,9	+17 40 39,8	9,28590n	3,2378	7,26	54 7,2	6,0226n	0,404
30	14 58 31,25	8,53948	2,0653	5,69	14 43,6	+21 55 16,0	9,20144n	3,3487	7,31	54 2,7	4,0635n	0,794
31	15 49 52,05	8,56452	2,0695	5,69n	14 44,9	+25 14 14,2	9,06356n	3,4432	7,31	54 7,4	6,0005	0,695
	16 44 4,53				14 48,2	+27 24 15,5				54 19,3		

# ASTRONOMISCHE NACHRICHTEN.

N<sup>o</sup>. 373.

## B e r i c h t i g u n g.

Ogleich die mit den magnetischen Terminen von diesem Jahre an getroffene Abänderung in dem Circular an die Mitglieder des magnetischen Vereins, welches im 371. Stück der A. N. sich abgedruckt findet, so bestimmt ausgedrückt ist, dass ein Missverständniß unmöglich scheint, so giebt doch die unrichtige Art, wie die Zeit der Termine neulich in einigen politischen Zeitungen angegeben ist, Veranlassung, aufmerksam darauf zu machen, dass die Veränderung darin besteht, dass der Termin um 11 Stunden früher anfängt, als nach der bisherigen Einrichtung. Der letzte Freitag des betreffenden Monats ist also nur dann der Anfangstag des Termins, wenn der darauf folgende Sonnabend noch in denselben Monat fällt; im entgegengesetzten Fall fängt in der That der Termin schon am vorletzten Freitag des Monats an. Im laufenden Jahre sind demnach die Termine Febr. 22, 23; Mai 24, 25; August 30, 31; November 29, 30.

Göttingen im Februar 1839.

Gauss. Weber.

Schreiben des Herrn Kreil, Adjuncten an der Prager Sternwarte, an den Herausgeber.

Mailand 1839. Febr. 2.

Vor allem meinen Dank für die überschickte Ephemeride des Rache'schen Kometen; ich habe ihn am 8<sup>ten</sup> October gefunden, und vom 11<sup>ten</sup> Octbr. bis 23<sup>ten</sup> November 17mal beobachtet. Die Bestimmung der Sternorte am Meridiane und die Reduction der Beobachtungen wurde größtentheils von Herrn Stambucchi ausgeführt. Folgende sind die bis jetzt gefundenen geocentrischen Orte des Kometen:

October 11.	8 <sup>h</sup> 54' 0"	32° 3' 40" 6	+ 47° 2' 52" 0
14.	9 50 24	29 18 23,1	49 49 15,0
16.	9 23 49	26 56 12,2	51 48 48,1
20.	8 40 37	20 1 21,8	56 17 19,7
21.	7 23 0	17 46 49,0	57 26 0,2
22.	7 34 8	15 2 12,9	58 41 17,5
23.	7 11 21	11 57 44,4	59 53 49,3
25.	10 24 7	3 33 3,3	62 29 4,1
27.	12 16 6	352 30 4,7	64 36 40,2
28.	15 41 40	345 1 19,8	65 26 20,1

hieser ist wohl meine letzte astronomische Arbeit vor meiner Abreise von Mailand, das ich mit Ende dieses Monats verlassen werde, da ich vom Eleven an der biesigen Sternwarte um Adjuncten in Prag befördert worden bin. Ich habe die letzten Monate meines Aufenthaltes benutzt, die große Menge meiner magnetischen Beobachtungen in Ordnung zu bringen, um sie dem Drucke übergeben zu können, der auch wirklich

begonnen hat, und bereits so weit fortgeschritten ist, daß seine Beendigung im künftigen Monat erwartet werden kann. Ihre Gesammtheit liefert mehrere Thatsachen, welche dienen werden, die so verwickelten und veränderlichen Erscheinungen der magnetischen Kraft einigermaßen zu entwirren, und die Hoffnung zu begründen, daß, wenn man erst an mehreren Orten wird angefangen haben, diese Erscheinungen mit demselben Fleiße und mit der Genauigkeit zu verfolgen, wie man es bei den meteorologischen und astronomischen zu thun gewohnt ist, die Auffindung und erschöpfende Begründung ihrer Gesetze nicht mehr fern sein wird.

Auch der Einfluß unseres Mondes auf den magnetischen Zustand der Erde, worüber ich schon früher einiges mittheilte, hat sich nun klarer herausgestellt, und ist auf mehrfache Weise erkannt worden.

Zu diesem Zwecke wurden die täglichen Mittel sämmtlicher beobachteten und auf die Temperatur 0° reducirten Schwingungsdauern in mehreren Reihen so zusammengestellt, daß in die Mitte einer jeden Reihe eine Mondphase fiel; aus der Vergleichung der Gesammtmittel der verschiedenen Monate konnte man die Aenderung der Schwingungsdauer erkennen, welche durch die Variation der horizontalen Kraft und durch die



Abnahme des Magnetismus der Nadel hervorgebracht wurde, und mit dieser die Mittel aller dieser Reihen auf dieselbe Epoche zurückführen; man erhielt so die den verschiedenen Mondphasen entsprechenden Schwingungsdauern frei von dem Einflusse der Temperatur, der täglichen und jährlichen Aenderung der Kraft und der Abnahme des Magnetismus der Nadel, wie sie in der folgenden Tafel zusammengestellt sind.

Epoche.	Erstes Viertel.	Vollmond.	Letztes Viertel.	Neumond.
1836 11—18 Jan.	.....	.....	22°09202	22°08389
25 Jan.—16 Febr.	22°08768	22°08802	09559	09086
24 Febr.—17 März	11127	10217	09432	08683
25 März—15 April	09969	11098	11074	08706
24 April—15 Mai	08742	11223	10944	08730
23 Mai—14 Juni	08889	10661	08463	08871
22 Juni—13 Juli	09292	10134	06836	08895
21 Juli—12 Aug.	11206	11161	10592	11323
19 Aug.—10 Oct.	09681	05190	06188	09579
17 Oct.—9 Nov.	09571	09287	11926	09580
15 Nov.—8 Dec.	09630	09277	07572	08257
15 Dec.—6 Jan. 1837	10390	08684	10761	08424
13 Jan.—5 Febr.	09231	09133	09712	09252
12 Febr.—6 März	10088	10210	08782	08930
14 März—5 April	08062	11398	10147	08980
14 April—4 Mai	09862	09962	08853	09326
12 Mai—3 Juni	10254	10327	09373	08942
11 Juni—2 Juli	08237	08376	09567	10138
14 Juli—1 Aug.	09474	08807	10515	10951
9—31 Aug.	07702	10041	09063	10823
7—29 Sept.	10557	09530	08295	11083
7—29 Octbr.	08437	09489	10740	09133
5—27 Novbr.	09200	10802	10132	09121
4—27 Decbr.	09152	10598	09547	08214
3—26 Jan. 1838	08939	09837	11085	08858
1—24 Febr.	08569	09698	09716	10898
3—25 März	08282	09149	09227	09538
1—24 April	10247	08537	10525	09757
1—23 Mai	09393	09021	10268	09275
31 Mai—22 Juni	08353	10163	09436	08266
30 Juni—21 Juli	09512	09329	08511	10223
29 Juli—20 Aug.	09634	09345	09163	09816
28 Aug.—18 Sept.	10098	08897	10447	11159
26 Sept.—18 Oct.	08511	08827	08954	10360
26 Oct.—17 Nov.	09084	10692	10507	08486
24 Nov.—17 Dec.	09597	10035	09124	09856

Um den Einfluß der häufigen Störungen und anderer Ursachen, die mit dem hier betrachteten Phänomen in keinem erkennbaren Zusammenhange stehen, möglichst zu vermindern, wurden die Schwingungsdauern derselben Epochen in den 3 Jahren in ein Mittel vereinigt und so die folgende Tafel erhalten:

Epoche.	Erstes Viertel.	Vollmond.	Letztes Viertel.	Neumond.
Jan. und Febr.	22°08979	22°09257	22°10119	22°09065
Febr. u. März	09832	09859	09147	09050
März u. April	08771	10548	10149	09075
April u. Mai	09617	09907	10107	09271
Mai u. Juni	09512	10003	09368	09029
Juni u. Juli	08627	09557	08606	09101
Juli u. Aug.	10064	09766	09873	10832
August	09006	08192	08138	10073
Aug. u. Sept.	10317	09213	09371	11121
Sept. u. Oct.	08900	09201	10540	09691
Oct. u. Nov.	09305	10257	09404	08621
Nov. u. Dec.	09713	09706	09811	08831

Mittel 22°09387 22°09622 22°09553 22°09448

In den Zahlen dieser Tafel spricht sich das Gesetz deutlicher aus; sie zeigen, daß im Allgemeinen die Schwingungsdauern der horizontalen Nadel zur Zeit des Neumondes und des ersten Viertels kürzer sind, als beim Vollmonde und beim letzten Viertel, daß aber in vier Monaten des Jahres, vom Juli bis October das Gegenheil eintritt.

Man könnte glauben, daß diese Erscheinung eine Wirkung der Umdrehung der Sonne um ihre Axe sei, vermöge welcher dieses Gestirn, wenn es der magnetischen Kraft unterworfen ist, die Erde bald den einen bald den andern Theil seiner magnetischen Axe zuwenden müßte, den Fall angenommen, daß diese auch zugleich die Rotationsaxe wäre; diese Hypothese würde auch die Aenderung der Erscheinung nach den Jahreszeiten erklären, da die Erde sich der einen oder der andern Sonnenhemisphäre gegenüber befindet, je nachdem sie die Sommer- oder Winterhälfte ihrer Bahn durchläuft. Allein abgesehen davon, daß die Drehung der Sonne nur aus der Bewegung der Sonnenflecken gefolgert wird, welche von der des eigentlichen Sonnenkernes völlig verschieden sein kann, so scheint diese Erklärung auch nicht stichhaltig gegen den Einwurf, daß die Rotationszeit der Sonne um zwei Tage kürzer ist, als der synodische Monat, und daß dieser Unterschied in Verbindung mit der Bewegung der Erde in ihrer Bahn bewirken müßte, daß die Erscheinung im Sommer sich nahezu eben so darstelle, wie im Winter, und nicht in die entgegengesetzte übergehe. Es scheint daher naturgemäßer, die Erklärung dieser Thatsache in dem Einflusse des Mondes auf den magnetischen Zustand unserer Erde zu suchen, so wie in der Lage seiner Bahn, vermöge welcher er im Winter zur Zeit des Neulichtes sich nicht viel über den Horizont erhebt, während er im Sommer zur Zeit dieser Phase sich in unseren Breiten dem Zenithe nähert, wo also seine Einwirkung auf die horizontale Nadel viel schwächer sein muß, als sie ist, wenn er dem Horizonte nahe steht.

Wenn dies die wahre Ursache der betrachteten Erscheinung ist, so muß sie sich auch in einer andern Zusammenstellung der täglichen Mittel der Schwingungsdauern zeigen, von denen nämlich nach der Declination des Mondes geordnet werden. Zu diesem Zwecke wurden die Beobachtungen eines jeden Monats in zwei Reihen getheilt, von denen die eine alle jene enthält, die bei nördlicher, die andere jene, welche bei südlicher Declination des Mondes angestellt worden waren. Wenn man die Mittel dieser Reihen, so wie früher, von dem Einfluß der Temperatur und der Aenderung der Kraft und Magnetismus der Nadel befreit, und diejenigen der gleichnamigen Monate aller drei Jahre zu einem Mittel vereinigt, so erhält man die in der folgenden Tafel gegebenen Zahlen:

Äpoche.	⌞ Süd.	⌞ Nord.	Süd — Nord.
Januar u. Febr.	22°09342	22°09522	— 0°00180
Febr. u. März	09495	09720	— 0,00237
März u. April	09542	09602	— 0,00060
April u. Mai	09902	09638	+ 0,00264
Mai u. Juni	09834	09102	+ 0,00732
Juni u. Juli	09365	09457	— 0,00092
Juli u. Aug.	09824	10019	— 0,00195
Aug. u. Sept.	08890	08693	+ 0,00197
Sept. u. Oct.	09406	09774	— 0,00368
Oct. u. Nov.	09665	10597	— 0,00932
Nov. u. Dec.	08860	09694	— 0,00834
Dec. u. Januar	09011	09595	— 0,00584
Mittel	22°09428	22°09618	— 0°00190

Man sieht aus der Gesamtheit dieser Zahlen, daß die tägliche Declination des Mondes beobachteten Schwingungsdauern kürzer sind, d. h. daß der Einfluß desselben auf die horizontale Nadel stärker ist, als bei nördlicher Declination, was mit vorhergehenden übereinstimmt.

Nach diesen Ergebnissen war es wohl der Mühe werth zu untersuchen, ob auch die größere oder geringere Entfernung des Mondes von der Erde durch die Nadel angezeigt wird.

Die täglichen Mittel der Schwingungsdauern wurden in solche Reihen geordnet, daß in die Mitte einer jeden eine Erdoberfläche oder Erdferne des Mondes fiel; die dieser Reihen auf die früher angezeigte Weise behandelte folgende Resultate:

Äpoche.	Perigeum.	Apogeum.	Per. — Ap.
Januar u. Febr.	22°08928	22°09339	— 0°00411
Febr. u. März	08661	09445	— 0,00784
März u. April	09171	09424	— 0,00253
April u. Mai	09772	08939	+ 0,00833

Äpoche.	Perigeum.	Apogeum.	Per. — Ap.
Mal u. Juni	22°09925	22°09082	+ 0°00843
Juni u. Juli	09299	08428	+ 0,00871
Juli u. Aug.	09766	09873	— 0,00107
Aug. u. Sept.	08757	09044	— 0,00287
Sept. u. Oct.	09500	09964	— 0,00464
Oct. u. Nov.	09531	10430	— 0,00899
Nov. u. Dec.	08844	09408	— 0,00566
Dec. u. Januar	08798	09954	— 0,01166
Mittel	22°09246	22°09444	— 0°00198

Man sieht aus diesen Mitteln und ihrem Unterschiede, daß die Schwingungsdauern kürzer sind zur Zeit der Erdoberfläche des Mondes als zur Zeit seiner Erdferne, was gleichfalls mit dem früher Gefundenen in Uebereinstimmung ist.

Endlich wurde noch die Einwirkung des Mondes auf die Richtung der Declinationsnadel untersucht, und dabei ganz auf dieselbe Weise verfahren, wie ich schon in einem früheren Schreiben (Astr. Nachr. Nr. 246) angezeigt habe. Es ergaben sich als Gesamt-Resultat folgende Unterschiede zwischen den bei Mond Ost und Mond West beobachteten Declinationen.

Stunden.	⌞ Ost.	⌞ West.
20 <sup>h</sup> 0'	+ 10'8	
22 30	+ 27,5	
1 0	+ 9,1	
4 30	+ 25,9	
7 30	+ 8,3	
11 0	+ 8,0	
Mittel	+ 14,9	

Die Declination ist also stets größer, wenn der Mond sich östlich vom magnetischen Meridian befindet, als wenn er westlich davon steht, er wirkt also auf unsere Nadeln wie ein Körper, der den nach Süden gerichteten Pol derselben anzieht.

Die Zahlen der letzten Tafel sind zwar noch nicht von der jährlichen Abnahme der Declination befreit; allein da sie im Jahre 1838 nur sehr nahe 1 Minute betrug, so könnte die davon herrührende Correction, selbst wenn sie doppelt so groß wäre, als sie gemäß dieser Abnahme seyn sollte, keines der Zeichen ändern.

Alle aus unseren Beobachtungen über diesen Gegenstand geschöpften Resultate vereinigen sich also dahin zu zeigen, daß der Mond ein der magnetischen Kraft unterworfenen Körper ist, und daß auf seiner der Erde zugekehrten Hälfte jener Magnetismus vorherrscht, der den Südpol unserer Magnetnadeln anzieht, und die magnetische Kraft der Erde verstärkt.

Kreil

## Beobachtungen am Meridiankreise der Sternwarte zu Kremsmünster 1837.

## Beobachtungen des Mondes.

1837.	AR. des Mondes im Meridian.	$d\alpha = (\text{Eph.} - \alpha)$	Decl. des Mondes Centrum im Meridian.	$d\delta = (\text{Eph.} - \delta)$
Jun. 14.	$\alpha = 14^h 2' 20''.91$	$d\alpha = -0^m 01$ in temp.	$\delta = -12^\circ 41' 44''.77$	$d\delta = -10''.37$
— 16.	15 54 31,04	+ 0,34	— 23 1 45,31	— 3,70
Aug. 15.	21 31 3,98	+ 0,98	— 19 34 40,63	+ 5,29
Sept. 9.	18 46 20,13	+ 0,76	— 28 6 37,92	— 6,93
— 10.	19 53 31,61	+ 0,57	— 26 10 40,81	— 5,96
— 11.	20 58 54,86	+ 0,39	— 22 17 14,67	+ 15,19
— 12.	22 0 55,77	+ 0,94	— 16 46 34,14	+ 19,78
Oct. 12.	0 21 30,77	+ 0,74	+ 0 36 59,64	+ 12,52

## Beobachtungen der Mondsterne.

		AR.	Decl.	Fäden- zahl.			AR.	Decl.	Fäden- zahl.
Jun. 14.	74 <sup>12</sup> Virginis	13 <sup>h</sup> 23' 31''.09	— 5° 24' 47''.36	5	Sept. 11.	16 <sup>4</sup> Capric.	20 <sup>h</sup> 36' 29''.40	— 25° 50' 59''.67	5
	86 <sup>6</sup> Virginis	13 37 17,22	— 11 36 30,39	3		Mond I.Rd.	20 57 40,32		2
	Mond I.Rd.	14 1 14,48		5		34 <sup>2</sup> Capric.	21 17 24,46	— 23 6 42,69	2
	100 <sup>1</sup> Virg.	14 10 19,63	— 12 37 5,21	4		49 <sup>2</sup> Capric.	21 38 5,43	— 16 51 39,96	4
	9 <sup>2</sup> Librae	14 41 54,26	— 15 21 46,20	4	Sept. 12.	34 <sup>2</sup> Capric.	21 17 24,48	— 23 6 42,60	5
Jun. 16.	43 <sup>k</sup> Librae	15 32 35,99	— 19 8 52,87	5		49 <sup>2</sup> Capric.	21 38 5,50	— 16 51 42,06	4
	1 <sup>b</sup> Scorp.	15 41 13,68	— 25 15 11,41	5		Mond I.Rd.	21 59 43,54		5
	Mond I.Rd.	15 53 17,92		5		57 <sup>2</sup> Aquarii	22 22 4,16	— 11 30 22,21	5
Aug. 15.	22 <sup>7</sup> Capric.	20 55 10,42	— 20 29 33,12	5		76 <sup>2</sup> Aquarii	22 46 2,92	— 16 40 56,28	5
	34 <sup>2</sup> Capric.	21 17 24,34	— 23 6 37,15	5	Oct. 12.	20 <sup>n</sup> Piscium	23 39 37,04	— 8 39 41,06	5
	Mond I.Rd.	21 29 49,90		5		30 <sup>r</sup> Piscium	23 53 39,15	— 6 54 52,14	5
	33 <sup>i</sup> Aquarii	21 57 40,55	— 14 39 13,01	5		Mond I.Rd.	0 20 22,98		5
	43 <sup>2</sup> Aquarii	22 8 16,72	— 8 35 19,62	5		18 <sup>9</sup> Piscium	0 39 53,36	+ 4 26 54,54	5
Sept. 10.	41 <sup>r</sup> Sagitt.	19 0 6,79	— 21 16 38,57	5		(71 <sup>s</sup> ) Pisc.	0 54 32,27	+ 7 1 3,75	4
	Mond I.Rd.	19 52 15,32		5	NB. (189) Pisc. ist in der Eph. um 2'' in temp. in der AR. und um 26 — 30'' in der Decl. unrichtig angegeben.				
Sept. 11.	10 <sup>r</sup> Capric.	20 18 2,20	— 18 44 26,98	5					

## Beobachtungen des Uranus im J. 1837.

	M. Z. Kremsm.	AR.	(Ephem. — $\alpha$ )	Decl.	(Ephem. — $\delta$ )
Aug. 19.	12 <sup>h</sup> 43' 21''.56	$\alpha = 23^h 35' 47''.45$	$d\alpha = +4''.11$	$\delta = -9^\circ 43' 55''.21$	$d\delta = +15''.90$
— 20.	12 39 16,59	35 38,39	+ 4,35	44 48,54	+ 16,47
— 25.	12 18 51,32	34 53,77	+ 4,41	49 13,31	+ 15,99
— 26.	12 14 46,79	34 45,21	+ 3,99	50 6,89	+ 16,34
Sept. 8.	11 21 43,39	32 46,30	+ 4,22	10 1 30,71	+ 14,17
— 9.	11 17 38,35	32 39,45	+ 4,24	2 20,86	+ 12,88
— 11.	11 9 29,90	32 21,96	+ 4,18	4 10,15	+ 20,21
— 12.	11 5 25,27	32 13,20	+ 4,23	4 55,03	+ 14,68
— 19.	10 36 55,38	31 14,19	+ 3,86	10 36,37	+ 13,59

## Beobachtungen der Vesta.

Aug. 19.	13 <sup>h</sup> 28' 54''.63	23 <sup>h</sup> 21' 27''.93	+ 1''.88	— 14° 58' 45''.87	+ 21''.70
— 25.	13 0 36,83	16 46,18	+ 1,94	— 15 48 44,05	+ 16,71
— 26.	12 55 50,81	15 56,01	+ 1,79	— 15 57 1,01	+ 20,51
Sept. 8.	11 53 6,08	4 16,26	+ 2,04	— 17 34 28,58	+ 21,24
— 9.	11 48 15,51	3 21,73	+ 1,99	— 17 40 50,40	+ 16,09
— 11.	11 38 36,62	1 33,47	+ 2,00	— 17 53 13,12	+ 19,30
— 12.	11 33 47,31	0 39,91	+ 2,02	— 17 59 5,69	+ 20,04

## Beobachtungen der Pallas.

Octbr. 12.	12 53 15,44	2 18 37,66	+ 3,98	-18 12 2,24	+ 20,65
— 23.	12 1 44,07	2 10 20,06	+ 4,05	-21 3 33,49	+ 14,32
— 29.	11 33 17,23	2 5 27,98	+ 3,82	-22 21 46,32	+ 12,25

## Beobachtung der Ceres.

Dec. 15.	11 23 40,85	5 1 8,35	+ 1,15	+22 17 15,36	- 20,34
----------	-------------	----------	--------	--------------	---------

NB. Die *dx* und *dy* sind so zu verstehen, dass sie mit ihrem Zeichen an die Daten der Beobachtungen angebracht werden müssen, um die Angabe der Ephemeride zu erhalten.

M. Koller.

Schreiben des Herrn *Bianchi*, Directors der Sternwarte zu Modena, an den Herausgeber.

Catajo 1838. Juillet 31.

Je tiens ma parole que je vous donnai dans ma dernière lettre du mois de Mai ci-devant, et je vais tout à l'heure vous entretenir sur un sujet de recherches qui n'est pas sans intérêt, à ce qu'il me semble; et vous pourrez en juger par l'exposition suivante.

C'est depuis quatre années que j'ai entreprise, comme peut-être je vous en ai écrit un mot autrefois, un long travail d'observations pour en avoir les matériaux d'un nouveau Catalogue des étoiles, au quel je pense de donner une forme et une disposition tout-à-fait particulière et avantageuse. Parmi les autres buts et résultats, que j'ai en vue et que j'espère qu'on puisse attendre avec la considération de cet arrangement des étoiles, il y en a qui se rapportent à quelque favorable circonstance pour traiter et résoudre des curieuses questions, sur les réfractions astronomiques dans les petites hauteurs au dessus de l'horizon. En effet on sait que les étoiles circumpolaires observées dans le méridien supérieur et au dessous du pôle sont très-propres à la détermination des trois constantes qui sont contenues dans la formule et conséquemment dans la table de la réfraction vraie. Or si deux étoiles circumpolaires ont presque la même distance au pôle, mais en ascension droite si elles diffèrent à peu près d'une demi-circonférence, on aura l'avantage que l'une d'entr'elles passera au méridien au dessus du pôle, pendant que l'autre y passe au dessous du pôle et que douze heures après, ce sera précisément le contraire qui arrivera; ou sorto qu'on pourra en déduire et comparer la réfraction observée à la même hauteur et à l'intervalle d'un demi-jour. Il n'en faut néanmoins que les tems de ces observations méridiennes conjuguées tombent au commencement de la nuit vers le milieu de l'hiver pour qu'il soit possible de renverser l'observation des mêmes étoiles avant que le crépuscule du matin ou du moins le clair jour paraisse; et outre cela il est nécessaire que les deux étoiles soient bien éclatantes, ou de première grandeur, si on veut comparer de la sorte les réfractions à une hauteur

d'un petit nombre de degrés. Toutes ces conditions se trouvent assez bien remplies par quatre étoiles très-belles, deux appartenantes,  $\beta$  et  $\gamma$ , à Cassiopée, et les autres,  $\delta$  et  $\epsilon$ , en faisant part de la grande Ourse. C'est pourquoi que je tache depuis quelque tems d'observer ces quatre étoiles au mois de Décembre. En comparant maintenant ces observations et en en tirant pour chaque étoile la quantité de réfraction observée dans l'hauteur méridienne au dessous du pôle il m'en vint le soupçon que la réfraction du matin soit plus forte que celle du soir; ce qui d'ailleurs s'accorderait avec les raisons physiques et atmosphériques à l'égard de la diversité unique dans l'heure des observations comparées. Mais pour vérifier la chose, et pour la voir aussi d'un autre côté, je priais les astronomes du Milan et de Padoue à vouloir eux-mêmes s'intéresser dans cette curieuse recherche, et à observer pour cela avec leurs cercles méridiens les quatre étoiles, que je vins de leur indiquer, en choisissant à cet objet les premiers nuits après le 10 de Décembre où le ciel aurait été parfaitement serein. De cette manière, je leur écrivais, nous en aurons nos observations faites en mêmes tems de trois lieux différents, c'est à dire dans les mêmes circonstances atmosphériques générales, attendu la petite distance de nos observatoires; mais avec des différentes conditions et circonstances particulières à l'égard des lieux et des couches d'air par où passe près de l'horizon au Nord notre ligne méridienne respective; ce qui pourrait nous fournir des différences dignes de quelque attention dans la comparaison de nos résultats. Après cela MM. les Chev. *Carlini* et *Santini* ayant eu la complaisance de me secourir, ils m'envoyèrent toute de suite les observations que je leur demandais; et c'est ainsi que je vous en communique ici le résultat comparatif, qu'il faut pourtant regarder comme un simple commencement ou essai de la question dont il s'agit, et que nous nous réservons de poursuivre. Voilà cependant nos observations, qui offrent sans doute le premier exemple de trois cercles méridiens employés dans le même tems à une recherche et mesure de la réfraction.

## Observations à Milan.

Hauteur Nord du pôle instrumental = 45°26'46"75.....Latitude = 45°28'0"70.

## S o i r.

1837 Jours.	Etoiles.	Hauteur Nord par la moy. de quatre vern.	Niveau du Cercle.	Baro- mètre.	Thermomètre R. intér. extér.	Hauteur corrigée du Niveau.	Réfraction de la table Carnot.	Hauteur vraie instrumentale.	Déclinaison boréal des étoiles.
Dec. 14	$\beta$ Cassiop. sup. $\delta$ gr. Ourse inf. $\gamma$ Cassiop. sup. $\alpha$ gr. Ourse inf.	77° 11' 28,50 13 26 37,25 ..... 12 21 27,00	—0 63 —0 63 ..... —0 57	27 10 00 27 10 00 ..... 27 10 12	+3 56 +2 55 +3 55 +3 55 ..... +3 4 +3 20	77° 11' 27 87 13 26 36,62 ..... 12 21 26,43	0 13 54 4 3 46 ..... 4 25 30	77° 11' 13 33 13 22 38,16 ..... 12 17 1,13	58° 15 33 41 57 55 46,41 ..... 56 50 14,38
Dec. 15	$\beta$ Cassiop. sup. $\delta$ Ourse inf. $\gamma$ Cassiop. sup. $\alpha$ Ourse inf.	77° 11' 27 25 13 26 40,25 78 29 30,50 12 21 30,50	+0 42 —0 84 +0 36 +0 36	28 0 47 28 0 47 28 0 52 28 0 58	+2 58 +2 0 +2 8 +2 0 +2 8 +1 9 +2 8 +1 9	77° 11' 27 67 13 26 39,41 78 29 30,86 12 21 30,86	0 13 57 4 7 19 0 12 25 4 29 03	77° 11' 14 00 13 22 32,22 78 29 18,61 12 17 1,83	58° 15 32 75 57 55 43 47 56 57 28 44 56 50 15 08
16	$\beta$ Cassiop. sup. $\delta$ Ourse inf. $\gamma$ Cassiop. sup. $\alpha$ Ourse inf.	77 11 26,00 13 26 40,50 78 29 30,75 12 21 28,50	—0 04 —0 18 —0 20 —0 70	27 11 48 27 11 48 27 11 48 27 11 48	+2 3 +0 8 +2 3 +0 8 +2 2 +0 6 +2 2 +0 6	77 11 25,96 13 26 40,32 78 29 30,55 12 21 27,80	0 13 72 4 7 91 0 12 29 4 29 85	77 11 12,24 13 22 32,41 78 29 18,26 12 16 57,95	58 15 34 51 57 55 43 56 56 57 28 49 56 50 11 20
17	$\beta$ Cassiop. sup. $\delta$ Ourse inf. $\gamma$ Cassiop. sup. $\alpha$ Ourse inf.	77 11 26 00 13 26 40 50 78 29 34 25 12 21 28 00	+0 90 +0 90 +1 44 —0 72	27 10 58 27 10 58 27 10 60 27 10 60	+2 2 +1 5 +2 2 +1 4 +2 2 +1 25 +2 2 +1 25	77 11 26 90 13 26 39 60 78 29 35 69 12 21 27 28	0 13 63 4 6 53 0 12 21 4 28 36	77 11 13 27 13 22 33 07 78 29 23 48 12 16 58 92	58 15 33 46 57 55 46 31 56 57 23 37 56 50 12 17

## M a t i n.

Dec. 14	$\beta$ Cassiop. inf. $\delta$ Ourse sup. $\gamma$ Cassiop. inf. $\alpha$ Ourse sup.	13 46 26,50 77 31 14,25 12 28 47,75 78 36 46,75	+2 28 +3 12 +1 68 +2 52	28 0 00 28 0 00 28 0 00 28 0 00	+1 8 —0 3 +1 8 —0 3 +1 8 —0 1 +1 8 —0 05	13 46 28,78 77 31 17,37 12 28 49,43 78 36 49,27	4 3 66 0 13 44 4 28 51 0 12 18	13 42 26,12 77 31 4,13 12 24 20,52 78 36 37,09	58 15 38,37 57 55 42,62 56 57 34,17 56 50 9,66
15	$\beta$ Cassiop. inf. $\delta$ Ourse sup. $\gamma$ Cassiop. inf. $\alpha$ Ourse sup.	13 46 30,25 77 31 15,50 12 28 52,50 78 36 49,50	+1 18 +1 66 +0 46 +0 88	28 0 32 28 0 32 28 0 32 28 0 32	+1 6 —1 9 +1 6 —2 2 +1 6 —2 45 +1 6 —2 45	13 46 31,43 77 31 17,16 12 28 52,96 78 36 50,38	4 5 88 0 13 58 4 31 96 0 12 37	13 42 25,55 77 31 3,58 12 24 21,00 78 36 38,01	58 15 38 40 57 55 43 17 56 57 34 28 56 50 8 74
16	$\beta$ Cassiop. inf. $\delta$ Ourse sup. $\gamma$ Cassiop. inf. $\alpha$ Ourse sup.	13 46 26,00 77 31 14,75 12 28 46,50 78 36 49,25	+2 12 +2 90 +1 10 +2 60	27 10 98 27 10 98 27 11 00 27 11 03	+1 0 —2 2 +1 0 —2 2 +0 5 —2 3 +0 5 —2 25	13 46 28 12 77 31 17 65 12 28 47 60 78 36 51 85	4 5 36 0 13 53 4 30 73 0 12 31	13 42 22 76 77 31 4 12 12 24 16 87 78 36 39 54	58 15 36 01 57 55 42 63 56 57 30 12 56 50 7 21

## Observations à Padoue.

Hauteur Nord du pôle instrumental = 45°23'44"98.....Latitude = 45°24'2"50.

## S o i r.

Dec. 14	$\beta$ Cassiop. sup. $\delta$ Ourse inf. $\gamma$ Cassiop. sup. $\alpha$ Ourse inf.	77 8 20,75 13 23 38,75 78 26 27,50 12 18 28,00	—0 48 —0 48 —0 48 —0 48	28 2 7 ..... ..... .....	+4 7 +2 6 ..... ..... .....	77 8 20,27 13 23 38,27 78 26 27,02 12 18 27,52	0 13,81 4 9,33 0 12,36 4 31,23	77 8 6,46 13 19 28,94 78 26 14,66 12 13 56,29	58 15 38,52 57 55 43 96 56 57 30 32 56 50 11 31
15	$\beta$ Cassiop. sup. $\delta$ Ourse inf. $\gamma$ Cassiop. sup. $\alpha$ Ourse inf.	77 8 25,00 13 23 40,75 78 26 29,75 12 18 26,75	—1 68 —1 39 —1 34 —1 58	28 4 8 ..... ..... .....	+4 1 +1 4 ..... ..... .....	77 8 23,32 13 23 39,36 78 26 28,21 12 18 25,17	0 13,97 4 12,35 0 12,51 4 34,52	77 8 9,35 13 19 27,01 78 26 15,70 12 13 50,65	58 15 35 63 57 55 42 03 56 57 29 28 56 50 5 57
16	$\beta$ Cassiop. sup. $\delta$ Ourse inf. $\gamma$ Cassiop. sup. $\alpha$ Ourse inf.	77 8 25,50 13 23 45,25 78 26 29,00 12 18 27,75	—2 59 —2 98 —2 88 —3 02	28 3 7 ..... ..... .....	+4 5 +1 9 ..... ..... .....	77 8 22,91 13 23 42,27 78 26 26,12 12 18 24,73	0 13 89 4 10 88 0 12 44 4 32 94	77 8 9 02 13 19 31 39 78 26 13 68 12 13 51 79	58 15 35 99 57 55 40 41 56 57 31 80 56 50 5 81

## M a i n.

1837 Jours.	Étoiles.	Hauteur Nord par la moy. de quatre veru.	Niveau du Cercle.	Baro- mètre.	Thermomètre R.		Hauteur corrige du Niveau.	Réfraction de la table Cardinal.	Hauteur vraie instrumentale.	Déclinaison bordée des étoiles.
					inter.	extér.				
Dec. 14	β Cassiop. inf.	13° 43' 21" 50	— 0,54	28 6,6	+ 2,7	+ 0,4	13° 43' 21" 16	4' 8,81	13° 39' 12" 35	58° 15' 27" 37
	δ Ourse sup.	77 28 10,75	+ 0,72				77 28 11,47	0 13,73	77 27 57,74	57 55 47,28
	γ Cassiop. inf.	12 25 42,75	+ 1,20				12 25 43,95	4 34,60	12 21 9,35	56 57 24,37
	α Ourse sup.	78 33 44,75	+ 1,06				78 33 45,81	0 12,50	78 33 33,31	56 50 11,67
15	β Cassiop. inf.	13 43 26,75	— 0,38	28 4,7	+ 3,0	0,0	13 43 26,37	4 7,85	13 39 18,49	58 15 33,51
	δ Ourse sup.	.....	.....				.....	.....	.....	.....
	γ Cassiop. inf.	12 25 46,75	— 0,29				12 25 46,46	4 33,57	12 21 12,89	56 57 27,91
	α Ourse sup.	78 33 47,75	0,00				78 33 47,75	0 12,45	78 33 35,30	56 50 9,68
16	β Cassiop. inf.	13 43 24,25	+ 1,20	28 3,3	+ 3,0	+ 0,7	13 43 25,45	4 6,05	13 39 19,40	58 15 34,42
	δ Ourse sup.	77 28 14,00	+ 1,20				77 28 15,20	0 13,58	77 28 1,62	57 55 43,40
	γ Cassiop. inf.	12 25 39,25	+ 1,44				12 25 40,69	4 31,59	12 21 9,10	56 57 24,12
	α Ourse sup.	78 33 43,25	+ 0,96				78 33 44,21	0 12,36	78 33 31,85	56 50 13,13

## Observations à Modène.

Hauteur Nord du pôle instrumentale en

Latitude = 44° 38' 52" 75;

1834.....= 41° 57' 32" 66

1835.....= 41 57 46,40

1837.....= 41 57 57,36

## S o i r.

Dec. 10 1834	β Cassiop. sup.	73 43 16,50	+ 2,88	28 1,95	+ 5,65	+ 5,75	73 43 19,38	0 14,37	73 43 5,01	58 14 27,65
	δ Ourse inf.	9 58 47,25	— 0,96				9 58 46,29	4 18,89	9 54 27,40	57 56 54,74
	γ Cassiop. sup.	75 1 19,25	+ 3,12				75 1 22,37	0 12,43	75 1 9,94	56 56 22,72
	α Ourse inf.	8 53 40,00	— 2,04				8 53 37,96	4 43,31	8 48 54,65	56 51 21,99
Dec. 16 1835	β Cassiop. sup.	73 43 4,80	+ 7,80	28 1,2	+ 1,4	+ 1,6	73 43 12,60	0 14,63	73 42 57,97	58 14 48,43
	δ Ourse inf.	9 58 39,25	+ 2,04				9 58 41,29	4 23,88	9 54 17,41	57 56 31,01
	γ Cassiop. sup.	75 1 8,75	+ 7,68				75 1 16,43	0 13,18	75 1 3,25	56 56 43,15
	α Ourse inf.	8 53 29,78	+ 2,04				8 53 31,82	4 48,33	8 48 48,49	56 50 57,09
Dec. 15 1837	β Cassiop. sup.	73 42 38,00	— 0,36	28 3,9	+ 3,9	+ 4,0	73 42 37,64	0 14,59	73 42 23,05	58 15 34,31
	δ Ourse inf.	9 58 10,50	+ 3,72				9 58 6,78	4 23,12	9 53 43,66	57 55 46,30
	γ Cassiop. sup.	75 0 43,50	— 0,12				75 0 43,88	0 13,15	75 0 30,23	56 57 27,13
	α Ourse inf.	8 53 2,50	— 3,72				8 52 58,78	4 47,47	8 48 11,31	56 50 13,95

## M a i n.

Dec. 10 1834	β Cassiop. inf.	10 16 31,50	— 0,12	28 2,5	+ 4,65	+ 4,95	10 16 31,38	4 14,46	10 12 16,92	58 14 44,26
	δ Ourse sup.	74 0 52,75	+ 6,00				74 0 58,75	0 14,11	74 0 44,64	57 56 48,02
	γ Cassiop. inf.	8 58 52,00	— 0,24				8 58 51,76	4 42,36	8 54 9,40	56 56 36,74
	α Ourse sup.	75 6 28,50	+ 6,00				75 6 34,50	0 12,93	75 6 21,57	56 51 11,09
Dec. 15 1835	β Cassiop. inf.	10 17 10,00	— 5,40	28 2,3	+ 0,7	+ 1,3	10 17 4,60	4 18,92	10 12 45,68	58 14 59,28
	δ Ourse sup.	74 1 37,75	— 0,24				74 1 37,51	0 14,36	74 1 23,15	57 56 23,25
	γ Cassiop. inf.	8 59 33,00	— 5,88				8 59 27,12	4 47,27	8 54 39,85	56 56 53,45
	α Ourse sup.	75 7 7,25	+ 0,12				75 7 7,37	0 13,14	75 6 54,23	56 50 52,17
Dec. 15 1837	β Cassiop. inf.	10 17 58,00	— 2,28	28 3,8	+ 3,4	+ 3,6	10 17 55,72	4 16,87	10 13 38,85	58 15 41,49
	δ Ourse sup.	74 2 28,25	+ 1,08				74 2 29,33	0 14,24	74 2 15,09	57 55 42,37
	γ Cassiop. inf.	9 0 21,00	— 2,52				9 0 18,48	4 45,02	8 55 33,36	56 57 36,10
	α Ourse sup.	75 8 0,25	+ 2,76				75 8 3,01	0 13,04	75 7 49,97	56 50 7,39

Je n'ai pas ici pour la comparaison avec Milan et Padoue que l'observation du 15 Décembre, et je n'en fis pas d'autres, parce qu'il me parût que l'air n'était pas aussi favorable que dans cette nuit là pour ce genre de recherches; et il me sembla qu'il faut attendre pour cela et choisir toujours, comme une condition indispensable, les nuits où le ciel est par tout serein et les vapeurs se trouvent repandues avec plus d'uni-

formité et en équilibre dans l'atmosphère. Mais il suffira pour le moment de comparer nos résultats par une combinaison unique; et en premier lieu si nous ne considérons pas que les déclinaisons apparentes des quatre étoiles fournies par les hauteurs méridiennes observées au dessus du pôle, nous en aurons recueilli sous le même point de vue le petit tableau suivant

1837.	Etoiles.	Déclinaisons par			
		Carlini.	Santini.	Bianchi.	
Décembre 15	$\beta$ Cassiopée	58° 15' 32,75	35° 63	34° 31	
	$\delta$ Ourse	57 55 43,17	*) 45,34	42,37	
	$\eta$ Cassiopée	56 57 28,14	29,28	27,13	
	$\epsilon$ Ourse	56 50 8,74	9,68	7,39	

Cet accord obtenu dans les déclinaisons des étoiles, pendant qu'il démontre la perfection des instrumens qui nous ont servi, prouve aussi que le point de départ ou le pôle in-

strumental a été bien déterminé dans chacun de nos cercles. Pour cette détermination les astronomes de Milan et de Padoue ont employé les hauteurs méridiennes, inférieures et supérieures, observées de la polaire; et quant à moi je l'ai déduite par l'hauteur et la déclinaison apparente connues des étoiles zénithales  $\alpha$  du Cygne et  $\alpha$  du Cocher, en y appliquant la latitude; ce qui m'assure que la valeur aussi de ma latitude a été bien établie.

(Der Beschluß folgt.)

\*) Pour Santini la déclinaison de  $\delta$  Ourse ici reportée c'est la moyenne parmi ses valeurs des jours 14 et 16 Décembre.

Schreiben des Herrn Professors *Weisse*, Directors der Sternwarte in Cracau, an den Herausgeber.  
Cracau 1839. Febr. 14.

Indem ich Ihnen nochmals meinen verbindlichsten Dank sage für die mir im verflochtenen Jahre überschickten, an Ihrer Sternwarte gemachten Beobachtungen der Mondsterne, nehme ich mir zugleich die Freiheit, Ihnen die aus diesen Beobachtungen von mir gezogenen Resultate für die Längen-Differenz zwischen Altona und Cracau zu übersenden.

Tag der Beobachtung.	Längen-Differenz.	Gewicht.
1830 März 8.	39' 69" 37	0,0028484
Decbr. 25.	71,89	0,0032478
1831 Januar 20.	69,81	0,0030017
Febr. 19.	70,16	0,0042210
April 23.	61,43	0,0025728
1832 März 11.	66,23	0,0042397
1833 März 29.	59,60	0,0032625
April 29.	66,31	0,0012017
Mai 1.	58,28	0,0010315
Mai 4.	78,07	0,0025213
1834 Mai 22.	63,80	0,0042722
Juli 16.	61,72	0,0028041
Juli 17.	59,82	0,0029642
Sept. 15.	59,40	0,0036337
Sept. 16.	56,64	0,0024013
Novbr. 9.	63,38	0,0022524
1835 Januar 5.	59,08	0,0024362
März 10.	58,10	0,0039461
März 13.	63,57	0,0031151

Tag der Beobachtung.	Längen-Differenz.	Gewicht.
1835 April 8.	39' 65" 37	0,0028592
June 9.	66,27	0,0055032
Juli 6.	63,99	0,0037113
Septbr. 4.	60,84	0,0040330
1836 Januar 26.	57,84	0,0033886
April 26.	57,43	0,0020845

Sind nun  $x, x', x'' \dots$  die einzelnen Resultate, so wie  $c, c', c'' \dots$  die entsprechenden Gewichte, so ist das Mittel der vorübergehenden Resultate mit Rücksicht auf die Gewichte, oder  $\frac{\sum x^2 x}{\sum c^2} = 40^\circ 344$ ; und die Präcision dieses End-Resultats  $\sqrt{(\sum c^2)} = 0,016014$ .

Nehme ich nun die Länge von Altona, von Paris  $\pm 30^\circ 25' 0''$  an, so folgt also die Länge von Cracau aus vorstehenden Beobachtungen

$$= 1^\circ 10' 28'' 44$$

Wurm hat selbe aus vielen Sternbedeckungen  $= 1^\circ 10' 28''$  gefunden. Ich habe die an der biesigen Sternwarte gemachten Beobachtungen der Mondsterne auch noch mit einigen andern Orten verglichen; da jedoch diese Untersuchung, so wie die Ableitung unserer Länge aus den in den letzten Jahren hier beobachteten Sternbedeckungen noch nicht vollendet ist, so erwähne ich auch darüber weiter nichts.

Dr. M. Weisse.

Berichtigung. p. 209.

Schreiben des Herrn *Kreil*, Adjuncten an der Prager Sternwarte, an den Herausgeber p. 209.

Beobachtungen am Meridiankreise der Sternwarte in Kremsmünster 1837. p. 215.

Schreiben des Herrn *Bianchi*, Directors der Sternwarte in Modena, an den Herausgeber. p. 217.

Schreiben des Herrn Professors *Weisse*, Directors der Cracauer Sternwarte, an den Herausgeber. p. 223.

Altona 1839. März 7.

### Auszug eines Briefes von dem Freiherrn *Alexander v. Humboldt* an den Herausgeber. (Ueber die Bestimmung der Lichtstärke südlicher Sterne.)

Berlin, Febr. 1839.

Vous connoissez depuis long tems mon extrême prédilection pour les étoiles du ciel austral. Je ne voudrais pas cependant que cette prédilection puisse me porter-malheur. J'ai lu avec le plus vif intérêt les belles observations photométriques de Sir *John F. W. Herschel* que Vous venez de publier dans le N<sup>o</sup>. 372 de Votre Journal. L'admiration affectueuse que je professe depuis tant d'années pour Mr. *Herschel* m'engage à offrir quelques explications sur des aperçus bien vagues que j'ai hasardés lors de mon premier retour en Europe. Je ne doute pas que si Mr. *Herschel* avoit consulté mes propres ouvrages, au lieu du *Tilloch's Philosophical Magazine* de 1802 qui, à ce que j'apprends, renferme l'extrait d'une lettre adressée à *Lalande*, il aurait eu la bienveillance d'ajouter les développemens, que j'ai donnés sur le véritable sens de mes évaluations numériques. J'ai traité de ces évaluations d'abord dans l'introduction de mon Recueil d'observations astronomiques publié en 1810 (T. I. p. LXXI) et puis en 1814 dans le premier Volume du *Voyage aux Régions équinoxiales* (p. 518 et 624, toujours l'édition de 4to).

Dans le premier de ces ouvrages, après avoir offert des chiffres placés à côté de 15 étoiles (la note C de la Relation historique en offre 26) j'ajoute ce qui suit: „J'ai comparé les étoiles une à une, en posant Sirius = 100 et en rangeant les étoiles de la première grandeur entre 100 et 80; celles de la deuxième grandeur entre 80 et 60, etc. Pour juger de l'intensité relative de la lumière de deux astres, j'ai employé des verres plans de différentes épaisseurs blanches ou colorés, placés devant l'oculaire de la lunette, des diaphragmes diminuant l'ouverture de l'objectif et surtout un instrument à réflexion propre à ramener deux étoiles dans le champ de la lunette, et à égaliser leur nombre en recevant à volonté plus ou moins de rayons réfléchis sur le grand miroir. Tous ces moyens, j'en conviens sont extrêmement imparfaits, surtout à cause de l'extinction inégale de la lumière sous différens angles d'incidence: ils pourroient cependant contribuer à décider la question importante, si par la suite des siècles, deux astres dont l'éclat est peu différent, ont subi des variations sensibles. Les recherches photomé-

triques ne reposeront sur des bases solides, que lorsque la physique nous aura enseigné une méthode précise de mesurer la quantité de lumière que nous renvoient les planètes et les étoiles.“

Ces développemens indiquent suffisamment que les chiffres que j'avois ajoutés aux noms des étoiles ne peuvent être comparés directement à ceux que Mr. *Herschel* donne comme mesure d'intensité. Mes chiffres reposent sur une de ces classifications arbitraires que le grand astronome rappelle en §. 584 de son *Traité d'Astronomie*. Je nomme (à tort sans doute) les étoiles de première grandeur 80°—100°, celles de seconde gr. 60°—80°, de troisième gr. 45°—60°, de quatrième gr. 30°—45°, de cinquième gr. 20°—30° (*Voyage* I. p. 624): j'ai rétréci l'échelle astrométrique à mesure que les étoiles ont une lumière plus faible et que la comparaison me paroissoit plus difficile soit à la simple vue, soit en employant les faibles moyens que je pouvois employer. Comme j'en croyois avoir remarqué depuis le tems de *Lacaille* des changemens d'intensité de lumière dans quelques étoiles qui composent les constellations du Navire et de la Grue, j'ai consigné dans les journaux manuscrits que je posséde de l'année 1799, les évaluations de quinze étoiles de la Grue, en étendant pour cet effet l'échelle arbitraire jusqu'aux étoiles de la septième grandeur (10°—15°). D'après ces données j'aurois dû placer à côté de Canopus le chiffre 91 en lieu de 98, si j'avois su comme Sir *John* l'a trouvé, que Sirius est à Canopus comme 4102 à 2281 et que le rapport de Sirius à la dernière étoile parmi celles de première grandeur est comme 4102 à 179. Les chiffres que j'ai présentés dans mon travail sont analogues à ces sous-divisions en trois ordres (grandes, moyennes et petites) que les astronomes arabes, à l'exemple d'Ulugh Beg, établissent dans chaque groupe d'étoiles de première ou seconde grandeur pour mieux apprécier les intensités relatives.

La lettre qui Vous est adressée offre deux genres de classification. Dans l'une 25 étoiles sont simplement rangées selon une échelle décroissante depuis Sirius, jusqu'à α de la Grue, sans spécifier numériquement pour aucune d'elles le degré



d'intensité de lumière. Dans l'autre classification 13 étoiles, sont évaluées non à une photométriquement. Ce que j'ai tenté pendant un long séjour sous la zone torride rentre dans la première de ces méthodes. Les chiffres que j'ai ajoutés ne devaient servir qu'à indiquer quelle place l'étoile occupait sur mon échelle dans l'étendue des dix degrés compris entre 60 et 100. J'employais de préférence un instrument à réflexion en ramenant à la fois deux étoiles dans le champ de la lunette après avoir égalisé leur lumière en recevant à volonté plus ou moins de rayons réfléchis par la partie étamée du miroir. Je regrettais alors de ne pas pouvoir ajouter une échelle au support mobile de la lunette de mon Sextant. (Voyage T. I. p. 518). Men illustre ami Mr. Arago qui possède des moyens photométriques entièrement différens de ceux qui ont été publiés jusqu'ici, m'avait rassuré sur la partie des erreurs qui pouvaient provenir du changement d'inclinaison d'un miroir étamé sur la face intérieure (T. I. p. 624). Il blâmait d'ailleurs le principe de ma méthode et la regardait comme peu susceptible de perfectionnement.

Sir John Herschel considère ainsi Sirius, Canopus et  $\alpha$  du Centaure comme les plus belles étoiles du ciel. Je place Achernar immédiatement après  $\alpha$  Cent. Mr. Herschel fait précéder Achernar par Rigel.

Selon Sir J. H.	Selon H. — t.
Sirius Canopus $\alpha$ Cent.	Sirius Canopus $\alpha$ Cent.
Rigel Achernar	Achernar $\beta$ Cent Fomalh. Rigel
Procyon $\alpha$ Orion $\beta$ Cent. Fomalh.	Procyon $\alpha$ Orion
$\alpha$ Gr. Chien $\alpha$ Grue	$\alpha$ Gr. Chien $\alpha$ Grue.

J'ai marqué en italiques dans la comparaison des classifications les deux étoiles ( $\beta$  Cent. et Fomalh.) sur lesquelles je diffère le plus. L'erreur est sans doute de mon côté, car il ne faut pas admettre imprudemment des changemens d'intensité là où il n'y aura eu qu'un manque de précision dans l'évaluation du rapport de lumière. Je vois avec quelque satisfaction que j'ai mieux ainsi dans mes mesures directes, les rapports entre Sirius, Canopus,  $\alpha$  Cent. et Achernar. „J'ai reconnu (ai-je dit dans la Relation de mon Voyage) par beaucoup de combinaisons que Sirius est plus brillant que Canopus, autant que  $\alpha$  Cent. est plus brillant qu'Achernar.“ La méthode photométrique que j'employais ne pouvoit me faire connaître si une étoile à la

moitié ou le tiers de la lumière de Sirius, mais employée avec soin, elle devoit servir à établir des égalités de rapport entre la lumière de 3 ou 4 étoiles. Mr. Herschel Vous écrit: Inake a Eridani half a Centauri, I cannot estimate the light of Canopus as much more than half that of Sirius and the step from Canopus to  $\alpha$  Cent is fully as wide as that from Sirius to Canopus. (Sirius = 4102, Canopus = 2281,  $\alpha$  Cent. = 1000,  $\alpha$  Erid. = 519). J'avois placé auprès de ces quatre étoiles les chiffres 100, 98, 96 et 94. Les steps étaient les mêmes.

Les jugemens que nous portent à la simple vue sur l'intensité relative des étoiles s'éloignent singulièrement de la valeur que leur assignent les mesures photométriques absolues. Un excellent observateur Mr. Steinheil place l'Epi de la Vierge au dessus de Rigel lorsque dans la classification de Mr. Herschel, Rigel est déjà au 8<sup>me</sup> et l'Epi seulement au 15<sup>me</sup> rang. Regulus est chez Mr. Steinheil au dessus d'Aldebaran, quand Mr. Herschel accorde à Aldebaran le 11<sup>me</sup> et à Rigel le 22<sup>me</sup> rang. D'après la simple vue on a de la peine à se persuader que Arcturus ne brille que de la sixième partie de la lumière de Sirius. Si cette dernière étoile a le double de la lumière de Canopus, comme l'indiquent les mesures photométriques de Sir John Herschel, les apparences pour Canopus sont encore plus trompeuses d'après l'impression individuelle que la vue de cette étoile m'a faite, il y a 38 ans, lorsqu'elle m'a servi à souvent pour déterminer les latitudes des lieux. D'autres voyageurs ont eu avant moi des impressions également vives. Lalande dit dans son Astronomie §. 670: „Sur la gouvernail du navire est placé Canopus qui paroit quelquefois plus belle que Sirius, suivant Mr. d'Angos“ et puis §. 2261, „Canopus est une étoile aussi grande en apparence que Sirius, de moins dans une belle nuit; il y en a qui disent que sa lumière est un peu moins blanche ou un peu plus terne et qu'on la voit pas aussi facilement dans la crépuscule; d'autres la trouvent plus belle que Sirius.“ Voilà, mon respectable ami, des éclaircissemens bien diffus sur un travail qui aura bientôt quarante ans et qui devoit être condamné à l'oubli. Je viens de publier le cinquième volume de mon histoire de la Géographie du 15<sup>me</sup> siècle. A la fin de la deuxième Section (Examen critique T. V. p. 226 — 238) se trouve une longue note relative à la description donnée par Vesputse de plusieurs Canopi resplendissant, comme aux étoiles de la Croix du sud placées par Ptolémée dans les pieds du Centaure. Du tems d'Amérique Vesputse le pôle sud se trouvoit encore dans la constellation de l'Octant et les explications que d'après le conseil de mon savant confrère Mr. Adeler je présente de quelques passages très-embrouillés du navigateur l'expliquent, ne vront sans doute une nouvelle lumière, si Sir John Herschel qui

connaît si intimement les merveilles du ciel austral, veut bien jeter les yeux sur mon ouvrage. Je n'affirmerai pas positivement que le Canopo toaco de Vespucie (ein Canopus schwarz und wunderbarlich groß, dit l'ancienne traduction allemande) est un des sacs de charbon, mais je Vous rappellerai un passage peu connu de *Pierre Martyr d'Anghiera* (Oceanica Dec. I. lib. IX. ed. Colon. 1574 p. 96.) „Interrogati a me nautae qui *Vicentium Agnem Pinzonum* fuerant comitatu) an antarcticum viderint polum: stellam se nulum huic aëticae similem quae diacerasi circa punctum (polum?) posuit, cognovisse inquirunt. Stellarum tamen aliam, ajunt, se prospexisse faciem densamque quandam ab horizonte vaporosam caliginem, quae oculos fere obtenebraret.“ Ces mots me paraissent offrir la plus ancienne description des coalbags. L'expédition de *Vicente Yañez Pinzon* est datée de 1499 et la rédaction du passage des Océaniques probablement de 1510. Le Père *Acosta* disserte plus tard sur la cause de ces

taches „qui ressemblent à la figure et portion de la lune éclipsee.“ On a de la peine à concevoir comment Mr. de *Zach* (*Bode*, *Jahrbuch* 1788 p. 167) a pu conclure de ce passage que *Acosta* ait trouvé l'ouvrage à paru pour la première fois à Séville en 1590, ait parlé „de taches du soleil que l'on voit au Pérou et non en Europe.“ (Examen critique T. 4. p. 316—336). J'ai aussi trouvé dans le spirituel ouvrage d'Anghiera (Dec. III. lib. I. p. 217) la première indication des nuages de Magellan.“ Assecuti sunt Portugallenses alterius poli gradum? quintum quoqueagesimum amplius: ubi punctum (polum?) circumeuntes quasdam nubeculas sicut in tueri, veluti in lactea via sparsos fulgores per universum coeli globum intra ejus spatii latitudinem.“ On peut prouver que ce passage est de 1514 par conséquent antérieur de sept ans au voyage de *Pigafetta*, même antérieur au voyage d'*Andrea Corvati* à Cochin dans l'Inde. Ces notions ne sont pas sans intérêt pour l'histoire de l'astrologie.

A. de Humboldt.

Ueber den Ausdruck einer Function  $\Phi x$ , durch Cosinusse und Sinusse der Vielfachen von  $x$ .

Von Herrn Geheimen-Rath und Ritter Bessel.

1.

Wenn man

$$[1] \dots \Phi x = A^0 + 2A^1 \cos x + 2A^2 \cos 2x + 2A^3 \cos 3x + \dots + 2B^1 \sin x + 2B^2 \sin 2x + 2B^3 \sin 3x + \dots$$

$$2\pi A^0 = \int_{-\pi}^{\pi} \Phi x dx, \quad 2\pi A^1 = \int_{-\pi}^{\pi} \Phi x \cos x dx, \quad 2\pi A^2 = \int_{-\pi}^{\pi} \Phi x \cos 2x dx, \dots$$

$$2\pi B^1 = \int_{-\pi}^{\pi} \Phi x \sin x dx, \quad 2\pi B^2 = \int_{-\pi}^{\pi} \Phi x \sin 2x dx, \dots$$

Schreibt man unter den Integralzeichen,  $x$  statt  $x$ , so hat man also:

$$[2] \dots 2\pi \Phi x = \int_{-\pi}^{\pi} \Phi a da + 2 \cos x \int_{-\pi}^{\pi} \Phi a \cos a da + 2 \cos 2x \int_{-\pi}^{\pi} \Phi a \cos 2a da + \dots + 2 \sin x \int_{-\pi}^{\pi} \Phi a \sin a da + 2 \sin 2x \int_{-\pi}^{\pi} \Phi a \sin 2a da + \dots$$

Wenn  $\Phi x$  eine periodische Function von  $x$  ist, eine solche deren Werthe durch die Veränderung von  $x$  in  $x \pm 2\pi$ ,  $x \pm 4\pi$ , ... nicht geändert wird, so ist diese Entwicklung derselben, falls sie von  $x = -\pi$  bis  $x = \pi$  richtig ist, offenbar für alle Werthe von  $x$  richtig. Ihre Form schließt die Functionen von  $x$  aus, welche zwischen  $x = -\pi$  und  $x = +\pi$  nicht immer endlich bleiben. Da die Eigenschaft der periodischen  $x$  aus, welche zwischen  $x = -\pi$  und  $x = +\pi$  nicht immer endlich bleiben, so kann sie nicht-periodische Functionen nicht für alle Werthe von  $x$  darstellen, sondern höchstens nur für innerhalb gewisser Grenzen liegende. Es ist dann die Frage hervor, ob ihre Anwendung auf solche

annimmt, diesen Ausdruck nach und nach mit:

$$dx, \cos x dx, \cos 2x dx, \cos 3x dx, \dots \sin x dx, \sin 2x dx, \sin 3x dx, \dots$$

multiplirt, und von  $x = -\pi$  bis  $x = \pi$  integrirt, so erhält man:

nicht-periodische Functionen überall statthaft ist, und innerhalb welcher Grenzen von  $x$  sie  $\Phi x$ , und nicht eine davon verschiedene Größe ausdrückt.

Herr Prof. *Dirichlet* hat erwiesen \*), daß die Entwicklung [2], wie auch die Beschaffenheit der Function  $\Phi x$  sein möge, vorausgesetzt daß sie zwischen  $-x$  und  $x$  nicht unendlich groß wird, für Werthe von  $x$ , welche größer sind als  $-\pi$  und kleiner als  $\pi$ , im Allgemeinen zu dem Werthe

\*) *Größe Journal für die reine und angewandte Mathematik.* Bd. IV. S. 157.

von  $\varphi x$  convergirt, und nur für besondere Werthe von  $x$ , welche Unterbrechungen der Stetigkeit von  $\varphi x$  entsprechen, zu anderen Grenzen. Die Strenge und Vollständigkeit dieses Beweises lassen nichts zu wünschen übrig. Ich kann also nicht die Absicht haben, mehr zu leisten, als der genannte scharfsinnige Geometer geleistet hat; ich kann nur wünschen, daß die Betrachtungen, woran der neue Beweis der ausgesprochenen, wichtigen Eigenschaft der Entwicklung [2], dessen Darstellung meine Absicht ist, beruht, nicht minder evi-

$$2\pi\varphi_n x = \int_{-\pi}^{\pi} \varphi_n x \left\{ 1 + 2\cos(a-x) + 2\cos 2(a-x) + \dots + 2\cos n(a-x) \right\}$$

oder, wenn man diese Reihe summiert:

$$2\pi\varphi_n x = \int_{-\pi}^{\pi} \varphi_n x \cdot \frac{\sin(2n+1)\frac{a-x}{2}}{\sin \frac{a-x}{2}}$$

und, wenn man das Integral in zwei von 0 anfangende Integrale zerlegt,

$$2\pi\varphi_n x = \int_0^{\pi} \varphi_n x \frac{\sin(2n+1)\frac{a-x}{2}}{\sin \frac{a-x}{2}} + \int_0^{\pi} \varphi(-a) \frac{\sin(2n+1)\frac{a+x}{2}}{\sin \frac{a+x}{2}}$$

Setzt man voraus, daß  $2n+1$  der Cubus einer Zahl  $k$  ist, so wird dieser Ausdruck:

$$2\pi\varphi_n x = \int_0^{\pi} \varphi_n x \frac{\sin k^3 \frac{a-x}{2}}{\sin \frac{a-x}{2}} + \int_0^{\pi} \varphi(-a) \frac{\sin k^3 \frac{a+x}{2}}{\sin \frac{a+x}{2}}$$

und, wenn man eine neue veränderliche Größe  $u$  einführt, welche für beide Integrale resp.

$$= k^3 \frac{a-x}{2} \quad \text{und} \quad = k^3 \frac{a+x}{2}$$

angenommen wird,

$$[3] \dots \pi\varphi_n x = \int_0^{\pi \frac{a-x}{2}} \varphi \left( x + \frac{2u}{k^3} \right) \frac{\sin u du}{k^3 \sin \frac{u}{k^3}} + \int_0^{\pi \frac{a+x}{2}} \varphi \left( x - \frac{2u}{k^3} \right) \frac{\sin u du}{k^3 \sin \frac{u}{k^3}}$$

Ich werde nun zuerst zeigen, daß, wenn  $x$  die Grenzen  $\mp \pi \left( 1 - \frac{1}{k} \right)$  nicht überschreitet, die oberen Grenzen beider Integrale, mit desto größerem Rechte, je größer  $k$  ist, mit  $\frac{k}{2}\pi$  verwechselt werden können; und ferner, daß die Summe

derselben erscheinen mögen, als die, worauf Dirichlet den seinen gegründet hat. Jene scheinen mir wirklich, weniger in Wesentlichen, als in ihrer Anordnung, von diesen verschied zu sein.

## 2.

Bezeichnet man die Summe aller Glieder der Entwicklung [2], bis zu  $\cos nx$  und  $\sin nx$  incl. genommen, durch  $\varphi_n x$ , so ist der Ausdruck dieser Summe:

$$2\pi\varphi_n x = \int_{-\pi}^{\pi} \varphi_n x \left\{ 1 + 2\cos(a-x) + 2\cos 2(a-x) + \dots + 2\cos n(a-x) \right\}$$

der beiden so begrenzten Integrale, sich dem Werthe von  $\varphi x$  im Allgemeinen, und einer anderen Grenze für besondere Werthe von  $x$  desto mehr nähert, je größer  $k$  ist. Beide Annäherungen sind von der Art, daß sie sich, wenn  $k = \infty$  gesetzt wird, in Richtigkeit verwandeln.

## 3.

Die Verwechslung der oberen Grenzen beider Integrale [3] mit  $\frac{k}{2}\pi$  ist erlaubt, wenn

$$\int_0^{\pi \frac{a-x}{2}} \varphi \left( x + \frac{2u}{k^3} \right) \frac{\sin u du}{k^3 \sin \frac{u}{k^3}} + \int_0^{\pi \frac{a+x}{2}} \varphi \left( x - \frac{2u}{k^3} \right) \frac{\sin u du}{k^3 \sin \frac{u}{k^3}}$$

für einen unendlich großen Werth von  $k$  verschwindet. Ich werde dieses von dem ersten Integrale zeigen; von dem zweiten gilt, mit sich von selbst ergebenden Abänderungen, alles was ich über das erste sagen werde. Verändert man die untere Grenze des ersten Integrals, welches ich durch  $\xi$  bezeichnen werde, in 0, so hat man  $u + \frac{k}{2}\pi$  statt  $u$ , also, da  $k^3$  von der Form  $4m+1$  ist,  $\cos u$  statt  $\sin u$  zu schreiben und erhält dadurch,

$$\xi = \int_0^{\pi} \varphi \left( x + \frac{\pi}{k} + \frac{2u}{k^3} \right) \frac{\cos u du}{k^3 \sin \left( \frac{\pi}{k} + \frac{u}{k^3} \right)}$$

wo  $l$  für

$$k^3 \frac{\pi - x}{2} - \frac{k}{2}\pi = \frac{k}{2} \left\{ k - \frac{x}{\pi} - 1 \right\} \pi$$

geschrieben ist. Die Grenze  $\xi$  dieses Integrals ist ein Vielfaches von  $\pi$ , wenn  $x$  ein gerades Vielfaches von  $\frac{\pi}{k}$  ist; ich werde dieses, um unnötige Weitläufigkeit zu vermeiden, annehmen, und  $\xi$  in  $l$  Theile theilen, nämlich in die von 0 bis  $\pi$ , von  $\pi$  bis  $2\pi$ , von  $2\pi$  bis  $3\pi$ , u. s. w. genommenen Integrale. Ich setze also

$$\xi = \sum_{\lambda=0}^{l-1} \int_{\lambda\pi}^{(\lambda+1)\pi} \varphi \left( x + \frac{\pi}{k} + \frac{2u}{k^3} \right) \frac{\cos u du}{k^3 \sin \left( \frac{\pi}{k} + \frac{u}{k^3} \right)}$$

wo das Summenzeichen alle ganzen Zahlen  $h$ , von 0 bis  $l-1$  betrifft; oder, indem ich die untere Grenze des Integrals in 0 verschiebe:

$$[4] \xi = \sum_{n=0}^{l-1} (-1)^n \int_0^{\pi} \varphi \left( x + \frac{\pi}{k} + \frac{2h\pi}{k^2} + \frac{2u}{k^2} \right) \frac{\cos u \, du}{k^2 \sin \left( \frac{\pi}{k} + \frac{h\pi}{k^2} + \frac{u}{k^2} \right)}$$

woll ich, um abzukürzen,

$$\xi = \sum (-1)^n \psi h$$

oder  
[5]  $\dots \xi = \psi 0 - \psi 1 + \psi 2 - \dots + (-1)^{l-1} \psi(l-1)$  schreiben werde.

Der Bogen, dessen Sinus in dem Ausdrucke von  $\psi h$  vorkommt, ist für  $h = 0$  und  $u = 0$  so klein als er werden kann, nämlich  $= \frac{\pi}{2k}$ ; er wächst mit  $h$ , und wenn  $h$  seine Grenze erreicht und  $u = \pi$  gesetzt wird, ist er so groß als  $\pi$  werden kann, nämlich  $= \frac{1}{2}(\pi - x)$ . Da  $x$ , der Annahme gemäß, die Grenzen  $\frac{\pi}{2k} \left(1 - \frac{1}{k}\right)$  nicht überschreitet, so kann er also nicht größer werden als  $\pi \left(1 - \frac{1}{2k}\right)$ . Der Sinus in Nenner von [4] ist also immer positiv und nicht kleiner als  $\sin \frac{\pi}{2k}$ . Das Integral in diesem Ausdrucke hat von 0 bis  $\frac{1}{2}\pi$  und von  $\frac{1}{2}\pi$  bis  $\pi$  entgegengesetzte Zeichen, und ist daher unter der Annahme, daß der Quotient

$$\frac{\varphi \left( x + \frac{\pi}{k} + \frac{2h\pi}{k^2} + \frac{2u}{k^2} \right)}{k^2 \sin \left( \frac{\pi}{2k} + \frac{h\pi}{k^2} + \frac{u}{k^2} \right)}$$

zwischen  $u = 0$  und  $u = \pi$  entweder ununterbrochen wächst, oder ununterbrochen abnimmt, ohne Rücksicht auf sein Zeichen, kleiner als:

$$\frac{\varphi \left( x + \frac{\pi}{k} + \frac{2h\pi}{k^2} \right)}{k^2 \sin \left( \frac{\pi}{2k} + \frac{h\pi}{k^2} \right)} - \frac{\varphi \left( x + \frac{\pi}{k} + \frac{2(h+1)\pi}{k^2} \right)}{k^2 \sin \left( \frac{\pi}{2k} + \frac{(h+1)\pi}{k^2} \right)},$$

woll ich, um abzukürzen,  $f h - f(h+1)$  schreiben werde. Die einzelnen Theile von  $\xi$  sind also kleiner als resp.  $f_0 - f_1$ ,  $f_1 - f_2$ ,  $f_2 - f_3$ , u. s. w.. Die Annahme, worauf dieses beruht, ist erlaubt, da  $k$  beliebig groß, also  $\frac{u}{k^2}$  beliebig klein gesetzt werden kann; aus demselben Grunde ist es auch unnötig, das Falles, in welchem die Function  $\varphi$ , zwischen  $h$  und  $h+1$  ihre Zeichen ändert, als Ausnahme zu erwähnen.

Nehmen die Werthe von  $f_0, f_1, f_2, \dots$ , die bald abnehmen, bald wachsen können, zwischen zwei Grenzen  $n$  und  $n'$  von  $h$ , entweder ab oder zu, so daß ihr Abnehmen oder ihr

Zunehmen mit  $f_n$  anfängt und sich mit  $f_{n'}$  endigt, so ist der sich über dieses Intervall erstreckende Theil von  $\xi$ , nämlich

$$(-1)^n \psi n + (-1)^{n+1} \psi(n+1) + \dots + (-1)^{n'-1} \psi(n'-1),$$

kleiner als die Summe aller seiner Glieder, ohne Rücksicht auf ihre Zeichen genommen, und noch mehr kleiner als die Summe der, gleiches Zeichen besitzenden Größen  $f_n - f(n+1)$ ,  $f(n+1) - f(n+2), \dots, f(n'-1) - f_{n'}$ , oder, ohne Rücksicht auf das Zeichen, kleiner als  $f_n - f_{n'}$ . Versteht man unter  $m, m', \dots, m^{(l)}$  die Werthe von  $h$ , für welche jedes Abnehmen oder Zunehmen der Werthe von  $f h$  anfängt oder sich endigt, so ist daher  $\xi$  kleiner als die Summe der, mit gleichem Zeichen genommenen Größen  $f_0 - f_m, f_m - f_{m'}, f_{m'} - f_{m''}, \dots, f_{m^{(l)}} - f_l$ . Da man aber nicht annehmen will, daß die Function  $\varphi$  stetig ist, so kann sie für  $m, m', \dots$  zwei Werthe haben, weshalb im Allgemeinen unter  $f_m, f_{m'}, \dots$ , in zwei aufeinanderfolgenden dieser Unterschiede, verschiedene Werthe zu verstehen sind.

Die Größen  $f_0, f_m, f_{m'}, \dots, f_l$  haben die Neuner

$$k^2 \sin \frac{\pi}{2k}, k^2 \sin \left( \frac{\pi}{2k} + \frac{m\pi}{k^2} \right), \dots, k^2 \sin \frac{\pi - x}{2}.$$

Der erste derselben ist von der Ordnung von  $k^2$ ; der letzte kann von derselben Ordnung sein, und ist es wirklich, wenn  $x$  entweder  $= -\pi \left(1 - \frac{1}{k}\right)$ , oder dieser Grenze so nahe ist, daß seine Entfernung von  $-\pi$ , abgleich als größer ist, als  $\frac{\pi}{k}$ , noch als eine Größe derselben Ordnung angesehen werden kann; die übrigen sind im Allgemeinen von der Ordnung von  $k^2$  und nie von einer niedrigeren als  $k^2$ .  $\xi$  ist also kleiner als die angegebene Summe von  $l+1$  Größen, deren keine die Ordnung von  $\frac{1}{k^2}$  überschreitet; welche Summe diese Ordnung gleichfalls nicht überschreitet, da die Anzahl ihrer Glieder  $(l+1)$  von der Beschaffenheit der Function  $\varphi x$  und von der Größe von  $x$  abhängt, nicht aber durch Vergrößerung von  $k$  vermehrt wird, also als ein beliebig kleiner Theil von  $k$  angesehen werden kann. Die Grenze von  $\xi$ , und damit  $\xi$  selbst, wird also desto kleiner, je größer  $k$  ist und verschwindet für  $k = \infty$ . Ich bemerke noch, daß die Betrachtung, woraus dieses hervorgegangen ist, nicht minder zu demselben Ziele führt, wenn im Ausdrucke von  $\xi$ , am Anfange des gegenwärtigen  $f_n$ , unter dem Functionenzeichen  $\varphi$ , statt  $x$  eine andere Größe geschrieben wird.

Uebrigens verschwindet  $\xi$  völlig, wenn  $x = \pi \left(1 - \frac{1}{k}\right)$  angenommen wird, denn dann erreicht das bis  $\frac{k^2}{2}$  genommene erste Integral des Ausdruckes [3] seine obere Grenze; derselbe

Fall tritt für das zweite Integral dieses Ausdruckes ein, wenn

$$x = -\pi \left(1 - \frac{1}{k}\right) \text{ ist.}$$

4.

Indem hierdurch klar geworden ist, daß die oberen Grenzen der beiden Integrale des Ausdruckes [3], wenn  $k$  eine unendlich große Zahl bedeutet, mit  $\frac{k}{2}\pi$  verwechselt werden können, ist er auf

$$[6] \dots \varphi_n x = \int_{\frac{k}{2}\pi}^{\frac{k}{2}\pi} \left\{ \varphi \left( x + \frac{2u}{k} \right) + \varphi \left( x - \frac{2u}{k} \right) \right\} \frac{\sin u \, du}{k^2 \sin \frac{u}{k^2}}$$

zurückgeführt worden. Diese Zurückführung ist so lange statthaft, als  $x$  die Grenzen  $\mp \pi \left(1 - \frac{1}{k}\right)$  nicht überschreitet, oder unendlich wenig von  $\mp \pi$  entfernt bleibt.

Da selbst an der Grenze dieses Integrals,  $\frac{u}{k^2}$  unendlich klein ( $= \frac{\pi}{2k}$ ) ist, so ist  $\frac{k^2}{u} \sin \frac{u}{k^2}$  nur in der Ordnung von  $\frac{1}{k^2}$  von 1 verschieden und kann daher damit verwechselt werden.

$$U = \int_0^{\pi} \frac{\sin u \, du}{u} + \int_{\pi}^{2\pi} \frac{\sin u \, du}{u} + \dots + \int_{(n-1)\pi}^{n\pi} \frac{\sin u \, du}{u} + \int_{n\pi}^{(n+1)\pi} \frac{\sin u \, du}{u}$$

oder

$$U = \int_0^{\pi} \frac{\sin u \, du}{u} - \int_{\pi}^{2\pi} \frac{\sin u \, du}{\pi + u} + \int_0^{\pi} \frac{\sin u \, du}{2\pi + u} - \dots + (-1)^n \int_0^{\pi} \frac{\sin u \, du}{n\pi + u}$$

in welchem Ausdrucke jedes folgende seiner Glieder offenbar kleiner ist, als das vorhergehende, und, da ihre Zeichen ab-

$$\int \varphi \left( x + \frac{2u}{k} \right) \frac{\sin u \, du}{u} = U \varphi \left( x + \frac{2u}{k} \right) - \int U d\varphi \left( x + \frac{2u}{k} \right)$$

und, wenn man sich erinnert, daß der Werth von  $U$ , für  $u = \infty$ ,  $= \frac{1}{2}\pi$  ist,

$$\int_0^{\frac{k}{2}\pi} \varphi \left( x + \frac{2u}{k} \right) \frac{\sin u \, du}{u} = \frac{1}{2}\pi \varphi \left( x + \frac{\pi}{k} \right) - \int_0^{\frac{k}{2}\pi} U d\varphi \left( x + \frac{2u}{k} \right)$$

Indem aber  $U$  positiv ist und die Function  $\varphi$ , in dem in Betracht kommenden unendlich kleinen Zwischenraume zwischen  $x$  und  $x + \frac{\pi}{k}$ , entweder nur wächst, oder nur abnimmt, so hat das in diesem Ausdrucke vorkommende Integral das Zeichen von  $\varphi \left( x + \frac{\pi}{k} \right) - \varphi x$  und ist kleiner als das Product

$$\int_0^{\frac{k}{2}\pi} \varphi \left( x + \frac{2u}{k} \right) \frac{\sin u \, du}{u} = \frac{1}{2}\pi \left\{ \varphi \left( x + \frac{\pi}{k} \right) - \alpha \left[ \varphi \left( x + \frac{\pi}{k} \right) - \varphi x \right] \right\}$$

welche GröÙe offenbar zwischen  $\frac{1}{2}\pi \varphi x$  und  $\frac{1}{2}\pi \varphi \left( x + \frac{\pi}{k} \right)$

liegt und durch  $\frac{1}{2}\pi \varphi(x+s)$  bezeichnet werden soll, wo also  $s$  eine unendlich kleine GröÙe bedeutet. Das zweite Integral von [7] erhält eben so den Ausdruck  $\frac{1}{2}\pi \varphi(x-s)$ . Man hat also

den, oder man kann den Ausdruck:

$$[7] \dots \varphi_n x = \int_{-\frac{k}{2}\pi}^{\frac{k}{2}\pi} \left\{ \varphi \left( x + \frac{2u}{k} \right) + \varphi \left( x - \frac{2u}{k} \right) \right\} \frac{\sin u \, du}{u}$$

schreiben. Da die beiden, in diesem Ausdrucke vorkommenden Argumente der Function  $\varphi$ , sich, selbst an der Grenze des Integrals, nur um die unendlich kleine GröÙe  $\frac{\pi}{k}$  von  $x$  entfernen, so geht daraus hervor, daß alle entfernter liegende Werthe derselben keinen Einfluß auf  $\varphi_n x$  haben, und daß diese GröÙe allein durch das Verhalten der Function  $\varphi$  in dem unendlich kleinen Zwischenraume zwischen  $x - \frac{\pi}{k}$  und  $x + \frac{\pi}{k}$  bestimmt wird.

Bezeichnet man durch  $U$  das unbestimmte Integral

$$\int \frac{\sin u \, du}{u},$$

so ist dieses  $U$  für jeden positiven Werth von  $u$  positiv. Setzt man nämlich  $h\pi + \nu$  für diesen Werth, wo  $\nu$  seinen Ueberschuß über das nächst-kleinere Vielfache bedeutet, so hat man

$$U = \int_0^{h\pi} \frac{\sin u \, du}{u} + \int_{h\pi}^{h\pi+\nu} \frac{\sin u \, du}{u}$$

wecheln, die Summe aller positiv (wie das erste Glied) ist. Integriert man nun theilweise, so erhält man

$$\frac{\pi}{2} \left\{ \varphi \left( x + \frac{\pi}{k} \right) - \varphi x \right\};$$

oder es ist das Product dieser GröÙe, in einen eigentlichen positiven Bruch  $\alpha$  multiplicirt. Man hat also

$$\varphi_n x = \frac{1}{2} \left\{ \varphi(x+s) + \varphi(x-s) \right\} \dots \dots \dots (9)$$

Dieses ist die Form, auf welche Herr Dirichlet den Ausdruck der, hier durch  $\varphi_n x$  bezeichneten, Grenze der Reihe [2] gebracht hat. Sie ist geeignet, diese Grenze in allen Fällen

ausgehen: indem man ihr desto näher kommt, je kleiner man  $\epsilon$  annimmt, so folgt unmittelbar aus [8], daß im Allgemeinen  $\varphi x = \varphi x$  ist; für diejenigen besondern Werthe von  $x$  aber, bei welchen die Stetigkeit der Function  $\varphi$  unterbrochen ist, und auf deren beiden Seiten sie verschiedenen Gesetzen folgt, ist die Grenze von  $\varphi(x-\epsilon)$  der dem einen Gesetze, die von  $\varphi(x+\epsilon)$  der dem andern entsprechende Werth von  $\varphi x$ ,  $\varphi_0 x$  also die halbe Summe beider Werthe.

Obgleich, streng genommen, die Reihe [2] selbst für die Werthe von  $x$ , für welche die eben erwähnten Unterbrechungen der Stetigkeit stattfinden, zu einer bestimmten, und zwar der angegebenen Grenze convergirt, so darf dieses jedoch nicht so verstanden werden, daß diese Grenze wirklich, z. B. durch Zahlenrechnung der Reihe [2], erreicht werden könnte. Denn da schon eine unendlich kleine Aenderung von  $x$  hinreicht, von dem Werthe von  $\varphi x$ , welcher zu dem Gesetze der Function auf der einen Seite von  $x$  gehört, zu dem der andern Seite entsprechenden, zu führen, und da unendlich kleine Aenderungen in der Rechnung nicht unterschieden

$$\int_0^{\frac{1}{2}(2n-1)\pi} \varphi\left(-\pi + \frac{\pi}{k} + \frac{2u}{k^3}\right) \frac{\sin u \, du}{k^3 \sin \frac{u}{k^3}} = \int_0^{\frac{1}{2}\pi} \varphi\left(-\pi + \frac{\pi}{k} + \frac{2u}{k^3}\right) \frac{\sin u \, du}{k^3 \sin \frac{u}{k^3}}$$

ist, und auch bemerkt, daß ebensowohl

$$\int_0^{\frac{1}{2}(2n-1)\pi} \varphi\left(-\pi + \frac{2u}{k^3}\right) \frac{\sin u \, du}{k^3 \sin \frac{u}{k^3}} = \int_0^{\frac{1}{2}\pi} \varphi\left(-\pi + \frac{2u}{k^3}\right) \frac{\sin u \, du}{k^3 \sin \frac{u}{k^3}}$$

angenommen werden kann. Vergleicht man dieses mit dem Ausdrucke [9], so wird er

$$\pi \varphi_n(-\pi) = \int_0^{\frac{1}{2}\pi} \varphi\left(-\pi + \frac{2u}{k^3}\right) \frac{\sin u \, du}{k^3 \sin \frac{u}{k^3}} + \int_{\frac{1}{2}\pi}^{k^2 n} \varphi\left(-\pi + \frac{2u}{k^3}\right) \frac{\sin u \, du}{k^3 \sin \frac{u}{k^3}}$$

Schreibt man in dem letzten Integrale dieses Ausdruckes  $u + k^2 \pi$  für  $u$ , so verwandelt es sich in

$$\int_{-\frac{1}{2}\pi}^0 \varphi\left(\pi + \frac{2u}{k^3}\right) \frac{\sin u \, du}{k^3 \sin \frac{u}{k^3}}$$

und setzt man darin  $u$  für  $-u$ , in:

$$\int_0^{\frac{1}{2}\pi} \varphi\left(\pi - \frac{2u}{k^3}\right) \frac{\sin u \, du}{k^3 \sin \frac{u}{k^3}}$$

Man erhält also

$$\pi \varphi_0(-\pi) = \int_0^{\frac{1}{2}\pi} \left\{ \varphi\left(-\pi + \frac{2u}{k^3}\right) + \varphi\left(\pi - \frac{2u}{k^3}\right) \right\} \frac{\sin u \, du}{k^3 \sin \frac{u}{k^3}}$$

woraus, wie im vorigen §, folgt:

$$[10].. \varphi_n(-\pi) = \frac{1}{2} [\varphi(-\pi + \pi) + \varphi(\pi - \pi)] = \varphi_n \pi$$

Hieraus geht hervor, daß die Reihe [2] für  $x = \pi$  oder  $-\pi$ , sich der halben Summe von  $\varphi \pi$  und  $\varphi(-\pi)$  nähert.

werden können, so muß diese den Werth der Reihe [2] in einem sehr kleinen Intervalle unbestimmt lassen.

## 5.

Um die Bedeutung der Reihe [2] vollständig kennen zu lernen, muß man noch die Grenze aufsuchen, welcher sie sich nähert, wenn  $x$  nicht etwa unendlich wenig größer als  $-\pi$ , oder kleiner als  $\pi$  ist, sondern wenn es diese Grenzen selbst erreicht. Da sie die Periode  $2\pi$  besitzt, so ist  $\varphi_n \pi = \varphi_n(-\pi)$ , so wie allgemein  $\varphi_n x = \varphi_n(x \pm 2\pi) = \varphi_n(x \pm 4\pi) = \dots$ . Zu ihrer Kenntniß für alle Werthe von  $x$  ist daher nur noch nöthig, daß sie über eine volle Periode ausgedehnt werde, woran allein noch  $\varphi_n \pi$ , oder  $\varphi_n(-\pi)$  fehlt.

Dem Ausdrucke [3] zufolge ist, wenn  $x = -\pi$  gesetzt wird.

$$\pi \varphi_n(-\pi) = \int_0^{k^2 n} \varphi\left(-\pi + \frac{2u}{k^3}\right) \frac{\sin u \, du}{k^3 \sin \frac{u}{k^3}} \dots [9]$$

Ich habe aber im 3ten § gezeigt, daß

$$\int_0^{\frac{1}{2}\pi} \varphi\left(-\pi + \frac{2u}{k^3}\right) \frac{\sin u \, du}{k^3 \sin \frac{u}{k^3}} = \int_0^{\frac{1}{2}\pi} \varphi\left(-\pi + \frac{2u}{k^3}\right) \frac{\sin u \, du}{k^3 \sin \frac{u}{k^3}}$$

$$\int_0^{\frac{1}{2}(2n-1)\pi} \varphi\left(-\pi + \frac{2u}{k^3}\right) \frac{\sin u \, du}{k^3 \sin \frac{u}{k^3}} = \int_0^{\frac{1}{2}\pi} \varphi\left(-\pi + \frac{2u}{k^3}\right) \frac{\sin u \, du}{k^3 \sin \frac{u}{k^3}}$$

so stellt also die Function  $\varphi x$ , von  $x = -\pi$  bis  $x = \pi$  inclusive dar, wenn diese Function für  $x = \pi$  und  $x = -\pi$  gleiche Werthe hat, wie z. B. der Fall der geraden, stetigen Functionen ist; wenn  $\varphi \pi$  und  $\varphi(-\pi)$  verschieden sind, so stellt sie die Functionen  $\varphi x$  nur zwischen  $x = -\pi$  und  $x = \pi$  exclusive dar.

Das jetzt vollständig erkannte Verhalten der Reihe [2] zu der Function  $\varphi x$ , aus welcher sie abgeleitet worden ist, läßt sich folgendermaßen aussprechen:

1. die Reihe convergirt immer zu einer bestimmten Grenze;  
2. diese Grenze ist im Allgemeinen  $\varphi x$  selbst; wenn aber einem Werthe von  $x$  zwei Werthe der Function zukommen, die halbe Summe beider; und dieses gilt  
3. in dem ganzen Umfange der Werthe von  $x$ , für welchen die Eigenschaft der Reihe, ihre Werthe in der Periode  $2\pi$  wieder hervorzubringen, seine Gültigkeit nicht unmöglich macht.

Bessel.

Schreiben des Herrn Professors *Weisse*, Directors der Sternwarte in Cracau, an den Herausgeber.  
Cracau 1839. Jan. 1.

Schon im Laufe des verflonnenen Sommers habe ich den letzten Theil des Manuscripts meines Stern-Verzeichnisses aus *Bessels* Zonen-Beobachtungen nach Petersburg zum Drucke befördert. Somit ist dieses Werk, dem ich durch Jahre alle meine freie Zeit widmete, vollendet. Das Verzeichniß enthält

31948 verschiedene Sterne, von denen 4776 öfter als einmal beobachtet sind. Zur Untersuchung der wahrscheinlichen Fehler in AR. und Decl. habe ich alle Sterne angewendet, die mehrmals beobachtet wurden. Das folgende Schema zeigt die wahrscheinlichen Fehler jeder einzelnen Stunde mit den Gräzen derselben.

Stunde.	Zahl der versch. Sterne.	$\Sigma a^2$ in $\alpha$ .	Wahrsch. Fehler in AR.	Gräzen.	Zahl der Beob. für d. AR.	$\Sigma a^2$ in $\delta$ .	Wahrsch. Fehler in Decl.	Gräzen.	Zahl der Beob. für d. Decl.		
		$\mu$	$\mu$	$\mu$	$\mu$	$\mu$	$\mu$	$\mu$	$\mu$		
0	122	9,0591	0,1259	0,1296	0,1224	260	587,10	1,030	1,054	0,993	255
1	230	16,2724	0,1248	0,1276	0,1221	475	1159,04	1,051	1,074	1,028	477
2	183	12,5476	0,1192	0,1220	0,1164	401	975,35	1,052	1,077	1,027	401
3	196	13,7199	0,1220	0,1249	0,1192	419	1150,39	1,115	1,141	1,089	421
4	198	14,3601	0,1255	0,1295	0,1235	408	1032,84	1,073	1,098	1,048	408
5	235	20,2989	0,1321	0,1349	0,1294	529	1403,92	1,096	1,118	1,073	532
6	165	11,5510	0,1247	0,1279	0,1215	338	756,75	1,009	1,035	0,983	338
7	157	10,9163	0,1240	0,1273	0,1207	323	599,52	0,919	0,943	0,894	323
8	167	11,0969	0,1223	0,1256	0,1192	337	552,20	0,861	0,883	0,838	339
9	149	8,0710	0,1097	0,1127	0,1067	305	537,81	0,896	0,920	0,871	305
10	174	8,0883	0,1007	0,1032	0,0982	363	701,44	0,936	0,960	0,913	364
11	155	8,0078	0,1043	0,1070	0,1016	335	1354,67	1,356	1,392	1,321	335
12	170	8,2030	0,1031	0,1057	0,1005	351	1276,39	1,286	1,319	1,253	351
13	205	11,6395	0,1176	0,1204	0,1147	383	1829,16	1,475	1,512	1,440	382
14	201	12,1214	0,1149	0,1175	0,1122	418	997,31	1,047	1,071	1,022	414
15	194	11,6073	0,1152	0,1179	0,1124	398	744,45	0,921	0,943	0,899	399
16	223	11,6171	0,1084	0,1108	0,1079	450	949,58	0,974	0,996	0,953	455
17	132	6,7894	0,1064	0,1094	0,1032	273	572,75	0,980	1,009	0,952	271
18	150	6,1561	0,0878	0,0900	0,0856	363	646,92	0,883	0,905	0,862	377
19	234	11,4174	0,1045	0,1067	0,1022	476	1238,71	1,069	1,092	1,046	493
20	282	15,8580	0,1085	0,1105	0,1064	613	1745,75	1,138	1,160	1,116	613
21	335	21,7464	0,1159	0,1180	0,1139	736	1734,10	1,029	1,047	1,011	745
22	290	14,5580	0,1043	0,1063	0,1023	610	1562,20	1,007	1,026	0,988	611
23	178	8,0067	0,0983	0,1007	0,0959	377	764,47	0,959	0,983	0,936	378

Ich habe also zu diesem Zwecke 9941 Beobachtungen in AR. und 9987 in Declination von 4776 verschiedenen Sternen verglichen. Nach dem vorigen Schema ist nun

$$\Sigma \text{ aller } a^2 \text{ in AR.} = 283^7096$$

$$\Sigma \text{ aller } a^2 \text{ in Decl.} = 24672^82,$$

also

$$\text{der wahrsch. Fehler einer AR.} = 0^{\circ}1139 \text{ mit den Gräzen } \begin{cases} 0^{\circ}1145 \\ 0^{\circ}1134 \end{cases}$$

$$\text{der wahrsch. Fehler einer Decl.} = 1,060 \text{ mit den Gräzen } \begin{cases} 1,065 \\ 1,055 \end{cases}$$

Von den in den Königsberger Beobachtungen gegebenen Re-

ductions-Tafeln habe ich viele nachgerechnet, auch manche Sterne am Himmel selbst beobachtet, um mir aufzuklären Zweifel zu heben. Trotz der vielen Sorgfalt, die ich auf die Theile der Rechnungen verwendete, mögen wohl noch manche kleine Fehler sich eingeschlichen haben, indessen wird denn Zahl in keinem Falle bedeutend seyn.

Nach einem eben erhaltenen Briefe des Staatsrath v. *Strasse* sind bereits die ersten sechs Stunden gedruckt: von nun an wird der Druck schon rascher vorwärts gehen.

Dr. Max *Weisse*.

Ausgang eines Briefes von dem Freiherrn *Alexander v. Humboldt* an den Herausgeber. (Ueber die Bestimmung der Lichtstärke starrer Sterne.) p. 225.  
Ueber den Ausdruck einer Function für  $\Phi x$ , durch Cosinusse und Sinusse der Vielfachen von  $x$ . Von Herrn Geh. Rath und *Kunst* *Bessel*. p. 229.  
Schreiben des Herrn Professors *Weisse*, Directors der Sternwarte in Cracau, an den Herausgeber p. 239.

Altona 1839. März 21.

# ASTRONOMISCHE NACHRICHTEN.

N<sup>o</sup>. 375.

Schreiben des Herrn C. Bremker in Berlin an den Herausgeber.

Die bedeutenden Störungen des Merkurs auf den *Encke'schen* Cometen während seines letzten Umlaufes, welche nach der *Laplace'schen* Masse berechnet bis zum November vorigen Jahres + 116 Sekunden in mittlerer Anomalie betragen, wonach also der Comet um 2½ Stunden früher sein Perihel hätte erreichen müssen, ließen um so weniger eine gute Uebereinstimmung der Beobachtungen mit der im Voraus berechneten Ephemeride erwarten, als während der Sichtbarkeit der Comet der Erde sehr nahe kam, und daher ein geringer Fehler in der

mittlern Anomalie einen bedeutenden Einfluß auf den geocentrischen Ort haben mußte. Es kann daher nicht auffallen, wenn die Beobachtungen Unterschiede zeigen, welche ohne den Einfluß des Merkurs mit der genauen Kenntniß der Bahn Elemente unverträglich sein würden. Der gütigen Mittheilung des Herrn Professors *Encke* verdanke ich die während der ganzen Sichtbarkeit auf hiesiger Sternwarte gemachten und vorläufig redicirten Beobachtungen. Die Abweichungen derselben von der Ephemeride giebt die nachstehende Vergleichung.

1838.	M. Berl. Zt.	AR		Decl.		$\Delta\alpha$ .	$\Delta\alpha \cos \delta$ .	$\Delta\delta$ .
		Beobachtung.	Ephemeride.	Beobachtung.	Ephemeride.			
Sept. 16	<sup>a</sup> 14 0' 37"	<sup>a</sup> 38 13' 22,1	<sup>a</sup> 38 15' 23,2	<sup>a</sup> 33 22' 32,2	<sup>a</sup> 33 24' 1,1	+ 2' 1,1	+ 1' 41,1	+ 1' 28,9
17	11 52 0	38 13' 27,7	38 16 0,5	33 42' 35,4	33 44' 8,2	+ 2 32,8	+ 2 7,1	+ 1 32,8
19	11 4 10	38 12 9,0	38 15 17,7	34 28' 3,9	34 29' 14,6	+ 3 8,7	+ 2 35,6	+ 1 10,7
21	12 56 54	38 8 5,4	38 11 11,6	35 17' 59,9	35 19' 36,5	+ 3 6,2	+ 2 32,0	+ 1 36,6
22	11 12 13	38 4 38,8	38 8 8,2	35 41' 44,6	35 43' 3,3	+ 3 29,4	+ 2 50,1	+ 1 18,7
23	11 8 5	38 0 34,1	38 3 56,4	36 7' 31,8	36 8' 59,3	+ 3 22,3	+ 2 43,4	+ 1 27,5
24	12 3 58	37 54 58,7	37 58 30,1	36 35' 34,0	36 36' 50,7	+ 3 31,4	+ 2 49,7	+ 1 16,7
25	11 10 9	37 49 36,4	37 52 24,7	37 1' 48,7	37 3' 26,3	+ 2 48,3	+ 2 14,4	+ 1 87,6
27	11 2 15	37 33 16,4	37 36 17,9	37 59' 46,7	38 1' 17,7	+ 3 1,5	+ 2 23,0	+ 1 31,0
29	15 11 27	37 9 15,2	37 12 42,9	39 6' 40,0	39 8' 48,6	+ 3 27,7	+ 2 41,2	+ 2 8,6
30	14 59 44	36 55 51,2	36 59 34,6	39 39' 21,1	39 41' 21,7	+ 3 43,4	+ 2 52,0	+ 2 0,6
Oct. 1	16 30 31	36 38 49,3	36 43 39,5	40 15' 38,0	40 17' 32,4	+ 4 50,2	+ 3 41,5	+ 1 54,4
12	8 55 52	31 15 52,2	31 20 55,5	47 55' 1,6	47 58' 24,2	+ 5 3,3	+ 3 23,3	+ 3 22,6
14	10 15 39	31 13 35,1	31 18 6,1	47 58' 13,7	48 1' 21,9	+ 4 31,0	+ 3 1,4	+ 3 8,2
18	8 43 59	29 22 22,7	29 27 34,6	49 45' 50,8	49 49' 24,5	+ 5 11,9	+ 3 21,5	+ 3 34,0
21	7 37 23	24 1 42,7	24 7 21,1	53 54' 7,2	53 58' 51,6	+ 5 38,4	+ 3 19,4	+ 4 44,4
23	7 25 84	17 47 27,7	17 53 4,8	57 26' 6,5	57 32' 14,0	+ 5 37,1	+ 3 1,4	+ 6 7,5
23	7 52 36	11 52 38,7	11 57 39,2	59 56' 14,2	60 3 23,6	+ 5 0,5	+ 2 30,5	+ 7 9,4
24	7 18 45	8 20 26,8	8 24 33,8	61 8' 15,9	61 16 4,4	+ 4 9,0	+ 2 0,2	+ 7 48,5
25	12 55 52	3 5 31,9	3 7 47,4	62 36' 4,3	62 44' 24,3	+ 2 15,5	+ 1 2,3	+ 8 20,0
26	6 53 55	359 24 41,0	359 25 01,4	63 25' 17,5	63 34' 21,3	+ 1 10,4	+ 0 31,5	+ 9 3,8
Nov. 4	11 0 19	292 48 28,4	292 21 28,6	59 36' 32,5	59 14' 16,4	-26 59,8	-13 89,5	+ 3 43,9
5	Der Komet ist mit einem Stern verglichen, dessen Ort unbestimmt ist.							
6	12 56 36	281 8 26,2	280 43 24,9	53 58' 23,1	53 58' 57,4	-25 1,3	-14 43,0	+ 0 34,3
	Der Komet ist mit einem Stern verglichen, dessen Ort nicht bestimmt ist.							
8	10 3 1,7	273 6 55,4	272 44 4,9	48 4 7,6	48 2 46,0	-22 50,5	-15 15,8	-1 21,6
10	10 1 21,5	266 34 48,1	266 14 11,2	41 28' 26,5	41 25' 25,4	-20 36,9	-15 26,8	-3 1,1
12	6 28 24	261 51 44,0	261 33 4,8	35 25' 43,2	35 21' 33,0	-18 39,2	-15 12,0	-4 10,2
13	6 40 5	259 42 13,3	259 24 30,1	32 14' 44,5	32 10' 22,9	-17 43,2	-14 59,2	-4 21,6
19	6 45 21	250 37 12,9	250 24 6,8	15 55' 57,9	15 51' 24,9	-13 6,1	-12 53,5	-4 33,1
23	5 49 40	246 44 25,1	246 34 2,5	7 42' 55,8	7 38' 48,3	-10 22,6	-10 17,0	-4 7,5
25	Der Komet ist mit einem noch unbestimmten Sterne verglichen.							
26	5 22 54	244 29 19,1	244 20 20,2	2 36' 13,0	2 32' 39,2	- 8 58,9	- 8 58,3	- 3 33,8
28	5 13 2	243 14 10,3	243 6 6,8	-0 24' 40,6	-0 27' 32,9	- 8 3,5	- 8 3,5	- 2 52,3



Die Abweichungen sind fast genau den beiden ersten Gliedern  $\cos \delta \frac{d\alpha}{dM}$  und  $\frac{d\delta}{dM}$  der Differenzial- Coefficienten (Astr.

Jahrbuch pro 1840) proportional. Für die Tage, wo diese berechnet sind, erhält man nämlich, aus den diesen Tagen am nächsten liegenden Beobachtungen:

	$\cos \delta \cdot \frac{d\alpha}{dM}$	$\cos \delta \cdot \Delta\alpha$	$\frac{d\delta}{dM}$	$\Delta\delta$
Sept. 25,0	+ 2,95	+ 2' 32"	+ 1,57	+ 1' 27"
Oct. 13,0	+ 4,60	+ 3 20	+ 4,11	+ 3 22
— 23,3	+ 3,51	+ 2 31	+ 9,04	+ 7 9
Nov. 12,9	-18,12	-15 3	-4,29	-4 19
— 23,2	-12,61	-10 17	-4,30	-4 8

Im Mittel ergibt sich hieraus  $dM = +49^9$ , und eine um so viel verkleinerte mittlere Anomalie wird die Beobachtungen ziemlich genau darstellen. Die übrig bleibenden Abweichungen sind nämlich:

Sept. 25,0	$\Delta\alpha \cdot \cos \delta = + 5''$	$\Delta\delta = + 8''$
Oct. 13,0	-30	-4

1832 Juni 5,9	0 = -140°	-13,559 $dM$ - 297,791 $d\mu$ - 7,354 $d\phi$
		+ 2,377 $d\alpha$ + 0,120 $d\delta$ + 0,714 $d\epsilon$
	0 = -75°	-6,675 $dM$ + 56,629 $d\mu$ + 0,773 $d\phi$
		+ 0,525 $d\alpha$ - 0,141 $d\delta$ - 1,538 $d\epsilon$
1835 Juli 30,5	0 = -106°3	+ 3,383 $dM$ - 50,210 $d\mu$ - 1,390 $d\phi$
		+ 0,379 $d\alpha$ - 0,013 $d\delta$ + 0,104 $d\epsilon$
	0 = + 31°5	-0,732 $dM$ + 7,258 $d\mu$ + 0,215 $d\phi$
		-0,055 $d\alpha$ - 0,011 $d\delta$ + 0,491 $d\epsilon$

woraus man den Schluss zu ziehen geneigt sein möchte, daß, um auch die früheren Beobachtungen besser darzustellen, die Masse des Mercur noch mehr verringert werden müsse. Eine sorgfältige Untersuchung der früheren Erscheinungen, verglichen mit einem geänderten Werthe der Mercurmassa, kann jedoch allein hierüber entscheiden.

Wollte man auf physicalische Betrachtungen Gewicht legen, so würde eine Zusammenstellung der Dichtigkeiten der Planeten

Sonne.....	0,252
Mercur.....	2,94
Venus.....	0,923
Erde.....	1,0
Mars.....	0,948
Jupiter.....	0,238
Saturn.....	0,138
Uranus.....	0,252

Oct. 23,3	$\Delta\alpha \cdot \cos \delta = -25''$	$\Delta\delta = -23''$
Nov. 12,9	+ 3	-44
— 23,2	+ 8	-33

Berücksichtigt man, daß die Störungen des Mercur während der früheren Umläufe immer sehr gering waren, und auch in dem letzten Umlauf in Bezug auf die übrigen Elemente so unbedeutend sind, daß ihr Einfluß auf den geocentrischen Ort keine Bogensekunde betragen kann, so wird es wahrscheinlich, daß die jetzt so plötzlich hervorgetretenen bedeutenden Unterschiede zwischen Beobachtung und Ephemeride aus einer zu groß angesetzten Mercur-Masse erklärt werden müssen. Nach dieser Hypothese müßte der Betrag der Störungen des Mercur, weicher sich zu +116° in  $M$  herausstellte, um 50' verringert, oder die Masse desselben mit  $\frac{1}{2}$  multiplicirt werden. Dieses Resultat kann jedoch nur als eine durch einen rohen Ueberschlag gewonnene erste Näherung angesehen werden, da die früheren Erscheinungen dabei unberücksichtigt geblieben sind. Die beiden aus den Beobachtungen von 1832 und 1835 abgeleiteten Normalörter gehen aber die Bedingungen

vielleicht ebenfalls eine geringere Mercurmasse als wahrscheinlich erscheinen lassen, wenn man erwägt, daß, abgesehen von der an sich hohen Zahl 2,94, welche den specifischen Gewichte 14,7 entspricht, durch eine unter die Hälfte verringerte Masse des Mercur die vier der Sonne näheren Planeten nahe die Dichtigkeit 1 erhalten, während die der Sonne und der drei großen Planeten, mit einiger Abweichung des ohnehin anomalen Saturn, nahezu  $\frac{1}{2}$  ist.

Die bedeutenden Abweichungen zwischen Beobachtung und Ephemeride, welche in Verbindung mit der so sehr ungleichförmigen Bewegung des Cometen eine rasche Aenderung dieser Abweichungen zur Folge haben mußten, ließen es bequemer Reduccion eine besser sich anschließende Ephemeride wünschen. Die derselben zu Grunde liegenden Elemente sind unverändert dieselben, wie in der 1<sup>ten</sup> Ephemeride, mit Ausnahme von  $M$ , welches dem Obigen zufolge in runder Zahl um 50' geringer angenommen ist.

## Zweite Ephemeride des Enckeschen Cometen.

## Elemente.

1838	$M_0 = 359^{\circ} 59' 10'' 588$
Dec. 19,0	$\mu = 1071^{\circ} 183718$
Berliner	$\phi = 57^{\circ} 41' 43'' 95$
M. Z.	$\pi = 157^{\circ} 27' 34,82$
	$\delta_0 = 334^{\circ} 36' 31,84$
	$i = 13^{\circ} 21' 29,01$

## Encke's Comet im Jahre 1838.

12 <sup>te</sup> mtl. Zt. an Berlin.	Aberration.	Red. f. w. Aeq.	Gerade Aufst. $\alpha$	Stündliche Bewegung. p	p'	Red. f. w. Aeq.	Abweichung $\delta$	Stündliche Bewegung. q	q'	Log. der Entfernung von d. Erde.	v. d. Sonne.
Sept. 16	7 40,4	-19,8	38 13 16,1	+ 0 2,45	-0,035	+ 1,4	+ 33 21 20,1	+ 0 54,38	+ 0,029	9,970167	
17	7 30,7	19,8	38 13 54,1	+ 0 0,70	0,037	1,5	33 43 22,0	0 55,79	0,030	9,960884	0,282499
18	7 21,0	19,8	38 13 49,2	- 0 1,12	0,039	1,5	34 5 58,6	0 57,29	0,031	9,951457	
19	7 11,4	19,8	38 12 59,2	0 3,07	0,042	1,5	34 29 11,6	0 58,82	0,033	9,941883	
20	7 1,8	19,8	38 11 21,1	0 5,13	0,044	1,6	34 53 2,8	1 0,45	0,035	9,932158	
21	6 52,3	-19,8	38 8 52,1	- 0 7,25	-0,047	+ 1,6	+ 35 17 34,5	+ 1 2,19	+ 0,037	9,922277	0,219770
22	6 42,9	19,8	38 5 29,0	0 9,63	0,050	1,7	35 42 48,8	1 4,02	0,039	9,912239	
23	6 33,6	19,8	38 1 8,6	0 12,07	0,053	1,7	36 8 48,1	1 5,94	0,041	9,902037	
24	6 24,3	19,8	37 55 47,2	0 14,72	0,057	1,7	36 35 34,8	1 7,98	0,044	9,891668	
25	6 15,1	19,8	37 49 20,6	0 17,53	0,061	1,7	37 3 11,8	1 10,13	0,046	9,881128	0,206370
26	6 5,9	-19,9	37 41 44,1	- 0 20,54	-0,065	+ 1,7	+ 37 31 42,0	+ 1 12,40	+ 0,049	9,870412	
27	5 56,9	19,9	37 32 53,1	0 23,75	0,069	1,8	38 1 8,3	1 14,81	0,052	9,859515	
28	5 47,9	19,9	37 22 42,2	0 27,20	0,075	1,8	38 31 34,1	1 17,36	0,055	9,848431	
29	5 39,0	20,0	37 11 4,9	0 30,95	0,081	1,7	39 3 2,9	1 20,06	0,058	9,837157	0,192234
30	5 30,1	20,0	36 57 54,2	0 34,99	0,088	1,7	39 35 38,5	1 22,98	0,061	9,825687	
Oct. 1	5 21,4	-20,1	36 43 2,6	- 0 39,33	-0,095	+ 1,7	+ 40 9 24,7	+ 1 25,96	+ 0,065	9,814016	0,184867
2	5 12,7	20,2	36 26 21,3	0 44,13	0,104	1,7	40 44 26,0	1 29,18	0,069	9,802138	
3	5 4,1	20,2	36 7 40,7	0 49,33	0,113	1,7	41 20 46,8	1 32,59	0,073	9,790048	0,177288
4	5 55,6	20,3	35 46 49,5	0 55,02	0,124	1,7	41 58 31,9	1 36,21	0,078	9,777740	
5	4 47,2	20,4	35 23 35,3	1 1,27	0,137	1,6	42 37 45,4	1 40,04	0,082	9,765210	0,169485
6	4 38,9	-20,5	34 57 43,6	- 1 8,15	-0,151	+ 1,6	+ 43 18 35,5	+ 1 44,09	+ 0,087	9,752454	
7	4 30,7	20,7	34 28 58,2	1 15,77	0,167	1,5	44 1 4,8	1 48,39	0,092	9,739465	0,161447
8	4 22,5	20,8	33 56 59,9	1 24,23	0,186	1,5	44 45 20,1	1 52,93	0,097	9,726241	
9	4 14,5	20,9	33 21 27,6	1 33,64	0,207	1,4	45 31 27,4	1 57,73	0,102	9,712777	0,153161
10	4 6,6	21,1	32 41 56,2	1 44,17	0,232	1,3	46 19 33,1	2 2,79	0,108	9,699071	
11	3 58,8	-21,3	31 57 57,0	- 1 56,01	-0,262	+ 1,2	+ 47 9 43,3	+ 2 8,10	+ 0,113	9,685121	0,144613
12	3 51,1	21,5	31 8 55,5	2 9,38	0,296	1,1	48 2 4,0	2 13,67	0,118	9,670926	
13	3 43,6	21,7	30 14 12,3	2 24,55	0,337	0,9	48 56 41,4	2 19,48	0,123	9,656486	0,135788
14	3 36,1	22,1	29 13 0,1	2 41,84	0,385	0,8	49 53 40,6	2 25,50	0,127	9,641805	
15	3 28,8	22,4	28 4 23,7	3 1,66	0,443	0,6	50 53 6,5	2 31,67	0,130	9,626888	0,126670
16	3 21,7	-22,7	26 47 16,2	- 3 24,53	-0,510	+ 0,5	+ 51 55 1,5	+ 2 37,93	+ 0,130	9,611742	
17	3 14,7	23,1	25 20 19,3	3 50,97	0,592	0,2	52 59 26,7	2 44,17	0,128	9,596379	0,117241
18	3 7,8	23,5	23 41 58,0	4 21,66	0,692	0,0	54 6 19,9	2 50,23	0,122	9,580816	
19	3 1,1	23,8	21 50 17,2	4 57,72	0,814	- 0,3	55 15 34,0	2 55,87	0,110	9,565072	0,107482
20	2 54,6	24,3	19 42 57,2	5 40,07	0,956	0,7	56 26 55,2	3 0,77	0,092	9,549176	
21	2 48,3	-24,8	17 17 13,7	- 6 29,94	-1,128	- 1,0	+ 57 40 1,1	+ 3 4,50	+ 0,061	9,533162	0,097373
22	2 42,2	25,3	14 29 47,6	7 28,87	1,332	1,5	58 54 16,5	3 6,42	+ 0,016	9,517075	0,092179
23	2 36,3	25,8	11 16 43,3	8 38,38	1,568	2,0	60 8 47,9	3 5,67	- 0,050	9,500971	0,086889
24	2 30,6	26,6	7 33 30,0	9 59,77	1,826	2,6	61 22 18,3	3 1,17	0,142	9,484918	0,081500
25	2 25,2	26,7	3 15 13,0	11 33,79	2,090	3,2	62 33 2,4	2 51,43	0,270	9,468999	0,076008

$$a' = a \pm p \cdot t + p' \cdot t^2$$

$$\delta' = \delta \pm q \cdot t + q' \cdot t^2$$

16 \*

12 <sup>te</sup> Mtl. Zt. zu Berlin.	Aberra- tion.	Red. f. w. Aeq.	Gerade Aufst. $\alpha$	Stündliche Bewegung. $p$	$p'$	Red. f. w. Aeq.	Abweichung $\delta$	Stündliche Bewegung. $q$	$q'$	Log. der Entfernung von d. Erde. v. d. Sonne.
Oct. 26	2 20.1	-26,8	358 16' 52,3	-13' 19,72	-2,312	-4,0	+63 38' 32,2	+2 34,78	-0,432	9,458314 0,070410
27	2 15,2	26,4	352 34 18,9	15 14,01	2,423	4,8	64 35 40,2	2 9,19	0,641	9,437978 0,064782
28	2 10,6	25,5	346 5 33,4	17 9,04	2,319	5,7	65 20 27,0	1 32,83	0,878	9,423133 0,058800
29	2 6,4	24,1	338 62 39,5	18 52,26	1,915	6,6	65 48 21,0	+0 44,65	1,129	9,406933 0,052940
30	2 2,6	21,8	331 3 30,5	20 7,38	1,168	7,4	65 54 36,5	-0 15,20	1,366	9,395554 0,046878
31	1 59,2	-19,1	322 62 29,1	-20 39,62	-0,160	-8,2	+65 34 67,8	-1 24,20	-1,604	9,383190 0,040950
Nov. 1	1 56,2	16,1	314 38 26,7	20 22,12	+0,876	8,8	64 46 36,0	2 38,07	1,555	9,372042 0,034371
2	1 53,6	13,2	306 40 54,7	19 18,83	1,710	9,1	63 28 32,7	3 51,70	1,494	9,362317 0,027916
3	1 51,4	10,3	299 15 41,2	17 43,23	2,206	9,3	61 41 56,5	5 0,07	1,342	9,354214 0,021330
4	1 49,8	8,2	292 32 19,0	15 52,03	2,384	9,5	59 29 39,4	5 59,69	1,136	9,347915 0,014576
5	1 48,8	-6,5	286 34 19,7	-13 58,59	+2,311	-9,4	+56 55 37,0	-6 48,63	-0,902	9,343571 0,007641
6	1 48,2	5,2	281 20 30,7	12 12,05	2,114	9,3	54 4 15,8	7 26,26	0,667	9,341288 0,000631
7	1 48,1	4,5	276 47 10,4	10 36,80	1,852	9,2	51 0 5,4	7 52,82	0,445	9,331125 0,993415
8	1 48,6	4,1	272 49 23,0	9 14,18	1,594	9,0	47 47 22,1	8 9,17	0,242	9,343090 9,966029
9	1 49,6	3,6	269 22 12,6	8 3,68	1,348	8,8	44 29 57,9	8 16,44	-0,066	9,347101 9,978465
10	1 51,2	-3,5	266 20 58,7	-7 4,12	+1,140	-8,6	+41 11 15,0	-8 15,95	+0,081	9,353081 9,970716
11	1 53,2	3,5	263 41 40,0	6 13,94	0,957	8,4	37 54 2,9	8 9,12	0,198	9,360875 9,962775
12	1 55,7	3,5	261 20 46,8	5 31,62	0,810	8,3	34 40 37,4	7 57,27	0,290	9,370308 9,954634
13	1 58,6	3,5	259 15 29,4	4 55,88	0,683	8,1	31 32 43,5	7 41,72	0,354	9,381187
14	2 2,0	3,6	257 23 20,8	4 25,61	0,583	8,0	28 31 35,1	7 23,64	0,397	9,393319 9,937717
15	2 5,7	-3,6	255 42 24,6	-3 59,76	+0,497	-7,8	+25 38 1,8	-7 3,94	+0,421	9,406512
16	2 9,9	3,6	254 11 2,5	3 37,62	0,428	7,7	22 52 32,1	6 43,46	0,430	9,420587 9,919895
17	2 14,4	3,6	252 47 64,3	3 18,52	0,370	7,6	20 15 17,0	6 22,82	0,428	9,435381
18	2 19,2	3,7	251 31 63,4	3 1,94	0,322	7,5	17 46 14,8	6 2,61	0,417	9,450752 9,901090
19	2 24,4	3,7	250 22 4,5	2 47,44	0,284	7,4	15 25 11,5	5 42,85	0,401	9,466576
20	2 29,9	-3,8	249 17 42,7	-2 34,59	+0,252	-7,3	+13 11 50,3	-5 24,08	+0,381	9,482751 9,881128
21	2 35,7	3,8	248 18 11,2	2 23,21	0,226	7,2	11 5 47,7	5 6,33	0,358	9,499190
22	2 41,7	3,8	247 22 59,4	2 12,94	0,204	7,1	9 6 37,7	4 49,70	0,335	9,515825 9,869910
23	2 48,1	3,8	246 31 42,6	2 3,59	0,187	7,1	7 13 53,2	4 34,20	0,311	9,532602
24	2 54,8	3,8	245 44 4,6	1 49,99	0,173	7,0	5 27 6,9	4 19,84	0,288	9,549479 9,837917
25	3 1,7	-3,8	244 69 38,7	-1 46,93	+0,163	-7,0	+3 45 52,3	-4 6,57	+0,265	9,566425
26	3 8,9	3,8	244 18 23,6	1 39,37	0,155	6,9	2 9 43,3	3 54,35	0,244	9,583418 9,814312
27	3 16,5	3,8	243 40 6,6	1 32,09	0,149	6,9	+0 38 15,4	3 43,14	0,224	9,600443
28	3 24,4	3,7	243 4 41,9	1 24,99	0,147	6,9	-0 48 54,7	3 32,86	0,205	9,617490 9,789900
29	3 32,6	3,7	242 32 6,6	1 17,96	0,146	6,8	2 12 8,8	3 23,46	0,188	9,634555
30	3 41,1	-3,6	242 2 19,8	-1 10,92	+0,148	-6,8	-3 31 47,2	-3 14,87	+0,171	9,651636 9,762935
Dec. 1	3 50,0	3,6	241 35 23,4	1 3,75	0,151	6,8	4 48 8,7	3 7,04	0,156	9,668736
2	3 59,2	3,5	241 11 21,3	0 56,38	0,157	6,8	6 1 30,8	2 69,91	0,142	9,685656 9,734923
3	4 8,9	3,4	240 50 19,7	0 48,69	0,164	6,8	7 12 9,5	2 53,43	0,129	9,703001
4	4 18,9	3,4	240 32 27,3	0 40,61	0,174	6,9	8 20 19,7	2 47,54	0,117	9,720174 9,705694

$$\alpha' = \alpha \pm p \cdot t + p' \cdot t^2$$

$$\delta' = \delta \pm q \cdot t + q' \cdot t^2$$

Die Abweichungen dieser 2<sup>ten</sup> Ephemeride von den Beobachtungen erreichen nur einmal, in Declination, die Größe

einer Bogenminute, wie aus nachstehender Vergleichung abgesehen zu sehen ist.

Vergleichung der zweiten Ephemeride mit den Beobachtungen.

	M. Berl. Zt.	Beob.	$\alpha$	Ephem.	Beob.	$\delta$	Ephem.	$\Delta\alpha$	$\Delta\delta$	$\Delta\alpha \sin \delta$
Sept. 16	14 0' 37"	38 13 22,1	38 13	22,1	33 22 32,2	33 23	4,0	-21,3	+31,8	-17,8
17	11 52 0	38 18 27,7	38 18	34,1	33 42 35,4	33 43	9,1	+6,4	+33,7	+5,3
19	11 4 10	38 12 9,0	38 12	42,7	34 28 3,9	34 28	11,4	+33,7	+7,5	+27,8

	M. H. Zt.		Beob.		Ephem.		Beob.		Ephem.		$\Delta\alpha$		$\Delta\delta$		$\Delta\alpha\cos\delta$	
	<sup>h</sup>	<sup>m</sup>	<sup>s</sup>	<sup>"</sup>	<sup>s</sup>	<sup>"</sup>	<sup>s</sup>	<sup>"</sup>	<sup>s</sup>	<sup>"</sup>	<sup>"</sup>	<sup>"</sup>	<sup>"</sup>	<sup>"</sup>	<sup>"</sup>	<sup>"</sup>
Sept. 21	12	56	54		38	8 5,4	38	8 26,2	35	17 59,9	35	18 28,0	+ 20,8	+ 28,1	+ 17,0	
22	11	12	13		38	4 38,8	38	5 17,9	35	41 44,6	35	41 52,2	+ 39,1	+ 7,6	+ 31,8	
23	11	8	5		38	0 34,1	38	1 0,5	36	7 31,8	36	7 45,3	+ 26,4	+ 13,5	+ 21,3	
24	12	3	58		37	54 58,7	37	55 28,0	36	35 34,0	36	35 33,8	+ 29,3	- 0,2	+ 23,4	
25	11	10	9		37	49 36,4	37	49 17,1	37	1 48,7	37	2 8,0	- 19,3	+ 19,3	- 15,4	
27	11	2	15		37	33 16,4	37	32 58,4	37	59 46,7	37	59 50,7	- 18,0	+ 4,0	- 14,2	
29	15	11	27		37	9 15,2	37	9 8,3	39	6 40,0	39	7 13,1	- 6,9	+ 33,1	- 5,3	
30	14	59	44		36	55 51,2	36	55 51,8	39	39 21,1	39	39 41,6	+ 0,6	+ 20,5	+ 0,5	
Oct. 1	16	30	31		36	38 49,3	36	39 46,8	40	15 38,0	40	15 47,6	- 2,5	+ 9,6	- 1,9	
12	8	55	52		31	15 52,2	31	15 16,5	47	55 1,6	47	55 7,5	- 35,7	+ 5,9	- 23,9	
14	10	15	39		31	13 35,1	31	12 26,2	47	58 13,7	47	58 4,4	- 1,8,9	- 9,3	- 46,1	
18	8	43	59		29	22 22,7	29	21 32,2	49	45 50,5	49	45 38,9	- 50,5	- 11,6	- 32,6	
21	7	37	23		24	1 42,7	24	0 40,1	53	54 7,2	53	53 48,2	- 1,2,6	- 19,0	- 36,9	
23	7	25	34		17	47 27,7	17	46 26,9	57	26 6,5	57	25 48,9	- 1,0,8	- 17,6	- 32,7	
24	7	52	36		11	52 38,7	11	51 50,8	59	56 14,2	59	55 51,4	- 47,9	- 22,8	- 24,0	
26	7	18	45		8	20 25,8	8	19 40,0	61	8 15,9	61	7 56,3	- 46,8	- 19,6	- 22,6	
25	12	55	52		3	5 31,9	3	4 26,6	62	36 4,3	62	35 31,7	- 1,5,3	- 32,6	- 30,0	
26	6	53	55		359	24 41,0	359	23 56,7	63	25 17,5	63	25 1,5	- 44,8	- 16,0	- 19,8	
Nov. 4	11	0	19		292	48 28,4	292	48 29,4	59	36 32,5	59	35 37,5	+ 1,0	- 55,0	+ 0,5	
5																
6	12	56	36		281	8 26,2	281	9 18,7	53	58 23,1	53	57 18,4	+ 52,5	- 1 4,7	+ 30,9	
8	10	3	1,7		273	6 55,4	273	7 42,3	48	4 7,6	48	3 20,6	+ 46,9	- 47,0	+ 31,4	
10	10	1	21,5		266	34 48,1	266	35 11,5	41	28 26,5	41	27 42,6	+ 23,4	- 43,9	+ 17,5	
12	6	28	24		261	51 44,0	261	51 51,7	35	25 43,1	35	24 51,1	+ 7,7	- 52,0	+ 6,3	
13	6	40	5		259	42 13,5	259	42 13,4	32	14 44,5	32	14 2,6	+ 0,1	- 41,9	+ 0,1	
19	6	45	21		250	37 12,9	250	36 53,5	15	55 57,9	15	55 27,0	- 19,4	- 30,9	- 18,7	
23	5	49	40		246	44 25,1	246	44 34,6	7	42 55,8	7	42 23,3	+ 9,5	- 32,5	+ 9,4	
25																
26	5	22	54		244	29 19,1	244	29 29,5	2	36 13,0	2	35 50,5	+ 10,4	- 22,5	+ 10,4	
28	5	13	2		243	14 10,3	243	14 26,4	- 0	24 40,6	- 0	24 36,6	+ 16,1	+ 4,0	+ 16,1	

Die Reduction des rein elliptischen Ortes, welchen die Ephe-  
meride giebt, auf den wahren (Astr. Nachr. Nr. 353 S. 296)  
ist bei dieser Vergleichung nicht berücksichtigt worden.

Die drei Beobachtungen vom 5<sup>ten</sup>, 6<sup>ten</sup> und 25<sup>ten</sup> Novbr  
mussten hier ausgelassen werden, weil der Comet mit Sterner  
verglichen ist, deren Ort erst näher bestimmt werden muß.

C. Bremiker.

Schreiben des Herrn *Bianchi*, Directors der Sternwarte zu Modena, an den Herausgeber.

Catajo 1838. Juillet 31. (Beschluß, man sehe Nr. 373.)

Or, en second lieu, des déclinaisons respectivement ob-  
servées des quatre étoiles et comparées avec les hauteurs  
apparentes au dessus du pôle on tire les valeurs de la  
réfraction observée, et tout de suite les différences avec la  
réfraction correspondante de la table *Carlini*, dont j'ai fait

usage sans tenir compte de la petite correction thermométrique  
du mercure dans le baromètre, parce que dans le cas de déter-  
minations relatives, comme c'est l'actuel, on peut bien la  
négliger. Ainsi on a

1837.		Etoiles.	Réfraction par Carlini		Réfraction par Santini		Réfraction par Bianchi		Réfraction observée — calculée.		
			observée.	calculée.	observée.	calculée.	observée.	calculée.	Carlini.	Santini.	Bianchi.
15 Déc.	Matin	$\beta$ Cassiopeiæ	4° 11' 93"	4° 5' 88"	4° 5' 76"	4° 7' 88"	4° 24' 05"	4° 16' 87"	+ 6° 05'	- 2° 12'	+ 7° 18'
		$\gamma$ Cassiopeiæ	4 38,07	4 31,96	4 32,20	4 33,57	4 53,99	4 45,02	+ 6,11	- 1,37	+ 8,97
		$\delta$ Ourse	4 9,49	4 7,19	4 9,04	4 12,35	4 27,05	4 23,12	+ 2,30	- 3,31	+ 3,93
		$\epsilon$ Ourse	4 35,37	4 29,03	4 30,51	4 34,52	4 54,03	4 47,47	+ 6,34	- 4,01	+ 6,56

Dans les différences des réfractions, observées et calculées, on voit que nous nous accordons bien Mr. *Carlini* et moi, autant pour la quantité absolue que pour le signe. Au contraire Mr. *Santini* s'éloigne de nous dans l'une aussi que dans l'autre; ce qui pourrait bien s'expliquer par une diversité de constitution atmosphérique sur l'horizon de Padoue, à l'égard de ceux de Milan et de Modène qui se trouvent presque dans les mêmes circonstances: et cette diversité proviendrait peut-

être, à Padoue du voisinage de la Mer adriatique; mais la chose a besoin d'être confirmée, et auparavant il faudrait s'assurer que dans les observations comparées il n'existe aucune discordance, ni pour les flexions des lunettes, ni pour les indications des baromètres employés.

Voyons enfin pour chaque lieu d'observation comme la réfraction du soir s'accorde pour la même hauteur de cote à quatorze degrés avec celle du matin. On obtient pour cela

## à Milan.

Etoiles.	Hauteur apppr.	Réfraction observée — calculée.					
		1837 Déc. 14	Differ.	Déc. 15	Differ.	Déc. 16	Differ.
$\delta$ Ourse } soir	13° 28'	+ 3,79		+ 2,30		+ 3,03	
$\beta$ Cassiop. } matin	13 48	+ 4,95	+ 1° 16	+ 6,05	+ 3° 75	+ 1,50	— 1° 53
$\alpha$ Ourse } soir	12 23	+ 4,72	.....	+ 6,34	— 0,23	+ 3,99	
$\gamma$ Cassiop. } matin	12 30	.....		+ 6,11		+ 1,63	— 2,36
		Moyenne	+ 1° 16	.....	+ 1° 76	.....	— 1° 95

## à Padoue.

		1837 Déc. 14		Déc. 15		Déc. 16	
$\delta$ Ourse } soir	13° 24'	— 3,32		— 3,31		+ 3,01	
$\beta$ Cassiop. } matin	13 44	— 1,15	— 7,83	— 2,12	+ 1° 19	+ 1,54	— 4° 55
$\alpha$ Ourse } soir	12 19	— 0,36	— 5,49	— 4,01		— 6,32	
$\gamma$ Cassiop. } matin	12 26	— 5,85		— 1,37	+ 2,64	— 7,18	— 0,86
		Moyenne	— 6° 66	.....	+ 1° 92	.....	— 2° 71

## à Modène.

		1834 Déc. 10		1835 Déc. 16		1837 Déc. 15	
$\delta$ Ourse } soir	12° 39'	+ 6,72		+ 7,76		+ 8,93	
$\beta$ Cassiop. } matin	12 59	+ 16,61	+ 9° 89	+ 10,85	+ 3° 09	+ 7,18	+ 3° 25
$\alpha$ Ourse } soir	11 34	+ 10,90		+ 4,92		+ 6,56	
$\gamma$ Cassiop. } matin	11 41	+ 14,02	+ 3,12	+ 10,30	+ 5,38	+ 8,97	+ 2,41
		Moyenne	+ 6° 51	.....	+ 4° 24	.....	+ 2° 83

Quoique dans ces résultats il y ait des irrégularités d'un jour ou d'un lieu à l'autre qui sont trop fortes et desquelles on ne saurait rien conclure de certain ou de bien démontré, toutefois on y remarque: 1. que pour le même jour 15 Décembre de l'année dernière la moyenne différence de la réfraction du matin à celle du soir, la première d'elles en surpassant l'autre d'une petite quantité, s'accorde assez bien dans les trois lieux; 2. que mes observations de trois années différentes ont donné toujours la réfraction du matin plus grande que celle du soir, et cependant avec une diminution successive. Ces deux remarques me semblent confirmer qu'il soit absolument nécessaire dans cette espèce de recherches de s'en tenir tout simplement aux observations comparables faites à la faveur de l'atmosphère généralement et constamment sereine, et d'en rejeter les autres dépourvues de cette condition. Il est aussi vrai ce que Mr. *Carlini* venait de

m'écrire peu ci-devant „qu'il faut beaucoup multiplier les observations de ce genre; car les réfractions proches de l'horizon sont plutôt un phénomène météorologique, qu'un phénomène astronomique, parce qu'elles dépendent de la casuelle distribution de la chaleur et de l'humidité dans les couches de l'atmosphère; et par cette raison on ne doit espérer d'obtenir quelque constance dans les résultats à moins de comparer les moyennes d'un grand nombre d'observations, comme cela se pratique pour les hauteurs barométriques et thermométriques, pour les vents, la pluie et semblables.“ A quoi je me permets d'ajouter que ce nombre d'observations peut être diminué en les choisissant convenablement et avec la condition dont je vous ai parlé.

Du reste, que la réfraction du matin, les autres circonstances supposées égales, doive généralement résulter plus grande que celle du soir, pour les petites hauteurs, j'ai dit que cela est tout

a fait naturel et conforme à la différence de l'état atmosphérique dans les deux tems. Il ne faut pour s'en convaincre que réfléchir aux brouillards et aux vapeurs terrestres, qui pendant le jour et par la force de la chaleur se rarefient, s'élèvent et se répandent dans les hautes régions de l'atmosphère, où ils naissent le soir; tandis que d'après l'abaissement successif de la température survenu avec la nuit ils en descendent condensés et forment le matin un voile tout autour de l'horizon, qui du sol s'étend en montant à la hauteur peut-être de quelques degrés. On observe très souvent ce phénomène à la simple vue; mais avec les lunettes on remarque de plus qu'à la hauteur même de onze ou douze degrés, et au dessous plus encore, les étoiles paraissent le matin déformées, grandes et pâles plus qu'on ne les observe le soir; ce qui dans le premier cas vient sans doute des vapeurs condensées et descendues de l'atmosphère. C'est pour la même raison que je ne réussis que très-rarement à voir la Chèvre dans son passage méridien au dessous du pôle, quand il arrive le matin, et qu'au contraire il m'est souvent permis d'y voir cette étoile au commencement de la nuit. Je n'ignore pas que Mr. Laplace nous a laissé une table (Méc. cél. Livr. X. T. IV p. 275) pour tenir compte de l'accroissement de la réfraction dû à l'extrême humidité de l'air, et après laquelle il ajoute „il résulte de cette table que l'effet de l'humidité de l'air sur la réfraction est très peu sensible; l'excès de la puissance réfractive de la vapeur aqueuse sur celle de l'air étant compensé en grande partie par sa plus petite densité.“ Or c'est précisément la très-différente densité de la vapeur naissante dans l'air, du matin au soir et pour des petites hauteurs, qui pourrait à mon avis produire une sensible différence des réfractions relatives. Et combien de choses ne nous sont elles encore cachées sur les lois de la réfraction tout-près de l'horizon?

Un autre phénomène, dont j'ai été plusieurs fois témoin, vient à l'appui des réflexions précédentes. Ce sont les figures et les métamorphoses très-bizarres que m'a présenté quelquefois le disque du Soleil à son lever, et que je n'ai

jamais vues à son coucher. Après avoir passé la nuit sur l'observatoire de Modène, occupé et tout seul que je suis, j'aime quelquefois d'y rester pour attendre et contempler en silence le clair jour qui peu-à-peu s'avance, la nature qui se réveille se colore et se ranime, la fraîcheur et la beauté du matin qui sans doute n'a été jamais reproduit et embelli suffisamment ni par le pinceau de Guido ni par les vers des poètes. Mais ce qui me ravit le plus, lorsque le ciel est par tout serein, c'est l'instant où le soleil presque tout à coup se montre avec son rayon premier au bord de l'horizon; parce que cet instant m'élève et porte la pensée à celui de la création de la lumière. Un moment après, revenu de ce transport de l'âme; je m'applique aux considérations physiques sur les objets que je vois. Or j'ai vu plusieurs fois, comme je disais et notamment le matin du 10 Juin 1835 l'air étant bien pur après quelques jour de pluie, que le Soleil d'abord à l'horizon ressembloit à une barre ou lame rectangulaire, de la quelle s'élevait ensuite un segment de cercle, qui se transforme bientôt en un rectangle basé sur l'autre; et puis il en naquit une figure comme une espèce de vase pour des fleurs. Les apparences lumineuses changeant ainsi en bien de manières différentes jusqu'à ce que le vrai disque parut, déjà tout hors et même haut de quelques minutes sur l'horizon. Il faut pourtant avertir que le lieu où le soleil se levait pour moi, est dans une partie de l'horizon où il y a des basses plaines très humides et des vallées marécageuses, parce que c'est dans la direction des lagunes adriatiques; et encore on doit tenir compte de la pluie tombée les jours précédents. Mais de toutes les circonstances qui peuvent influer et modifier ce phénomène météorologique, la plus remarquable est certainement celle du tems ou de l'heure du matin; car je ne l'ai jamais vu le soir, et quelquefois quand le coucher du Soleil est visible après un orage ou après de la pluie on observe seulement le bord de son disque dentelé. On a donc ici une nouvelle preuve que le voile horizontal des vapeurs plus réfractives se forme et s'étend surtout dans les premières heures du jour.

Bianchi.

Schreiben des Herrn Professors *Wisse*, Directors der Sternwarte in Cracau, an den Herausgeber.  
Cracau 1839. März 17.

Ich theile Ihnen hiemit die Resultate meiner Untersuchungen über die Breite der hiesigen Sternwarte mit.

Mit dem Jahre 1838 wurde der zehnjährige Cylcus der Beobachtungen zu diesem Zwecke geschlossen. In diesem

Zeitraume vom Jahr 1829 bis Ende 1838 wurde mit dem Meridiankreise der Polarstern 834, und 8 Ura. min. 505mal beobachtet; also wurden zur Bestimmung der Breite 1339 Beobachtungen verwendet. Die Resultate der einzelnen Jahre sind folgende:

Jahr.	Breite.	
1829	50° 3' 50" 21	aus 26 Bestimmungen.
1830	49,84	— 26 —
1831	50,13	— 21 —
1832	50,49	— 11 —
1833	49,19	— 12 —
1834	50,18	— 15 —
1835	49,90	— 13 —
1836	50,21	— 13 —
1837	49,34	— 9 —
1838	49,20	— 9 —

also im Mittel aus 155 Bestimmungen 50° 3' 49" 94, mit dem wahrscheinlichen Fehler eines jeden einzelnen Jahres-Resultates = 0° 30 und dem wahrscheinlichen Fehler des Endresultates = 0° 10.

Die Umkehrungen des Instrumentes gaben für dieses Element in diesem Zeitraume unmittelbar folgende Größen:

Jahr.	Breite.	Zahl der Umkehrungen.
1829	50° 3' 49" 67	3
1830	49,78	22
1831	50,10	16
1832	50,09	13
1833	50,31	11
1834	50,87	16
1835	49,34	12

\*) Das Barometer zeigte beim Anfange der Finsterniß 27° 9' 97, inneres Therm. +1° 2 R., äußeres Therm. —4° 6 R.  
zur Zeit der Mitte — 9,80, — 0,0 — 4,6  
beim Ende — 9,84, — 1,0 — 5,0

Dr. Max Weiser.

## Vermischte Nachrichten.

Die Königl. Gesellschaft der Wissenschaften in London hat der Universitäts-Sternwarte in Breslau mit den Greenwich Beobachtungen und deren Fortsetzung ein Geschenk gemacht.

Derselben Sternwarte hat die Königl. astronomische Gesellschaft in London die bereits erschienenen 10 Bände ihrer Abhandlungen geschenkt, und gleichfalls ihre Fortsetzung versprochen.  
S.

## Inhalt.

Schreiben des Herrn C. Bremker an den Herausgeber. p. 241.  
Schreiben des Herrn Bianchi, Directors der Sternwarte in Modena, an den Herausgeber (Boschluß). p. 249.  
Schreiben des Herrn Professors Weisse, Directors der Sternwarte in Cracau, an den Herausgeber. p. 253.  
Vermischte Nachrichten. p. 255.

Altona 1839. April 18.

Jahr.	Breite.	Zahl der Umkehrungen
1836	50° 3' 50" 01	11
1837	49,52	7
1838	49,70	9

also im Mittel aus 120 Umkehrungen 50° 3' 50" 00, mit dem wahrscheinlichen Fehler einer jeden jährlichen Bestimmung = 0° 20, und dem wahrscheinlichen Fehler des Endresultates = 0° 09.

Hiermit kann also die Breite unserer Sternwarte mit ziemlicher Sicherheit zu

50° 3' 50" 0

angenommen werden.

Zur Zeit der Sonnenfinsterniß am 15<sup>ten</sup> d. M. hatten wir hier ganz heitern Himmel. Der Anfang derselben wurde um 4<sup>h</sup> 5' 5<sup>s</sup>, das Ende um 5<sup>h</sup> 15' 28<sup>s</sup> 5 Sterzeit beobachtet. Besonders beim Ende wallte die Sonne sehr, so daß das Moment des Endes wohl nicht am sichersten aeyn mag. Die Sonne zeigte an diesem Tage viele und große Flecken \*).

Der Winter hat sich bei uns neuerdings eingestellt; den 11<sup>ten</sup> hatten wir —7° 5 R., den 12<sup>ten</sup> —10°, den 13<sup>ten</sup> —12°, den 14<sup>ten</sup> —9°, den 15<sup>ten</sup> —11°, und den 16<sup>ten</sup> fast 16° Kälte. Heute den 17<sup>ten</sup> ist es etwas milder; indessen hatten wir doch früh noch 6° R. Kälte.

Ich erlaube mir noch auf einen Druckfehler in Nr. 373 S. 224 aufmerksam zu machen. Die GröÙe  $\frac{\sum c^2 x}{\sum c}$  ist nicht wie dort steht, = 40° 344, sondern = 40' 3" 44.

### Ueber die Bestimmung der Libration des Mondes, durch Beobachtungen.

Von Herrn Geb. Rath und Ritter Bessel.

Die Beobachtungen, welche die Herren *Bouvard*, *Arago* und *Nicollot* über den Mondfleck *Manilius* angestellt haben, sollten bekanntlich nicht allein eine neue Bestimmung der Neigung der Drehungsaxe des Mondes gegen die Ebene der Erdbahn ergeben, sondern auch über das Vorhandensein, in merklicher Größe, einer wirklichen Libration entscheiden. Sie sind so zahlreich, daß ihre Resultate einen beträchtlichen Grad von Sicherheit erlangt haben; nie lassen auch nicht zweifelhaft, daß die wirkliche oder physische Libration, nur einen geringen, allein für sehr genaue Beobachtungen bemerkbaren Umfang besitzen kann. Daß aber die aus ihnen hervorgegangenen Werthe verschiedener Theile dieser Libration, so viel Gewicht beizulegen, daß sie als unzweifelhafte Beobachtungsergebnisse angesehen und weiteren Folgerungen zum Grunde gelegt werden könnten, scheint weder Herrn *Nicollot's* eigenes Urtheil, noch mit den beträchtlichen Unvollkommenheiten der einzelnen Beobachtungen, die man aus den Vergleichen (Conn. des Tems 1822 p. 265—269) kennen lernt, vereinbar zu sein. Nichtsdestoweniger ist die vollständige Kenntniß der Libration des Mondes von beträchtlichem, nicht allein selenographischen, sondern auch allgemeinem Interesse, indem sie sowohl zu einer Kenntniß der Figur des Mondes führen, als auch einen der seltenen Fälle darbieten kann, in welchem etwas sich auf den ursprünglichen Zustand des Weltsystems beziehendes, zugänglich wird.

Ich habe daher Mitleid den Wunsch gelegt, eine Beobachtungsmethode der Mondflecken angewandt zu sehen, welche mir beträchtlich größeren Erfolg zu versprechen scheint, als die bisher angewandte. Da unsere verdienstvollen Selenographen *Beer* und *Mädler*, nicht abgeneigt waren, die neue Untersuchung dieses Gegenstandes zu unternehmen, so habe ich ihnen die eben erwähnte Beobachtungsmethode vorgeschlagen. Jetzt erfahre ich mit Vergnügen, daß sie beschäftigt sind, die Vorbereitungen dazu zu treffen, und zögere daher nicht länger, das Verfahren selbst, und die Berechnungsart der dadurch zu erlangenden Beobachtungen bekannt zu machen.

#### 1.

Vor allen anderen Instrumenten erscheint mir das *Heliometer* geeignet, eine Beobachtungsreihe zu ergeben, durch welche sowohl die Neigung der Drehungsaxe des Mondes, als

auch die verschiedenen willkürlichen Constanten, von welchen die Kenntniß seiner physischen Libration abhängt, bestimmt werden können. Meine Absicht ist, daß damit die Entfernungen eines, in allen Erleuchtungen des Mondes deutlichen, in der Nähe des Mittelpunktes seiner Scheibe liegenden Punktes (den ich im Folgenden, um abzukürzen, den Punkt *O* nennen werde), von dem erleuchteten Rande, in verschiedenen, durch den Positionskreis des Instruments bekannt werdenden Richtungen gemessen werde. Wie der Ort von *O* auf der Mondscheibe durch solche Beobachtungen bestimmt wird, werde ich zeigen; lange fortgesetzte Bestimmungen dieser Art sollen die Grundlage der Untersuchung der Drehungselemente des Mondes werden.

Mit Ausnahme des seltenen Zusammentreffens des Vollmondes mit einer kleinen Breite, ist immer nur die Hälfte des Mondrandes erleuchtet. Im Allgemeinen können daher nur Entfernungen zwischen *O* und Punkten dieser Hälfte gemessen werden; allein es ist die Absicht, die letzteren, in etwa gleichen Entfernungen von einander, über den ganzen Umfang der erleuchteten Hälfte zu vertheilen, so daß der erste dieser Punkte in der Nähe des nördlichsten Horns, der letzte in der Nähe des südlichsten genommen wird, und mehrere zwischen beiden liegen. Wenn, wie vorausgesetzt worden ist, *O* nahe am Mittelpunkt der Mondscheibe liegt, so ist der Winkel an *O*, zwischen dem ersten und letzten Punkte, näherungsweise  $\approx 180^\circ$ , oder, wenn der Positionswinkel des ersten durch  $p$ , des letzten durch  $p'$  bezeichnet wird, so nähert sich  $p' - p$  mehr oder weniger dieser Grenze. Ich werde beispielsweise voraussetzen, daß man immer 7 Punkte des Randes beobachtet will, von denen die beiden äußersten in der Nähe der Hörner liegen, die übrigen aber in Richtungen von *O* aus, welche  $\frac{1}{6}(p' - p)$  voneinander entfernt sind. Da es gar nicht notwendig ist, daß der erste und der letzte dieser Punkte an den Hörnern des Mondes selbst genommen werden, sondern nur wünschenswerth, daß sie sich nicht weit von ihnen entfernen, so kann man, der leichteren Einstellung des Positionskreises wegen, für  $p' - p$  eine durch 6 theilbare Zahl von Graden annehmen. Man stellt also, nach und nach, den Positionskreis des Objectiva

$$\text{auf } p, p + \frac{1}{6}(p' - p), p + \frac{2}{6}(p' - p), \dots, p'$$



und mißt in jeder dieser Richtungen die Entfernung des Punktes  $O$  von dem Rande des Mondes.

Indessen fordert jede zuverlässige Messung mit einem Heliometer, daß sie in den beiden Stellungen der Objectivhälften, welche die zu messende Entfernung der Bilder hervorbringen, wiederholt werde. Ich setze also diese doppelte Beobachtung auch hier voraus, und fordere ferner, daß ihre Anordnung so getroffen werde, daß der beobachtete Positionswinkel sich immer auf den Punkt  $O$  beziehe. Dieses erlangt man dadurch, daß man, bei der ersten Beobachtung, das Bild von  $O$ , welches eine der Objectivhälften (I) ergiebt, in der Mitte des Sehefeldes hält, während sowohl diese Hälfte, als das Ocular, sich in der Axis des Instruments befinden; bei der anderen aber das von der anderen Hälfte (II) gemachte Bild desselben Punktes, nachdem das Ocular eben so weit als die Hälfte II, und in gleicher Richtung, von der Axis des Instruments entfernt worden ist.

Ich halte die folgende Anordnung der 14 erforderlichen Beobachtungen für die zweckmäßigste: zuerst wird das Ocular in die Axis des Instruments gestellt, in welcher sich auch der optische Mittelpunkt der Hälfte I befindet; dann wird der Positionskreis nach und nach auf  $p, p + \frac{1}{2}(p' - p), \dots, p + \frac{1}{2}(p' - p), p'$  eingestellt, und in jeder dieser Stellungen die Entfernung zwischen  $O$  und dem Mondrande gemessen; darauf wird die Hälfte II auf die der früheren entgegengesetzten Seite der Axis des Instruments geschoben, das Ocular gleich weit von dieser Axis entfernt, beide Positionskreise auf  $p'$  gestellt und nun die letzte Messung wiederholt; dann, nach vorgenommener Einstellung beider Positionskreise auf  $p + \frac{1}{2}(p' - p)$  und gehöriger Entfernung des Oculars von der Axis, die vorletzte Messung, und so fort bis man zur Wiederholung der ersten gelangt.

Wenn man Übung im Gebrauche des Instruments besitzt, kann man leicht dahin gelangen, die ersten 7 Beobachtungen sowohl, als die letzten, in gleichen Zwischenzeiten zwischen je zwei aufeinanderfolgenden, zu machen. Hierdurch wird die spätere Berechnung der Beobachtungen wesentlich erleichtert, indem die Mittel der beiden Beobachtungszeiten jedes zusammengehörigen Paares von Messungen dann einander gleich werden, und alle 7 Entfernungen als gleichzeitig beobachtet angesehen werden können. Man wird eine Zwischenzeit von 2 Minuten zum Einstellen, Ablesen und Anschreiben hinreichend finden; rechnet man das Doppelte derselben zwischen der 7<sup>ten</sup> und 8<sup>ten</sup> Beobachtung, so fordert die ganze Reihe 28 Minuten Zeit; und diese Zeit ist, im Allgemeinen, nicht zu lang, um nicht allmähliche kleine Aenderungen der gemessenen Entfernungen, als der Zwischenzeit proportional vor sich gehend, also als aus dem mittleren Resultate jedes zusammengehörigen Paares verschwindend, ansehen zu können. In der That würde diese Annahme vielleicht nicht erlaubt sein, wenn der Mond

sich in der Nähe des Horizonts befände und schnell stiege oder fiel, indem dann die, durch die Strahlenbrechung entstehende Abplattung der Mondscheibe, sich, während der angegebenen Zeit, schon merklich ungleichmäßig verändern würde; allein dieser Fall muß, wegen der immer damit verbundenen Unsicherheit des Mondrandes, ohnedies ausgeschlossen werden. Nach meinen Erfahrungen hiefür würde ich keine Beobachtung, welche (wie die Beobachtungen, von welchen hier die Rede ist) große Genauigkeit erlangen soll, in weniger als 15° Höhe machen zu dürfen glauben; gelangt aber der Mond, bei beträchtlicher südlicher Abweichung, gar nicht auf diese Höhe, und sind Gründe vorhanden, seine Beobachtung dennoch nicht zu unterlassen, so darf sie nur in der Nähe seiner Culmination gemacht werden, wo die Annahme der gleichmäßigen Aenderungen immer erlaubt ist. Uebrigens darf man in der genauen Einhaltung einer bestimmten Zwischenzeit der Beobachtungen, nicht zu ängstlich sein, indem die Aenderungen der zu messenden Entfernungen, so langsam vor sich gehen, daß sie, während einiger Secunden, ganz unmerklich sind.

Außer den Vortheilen, welche das Heliometer im Allgemeinen, in der Messung von Entfernungen von der hier vorkommenden Größe, vor anderen Instrumenten voraus hat, besitzt die beschriebene Beobachtungsmethode noch andere, welche sie in dem gegenwärtigen Falle besonders empfehlen. Indem sie mehrere Punkte des Mondrandes in das Resultat zieht, wird dieses wenig abhängig von der, durch an denselben sichtbare Berge erzeugten Unrichtigkeit der Voraussetzung der regelmäßigen Begrenzung der Mondscheibe; der Einfluß der Unvollkommenheit einer Messung selbst, wird durch die Zahl der Messungen vermindert, indem nur zwei derselben, zur Bestimmung der Lage von  $O$  erforderlich sind; für den größten Vortheil, welches diese Methode gewährt, halte ich aber die Befreiung des Resultats von einer Annahme der Größe des Halbmessers des Mondes, indem dieser, offenbar vorthellhaft, aus denselben eliminiert werden kann. Auf diesen letzten Vortheil lege ich besonderes Gewicht, theils weil die Begrenzung des Mondes, in verschiedenen Zuständen der Atmosphäre, verschieden geschätzt werden kann; theils weil die Unsicherheit der periodischen Glieder der Horizontalparallaxen des Mondes, welche selbst in den neueren Mondstafeln noch vorhanden ist, eine Unsicherheit des jedesmaligen Werthes des Halbmessers zur Folge hat; endlich weil das Verhältniß des Halbmessers zur Parallaxe nicht als genau bekannt angenommen werden kann, auch ohne Zweifel für verschiedene Fernörter verschieden ist.

## 2.

Ich nehme, den ausgesprochenen Forderungen gemäß, 7 gleichzeitige Messungen der Entfernungen zwischen  $O$  und

verschiedenen Punkten des Mondrandes, als gegeben an, und werde nun ihre Anwendung erläutern.

Zuerst ist nothwendig, daß die Messungen von dem Einflusse der Strahlenbrechung befreit werden. Die dazu erforderlichen Formeln habe ich, in der XV. Abtheilung meiner Beobachtungen, auf ihre bequemste Gestalt gebracht und führe sie hier nur an, ohne mich mit ihrer Ableitung aufzuhalten. Wenn die Mitte zwischen zwei Punkten, zwischen welchen die Entfernung  $s$  und der Positionswinkel  $p$  beobachtet sind, den Stundenwinkel  $t$  und die Abweichung  $d$  besitzt, so erhält man ihre Zenithdistanz  $z$  und ihren parallactischen Winkel  $q$ , durch die Formeln:

$$\tan z \cos q = \cot g (\zeta + d)$$

$$\tan z \sin q = \alpha \csc \alpha (\zeta + d)$$

wo  $\zeta$  und  $\log \alpha$  aus einer Tafel genommen werden, welche man, ein für allemal, für die Polhöhe  $\phi$  des Beobachtungs-ortes, nach den Formeln:

$$tg \zeta = \cot g \phi \cos t; \quad \alpha = \sin \zeta \tan t$$

berechnet hat. Eine solche Tafel, für Königsberg berechnet, habe ich a. a. O. mitgetheilt, auch ihr eine Tafel für den Logarithmum einer Größe  $k$  und seine Veränderungen durch die Stände der meteorologischen Instrumente hinzugefügt, welche Größe zwar von der Zenithdistanz  $z$  abhängig ist, jedoch von  $z = 0$  bis  $z = 70^\circ$  fast als beständig angesehen werden kann. Durch die Hülfe dieser Vorbereitungen erhält man, sehr leicht, die Verbesserung der beobachteten

$$\text{Entfernung} = \alpha k \{aa + t\}$$

$$\text{Positionswinkel} = -k \cdot ab - k \lg d \cdot \lg z \sin q$$

$$\sin \frac{1}{2} h^2 \left\{ t + \lg \frac{1}{2} \sigma^2 \lg \frac{1}{2} s^2 \right\} = \lg \frac{1}{2} \sigma^2 + \lg \frac{1}{2} s^2 - \frac{2 \lg \frac{1}{2} \sigma \lg \frac{1}{2} s}{\cos \frac{1}{2} h^2} \cos (\pi' - p)$$

und durch eine unerhebliche Vernachlässigung in:

$$hh = (\sigma \cos p - \sigma \cos \pi')^2 + (\sigma \sin p - \sigma \sin \pi')^2$$

und, wenn man den Positionswinkel  $\pi$  des Punktes  $O$ , aus dem Mittelpunkte der Mondscheibe, einführt und  $\pi = \pi' + 180^\circ$  annimmt, was wegen der Kleinheit von  $\sigma$  erlaubt ist, in:

$$hh = (\sigma \cos p + \sigma \cos \pi')^2 + (\sigma \sin p + \sigma \sin \pi')^2$$

Es wird gefordert,  $\sigma$ ,  $\pi$ ,  $h$  so zu bestimmen, daß sie die vorhandenen drei Gleichungen dieser Art so nahe als möglich Genüge leisten. Näherungsweise richtige Werthe von  $\sigma \cos \pi$  und  $\sigma \sin \pi$ , welche man kennen muß, um die Methode der kleinsten Quadrate anwenden zu können, erhält man aus der Combination zweier dieser Gleichungen, welche man am vortheilhaftesten so wählt, daß der Unterschied der beiden Positionswinkel, welche ich durch  $p$  und  $p'$  bezeichnen werde, nicht viel von  $90^\circ$  verschieden ist. Ich setze die zu ihrer Berechnung nöthigen Formeln hieher. Setzt man

wo  $a = \lg s \cos (p - q)$ ,  $b = \lg s \sin (p - q)$  sind. Die Ausführung dieser Vorschriften wird in dem gegenwärtigen Falle noch weniger mühsam, als sie es im Allgemeinen ist; denn für alle 7 Messungen sind  $\tan z$ ,  $q$ ,  $\log k$  und der letzthe Theil des Ausdrucks des Einflusses auf den Positionswinkel, nur einmal aufzusuchen. Für  $t$  und  $d$  können unbedingt die scheinbaren Stundenwinkel und Declination des Mondsmittelpunktes gesetzt werden, welche man nach bekannten Formeln berechnet. Die Berichtigung des Positionswinkels durch die Strahlenbrechung erhält immer nur unbedeutenden Einfluß auf das Resultat der Beobachtungen; desto kleineren, je näher  $s$  aus dem Mittelpunkte des Mondes  $O$  ist; wenn die Mühe, sie zu berechnen, nicht unerheblich wäre. Könnte man hierdurch veranlaßt werden, sie ganz zu ersparen.

### 3.

Ich werde nun die vorhandenen 7 Beobachtungen von der Strahlenbrechung befreit annehmen, die zusammengehörigen Werthe der Entfernung und des Positionswinkels, für eine von ihnen, durch  $s$  und  $p$  bezeichnen, und die Verbindung aufsuchen, in welcher sie mit dem Orte von  $O$  sind.

Bezeichnet man die Entfernung des Punktes  $O$  vom dem Mittelpunkte des Mondes durch  $\sigma$ , den Positionswinkel des letzteren an dem ersten durch  $\pi'$ , den scheinbaren Halbmesser des Mondes durch  $h$ , so hat man:

$$\cos h = \cos \sigma \cos s + \sin \sigma \sin s \cos (\pi' - p).$$

Man verwendet diese Gleichung leicht in:

$$\begin{aligned} (s' - s) \cos \frac{1}{2} (p' - p) &= \sigma \cos A \\ (s' + s) \sin \frac{1}{2} (p' - p) &= \sigma \sin A \\ \frac{\sigma}{2h} &= \cos B \end{aligned}$$

so erhält man:

$$\begin{aligned} \sigma \cos \left( \pi - \frac{p' + p}{2} \right) &= - \frac{s' + s}{2 \cos B} \cos \left( \frac{p' - p}{2} \pm B \right) \\ \sigma \sin \left( \pi - \frac{p' + p}{2} \right) &= - \frac{s' - s}{2 \cos B} \sin \left( \frac{p' - p}{2} \pm B \right) \end{aligned}$$

Von den beiden Bestimmungen des Punktes  $O$ , welche aus der Zweideutigkeit dieser Formeln hervorgehen, liegt die eine innerhalb, die andere außerhalb der Mondscheibe; die letztere gehört also nicht hieher.

Wenn man Näherungswerthe von  $\sigma \cos \pi$ ,  $\sigma \sin \pi$ ,  $h$  durch  $\alpha$ ,  $\beta$ ,  $h$ , die ihnen hinzuzufügenden Verbesserungen durch  $\Delta \alpha$ ,  $\Delta \beta$ ,  $\Delta h$  bezeichnet und

$$s \cos p + \alpha = h' \cos P$$

$$s \sin p + \beta = h' \sin P$$

setzt, verandelt sich die gegebene Gleichung zwischen  $\sigma$ ,  $\pi$ ,  $h$  und  $s$ ,  $p$  in:

$$h - h' = \Delta x \cdot \cos P + \Delta \beta \cdot \sin P - \Delta h$$

Die gesuchten Werthe von  $\Delta x$ ,  $\Delta \beta$ ,  $\Delta h$  sind die, die aus der Auflösung der vorhandenen 7 Gleichungen dieser Art, nach der Methode der kleinsten Quadrate, hervorgehen. Ich bemerke dabei, daß zwar diese Auflösung Fehler im Sinne der Entfernung und in dem darauf senkrechten, als gleich wahrscheinlich voraussetzt, daß aber das Resultat auch durch eine andere Voraussetzung ihrer relativen Wahrscheinlichkeit kaum geändert wird, wenn  $O$  nahe an dem Mittelpunkte der Mondscheibe liegt.

Wenn man  $h$  immer aus denselben Mondtafeln bestimmt, so wird das Mittel aus allen Bestimmungen, welche die lange fortgesetzte Beobachtungsreihe für  $1 + \frac{\Delta h}{h}$  ergibt, der Factor, womit man die Halbmesser dieser Tafeln multipliciren muß, um den Werth desselben zu erhalten, der dem angewandten Fernrohr angemessen ist. Seine Richtigkeit hängt von der Genauigkeit der Kenntniß des Werthes der Drehungen der Heliotometerschraube ab. Auf die Werthe von  $\sigma \cos \pi$  und  $\sigma \sin \pi$  wirkt aber eine Unvollkommenheit dieser Kenntniß in denselben Verhältnisse, in welchem sie den Halbmesser entstellt; sie wird also ganz unschädlich, wenn diese Größen, bei ihrer weiteren Anwendung, mit dem aus den Beobachtungen selbst hervorgehenden Werthe des Mondhalbmessers verglichen werden.

#### 4.

Nachdem man zur Kenntniß von  $\sigma$  und  $\pi$  gelangt ist, muß man die Geradeaufsteigung  $a$  und die Abweichung  $d$  des Punktes  $O$ , so wie sie aus dem Mittelpunkte des Mondes erscheinen, aufsuchen. Bezeichnet man die Entfernung dieses Mittelpunktes von dem Beobachter durch  $r'$ , seine Geradeaufsteigung und Abweichung durch  $a'$  und  $d'$ , seine Entfernung, Geradeaufsteigung und Abweichung von  $O$  durch  $R$ ,  $A$ ,  $D$ , das Verhältniß der Entfernung dieses Punktes von dem Mittelpunkte des Mondes, zu dem Aequatoralhalbmesser der Erde, durch  $k:1$  und die Aequatorial-Horizontal-Parallaxe des Mondes durch  $(\pi)^\circ$ , so hat man:

$$R \cos D \cos A = r' \cos d' \cos a' + k \sin(\pi) \cos d \cos a$$

$$R \cos D \sin A = r' \cos d' \sin a' + k \sin(\pi) \cos d \sin a$$

$$R \sin D = r' \sin d' + k \sin(\pi) \sin d$$

\*) Ich schließe diese Bezeichnung durch  $()$  ein, um sie von der vorkommenden andern Bedeutung desselben Buchstaben zu unterscheiden.

und ferner

$$\cos \sigma = \sin D \sin d' + \cos D \cos d' \cos(A - a')$$

$$\sin \sigma \cos \pi = \sin D \cos d' - \cos D \sin d' \cos(A - a')$$

$$\sin \sigma \sin \pi = \cos D \sin(A - a')$$

Durch die Verbindung der ersten Gleichungen mit den letzteren erhält man:

$$R \cos \sigma - r' = k \sin(\pi) \{ \sin d \sin d' + \cos d \cos d' \cos(a - a') \}$$

$$R \sin \sigma \cos \pi = k \sin(\pi) \{ \sin d \cos d' - \cos d \sin d' \cos(a - a') \}$$

$$R \sin \sigma \sin \pi = k \sin(\pi) \cdot \cos d \sin(a - a')$$

und durch die Summe der Quadrate dieser Gleichungen:

$$RR - 2Rr' \cos \sigma + r'^2 = kk \sin^2(\pi)$$

Löst man diese Gleichung auf, so ergibt sie

$$R = r' \cos \sigma - \sqrt{kk \sin^2(\pi) - r'^2 \sin^2 \sigma},$$

und wenn man

$$\frac{r' \sin \sigma}{k \sin(\pi)} = \sin S$$

setzt,

$$R = r' \cdot \frac{\sin(S - \sigma)}{\sin S}.$$

Hierdurch verwandeln sich die drei letzteren Gleichungen in:

$$\cos(S - \sigma) = -\sin d \sin d' - \cos d \cos d' \cos(a - a')$$

$$\sin(S - \sigma) \cos \pi = \sin d \cos d' - \cos d \sin d' \cos(a - a')$$

$$\sin(S - \sigma) \sin \pi = \cos d \sin(a - a')$$

und ergeben also:

$$\sin d = -\cos(S - \sigma) \sin d' + \sin(S - \sigma) \cos d' \cos \pi$$

$$\cos d \cos(a - a') = -\cos(S - \sigma) \cos d' - \sin(S - \sigma) \sin d' \cos \pi$$

$$\cos d \sin(a - a') = \sin(S - \sigma) \sin \pi$$

woraus die gesuchten Werthe von  $a$  und  $d$  gefunden werden. Die hier angewandten Werthe von  $r'$ ,  $a'$ ,  $d'$  sind schon in 2<sup>ter</sup> § benutzt worden; der jetzigen Anwendung wegen ist es zweckmäßig, sie etwas genauer zu berechnen, als die früher erforderte.

Ich muß noch etwas über die Wahl des anzuwendenden Werthes von  $k$  sagen. Nach *Burchardts* Bestimmung ist  $k = 0,2725$ ; nach der Bestimmung von  $\Delta h$ , welche die Beobachtung selbst ergeben hat (§. 3), ist

$$\frac{k \sin(\pi)}{r'} = \sin(h + \Delta h)$$

also

$$\sin S = \frac{\sin \sigma}{\sin(h + \Delta h)}.$$

Man mag aber das eine oder das andere wählen, so bleibt immer der Zweifel in dem Resultate, daß  $k$ , welches sich auf den Punkt  $O$  bezieht, von einem Werthe, welcher aus Beobachtungen des Randes abgeleitet worden ist, etwas verschieden müge, oder, daß die Entfernung jenes Punktes von Mittelpunkte des Mondes nicht genau sein mittlerer Randhalbmesser sei. Dieser Zweifel kann nicht anders beseitigt werden.

als durch die Einführung einer unbestimmten Verbesserung eines angenommenen Werthes von  $k$  in die Ausdrücke von  $a$  und  $d$ , und durch die Verfolgung ihres Einflusses auf die ferneren Resultate der Untersuchung. Auf eine Bestimmung des Werthes dieser Verbesserung, durch die Beobachtungen selbst, ist kaum zu hoffen, da ihr Einfluss durch die Nähe des Punktes  $O$  hei dem Mittelpunkt des Mondes stark verkleinert wird; aus diesem Grunde ist aber auch eine etwas fehlerhafte Annahme von  $k$  wenig nachtheilig; und ihr Einfluss auf die endlichen Resultate der Untersuchung wird noch weniger nachtheilig, da die Maxims der Entfernungen des Punktes  $O$  von dem Mittelpunkt der Mondscheibe, keinesweges mit den Maximis der Einflüsse der verschiedenen Theile der Libration zusammentreffen und daher, bei der langen Fortsetzung der Beobachtungsreihe, die Bestimmung dieser letzteren kaum beeinträchtigt können. Es tritt auch die Frage hervor, ob die Anwendung des *jedemal* gefundenen Werthes von  $\Delta h$ , in dem Ausdrucke von  $\sin S$ , oder die Anwendung des *Mittels* aus allen Bestimmungen, welche die lange fortgesetzte Beobachtungsreihe liefert, zweckmäßiger ist. Ihre Beantwortung hängt von einer Schätzung des Verhältnisses der mittleren, aus zwei von einander ganz unabhängigen Ursachen entstehenden Fehler in den Werthen von  $\Delta h$  ab; nämlich des Fehlers der Beobachtungen selbst, und des Fehlers der angenommenen Werthe von  $h$ , welcher aus Unvollkommenheiten der periodischen Glieder der Parallaxe des Mondes entsteht. Wenn die Unregelmäßigkeiten in den verschiedenen Bestimmungen von  $\Delta h$  größer sind, als daß man sie den Beobachtungen allein zuschreiben könnte, so verdient die *jedemalige* Bestimmung von  $\Delta h$  den Vorzug vor dem *Mittel*. Wenn aber die Mondstafeln, in Beziehung auf die Parallaxe, vervollkommen sein werden, wird der Vorzug des *Mittels* nicht mehr zweifelhaft sein. *Hauens* neue Arbeiten über die Bewegung des Mondes, von welchen wir schon den theoretischen Theil besitzen, eröffnen eine nahe Aussicht, auch auf diese Vervollkommenung der Tafeln.

## 5.

Ich muß noch den Zusammenhang entwickeln, in welchem der, durch das Vorhergehende bestimmte selenocentrische Ort des Punktes auf der Oberfläche des Mondes, mit den Constanten ist, deren Bestimmung durch Beobachtungen, von einer vollständigen Kenntniß der Libration gefordert wird; ich werde mit den nöthigen Erläuterungen der Theorie der Erscheinung anfangen. Bekanntlich ist die Entwicklung dieser Theorie eine der denkwürdigsten Leistungen *Lagrange's*; *Laplace* hat gezeigt, daß die merkwürdigen, dadurch bekannt gewordenen Eigenschaften der Drehungen des Mondes, auch durch die Secularbewegungen des Mondes nicht beeinträchtigt werden; *Poisson* hat die Theorie noch weiter als seine Vorgänger vervollständigt.

Aus diesen Untersuchungen weiß man *erstlich*, daß die aus den Beobachtungen hervorgegangene Gleichheit der mittleren Drehungszeit und der mittleren Umlaufzeit des Mondes, einen theoretischen Grund hat und in aller Schärfe stattfindet muß; daß das, gleichfalls beobachtete, Zusammenfallen des mittleren Ortes des aufsteigenden Knotens des Aequators des Mondes auf der Eclyptik, mit dem mittleren Orte des niedersteigenden Knotens der Mondbahn, nothwendig ist; daß die mittlere Neigung des Aequators des Mondes gegen die Eclyptik *beständig* ist. Man weiß *zweitens* daraus, daß die Drehungsgeschwindigkeit und die Lage des Aequators des Mondes periodische Änderungen erfahren, welche von der Anziehung der Erde auf den sphäroidischen Körper des Mondes herrühren. Man weiß *drittens* daraus, daß ursprüngliche Verschiedenheiten der Drehung des Mondes, von dem mittleren Zustande, welcher jetzt, mit Berücksichtigung der Ungleichheiten, aus den Beobachtungen abgeleitet wird, sich *noch* zeigen und periodische Schwankungen um diesen Zustand hervorbringen können; daß sie sich zeigen müssen, wenn nicht Reibungen oder Widerstände sie nach und nach unkenntlich gemacht haben. Ich werde diese verschiedenen Resultate jetzt näher angeben, so wie ihr fernere Anwendung erfordert.

Die Perioden der von der Anziehung der Erde erzeugten Bewegungen der Axen des Mondes, sind aus den mittleren Bewegungen der Erde, des Mondes, seiner Abideutlinie und seiner Knotenlinie zusammengesetzt, also bekannt; ihre Ausdehnungen hängen von den Hauptmomenten der Trägheit des Mondes  $A, B, C$  ab, nämlich von den Größen

$$\frac{B-A}{C}, \quad \frac{A-C}{B}, \quad \frac{C-B}{A},$$

welche ich durch

$$\gamma, \quad -\beta, \quad \alpha$$

bezeichnen werde, und zwischen welchen die Gleichung

$$0 = \alpha - \beta + \gamma - \alpha\beta\gamma$$

statthet; so daß die Bewegungen, von welchen hier die Rede ist, durch die Kenntniß der Werthe *zweier* willkürlichen Größen vollständig bekannt werden. Von den drei Hauptmomenten der Trägheit beziehen sich  $A$  und  $B$  auf die beiden, in der Ebene des Mondequators liegenden Hauptaxen, und zwar  $A$  auf die näherungsweise nach der Erde gerichtete,  $B$  auf die darauf senkrechte;  $C$  folglich auf die diesen Aequator senkrecht durchschneidende.  $A$  ist das kleinste,  $C$  das größte dieser Momente;  $B$  ist größer als  $A$  und kleiner als  $C$ .  $\alpha, \beta, \gamma$  sind also sämmtlich positiv.

Ich werde zuerst die Formeln anführen, welche *Poisson* für die von der Anziehung der Erde herrührenden Schwankungen des Mondes gefunden hat \*). Die von ihm ange-

\*) *Com. des Tems* 1821 p. 219 und 1822 p. 280.

wandten Beziehungen muß ich abzuändern mir erlauben, da die hier vorangegangene und noch folgende Benutzung gleicher Buchstaben, Mißverständnisse erzeugen könnte.

Ich bezeichne die mittlere Länge des Mondes durch  $m$ , seiner Erdnähe durch  $\pi$ , seines aufsteigenden Knotens durch  $n$ ; die Neigung und Excentricität seiner Bahn durch  $i$  und  $e$ ; die mittlere Länge der Sonne durch  $M$ , ihrer Erdnähe durch  $\Pi$ ; die Länge des aufsteigenden Knotens des Aequators des Mondes auf der Ecliptik durch  $N$ , seine Neigung durch  $I$ , den mittleren Werth derselben durch  $I'$ ; der mittlere Werth von  $N$  ist  $= n + 180^\circ$ . Ferner die Entfernung der der Erde zugewandten Hauptaxe des Mondes von dem aufsteigenden Knoten seiner Bahn durch  $180^\circ + m - n + u^*)$ , wo  $u$  eine kleine periodische Größe bedeutet. Ich setze ferner  $m = m't + m''$ ,  $\pi = \pi't + \pi''$ ,  $n = n't + n''$ , u. s. w.

Statt  $N$  und  $I$  werden zwei neue veränderliche Größen  $s$  und  $s'$  eingeführt, welche damit durch die Formeln:

$$I = -s \sin(m' - n) - s' \cos(m - n) \\ \sin I \cdot (N - n + 180^\circ) = s \cos(m - n) - s' \sin(m - n)$$

verbunden sind. Diese Beziehungen und die statt der Momente der Trägheit eingeführten angenommen, hat man, nach der bekannten Theorie \*\*):

$$u = \frac{3Hm'm'\gamma}{M^2M - 3m'm'\gamma} \sin(M - \Pi) \\ + \frac{3hm'm'\gamma}{(m - \pi')^2 - 3m'm'\gamma} \sin(m - \pi)$$

wo  $H$  den Coefficienten des größten Gliedes der jährlichen Ungleichheit des Mondes und  $h$  den Coefficienten des größten Gliedes seiner Mittelpunktsungleichung bedeutet. Ferner erhält Herr Poisson für  $s$  und  $s'$  die Ausdrücke:

$$s = -ip \sin(m - n) + \frac{3\alpha m'(1+p)}{\pi - n} \sin(\pi - n) \\ s' = -ip \cos(m - n) + \frac{3\beta m'(1.0391+p)}{\pi - n} \cos(\pi - n)$$

und endlich sind zwischen  $p$ ,  $\alpha$ ,  $\beta$ ,  $\gamma$  die Gleichungen:

$$ip = I' \\ \beta = \frac{-2n'I'}{3m'(i+I')} \\ 0 = \alpha - \beta + \gamma - \alpha\beta\gamma$$

vorhanden, vermittelst welcher  $p$  und zwei der Größen  $\alpha$ ,  $\beta$ ,  $\gamma$  eliminiert werden können. Ich setze nun

$$u = \beta f$$

wo, dem Vorhergehenden zufolge,  $f$  positiv und kleiner als 1 ist. Durch die Einführung dieser Größe wird

$$\gamma = \frac{\beta(1-f)}{1-f\beta\beta}$$

und wenn man den Cubus der sehr kleinen Größe  $\beta$  vernachlässigt, was unbedenklich geschehen kann,

$$\gamma = \beta(1-f).$$

Hierdurch werden  $I'$  und  $f$  die beiden unbekannten Größen der Theorie, und man darf für die erstere, bei der Berechnung des zweiten Gliedes, sowohl von  $s$ , als von  $s'$ , den aus den Beobachtungen der Herren *Bovard*, *Arago* und *Nicollot* hervorgegangenen Werth  $I' = 1^\circ 28' 45''$  annehmen. Setzt man aus die bekannten Werthe der übrigen, in den Formeln vorkommenden Größen, nämlich:

$$\begin{aligned} M' &= .0^\circ 59' 8'' 193 \\ m' &= 13 10 34,890 \\ \pi' &= 0 6 40,919 \\ n' &= -0 3 10,774 \\ i &= 5 8 44,0 \\ H &= -0 10 59,3 \\ h &= 6 18 12,4 \\ s &= 0,05486 \end{aligned} \quad \left. \begin{array}{l} \text{wo der mittlere Tag als} \\ \text{Zeiteinheit genommen ist.} \\ \text{Nach Borchardt's} \\ \text{Mondstafeln.} \end{array} \right\}$$

so erhält man folgende Ausdrücke, deren Form mir die für die ferneren Anwendung geeignetste zu sein scheint:

$$u = -\frac{311^{u6}(1-f)}{1+f \cdot 0,4727} \sin(M - \Pi) + \frac{41^{u5}(1-f)}{1+f \cdot 0,0015} \sin(m - \pi) \\ s = -I' \sin(m - n) + 188' 4f \sin(\pi - n) \\ s' = -I' \cos(m - n) + 97,9 \cos(\pi - n)$$

Dem letzten Gliede des Ausdrucks von  $u$  giebt Herr Poisson das entgegengesetzte Zeichen, was ohne Zweifel ein Irrthum ist; die Verschiedenheiten seiner Coefficienten von den oben angeführten, werden wohl durch Verschiedenheiten der zu dieser Berechnung angewandten Elemente erklärt werden können.

Die von dem ursprünglichen Zustande der Drehung des Mondes herrührenden Schwankungen, werden durch die Integration der Differentialgleichungen: \*)

$$\begin{aligned} 0 &= \frac{d^2 u}{dt^2} + 3m'm'\gamma u \\ 0 &= \frac{d^2 s}{dt^2} - m'(1-\beta) \frac{ds}{dt} + 4m'm'\beta s \\ 0 &= \frac{d^2 s'}{dt^2} + m'(1-\alpha) \frac{ds'}{dt} + m'm'\alpha s' \end{aligned}$$

gegeben. Der ersten derselben genügt man durch die Annahme  $u = \cos \gamma t$  oder  $= \sin \gamma t$ , wenn  $\gamma\gamma = 3m'm'\gamma$  genommen wird; ihr vollständiges Integral ist daher

$$u = a \cos \gamma t + a' \sin \gamma t$$

\*) Genau genommen ist diese Entfernung aus zwei Theilen,  $180^\circ + m - N$  und  $N - n + u$ , welche im Winkel  $180^\circ - I$  gegen einander geneigt sind, zusammengesetzt.

\*\*) Méc. Cé. Liv. V. §. 16.

\*) Méc. Cé. Liv. V. §. 16 u. 17.

wo  $a$  und  $a'$  willkürliche Constanten sind und  $\nu = m'\sqrt{3\gamma}$  ist. Den beiden anderen genügt man durch die Annahme:

$$s = g \cos \mu t + g' \sin \mu t$$

$$s' = h \sin \mu t + h' \cos \mu t$$

wenn  $\mu$  der Gleichung

$$0 = (\mu\mu - m'm'a)(\mu\mu - 4m'm'\beta) - m'm'(1-\alpha)(1-\beta)\mu\mu$$

und  $g, g', h, h'$  den Gleichungen

$$g h' = -g' h$$

$$h h' \cdot \frac{\mu\mu - m'm'a}{1-\alpha} = -g g' \cdot \frac{\mu\mu - 4m'm'\beta}{1-\beta}$$

entsprechend angenommen werden. Indem hierdurch zwei Gleichungen zwischen den Constanten  $g, g', h, h'$  gegeben werden, bleiben nur zwei davon willkürlich und die angenommenen Ausdrücke von  $s$  und  $s'$  sind unvollständige Integrale der Differentialgleichungen. Die den Bedingungsgleichungen zwischen den vier eingeführten Constanten entsprechenden Ausdrücke von  $h$  und  $h'$ , durch  $g$  und  $g'$  sind:

$$s = g \cos \mu t + g' \sin \mu t + f \cos \mu' t + f' \sin \mu' t$$

$$s' = \{g \sin \mu t - g' \cos \mu t\} \frac{\mu\mu - 4m'm'\beta}{(1-\beta)m'\mu} + \{f \sin \mu' t - f' \cos \mu' t\} \frac{\mu'\mu - 4m'm'\beta}{(1-\beta)m'\mu}$$

Die Auflösung der Gleichung für  $\mu$  ergibt:

$$\mu\mu = \frac{m'm'}{2} \{1 + 3\beta + \alpha\beta + \sqrt{[(1 + 3\beta + \alpha\beta)^2 - 16\alpha\beta]}\}$$

$$\mu'\mu' = \frac{m'm'}{2} \{1 + 3\beta + \alpha\beta - \sqrt{[(1 + 3\beta + \alpha\beta)^2 - 16\alpha\beta]}\}$$

Entwickelt man diese Wurzeln nach den Potenzen von  $\alpha$  und  $\beta$ , so erhält man

$$\mu = m' \{1 + \frac{1}{2}\beta - \frac{1}{8}\beta(4\alpha + 3\beta) + \dots\}$$

$$\mu' = m' 2\sqrt{\alpha\beta} \{1 - \frac{1}{2}\beta + \dots\}$$

und

$$\frac{\mu\mu - 4m'm'\beta}{(1-\beta)m'\mu} = 1 - \frac{1}{2}\beta + \dots$$

$$\frac{\mu'\mu' - 4m'm'\beta}{(1-\beta)m'\mu'} = -2\sqrt{\frac{\beta}{\alpha}} \{1 + \frac{1}{2}\beta - \alpha + \dots\}$$

$$u = a \sin \left\{ t \sqrt{\frac{-2n'm'I(1-f)}{i+f}} \right\} + A$$

$$s = b \sin \left\{ t \left( m' - \frac{n'I}{i+f} \right) + B \right\} + c \sin \left\{ t \cdot \left( \frac{-4n'I}{3(i+f)} \sqrt{f} \right) + C \right\}$$

$$s' = -b \cos \left\{ t \left( m' - \frac{n'I}{i+f} \right) + B \right\} + \frac{2c}{\sqrt{f}} \cos \left\{ t \cdot \left( \frac{-4n'I}{3(i+f)} \sqrt{f} \right) + C \right\}$$

Aus den nun vollständig gefundenen Ausdrücken von  $s$  und  $s'$  kann man die Ausdrücke von  $I$  und  $N$ , nach den schon angeführten Formeln:

$$I = -s \sin(m-n) - s' \cos(m-n)$$

$$N = n + 180^\circ + s \cos I \cos(m-n) - s' \cos I \sin(m-n)$$

$$h = g \sqrt{\frac{(1-\alpha)(\mu\mu - 4m'm'\beta)}{(1-\beta)(\mu\mu - m'm'a)}}$$

$$h' = -g' \sqrt{\frac{(1-\alpha)(\mu\mu - 4m'm'\beta)}{(1-\beta)(\mu\mu - m'm'a)}}$$

oder da, der Gleichung für  $\mu$  zufolge:

$$\frac{\mu\mu - 4m'm'\beta}{1-\beta} = \frac{1-\alpha}{\mu\mu - m'm'a} m'm'\mu$$

ist,

$$h = g \frac{\mu\mu - 4m'm'\beta}{(1-\beta)m'\mu}$$

$$h' = -g' \frac{\mu\mu - 4m'm'\beta}{(1-\beta)m'\mu}$$

Indem dieser Gleichung durch zwei positive Werthe von  $\mu\mu$  Genüge geleistet werden kann, welche ich durch  $\mu\mu$  und  $\mu'\mu'$  bezeichnen werde, erhält man, durch die Annahme jedes dieser Werthe, ähnliche Glieder der Ausdrücke von  $s$  und  $s'$ , also die vollständigen Integrale der Differentialgleichungen:

Man kann also, mit hinreichender Annäherung, setzen:

$$\mu = m' \{1 + \frac{1}{2}\beta\}, \quad \mu' = 2m' \sqrt{\alpha\beta}$$

und die obigen Ausdrücke, in:

$$s = b \sin(\mu t + B) + c \sin(\mu' t + C)$$

$$s' = -b \cos(\mu t + B) + 2c \sqrt{\frac{\beta}{\alpha}} \cos(\mu' t + C)$$

zusammenziehen, in welchen  $b, B, c, C$  die willkürlichen Constanten sind.

Die Anwendung der oben schon angewandten Ausdrücke

$$\beta = -\frac{2n'I'}{3m'(i+I)}, \quad \alpha = f\beta, \quad \gamma = (1-f)\beta$$

führt auch die Perioden der Größen  $u, s, s'$  auf die unbekannte Größe  $f$  zurück. Man hat nämlich, indem man diese Größe einführt:

ableiten; man erhält dadurch:

$$\begin{aligned} I &= I' - 188^{\circ}4 f \sin(m-n) \sin(\pi-n) - 97^{\circ}9 \cos(m-n) \cos(\pi-n) \\ &\quad + b \cos(m-n + \mu t + B) \\ &\quad - c \sin(m-n) \sin(\mu' t + C) - \frac{2c}{\sqrt{f}} \cos(m-n) \cos(\mu' t + C) \\ (N-n-180^{\circ}) \sin I &= + 188^{\circ}4 f \cos(m-n) \sin(\pi-n) - 97^{\circ}9 \sin(m-n) \cos(\pi-n) \\ &\quad + b \sin(m-n + \mu t + B) \\ &\quad + c \cos(m-n) \sin(\mu' t + C) - \frac{2c}{\sqrt{f}} \sin(m-n) \cos(\mu' t + C) \end{aligned}$$

wo  $\mu$  und  $\mu'$  die Ausdrücke

$$m' - \frac{n'f}{i+f} \quad \text{und} \quad \frac{-4n'f}{3(i+f)} \sqrt{f}$$

haben.

### 6.

Es muß jetzt gezeigt werden, welche Verbindung zwischen  $u$ ,  $I$ ,  $N$  und dem selenocentrischen Orte des Punktes  $O$  stattfindet. Da die Entfernung der, der Erde näherungsweise zugewandten, des ersten Meridian des Mondes bestimmenden Hauptaxe, von dem aufsteigenden Knoten der Mondbahn auf der Ecliptik  $= 180^{\circ} + m - n + u$  gesetzt worden, und die Entfernung des aufsteigenden Knotens des Mondaquators von demselben Punkte  $= 180^{\circ} + N - n$  ist, so ist die Entfernung jener Hauptaxe von diesem Knoten  $= m - N + u$ , und daher die Entfernung des durch  $O$  gelegten Meridians, dessen selenographische Länge durch  $\lambda$  bezeichnet werden soll, von demselben Knoten,  $= \lambda + m - N + u$ . Bezeichnet man die selenographische Breite des Punktes  $O$  durch  $\beta$ , seine selenocentrische Länge und Breite durch  $l$  und  $b$ , so erhält man, durch das sphärische Dreieck zwischen diesem Punkte und den Polen der Ecliptik und des Mondaquators, die Gleichungen:

$$\begin{aligned} \Delta b &= \alpha \left( \frac{\Delta \beta}{\cos \beta} \right) - \beta \Delta \lambda - \gamma \Delta I' - \beta u - \gamma v + \delta w \sin I' \\ \cos b \Delta l &= \beta \left( \frac{\Delta \beta}{\cos \beta} \right) + \alpha \Delta \lambda + \delta' \Delta I' + \alpha u + \delta' v + \gamma' w \sin I' \end{aligned}$$

wo die Coefficienten folgende Bedeutungen haben:

$$\begin{aligned} \alpha &= \cos I' \cos b - \sin I' \sin b \sin(l-n) \\ \beta &= \sin I' \cos(l-n) \\ \gamma &= \sin(l-n) \\ \delta &= \cos(l-n) \end{aligned}$$

$$\begin{aligned} \Delta b &= \alpha \left( \frac{\Delta \beta}{\cos \beta} \right) - \beta \Delta \lambda - \gamma \Delta I' - \beta u + \{ w \sin I' \cos(l-n) - v \sin(l-n) \} \\ \cos b \Delta l &= \beta \left( \frac{\Delta \beta}{\cos \beta} \right) + \alpha \Delta \lambda - \delta \sin b \Delta I' + \alpha u + \{ w \sin I' \sin(l-n) + v \cos(l-n) \} \sin b \end{aligned}$$

zusammenziehen.

(Der Beschluß folgt.)

$$\begin{aligned} \sin b &= \sin \beta \cos I' + \cos \beta \sin I' \sin(\lambda + m - N + u) \\ \cos b \sin(l-n) &= -\sin \beta \sin I' + \cos \beta \cos I' \sin(\lambda + m - N + u) \\ \cos b \cos(l-n) &= \cos \beta \cos(\lambda + m - N + u) \end{aligned}$$

welche zur Erfindung von  $l$  und  $b$ , aus bekannten Werthen von  $\lambda$ ,  $\beta$ ,  $I$ ,  $N$ ,  $u$  dienen. Man kann die unmittelbare Bestimmung der selenocentrischen Geradenauflage und Abweichung, durch ganz ähnliche Gleichungen erlangen, in welchen statt der auf die Ecliptik bezogenen Lage des Mondaquators, die auf den Erdaquator bezogene vorkommt; allein für den gegenwärtigen Zweck, nämlich für die Vergleichung der Theorie mit den Beobachtungen und Bestimmung der unbekannten Größen der ersteren, ziehe ich die Anwendung der auf die Ecliptik bezogenen Oerter vor und setze daher voraus, daß sie aus den, im 4ten § aus den Beobachtungen abgeleiteten  $u$  und  $d$  berechnet worden sind.

Setzt man  $I = I' + v$ ,  $N = 180^{\circ} + n + w$ , so sind  $n$ ,  $v$ ,  $w$  kleine Größen, deren Quadrate und Producte nicht in Betracht gezogen zu werden brauchen. Man kann dann, durch Differenzirung der drei Gleichungen, die Einflüsse kennen lernen, welche sowohl  $u$ ,  $v$ ,  $w$ , als auch kleine Veränderungen angenommener Werthe von  $\lambda$ ,  $\beta$ ,  $I'$  auf  $l$  und  $b$  üben. Man erhält dadurch:

$$\begin{aligned} \gamma' &= \tan \frac{1}{2} I' \cos b + \sin \frac{1}{2} \sin(l-n) \\ \delta' &= \sin b \cos(l-n) \end{aligned}$$

Will man das in  $\tan \frac{1}{2} I'$  multiplicirte Glied von  $\gamma'$ , welches höchstens  $= 0,013$  ist, vernachlässigen, so hat man  $\gamma' = \gamma \sin b$ ,  $\delta' = \delta \sin b$  und kann dadurch die Formeln in:

### Ueber die Bestimmung der Libration des Mondes, durch Beobachtungen. (Beschluss.)

Von Herrn Geh. Rath und Ritter Bessel.

Wenn man  $b$  und  $l$ , aus angenommenen Werthen von  $\beta, \lambda, l'$  und unter der Voraussetzung  $N = 180^\circ + n$ , so wie ohne Rücksicht auf  $u, v, w$  berechnet und unter  $\Delta b$  und  $\Delta l$  die Unterschiede der so erhaltenen Werthe von  $b$  und  $l$ , von den aus der Beobachtung hervorgegangenen versteht, so ergiebt sich die beiden eben entwickelten Gleichungen,

$$u = -\frac{311^{\circ}6(t-f)}{1+f0,4727} \sin(M-\Pi) + 41^{\circ}5(t-f) \sin(m-\pi) \\ + a \sin(\nu t + A)$$

$$w \sin l' \cdot \cos(l-n) - v \sin(l-n) = + 188^{\circ}4 f \cos(m-l) \sin(\pi-n) - 97^{\circ}9 \sin(m-l) \cos(\pi-n) \\ + b \sin\{m-l+\mu t+B\}$$

$$w \sin l' \cdot \sin(l-n) + v \cos(l-n) = - 188^{\circ}4 f \sin(m-l) \sin(\pi-n) - 97^{\circ}9 \cos(m-l) \cos(\pi-n) \\ + b \cos\{m-l+\mu t+B\}$$

$$- c \sin(m-l) \sin(\mu' t + C) - \frac{2c}{\sqrt{f}} \cos(m-l) \cos(\mu' t + C)$$

Die Untersuchung hat, wie hierdurch vor Augen liegt, mehrere unbekannte Größen, nämlich  $\Delta\beta, \Delta\lambda, \Delta l, f, a, A, B, c, C$ . Indessen kann man  $c$  und  $C$  davon ausschließen, weil die Glieder, in welchen sie enthalten sind, eine so lange Periode besitzen, daß sie sich in dem Laufe einer, einige Jahre lang fortgesetzten Beobachtungsreihe, nicht erheblich ändern, also ihren Einfluß fast genau auf  $\lambda$  und  $\beta$  übertragen, welche Größen daher, durch zwei solche, aber durch eine lange Zeit voneinander getrennte Beobachtungsreihen, verschiedene Werthe gefunden werden können. Indem nämlich

$$\nu = \sqrt{\left\{ \frac{-2n'm'}{i+f} \right\}} \sqrt{(1-f)}$$

$$\mu = m' - \frac{n'l'}{i+f}$$

$$\mu' = \frac{-4n'l'}{3(i+f)} \sqrt{f}$$

so erhält man ihre Zahlenwerthe, durch die Anwendung im § 4 angeführten Werthe von  $m', n', i, l'$ :

$$\nu = 2010^{\circ}241 \sqrt{(1-f)}$$

$$\mu = 47477,486$$

$$\mu' = 56,7946 \sqrt{f}$$

und aus allen zusammen müssen die unbekannten Größen der Aufgabe bestimmt werden.

Indessen müssen für  $u$  und die beiden von  $v$  und  $w$  abhängigen Größen, welche in den letzten Formeln vorkommen, ihre Ausdrücke gesetzt werden, damit man die Bedeutung der einzelnen Theile der Gleichungen besser übersehe. Dem § 5 zufolge ist:

also die Perioden der in  $a, b, c$  multiplicirten Glieder:

$$= \frac{644,7}{\sqrt{(1-f)}}; \quad 27,297; \quad \frac{22819,1}{\sqrt{f}} \text{ Tage.}$$

Will man, um eine ohngefähre Schätzung der ersten und letzten dieser Perioden zu erhalten, den aus der Untersuchung des Herrn *Nicollet* hervorgegangenen Werth von  $f$ , etwa  $= \frac{1}{10}$ , anwenden, obgleich er nur mit Mißtrauen gegen seine Richtigkeit gegeben wird, so findet man die erste Periode kürzer als 2 Jahre und die letzte  $= 242$  Jahren; die zweite ist sehr wenig kürzer als ein Sideralmonat. Da die Dauer der letzten Periode jedenfalls 63 Jahre überschreitet, so geht hervor, daß die Ausschließung der beiden sich darauf beziehenden unbekannten Größen erlaubt ist; zugleich wird wahrscheinlich, daß schon eine 2 bis 3 Jahre lang fortgesetzte Beobachtungsreihe, eine ganze Periode der Größe  $a$  umfassen wird. Gelingt es, einen merklichen Werth von  $a$  durch die Beobachtungen an den Tag zu legen, so wird die Bestimmung der Dauer seiner Periode, welche man durch fortgesetzte, oder nach länger Zeit wiederholte Beobachtungen erhalten kann, das sicherste Mittel zur genaueren Bestimmung von  $f$  werden. Die Entfernung  $m-l$  der selenocentrischen Länge eines Punktes auf dem Monde, von dem mittleren Orte der Erde, ist sehr nahe beständig und



sehr nahe der seienographischen Länge des Punktes gleich; die Perioden, welche ich eben aufgesucht habe, werden also durch das Hinzukommen dieser GröÙen nicht verändert.

Man würde die Anzahl der unbekannten GröÙen der Untersuchung von 8 auf 4 bringen, wenn man  $a$  und  $b$  als verschwindend voraussetzen wollte. Dieses hat Herr Nicollet wirklich gethan; auch scheinen die Beobachtungen, welche ihm zu Gehöte standen, nicht den Grad von Schärfe zu besitzen, welchen sie besitzen müßten, wenn sie die Grundlage einer weiter gehenden Untersuchung hätten werden sollen. Indessen scheint die Annahme, daß die, den ursprünglichen Zustand der Drehung des Mondes andeutenden GröÙen, Anfangs oder später, verschwunden seien, keinen haltbaren Grund zu haben, wenn auch die Unmerklichkeit der ähnlichen, sich auf die Erde beziehenden GröÙen, durch die Beobachtungen bekannt geworden ist. Eine neue, auf kräftigere Beobachtungen gegründete Untersuchung der Libration des Mondes, würde daher, wenn sie diese GröÙen unberücksichtigt ließe, nicht allein von dem ihr erreichbaren Ziele entfernt bleiben, sondern auch keine Sicherheit ihrer übrigen Resultate gewähren und die Gelegenheit unbenutzt lassen, eine an sich sehr interessante Frage über die Beschaffenheit des Weltgebäudes zu beantworten.

## 7.

Obgleich der Vorzug nicht zweifelhaft sein kann, welchen die in dem Vorhergehenden verfolgte Beobachtungsmethode, vor der bisher, zur Erreichung desselben Zweckes angewand-

Positionswinkel	Uhrzeit.	Messung.	Uhrzeit.	Messung.	Entfernung $12^h 15' 30''$
		$\alpha$		$\alpha$	
$27^\circ 0' 8''$	$11^h 58' 0''$	41,197	$12^h 29' 0''$	78,811	18,807
55 0,5	12 0 15	42,223	26 45	77,794	17,7855
82 59,3	2 30	43,484	24 30	76,542	16,529
110 58,6	4 45	44,687	22 15	75,362	15,3375
138 59,1	7 0	45,510	20 0	74,522	14,506
167 0,1	9 15	45,869	17 45	74,142	14,1365
195 0,7	11 30	45,692	15 30	74,261	14,2845
					756,10

Gleich nach dieser vollständigen Beobachtungsreihe machte ich eine zweite ähnliche, in der Absicht, durch die Vergleichung der Resultate beider, zu einem Urtheile über ihre Ueberein-

Positionswinkel	Uhrzeit.	Messung.	Uhrzeit.	Messung.	Entfernung $12^h 50' 0''$
		$\alpha$		$\alpha$	
$27^\circ 0' 8''$	$12^h 32' 0''$	78,802	$13^h 8' 0''$	41,137	18,8325
55 0,5	34 30	77,810	5 30	42,138	17,836
82 59,3	37 0	76,558	3 0	43,412	16,573
110 58,6	39 30	75,380	0 30	44,611	15,3845
138 59,1	42 0	74,542	12 58 0	45,467	14,5375
167 0,1	44 30	74,162	55 30	45,842	14,160
195 0,7	47 0	74,271	53 0	45,700	14,2855
					756,15

Das Barometer stand  $356,9 - 3^\circ \text{R.}$ ; das äußere Thermometer  $18^\circ \text{F.}$  Die Reduction der Uhrzeit auf Sternzeit ist

ten besitzt, so wird doch eine wirkliche Ausführung derselben näher zeigen, was man davon zu erwarten hat. Ich habe sie daher am 31<sup>sten</sup> März 1839, zur Bestimmung des Ortes des Kraters, welchen die Beer und Mädler'sche Mondkarte unter  $-5^\circ 16'$  und  $-3^\circ 14'$  der seienographischen Länge und Breite anzeigt, angewandt. Diesen Krater habe ich vor anderen, der Mitte des Mondes nahe liegenden, gewählt, weil er, selbst im Vollmonde, sehr hell und in scharf begrenzter kreisförmiger Gestalt erscheint, auch durch seine Umgebungen, leicht von anderen ähnlichen Kratern unterschieden werden kann und daher den Beobachter nicht der Gefahr des Verwechslens aussetzt.

Die Beobachtungen sind auf die im 2<sup>ten</sup> § auseinander gesetzte Art gemacht. Statt der dort vorgeschlagenen Zwischenzeit von 2 Minuten zwischen je zwei aufeinanderfolgenden, habe ich in einer Beobachtungsreihe  $2' 15''$ , in einer anderen  $2' 30''$  genommen; das notwendige, wiederholte Aufsteigen auf die Treppen an dem großen Königsberger Heliometer erforderte so viel von der Zeit von 2 Minuten, daß ich damit nur mit einiger Uebereilung hätte ausreichen können, während diese Zwischenzeit sicher hinreichend ist, wenn ein Gehülfe das Anschreiben der Beobachtungen, oder einen anderen Theil der Arbeit übernimmt. Ueber die Beobachtungen, welche ich, so wie sie aufgeschrieben wurden, folgen lasse, ist nichts weiter zu bemerken, als daß ich statt der unmittelbar eingestellten Positionswinkel ihre, durch die von dem Instrumente selbst und seiner Aufstellung herrührenden kleinen Verhesserungen, schon beistelligten Werthe, anführe.

stimmung zu gelangen. Diese zweite Reihe hat folgende Zahlen geliefert:

$= -2' 2''$ . Die Luft war unruhig, so daß die angegebene Vergrößerung von 150mal, schon unangenehme Unbestimmt-

beina zeigte; übrigens war die Bisection des Kraters durch den Mondrand, eine Erscheinung, welche, an sich selbst, einer genauen Beobachtung günstig ist.

Ich werde nun die einzelnen Momente der Rechnung, insofern ihre Anführung ein Interesse haben kann, mittheilen. Die Zeiten, für welche die in der letzten Columnne der Beobachtungsverzeichnisse angegebenen Zahlen gelten, sind  $12^h 11' 28''$  und  $12^h 47' 58''$  Stz., oder  $11^h 37' 49''$  und  $12^h 13' 29''$  M. Z. Für diese Zeiten ergeben die *Enckeschen* Ephemeriden die Oerter und die Parallaxe des Mondes:

$$\begin{array}{l|l} \alpha = 207^\circ 8' 6'' & 207^\circ 33' 55'' \\ \delta = -14^\circ 28' 0.1 & -14^\circ 35' 35.6 \\ \pi = 53.66,7 & 53.66,77 \end{array}$$

und man findet daraus, verbunden mit der Annahme des Verhältnisses des Erdhalbmessers zum Mondhalbmesser  $= 1:0,2725$ , die scheinbaren, bei der Berechnung der Beobachtungen in Betracht kommenden Bestimmungen:

$$\begin{array}{l|l} \alpha' = 207^\circ 21' 29'' & 207^\circ 33' 34'' \\ \delta' = -15^\circ 17' 47,5 & -15^\circ 25' 51,6 \\ h = 886' 18 & 886' 55 \end{array}$$

Der Einfluß der Strahlenbrechung ist, nach den Formeln § 3:

Erste Reihe.

Zweite Reihe.

Positionswinkel.	Entfernung.	Positionswinkel.	Entfernung.
$-5,5$	$+2,01$	$-4,3$	$+1,94$
$-3,7$	$+0,63$	$-3,6$	$+0,73$
$+1,2$	$+0,30$	$+0,2$	$+0,26$
$+4,8$	$+1,08$	$+3,7$	$+0,77$
$+4,0$	$+2,13$	$+3,8$	$+1,65$
$-0,5$	$+2,53$	$+0,4$	$+2,13$
$-4,8$	$+1,99$	$-3,5$	$+1,82$

und also sind die von der Strahlenbrechung befreiten Positionswinkel und Entfernungen:

$26^\circ 55' 3$	$997' 49$	$26^\circ 56' 5$	$998' 77$
$54,56,8$	$942,04$	$54,56,9$	$944,82$
$83,0,5$	$875,21$	$82,59,5$	$877,49$
$111,3,4$	$812,92$	$111,2,3$	$815,09$
$139,3,1$	$769,95$	$139,2,9$	$771,14$
$166,59,6$	$750,80$	$167,0,5$	$751,64$
$194,55,9$	$738,09$	$194,57,2$	$757,97$

Nimmt man:

$$\begin{array}{l} \sigma \cos \pi = -136'' + \Delta \alpha \quad \text{und} \quad = -136'' + \Delta \alpha \\ \sigma \sin \pi = +17'' + \Delta \beta \quad \quad \quad = -15'' + \Delta \beta \end{array}$$

so wendet man die oben berechneten Werthe von  $h$  an, so erhält man, aus der ersten Reihe, die Bedingungsgleichungen:

$$\begin{array}{l} -1'' 10 = +0,849 \Delta \alpha + 0,528 \Delta \beta - \Delta h \\ -0,01 = +0,437 \Delta \alpha + 0,889 \Delta \beta - \Delta h \\ -0,04 = -0,033 \Delta \alpha + 0,999 \Delta \beta - \Delta h \\ +0,23 = -0,483 \Delta \alpha + 0,876 \Delta \beta - \Delta h \\ -0,95 = -0,809 \Delta \alpha + 0,538 \Delta \beta - \Delta h \\ -1,10 = -0,978 \Delta \alpha + 0,210 \Delta \beta - \Delta h \\ -0,46 = -0,980 \Delta \alpha - 0,201 \Delta \beta - \Delta h \end{array}$$

und aus der zweiten Reihe:

$$\begin{array}{l} -0'' 95 = +0,850 \Delta \alpha + 0,527 \Delta \beta - \Delta h \\ -0,59 = +0,458 \Delta \alpha + 0,889 \Delta \beta - \Delta h \\ +0,14 = +0,033 \Delta \alpha + 0,999 \Delta \beta - \Delta h \\ +0,26 = -0,484 \Delta \alpha + 0,875 \Delta \beta - \Delta h \\ -0,55 = -0,810 \Delta \alpha + 0,587 \Delta \beta - \Delta h \\ -1,13 = -0,978 \Delta \alpha + 0,202 \Delta \beta - \Delta h \\ -0,33 = -0,979 \Delta \alpha - 0,204 \Delta \beta - \Delta h \end{array}$$

Die Auflösung dieser Gleichungen, nach der Methode der kleinsten Quadrate, ergibt:

$$\begin{array}{l|l} \Delta \alpha \dots\dots & -0'' 142 & -0'' 287 \\ \Delta \beta \dots\dots & +0,708 & +0,682 \\ \Delta h \dots\dots & +0,923 & +0,910 \end{array}$$

und durch die Substitution dieser Werthe wird den Gleichungen Genüge geleistet, bis auf:

$$\begin{array}{l|l} -0'' 44 & -0'' 15 \\ +0,35 & +0,15 \\ +0,17 & +0,36 \\ +0,46 & +0,43 \\ -0,56 & -0,27 \\ -0,46 & -0,64 \\ +0,47 & +0,44 \end{array}$$

Man hat also:

$$\begin{array}{l} \sigma \cos \pi \dots\dots | -136'' 142 | -136'' 287 \\ \sigma \sin \pi \dots\dots | +17,708 | +15,682 \end{array}$$

und ferner, indem man die angenommenen Werthe des Mondhalbmessers um das Mittel beider gefundenen Werthe von  $\Delta h (= +0'' 917)$  verbessert,

$$\begin{array}{l} \pi \dots\dots\dots | 172^\circ 35' 21'' | 173^\circ 26' 10'' \\ S - \sigma \dots\dots\dots | 8 \ 54 \ 11,9 | 8 \ 53 \ 33,1 \\ S - \sigma \dots\dots\dots | 8 \ 51 \ 54,6 | 8 \ 51 \ 15,9 \end{array}$$

Aus der Verbindung dieser Bestimmungen mit den oben angegebenen scheinbaren Oertern des Mondes erhält man endlich die selenocentrische Bestimmung des beobachteten Kraters:

$$\begin{array}{l} \text{Geradaufsteigung} \quad \alpha = 26^\circ 12' 42'' \quad 26^\circ 32' 40'' \\ \text{Abweichung} \dots\dots \quad d = +6 \ 30 \ 10,7 \quad +6 \ 37 \ 57,7 \\ \text{Länge} \dots\dots\dots l = 26 \ 39 \ 56,3 \quad 27 \ 1 \ 18,6 \\ \text{Breite} \dots\dots\dots b = -4 \ 3 \ 43,8 \quad -4 \ 3 \ 33,4 \end{array}$$

Dieses sind also die Resultate der beiden Beobachtungsreihen. So lange sie nur abgesondert von späteren vorhanden sind, hat es kein Interesse, die Bedingungsgleichungen aufzusuchen, welche die gefundenen Werthe von  $l$  und  $b$  mit den Constanten in Verbindung setzen, von welchen die Kenntnis der Libration des Mondes abhängt. Will man aber, unter Vernachlässigung aller periodischen Glieder der Ausdrücke der Drehungselemente des Mondes, und unter der Annahme der Neigung seines Aequators  $= 1^\circ 28' 45''$ , die selenographische Bestimmung des beobachteten Kraters daraus ableiten, so wird man sie:

$$\begin{array}{l} \text{Länge} \dots\dots\dots | -5^\circ \ 4' \ 31'' | -5^\circ \ 3' \ 9'' \\ \text{Breite} \dots\dots\dots | -3 \ 16 \ 2,1 | -3 \ 15 \ 23,8 \end{array}$$

finden. Hierbei sind die mittlere Länge des Mondes und seines aufsteigenden Knotens, beide mit Inbegriff der Söcular-

gleichungen und von dem scheinbaren Nachtgleichenpunkte angezhilt:

Länge.....	211°49'15'3	212° 9'14'1
Knoten.....	354 12 1,2	354 11 56,4

angenommen.

Insofern man ein Urtheil über den Erfolg, welchen diese Beobachtungsmethode verspricht, auf nur zwei Beobachtungsreihen gründen will, kann es nur sehr günstig ausfallen. Die beiden Bestimmungen des selenographischen Ortes des Kraters, stimmen bis auf 1'22"8 in Länge und 38"3 in Breite überein, welcher Unterschied, von der Erde aus, noch nicht 0"4 groß erscheint. Die beiden Bestimmungen des Halbmessers des Mondes stimmen so gut wie völlig überein. Endlich ist die Schärfe, womit man die Bissection des Kraters durch den Mondrand beurtheilen kann, wenn übrigens die Umstände nicht ungünstig sind und der Krater sich nicht an einem sehr rauhen Theile des Randes befindet, so groß, daß der Erfolg, so wie er sich durch die Vergleichung der 7 Momente jeder Beobachtungsreihe, oben gezeigt hat, keinesweges als die Wir-

kung eines günstigen Zufalles erscheint. Ich zweifle auch nicht, daß diese Methode eine der erfolgreichsten sein würde, wenn es auf die mikrometrische Messung des Mondes abgesehen wäre.

Die angeführten Beobachtungen sind zwar mit einem Heliometer gemacht, welches größer ist, als anderen Beobachtern bis jetzt zu Gebote stehende ähnliche Instrumente; allein ich glaube, daß sein Vorzug vor den, seit langer Zeit so häufig vorhandenen, kleineren Fraunhoferschen Instrumenten derselben Art, in Beziehung auf diese Beobachtungen, nicht sehr groß ist; und ferner, daß die ungünstige Beschaffenheit der Luft, welche bei den angeführten Beobachtungen stattfand, den Vortheil auf Seiten des größeren Instruments so sehr vermindert hat, daß kleinere, unter günstigen Umständen, nicht weniger leisten werden. Ich bin also der Meinung, daß die gewünschte Kenntnisse der Libration des Mondes, auch durch kleinere Fraunhofersche Heliometer, verhältnißmäßig leicht zu erlangen sein wird.

Bessel.

### Schreiben des Herrn Professors Argander an den Herausgeber.

Bonn 1839. März 27.

Als einseitiger Beobachtungsplatz ist mir ein kleiner Pavillon auf dem sogenannten alten Zoll eingeräumt (Astron. Nachr. Bd. X. p. 184). Die Polhöhe dieses Punctes habe ich aus einer Menge mit einem Ertschen astronomischen Theodolithen gemessener Meridianhöhen mehrerer nördlich und südlich vom Zenith culminirenden Sterne zu 50°44'8"6 bestimmt, also sehr nahe mit der Münchenschen 6"8 und der geodätischen 7"7 über-

einstimmend (a. a. O.). Für die Länge nehme ich ein, weil die geodätische Bestimmung 19°5'5" östlich von Paris; zur nähern Ermittlung derselben werden vielleicht die bisher hier beobachteten Sternbedeckungen dienen können; wir haben deren, seit ich im Stande bin, eine genaue Zeitbestimmung zu machen, die folgenden erhalten:

1838 Nov. 25.	Eintritt eines Sterns	7.8 <sup>m</sup>	50° vom Nordhorne	45'50"	MZ.			
	—	6 <sup>m</sup>	ganz nördl. Nordhorne	8	—	L 0'0	K + 0'3	
Dec. 21.	—	9 <sup>m</sup>	30° vom Südhorne	7 0 57'4	—	L + 3,6	K + 5,6	
—	—	9 <sup>m</sup>	75° vom Nordhorne	7 10 56,4	—			
—	—	9 <sup>m</sup>	mitten in den Mond	7 32 29,3	—	K		

es ist der südliche von 2 Sternen, nahe auf denselben Declinationskreise, 4' von einander.

1838 Dec. 22.	Eintritt	h <sup>3</sup> Aquarii	um 6 <sup>h</sup> 21'19"35 MZ.	K - 0'4
	—	h <sup>4</sup> —	7 13 12,8	K + 0,6

L. ist Herr Magister Lundahl aus Finnland, K. Herr Kysaeus, zwei eifrige Zuhörer von mir, die auch die Zeitbestimmungen durch Sternhöhen am Ertschen Theodolithen und Baumannschen Kreise gemacht haben.

Den Eintritt von h<sup>3</sup> Aquarii hat auch Herr Pfarrer Hülmann in Elberfeld beobachtet um 6<sup>h</sup>21'54"5 MZ. Elberfeld, und berechnet hieraus Bonn westlich von Elberfeld um 9°95' - 0°022 Δx + 0,045 Δδ. Zur Längebestimmung von Elberfeld selbhat hat derselbe seine in N. 362 der Astr. Nachr. mitgetheilten Sternbedeckungen umgerechnet, und noch die

eben angeführte und die Bedeckung von ψ Arietis, Eintritt Decbr. 26. 5<sup>h</sup>31'35"9 MZ., hinzugefügt; mit den genauesten bis jetzt bekannten Sternorten findet er Elberfeld von Berlin, 100

1838 Jan. 8.	ε Tauri	24°57'8 + 1,709 Δx - 0,407 Δδ
Febr. 4.	P. V. t36	43,7 + 1,660 + 0,450
—	7. λ Cancri	64,5 + 1,427 - 1,937
Dec. 22.	h <sup>3</sup> Aquarii	56,4 + 0,977 + 1,825
—	26. ψ Arietis	52,2 + 0,950 + 1,989

oder im Mittel mit Vernachlässigung von Δx und Δδ Elberfeld von Berlin - 24°54'9. Die Bedeckung von ψ Arietis ist auch in Breslau beobachtet, und Herr Hülmann berechnet daraus

des Meridiannunterschied —  $39^{\circ}30'0'' + 0,630''$ , oder —  $24^{\circ}56'0''$  von Berlin, wenn man Breslau zu  $56^{\circ}48'$  von Paris annimmt, wie es im Mittel aus den verschiedenen Bestimmungen Astr. Jahrbuch 1809 pag. 95 und Mon. Corresp. Bd. XXVI. p. 179 folgt, wenn man für die Vergleichungsarte die neuen Bestimmungen zum Grunde legt. Hieraus würde sich also meine Länge zu  $-25^{\circ}6'0''$  von Berlin oder  $+19^{\circ}8'0''$  von Paris ergeben, nahe genug mit der geodätischen Angabe übereinstimmend.

Diesen Winter habe ich auch einige Beobachtungen über des Lichtwechsel von  $\alpha$  Ceti gemacht, bin aber dabei von Wetter nicht sehr begünstigt worden: es sind die folgenden:

1839 Dec. 13.  $9^h$  Mira zwischen  $\gamma$  und  $\delta$  Ceti, vielleicht etwas näher an  $\delta$ ; nur sehr wenig schwächer, als  $\alpha$  Piscium.

— 17.  $8\frac{1}{2}^h$  Mira gewiss schwächer, als  $\alpha$  Piscium, wenig aber bestimmt heller, als  $\delta$  Ceti. Ich glaube, er ist weniger hell, als am 13<sup>ten</sup>.

— 18.  $8^h$  Mira sehr wenig, aber bestimmt heller, als  $\delta$  Ceti, ich und K. übereinstimmend, L. hält ihn so hell, als  $\alpha$  Piscium.

— 21. Mira ist heute beinahe schwächer, als  $\delta$  Ceti, wenigstens gewiss nicht heller, bedeutend schwächer, als  $\alpha$  Piscium; K. L. und ich übereinstimmend.

— 22. Mira bestimmt schwächer, als  $\delta$  Ceti, wohl noch heller, als  $\lambda$ , aber beinahe schwächer, als  $\mu$  Ceti.

1839 Jan. 7. Der Wallfisch war schon sehr tief, als es sich heute Abend etwas aufhellerte; Mira war gleich den hellen Sternen  $5^m$ ; ich würde ihn mit bloßem Auge nicht gerne  $4.5^m$  schätzen.

— 12.  $9^h30'$  Es hat sich aufgeklärt, der Wallfisch ist aber sehr in Dünsten, so daß man Mira mit bloßem Auge nicht sehen kann; durch ein einfaches Opernglas von anderthalbmal Vergrößerung erschien der Stern  $5^m$ , heller als 75, viel heller, als 69 und 70 und fast eben so hell, als  $\nu$  Ceti.

— 17. Mira ist noch immer heller, als 75, aber nur sehr wenig, viel schwächer, als  $\nu$  Ceti; man kann ihn also etwa  $5.6^m$  schätzen.

Obgleich nun die Beobachtungen eigentlich zu spät angefangen haben, so läßt sich aus denselben doch mit Sicherheit schließen, daß die Mitte des größten Lichtes vor dem 10<sup>ten</sup> Decbr. stattgefunden hat, auf welchen Tag sie nach Wurns Rechnung, (Zeitschrift für Astron. Bd. I.) fallen sollte. Dem Dec. 21. war der Stern schon bestimmt und bedeutend

im Abnehmen; ich möchte sogar den Anfang des Abnehmens auf Dec. 18 setzen. Setzt man die Mitte des größten Lichtes auf Dec. 9, so wird man nur wenige Tage irren. Veranlaßt wurde ich zu diesen Beobachtungen, die ich fortzusetzen gedenke, durch die anomalen Resultate, die Herr Bianchi in Nr. 345 der Astr. Nachr. bekannt gemacht hat, und die auf den ersten Anblick ganz sonderbare Lichtwechsel zu zeigen scheinen. Indessen lassen sich diese Anomalien wohl alle durch die Art der Beobachtung erklären. Ein großes, lichtstarkes Fernrohr ist überhaupt nicht geeignet, um Größen zu taxiren, sobald sie die  $5^m$  oder höchstens  $4^m$  übersteigen, worin alle Beobachter übereinkommen werden, die dies häufiger versucht haben; das Auge empfängt von solchen Sternen ein solches Uebermaas von Licht, daß es das mehr oder weniger nicht mehr gehörig unterscheiden kann; für solche Schätzungen muß man nothwendig das unbewaffnete Auge zu Hülfe nehmen! Noch unsicherer wird aber die Schätzung, wenn man durch ein Fernrohr nicht zwei Sterne mit einander vergleicht, entweder indem man beide zusammen im Felde hat, oder indem man abwechselnd den einen und den andern ansieht; sondern wenn man jedesmal nur den einen Stern während seines Durchganges mit derjenigen Vorstellung vergleicht, die man von einer gewissen Sterngröße sich gebildet hat. Nach meinen Erfahrungen irt man da, besonders bei hellen Sternen, zuweilen um eine ganze Ordnung. Im Allgemeinen wird man, wenn nach mehreren schwächeren Sternen ein bedeutend hellerer ins Fernrohr kommt, diesen zu hell, im umgekehrten Falle zu schwach schätzen. Macht man aber nur isolirte Beobachtungen, so haben die Dämmerung, Dünste in der Luft und andere Umstände einen ganz außerordentlichen Einfluß. Wenn ich diese Betrachtungen auf die Bianchischen Beobachtungen anwende, und einen mir sehr wahrscheinlichen Druck- oder Schreibfehler voraussetze \*), daß nämlich die geschätzte Größe 1836 Febr. 1 die  $5^m$  statt der  $3^m$  sein soll; so stimmen die Beobachtungen ganz gut in die bekannte Periode, indem nach Wurns Rechnungen die Mitte des größten Lichtes 1836 März 25 und 1837 Februar 20 hätte eintreffen müssen. Im letztem Jahre würde man allerdings geneigt sein, aus den Beobachtungen ein früheres Eintreffen des größten Lichtes zu schließen; aber man muß bedenken, daß die letztern Beobachtungen mit kleineren Fernrohren und in geringen Höhen gemacht sind. Uebrigens läßt sich wohl nicht bezweifeln, daß die Periode von Mira Ceti bedeutenden Schwankungen unterworfen ist. Dira beweist nicht nur die Wurnsche Tabelle (Zeitschr. f. Astr. I. p. 259 n. 260), selbst wenn man die vielen ziemlich zweifelhaften Bestimmungen fortläßt; sondern es zeigt sich auch bei den späteren Beobachtungen

\*) Wenn hier ein Fehler ist, so ist es kein Druckfehler. S.

von Bode, Luthmer und Westphal. So sollte 1820 das grösste Licht Oct. 11 einfallen, man kann es aber nach den recht vollständigen Beobachtungen von Bode (Jahrb. 1824 p. 202) und Luthmer (ib. p. 243) nicht gut über das Ende des Septembers verschieben. Eben so scheint auch 1821 und 1822 das grösste Licht um etwa 10 bis 15 Tage früher eingetreten zu sein, als die Rechnung es fordert. Ueberhaupt scheint in den Veränderungen der Periode wieder etwas Periodisches zu sein, und es wäre sehr interessant, darüber ins Klare zu kommen; dies kann aber nur durch ununterbrochen fortgesetzte Beobachtungen geschehen, und es wäre gewiss sehr belohnend, wenn

sich ein oder der andere Liebhaber der Astronomie zu solchen entschliessen wollte.

Nach bitte ich Sie, eine Berichtigung in meinem Aufsatz Nr. 363 p. 47 und 48 bekannt zu machen; in der Ueberschrift der letzten Columnen muß es daselbst statt „log sin  $\chi$ “ heißen „log sin  $f$ “. Allerdings habe ich eigentlich den Abstand vom Punkte Q mit  $\chi$  bezeichnet, da indeß der Setzer mein  $\chi$  überall für  $f$  gelesen hat, so muß es der Gleichförmigkeit wegen auch hier wohl  $f$  heißen.

Fr. Argelander.

Schreiben des Herrn Professors *Weisse*, Directors der Sternwarte in Cracau, an den Herausgeber.

Cracau 1839. Febr. 26.

Ich nehme mir die Freiheit, Ihnen hiebei die im Jahre 1838 an der hiesigen Sternwarte gemachten Beobachtungen der Mondsterne und Sternbedeckungen mit der Bitte zu übersenden, selbe in die Astr. Nachr. gefälligst aufnehmen zu wollen.

Zugleich bemerke ich Ihnen die Resultate der in diesem Jahre gemachten meteorologischen Beobachtungen. Der mittlere Barometerstand aus 1095 Beobachtungen war  $27^{\circ} 4^{\circ} 65$  Paris. M.; der mittlere Thermometerstand  $+4^{\circ} 69$  R.; dies ist der niedrigste Stand seit meiner Anwesenheit hier, nemlich seit dem Jahre 1825; im Jahre 1829 war er  $+5^{\circ} 47$  R.; im Jahre 1837  $+5^{\circ} 33$  R. Der höchste Barometerstand fiel auf

den 21<sup>ten</sup> Decbr., wo das Barometer  $28^{\circ} 0^{\circ} 83$  zeigte, der niedrigste auf den 11<sup>ten</sup> Februar, wo es  $26^{\circ} 7^{\circ} 65$  zeigte. Die grösste Wärme nach dem Jürgensenschen Extremen-Thermometer war den 26<sup>ten</sup> Juni mit  $+26^{\circ} 4$  R., die kleinste den 18<sup>ten</sup> Februar mit  $-19^{\circ} 7$  R. Nach dem August'schen Psychrometer war das mittlere  $s = 2^{\circ} 73$ . Ganz heitere Tage zählten wir bloß 15, an 204 Tagen wechselte Sonnenschein mit Wolken, die übrigen waren ganz trübe. Regen hatten wir an 126 Tagen, Schnee an 56, Hagel an 21 Tagen. Die herrschenden Winde waren von West und ONO.; Stürme zählten wir 21.

Dr. Max Weisse.

#### Mondsterne auf der Cracauer Sternwarte im Jahre 1838 beobachtet.

Datum.	Gestirne.	Scheinbare AR.	Anz. der Fäden.
1838 Januar 1.	95 $\chi^3$ Aquarii	23 <sup>10</sup> 30' 94	4
	Mond I	23 24 7,53	5
	20 n Piscium	23 39 36,22	5
	29 q Piscium	23 53 30,60	5
2.	29 q Piscium	23 53 30,14	5
	Mond I	0 15 54,43	5
	71 s Piscium	0 54 31,80	5
3.	(189) Piscium	0 39 52,26	5
	71 s Piscium	0 54 31,56	5
	Mond I	1 6 42,41	5
	99 y Piscium	1 22 48,84	5
	110 o Piscium	1 36 50,12	5
4.	99 y Piscium	1 22 47,96	5
	110 o Piscium	1 36 49,28	5
	Mond I	1 56 54,02	5
	27 $\psi$ Arietis	2 21 54,78	5
	42 $\pi$ Arietis	2 40 14,58	5
Febr. 4.	102 $\gamma$ Tauri	4 53 25,78	5
	112 $\beta$ Tauri	5 16 4,10	4

Datum.	Gestirne.	Scheinbare AR.	Anz. der Fäden.
1838 Febr. 4.	Mond I	5 <sup>23</sup> 26' 08	5
	136 C Tauri	5 43 9,88	5
	44 $\pi$ Aurigae	6 5 4,37	4
7.	78 $\beta$ Geminor.	7 35 25,09	5
	9 $\mu$ Cancr.	7 56 43,35	5
	Mond I	8 13 52,24	5
	43 $\gamma$ Cancr.	8 33 55,54	5
März 5.	27 s Geminor.	6 33 58,77	5
	43 $\zeta$ Geminor.	6 54 30,95	5
	Mond I	7 1 21,34	5
	66 $\alpha$ Geminor.	7 24 16,25	5
	77 $\pi$ Geminor.	7 34 40,98	3
April 2.	61 $\gamma$ Geminor.	7 15 40,26	4
	66 $\alpha$ Geminor.	7 24 15,94	5
	Mond I	7 37 52,77	5
	19 $\lambda$ Cancr.	8 10 54,65	5
	23 $\phi^3$ Cancr.	8 16 59,93	5
Mal 3.	41 $\gamma$ Leonis	10 11 3,12	1
	47 $\rho$ Leonis	10 24 17,70	5

Datum.	Gestirne.	Scheinbare AR.	Ans. der Fäden.
1838 Mai 3.	Mond I	10 <sup>h</sup> 37' 40" 54	5
	53 $\chi$ Leonis	10 56 41,13	4
	77 $\sigma$ Leonis	11 12 48,25	5
	4. 63 $\chi$ Leonis	10 56 40,74	5
	77 $\sigma$ Leonis	11 12 48,33	5
	Mond I	11 21 33,27	5
	3 $\nu$ Virginis	11 37 33,47	5
	5 $\beta$ Virginis	11 42 17,16	4
	6. 29 $\gamma$ Virginis	12 33 28,98	5
	Mond I	12 48 9,52	5
	51 $\delta$ Virginis	13 1 36,05	4
	67 $\alpha$ Virginis	13 16 42,18	5
	7. 51 $\delta$ Virginis	13 1 36,05	4
	67 $\alpha$ Virginis	13 16 41,90	5
	Mond I	13 33 9,03	5
	100 $\lambda$ Virginis	14 10 23,30	5
Juni 3.	40 $\psi$ Virginis	12 45 57,66	2
	51 $\delta$ Virginis	13 1 36,20	5
	Mond I	13 14 24,18	2
	82 $m$ Virginis	13 33 8,85	5
	89 $\kappa$ Virginis	13 41 6,87	5
	4. 89 $\kappa$ Virginis	13 41 6,81	5
	Mond I	14 0 47,06	5
	9 $\alpha$ Librae	14 41 57,89	3
	5. 2 Librae	14 14 45,83	5
	Mond I	14 50 37,79	4
Juli 5.	36 $\Delta$ Ophiuchi	17 6 26,73	4
	Mond I	17 18 18,12	5
Aug. 2.	45 $\delta$ Ophiuchi	17 17 3,96	5
	3 $\rho$ Sagittarii	17 37 25,33	5
	Mond I	17 51 44,13	5
	19 $\delta$ Sagittarii	18 10 40,88	4
	29. 42 $\delta$ Ophiuchi	17 12 6,56	5
	Mond I	17 22 45,42	5
	19 $\delta$ Sagittarii	18 10 40,52	5
Sept. 27.	34 $\sigma$ Sagittarii	18 45 15,63	4
	Mond I	19 2 29,18	3
	52 $h$ Sagittarii	19 26 53,58	4
	62 $c$ Sagittarii	19 52 44,76	5
	28. 52 $h$ Sagittarii	19 26 53,45	3
	62 $c$ Sagittarii	19 52 44,97	4
	Mond I	20 4 48,34	5
	16 $\psi$ Capric.	20 36 33,12	5
	29. 16 $\psi$ Capric.	20 36 32,98	5
	22 $\gamma$ Capric.	20 55 13,43	2
	Mond I	21 5 40,53	5
	40 $\gamma$ Capric.	21 31 9,81	5
	49 $\delta$ Capric.	21 38 8,75	5

Datum.	Gestirne.	Scheinbare AR.	Ans. der Fäden.
1839 Sept. 30.	40 $\gamma$ Capric.	21 <sup>h</sup> 31' 10" 10	5
	49 $\delta$ Capric.	21 38 9,11	5
	30. Mond I	22 4 23,11	5
	57 $\sigma$ Aquarii	22 22 7,67	5
	73 $\lambda$ Aquarii	22 44 13,16	5
Oct. 1.	57 $\sigma$ Aquarii	22 22 8,90	5
	73 $\lambda$ Aquarii	22 44 12,94	5
	Mond I	23 1 7,01	5
	8 $\kappa$ Piscium	23 18 40,92	5
	20 $n$ Piscium	23 39 40,54	5
	25. Mond I	19 42 4,08	1
	(146) $f$ Capric.	20 20 3,27	5
	16 $\psi$ Capric.	20 36 32,69	5
	26. (146) $f$ Capric.	20 20 3,43	5
	16 $\psi$ Capric.	20 36 32,78	5
	Mond I	20 41 45,48	5
	43 $\zeta$ Capric.	21 17 26,11	5
	40 $\gamma$ Capric.	21 31 9,83	5
	27. 43 $\zeta$ Capric.	21 17 27,81	5
	40 $\gamma$ Capric.	21 31 9,98	5
	Mond I	21 39 11,20	5
	33 $\iota$ Aquarii	21 57 44,28	5
	57 $\sigma$ Aquarii	22 22 7,59	5
	28. 33 $\iota$ Aquarii	21 57 44,04	5
	57 $\sigma$ Aquarii	22 22 7,39	5
	Mond I	22 34 36,65	5
	90 $\phi$ Aquarii	23 5 59,43	5
	29. 90 $\phi$ Aquarii	23 5 59,25	5
	Mond I	23 28 49,82	5
	29 $\eta$ Piscium	23 53 34,78	5
	44 $i$ Piscium	0 17 9,50	5
Nov. 28.	99 $\gamma$ Piscium	1 22 53,17	5
	110 $\circ$ Piscium	1 36 54,80	5
	Mond I	1 47 55,68	5
	37 $\psi$ Arietis	2 22 0,08	5
	32 $\nu$ Arietis	2 29 42,11	5
Dec. 24.	44 $i$ Piscium	0 17 9,20	5
	Mond I	0 34 36,78	5
	71 $\sigma$ Piscium	0 54 35,68	5
	98 $\mu$ Piscium	1 21 45,59	5
	25. 71 $\sigma$ Piscium	0 54 35,51	3
	98 $\mu$ Piscium	1 21 45,43	5
	Mond I	1 27 16,12	5
	6 $\gamma$ Arietis	1 44 42,80	5
	22 $\delta$ Arietis	2 9 11,25	3

An den vier Januar-Tagen sind hofa die Durchgänge durch den Meridian-Faden angegeben. Die Beobachtungen des 4ten Febr. sind nicht ganz sicher und vorzüglich die des Mondes.

### Sternbedeckungen auf der Cracauer Sternwarte im Jahre 1838 beobachtet

Datum.	Eintritt von	Sternzeit.	Sehr gut.
1838 Januar 3.	Eintritt von 88 Piscium	23 <sup>h</sup> 19' 27" 43	Sehr gut.
Febr. 4.	(136) Aurigae	5 24 21,23	Plötzlich.
— 7.	19 $\lambda$ Cancri	6 19 15,02	Ziemlich gut.

Datum.					Sternzeit.	
1838 März 1.	Eintritt von 61 $\epsilon$ Arietis	in den dunkeln Mondrand	um 4 <sup>h</sup> 29' 10" 00	Sehr gut.		
— Mai 2.	— eines Sterns 8.9	— — — — —	11 53 55,09	Gut.		
— — 3.	— — — — — 7.8	— — — — —	11 29 53,83	Gut.		
— Juni 4.	— 317 Virginia	— — — — —	14 4 0,35	Durch Wolken.		
— Sept. 2.	— 43 $\alpha$ Capricorni	— — — — —	18 59 51,89	Sehr gut.		
— Oct. 25.	— 60 $\alpha$ Sagittarii	— — — — —	22 39 35,06	Sehr gut.		
— Nov. 27.	— (252) Piscium	— — — — —	22 33 55,00	Sehr gut.		
— Dec. 26.	— 27 $\psi$ Arietis	— — — — —	0 46 50,11	Durch Wolken.		

Schreiben des Herrn Professors *v. Boguslawski*, Directors der Breslauer Sternwarte, an den Herausgeber.  
Breslau 1839.

Bei Gelegenheit, daß ich mich des Auftrages entledige, die Beobachtung des Austritts des Merkur von der Sonnenscheibe Ihnen zu übersenden, welche mein Freund, Herr Kaufmann *Samuel Scholtz*, gegenwärtig in Breslau wohnend, am 5<sup>ten</sup>

Mai zu Lima gewonnen hat, erlaube ich mir auch, Ein- und Austritt dieses Vorübergangs, wie ich solche damals in Breslau mit einem *Fraunhofer*'schen Fernrohre von 36 Linien Oeffnung beobachtet habe, Ihnen mitzuthellen.

Lima 1832 Mai 4.	22 <sup>h</sup> 38' 56" mittl. Zeit zu Lima	ionere } Berührung der Ränder. Austritt.
	22 42 10	äußere }
Breslau 1832 Mai 4.	22 8 4,37 ——— zu Breslau	äußere Berührung der Ränder. } Eintritt.
	22 11 3,19 ———	ionere }
		Die Trennung der Ränder erfolgte mit Präcision.
5.	4 53 39,20 ———	ionere } Berührung der Ränder. Austritt.
	4 56 58,42 ———	äußere }

Der Eintritt wurde mit 52maliger, der Austritt mit 144maliger Vergrößerung gewonnen. Die aus Sonnen-Culminationen am

Passageinstrumente gewonnene Zeit stimmte sehr gut mit den, welche aus correspondirenden Sonnenhöhen hergeleitet wurde.  
*v. Boguslawski.*

Schreiben des Herrn Hofraths *Schwabe* an den Herausgeber.

Dessau 1839. Febr. 24.

Der in Nr. 372 befindliche Aufsatz von Herrn *Galle* über die Lichtflocken etc. kann mich noch nicht überzeugen, daß der sogenannte fliegende Sommer diese Erscheinung veranlassen könnte; ich habe diese Fäden ebenfalls gesehen, nachdem mich Herr *Galle* darauf aufmerksam gemacht hatte, allein ich kann sie nur ohne Sonnenglas und bei sehr verlängertem Fokus erblicken, auch erscheinen sie nahe bei der Sonne dunkel, und ich sehe an den Tagen, wo diese Fäden häufig herumfliegen, mit dem Sonnenglas keine glänzende Lichtfunken. Ueberhaupt zeigen sich diese sehr selten im Herbst, wo dieses Ge-

spinnst erst entsteht und oft habe ich die Lichtflocken schon im April und Mai bemerkt, in welchen Monaten keine mit bekannte Erd- oder Feldspinne ihr Netz macht. So darf ich nie das Okular, womit ich die Sonnenflecke deutlich und scharf sehe, zu den Lichtflocken verrücken, weil sonst ein undeutliches Bild derselben entsteht, nie nahe ich Fäden oder eine längliche Form, und ich bin überzeugt, daß keine Lichtflocken zwar in keiner Verbindung mit der Sonne stehen, dennoch aber anderer Natur sind als der fliegende Sommer.

*Schwabe.*

## Inhalt.

- (zu Nr. 376.) Ueber die Bestimmung der Libration des Mondes, durch Beobachtungen. Von Herrn Geh. Rath und Ritter *Bessel*. p. 257.  
(zu Nr. 377.) Beschluß des vorstehenden Aufsatzes. p. 273.  
Schreiben des Herrn Professors *Argelander* an den Herausgeber. p. 279.  
Schreiben des Herrn Dr. *Weisse*, Directors der Sternwarte in Gracan, an den Herausgeber. p. 283.  
Schreiben des Herrn Professors *v. Boguslawski*, Directors der Sternwarte in Breslau, an den Herausgeber. p. 287.  
Schreiben des Herrn Hofraths *Schwabe* an den Herausgeber. p. 287.

Altona 1839. Mai 2

# ASTRONOMISCHE NACHRICHTEN.

N<sup>o</sup>. 378.

Osservazioni dei nuovi Pianeti Vesta, Cerere, Giunone, e Pallade intorno alla loro opposizione col Sole fatte nell' J. R. Osservatorio di Padova negli Anni 1834, 1836, 1837, 1838.

Le seguenti osservazioni dei nuovi piccoli Pianeti sono una continuazione di quelle già riferite al N. 335 delle Astron. Nachr., e furono al pari di esse promiscuamente fatte dal mio Collega Sign. Dott. Carlo Conti, e da me, confrontate alcune con le Effemeridi di Berlino, altre con l'Almanacco

Nautico di Londra, siccome in testa di ciascheduna in particolare è dichiarato. Le correzioni delle Effemeridi scritte a lato di ciascheduna posizione osservata devono sempre interpretarsi in modo che sommate algebricamente con le posizioni date dalle citate effemeridi porgano le posizioni osservate.

## Osservazioni di Vesta

intorno all' opposizione accaduta nel Novembre 1834, fatte al quadrante murale, ed allo strumento dei passaggi, affette dall' aberrazione, o spogliate dalla paralasse, e rifrazione; confrontate con l'Effemeridi di Berlino del Sign. Encke.

	Tempo medio in Padova.	AB. di Vesta osservata.	Correzione delle Effem.	Decl. di Vesta osservata.	Corr. delle Effemeridi.
1834. Novbr. 14	12 <sup>h</sup> 19' 43".5	3 <sup>h</sup> 54' 3".05	+ 1".05	+ 11° 38' 21".6	+ 15".5
15	12 14 46,1	3 53 1,02	+ 0,51	11 36 40,0	+ 18,1
16	12 9 47,6	3 51 58,21	+ 0,37	11 34 54,4	+ 14,3
17	12 4 48,2	3 50 54,58	+ 0,23	11 33 14,6	+ 12,1
20	11 49 50,4	3 47 44,03	+ 0,41	11 28 49,9	+ 15,5
21	11 44 51,1	3 46 40,43	+ 0,56	11 27 27,1	+ 13,4
27	11 14 59,3	3 40 23,02	+ 0,33	+ 11 21 7,1	+ 12,9
	Medio		+ 0".494		+ 14".54

## Osservazioni di Vesta,

intorno all' opposizione del Marzo 1836 fatte al quadrante murale ed allo strumento dei passaggi, spogliate dalla aberrazione, paralasse o rifrazione, e confrontate alle Effemeridi di Berlino del Sign. Encke.

	Tempo medio in Padova.	AB. osservata di Vesta.	Corr. dell' Alm. Naut.	Decl. osservata di Vesta.	Corr. dell' Alm. Naut.
1836. Marzo 17	12 <sup>h</sup> 22' 23".7	12 <sup>h</sup> 4' 38".76	— 3".15	+ 12° 39' 26".9	+ 17".4
18	12 17 33,0	12 3 43,76	— 3,27	12 46 42,0	+ 16,1
19	12 12 42,3	12 2 48,83	— 3,11	12 53 53,0	+ 18,5
20	12 7 51,2	12 1 53,53	— 3,13	13 0 49,6	+ 17,3
21	12 3 0,2	12 0 58,24	— 3,12	13 7 36,3	+ 16,7
22	11 58 9,2	12 0 2,99	— 3,10	+ 13 14 14,0	+ 18,4
	Medio		— 3".15		+ 17".40

## Osservazioni di Vesta,

intorno all' opposizione del Settembre 1837 fatte al nuovo circolo meridiano costruito nell' istituto politecnico di Vienna. Le seguenti posizioni osservate sono affette dall' aberrazione, spogliate dalla paralasse, e rifrazione, o confrontate con l'Alm. Nautico.

	Tempo medio in Padova.	AR. osservata di Vesta.	Corr. dell' Alm. Naut.	Decl. osservata di Vesta.	Corr. dell' Alm. Naut.
1837. Agosto 30	12 <sup>h</sup> 36' 28".0	23 <sup>h</sup> 12' 27".11	— 1".81	— 16° 29' 6".81	— 14".94
Settembre 1	12 26 58,8	23 10 39,42	— 1,90	16 44 37,20	— 16,25
2	12 22 8,3	23 9 44,73	— 2,23	16 52 11,34	— 16,66
5	12 7 37,1	23 7 0,73	— 1,84	17 14 1,81	— 16,55
6	12 2 46,2	23 6 6,62	— 2,02	17 21 1,33	— 17,62
7	11 57 55,5	23 5 10,66	— 2,08	17 27 47,24	— 15,13
8	11 53 4,9	23 4 15,84	— 2,12	17 34 24,89	— 14,89
9	11 48 14,7	23 3 21,39	— 1,98	17 40 52,10	— 15,12
10	11 43 24,7	23 2 27,18	— 1,90	— 17 47 8,11	— 15,66
	Medio		— 1.99		— 15".85



## Osservazioni di Vesta.

intorno all'opposizione del Dicembre 1838, fatte al circolo meridiano e come le precedenti confrontate all' Almanacco Nautico di Londra.

	Tempo medio in Padova.	AR. osservata di Vesta.	Corr. dell' Alm. Nautico.	Decl. osserv. di Vesta.	Corr. dell' Alm. Nautico.
1838. Dicemb. 21	12 <sup>h</sup> 40' 18" 2	6 <sup>h</sup> 40' 41" 80	+ 0' 10	+ 21° 35' 12" 58	+ 20' 79
23	12 30 16,5	6 38 31,56	+ 0,19	21 42 37,91	21,28
29	12 0 0,5	6 31 49,92	+ 0,07	22 4 49,84	19,95
1839. Gennaio 1	11 44 50,5	6 28 27,11	— 0,17	22 15 46,64	19,55
2	11 39 47,6	6 27 19,94	— 0,09	22 19 23,11	19,42
3	11 34 44,9	6 26 13,01	— 0,04	+ 22 22 57,63	+ 18,83
		Medio	+ 0,01		+ 19' 97

## Osservazioni di Cerere

fatte al circolo meridiano intorno all'opposizione del Dicembre 1837, confrontate con l'Almanacco Nautico di Londra, affette dall' aberrazione, e spogliate dalle rifrazione, e paralasse.

	Tempo medio in Padova.	AR. osservata di Cerere.	Corr. dell' Alm. Naut.	Decl. osserv. di Cerere.	Corr. dell' Alm. Naut.
1837. Dicembre 1	12 <sup>h</sup> 33' 2" 7	5 <sup>h</sup> 15' 30" 80	— 0' 89	+ 21° 40' 20" 26	+ 24' 39
2	12 28 7,2	5 14 31,28	— 0,81	21 43 2,00	23,37
4	12 18 14,9	5 12 30,31	— 0,85	21 48 23,25	20,35
14	11 28 37,4	5 2 10,20	— 0,59	22 14 48,75	25,94
15	11 23 39,6	5 1 8,11	— 0,95	+ 22 17 15,37	+ 19,38
		Medio	— 0' 82		+ 22' 67

## Osservazioni di Giunone,

intorno alla sua opposizione col Sole nell' Aprile 1837. Essendo, il Pianeta debolissimo, fù necessario osservarlo senza illuminazione colle lamine metalliche alla macchina paralattica. Le seguenti posizioni osservate sono state spogliate dall' effetto della paralasse, aberrazione, e rifrazione, e confrontate alle Effemeridi di Berlino.

	Tempo medio in Padova.	AR. osservata di Giunone.	Corr. delle Effemeridi.	Decl. osserv. di Giunone.	Corr. delle Effemeridi.	Stelle di confronto.
1837. Aprile 4	11 <sup>h</sup> 54' 14" 4	13 <sup>h</sup> 52' 3" 71	+ 3' 73	— 0° 45' 35" 1	+ 5' 9	1614. 1619 Baily.
10	11 31 20,1	13 47 27,86	+ 3,53	— 0 0 1,2	— 6,5	1626. 1629
—	11 53 56,0	13 47 26,64	+ 3,05	+ 0 0 12,6	+ 0,3	
11	11 37 16,5	13 46 40,90	+ 3,90	+ 0 7 39,1	+ 4,9	
—	12 11 12,1	13 46 39,75	+ 3,81	+ 0 7 46,1	+ 1,6	
12	11 20 18,6	13 45 53,55	+ 3,22	+ 0 14 52,7	+ 0,9	
—	11 55 34,4	13 45 51,90	+ 2,72	+ 0 15 5,8	+ 8,3	
14	12 1 6,4	13 44 18,35	+ 4,20	+ 0 29 30,8	— 5,2	1584. 1593. 1598
—	12 15 41,8	13 44 17,89	+ 4,22	+ 0 29 24,2	— 15,7	del Catalogo di Baily
23	11 25 11,8	13 37 15,57	+ 3,37	+ 1 29 46,3	— 7,4	nella Società Astr. di
24	11 48 34,6	13 36 30,53	+ 4,22	+ 1 36 7,1	+ 4,3	Londra.
		Medio	+ 3' 64		— 6' 80	

## Osservazioni di Giunone,

fatte al circolo meridiano nell'opposizione del Giugno 1838, affette dall' aberrazione, e liberate dalla paralasse, e rifrazione; confrontate all' Alm. Nautico.

	Tempo medio in Padova.	AR. osservata di Giunone.	Corr. delle Effemeridi.	Decl. osserv. di Giunone.	Corr. delle Effemeridi.
1838. Giugno 13	12 <sup>h</sup> 22' 46" 1	17 <sup>h</sup> 50' 4" 54	+ 2' 82	— 4° 32' 36" 87	— 20' 94
14	12 17 58,7	17 49 12,86	+ 2,80	— 4 31 35,40	— 18,17
16	12 8 22,6	17 47 28,33	+ 2,29	— 4 30 39,57	— 25,90
17	12 3 34,8	17 46 36,23	+ 2,46	— 4 30 16,70	— 27,80
18	11 58 46,6	17 45 43,84	+ 2,43	.....	.....
20	11 49 9,7	17 43 58,44	+ 1,86	— 4 29 37,78	— 14,51
21	11 44 22,1	17 43 6,65	+ 2,45	— 4 29 53,31	— 22,23
22	11 39 34,0	17 42 14,29	+ 2,38	— 4 30 8,31	— 21,18
		Medio	+ 2' 44		— 21' 53

Il pianeta era debolissimo, nè poterasi osservare che con un piccolissimo grado di luce, che rendeva incerta la posizione dei fili del microscopio.

Se ora si sommano le correzioni medie risultanti dal confronto delle osservazioni con le posizioni date nelle effemeridi, delle quali si è fatto uso in ogni particolare opposizione, corrispondenti ai due giorni comprendenti la opposizione stessa, si comano le posizioni dei pianeti corrette rapporto al piano dell' Equatore, come se fossero state direttamente osservate. Da queste poi passando coi consueti precetti alle posizioni rapporto all' Ecclittica, e confrontandole colle longitudini del Sole date nelle relative effemeridi, si ottengono con facili interpolazioni tanto le posizioni dei Pianeti in opposizione, quanto

i tempi ai quali hanno esse avuto luogo valutati sotto i meridiani, pei quali furono calcolate le effemeridi. Avendo fatto questi confronti tanto per le osservazioni già riferite al citato Nr. 335, quanto per le precedenti, ed avendo ridotto per maggiore uniformità i tempi ad un Meridiano comune, per il quale si è scelto quello di Parigi, o le longitudini tutte all' equinozio medio avendo avuto riguardo ad allontanare l'aberrazione dove era rimasta inclusa nelle osservazioni, si sono ottenuti i seguenti risultati.

V e s t a.					
Anno.	Mese, e giorno.	Tempo medio in Parigi dal measodi.	Long. del Pianeta in opposizione Eq. M.	Latitudine geocentrica osservata.	Latitudine eliocentrica dedotta.
1834	Novbr. 19.	17 <sup>h</sup> 59' 45".4	57° 29' 12".98	— 8° 19' 38".22	— 5° 7' 47".0
1836	Marzo 16.	17 15 21,7	176 15 42,34	+12 1 47,90	+ 6 49 33,5
1837	Settembre 3.	18 51 27,6	341 30 5,81	—10 35 57,68	— 6 4 15,2
1838	Dicbre 29.	1 21 29,4	97 28 34,14	— 1 11 49,44	— 0 44 3,5
G i u n o n e.					
1834	Luglio 16.	12 10 17,2	293 62 69,90	+16 62 48,3	+10 59 23,4
1836	Gennaio 1.	1 14 41,0	100 14 5,42	—22 39 3,7	—12 12 13,9
1837	Aprile 13.	19 42 43,4	204 8 46,15	+10 30 43,2	+ 7 14 24,4
1838	Gingno 17.	15 59 59,5	266 25 16,61	+18 55 6,7	+12 58 67,1
P a l l u d e.					
1834	Febbr. 8.	0 21 22,0	139 19 52,47	—37 2 2,1	—20 44 57,5
1835	Gingno 8.	9 41 4,0	252 31 32,27	+48 15 27,6	+34 13 1,5
C e r o r e.					
1834	Febbr. 15.	23 15 43,6	146 22 7,07	+15 49 43,5	+ 9 45 38,5
1835	Giugno 10.	12 3 45,6	249 16 44,01	+ 0 25 22,3	+ 0 16 14,9
1836	Settembre 7.	12 25 13,6	345 23 23,06	—15 52 40,4	—10 33 56,4
1837	Dicbre 9.	11 57 10,3	77 48 10,52	— 0 52 27,45	— 0 33 12,77

Santini.

Schreiben des Herrn Professors *Bianchi*, Directors der Sternwarte in Modena, an den Herausgeber.

Modena 1839. April 26.

Puisque vous avez eu la bonté de publier dans le Nr. 345 de votre journal ma lettre, où je vous ai entretenu sur la chance de la baleine, vous ne dédaignerez pas, je l'espère, que je rappelle de nouveau votre attention sur le même sujet, soit pour ajouter quelques réflexions pas à fait inutiles, comme aussi pour rectifier quelque assertion pas tout-à-fait rigoureusement exacte de la lettre mentionnée ci-dessus. Et en premier lieu je dois vous avouer que lorsque j'ai vu de vous écrire un peu à la hâte cette lettre là, je ne pouvais consulter sur l'argument et je n'avais pas sous les yeux que les Traités d'Astronomie par *Lalande* et par Sir *John Herschel*, auxquels pourtant j'atteignais avec fidélité et précision les passages ou les jugemens que je vous en rapportai.

Mais depuis que j'ai pu recueillir des notices sur la variable et les puiser dans des autres ouvrages et par des auteurs différents, j'en ai eu de quoi modifier quelque opinion que je m'étais formée, et même que je vous avançais. De ces corrections peut-être la plus importante regarde la petite étoile qui suit de près la variable et qui est visible avec elle dans le champ obscur de l'instrument; sur laquelle *Lalande* et *Herschel* n'ayant pas dit aucun mot, je croyais que les observateurs ne l'eussent jamais avertie ou signalée. Cependant en ouvrant le Catalogue de *Piazzi* (2<sup>me</sup> édition 1814) on y trouve cette étoile observée plusieurs fois et jugée de onzième grandeur; et dans la Note au Nr. 56 Hors II on y lit: „In eodem parallelo 6<sup>o</sup> temporis sequitur alia viz

19\*

ferre visibilib, conspicienda tamen, eoque tempore quo precedens distingui non poterat." A l'égard néanmoins de ces dernières expressions, eoque tempore etc., qui seront peut-être aussi exactes fondées que les premières, je ne saurais pas dire quelles observations en viennent à l'appuy, et moi j'ai vu la petite étoile d'une lumière toujours égale, quelle que fût la phase ou l'éclat de la variable. Il est parlé de cette petite étoile aussi par le mémoire de Mr. *Edvard Pigott* inséré dans les *Transactions Philosophiques* pour l'année 1786, où l'auteur en expose ses plus précises observations sur les changemens de lumière de  $\alpha$  Ceti commencés vers la fin du 1782 et finit le 14 Décbr. 1783 il jugea la variable de 10<sup>me</sup> grandeur et égale à la petite suivante; que le 11 Janvier 1784 il vit par intervalles la variable moindre que la petite, et que le 9 Décembre 1784 la variable lui parut de 9<sup>me</sup> grandeur et tant soit peu éclatante que sa compagne (*Trans. Phil.* 1786 p. 193). Et ici même on rappelle que Mr. *Goodricke* en observant la variable pendant la nuit du 9 Août 1782 jugea qu'elle était de 2<sup>me</sup> grandeur, qu'elle brillait un peu plus que  $\alpha$  et un peu moins que  $\beta$  Ceti, et que le 5 Septembre tout de suite elle était de troisième et égale à  $\gamma$  Ceti. Maintenant je ne trouve pas ce quel lieu du Volume cité des *Transactions Philosophiques* on puisse rencontrer ce que disait *Lalande* (*Astron. T. I. §. 794 p. 291*): „On voit, dans les *Trans. Philos.* de 1786 que le 7 Février 1780 elle (la variable) était invisible,“ quoi qu'on y lit bien ce qu'il ajoute, „Elle était à son plus grand éclat le 9 Août 1782; le 14 (lire 16) Février elle était de la dixième grandeur.“

Sur la disparition totale observée de la variable je ne sais nulle part d'où on la tire, si ce n'est que des annonces qui en donne son premier observateur *Fabrieius*, qui en assignait les limites de ses changemens de grandeur, de 0 à la quatrième, comme *Piazzi* aussi dans sa note les indiquait. Le Catalogue des 3222 étoiles observées de *Bradley*, calculé et réduit par *Bezel* ou commencement de l'année 1755, à l'étoile  $\alpha$  Ceti assigne les extrêmes de grandeur 2 et 0 (*Astron. Fundamenta* p. 152); et peut-être c'est d'ici qu'on a déduit et adopté communément les limites mêmes des variations de l'étoile. Mais il faudrait voir, pour s'en assurer, le Recueil des observations originales de *Bradley*, que je n'ai pas; puisque il y sera fait mention des tems et des observateurs auxquels l'étoile venait de se perdre tout-à-fait de vue par son extrême petitesse ou affaiblissement de la lumière.

Dans les éphémérides de Berlin pour 1803 on reporta quelques observations et remarques faites sur la Mira Ceti avec un grand reflecteur de 20 pieds par Mr. le Chev. *Hahn* qui écrit (pag. 106) d'avoir vu l'étoile d'une lumière et avec un

disque presque planétaire, d'où il concluait que cette étoile doit être tout-à-fait différente des autres fixes. Les mêmes éphémérides pour le 1819 contiennent un court extrait, ou plutôt une annonce d'un long travail du Prof. *Wurm* de Stuttgart sur la périodique de la Baleine, qui venait de paraître dans le 2<sup>me</sup> Cahier du Journal „*Astronomische Zeitschrift* par MM. *Lindenau* et *Bohnenberger*“ et où l'auteur aura certainement recueilli le mieux qu'on peut savoir des phénomènes de cette étoile singulière. Il m'est bien désagréable de n'avoir pas ce Journal et conséquemment de ce que je ne puis pas y lire l'intéressant mémoire ci-dessus du Prof. *Wurm*. Et cependant je vois dans un petit livre publié peu ci-devant (*Nachträge und Zusätze zur ersten Auflage der Wunder des Himmels von J. J. v. Littrow*, Stuttgart 1837. p. 48) que d'après les calculs et les déterminations plus exactes Mr. *Wurm* a établi la période des changemens de la variable en 331,95 jours et que d'après la table des phases qu'il en a déduite, l'étoile a du atteindre son plus grand éclat le 30 Mars 1836, le 4 (peut-être on a entendu le 24) Février 1837, et le 23 Janvier 1838. Or l'étoile a brillé réellement à son maximum le 1<sup>er</sup> Février 1836, au commencement et le 1<sup>er</sup> Décembre du 1837. Il y aurait donc dans la table de Mr. *Wurm* une erreur de deux mois pour les époques présentes, et il pourrait bien découler de la valeur adoptée de la période, si l'époque fondamentale de la table a été prise reculée de nos jours; et c'est par cette raison que je préfère volontiers la période plus longue, comme celle de *Cassini*; quoique moi même j'ai trouvé dans ma lettre précédente (*Astr. Nachr.* Nr. 345. p. 164) la valeur de 331,5 jours à peu près par trois comparaisons des observations anciennes avec les modernes. Et voilà un argument de plus à nous persuader de la conclusion avec laquelle j'ai terminé autrefois que nos connaissances des phénomènes des étoiles changeantes ne sont pas jusqu'ici ni étendues ni assez précises et qu'elles mériteraient de l'être.“

Pour observer la Mira Ceti dans ses dernières variations l'hiver passé n'a pas été beaucoup favorable, et l'état long tems nuageux de l'atmosphère ne m'a point permis de suivre continuellement, comme il faudrait, les apparences de l'étoile. Toutefois je vous en envoie ici le petit nombre d'observations que j'en ai recueillies:

Jours.	Grandeur estimée au mérid.	Etat de l'atmosphère.	Notes
1837 Oct. 11	10 — 11	leg. brouill. ; vent.	La suit. de 11 <sup>me</sup>
17	10 — 11	Ser.; clair de lune	
Nov. 22	5 — 6	Serein beau.	La suit. de 11 <sup>me</sup>
Déc. 1	4 — 5	Air très pur.	
16	4	Serein beau.	La suit. de 11 <sup>me</sup>
18	5	Air obscur.	La suit. de 12 <sup>me</sup>
24	5 — 6	Air un peu couv.	On ne voit la suite.
1838 Janv. 21	5	Serein beau.	

Au prochain renouvellement des phases lumineuses de l'étoile on aura l'avantage de pouvoir en choisir toute circonstance, du premier accroissement jusqu'à la dernière diminution successive, c'est-à-dire l'amplitude totale du phénomène, si pourtant le tems ne sera pas contraire.

Je n'ai plus rien à ajouter ou à changer à ma lettre précédente. Peut-être que je ne tarderai beaucoup à vous écrire de nouveau pour vous faire part de quelques autres considérations et recherches sur un objet intéressant d'astronomie

pratique. Mes nouvelles de santé, Dieu merci, sont très-bonnes. Je m'occupe toujours de nos études célestes, comme je puis le faire; mais j'ai été jusqu'à présent bien malheureux dans mes adjoints qui m'ont quitté l'un après l'autre sans me donner presque aucun soulagement. Des deux derniers, *Wettinger* s'est dévoué uniquement à des spéculations et expériences acrostatiques et *Bernardi* a pris une carrière hors de l'observatoire.

*Giuseppe Bianchi.*

Schreiben des Herrn Doctors *Steckowski*, Adjuncten der Cracauer Sternwarte, an den Herausgeber.

Cracau 1839. Febr. 22

Ich habe es unternommen, aus den in neuerer Zeit an der hiesigen Sternwarte beobachteten Sternbedeckungen unsere geographische Länge abzuleiten. Die von mir angewandte Methode ist die *Bezeleche*, und die Berechnungen wurden durchaus mit siebenstelligen Logarithmen geführt. Die Abplattung habe ich = 0,00324 angenommen. Die Mondörter habe ich aus der *Cosmographie des tems*, und seit dem Jahre 1830 aus dem *Berke'schen* Jahrbuche genommen, und die scheinbaren Positionen der bedeckten Sterne nach *Baily's* „New Tables for facilitating the computation of Precession, Aberration and Nutation etc.“ gerechnet. Bei jeder Bedeckung habe ich alle Orte aufgenommen, an denen ich nur Beobachtungen finden konnte, habe aber immer getrachtet, nur solche Bedeckungen zu berechnen, die wenigstens an einem sehr gut bestimmten Orte beobachtet wurden. Das erhaltene Resultat weicht etwas von dem von *Wurm* in den *Astr. Nachr.* Nr. 167 gegebenen ab. Die Verbindung meiner Bestimmungen mit denen von *Wurm* gab unsere Länge =  $1^h 40' 29'' 536$  auch größer, als die Vergleichung der Mondstern-Beobachtungen mit *Altona* sie giebt.

Zugleich erlaube ich mir noch die Bemerkung, daß ich die Erhöhung des mittleren Spiegels der Weichsel bei Cracau, gegenüber dem botanischen Garten, übers Meer aus elfjährigen Beobachtungen mit unserm *Pieterschen* Barometer unmittelbar und durch Vergleichung mit Beobachtungen an zehn verschiedenen Orten berechnet, und selbe = 574 Pariser Fuß gefunden habe. Zu dieser Berechnung habe ich den Barometer- und Thermometerstand am Niveau des Meers, den *Schuckburg* aus seinen mehrjährigen Beobachtungen gefunden hat, nemlich  $28^{\circ} 2' 22$  und  $+12^{\circ} 8^{\circ} \text{C.}$  angenommen. Die Beobachtungen an den erwähnten zehn Orten, gaben mir:

Die Erhöhung des Beobachtung-Ortes in:

Warschau übers Meer aus 11jähr. Beob.	62,79	Par. Toisen.
Lemberg ——— 3jähr. Beob.	140,35	———
Breslau ——— (1812—1824)	61,97	———

Wien ——— (1823—1829)	88,75	Par. Toisen.
Kremsmünster ——— (1815—1824)	167,75	———
Königsberg ——— aus Kämtz	2,52	———
Mailand ——— (1809—1829)	55,60	———
Paris ——— aus Kämtz	30,65	———
Strasburg ——— ———	55,61	———
Padua ——— ———	0,27	———

Der Beobachtungsort in Cracau:

über dem gleichen Orte in Warschau	35,08	———
unter ——— Lemberg	38,44	———
über ——— Breslau	40,77	———
über ——— Wien	14,50	———
unter ——— Kremsmünster	84,09	———
über ——— Königsberg	99,58	———
über ——— Mailand	48,05	———
über ——— Paris	72,38	———
über ——— Strasburg	47,08	———
über ——— Padua	102,67	———

also der Beobachtungsort in Cracau durch:

Warschau übers Meer	100,87	Par. Toisen.
Lemberg ———	101,91	———
Breslau ———	102,74	———
Wien ———	103,25	———
Kremsmünster ———	103,66	———
Königsberg ———	102,10	———
Mailand ———	103,65	———
Paris ———	103,03	———
Strasburg ———	102,89	———
Padua ———	102,94	———

Mittel 102,70 Par. Toisen.

Die unmittelbare Berechnung der

Cracauer Beobachtungen gab 103,28

also im Mittel 102,99 Par. Toisen.

oder 618 Par. Fufs. Da aber, nach einem vor Jahren angestellten Nivellement der Beobachtungsort in Cracau 44 Par. Fufs über dem mittleren Spiegel der Weichsel gegenüber dem bota-

nischen Garten liegt, so folgt die vorher angeführte Erhöhung dieses mittleren Spiegels der Weichsel = 574 Par. Fufs.

Dr. J. K. Steczkowski.  
Adjunct. der Cracauer Sternwarte.

### Länge von Cracau.

#### 1. Bedeckung von $\gamma$ Cancri den 16<sup>ten</sup> Juni 1828.

Die Bedingungsgleichungen für die Längen habe ich folgendermaßen erhalten:

für Cracau	+ 70'1809 + 0,0315 $\alpha$ — 0,0106 $\delta$
Kremsmünster	+ 46,8804 + 0,0308 $\alpha$ — 0,0136 $\delta$
Prag Sternw.	+ 47,9847 + 0,0312 $\alpha$ — 0,0119 $\delta$
Modena	+ 33,9920 + 0,0297 $\alpha$ — 0,0177 $\delta$
Wien	+ 55,8801 + 0,0309 $\alpha$ — 0,0129 $\delta$

Die beiden Größen  $\alpha$  und  $\delta$  habe ich durch Modena und Wien bestimmt, indem ich die Länge des ersten Ortes + 34' 19" und die des zweiten + 56' 10" angenommen habe. Mit diesen Größen erhielt ich

die Länge von Cracau	+ 1 <sup>h</sup> 10' 27" 50
Kremsmünster	+ 47 10,71
Prag Sternw.	+ 48 16,26

#### 2. Bedeckung von $\mu$ Libræ den 13<sup>ten</sup> Juni 1829.

Die Gleichungen für die Längen sind folgende:

für Cracau	+ 69'6078 + 0,0247 $\alpha$ — 0,0289 $\delta$
Coburg	+ 33,6357 + 0,0245 $\alpha$ — 0,0297 $\delta$
Altona	+ 29,5472 + 0,0253 $\alpha$ — 0,0264 $\delta$
Hamburg	+ 29,5566 + 0,0253 $\alpha$ — 0,0264 $\delta$
Modena	+ 33,3962 + 0,0221 $\alpha$ — 0,0396 $\delta$

Hier habe ich die Größen  $\alpha$  und  $\delta$  durch Altona und Modena bestimmt, indem ich die Länge von Altona + 30' 25" gesetzt habe, mit welchen ich gefunden habe

die Länge von Cracau	+ 1 <sup>h</sup> 10' 29" 13
Coburg	+ 34 30,96
Hamburg	+ 30 31,56

#### 3. Bedeckung von $\eta$ Tauri den 2<sup>ten</sup> März 1830.

Ich erhielt

für Cracau	+ 70'5820 + 0,0444 $\alpha$ + 0,0332 $\delta$
Prag Sternw.	+ 48,4482 + 0,0446 $\alpha$ + 0,0286 $\delta$
Wien	+ 56,2837 + 0,0449 $\alpha$ + 0,0237 $\delta$

Durch Wien und Prag (+ 48' 20") wurden hier die Größen bestimmt und die Länge von Berlin + 44' 13" 85 angebracht, was auch in der Zukunft geschieht. Aus dieser Bedeckung folgt die Länge von Cracau + 1<sup>h</sup> 10' 30" 89.

#### 4. Bedeckung von $\nu$ Geminiæ den 3<sup>ten</sup> März 1830

Die Längen-Gleichungen sind folgende:

für Cracau	+ 70'6425 + 0,0297 $\alpha$ + 0,0182 $\delta$
Prag Sternw.	+ 48,4904 + 0,0297 $\alpha$ + 0,0154 $\delta$
Göttingen	+ 30,5580 + 0,0297 $\alpha$ + 0,0169 $\delta$
Wien	+ 56,3405 + 0,0296 $\alpha$ + 0,0122 $\delta$

Die Größen  $\alpha$  und  $\delta$  wurden durch Wien und Göttingen (+ 30' 25") bestimmt, mit denen fand ich dann

die Länge von Cracau	+ 1 <sup>h</sup> 10' 30" 51
Prag Sternw.	+ 48 20,46

#### 5. Bedeckung von $\iota$ Cancri den 28<sup>ten</sup> April 1830.

Ich fand folgende Gleichungen:

für Cracau	+ 70'4570 + 0,0270 $\alpha$ — 0,0218 $\delta$
Prag Sternw.	+ 48,2880 + 0,0265 $\alpha$ — 0,0258 $\delta$
Prag Neustadt	+ 48,2855 + 0,0265 $\alpha$ — 0,0258 $\delta$
Wien	+ 56,1240 + 0,0261 $\alpha$ — 0,0286 $\delta$
Kremsmünster	+ 47,1902 + 0,0259 $\alpha$ — 0,0309 $\delta$

Die unbekannten Größen  $\alpha$  und  $\delta$  habe ich durch Wien und Prag Sternwarte bestimmt und mit diesen bekam ich

die Länge von Cracau	+ 1 <sup>h</sup> 10' 30" 77
Prag Neustadt	+ 48 20,25
Kremsmünster	+ 47 14,24

Ich muß hier bemerken, daß es scheint, daß die Beobachtung in Wien statt 58' 26, 48' 86 gelesen werden müsse, und sie wurde hier so angenommen.

#### 6. Bedeckung von $\delta$ Leonis den 1<sup>ten</sup> Mai 1830.

Die Bedingungsgleichungen sind folgende:

für Cracau	+ 70'9056 + 0,0345 $\alpha$ + 0,0012 $\delta$
Wien	+ 56,5375 + 0,0337 $\alpha$ + 0,0017 $\delta$
Altona	+ 30,7848 + 0,0343 $\alpha$ + 0,0004 $\delta$

Mit den Längen von Wien und Altona habe ich die beiden Größen  $\alpha$  und  $\delta$  bestimmt und fand dann die Länge von Cracau

$$+ 1^h 10' 32^s 02.$$

#### 7. Bedeckung von $\eta$ Libræ den 4<sup>ten</sup> Juni 1830.

Cracau	+ 70'4594 + 0,0361 $\alpha$ + 0,0166 $\delta$
Modena E.	+ 34,3396 + 0,0335 $\alpha$ + 0,0041 $\delta$
A.	+ 34,6141 + 0,0276 $\alpha$ + 0,0244 $\delta$

Man sieht, daß der Austritt in Modena mißlungen ist; drückt man also  $\alpha$  in  $\delta$  aus und setzt dann  $\delta = 0$ , so folgt die Länge von Cracau

$$+ 1^h 10' 26^s 19.$$

#### 8. Bedeckung von $\epsilon$ Sextantis den 25<sup>ten</sup> Juni 1830

Cracau	+ 70'8052 + 0,0257 $\alpha$ — 0,0244 $\delta$
Wien	+ 56,3469 + 0,0247 $\alpha$ — 0,0274 $\delta$
Prag Sternw.	+ 48,6700 + 0,0251 $\alpha$ — 0,0263 $\delta$
Prag Neustadt	+ 48,6662 + 0,0251 $\alpha$ — 0,0263 $\delta$

Durch Wien und Prag Sternwarte erhielt ich die Länge von Cracau + 1<sup>h</sup> 10' 29" 66  
Prag Neustadt + 48 20,17

9. Bedeckung von (112) Sagitt. den 1<sup>ten</sup> Aug. 1830.

Cracau	+ 70° 5290 + 0,0293 $dx$ + 0,0147 $dd$
Kremsmünster	+ 47,2212 + 0,0293 $dx$ + 0,0134 $dd$
Altona	+ 30,4456 + 0,0292 $dx$ + 0,0187 $dd$

Mit Altona und Kremsmünster (+ 47° 11' 0") fand ich die Länge

von Cracau

$$+ 1^{\text{h}} 10' 29^{\text{s}} 60.$$

10. Bedeckung von  $\delta$  Sagitt. den 23<sup>ten</sup> Octbr. 1830.

Cracau	+ 70° 7000 + 0,0304 $dx$ + 0,0028 $dd$
Wien	+ 56,3920 + 0,0304 $dx$ + 0,0025 $dd$
Abo	+ 79,9575 + 0,0299 $dx$ + 0,0101 $dd$
Kremsmünster	+ 47,4281 + 0,0304 $dx$ + 0,0033 $dd$
Ober-Castel	+ 27,2555 + 0,0303 $dx$ + 0,0046 $dd$
A.	+ 27,5652 + 0,0303 $dx$ + 0,0052 $dd$

Die Größen  $dx$  und  $dd$  wurden durch Wien und Abo (+ 1° 19' 49") bestimmt, und mit denen folgt

Länge von Cracau	+ 1 <sup>h</sup> 10' 28" 72
Kremsmünster	+ 47 12,61
Ober-Castel (Mittel)	+ 27 9,92

11. Bedeckung von  $\eta$  Piscium den 22<sup>ten</sup> Decbr. 1830.

Cracau	+ 70° 7980 + 0,0329 $dx$ — 0,0063 $dd$
Wien	+ 56,4764 + 0,0328 $dx$ — 0,0061 $dd$

ich habe, wegen der zu geringen Coefficienten von  $dd$ , diese Größe = 0 gesetzt und  $dx$  durch Wien bestimmt, mit der ich dann die Länge von Cracau

$$+ 1^{\text{h}} 10' 29^{\text{s}} 65$$

erhalten habe.

12. Bedeckung von  $\nu$  Piscium den 20<sup>ten</sup> Jänner 1831.

Cracau	+ 70° 6832 + 0,0028 $dx$ + 0,0008 $dd$
Altona	+ 30,5242 + 0,0025 $dx$ + 0,0083 $dd$

Auf die nämliche Art, wie bei der vorigen Bedeckung fand ich die Länge von Cracau + 1<sup>h</sup> 10' 33" 95.13. Bedeckung von  $\delta$  Tauri den 19<sup>ten</sup> Febr. 1831.

Cracau	+ 70° 7040 + 0,0270 $dx$ + 0,0046 $dd$
Altona	+ 30,5771 + 0,0258 $dx$ + 0,0105 $dd$
Prag Sternw.	+ 48,5802 + 0,0269 $dx$ + 0,0049 $dd$
Prag Neustadt	+ 48,5279 + 0,0269 $dx$ + 0,0049 $dd$
Kremsmünster	+ 47,4239 + 0,0275 $dx$ + 0,0017 $dd$

Durch Altona und Prag Sternwarte, erhielt ich folgende Längen:

von Cracau	+ 1 <sup>h</sup> 10' 27" 59
Prag Neustadt	+ 48 17,26
Kremsmünster	+ 47 8,36

14. Bedeckung des Aldebaran den 23<sup>ten</sup> Octbr. 1831.

Cracau	E. + 70° 7096 + 0,0292 $dx$ — 0,0159 $dd$
A.	+ 70,6326 + 0,0210 $dx$ + 0,0297 $dd$
Prag	E. + 48,6688 + 0,0287 $dx$ — 0,0131 $dd$
Bogenhausen E.	+ 37,3016 + 0,0294 $dx$ — 0,0169 $dd$
A.	+ 37,3766 + 0,0202 $dx$ + 0,0338 $dd$
Modena	E. + 34,6162 + 0,0326 $dx$ — 0,0347 $dd$
A.	+ 34,5609 + 0,0151 $dx$ + 0,0620 $dd$

Cambridge	E. — 8,7222 + 0,0268 $dx$ — 0,0025 $dd$
A.	— 8,7470 + 0,0231 $dx$ + 0,0176 $dd$
Aberdeen	E. — 17,5020 + 0,0256 $dx$ + 0,0042 $dd$
A.	— 17,4957 + 0,0246 $dx$ + 0,0098 $dd$

Die beiden Größen  $dx$  und  $dd$  wurden hier durch den Ein- und Austritt in Aberdeen bestimmt, mit welchen dann die Längen folgten, im Mittel aus den Ein- und Austritten, außer Cracau, wo ich bloß den Eintritt genommen habe:

Länge von Cracau	+ 1 <sup>h</sup> 10' 29" 66
Prag	+ 48 28,19
Bogenhausen	+ 37 6,01
Modena	+ 34 21,81
Cambridge	— 8 58,34

15. Bedeckung des Aldebaran den 10<sup>ten</sup> Febr. 1832.

Cracau	E. + 70° 6108 + 0,0290 $dx$ — 0,0078 $dd$
A.	+ 70,6266 + 0,0227 $dx$ + 0,0248 $dd$
*) Wilna	E. + 92,0841 + 0,0959 $dx$ — 0,0086 $dd$
Mannheim	E. + 24,5786 + 0,0280 $dx$ — 0,0025 $dd$
A.	+ 24,6065 + 0,0243 $dx$ + 0,0194 $dd$
Aberdeen	E. — 17,6902 + 0,0268 $dx$ + 0,0058 $dd$
A.	— 17,6565 + 0,0264 $dx$ + 0,0056 $dd$
Greenwich	E. — 9,3317 + 0,0267 $dx$ + 0,0040 $dd$
A.	— 9,2417 + 0,0250 $dx$ + 0,0132 $dd$
Makerstown A.	— 19,3575 + 0,0261 $dx$ + 0,0072 $dd$

In Mannheim stimmt der Eintritt mit dem Austritte außer Cracau am besten, darum wurden die Größen  $dx$  und  $dd$  durch diesen Ort bestimmt, und damit erhielt ich die geographischen Längen im Mittel aus dem Ein- und Austritte so:

Länge von Cracau	+ 1 <sup>h</sup> 10' 31" 55
Wilna	+ 1 31 48,30
Aberdeen	— 0 17 45,87
Greenwich	— 9 22,84
Makerstown	— 19 26,99

16. Bedeckung des Regulus den 15<sup>ten</sup> Febr. 1832.

Cracau	E. + 70° 7284 + 0,0255 $dx$ — 0,0085 $dd$
Altona	E. + 30,6514 + 0,0254 $dx$ — 0,0088 $dd$
A.	+ 30,8230 + 0,0255 $dx$ — 0,0084 $dd$
Hamburg	E. + 40,8009 + 0,0254 $dx$ — 0,0088 $dd$
A.	+ 30,8902 + 0,0255 $dx$ — 0,0084 $dd$
Göttingen	E. + 30,7652 + 0,0251 $dx$ — 0,0099 $dd$
Kremsmünster E.	+ 47,1760 + 0,0248 $dx$ — 0,0111 $dd$
Mannheim	A. + 25,0971 + 0,0262 $dx$ — 0,0059 $dd$
Prag Sternw.	E. + 48,5544 + 0,0252 $dx$ — 0,0095 $dd$
Prag Neustadt E.	+ 48,4644 + 0,0252 $dx$ — 0,0095 $dd$

Werden hier die beiden Größen  $dx$  und  $dd$  durch Altona Eintritt und Göttingen bestimmt, so findet sich

die Länge von Cracau	+ 1 <sup>h</sup> 10' 28" 91
Hamburg	+ 30 36,04
Kremsmünster	+ 47 11,60
Mannheim	+ 24 33,91
Prag Sternw.	+ 48 24,64
Prag Neustadt	+ 48 19,24

\*) Die Beobachtung in Wilna rufe statt 59', 56" gelesen werden.

17. Bedeckung von 75 Tauri den 8<sup>ten</sup> März 1832.

Cracau	+ 70'4960 + 0,0285 $\alpha$ — 0,0023 $\delta$
Greenwich	— 9,2993 + 0,0289 $\alpha$ — 0,0045 $\delta$
Altona	+ 30,4249 + 0,0279 $\alpha$ + 0,0005 $\delta$

Als ich hier die Größten  $\alpha$  und  $\delta$  bestimmt hatte, fand ich die Länge von Cracau

$$+ 1^h 10' 27'' 94.$$

18. Bedeckung von 39  $\alpha$  Sagitt. den 4<sup>ten</sup> Sept. 1832.

Cracau	+ 70'5356 + 0,0316 $\alpha$ — 0,0114 $\delta$
Prag Sternw.	+ 48,3924 + 0,0316 $\alpha$ — 0,0097 $\delta$
Kremsmünster	+ 47,2400 + 0,0317 $\alpha$ — 0,0113 $\delta$

Durch Prag und Kremsmünster ergibt sich die Länge von Cracau

$$+ 1^h 10' 28'' 68.$$

(Der Beschluss folgt.)

## Vermischte Nachrichten.

In Rostock (Breite  $54^{\circ} 4' 45''$ , östl. Länge in Zeit von Paris  $= 39' 26''$ ) hat Herr Professor *Karsten* die Sonnenfinsternisse am 15<sup>ten</sup> März 1838 beobachtet,

Anfang  $4^h 16' 19'' 2$  m. Zl.

Ende  $4^h 54' 8'' 7$  —

Herr Professor *Karsten* hält diese Beobachtungen für scharf. Herr Doctor *Walter* beobachtete das

Ende  $4^h 54' 8'' 3$  m. Zl.

Von Herrn *Rönker* mitgetheilt.

Herr Hofrath *Gauss* hat in Göttingen nur den Anfang dieser Sonnenfinsternisse am

$3^h 59' 9'' 6$  m. Zl.

beobachten können. Von der Mitte der Finsternisse an wurde die Sonne durch Wolken unsichtbar gemacht. Hier in Altona war kein Moment zu beobachten.

Es ist mir ein gedrucktes Circular übersandt, in dem eine Versammlung der Italienschen Naturforscher, die künftig wie in Deutschland jährlich gehalten werden soll, für dies Jahr in Pisa vom 1<sup>sten</sup> bis 15<sup>ten</sup> October angekündigt wird. Die Leser dieser Blätter werden das Nähere aus dem beigefügten Schlusse ersuchen.

Seguendo pertanto il consiglio di molti, e l'approvazione di altri, né discostandosi punto dalla pratica tante felici in Germania, veniamo ad annunciarle che nel bel mezzo delle ferie autunnali del corrente anno 1839, dal dì primo al quindicesimo di Ottobre inclusive, sarà aperto in Pisa il Consegno dei Professori, e dei Cultori delle scienze fisiche in Italia, comprese la Medicina e l'Agricoltura sì utili alla umanità. E ciò conseguentemente ci affrettiamo di partecipare ai Professori delle scienze suddette nelle varie Università degli stati Italiani, ai Direttori degli studi delle medesime, ai Capi e Direttori dei Corpi del Genio, degli Orti botanici, dei Musei di storia naturale, ai Lincei di Roma, ai Membri dell'I. e R. Istituto di Milano, della R. Accademia delle scienze di Torino, della Società Italiana di Modena, dell'Istituto di Bologna, della R. Accademia delle scienze di Napoli, della Gioenia di Catania, e dell'I. e R. de' Georgofili di Firenze; non senza darne anche contezza altrettanto ai Capi delle più famose Accademie, affinché possano comunicare la notizia ai rispettabili Soci, che tra noi saranno meritamente accolti, esibendo i loro rispettivi diplomi.

Osservazioni dei nuovi Pianeti Vesta, Cerere, Giunone, e Pallade intorno alla loro opposizione col Sole fatte nell'I. R. Osservatorio di Padova negli Anni 1834, 1836, 1837 e 1838. p. 289. — Schreiben des Herrn Professors *Bianchi*, Directors der Sternwarte in Modena, an den Herausgeber p. 291. — Schreiben des Herrn Doctors *Steczkowski*, Adjuncten der Cracauer Sternwarte, an den Herausgeber. p. 299. — Vermischte Nachrichten, p. 303.

E superfluo il trattenerci qui sul vantaggio che può derivare dal commercio delle pecuniarie idee dirette in specie al perfezionamento delle arti, poichè Voi, Chiarissimo Signore, siete persona che questo mezzo è uno de' più efficaci a diffondere utili cognizioni, ed a conseguire sì nobile scopo.

Al Cattedratico Italiano, signore tra' presenti in Pisa nel primm giorno di Ottobre, toccherà aprire l'Adunanza della quale siederà Reggitore in tutta la sua durata; ed il Segretario sarà scelto di suo genio tra' Professori della Università di Pisa. L'Assemblea generale si dividerà il secondo giorno in quattro sezioni verranno suggerite dal riscontro della diverse branche scientifiche, cultivate dagli Interventi; ed i Membri di ciascuna sezione sceglieranno a loro ateo un Presidente ed un Segretario Italiano. L'Assemblea generale medesima deciderà nel settimo giorno come e dove sarà per adunarsi nell'anno futuro.

Al cominciare del mese di Agosto si spediranno nuove lettere circolari, dalle quali verranno indicate le provvidenze locali, non meno per gli alloggi che per tutta ciò che riguarda possa la commoda, lieta e pacifica dimora di tutti coloro che si compiaceranno d'intervenire.

Firenze, 28 Marzo 1839.

Principe *Carlo L. Bonaparte*.

Cav. *Vincenzo Antinori*,  
Direttore dell'I. e R. Museo di Firenze e Storia Naturale di Firenze

Cav. *Gio. Battista Anici*,  
Astronomo di S. A. S. R. il Granduca di Toscana

Cav. *Giuseppe Giugni*,  
Provveditor Generale dell'I. e R. Università di Pisa

Dott. *Paolo Savi*,  
Prof. di Storia Naturale nell'I. e R. Università di Pisa

Dott. *Maurizio Bufalini*,  
Prof. di Clinica e Medicina nell'I. e R. Arcivespiscopale di Firenze

Von Herrn *Rönker*, Director der Hamburger Sternwarte, sind mir folgende Beobachtungen der Sonnenfinsternisse vom 15<sup>ten</sup> Mai 1836 mitgetheilt:

	Ende.
Leipzig (Professor <i>Morbin</i> )	$5^h 34' 46'' 0$ m. Zl.
Mannheim (Hofrath <i>Nicola</i> )	$5^h 19' 21'' 6$ —
Warschan (Professor <i>Barowski</i> )	$6^h 19' 24'' 6$ —

S.

# ASTRONOMISCHE NACHRICHTEN.

N<sup>o</sup>. 379.

Observations astronomiques faites à l'observatoire académique de Vilna en 1834 n. s.  
(Eingesandt von Herrn Staatsrath v. Slawinski, Director der Wilnaer Sternwarte.)

## Uranus.

Position des étoiles de comparaison \*).

Pour 1834.	Noms des étoiles.	Asc. droite app.	Déclin. appar.
2392	Aquari 7	21 <sup>h</sup> 40' 44.3	—13° 29' 25.0
—	—	44,4	22,5
—	—	44,4	22,5
—	—	44,4	22,5
2622	33 Aquar. 4.6	57 30,1	—14 39 56,3
—	—	30,3	55,7
—	—	30,4	55,3
—	—	30,4	55,8

Pour 1834.	Noms des étoiles.	Asc. droite app.	Déclin. appar.
Octbr. 8	2622 33 Aquar. 4.5	21 <sup>h</sup> 57' 30.3	—14° 39' 56.8
— 28	—	30,0	58,2
Novbr. 17	—	29,7	59,6
Novbr. 17	—	32 33,2	46 45,1
Octbr. 29	2568 42 Capr. d' 6	33,1	45,6
Sept. 18	—	32,9	46,5
Octbr. 8	—	32,7	47,8
— 28	—	82,4	49,1
Novbr. 17	—	—	—

Position de la Planète.

Jour de l'ob- servation.	Temps moyen du passage au méridien.	Ascension droite appar.			Déclinaison appar.		
		Observée.	Berl. Astr. Jahrh. für 1834 **)	Différ.	Observée.	Berl. Astr. Jahrh. für 1834 **)	Différ.
Novbr. 2	13 <sup>h</sup> 6' 36.3	21 <sup>h</sup> 50' 52.77	21 <sup>h</sup> 50' 55.93	+ 3' 16	—13° 51' 47.0	—13° 51' 54.8	+ 7.8
— 3	2 31.9	44,19	47,10	2,91	52 36,3	52 41,7	5,4
— 4	12 58 26,9	35,10	38,20	3,10	53 19,2	53 28,7	9,5
— 9	38 2,6	49 50,21	49 53,03	2,82	57 17,0	57 26,6	9,6
— 10	33 57,3	40,78	43,89	3,11	58 7,9	58 14,6	6,7
— 11	29 52,3	31,71	34,72	3,01	58 55,1	59 2,7	7,6
— 12	25 47,3	22,60	25,59	2,99	59 44,6	59 50,4	5,8
— 21	11 49 1,1	47 59,33	48 2,37	3,04	—14 6 57,1	—14 7 2,8	5,7
— 22	44 55,9	49,99	47 53,03	3,04	7 44,9	7 50,3	5,4
— 25	32 40,6	22,37	25,36	2,99	10 2,0	10 12,4	10,4
— 26	28 35,8	13,41	16,24	2,83	10 51,3	10 59,0	8,7
— 30	12 15,7	46 36,94	46 39,99	3,05	13 56,9	14 3,9	7,0
— 31	8 11,4	28,48	31,03	2,55	14 46,0	14 49,4	3,4
Septbr. 1	4 6,2	19,20	22,12	2,92	15 31,2	15 34,5	3,3
— 2	0 1,4	10,27	13,26	2,99	16 10,6	16 19,4	8,8
— 8	10 35 34,5	45 18,65	45 21,47	2,82	20 34,3	20 40,1	5,8
— 9	81 30,1	10,18	13,10	2,92	21 16,1	21 22,0	5,9
— 11	23 22,1	44 53,91	44 56,61	2,70	22 39,7	22 44,3	4,6
— 12	19 18,1	45,74	48,50	2,76	23 18,4	23 24,6	6,2
— 15	7 6,6	21,97	25,00	3,03	25 17,7	25 21,2	3,5
— 17	9 58 59,4	6,48	9,43	2,95	26 34,1	26 38,0	3,9
— 19	50 52,8	43 51,71	43 54,52	2,81	27 51,2	27 51,2	0,0
— 22	38 43,7	30,28	33,23	2,95	29 29,2	29 35,5	6,3
— 24	30 38,4	16,70	19,44	2,74	30 40,1	30 42,6	2,5
— 26	22 33,2	3,33	6,29	2,96	31 38,2	31 46,2	8,0
— 28	14 29,2	42 51,04	42 53,66	2,62	32 38,1	32 47,0	8,9
— 30	6 25,3	38,93	41,66	2,73	33 35,1	33 44,5	9,4

\* Positions apparentes des étoiles de comparaison ont été calculées par les tables: New Tables for facilitating the computation of Proxessina, Aberration and Nutation of two thousand eight hundred and eighty-one principal fixed Stars. London 1827.

Les ascensions droites et les déclinaisons des planètes pour le temps des observations ont été calculées par interpolation.



Jour de l'observation.	Temps moyen du passage au méridien.	Ascension droite appar.			Déclinaison appar.		
		Observée.	Berl. Astr. Jahrb. für 1834.	Différ.	Observée.	Berl. Astr. Jahrb. für 1834.	Différ.
Octbr. 2	8 <sup>h</sup> 58' 22" 0	21 <sup>h</sup> 42' 27" 45	21 <sup>h</sup> 42' 30' 20	+ 2" 75	14° 34' 33" 7	14° 34' 39" 1	+ 5" 4
— 4	50 19,3	16,58	19,39	2,81	35 24,3	35 30,3	6,0
— 10	26 15,5	41 48,07	41 50,79	2,72	37 38,5	37 43,5	5,0
— 14	10 16,3	32,37	35,15	2,78	38 47,6	38 54,5	6,9
— 15	6 16,9	28,99	31,64	2,65	39 8,9	39 10,0	1,1
— 17	7 58 18,5	22,40	25,26	2,86	39 35,6	39 38,2	2,6
— 20	46 22,9	14,45	17,01	2,56	40 8,0	40 13,4	5,4
— 21	42 24,5	11,96	14,64	2,68	40 14,1	40 23,3	9,2
— 23	34 28,2	7,45	10,45	3,00	40 35,0	40 40,1	5,1
Novbr. 8	6 31 28,6	2,38	4,93	2,55	40 26,2	40 32,2	6,0
— 9	27 33,8	3,54	6,28	2,74	40 18,0	40 23,1	5,1
— 12	15 51,5	8,94	11,60	2,66	39 44,5	39 50,1	5,6

## M a r s.

Position des étoiles de comparaison.				Pour 1834.			
Pour 1834.	Noms des étoiles.	Asc. droite app.	Déclio. appar.	Octbr. 8	Noms des étoiles.	Asc. droite app.	Déclio. appar.
Sept. 18	775 7 Gemin. $\gamma$ 4.5	6 <sup>h</sup> 4' 52" 3	+22° 32' 53" 4	— 28	885 48 Gemin. m. 6	7 <sup>h</sup> 2' 22" 1	+24° 23' 56" 1
Octbr. 8	—	52,9	53,4	— 8	908 58 Gemin. 7	13 30,0	23 15 25,7
Sept. 18	804 18 Gemin. $\nu$ 5	19 7,0	30 18 40,5	— 28	—	30,6	24,5
Octbr. 8	—	7,6	40,3	—	916 63 Gemin. p 6	17 54,8	21 46 46,2
Sept. 18	831 27 Gemin. s 3	33 43,7	25 17 17,9	Novbr. 17	—	55,5	36,5
Octbr. 8	—	44,4	17,5	Déchr. 7	—	56,1	37,3
— 28	850 37 Gemin. 6	45 7,1	34 35,8	Octbr. 25	956 82 Gemin. B. 7	38 38,9	23 32 39,3
— 8	870 42 Gemin. $\omega'$ 6	7,7	33,1	Novbr. 17	—	39,6	37,7
— 28	—	52 19,0	24 26 43,1	—	976 2 Caucri $\omega'$ 6	50 54,7	+25 50 20,1
— 28	—	19,6	42,2	Déchr. 7	—	55,4	18,8

## Position de la Planète.

Jour de l'observation.	Temps moyen du passage au méridien.	Ascension droite appar.			Déclinaison appar.		
		Observée.	Berl. Astr. Jahrb. für 1834.	Différ.	Observée.	Berl. Astr. Jahrb. für 1834.	Différ.
Sept. 26	17 <sup>h</sup> 58' 2" 5	6 <sup>h</sup> 19' 57" 26	6 <sup>h</sup> 19' 57" 44	+ 0" 18	+23° 32' 56" 1	+23° 38' 2" 2	+ 6" 1
— 28	54 28,3	24 15,53	24 15,47	— 0,06	33 41,1	33 46,8	5,7
Octbr. 4	43 13,9	36 28,70	36 29,53	+ 0,83	34 5,3	34 14,2	8,9
— 14	22 34,3	55 21,16	55 21,87	+ 0,71	30 59,5	31 5,0	5,5
— 20	8 50,6	7 5 14,55	7 5 15,14	+ 0,59	28 13,9	28 23,9	10,0
Nov. 8	16 17 0,7	28 10,73	28 10,95	+ 0,22	29 10,8	29 17,2	6,4
— 9	18 51,8	28 57,80	28 58,15	+ 0,35	29 58,5	30 9,5	11,0
— 24	15 20 31,3	34 36,90	34 37,62	+ 0,72	58 84,4	58 42,7	8,3

## C é r è s.

## Position des étoiles de comparaison.

Position des étoiles de comparaison.				Pour 1834.			
Pour 1834.	Noms des étoiles.	Asc. droite app.	Déclio. appar.	Pour 1834.	Noms des étoiles.	Asc. droite app.	Déclio. appar.
Janv. 21	1293 54 Leon. 4.5	10 <sup>h</sup> 46' 36" 9	+25° 37' 59" 2	Mai 1	1221 36 Leon. $\zeta$ 4.5	10 <sup>h</sup> 7' 26" 7	+24° 14' 37" 6
Févr. 10	—	37,3	59,0	Févr. 10	1269 40 — min. 5.6	33 54,3	27 11 37,6
Mars 2	—	37,6	38 0,1	Mars 2	—	54,5	35,1
Févr. 10	1217 Leonis 7	5 21,5	21 59 20,1	— 22	—	54,5	43,8
Mars 2	—	21,7	20,9	Avril 11	—	54,4	45,8
Févr. 10	1221 36 Leon. $\zeta$ 4.5	7 27,0	24 14 30,8	Mai 1	—	54,1	—
Mars 2	—	27,2	31,9	Mars 2	1187 24 Leon. $\mu$ 3	9 43 18,7	26 47 5,7
— 22	—	27,1	33,7	— 22	—	18,6	7,7
Avril 11	—	26,9	55,7	Avril 11	—	18,4	9,8

## Position de la Planète.

Jour de l'ob- servation.	Temps moyen du passage au méridien.	Ascension droite appar.		Déclinaison appar.	
		Observée.	Berl. Astr. Jahrb. für 1834.	Observée.	Berl. Astr. Jahrb. für 1834.
Février 6	13 <sup>h</sup> 23 <sup>m</sup> 53 <sup>s</sup> .8	10 <sup>h</sup> 30 <sup>m</sup> 22 <sup>s</sup> .79	10 <sup>h</sup> 30 <sup>m</sup> 23 <sup>s</sup> .98	+ 1° 19'	+ 25° 59' 9.9
— 13	12 50 38,9	24 38,28	24 39,43	1,15	26 53 14,0
— 14	45 50,9	23 46,11	23 47,35	1,24	27 0 20,0
— 23	2 26,4	15 43,42	15 44,99	1,57	56 29,9
— 27	11 43 10,7	12 10,74	12 11,75	1,01	28 15 55,6
Mars 3	24 1,0	8 44,14			31 34,1
— 6	9 36,8	6 7,19			40 42,4
— 8	0 21,7	4 43,64			45 31,4
— 12	10 41 44,5	1 49,69			51 57,4
— 13	37 9,1	1 10,09			53 1,2
— 26	9 39 35,2	9 54 39,91			44 10,6
Avril 7	8 50 27,7	52 44,92			4 34,8
— 11	34 59,4	53 0,31			27 45 48,5
— 13	27 25,3	18,12			35 26,0

## V e s i a.

## Position des étoiles de comparaison.

Pour 1834.	Noms des étoiles.	Asc. droite app.	Déclin. appar.	Pour 1834.	Noms des étoiles.	Asc. droite app.	Déclin. appar.
Octbr. 28	443 35 Tauri 4	3 <sup>h</sup> 51 <sup>m</sup> 31 <sup>s</sup> .7	+ 12° 1' 13.2	Novbr. 17	481 — Tauri 6.7	4 <sup>h</sup> 11 <sup>m</sup> 35 <sup>s</sup> .9	+ 13° 27' 54.2
Novbr. 17	— — — —	32,0	13,0	Décbr. 7	417 — 30 Taurie 6	3 39 12,8	10 37 49,7
Décbr. 7	— — — —	32,2	12,4	— 27	— — — —	12,8	48,9
— 27	481 Tauri 6.7	4 11 35,6	13 27 54,3	— 27	350 — Ceti 6.7	2 18,3	12 25 1,7
						18,4	1,1

## Position de la Planète.

Jour de l'ob- servation.	Temps moyen du passage au méridien.	Ascension droite appar.		Déclinaison appar.	
		Observée.	Berl. Astr. Jahrb. für 1834.	Observée.	Berl. Astr. Jahrb. für 1834.
Novbr. 9	12 <sup>h</sup> 44 <sup>m</sup> 38 <sup>s</sup> .7	3 <sup>h</sup> 59 <sup>m</sup> 10 <sup>s</sup> .26	3 <sup>h</sup> 59 <sup>m</sup> 11 <sup>s</sup> .22	+ 0° 96'	+ 11° 47' 58.0
— 24	11 30 4,4	43 32,15	43 33,18	1,03	24 2,4
Décbr. 23	9 12 8,5	19 33,84			37 56,2
— 28	8 50 24,1	17 28,62			50 13,3

Observations de la Lune faites à la lunette méridienne de Ramsden de 6 pieds anglais de longueur.

Jour de l'ob- serv.	Noms des Astr.	Passage.	Mouv. diurne de la pen- dule.	La lunette exactement sur la mire.	Jour de l'ob- serv.	Noms des Astr.	Passage.	Mouv. diurne de la pen- dule.	La lunette exactement sur la mire.
Fév. 16	Lune 1 Bord	3 <sup>h</sup> 25 <sup>m</sup> 58 <sup>s</sup> .65	5	— 0° 80H. *) à 3 <sup>h</sup> 20'	Avril 19	32 α Leonis	8 <sup>h</sup> 4 <sup>m</sup> 12 <sup>s</sup> .00	4	— 0° 13 S. à 7 <sup>h</sup> 15' *)
	35 δ Tauri	42 59,64	5			41 γ Leonis	15 27,39	5	
	54 γ Tauri	4 1 51,64	5			Lune 1 Bord	40 16,38	5	
Avril 17	31 δ Cancr	6 34 54,45	5	— 0,10S. **) à 6 30		68 χ Leonis	9 0 57,30	5	
	Lune 1 Bord	48 53,93	5	(mire trembl.)		77 σ Leonis	17 2,32	5	
	77 ε Cancr	7 12 29,13	5		— 20	63 χ Leonis	8 57 1,42	5	— 0,30 — à 7 15
	4 λ Leonis	34 51,47	5			77 σ Leonis	9 13 6,28	5	
— 18	77 ε Cancr	8 32,99	5	— 0,17 — à 7 0		Lune 1 Bord	34 14,54	5	
	4 λ Leonis	30 55,51	5			5 β Virginis	42 30,12	5	
	Lune 1 Bord	45 8,03	5			9 α Virginis	57 9,84	5	
	32 α Leonis	8 8 6,94	5			15 η Virginis	10 11 47,16	4	
	41 γ Leonis	19 22,39	5						

\*) La pendule de Hardy est réglée sur le temps sidéral.

\*\*) La pendule de Shelton est réglée sur le temps moyen.

\*) La position de la lunette, lors du passage des étoiles de α Leonis et de γ Leonis est un peu douteuse.

Jour de l'observ.	Noms des Astres.	Passage.	Mouv. diurne de la pendule.	La lunette exactement sur la mire.
Avril 21	5 $\beta$ Virgin.	9 <sup>h</sup> 38' 33",86	5	— 0' 24 N. à 7 <sup>h</sup> 20'
	9 $\alpha$ Virgin.	53 13,56	5	
	15 $\gamma$ Virg.	10 7 51,16	5	
	Lune 1 Bord	27 27,34	5	
	43 $\delta$ Virgin.	43 34,90	5	
Mai 18	5 $\beta$ Virgin.	7 52 16,72	5	— 0,40 — à 7 10
	8 $\pi$ Virgin.	8 2 34,02	5	à 7 45
	Lune 1 Bord	17 6,58	5	(mire trembl.)
	29 $\gamma$ Virgin.	43 20,74	5	
	43 $\delta$ Virgin.	57 17,92	5	
— 19	43 $\delta$ Virgin.	53 21,70	5	— 0,39 — à 8 10
	Lune 1 Bord	9 8 20,26	5	
	67 $\alpha$ Virgin.	22 30,02	5	
	79 $\zeta$ Virgin.	32 15,30	5	
— 20	79 $\zeta$ Virgin.	28 18,82	5	— 0,46 — à 8 0
	Lune 1 Bord	10 0 16,28	5	(mire trembl.)
	100 $\lambda$ Virgin.	12 5,62	5	
	107 $\mu$ Virgin.	36 12,68	5	
	9 $\alpha^s$ Libræ	43 34,57	5	
— 21	100 $\lambda$ Virgin.	8 9,52	3	— 0,37 — à 8 30
	107 $\mu$ Virgin.	32 16,54	5	
	9 $\alpha^s$ Libræ	39 38,39	5	
	Lune 1 Bord	53 46,92	5	
	36 $\gamma$ Libræ	11 24 3,59	5	
	44 $\eta$ Libræ	32 32,03	5	
— 22	38 $\gamma$ Libræ	20 7,25	5	— 0,48 — à 8 20
	44 $\eta$ Libræ	28 35,27	5	
	Lune 1 Bord	49 16,99	5	
— 23	21 $\alpha$ Scorp.	12 9 1,78	5	— 0,49 — à 8 30
	Lune 2 Bord	49 3,91	5	
	58 D Oph.	13 23 4,23	5	
	46 Sagitt.	39 11,86	5	
Juin 19	10 $\alpha^s$ Scorp.	10 1 15,37	5	— 0,43 — à 7 50
	21 $\alpha$ Scorp.	22 45,12	5	(mire un peu tr.)
	Lune 1 Bord	32 23,11	5	
	36 A Oph.	11 38 32,52	5	
	40 $\rho$ Oph.	14 26,13	5	
— 21	22 $\lambda$ Sagitt.	12 13 2,10	5	— 0,60 — à 9 0
	Lune 2 Bord	29 54,16	5	
	41 $\pi$ Sagitt.	55 4,62	5	
	52 $\theta^s$ Sagitt.	13 21 43,03	5	
Juill. 31	87 $\alpha$ Tauri	4 23 54,95	5	— 1,30 H. à 4 20
	Lune 2 Bord	5 6 56,38	5	(mire un peu tr.)
	112 $\beta$ Tauri	13 18,71	4	à 5 0
				(mire trembl.)
Sept. 11	13 $\mu$ Sagitt.	18 0 21,57	5	— 1,41 — à 17 50
	Lune 1 Bord	25 54,00	5	(mire un peu tr.)
	41 $\pi$ Sagitt.	56 24,85	5	
— 13	63 $\epsilon$ Sagitt.	19 48 55,17	5	— 1,52 — à 17 55
	6 $\alpha^s$ Capr.	20 5 18,74	5	
	Lune 1 Bord	21 51,35	5	
	22 $\gamma$ Capr.	51 25,57	5	
	25 $\chi$ Capr.	55 31,19	5	

Jour de l'observ.	Noms des Astres.	Passage.	Mouv. diurne de la pendule.	La lunette exactement sur la mire.
Sept. 15	49 $\delta$ Capr.	21 <sup>h</sup> 34' 17",67	5	— 1' 52 H. à 15 <sup>h</sup> 10'
	33 $\alpha$ Aquar.	53 51,19	5	
	Lune 1 Bord	22 6 55,45	5	
	76 $\delta$ Aquar.	42 15,39	5	
— 17	20 $\mu$ Pisc.	23 35 47,08	5	— 1,20 — à 18 10
	Lune 2 Bord	43 29,08	5	
	12 $\alpha$ Ceti	0 17 56,66	5	
— 26	Lune 2 Bord	7 10 5,80	5	— 1,01 — à 7 5
	78 $\beta$ Gem.	31 18,49	5	
Oct. 10	62 $\epsilon$ Sagitt.	19 48 24,87	3	— 0,70 — à 18 50
	Lune 1 Bord	20 3 58,82	5	
	16 $\psi$ Capr.	32 14,20	5	
	m Capr.	39 15,22	5	
— 11	16 $\psi$ Capr.	32 12,90	5	— 0,70 — à 18 55
	m Capr.	39 14,26	5	
	Lune 1 Bord	59 12,30	5	
	43 $\pi$ Capr.	21 29 20,69	5	
	43 $\delta$ Capr.	33 50,13	5	
— 12	Lune 1 Bord	51 34,30	5	— 0,70 — à 18 50
	57 $\sigma$ Aquar.	22 17 48,30	5	
— 14	91 $\psi$ Aquar.	23 3 6,84	5	— 0,90 — à 18 50
	95 $\psi^s$ Aquar.	6 14,64	5	
	Lune 1 Bord	26 21,30	5	
	30 $\tau$ Piscium	49 22,05	5	
	33 $\pi$ Piscium	52 45,68	5	
— 15	30 $\tau$ Piscium	49 20,72	5	— 0,90 — à 18 55
	33 $\pi$ Piscium	52 44,44	5	
	Lune 1 Bord	0 11 16,22	5	
Nov. 8	34 $\zeta$ Capr.	21 12 44,50	5	— 0,80 — à 19 45
	39 $\alpha$ Capr.	23 20,39	5	
	Lune 1 Bord	33 23,97	5	
	45 D Aquar.	22 5 39,75	5	
	57 $\sigma$ Aquar.	17 25,26	5	
— 9	45 D Aquar.	5 38,97	5	— 0,80 — à 19 45
	57 $\sigma$ Aquar.	17 24,50	5	
	Lune 1 Bord	23 40,89	5	
— 11	92 $\chi$ Aquar.	23 3 47,64	5	— 0,67 — à 19 40
	20 $\alpha$ Pisc.	34 56,58	3	
	Lune 1 Bord	56 15,50	5	
— 12	13 Ceti	0 22 13,56	5	— 0,67 — à 19 50
	Lune 1 Bord	40 27,76	5	
	89 f Pisc.	1 4 46,12	5	
	98 $\mu$ Pisc.	17 1,26	5	
— 24	63 $\chi$ Leon.	10 51 48,68	5	— 0,67 — à 20 10
	Lune 2 Bord	14 38,40	5	
	5 $\beta$ Virgin.	11 37 24,60	5	
	8 $\pi$ Virgin.	47 43,60	4	
Déc. 12	Lune 1 Bord	2 38 28,00	5	— 0,69 — à 21 0
	57 $\delta$ Arietis	57 28,17	5	
	2 $\xi$ Tauri	3 13 30,18	5	

Remarque. Comme la lunette n'a pu être toujours vissée sur la mire méridienne invisible pendant la nuit, immédiatement avant les passages de la Lune, et que le ciel brumeux a souvent empêché de la vérifier même pendant le jour; nous marquons le moment de la vérification la plus proche qu'il ait été possible de faire.

**Occultations d'étoiles par la Lune et éclipses des satellites de Jupiter observées à la lunette de Dollond  
(grossissement de 80 fois.)**

		<i>Temps sidérat.</i>	
1834 u. a.	Févr. 15	Emeraon du deuxième satellite de Jupiter.....	à 5 <sup>h</sup> 30' 6" 1 médiocre.
	Juin 16	Immersion de 238 Virgins 7 sous le bord obscur de la Lune	à 17 51 46,6 bonne.
	Avril 12	de 8 $\beta$ Scorpion sous le bord obscur de la Lune { préc. 2 gr. à 18 17 43,4 bonne.	
		{ suiv. (5.6) gr. à 18 17 30,4 bonne.	
	Sept. 24	de 109 $\alpha$ Tauri (5.6) sous le bord éclairé de la Lune.....	à 0 9 17,2 médiocre.
	30	du deuxième satellite de Jupiter.....	à 5 37 19,5 dout.
	Nov. 8	du premier satellite de Jupiter.....	à 4 2 13,5 bonne.
	12	du deuxième satellite de Jupiter.....	à 0 6 45,6 très-dout.

Extrait des observations météorologiques faites pendant l'année 1834 à l'observatoire de Vilna, à 375,6 pieds de Paris au dessus du niveau de la mer.

Année 1834 souv. style.	Baromètre *)			Thermomètre **)			
	Maximum. p l	Minimum. p l	Moyenne. p l	Maximum. d	Minimum. d	Moyenne. d	Vent dominant.
Janvier	28 1,1 le 11.12	26 7,9 le 25	27 7,10	+ 4,5 le 24	-12,5 le 12	- 2,48	Sud.
Février	28 5,4 le 15	27 2,9 le 22	27 11,25	+ 5,4 le 28	-13,4 le 16	- 2,83	Nord-Ouest et Sud.
Mars	28 4,2 le 1	26 7,4 le 24	27 8,68	+ 8,7 le 6	- 6,6 le 14	+ 0,35	Nord-Ouest.
Avril	28 1,8 le 15	27 3,1 le 25	27 9,21	+ 16,7 le 30	- 1,5 le 4	+ 5,32	Nord-Ouest.
Mai	28 1,6 le 21	27 5,4 le 10	27 9,80	+ 22,6 le 20	+ 1,7 le 30	+ 12,07	Nord-Ouest.
Juin	28 1,1 le 24	27 6,2 le 5	27 9,72	+ 20,6 le 12	+ 1,0 le 2	+ 13,56	Nord-Ouest.
Juillet	28 1,8 le 28	27 8,9 le 15	27 10,98	+ 25,5 le 14	+ 7,0 le 1	+ 17,35	Nord-Ouest.
Avril	28 1,4 le 29	27 4,7 le 4	27 10,39	+ 25,1 le 3	+ 8,5 le 5	+ 17,37	Sud.
Septembre	28 1,7 le 17.18	27 3,6 le 23	27 10,29	+ 23,6 le 1	- 0,4 le 27	+ 11,82	Nord-Ouest.
Octobre	28 3,7 le 4	26 9,3 le 19	27 8,23	+ 15,0 le 10	- 0,8 le 29	+ 6,09	Sud et Ouest.
Novembre	28 4,1 le 20	27 0,5 le 1	27 8,08	+ 11,3 le 8	- 7,0 le 21	+ 1,55	Nord-Ouest et Sud.
Décembre	28 3,0 le 19	27 3,0 le 22	27 8,80	+ 5,3 le 7	- 9,8 le 24	- 0,17	Nord-Ouest.
Maximum	28 5,4 le 15	Février à 10 <sup>h</sup> du soir	+ 25,5 le 14	Juillet à 3 <sup>h</sup> du soir.			
Minimum	26 7,4 le 24	Mars à 10 <sup>h</sup> du soir	- 13,4 le 16	Février à 7 <sup>h</sup> du matin.			Vent dominant Nord-Ouest.
Moyenne	27 9,38		+ 6,67				

\*) Sa division est en pouces et lignes du pied de Paris.

\*\*) Divisé selon l'échelle de Réaumur.

**Observations astronomiques faites à l'observatoire Impérial de Vilna, pendant l'année 1835 n. s.**

**Jupiter.**

Position des étoiles de comparaison \*).

Pour 1835.	Noms des étoiles.	Asc. droite app.	Decl. appar.	Pour 1835.	Noms des étoiles.	Asc. droite app.	Decl. appar.
Janvier 1	435 32 Tauri 6	3 <sup>h</sup> 47' 7"	+ 21° 59' 52" 7	Mars 22	528 87 Tauri $\alpha$ 1	4 <sup>h</sup> 26' 26" 2	+ 16° 10' 19" 4
21	—	7,0	52,7	Octbr. 8	872 43 Gemin. $\gamma$ 4	6 54 20,7	20 48 20,7
Févr. 10	—	6,8	52,4	28	—	21,4	19,6
Janvier 1	486 Tauri 7	4 12 40,6	20 25 27,2	Novbr. 17	885 48 Gemin. $\mu$ 6	7 2 26,6	24 23 52,2
21	—	40,5	26,4	Décbr. 7	—	27,2	51,2
Févr. 10	—	40,2	25,3	Novbr. 17	870 42 Gemin. $\mu'$ 6	6 52 24,1	26 39,4
Mars 2	448 37 Tauri A' 5	3 54 56,2	21 37 28,6	Décbr. 7	—	24,7	38,7
Févr. 10	—	55,8	28,2	27	—	25,1	38,5
Mars 2	502 69 Tauri $\nu'$ 5	4 16 25,6	22 25 58,5	Novbr. 17	916 63 Gemin. $\rho$ 6	7 17 59,2	21 46 34,4
22	—	25,2	59,6	Décbr. 7	—	59,8	33,1
Févr. 10	528 87 Tauri $\alpha$ 1	26 26,9	16 10 20,2	—	900 55 Gemin. $\delta$ 3.4	10 19,1	22 16 44,0
Mars 2	—	26,6	19,8	27	—	19,6	43,3

\*) Positions apparentes des étoiles de comparaison ont été calculées par les tables: New Tables for facilitating the computation of Precession, Aberration and Nutation of 2881 principal fixed Stars. London 1827.

## Position de la Planète.

Jours de l'ob- servation.	Temps moyen du passage au méridien.	Ascension droite appar.			Déclinaison appar.		
		Observée.	Berl. Astr. Jahrb. für 1835.	Différ.	Observée.	Berl. Astr. Jahrb. für 1835.	Différ.
Janvier 8	5 <sup>h</sup> 50' 35".7	4 <sup>h</sup> 1' 2' 34	4 <sup>h</sup> 1' 3' 29	+ 0' 95	+ 19° 53' 59.4	+ 19° 54' 0.6	+ 1".2
— 11	38 6,2	0 20,45	0 21,40	0,95	—	—	—
— 12	33 57,7	7,86	9,05	1,19	52 22,3	52 25,1	+ 2,8
— 13	29 50,2	3 59 56,22	3 59 57,52	1,30	5,2	7,0	+ 1,8
— 15	21 39,0	35,86	36,98	1,12	51 37,0	51 37,9	+ 0,9
— 21	7 57 21,2	58 54,37	58 55,39	1,02	6,8	7,9	+ 1,1
— 22	53 21,3	50,35	51,42	1,07	10,2	11,4	+ 1,2
— 26	37 30,4	43,11	43,95	0,84	51,3	49,7	— 1,6
— 30	21 53,0	49,36	50,40	1,04	53 0,9	53 7,8	+ 6,9
— 31	18 0,9	53,15	54,11	0,96	34,5	33,3	— 1,2
Février 6	5 55 5,1	59 32,95	59 34,02	1,07	57 0,0	56 55,9	— 4,1
— 7	51 18,7	42,48	43,61	1,13	35,5	37 37,8	+ 2,3
— 9	43 48,7	4 0 4,38	4 0 5,13	0,75	59 9,9	59 8,3	— 1,6
— 10	40 4,4	15,99	17,11	1,12	55,6	56,8	+ 1,2
— 11	36 21,5	29,03	29,88	0,85	20 0 44,9	20 0 47,4	+ 2,5
— 27	5 38 33,8	5 36,77	5 38,01	1,24	18 39,4	18 43,4	+ 4,0
— 28	35 3,7	6 2,59	6 3,43	0,84	20 5,0	20 5,5	+ 0,5
Mars 4	21 8,0	7 50,81	7 51,80	0,99	25 48,7	25 48,8	+ 0,1
— 5	17 41,2	8 20,05	8 20,66	0,61	27 17,5	27 18,5	+ 1,0
— 7	10 48,6	9 19,32	9 20,68	1,36	30 25,3	30 21,8	— 3,5
— 11	4 57 41,1	11 25,87	11 26,78	0,91	36 43,9	36 39,5	— 4,4
— 21	23 49,9	17 22,74	17 23,68	0,94	53 34,5	53 33,2	— 1,3
Octobr. 8	17 56 19,5	7 4 35,48	7 4 35,92	0,44	22 30 46,2	22 30 47,5	+ 1,3
— 26	16 49 36,9	8 39,81	8 40,81	1,00	26 4,0	26 8,0	+ 4,0
Novbr. 20	15 9 33,5	5 53,35	6 54,01	0,66	32 0,5	31 59,2	— 1,3
— 24	14 52 44,2	5 48,10	5 49,23	1,13	34 16,9	34 13,1	— 3,8
— 27	39 59,2	4 50,62	4 51,02	0,40	36 9,8	36 7,6	— 2,2
Déchr. 10	13 43 32,2	6 59 29,70	6 59 30,24	0,54	45 53,1	45 51,4	— 1,7
— 11	39 7,2	0 47	1 30	0,83	46 40,9	46 40,8	— 0,1
— 23	12 45 35,7	52 38,85	52 39,09	0,24	56 47,0	56 52,8	— 5,8

## S a t u r n e .

## Position des étoiles de comparaison.

Pour 1835.	Noms des étoiles.		Asc. droite app.	Déclin. appar.	Pour 1835.	Noms des étoiles.		Asc. droite app.	Déclin. appar.
Janvier 1	1532 66 Virgin.	6	13 <sup>h</sup> 15' 56".8	— 4° 17' 48".0	Mai 1	1511 51 Virgin. $\delta$	4.5	13 <sup>h</sup> 1' 25".9	— 4° 39' 28".2
— 21	—	—	57,4	52,2	— 21	—	—	25,9	27,4
Févr. 10	—	—	58,0	55,8	Juin 10	—	—	25,7	25,7
Mars 2	—	—	58,5	58,6	Mars 22	1551 80 Virgin. $\lambda$	6	26 57,3	33 14,0
— 22	—	—	58,9	18 0,3	Avril 11	—	—	57,9	57,9
Avril 11	—	—	59,1	1,0	Mai 1	—	—	57,6	16,7
Janvier 1	1561 Virgin.	7	36 16,9	— 6 48 1,2	— 21	—	—	57,6	14,2
— 21	—	—	17,6	5,3	Juin 10	—	—	57,4	13,7
Févr. 10	—	—	18,2	9,0	Mai 21	1533 67 Virgin. $\alpha$	1	16 31,2	10 17 56,1
Mars 2	—	—	18,7	11,9	Juin 10	—	—	31,4	55,8
— 22	—	—	19,1	13,8	Mai 21	1531 65 Virgin.	6	14 47,6	— 4 3 36,4
Avril 11	—	—	19,3	15,0	Juin 10	—	—	47,8	35,8
Mars 22	1511 51 Virgin. $\delta$	4.5	1 25,7	— 4 39 27,3	Mai 21	1550 79 Virgin. $\zeta$	4	26 18,7	+ 0 15 1,1
Avril 11	—	—	25,9	27,6	Juin 10	—	—	18,6	2,7

## Position de la Planète.

Jour de l'observation.	Temps moyen du passage au méridien.	Ascension droite appar.			Déclinaison appar.		
		Observée.	Berl. Astr. Jahrb. für 1835.	Différ.	Observée.	Berl. Astr. Jahrb. für 1835.	Différ.
Janvier 12	18 <sup>h</sup> 0' 26",4	13 <sup>h</sup> 28' 11",61	13 <sup>h</sup> 28' 12",15	+ 0",54	-6° 34' 9",7	-6° 34' 30",9	+ 21",2
— 13	17 56 40,3	19,44	19,93	0,49	34 43,8	59,4	15,6
— 21	26 1,2	29 7,77	29 8,31	0,54	37 42,2	37 24,7	20,5
— 30	16 51 2,1	31,92	32,61	0,69	36 45,5	8,7	23,2
Février 4	31 22,1	31,30	32,16	0,66	35 16,5	35 38,3	21,8
— 28	14 54 45,7	27 16,56	27 17,02	0,46	15 32,5	15 55,1	22,6
Mars 21	13 27 42,7	22 46,88	22 47,52	0,64	-5 44 51,9	-5 45 15,3	23,4
— 25	10 56,8	21 44,44	21 45,01	0,57	38 9,3	38 31,8	22,5
— 28	12 58 20,9	20 56,08	20 56,57	0,49	32 55,4	33 21,5	26,1
— 29	54 8,3	39,37	40,17	0,80	31 14,0	31 39,0	25,0
— 30	49 56,3	23,26	23,65	0,39	29 35,4	29 54,7	19,3
Avril 1	41 31,3	19 49,99	19 50,29	0,30	26 2,8	26 25,3	22,5
— 4	28 53,0	18 59,22	18 59,73	0,51	20 47,0	21 10,1	23,1
— 8	12 1,6	17 51,26	17 51,55	0,29	13 49,4	14 9,7	20,3
— 10	3 35,7	17,07	17,53	0,46	10 18,5	10 42,0	23,5
— 14	11 46 43,7	16 8,56	16 8,86	0,30	3 26,3	3 46,6	20,3
— 19	25 39,8	14 43,98	14 44,11	+ 0,13	-4 55 1,4	-4 55 27,1	25,7
— 20	21 27,3	27,37	27,35	- 0,02	53 21,9	53 42,2	20,3
— 21	17 14,5	10,38	10,76	+ 0,38	51 38,7	52 4,5	15,8
— 22	13 2,1	13 53,86	13 54,09	0,23	50 6,5	50 26,7	20,2
— 26	10 56 13,5	12 48,74	12 48,93	0,19	43 45,7	44 7,8	22,1
— 30	39 27,1	11 45,80	11 45,88	0,08	37 44,2	38 7,0	22,8
Mai 1	35 15,8	30,04	30,53	0,49	36 15,6	36 39,9	24,3
— 2	31 4,6	14,96	15,37	0,41	34 52,2	35 14,3	22,1
— 4	22 43,1	10 45,24	10 45,63	0,39	31 59,6	32 27,7	28,1
— 5	18 32,6	30,62	31,00	0,38	30 41,7	31 6,3	24,6
— 8	6 2,4	9 48,03	9 48,53	0,50	26 45,8	27 12,4	26,6
— 9	1 52,6	34,06	34,55	0,59	25 31,1	25 56,8	25,7
— 10	9 57 43,5	20,92	21,31	0,39	24 18,0	24 44,5	26,5
— 13	45 17,0	8 41,96	8 42,32	0,36	20 53,0	21 15,9	22,9
— 16	32 52,4	4,95	5,62	0,67	17 37,3	18 3,6	26,3
— 17	28 45,0	7 53,49	7 53,91	0,42	16 39,1	17 3,0	23,9
— 22	8 11,4	6 59,30	6 59,68	0,38	12 7,1	12 31,0	23,9
— 26	8 51 50,0	21,43	21,73	0,30	9 8,3	9 30,4	22,1
— 28	43 41,3	4,55	4,63	0,08	7 50,1	8 12,9	22,8
— 29	39 37,2	5 56,30	5 55,56	0,26	17,2	7 37,5	20,3
Jun 2	23 24,9	27,56	27,75	0,19	5 15,2	5 38,1	22,9
— 3	19 22,4	20,99	2,40	0,41	4 49,5	4 13,9	24,4
— 4	15 20,4	14,88	15,38	0,50	28,7	4 52,0	23,3
— 5	11 19,2	9,57	9,71	0,14	6,1	32,3	26,2
— 7	3 16,9	4 59,12	4 59,47	0,35	3 33,6	3 59,9	26,3
— 8	7 59 16,4	54,43	54,86	0,43	47,2	47,2	24,6
— 9	55 16,4	50,36	50,60	0,24	14,2	36,7	22,5

## Mars.

## Position des étoiles de comparaison.

Pour 1835.	Noms des étoiles.	Asc. droite app.	Décl. appar.	Pour 1835.	Noms des étoiles.	Asc. droite app.	Décl. appar.
Janvier 1	792 Geminor. 7	6 <sup>h</sup> 14' 34",0	+25 7 41,8	Mars 2	817 49 Aurigæ c 6	6 <sup>h</sup> 24' 48",9	+28° 8' 38",2
— 21	—	34,1	42,4	— 22	—	48,5	38,8
Mars 2	—	33,7	43,8	Janvier 1	850 Gemin. 37 6	44 9,4	25 34 32,0
— 22	—	33,3	44,2	— 21	—	9,6	32,6
Janvier 1	817 49 Aurigæ c 6	24 49,8	28 8 35,2	Mars 2	—	9,4	34,4
— 21	—	49,2	36,1	— 22	—	8,9	35,1

Pour 1835.	Noms des étoiles.	Asc. droite app.	Décl. appar.	Pour 1835.	Noms des étoiles.	Asc. droite app.	Décl. appar.
Janv. 21	774 44 Auriga. $\alpha$ 4	6 <sup>h</sup> 4' 51' 5"	+29° 35' 4"	Mars 22	889 52 Gemin. $\alpha$ 7	7 <sup>h</sup> 4' 35' 8"	+25° 9' 56' 4"
Févr. 10	—	51,4	5,5	Avril 11	—	35,5	57,0
Mars 2	—	51,3	6,4	Mars 22	900 55 Gemin. $\delta$ 3.4	10 15,6	22 16 48,5
Janv. 21	784 Auriga. $\gamma$ 7	8 0,5	27 16 4,6	Avril 11	—	15,2	49,5
Févr. 10	—	0,4	5,5	Mars 22	933 69 Gemin. $\nu$ 5	25 45,0	27 15 29,6
Janv. 1	870 42 Gemin. $\alpha$ ' 6	52 21,3	24 26 40,5	Avril 11	—	45,0	30,4
— 1	—	21,5	40,9	Mars 22	947 77 Gemin. $\alpha$ 4	34 28,1	24 47 17,3
— 1	864 40 Gem. $\gamma$ ' 6.7	49 16,4	26 7 54,5	Avril 11	—	28,1	18,1
— 21	—	16,6	55,1	—	948 78 Gemin. $\beta$ 2	35 12,0	28 25 11,0
— 1	919 64 Gem. $\delta$ ' 5.6	7 19 3,0	28 27 5,0	Mai 1	—	11,7	11,4
— 21	—	3,2	5,8	Avril 11	1037 33 Cancr. $\eta$ 6	8 23 9,3	20 59 49,3
—	822 54 Auriga. $\epsilon$ 6	6 29 8,8	24 4,4	Mai 1	—	9,1	56,1
Févr. 10	—	8,7	5,5	Avril 11	1100 69 Cancr. $\nu$ 6	53 4,7	25 7 56,2
Mars 2	—	8,5	6,5	Mai 1	—	4,5	56,9
— 22	831 27 Gem. $\alpha$ 3	33 46,1	25 17 19,0	Avril 11	1153 4 Leonis $\lambda$ 4.5	9 22 18,1	23 41 36,1
Avril 11	—	45,8	19,3	Mai 1	—	17,8	37,5

## Position de la Planète.

Jour de l'observation.	Temps moyen du passage au méridien.	Ascension droite appar.			Déclinaison appar.		
		Observée.	Berl. Astr. Jahrb. für 1834.	Différ.	Observée.	Berl. Astr. Jahrb. für 1834.	Différ.
Janvier 2	12 <sup>h</sup> 4' 4' 1"	6 <sup>h</sup> 51' 23' 16"	6 <sup>h</sup> 51' 23' 51"	+ 0' 35"	+26° 47' 26' 3"	+26° 47' 38' 9"	+12' 6"
— 12	11 8 2,6	34 38,13	34 38,02	— 0,11	27 10 30,1	27 10 44,4	14,3
— 14	10 57 11,8	31 38,59	31 3,34	— 0,25	12 52,2	13 8,8	16,6
— 17	41 14,9	27 28,75	27 28,81	+ 0,06	15 17,7	15 30,6	12,9
— 21	20 39,3	22 35,04	22 35,95	— 0,09	16 16,3	16 32,1	15,8
— 22	15 38,2	21 30,68	21 30,79	+ 0,11	16 10,0	16 27,6	17,6
— 26	9 56 9,0	17 44,45	17 44,38	— 0,07	14 48,3	15 1,4	13,1
— 30	37 36,5	14 55,15	14 55,25	+ 0,10	15 55,3	12 6,1	10,8
Février 7	3 23,9	12 9,35	12 9,73	+ 0,38	2 59,5	3 12,7	13,2
— 10	8 51 31,6	4,82	5,34	+ 0,52	26 58 59,7	26 59 10,6	10,9
— 11	47 41,2	10,36	10,53	+ 0,17	57 35,1	57 46,1	11,0
— 27	7 52 52,9	20 17,92	20 18,44	+ 0,52	31 30,4	31 40,6	10,2
Mars 7	29 32,7	28 26,29	28 26,68	+ 0,39	15 38,1	15 44,1	6,1
— 11	18 41,7	33 19,67	33 19,99	+ 0,32	6 36,7	6 43,5	6,8
— 12	16 3,9	34 38,03	34 37,93	— 0,10	4 15,8	4 20,6	4,8
— 21	6 53 32,1	47 34,51	47 34,50	— 0,01	25 40 4,1	25 40 11,0	6,9
— 28	37 18,8	58 51,38	58 51,58	+ 0,20	17 23,2	17 24,8	1,6
— 29	35 4,5	7 0 35,30	7 0 33,76	+ 0,46	13 46,9	13 49,1	+ 2,2
Avril 4	22 2,4	11 8,39	11 8,15	— 0,24	24 50 30,8	24 50 28,9	— 1,9
— 5	19 55,2	12 57,41	12 57,31	— 0,10	46 11,0	46 16,1	+ 5,1
— 6	17 49,2	14 47,61	14 47,58	— 0,03	41 54,5	41 57,0	2,5
— 12	5 29,6	26 5,33	26 5,51	+ 0,18	13 54,4	13 59,9	5,5
— 16	5 57 31,3	33 51,84	33 52,06	+ 0,22	23 53 14,2	23 53 17,8	+ 3,6
— 22	45 52,7	45 50,43	45 50,55	+ 0,12	19 2,7	19 1,8	— 1,4
— 25	40 10,3	51 57,00	51 57,28	+ 0,28	0 22,2	0 23,3	+ 1,1

Stavinski.

## Inhalt.

Observations astronomiques faites à l'Observatoire académique de Vilna en 1834 n. s. (Eingesandt von Herrn Staatsrath v. Stavinski Director der Wilnaer Sternwarte.) p. 305.  
 Observations astronom. faites à l'Observatoire Impériale de Vilna pendant l'année 1835 n. s. Von demselben. p. 313.

## Ueber Sternschnuppen.

Von Herrn Geh. Rath und Ritter Bessel.

Seit dem Ende des vorigen Jahrhunderts haben die Sternschnuppen das wissenschaftliche Interesse von zwei verschiedenen Seiten erregt: im Jahre 1798 geriethen *Brandes* und *Benzenberg* auf die glückliche Idee, sie von zwei Standpunkten aus zu beobachten und dadurch ihre Höhen über der Erde zu bestimmen, und am 11<sup>ten</sup> Novbr. 1799 bemerkte *Alexander von Humboldt*, der sich damals in Camana befand, eine sehr ungewöhnliche Menge dieser Erscheinungen, welche sich in beinahe gleichen Richtungen hewegte und deren Sichtbarkeit, nicht allein an seinem Beobachtungsorte, sondern auf einem großen Theile der Erde, er durch die Aufsuchung fremder, gleichzeitiger Nachrichten, in das hellste Licht setzte. Dasselbe Ereigniß ist später, wiederholt und in nahe jährlicher Periode, beobachtet worden und hat, mit Recht, die größte Aufmerksamkeit auf sich gezogen. So wie unsere Ansichten von den Sternschnuppen, durch *Brandes* und *Benzenberg* geworden sind, muß man geneigt sein, eine periodische Erscheinung derselben in ungewöhnlich großer Zahl, als zum Weltssysteme selbst gehörig zu betrachten. Die Aussicht auf eine Entdeckung dieser Art, welche die Sternschnuppen zu eröffnen scheinen, macht sie zu Gegenständen der Aufmerksamkeit des Astronomen und fordert diesen auf, auch ihre nähere Untersuchung als nicht ausser seinem Kreise liegend zu betrachten. Daher haben sie auch das Interesse, nicht nur von *Humboldt*, *Brandes* und *Benzenberg*, sondern auch von *Obers* und *Arago* erregt, wie man aus der anhaltenden Sammlung des letztern, von Nachrichten über ihr Erscheinen, und aus den Aufsätzen ersieht, wodurch der erstere neuerlich die Leser des *Schumacherschen* Jahrbuches erfreuet und belehrt hat.

*Brandes*, von mehreren seiner wissenschaftlichen Freunde unterstützt, hat die schon erwähnten, früheren Beobachtungen der Sternschnuppen von verschiedenen Standpunkten aus, im J. 1823, nach einem ausgedehnteren Plane fortgesetzt, und ist dadurch nicht allein zu einer Bestätigung des früheren Resultats gelangt, daß sie oft in Höhen über der Erde gesehen werden, bis zu weichen man die Atmosphäre sich nicht erstreckend anzunehmen pflegt; sondern er hat auch aus den Beobachtungen gefolgert, daß ihre Bewegung sie nicht immer

der Erde nähert, daß vielmehr die Fälle, in welchen sie sich von derselben entfernen, nicht selten sind. Beide Resultate erscheinen auffallend: das erste, weil man nicht erwarten konnte, einen, sich im Schatten der Erde, also im dunkeln Raume und zugleich außerhalb der Atmosphäre, heftlichen Körper, hellleuchtend werden zu sehen; das andere, weil das Aufsteigen von Sternschnuppen, Vorstellungen von der Natur dieser Erscheinungen, welche man, aus anderen Gründen, zu verfolgen geneigt sein muß, zu widersprechen scheint. Wenn sie nämlich als körperlich, und daher der Anziehung der Erde unterworfen betrachtet werden, so folgt daraus, daß die krummen Linien, welche sie beschreiben, ihre Höhlungen der Erde zuwenden, woraus klar wird, daß sie beobachteter Theil derselben, dessen Richtung durch den Erdkörper führend erkannt wird, zu einer Bahn gehört, welche nicht bei ihm verheißgeführt haben, oder verbleiben kann. Dann erscheint also das Aufsteigen der Sternschnuppen als die Folge einer, sie von der Erde entfernenden Wurfgeschwindigkeit, deren Ursache man nicht anzugeben weiß. Zwar hat *Chladny* diese in einer Reflexion sehr großer Geschwindigkeiten, von ursprünglich entgegengesetzter Richtung, von der Atmosphäre der Erde, gesucht; aber die Möglichkeit einer solchen Wirkung der Atmosphäre, ist eben so wenig durch einen Versuch veranschaulicht, als durch eine Theorie gerechtfertigt worden, weshalb ich keinen Grund sehe, sie für wahrscheinlich zu halten. Dieses Urtheil über *Chladny's* Meinung haben schon *Brandes* und *Obers* ausgesprochen; der letztere bemerkt, daß das Aufsteigen die Folge einer Zerapregung der Sternschnuppen sein kann, wovon einige Feuerkugeln wirklich unzweideutige Beispiele darbieten.

Indessen darf auch dem unerwarteten, aus Beobachtungen gefolgerten Resultate, die Annahme nicht verweigert werden, wenn seine Sicherheit nicht bestritten werden kann. Kann man zu der Ueberzeugung gelangen, daß die angeführten Resultate unzweifelhafte Folgen der Beobachtungen sind, so werden sie Grundlagen der ferneren Versuche, die Natur der Sternschnuppen näher kennen zu lernen. Man hemerkt sehr leicht, daß diese Versuche von wesentlich verschiedenen Anfängen ausgehen müssen, jenachdem die Wahrheit der von





schatzen; man wird vielmehr erwarten, den Punkt, wo eine Sternschnuppe zuerst bemerkt wird, noch weniger sicher bestimmt zu sehen. Häufig zeigen sich die Sternschnuppen so große Parallaxen, daß Beobachtungsfehler von einer ähnlichen Größe wenig in Betracht kommen, wenn es sich nicht um genaue specielle Bestimmungen, sondern um die Erkenntniß des Art der Bewegung im Allgemeinen handelt; allein unter den von Brandes berechneten Fällen sind auch mehrere, in welchen eine gründliche Untersuchung erforderlich gewesen wäre, um beurtheilen zu können, in wiefern das durch sie abgelegte Zeugniß, trotz der Größe der Beobachtungsfehler, als unverdächtig angesehen werden darf.

Für oder wider die Gleichzeitigkeit der Erscheinung und der Verschwindung einer Sternschnuppe, an zwei Beobachtungsorten, welche, meiner oben ausgesprochenen Ansicht nach, nicht ohne Prüfung angenommen werden darf, können die Beobachtungen selbst ein Urtheil begründen. Man bemerkt zwar leicht, daß in Fällen, in welchen die Bewegungslinie der Sternschnuppe und die Standpunkte der Beobachter in Einer Ebene liegen, die Beobachtungen nichts für oder wider ihre Gleichzeitigkeit lehren können; aber in allen anderen Fällen muß eine Ungleichzeitigkeit sich dadurch in den Beobachtungen verrathen, daß sie den Durchschnitt der nach den Erscheinungs- oder Verschwindungspunkten gelegten Gesichtslinien unmöglich macht. Sucht man, wenn dieses eintritt, die kleinsten Aenderungen auf, durch deren Anbringung an die, an zwei Standpunkten beobachteten Oerter des Erscheinens oder Verschwindens, die Gesichtslinien zum Durchschneiden gelangen, und findet man diese Aenderungen größer, als daß man sie aus den Beobachtungsfehlern entstehend ansehen könnte, so wird dadurch der Annahme der Gleichzeitigkeit entscheidend widersprochen; findet man sie immer in dem Umfange der Beobachtungsfehler, so erhält hierdurch diese Annahme die Wahrscheinlichkeit, auf welche allein sich ihre weitere Verfolgung stützen darf. Ich werde im Folgenden die zu dieser Untersuchung über die Gleichzeitigkeit erforderlichen Rechnungsvorschriften mittheilen. Ich verdanke dem Eifer des Herrn Professors Feldt für alles, was diesen Gegenstand betrifft, ihre Anwendung auf die Beobachtungen, welche Brandes zusammengebracht hat \*): aus den mitzutheilenden Resultaten seiner Rechnung wird man sehen, daß unter 48 Paaren correspondirender Beobachtungen der Verschwindungspunkte von Sternschnuppen sich 23 befinden, welche mit der Voraussetzung der Gleichzeitigkeit nur durch Aenderungen, an jede ihrer Angaben angebracht, vereinbar werden, welche über zwei Grade und bis zu 7° 18' steigen. Wenn man die Kenntniß der

mittleren Unvollkommenheit der Beobachtungen nicht entbehrt, so würde dieses Resultat der Rechnung wahrscheinlich für oder wider die Voraussetzung entscheiden; da man sie aber entbehrt, so kann es nur mit einer individuellen Ansicht von der Sicherheit der Beobachtungen verglichen werden. Obgleich die meiste ist, daß Fehler von solcher Größe wenigstens nicht zu den unvermeidlichen gehören, so glaube ich doch, daß nur neue, gut angeordnete und genügend untersuchte Beobachtungen zu einem unbedingten Urtheile über die Rechtmaßigkeit der Voraussetzung berechtigen werden. Indessen hat sie in dieser Untersuchung, wenn keinen entscheidenden Widerspruch, doch auch keine Rechtfertigung gefunden; und noch weniger darf man sie, in Beziehung auf die Punkte des ersten Erscheinens der Sternschnuppen, als gerechtfertigt betrachten, indem weder die Plötzlichkeit dieses Erscheinens behauptet worden, noch wahrscheinlich ist, daß es von verschiedenen Beobachtern in einem und demselben Momente wahrgenommen wird. Obgleich die Abweichungen der Beobachtungen von der Voraussetzung der Gleichzeitigkeit des Verschwindens als sehr groß erkannt worden sind, so ist dennoch ein Grund vorhanden, welcher gerade die größten der Bemerkung entzogen haben kann, und wenn noch größerer, als die aus der Untersuchung hervorgegangenen, vorgekommen sind, so ihr wirklich entzogen haben muß: indem Brandes nämlich kein anderes Kennzeichen der Identität einer correspondirend beobachteten Sternschnuppe anwenden konnte, als das näherungsweise eintretende Durchschneiden der Gesichtslinien, muß er alle die Sternschnuppen, als nicht-identisch, aus seinem Verzeichnisse ausgeschlossen haben, bei welchen die Wirkung einer Ungleichzeitigkeit sehr bemerkbar hervortrat. Um eine vollständige Einsicht in diese Materie zu erlangen, muß man also neue Beobachtungen machen, über deren Anordnung ich, später unten, meine Meinung sagen werde.

Nach dem dargestellten Ausfalle der Untersuchung über die Gleichzeitigkeit des Verschwindens der Sternschnuppen, darf ihre weitere Untersuchung nicht auf diese Voraussetzung gegründet werden. Es ist klar, daß zwei Gesichtslinien den Ort der Sternschnuppe nicht bestimmen können, wenn sie nicht zum Durchschneiden gelangen; diese Schwierigkeit hat sich auch Brandes nicht verborgen, und er hat sie nur dadurch beseitigen können, daß er die Erscheinung an den Punkt des Raumes versetzt hat, welcher der, beiden Gesichtslinien am nächsten kommende ist. Hätte er auch die Aenderungen aufgesucht, welche den beobachteten Oertern hinzugesetzt werden müssen, damit dieser Punkt der der Sternschnuppe wird, so würde man sehen, wie weit man sich, in jedem einzelnen Falle, von den Beobachtungen entfernen muß, um die Sternschnuppe wirklich daselbst anzunehmen; dieses hat er aber unterlassen, und damit seinen Resultaten

\* \*) Beobachtungen über Sternschnuppen, Leipzig 1825.

die Stütze des ihnen zu schenkenden Zutrauens entzogen. Ich habe dagegen versucht, aus den vorhandenen Beobachtungen Resultate zu ziehen, welche nicht auf der Voraussetzung ihrer Gleichzeitigkeit beruhen. Indem die zu *verschiedenen* Zeiten nach einer Sternschnuppe gelegten Gesichtslinien nur durch eine Annahme über die Natur der Linie, welche sie beschreibt, in Verbindung miteinander gebracht werden können, so muß eine solche Annahme, statt der zu verlassenden Voraussetzung der Gleichzeitigkeit, in die Betrachtung gezogen werden. Da der Verlauf der Erscheinung einer Sternschnuppe immer von sehr kurzer Dauer ist, so kann im Allgemeinen nicht bezweifelt werden, daß die von ihr, während dieser kurzen Zeit beschriebene Linie nicht erheblich gekrümmt ist; daselbe gilt von den Bewegungen jedes der Punkte, von welchen man sie sieht, sowohl von der gemeinschaftlich mit der Erde selbst fortschreitenden, als von der drehenden um die Erdaxe. Die Folge hiervon ist, daß die Sternschnuppen größte Kreise an der Himmelskugel beschreiben, womit in der That die Beobachter im Allgemeinen übereinstimmen, wenn sie auch in einzelnen Fällen Abweichungen vom größten Kreise, oft mit plötzlichen Lichtveränderungen, vielleicht Explosionen, verbunden bemerkt haben. Ich habe daher die scheinbaren Bahnen der Sternschnuppen als größte Kreise angenommen und auf diese Annahme die ferneren Resultate gegründet. Die einzelnen Fälle, welche ich eben erwähnt habe, müssen von der, sich auf diese Annahme gründenden Behandlungsart der Beobachtungen ausgeschlossen werden.

Indem, dieser Annahme gemäß, durch den Standpunkt jedes Beobachters und durch die Bewegungslinie der Sternschnuppe, eine Ebene gelegt werden kann, bestimmt die Durchschnittslinie zweier, sich auf zwei Standpunkte beziehenden Ebenen, im Allgemeinen (d. h. mit Ausnahme des Falles, in welchem sie parallel sind, in welchem also keine Durchschnittslinie vorhanden ist) die Linie, in welcher die Sternschnuppe sich bewegt hat. Die Gesichtslinien, bis zu dieser geraden Linie fortgesetzt, bestimmen ihre Oerter im Raume, also auch ihre Entfernungen von der Erde, und damit ihr Fallen oder Steigen. Die Aenderungen dieser Resultate, welche aus Aenderungen der beobachteten Oerter am Himmel, von angenommenen Größen, entstehen, können gleichfalls bestimmt werden. Dieser Idee folgend, habe ich Vorschriften für die Berechnung der beobachteten Sternschnuppen entworfen, deren nicht ohne erhebliche Arbeit auszuführende Anwendung auf alle vorhandenen Beobachtungen derselben, ich Herrn Professor *Feldt* gleichfalls verdanke. Es ist daraus hervorgegangen, daß zwar das eine der von *Brandes* geltend gemachten Resultate, nämlich die sehr oft stattfindende Größe ihrer Höhen über der Erdoberfläche, nicht bezweifelt werden kann; daß aber das andere, nämlich ihr Aufsteigen von der

Erde, aus den vorhandenen Beobachtungen nicht erwiesen werden kann.

Nachdem ich nun den Gang des Folgenden im Allgemeinen dargestellt habe, wende ich mich zu dem Einzelnen der Untersuchung.

## 1.

Ich bezeichne die Geradeaufsteigung und Abweichung eines Punktes der scheinbaren Bahn der Sternschnuppe am Standpunkte *O* durch *a* und *d*, am Standpunkte *O'* durch *a'* und *d'*, und werde aufsuchen, inwiefern diese Punkte mit der Voraussetzung ihrer Gleichzeitigkeit vereinbar sind, so wie auch die kleinsten Aenderungen, durch deren Anbringung sie damit vereinbar werden.

Indem im Falle der Gleichzeitigkeit die beiden Gesichtslinien von *O* und von *O'* aus, sich in einem Punkte durchschneiden, da wo die Sternschnuppe sich befindet, so liegen die diese Gesichtslinien bestimmenden Punkte der Himmelskugel, und der Punkt, welcher der Richtung von *O* nach *O'* entspricht, in einem größten Kreise. Wenn daher die Geradeaufsteigung und Abweichung des letzteren Punktes durch *A* und *D* bezeichnet werden, so erlangt man die, die Bedingung der Gleichzeitigkeit ausdrückende Gleichung:

$$0 = \tan d \sin(a-A) - \tan d' \sin(a'-A) + \tan D \sin(a-a') - [1]$$

welche Gleichung also durch die beobachteten *a*, *d*, *a'*, *d'* erfüllt werden muß, wenn die Beobachtungen gleichzeitig und fehlerfrei sind. Allein selbst im Falle der Gleichzeitigkeit wird sie nicht wirklich erfüllt werden, da die Fehler der Beobachtungen ihre Erfüllung verhindern; ihre Anwendung hat also kein Interesse, sondern dieses muß in der Bestimmung der Aenderungen gesucht werden, welche an die beobachteten Oerter der Sternschnuppe angebracht werden müssen, damit sie der Bedingung der Gleichzeitigkeit entsprechen.

Wenn in der 2<sup>ten</sup> Figur *a* den am Standpunkte *O*, *b* der am Standpunkte *O'* beobachteten Ort der Sternschnuppe bedeuten, *c* den vom ersten Standpunkte gesehenen Ort der zweiten, so fordert die Annahme der Gleichzeitigkeit, daß *cab* in einem größten Kreise liegen. Ist dieses nicht der Fall, und legt man durch die Mitte *m* des *a* und *b* verlaufenden größten Kreises, den größten Kreis *cd*, so sind die offenbar einander gleichen Entfernungen der Punkte *a* und *d* von ihm, die *kleinsten* Aenderungen, wodurch diese Punkte mit der Annahme der Gleichzeitigkeit vereinbar werden. Unter verschiedenen, sich leicht darbietenden Arten, diese *kleinsten* Aenderungen durch Rechnung zu finden, kann man die folgende wählen.

Zuerst berechnet man die Entfernungen *ca* und *cb*, welche ich durch *s* und *σ* bezeichnen werde, und die Positionen

winkel von  $a$  und  $b$  am Punkte  $c$ , für welche ich die Zeichen  $p$  und  $\pi$  annehme, was durch die Formeln:

$$\begin{aligned} [2] \dots \begin{cases} \cos s &= \sin D \sin d + \cos D \cos d \cos(a-A) \\ \sin s \cos p &= \cos D \sin d - \sin D \cos d \cos(a-A) \\ \sin s \sin p &= \cos d \sin(a-A) \end{cases} \\ [3] \dots \begin{cases} \cos \sigma &= \sin D \sin d + \cos D \cos d \cos(a-A) \\ \sin \sigma \cos \pi &= \cos D \sin d - \sin D \cos d \cos(a-A) \\ \sin \sigma \sin \pi &= \cos d \sin(a-A) \end{cases} \end{aligned}$$

oder vielmehr durch eine zweckmäßige Einführung von Hülfs-winkeln in dieselben (bei welcher ich mich weder hier, noch in der Folge aufhalten werde) geschieht. Bezeichnet man den Positionswinkel von  $m$  im Punkte  $c$ , durch  $M$ , und die beiden gleichen Entfernungen der Punkte  $a$  und  $b$  von  $c$  durch  $f$ , so hat man:

$$[4] \dots \sin f = \sin s \sin(p-M) = \sin \sigma \sin(M-\pi)$$

woraus

$$[5] \dots \tan g \left\{ M - \frac{1}{2}(\pi-p) \right\} = \frac{\tan g \frac{1}{2}(\sigma-\pi)}{\tan g \frac{1}{2}(\sigma+\pi)} \tan g \frac{1}{2}(\pi-p)$$

folgt. Nachdem  $s, p, \sigma, \pi$  durch die Formeln [2] und [3] gefunden sind, berechnet man  $M$  aus [5] und endlich das gesuchte  $f$  aus [4]; wendet man beide Ausdrücke des letzteren an, so controllirt man dadurch die Richtigkeit der Berechnung von  $M$ .

Es ist noch nöthig, daß ich die Formeln auführe, durch welche  $A$  und  $D$  gefunden werden. Bezeichnet man die sogenannte verbesserte Breite des Punktes  $O$  durch  $\phi$ , seine Sternzeit, in Kreistheile verwandelt, durch  $\mu$ , seine Entfernung vom Mittelpunkte der Erde durch  $h$ ; die ähnlichen Größen für den Punkt  $O'$  durch  $\phi', \mu', h'$ ; die Entfernung der beiden Punkte voneinander, durch  $R$ , so hat man:

$$R \cos D \cos A = h' \cos \phi' \cos \mu' - h \cos \phi \cos \mu$$

$$R \cos D \sin A = h' \cos \phi' \sin \mu' - h \cos \phi \sin \mu$$

$$R \sin D = h' \sin \phi' - h \sin \phi$$

oder,

$$R \cos D \cos \left\{ A - \frac{\mu' + \mu}{2} \right\} = (h' \cos \phi' - h \cos \phi) \cos \frac{\mu' - \mu}{2}$$

$$R \cos D \sin \left\{ A - \frac{\mu' + \mu}{2} \right\} = (h' \cos \phi' + h \cos \phi) \sin \frac{\mu' - \mu}{2}$$

$$R \sin D = h' \sin \phi' - h \sin \phi$$

und, da  $\mu' - \mu$  der, östlich positiv genommene Mittagsunterschied ( $= m$ ) des Punktes  $O'$ , von  $O$  gezählt, ist:

$$\begin{aligned} [6] \dots \begin{cases} R \cos D \cos \left\{ A - \frac{1}{2}m - \mu \right\} &= (h' \cos \phi' - h \cos \phi) \cos \frac{1}{2}m \\ R \cos D \sin \left\{ A - \frac{1}{2}m - \mu \right\} &= (h' \cos \phi' + h \cos \phi) \sin \frac{1}{2}m \\ R \sin D &= h' \sin \phi' - h \sin \phi \end{cases} \end{aligned}$$

Diese Formeln dürfen, für jedes Paar der Beobachtungsorte, nur einmal berechnet werden. Bezeichnet man den dadurch gefundenen Werth von  $A - \frac{1}{2}m - \mu$  durch  $B$ , so erhält man, für jeden besonderen Fall,  $A = B + \frac{1}{2}m + \mu$ . Selten wird man die Beobachtungen für so genau halten, daß die Berücksichtigung der Abplattung der Erde wesentlich erschiene; will man sie vernachlässigen, so werden  $h$  und  $h' = t$ , und  $\phi$  und  $\phi'$  den Polhöhen gleich gesetzt, wodurch eine kleine Abkürzung der Rechnung erlangt werden kann; sie ist aber desto unbedeutender, da sie eine nur einmal zu machende Rechnung betrifft.

## 2.

Unter den Beobachtungen, welche *Brandes* in der schon angeführten Schrift mittheilt, hat Herr Professor *Feldt* 48 correspondirende Paare, für die *Verschwindungspunkte* von Sternschnuppen gefunden; einige Beobachtungen hat er ausgeschlossen, weil sie entweder unvollständig, oder als unsicher angegeben sind. Die Beobachtungsorte waren *Breslau, Gleiwitz, Leipe, Trebnitz, Mirkau, Neisse* und *Dresden*; die von *Brandes* mitgetheilten Angaben ihrer geographischen Längen und Breiten, haben folgende Werthe von  $B + \frac{1}{2}m$ ,  $D$  und  $\log R$ , für alle Paare der Beobachtungsorte, für welche Beobachtungen zu berechnen waren, ergebeu:

$O$	$O'$	$(B + \frac{1}{2}m)$	$D$	$\log R$
Breslau	Gleiwitz	59° 55' 2	— 22° 48' 17	8,36717
—	Leipe	277 27,8	— 6 27,37	8,11428
—	Trebnitz	174 18,75	+ 38 38,57	7,54424
—	Mirkau	126 43,0	+ 25 41,88	7,10127
—	Neisse	20 47,0	— 37 24,74	8,07252
—	Dresden	269 46,1	— 1 9,08	8,56083
Leipe	Neisse	67 25,8	— 17 55,72	8,26822
Neisse	Gleiwitz	82 18,2	— 6 52,77	8,18992
Mirkau	Neisse	14 16,1	— 38 19,27	8,09511
—	Gleiwitz	56 59,2	— 24 27,61	8,36403

Die Beobachtungen selbst und das auf dieser Grundlage beruhende Hauptresultat  $f$  ihrer Berechnung, so wie Herr Professor *Feldt* es gefunden hat, werde ich in tabellarischer Form mittheilen. Die in Kreistheilen ausgedrückten Sternzeit  $\mu$  bezieht sich auf den Meridian des durch  $O$  bezeichneten Ortes. Wenn dem Werthe von  $f$  das Zeichen + vorgeschrieben ist, so hat der in  $O$  beobachtete Verschwindungspunkt einen kleineren Positionswinkel als  $M$ , der in  $O'$  beobachtete einen größeren; das Zeichen — bedeutet das Entgegengesetzte. Die beige-schriebenen Nummern sind die Bezeichnungen der Sternschnuppen im Buche von *Brandes*.

Nr.	1823	Ort O	$\mu$	$\alpha$	$\delta$	Ort O'	$\alpha$	$\delta$	$f$
6	Aug. 4	Breslau	294° 28' 6"	298° 0'	- 1° 0'	Gleiwitz	211° 45'	+20° 10'	+3° 36'
10	11	_____	285 45,0	259 0	+58 30	_____	213 0	+53 0	+1 45
11	_____	_____	292 16,1	21 0	+13 30	_____	120 0	+58 0	+3 2
12	_____	_____	297 1,9	288 0	-20 0	_____	241 30	- 3 40	+0 59
13	_____	_____	298 32,1	246 30	+20 0	_____	209 0	+21 0	+2 54
14	_____	_____	302 2,7	272 0	+ 4 0	_____	212 0	+20 0	+1 11
17	_____	_____	304 48,2	280 0	+ 3 30	_____	242 0	+20 0	+1 26
18	_____	_____	306 18,4	303 0	- 1 0	_____	233 0	+16 0	+4 1
20	30	_____	299 42,9	257 0	+16 0	Leipe	293 0	+25 30	- 1 8
21	_____	_____	316 45,7	282 0	+50 0	_____	340 0	+58 0	-0 35
22	Sept. 1	_____	297 55,6	317 30	+19 0	Trebnitz	315 0	+10 0	+0 34
23	_____	_____	304 11,6	285 0	+32 30	Leipe	333 30	+31 0	-3 3
25	2	_____	301 10,1	243 0	+20 0	_____	11 0	+31 30	-0 12
26	_____	_____	302 40,3	354 0	+13 0	Trebnitz	344 0	+ 8 0	-2 2
27	_____	_____	307 11,1	295 30	-20 0	_____	296 0	-27 30	-0 52
28	_____	Leipe	309 41,7	43 0	+38 0	Neisse	195 0	+42 0	+5 21
29	_____	_____	310 26,8	25 0	+77 30	_____	205 0	+50 30	+3 28
30	_____	Breslau	306 10,9	207 0	+53 0	Dresden	33 0	+72 0	-5 18
32	11	Neisse	313 2,8	37 40	+28 30	Gleiwitz	221 15	+26 30	+4 5
33	_____	_____	327 20,1	87 0	+54 45	_____	143 20	+63 0	-2 30
34	12	_____	321 18,6	168 0	+71 40	_____	201 0	+56 0	-0 1
35	27	Mirkau	299 44,3	75 0	+31 30	_____	121 0	+62 0	+1 18
36	_____	Breslau	302 14,7	302 0	+ 9 30	Mirkau	301 0	+ 8 40	+0 3
38	_____	_____	306 15,0	325 0	+10 30	Gleiwitz	243 0	+48 0	-3 33
39	_____	_____	310 16,0	308 0	+14 0	_____	230 0	+30 0	+1 44
40	_____	Mirkau	315 31,8	326 0	- 8 0	_____	265 0	+27 50	-0 59
41	_____	Breslau	327 33,8	340 30	+13 30	_____	212 0	+36 0	-7 18
42	Oct. 7	Neisse	318 22,0	20 0	+69 0	_____	229 0	+59 10	-0 65
43	_____	Breslau	321 22,6	21 0	+35 0	Neisse	73 0	+75 0	+5 38
44	_____	_____	321 22,6	21 0	+35 0	Gleiwitz	195 0	+66 0	-1 31
44	_____	_____	326 38,4	332 0	+24 30	_____	236 40	+43 0	-2 41
45	_____	_____	327 8,5	236 0	+68 0	Neisse	185 0	+58 0	-1 19
46	_____	_____	327 38,6	20 30	+12 30	Gleiwitz	193 0	+83 0	-4 50
47	_____	_____	328 38,8	335 0	- 2 30	_____	256 0	+24 0	+0 43
48	_____	_____	330 39,1	310 0	- 7 0	Neisse	290 0	+ 3 0	+3 11
49	_____	_____	333 54,6	36 0	+78 0	_____	135 0	+80 0	-0 1
50	8	Mirkau	310 19,7	348 0	+23 0	_____	9 0	+58 30	+0 47
50	_____	Neisse	310 32,7	9 0	+58 30	Gleiwitz	223 0	+75 0	-4 23
50	_____	Mirkau	310 19,7	348 0	+23 0	_____	223 0	+75 0	-4 51
51	_____	Breslau	321 51,6	30 0	+32 0	_____	100 0	+76 0	-2 40
53	_____	_____	323 52,0	19 0	+ 8 0	_____	210 0	+65 0	-1 29
54	_____	_____	325 22,2	299 0	+37 0	Neisse	257 0	+58 0	+0 67
55	_____	Mirkau	325 37,2	253 30	+59 0	_____	250 0	+57 0	+1 17
57	_____	Breslau	329 7,8	102 0	+60 30	Mirkau	125 0	+63 40	-4 9
58	_____	_____	330 53,1	323 0	+ 7 0	Gleiwitz	268 0	+30 0	-1 52
61	_____	_____	336 1,6	344 0	+30 30	_____	245 0	+54 0	-6 36
62	9	_____	323 35,9	297 0	+ 7 30	_____	246 0	+22 0	+0 22
63	_____	_____	325 51,3	369 0	+26 0	_____	248 0	+70 0	-5 13

Aus dieser Tafel ergibt sich, daß der Werth von  $f$ , oder die jedem beobachteten Orte eines Verschwindungspunktes anzubringende Veränderung, welche die kleinste ist, wodurch die Beobachtungen mit der Voraussetzung ihrer Gleichzeitigkeit vereinbar werden,

bei 14 Paaren von Beob. zwischen 0° und 1°

11	_____	_____	1	- 2
5	_____	_____	2	- 3
7	_____	_____	3	- 4

bei 5 Paaren von Beob. zwischen 4° und 5°

3	_____	_____	5	- 6
2	_____	_____	6	- 7
1	_____	_____	7	- 8

beträgt. Diese Rechnung erscheint der Voraussetzung nicht günstig; vielmehr glaube ich, daß Beobachtungsfehler von der Größe der gefundenen Werthe von  $f$ , nur durch eine Sorglosigkeit der Beobachter erklärt werden könnten, zu deren Annahme man in der Schrift von Brandes keinen Grund findet.

## 3.

Ich werde nun die Vorschriften entwickeln, welchen man folgen muß, wenn man unabhängig von der Voraussetzung der Gleichzeitigkeit der Beobachtungen, zu Resultaten über die Sternschnuppen gelangen will. In der 3<sup>ten</sup> Figur bedeuten  $s$  und  $s'$  die Punkte an der Himmelkugel, wo, vom Standpunkte  $O$  aus, das Erscheinen und Verschwinden einer Sternschnuppe beobachtet worden ist, welche Punkte durch die Geradenansteigungen und Abweichungen  $\alpha, \delta; \alpha', \delta'$  gegeben sein sollen;  $b$  und  $b'$  bedeuten dasselbe in Beziehung auf den Standpunkt  $O'$ , und diese Punkte werden durch die Geradenansteigungen und Abweichungen  $\alpha, \delta; \alpha', \delta'$  gegeben;  $c$  ist, wie in der 2<sup>ten</sup> Figur, der Punkt der Himmelkugel, welcher der Richtung  $OO'$  entspricht, seine Geradenansteigung und Abweichung werden durch  $A, D$  bezeichnet, und durch die auf die Formeln [6] gegründete Vorchrift ohne Mühe gefunden. Zieht man die größten Kreisbögen  $ca, ca', cb, cb'$  und bezeichnet man sie durch  $s, s', \sigma, \sigma'$ , so wie auch ihre Positionswinkel am Punkte  $c$  durch  $p, p', \pi, \pi'$ , so kann man diese (nach den Formeln [2] oder [3] berechnet), statt der Geradenansteigungen und Abweichungen der Punkte  $a, \alpha, b, \delta$ , als die durch die Beobachtungen gegebenen Größen ansehen. In dieser Form dargestellt, zeigen die Beobachtungen unmittelbar, inwiefern sie der Voraussetzung der Gleichzeitigkeit entsprechen; sie entsprechen ihr, wenn  $p = \pi$  und  $p' = \pi'$  sind. Allein im Allgemeinen wird man dieses nicht finden, und dann die Beobachtungen so ändern müssen, daß sie den zu ihrer weiteren Berechnung wesentlichen Bedingungen  $\pi = p$  und  $\pi' = p'$  Genüge leisten. Dieses geschieht, indem man, statt der unmittelbar am Punkte  $O$  beobachteten Oerter  $b, b'$  der Sternschnuppen, andere  $\beta, \beta'$  anwendet, welche in ihrer scheinbaren Bahn am Punkte  $O'$  und zugleich in den größten Kreisen  $ca$  und  $ca'$  liegen. Um diese Oerter aus den beobachteten abzuleiten, wird die Kenntnis der scheinbaren Bahn am Punkte  $O'$  erfordert, und ihre Voraussetzung als *größter Kreis*, ist die einzige, welche gemacht werden muß; auch diese Voraussetzung würde man zu machen nicht gezwungen sein, wenn man die scheinbare Bahn der Sternschnuppen am Punkte  $O$  vollständiger kenne, als durch die Beobachtungen ihres Anfangs- und Endpunktes. Bezeichnet man  $c\beta$  durch  $\sigma$ ,  $c\beta'$  durch  $\sigma'$ , und betrachtet man das Dreieck  $OO'a$  Fig. 4, in welchem  $O, O'$  die beiden Standpunkte und  $a$  der Ort der Sternschnuppe zur Zeit ihrer ersten Beobachtung am Standpunkte  $O$  sind, so ist offenbar der Winkel  $\sigma Oa = s$  und der Winkel  $\sigma' O'a = \sigma$ , und eben so ist es für die Zeit der letzten Beobachtung an demselben Standpunkte. Durch die Berechnung der beiden hierdurch gegebenen Dreiecke erhält man die Entfernungen der Sternschnuppe, zu den Zeiten ihrer Beobachtungen am Standpunkte  $O$ , sowohl von diesem Punkte, als

auch von  $O'$ , woraus alles, was man sonst noch zu wissen verlangt, berechnet werden kann.

Fällt man, von  $c$  aus, ein Perpendikel  $cA$  auf den größten Kreis  $aa'$ , und bezeichnet man es durch  $S$ , so wie auch den Positionswinkel am Punkte  $c$ , welcher seine Lage bestimmt, durch  $P$ , so hat man

$$\tan S \cot g s = \cos(p - P)$$

$$\tan S \cot g s' = \cos(p' - P)$$

woraus folgt:

$$\left. \begin{aligned} \cot g S \cos\left(\frac{p' + p}{2} - P\right) &= \frac{\sin(s' + s)}{2 \sin s \sin s' \cos\frac{p' - p}{2}} \\ \cot g S \sin\left(\frac{p' + p}{2} - P\right) &= \frac{\sin(s' - s)}{2 \sin s \sin s' \sin\frac{p' - p}{2}} \end{aligned} \right\} \dots\dots [7]$$

Durch ähnliche Formeln, in welchen  $\sigma, \sigma', \pi, \pi'$  statt  $s, s', p, p'$  geschrieben werden, findet man auch das Perpendikel  $cB = \Sigma$ , von  $c$  auf den größten Kreis  $bb'$  gefällt und seinen Positionswinkel  $\Pi$  am Punkte  $c$ . Durch diese Größen erhält man  $\sigma$  und  $\sigma'$ , nach den Formeln:

$$\left. \begin{aligned} \cot g \sigma &= \cot g \Sigma \cos(p - \Pi) \\ \cot g \sigma' &= \cot g \Sigma \cos(p' - \Pi) \end{aligned} \right\} \dots\dots\dots [8]$$

Wenn man die Entfernungen der Sternschnuppe, zu den Zeiten ihrer beiden Beobachtungen am Punkte  $O$ , von diesem Punkte durch  $r, r'$ , und von  $O'$  durch  $\rho, \rho'$  bezeichnet, so hat man aus dem Dreiecke Fig. 4:

$$\left. \begin{aligned} r &= R \frac{\sin \sigma}{\sin(\sigma - s)} & \rho &= R \frac{\sin s}{\sin(\sigma - s)} \\ r' &= R \frac{\sin \sigma'}{\sin(\sigma' - s')} & \rho' &= R \frac{\sin s'}{\sin(\sigma' - s')} \end{aligned} \right\} \dots\dots [9]$$

Da das Perpendikel  $S$  und sein Positionswinkel  $P$  hier keine Anwendung finden, so ist ihre Berechnung, falls man nur die gegenwärtigen Resultate sucht, unnötig; dagegen wird die Berechnung von  $\Sigma$  und  $\Pi$  unnötig und nur die von  $S$  und  $P$  gefordert, wenn man die Bestimmung der Oerter der Sternschnuppe für ihre beiden Beobachtungszeiten am Standpunkte  $O'$  verlangt \*); allein bei der Untersuchung der Fehler der Resultate, welche aus angenommenen Beobachtungsfehlern entstehen, finden sowohl  $\Sigma$  als  $S$  ihre Anwendung. Die Formeln [7] lassen übrigens eine Zweideutigkeit übrig: sie ergeben eben sowohl  $S$  und  $P$ , als auch  $180^\circ - S$  und  $180^\circ + P$ ; man bemerkt aber leicht, daß diese Zweideutigkeit nur die beiden

\*) Es ist der Beobachtungsfehler wegen am vortheilhaftesten, die Oerter der Sternschnuppe für ihre Beobachtungszeiten am Standpunkte  $O$  zu bestimmen, wenn  $\pi' - \pi > p' - p$ ; im entgegengesetzten Falle aber für ihre Beobachtungszeiten am Standpunkte  $O'$ .



Perpendikel andeutet, welche man von jedem Punkte der Kugel auf einen ihrer größten Kreise fallen kann, und daß die Wahl zwischen beiden willkürlich bleibt. Man kann daher  $S$  und  $\Sigma$  immer in den ersten Quadranten verlegen, wodurch die Zweideutigkeit in der Bestimmung von  $P$  und  $\Pi$  gehoben wird. Da der äußere Winkel eines Dreiecks immer größer ist, als jeder der anderen Innern, so dürfen  $\sigma_1 - s$  und  $\sigma_2 - s'$  nie negativ werden: werden sie es dennoch, so kann dieses nur von Fehlern der Angaben der Oerter der Sternschnuppe, oder von der irrig angenommenen Identität der an beiden Standpunkten beobachteten herrühren; jedenfalls können die Beobachtungen, indem sie dann einen inneren Widerspruch enthalten, kein Resultat geben.

Will man auch die Entfernungen  $h+H$  und  $h+H'$  der Sternschnuppe von dem Mittelpunkte der Erde, so wie auch die Punkte der Erdoberfläche erfahren, über welchen sie zu den Zeiten, auf welche die vorige Rechnung sich bezieht, senkrecht gewesen ist, so muß man der letzteren noch einiges hinzufügen. Bezeichnet man den Winkel der, von dem Mittelpunkte der Erde nach ihr gelegten Linie mit dem Erdradius  $h$  durch  $g$ , das sich auf den letzteren beziehende Azimuth der ersteren durch  $\alpha$ , die Zenithdistanz, in welcher sie am Punkte  $O$  erscheint, durch  $z$ , so findet man leicht:

$$\begin{aligned} h+H &= h \frac{\sin z}{\sin(z-g)} \\ h \sin g &= r \sin(z-g) \end{aligned}$$

woraus

$$\left\{ \begin{aligned} \tan g &= \frac{r \sin z}{h+r \cos z} \\ H &= r \frac{\cos(z-\frac{1}{2}g)}{\cos \frac{1}{2}g} \end{aligned} \right. \quad [10] \dots \dots$$

hervorgehen. Man hat dann die Sinesse der Entfernungen des ihre Lage bestimmenden Radius von dem Meridiane von  $O$  und dem darauf errichteten Perpendikel  $= \sin g \cdot \sin s$  und  $= \sin g \cdot \cos s$ . Alle Schärfe nach beziehen sich  $z$  und  $s$  auf das sogenannte verbesserte Zenith von  $O$ ; allein es wird wohl kein Interesse haben, dieses von dem wahren Scheitelpunkte zu unterscheiden.

Die erforderlichen Werthe von  $z$  und  $s$  kann man aus den beobachteten  $\alpha$ ,  $d$ ;  $\alpha'$ ,  $d'$ , der Sternzeit  $\mu$  und der (verbesserten) Polhöhe  $\phi$  auf gewöhnliche Art berechnen; allein es ist, zumal wenn man auf die völlige Schärfe des Resultats Verzicht leisten will, bequemer, sie aus den schon berechneten  $s$ ,  $p$ ;  $s'$ ,  $p'$  abzuleiten. Bezeichnet man die Zenithdistanz und das Azimuth des Punktes  $e$  (§. 1), nämlich der Richtungslinie  $OO'$ , durch  $Z$  und  $E$ , den Positionswinkel des Scheitelpunktes von  $O$  am Punkte  $e$  durch  $N$ , und behält man

die übrigen Bezeichnungen des §. 1's bei, so hat man, des Gauß'schen trigonometrischen Formeln zufolge:

$$\left. \begin{aligned} \sin \frac{1}{2} Z \sin \frac{1}{2} \{E+N\} &= -\cos \left\{ \frac{1}{2} B + \frac{1}{2} m \right\} \sin \frac{1}{2} \{\phi - D\} \\ \sin \frac{1}{2} Z \cos \frac{1}{2} \{E+N\} &= -\sin \left\{ \frac{1}{2} B + \frac{1}{2} m \right\} \cos \frac{1}{2} \{\phi + D\} \\ \sin \frac{1}{2} Z \sin \frac{1}{2} \{E-N\} &= -\cos \left\{ \frac{1}{2} B + \frac{1}{2} m \right\} \sin \frac{1}{2} \{\phi - D\} \\ \cos \frac{1}{2} Z \cos \frac{1}{2} \{E-N\} &= -\sin \left\{ \frac{1}{2} B + \frac{1}{2} m \right\} \cos \frac{1}{2} \{\phi + D\} \end{aligned} \right\} \dots [11]$$

welche Formeln, da sie nichts Veränderliches enthalten, für jedes Paar der Standpunkte der Beobachter, nur einmal zu berechnen sind. Die daraus hervorgehenden  $Z$ ,  $E$ ,  $N$  ergeben, verbunden mit  $p$  und  $s$ :

$$\left. \begin{aligned} \cos z &= \cos Z \cos s + \sin Z \sin s \cos(p-N) \\ \sin z \cos(s-E) &= \sin Z \cos s - \cos Z \sin s \cos(p-N) \\ \sin s \sin(s-E) &= \sin s \sin(p-N) \end{aligned} \right\} \dots [12]$$

wodurch das Gesuchte richtig ausgedrückt ist. Will man sich aber mit einer Annäherung begnügen, so kann man, wenigstens für mäßig von einander entfernte Standpunkte der Beobachter,  $Z = 90^\circ$  setzen und erhält dann:

$$\left. \begin{aligned} \cos z &= \sin s \cos(p-N) \\ \sin s \cos(s-E) &= \cos s \\ \sin s \sin(s-E) &= \sin s \sin(p-N) \end{aligned} \right\} \dots \dots [12']$$

Wenn man sich hier mit einer Annäherung begnügt, kann man die Höhe der Sternschnuppe über der Erdoberfläche durch die Näherungsformel:

$$H = r \cos s$$

und die Entfernungen des Punktes, dem sie im Scheitel erscheint, von dem Meridiane von  $O$  und dem darauf errichteten Perpendikel, durch die Formeln:

$$r \sin s \sin s \text{ und } r \sin s \cos s$$

berechnen.

#### 4.

Die Resultate, zu deren Aufsuchung der vorige §. die Anleitung giebt, können kaum ein Interesse haben, wenn der Grad des Zutrauens, welches sie in jedem besonderen Falle verdienen, ohne Erörterung bleibt. Was hierzu erforderlich ist, werde ich gegenwärtig mittheilen.

Da ich die Gleichzeitigkeit der Beobachtungen nicht vorausgesetzt habe, so können die Winkel  $p$ ,  $p'$ ,  $\pi$ ,  $\pi'$ , trotz der Beobachtungsfehler, als richtig angesehen werden, und man darf nur  $s$ ,  $s'$ ,  $\sigma$ ,  $\sigma'$  als davon entstellt betrachten. Wenn der größte Kreis  $aa'$  Fig. 3, von  $ea$ ,  $ea'$  in den Winkeln  $l$  und  $l'$  geschnitten wird, und eben so der größte Kreis  $bb'$ , von  $eb$ ,  $eb'$ , in den Winkeln  $\lambda$  und  $\lambda'$ , so ist der größte Einfluß, welchen ein Beobachtungsfehler von der Größe  $s$  auf  $s$ ,  $s'$ ,  $\sigma$ ,  $\sigma'$  haben kann, resp.

$$\pm \frac{s}{\sin l}; \pm \frac{s}{\sin l'}; \pm \frac{s}{\sin \lambda}; \pm \frac{s}{\sin \lambda'}$$

oder, da man

$$\frac{\sin S}{\sin \Sigma} = \frac{\sin s \sin l}{\sin \sigma \sin \lambda} = \frac{\sin s' \sin l'}{\sin \sigma' \sin \lambda'}$$

ist, resp.

$$\pm \frac{\sin s}{\sin S}; \pm \frac{\sin s'}{\sin S}; \pm \frac{\sin \sigma}{\sin \Sigma}; \pm \frac{\sin \sigma'}{\sin \Sigma}.$$

Aus den Einflüssen des angenommenen Beobachtungsfehlers  $s$  auf  $\sigma$  und  $\sigma'$ , muß nun sein Einfluß auf  $\sigma$  und  $\sigma'$  abgeleitet werden. Man findet ihn durch die Differenzirung der Gleichungen:

$$0 = \cos \sigma \sin(\pi' - p) - \cos \sigma' \sin(\pi - p) - \cos \sigma \sin(\pi' - \pi)$$

$$0 = \cos \sigma \sin(\pi' - p) - \cos \sigma' \sin(\pi - p) - \cos \sigma' \sin(\pi' - \pi)$$

$$\frac{dr}{r} = \frac{\sin s}{\sin(\sigma_r - s)} \left\{ \pm \frac{\cos(\sigma_r - s)}{\sin S} + \frac{\sin \sigma_r}{\sin \Sigma \sin(\pi' - \pi)} \left( \pm \frac{\sin(\pi' - p)}{\sin \sigma} + \frac{\sin(\pi - p)}{\sin \sigma'} \right) \right\}$$

und da

$$\frac{\sin s}{\sin(\sigma_r - s)} = \frac{p}{H}$$

ist:

$$dr = s \frac{rp}{H} \left\{ \pm \frac{\cos(\sigma_r - s)}{\sin S} + \frac{\sin \sigma_r}{\sin \Sigma \sin(\pi' - \pi)} \left( \pm \frac{\sin(\pi' - p)}{\sin \sigma} + \frac{\sin(\pi - p)}{\sin \sigma'} \right) \right\} \dots \dots \dots [13^a]$$

Diese Formel giebt den *größten* Einfluß, welchen die Annahme eines Fehlers jedes der beobachteten Oerter der Sternschnuppe, auf  $r$  erlangen kann, wenn man die willkürlichen Zeichen der-

$$dr' = s' \frac{r'p'}{H} \left\{ \pm \frac{\cos(\sigma_r' - s')}{\sin S} + \frac{\sin \sigma_r'}{\sin \Sigma \sin(\pi' - \pi)} \left( \pm \frac{\sin(\pi' - p')}{\sin \sigma} + \frac{\sin(\pi - p')}{\sin \sigma'} \right) \right\} \dots \dots \dots [13^b]$$

Will man den Einfluß von  $s$  auf die Oerter der Sternschnuppe vollständig kennen lernen, so muß man ihn auch in  $s$  und  $\sigma$  berücksichtigen, was zwar durch die Formeln [12] leicht geschehen kann, jedoch kaum der Mühe werth sein wird. Man kann sich begnügen:

$$\left. \begin{aligned} & \pm \frac{s p H \cos(\sigma_r - s)}{R \sin S} \pm \frac{s p' H' \cos(\sigma_r' - s')}{R \sin S} \\ & \pm \frac{s}{R \sin \Sigma \sin \sigma \sin(\pi' - \pi)} \left\{ p H \sin \sigma, \sin(\pi' - p) - p' H' \sin \sigma', \sin(\pi' - p') \right\} \dots \dots \dots [14] \\ & \pm \frac{s}{R \sin \Sigma \sin \sigma' \sin(\pi - \pi)} \left\{ p H \sin \sigma, \sin(\pi - p) - p' H' \sin \sigma', \sin(\pi - p') \right\} \end{aligned} \right\}$$

ausgedrückt, über deren Zeichen so zu verfügen ist, daß sie eine *Summe* ihrer vier Theile wird. Man findet sie leicht aus dem Vorhergehenden.

Ich verlasse diese Ansichtung des Einflusses der Beobachtungsfehler auf die Resultate der Beobachtungen der Sternschnuppen nicht ohne die Bemerkung, daß sich vorzüglich *darin* der Unterschied zwischen der Annahme und der Ausschließung der Voraussetzung der Gleichzeitigkeit der Beobachtungen äußert. Folgt man dieser Voraussetzung, so kann die Richtung, welche die Bewegung der Sternschnuppe beziehungsweise auf die Standpunkte der Beobachter hat, nie als ein wesentliches Hinderniß der Bestimmung dieser Bewegung erscheinen; verläßt man sie, so verlieren die Resultate, welche man aus Sternschnuppen zieht, die sich in einer durch beide

welche die Bedingung aussprechen, daß  $b, b', \beta, \beta'$  in einem größten Kreise liegen; nämlich:

$$d\sigma_r = \frac{s \sin \sigma_r^2}{\sin \Sigma \sin(\pi' - \pi)} \left\{ \pm \frac{\sin(\pi' - p)}{\sin \sigma} + \frac{\sin(\pi - p)}{\sin \sigma'} \right\}$$

$$d\sigma_r' = \frac{s \sin \sigma_r'^2}{\sin \Sigma \sin(\pi' - \pi)} \left\{ \pm \frac{\sin(\pi' - p')}{\sin \sigma} + \frac{\sin(\pi - p')}{\sin \sigma'} \right\}$$

Die Einflüsse von  $s$  auf  $r$  findet man, indem man die erste der Formeln [9] in Beziehung auf  $s$  und  $\sigma$  differenzirt und für  $ds$  und  $d\sigma$ , ihre Ausdrücke durch  $s$  setzt. Man erhält dadurch

$$\frac{dr}{r} = \frac{\sin s}{\sin(\sigma_r - s)} \left\{ \pm \frac{\cos(\sigma_r - s)}{\sin S} + \frac{\sin \sigma_r}{\sin \Sigma \sin(\pi' - \pi)} \left( \pm \frac{\sin(\pi' - p)}{\sin \sigma} + \frac{\sin(\pi - p)}{\sin \sigma'} \right) \right\}$$

selben so annimmt, daß alle ihre Glieder zu einer *Summe* vereinigt werden. Unter derselben Bedingung hat man den größtmöglichen Einfluß des angenommenen Beobachtungsfehlers auf  $r$ :

$$dH = \frac{H}{r} dr, \quad dH' = \frac{H'}{r'} dr'$$

anzunehmen. Der größtmögliche Einfluß eines Beobachtungsfehlers von gegebener Größe  $s$ , auf  $H-H'$ , oder auf das Fallen oder Steigen der Sternschnuppe, wird durch die Formel

Standpunkte gehenden Ebene bewegen, ihr Gewicht gänzlich, und in Fällen, welche diesem Falle nahe kommen, wird es sehr klein. Könnte man daher, durch eine Untersuchung von der Art der §. 1 und 2 geführt, allein auf Beobachtungen gegründet, denen die Mittel zur Erkennung des Grades ihrer Sicherheit nicht fehlen, zeigen, daß die Fehler, welche bei der Annahme der Voraussetzung übrig bleiben, *allein* den Beobachtungen zugeschrieben werden dürfen, so würde man dadurch den wesentlichen Vortheil erlangen, viele Sternschnuppen, aus deren Beobachtungen man, *ohne* die Voraussetzung kein Resultat ziehen kann, auch benutzen zu können. Dieses hauptsächlich ist der Grund, der mir eine gänzlich genügende Prüfung der Voraussetzung wünschenswerth erscheinen läßt. Auf die Resultate selbst hat ihre Annahme oder ihre Ausschließung



den Einfluss, dass beide über die Abweichungen zweier correspondirenden Beobachtungen von Einem, durch e gelegten größten Kreise, auf verschiedene Art verfügen. Diese Verschiedenheit tritt, im Allgemeinen, desto stärker hervor, je mehr die Bewegung sich einer durch beide Standpunkte gehenden Ebene nähert.

## 5.

Ich habe nun die Resultate mitzutheilen, welche Herr Professor Feldt durch die Anwendung der, in den beiden letzten §§ entwickelten Vorschriften, auf die Sternschnuppenbeobachtungen, welche in der schon angeführten Schrift von

Brandes vorkommen, erlangt hat. Einige Beobachtungen hat er ausschließen müssen, weil das eine oder das andere Moment derselben als unsicher angegeben war. Zu den im 2<sup>ten</sup> § mitgetheilten Werthen von  $\log R$  ist 2,93421 addirt worden, um die geographische Meile (deren der Grad des Aequators 1<sup>ste</sup> hat), zur Einheit des Maasses zu machen. Zur Einheit von  $a$  ist  $1^\circ = 0,017453$  gewählt worden.

Damit man die Grundlagen der Rechnung und ihre Resultate zusammen habe, führe ich zuerst die Beobachtungen an und setze ihnen auch die Werthe von  $A$  und  $D$  hinzu, so wie sie aus den Angaben des 2<sup>ten</sup> §. hervorgehen.

## Beobachtungen der Sternschnuppen.

Nr.	1823	Ort O	Anfang				Ende.				Ort O'	Anfang.				Ende.				A	D
			$\alpha$	$\delta$	$\alpha'$	$\delta'$	$\alpha$	$\delta$	$\alpha'$	$\delta'$		$\alpha$	$\delta$	$\alpha'$	$\delta'$	$\alpha$	$\delta$	$\alpha'$	$\delta'$		
6	Aug. 4	Breslau	284° 0'	+13° 30'	298° 0'	-1° 0'	Gleiwitz	217° 0'	+27° 0'	211° 45'	+20° 10'	354° 18'	-22° 48' 17								
10	11		278 0	+62 0	259 0	+58 30		210 0	+65 15	213 0	+53 0	345 40,2	-22 48,17								
11			26 0	+20 0	21 0	+13 30		68 0	+53 0	120 0	+58 0	352 11,3	-22 48,17								
12			300 30	1 20	288 0	-20 0		252 18	+9 40	241 30	-3 40	356 57,1	-22 48,17								
13			241 0	+30 0	246 30	+20 0		207 36	+36 0	209 0	+21 0	358 27,3	-22 48,17								
14			284 0	+14 0	272 0	+4 0		220 0	+29 0	212 0	+20 0	1 57,9	-22 48,17								
17			283 0	+16 30	280 0	+3 30		245 0	+22 0	242 0	+20 0	4 43,4	-22 48,17								
18			300 30	+4 0	303 0	-1 0		231 0	+27 0	233 0	+16 0	6 13,6	-22 48,17								
20	30		252 0	+13 30	257 0	+16 0	Leipe	290 0	+27 9	293 0	+25 30	217 10,7	-6 27,37								
21			247 0	+68 0	282 0	+50 0		312 13	+83 14	340 0	+58 0	234 13,5	-6 27,37								
22	Sept. 1		314 0	+23 0	317 30	+19 0	Trebnitz	309 0	+15 0	315 0	+10 0	112 14,3	+38 38,57								
23			290 0	+37 30	285 0	+32 30	Leipe	343 0	+38 40	333 30	+31 0	221 39,4	-6 27,37								
26	2		287 0	+48 0	207 0	+53 0	Dresden	358 0	+73 0	33 0	+72 0	215 57,0	-1 9,06								
27			342 0	+11 0	354 0	+13 0	Trebnitz	330 0	+5 0	344 0	+8 0	116 59,0	+38 36,57								
30			303 0	-16 0	295 30	-20 0		302 30	-15 30	296 0	-27 30	121 29,8	+38 36,57								
32	11	Neisse	29 0	+40 0	37 40	+28 30	Gleiwitz	215 0	+30 40	221 15	+26 30	35 21,0	-6 52,77								
33			75 0	+69 45	87 0	+54 45		178 30	+76 0	143 20	+63 0	49 38,3	-6 52,77								
34	12		78 35	+80 0	168 0	+71 40		209 54	+65 13	201 0	+56 0	43 36,8	-6 52,77								
35	27	Mirkau	65 0	+56 30	75 0	+51 30		121 0	+60 0	121 0	+52 0	356 43,5	-24 27,61								
36		Breslau	392 0	+16 0	302 0	+9 30	Mirkau	300 0	+21 30	301 0	+8 40	68 57,7	+25 41,88								
38			337 30	+21 30	325 0	+10 30	Gleiwitz	250 0	+64 0	243 0	+48 0	6 10,2	-22 48,17								
40		Mirkau	323 30	+8 0	326 0	-3 0		259 30	+37 30	265 0	+27 50	12 31,0	-24 27,61								
43 <sup>a</sup>	Oct. 7	Breslau	9 0	+28 0	21 0	+35 0	Neisse	30 0	+55 0	73 0	+75 0	342 9,6	-37 21,74								
43 <sup>b</sup>			9 0	+28 0	21 0	+35 0	Gleiwitz	214 43	+77 27	195 0	+66 0	21 17,8	-22 48,17								
44			328 0	+39 0	332 0	+24 30		239 20	+46 30	236 40	+43 0	26 33,6	-22 48,17								
45			244 0	+77 30	236 0	+68 0	Neisse	178 0	+71 0	185 0	+58 0	347 55,5	-37 21,74								
46			10 0	+9 30	20 30	+12 30	Gleiwitz	297 0	+69 0	193 0	+63 0	27 33,8	-22 48,17								
48			351 0	-3 0	310 0	-7 0	Neisse	5 0	+15 0	290 0	+3 0	351 26,1	-37 21,74								
50 <sup>a</sup>	8	Mirkau	317 0	+57 0	348 0	+23 0		210 0	+53 0	9 0	+58 30	324 35,8	-38 19,27								
50 <sup>b</sup>		Neisse	210 0	+53 0	9 0	+58 30	Gleiwitz	215 0	+52 30	223 0	+75 0	32 50,9	-6 52,77								
50 <sup>c</sup>		Mirkau	317 0	+57 0	348 0	+23 0		215 0	+52 30	223 0	+75 0	7 18,9	-24 27,61								
54		Breslau	313 0	+40 0	299 0	+37 0	Neisse	258 0	+64 0	257 0	+58 0	346 9,2	-37 21,74								
55		Mirkau	285 0	+67 30	253 30	+59 0		285 0	+65 0	250 0	+57 0	339 53,3	-38 19,27								
57		Breslau	90 30	+60 0	102 0	+60 30	Mirkau	106 0	+65 20	125 0	+63 40	95 50,8	+25 41,88								
58			342 30	+15 0	325 0	+7 0	Gleiwitz	267 30	+37 0	268 0	+30 0	30 48,3	-22 48,17								
61			7 30	+41 0	344 0	+30 30		248 0	+70 0	245 0	+54 0	35 56,7	-22 48,17								
62	9		307 0	+11 30	297 0	+7 30		256 30	+25 0	246 0	+22 0	23 31,1	-22 48,17								

Die Resultate, welche Herr Professor Fecht aus diesen Beobachtungen gezogen hat, sind die folgenden:

Nr. 6	$\alpha, \alpha'$	77° 47' 4	58° 48' 2	$\sigma, \sigma'$	141° 14' 0	145° 9' 2
	$\rho, \rho'$	290 29,5	283 26,5	$\pi, \pi'$	285 14,9	272 54,3
	$r, r'$	15,03	12,43	$\rho, \rho'$	22,35	17,24
	$H$	$= 11,79 \pm 1,25.s$				
	$H'$	$= 7,69 \pm 0,27.s$				

10	$\alpha, \alpha'$	100 14,4	107 36,4	$\sigma, \sigma'$	128 54,3	133 16,7
	$\rho, \rho'$	333 48,8	326 49,3	$\pi, \pi'$	337 55,1	322 34,2
	$r, r'$	30,42	35,39	$\rho, \rho'$	39,28	45,62
	$H$	$= 29,73 \pm 2,80.s$				
	$H'$	$= 33,73 \pm 3,78.s$				

11	$\alpha, \alpha'$	54 2,6	45 58,6	$\sigma, \sigma'$	99 59,6	128 54,9
	$\rho, \rho'$	40 14,5	40 40,1	$\pi, \pi'$	36 19,9	32 33,1
	$r, r'$					
	Man sehe die unten folgenden Anmerkungen.					

12	$\alpha, \alpha'$	58 46,8	63 39,6	$\sigma, \sigma'$	107 9,2	111 45,1
	$\rho, \rho'$	283 1,2	258 7,2	$\pi, \pi'$	273 29,4	255 58,2
	$r, r'$	27,44	25,24	$\rho, \rho'$	24,17	24,28
	$H$	$= 16,86 \pm 1,12.s$				
	$H'$	$= 8,12 \pm 0,33.s$				

13	$\alpha, \alpha'$	124 11,0	117 9,4	$\sigma, \sigma'$	151 37,1	151 39,2
	$\rho, \rho'$	291 43,4	281 36,5	$\pi, \pi'$	304 16,8	272 15,8
	$r, r'$	19,45	16,05	$\rho, \rho'$	34,88	30,85
	$H$	$= 13,12 \pm 1,40.s$				
	$H'$	$= 10,01 \pm 0,92.s$				

14	$\alpha, \alpha'$	84 39,8	91 31,0	$\sigma, \sigma'$	145 23,4	151 56,4
	$\rho, \rho'$	287 37,7	273 42,1	$\pi, \pi'$	286 42,3	270 0,0
	$r, r'$	13,27	11,33	$\rho, \rho'$	22,96	23,26
	$H$	$= 10,20 \pm 0,68.s$				
	$H'$	$= 6,76 \pm 0,41.s$				

17	$\alpha, \alpha'$	89 1,0	86 30,3	$\sigma, \sigma'$	124 40,8	126 50,8
	$\rho, \rho'$	288 23,0	275 16,8	$\pi, \pi'$	281 43,7	278 31,1
	$r, r'$	34,60	23,03	$\rho, \rho'$	39,68	29,58
	$H$	$= 27,00 \pm 9,20.s$				
	$H'$	$= 14,21 \pm 1,75.s$				

18	$\alpha, \alpha'$	69 27,1	65 2,5	$\sigma, \sigma'$	139 22,8	135 32,3
	$\rho, \rho'$	283 47,6	280 4,0	$\pi, \pi'$	285 26,6	269 54,8
	$r, r'$	13,98	13,89	$\rho, \rho'$	19,99	18,94
	$H$	$= 9,53 \pm 0,37.s$				
	$H'$	$= 8,58 \pm 0,30.s$				

20	$\alpha, \alpha'$	39 56,3	45 21,7	$\sigma, \sigma'$	77 53,3	80 8,8
	$\rho, \rho'$	59 54,6	59 53,7	$\pi, \pi'$	60 23,9	62 38,1
	$r, r'$	17,93	20,57	$\rho, \rho'$	11,31	15,00
	$H$	$= 10,71 \pm \infty$				
	$H'$	$= 13,63 \pm \infty$				

21	$\alpha, \alpha'$	75 0,2	69 56,0	$\sigma, \sigma'$	95 0,5	103 47,9
	$\rho, \rho'$	4 55,2	30 26,8	$\pi, \pi'$	6 38,6	81 40,6
	$r, r'$	33,68	19,71	$\rho, \rho'$	32,63	19,03
	$H$	$= 27,11 \pm 3,09.s$				
	$H'$	$= 18,33 \pm 1,68.s$				

22	$\alpha, \alpha'$	115 4,3	117 41,0	$\sigma, \sigma'$	124 6,5	126 55,9
	$\rho, \rho'$	337 52,0	332 53,6	$\pi, \pi'$	340 20,4	331 32,0
	$r, r'$	14,32	15,68	$\rho, \rho'$	15,83	17,29
	$H$	$= 12,29 \pm 3,37.s$				
	$H'$	$= 12,73 \pm 8,52.s$				

Nr. 23	$\alpha, \alpha'$	77° 8' 7	71° 38' 8	$\sigma, \sigma'$	118° 17' 0	112° 0' 8
	$\rho, \rho'$	49 8,4	52 35,6	$\pi, \pi'$	49 13,3	59 6,9
	$r, r'$	14,84	14,25	$\rho, \rho'$	16,55	15,09
	$H$	$= 14,32 \pm 1,07.s$				
	$H'$	$= 13,12 \pm 0,86.s$				

26	$\alpha, \alpha'$	115 0,9	105 53,5	$\sigma, \sigma'$	126 43,6	115 7,9
	$\rho, \rho'$	309 59,4	301 48,6	$\pi, \pi'$	317 22,3	306 12,4
	$r, r'$	29,36	31,42	$\rho, \rho'$	30,75	32,37
	$H$	$= 18,33 \pm 11,22.s$				
	$H'$	$= 17,49 \pm 16,45.s$				

27	$\alpha, \alpha'$	157 19,1	160 39,0	$\sigma, \sigma'$	156 50,3	167 57,2
	$\rho, \rho'$	356 15,1	17 14,2	$\pi, \pi'$	357 32,6	24 1,0
	$r, r'$					
	Man sehe die unten folgenden Anmerkungen.					

30	$\alpha, \alpha'$	52 28,1	54 40,1	$\sigma, \sigma'$	104 27,7	109 7,6
	$\rho, \rho'$	17 38,5	353 24,6	$\pi, \pi'$	10 42,1	0 57,9
	$r, r'$	41,15	34,28	$\rho, \rho'$	33,22	30,22
	$H$	$= 30,41 \pm 2,10.s$				
	$H'$	$= 19,61 \pm 0,80.s$				

32	$\alpha, \alpha'$	47 14,6	35 27,0	$\sigma, \sigma'$	156 42,7	159 35,5
	$\rho, \rho'$	353 22,5	3 30,7	$\pi, \pi'$	0 44,8	344 42,2
	$r, r'$					
	Man sehe die unten folgenden Anmerkungen.					

33	$\alpha, \alpha'$	78 34,4	69 2,8	$\sigma, \sigma'$	105 28,9	97 48,2
	$\rho, \rho'$	8 42,0	22 4,6	$\pi, \pi'$	11 16,4	27 12,7
	$r, r'$	27,16	25,12	$\rho, \rho'$	27,77	23,86
	$H$	$= 20,65 \pm 1,99.s$				
	$H'$	$= 11,33 \pm 0,80.s$				

34	$\alpha, \alpha'$	88 39,9	106 51,7	$\sigma, \sigma'$	120 52,0	127 42,7
	$\rho, \rho'$	5 42,8	15 44,3	$\pi, \pi'$	6 38,9	15 46,4
	$r, r'$	22,11	29,50	$\rho, \rho'$	25,54	35,71
	$H$	$= 15,67 \pm 2,00.s$				
	$H'$	$= 16,26 \pm 2,76.s$				

35	$\alpha, \alpha'$	99 1,5	102 3,4	$\sigma, \sigma'$	127 56,7	129 56,0
	$\rho, \rho'$	31 16,5	38 33,4	$\pi, \pi'$	31 35,7	41 33,9
	$r, r'$	32,52	33,38	$\rho, \rho'$	40,69	42,26
	$H$	$= 14,58 \pm 1,24.s$				
	$H'$	$= 11,01 \pm 0,95.s$				

36	$\alpha, \alpha'$	112 6,2	115 57,5	$\sigma, \sigma'$	110 11,6	117 14,6
	$\rho, \rho'$	301 44,2	295 58,3	$\pi, \pi'$	307 36,9	295 50,5
	$r, r'$	31,87	42,85	$\rho, \rho'$	32,29	44,33
	$H$	$= 26,05 \pm 36,25.s$				
	$H'$	$= 32,01 \pm 59,58.s$				

38	$\alpha, \alpha'$	52 22,4	52 17,3	$\sigma, \sigma'$	121 46,4	128 43,6
	$\rho, \rho'$	325 41,7	305 5,8	$\pi, \pi'$	332 26,0	314 7,3
	$r, r'$	17,24	15,47	$\rho, \rho'$	16,63	16,16
	$H$	$= 13,65 \pm 0,35.s$				
	$H'$	$= 11,35 \pm 0,45.s$				

40	$\alpha, \alpha'$	57 45,3	49 40,2	$\sigma, \sigma'$	122 17,0	115 49,4
	$\rho, \rho'$	297 53,2	288 6,3	$\pi, \pi'$	300 2,8	290 28,2
	$r, r'$	19,09	20,14	$\rho, \rho'$	18,83	16,81
	$H$	$= 13,93 \pm 0,52.s$				
	$H'$	$= 11,73 \pm 0,50.s$				

Nr. 43 <sup>a</sup>	$\alpha, \alpha'$	70° 2'7"	80° 50'9"	$\sigma, \sigma'$	101° 1'0"	126° 5'9"
	$p, p'$	25 5,7	31 21,3	$\pi, \pi'$	25 40,1	18 40,9

Man sehe die unten folgenden Anmerkungen.

43 <sup>b</sup>	$\alpha, \alpha'$	52 10,3	57 48,3	$\sigma, \sigma'$	124 58,2	136 36,8
	$p, p'$	346 13,6	359 42,8	$\pi, \pi'$	356 28,3	3 43,4
	$r, r'$	26,63	15,86	$\zeta, \zeta'$	21,35	17,72
	$H = 19,57 \pm 6,00.e$					
	$H = 14,24 \pm 0,62.e$					

44	$\alpha, \alpha'$	82 32,6	70 59,6	$\sigma, \sigma'$	144 33,3	147 56,9
	$p, p'$	318 2,9	308 21,7	$\pi, \pi'$	320 1,2	316 16,2
	$r, r'$	12,33	9,11	$\zeta, \zeta'$	22,10	19,10
	$H = 12,07 \pm 0,98.e$					
	$H = 8,16 \pm 2,04.e$					

45	$\alpha, \alpha'$	129 20,2	132 21,9	$\sigma, \sigma'$	145 57,1	156 31,8
	$p, p'$	344 14,4	331 56,7	$\pi, \pi'$	354 9,7	337 0,2
	$r, r'$	11,27	8,60	$\zeta, \zeta'$	19,37	17,81
	$H = 8,70 \pm 1,39.e$					
	$H = 6,13 \pm 1,10.e$					

46	$\alpha, \alpha'$	36 35,8	35 58,4	$\sigma, \sigma'$	133 21,6	119 33,9
	$p, p'$	330 3,1	348 12,5	$\pi, \pi'$	354 48,9	2 1,1
	$r, r'$	9,76	12,53	$\zeta, \zeta'$	13,50	12,23
	$H = 5,81 \pm 0,98.e$					
	$H = 7,03 \pm 0,59.e$					

48	$\alpha, \alpha'$	34 21,9	48 17,2	$\sigma, \sigma'$	53 53,8	69 39,0
	$p, p'$	359 13,8	298 22,2	$\pi, \pi'$	16 17,1	290 41,8
	$r, r'$	26,75	31,65	$\zeta, \zeta'$	20,66	26,02
	$H = 14,77 \pm 1,55.e$					
	$H = 15,58 \pm 2,17.e$					

50 <sup>a</sup>	$\alpha, \alpha'$	95 32,2	65 8,0	$\sigma, \sigma'$	133 46,2	103 38,4
	$p, p'$	355 51,1	23 45,9	$\pi, \pi'$	310 43,8	22 6,0
	$r, r'$	20,22	17,36	$\zeta, \zeta'$	23,77	17,21
	$H = 20,06 \pm 2,37.e$					
	$H = 13,26 \pm 0,94.e$					

50 <sup>b</sup>	$\alpha, \alpha'$	133 49,2	68 8,5	$\sigma, \sigma'$	134 20,8	111 37,9
	$p, p'$	2 22,5	346 50,6	$\pi, \pi'$	358 10,1	357 11,2

Man sehe die unten folgenden Anmerkungen.

50 <sup>c</sup>	$\alpha, \alpha'$	91 45,5	51 1,7	$\sigma, \sigma'$	145 0,3	126 15,0
	$p, p'$	335 12,4	336 56,6	$\pi, \pi'$	330 27,2	349 12,6
	$r, r'$	16,21	12,71	$\zeta, \zeta'$	25,97	15,45
	$H = 16,00 \pm 8,55.e$					
	$H = 9,77 \pm 0,79.e$					

54	$\alpha, \alpha'$	83 7,7	86 11,4	$\sigma, \sigma'$	124 22,5	120 33,5
	$p, p'$	335 2,5	324 4,1	$\pi, \pi'$	327 58,4	322 1,5
	$r, r'$	11,29	14,75	$\zeta, \zeta'$	15,98	17,35
	$H = 10,96 \pm 1,46.e$					
	$H = 13,55 \pm 0,94.e$					

55	$\alpha, \alpha'$	113 35,3	120 24,0	$\sigma, \sigma'$	111 47,6	121 16,7
	$p, p'$	340 1,6	323 25,2	$\pi, \pi'$	338 8,5	320 24,7

Man sehe die unten folgenden Anmerkungen.

Nr. 57	$\alpha, \alpha'$	34° 29'8"	35° 3'4"	$\sigma, \sigma'$	40° 9'6"	42° 27'6"
	$p, p'$	355 16,9	5 16,8	$\pi, \pi'$	6 33,0	18 40,0
	$r, r'$	3,89	5,47	$\zeta, \zeta'$	7,22	7,16
	$H = 1,99 \pm 0,63.e$					
	$H = 2,56 \pm 0,71.e$					

58	$\alpha, \alpha'$	60 31,8	70 52,0	$\sigma, \sigma'$	129 36,3	128 46,7
	$p, p'$	304 3,6	286 36,4	$\pi, \pi'$	299 57,9	290 58,6
	$r, r'$	10,46	18,72	$\zeta, \zeta'$	19,31	21,24
	$H = 13,19 \pm 0,68.e$					
	$H = 13,45 \pm 0,84.e$					

61	$\alpha, \alpha'$	69 3,2	72 58,1	$\sigma, \sigma'$	129 9,3	141 55,6
	$p, p'$	337 21,7	314 47,9	$\pi, \pi'$	346 27,8	332 25,7
	$r, r'$	14,25	10,20	$\zeta, \zeta'$	19,99	19,62
	$H = 13,09 \pm 0,64.e$					
	$H = 9,53 \pm 1,03.e$					

62	$\alpha, \alpha'$	82 20,3	69 43,1	$\sigma, \sigma'$	131 50,9	140 51,3
	$p, p'$	285 57,0	278 15,6	$\pi, \pi'$	283 49,6	277 16,5
	$r, r'$	21,99	16,88	$\zeta, \zeta'$	27,69	26,12
	$H = 16,41 \pm 2,73.e$					
	$H = 11,11 \pm 1,04.e$					

Einige dieser Rechnungen haben nicht bis zum letzten Resultate fortgesetzt werden können, indem sie bewiesen haben, entweder dafs zwei verschiedene Sternschnuppen als eine und dieselbe angesehen worden, oder dafs die Beobachtungen durch grofse Fehler entstellend sind. Nr. 11 zeigt an dem einen Beobachtungsorte eine Zunahme, an dem anderen eine Abnahme des Positionswinkels, einen Widerspruch, der nur durch die Annahme von Beobachtungsfehlern von mehreren Graden beseitigt werden kann, deren Wahrscheinlichkeit bei dieser Sternschnuppe auch *Brandes* angiebt. In noch gröfserem Mafse ist dieses bei Nr. 32 der Fall, bei welcher die entgegengesetzte Richtung der Bewegung an beiden Orten, die annehmbare Grenze der Fehler, ohne Zweifel überschreitet, so dafs entweder ein Versehen in der Aufzeichnung der Beobachtungen vorgefallen sein mufs, oder diese zwei verschiedenen Erscheinungen angehören. Nr. 43 ist an 3 Orten beobachtet und an der Identität der Erscheinung ist, wegen ihrer ausgezeichneten Helligkeit, nicht zu zweifeln; die Fehler der Beobachtung ihres Endpunktes in *Zeiss*, welche *Brandes* schon bemerkte, zeigen sich in der ersten der beiden berechneten Combinationen, welche übrigens einen von den Fällen darbietet, in welchen die Bewegung fast unbestimmt bleibt. Nr. 56 gleichfalls an 3 Orten beobachtet, ist in allen Beziehungen der vorigen sehr ähnlich; allein von ihr wird besonders bemerkt, dafs ihre scheinbaren Bahnen merklich von dem grössten Kreise abgewichen sind. Wäre dieses nicht der Fall, so würde aus beiden Bestimmungen der Höhe, zur Zeit des Verschwindens in *Mikran* (50° und 50°), hervorgehen, dafs die Beobachtungsfehler gröfser seien, als 1 Grad. Nr. 27 und 55 zeigen so geringe Einwirkungen der Parallaxe, dafs sie sich mit den

Beobachtungsfehler vermischen; man kann daraus nur auf große Entfernungen schließen, ohne sie näher bestimmen zu können.

## 6.

Wenn man die heranagebrachten Höhen der berechneten Sternschnuppen und die Einflüsse des Beobachtungsfehlers betrachtet, so kann man nicht zweifelhaft bleiben, daßs das eine der Resultate, deren Kenntniß wir *Brandes* und *Benzenberg* verdanken, nämlich die GröÙe der Höhen, in welchen Sternschnuppen sich zeigen können, vollkommen begründet ist. Dagegen erscheint das andere derselben sehr zweifelhaft; unter den 30 Bahnen, welche haben berechnet werden können, zeigen sich zwar 10 *aufsteigende*, allein bei 8 von ihnen reicht die Annahme von Beobachtungsfehlern, welche weit unter einem Grade bleiben, schon hin, das Aufsteigen in ein Fallen zu verwandeln, nämlich bei Nr. 10, 20, 22, 34, 36, 48, 57, 58; bei Nr. 46 wird etwa ein Grad und bei Nr. 54 etwas mehr als ein Grad dazu erfordert. Es ist also unter diesen Beobachtungen keine vorgekommen, welche der Annahme des Aufsteigens eine Wahrscheinlichkeit gäbe, welche sie als ein Resultat der Beobachtungen anzusehen erlaube. Indessen findet sich unter den Sternschnuppen, welche *Benzenberg* und *Brandes* im J. 1798 in *Clausberg* und *Sesebühl* (bei Göttingen) beobachteten, eine (Nr. 12, am 9<sup>ten</sup> Octbr.), welche ich als Beweis des Aufsteigens derselben angeführt finde. Ich habe sie, aus diesem Grunde, nach der im vorigen § auf die späteren Beobachtungen angewandten Methode, berechnet. Die beobachteten Orte sind:

Clausberg.				Sesebühl.			
$\alpha, \alpha'$	309° 0'	324° 0'		$\alpha, \alpha'$	318° 0'	333° 0'	
$\delta, \delta'$	45 0	50 0		$\delta, \delta'$	62 0	57 0	

Es finden sich Astr. Jahrb. 1806 S. 214. Die Polhöhe von *Clausberg* ist = 51° 35', die in Kreistheilen ausgedrückte Sternweite = 342° 0'. Ferner finde ich (Die Sternschnuppen von *Benzenberg*. Hamburg 1839 S. 6) die Entfernung beider Standpunkte = 46200 Pariser Fns und das Azimuth des zweiten, am ersten = 244°, abgelesen, woraus  $\log H = 7,37169$ , oder die geograph. Meile als Elahet angenommen. = 0,30590 und  $H = 272^{\circ} 52' 7$ ,  $D = -15^{\circ} 51' 6$  folgen. Hiermit erhält man ferner:

$\alpha, \alpha'$	69° 8' 0	79° 42' 2	$\sigma, \sigma'$	85° 33' 8	88° 10,7
$p, p'$	26 29,6	30 34,2	$\pi, \pi'$	19 29,5	28 11,8
$r, r'$	6,36	12,65	$\rho, \rho'$	5,95	12,45
$H$	6,87		$H'$	12,40	

Die Sternschnuppe scheint also, und zwar fast senkrecht, in die Höhe gestiegen zu sein; berechnet man aber die Formel [14], so findet man, daßs Beobachtungsfehler, deren GröÙe =  $\pm$  Grade den Unterschied  $H' - H$  von  $\pm 6,55$  Meilen ändern.

Wenn die Sternschnuppe nicht gestiegen ist, so müs-

sen die vier beobachteten Oerter also wenigstens einen Grad fehlerhaft sein, und diese Fehler müssen in dem Sinne angenommen werden, welcher ihr Zusammenwirken am meisten befördert. Da man keinen Grund hat, das Nichtstattfinden solcher Fehler als entschieden anzusehen, so giebt also auch diese Beobachtung keinen Beweis für das Vorkommen einer aufsteigenden Sternschnuppe. Sollten fernere Beobachtungen das Aufsteigen dennoch rechtfertigen, so ist dieses nur in seltenen Fällen zu erwarten, in welchen die von *Olbers* angedeutete, schon angeführte Ursache zur Erklärung ausreichen wird, ohne die allgemeine Regel, daßs die Sternschnuppen aus großen Höhen zur Erde herabkommen, verdächtig zu machen.

Obgleich ich nicht glaube, daßs die vorhandenen Beobachtungen nach ihrer mitgetheilten neuen Berechnung, in Beziehung auf diese allgemeinen Resultate, eine beträchtliche Unsicherheit föhrl lassen, so unterlasse ich doch nicht, einer unerwarteten Erscheinung zu erwähnen, welche sich durch diese Berechnung gezeigt hat. Die Ordnung, in welcher die vier, aus jedem Paare correspondirender Beobachtungen hervorgehenden Werthe des Positionswinkels (oder  $p, p', \pi, \pi'$ ) aufeinanderfolgen, ist die Ordnung der Zeitfolge der Beobachtungen selbst: ich erwartete sie im Allgemeinen so zu finden, daßs an dem Beobachtungsorte, welchem die Erscheinung am nächsten war, ihr Anfang am frühesten und ihr Ende am spätesten gesehen wäre; dieses hat sich aber sehr oft gerade entgegengesetzt verhalten. Um ein Paar Beispiele hiervon anzuführen, mache ich auf Nr. 13 und 18 aufmerksam, deren Anfang und Ende am ersten Beobachtungsorte, zwischen Anfang und Ende am zweiten fielen und beträchtlich näher aneinander lagen als diese, obgleich diese Sternschnuppen dem ersten Orte viel näher waren, als dem zweiten. Nr. 46 und 57 hatte man sogar am ersten Orte schon aufgeführt zu sehen, als sie am zweiten zuerst bemerkt wurden. Ich zweifle nicht, daßs die Möglichkeit vorhanden ist, Aehnliches durch die speciellen Umstände jedes besonderen Falles zu erklären; allein ich wünschte, daßs diese Umstände angegeben sein mögten, damit man die Erklärung nicht gänzlich verlore.

Indessen hat meine Beschäftigung mit diesem Gegenstande zu der Ueberzeugung geführt, daßs eine neue Beobachtungsreihe über die Sternschnuppen in mehreren Beziehungen sehr wünschenswerth sein würde. Im Falle ich drei dafür hinreichend eifrige und in der Wahl ihrer Standpunkte nicht beschränkte Beobachter finde, beabsichtige ich, solche Beobachtungen zu veranlassen. Meine Absicht werde ich hier näher angeben, damit auch Andere, auf den Fall ihre *hierige* Ausföhrung auf Schwierigkeiten träfe, oder diese an einem anderen Orte früher besetzt werden könnten, davon benutzen können, was ihnen zweckmäÙig erscheint.

Vor allen Dingen muß dafür gesorgt werden, daß die Beobachtungen selbst die größte Genauigkeit erhalten, welche, bei dem schnellen Verlaufe der Erscheinungen, erreichbar ist. Diese Schnelligkeit des Verlaufes schließt die Anwendung jeden Instruments aus und reducirt die Beobachtungen auf die *Einzeichnung* der scheinbaren Bahnen in die Himmelskarten. Ich bin stets der Meinung gewesen, daß die sämtlichen mir bekannten *nicht speciellen* Karten dieser Art den Forderungen, welche an sie gemacht werden dürfen, nicht angemessen eingerichtet sind: sie stellen auf ihren einzelnen Blättern viel zu kleine Theile des Himmels dar, oft nach einem unnöthig grossen und die Uebersicht erschwerenden Maassstabe gezeichnet; sie enthalten das, was nur dem Gedächtnisse zu Hülfe kommen soll, nämlich die Figuren der Sternbilder, auf eine Art, welche gleichfalls der Uebersicht über das Wesentliche — die Configurationen der Sterne selbst — hinderlich ist; sie vermischen in einigen Fällen die dem bloßen Auge sichtbaren Sterne mit kleineren und geben in anderen Fällen die ersten nicht vollständig; ihre Netze haben endlich nicht die Einrichtung, daß man dadurch in den Stand gesetzt würde, den Ort eines Punktes am Himmel, durch seine Configuration mit benachbarten Sternen, bis auf Theile eines Grades sicher zu schätzen. Aus diesen Gründen habe ich längst die Entwurfung neuer allgemeiner Himmelskarten für etwas sehr wünschenswerthes gehalten, und nun, durch die Sternschnuppenveranlassung, einen eifrigen, den Lesern der Astr. Nachr. (Nr. 313—315) schon bekannten Freund und Kenner der Astronomie, zu dessen der Wissenschaft schon nützlich gewordenen Eigenschaften, auch alle zum Kartenzeichnen nothwendigen Fertigkeiten und die größte Genauigkeitsliebe gehören, dazu aufgefordert. Dieses ist Herr Ingenieur-Hauptmann Ritter *Schweinek* in Pillau. Die Absicht ist, den Himmel, vom Nordpole bis zu 30° südlicher Abweichung, auf 5 Blättern darzustellen. Vier davon gehen von 30° südlicher bis 50° nördlicher Abweichung, und zwar so, daß jedes derselben diese Zone für 102° der Geradenaufsteigung vollständig enthält; das fünfte Blatt enthält die Gegend um den Pol und wiederholt einen hinreichenden Theil der auf den andern Blättern schon dargestellten Gegenden; alle Blätter sind rechtwinklig begrenzt, 16½ Preuss. Zoll hoch und 18½ breit, und stellen, bei der krummsten Begrenzung des Theils des Himmels, welchen sie *vollständig* enthalten, noch benachbarte Theile von beträchtlicher Größe dar. Die Projectionsort ist die stereographische; der Maassstab konnte, ohne eine unbequeme Größe der Blätter hervorzubringen, zu 2 Linien für den Grad des größten Kreises (in der Mitte der Blätter), angenommen werden; er ist mehr als hinreichend für alles was die Karten enthalten sollen, so daß sie ein völliger Ersatz der vorhandenen blätterreichen Kartenwerke, insofern sie den in unseren Gegenden sichtbaren Theil des Himmels betreffen, aber von den Unbequemlichkeiten derselben befreit sein

werden. Das Netz der Karten wird von 2 zu 2 Grad ausgezogen, von 10 zu 10 Grad aber durch stärkere Linien, wodurch der Vortheil erlangt wird, daß die *Richtung*, auch eines kürzeren Bogens eines größten Kreises, durch Fehler der Schätzung seiner Endpunkte auf der Karte, wenig entstellt wird. Die Bezeichnungen der Sterne und ihrer Größen werden, von den bisher üblichen verschieden, so gewählt, daß sie eine mögliche getreue Darstellung des Himmels selbst gewähren. Diejenigen Nebelflecke und Sternhaufen, welche durch einen guten Fernstecher sichtbar sind, werden auf den Karten verzeichnet. Diese werden auch die Figuren der Sternbilder enthalten, jedoch auf eine Art, welche den Ueberblick über die Configurationen der Sterne nicht beeinträchtigt. Herr Hauptmann *Schweinek* hat diesen Plan mit gewohntem Eifer aufgenommen und bereits beträchtliche Fortschritte in seiner Ausführung gemacht, so daß ich hoffen darf, daß schon in einigen Monaten ein Theil der Karten in die Hände des Kupferstechers wird gegeben werden können.

Wenn diese Karten fertig seyn werden, so wünsche ich, daß *drei* Beobachter sich hier auf der Sternwarte in der Einzeichnung von 40 bis 50 Sternschnuppenbahnen nicht nur üben sondern auch die ihnen darin erreichbare Sicherheit näher erlernen. Nachdem dieses vorangegangen ist, verfügen sie sich auf ihre Standpunkte, welche in einem gleichseitigen Dreieck 10 bis 15 Meilen voneinander entfernt, liegen sollen. Hierdurch wird erreicht werden, daß unter den, an allen drei Standpunkten beobachteten Sternschnuppen nie eine sein kann, deren Bewegung nicht *vorteilhaft* durch die Beobachtungen bestimmt würde. Jeder Beobachter soll mit einem Chronometer versehen sein, damit die Beobachtung der Zeitmomente der Sternschnuppen über ihre Identität entscheide.

Die Beobachtungen dieser Erscheinungen sind mir immer sehr lästig vorgekommen; vorzüglich wohl, weil man nicht überzeugt ist, daß sich Correspondenzen finden werden und man den sicheren Gewinn, den ein heiterer Abend durch andere Beobachtungen vielfeilt, nicht gern dieser unsicheren Aussicht aufopfert. Ich halte für wesentlich, daß man die Aussicht auf Correspondenzen möglichst vermehre, und werde daher, falls die angegebene Absicht zur Ausführung gelangt, versuchen, ob es ausführbar ist, die Aufmerksamkeit auf zu beobachtende Sternschnuppen stets von *vorherbestimmten* Zeiten eines gewissen Meridians anfangen zu lassen; zeigten sich z. B. zwei Minuten hinreichend zur Einzeichnung der Bahn einer Sternschnuppe (was die vorläufigen Versuche lehren werden), so würde ich wünschen, daß die Beobachter mit jeder vollen vierten Minute anfangen aufmerksam zu sein, um die *erste* darauf folgende Sternschnuppe anzumerken, die später, vor der neuen vierten Minute etwa folgenden aber nicht berücksichtigten. Hierdurch würde man zwar viele Sternschnuppen verlieren, aber dennoch

wahrscheinlich eine größere Zahl correspondirender erhalten. Ferner glaube ich, daß nicht länger als 2 Stunden in jeder Nacht beobachtet werden sollte; auch daß es sich nicht erfolgreich erweisen würde, wenn die Beobachter alch auf sehr lange Zeit gegenseitig verpflichtet. Wenn man die heiterste Zeit des Jahres (hier den August oder September, in welchen Monaten die Sternschnuppen auch häufig auf sein pflegen), wählt, so muß der Himmel ungewöhnlich ungünstig sein, wenn er nicht in 10 bis 12 Nächten eine hinreichende Menge correspondirender Beobachtungen anzustellen erlaubt.

## 7.

Besonders ist, meiner Meinung nach, zu wünschen, daß um diese Art der Beobachtungen auch auf die Sternschnuppen wurde, welche sich in jährlichen Perioden, im November und in August, schon oft gezeigt haben. *Olters, Benzenberg* und *Brandes* haben darauf aufmerksam gemacht, daß sehr verschiedene Dinge, in oder über der Atmosphäre, leuchten mögen. Es sind zwar Gründe vorhanden, welche den cosmischen Ursprung der November-Sternschnuppen, selbst vorzugsweise vor den gewöhnlichen, wahrscheinlich machen; allein man kann nicht sagen, daß ihr oft ungewöhnlich großer Glanz und die Erscheinungen, welche sie, den Orenburger und Newhavener Beobachtern im J. 1832 u. 1833 \*) zufolge, begleiteten, auch Veränderungen von der gewöhnlichen Art der Sternschnuppen, andeuten scheinen. Wenn aber dieses auch nicht wäre, so sollte man dennoch wünschen, die Anwendbarkeit dessen, was von den gewöhnlichen Sternschnuppen erkannt hat, oder daraus wird, auch für die in der Novemberperiode erscheinenden nachgewiesen zu sehen. Bei ihrer großen Zahl würde die Vorschritt, immer nur die erste nach einem vorher bestimmten Zeitabschnitte zu beobachten, wesentlich sein. Allein in ferneren Gegenden sind zu Versuchen über diese Sternschnuppen nicht geeignet, indem heiteres Wetter in der Mitte des Novembers zu den seltenen Ausnahmen gehört, so daß die Versuche höchst eher zehnmal mißlingen, als einmal gelingen würden.

Da ich nicht erinnere, eine Zusammenstellung der Sonnenzeiten mit den Sternschnuppenerscheinungen im November gemacht zu haben, hierauf aber das Urtheil über die Genauigkeit ihres Einhalters der jährlichen Periode beruhen muß, so setze ich die hier. Sie beruht auf folgenden Grundlagen.

\*) der Nachricht von *Alexander v. Humboldt* (Voyage IV. p. 34), welcher die Mitte der Erscheinung 1799. Nov. 11. 16<sup>h</sup> in Camana sah;

\*) der Beobachtungen in Orenburg (Astr. Nachr. Nr. 302. S. 241), welchen zufolge die Erscheinung auf 1832 Nov. 12. 17<sup>h</sup> 30' gesetzt werden kann;

3. den Beobachtungen in Newhaven (Connecticut) und sehr vielen anderen über Nordamerika verbreiteten Punkten, welche die größte Intensität der Erscheinung auf 1833 Nov. 12. 16<sup>h</sup> setzten (*Poggendorff Annalen* XXXIII. S. 197);
4. den Beobachtungen, gleichfalls wie die vorigen in Newhaven und von Prof. *Olmutz*, im J. 1834 Nov. 13. 13<sup>h</sup> 30' (*Poggendorff Annalen* XXXIV. S. 130);
5. denen von *Boguslawski* in Breslau, der die Mitte der Erscheinung: 1836 Nov. 13. 16<sup>h</sup> 30' wahrnahm;
6. denen von Dr. *Buch* u. *Buolt* in Königsberg (A. N. Nr. 371), womit sich die von *Klüver* bei Bremen (ebendas. Nr. 372) vereinigen, und, obgleich an beiden Orten der Anfang der Erscheinung vom bedeckten Himmel unsichtbar gemacht wurde, doch vernuthen lassen; daß ihre Mitte auf 1838 Nov. 13. 16<sup>h</sup> 15' Königsberger Zeit gesetzt werden darf.

Reducirt man die unmittelbar abgegebenen Beobachtungszeiten auf den ersten (d. h. Pariser) Meridian, und schreibt man ihnen die wahren Sonnenlängen, und die von dem festen Nachtgleichenpunkte von 1800 angezählten bei, so erhält man folgende Uebersicht darüber:

	Zeit des 1ten Merid.	Sonnenlänge, gezählt vom wahren   festen Nachtgleichenpunkte.
1799 Nov. 11	20 <sup>h</sup> 36'	230° 0'   230° 0'
1832 — 12	13 0	230 42   230 15
1833 — 12	21 0	230 48   230 20
1834 — 13	21 30	231 34   231 5
1836 — 13	15 30	231 51   231 21
1838 — 13	15 0	231 20   230 48

Daß kein Grund vorhanden ist, von den Zahlen der letzten Columnen, entweder die Gleichheit, oder daß der Zeit genau proportionale Fortschreiten, zu fordern, hat *Olters* in seinem schon angeführten Aufsatz \*) auseinander gesetzt.

Ich erwähne nicht, daß die Kenntniß der Sternschnuppen, insofern von den geometrischen Verhältnissen, die man daran wahrnehmen kann, die Rede ist, so vollständig gemacht werden kann, als man zu wünschen berechtigt ist. Von ihren physischen Verhältnissen habe ich nichts zu sagen, nachdem dieses schon von Anderen dazu tüchtigeren erörtert worden sind. Ich benutze in dessen die Gelegenheit, den Wunsch auszusprechen, daß es gelingen möge, eine einzige der Hunderttausende von November-Sternschnuppen, bei ihrem Herabfallen auf die Erdoberfläche, auf eine unzweifelhafte Art zu finden. Daß dieses bisher nicht gelungen ist, könnte, verbunden mit dem Verlöschen der Sternschnuppen schon in großen Entfernungen von der Erde (§. 5), mit der Heftigkeit der Lichterscheinungen, welche sie 1799, 1832, 1833 und 1834 entwickelt haben, und mit den dann sehr lebhaften Schweifen, welche sie zurücklassen, der Frage einiges Gewicht geben, „ob es wohl annehmbar ist, daß sie schon in den höheren Luftschichten gänzlich verheuren?“

\*) Astr. Nachr. Nr. 303. S. 241. und *Poggendorff Annalen* XXXIII. S. 194, 196 u. 197.

\*) Schumachers Astron. Jahrb. 1837.

## L ä n g e v o n C r a c a u .

(Beschlufs. S. Nr. 378. S. 299.)

19. Bedeckung von  $\gamma$  Virginis den 20<sup>ten</sup> April 1834.

Cracau	+ 70° 6637 + 0,0354 $dx$ + 0,0157 $dd$
Breslau	+ 58,9276 + 0,0347 $dx$ + 0,0139 $dd$
Danzig	+ 65,2703 + 0,0448 $dx$ + 0,0384 $dd$
Kremsmünster	+ 47,3928 + 0,0304 $dx$ + 0,0037 $dd$
Wien	+ 56,3599 + 0,0313 $dx$ + 0,0059 $dd$

Mit Wieu und Kremsmünster ergeben sich folgende Längen:

von Cracau	+ 1° 10' 34" 79
Breslau	+ 58 49,52
Danzig	+ 1 5 25,40.

20. Bedeckung von  $\gamma$  Sagitt. den 8<sup>ten</sup> Octbr. 1834.

Cracau	+ 70° 6778 + 0,0271 $dx$ + 0,0096 $dd$
Kremsmünster	+ 47,3611 + 0,0271 $dx$ + 0,0015 $dd$
Wien	+ 56,3462 + 0,0271 $dx$ + 0,0007 $dd$

Hier kann man unbedenklich  $dd = 0$  setzen und  $dx$  durch

Wien bestimmen, und dann wird sich	
die Länge von Cracau	+ 1° 10' 30" 30
Kremsmünster	+ 47 11,28

ergeben.

21. Bedeckung von  $\gamma$  Ceti den 6<sup>ten</sup> Januar 1835.

Cracau	+ 70° 5218 + 0,0176 $dx$ + 0,0421 $dd$
Wien	+ 56,2632 + 0,0203 $dx$ + 0,0361 $dd$
Kremsmünster	+ 47,2039 + 0,0203 $dx$ + 0,0363 $dd$
Breslau	+ 58,7492 + 0,0147 $dx$ + 0,0483 $dd$

Drückt man hier durch Wien die Grösse  $dx$  in  $dd$  aus, so werden sich die Längen ergeben:

von Cracau	+ 70° 4443 + 0,0109 $dd$
Kremsmünster	+ 47,1145 + 0,0004 $dd$
Breslau	+ 58,6844 + 0,0222 $dd$

Wollte man nun die Grösse  $dd$  durch Kremsmünster bestimmen, so würde man ihren Werth sehr groß finden wegen den zu geringen Coefficienten; es wird also für die Cracauer Länge besser, wenn man sie  $= 0$  setzt und auf die Art findet man

die Länge von Cracau	+ 1° 10' 26" 66
Kremsmünster	+ 47 6,87, alle etwas zu klein.
Breslau	+ 58 41,06

22. Bedeckung von  $\gamma$  Leonis den 9<sup>ten</sup> April 1835.

Cracau	+ 70° 4303 + 0,0281 $dx$ + 0,0036 $dd$
Wien	+ 56,0480 + 0,0265 $dx$ + 0,0081 $dd$
Kremsmünster	+ 47,0669 + 0,0259 $dx$ + 0,0096 $dd$
Breslau	+ 58,6893 + 0,0279 $dx$ + 0,0041 $dd$

Wegen der zu kleinen Coefficienten von  $dd$  könnte diese Grösse nicht gut bestimmt werden; setzt man sie also  $= 0$  und bestimmt  $dx$  durch Wien, so folgt

die Länge von Cracau	+ 1° 10' 33" 80
Kremsmünster	+ 47 11,37
Breslau	+ 58 49,29

23. Bedeckung von  $\gamma$  Ophiuchi den 10<sup>ten</sup> Juni 1835.

Cracau	+ 70° 5465 + 0,0257 $dx$ + 0,0061 $dd$
Altona	+ 30,4182 + 0,0253 $dx$ + 0,0032 $dd$
Breslau	+ 58,8370 + 0,0256 $dx$ + 0,0053 $dd$

Setzt man hier wieder  $dd = 0$  und bestimmt  $dx$  durch Altona so findet man

die Länge von Cracau	+ 1° 10' 33" 44
Breslau	+ 58 50,86

24. Bedeckung von  $\gamma$  Leonis den 25<sup>ten</sup> April 1836.

Cracau	E. + 70° 7242 + 0,0492 $dx$ + 0,0444 $dd$
Altona	E. + 30,5388 + 0,0390 $dx$ + 0,0215 $dd$
A.	+ 30,3194 + 0,0049 $dx$ + 0,0759 $dd$
Greenwich	E. - 9,2718 + 0,0330 $dx$ + 0,0022 $dd$
A.	- 9,3557 + 0,0185 $dx$ + 0,0380 $dd$

Durch Greenwich findet sich

die Länge von Cracau	+ 1° 10' 32" 70
Altona	+ 30 23,42.

25. Bedeckung von  $\gamma$  Sagitt. den 16<sup>ten</sup> Oct. 1836.

Cracau	+ 70° 9095 + 0,0241 $dx$ + 0,0155 $dd$
Breslau	+ 59,1655 + 0,0242 $dx$ + 0,0139 $dd$
Wien	+ 56,5906 + 0,0253 $dx$ + 0,0154 $dd$

Drückt man hier durch Wieu  $dx$  in  $dd$  aus, und setzt dann  $dd = 0$  so ergibt sich

die Länge von Cracau	+ 1° 10' 30" 71
Breslau	+ 58 45,98

Stellt man jetzt alle die vorher erhaltenen Längen von Cracau zusammen, so ergibt sich folgende Reihe:

1. + 1° 10' 27" 50	14. + 1° 10' 29" 86
2. 29,13	15. 31,65
3. 30,89	16. 28,91
4. 30,51	17. 27,94
5. 30,77	18. 28,68
6. 32,02	19. 34,79
7. 26,19 $dd$ unbest.	20. 30,30
8. 29,66	21. 26,66 $dd$ unbest.
9. 29,60	22. 33,80 $do.$
10. 28,72	23. 33,44 $do.$
11. 29,65	24. 32,70
12. 33,95 $dd$ unbest.	25. 30,71 $dd$ unbest.
13. 27,59	

Das Mittel dieser 25 Bestimmungen ist

+ 1° 10' 30" 22

mit dem Gewichte 2,52 und dem wahrscheinlichen Fehler 0,301

Zuletzt muß ich noch bemerken, daß ich alle Zahlen die in den Bedingungen vorkommen, auf 5 Decim. stellen gerechnet habe, und nur beim Abschreiben habe ich die fünfte Decimale überall weggelassen.

Nehme ich aber auch die früheren Bestimmungen auf, also bloß die aus Sternbedeckungen, nemlich die von Wieu Austr. Nachr. Nr. 167 und die von mir in Nr. 230, indem ich diese 16 Bestimmungen bloß für drei rechne, weil nur drei Bedeckungen mit verschiedenen Orten verbunden waren, und laße von denen von Wieu 6, die die Länge von Cracau unter 24° oder über 35° geben, aus, so finde ich das Mittel aus 45 Bestimmungen 1° 10' 29" 536 mit dem Gewichte 3,66 und dem wahrscheinlichen Fehler 0"25. Es scheint also, daß man mit ziemlicher Genauigkeit die geographische Länge von Cracau  $= 1° 10' 29"$  setzen kann.

Steckowski.

# ASTRONOMISCHE NACHRICHTEN.

N<sup>o</sup>. 382.

## Ehrenbezeugung.

Se. Majestät der König von Dänemark haben dem Herrn  
Geheimenrath *Bessel*, als ein Zeichen der Anerkennung seiner  
Arbeiten bei der Ausgleichung des Dänischen Längenmaßes  
mit dem Preussischen, eine goldene mit Brillanten besetzte  
Dose, mit der Inschrift:

FREDERIK VI.

til

F. W. Bessel.

übersenden zu lassen geruht.

S.

## Hansensche Constanten für die Sternbedeckungen 1840.

Von Herrn Dr. Mädler.

1840.	$\phi_s$	$L_s$	$c$	1840.	$\phi_s$	$L_s$	$c$
1 Jan. 11 62 Piscium	+2 45	85 2	+21 36	38 Mai 7 (224) Cancri	+1 41	96 34	-13 23
2 63 Piscium	+3 0	84 56	+21 35	39 8 16 Leonis	+0 44	96 49	-16 34
3 13 (112) Arietis	+4 58	87 5	+17 3	40 10 79 Leonis	-2 39	96 11	-21 26
4 84 Arietis	+5 27	86 37	+16 29	41 15 (262) Librae	-6 18	92 35	-14 53
5 14 18 (m Plej.)	+5 15	88 4	+15 13	42 (282) Solitar.	-6 35	91 58	-14 37
6 19 (e Plej.)	+6 3	88 6	+12 3	43 16 6 Scorpii	-7 4	91 13	-11 6
7 20 (c Plej.)	+5 55	87 58	+12 3	44 21 (146) f Capric.	-4 10	86 46	+11 42
8 16 (236) Tauri	+6 3	91 36	+2 3	45 22 30 Capric.	-2 42	83 31	+14 39
9 136 C Tauri	+5 41	91 34	+1 52	46 24 73 Aquarii	-0 11	82 30	+20 16
10 (287) Aurigae	+5 37	91 18	+1 14	47 78 Aquarii	-0 5	82 26	+20 22
11 17 57 A Geminor.	+4 13	93 21	-5 50	48 Jun. 3 33 Cancri	+1 5	93 15	-10 22
12 Febr. 4 Mars Centr.	-1 4	85 31	+19 47	49 13 23 Scorpii	-7 44	90 53	-8 15
13 8 104 Piscium	+4 51	86 39	+19 52	50 29 40 Gemin.	+4 26	92 14	-3 30
14 12 (136) Aurigae	+5 52	90 47	+3 20	51 Jul. 4 91 Leonis	-3 36	97 6	-21 43
15 136 C Tauri	+5 40	91 8	+1 54	52 12 (359) Sagittarii	-6 30	89 27	-0 50
16 13 39 Geminor.	+4 40	92 14	-3 35	53 21 104 Piscium	+5 1	84 37	+20 2
17 14 77 Geminor.	+4 14	93 9	-7 23	54 26 39 Geminor.	+4 36	91 52	-3 25
18 16 (74) Leonis	+1 59	95 17	-15 20	55 Aug. 3 75 Virginis	-6 34	95 35	-20 9
19 17 45 Leonis	+0 16	94 28	-19 11	56 5 (282) Solitarii	-7 19	94 50	-14 41
20 18 79 Leonis	-2 33	94 36	-21 26	57 11 (146) f Capric.	-4 5	89 15	+11 38
21 21 83 Virginis	-6 12	92 37	-19 55	58 12 30 Capric.	-2 37	88 11	+15 10
22 März 14 (74) Leonis	+1 57	94 31	-15 18	59 13 40 Aquarii	-0 56	86 32	+18 16
23 15 32 Leonis	+0 44	95 21	-18 7	60 15 21 Piscium	+2 43	84 33	+21 53
24 16 56 Leonis	-0 40	95 24	-20 29	61 24 33 Cancri	+2 23	83 31	-11 14
25 23 2 Scorpii	-7 43	99 3	-8 10	62 38 Cancri	+1 57	83 Cancri	-11 48
26 April 7 (287) Aurigae	+5 37	93 30	+1 19	63 39 Cancri	+2 16	83 42	-11 49
27 8 57 A Geminor.	+4 11	94 49	-5 36	64 40 Cancri	+2 14	83 41	-11 49
28 10 78 Cancri	+1 43	95 35	-14 10	65 (129) Cancri	+1 59	83 41	-11 51
29 11 27 Leonis	+0 22	95 41	-17 31	66 25 7 Leonis	+0 24	84 43	-16 1
30 (237) Leonis	0 0	95 25	-17 52	67 Sept. 3 23 Scorpii	+4 41	91 35	-8 17
31 16 85 Virginis	-5 46	93 1	-19 38	68 10 (200) Aquarii	+0 1	84 50	+19 52
32 17 (116) a Solitarii	-5 26	92 66	-16 59	69 11 11 Piscium	+1 57	84 50	+21 31
33 22 40 Sagittarii	-6 21	85 12	+4 8	70 14 Piscium	+2 1	84 38	+21 38
34 24 17 Capricorni	-4 19	83 41	+12 11	71 15 [414] Arietis	+6 6	88 15	+15 35
35 25 40 Capricorni	-3 0	82 53	+16 10	72 48 Arietis	+5 45	88 14	+15 36
36 Mai 5 39 Gemin.	+4 37	94 43	-3 30	73 16 (151) Plejadum	+5 52	88 57	+12 11
37 40 Gemin.	+4 27	94 45	-3 34	74 25 Tauri	+5 41	88 59	+12 11



	1840.		$\psi$	$L$	$e$
75	Sept. 19	57 A Geminor.	+4 6	92 43	- 5 27
76	Oct. 11	104 Piscium	+3 22	86 35	+20 3
77	13	16 (g Plejadum)	+6 59	89 34	+13 42
78		18 (m Plejadum)	+6 22	89 15	+13 42
79		19 (e Plejadum)	+6 8	89 17	+13 43
80		20 (c Plejadum)	+5 53	89 15	+13 42
81	15	(287) Aurigæ	+5 4	92 0	+1 31
82	16	39 $\eta$ Geminor.	+4 33	94 27	- 3 33
83		40 $\eta$ Geminor.	+4 22	94 34	- 3 39
84	17	9 $\mu$ Cancri	+3 11	94 43	- 9 0
85	18	(180) Cancri	+1 40	95 8	-12 38
86		(224) Cancri	+1 31	95 34	-13 17
87	20	37 $\epsilon$ Sextantis	-1 37	96 59	-20 13
88	21	9 $\iota$ Leonis	-3 43	95 57	-21 45
89	27	4 Scorpil	-1 40	92 13	-11 25
90	Nov. 5	11 $\omega$ Piscium	+2 0	81 46	+21 32
91		14 $\omega$ Piscium	+2 5	82 25	+21 38
92	6	5 $\iota$ Piscium	+4 14	82 36	+21 56
93	9	48 $\epsilon$ Arietis	+5 48	87 11	+15 39
94	13	82 B Geminor.	+4 0	94 52	- 7 34
95	14	38 $\alpha$ Cancri	+1 59	96 20	-11 45
96		(124) Cancri	+1 46	96 18	-11 46
97		(129) Cancri	+1 55	96 18	-11 48
98		4 $\iota$ Cancri	+1 48	96 58	-11 49
99	15	7 Leonis	-0 19	97 4	-15 59
100	16	44 $b$ Leonis	-1 9	97 27	-19 4
101		48 Leonis	-2 4	97 42	-19 44
102	17	75 $g$ Leonis	-2 56	97 33	-21 16
103		76 Leonis	-3 7	97 25	-21 18
104	19	(196) Virginis	-5 38	96 34	-21 36
105	20	83 Virginis	-6 27	95 40	-19 49
106	27	(7) Sagittarii	-4 35	86 52	+ 4 18
107	30	44 $d$ Caprie.	-0 50	83 20	+16 25
108	Dec. 6	[414] Arietis	+5 47	86 20	+15 40
109		48 $\eta$ Arietis	+5 47	86 20	+15 41
110	7	16 (g Plejadum)	+6 10	88 18	+12 23
111		18 (m Plejadum)	+6 33	88 20	+12 23
112		19 (e Plejadum)	+6 12	88 25	+12 24
113		20 (c Plejadum)	+6 4	88 23	+12 23
114	10	37 Geminor.	+3 44	92 35	- 3 1
115		52 $n$ Geminor.	+3 39	93 2	- 4 40
116	11	10 $\mu$ Cancri	+2 10	95 1	- 9 9
117		(42) Cancri	+0 56	95 15	-10 15
118	13	31 A Leonis	-1 27	97 41	-18 7
119	14	58 $d$ Leonis	-2 59	96 15	-20 44
120	17	75 Virginis	-6 41	96 58	-20 18
121	19	(262) Libræ	-6 24	95 44	-15 5
122		(282) Solitarii	-7 41	95 12	-14 49
123	28	[2918] Aquarii	+0 8	83 40	+18 16

Die Bedeutung dieser Coefficienten ist ganz die, welche Herr Director Hansen in Nr. 360 der A. N. gewählt hat, und sie unterscheiden sich von der im Jahrbuch 1841 angenommenen nur in Beziehung auf  $L_1$ ; indem dort an dessen Stelle  $L_1 = L_0 + 90^\circ$  gesetzt ist, so daß  $L_1$  die selencentrische Länge des bedeckten Sterns ist.

Bei dieser Gelegenheit muß ich noch auf eine Aeußerung zurückkommen, die ich in Nr. 363 bei Gelegenheit der mitgetheilten Coordinaten für 1839 gethan habe. Ich glaube nemlich auf den Umstand aufmerksam machen zu müssen, daß die Unsicherheit in den Monds- und Sternorten, verbunden mit den besonders in den Randgegenden zu befürchtenden Fehlern der Mondkarte selbst, eine merkliche Abweichung des Punktes wo der Ein- und resp. Austritt erfolgt, von dem vorausbestimmten zur Folge haben könne. Herr Director Hansen hat bald darauf die Güte mich schriftlich zu erinnern, daß ich die hieraus hervorgehende Unsicherheit wohl zu groß geschätzt habe, da ich in dem erwähnten Aufsatze von Fehlern der Mondorte ohne Unterschied gesprochen, hier aber hauptsächlich nur die Breitenfehler in Betracht kommen, da Fehler in Länge wohl auf die Momente, sehr wenig aber auf den Ort des Ein- und Austritts einwirken. Ein Breitenfehler von 1' bewirkt, nach dieser Auseinandersetzung, für centrale Bedeckungen in Maxima einen Fehler von höchstens 4' selengraphisch; ein gleicher in Länge nur 0'5; so daß selbst das Zusammentreffen der ungünstigsten Fälle eines Fehlers von 20" in  $(\lambda - \lambda')$  und von 10" in  $(\beta - \beta')$  den Ort nur höchstens um 44' ändert. Ein Bogen von 44' der Mondkugel ist aber zu klein, um ein Verfehlen des Moments zu verursachen und was nicht-centrale Bedeckungen betrifft, so werdet die, wo sich der Fehler auf das Doppelte und Dreifache des obigen erhebt, auch schon aus andern Gründen wenig geeignet sein zu Längenbestimmungen zu dienen.

Es bleibt mir nur übrig, die Richtigkeit dieser Bemerkungen dankend anzuerkennen und meine frühere Aeußerung demgemäß zu modificiren. Ist aber gleich die in Rede stehende Vorausbestimmung des selengraphischen Punktes keinesweges eine illusorische, so kann ich doch nicht umhin den Wunsch zu wiederholen, daß die Beobachter von Sternbedeckungen, so oft dies thunlich, den wirklich beobachteten Ein- und Austrittsort möglichst genau angeben möchten.

Müller.

### Physische Beobachtungen des Mars in der Opposition 1839.

Von Herrn Dr. Müller.

Die sämmtlichen in dieser Opposition erhaltenen Beobachtungen sind mit dem großen Fernrohr der hiesigen Königl. Sternwarte angestellt worden. Die meisten der von mir entworfenen

20 Zeichnungen sind gleichzeitig von Herrn Galle mit dem Himmel verglichen, einzelne auch von ihm entworfen worden. Der ungünstige Zustand der Luft gestattete erst am 26ten Fe-

war einige brauchbare Beobachtungen; die folgenden sind in den Nächten des 12<sup>ten</sup>, 14<sup>ten</sup>, 26<sup>ten</sup>, 31<sup>ten</sup> März, 1<sup>ten</sup>, 4<sup>ten</sup>, 5<sup>ten</sup>, 9<sup>ten</sup>, 10<sup>ten</sup>, 16<sup>ten</sup> April und 1<sup>ten</sup> Mai gemacht.

Da die Axe des Mars gegen die der Ekliptik gegen 30 Grad geneigt ist, so können in einer Opposition, wie die diesjährige, wo die Mondhalbkugel des Mars nur 3° von ihrem Sommer-Solstitio entfernt ist, die Flecke der Südhalbkugel nur zum geringen Theile und in sehr schräger Projection gesehen werden. Auf die Sichtbarkeit eines Marsflecks (die weißen Polarflecke ausgenommen) ist überhaupt selbst bei der günstigsten Luft nur dann zu rechnen, wenn sie weniger als 60° von der pericentrischen Marsmitte entfernt sind. Die Zeichnungen stellen deshalb fast nur die 1837 beobachteten Flecke der nördlichen Halbkugel dar und bei der Formlosigkeit und schlechten Begrenzung der meisten von ihnen ist es misslich, sie genau mit einander zu vergleichen. Doch ist ein grauer Fleck, der aus zwei wellenförmigen Bogen besteht und dessen Lage zwischen 60° und 160° der areographischen Länge, so wie 25° und 55° der nördlichen Breite anzunehmen ist, im J. 1837 nicht gesehen worden, was indeß darin seinen Grund haben kann, daß dieser Theil der Kugel in keiner Beobachtung 1837 in directe Opposition mit der Erde kam. Dieser Fleck ist zuerst am 12<sup>ten</sup> März 9<sup>h</sup> 16' und 9<sup>h</sup> 37' M. Z.; am 14<sup>ten</sup> März 9<sup>h</sup> 5'; zuletzt am 16<sup>ten</sup> April um 8 Uhr gesehen worden.

Der weiße Nordpolfleck zeichnete sich auch diesmal sehr deutlich aus, wiewohl nicht völlig so wie 1837, wo auch sein Durchmesser größer war. Die optische große Axe desselben ist sehr deutlich nicht in den Rand, vielmehr schienen die Ränder des ganz sichtbaren ovalen Flecks die des Planeten zu berühren. In der ersten Beobachtung am 26<sup>ten</sup> Febr. schätzte ich die große Axe des Flecks  $\approx \frac{1}{3} \delta$ , die darauf senkrechte kleine  $\approx \frac{1}{3}$  (der Marsdurchmesser  $\delta$  hatte in dieser Opposition 13<sup>5</sup>). Die Schätzung der Längenseite dürfte innerhalb 0,18 und 0,22, folglich die daraus geschlossene nördliche areographische Breite der Begrenzung des Flecks von 78° 33' bis auf 1° mehr oder weniger zu verbugen sein, vorausgesetzt, daß wirklich sein Centrum mit dem Pole der Rotation zusammenfällt. Unter dieser Voraussetzung, und den Fleck selbst als kreisförmig angenommen, ergibt die Rechnung, daß sein Rand vom Marsrande nur  $\frac{1}{10} \delta$  entfernt blieb, das scheinbare Ausmaß desselben ist also genügend erklärt.

In den spätern Beobachtungen erschien der Fleck allmählich kleiner, oft auch minder deutlich, obgleich er gewöhnlich noch gut sichtbar blieb, wenn auch alles Uebrige nicht anzuwenden werden konnte. Am 26<sup>ten</sup> März und 1<sup>ten</sup> April schätzte ich seine große Axe  $\frac{1}{3} \delta$ , was auf den Parallel 67° 45' führt; endlich am 16<sup>ten</sup> April, bei ausgezeichnet günstiger Luft,  $\frac{1}{3}$  bis  $\frac{1}{3} \delta$ . Man nehme  $\frac{1}{3} \delta = 0,133$ , so wird die

N. Br. seines Randes  $\approx 82^\circ 20'$ . Keiner der übrigen April-Abende ließe eine sichere Schätzung zu, am 1<sup>ten</sup> Mal aber schien er wieder etwas größer, oder doch bestimmt nicht kleiner zu sein als am 16<sup>ten</sup> April. Der Gang dieser Veränderungen harmonirt abermals, wenn man einen Winterniederschlag als physische Ursache des Flecks betrachtet, auf eine ausgezeichnete Weise mit der Stellung der Marskugel, die am 5<sup>ten</sup> März in ihrem Sommersolstitio war und am 1<sup>ten</sup> Mai gegen die Sonne verhältnismäßig dieselbe Lage hatte, wie die Erde am 20<sup>ten</sup> Juli.

Ein ganz analoges Verhalten, hinsichtlich der Zeit seines Minimums hatte der Südpolfleck im J. 1830 gezeigt, wo wir ihn von seinem Sommersolstitio bis zu einer dem 19<sup>ten</sup> Januar unserer Erde entsprechenden Zeit beobachteten. Aber der geringste Durchmesser desselben am 5<sup>ten</sup> October (mit Jan. 9 der Erde vergleichbar) war nur 6 Grad, während der Nordpolfleck dem Areal nach 6mal größer blieb, da sein Durchmesser gegen 15° war.

Auch dies dürfte eine Erklärung darin finden, daß der Südpol des Mars zwar einen kürzeren Sommer als der Nordpol im Verhältniß von 15:19; dagegen aber einen beträchtlich intensiveren im Verhältniß von 29:20 empfindet, wenn die Stärke der Erwärmung sich wie die der Erleuchtung verhält.

Die den Polarfleck umgebende dunkle Zone zeigte sich auch diesmal, doch weder ganz so schwarz wie 1837, noch überall so zusammenhängend. Zuweilen, am deutlichsten Febr. 26 um 9<sup>h</sup> 52' bis 10<sup>h</sup> 11' und am 9<sup>ten</sup> April von 8 bis 10<sup>h</sup> schien sie durch einen lichteren Zwischenraum in 2 Zonen getheilt zu sein, deren breitere und schwärzere entfernter vom Polarfleck lag. Am 16<sup>ten</sup> April 8<sup>h</sup> war nur an der Ostseite desselben eine Spur der dunklen Umgebung sichtbar; weiter südöstlich lag ein beträchtlich größerer und schwärzerer Fleck, wieweil war weit umher alles fleckenfrei. Diese Veränderungen scheinen anzudeuten, daß wenigstens dieser Fleck, den wir vor 1837 gar nicht bemerkt hatten, durch atmosphärische Einflüsse bedingt wird.

Alles was in den Gegenden südlich des Aequators noch zu Gesicht kam, war höchst unbestimmt. Gewöhnlich zeigte sich eine sehr matte schmale Zone mit einigen knotenartigen Verdichtungen, und ohne Zugrundelegung der aus den früheren Beobachtungen geschlossenen Rotationsperiode würde eine Vergleichung dieser Flecke mit den ihnen entsprechenden von 1830 nicht möglich seyn.

Am 12<sup>ten</sup> und 14<sup>ten</sup> März und 9<sup>ten</sup> April erschien der mittlere fleckenfreie Theil der Scheibe, mit den übrigen Gegenden verglichen, merkwürdig roth. Am letztem Abende konnte eine stark geröthete Region im Süden und eine mattere in den Aequatorialgegenden unterschieden werden, beide durch einen

leichten Anflug von Grau getrennt. Diese Gegenden konnten nicht identisch mit denen sein, welche sich im März geröthet zeigten; sie gehören vielmehr Seiten der Kugel an, die 120° von einander entfernt sind, und in denen an andern Abenden keine besondere Färbung zu unterscheiden war.

Eben so zeigte sich am 9<sup>ten</sup> und noch auffallender am 10<sup>ten</sup> April der Westrand der Scheibe beträchtlich heller als das Uebrige, doch verursachte weder dieser stärkere Glanz, noch der weißliche Polarfleck, die geringste scheinbare Abweichung von der Kreisgestalt, und die Phase am Ostrand machte sich dem Beobachter erst am 14<sup>ten</sup> Mai merklich, mehr noch am 5<sup>ten</sup>, wo die längliche Gestalt des Mars auf den ersten Blick ins Auge fiel, obgleich die Luftbeschaffenheit dieses Abends den bessern des April nachstand.

Auch 1830 und 1837 war jenes Roth auf den mittleren Theilen der Scheibe, doch ebenfalls nur in einzelnen Momenten, wahrgenommen worden, es scheinen diese Farben-Nüancen also auf atmosphärische Veränderungen sich zu beziehen, denen auch wohl die veränderliche relative Dunkelheit der schwärzlichen Flecken zuzuschreiben ist. Diese selbst sind zwar höchst wahrscheinlich constante Oberflächentheile, und keinesweges Analoga unserer Wolken: wohl aber zeigen sich an ihnen Spuren der optischen Wirkungen solcher wolkenartigen Verdichtungen.

Es ist zu hoffen, daß die nächst bevorstehenden Oppositionen von 1841—45 wieder etwas reichere Ausbeute für die physische Kenntniß eines Nachbarplaneten, der seiner Kleinheit ohnerachtet unsere Bemühungen weniger als die übrigen zu spotten scheint, liefern werde. Die nähere Betrachtung der Umstände, unter denen sie sich ereignen, berechtigt zu diesen Erwartungen. Es möge hier eine übersichtliche Zusammenstellung folgen, welche zeigt, wie ungemein verschieden sind diese Oppositionen in Bezug auf physische Beobachtungen gestaltet:

Zeit der Opposition.	Radius vector.	Abst. von der Erde.	Scheinb. Durchm.	Lage der Marsaxe.
1830 Sept. 19	1,3911	0,3895	23" 1	♂ + 98°
1832 Nov. 20	1,4991	0,5118	17,6	♂ + 160
1835 Jan. 2	1,6037	0,6212	14,5	♂ + 24
1837 Febr. 5	1,6594	0,6741	13,3	♂ + 58
1839 März 11	1,6574	0,6638	13,5	♂ + 93

Die nächst bevorstehenden gestalten sich nach einem bloß beiläufigen Ueberschlage folgendermaßen:

1841 April 18	1,596	0,590	15" 1	♂ + 130°
1843 Juni 5	1,503	0,489	18,4	♂ + 176
1845 Aug. 17	1,393	0,362	23,5	♂ + 66
1847 Oct. 30	1,464	0,472	18,9	♂ + 139

♂ und ♀ sind hier die Knoten des Marsäquators auf der Bahn des Planeten. Die Opposition von 1845 wird also, in Bezug auf die Lage der Axe, einen mit 1830 beginnenden Cyclus beschließen und die hefte Controlle für die Beobachtungen von 1830 gewähren.

Die Rotationsperiode 24<sup>h</sup> 37' 23", welche aus den von uns beobachteten Oppositionen von 1830 und 1832 hervorgeht, hat zwar, der Stellung und Entfernung der Marskugel wegen, seit dieser Zeit keine Verbesserungen erfahren können, wohl aber haben alle in den Jahren 1834, 37 und 39 gemachten Beobachtungen sie im Allgemeinen bestätigt und eine erhebliche Abweichung von der Wahrheit ist demnach nicht wohl denkbar. Wenn frühere Beobachter, wie *Cassini* und *Huth*, sie um mehrere Minuten anders finden, so kann dies nicht Wunder nehmen, da sie den Planeten zu diesem Behuf nur in einer Opposition beobachteten. Allein *William Herschel* verband die Oppositionen von 1777 und 1779 und leitete seine Periode 24<sup>h</sup> 39' 22" aus einem Intervall von 26 Monaten her, eine Differenz, die nur darin eine Erklärung findet, daß man annimmt *Herschel* habe entweder eine ganze Rotation zu wenig, oder eine zu viel gezählt. Allein eine Periode von 24<sup>h</sup> 39' 22" ist mit unsern Beobachtungen von 1830 unvereinbar, da sie Fehler voraussetzt, die wir bei der damaligen Nähe des Mars so wie der großen Präcision und günstigen Lage des Fleck nicht für möglich halten können; und so ist es vielleicht nicht ohne Interesse, auf die *Herschelschen* Beobachtungen zurückzugehen und zu untersuchen, was sie bei einer genaueren Reduction ergeben.

Das Detail jener Beobachtungen findet sich in den *Philosophical Transactions* für 1781. Er hatte im J. 1777 vom 8<sup>ten</sup> bis 26<sup>ten</sup> April verschiedene Flecke beobachtet, die aber vorläufig noch keine Combination gestattetten, weshalb *Herschel* die folgende Opposition abzuwarten beschloß. Sie trat 1779 am 12<sup>ten</sup> Mai ein und Mars erreichte in dieser eine Durchmesser von 17,5, welche GröÙe sich bis zum 19<sup>ten</sup> Juni auf 14" verminderte.

Folgende Beobachtungen schienen eine Verbindung zu gestatten: Am 11<sup>ten</sup> Mai 11<sup>h</sup> 43' M. Z. von Slough beobachtet *H.* einen Fleck auf der Mitte, den er bereits am 9<sup>ten</sup> M. 11<sup>h</sup> 0' 45", jedoch etwas über das Centrum hinaus gesehen hatte. Derselbe Fleck zeigte sich am 19<sup>ten</sup> Juni, als Mars sehr tief stand.

„Jun. 19. 11<sup>h</sup> 30'. The figure of Mai 11 is not come to the position it was then at 11<sup>h</sup> 43', but cannot be far from it I fear, as Mars approaches to horizon, I shall not be able to follow him till the figure comes to the centre.“

„11<sup>h</sup> 47'. The state of the air near the horizon is very unfavorable. With much difficulty I can but just see that the

figure is not quite so far advanced as it was Mai 11 at  $11^h 43'$ , but can certainly not be above two or three minutes from it."

In 3 Minuten legt ein Marsfleck auf der Mitte  $\frac{1}{13}$  des Marsdurchmessers zurück, bewegt sich also bei der damaligen scheinbaren Größe nur um  $\frac{1}{15}$ , und Mars stand  $9^\circ$  über dem Horizont. Gleichwohl möge *Herschels* Schätzung gelten und der Durchgang  $2\frac{1}{2}$  Minuten nach  $11^h 47'$  statt gefunden haben. Die Rechnung stellt sich, wie folgt:

June 19.	$11^h 49' 30''$
Mai 11.	$11^h 43' 0''$
Intervall	$39^r 0^h 6' 30''$
Corr. a)...	$+ 37 36$ wegen Aenderung der geoc. Länge.
— $\beta$ )...	$- 16 14$ wegen der Marsphase.
— $\gamma$ )...	$- 49$ wegen Aberration.
Rot. 36)	$39^r 0 27 3$
	$24^h 38' 36'' 4.$

Einen andern Fleck beobachtete *Herschel* am  $11^{ten}$  Mai um  $10^h 17' 46''$  und am  $13^{ten}$  um  $11^h 25' 51''$ , worauf er am  $17^{ten}$  Juni  $9^h 12' 20''$  wieder erschien. Jedoch helfe es a. a. O.:

„June 17.  $9^h 12'$  (Clock 20 slow) The dark spot is rather more advanced than it was Mai 11.  $10^h 18'$ ;" und *Herschel* nimmt abwärts 3 Minuten als Verbesserung an, wonach der Durchgang um  $9^h 9' 20''$  erfolgt wäre. Dies giebt folgende Resultate:

June 17.	$9^h 9' 20''$	June 17.	$9^h 9' 20''$
Mai 11.	$10 17 48$	Mai 13.	$11 25 51$
	$36^r 22^h 51' 22''$		$34^r 21^h 43' 29''$
Corr. a)	$+ 37 28$		$+ 34 31$
— $\beta$ )	$- 15 0$		$- 15 0$
— $\gamma$ )	$- 44$		$- 43$
Rot. 36)	$36^r 23 13 16$	34)	$34^r 22 2 17$
	$24^h 38' 42'' 9$		$24^h 38' 53'' 4.$

Das Mittel aus diesen 3 beträchtlich unsichern Bestimmungen ist demnach

$$24^h 38' 44'' 2$$

wofür *Herschel*, der nur die Correction a) beiläufig,  $\beta$ ) und  $\gamma$ ) aber gar nicht berücksichtigte, als Resultat für 1779 ansetzt:

$$24^h 39' 22'' 1.$$

Die Correction wegen der Marsphase ist hier so angenommen, wie sie sich aus dem Unterschiede der heliocentrischen und geocentrischen Längen ergibt, der am  $11^{ten}$  und  $13^{ten}$  Mai nahe Null war, so daß die volle Scheibe gesehen ward, am  $17^{ten}$  Juni aber auf  $28^\circ 16'$  und am  $19^{ten}$  auf  $29^\circ 22'$  stieg.

Nun aber lehrt die Erfahrung bei Venus und Mars, daß die wirklich beobachtete Breite des erleuchteten Theiles etwas kleiner ist, als die aus der Rechnung gefolgerte. Bei einem Fernrohre von so starker Irradiation, als *Herschels* Teleskop war, mußte überdies der voll erleuchtete Rand weiter ins dunkle gerückt werden, als der entgegengesetzte merklich mattere. Nach aller Wahrscheinlichkeit muß also die Correction  $\beta$ ) beträchtlicher angenommen, die Rotationsperiode also  $< 24^h 38' 44'' 2$  sein.

Indem *Herschel* die von ihm gefundene  $24^h 39' 22'' 1$  zum Grunde legte, nahm er an, daß zwischen folgenden Tagen, wo die gleichen Flecke beobachtet wurden:

1777 April 8.  $7^h 30'$  u. 1779 Juni 6.  $10^h 10' \dots 765$  ganz  
 1777 April 17.  $7 50 0$  u. 1779 Juni 15.  $9 45 17 \dots 768$  Nota  
 1777 April 26.  $9 50 0$  u. 1779 Juni 19.  $8 40 22 \dots 763$  tionen

verflossen seien, woraus sich dann die Periode

$$\begin{array}{r} 24^h 39' 23'' 03 \\ 39 18,94 \\ 39 21,76 \end{array}$$

$$\text{Mittel } 24^h 39' 21'' 67$$

ergab. Wären dagegen die obigen Divisoren  $n$  um 1 vergrößert und die erforderlichen Correctionen angebracht worden, so hätte sich ergeben

$$\begin{array}{r} 24^h 37' 28'' 5 \\ 37 22,3 \\ 37 28,0 \end{array}$$

$$\text{Mittel } 24^h 37' 26'' 27;$$

so daß die Abweichung von 2 Minuten, die zwischen den beiderseitigen Resultaten bestand, auf  $2\frac{1}{2}$  Sekunden beruht.

Daß bei dem oben ermittelten Resultat der Oppositionsbeobachtungen von 1779 die Divisoren  $n$  und  $n+1$  etwa gleich wahrscheinlich seien, leuchtet ein; wogegen eine Verkleinerung des von uns bei der Combination von 1830 u. 1832 angewandten Divisors einen mittleren Fehler von  $1\frac{1}{2}$  Stunde in den 1830 beobachteten Intervallen voraussetzen würde.

Es kann nicht im entferntesten die Meinung sein, *Herschels* Sorgfalt und ausgezeichnetes Beobachtungstalent in Zweifel ziehen zu wollen; nur die bei weitem vortheilhafteren Umstände, deren wir uns 1830 erfreuten, so wie die strenger durchgeführte Berechnung scheinen zu Gunsten unsers Resultats zu sprechen. Erst wenn die Flecke der Südhainkel wieder gut zu Gesicht kommen, kann eine Verbesserung der jetzt gefundenen Periode gehofft werden.

Mü d l e r.

# Ueber die Aufstellung eines Inclinatoriums auf einem Schiffe.

Von Herrn Professor A. Erman.

Durch die eben vollendete Redaction meiner Neigungs- und Intensitätsbeobachtungen auf dem Großen- und auf dem Atlantischen Ocean, habe ich mich überzeugt, daß dieselben höchst nahe eben so genau ausgefallen sind, als ähnliche Beobachtungen mit denselben Instrumenten zu Lande. Die Schwankungen des Schiffes wurden also bei dieser Fahrt weit vollständiger unschädlich gemacht, als es bei früheren Versuchen dieser Art der Fall war. Es scheint mir daher nicht überflüssig, daß künftige Reisende und namentlich die Theilnehmer an der bevorstehenden Englischen magnetischen Expedition, eine Vergleichung anstellen zwischen dem Mittel, welches ich zur Aufstellung meines Inclinatoriums gebrauchte und zwischen dem früher üblichen. Jenes erstere bestand aus einem auf dem Verdecke des Schiffes befindlichen möglichst unbegleiteten Stativ, dessen drei Beine unten durch Querhölzer verbunden waren und oben anstatt des gewöhnlichen Deckbrettes einen starken hölzernen Ring trugen. Sodann aber aus der kreisförmigen Platte, auf welche das Instrument gestellt wurde: Diese diente sich mittels zweier an ihrem äußeren Rande als Verlängerungen eines Durchmessers befestigten messingenen Cylinders, in zwei Löchern eines, jene Platte concentrisch umgebenden Messingringes; auch wurde mittels dreier Schrauben, senkrecht unter dem Mittelpunkt dieser Platte, eine bleierne Halbkugel von 100 bis 120 Pfunden an derselben aufgehängt. An jenem Messingringe befanden sich aber noch zwei, den erwähnten ähnliche, Zapfen, deren Verbindungslinie senkrecht auf der jener ersten stand, und welche endlich in zwei, ebenfalls mit Messing ausgelegte, Pfannen in dem hölzernen Ring des Statives gelegt wurden und sich in denselben drehten. Es versteht sich ungesagt, daß die genannten metallenen Theile stark genug waren, um durch die Bleimasse nicht gebogen zu werden, so wie auch, daß man diese nur während der Beobachtung anhing, sonst aber, um die Zapfen nicht unnötig anzugreifen, besonders aufbewahrte. Das Princip dieser Vorrichtung ist demnach kein anderes, als die wie man sagt von Cardanus erfundene Compasauflösung. Ausstatt daß man aber in den meisten Fällen und namentlich bei allen See-Inclinatoriumen, welche ich gesehen habe, die Zapfen und den Aufhängering an dem Instrumente selbst befestigte und daher dieses unter jenen hängen und sich nur durch seine eigene Schwere richten ließ, habe ich es ungleich vorteilhafter befunden, den Aufhängungsapparat auf die genannte Weise von dem Instrumente zu trennen und ihn mit einem so starken Gewichte zu versehen, daß durch Aufsetzung des Inclinatoriums auf die Stativplatte der Schwerpunkt des ganzen beweglichen Systemes nur sehr wenig verrückt wurde.

Nach ungleich weniger und somit in einem durchaus nicht fühlbaren Grade geschah dies daher durch Drehung des Vertikalkreises des Instrumentes, selbst dann, wenn man die aufrecht stehende Linie des Instrumentes beträchtlich ausserhalb der Lothlinie durch den Schwerpunkt der Bleimasse gestellt hätte. So war man also durchaus frei von der sonst nöthigen Bedingung, daß die Linie vom Durchschnittpunkte der Zapfen zum Schwerpunkte des ganzen Instrumentes mit dem vertikalen Durchmesser des Höhenkreises parallel gemacht und erhalten würde. Das Stattfinden dieses schwer herbeizuführenden Umstandes, von welchem doch der Werth oder gänzliche Mangel jeder einzelnen Beobachtung abhing, konnte aber damals durch aus nicht genugsam kontrollirt werden. Bedient man sich hingegen eines Statives von der oben beschriebenen Art, so wird man das Instrument auf denselben genau auf dieselbe Weise, wie auf dem Lande, vermittelst seiner Fufschrauben und eines Niveaus horizontalen können, mit dem einzigen Unterschiede, daß man anstatt je einmaliger Ablesung des Standes der Nadel in der Wasservage, das Mittel zwischen den kleinen Ausschlägen derselben zu jeder Seite ihrer Gleichgewichtslage anmerkt. Bei meinem Instrumente betragen diese Ausschläge selbst bei höchst unruhiger See nicht über drei Niveaulinien und dennoch ist der Werth eines jeden derselben, wie ich später bestimmt habe, nur 36". Die Zapfen eines solchen Statives können aber etwa durch achterne Lager, oder durch Frictionsrollen, noch weit mehr als bei dem meinigen, von Reibung befreit werden, wodurch man dann den beabsichtigten Parallelismus zwischen den successiven Lagen der Platte noch etwas vollständiger erreichen würde. Ich habe auch zur Bestimmung der einzelnen Neigungswinkel der Nadel einige Schwingungsendpunkte anstatt einmaliger Ablesung der Ruhelage aufgeschrieben, und glaube, daß man dieses immer thun im Uebrigen aber ganz so wie auf einem festen Stativ verfahren werde, sei es, daß man durch Beobachtung der Senkrechtigkeit der Nadel das Azimuth des magnetischen Meridianes aufsuchen, oder sich mit Ablesungen in Vertikalkreisen, deren Azimuthdifferenzen bekannt sind, begnügen wolle. Alle diese Beobachtungen gelingen ohne äusserliche wahrnehmbare Schwierigkeiten, weil selbst bei den stärksten Schwankungen des Schiffes die aufrechte Axe des Inclinatoriums nahe genug gegen das Zenith gerichtet bleibt. Damit aber auch die Resultate dieser Messungen eben so zuverlässig werden, wie auf dem Lande, muß auch der Höhenkreis des Instrumentes stets einerlei Azimuth behalten, und es ist daher von Interesse zu sehen, wodurch man auch diese zweite Bedingung vollständig erfüllen könne.

Man denke sich das Inclinatorium bei horizontaler Lage des Verdeckes auf jene Platte gesetzt und den untern Kreis desselben horizontal. Da nun bei allen Neigungen des Schiffes die Horizontalität jenes Kreises besteht, so ist klar, daß etwaige Drehungen im Azimuth, jeden Durchmesser dieses Kreises gleich stark betreffen müssen. Die Azimuthalveränderungen für den Höhenkreis des Inclinatoriums werden daher unter andern auch denjenigen gleich sein, welche die Linie durch die Zapfen der Stativplatte erleidet. Diese aber ändert, weil sie stets horizontal bleibt, ihr Azimuth man ebenso, wie die auf ihr senkrechte mit dem Verdecke fest verbundene Linie durch die Lager für die Zapfen des Messingringes. Da nun bei allen Schwankungen des Schiffes das Azimuth seines Kieles constant erhalten wird, so ist ohne weiteres klar, daß man nur jene Zapfenlager auf dem festen Theile des Statives parallel mit dem Kiele zu stellen habe, damit der Höhenkreis des Inclinatoriums stets in einerlei Azimuth verbleibe. Es versteht sich von selbst, daß der Kurs des Schiffes während der Dauer einer Beobachtung nicht geändert werden dürfe, oder doch nicht ohne eine entsprechende azimuthale Drehung des Höhenkreises. Wenn aber bei horizontaler Lage des Verdeckes das rechts herum gezählte Azimuth der Linie durch jene festen Zapfenlager um  $a$  größer ist, als das des Vorderendes des Kieles, so ist es leicht, die Azimuthalveränderung auszudrücken, welche die Linie durch jene Zapfen und somit, wie eben gesehen, auch der Höhenkreis des Instruments im Verlaufe einer Beobachtung erleiden kann. Bezeichnet man nämlich für irgend welchen Augenblick mit  $t$  den vor der Mitte des Kieles gemessenen Höhenwinkel der Vorderseite desselben, oder den Betrag des sogenannten Reitens, mit  $r$  das Rellen oder die Neigung des Schiffes um eine mit dem Kiele parallele Axe,

positiv genommen, wenn sich die linke oder Backbordseite hebt, so wird für diesen Augenblick das Azimuth  $a'$  jener Zapfen, vom Vertikale des Kieles angerechnet, durch Folgendes gegeben:

$$\operatorname{tg} a' = \frac{\sin a \cdot \cos r}{\cos a \cos t + \sin a \sin t \sin r}$$

wonach man den, rechts herum positiv gezählten Zuwachs des Azimuths für den Höhen- oder Neigungskreis des Inclinatoriums d. h. die Größe  $a' - a$ , entweder vollständig oder mit dem beabsichtigten Grade von Annäherung erhalten kann. So ergebe sich z. B. wenn das Rellen von  $-8^\circ$  bis  $+8^\circ$  und das Reiten von  $-4^\circ$  bis  $+4^\circ$  beträgt, für  $a = 5^\circ$  folgende Zuwächse des Azimuths:

$t =$	$-4^\circ$	$0$	$+4^\circ$
$r$			
$-8^\circ$	$-2'4$	$-2'9$	$-1'9$
$-4$	$-0,1$	$-0,7$	$+0,1$
$0$	$+0,7$	$0,0$	$+0,7$
$+4$	$+0,1$	$-0,7$	$-0,1$
$+8$	$-1,9$	$-2,9$	$-2,4$

und man sieht, daß bei  $5^\circ$  Abweichung der Zapfenlinie von der Kielebene das Azimuth des Instruments nur innerhalb  $4'$  variiren wird, das heißt um eine Quantität die auf die zu beobachtende Neigung ohne jeden bemerkbaren Einfluß ist. Bei  $a = 45^\circ$  variirt hingegen das astronomische Azimuth des Neigungskreises durch dieselben Schwankungen des Schiffes von  $d + 8'4$  bis zu  $d - 29'4$ , wenn  $d$  die magnetische Abweichung bezeichnet, und für  $a = 90^\circ$  erfolgen Veränderungen von  $d - 33'3$  bis zu  $d + 33'3$ , welche schon nicht mehr ganz zu vernachlässigen sind. Man wird aber ohne jede Mühe die Zapfenlinie bis auf noch weit weniger als  $5'$  dem Vertikalkreise des Kieles nähern können.

A. Erman.

## Ueber die Länge von Lima.

Von H. Galle, Gehülfe auf der Berliner Sternwarte.

Auf den Wunsch des Herrn Geheimraths v. Humboldt habe ich aus den in Nr. 378 der Astr. Nachr. gegebenen Beobachtungen des Merkursdurchganges von 1832 die Längendifferenz zwischen Lima und Breslau hergeleitet.

Die Längen von Lima und dem Hafen Callao de Lima sind für die geographischen Ortsbestimmungen der Westküste von Südamerika von größter Wichtigkeit, da alle chronometrischen Bestimmungen von Chili, Peru, Guayaquil, Panama und vieler Inselgruppen sich auf jene Länge gründen. Bern v. Humboldt's Beobachtung des Merkursdurchganges vom

9<sup>ten</sup> Novbr. 1802 zu Callao hat die Länge dieses Ortes nach Olmanns Berechnung ergeben (W. von Paris).

$5^h 18' 18''$  aus der äußeren Berührung, welche die sicherere ist.

$5^h 18' 16''$  aus dem Mittel beider Berührungen

verglichen mit Paris, Seeberg, Greenwich, Lillenthal, Berlin, Celle und Copenhagen (v. Humboldt's Recueil d'observ. astron. Vol. II. p. 421—427). Eine lange Reihe von Mondsdistanzen auf der Weltumseglung von Duperrey hatte das Resultat bestätigt. Sie gab für Callao

$5^h 18' 16' 3''$ .

*Lartigue* (nach *Givry*, Conn. des Jems 1827. p. 258) findet durch andere Reihen von Mondsdistanzen und mittelst *Quila* (18° 50' 7" O. von Callao)

$$5^h 18' 0^s 7$$

Die großen Arbeiten der Küstenaufnahme der Capitaine *King*, *Stokes* und *Fitzroy* in den Schiffen *Adventure* und *Beagle* 1825—1836 geben für Callao

$$5^h 18' 15^s$$

chronometrisch auf Valparaíso bezogen. Für diesen Hafen nimmt die Expedition  $4^h 56' 6^s$  an, sehr nahe übereinstimmend mit *Oltmanns*, welcher durch Sternbedeckungen  $4^h 56' 8^s 0$  gefunden hatte, und nach seinen hinterlassenen Manuseripten dieses für die wahrscheinlichste Länge des Castello dei Rosario zu Valparaíso hält. Capitain *King* sagt in dem Journal of the Roy. Geogr. Soc. Vol. VI. T. II. p. 342: „Our positions of Valparaíso and Callao agree with the results of the best observations calculated by Prof. *Oltmanns*.“ Capitain *Beechey* hat ganz neuerlich (Naut. Mag. April. 1838) die Länge von Valparaíso wieder discutirt, und findet durch Mondsdurchgänge  $4^h 55' 59^s 1$ , durch Mondsdistanzen  $4^h 55' 53^s 4$ , woraus Callao im Mittel =  $4^h 55' 56^s 2 + 22^s 8^s 4$

$$= 5^h 18' 4^s 6$$

folgen würde.“

Aus der Vergleichung der Beobachtungen des Mercur-Austritts im Jahre 1832, zu Lima von Herrn *Scholtz* und zu Breslau von Herrn v. *Boguslawski* beobachtet, finde ich die Länge von Lima (W. von Paris)

$$5^h 17' 41^s 4 \text{ aus der innern Berührung}$$

$$5^h 17' 48^s 5 \text{ aus der äußern Berührung.}$$

also im Mittel

$$5^h 17' 45^s 0,$$

wenn ich die Länge von Breslau nach v. *Zach* Mon. Corr. XXVI. p. 179 zu  $5^h 58' 47^s 3$  O. von Paris und den Mercur-halbmesser nach *Schumachers* Jahrb. 1837 p. 86 zu  $0,391$  des Erdhalbmessers annehme. Die Rechnung ist nach den Formeln von *Bessel* (Astr. Nachr. Nr. 321) durch vorschüssige Auflösung der Gleichung [4] geführt. Eine weitere Bearbeitung der Beobachtungen dieses Mercurdurchganges, die ich in einiger Zeit zu unternehmen gedenke, müßte zeigen, ob noch merkliche Correctionen der Elemente einwirken; da durch Breslau allein nur eine den *Besselschen*  $\pm$  entsprechende (Astr. Nachr. Nr. 152) und aus  $\Delta\alpha$  und  $\Delta\delta$  zusammengesetzte Correction eliminiert wird.

Herr v. *Humboldt* hat den Längenunterschied zwischen Lima und Callao viermal chronometrisch bestimmt (Rec. d'obs. astr. T. II. p. 428) und

1802 Nov. 9	Callao	28° 6' W. von Lima
Dec. 14	—	31,2 —
— 14	—	27,8 —
— 24	—	27,2 —
im Mittel	—	28,7 —

gefunden. Mithin wird die Länge von Callao aus dem Mercurdurchgange von 1832:

$$5^h 18' 13^s 7 \text{ W.}$$

während der Durchgang von 1802

$$5^h 18' 16^s 0 \text{ W.}$$

ergeben hatte, und scheint demnach die Unsicherheit der Lage dieses Punctes in sehr enge Grenzen eingeschlossen zu sein.

H. Galle.

## Vermischte Nachrichten.

Herr A. *Abadie* hat mir angezeigt, daß er im Begriff steht eine neue Reise in das Innere von Afrika anzutreten. Er ist mit einem sehr guten Fernrohr von 0,9 Meter Brennweite und 75 Millimeter Öffnung versehen, mit dem er, wie auf seiner ersten Reise, die Bedeckungen kleiner Sterne bis zur 5<sup>ten</sup> Gr. am dunklen Mondrande zu beobachten denkt, und bittet die europäischen Astronomen auf alle

solche Bedeckungen zu achten, und sie wo möglich zu beobachten. Schon im nächsten October wird er seine Beobachtungen in Argentinien an den Küsten des rothen Meers anfangen, Obwohl wir nicht an den auf den europäischen Sternwarten gemachten Beobachtungen dieser Sterne sich nur eine kleine Zahl correspondirender Beobachtungen machen möchte, so verdient doch seine Bitte beachtet zu werden. S.

## Inhalt.

- (zu Nr. 381. 382.) Ueber Sternschnuppen. Von Herrn Geh. Rath und Ritter *Bessel*. p. 321.  
Länge von Crazeau. (Bechluss. s. Nr. 378. S. 299.) p. 351.  
(zu Nr. 382.) Ehrenbezeugung. p. 333.  
*Hansische* Constanten für die Sternbedeckungen. Von Herrn Dr. *Mädler*. p. 353.  
Physische Beobachtungen des Mars in der Opposition 1839. Von demselben. p. 357.  
Ueber die Aufstellung eines Inclinatoriums auf einem Schiffe. Von Herrn Professor A. *Erman*. p. 363.  
Ueber die Länge von Lima. Von Herrn H. *Galle*, Gehülfen auf der Berliner Sternwarte. p. 365.  
Vermischte Nachrichten. p. 367.

Altona 1839. August 15.

Auszug aus einem Schreiben des Herrn Majors *Sabine* an den Herrn Hofrath *Gauss*.

London 1839. Junius 4.

It may be agreeable to you to hear more details than may have reached you of the preparations we are making to extend magnetic researches. This naval expedition is advancing rapidly and will be ready for sea early in August though they will probably not sail till late in that month. There are two ships of equal size, similar in size, fitting and equipment to those formerly employed in Arctic discoveries. They are to make their head quarters at Van Diemen's Land and to employ three years in completing maps of the magnetic lines in all accessible parts of the middle and high latitudes of the southern ocean. They take also with them the instruments for a fixed magnetical observatory, to be established at Van Diemen's Land under the superintendence of Captain *Ross*, commander of the expedition and to have its observing staff furnished from the ships. They are also provided with a second set of fixed Observatory instruments to remain on ship board, and to be set up on shore wherever opportunities may make it desirable. Three other fixed observatories are in preparation to be supplied with an observing staff from the Artillery Corps and an excellent selection has been made of three Officers to conduct them, full of zeal intelligence and interest in the subject. These are also appointed for three years and are to observe the absolute values as well as the changes of the three elements. They will be furnished with three magnetometers; i. e. for the direction, horizontal and vertical force and with excellent dipping needles. These instruments will be ready on the first of July when the whole parties assemble in Dublin to receive them and to go through a course of practice under Mr. *Lloyds* direction. The observers and the instruments for St. Helena and the Cape of Good Hope embark in the expedition and will be conveyed by it to their respective destinations. The 3<sup>d</sup> Artillery Observatory is destined for

Montreal to Canada, and will proceed independently of the others. All will probably be in action early in the ensuing year.

The East India Company have shown a good disposition to cooperate. They have ordered equipments for seven fixed observatories precisely similar to those preparing for the Cape, Canada etc. Madras, Bombay and Leisda in the Himalaya range are spoken of as stations. Any suggestion of yours in regard to the disposal of the others, (of course within the territories of the Company) would be most acceptable.

We have done little or nothing yet in regard to continental cooperation, which is one of the most important points to be well considered and secured. It is Mr. *Lloyd's* purpose to visit you, I believe towards the end of July for the purpose of consulting with you both as to cooperation and as to the scheme of observation to be followed by each of the observatories. I deeply regret that I cannot hope to accompany him on this most interesting mission, which would also give me an opportunity, which I should most greatly value, of making your personal acquaintance. I have been named in conjunction with Colonel *Mudge* of the Engineers to proceed as commissioners to America for the purpose of settling, if it be possible, the long disputed question of boundary between the United States and the British possessions in North America. This appointment which at another time would be very agreeable to me (as it is now complimentary being wholly unsolicited) comes very inopportunistically in a moment when I feel that much has been confided to me in regard to the preparations for a scientific undertaking, which if nothing occurs to mar its prospects, will form I am willing to think, a bright spot in the history of researches promoted by arrangement and cooperation.

*Sabine.*

Schreiben des Herrn Professors *v. Boguslawski*, Directors der Breslauer Sternwarte, an den Herausgeber.

Breslau 1839. August 2.

Meine Kränklichkeit in diesem Frühjahr hat die Beobachtungen auf eine unangenehme Art unterbrochen. Ich kann Ihnen nur 2 Sternbedeckungen mittheilen.

16r Bd.

1) 1839 Mai 2. 16<sup>h</sup> 35' 22" 80 St. Zt. Anstr. voo (339) γ Sagittarii 5 Gr. am dunkeln Mondrande erfolgte plötzlich, und konnte scharf beobachtet werden. Die Zeit war aus den



Culminationen von 24 a Serpentis und 21 a Scorpii hergeleitet worden.

- 2) 1839 Juli 7. 20<sup>h</sup> 17' 13<sup>s</sup> 23 St.ZL. Austr. von 59 λ Cancr 6 Gr. am dunkeln Mondrande kann ebenfalls als eine gute Beobachtung angesehen werden. a<sup>2</sup> Capricorni hatte kurz vorher den Stand der Uhr bestimmt.

Die von Herrn Adjunct *Steczkowski* zu Krakau aus mehreren von mir beobachteten Sternbedeckungen mit hergeleitet und mir gütigst mitgetheilte Länge von Breslau stimmt sehr nahe mit der, welche die Blickfeuer im Jahre 1805 gaben, und wie solche aus der Triangulirung folgte. Diese gaben 58° 46' 6" östlich von Paris; Herr Adjunct *Steczkowski* fand (wie uns auch wohl schon Ihre Astr. Nachr. geben werden) aus 6 Sternbedeckungen, sämmtlich Eintritte, im Mittel 58° 48' 17".

Die von denselben in seinem Aufsatze vorangeschickte Seehöhe von Breslau bezieht sich aber nicht auf das jetzige Barometer-Niveau im Saale der Sternwarte, sondern auf den früheren Beobachtungsort in der Wohnung des Prof. *Jungnitz*: 47,6 Pariser Fuß unter dem jetzigen. Erst wenn das Oder-Nivellement unter Herrn *Hoffmanns* sorgsamer und umsichtiger Leitung bis hieher gediehen sein wird, hoffentlich im Laufe kommenden Sommers werde ich wagen dürfen, mich über die wahre Höhe der Breslauer Sternwarte über dem Meere mit Zuverlässigkeit auszusprechen.

Noch bemerke ich (wenn Sie nicht bereits die unmittelbare Mittheilung in Händen haben) daß Herr Professor *M. Weiss* in Krakau aus 14 correspondirenden Beobachtungen von Mondsternen (hier mehrentheils von Herrn *Jacobi* beobachtet) die Länge von Breslau: 58° 49' 52" hergeleitet hat.

Auch von der Pallas und Ceres habe ich während meines Unwohlseyns dennoch einige Heliometer-Beobachtungen zu erlangen gesucht, die indess noch nicht reductirt sind; am 15<sup>ten</sup> April aber auch eine kleine Reihe von Beobachtungen der Ceres am Lamellenmikrometer, mit dessen Theorie ich mich noch weiter beschäftigt habe, und welches doch unter Umständen recht genaue Resultate gewähren kann. Sie gab, unter

der Voraussetzung, daß folgende mittleren Oerter der drei Vergleichssterne für Anfang 1839 richtig sind:

$$\begin{array}{ll} \alpha = 13^h 18' 39'' 16 & \delta = +8^{\circ} 17' 28'' 5 \\ \alpha' = 13^h 20' 51,05 & \delta' = +8^{\circ} 16' 19,2 \\ \alpha'' = 13^h 22' 26,10 & \delta'' = +8^{\circ} 19' 15,8 \end{array}$$

für den Moment der Berliner Ephemeride frei von Aberration und Parallaxe:

$$\begin{array}{l} \text{AR. Ceres} = 13^h 15' 53'' 31 \text{ und Decl. Ceres} = +8^{\circ} 17' 28'' 1; \\ \text{mithin Corr. d. Eph.} + 3,12 \end{array} \quad - 31,2.$$

Nicht minder habe ich zur Bestimmung einer ganzen Anzahl noch nicht beobachteter Sterne in der Hora XI der akademischen Sternkarte, bei deren Bearbeitung dies Mikrometer angewandt, und angefangen, solche secundäre Sternbestimmungen auch zwischen den Sternen der *Histoire céleste* innerhalb 15° und 25° südlicher Declination fortzuführen.

Ueber berechnete Sternschnuppenbahnstücke aus den Beobachtungen vom 14<sup>ten</sup> Novbr. 1836 und vom 10<sup>ten</sup> Aug. 1837 werde ich Ihnen in Kurzem noch mancherlei mitzutheilen haben. Ich habe dabei die Fingerzeige unseres verehrten *Oberb.* benutzt, und die Rechnung auch bis auf den Raum ausgedehnt.

Zum Glück haben sich unter den Beobachtungen des Herrn Professors *A. Erman* zu Berlin an beiden Terminen recht viele gleichzeitige und correspondirende gefunden, die bei der Größe der Basis und von einem so geübten Beobachter doppelt wichtig sind. Er hat auch für diesmal seine Mitwirkung zugesagt.

v. *Boguslawski*.

N. S. Ich hatte den Brief nicht abgeben lassen, weil die Staatszeitung meldete, es sei in Rom ein telescopischer Comet im Drachen entdeckt worden. Vorgestern und gestern habe ich mich, so weit es die Wolken erlaubten, in deren Lichter Zwischenräumen am nördlichen Himmel vergeblich danach umgesehen. B.

Auch auf der Altonaer Sternwarte ist in 4 Nächten der angekündigte Comet vergeblich gesucht. S.

Schreiben des Herrn *Bianchi*, Directors der Sternwarte zu Modena, an den Herausgeber.

Modene 1839. Juli 6.

Avant que de continuer le sujet des réfractions astronomiques relatives, dont je commençai à vous entretenir dans ma lettre du 31 Juillet de l'année dernière (A. N. Nr. 373), et sur lequel j'ai de nouvelles observations et résultats à vous communiquer, je me propose pour but ici d'appeler votre attention sur quelque autre objet de nos études, qui peut mériter qu'on lui donne un regard et un instant de considération. Et en

premier lieu je vous annonce deux petites nébuleuses, que j'ai vues depuis peu de tems à l'occasion de mes travaux sur les étoiles, et dont je ne trouve pas un mot ni la moindre indication dans les Atlas et les Catalogues qui j'ai pu consulter. Une de ces nébuleuses est dans la constellation d'Hercole, et dès les premières fois que je la regardai, après de vaines assurances qu'elle n'était point une comète c'est-à-dire qu'elle

n'avait pas de mouvement, je croyai, par la position à peu près et même plus par de semblables circonstances extérieures, l'avoir avec ma lunette rencontré la belle nébuleuse de la miniature d'Hercule, découverte par *Halley* dans le 1714 et dont le lieu et les apparences nous ont été décrites dans le catalogue des nébuleuses de *Messier* (Conn. d. tenu pour 1783) au Nr. 13. Pourtant la différence de presque dix degrés dans la distance polaire ne pouvant pas s'attribuer à une fautive d'impression dans la table de *Messier*, et la nébuleuse de celui-ci en la voyant bien reportée à sa place par le grand Atlas de *Harding*, je n'en doutai plus que les deux objets célestes étaient bien distingués l'un de l'autre. En effet j'ai observé depuis la nébuleuse de *Halley* ou de *Messier*, qui est beaucoup plus étendue et remarquable que l'autre vue par moi, et qui enfin a été aussi reconnue et insérée par Sir *J. Herschel* dans son excellent catalogue de 2305 nébuleuses (Philos. Trans. pour le 1833. P. II. p. 458). Mais ni dans ce dernier catalogue ni par les autres qui j'ai pu interroger il ne se trouve pas aucun enseignement ou annonce de la petite nébuleuse qui par hasard venait de s'offrir à mes yeux pour la première fois la nuit 7 Juin de cette année; et il est même singulier qu'à sa place le grand Atlas de *Harding* ne montre qu'un espace vide; pendant que la nébuleuse y suit de très-près, et toute à l'heure dans le champ de la lunette, deux étoiles environ de la 8<sup>me</sup> grandeur, dont l'une au dessous et l'autre presque tout est placée au dessus d'elle. Par toutes ces raisons je suis d'avis que cette nébuleuse n'a été peut-être signalée jusqu'ici par les observateurs, ou qu'elle est nouvelle. Ses apparences maintenant consistent dans un noyau ou espèce d'étoile centrale, qui soutient une faible illumination du champ de la lunette (il s'agit de la lunette de mon cercle méridien de la distance focale objective de 5 pieds et avec un grossissement de 70 à peu près), et entourée d'un brouillard blanchâtre et décroissant en densité du centre aux bords, en sorte que de premier abord on la jugerait le noyau d'une petite comète avec sa chevelure. J'en ai déterminé avec le cercle méridien la position apparente et il m'en résulte pour le 11 Juin 1839.... Ascens. dr. =  $16^{\circ}42'30''8$ ; Distance polaire =  $42^{\circ}11'6''1$  N.

L'autre nébuleuse, que je vins de rencontrer aussi par hasard la nuit du 16 Juin 1838, et dont je ne trouvois même aucune trace dans les catalogues que je connus, est placée dans la constellation du Dragon. Au milieu du champ obscur de la lunette elle y paraît comme une étoile de 8<sup>me</sup> grandeur, mais ronde, avec un diamètre sensible, et d'une lumière pâle-rouge; qu'on dirait égale partout le disque, et ressemblant à celle de Saturne. Cependant dès qu'on éclairait tant soit peu le champ optique on ne voit plus que le point central de

cette nébuleuse qui alors paraît comme une étoile de 9-10<sup>me</sup> grandeur. Elle appartient en conséquence à la classe des nébuleuses appelées planétaires par Sir *J. Herschel* et qu'il regarde comme des objets très-étranges (Traité d'Astron. traduit de l'anglais. Bruxelles 1835. pag. 540). Sur le grand catalogue de ce célèbre astronome, que j'ai mentionné ci-dessus, elle devrait se placer à la page 460; parce que sa position apparente, que j'en ai observée avec mon cercle, résulte pour le 21 Juin 1839 comme il suit:

Ascens. droite =  $17^{\circ}57'37''6$ ; Dist. polaire =  $23^{\circ}21'53''4$  N.

Voilà donc, ai je ne me trompe, deux nébuleuses nouvelles, appartenantes aux constellations du Dragon et de Hercule. Il importe sans doute de reconnaître de semblables objets curieux et fixes dans la voûte étoilée, si ce ne fût que pour s'épargner du temps et des vaines recherches, lorsqu'on premier aperçu et par leurs apparences on pourrait s'en attendre à la découverte d'une comète. Or de plus que Sir *J. Herschel* nous vient de rapporter par son expédition et demeure au Cape de Bonne Esperance la riche moisson qu'il y a faite des nébuleuses et des étoiles plus singulières de l'hémisphère austral, c'est même à réfléchir que notre ancien hémisphère céleste et boréal, quoiquant tant de fois moissonné, présente néanmoins çà et là de petites choses du même genre à glaner, et recueillir.

Je passe maintenant ou plutôt je reviens à notre variable de la Baleine, sur laquelle j'ai vu avec plaisir dans le Nr. 377 des A. N. qu'un astronome des plus habiles et distingués, Mr. le Prof. *Argelander* a pris soin de vérifier et de poursuivre mes observations. Les remarques et les réflexions, qu'il m'en a opposées pour bien conclure et établir l'époque actuelle du plus grand éclat de l'étoile ne me blessent point l'amour propre; j'en lui sçais même bon gré et je m'en estime honoré. Toutefois m'accorderai-t-il aussi qu'à mon tour j'ajoute ici quelque éclaircissement et les raisons de ce que j'ai avancé sur les changements actuels de cet. Pour le moment je ne toucherai pas à la question si on assigne mieux les premières classes de grandeur des étoiles avec des lunettes de grande ou de petite force, ou à l'oeil nu, absolument pour chaque étoile ou respectivement c'est-à-dire par comparaison de l'une d'elles avec l'autre. Peut-être que j'aurai occasion de revenir sur ce sujet, et je me borne ici à dire que je n'en puis pas partager toute à fait l'opinion de Mr. *Argelander*, et qu'après mon expérience de plus que de douze ans et sur un grand nombre d'étoiles je ne ferais pas le tort de révoquer pour de tels jugemens ou estimés à la lunette de *Fraunhofer*, appliquée à mon cercle, et dont la clarté et la distinction des images est admirable. Je m'arrête plutôt au soupçon d'une fautive d'impression ou d'écriture, qui d'ailleurs pourrait bien n'y être glissée, et qu'on a cru assez vraisemblable dans mon

mon estime de la grandeur de  $\gamma$  Ceti le 1 Février 1836. Pour ôter ce doute j'en ai consulté aussitôt mes registres originaux des observations et j'en ai vu confirmé pislacement le nombre 3. de la grandeur évaluée de l'étoile; à quoi il n'ajoute que au lieu du 3. j'y avais écrit auparavant et par la première inspection le nombre 4., ce qui, en regardant mieux, fût corrigé toute à l'heure et changé dans le 3 par ma plume. Cette circonstance me rappelle au souvenir l'observation de ce jour là comme si je venais de la faire à présent. Il faut avertir, comme je n'ai manqué de le dire dans les notes à côté de mes observations (A. N. Nr. 345. page 165), que l'étoile par moi était observée à son passage méridien, ce qui dans ma station arrivait ce jour là 20 minutes seulement après le coucher du Soleil, et en conséquence dans la pleine lumière du crépuscule.

Or malgré cette lumière, qui à peine m'aurait permis d'apercevoir dans la lunette à la hauteur méridienne de la Mira une étoile de la 5<sup>me</sup> grandeur, je vis néanmoins la variable brillante de manière que je ne la pouvais pas estimer autrement que de la 3<sup>me</sup>. Donc il n'y a pas d'erreur en cela et il me semble qu'il ne peut même y en avoir. Dix jours après, ou le 11 Février, l'étoile au passage méridien n'était plus visible que comme un point, et je l'estimai de la 5<sup>me</sup> grandeur; mais peut-être qu'elle était de la 4—5<sup>me</sup>, le Soleil ne s'étant pas encore couché sous l'horizon. Si donc il y a eu des anomalies à cette époque là, ce n'est ni l'art ou la méthode, ni l'instrument, ni le résultat de l'observation qu'il faut en débiter; c'est que la variable elle-même aura été anormale en s'écartant de la période et de la table qui donnait deux mois plus tard le temps de son plus grand éclat.

Une source au reste d'incertitude et de différences, qui peuvent bien s'élever à plusieurs jours en peu d'années, lorsqu'on détermine la valeur de la période de la variable par des observations assez proches, dépend évidemment du point qu'on a choisi pour terme de commencement et qu'on fixe à l'éclat maximum de l'étoile; sur quoi par conséquent il est nécessaire de convenir et de bien s'entendre. Dans les der-

nières périodes j'ai cru remarquer que l'étoile du degré plus faible de sa lumière croît avec rapidité jusqu'au plus fort; et c'est alors, ce me semble, qu'elle en attinge le maximum: car toute de suite elle s'affaiblit tant soit peu, puis elle se renforce de nouveau, mais pas comme la première fois et un peu moins; et dans ces oscillations elle reste pendant un intervalle d'un mois en plus, et peut-être variablement d'une période à l'autre. C'est pourtant le moment où le jour penché de son grand éclat celui qui me paraît plus décidé et favorable à une détermination plus exacte de la période. Il est vrai cependant que, pour en assurer l'exactitude, ces observations et jugemens exigeraient d'être obtenus par le moyen d'un appareil photométrique appliqué à la lunette, sans rien dire des autres précautions qui ne seraient de même à négliger; mais il est vrai aussi que les variations et les phénomènes de l'étoile n'ont été jusqu'à présent convenablement étudiés ni assez connus.

En attendant le prochain retour du grand éclat de l'étoile il faut espérer que nous en pourrions voir et suivre toute sa constance, ce qui en vaudra la peine pour éclaircir notre question. A cet égard j'oserais presque annoncer d'avance que dès les premiers jours d'Octobre de cette année l'étoile aura déjà rejointe sa pleine phase et en brillera de toute sa clarté. Pour l'apparition ci-devant moi aussi j'en fis peu d'observations au méridien, comme je pratique toujours; et toutefois je jugeai l'étoile de la 4<sup>me</sup> grandeur le 18 Octobre de même qu'elle le 25 Novembre du 1836: elle me parut depuis affaiblie ou moins éclatante. Or je prie Mr. le Professeur *Anglander* à vouloir m'expliquer comment est ce qu'il a vu le 13 et le 17 Décembre 1838 la Mira plus claire que à Ceti un peu moins pourtant que  $\gamma$  Ceti, et certainement plus faible (*geringer als schwächer*) que  $\alpha$  Piscium? Dans les catalogues de *Bradley* et de *Piazzi* on fait  $\gamma$  Ceti de 3<sup>me</sup> grandeur à Ceti de la 4<sup>me</sup>, et jusqu'ici il n'y a de difficulté; mais les mêmes catalogues font  $\alpha$  Piscium de la 5<sup>me</sup> grandeur; ce qui ne s'accorderait point avec les indications précédentes de la Mira Ceti.

J. Bianchi.

Schreiben des Herrn *Bianchi*, Directors der Sternwarte zu Modena, an den Herausgeber.

Modene 1839. Juillet 23.

Reprenons maintenant la recherche des réfraction comparées, telle que je commençai de vous l'exposer dans ma lettre 31 Juillet 1838 (A. N. Nr. 373.—75). Pour en éclaircir les doutes de la première opération et reconnaître si vraiment la réfraction du matin, égale toute autre circonstance, dans les petites hauteurs est plus grande que celle du soir, nous nous

accordâmes MMrs. *Carlini* et *Santini* et moi à Milan (où nous nous revîmes pendant les fêtes de la couronnement de l'Empereur d'Autriches) de répéter chacun de ses observations et dans le mois de Décembre la double observation des quatre étoiles circumpolaires que j'avais choisies et indiquées auparavant à ce but. Dès lors on arrêta que ces obser-

utions devaient être faites à l'époque fixée dans les nuits qui tendraient de s'offrir les plus favorables en chaque lieu pour l'état atmosphérique calme, pur et constant, en sorte que l'on pût supposer les vapeurs de l'horizon uniformément repandues dans l'air. Il me parût même avantageux d'étendre et multiplier les points de comparaison, ou les réfractions observées des mêmes étoiles au temps établi, et pour cela j'invitais Mr. le Chevalier Cacciatores, astronome de Palerme, à vouloir aussi observer en Décembre les hauteurs méridiennes des quatre étoiles, ce qu'il eut la complaisance d'agréer. Par cette nouvelle correspondance j'avais en vue particulièrement de comparer les réfractions simultanées des quatre étoiles à des hauteurs beaucoup différentes, comme cela ne pouvait manquer de s'obtenir à la différence de plus que six degrés en latitude. Je proposais enfin d'observer de chaque station, et en même temps que les circompolaires, quelques étoiles fort australes pour en tirer l'accord, s'il y en a, entre les réfractions diamétralement opposées du Nord et du Sud. Malheureusement la saison en Sicile a été très-mauvaise pendant presque tout le Décembre dernier et en conséquence il n'est réussi à Mr. Cacciatores de viser ses étoiles pour la

réfraction qu'un petit nombre de fois; tant que le peu d'observations (mêmes douteuses à cause des troubles continuels de l'atmosphère) qu'il a eu la bonté de m'en envoyer ne pourra me fournir aucun donné suffisamment sûr et certain pour la question dont il s'agit. A Milan aussi Mr. Carlini crut que l'état de l'air n'était pas assez pur et serein, comme il aurait fallu, jusqu'où vers la fin de l'année, et c'était déjà trop tard que de commencer quand il aurait pu les observations que j'en attendais; c'est pourquoi je n'en ai pas reçu aucune. De Mr. Santini n'ont pas manqué de m'arriver quelques observations qu'il fit et dont je vous offrirai ensuite les résultats; mais si je viens ici à vous communiquer les miennes premièrement, c'est parce qu'elles ont été faites en plus grand nombre, que j'aurais pu même aggrandir au delà, si celles que j'en recueillis ne m'eussent point paru suffisantes, et mes autres occupations m'en eussent permis plus de liberté et de temps; tandis que la disposition de l'air dans une longue suite de jours très-beaux depuis le 10 Décembre ne pouvait pas être plus favorable que jo la souhaitais. En voici donc mes hauteurs méridiennes observées des étoiles circompolaires.

### Observations à Modène.

Hauteur Nord du pôle instrumental	= 41°58' 1"15	jusqu'au 3 Janv. 1839 incluso.	} à cercle occidental.
=	8,33	= 10 —	
=	11,10	en avant	
=	47 19 37,18	pour le 4 Janvier 1839 à cercle oriental.	

### S o i r.

1838 — 9 Jours.	Étoiles.	Hauteur Nord par la moy. de quatre vern.	Niveau du Cercle.	Baro- mètre.	Thermomètre R.		Hauteur corrigée du Niveau.	Réfraction de la table Carlini	Hauteur vraie instrumentale.	Déclinaison boréale des étoiles.
					Intér.	extér.				
Décbr. 13	♂ Cassiop. sup.	73°42'25"75	— 7"80				73°42'17"95	— 0'14"56	73°42' 3"39	58°15'57"76
	♂ Ourse inf.	9 58 1,50	— 11,88	28° 3'25	+ 4"0	+ 4"0	9 57 49,62	— 4 22,65	9 53 26,97	57 55 25,82
	♂ Cassiop. sup.	75 0 32,25	— 7,08				75 0 25,17	— 0 13,09	75 0 12,08	56 57 49,07
	♂ Ourse inf.	8 52 50,25	— 11,16	28 3,30	+ 3,8	+ 4,1	8 52 39,09	— 4 47,03	8 47 52,06	56 49 50,91
14	♂ Cassiop. sup.	73 42 20,00	— 0 24				73 42 19,76	0 14,48	73 42 5,28	58 15 55,87
	♂ Ourse inf.	9 57 51,75	— 3,00	28 1,7	+ 3,7	+ 3,9	9 57 48,75	0 41,94	9 53 26,81	57 55 25,66
	♂ Cassiop. sup.	75 0 24,00	— 0 24				75 0 23,76	0 13,07	75 0 10,69	56 57 50,46
	♂ Ourse inf.	8 52 42,00	— 3,00	28 1,7	+ 3,7	+ 3,9	8 52 39,00	4 46,23	8 47 52,77	56 49 51,62
15	♂ Cassiop. sup.	73 42 18,00	— 0 36				73 42 17,64	0 14,50	73 42 3,14	58 15 58,01
	♂ Ourse inf.	9 57 52,00	— 3,48	28 1,15	+ 3,4	+ 3,7	9 57 48,52	4 21,53	9 53 26,99	57 55 25,84
16	♂ Cassiop. sup.	73 42 25,25	— 2,28				73 42 22,97	0 14,61	73 42 8,36	58 15 52,79
	♂ Ourse inf.	9 57 58,75	— 5,64	28 2,85	+ 3,2	+ 3,2	9 57 53,11	4 23,44	9 53 29,67	57 55 29,52
	♂ Cassiop. sup.	75 0 31,50	— 2,16				75 0 29,34	0 13,17	75 0 16,17	56 57 44,98
	♂ Ourse inf.	8 52 50,00	— 4,68	28 2 95	+ 3,2	+ 3,3	8 52 45,32	4 47,85	8 47 57,47	56 49 56,32
17	♂ Ourse inf.	9 57 55,25	— 6,24	28 3,9	+ 2,8	+ 2,9	9 57 49,01	4 24,64	9 53 24,37	57 55 23,22
19	♂ Cassiop. sup.	73 42 12,25	+ 3,84				73 42 16,09	0 14,64	73 42 1,45	58 15 59,70
	♂ Ourse inf.	9 57 43,25	+ 0,72	28 3,3	+ 2,8	+ 3,1	9 57 43,97	4 23,96	9 53 20,01	57 55 19,86
	♂ Cassiop. inf.	75 0 17,50	+ 3,74				75 0 21,34	0 13,19	75 0 8,15	56 57 53,00
	♂ Ourse inf.	8 52 35,00	+ 0,60	28 3,2	+ 3,0	+ 3,1	8 52 35,60	4 48,33	8 47 47,26	56 49 46,11

1838—39 Jours.	Étoiles.	Hauteur Nord par la moy. de quatre vern.	Niveau du Cercle.	Baro- mètre.	Thermomètre R		Hauteur corrigée du Niveau.	Réfraction de la table Coriolis.	Hauteur vraie instrumentale.	Déclinaison boréale des étoiles.
					Intér.	extér.				
Décbr. 20	β Cassiop. sup.	73° 42' 20" 00	+ 1' 20				73° 42' 21" 20	— 0' 14" 62	73° 42' 6" 58	55° 15' 54" 57
	δ Ourse inf.	9 57 51,75	— 1,80	28° 2' 05	+ 2' 7	+ 2' 6	9 57 49,95	4 23,61	9 53 26,34	57 55 25,19
	γ Cassiop. sup.	75 0 23,25	+ 1,32				75 0 24,57	0 13,17	0 11,40	56 57 49,75
	ε Ourse inf.	8 52 42,75	— 1,92	28 2,1	+ 2,7	+ 2,8	8 52 40,83	4 47,83	8 47 53,00	56 49 31,85
21	β Cassiop. sup.	73 42 22,75	+ 0,12	28 5,5	+ 2,4	+ 2,6	73 42 22,87	0 14,77	73 42 8,10	58 15 53,05
22	β Cassiop. sup.	73 42 19,25	+ 0,84				73 42 20,09	0 14,71	73 42 5,38	58 15 55,77
	δ Ourse inf.	9 57 53,25	— 2,64	28 3,1	+ 2,0	+ 2,0	9 57 51,61	4 25,21	9 53 26,40	57 55 25,25
	γ Cassiop. sup.	75 0 22,50	+ 0,96				75 0 23,36	0 13,25	75 0 10,11	56 57 51,04
	ε Ourse inf.	8 52 49,00	— 2,64	28 3,1	+ 2,1	+ 2,2	8 52 46,36	4 49,52	8 47 56,84	56 49 55,69
Janvier 3	♄ Androm. sup.	82 5 19,00	+ 0,24				82 5 19,24	0 5,38	82 5 13,86	49 52 47,29
	γ Ourse inf.	2 14 51,00	— 4,08	27 10,85	+ 4,1	+ 5,5	2 14 46,92	10 10,12	2 4 36,80	50 6 35,65
instr. f 4 renv. {	♄ Androm. sup.	87 26 59,50	+ 0,36				87 26 59,86	0 5,44	87 26 54,42	49 52 43,76
	γ Ourse inf.	7 36 33,75	+ 1,56	28 0,5	+ 3,9	+ 4,2	7 36 35,81	10 17,12	7 26 18,19	50 6 41,01
10	γ Ourse inf.	2 15 20,25	— 11,16	28 1,8	+ 3,0	+ 3,4	2 15 9,09	10 22,21	2 4 46,88	50 6 39,56
11	Cassiopee sup.	76 11 21,00	— 6,12				76 11 14,88	0 11,95	76 11 2,93	55 47 5,17
	γ Ourse préc. inf.	7 49 23,00	— 10,44	28 4,5	+ 2,6	+ 2,8	7 49 12,56	5 18,17	7 43 54,39	55 45 43,29
	♄ Androm. sup.	82 8 37,75	— 8,88				82 8 31,87	0 5,54	82 8 26,33	49 52 44,77
	γ Ourse inf.	2 15 30,75	— 10,68				2 15 20,07	10 29,09	2 4 50,98	50 6 39,88

## M a t i n.

Décbr. 14	β Cassiop. inf.	10 18 22,75	— 2,16				10 18 20,59	— 4 14,90	10 14 5,69	58 16 4,54
	δ Ourse sup.	74 2 50,25	+ 0,60	28 0,8	+ 8,2	+ 8,3	74 2 50,85	— 0 14,14	74 2 36,71	57 55 24,44
	γ Cassiop. inf.	9 0 41,50	— 2,28				9 0 39,22	4 42,75	8 55 56,47	56 57 55,32
	ε Ourse sup.	75 8 25,50	+ 0,90	28 0,85	+ 3,0	+ 3,4	75 8 26,46	— 0 12,93	75 8 13,53	56 49 47,62
16	β Cassiop. inf.	10 18 24,50	— 3,84	28 3,5	+ 2,8	+ 2,9	10 18 20,66	— 4 17,44	10 14 3,22	58 16 2,07
	δ Ourse sup.	74 2 53,25	— 1,32				74 2 51,93	0 14,28	74 2 37,65	57 55 23,50
	γ Cassiop. inf.	9 0 48,50	— 3,84				9 0 44,66	4 45,60	8 55 59,06	56 57 57,91
	ε Ourse sup.	75 8 26,50	— 1,56	28 3,65	+ 2,7	+ 3,0	75 8 24,94	— 0 13,06	75 8 11,88	56 49 49,27
19	β Cassiop. inf.	10 18 16,25	+ 3,00	28 2,4	+ 2,5	+ 2,6	10 18 19,25	4 16,99	10 14 2,26	58 16 1,11
	δ Ourse sup.	74 2 46,00	+ 6,60				74 2 52,60	0 14,25	74 2 38,35	57 55 22,80
	γ Cassiop. inf.	9 0 38,25	+ 3,00	28 2,3	+ 2,3	+ 2,6	9 0 41,25	4 45,07	8 55 56,18	56 57 55,03
	ε Ourse sup.	75 8 17,75	+ 6,72				75 8 24,47	0 13,04	75 8 11,43	56 49 49,68
21	β Cassiop. inf.	10 18 27,00	+ 0,48	28 4,3	+ 2,1	+ 2,0	10 18 27,48	4 19,13	10 14 8,88	58 15 7,20
	δ Ourse sup.	74 2 51,25	+ 4,80				74 2 56,05	0 14,37	74 2 41,68	57 55 19,43
	γ Cassiop. inf.	9 0 46,50	+ 0,84	28 4,2	+ 1,9	+ 1,9	9 0 47,34	4 47,59	8 55 59,75	56 57 58,60
	ε Ourse sup.	75 8 21,50	+ 4,56				75 8 26,16	0 13,15	75 8 13,01	56 49 48,14
Janvier 3	♄ Androm. inf.	2 1 27,25	— 0,84	28 0,35	+ 3,3	+ 2,9	2 1 26,41	10 44,67	1 50 41,74	49 52 40,59
	γ Ourse sup.	81 51 16,25	+ 2,88				81 51 19,13	0 5,72	81 51 13,41	50 6 47,74
11	Cassiop. inf.	7 50 45,50	— 5,88	28 4,5	+ 2,3	+ 2,5	7 50 39,62	5 17,91	7 45 21,71	55 47 10,61
	γ Ourse pr. sup.	76 12 46,75	— 2,64				76 12 44,11	0 11,95	76 12 32,16	55 45 35,94
	♄ Androm. inf.	2 1 56,25	— 4,08				2 1 52,17	10 54,05	1 50 58,12	49 52 47,02
	γ Ourse sup.	81 51 35,50	— 2,64				81 51 32,86	0 5,80	81 51 27,06	50 6 44,04

Or je prends la moyenne des déclinaisons ici tirées des hauteurs méridiennes au dessus du pôle et je trouve ainsi:  
pour le 18 Décembre 1838.

Étoiles.	Décl. appar.	Nr. des observ.
β Cassiopee	58° 15' 55" 94	8
δ grande Ourse	57 55 22,54	4
γ Cassiopee	56 84 49,72	6
ε grande Ourse	56 49 48,68	4

pour le 7 Janvier 1839.

Étoiles.	Décl. appar.	Nr. des étoiles.
Cassiopee	58° 47' 8" 17	1
γ grande Ourse préc.	55 45 39,94	1
♄ Andromède	49 52 44,94	3
γ grande Ourse	50 6 45,69	2

## Remarque.

Les catalogues assignent la 3<sup>me</sup> grandeur à chacune des étoiles  $\eta$ ,  $\zeta$ ,  $\epsilon$ ,  $\delta$  de la grande Ourse. Pour moi à la lunette du cercle et dans les passages méridiens supérieurs, je juge de la 3<sup>me</sup>  $\eta$  et  $\zeta$ , de 2<sup>me</sup> — 3<sup>me</sup> la  $\epsilon$ , et la  $\delta$  de 4 — 5<sup>e</sup>. Je crois qu'on ne juge pas différemment de la dernière ou de la  $\delta$  à l'œil nu: intelligenti pauca.

Quand aux réfractions observées dans les hauteurs méridiennes inférieures je me sers, pour les obtenir, de la respective déclinaison observée le même jour dans la hauteur méridienne supérieure, et cela pour éviter le doute de quelque petit changement accidentel dans le principe de numération du cercle d'un jour à l'autre. Ainsi on a

1 8 3 8.											
14 Décembre. Réfraction.				16 Décembre. Réfraction.				19 Décembre. Réfraction.			
Etoiles.	observ.	calculée.	obs. — calcul.	observ.	calculée.	obs. — calculée.		observ.	calculée.	obs. — calculée.	
$\beta$ Cass. matin	4° 23' 57" 4	14° 90'	+ 8' 67"	4° 26' 72" 4	17° 44'	+ 9' 28"		4° 16' 40" 4	16° 99'	+ 1' 41"	
$\delta$ Ourse soir	4 23,13 4	21,94	+ 1,19	4 28,46 4	23,44	+ 5,02		4 20,02 4	23,96	- 3,94	
$\eta$ Cass. matin	4 47,61 4	42,75	+ 4,86	4 58,53 4	45,60	+ 12,93		4 47,10 4	45,07	+ 2,03	
$\epsilon$ Ourse soir	4 50,23 4	46,23	+ 4,00	4 54,90 4	47,85	+ 7,05		4 44,77 4	48,34	- 3,57	
t 8 3 9.											
20. 21 Décembre. Réfraction.											
Etoiles.	observ.	calculée.	obs. — calculée.	observ.	calculée.	obs. — calculée.		observ.	calculée.	obs. — calculée.	Différences obs. — calc. moyennes.
$\beta$ Cass. matin	4° 31' 76" 4	19° 13'	+ 12' 63"					4° 31' 76" 4	19° 13'	+ 12' 63"	+ 7' 998
$\delta$ Ourse soir	4 29,37 4	23,61	+ 5,76					4 29,37 4	23,61	+ 5,76	+ 2,008
$\eta$ Cass. matin	4 56,14 4	47,59	+ 8,85					4 56,14 4	47,59	+ 8,85	+ 7,168
$\epsilon$ Ourse soir	4 51,54 4	47,73	+ 3,71					4 51,54 4	47,73	+ 3,71	+ 2,798
t 8 3 9.											
3 Janvier. Réfraction.				11 Janvier. Réfraction.							
Etoiles.	observée.	calculée.	observ. — calculée.	observée.	calculée.	observ. — calculée.		observée.	calculée.	observ. — calculée.	Différences obs. — calc. moyennes.
Cassiope. matin	.....	.....	.....	5° 20' 39"	5° 17' 91"	+ 2' 48"		5° 20' 39"	5° 17' 91"	+ 2' 48"	+ 2' 480
$\zeta$ Ourse pr. soir	.....	.....	.....	5 22,52	5 18,17	+ 4,35		5 22,52	5 18,17	+ 4,35	+ 4,350
$\zeta$ Andr. matin	10 37,57	10 44,67	— 7,10	10 56,36	10 54,05	+ 2,25		10 56,36	10 54,05	+ 2,25	- 2,425
$\eta$ Ourse soir	9 55,03	10 10,12	- 12,09	10 24,93	10 29,09	- 4,16		10 24,93	10 29,09	- 4,16	- 8,125

Toutes ces observations s'accordent et donnent, à l'exception d'une, la réfraction du matin plus grande que la correspondante du soir. Cet excès en effet résulte

pour  $\beta$  Cassiopee et  $\delta$  Ourse... à la moyenne hauteur apparente de 12° 49'... = + 5' 99 de 4 comparaisons  
 $\eta$  Cassiopee et  $\epsilon$  Ourse..... 11 38..... = + 4,37 4  
 Cassiopee et  $\zeta$  Ourse..... 10 31..... = - 1,57 1  
 $\zeta$  Andromeda et  $\eta$  Ourse..... 4 49..... = + 5,70 2

Il est curieux de voir ici que cet excès résulte le même à 13 degrés de hauteur apparente aussi qu'à 5, presque dirai-je qu'il est invariable à une petite hauteur quelque soit et environ = 5' 5. Que si on ne rejette pas la comparaison unique de Cassiopee et  $\zeta$  Ourse, pourra-t-on en déduire au contraire qu'un pareil excès diminue avec la hauteur, de celle de 13°, jusqu'à ce qu'il en change de signe, et qu'en suite il s'accroît de nouveau; ce qui reviendrait à dire que la courbe des réfractions près de l'horizon n'a pas de continuité, ou que la loi de ses points n'est pas une fonction régulière et constante de la hauteur et de l'heure du phénomène. Mais c'est trop tôt que de s'en tenir à une conclusion quelconque sur un petit nombre de faits; et outre cela il me reste à examiner encore une autre question particulière après que je vous réportai les observations de Padoue. Il me suffit pour le présent d'avoir confirmé avec mes dernières observations qu'en général au soir la réfraction est moindre, à la même petite hauteur que le matin. Vous voyez pourtant, que

j'ai eu recours cette année à deux autres couples d'étoiles circumpolaires liés avec la condition d'être deux à deux à peu près équidistants du pôle et opposés en ascension droite. Cela m'a procuré l'avantage de comparer les réfractions à des hauteurs plus petites qu'auparavant, et peut-être que dans l'hiver prochain je répéterai encore une fois ces opérations en les étendant à toutes les sept étoiles du chariot, ou de la grande Ourse, dont chacune a sa correspondante, en opposition et équidistante du pôle avec elle, tant qu'il faut claire et distinguée pour bien la voir à son passage méridien inférieur. Par ces étoiles on se représente notre ancienne et belle constellation du chariot redoublée et renversée proprement dans la voûte céleste; et d'une pareille considération pourra-t-on profiter à bien d'autres rapports, outre celui des réfractions, comme j'espère de vous le prouver dans la suite. Cependant pour ne grossir trop cette lettre je m'en arrête ici en remettant la continuation du sujet aux lettres, qui suivront et que j'aurai l'honneur de vous adresser.

J. Bianchi.

## Erlöschen von Sternschnuppen beobachtet in Altona 1839. Aug. 10.

Es ist bekanntlich schon lange von Herrn Professor Benzenberg vorgeschlagen, die Sternschnuppen zu Längenbestimmungen zu benutzen, ohne daß, so viel mir bekannt, bisher ein Versuch damit gemacht worden. Ich beschloß daher die Nacht vom 10<sup>ten</sup> auf den 11<sup>ten</sup> Aug. zur scharfen Bestimmung des Zeitaugeblicks in dem sie erlöschen anzuwenden, um zu sehen, welcher Genauigkeit diese Beob. wohl fähig sind. Ebendesswegen beobachtete ich den Ort des Entstehens und Verschwindens nicht, und zeichnete folglich die Sternschnuppen auch nicht ein, weil Alles dies die Aufmerksamkeit, die allein auf des Moment des Verschwindens gerichtet war, gestört haben würde. Nur beiläufig habe ich die Himmelagegend, in der das Phänomen erschien bemerkt.

Der Moment des Erlöschens ward gewählt, weil man dabei durch das Erscheinen schon auf die Beobachtung vorbereitet wird. Das Wetter begünstigte hier nicht das Unternehmen. Ich beobachtete von 9 bis 11 Uhr, und ward schon oft durch Wolken gestört, Herr Capitain v. Nehus, der um 11 Uhr aufzog, mußte gegen Mitternacht, wo der Himmel sich ganz bedeckte, schließen.

Die Beobachtungen (mit Ausnahme von 2) sind aus einem Fenster, das die Aussicht auf Westen hat, gemacht.

Ich glaube meine Beobachtungen bis auf einen Schlag des dabei gebrauchten Chronometers (0<sup>3</sup>) verbürgen zu können, Nr. 14 ausgenommen, die vielleicht auf 2<sup>e</sup> unsicher seyn kann, und hoffe ein andermal noch mehr Genauigkeit zu erreichen. es erhellt also, daß diese Phänomene sich mit einer zu Längenbestimmungen hinreichenden Schärfe beobachten lassen.

Nr.	Mittl. Zeit.	
1	9 <sup>h</sup> 20' 56 <sup>1</sup>	N. O.
2	— 34 30,1	N. W. lang
3	— 36 22,9	schwach.
4	— 44 12,9	S. W. lang, hell.
5	— 50 14,9	W. lang.
6	— 51 0,1	
7	— 56 11,3	
8	10 6 21,1	Von hier an häufige.
9	— 11 19,7	Wolken.

Nr.	Mittl. Zeit.	
10	10 <sup>h</sup> 13' 24 <sup>9</sup>	lang, liefs Streifen nach.
11	— 21 30,5	N.
12	— 26 16,1	S. W. hell.
13	— 29 56,9	S. W. schwach.
14	— 35 48,5 ::	lang, liefs Streifen nach.
15	— 37 0,1	schwach.
16	— 40 4,0	N. W.
17	— 44 19,3	N. W. lang, liefs Streifen nach
18	— 48 2,1	N.
19	— 48 54,1	S. W.
20	— 50 4,5	N. W. schwach.
21	— 51 11,3	N. W.
22	— 52 31,7	
23	— 53 34,1	hell, liefs Streifen nach.
Die folgenden Beob. sind von Capitain v. Nehus.		
24	— 53 40,1	verschieden von Nr. 23
25	11 8 32,9	W. N. W. liefs Streifen nach
26	— 10 34,9	W. N. W. von N. O. nach S. W.
27	— 12 47,7	W. N. W. ebenso.
28	— 15 24,9 ::	N.
29	— 20 40,1	liefs Streifen nach von N. O. nach S. W.
30	— 21 55,7	ebenso.
31	— 25 2,9	schwach von S. W. nach N. O.
32	— 39 28,9	hell von N. O. nach S. W.
33	— 51 2,9	

Die letzten 3 Beob. durch Wolken und unsicher. Gegen Mitternacht war der ganze Himmel bedeckt. Alle von mir beobachtete Sternschnuppen schienen sich gegen das Sternbild des Löwen zu bewegen.

Wenn andere Beobachter, die auch das Erlöschen beobachtet haben, an ihre Beob. die Meridialdifferenz mit Altona anbringen, wird es sich leicht zeigen, ob sie correspondiren haben. Von Herrn Dr. Olbers, dem ich meine Beob. mitgetheilt hatte, habe ich in der That schon einige correspondirende an Bremen erhalten, die aber nicht zur Bestimmung der Längendifferenz dienen können, weil in Bremen der Moment des Erlöschens beobachtet ward. Ich werde diesen Brief in nicht allen Blatte abdrucken lassen.

## A n z e i g e n.

Es ist schon in den früheren Banden dieser Nachrichten bemerkt, daß ohne ausdrückliche Bestellung und Vorauszahlung kein Nummer eines neuen Bandes versandt wird. Die Herren Abonnenten, welche diese Blätter fortzusetzen wünschen werden durch am Unterbrechungen zu vermeiden, ersucht baldmöglichst ihre Bestellungen einzusenden.

Man pränumerirt mit 8  $\frac{1}{2}$  Hamburger GrobCourant, oder mit einem Holländischen Ducaten, und von diesem Preise wird auch den Postämtern und Buchhandlungen kein Rabatt gegeben. Ueberhaupt sind alle in dieser Anzeige bemerkten Preise, Nettopreise Einzelne Nummern werden nur zur Completirung, wenn sie vorrätig sind, 4  $\frac{1}{2}$  ggr. abgesehen.

Da sehr wenig Exemplare mehr gedruckt werden als bestellt sind, so kann ein Band, der schon geschlossen ist, nicht mit 12  $\frac{1}{2}$  Hamburger GrobCourant, oder 1  $\frac{1}{2}$  Ducaten verkauft werden. Die einzige Ausnahme ist wenn alle schon geschlossenen Bände vom 3ten (inclusive) an, auf einmal genommen werden, und wenn also, wie bei dem Vorkaufe einzelner Bände, keiner von den wenigen noch übrigen Exemplaren des ganzen Werks incomplet gemacht wird. In diesem Falle wird der Band auch nur zu 8  $\frac{1}{2}$  gerechnet. Der erste Band ist ganz vergriffen.

Die Anzeigen von Büchern, Instrumenten u. s. w. in den Intelligenzblättern, werden mit 2 ggr. die Zeile vergütet.

Ausg. an einem Schreiben des Herrn Majors Sabine an den Herrn Hofrath Gauss. p. 369. — Schreiben des Herrn Prof. v. Bogenhausen, Directors der Breslauer Sternwarte, an den Herausgeber. p. 369. — Schreiben des Herrn Bianchi, Directors der Sternwarte in Modena, an den Herausgeber. p. 371. — Schreiben des Herrn Bianchi, Directors der Sternwarte in Modena, an den Herausgeber. p. 379. — Erlöschen von Sternschnuppen beobachtet in Altona 1839. Aug. 10. p. 379. — Anzeige. p. 383.

Altona 1839. September 3.

Schreiben des Herrn Dr. *Olbens* an den Herausgeber.

Bremen 1839. August 19.

Ich danke Ihnen recht sehr für Ihren in aller Rücksicht so interessanten Brief vom 12<sup>ten</sup> Aug. und die beigefügten Sternschnuppen-Beobachtungen. Die diesmalige Wiederkehr der August-Epoche für die Sternschnuppen hat sich sehr ausgezeichnet. Hier hat man dieselbe Einrichtung zu ihrer Beobachtung getroffen, wie im November 1838. Die Zahl der beobachtenden Personen belief sich fast immer auf 6. So wurden in der Nacht vom 9<sup>ten</sup> auf den 10<sup>ten</sup> Aug. 392 und vom 10<sup>ten</sup> auf den 11<sup>ten</sup> gar 725 Sternschnuppen wahrgenommen. Natürlich konnte bei dieser Frequenz nur ein Theil derselben in die Sternkarten eingetragen werden. Beide Nächte waren nicht ganz ununterbrochen heiter: die Nacht vom 11<sup>ten</sup> auf den 12<sup>ten</sup> trübe. Ich behalte mir vor, Ihnen einen umständlicheren Bericht für die A. N. zu schicken.

Ihre Beobachtungen habe ich gleich an Dr. *W. Focke* gegeben. Vorläufig glaubt er folgende einigermassen übereinstimmende anmerken zu können.

Ihre Nr.	Sonne Nr.	Unterschied der Mittagskreise.
Nr. 9	Nr. 34	4' 37"
10	42	4 37,8
12	84	4 30,6
16	105	4 36,8
18	115	4 24,6
19	116	4 25,1
22	124	4 29,0
		4 31'5

Dies Mittel würde sehr gut stimmen, angesehen der mehr westlichen Lage des hiesigen Beobachtungsorts und des Umstandes, daß bei Ihnen das Ende, hier der Anfang der Sternschnuppen beobachtet ist. Aber die einzelnen Data sind noch zu verschieden, und es mag noch wohl ein und das andere Resultat, als zu verschiedenen Sternschnuppen gehörig, ganz wegfallen müssen. Immer aber scheint daraus hervorzugehen, daß Sternschnuppen dazu dienen können, Längen-Unterschiede völlig zu berichtigen, wenn an beiden Orten die Verschwindungszeiten beobachtet werden.

*Olbens.*

Auszug aus einem Schreiben des Herrn Geheimenraths *Bessel* an den Herausgeber.

Königsberg 1839. Aug. 22.

Eben bringt mir Professor *Feldt* seine Beobachtungen vom 10<sup>ten</sup> August. Die Zeitangaben sind nur in ganzen Secunden, ohne die Absicht der allgerätesten Genauigkeit gemacht; sie lassen sich überall nicht ganz genau reduciren, da die Chronometerzeit erst durch die heutigen Vergleichen bekannt geworden ist. Darunter finden sich drei, die möglicherweise mit den übrigen identisch seyn können.

Altona Nr. 1    9<sup>h</sup> 20' 50" 1 m. Zt. Braunsb. 10<sup>h</sup> 28' 37" 5 Chronom.  
 29    11 20 40,1                      12 28 30  
 30    11 21 55,7                      12 29 45

la Braunsberg erschienen sie

1 — 2 Gr. im Ophiuchus.

3 Gr. im Drachen.

2 Gr. am Polarsterne geht nach ζ Urs. maj.

Die muthmaßliche Königsberger mittlere Zeit ist

10<sup>h</sup> 2' 58" 4  
 12 2 50,3  
 12 4 5,3

Sie geben also den Mittagsunterschied Königsberg — Altona

Nr. 1    42' 8" 3  
 29    10,2  
 30    9,6  
 42' 9" 4

soll seyn 42' 13". Es wären also wohl dieselben, wenn die angenommene Chronometer-Correction ganz richtig wäre.

*Bessel.*



## Sternschnuppen-Momente 1839 August 10.

Von Herrn Professor v. Boguslawski habe ich beifolgende Beobachtungen aus Breslau erhalten, mit der Bemerkung, daß die Beobachter dort nicht auf die Beobachtung der Zeitmomente besondere Sorgfalt verwandt haben, so daß der Längenunterschied, oh er gleich kaum eine Zeilsecunde von dem bisher angenommenen abweicht, nicht als besonders zuverlässig zu betrachten ist.

Altona.		Breslau.		Zeit- unter- schied.
Nr.	Himmels- gegend.	Nr.	Himmels- gegend.	
1.	9 <sup>h</sup> 20' 50" 1 NO.	54.	9 <sup>h</sup> 49' 10" 0 NO.	28' 19" 9
4.	9 44 12,9 SW.	108.	10 12 33,2 SW.	28 20,3

Altona.		Breslau.		Zeit- unter- schied.
Nr.	Himmels- gegend.	Nr.	Himmels- gegend.	
7.	9 <sup>h</sup> 56' 11" 3	132.	10 <sup>h</sup> 24' 37" 2 NO.	28 25,9
8.	10 6 32,1	150.	10 34 53,3 N.	28 21,2
12.	10 26 16,1 SW.	214.	10 54 43,4 NO.	28 27,3
16.	10 40 4,9 NW.	243.	11 8 34,4 NW.	28 29,5
17.	10 44 19,3 NW.	257.	11 12 36,5 N.	28 17,5
28.	11 15 24,9 N.	338.	11 43 35,6 N.	28 10,5
30.	11 21 55,7	358.	11 50 19,6 NW.	28 23,5
31.	11 25 2,9	364.	11 53 21,7 NW.	28 18,8
32.	11 39 28,9 SSW.	404.	12 7 55,7 N.	28 26,8
33.	11 51 2,9	447.	12 19 26,8 NO.	28 23,1
				Mittel ... 28 21,0

S.

## Beobachtungen des Enckeschen Cometen auf der Sternwarte zu Kremsmünster.

Den Enckeschen Cometen fand ich am 11<sup>ten</sup> October auf, und beobachtete ihn am Aequatorale der hiesigen Sternwarte mit einem Micrometer, welches ich der gütigen Mittheilung und Ausführung des Herrn Prof. Stampfer am k. k. polytechnischen Institute in Wien verdanke. Die nähere Beschreibung desselben dem Erläuterer selbst überlassend bemerke ich nur, daß es im wesentlichen in einem in der Mitte des Schefeldes erscheinenden Lichtpunkte besteht, dessen Größe hellich abgeändert werden kann. Der Komet war vorzüglich im Monate October sehr lichtschwach, ohne Kern oder eine lichtstärkere Stelle, daher den Beobachtungen nicht die gewünschte Schärfe gegeben werden konnte. Bedeutend lichtstärker erschien er im November. Am 7<sup>ten</sup>, wo wir den ersten heitern Abend ohne Mondlicht hatten, sah ich ihn zum ersten Male mit freiem Auge; durch das Fernrohr angesehen erwiehen er gegen seinen später in das Rohr tretenden, also öflichen, Rand merklich lichtstärker und verlor sich gegen seinen westlichen unmerklich, indem er an Lichtstärke abnahm. Am 9<sup>ten</sup> schien es mir, als bemerkte man von Zeit zu Zeit in seinem hellsten Theile eine scintillirende Stelle. Ich bedaure nur, daß der ungünstige Himmel dieses Monates mir nicht mehrere Beobachtungen zu machen erlaubte. Zum letzten Male sah ich ihn am 27<sup>ten</sup> November; es kam jedoch derselbe bei noch bedeutender Dämmerung in die am Horizont lagernde Dunstschichte und erlaubte mir keine Beobachtung.

Die Positionen der Fundamentalsterne, die zu Vergleichsternen verwendet wurden, sind aus Encke's Berliner Astr. Jahrbuche für 1838, so auch  $\beta$  Draconis nach Encke's Angabe in demselben Jahrbuche 1839 p. 245. Die übrigen Vergleichsterne wurden am Meridiankreise bestimmt,  $\pi$  und  $\delta$  Herculi ausgenommen, die ich aus Piazzi nahm. Die Beobachtungen der Vergleichsterne gaben folgende Bestimmungen für 1838,01

Vergleichsterne.	AR. adp.	Decl. adp.	Zahl der Beob.
a	2 <sup>h</sup> 8' 51" 70	+46° 38' 43" 9	3
h	2 10 14,34	46 33 46,9	2
e = f	1 46 6,12	52 30 26,1	2
d	1 46 24,07	51 41 31,8	3
c	1 43 54,21	51 51 12,2	2
g	1 41 56,74	53 5 55,1	2
h	1 41 23,73	54 20 29,8	2
i	1 56 56,76	57 22 38,7	2
k	1 13 6,22	37 17 47,8	2
l	0 56 58,25	58 59 24,5	3
m	0 47 4,12	58 18 16,3	2
u	0 45 26,03	58 5 39,4	2
o	0 35 32,99	61 38 26,1	5
p	0 33 21,67	61 52 35,6	3
$\gamma$ Cassiop.	0 46 58,97	59 50 15,4	3
$\alpha$ Cassiop.	0 23 50,64	+62 2 15,1	9

c und f ist derselbe Stern.

Die von folgenden Positionen des Cometen sind astronomisch durch die Refraction befreit.

1838.	Mittl. Zeit in Kremsmünster.	Comet — Stern in AR.	Decl.	Des Cometen AR. adp.	Decl. adp.	Vergleichsterne.
Octbr. 11	8 <sup>h</sup> 1' 56" 15	— 1 <sup>h</sup> 4' 26" 01	— 2° 19' 16" 1	2 <sup>h</sup> 8' 25" 88	+ 46° 57' 39" 8	$\alpha$ Persei
		— 0 0 31,63	+ 0 20 34,6	24,12	58 44,2	a
		— 0 1 55 26	+ 0 24 24,9	23,15	31,1	b

1888.	Mittl. Zeit in Kremsmünster.	Comet		Stern in		Des Kometen		Vergleichsterne.
		AR.	Decl.	AR.	Decl.	AR. adp.	Decl. adp.	
Octbr. 11	8 <sup>h</sup> 32' 27" 02	— 1 <sup>h</sup> 4' 28' 71	— 2° 16' 2' 3	2 <sup>h</sup> 8' 23' 26	+ 47° 0' 53' 5	2 8	+ 47° 0' 53' 5	α Persel.
		— 0 0 34,26	+ 0 23 48,2	21,49	1 57,9			a
		— 0 1 57,97	+ 0 27 38,7	20,44	5 44,9			b
		10 38 10,24	— 1 4 51,29	— 2 11 7,1	2 8 0,68			α Persel.
		— 0 0 46,59	+ 0 28 1,9	9,12	6 48,6			a
		— 0 2 11,17	+ 0 31 56,1	7,24	2,3			b
		— 2 56 42,62	+ 1 16 27,7	5,43	2,9			α Auriga.
		1 25 57,43	+ 2 43 45,1	1 46 54,68	+ 52 0 42,1			α Persel.
		+ 0 0 45,64	+ 0 30 9,7	56,11	38,2			c
		+ 0 0 26,31	+ 0 18 41,8	54,60	35,5			d
16	14 2 46,16	+ 0 2 56,30	+ 0 9 2,8	54,71	37,0	1 42	+ 52 47 7,2	e
		— 0 3 40,72	+ 0 16 19,1	29,96	47 28,2			f
		+ 0 0 28,97	+ 0 18 49,1	29,96	46 37,1			g
		1 30 22,19	+ 3 29 39,9	29,95	52 53 28,9			α Persel.
		— 0 4 30,93	+ 0 22 40,8	1 41 39,45	+ 52 53 28,9			a
		— 0 0 24,88	+ 0 12 40,5	36,11	36,8			g
		1 31 36,26	+ 3 36 16,8	36,26	14,0			α Persel.
		3 23 11,65	+ 7 4 19,9	36,63	55,7			α Auriga.
		— 0 5 41,60	+ 0 22 25,7	1 35 46,45	+ 53 58 26,5			h
		— 0 7 8,68	+ 0 9 10,9	1 34 19,37	+ 54 11 41,3			h
18	13 59 42,68	1 38 32,60	+ 4 54 42,4	19,56	40,7	1 34	+ 54 13 36,8	α Persel.
		— 0 7 20,90	+ 0 7 15,4	1 34 7,15	+ 54 13 36,8			h
		— 1 38 43,59	+ 4 56 44,5	8,57	41,9			α Persel.
		+ 0 38 32,35	+ 1 53 59,2	1 9 57,49	+ 57 33 16,9			α Cassiopeia.
		— 0 0 4,67	+ 0 10 10,3	56,36	13,6			i
		— 0 3 14,77	+ 0 15 7,6	55,63	20,0			α Cassiopeia.
		10 12 11,36	+ 0 38 29,72	1 9 54,86	+ 57 33 58,1			α Cassiopeia.
		+ 0 0 7,30	+ 0 10 51,5	53,67	54,9			l
		+ 0 3 17,40	+ 0 15 48,9	53,00	61,2			k
		— 0 27 53,15	+ 0 27 53,15	0 59 18,30	20,4	0 59	+ 58 48 5,8	α Cassiopeia.
22	9 21 43,67	+ 0 2 16,76	+ 0 12 11,41	20,40	20,4			l
		+ 0 12 11,41	+ 0 13 49,05	20,40	19,91			m
		9 58 47,23	+ 3 8 47,9	— 0 11 36,0	9,7			n
			— 0 11 36,0	+ 0 29 28,8	9,8			α Cassiopeia.
			+ 0 41 56,3	+ 4 21 56,3	47 59,8			l
			+ 0 10 21,5	+ 0 10 21,5	3,2			α Cassiopeia.
			+ 4 23 26,0	+ 4 23 26,0	2,2			α Cassiopeia.
			+ 0 11 51,2	+ 0 11 51,2	32,9			α Cassiopeia.
			+ 5 33 2,1	+ 5 33 2,1	20,6			α Cassiopeia.
			+ 0 26 27,1	+ 0 26 27,1	26,2			o
24	8 48 22,91	— 0 0 55,56	+ 0 40 41,5	21,74	21,4	0 32	+ 61 12 20,6	p
		— 0 3 14,88	+ 0 26 27,1	22,10	23,9			α Cassiopeia.
		— 0 1 3,90	+ 0 12 41,6	21,19	23,9			α Cassiopeia.
		— 0 14 40,68	+ 1 21 41,6	+ 7 58 5,9	39,5			α Cassiopeia.
			+ 1 34 40,8	+ 3 46 49,5	32,2			α Cassiopeia.
			+ 7 59 10,7	+ 3 47 38,0	20,6			α Cassiopeia.
			+ 3 47 38,0	+ 8 0 17,1	23 62,71			α Cassiopeia.
			+ 3 48 44,4	+ 8 34 27,3	52,26			α Cassiopeia.
			+ 8 34 27,3	+ 8 30 11,8	19 36 28,11			α Cassiopeia.
			+ 0 14 51,0	+ 0 14 51,0	18 31 11,88			α Cassiopeia.
26	11 14 43,24	+ 1 4 28,03	+ 0 39 57,4	15,47	29,4	23 53	+ 63 38 29,7	α Cassiopeia.
		+ 0 37 35,66	+ 0 6 37,7	18 30 26,13	+ 51 37 18,8			α Cassiopeia.
		+ 1 3 42,28	— 0 48 10,7	29,72	16,1			α Cassiopeia.
								α Cassiopeia.
								α Cassiopeia.
								α Cassiopeia.
								α Cassiopeia.
								α Cassiopeia.
								α Cassiopeia.
								α Cassiopeia.
Novbr. 4	6 9 19,34	— 0 38 0,78	+ 7 59 10,7	23 53 24,35	+ 63 38 29,7	23 53	+ 63 38 29,7	α Cassiopeia.
		— 0 53 39,09	+ 3 47 38,0	23,94	20,6			α Cassiopeia.
		— 0 38 32,42	+ 8 0 17,1	23 62,71	+ 63 38 29,7			α Cassiopeia.
		— 0 54 10,77	+ 3 48 44,4	52,26	27,0			α Cassiopeia.
		+ 1 43 37,57	+ 8 34 27,3	19 36 28,11	+ 60 5 9,0			α Cassiopeia.
		+ 1 42 49,35	+ 8 30 11,8	19 35 39,89	+ 60 0 53,5			α Cassiopeia.
		+ 0 38 21,41	+ 0 14 51,0	18 31 11,88	+ 51 45 32,1			α Cassiopeia.
		+ 1 4 28,03	+ 0 39 57,4	15,47	29,4			α Cassiopeia.
		+ 0 37 35,66	+ 0 6 37,7	18 30 26,13	+ 51 37 18,8			α Cassiopeia.
		+ 1 3 42,28	— 0 48 10,7	29,72	16,1			α Cassiopeia.

1858.	Mittl. Zeit in Kremmünster.	Comet — Stern in AR.	Decl.	Des Kometen AR. adp.	Decl. adp.	Vergleichen.
Novbr. 7	8 <sup>h</sup> 6' 16" 86	+ 0 <sup>h</sup> 37' 2" 83	+ 0° 0' 30" 8	18 <sup>h</sup> 29' 53" 30	+ 51° 31' 11" 9	γ Draconis.
		+ 1 3 9,18	— 0 54 11,8	56,62	15,0	β Draconis.
9	6 9 46,07	+ 0 7 45,69	— 6 11 42,7	18 0 36,12	+ 45 18 57,8	α Lyrae.
		— 0 30 52,35	+ 6 40 39,3	35,38	57,9	γ Draconis.
10	7 3 14,32	+ 0 7 17,26	— 6 19 13,0	18 0 7,67	+ 45 11 27,5	α Lyrae.
11	5 55 58,09	— 0 43 9,11	+ 3 23 32,0	17 48 18,61	+ 42 1 50,5	π Herculis.
			— 0 10 18,4		+ 38 27 59,9	α Lyrae.
		+ 0 27 3,44	+ 1 28 21,6	17 56 29,32	28 4,0	π Herculis.
	8 15 59,83	— 0 55 9,04	— 0 13 36,1	17 36 18,65	+ 38 24 42,2	α Lyrae.
		— 0 14 24,71	+ 1 8 15,4	17,30	52,1	δ Herculis.
14	5 43 44,20	+ 1 20 3,54	— 9 20 2,8	17 11 24,11	+ 29 18 14,9	α Lyrae.
		+ 0 2 0,09	— 7 41 22,9	25,97	19,6	π Herculis.
		— 0 39 18,51	— 7 58 23,9	24,50	12,7	δ Herculis.

Aus diesen Beobachtungen ergeben sich, im Mittel, folgende scheinbare Positionen des Kometen:

1858.	Mittl. Zeit in Kremmünster.	Des Cometen AR. adp.	Decl. adp.
Octbr. 11	8 <sup>h</sup> 1' 56" 15	32° 6' 5" 7	+ 46° 58' 18" 1
	8 32 27,02	32 5 25,9	47 1 32,1
	10 38 10,24	32 1 24,3	47 6 1,4
16	14 2 46,16	26 43 45,3	52 0 38,2
17	7 24 0,72	25 37 24,6	52 47 4,2
	10 13 2,22	25 24 16,6	52 53 33,8
18	9 19 17,47	23 56 37,0	53 58 26,5
	13 59 42,68	23 34 51,9	54 11 41,0
	14 45 24,33	23 31 57,9	54 13 39,4
21	9 58 5,60	17 29 7,3	57 33 16,8
	10 12 11,36	17 28 27,6	57 33 58,1
22	9 21 43,67	14 49 54,9	
	9 58 47,23		58 48 6,2
23	9 32 5,61	11 39 5,5	60 1 8,9
	9 51 24,74	11 37 35,8	60 2 38,6
24	8 48 22,91	8 5 21,4	61 12 23,0
26	11 14 43,24		63 37 32,2
	11 47 44,05	358 21 2,1	63 38 25,2
	12 16 34,08	358 13 7,2	63 39 31,6
Novbr. 4	6 9 19,34	294 7 1,6	60 5 9,0
	6 50 17,82	293 54 58,3	60 0 53,5
7	6 19 44,12	277 48 25,0	51 45 30,8
	7 21 15,26	277 36 58,8	51 37 17,4
	8 6 16,86	277 28 44,4	51 31 13,5
9	6 9 46,07	270 8 56,2	45 18 57,9
	7 3 14,32	270 1 55,0	45 11 27,6
10	5 55 58,09	267 4 39,1	42 1 50,5
11	7 54 30,36	264 7 19,8	38 28 1,9
	8 15 59,83	264 4 29,7	38 24 47,1
14	5 43 44,20	257 51 12,9	+ 29 18 15,7

Herr A. Reszhuber, Adjunct der hiesigen Sternwarte, hatte die Güte, die Reductionen dieser Beobachtungen zur Vergleichung derselben mit den beiden Ephemeriden des Herrn

Bromker (Astr. Nachr. Nr. 354 und 375), so wie die Vergleichung selbst anzuführen, welche ich hier befüge:

	I. Ephemeride.		II. Ephemeride.	
	Δα	Δδ	Δα	Δδ
Oct. 11.	+ 5' 5" 8	+ 5' 41" 7	— 0' 21" 0	+ 2' 38" 0
	+ 4 47,3	+ 3 32,7	— 0 38,6	+ 0 28,7
	+ 4 44,4	+ 3 36,4	— 0 43,5	+ 0 31,3
16.	+ 2 45,5	+ 3 56,2	— 3 41,7	+ 0 29,2
17.	+ 7 28,4	+ 4 8,6	+ 0 54,5	+ 0 32,2
	+ 9 50,1	+ 5 28,0	+ 3 9,8	+ 0 46,1
18.	+ 4 15,6	+ 5 6,3	— 2 35,3	+ 0 1,1
	+ 4 52,9	+ 5 11,7	— 1 49,4	+ 0 1,1
	+ 5 19,4	+ 5 22,6	— 1 23,2	+ 0 12,2
21.	+ 8 36,7	+ 6 46,4	+ 1 59,7	+ 0 16,9
	+ 7 44,7	+ 6 49,0	+ 1 7,7	+ 0 20,9
22.	+ 6 42,6		+ 0 24,1	— 0 14,0
		+ 6 45,5		+ 0 4,9
23.	+ 5 36,5	+ 7 29,6	+ 0 9,9	— 0 53,9
	+ 4 19,6	+ 7 0,9	— 1 26,2	+ 0 12,1
24.	+ 5 57,0	+ 8 21,4	+ 1 0,4	— 0 42,3
26.		+ 8 44,2		— 0 33,0
	+ 1 8,0	+ 9 18,1	— 0 18,7	+ 0 36,6
Nov. 4.	+ 1 45,1	+ 8 56,9	— 0 5,1	+ 0 59,0
	— 27 5,2	+ 3 59,7	— 0 39,5	+ 0 53,2
7.	— 26 21,2	+ 4 11,6	+ 0 36,8	+ 1 42,0
	— 24 29,2	— 0 9,1	+ 4 13,1	+ 0 50,7
	— 20 50,9	— 0 6,4	+ 1 35,0	+ 0 37,6
	— 24 9,9	— 0 3,0	+ 1 10,4	+ 0 18,0
9.	— 20 57,5	— 1 59,9	+ 0 22,6	+ 0 57,1
	— 21 19,9	— 2 1,0	+ 0 21,3	+ 0 5,8
10.	— 20 55,6	— 2 25,0		
11.	— 19 31,6	+ 3 28,7		
	— 18 56,1	+ 3 13,3		
14.	— 16 24,1	— 4 18,2		

Δα und Δδ mit ihren Zeichen an die beobachteten Positionen angebracht, geben die Daten der Ephemeride; so auch bei den folgenden Planetenbeobachtungen.

Planetenbeobachtungen am Meridiankreise der Sternwarte zu Kremsmünster, sammt ihrer Vergleichung mit dem Berliner Astron. Jahrbuche.

## Jupiter.

	Mittl. Zeit in Kremsm.	AR.	Decl.	$\Delta\alpha$	$\Delta\delta$
1838 Juli 11	11 <sup>h</sup> 42' 46" 66	10 <sup>h</sup> 59' 20" 77	+ 8° 3' 37" 10	-0' 70"	+ 1' 91"
12	38 22,30	58 52,24	6 32,63	-0,68	+ 4,25
April 2	10 6 54,13	49 56,65	9 0 3,41	-0,54	+ 4,33
5	9 54 5,44	48 55,28	5 57,02	-0,61	+ 1,78
22	8 43 7,21	44 46,61	28 11,92	-0,72	+ 4,67
39	29 2,58	44 37,81	28 54,63	-0,81	+ 4,12
30	45 47,6	43 54,46	31 54,31	-0,62	+ 1,07
Mai 1	8 6 48,31	43 51,20	32 5,75	-0,75	+ 2,15
2	2 50,16	43 48,63	32 9,82	-0,92	+ 2,13
3	7 58 52,24	43 46,74	32 6,75	-1,08	+ 0,83
4	54 54,50	43 44,95	32 1,92	-0,65	+ 1,35
6	39 12,15	43 46,29	31 2,50	-0,62	+ 1,86
9	35 18,60	43 48,38	30 37,26	-0,67	+ 2,13
11	27 32,63	43 54,48	29 40,40	-0,67	+ 3,13

## Saturn.

	Mittl. Zeit in Kremsm.	AR.	Decl.	$\Delta\alpha$	$\Delta\delta$
1838 Mai 9	12 <sup>h</sup> 32' 5" 69	15 37 27,46	-17° 2' 28" 45	-0' 34"	-15' 48"
9	27 52,01	37 9,71	1 27,41	-0,49	+ 15,68
11	19 23,68	36 33,45	-16 59 26,42	-0,26	+ 14,98
12	15 9,69	36 15,36	58 22,73	-0,22	+ 17,97
13	10 56,19	35 57,48	57 23,50	-0,45	+ 16,41
25	11 20 9,28	32 20,52	45 81,20	-0,64	+ 12,88
27	11 41,97	31 44,85	43 35,95	-0,49	+ 13,59
Juni 10	12 46,78	27 51,92	31 27,69	-0,86	+ 11,16
15	9 51 52,64	26 36,98	37 41,32	-0,32	+ 16,85
18	39 22,91	25 56,60	25 39,97	-0,69	+ 17,75
28	18 38,98	24 51,31		-0,59	
29	14 31,06	24 39,09	-17 22 12,33	-0,38	+ 15,17
29	10 23,56	24 27,60	21 44,27	-0,53	+ 14,02
Juli 1	8 45 44,94	23 24,09	-16 19 4,95	-0,42	+ 14,13
2	41 39,71	23 14,82	18 44,72	-0,57	+ 12,79

	Mittl. Zeit in Kremsm.	AR.	Decl.	$\Delta\alpha$	$\Delta\delta$
1838 Juli 13	7 <sup>h</sup> 57' 4" 13	15 <sup>h</sup> 21' 54" 20	-16° 16' 19" 06	-0' 61"	-13' 31"
14	53 3,42	21 48,95	16 14,16	-0,45	+ 13,99
15	49 2,84	21 44,23	16 13,34	-0,64	+ 11,55
17	41 2,25	21 35,45	16 6,46	-0,31	+ 16,68
18	37 3,10		16 11 37		+ 13,19
20	29 4,74	15 21 25 53	-16 15 20	-0,24	+ 16,68
Uranus.					
Sept. 1	12 <sup>h</sup> 6' 44" 19	22 <sup>h</sup> 49' 22" 68	-8° 22' 41" 55	+ 0' 74"	+ 21' 05"
2	2 39,13	49 13,60	23 35,95	+ 4,88	+ 21,00
3	11 58 34,48	49 4,90	24 28,75	+ 4,64	+ 19,38
4	54 29,79	48 56,02	25 22,48	+ 4,58	+ 18,75
5	50 24,51	48 46,91	26 19,37	+ 4,74	+ 21,36
18	10 7 23,64		37 46,61		+ 20,73
19	53 19,61	46 44,03	38 38,65	+ 4,80	+ 21,91
21	45 11,46	46 28,01	40 20,62	+ 3,97	+ 23,65
25	28 54,43	45 54,36	43 31,46	+ 4,76	+ 19,70
28	16 43,32	45 39,81	45 50,25	+ 4,51	+ 18,03
29	12 39,34	45 22,85	46 35,01	+ 4,72	+ 17,16
Oct. 1	4 82,20	45 7,51	48 4,98	+ 4,92	+ 17,76
3	9 56 25,94	44 53,29	49 32,60	+ 4,22	+ 18,64
11	24 3,91	43 58,29	54 51,63	+ 4,35	+ 19,81
17	8 59 51,96	43 22,43	58 15,69	+ 4,41	+ 19,49
22	39 47,45	42 56,43	-9 0 37,57	+ 3,58	+ 16,15
23	35 46,82	42 51,65	1 5,70	+ 4,65	+ 18,13

## Vesta.

	Mittl. Zeit in Kremsm.	AR.	Decl.	$\Delta\alpha$	$\Delta\delta$
Dec. 13	13 <sup>h</sup> 19' 53" 19	6 <sup>h</sup> 48' 48" 84	+ 21° 6' 12" 93	+ 1' 36"	-20' 77"
23	12 30 18,64	38 31,87	42 36,68	+ 1,16	+ 22,24
24	12 25 16,41	6 37 25,64	46 16,40	+ 1,38	+ 19,04
1839					
Jan. 4	11 29 45,17	6 25 6,82	+ 22 26 28,49	+ 1,19	+ 17,42

Juno konnte ihrer bedeutenden Lichtschwäche wegen zur Zeit ihrer Opposition am hiesigen Meridiankreise nicht beobachtet werden.

Mondculminationen, beobachtet am Meridiankreise der Sternwarte in Kremsmünster sammt ihrer Vergleichung mit dem Berliner Astron. Jahrbuche.

	AR. des Mond- Centrum im Meridian.	Declination des Mondcentrum im Meridian.	$\Delta\alpha$	$\Delta\delta$
1838 Januar 1	23 <sup>h</sup> 26' 6" 17	-6 <sup>h</sup> 17' 58" 01	+ 0' 57"	+ 9' 02"
3	1 8 38,32	+ 7 18 40,81	+ 0,53	+ 7,71
Febr. 5	6 24 0,40	+ 28 21 1,20	+ 0,13	+ 4,01
6	7 21 11,10	+ 27 15 47,87	+ 0,17	+ 3,09
März 11	11 54 3,84	+ 2 9 57,96	-0,49	+ 2,13
April 2	7 39 55,94	+ 26 46 42,53	+ 1,03	-1,72
5	10 11 7,10	+ 15 9 24,31	+ 0,39	+ 0,30
Mai 3	10 39 26,10		+ 0,55	
4	11 23 16,59	+ 6 15 46,49	+ 0,35	-8,01
8	14 22 39,71	-16 36 31,75	-0,11	+ 3,56
9	15 14 2,16	-21 24 2,46	-0,24	+ 1,48
Juli 6	18 25 39,29	-28 20 41,96	+ 0,42	-0,18
August 4	20 5 22,20	-25 9 24,46	+ 0,66	-2,31
Sept. 1	20 36 35,26	-23 14 14,23	+ 0,23	+ 4,01

	AR. des Mond- Centrum im Meridian.	Declination des Mondcentrum im Meridian.	$\Delta\alpha$	$\Delta\delta$
1838 Sept. 3	21 <sup>h</sup> 38' 5" 9	-17° 57' 9 49	+ 0' 44"	+ 2' 98"
2	22 36 48,10		+ 1,03	
4	23 33 13,57	-4 5 10,90	+ 0,88	-0,42
28	20 7 1,55	-25 11 51,10	+ 0,46	+ 9,62
29	21 7 50,87	-20 48 26,91	+ 0,31	+ 8,34
Oct. 1	23 3 16,84	-8 5 11,27	+ 0,19	+ 11,44
Nov. 26	0 1 55,19	+ 0 2 10,60	+ 0,24	+ 6,42
27	0 54 50,55	+ 7 7 54,90	+ 0,31	+ 9,02
28	1 50 0,49	+ 13 54 41,05	+ 0,32	+ 5,55
Dec. 21	22 0 46,55	-15 2 35,11	+ 0,6	+ 3,73
22	22 53 44,18	-8 44 0,91	+ 0,52	+ 6,85
23	23 45 12,32	-1 56 5,93	+ 0,32	+ 4,71
24	0 36 33,49	+ 5 0 0,55	+ 0,58	+ 5,97

## Mondsterne, beobachtet am Meridiankreise der Sternwarte in Kremsmünster.

1838.	Gestirn.	Sternz. d. Calm.	Fadenzahl.	1838.	Gestirn.	Sternz. d. Calm.	Fadenzahl.
Januar 1	73 h Aquarii	22 <sup>h</sup> 44' 8" 68	5	August 4	52 h <sup>2</sup> Sagittarii	19 26 53,94	4
	95 $\chi^2$ Aquarii	23 10 31,01	5		62 e Sagittarii	19 52 44,92	5
	Mond I	23 24 58,51	5		Mond I	20 4 6,80	5
	20 a Piscium	23 39 36,30	5	Septbr. 1	62 e Sagittarii	19 52 44,99	5
	29 q Piscium	23 53 30,88	5		(146) f Capricorni	20 20 4,17	5
3	(189) Piscium	0 39 52,99	6		Mond I	20 35 21,11	5
	Mond I	1 7 31,90	5		34 c Capricorni	21 17 28,26	5
	99 g Piscium	1 22 49,18	6		39 e Capricorni	21 28 3,92	5
	110 e Piscium	1 36 50,70	5	2	34 c Capricorni	21 17 28,34	5
Febr. 5	136 c Tauri	6 43 9,99	2		39 e Capricorni	21 28 3,91	5
	44 $\kappa$ Aurigae	6 5 4,58	5		Mond I	21 36 53,19	5
	Mond I	6 22 49,32	5		33 i Aquarii	21 57 44,44	5
	27 e Geminorum	6 33 59,15	5		57 $\sigma$ Aquarii	22 22 7,56	5
6	27 e Geminorum	6 33 58,92	5	3	33 i Aquarii	21 57 44,32	5
	46 $\tau$ Geminorum	7 0 50,62	5		57 $\sigma$ Aquarii	22 22 7,63	5
	Mond I	7 20 1,36	5		Mond I	22 35 37,38	5
	78 $\beta$ Geminorum	7 35 24,99	5		90 $\zeta$ Aquarii	23 5 59,30	5
	9 $\mu$ Cancri	7 56 43,18	5		8 $\kappa$ Piscium	23 18 41,14	5
März 11	3 v Virginis	11 37 33,76	5	4	90 $\zeta$ Aquarii	23 5 59,24	5
	5 $\beta$ Virginis	11 42 17,02	4		8 $\kappa$ Piscium	23 18 40,94	5
	Mond II	11 55 4,54	5		Mond II	23 34 23,33	5
	15 $\eta$ Virginis	12 41 38,86	5		29 q Piscium	23 53 34,58	5
April 2	60 i Geminorum	7 15 40,18	5	28	52 h <sup>2</sup> Sagittarii	19 26 53,67	5
	66 $\alpha$ Geminorum	7 24 15,72	5		62 e Sagittarii	19 52 44,61	5
	Mond I	7 38 46,17	5		Mond I	20 5 47,94	5
	19 $\lambda$ Cancri	8 10 54,69	5		16 $\psi$ Capricorni	20 36 33,11	5
	23 $\psi^2$ Cancri	8 16 59,65	5		22 $\eta$ Capricorni	20 55 13,90	5
5	27 v Leonis	9 49 31,66	6	29	22 $\eta$ Capricorni	20 55 14,00	5
	30 $\eta$ Leonis	9 58 31,25	6		Mond I	21 6 38,56	5
	Mond I	10 10 4,14	5		40 $\gamma$ Capricorni	21 31 9,82	5
	47 $\rho$ Leonis	10 24 18,34	5		49 $\delta$ Capricorni	21 38 8,73	4
	53 i Leonis	10 40 45,82	5	Octbr. 1	57 $\sigma$ Aquarii	22 22 7,52	5
Mai 3	41 $\gamma$ Leonis	10 11 3,54	5		Mond I	23 2 1,05	5
	47 $\rho$ Leonis	10 24 17,95	5		8 $\kappa$ Piscium	23 18 40,82	5
	Mond I	10 38 23,95	5		20 n Piscium	23 39 40,24	5
	63 $\chi$ Leonis	10 56 41,18	5	Nov. 26	29 q Piscium	23 53 34,82	5
	77 $\sigma$ Leonis	11 12 48,64	5		Mond I	0 0 47,77	5
4	63 $\chi$ Leonis	10 56 41,03	5		44 i Piscium	0 17 9,63	5
	77 $\sigma$ Leonis	11 12 48,38	5		(189) Piscium	0 39 57,00	5
	Mond I	11 22 15,34	5	27	44 i Piscium	0 17 9,49	5
	3 v Virginis	11 37 33,55	5		(189) Piscium	0 39 57,03	5
	5 $\beta$ Virginis	11 42 17,18	5		Mond I	0 53 42,18	5
8	100 $\lambda$ Virginis	14 10 23,44	5		99 $\tau$ Piscium	1 22 53,06	5
	Mond I	14 21 34,53	5		110 e Piscium	1 36 64,51	5
	9 $\alpha^2$ Librae	14 41 57,60	3	28	110 e Piscium	1 36 64,59	5
	20 $\gamma$ Librae	14 54 38,65	5		99 $\tau$ Piscium	1 22 53,11	5
9	9 $\alpha^2$ Librae	14 41 57,73	3		Mond I	1 48 50,30	5
	20 $\gamma$ Librae	14 54 38,36	5		27 $\psi$ Arietis	2 21 59,77	5
	Mond II	15 15 10,46	5		32 $\tau$ Arietis	2 29 41,92	5
	42 $\chi$ Librae	15 30 45,41	5	Dec. 21	Mond I	21 69 37,96	5
	7 $\delta$ Scorpii	15 50 48,16	3		57 $\sigma$ Aquarii	22 22 6,70	5
Julii 6	19 $\delta$ Sagittarii	17 10 40,72	5		73 $\lambda$ Aquarii	22 44 12,18	5
	Mond I	18 24 23,45	5	22	57 $\sigma$ Aquarii	22 22 6,89	5
	34 $\sigma$ Sagittarii	18 45 16,18	5		73 $\lambda$ Aquarii	22 44 12,14	5
	40 $\tau$ Sagittarii	18 56 52,52	6		Mond I	22 52 36,93	5
					8 $\kappa$ Piscium	23 18 40,39	5

1838	Gestirn.	Stern. d. Culm.	Fädensahl.
Dec. 23	8 $\kappa$ Piscium	23 <sup>b</sup> 15' 40" 95	5
	Mond I	23 44 5,60	5
	44 $\iota$ Piscium	0 17 9,21	5

1838	Gestirn.	Stern. d. Culm.	Fädensahl.
Dec. 24	44 $\iota$ Piscium	0 <sup>b</sup> 17' 9" 09	5
	Mond I	0 35 26,35	5
	71 $\epsilon$ Piscium	0 54 35,78	5
	98 $\mu$ Piscium	1 21 45,63	5

## Sternbedeckungen.

M. Z. Kressm.

1835 Jan. 6.	35 Ceti	Eintr. 10 <sup>b</sup> 38' 49" 3	Beob. zweifelh.
April 9.	46 $\iota$ Leonis	— 9 28 6,8	
Mai 6.	30 $\gamma$ Leonis	— 6 41 30,5	
Oct. 26.	27 $\downarrow$ Sagitt.	— 7 19 31,7	
1836 Oct. 15.	(359) Sagitt.	— 5 53 12,6	
1837 März 14.	(43) Aurigae	— 10 37 19,2	Beob. zweifelh.
16.	2 $\alpha$ Cancri	— 7 41 31,4	
Oct. 12.	10 Ceti	— 8 4 47,2	Beob. zweifelh.

M. Z. Kressm.

1838 Febr. 5.	49 $\epsilon$ Aurigae	Eintr. 9 <sup>b</sup> 20' 18" 7	
Sept. 2.	43 $\kappa$ Capric.	— 7 41 32,5	
Dec. 22.	85 $\beta$ Aquarii	— 6 53 24,4	

Beobachtung der Sonnenfinsternis von 1839 März 15.

Eintritt 4<sup>h</sup> 7' 50" 7 mittl. Zeit in Kressm.

Austritt 5 25 11,4

Der Sonnenrand war sehr wallend, besonders beim Austritt des Mondes, die Sonne nahe am Untergange, daher die Zeit des Austritts sehr unsicher.

M. Koller.

Schreiben des Herrn Fischer in Apenrade an den Herausgeber.

1839. April 13.

Zur Bestimmung unserer Länge habe ich bis jetzt nur die bereits in Nr. 346 der Astr. Nachr. angeführten Beobachtungen erhalten. Bei dieser Gelegenheit muß ich mit Bedauern bemerken, daß ein Schreibfehler die Angabe des  $d$  aus dem in Altona beobachteten Eintritt entstellt hat, ein Irrthum, den ich

erst später erfuhr; ich habe deshalb die Berechnung von neuem und mit der etwas veränderten Abplattung von  $\frac{1}{297,76}$  durchgemacht, und die unterstehenden Resultate erhalten. Meine drei Längenbestimmungen für Apenrade sind demnach:

1835 Aug. 19.	Austritt von $\epsilon$ Gemini. (aus Verbindung mit Altona).....	28 <sup>b</sup> 17' 53" östl. von Paris.
1836 Nov. 10.	Sonnenfinsternis. Aus den beiden Ringerscheinungen finde ich meine Angaben der Rechnung des Herrn Dr. Peters substituiert.....	25,79
1837 Mai 10.	Eintritt von $\lambda$ Caseri (aus Verbindung mit Cracau).....	22,90

Mittel 28<sup>b</sup> 22' 07"

Die untenstehend angeführten Sternbedeckungen sind nach der Bessel'schen Methode, die *Jahn* in seiner practischen Astronomie Th. 2. S. 92 etc. anführt, mit 6stelligen Logarithmen und der Au-

nahme der Erdatplattung  $= \frac{1}{297,76}$  berechnet. Da der Nautical Almanach gebraucht wurde, so beziehen sich die Meridiane auf Greenwich, und sind:  $d = a + \epsilon + b \xi$ .

Tag.	Stern.	Astr. Nachr.	Beobachtungsort.	$d$	$a$	$b$
1834 Octbr. 21.	$\gamma$ Tauri	Nr. 332	Altona, Eintritt	+ 39' 51" 78	+ 1,968	- 1,014
Novbr. 13.	$\gamma$ Piscium	332	Altona, Eintritt	+ 39 52,85	+ 2,028	+ 1,488
Decbr. 11.	$\zeta$ Ceti	332	Altona, Eintritt	+ 39 51,19	+ 2,022	- 0,942
1835 Febr. 11.	43 $\gamma$ Cancri	307	Cracau, Eintritt	+ 1 <sup>b</sup> 19 55,54	+ 1,758	+ 0,198
April 5.	$\epsilon$ Geminorum	312	Dorpat, Eintritt	1 47 2,76	+ 1,946	+ 1,616
		321	Bujaklanas { Eintr.	1 56 26,50	+ 1,946	- 0,607
			{ Austr.	1 57 38,68	+ 1,944	- 0,100
April 6.	$\kappa$ Geminorum	332	Altona { Eintritt	0 39 54,53	+ 1,890	+ 1,422
			{ Austritt	0 39 44,46	+ 1,890	- 2,256
April 9	$\gamma$ Leonis	307	Krakau, Eintritt	1 19 43,87	+ 1,710	+ 0,420
		307	Kressm., —	0 56 22,82	+ 1,710	+ 0,030
		325	Wien, —	1 5 21,53	+ 1,710	+ 0,132
Mai 6.	$\gamma$ Leonis	307	Kressmünster, Eintr.	0 56 48,51	+ 1,794	+ 1,548
Juni 9.	10 Scorpii	325	Wien, Eintritt	1 8 32		
Juni 10.	$\delta$ Opibuchi	332	Altona, Eintritt	0 39 47,51	+ 1,602	+ 0,468
		307	Cracau, —	1 19 56,17	+ 1 602	+ 0,648
Juli 6.	45 $\lambda$ Librae	307	Cracau, —	1 19 49,70	+ 1,635	+ 1,818

Tag.	Stern.	Astr. Nachr.	Beobachtungsort.	d	a	b
1835 August 18.	132 B Tauri	Nr. 332	Altona { Eintritt	0 39' 39" 12	+1,980	+0,822
			Austritt	0 39 38,72	+1,980	-0,294
August 19.	α Geminorum	332	Altona { Eintritt	0 39 48,76	+1,944	+0,072
			Austritt	0 39 49,54	+1,944	-0,312
		346	Apenrade { Eintritt	0 37 26,82	+1,944	+0,228
			Austritt	0 37 41,75	+1,944	-0,216
Octbr. 26.	♂ Sagittarii	307	Kremsmünster, Eintr.	0 56 42,42	+1,686	+1,530
1835 Novbr. 25.	35 Capricorni	307	Cracau, Eintritt	1 20 17,13	+1,758	+0,042
1836 Januar 12.	α' Librae	312	Greenwich { Eintr.	-0 0 1,36	+1,687	-2,501
			Austr.	+0 0 0,44	+1,687	-1,324
Febr. 20.	μ Piscium	312	Greenwich, Eintr.	+0 0 4,66	+1,687	-2,972
März 6.	λ Virginis	312	Greenwich { Eintr.	+0 0 8,53	+1,901	+0,485
			Austr.	+0 0 5,9	+1,71	-1,71
April 25.	γ Leonis	332	Altona { Eintr.	+0 39 42,49	+1,899	+2,124
			Austr.	+0 39 58,90	+1,898	-4,280
		312	Greenwich { Eintr.	-0 0 0,94	+1,899	+0,867
			Austr.	+0 0 5,10	+1,898	-1,740
Mai 26.	δ Virginis	335	Cracau, Eintritt	+1 19 46,40	+1,899	+3,710
Mai 29.	δ Scorpil	312	Greenwich, Eintr.	-0 0 8,47	+1,720	-5,628
Juni 29.	ω' Sagittarii	328	Brüssel { Eintritt	+0 17 17,00	+1,587	-0,148
			Austritt	+0 17 55,78	+1,587	+1,877
Juli 23.	α Sagittarii	328	Brüssel, Eintritt	+0 17 8,26	+1,587	+1,478
	δ Scorpil	332	Altona, Eintritt	+0 39 55,98	+1,667	+1,105
		328	Brüssel { Eintritt	+0 17 37,83	+1,667	+1,872
			Austritt	+0 18 12,03	+1,667	+1,188
Septbr. 10.	(170) Capric.	335	Cracau, Eintritt	+1 20 5,18	+1,679	-1,294
Octbr. 26.	Δ' Tauri	332	Altona, Eintritt	+0 39 42,31	+1,942	+0,732
1836 Decbr. 24.	2 α' Cancri	382	Altona { Eintritt	+0 39 28,41	+2,030	+0,777
			Austritt	+0 41 39,59	+2,030	+4,364
1837 März 15.	47 Geminor.	349	Cracau, Eintritt	+1 19 36,87	+2,028	-4,104
März 16.	ω' Cancri	349	Cracau, Eintritt	+1 20 16,10	+2,032	-6,312
Mai 10.	λ Cancri	346	Apenrade, Eintritt	+0 37 56,30	+2,025	-0,257
August 14.	(170) Capric.	349	Cracau, Eintritt	+1 20 4,35	+2,025	-2,111
1837 Novbr. 10.	64 Ceti	349	Cracau, Eintritt	+1 20 3,72	+1,582	-1,721
			Cracau, Eintritt	+1 20 10,17	+1,711	-0,498
						-1,305

## Anmerkungen.

- 1835 April 5. Der Austritt in Bujukluman scheint zu spät beobachtet worden zu seyn.
- Aug. 19. Der Eintritt in Apenrade ist unsicher beobachtet.
- Juni 9. Wenn der Stern der richtige ist, muß wohl ein Irrthum in der Zeitangabe vorhanden seyn.
- 1836 März 6. Der Eintritt ist als zweifelhaft bemerkt, scheint jedoch gut zu stimmen; der Austritt giebt ein ganz abweichendes Resultat, vielleicht gehört das Zweifelszeichen hierhin.
- Mai 26. Von der Angabe der Zeit ist 1 Minute abgezogen, worauf obiges Resultat erhalten wurde.

1836 Dec. 24. Der Stern wird als durch das starke Monatslicht sehr geschwächt angeführt; der Austritt scheint verfehlt zu seyn.

In der angegebenen Nummer der Astron. Nachr. ist die Beobachtung angeführt.

Außer den bereits angeführten Ergebnissen für Apenrade unterlasse ich, weitere Resultate aus dem Mitgetheilten zu ziehen, was bis zur Kenntniß correspondirender Beobachtungen auch wohlfügig ausgesetzt werden darf. Sollte die Mittheilung der Größen  $P$ ,  $Q$  u. a. w. gewünscht werden, so werde ich mit Vergnügen damit dienen.

Fr. Fischer.

Schreiben des Herrn Dr. Olbers an den Herausgeber. p. 385. — Sternschnuppen-Momente 1839 Aug. 10. p. 385. — Auszug aus einem Schreiben des Herrn Geheimraths Bessel an den Herausgeber. p. 387. — Beobachtungen des Enderischen Cometen auf der Sternwarte zu Kremsmünster. p. 387. — Beobachtungen von Planeten, Mondculminationen, Mondsternen am Meridiankreis, und Sternbedeckungen auf der Sternwarte zu Kremsmünster. Von Herrn M. Koller. p. 393. — Schreiben des Herrn Fischer in Apenrade an den Herausgeber. p. 397.

Altona 1839. October 3.

# R e g i s t e r.

## A.

- Abadie**, Reise ins Innere von Africa 367.
- Abbildung** zu *Schwabe's* Aufsatz über den *Enckeschen* Cometen im Jahre 1838. 181.
- Altona**, Längendifferenz mit Cracan von *Weyse* 215.  
Erlöschen von Sternschnuppen, daselbst beobachtet den 10ten August 1839 von *Schumacher* u. *Nehus* 383.
- Anfangs- und Endpunkte** der in der Nacht des 13. 14ten Novbr. 1838 auf der Königsberger Sternwarte beobachteten Sternschnuppen von *Bessel* 171.
- Anzeige** von *Gauss* u. *Weyher*, betreffend die magnetischen Termine 171.  
Berichtigung zu dieser Anzeige 209.  
die Astron. Nachr. betreffend 383.
- Apennin**, Längenbestimmung von *Fr. Fischer* 397.
- Argelander**, *Fr. Wilh. Aug.*, Director der Sternwarte in Bonn, über die eigene Bewegung des Sonnensystems 43.  
Breite und Länge von Bonn so wie daselbst beobachtete Sternbedeckungen 279.  
Beobachtungen des Lichtwechsels von *o Ceti* (Mira) 281.  
Verbesserungen in den Astron. Nachr. 284.
- Argans**, Bemerkungen über diesen Stern von *Sir John F. W. Herschel* 187.
- Astron. Nachr.**, Verbesserungen in selbigen, 31.95.159.191.284.
- Auflösung** einer allgemeinen Aufgabe aus der Wahrscheinlichkeitsrechnung von *Hansen* 9.27.
- August** 11. 12. 1838, Sternschnuppen beobachtet von *Professor Feldt* u. *Dittersdorf* in Braunsberg 179.
- August** 10. 1839, Erlöschen von Sternschnuppen beobachtet in Altona von *Schumacher* u. *Nehus* 383.  
Correspondirende Beobachtungen dazu in Bremen, mitgetheilt von *Ohlers* 385.  
In Braunsberg beobachtet von *Feldt*, mitgetheilt von *Bessel* 385.  
In Breslau von *Boguslawski* 387.

## B.

- Bahnen** der Doppelsterne  $\gamma$  Virginis und  $\zeta$  Herculis von *Mädler* 33.
- Barometerstand**, höchster, niedrigster und mittlerer in Cracan beobachtet von *Weyse* 283.  
in Wilna beobachtet von *Stawinski* 313.
- Barowsky**, Professor in Warschau, Beobachtungen der Sonnenfinsternisse 1836 den 15ten Mai 304.
- Bayer**, *Wilh.*, in Berlin, Geheimrath, Ritter vom Dannebrog, vom Königl. Schweden zum Ritter des Vasa-Ordens ernannt 95.
- Bemerkungen** über den Gebrauch der Mondkarte bei Sternbedeckungen von *Mädler* 61.

- Beobachtung** siehe Cometen, Mondsterne, Planeten, Sternbedeckungen.
- Beobachtung** des Lichtwechsels von *o Ceti* (Mira) von *Argelander* 281.
- Berechnung** der *Hansen'schen* Constanten für die Sternbedeckungen von 1839 von *Mädler* 61.  
für die Sternbedeckungen von 1840 von demselben 353.  
der Cometen-Störungen nach einer Methode, wobei dieselben auf den Schwerpunkt des Sonnensystems bezogen, und die von den einzelnen störenden Massen und deren Quadranten und Producten herrührenden Glieder von einander abgesondert werden, von *Lehmann* 97.
- Berichtigungen** in den Astr. Nachr. 31.95.159.191.284.  
zu der Anzeige von *Gauss* u. *Weyher* über die magnetischen Termine 209.
- Berlin**, Beobachtungen von *Galle* daselbst, von Lichtfunken und Lichtflocken bei der Sonne 185.  
Beobachtungen des *Enckeschen* Cometen auf der dortigen Sternwarte 241.
- Bessel**, *Fr. W.*, Geheimrath, Director der Königl. Sternwarte. Ueber die Summation der Progressionen 1.  
Bestimmung der Entfernung des 61sten Sterns im Schwan 65.  
Einrichtung zur Erleichterung der Beobachtungen von Sternbedeckungen 161.  
Anfangs- und Endpunkte der in der Nacht des 13. 14ten Novembers 1838 auf der Königsberger Sternwarte beobachteten Sternschnuppen 171.  
Ueber den Ausdruck einer Function  $\Phi x$  durch Cosinus und Sinus des Vielfachen von  $x$  229.  
Sternverzeichniß von dessen Zonen, von *Weyse* 239.  
Ueber die Bestimmung der Libration des Mondes durch Beobachtungen 257.  
Ueber *o Ceti* (Mira) 295.  
Ueber Sternschnuppen 321.  
Derselbe erhält vom Könige von Dänemark eine goldne Dose 353.  
Mittheilung der correspondirenden Sternschnuppen-Beobachtungen von *Prof. Feldt* in Braunsberg mit Altona 385.
- Bestimmung** der Lichtstärke süd. Sterne von *A. v. Humboldt* 225.
- Bawagnag**, eigene, des Sonnensystems von *Argelander* 43.
- Blanchi**, *Giuseppe*, Director der Sternwarte in Modena, Refractionsbeobachtungen gemeinschaftlich mit *Carlini* in Milano und *Santini* in Padua 217. 250, außerdem mit *Cacciatore* in Palermo 375.  
über *o Ceti* (Mira) 295. 369.
- Beobachtungen** zweier bisher nicht bemerkter Nebelflecke im Hercules und Drachen 371.
- v. Boguslawski**, Director der Breslauer Sternwarte, Beobachtungen von Sternbedeckungen 159.  
über die Beobachtung des *Enckeschen* Cometen 167.



- v. Beguslawski, Director der Breslauer Sternwarte, Mittheilung der Beobachtung eines Mercurdurchgangs in Lima und Breslau 287.  
Sternbedeckungen beobachtet 1839 in Breslau 369.  
Beobachtung im Jahre 1839 der Pallas und Ceres 371.  
Correspondierende Sternschnuppen-Beobachtungen mit Altma 1839 den 10<sup>ten</sup> Aug. 387.
- Bohnenberger und Lindenau's Astr. Zeitschrift über o Ceti 295.
- Boan, Länge und Breite von Argelander 279.  
daselbst beobachtete Sternbedeckungen von Argelander, Lundahl und Kysenus 279.
- Bradley über o Ceti 295.
- Braunsberg in Ostpreussen, daselbst beobachtete Sternschnuppen von Prof. Feldt und Dittersdorf in der Nacht vom 11<sup>ten</sup> auf den 12<sup>ten</sup> Aug. 1838. 179.  
Correspondierende Sternschnuppen-Beobachtungen mit Altma beobachtet von Prof. Feldt am 10<sup>ten</sup> Aug. 1839 mitgetheilt von Bessel 385.
- Breite von Bonn von Argelander 279.  
von Elberfeld von Hulmann 17.  
von Rostock 303
- Bremen, daselbst vom 11<sup>ten</sup> bis 15<sup>ten</sup> Novbr. 1838 beobachtete Sternschnuppen mitgetheilt von Olbers 177.  
Correspondierende Sternschnuppen-Beobachtungen daselbst mit Altma Aug. 10. 1839 mitgetheilt von Olbers 385.
- Bromiker, C., in Berlin, Reduction der Berliner Beobachtungen des Esackischen Cometen 1838 und Berechnung einer neuen Ephemeride 241.
- Breslauer Universitäts-Sternwarte, Geschenk an dieselbe von der Royal Society und der Royal Astronom. Society in London 255.  
Länge 279. 371. Höhe über dem Meere von Stechowski 297. 371. siehe weiter v. Beguslawski.
- Brestel, Assistent an der Wiener k. k. Sternwarte, Ein Beitrag zur Auflösung der Aufgabe Zeit und Polhöhe zugleich an bestimmen 23.

## C.

- Cacciatore, Director der Sternwarte in Palermo, gemeinschaftliche Refractionsoberbeobachtungen mit Bianchi, Carlini und Santini 375.
- Carl Johann, König von Schweden ertheilt Wm. Beer in Berlin den Vasa-Orden 95.
- Carlini, Director der Sternwarte in Milano, Refractionsoberbeobachtungen gemeinschaftlich mit Bianchi u. Santini 217. 250.  
ferner mit Cacciatore 375.
- Cassini über o Ceti 295.
- α Cassiopeae, als veränderlicher Stern bezeichnet von Sir John F. W. Herschel 187.
- Ceres beobachtet 1834 von Slawinsky in Wilna 307.  
1837 von Koller in Kremsmünster 216.  
1837 von Santini und Carlo Conti in Padua 291.  
1839 von Beguslawski in Breslau 371.
- o Ceti (Mira) Beobachtungen über den Lichtwechsel derselben von Argelander in Bonn 279. Bianchi über diesen Stern 293. 369.
- Chronometer und Uhren von Urban Jürgensens Söhne in Kopenhagen, Preise derselben 173.

- Circular an die Mitglieder des magnetischen Vereins von Gauss und Weber über eine Abänderung der Zahl und Zeit der Beobachtungs-Termine 171.  
Berichtigung hiezu 209.
- Comet, Encke'scher, aufgefunden in Berlin von Galle 1838 am 16<sup>ten</sup> Sept. 5.  
Beobachtungen desselben von Encke 7.  
Ueber die Beobachtungen in Breslau von Beguslawski 167.  
Beobachtungen von Nicolai in Maneheim 167.  
Verübugung dieses Cometen vor einem kleinen Stern 169.  
Abbildung desselben von Schwabe 181.  
Kreits Beobachtungen in Mailand 209.  
Berliner Beobachtungen und daraus berechnete neue Ephemeride von C. Brenner 241.  
Beobachtungen von Koller in Kremsmünster an einem Sternfreschen Micrometer 387.
- Cometen-Störungen, Entwicklung einer Methode der Berechnung derselben, wobei sie auf den Schwerpunkt des Sonnensystems bezogen, und die von den einzelnen störenden Massen und deren Quadraten und Producten herührenden Glieder von einander abge sondert werden, von Lehmann 97.
- Constaten, Haussache, Berechnung derselben für die Sternbedeckungen von 1839 von Mädler 61. für 1840. 353.
- Conti, Carlo, in Padua, Beobachtungen der Planeten Vesta, Juno, Pallas, Ceres 293.
- Cracau, Längendifferenz mit Altma 215.  
Breitenbeobachtungen von Weiss 253.  
Beobachtungen der Sonnenfinsternisse 1839 den 15<sup>ten</sup> Nov. von derselben 253.  
Meteorologische Beobachtungen 283.  
Beobachtungen von Mondsternen und Sternbedeckungen 284  
Länge der Sternwarte und Höhe über dem Meere von Stechowski 297. 351.
- 61 Cygni, Bestimmung der Entfernung dieses Doppelsterns von Bessel 65.

## D.

- Dessau, Schwabe's Beobachtungen des Encke'schen Cometen selbst im Jahre 1838. 184.  
Sonnenbeobachtungen 1838. 186.
- Dittersdorf, Professor in Braunsberg, Sternschnuppenbeobachtungen mit Prof. Feldt 1838. 11. 12<sup>ten</sup> Aug. 179.
- Doppelsterne, Positionen von Rümker 31.  
Bahnen von γ Virgois und γ Herculis von Mädler 33.  
Helligkeits-Verhältnisse derselben von Mädler 55.  
Entfernungen von 61 Cygni von Bessel 65.
- Draehn, Nebelfleck bemerkt in diesem Sternbilde von Bianchi 361.
- Druckfehler in den Astr. Nachrichten 31. 95. 159. 191. 281.

## E.

- Ehrenbezeichnungen 189. 353.
- Eigene Bewegung des Sonnensystems von Argelander 41.
- Einladung der Weidmannschen Buchhandlung zur Sachverständigen auf die Resultate aus den Beobachtungen des magnetischen Vereins von Gauss und Weber 173.
- Einrichtung zur Erleichterung der Beobachtung von Sternbedeckungen von Bessel 161.

- Elberfeld, Astronom. Ortsbestimmungen daselbst von *Hälmann* 17. 279.
- Ecke, J. F., Professor, Director der Berliner Sternwarte, Auf-  
fassung und Beobachtung des *Enckeschen* Cometen 5.
- Enckescher Comet, aufgefunden in Berlin am 16<sup>ten</sup> Sept. 1838  
von *Galle* 5.
- Beobachtungen desselben von *Ecke* 7.
- Ueber die Beobachtungen in Breslau von *Boguslawski* 167.
- Beobachtungen von *Nicolai* in Mannheim 167.
- Veränderung des Cometen vor einem kleinen Stern 169.
- Schwabe's* Abbildung desselben 181.
- Kreil's* Beobachtungen in Mailand 209.
- Beobachtungen in Berlin und daraus construirte neue Ephe-  
meride von *Bremker* 241.
- Beobachtungen von *Keller* in Kremsmünster 387.
- Entfernung des 6<sup>ten</sup> Sterns im Schwan, bestimmt von *Bessel* 65.
- Entwicklung einer Methode der Berechnung der Cometen-  
Störungen, wobei dieselben auf den Schwerpunkt des  
Sonnen-systems bezogen, und die von den einzelnen stö-  
renden Massen und deren Quadraten und Producten her-  
führenden Glieder von einander abgesondert werden 97.
- Ephemeride des Mondes für 1840 von *Schumacher*, für den  
Augenblick des Durchgangs seines Mittelpunkts durch  
den Altonaer Meridian nach *Burchardis* Tafeln berechnet,  
und für jede Sternwarte anwendbar, deren Längenunter-  
schied von Altona nicht über drei Stunden ist 193.
- des Doppelsterns  $\gamma$  Virginis von *Mädler* 40.
- $\zeta$  Herculis von demselben 42.
- des *Enckeschen* Cometen 241.
- Erlöschen von Sternschnuppen beobachtet in Altona 1839 Aug. 10  
von *Schumacher* und *Nehus* 383.
- Erman, A., Professor in Berlin, über die Aufstellung eines In-  
clinatoriums auf einem Schiffe 363.
- Expedition, magnetische, unter Capt. *Russ* 369.

## F.

- Fabricius über  $\epsilon$  Ceti 295.
- Feldt, L., Professor in Braunschweig; die von demselben und  
Prof. *Ditterdorf* 1838 Aug. 11. 12 beobachteten Stern-  
schnuppen 179.
- Correspondirende Beobachtungen mit Altona Aug. 10. 1839  
mitgetheilt von *Bessel* 385.
- Fischer, F., Bestimmung der Länge von Apenrade 397.
- Frederik VI König von Dänemark, ertheilt *Bessel* eine goldne  
Dose 353.

## G.

- Gallo, Observer an der Berliner Sternwarte, Auffindung des  
*Enckeschen* Cometen 1838 16<sup>ten</sup> Sept. 5.
- Beobachtung von Lichtfunken und Lichtflocken 185.
- Länge von Lhus 365.
- Gauss, C. F., Hofrath, Director der Göttinger Sternwarte, Be-  
obachtung einer Sternbedeckung 1838 den 27<sup>ten</sup> Juni 5.
- der Sonnenfinsternis 1839 den 15. März 303.

- Gauss und Weber, Circular an den magnetischen Verein über  
eine Abänderung der Zahl und Zeit der Beobachtungs-  
termine 171.
- Berichtigung hiesu 209.
- Einladung der *Freimannschen* Buchhandlung zur Subscription  
auf die Resultate aus den Beobachtungen des magneti-  
schen Vereins 173.
- Gebrauch der Mondkarte bei Sternbedeckungen von *Mädler* 61.
- Geschenk der Royal Society und der Royal Astron. Society in  
London an die Universitäts-Sternwarte in Breslau 255.
- Göttingen, Sternbedeckungen beobachtet 1838 den 27<sup>ten</sup> Juni  
von *Gauss* und *Goldschmidt* 5.
- Sonnenfinsternis am 15<sup>ten</sup> März 1839 beobachtet von *Gauss* 303.
- Goldschmidt, Dr., Observer an der Göttinger Sternwarte,  
Beobachtung einer Sternbedeckung 1838 den 27<sup>ten</sup> Juni 5.
- Goodricke über  $\epsilon$  Ceti 295.
- Größe der Sterne von Sir John F. W. Herschel 187.

## H.

- Hahn über  $\epsilon$  Ceti 295.
- Hamburg, Positionen einiger auf der dasigen Sternwarte beob-  
achteten Doppelsterne von *Rämker* 31.
- von A. und G. *Repsold* daselbst für die Kaiserl. Hauptstern-  
warte auf Pulkowa verfertigte Instrumente 163.
- Hansen, P. H., Director der Seeburger Sternwarte, Auflösung  
einer allgemeinen Aufgabe aus der Wahrscheinlichkeits-  
rechnung 9. 27.
- Haasonsche Constanten für Sternbedeckungen, Berechnung  
desselben von *Mädler* für 1839. 61, für 1840. 353.
- Helligkeitsverhältnisse der Doppelsternpaare von *Mädler* 55.
- Herculis, von *Bianchi* in diesem Sternbilde gefundener Nebel-  
fleck 369.
- $\zeta$  Herculis, Bahn dieses Doppelsterns von *Mädler* 33.
- Ephemeride desselben 42.
- Herschel, Sir John F. W. Baronet, in Slough, über periodische  
und veränderliche Sterne und über die Größe derselben 187.
- Hlonschewitch, Observer der Wilnaer Sternwarte, vom  
Kaiser von Rußland den Stanislaus-Orden 4. Klasse  
und einen Brillantring ertheilt 189.
- Höhe über dem Meere von Breslau, Cracau, Königsberg, Krems-  
münster, Lemberg, Mailand, Padua, Paris, Strassburg,  
Warschau, Wien, von *Stenzkowski* 297.
- v. Humboldt, Alexander Baron, über die Bestimmung der Licht-  
stärke südlicher Sterne 225.
- Hälmann, evangelischer Pfarrer in Elberfeld, astronomische  
Ortsbestimmungen daselbst 17.
- $\alpha$  Hydrae periodischer Stern von Sir John F. W. Herschel 187

## I.

- Inclinatorium, über die Aufstellung desselben auf einem  
Schiffe von *Erman* 363.
- Instrumente für die Kaiserl. Hauptsternwarte auf Pulkowa, ange-  
fertigt in Hamburg von *Repsold*, in München von *Ertel* 163.
- Italienische Naturforscher, deren Zusammenkunft vom  
Jahre bis 15<sup>ten</sup> October 1839 in Pisa 303.

- Jürgensen's Söhne, Urban, in Kopenhagen, Preise ihrer Chronometer und Uhren 173.
- Jangnits's Hans in Breslau, Höhe über dem Meere 371.
- Jano, beobachtet 1837 u. 1838 von *Sautini* und *Carlo Conti* in Padua 291.
- Jupiter, beobachtet 1835 von *Slawinski* in Wilna 313.
- 1838 von *Koller* in Kremsmünster 393.
- Jupiterstrahlenverfinsterungen, beobachtet in Wilna 1834 den 15<sup>ten</sup> Febr., 30<sup>ten</sup> Sept., 8<sup>ten</sup> u. 12<sup>ten</sup> Nov. 313.

## K.

- Karstene, Professor in Rostock, Beobachtung der Sonnenfinsternisse 1839 den 15<sup>ten</sup> März 303.
- Königsberg, Höhe über dem Meere von *Steckowski* 297.
- Bessels* Bestimmung der Entfernung von 61 Cygni daselbst 65.
- Sternschnuppenbeobachtungen 1838 den 13<sup>ten</sup> u. 14<sup>ten</sup> Nov. 171.
- Koller, Director der Sternwarte in Kremsmünster, Beobachtungen des Mondes und der Doppelsterne, des Uraus, der Vesta, Pallas und Ceres im Jahre 1837. 215. 216; im Jahre 1838. 393.
- Sonnenfinsternisse 1838 den 15<sup>ten</sup> März 398.
- Krell, Adjunkt an der Prager Sternwarte, *Stambeck's* Beobachtungen des *Enckeschen* Cometen 1838 in Mailand 209.
- Ueber den Einfluß des Mondes auf den magnetischen Zustand der Erde 209.
- Schwingungsdauer der Magnetaedel bei den verschiedenen Mondphasen 212.
- Kremsmünster, Höhe über dem Meere von *Steckowski* 297.
- ferner siehe *Koller*.
- Kysaeus, Beobachtungen von Sternbedeckungen in Bonn 279.

## L.

- Lalande, über o Ceti 295.
- Länge von Bonn von *Argelander* 279.
- Breslau von *Feise* 371.
- Cracan von *Steckowski* 297. 351.
- Elberfeld von *Hulmann* 17.
- Lima von *Galle* 365.
- Rostock 303.
- Längendifferenz zwischen Altona und Cracan von *Feise* 215.
- Lehmann, J. W. H., Doctor der Philosophie und Prediger zu Derwitz und Krilow bei Potsdam, Entwicklung einer Methode der Berechnung der Cometen-Störungen, wobei dieselben auf den Schwerpunkt des Sonnensystems bezogen, und die von den einzelnen störenden Massen und deren Quadraten und Producten herrührenden Glieder von einander abgeordnet werden 97.
- Leipzig, Beobachtung der Sonnenfinsternisse am 15<sup>ten</sup> Mai 1836 von Prof. *Möbius* daselbst 304.
- Lemberg, Höhe über dem Meere von *Steckowski* 297.
- Libration des Mondes, *Bessels* Bestimmung derselben durch Beobachtungen 257.
- Lichtfäden, beobachtet von *Galle* in Berlin 185.
- Lichtflecken, beobachtet 1838 von *Schwabe* in Densau 185. 287.
- von *Galle* in Berlin 185.

- Lichtstärke südlicher Sterne, über die Bestimmung derselben von *A. v. Humboldt* 225.
- Lichtwechsel von o Ceti, beobachtet in Bonn von *Argelander* 279.
- Lima, Beobachtung des Mercurdurchganges daselbst am 4<sup>ten</sup> Mai 1832 von *Sam. Scholtz* 287.
- Länge von *Galle* 365.
- Lindemann und *Bahnkreyers* Astron. Zeitschrift über o Ceti 295.
- Littrow, J. J., über o Ceti 295.
- Landahl, Beobachtungen von Sternbedeckungen in Bonn 279.

## M.

- Mädler, Dr. J. H., Observator an der Berliner Sternwarte, über die Bahnen der Doppelsterne  $\gamma$  Virginis u.  $\zeta$  Herculis 33.
- Ueber das Helligkeitsverhältnisse der Doppelsternpaare 35.
- Berechnung der *Hansenschen* Constanten für die Sternbedeckungen von 1839 nebst einigen Bemerkungen über den Gebrauch der Mondkarte bei Sternbedeckungen 61.
- Dieselben Constanten für 1840. 353.
- Physische Beobachtungen des Mars 355.
- Mars 4 1832, Mercurdurchgang beobachtet in Lima und Breslau 287.
- Mars 15. 1839 Sonnenfinsternisse beobachtet von *Gaus* in Göttingen 303.
- von *Walter* und *Karstene* in Rostock 303.
- von *Koller* in Kremsmünster 398.
- von *Feise* in Cracan 253.
- Magnetische Expedition unter Capt. *Russ*; *Sabine's* Mittheilung darüber an *Gaus* 369.
- Magnetischer Vercin, Circular an die Mitglieder desselben über eine Abänderung der Zahl und Zeit der Beobachtungstermine von *Gaus* und *Weyer* 171.
- Magnetischer Zustand der Erde, Einfluß des Mondes auf denselben von *Krell* 209.
- Mai 15. 1836 Sonnenfinsternisse beobachtet von *Barusch* in Warschau 304.
- von *Möbius* in Leipzig 304.
- von *Nicolai* in Mannheim 304.
- Mallard (Milano), Beobachtung des *Enckeschen* Cometen daselbst von *Krell* 209.
- Magnetische Beobachtungen von demselben 212.
- Refractiionsbeobachtungen daselbst von *Carlini*, gemeinschaftlich mit *Bianchi* in Modena und *Sestini* in Padua 217. 250, auch mit *Cacciatore* in Palermo 373.
- Höhe über dem Meere von *Steckowski* 257.
- Beobachtung zweier auch nicht bemerkter Nebelflecke in Hercules und Drachen von *Bianchi* 371.
- Mannheim, Beobachtung des *Enckeschen* Cometen, und Verübergang desselben vor einem kleinen Sterne von *Nicolai* 169.
- Beobachtung der Sonnenfinsternisse 1836 Mai 15 von *Nicolai* 304.
- Mars, beobachtet 1834 von *Slawinski* in Wilna 307.
- 1837 von demselben 317.
- Physische Beobachtung desselben 1839 von *Mädler* 355.
- Mercurdurchgang am 4<sup>ten</sup> März 1830 beobachtet in Lima von *Sam. Scholtz* und in Breslau von *Dugandski* 287.

- Metereologische Beobachtungen in Cracau von *M. Ffisse* 283.  
 in Wilna von *Slawinski* 313.  
 Nirrometer, Stempferthes, Beobachtungen des Enckeschen Cometen an selbigem von *Koller* in Kremsmünster 387.  
 Nira (o Ceti) Beobachtungen über den Lichtwechsel desselben von *Argelander* in Bonn 281. *Bianchi* über diesen Stern 295. 369.  
 Modena, Refraktionsbeobachtungen daselbst von *Bianchi* gemeinschaftlich mit *Carlini* in Milano und *Santini* in Padua 217. 250, ferner mit *Cacciatores* in Palermo 375.  
 Niblas, Professor in Leipzig, Beobachtungen der Sonnenfinsternisse 1836 den 15<sup>ten</sup> Mai 304.  
 Nord beobachtet 1837 von *Koller* in Kremsmünster 215; 1838. 393.  
 Nordseelands auf den magnetischen Zustand der Erde von *Krell* 209.  
 Nordsephemeride für 1839 von *Schemacher*, für den Augenblick des Durchgangs seines Mittelpunkts durch den Ältoner Meridian, nach *Durehardts* Tafeln gerechnet und für jede Sternwarte anwendbar, deren Längenunterschied von Altona nicht über drei Stunden ist 193.  
 Nordkarte, Gebrauch desselben bei Sternbedeckungen von *Mädler* 61.  
 Nordlibration, *Bessels* Bestimmung derselben durch Beobachtungen 257.  
 Nordphasen, Einfluss derselben auf die Schwingungsdauer der Magnetaedel 212.  
 Nordstern, beobachtet 1834 von *Slawinski* in Wilna 309. 1837 in Kremsmünster von *Koller* 202. 1838 von demselben 383. 1839 von *Ffisse* in Cracau 283.  
 Nürnberg, daselbst von *Ertel* für die Kaiserl. Hauptsternwarte auf Pulkowa verfertigte Instrumente 163.  
 N.  
 Narbericht von *Struve* über die für die Kaiserl. Hauptsternwarte auf Pulkowa in Hamburg und München angefertigten Instrumente 163.  
 Naturforscher, Italienerhe, Zusammenkauf vom 1<sup>sten</sup> bis 15<sup>ten</sup> Oct. 1839 in Pisa 303.  
 Nebelflecke, wri bisher noch nicht bemerkt im Hercules und Drachen von *Bianchi* 369.  
 Nebus, Ingloire-Captain, Beobachtungen des Erliörhens der Sternschnuppen 1839 Aug. 10 in Altona 383.  
 Nicolai, Hofrath, Director der Maschiner Sternwarte, Beobachtungen des Enckeschen Cometen 167. Vorübergang dieses Cometen vor einem kleinen Stern 169. Beobachtung der Sonnenfinsternisse 1836 den 15<sup>ten</sup> Mai 304.  
 November 13. 14. 1838. Anfangs- und Endpunkte der in dieser Nacht in König-breg beobachteten Sternschnuppen von *Bessel* 171.  
 November-Beobachtungen von Sternschnuppen in Bremen im Jahre 1838 mitgetheilt von *Dr. Olbers* 177.  
 N. Nyegaard, Captain, vom Könige von Schweden zum Ritter des Schwertordens ernannt 189.

## O.

- Olbers, Doctor, in Bremen, Mittheilung der daselbst beobachteten Sternschnuppen 1838 vom 11<sup>ten</sup> bis 15<sup>ten</sup> November 177.  
 Mittheilung einiger correspondirenden Sternschnuppen-Beobachtungen mit Altona 1839 den 16<sup>ten</sup> August 385.  
 Opposition des Mars 1839; physische Beobachtung desselben von *Dr. Mädler* 355.  
 Ortsbestimmungen, astronomische, in Elberfeld von *Halmens* 17.  
 in Bonn von *Argelander* 279.

## P.

- Padua, Refraktionsbeobachtungen von *Santini* gemeinschaftlich mit *Bianchi* in Modena und *Carlini* in Mailand 217. 250; ferner mit *Cacciatores* in Palermo 373.  
 Palermo, *Cacciatores* Refraktionsbeobachtungen gemeinschaftlich mit *Bianchi*, *Carlini* und *Santini* 373.  
 Pallas, beobachtet 1837 von *Koller* in Kremsmünster 216. 1834 u. 1835 von *Santini* und *Carlo Conti* in Padua 293. 1839 von *Bogulawski* in Breslau 371.  
 Paris, Höhe über dem Meere von *Steckhowski* 297.  
 Periodische Sterne von *Sir John F. F. Herschel* 185.  
 Petersen, Observator in Altona, vom König von Schweden zum Ritter des Vasa-Ordens ernannt 189.  
 Piazzal über o Ceti 295.  
 Pigotti, Edward, über o Ceti 295.  
 Pisa, Zusammenkunft der italienischen Naturforscher von 1839 1<sup>tes</sup> bis 15<sup>ten</sup> Octbr. 303.  
 Planeten-Beobachtungen:  
 Mercursdurchgang am 4<sup>ten</sup> März 1832 beobachtet in Lima von *Sass. Scholts* und in Breslau von *v. Bogulawski* 287.  
 Mars beobachtet 1834 von *Slawinski* in Wilna 307. 1835 von demselben 317. Physische Beobachtung desselben 1839 von *Mädler* 355.  
 Vesta beobachtet 1834, 1836, 1837, 1838 und 1839 von *Santini* und *Carlo Conti* in Padua 289. 1834 von *Slawinski* in Wilna 309. 1837 von *Koller* in Kremsmünster 215. 1838 von demselben 388.  
 Juno beobachtet 1837 u. 1838 von *Santini* und *Carlo Conti* in Padua 291.  
 Pallas 1834 und 1835 von *Santini* u. *Carlo Conti* in Padua 293. 1837 beobachtet von *Koller* in Kremsmünster 216. 1839 von *v. Bogulawski* in Breslau 371.  
 Ceres 1834 beobachtet von *Slawinski* in Wilna 307. 1837 von *Koller* in Kremsmünster 216. 1837 von *Santini* und *Carlo Conti* in Padua 291. 1839 von *v. Bogulawski* in Breslau 371.  
 Jupiter 1835 beobachtet von *Slawinski* in Wilna 313. 1838 von *Koller* in Kremsmünster 393.  
 Jupiterstrahlenverfinsterungen beobachtet in Wilna 1834 den 15<sup>ten</sup> Febr., 30<sup>ten</sup> Sept., 18<sup>ten</sup> und 12<sup>ten</sup> Nov. 313.  
 Saturn 1835 beobachtet von *Slawinski* in Wilna 315. 1838 von *Koller* in Kremsmünster 393.  
 Uranus 1834 beobachtet von *Slawinski* in Wilna 305. 1837 von *Koller* in Kremsmünster 215. 1838 von demselben 387.

- Polhöhe und Zeit zugleich zu bestimmen von *Bresl.* 23.  
 Polhöhe von Bonn von *Argelander* 279.  
 von Elberfeld von *Halmann* 17.  
 von Rostock 303.  
 Position einiger Doppelsterne auf der Hamburger Sternwarte beobachtet von *Rümker* 31.  
 Prag, *Kreil* als Adjunkt bei der dortigen Sternwarte angestellt 209.  
 Preise der Chronometer und Uhren von *Urban Jürgensen* Sohn in Kopenhagen 173.  
 Progressionen, über die Summation derselben von *Bessel* 1  
*Palkowa*, Nachricht über die für die Kaiserl. Hauptsternwarte in Hamburg von *Reybold* und in München von *Erfel* angefertigten Instrumente 163.

## R.

- Refractionsbeobachtungen von *Bianchi* in Modena gemeinschaftlich mit *Carlini* in Modena und *Santini* in Padua 217. 250; anoch mit *Cacciatore* in Palermo 375.  
 Rosa, Capitän in der Englischen Marine, magnetische Expedition, mitgetheilt von *Sabins* an *Gauss* 369.  
 Rostock, Beobachtung der Sonnenfinsternis am 15<sup>ten</sup> März 1839 von *Karsten* und *Walter* daselbst 303.  
 Royal Society in London Geschenk an die Breslauer Universitäts-Sternwarte 255.  
 Royal Astronom. Society in London, Geschenk an die Breslauer Universitäts-Sternwarte 255.  
 Rümker, Charles, Director der Hamburger Sternwarte, Position einiger daselbst beobachteten Doppelsterne 31.

## S.

- Sabins Brief an *Gauss* über die magnetische Expedition unter Capt. Ross 269.  
 Santini in Padua, Refractionsbeobachtungen, gemeinschaftlich mit *Bianchi* in Modena und *Carlini* in Milano 217. 250, ferner mit *Cacciatore* in Palermo 375.  
 Beobachtungen der Planeten Vesta, Juno, Pallas und Ceres 293.  
 Saffers 1835 beobachtet von *Slawinski* in Wilna 315.  
 1838 von *Keller* in Kremsmünster 393.  
 Schwingungsdauer der Magnetenadel bei den verschiedenen Mondphasen 212.  
 Scholtz, Samuel, in Lima, Beobachtung des Mercurdurchganges 1832 den 4<sup>ten</sup> Mai 287.  
 Schumacher, H. C. Elterath, Beobachtung des Erlöschens der Sternschnuppen 1839 Aug. 10 in Altona 363.  
 Ephemeriden des Moedes für 1839 für den Durchgang seines Mittelpunktes durch den Altonaer Meridian nach *Durkhardt* Tafeln berechnet, und für jede Sternwarte anwendbar, deren Längenunterschied von Altona nicht über drei Stunden ist 193.  
 Schwabe, Hofrath in Dessau, über den Esackischen Cometen im Jahre 1838. 181.  
 Sonnenbeobachtungen 1838. 185. 287.  
 Schwann, Bestimmung der Entfernung des 61<sup>sten</sup> Sterns in selbigem von *Bessel* 63.

- Slawinski, Director der Wilnaer Sternwarte, vom Kaiser von Rußland den St. Annenorden 2ter Classe ertheilt 189.  
 Mondstern-, Jupiterstrahenverfinsterungs-, Planeten- und meteorologische Beobachtungen 1834 und 1835. 305.  
 Sonnenbeobachtungen im Jahre 1838 von *Schwabe* in Dessau 185.  
 von *Galle* in Berlin 185.  
 Sonnenfinsternis den 15<sup>ten</sup> Mai 1836 beobachtet von *Meibius* in Leipzig 304.  
 von *Nicolai* in Mannheim 304.  
 von *Bronowsky* in Warschau 304.  
 den 15<sup>ten</sup> März 1839 beobachtet von *Feiste* in Cracau 253  
 von *Gauss* in Göttingen 303.  
 von *Karsten* und *Walter* in Rostock 303.  
 von *Keller* in Kremsmünster 393.  
 Sonnenflecke 1838 beobachtet von *Schwabe* in Dessau 185.  
 Sonnenstern über die eigene Bewegung desselben von *Argelander* 43.  
 Stambuchi Bestimmung der bei den Beobachtungen des Esackischen Cometen von *Kreil* in Mailand gebrauchten Vergleichsterne 209.  
 Stampfisches Micrometer, angewandt von *Keller* in Kremsmünster bei den Beobachtungen des Esackischen Cometen 387.  
 Steckowski, Adjunkt an der Cracauer Sternwarte, Länge derselben 299. 351.  
 Höhe über dem Meere von Breslau, Cracau, Königsberg, Kremsmünster, Lemberg, Mailand, Padua, Paris, Strassburg, Mannheim, Wien 297.  
 Steindruck über den Esackischen Cometen 1838 von *Schwabe* 181.  
 Sterne, veränderliche und periodische, von *John F. W. Herschel* 185.  
 Sternbedeckungen im Jahre 1839, *Müllers* Berechnung der *Hannoverschen* Constanten für selbige 61, im J. 1840. 353.  
 Erleichterung der Beobachtungen derselben von *Bessel* 161.  
 Sternbedeckungen beobachtet  
 1834 (Jan. 16, Aug. 12, Sept. 24) 313.  
 1835 (Jan. 6, April 9, Mai 6, Oct. 26) 397; (Aug. 19) 397.  
 1836 (Oct. 15) 397; (Nov. 10) 397.  
 1837 (März 14. 16, Oct. 12) 397; (Mai 10) 397.  
 1838 (Januar 3) 286; (Januar 8) 22; (Febr. 4) 22. 286; (Febr. 5) 397; (Febr. 7) 22. 286; (März 1, Mai 2. 3. 4, Juni 4) 287; (Juni 27) 5; (Sept. 2) 287. 397; (Oct. 25) 287; (Nov. 25) 279; (Nov. 27) 287; (Dec. 20) 159; (Dec. 21) 159; (Dec. 22) 279, 280, 397; (Dec. 25) 159; (Dec. 26) 159, 280, 287; (Dec. 27) 159; (Dec. 29) 159.  
 1839 (Mai 2, Juli 7) 369.  
 Sternbedeckungen beobachtet in  
 Apenrade (1835 Aug. 19, 1836 Nov. 10, 1837 Mai 10) 384.  
 Bonn (1838 Nov. 25, Dec. 21. 22) 279.  
 Breslau (1838 Dec. 20, 25, 26, 27, 28) 159; (1839 Mai 2, Juli 7) 369.  
 Cracau (1838 Jan. 3, Febr. 4, 7) 285; (März 1, Mai 2, 3, Jun. 4, Sept. 2, Oct. 25, Nov. 27, Dec. 26) 287.  
 Elberfeld (1838 Jan. 8, Febr. 4, 7) 22; (1838 Dec. 22, 26) 280.  
 Göttingen (1838 Jan. 27) 5.  
 Kremsmünster (1835 Jan. 6, April 9, Mai 6, Oct. 26) (1836 Oct. 15) (1837 Mai 14, 16, Oct. 12) (1838 Febr. 5, Sept. 2, Dec. 22) 397.

Sternbedeckungen beobachtet in

Wilna (1834 Juni 16, Aug. 12, Sept. 24) 313.

1838 Aug. 11, 12 von Prof. *Feldt* und *Dittersdorf* in Braunschweig 179.

Sternschnuppen, Anfangs- und Endpunkte derselben beobachtet in Königsberg in der Nacht des 13<sup>ten</sup> und 14<sup>ten</sup> November 1838 von *Bessel* 171.

in den Nächten vom 1<sup>ten</sup> bis 15<sup>ten</sup> Novbr. 1838 in Bremen mitgetheilt von *Olbers* 177.

Erlöschen derselben beobachtet in Altona 1839 am 10<sup>ten</sup> Aug. von *Schumacher* und *Niebu* 383.

Correspondirende Beobachtungen mit Altona 1839 Aug. 10 in Braunschweig von *Feldt* 355.

in Bremen mitgetheilt von *Olbers* 388.

in Breslau von v. *Boguslawski* 387.

Sternverzeichnisse der *Besselschen* Zonen von *H'elise* 239.

Strasbourg, Höhe über dem Meere von *Steckowski* 297.

Struve, wirklicher Statthalter, Nachricht über die für die Kaiserl. Hauptsterneamt auf Pulkowa in Hamburg und München angefertigten Instrumente 163.

Südliche Sterne, über die Bestimmung ihrer Lichtstärke von v. *Humboldt* 225.

Summation der Progressionen von *Bessel* 1.

## T.

Termine, magnetische; Anzeige dieselbe betreffend von *Gauss* und *H'elise* 171. Berichtigung dazu 209.

Thermometerbeobachtungen in Cracau von *H'elise* 283. in Wilna von *Slawinski* 313.

## U.

Ueber die Summation der Progressionen von *Bessel* 1.

Ueber den *Eacheschen* Cometen im Jahre 1838 von *Schwabe* in Dessau mit *Steindruck* 181.

Ueber Lichtfunken, Lichtbögen und Lichtfäden bei Sonnenbeobachtungen von *Galle* 185.

Ueber die Bestimmung der Lichtstärke südlicher Sterne von v. *Humboldt* 225.

Ueber den Ausdruck einer Function  $\Phi x$  durch Cosinussen und Sinusse der Vielfachen von  $x$  von *Bessel* 229.

Ueber die Bestimmung der Libration des Mondes durch Beobachtungen von *Bessel* 257.

Ueber Sternschnuppen von *Bessel* 321.

Ueber die Aufstellung eines *Inclinatoriums* auf einem Schiffe von *Ermann* 363.

Uhren und Chronometer von *Urban Jürgensens* Söhne in Kopenhagen, Preise derselben 173.

Unvollständige Sternwarten in Breslau, Geschenk an dieselbe von der Royal Society und von der Royal Astronomical Society in London 255.

Uranus beobachtet 1834 von *Slawinski* in Wilna 305.

1837 von *Koller* in Kremsmünster 215.

1838 von demselben 387.

## V.

Veränderliche Sterne von Sir *John F. F. Herschel* 187.

Verbesserungen in den *Ast. Nachr.* 31. 95. 159. 191. 284.

Verein, magnetischer, Circular an denselben von *Gauss* und *H'elise* über eine Abänderung der Zahl und Zeit der Beobachtungstermine 171.

Verfinsternungen der Jupiterstrahlen, beobachtet in Wilna von *Slawinski* 313.

Vermischte Nachrichten 255. 303. 367.

Vesta beobachtet

1834 von *Slawinski* in Wilna 309.

1834, 1836, 1837, 1838 und 1839 von *Sentini* und *Carla Conti* in Padua 289.

1837 von *Koller* in Kremsmünster 215.

1838 von demselben 388.

γ Virgine, Bahn dieses Doppelsterns von *Mädler* 33.

Ephemerde von demselben 40.

Varübergang des *Eacheschen* Cometen vor einem kleinen Sterne, beobachtet von *Nicolaï* in Mannheim 189.

## W.

Wahrscheinlichkeitsschätzung, Auflösung einer allgemeinen Aufgabe aus derselben von *Hansen* 9. 27.

Walter, Dr., Beobachtung der Sonnenfinsternisse 1839 März 15 in Hestock 303.

Warschau, Höhe über dem Meere von *Steckowski* 297.

Beobachtung der Sonnenfinsternisse den 15<sup>ten</sup> Mai 1836 von *Barowski* 304.

Weber und *Gauss* Circular an den magnetischen Verein über eine Abänderung der Zahl und Zeit der Beobachtungstermine 171.

Berichtigung hierzu 209.

Weidmannsche Buchhandlung, Einladung zur Subscription auf die Resultate aus den Beobachtungen des magnetischen Vereins von *Gauss* und *H'elise* 173.

Woisson, Director der Sternwarte in Cracau, deren Längendifferenz mit Altona 215.

Sternverzeichnisse der *Besselschen* Zonen 239.

Breite von Cracau 253.

Meteorologischen Beobachtungen, Mondsterne, Sternbedeckungen 284.

Länge von Cracau 371.

Wien, Höhe über dem Meere von *Steckowski* 297.

Wilna, *Slawinski's* Planeten-, Mondsterne-, Jupiterstrahlen- und meteorologische Beobachtungen 1834 u. 1835 auf der akademischen Sternwarte daselbst 305.

## Z.

Zeit und Polhöhe zugleich zu bestimmen von *Bessel* 23.

Zonen, *Bessels*, Sternverzeichnisse von *H'elise* 239.

Zusammenkunft der Italienischen Naturforscher vom 1<sup>sten</sup> bis 15<sup>ten</sup> October in Pisa 303.



.







